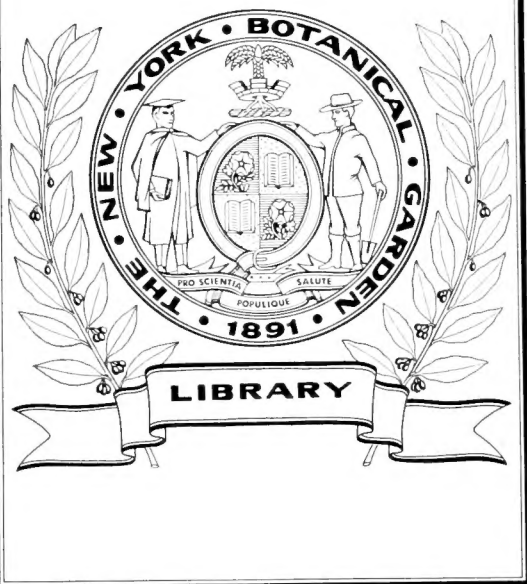




XM
.E5

Vol. 30
1888/90



MÉMOIRES
DE LA
SOCIÉTÉ DE PHYSIQUE
ET
D'HISTOIRE NATURELLE
DE GENÈVE

3/90

MÉMOIRES
DE LA
SOCIÉTÉ DE PHYSIQUE
ET
D'HISTOIRE NATURELLE
DE GENÈVE

Tome trentième.

LIBRARY
NEW YORK
BOTANICAL
GARDEN

GENÈVE
IMPRIMERIE AUBERT-SCHUCHARDT
RUE DE LA PÉLISSERIE, 18

1890

XM
E5
v.30
1888-90

MÉMOIRES
DE LA
SOCIÉTÉ DE PHYSIQUE
ET
D'HISTOIRE NATURELLE
DE GENÈVE

TOME XXX. — PREMIÈRE PARTIE

LIBRARY
NEW YORK
BOTANICAL
GARDENS

GENÈVE
IMPRIMERIE CHARLES SCHUCHARDT
RUE DE LA PÂTISSERIE, 18

—
1888

RAPPORT

DE

PRÉSIDENT DE LA SOCIÉTÉ DE PHYSIQUE

ET

D'HISTOIRE NATURELLE DE GENÈVE

POUR

L'ANNÉE 1887

PAR

M. VICTOR FATIO



MESSIEURS ET HONORÉS COLLÈGUES,

Comme mes prédécesseurs, je viens, à la fin de l'année, vous présenter un rapport succinct sur la marche et les agissements de notre Société, ainsi que sur les divers travaux qui lui ont été présentés durant les douze derniers mois.

C'est avec grands regrets que j'ai d'abord la pénible mission de devoir mentionner les pertes que nous avons faites dans le courant de l'année 1887. La mort nous a, en effet, successivement enlevé : Adolphe Perrot et Aloïs Humbert, de Genève, membres ordinaires de la Société, le premier depuis 1863, le second depuis 1862, ainsi que Bernard Studer, de Berne, notre honoraire depuis 1856 et Victor Dunant, notre associé

libre depuis 1861, qui s'intéressait à nos travaux et assistait fréquemment à nos séances. Je reviendrai plus bas sur la carrière scientifique des trois premiers.

La démission de M. Gustave Julliard motivée par un défaut de temps a fait un cinquième vide dans les rangs de notre Société.

D'un autre côté, nous avons reçu comme membre ordinaire M. Amé Pictet, et nommé un nouvel honoraire dans la personne de M. Théophile Studer, de Berne.

Au renouvellement partiel du Comité, vous avez nommé M. Victor Fatio votre président, et M. Hippolyte Gosse vice-président. Notre regretté collègue A. Humbert ayant, pour raison de santé, demandé à être remplacé dans les fonctions de secrétaire du Comité de publication qu'il remplissait depuis tant d'années, vous avez élu M. Albert Rilliet en son lieu et place, et MM. H. de Saussure, A. Humbert et Aug. Wartmann ont remplacé dans ce dernier Comité, MM. C. de Candolle, G. Lunel et V. Fatio sortant de charge.

La deuxième partie du vol. XXIX des publications de notre Société va paraître incessamment.

Je dois encore vous rappeler que notre Société recevait au mois d'août, de M^{me} veuve de Oppolzer, une médaille commémorative frappée en l'honneur de notre honoraire, le célèbre Th. de Oppolzer, de Vienne, décédé en 1886, et que celle-ci a été donnée au cabinet numismatique de la Ville de Genève.

Enfin, je ne dois pas oublier de témoigner ici la reconnaissance de la Société à la mémoire de notre regretté collègue, Élie Wartmann, qui lui a laissé une somme de 200 francs pour aider à ses publications.

Permettez-moi, maintenant, de passer rapidement en revue, par ordre de matières, les principales communications qui vous ont été présentées; me bornant à un extrait très sommaire, puisque celles-ci sont régulièrement analysées dans les comptes rendus de nos séances, maintenant publiés par les *Archives des Sciences physiques et naturelles*, pour cette année dans les n^{os} 1 et 4 du tome XVII et 9 et 12 du tome XVIII.

TRAVAUX DE LA SOCIÉTÉ

Mathématiques et Astronomie.

M. *Charles Cellérier* nous a présenté un travail sur les coefficients de self-induction paru depuis dans les *Archives des Sciences physiques et naturelles*. Il nous a communiqué en outre les résultats d'une étude mathématique sur les parabéliques et les parenthéliques, destiné au volume en cours des *Mémoires* de notre Société.

M. *Émile Gautier* a signalé le nouveau nivellement de l'Observatoire fait par M. G. Autran, comme offrant des résultats beaucoup plus satisfaisants pour la fermeture du polygone que le nivellement antérieur; il donne un résultat très rapproché de celui admis par Plantamour pour la différence de niveau entre le repère de la pierre à Niton et celui de l'Observatoire.

Le même a montré deux photographies du ciel étoilé par les frères Henry.

M. *Gustave Cellérier* vous a communiqué une étude numérique des concours de compensation faits à l'Observatoire de Genève en 1884 et en 1886.

M. *Raoul Gautier* a exposé le résumé d'un travail destiné à l'impression dans les *Mémoires* de la Société relatif à la première comète périodique de Tempel. Des calculs très minutieux lui ont donné, pour la révolution de 1873 à 1879, une valeur de 2188^{jours}, 3240, ou de 6 ans moins 2^{jours}, 6760.

Géographie physique.

MÉTÉOROLOGIE, GÉOLOGIE.

M. *Henri de Saussure* vous a présenté de belles photographies de l'Etna et donné d'intéressants détails sur les effets de la dernière éruption

de celui-ci qu'il a étudiée sur place. Il reviendra sur ce sujet lorsque seront terminées les analyses des roches qu'il a rapportées.

M. *Daniel Colladon* a fait successivement plusieurs communications sur les tourbillons aériens et liquides. Citant les expériences à l'aide desquelles M. Weyler vient de démontrer la production de trombes ascendantes, il rappelle qu'il a observé et décrit déjà des trombes de même nature, et signale diverses observations d'autres physiiciens à l'appui de son opinion. Il soutient que les deux modes de formation existent pour les trombes, et combat à ce point de vue les opinions de M. Faye qui persiste à n'admettre que des trombes inverses ou descendantes.

Un appareil que M. Colladon a fait construire dans les ateliers de la Société genevoise pour la construction d'instruments de physique, lui permet d'exécuter devant la Société une très jolie expérience qui prouve péremptoirement la formation de tourbillons ascendants dans les liquides.

M. D. Colladon nous a également parlé d'un coup de foudre d'un volume extraordinaire ressenti le 7 avril dernier, entre 7 et 9 heures du soir, au village de Schoren près Langenthal, canton de Berne.

A ce propos, il a insisté tout particulièrement sur le danger des conducteurs insuffisants, montrant les restes d'un conducteur de paratonnerre foudroyé, il y a quelques années, sur la maison Rothschild, à Pregny, conducteur qui n'a pas pu fonctionner, parce qu'il était formé d'un fil de fer de 2 centimètres de diamètre qui avait été entièrement oxydé et qui, par là, a provoqué un assez grave accident suivi de dégâts importants. Il recommande de remplacer les tiges en fer par de gros fils de cuivre que le commerce livre maintenant à des conditions très avantageuses, tirés à la filière, de grande longueur et sans aucune soudure.

M. *William Marcet* nous a décrit, à cette occasion, les effets d'un coup de foudre d'une grande violence qui a frappé un châtaignier dans sa propriété d'Yvoire, en Savoie, le 20 août 1881.

M. *Théodore Turrettini* vous a signalé d'intéressantes observations de

glissement faites sur un bloc d'*Euphotide* de 5 mètres cubes découvert en 1884 dans le lit du Rhône, à Genève. Entre l'été 1884 et l'hiver 1887, ce bloc s'est déplacé de 20 mètres environ, sans se renverser, en traçant un sillon dans la marne lacustre sur laquelle il reposait. Le glissement s'est opéré sur un lit presque horizontal, sous l'action d'un courant de 3 mètres par seconde au plus.

Le même a attiré l'attention de la Société sur un fait curieux qui s'est produit sur le seuil des vannes du bâtiment des turbines, en avant de celles qui étaient baissées et présentaient un écoulement d'eau par le bord supérieur. Il s'y est produit, en effet, un moulinet ou une sorte de trombe ascendante d'aspiration, comme celle dont M. Colladon a donné la preuve, qui ayant entraîné une pierre à portée du tourbillon, a fini par creuser dans le béton du seuil une véritable marmite de géant.

M. Th. Turrettini a démontré également l'influence des travaux du Rhône sur le niveau du lac Léman, pendant la période de 37 jours durant laquelle le barrage du bras droit du fleuve a été complètement enlevé, du 15 juillet au 20 août 1887.

Malgré une quantité de pluie exceptionnelle pour le moment de l'année, le lac a baissé de 42 centimètres, tandis que la période correspondante, pour les années les plus semblables au point de vue météorologique, a été généralement marquée par une hausse. Il y a donc là la preuve d'un important résultat acquis, au point de vue de l'abaissement des hautes eaux, et la réfutation de l'ancienne théorie qui admettait que le vrai seuil de la sortie du lac devait être au Banc du Travers.

M. *Émile Gautier* vous a décrit le nouveau thermomètre enregistreur de Richard, et signalé, d'après les *Astronomischen Nachrichten*, de très curieuses observations relatives à la perception des tremblements de terre d'une extrémité de notre globe à l'autre, à l'aide des niveaux.

Le même collègue a indiqué aussi les modifications que les dernières années d'observations apportent aux moyennes des constantes météorologiques de Genève.

M. *Paul Chaix* nous a entretenus successivement des envahissements

de la mer sur les côtes de la Frise; des recherches de M. Hanower sur les sources finales du Mississippi; des expéditions entreprises par différents voyageurs dans la plaine arctique, et du travail de M. Jervis sur les tremblements de terre.

M. *Kammermann* a communiqué les résultats d'une étude comparative qu'il a faite récemment sur la valeur que prend, en 21 stations situées à des latitudes très variables et à des altitudes variant de quelques mètres à la hauteur du Pic du Midi, la différence de la température minimum de la nuit et de celle du thermomètre à boule mouillée, à une heure quelconque de l'après-midi. Cette différence diminue probablement un peu avec l'accroissement en hauteur des stations et l'augmentation de la latitude, mais en pratique elle paraît être constante pour toute la surface de la terre.

Il a décrit ensuite une plume combinée par lui et appliquée avec grand succès à un baromètre enregistreur de Rédier donné récemment à l'Observatoire par M. Plantamour.

M. *Kammermann* a signalé également trois phénomènes météorologiques dont il a été témoin. Le premier, observé le 29 octobre dernier, consistait dans l'apparition d'un faux disque lunaire entouré d'une couronne de 5° de diamètre dont l'intérieur était de couleur orangée. Le second était un tourbillon ascendant observé le 13 mars dernier, à 11 h. du matin, au Rond-Point de Rive; le troisième une formation curieuse de nuages contre le mont Salève.

M. *Louis Soret* nous a fait part de curieuses manifestations de courants magnétiques perçues dans plusieurs stations télégraphiques, lors du tremblement de terre du Midi, et a fait à ce propos le rapprochement des moments où la principale secousse a été ressentie en différentes stations. Il semble que l'heure à laquelle celle-ci s'est manifestée à Genève (5 h. 42-43 m. temps moyen de Paris) coïncide bien avec la principale secousse éprouvée dans le Midi. Plus au nord, il y aurait eu un léger retard.

M. *Lucien de la Rive* a rendu compte d'une visite qu'il a faite récem-

ment au père Denza, à Moncalieri. Il a décrit les appareils sismiques en usage dans cet observatoire et exposé les vues du savant astronome sur le tremblement de terre du 23 février, dont celui-ci a fait une étude spéciale et très complète.

M. *Philippe Plantamour* nous a donné quelques renseignements intéressants sur la température exceptionnellement basse du mois d'octobre dernier, ainsi que sur le niveau extraordinairement bas du lac Léman durant le même mois.

Il nous a présenté aussi une notice sur la neuvième année de ses observations des mouvements du sol accusés par des niveaux à bulle d'air.

M. *Ernest Favre* a annoncé à la Société que la carte géologique de la Suisse est maintenant complète; les quatre feuilles d'angles, qui étaient les dernières, sont maintenant parues. Il a présenté à ce sujet la livraison XXII des *Matériaux pour la carte géologique de la Suisse*, qu'il vient de publier avec M. Hans Schardt. Cette livraison, avec 600 pages de texte et un atlas de 18 planches, renferme la description géologique des Préalpes du canton de Vaud et du Chablais jusqu'à la Dranse et celle de la chaîne des dents du Midi, c'est-à-dire de toute la partie ouest de la feuille XVII. M. Favre a décrit en même temps les principales particularités géologiques de cette région.

Physique et Chimie.

M. *Henri Dufour*, de Lausanne, vous a exposé les résultats obtenus par lui, en cherchant l'action qu'exerce un aimant sur un liquide coulant entre ses deux pôles, lorsque ce liquide a une forte tension superficielle, tout en étant très diamagnétique, comme c'est le cas du mercure. L'expérience indique un accroissement de vitesse dans l'écoulement sous l'action de l'aimant.

M. *Louis Soret*, revenant de Berlin, a donné quelques détails sur les installations de M. Siemens pour la fabrication d'appareils destinés

à l'éclairage électrique, et décrit en particulier le compteur de Siemens pour l'électricité.

Dans une autre séance, le même a rendu compte des expériences qu'il a faites sur l'absorption des rayons ultra-violetts par quelques-uns des corps formant les premiers termes de la série aromatique : sur la benzine, le phénol, la pyrocatechine, la résorcine et l'hydroquinone ; tous lui ont donné un spectre d'absorption analogue au spectre de l'albumine étudié précédemment par lui et qui se caractérise par une bande large très marquée.

M. L. Soret nous a encore communiqué ses observations sur la polarisation de la lumière du ciel, adoptant, pour l'explication de ce phénomène, la théorie de M. Tyndall qui repose sur la réflexion par les particules poussières et vapeurs en suspension dans l'air. Il a insisté surtout, comme sur un fait plus particulièrement nouveau, sur la polarisation que présente, non seulement la portion de l'atmosphère éclairée directement par le soleil, mais aussi les portions de cette atmosphère qui se trouvent à l'ombre des montagnes et ne sont éclairées qu'indirectement. Il a présenté ensuite un essai de théorie mathématique de ce phénomène, et traité de la polarisation des vapeurs vésiculaires, très différente, par le fait des plus grandes dimensions de leurs éléments, de celle des fumées composées de particules beaucoup plus ténues.

Il a rappelé brièvement, à ce propos, ses précédentes observations sur la mer de nuages au Salève.

M. *Albert Rilliet* a signalé en quelques mots les principaux résultats des recherches de la Commission chargée d'étudier la transparence des eaux du lac Léman, et annoncé que ceux-ci vont paraître prochainement dans la 2^{me} partie du tome XXIX des *Mémoires* de notre Société.

Le même a rendu compte d'un travail de M. Thore sur la rotation d'un cylindre d'ivoire suspendu à un fil de cocon, sous l'action d'une source de chaleur voisine.

M. *Eilhard Wiedemann*, de l'université d'Erlangen, a exposé à notre Société ses vues sur la fluorescence et la phosphorescence, en général

sur la production de lumière sans élévation de température, pour laquelle il propose le terme de *luminescence*.

Il a recherché comment varie la luminescence d'une substance donnée, examinée à différents degrés de fluidité ou de solidité, ainsi qu'on l'obtient en dissolvant celle-ci dans de la gélatine prise à différents degrés de dessiccation. Il a trouvé que plus le mélange est solide plus la fluorescence subsiste. Il a reconnu aussi que la fluorescence varie beaucoup avec le degré de concentration de la substance fluorescente dans son dissolvant, diminuant notablement à partir d'un certain degré, lorsque la concentration augmente, comme si alors les mouvements des molécules et leurs entrechoquements étaient plus gênés par la plus grande concentration. La nature du dissolvant agirait aussi fortement, la fluorescence étant plus intense dans un corps visqueux que dans un corps plus fluide; ainsi pour l'éosine, par exemple, elle serait beaucoup moins forte avec une dissolution aqueuse qu'avec une dissolution dans de l'huile.

M. *Édouard Sarasin* vous a décrit le nouvel appareil que M. *Fol* et lui ont fait construire pour l'étude de la pénétration de la lumière du jour dans les profondeurs des lacs et de la mer. Le progrès essentiel que cet appareil présente sur ceux qu'ils avaient employés précédemment consiste en ce qu'il est actionné par un mouvement d'horlogerie et indépendant du fond.

M. *Amé Pictet* a présenté le résumé d'un travail sur la constitution des Alcaloïdes et leur synthèse.

Botanique.

M. *Alphonse de Candolle* a exposé les principaux points d'un travail qu'il a fait sur l'origine de quelques plantes cultivées et sur les causes probables de l'extinction des espèces.

Il a montré à ce propos une courge qui présente un certain intérêt au point de vue de l'origine géographique des espèces cultivées du genre

Cucurbite: Cette courge, qui est bien la *Cucurbita maxima*, a été trouvée par un voyageur, au Nepaul, à l'état spontané.

M. de Candolle a présenté également quelques considérations sur la contemporanéité des faunes paléontologiques de différentes parties du globe, et rendu compte du travail de M. Mattei sur les tubercules qui naissent sur les racines des jeunes fèves.

M. Jaques Brun nous a fourni quelques données sur la microscopie technique appliquée à l'histoire naturelle, en particulier aux vases sous-lacustres et marines et aux dépôts fossiles. Dans les vases marines, on ne trouverait guère que des espèces mortes et même momifiées, noyées dans une sorte de magma de substances siliceuses ou argileuses, parfois même goudroneuses et chitineuses, desquelles il est très difficile de les extraire. M. Brun a indiqué la meilleure manière de dissoudre ce magma et donné la description du procédé auquel il est arrivé pour le triage des espèces, en vue de préparations types, telles que celles de Thum.

A l'appui de sa communication, M. Brun a montré à la Société une collection de belles préparations exposées sous une série de microscopes.

M. Foex, de la Galliarde à Montpellier, nous a fait une communication sur les dernières observations relatives à deux maladies de la vigne, le *Blackrot* et le *Pourridié*. Ses recherches ont été déjà publiées dans les *Annales de l'École d'agriculture de Montpellier* dont M. Foex dépose les deux premiers volumes sur le bureau.

M. Casimir de Candolle a signalé la découverte récente de M. Sachs relativement à l'action très marquée que les rayons ultra-violetés exercent sur les plantes, et ajouté quelques remarques à ce sujet.

M. Jean Müller a présenté, pour être inséré dans les *Mémoires* de la Société, une revision monographique des anciennes *Graphidées* exotiques d'Acharius, Fries, Lenker et Fée. Ayant eu le privilège de retravailler ces *Graphidées* sur les originaux même de ces quatre auteurs, il a fait l'anatomie de toutes ces plantes et repris leur classification suivant les principes nouveaux. Un tableau synoptique des tribus et des genres complète ce travail et expose les caractères de ces groupes; un index final donne la synonymie des noms anciens et actuels.

M. Müller nous a exposé aussi le contenu d'une lettre qu'il a reçue du Dr Schinz, de Zurich, arrivant d'Angra-Pequena. Sur 8 espèces de lichens qu'il a rapportées de cette localité, 5 sont nouvelles. C'est une proportion considérable qui peut faire pressentir toutes les nouveautés que présentera cette flore.

M. *Maurice Schiff* montre à la Société une très belle photographie de Diatomée obtenue par M. Jaccard, à Lausanne.

Zoologie.

M. *Victor Fatio* vous a dit quelques mots d'une maladie exceptionnelle du brochet, qui a frappé simultanément ce poisson dans les lacs de Thoune et Léman, au printemps de 1886 et jusque bien avant dans l'été. Cette maladie a dû résulter de circonstances atmosphériques contraires, qui ont entravé la ponte d'un grand nombre de femelles.

Le même a signalé deux cas pathologiques curieux chez les oiseaux, qu'il a eu l'occasion d'étudier il y a déjà plusieurs années. Le premier est une perforation de l'oviducte chez les poules, résultant de la non expulsion d'un œuf, à coquille trop molle, et de l'arrêt des œufs suivants, qui restent écrasés et empilés les uns sur les autres dans la cavité viscérale de l'animal, au nombre quelquefois de 25 à 30, et amènent la mort du sujet, si l'on ne fait pas l'extraction artificielle du premier œuf arrêté.

Le second cas rappelle ce qu'on a nommé souvent l'épilepsie des oiseaux de cage. M. Fatio croit que ces crises nerveuses, suivies généralement de mort, peuvent être quelquefois attribuées à un empoisonnement du cœur par le poison de batraciens qui auraient mouillé de leur sécrétion cutanée le sable introduit dans la cage de l'oiseau. Il a fait diverses expériences sur de petits passereaux, et étudié les effets comparés de ce venin, suivant qu'on l'introduit directement dans la circulation par inoculation ou dans l'estomac par ingestion. Le second mode d'introduction a toujours amené la mort plus vite que le premier.

M. V. Fatio a parlé aussi d'un relevé qu'il a fait des oiseaux qui, en décembre et en janvier, hivernent dans l'enceinte de la ville de Genève. Il compte 65 espèces venant chercher alors leur subsistance dans les rues, les promenades et le port de notre cité.

Dans une autre séance, le même a encore entretenu la Société d'une particularité que présente, après l'époque du frai, un petit poisson du genre *Corégone*, connu sous le nom de *Bondelle* dans les lacs de Neuchâtel et de Bienné. Beaucoup d'individus ont alors les rayons de la nageoire caudale rognés jusqu'à la moitié de leur longueur environ. Le fait que l'on ne trouve rien de pareil en dehors du temps qui suit immédiatement celui des amours, peut faire supposer que les sujets ainsi émargés périssent assez vite après avoir contribué à la reproduction de leur espèce.

M. Aloïs Humbert nous a rendu compte des observations qu'il a poursuivies avec soin depuis plusieurs années sur un Myriapode de notre pays, le *Strongylosoma pallipes*. Notre regretté collègue a surtout insisté sur les caractères sexuels secondaires, la structure des organes copulateurs et le mécanisme de la fécondation.

M. Henri de Saussure a donné l'analyse d'un travail qu'il a fait sur les *Criquets* et qu'il destine aux *Mémoires* de notre Société.

Physiologie et Médecine.

M. Alexandre Herzen, notre honoraire à Lausanne, nous a fait une communication intéressante sur la fatigue des nerfs. Contrairement aux idées de Wedenski et de Bowditch, il démontre que le tronc nerveux n'est pas un *perpetuum mobile* physiologique, qu'il ne constitue pas une exception à la loi biologique générale et que, de même que tout autre tissu vivant, il se fatigue en agissant et s'épuise par un travail excessif, plus vite même que son appareil périphérique.

M. M. Schiff, après la communication de M. Herzen, a exposé à son tour ses vues sur la question qu'il a également étudiée. D'après ses

recherches, une irritation tétanisante non destructive laisse persister pendant très longtemps l'activité et la transmission dans le nerf; cependant elle produit des changements qui modifient les fonctions physiologiques de celui-ci, en transformant le nerf moteur en nerf d'arrêt.

M. *Jean-Louis Prevost* a exposé des recherches expérimentales sur l'action physiologique du *Cytisus laburnum*, qu'il a faites en collaboration avec M. *Paul Binet*, et desquelles il ressort que le cytise peut être considéré comme un bon vomitif à action centrale, agissant rapidement et mieux par injection hypodermique que par ingestion stomacale.

A l'action vomitive se joindrait, à haute dose, une action paralyso-motrice analogue, si ce n'est identique, à celle que produit le curare.

M. *C. de Candolle* a fait remarquer à ce sujet que le *Cytisus* des anciens, dont on nourrissait les bestiaux, n'était pas le *Cytisus laburnum*, mais bien une légumineuse tout à fait inoffensive du nom de *Medicago arborea*.

M. *William Marce*t vous a présenté et décrit un nouvel appareil qu'il a inventé pour le dosage volumétrique de l'acide carbonique. Il a remplacé les deux gazomètres de son ancien appareil par un système de doubles pompes analogue aux pompes pneumatiques, et l'air à analyser doit passer de l'un de ces corps de pompe dans l'autre à travers des tubes à absorption. L'absorption de l'acide carbonique abaisse alors la pression indiquée à un manomètre, et la quantité d'air qu'il faut faire rentrer ensuite pour rétablir cette pression, donne la mesure de l'acide carbonique qui était contenu dans l'air à analyser.

M. *Maurice Schiff* a communiqué à la Société les observations qu'il a faites sur des chiens, chez lesquels il avait produit depuis un temps assez long la paralysie de la cinquième paire de nerfs cérébraux. Il a cherché plus particulièrement l'influence de ces nerfs sur la nutrition de la face et des dents, et prouvé par ses expériences que le nerf trijumeau contient des fibres spéciales agissant sur la nutrition des tissus; que la paralysie de ces fibres doit être la cause de l'atrophie unilatérale de la face chez l'homme.

Après cette revue rapide des communications qui ont rempli nos séances, je n'ai plus, Messieurs, qu'à vous parler en quelques mots des hommes éminents que nous avons perdus dans le courant de l'année 1887; en remerciant ici : soit notre collègue M. Auguste Wartmann, soit notre honoraire M. Louis Rütymeyer, de Bâle, des notes biographiques et nombreux documents qu'ils ont bien voulu me fournir, le premier sur A. Perrot, le second sur B. Studer.

ADOLPHE PERROT

Adolphe Perrot est né en 1833 à Neuchâtel et mort à Genève le 2 mars 1887. Son père, Louis Perrot de Pourtalès, fixé à Genève, faisait déjà partie de la Société de physique et d'histoire naturelle, où ses travaux d'observation furent appréciés par les naturalistes les plus distingués.

Après avoir terminé ses premières études à Genève, Ad. Perrot partit pour Paris à l'âge de 19 ans et entra d'abord à l'École Centrale. Au bout de quelques mois, il quittait cette école pour chercher une voie qui satisfît davantage ses goûts pour les sciences physiques. Il fut présenté à M. Würtz en 1853, et il entra le lendemain de sa présentation dans le laboratoire de cet homme éminent.

Würtz lui témoigna dès la première année une bienveillance et une affection qui ne se refroidirent jamais. Ce fut dans ce laboratoire, où il resta jusqu'en 1863, que Perrot étudia à fond la chimie et fit quelques travaux intéressants.

La physique aussi l'attirait d'une façon toute spéciale, et quand, après avoir passé sa licence en 1855, il se proposa de prendre le grade de docteur, il choisit pour son travail de thèse un sujet qui rentrait dans le domaine de la physique. Il avait entrepris durant les années 1857 à 1860 une série de recherches sur l'étincelle d'induction de l'appareil Ruhmkorff, qui furent l'objet de communications à l'Académie des sciences et qui excitèrent l'intérêt de plusieurs des premiers savants de

Paris, tels que de Senarmont, Deville, Dumas, Jamin. Il étudia d'abord l'action chimique de l'étincelle, particulièrement sur la vapeur d'eau. Les observations qu'il put faire au cours de ce travail le conduisirent à envisager l'étincelle de la bobine de Ruhmkorff comme composée de deux décharges superposées, l'une d'électricité statique, l'autre d'électricité dynamique.

Perrot s'appliqua, dans un second travail, à mettre clairement en évidence le caractère complexe de l'étincelle, qui avait déjà été entrevu par d'autres savants. L'existence du trait de feu et de l'auréole avait été signalée, mais il appartient à Perrot de séparer clairement les deux espèces de décharges et d'étudier les caractères des deux parties de l'étincelle d'induction. Après avoir recueilli un grand nombre de faits en quelques années, Perrot publia en 1861 une thèse intitulée : *Recherches sur l'étincelle d'induction de l'appareil de Ruhmkorff*. Ce travail parut dans les *Annales de physique et de chimie*, tome LXI, et valut à son auteur le grade de docteur. Ce titre lui fut conféré à Paris, le 16 janvier 1861. Il avait alors 28 ans. Quelques mois auparavant, il avait accepté la place de préparateur du cours de chimie donné par Würtz à l'École de médecine. Il conserva cette place jusqu'à son retour définitif à Genève, en 1863, année dans laquelle il fut reçu membre de la Société de physique et d'histoire naturelle.

Les années 1865 et 1866 furent employées par Perrot à l'examen de la question du chauffage par le gaz, en vue de la construction d'appareils de laboratoire. Satisfait des résultats qu'il obtenait dans son laboratoire particulier, il chercha à rendre les appareils aussi pratiques que possible pour l'industrie, et, en 1866, il inventa le four à fusion qui porte son nom.

En entrant ainsi dans la voie des recherches industrielles, Perrot semble avoir abandonné un avenir scientifique qui promettait d'être brillant, pour consacrer ses talents à soutenir notre industrie nationale. Les nombreux témoignages de reconnaissance que l'inventeur des fourneaux à fondre, à tremper et à émailler, reçut des industriels, et les

récompenses qui lui furent décernées par la Société des Arts montrent à quel point sa découverte était la bienvenue.

Dans la suite, Perrot put voir son invention prendre de l'extension non seulement dans la fabrique, mais encore dans les laboratoires, de de telle sorte qu'un appareil de chauffage, destiné tout d'abord à l'industrie, fut appelé à rendre de grands services à la science pure. Ce sont, en effet actuellement, les fours de Perrot qui, grâce à la facilité de leur réglage et à leur propreté, permettent de faire dans les meilleures conditions un grand nombre d'expériences à de hautes températures. Nous citerons, comme exemple d'applications de ces appareils en chimie, la reproduction de minéraux par voie de fusion; et en physique, certaines recherches calorimétriques dans lesquelles les fourneaux Perrot sont très commodes et présentent plus de garanties que tout autres.

Toujours dans le même ordre d'idées, c'est-à-dire dans les questions où les connaissances du savant viennent prêter leur appui aux procédés de l'industriel, Perrot entreprit de nombreux essais de céramique et perfectionna cet art, soit sous le rapport des couleurs, soit sous celui de la cuisson des poteries au grand feu.

Perrot était, à sa mort, président de la Société genevoise pour la construction d'instruments de physique. Il avait été président de la Classe d'industrie de la Société des arts et membre de la Classe d'agriculture de la même Société. Il faisait partie aussi de la Société helvétique des sciences naturelles dès 1862, de la Société d'éclairage par le gaz, de l'ancienne Société des Eaux du Rhône et du Conseil d'administration de la manufacture de poteries fines de Nyon. Il avait été reçu membre de la Société chimique de Paris en 1858, de la Société Linéenne de Lyon, en 1862, et il était membre fondateur de l'Association française pour l'avancement des sciences. Enfin diverses récompenses lui avaient été décernées pour ses fours à gaz : en 1867, une médaille de bronze à l'Exposition universelle de Paris, en 1868, la médaille d'argent de 1^{re} classe de la Classe d'industrie de Genève, et, en 1870, la médaille d'or du prix de la Rive.

Tous ceux qui ont été en rapport avec Perrot ont pu apprécier son caractère désintéressé et la bienveillance avec laquelle il accueillait ceux qui venaient le consulter. — Ce qui le distingua toujours, et ce qui lui acquit la confiance de tous ceux qui s'adressaient à lui, ce fut la sûreté de son coup d'œil et la vérité de ses opinions, lorsqu'il s'agissait de juger de l'importance ou du bien fondé d'une découverte.

Indépendamment de ses occupations scientifiques, Adolphe Perrot-Turrettini consacra une grande partie de son temps et de ses forces à des œuvres religieuses. Pendant son long séjour à Paris, il fut membre actif de l'Union chrétienne des jeunes gens, et, plus tard, à Genève, il s'occupa de l'Église évangélique et surtout de la Société évangélique dont il fut deux fois le président.

Liste des publications d'Adolphe Perrot.

1. Note concernant l'action de la chaleur sur le chlorure de méthyle. 1857. (*Annales de chimie et de phys.*, troisième série, T. XLIX, p. 94).
2. Note sur les principes les moins volatils contenus dans l'huile de betteraves. 1857. (*Comptes rendus de l'Académie des sciences*, T. XLV, p. 309).
3. Note relative à l'action de l'étincelle électrique sur la vapeur d'eau et sur la vapeur d'alcool. 1858. (*Ibid.* T. XLVI, p. 180).
4. Note sur un composé isomère du bromure de propylène bromé. 1858. (*Ibid.* T. XLVII, p. 350).
5. Note sur la nature de la décomposition qui accompagne le passage de l'étincelle électrique dans la vapeur d'eau. 1858. (*Ibid.* T. XLVII, p. 351).
6. Note sur l'emploi du cuivre réduit dans la combustion des substances azotées et dans les dosages de l'azote. 1859. (*Ibid.* T. XLVIII, p. 53).
7. Note sur l'influence des électrodes dans les voltamètres à sulfate de cuivre. (*Ibid.* T. XLIX, p. 37).
8. Note sur la non-homogénéité de l'étincelle d'induction. 1859. (*Ibid.* T. XLIX, p. 173).
9. Note sur la nature de l'action chimique de l'étincelle d'induction. 1859. (*Ibid.* T. XLIX, p. 204).
10. Réponse à une réclamation de priorité adressée par M. du Moncel. — Faits nouveaux relatifs à la non-homogénéité de l'étincelle d'induction. 1859. (*Ibid.* T. XLIX, p. 355).
11. Note sur l'étincelle d'induction. 1860. (*Ibid.* T. L, p. 497).
12. Sur l'étincelle d'induction, avec planche. 1860. (*Archives des sciences physiques et naturelles*, nouvelle période, T. VII, p. 331).
13. Thèses présentées à la Faculté des sciences de Paris pour obtenir le grade de docteur; janvier 1861 : a) Recherches sur l'action chimique de l'étincelle d'induction de l'appareil Ruhmkorff, avec planche; b) Sur la nature de l'étincelle d'induction de l'appareil Ruhmkorff, avec planches. 1861. (*Annales de chimie et de physique*, troisième série, T. LXI, p. 161 et 200).
14. Sur un appareil de fusion et de chauffage par le gaz. 1867. (*Bulletin de la Société chimique*, deuxième série, T. VII, p. 332).

ALOIS HUMBERT

Notre regretté collègue Aloïs Humbert, né à Genève le 22 septembre 1829, est mort le 14 mai 1887. C'est dire qu'il a été trop tôt enlevé à la science et à ses nombreux amis, dans la plénitude d'une carrière utile et laborieuse. Il avait hérité de son père, notaire jouissant d'une grande considération dans notre ville, une largeur de vues et d'esprit qui ne contribua pas peu à son rapide développement intellectuel.

Très jeune encore, à l'Académie, sous l'admirable direction de Pictet-de la Rive, il montra le goût le plus vif pour les sciences naturelles. Son illustre professeur sut lui inspirer dès l'abord le désir ardent de scruter profondément les questions les plus compliquées et de ne point se contenter d'une connaissance superficielle, d'une demi-vérité. Cette précieuse influence première se fit toujours sentir dans la vie et les travaux de celui dont nous déplorons aujourd'hui la perte prématurée. De l'Académie de Genève, Humbert passa à celle de Montpellier où, pendant un an, il fut également très apprécié de ses professeurs, qui écrivaient à son père qu'il était certainement destiné à faire honneur à son pays. Il fit, à cette époque, la connaissance de Planchon et de Figuier, avec lesquels il resta toujours en relation.

A son retour à Genève, après un court séjour aux îles Majorques, en 1852, il fut attaché à la direction du Musée d'histoire naturelle et commença à se faire connaître, dès 1853, par une première publication sur la *Structure des organes générateurs chez quelques espèces du genre Pecten*.

Peu après, il fut appelé à collaborer aux travaux de Pictet-de la Rive et publia avec celui-ci quelques importants mémoires, parmi lesquels nous citerons : d'abord, en 1856, une *Monographie des Chéloniens de la molasse suisse*, riche en espèces nouvelles des molasses, calcaires d'eau douce et lignites des terrains tertiaires moyens et supérieurs. Puis, en 1857 et 1858, la *Description d'une Émyde nouvelle (Emys Etallon) du terrain jurassique supérieur des environs de Saint-Claude et*

une *Note sur un nouvel exemplaire de l'Emys Laharpi, découvert par M. de la Harpe dans les lignites des environs de Lausanne.*

Estimant de plus en plus les aptitudes de son collaborateur, Pictet le chargea bientôt d'une mission scientifique, à Ceylan d'abord, puis au Liban. Il s'agissait de compléter sur divers points les collections du Musée.

Un séjour de deux ans à Ceylan offrait à Humbert un champ d'étude entièrement nouveau et lui ouvrait des horizons autrement vastes que notre petit pays. Il en profita avec ardeur, et durant le reste de son existence, il ne pouvait se reporter sans enthousiasme à cette époque si importante de sa vie. Sans parler des nombreux spécimens qu'il collectionna pour le Musée, il rapporta de son voyage des observations variées qui, dans la suite et jusqu'à ses dernières années, lui fournirent matière à plusieurs intéressants travaux dont nous dirons deux mots chemin faisant, en renvoyant pour les dates et les citations plus complètes à la liste des publications scientifiques d'Humbert que nous donnons plus bas.

Cette première expédition lointaine contribua, comme les quelques voyages qu'il fut appelé à faire plus tard, à développer chez lui le goût de la géographie, et tout particulièrement de l'étude de la distribution des êtres sur la surface du globe.

Bien qu'il eût rapporté de Ceylan une prédilection spéciale pour les Myriapodes, dont il n'abandonna jamais l'étude durant sa vie entière, la largeur de ses vues le portait cependant à observer simultanément les animaux de classes très différentes, aussi bien dans les vertébrés que dans les invertébrés.

C'est ainsi qu'il décrivait, en 1862, sous le nom de *Tennentia*, un nouveau genre de mollusque pulmoné terrestre de Ceylan; puis, la même année, dans le volume XVI de la Société de physique et d'histoire naturelle de Genève, en collaboration avec Édouard Claparède, la *Description de quelques espèces nouvelles de Planaires terrestres de Ceylan*. Un an plus tard et dans le même recueil, il publiait encore des *Études sur quelques Mollusques terrestres nouveaux ou peu connus*, créant alors le genre *Tribo-*

niophorus et décrivant deux *Vaginula* nouvelles de Ceylan. En 1866, il donnait, dans le Bulletin de la Société ornithologique suisse, une charmante note sur la nidification de l'*Orthotomus longicauda* qu'il avait observée durant son séjour à Ceylan. La figure coloriée qui accompagne le mémoire montre bien comment le petit oiseau s'y prend pour coudre en cornet la feuille qui doit servir de berceau à sa famille. Deux ans après, il décrivait et figurait, dans : Revue et Magasin de zoologie, un nouveau représentant mexicain du groupe des Thysanoures, dans la famille des *Campodeæ*, qu'il nommait *Japyx Saussurii*. Une variété du *Nyphargus puteanus*, qu'il désignait sous le nom de *var. Forelli*, faisait encore, en 1876, le sujet d'un travail intéressant dans le Bulletin de la Société vaudoise des sciences naturelles, vol. XIV.

Après Ceylan, Humbert avait, avons-nous dit, visité aussi la Syrie et le Liban, et rassemblé d'importantes collections, tout particulièrement de poissons fossiles.

Dès son retour, il s'occupa à classer ses abondants matériaux et travailla, conjointement avec Pictet-de la Rive, à un remarquable ouvrage qui parut à Genève en 1862, sous le titre de *Nouvelles recherches sur les poissons fossiles du mont Liban*. Avec de précieux documents géologiques relatifs à l'âge des deux faunes ichtyologiques du Liban, Humbert avait rapporté les restes, généralement bien conservés, de vingt espèces nouvelles de quatorze familles, principalement dans la sous-classe des Téléostiens. Il y avait là de quoi corriger et compléter largement toutes les données antérieures sur les gisements de Syrie signalés, dès 1248, par le sire de Joinville dans son Histoire de saint Louis; aussi les études de Humbert et de Pictet permirent-elles de bien définir les conditions de cette faune intéressante. Les poissons du Liban, en général, présentent beaucoup de rapports avec ceux des faunes suivantes, tandis qu'ils n'en offrent presque aucun avec ceux des précédentes. Le commencement de l'époque crétacée a été pour cette classe un temps de renouvellement de formes. On y voit clairement la disparition des Ganoïdes et leur remplacement par les Téléostiens.

Quelques années plus tard, en 1869, il publiait, de nouveau avec Pictet, un grand travail sur *les Animaux vertébrés trouvés dans le terrain sidérolithique du canton de Vaud et appartenant à la faune éocène*. C'est une faune complète du Mauremont, accompagnée de 15 planches, dans laquelle on trouve encore bon nombre d'espèces jusqu'alors inconnues dans plusieurs ordres, dans les Pachydermes surtout. L'année d'après, il livrait au public français une excellente traduction du *Traité de conchyliologie de Woodward*, ne comptant pas moins de 657 pages avec plusieurs planches.

Mais revenons aux Myriapodes, à l'étude de prédilection de notre savant collègue, aux recherches qui suscitèrent de sa part tant d'observations consciencieuses, non seulement sur les belles espèces de Ceylan, qui tout d'abord attirèrent son attention, mais encore sur celles, soit du musée de Vienne et de l'Amérique, soit de notre pays, particulièrement les Jules et les Glomeris, qui firent le sujet de nombreuses études anatomiques sur les transformations, tantôt de l'appareil buccal, tantôt des organes générateurs.

Le premier travail qu'Humbert publia sur le sujet, en 1865, dans le tome XVIII de la Société de physique et d'histoire naturelle de Genève, sous le titre : *Essai sur les Myriapodes de Ceylan*, est un ouvrage capital sur la matière. Après avoir démontré comment les descriptions trop brèves de ses prédécesseurs laissent souvent à désirer, il signale, comme tout particulièrement utile dans quelques genres, l'étude de certains caractères tirés surtout de la lèvre inférieure et des organes copulateurs, ainsi que des segments entre lesquels ils sortent.

Placé alors sur un terrain plus solide, il définit nettement les principales subdivisions des ordres *Chilopoda* et *Diplopoda*, et décrit 22 espèces entièrement nouvelles dans plusieurs groupes, principalement dans le genre *Polydesmus*. Chaque forme est exactement déterminée et représentée; du reste, tous ceux qui ont connu l'auteur savent combien son amour scrupuleux de la vérité et sa modestie le mettaient en garde contre la vaine gloriole d'imprimer son nom en tête d'une espèce dont

il eût pu douter. Cinq planches couvertes de figures originales et de détails anatomiques parfaitement dessinés complètent admirablement cet excellent travail.

Depuis lors, n'abandonnant jamais, au milieu de ses travaux divers, ses études préférées, il produisit successivement divers mémoires sur les Myriapodes dans différentes familles. En 1869, il publiait, avec M. Henri de Saussure, la *Description de divers Myriapodes du Musée de Vienne*, comme première série comprenant la famille des Polydesmides. Encore en 1869 et en 1870, les mêmes donnaient, dans *Revue et Magasin de zoologie*, deux travaux successifs encore pleins de nouveautés spécifiques, intitulés : *Myriapoda nova americana*. En 1872, sous le titre : *Études sur les Myriapodes*, ils apportaient de nouveau un riche contingent d'observations intéressantes aux : publications sur la Mission scientifique au Mexique et dans l'Amérique centrale. De tous côtés, on s'adressait volontiers à lui pour la détermination des représentants indigènes ou exotiques de la classe à laquelle il avait attaché son nom avec tant d'amour et de talent.

En même temps, observateur minutieux, bon microscopiste et excellent dessinateur, Humbert avait peu à peu accumulé un grand nombre de notes et de dessins originaux, dont beaucoup n'ont malheureusement pas eu le temps d'être coordonnés pour la publication. Quand on a vu dans ses portefeuilles les abondants travaux qu'il laisse inachevés ou inédits, on ne sait trop ce qu'il faut le plus admirer de la persévérance du naturaliste qui a rassemblé tant de trésors, ou de la profonde modestie de l'homme qui ne croit jamais en savoir assez pour imposer son opinion. Il serait regrettable de voir perdre le précieux fruit de tant de labeurs consciencieux.

Avec quelle pénible émotion les membres de la Société de physique présents à la séance du 7 avril dernier n'ont-ils pas écouté cet excellent collègue, déjà si malade, venir leur exposer encore quelques-uns des résultats qu'il pouvait considérer comme acquis par ses recherches sur les caractères sexuels secondaires, la structure des organes copulateurs et

le mécanisme de la fécondation chez un Myriapode du pays, le *Strongylosoma pallipes*, de la famille des Polydesmides. Il montra comment, à certains égards, le jeune mâle ressemble beaucoup plus à la femelle qu'au mâle adulte; et, suivant les développements comparés de diverses parties des premiers segments dans les deux sexes, il expliqua clairement le mécanisme de la fécondation jusqu'ici imparfaitement connu ou chez quelques espèces seulement. Cette dernière communication d'Humbert, recueillie dans le numéro du 15 avril 1887 des Archives des sciences physiques et naturelles, n'est certes pas une des moins intéressantes parmi celles qu'il fit à diverses reprises à notre Société.

« Si j'avais un peu de temps devant moi, nous disait-il en sortant, je pourrais compléter ce travail et fournir encore bien des matériaux sur le sujet, mais c'est ma dernière séance; je sens bien que je ne reviendrai plus ici. »

En 1864, Humbert avait épousé M^{lle} Rochette, de Genève, une personne de mérite qui, pendant vingt-quatre années d'un heureux mariage, sut apprécier ses rares qualités, sa bonté inaltérable et la sûreté de jugement qui ne lui fit jamais défaut. Son caractère doux et facile et son amabilité firent toujours le bonheur, non seulement des siens, mais aussi de tous ceux qui eurent l'occasion de l'approcher.

C'était un ami sûr et dévoué, constamment prêt à se mettre au service des autres et à leur donner, en toute modestie, les plus judicieux conseils. Lisant beaucoup et bien, il mettait sans cesse les trésors de sa mémoire et de son érudition à la disposition de ceux qui venaient le consulter ou lui parler simplement de n'importe quel sujet.

En devenant plus sédentaire, Humbert ne manqua pas de chercher à se rendre utile de toutes manières.

La Commission du Musée d'histoire naturelle, aux réunions de laquelle il prit part tant que ses forces le lui permirent, eut longtemps en lui un secrétaire actif et dévoué. Et lors de la construction des bâtiments académiques aux Bastions, ainsi que de l'emménagement de nos bibliothèques et collections, sa bonne volonté à toute épreuve trouva

encore à s'exercer; il s'occupa avec une rare persévérance de l'arrangement et du catalogue de la bibliothèque publique et de celle du Musée. La classification de nos collections paléontologiques et zoologiques fut toujours une occupation à laquelle il consacra gratuitement une grande partie de son temps. Ce fut lui, en particulier, qui rapporta de Liverpool la collection Mely, comme ce fut lui aussi qui, bien que souffrant déjà de la maladie qui devait l'emporter, détermina et classa les Polypiers du Musée.

Plusieurs sociétés, scientifiques et autres, trouvèrent un ferme appui dans sa constante activité et son inépuisable complaisance. C'est ainsi qu'il entra, en 1855, dans la Société helvétique des sciences naturelles, dont il fut toujours un membre zélé, et qu'il fit, par la suite, partie de quelques-unes de nos Sociétés cantonales, de la Société vaudoise des sciences naturelles, entre autres, aux travaux de laquelle il contribua à diverses reprises. Il était membré aussi de la Société impériale et royale zoologique et botanique de Vienne, de la Société paléontologique suisse, de la Société ornithologique suisse, de la Société suisse d'entomologie, et d'autres.

En 1862, il était reçu de la Société de physique et d'histoire naturelle de Genève, dans le Comité de laquelle il remplit, pendant bien des années et jusqu'à sa mort, une des plus importantes fonctions; celle de secrétaire correspondant, qui n'était pas une sinécure, car il s'y joignait la direction des publications, la tenue des comptes de celles-ci et la coordination des nombreux ouvrages reçus en échange de divers côtés, ainsi que les correspondances y relatives.

Mais ce ne sont pas seulement les services rendus et les quelques communications originales qu'il fit à notre Société qui le faisaient estimer et apprécier. Il savait aussi ajouter souvent des remarques intéressantes aux rapports de ses collègues, et ne perdait pas une occasion de faire part à ceux-ci des nouveautés scientifiques qui avaient pu lui tomber sous les yeux.

Il collaborait également d'une manière fort active à la rédaction des

Archives des sciences physiques et naturelles, où l'on prisait à sa juste valeur l'étendue de ses connaissances. Il fournissait, soit des articles originaux, soit d'excellentes analyses ou des revues critiques qui toujours portaient le cachet de la compétence du rapporteur.

Les membres de la Société de géographie ont aussi pu apprécier les rares qualités de celui qui, mort leur vice-président, avait, pendant vingt ans, activement collaboré à leurs travaux. Ils se rappellent les captivantes communications qu'il leur faisait souvent sur ses propres observations ou sur celles de tel ou tel voyageur. Naturaliste et géographe à la fois, il savait mieux que personne tirer des conclusions utiles de diverses données, et faire, avec la sûreté de coup d'œil qui le caractérisait, des rapprochements instructifs.

Les volumes du *Globe*, organe de la Société de géographie de Genève, témoignent suffisamment de l'étendue des connaissances de notre collègue de ce côté. Tantôt, basé sur l'étude des êtres, végétaux et animaux des archipels compris entre l'Inde et l'Australie, il expliquait l'existence probable de vastes terres émergeant autrefois là où l'on ne voit plus aujourd'hui que des îles séparées, et montrait comment la seule étude comparée des faunes actuelles de plusieurs de celles-ci suffit à prouver qu'elles avaient dû être rattachées les unes à un continent, les autres à un autre. Java, Sumatra et Bornéo, avaient dû être reliées à l'Inde transgangétique, en Asie, et la Nouvelle-Guinée ainsi que les îles Arrow à l'Australie, tandis que Gilolo, les Célèbes et les Moluques avaient dû être tour à tour rattachées au premier de ces continents ou au second par des envahissements alternatifs de la mer. Tantôt il guidait sûrement ses auditeurs dans les régions les plus différentes des hémisphères boréal et austral, à la suite de Heer, de Whymper, de Green, de Wallace ou de Forbes. D'autrefois, c'étaient d'intéressants détails sur les différentes espèces de palmiers et leur culture à Ceylan, ou sur la formation des îles de corail ; ou encore sur les crustacés des lacs Wener et Wetter, sur les phoques du lac Baïkal ou sur les méduses du lac Tanganyka qui

révèlent une époque à laquelle ces bassins ont dû être en relation directe avec l'océan.

Il s'occupait également de toutes les questions d'émigration et de colonisation. Aucun sujet ne lui était étranger. Enfin, en janvier et mars dernier, il donnait encore à la Société de géographie quatre séances très goûtées sur la Nouvelle-Zélande et les îles australes.

Les découvertes opérées par les sondages dans les grandes profondeurs de l'océan l'intéressaient aussi au plus haut degré. Il donna à l'Aula, dans la grande salle de l'Université, entre le 5 janvier et le 8 février 1881, sept conférences publiques très suivies et à juste titre fort applaudies sur l'expédition du Challenger.

Le Comité de la Croix-Rouge ayant, en 1876, reçu du prince Nicolas de Monténégro la demande d'organiser dans la principauté une Société de secours pour les militaires blessés, il voulut bien se charger, avec deux collègues de son choix, de cette importante mission, dans un pays où les communications n'étaient point encore des plus faciles. Diplomate pour quelque temps, le naturaliste genevois s'acquitta de sa tâche à la satisfaction de tous et remporta de ce voyage, avec d'excellents souvenirs, des témoignages précieux de sincère reconnaissance.

Enfin, deux ans avant sa mort, il acceptait de faire partie de la Commission phylloxérique du canton de Genève, ne voulant pas, quoique déjà souffrant, refuser de mettre encore ses connaissances au service de sa patrie. Vivement impressionné par les menaces croissantes d'envahissement du côté de la France, et partageant jusqu'à un certain point l'espoir que fondaient quelques personnes sur les vignes du nouveau-monde, il présenta à la Commission un remarquable rapport dans lequel il faisait ressortir en même temps l'utilité de pépinières spéciales pour l'étude des plants américains, en vue de l'avenir, et la nécessité d'entourer celles-ci d'une surveillance aussi exacte et sévère que possible. Ses opinions contribuèrent à l'obtention de l'autorisation du Conseil fédéral pour la création des dites petites pépinières d'étude.

On s'étonne qu'un homme d'un tel savoir n'ait pas été appelé au

professorat pour lequel il paraissait si parfaitement qualifié; alors surtout qu'il avait à diverses reprises fait ses preuves en remplaçant dans leurs cours, soit Pictet lorsque ses fonctions politiques l'entraînaient à Berne, soit Claparède pendant ses séjours en Italie. Mais, c'est qu'Humbert n'était pas de ceux qui aiment à se mettre en avant et qu'il n'aspirait point à faire parler de lui. Les autorités, qui eussent pu peut-être faire violence à sa modestie, se bornèrent malheureusement à mettre souvent à contribution son obligeance et ses talents, aussi bien pour les examens scolaires du collège et du gymnase que pour ceux de l'Université.

Bien que de plus en plus affaibli par la maladie qui le minait, Humbert n'en continua pas moins à travailler jusqu'à ses derniers jours. Mieux que personne il connaissait son état et savait ce qui lui restait à vivre, et cependant jamais un moment de défaillance. Ceux qui ont eu le bonheur de le voir jusqu'à la fin ont pu admirer la lucidité persistante de son esprit, au milieu de ses souffrances, et la sérénité avec laquelle il parlait encore des sujets qu'il savait intéresser ses visiteurs.

S'il y en a qui ont produit plus que lui, à en juger seulement au nombre ou à l'extension des publications, il en est peu cependant qui aient eu une vie aussi utile et bien remplie.

Liste des publications scientifiques de Aloïs Humbert.

1. Note sur la structure des organes générateurs chez quelques espèces du genre *Pecten*. (*Annales des sciences naturelles*, 3^{me} série, zoologie, tome XX, Paris, 1853, p. 333-339).
2. Description d'un nouveau genre de Mollusque pulmoné terrestre de Ceylan (*Tennentia*). (*Revue et Magasin de Zoologie*, Paris, novembre 1862, p. 417-430, avec 1 pl.).
3. Études sur quelques Mollusques terrestres nouveaux ou peu connus. (*Parmarion*, Fischer, *Triboniophorus*, nov. gen., *Vaginula*, Fer.) (*Mémoires de la Société de physique et d'histoire naturelle de Genève*, tome XVII, 1^{re} partie, Genève, 1863, p. 110-128, avec 1 pl.).
4. Essai sur les Myriapodes de Ceylan. (*Mémoires de la Société de physique et d'histoire naturelle*, tome XVIII, 1^{re} partie, Genève, 1865, p. 4-62, avec 5 pl.).
5. Note sur la nidification de *l'Orthotomus longicauda*. (*Bulletin de la Société ornithologique suisse*, tome I, 2^{me} partie, Genève 1866, in-8°, p. 55-56, avec pl. col.).

6. Description d'une nouvelle espèce de *Japyx* (*J. Saussurii*), du Mexique. (*Revue et Magasin de zoologie*. Paris, septembre 1868, in-8°, p. 345-354, pl. 22).
7. Etudes sur les Myriapodes, I. Note sur l'accouplement et la ponte des *Glomeris*. (*Bulletin de la Société suisse d'entomologie*, vol. III. Schaffhausen, 1872, p. 530-544).
8. Le *Niphargus puteanus*, var. *Forelli*. (*Bulletin de la Société vaudoise des sciences naturelles*, vol. XIV (n° 76). Lausanne, 1876, in-8°, p. 278-364, pl. VI et VII).
9. Traduction du traité de conchyliologie de Woodward. Paris, 1870, in-8°, 657 p., avec pl.
10. Nombreux articles d'analyses dans les « *Archives des sciences physiques et naturelles*, » le « *Journal de zoologie* » de Gervais, le « *Bulletin de la Société ornithologique suisse*, » etc.
11. Observations sur le *Strongylosoma pallipes*. (*Archives des sciences physiques et naturelles*, in-8°. Genève, avril 1877, p. 360-364).
12. En collaboration avec Edouard Claparède : Description de quelques espèces nouvelles de Planaires terrestres de Ceylan, par A. H., suivie d'observations anatomiques sur le genre *Bipalium* par E. C. (*Mémoires de la Société de physique et d'histoire naturelle de Genève*, tome XVI, 2^{me} partie. Genève, 1862, p. 293-311, avec 1 pl. col.).
13. En collaboration avec F.-J. Pictet ; Monographie des Chéloniens de la mollasse suisse. Genève, 1856, in-4°, avec 22 pl. (*Matériaux pour la Paléontologie suisse*).
14. Monographie des Chéloniens de la mollasse suisse. Extrait par les auteurs. (*Bibliothèque universelle*, in-8°. Genève, avril 1856, p. 298-308).
15. Description d'une Emyde nouvelle (*Emys Etallonii*) du terrain jurassique supérieur des environs de Saint-Claude, 10 p., in-4°, 3 pl. Genève, 1857. (*Matériaux pour la Paléontologie suisse*).
16. Note sur un nouvel exemplaire de l'*Emys Laharpi* P. et H., découvert par M. de la Harpe dans les lignites des environs de Lausanne. (*Bulletin de la Société vaudoise des sciences naturelles*, tome VI (n° 43), Lausanne 1858, p. 39-42).
17. Nouvelles recherches sur les poissons fossiles du mont Liban, in-4°, avec 19 pl. Genève, 1866.
18. Nouvelles recherches sur les poissons fossiles du mont Liban. Extrait. (*Archives des sciences de la Bibliothèque universelle*, in-8°, Genève, juin 1866, p. 117-133).
19. Mémoire sur les animaux vertébrés trouvés dans le terrain sidérolithique du canton de Vaud et appartenant à la faune éocène, in-4°, avec 15 pl. Genève, 1869 (*Matériaux pour la Paléontologie suisse*).
20. En collaboration avec M. Henri de Saussure : Description de divers Myriapodes du musée de Vienne. Première série, comprenant la famille des Polydesmides. (*Verhandlungen der K. K. zoologisch-botanischen Gesellschaft in Wien*, 1869, p. 669-692).
21. Myriapoda nova americana (*Revue et Magasin de zoologie*. Paris, 1869, p. 149 et suiv. *Ibid.* 1870, p. 172 et 202).
22. Etudes sur les Myriapodes. Mission scientifique au Mexique et dans l'Amérique centrale. (*Zoologie*, 6^{me} partie, seconde section, 224 p., gr. in-4° et 6 pl. Paris, 1872).

BERNARD STUDER

Bernard Studer est né en 1794. Il appartenait à une ancienne famille bernoise qui, avec celles des Brunner, des Wyss et des Manuel, eut le mérite de maintenir à Berne, pendant la première moitié de ce siècle, les études scientifiques à la hauteur où elles se trouvaient dans d'autres villes d'égale importance.

Bien que voués généralement à la théologie, les membres de la famille Studer avaient tous, à des degrés divers, le goût des sciences naturelles. Chez Bernard, cette vocation se montra décisive et le détourna de la carrière théologique. Quoiqu'il ait passé ses examens dans cette branche, il ne monta jamais en chaire, tout en se considérant cependant comme membre du collège ecclésiastique bernois.

Après avoir subi ses examens, il se voua aussitôt à l'étude des mathématiques et des sciences naturelles, et se rendit dans ce but à l'étranger, où il étudia d'abord à Göttingen, puis à Freiberg, à Berlin et à Paris.

De retour à Berne, il devint en 1816 professeur de mathématiques et de physique à l'Académie, et en 1834 on lui confia la chaire de minéralogie à l'Université qui venait d'être fondée, ainsi que le poste de maître de mathématiques supérieures au Gymnase. Il ne tarda pas, également, à prendre part à la direction du musée d'histoire naturelle, devenu, grâce aux efforts du pasteur Sprünglin, du professeur Fr. Meisner et d'autres, passablement important pour cette époque.

Après quelques petits travaux préparatoires, parut, déjà en 1825, un des principaux ouvrages de Studer : sa *Monographie de la molasse (Monographie der Molasse)* qui traite avec supériorité un chapitre important de la géologie suisse, et qui mit d'emblée Studer au premier rang des géologues suisses de l'époque.

Deux manuels qu'il publia sur les branches dont l'enseignement lui était confié, témoignent également de la façon élevée dont il envisageait celui-ci, ce sont : le *Manuel de géographie mathématique (Lehrbuch der*

mathematischen Geographie), paru en 1836. et le *Manuel de géographie physique et de géologie (Lehrbuch der physikalischen Géographie und Geologie)*, publié de 1844 à 1847. Bien que fortement critiqué par Studer lui-même, ce dernier ouvrage n'a pas encore trouvé aujourd'hui son égal, pour la grandeur et la clarté du plan général, ainsi que pour la possession absolue du sujet et de la littérature y relative.

En 1859, il ajouta à ces manuels une petite *Introduction à l'étude de la physique (Einleitung in das Studium der Physik)*.

L'enseignement oral de Studer était à la hauteur de ses écrits. Ses élèves ont gardé un souvenir impérissable de ses cours. Vif, animé, spirituel, il savait avant tout inspirer à ses disciples une profonde estime de leur tâche, et partout où il trouvait des dispositions favorables, il savait les développer et leur donner de l'essor.

Cette impulsion salutaire se fit aussi sentir dans l'influence que Studer, comme directeur, exerça pendant de longues années sur l'école réale de la ville, qui compta longtemps parmi les meilleures de la Suisse.

En rendant au public ces excellents services, Studer estimait avoir rempli son devoir de citoyen; car, sauf erreur, il n'a jamais accepté d'autres obligations que celles mentionnées ci-dessus. Il se tint également à l'écart de la politique, malgré le rôle important qu'elle a toujours joué à Berne. C'eût été incompatible avec l'idée qu'il avait de la mission d'un représentant de la science.

Bien que doué d'un génie de premier ordre, il ne fut donc point ce qu'on peut appeler un homme populaire.

Décrire en peu de mots l'activité scientifique de Studer est tâche difficile, car cela implique une esquisse de toute l'histoire de la géologie suisse.

Studer était toujours en voyage, dès que son activité publique le lui permettait; et ses excursions, de quelques jours d'abord, prirent chaque année des proportions plus considérables. De Vienne à Marseille, il n'y a que peu de parties de la région alpine qu'il n'ait pas visitées en personne, quelquefois à plusieurs reprises et autant que possible en compa-

gnie de géologues de la contrée ou de collègues distingués. Il a également parcouru souvent d'autres pays ayant des rapports moins directs avec son domaine spécial, tels que l'Italie et l'Angleterre; et, à une époque où il n'y avait pas encore de chemins de fer, il y avait peu d'endroits intéressants pour la géologie ou la minéralogie que Studer n'ait pas visités.

Cela l'a naturellement mis en relation avec tous ses confrères; et la Suisse vit, de par le fait, s'éveiller et travailler avec lui toute la foule de géologues qui, pendant de longues années, firent des réunions de la Société suisse des sciences naturelles la grande attraction des savants étrangers. En première ligne, il faut citer le triumvirat de Bernard Studer, Arnold Escher et Pierre Mérian, qui jetèrent une lumière aussi considérable qu'inattendue sur la question de la structure des Alpes, plongée jusque-là dans l'obscurité et la confusion. De ces trois grands géologues, c'est Studer qui possédait certainement les connaissances les plus étendues et qui fournit les plus grands matériaux. Escher étudiait les détails dans des monographies spéciales et Mérian passait les résultats obtenus au crible de ses connaissances paléontologiques. Ajouter à ces noms, parmi les morts, ceux de Thurmann, Gressly, Pictet-de la Rive, Oswald Heer, Desor, et pour l'étude de la couche glaciaire des Alpes, si étroitement liée à celle de la région alpine, ceux de Charpentier et d'Agassiz, c'est désigner une période d'activité scientifique nationale telle que peu de pays peuvent en présenter, non seulement pour la géologie, mais encore dans plusieurs autres branches de la science.

Sans parler de petites communications et de comptes rendus de voyages que Studer continuait à publier régulièrement dans les revues géologiques d'Allemagne et de France, le premier des ouvrages importants qu'il publia, après la *Monographie de la molasse*, fut la *Géologie des Alpes occidentales de la Suisse* (*Geologie der westlichen Schweizer-Alpen*) parue en 1834.

Cet ouvrage a été la base de la majorité des travaux faits plus tard par Studer lui-même, par Arnold Escher et par leurs successeurs, dans le domaine des Alpes centrales et orientales. Et pourtant, en ce qui con-

cerne les détails, il a été plus vite dépassé que le premier, parce qu'on ne savait pas encore tirer parti des recherches paléontologiques, très difficiles en cette matière. En 1835, il publiait sous le titre : *Massif de Davos (Gebirgs-masse von Davos)* une excellente monographie d'un groupe important des Alpes orientales; en 1839 c'était ensuite la *Description géologique des Grisons du centre (Geologische Beschreibung von Mittelbündten)*, écrite en collaboration avec Arnold Escher; puis une note sur la *Carte géologique des Alpes entre les lacs de Thoune et de Lucerne (Abhandlung zur geologischen Karte der Alpen zwischen dem Thun und Luzerner See)*, qui parut à Paris, comme suite à la publication sur les *Alpes occidentales*. En 1845, il publia encore et également à Paris, une *Étude sur la région des cristaux entre le Gothard et le Simplon (Ueber das Crystallinische Gebiet zwischen Gothard und Simplon)*.

Tous ces travaux avaient une grande importance, parce qu'en dehors de dessins et de profils, ils étaient accompagnés de cartes géologiques extrêmement bien exécutées, chose que l'on avait jamais osé tenter jusqu'alors. Ces cartes formèrent tout naturellement la base de la *Carte géologique de la Suisse*, pour laquelle Ebel seul avait fait en 1808 un essai que l'on peut qualifier de plutôt théorique.

C'est ainsi que se rassemblèrent, en relativement peu de temps, les premiers matériaux pour une entreprise que Conrad Escher avait considérée comme presque irréalisable, mais dont Studer et Arnold Escher firent cependant, peu à peu et au cours de leurs nombreux voyages, le but de leur vie.

C'est dans ce but, en particulier, que Studer et Escher allèrent, en 1844, visiter les travaux d'Agassiz sur le glacier de l'Aar. Les savants se trouvèrent bloqués par la neige sous le toit si célèbre alors de Zybach, au Grimsel. Agassiz, Desor et leurs hôtes, auxquels s'était joint encore le gouverneur de Neuchâtel, général de Pfuel, obligèrent Studer à leur faire une conférence, que Desor publia sous le titre d'*Aperçu de la structure des Alpes (Ueberblick über die Structur der Alpen)*, et qui, tout en contenant en quelques traits le résumé des opinions de Studer sur un

thème aussi vaste, présentait le premier tableau général entrepris depuis Ebel de l'état de la science sur la matière.

En 1853, les deux amis remportèrent leur première victoire. A cette époque parut, en effet, chez Wurster et C^{ie} (M. Ziegler), à Winterthour, *La première carte géologique de la Suisse* qui fut basée sur des observations détaillées et complètes. Cette carte, œuvre de Studer et Escher, était exécutée d'après une carte au 1 : 380,000, dressée dans ce but par J.-M. Ziegler et précédée d'un texte explicatif, publié sous le titre de : *La géologie de la Suisse (Die Geologie der Schweiz)*, par B. Studer, 2 volumes, 1851-53. Déjà en 1869, on faisait de celle-ci une deuxième édition, avec le concours des géologues Bachmann, de Fritsch, Gilliéron, Jaccard, Kaufmann, Mœsch, Müller, Stoppani et Théobald.

L'importance de cet ouvrage ne peut être exactement appréciée que par ceux qui connaissent l'état des cartes et de la science géologique avant les débuts des travaux de Studer. La carte suisse fut donc de suite placée en tête de celles établies dans le même but en pays étranger.

Studer ne s'en tint toutefois pas là, car les premières cartes de l'atlas topographique entrepris par la Confédération, sous la direction du général Dufour, grâce à l'initiative de la Société suisse des sciences naturelles, ayant paru en 1842, il eut de suite l'idée de prendre cet ouvrage modèle comme base de la description géologique du pays, malgré les difficultés énormes qu'entraînaient la configuration si accidentée de celui-ci et une échelle beaucoup plus grande (1 : 100,000).

La Confédération promit encore son appui à cette nouvelle entreprise, également chaudement recommandée par la Société des sciences naturelles, sur la proposition de Studer. Cette assistance fut accordée dès 1859, et la Confédération chargea une commission présidée par Studer de l'exécution du travail. Cette commission comprenait, avec lui, Pierre Mérian, Arnold Escher, Desor, Alph. Favre et P. de Loriol. La première publication (canton de Bâle, 1 : 50,000, par le professeur Albert Müller) parut en 1862. Depuis cette époque, tous les géologues suisses et quelques géologues étrangers ont participé à cette tâche, sous la direction de Studer.

S'il n'a pas vécu assez pour voir l'achèvement complet de la *Grande carte géologique suisse*, il a eu cependant la satisfaction de voir à l'étude, grâce à ses soins, la dernière des 25 cartes de ce grand atlas géologique accompagné de 27 gros volumes de texte et d'appendices. Déjà avant sa mort, la faiblesse de sa vue l'avait forcé d'échanger son rôle actif de président contre celui de président honoraire. Il fut remplacé par Alph. Favre, qui avait publié en 1860 une *Carte géologique de la région du Mont-Blanc* au 1 : 150,000. Cela ne diminue toutefois en rien le mérite qui lui revient d'avoir achevé, d'un bout à l'autre, dans le cadre de sa vie et à l'endroit du continent le plus difficile pour les recherches géologiques, un ouvrage qui dépasse, au dire des connaisseurs les plus compétents de l'étranger, ceux des pays voisins, dans la même mesure que la carte de Dufour surpasse les cartes topographiques de ces derniers.

Studer a ainsi laissé à sa patrie, pour longtemps, un monument scientifique supérieur et complet, avec des sacrifices pécuniaires relativement insignifiants de la part de celle-ci.

Les nombreuses relations de Studer et l'importance de ses publications lui valurent, dans la plupart des pays, les principales distinctions honorifiques auxquelles peut atteindre un savant. Il était, en particulier, membre correspondant de l'Académie des sciences de Paris et honoraire de nombreuses Associations scientifiques, Chevalier de l'Ordre royal de Prusse pour le mérite, et possesseur de Wollaston Medal.

L'*Histoire de la géographie physique de la Suisse* (*Geschichte der physischen Geographie der Schweiz*) parue en 1863, prouve combien était encore grande l'activité intellectuelle de Studer, à un âge où les hommes sentent plutôt d'ordinaire s'éveiller en eux une tendance aux coups d'œil rétrospectifs.

En 1872, 20 ans après la publication de la *Géologie de la Suisse*, il publia encore un ouvrage considérable : l'*Index de la pétrographie et de la stratigraphie* (*Index der Petrographie und Stratigraphie*), revue alphabétique des principaux matériaux de la géologie d'alors, mais surtout, appendice à la *Géologie de la Suisse*, destiné à remplacer une deuxième

édition de cet ouvrage, que l'accroissement énorme de la matière ne lui permettait plus d'entreprendre.

Il continua, en outre, à publier de temps à autre de petites communications pendant plus de dix ans encore.

Le souvenir de ses anciennes études théologiques ne se manifesta chez Studer que très rarement.

Il n'en fit preuve qu'en une seule occasion, lors d'une crise qui se produisit dans l'opinion publique et au sujet de laquelle il publia, en 1856, un discours intitulé : *Sur la foi et la science (Ueber Glauben und Wissen)*, comme pendant à la conférence faite par son frère, professeur de théologie à l'Université : *Sur la science et la foi (Ueber Wissen und Glauben)*.

Bien qu'une partie de son entourage et les autorités même n'aient pas toujours apprécié assez haut les qualités supérieures de Bernard Studer, on peut hardiment avancer que l'Université de Berne n'a pas eu, depuis Albert de Haller, un savant indigène aussi distingué que lui.

A part quelques douleurs de tête périodiques, Studer, à la fois petit et robuste, eut toujours une excellente santé. Et quand, avec le grand âge, la vue et l'ouïe s'affaiblirent peu à peu chez lui, il trouva encore assez d'énergie dans sa constitution pour combler les vides d'une vie scientifique forcément moins active, par des visites, des courses et de petits voyages. Il avait en particulier l'habitude d'aller chaque année à Bâle rendre visite à la famille hospitalière de son intime ami, P. Merian; et âgé de 90 ans, il faisait encore l'ascension du Righi et franchissait quelques cols de nos montagnes.

C'est le 2 mai 1887 qu'il s'endormit à Berne, presque sans maladie ni douleurs, à l'âge de 93 ans ¹.

¹ Après avoir cité chemin faisant les principaux travaux de B. Studer, je regrette de ne pouvoir donner ici une liste complète de toutes ses publications, dont plusieurs sont éparpillés dans différents journaux périodiques.



BULLETIN BIBLIOGRAPHIQUE

*Liste des ouvrages reçus par la Société du 1^{er} janvier 1887
au 1^{er} juillet 1888.*

Titres.	Donateurs.
Compte rendu des travaux présentés à la 70 ^{me} session de la Société helvétique des Sciences naturelles réunie à Frauenfeld en 1887. 8°.....Genève, 1887	} Société helvétique des Sciences naturelles.
Verhandlungen der schweizerischen naturforschenden Gesellschaft in Frauenfeld. 70 ^{te} Jahresversammlung. 8°.....Frauenfeld, 1887	
Nouveaux Mémoires de la Société helvétique des Sciences naturelles. Vol. XXXI, 1 ^{re} livraison. 4°.....Zürich, 1888	
Eclogæ geologicæ Helvetiæ. I. II. 8°.....Lausanne, 1887	} Société géologique suisse.
Société géologique suisse. Sessions du Locle, de Genève et de Frauenfeld. 8°.....Genève, 1885-87	
Bulletin des travaux de la Société de botanique de Genève. 1884-1887. 8°.....Genève, 1887	} Société botanique de Genève.
Verhandlungen der naturforsch. Gesellschaft in Basel. Theil VIII, Heft 2. 8°.....Basel, 1887	} Société des Sciences naturelles de Bâle.
Mittheilungen der naturforsch. Gesellschaft in Bern. II. 1, n ^o 1143-1194. 8°.....Bern, 1886-87	} Société des Sciences naturelles de Berne.
Bulletin de la Société des Sciences naturelles de Neuchâtel. T. XV. 8°.....Neuchâtel, 1887	} Société des Sciences naturelles de Neuchâtel.
Bericht über die Thätigkeit der St.-Gallischen naturwissenschaftlichen Gesellschaft. 1884-1886. 8°.....S. Gallen, 1885-87	} Société des Sciences naturelles de St-Gall.
Mittheilungen der ost-schweizerischen Geog. commerc. Gesellschaft in St. Gallen. Heft 1. 8°.....St. Gallen, 1888	
Bulletin de la Société vaudoise des Sciences naturelles. 2 ^{me} série. Vol. XXII, n ^o 95; XXIII, n ^{os} 96-97. 8°.....Lausanne, 1887	} Société vaudoise des Sciences naturelles.

- | | | |
|---|-------------------|---|
| Mémoire du Département fédéral des chemins de fer sur la construction du chemin de fer du Saint-Gothard. Livraison 2 et dernière. Folio..... | Berne, s. d. | } Département fédéral des chemins de fer. |
| Matériaux pour la Carte géologique de la Suisse. XXIV ^{me} livraison et supplément. XXII ^{me} livraison et atlas. Folio... Winterthur, 1887 | | |
| Comptes rendus des séances de l'Académie des Sciences de Paris. Tomes CIV, CV, CVI, nos 1-26. Tables des tomes CIV et CV. 4 ^o | Paris, 1887-88 | } Académie des Sciences de Paris. |
| Mission scientifique du Cap Horn. 1882-83. Tomes IV et VI. 4 ^o | Paris, 1887 | |
| Journal de l'École Polytechnique. Cahier 56. 4 ^o | Paris, 1887 | } École des Mines. |
| Annales des Mines. Tomes X à XII. Livraisons 5 et 6 de 1886; 1 à 6 de 1887. 8 ^o | Paris, 1886-87 | |
| Nouvelles Archives du Muséum d'Histoire naturelle. 2 ^{me} série. Tome VIII, fasc. 2; tome IX, fasc. 1. 4 ^o | Paris, 1887 | } Société entomologique de France. |
| Annales de la Société entomologique de France. 6 ^{me} série. T. VI. 8 ^o | Paris, 1887 | |
| Bulletin de la Société de Géographie de Paris. 1886, trimestre 4; 1887, trimestres 1 à 4. 8 ^o | Paris, 1886-87 | } Société géologique de France. |
| Compte rendu des séances. 1887, nos 1 à 12. 8 ^o | Paris, 1887 | |
| Bulletin de la Société géologique de France. Tome XIV, n ^o 8; tome XV, nos 1 à 6; tome XVI, n ^o 4. 8 ^o | Paris, 1887 | } Académie de Savoie. |
| Revue savoisiennne. 28 ^{me} année, 1887, nos 1 à 12; 29 ^{me} année, 1888, nos 1 à 7. 8 ^o | Annecy, 1887-88 | |
| Mémoires de l'Académie des Sciences, Belles-Lettres et Arts de Savoie. Tome XII. 4 ^{me} série, tome I. 8 ^o | Chambéry, 1887 | } Académie de Stanislas. |
| Actes de la Société Linnéenne de Bordeaux. Tome XXXIX (4 ^{me} série, tome IX). 8 ^o | Bordeaux, 1887 | |
| Mémoires de l'Académie de Stanislas. cxxxvii ^{me} année, 5 ^{me} série, tome IV. 8 ^o | Nancy, 1887 | } Société scientif. d'Angers. |
| Mémoires de l'Académie des Sciences, Inscriptions et Beaux-Arts de Toulouse. 8 ^{me} série. Tome VIII. 8 ^o | Toulouse, 1887 | |
| Bulletin de la Société scientifique d'études d'Angers. 15 ^{me} année (1885) et supplém. 1884. 8 ^o | Angers, 1886 | } Académie de Montpellier. |
| Mémoires de l'Académie des Sciences et Belles-Lettres de Dijon. 3 ^{me} série. Tome IX. 1886. 8 ^o | Dijon, 1887 | |
| Mémoires de l'Académie des Sciences et Lettres de Montpellier. Section des Sciences. Tome XI, fasc. 1. 4 ^o | Montpellier, 1887 | } Comité géologique d'Italie. |
| Atti della R. Accademia dei Lincei. <i>Memorie</i> . Serie IV, vol. I. 4 ^o | Roma, 1887 | |
| Id. <i>Rendiconti</i> . Serie IV, vol. II, fasc. 11-12; vol. III, fasc. 1-13; vol. IV, fasc. 1-6. 4 ^o | Roma, 1887-88 | |
| Bollettino del R. Comitato geologico d'Italia. Vol. XVII et XVIII (7 ^o et 8 ^o della 2 ^a serie). 8 ^o | Roma, 1887-88 | |

- Bollettino delle Opere moderne e straniere acquistate delle Biblioteche pubbliche. Vol. I, nos 5, 6; vol. II, nos 1 à 6. 8°. Roma, 1887 } Bibliothèque nationale de Rome.
- Memorie del R. Istituto Lombardo di Scienze e di Lettere. Classe dei Sc. matem. e natur. Vol. XV et XVI. 4°. Milano, 1887 } Institut Royal lombard des Sc. et des Lettres.
- Id. Rendiconti. Ser. II. Vol. XVIII et XIX. 8°. Milano, 1887 }
- Atti della Soc. italiana di Scienze naturali. Vol. XXIX, nos 1 à 4. 8°. Milano, 1887 } Société des Sc. naturelles de Milan.
- Memorie della Regia Accademia di Sc., L., ed Arti in Modena. Serie II, vol. IV. 4°. Modena, 1887 } Académie Royale de Modène.
- Bollettino delle Reale Accademia di Sc., L., ed Arti di Palermo. Anno III, n° 6. 4°. Palermo, 1887 } Académie Royale de Palerme.
- Id. Atti. Nouv. serie. Vol. IX. 4°. Palermo, 1887 }
- Atti della Società Toscana di Scienze naturali. *Memorie*. T. VIII, fasc. 1, 2. 8°. Pisa, 1887 } Société toscane des Sc. naturelles.
- Id. *Processi verbali*. T. V, p. 119 à 226. T. VI, p. 1 à 88. 8°. Pisa, 1887-88 }
- Memorie dell' Accademia delle Scienze di Bologna. Serie IV. Tomes I-VII. 4°. Bologna, 1880-86 } Académie de Bologne.
- Memorie della R. Accademia delle Scienze di Torino. Serie seconda. T. XXXVIII. 4°. Torino, 1887 } Académie Royale des Sc. de Turin.
- Id. Atti. Vol. XXII. Disp. 1 à 15. Vol. XXIII. Disp. 1 à 10. 8°. Torino, 1887-88 }
- Bollettino dell' Osservatorio della Regia Università di Torino. Anno XXI. Folio Torino, 1887 } Académie Royale des Sc. de Turin.
- Atti della Società Veneto-Trentina di Scienze naturali. T. XI, fasc. 1. 8°. Padova, 1887-88 } Société des Sc. nat. de Venise et du Trentin.
- Id. Bollettino, Tome IV, n° 1. 8°. Padova, 1887 }
- Memorie del Reale Istituto Veneto di Scienze, Lettere ed Arti. S. XXII, part. 3. 4°. Venezia, 1887 } Institut Royal des Sciences de Venise.
- Id. Atti. T. III, disp. 10; T. IV, disp. 1-10; T. V, disp. 1-9. 8°. Venezia, 1887-88 }
- Verslagen en Mededeelingen der kon. Akademie van Wetenschap. — Afdeel. Natuurkunde. 3^o serie. T. III, n° 2. 8°. Amsterdam, 1887 }
- Id. Afdeel. Letterkunde. Ser. 3. T. III, n° 3. 8°. Amsterdam, 1887 }
- Id. Verhandelingen. Deel XXV. 4°. Amsterdam, 1887 } Académie Royale des Sc. d'Amsterdam.
- Id. Jaarboek van d. k. Akad. van Wetensch. voor 1885. 8°. Amsterdam, 1886 }
- Id. Judas Machabæus et Nupta ad amicam. Carmina præmio ornata. 8°. Amsterdam, 1887 }
- Archives du Musée Teyler. Sér. II. T. III, n° 1. 8°. Harlem, 1887 }
- Fondation Teyler. Catalogue de la bibliothèque. Livr. 5, 6. 8°. Harlem, 1887 } Fondation Teyler.
- Archives néerlandaises des Sciences exactes et naturelles. T. XXI, livr. 1 à 5; T. XXII, livr. 1 à 3. 8°. Harlem, 1887 } Société hollandaise des Sciences.

Annales de l'École polytechnique de Delft. Tomes II et III. 4°	Leyde, 1887-88	} Ecole polytechnique de Delft.
Mémoires de l'Académie Royale des Sciences, Lettres et Beaux- Arts de Belgique. T. XLVI. 4°	Bruxelles, 1887	
Id. Mémoires couronnés. T. XLVII, XLVIII. 4°	Bruxelles, 1887	} Académie Royale de Belgique.
Id. Mémoires couronnés et autres. Tomes XXXVII à XXXIX. 8°	Bruxelles, 1887	
Id. Annuaire. 1886-1887. 8°	Bruxelles, 1886	
Id. Bulletins. 3 ^{me} série. T. IX à XII. 8°	Bruxelles, 1887	
Id. Catalogue. 1 ^{re} et 2 ^{me} partie. 3 volumes 8°	Bruxelles, 1881-87	
Id. Notices biographiques. 12°	Bruxelles, 1887	
Annales de la Société entomologique de Belgique. Tome XXX et tables des Vol. I à XXX. 8°	Bruxelles, 1887	} Société entomologique de Belgique.
Annales de la Société malacologique de Belgique. Tomes I à XXI. 8°	Bruxelles, 1883-85	
Id. Procès-verbaux des séances. Tome XVI. Janvier-Juillet. 8°	Bruxelles, 1887	} Société malacologique de Belgique.
Publications de l'Institut de Luxembourg. Tome XX. 8°. Luxembourg, 1886		
Observations météorologiques faites à Luxembourg par F. Reuter. Vol. III. 8°	Luxembourg, 1887	} Institut de Luxembourg.
Id. Moyennes de 1854-1883.		
Proceedings of the Royal Institution of Great Britain. Vol. XI, part 3, n° 80. 8°	London, 1887	} Institution Royale de la Grande-Bretagne.
Id. List of Members in 1886.	London, 1887	
Report of the 56 th Meeting of the British Association for the advancement of Science. 8°	London, 1886	} Association britan. pour l'avancem. des Sciences.
Philosophical Transactions. Vol. 176, parts I, II. 4°	London, 1886	
Proceedings of the Royal Society. Nos 247-267. 8°	London, 1887	} Société Roy. de Londres.
Astronomical and Magnetical and Meteorological Observations made at the Royal Observatory Greenwich, in the year 1884. 4°	London, 1885	
Memoirs of the R. Astronomical Society. Vol. XLIX, part. 1, 4°	London, 1887	} Société astronomique de Londres.
Monthly Notices. Vol. XLVII, nos 2-9; vol. XLVIII, nos 1-7. 8°	London, 1887	
Transactions of the Entomological Society of London for 1886 and 1887. 8°	London, 1886-87	} Société entomologique de Londres.
Proceedings of the Royal Geographical Society and Monthly Record of Geography. Vol. IX, 1-12; Vol. X, 1-6. 8°	London, 1887-88	
Quarterly Journal of the Geol. Soc. Nos 167-171. 8°	London, 1887	} Société géologique de Londres.
Id. List for 1886. 8°	London. Nov., 1887	
Nature. Nos 897-974. 8°	London 1887-88	} Rédaction.

- Journal of the R. Microscopical Society. Ser. II. Vol. VII, parts 1-6; vol. VIII, parts 1-3. 8°. London, 1887-88 } Société R. de Microscopie de Londres.
- Proceedings of the Zoological Society of London for 1886, parts 2-4, and 1887, parts 1-3. 8°. London, 1886-87 } Société zoologique de Londres.
- Id. Transactions. Vol. XII, parts 3-6. 4°. London, 1887 }
- Meridian Observations made at the Cape of Good Hope. 1879-1881. 8°. London, s. d. } L'astronome royal.
- Proceedings of the Birmingham Philosophical Society. Vol. V, part 2. 8°. Birmingham, 1887 } Société des Sc. naturelles de Birmingham.
- Proceedings of the Cambridge Philosophical Society. Vol. V, part 6; vol. VI, parts 1-3. 8°. Cambridge, 1887 } Société des Sc. naturelles de Cambridge.
- Id. Transactions. Vol. XIV, part 2. 4°. Cambridge, 1887 }
- Proceedings of the Literary and Philosophical Society of Liverpool. Vol. XXXIX, XL. 8°. Liverpool, 1887 } Société des Sc. naturelles de Liverpool.
- Proceedings of the Royal Physical Society of Edinburgh. Sessions 1885, 1886, 1887. 8°. Edinburgh, 1887 } Société Roy. de physique d'Édimbourg.
- The Scientific Transactions of the Royal Dublin Society. Vol. III (Ser. II), nos 11-13. 4°. Dublin, 1887 } Société Royale d'Irlande.
- Id. Proceedings. Vol. V, parts 3-6. 8°. Dublin, 1887 }
- Journal of the Royal geological Soc. of Ireland. Vol. XVIII, parts 1, 2. 8°. Dublin, 1887 } Société géologique d'Irlande.
- Proceedings of the Royal Irish Academy. Ser. II. Vol. II, parts 6, 7; Vol. IV, parts 1-5. 8°. Dublin, 1884-86 }
- Id. Transactions. Vol. XXVII, parts 6-8; Vol. XXVIII, parts 14-25. 4°. Dublin, 1883-86 } Académie Roy. d'Irlande.
- Id. Cunningham Memoirs. Nos 2, 3. 4°. Dublin, 1886 }
- Id. Todd Lectures Series. Vol. II, part 1. 8°. Dublin, 1885 }
- Mémoires de l'Académie royale de Copenhague. Vol. II, n° 11; vol. III, n° 4; vol. IV, nos 2-7. 4°. Copenhague, 1887-88 } Académie Royale de Copenhague.
- Id. Bulletin. 1886, 2-3; 1887, 1-2. 8°. Copenhague, 1887-88 }
- Ofversigt over det Kongelige Danske videnskabernes Selskabs Forhandlinger. 1887, 1888, part 1. 8°. Copenhague, 1887-88 }
- Entomologisk Tidskrift. 7^{me} année (1886), nos 1-4; 8^{me} année, nos 1-4. 8°. Stockholm, 1886-87 } Société entomologique de Stockholm.
- Sveriges offentliga Bibliothek Accessions-Katalog. N° 1. 1886. 8°. Stockholm, 1887 } Bibliothèque Royale de Suède.
- Bergens Museum Aarsberetning for 1886. 8°. Bergen, 1887 } Musée de Bergen.
- Nova Acta Regiæ Societatis Scientiarum Upsaliensis. Ser. III. Vol. XIII, fasc. 2. 4°. Upsala, 1886 } Société des Sciences d'Upsala.
- Acta Universitatis Lundensis. Tome XXII. 4°. Lund, 1886 }
- Lunds Universitåts-Bibliotheks Accessions-Katalog. 1887. 8°. Lund, 1887 } Université de Lund.
- Forhandlingen i Videnskabs-Selskabet i Christiania. Tome XXII (1886). 8°. Christiania, 1886 } Société des Sciences de Christiania.

Mémoires de l'Académie impériale des Sciences de St-Petersbourg. 7 ^{me} série. Tome XXXIV, nos 5-13; Tome XXXV, nos 1-10. 4°.....St-Petersbourg, 1887	} Académie impériale de St-Petersbourg.
Id. Bulletin. T. XXXI, n° 4; T. XXII, n° 1. 4°.....St-Petersbourg, 1887	
Annalen des physikalischen Central-Observatoriums. Jahrg. 1885 und 1886, p. 1. 4°.....St-Petersbourg, 1886-87	} Observatoire physiq. cen- tral de Russie.
Repertorium für Meteorologie. Sup. 2-5. Bd. X. 4°.....St-Petersbourg, 1887	
Acta Horti Petropolitani. Tome X, fasc. 1. 8°.....St-Petersbourg, 1887	} Société botanique de St- Petersbourg.
Expedition der K. Russ. Geog. Gesellschaft an der Lena-Mündung. 4°.....St-Petersbourg, 1887	
Dorpat Meteorologisches Observatorium. Juni 1886-Januar 1887. 8°.....Dorpat, 1887	} Société de géographie de Russie.
Sitzungsberichte herausgegeben von der Naturforscher Gesellschaft bei der Universität Dorpat. Bd. VIII, 1 und Register zu Bd. VII. 8°.....Dorpat, 1887	
Archiv für die Naturkunde. 1 ^{re} serie, Bd. IX, Lief. 1. 8°.....Dorpat, 1887	} Société des Naturalistes de Dorpat.
Bidrag till Kännedom af Finlands Natur och Folk. Häfte 44. 8°.....Helsingfors, 1887	
Exploration des régions polaires. T. II : Magnétisme terrestre. Folio.....Helsingfors, 1887	} Société des Sciences de Finlande.
Observations de l'Institut météorologique de Finlande. Tome I, 1; Tome II, 1. 4°.....Helsingfors, 1886	
Bulletin de la Société impériale des Naturalistes de Moscou. Années 1886, n° 4; 1887, nos 1-4. 8°.....Moscou, 1887	} Société des Naturalistes de Moscou.
Meteorologische Beobachtungen ausgeführt am meteorologischen Observatorium. Von B.-A. Bachmetieff. 1886, 2; 1887. 4°.....Moscou, 1887	
Bulletin de la Société des Naturalistes de la Nouvelle Russie. Tome XI, fasc. 1-2. 8°.....Odessa, 1887	} Société des Naturalistes de la Nouvelle Russie.
Abhandlungen der Kön. preussischen Akademie d. Wissenschaften zu Berlin aus dem Jahre 1886. 4°.....Berlin, 1887	
Id. Sitzungsberichte. 1886, 40-43; 1887, 1 à 44; tables de 1-XX. 8°.....Berlin, 1887	} Académie royale de Berlin.
Zeitschrift der deutschen geologischen Gesellschaft. Bd. XXVIII, II, 4; XXIX, II, 1-4. 8°.....Berlin, 1887	
Telegraphische Längenbestimmungen. 4°.....Berlin, 1887	} Société géologique alle- mande.
Id. Präcisious Nivellement der Elbe. 3 ^o Mitt. 4°.....Berlin, 1887	
Id. Jahresbericht. 1886-87. 8°.....Berlin, 1887	} Institut géodésique de Prusse.
Ergebnisse der Meteorologischen Beobachtungen. 1886. 4°.....Berlin, 1888	
Jahresbericht der naturhistor. Gesellschaft zu Magdebourg. 1886. 8°.....Magdebourg, 1887	} Société des Sc. naturelles de Magdebourg.
64 ^{er} Jahresbericht der Schlesisch. Gesellschaft für vaterl. Cultur. 8°.....Breslau, 1887	
	} Société des Sc. naturelles de Breslau.

- Schriften d. physikal.-ökonom. Gesellschaft zu Königsberg,) Société de physique de
XXVII^{ter} Jahrg. 1887. 4^o.....Königsberg, 1887) Königsberg.
- Berichte der Wetterauischen Gesell. für gesammte Naturkunde) Société des Sc. naturelles
in Hanau, 1885-1887. 8^o.....Hanau, 1887) de Hanau.
- 71^{ter} Jahresbericht der naturf. Gesell. in Emden. 1884-85.) Société des Sc. naturelles
8^o.....Emden, 1887) de Emden.
- Abhandlungen der naturforschenden Gesellschaft zu Halle. B^d XVI,) Société des Sciences nat-
Hefte 4. 4^o.....Halle, 1887) tuelles de Halle.
- Id. Berichte der Sitzungen für 1885-86. 8^o.....Halle, 1887)
- 33^{ter}-37^{ter} Jahresbericht der naturhistor. Gesell. zu Hannover) Société des Sc. naturelles
für 1883-87. 8^o.....Hannover, 1887) de Hanovre.
- Schriften der naturf. Gesellsch. in Dantzig. N. F. Bd. VI; H. 4.) Société des Sc. naturelles
Bd. VII; H. 1. 8^o.....Dantzig, 1887) de Dantzig.
- Berichte über die Verhandl. der k. sächs. Gesellschaft der Wis-)
senschaften. Mathem.-physische Classe. 1886, Supplement.)
1887, 1-2. 8^o.....Leipzig, 1887) Société R. des Sciences
de Saxe.
- Id. Abhandlungen. Bd. XIV, n^o 5-8. 8^o.....Leipzig, 1887)
- Resultate der Meteorologischen Beobachtungen in Leipzig 1884-)
1885. 8^o.....Leipzig, 1887)
- Dritter Jahresbericht vom königl.-sächsischen Meteorologischen) Institut R. météorologique
Institute in Chemnitz für 1885. 4^o.....Chemnitz, 1887) de Saxe.
- Jahresbericht des Vereins für Naturkunde zu Zwickau, 1886.) Société des Sciences nat.
8^o.....Zwickau, 1887) de Zwickau.
- Zeitschrift für Naturwissenschaften. Bd. LIX, Hefte 4, 5, 6;)
Bd. LX, Hefte 1-4. 8^o.....Halle a. S., 1887) Société des Sciences nat.
de Halle a. S.
- Nova Acta Academiae C. L. Car. germ. Naturæ Curiosorum. Bd.)
XLIX-XL. 4^o.....Halle a. S., 1887)
- Id. Catalog der Bibliothek. Lief. 1. 8^o.....Halle a. S., 1887)
- Jahresberichte des Naturwiss. Vereins in Braunschweig. Nos 3,) Société des Sciences nat.
4, 5. 8^o.....Braunschweig, 1883-87) de Brunswick.
- Jahresbericht des Naturwissensch. Vereins in Elberfeld. H. 7.) Société des Sciences nat.
8^o.....Elberfeld, 1887) d'Elberfeld.
- Jenaische Zeitschrift für Naturwissenschaft. Bd. XX, H. 1-4;) Société de Médecine et
XXI, 1-4. 8^o.....Jena, 1887) d'Histoire nat. de Jena.
- Abhandlungen der königl. Gesellschaft der Wissenschaften zu) Société R. des Sciences
Göttingen. XXXIII^{ter} und XXXIV^{ter} B^de 1884-85. 4^o.Göttingen, 1887) de Göttingen.
- Verhandlungen des naturhistorischen Vereins der preussischen) Société d'Hist. naturelle
Rheinlande und Westphalens. Jahrg. XLIII, 2^{te} Hälfte; Jahrg.)
XLIV, 1, 2. 8^o.....Bonn, 1887) de la Prusse rhénane
et de Westphalie.
- 14^{ter} Jahresbericht des Westphälischen provinz. Vereins für) Société des Sciences et
Wiss. und Kunst für 1885. 8^o.....Münster, 1886) Arts de Westphalie.
- Abhandlungen herausg. v. d. Senckenbergischen naturforschenden) Société Senckenbergienne
Gesellschaft. Bd. XV, Hefte 1-2. 8^o.....Frankfurt a/M., 1887)

- | | |
|---|---|
| Berichte über Senckenberg. naturf. Gesellschaft 1886-87.
8°.....Frankfurt a/M, 1887 | } Société Senckenbergienne. |
| Berichte über die Verhandlungen der Naturforschenden Gesellschaft zu Freiburg in Baden. Bd. I. 8°.....Freiburg i. B., 1887 | |
| Bulletin de la Société industrielle de Mulhouse. 1886; décembre 1887; 1888, janvier-juin. 8°.....Mulhouse, 1887-88 | } Société industrielle de Mulhouse. |
| Jahreshefte des Vereins für vaterländische Naturkunde in Württemberg. Jahrg. XLIII; XLIV. 8°.....Stuttgart, 1887-88 | |
| Abhandlungen der Mathem.-Physikal. Cl. der K. b. Akademie der Wissenschaften. Bd. XV, Abthl. 3; XVI, 1, 2, 3. 4°. München, 1887 | } Académie des Sciences de Bavière. |
| Id. Sitzungsberichte der Mathem.-Physikal. Kl., 1886, H. 2-3; 1887, H. 1-2; 1888, H. 1. 8°.....München, 1887-88 | |
| Id. Gedächtniss-Rede. <i>C. Th. von Siebold</i> . 4°.....München, 1886 | |
| Id. Id. <i>J. von Fraunhofer</i> . 4°.....München, 1887 | |
| Sitzungsberichte der physikalisch-medicinischen Gesellschaft zu Würzburg. Jahrg. 1886-87. 8°.....Würzburg, 1887 | } Société physico-médicale de Wurzburg. |
| Id. Verhandlungen. Bd. XX, XXI. 8°.....Würzburg, 1887 | |
| Sitzungsberichte der physikal.-medizinisch. Gesellsch. zu Erlangen. Heft 18, 19. 8°.....Erlangen, 1887 | } Société physico-médicale d'Erlangen. |
| Denkschriften der k. Akad. der Wissensch. Bd. L, LI, LII. 4°. Wien, 1887 | |
| Id. Sitzungsberichte. Mathem.-naturwiss. Klasse. 1 ^{te} Abth. Bd. XCI, H. 5; XCII, 1-5; XCIII, 1-3; XCIV, 1-5. — 2 ^{te} Abth. Bd. XCI, H. 4-5; XCII, 1-5; XCIII, 1-5; XCIV, 1-5; XCV, 1-2. — 3 ^{te} Abth. Bd. XCI, H. 3-5; XCH, 1-5; XCIII, 1-5; XCIV, 1-5; XCV, 1-5. 8°.....Wien, 1887-88 | } Académie Impér. des Sc. de Vienne. |
| Jahrbuch der k. k. geologischen Reichsanstalt. Bd. XXXVI, n° 4; XXXVII, 1-2. 8°.....Wien, 1887-88 | |
| Id. Verhandlungen. 1886, nos 13-18; 1887; 1888, nos 1-8. 8°.....Wien, 1887-88 | } Institut géologique d'Autriche. |
| Id. Abhandlungen. Bd. XI, 2; XII, 4. Grand 4°.....Wien, 1887-88 | |
| Verhandlungen der k. k. zoologisch-botanischen Gesellschaft in Wien. Bd. XXXVII. 8°.....Wien, 1887 | } Société zoologique-botanique de Vienne. |
| Mittheilungen der k.-k. geographischen Gesellschaft in Wien. Bd. XIX. 8°.....Wien, 1887 | |
| Annalen des k. k. naturhistorischen Hofmuseums. Bd. II, nos 1-4; Bd. III, n° 1. 8°.....Wien, 1887 | } Musée de Vienne. |
| Magnetische und meteorologische Beobachtungen an der k. k. Sternwarte zu Prag im Jahre 1886. 4°.....Prag, 1887 | |
| Mathematikai es Természetudományi Közlemények. Vol. XX, XXI. 8°.....Budapest, 1887 | } Académie Hongroise. |
| Ertekezések a matematikai Tudismanyak Köréből. Vol. XI, 10; XII, 1-2; XIII, 1-2. 8°.....Budapest, 1887 | |
| Id. a Természettudományok Köréből. Vol. XIV, 9; XV, 1-19; XVI, 1-6. 8°.....Budapest, 1887 | |

- Matematikai es Természettudományi Ertesítő. Vol. III, 6-9;
 IV, 1-9; V, 1-5. 8°. Budapest, 1887 }
 Magyar Tudom. Akadémiai Almanach 1886, 1887. 8° Budapest, 1887 } Académie Hongroise.
 Mathematische und Naturwissenschaftliche Berichte aus Ungarn.
 Vol. III, IV. 8°. Budapest, 1887 }
 Bulletin de la Société des Naturalistes à Jassy. 8°. Jassy, 1886 } Société des naturalistes
 à Jassy.
 Orvos-Természettudományi Ertesítő. Vol. XII, 2-3; IX, 1-2;
 XIII, 2. 8°. Koloswart, 1887 } Musée de Koloswart.
 Id. Publicationen des Siebenbürgischen Museum Vereins.
 8°. Klausenburg, 1887 }
 Proceedings and Transactions of the Royal Society of Canada for
 the year 1885-1886. Vol. II. 4°. Montréal, 1887 } Académie royale du
 Canada.
 Proceedings of the Canadian Institute. 3^{me} série. Vol. IV, fasc.
 1; Vol. V, fasc. 1. 8°. Toronto, 1887 } Institut canadien.
 Report of the meteorological Service of the Dominion of Canada.
 8°. Ottawa, 1887 }
 Commission géologique du Canada. Rapport annuel, 1885.
 8°. Ottawa, 1885 }
 Report of the Commissioner of Agriculture for 1885.
 8°. Washington, 1886 } Département de l'Agricul-
 ture des États-Unis.
 Annual Report of the Chief Signal Office to the Secret. of War.
 1885, 1886. 8°. Washington, 1887 } Département de la guerre
 des États-Unis.
 Bulletin of the U. S. Geol. Survey. T. III, nos 30-39.
 8°. Washington, 1887 }
 Id. Monographs. Vol. X, XI. 4°. Washington, 1887 } Geological Survey des
 États-Unis.
 Id. 6th Annual Report. 1881-84. 4°. Washington, 1887 }
 Albert Williams. Mineral Ressources of the United States.
 8°. Washington, 1887 }
 Annual Report of the Board of Regents of the Smithsonian Insti-
 tution 1884, 2 and 1885, 1. 8°. Washington, 1887 }
 Annual Report of the Bureau of Ethnology to the Secretary of the
 Smiths. Inst. T. IV. 4°. Washington, 1886 } Institution Smithsonianne.
 Smithsonian Contributions to Knowledge. Vol XXVIII-XXX.
 4°. Washington, 1887 }
 Proceedings of the American Association for the Advancement of
 Science. 35th and 36th Meetings, 1885-1886. 8°. Salem, 1886-87 } Association américaine p^r
 l'avancement des Sciences.
 Bulletin of the philosophical Society of Washington. Vol. IX.
 8°. Washington, 1887 } Société philosophique de
 Washington.
 Annals of the New-York Academy of Sciences. Vol. III, nos 11-12;
 Vol. IV, nos 1-2. 8°. New-York, 1887 } Académie des Sciences
 de New-York.
 Id. Transactions. Vol. IV; Vol. V, nos 7, 8. 8°. New-York, 1887 }
 Bulletin of the Buffalo Society of the Natural Sciences. Vol. V,
 n^o 2. 8°. Buffalo, 1887 } Société des Sciences nat.
 de Buffalo.

Transactions of the Connecticut Academy of Arts and Sciences. Vol. VII, part. 1. 8°	New-Haven, 1887	Académie des Sciences et Arts du Connecticut.
American Journal of Science, nos 193-210. 8°	New-Haven, 1887-88	Rédaction.
Proceedings of the American Academy of Arts and Sciences. New series. Vol. XIV (Whole series, XXII, 2). 8°	Boston, 1887	Académie américaine des Sciences et des Arts.
Memoirs of the Boston Society of Natural History. Vol. III, nos 12-13. 4°	Boston, 1887	Société d'Histoire naturelle de Boston.
Memoirs of the Museum of Comp. Zoology at Harvard College. Vol. XV; Vol. XVI, nos 1-2. 4°	Cambridge et Boston, 1887	Musée de Zoologie comparée de Harvard College.
Id. Bulletin. Vol. V, no 2 (2° supp.); Vol. XII, nos 6-8; Vol. XIII, no 3-5; Vol. XVI, no 1. 8°	Cambridge, Mass., 1886-87	
Annual Report of the Museum of Comp. Zoology for 1884-86. 5 th Report. 8°	Cambridge, Mass., 1887	
Edward-C. Pickering. 41 th and 42 th Annual Reports of the Director of the Astronomical Observatory of Harvard College. 8°	Cambridge, Mass., 1886-87	
Annals of the Astronomical Observatory at Harvard College. Vol. XVII; XVIII, 1, 2. 4°	Cambridge, Mass., 1887-88	Observatoire de Harvard College.
Id. H. Draper Memorial. Photographic Study of Stellar Spectra. 1, 2. 4°	Cambridge, Mass., 1887	
Id. Boyden Fund. 2. 8°	Cambridge, Mass., 1887	
Id. Investigations on Light. VI. 8°	Cambridge, Mass., 1887	
Memoirs of the American Academy of Arts and Sciences. Vol. X, 3; Vol. XI, IV no 1, V no 6. 4°	Cambridge, Mass., 1887	Académie américaine des Arts et des Sciences.
Bulletin of the Essex Institute. Vol. XVIII. 8°	Salem, 1887	Institut de l'Essex.
Annual Report of the Trustees of the Peabody Academy of Sciences. 1886, no 49. 8°	Salem, 1887	Académie de Peabody.
Bulletin of the Minnesota Academy for 1880-82. 8°	Minneapolis, 1885	Académie de Minnesota.
Proceedings of the Academy of Natural Sciences of Philadelphia. 1886, 2, 3 parts; 1887, 1, 2 parts. 8°	Philadelphia, 1887-88	Académie des Sciences nat. de Philadelphie.
Proceedings of the American Philosophical Society. Vol. XXIII, nos 124-125; Vol. XXIV, no 126. 8°	Philadelphia, 1887	Société philosophique américaine.
Report of the Geological Survey of Pennsylvania. 1885. 8°	Harrisburg, Pa. 1886	M. Ashburner.
Second Geological Survey of Pennsylvania. 1885. Vol. et atlas. 8° et folio	Harrisburg, 1886	Second Geolog. Survey of Pennsylvania.
Bulletin of the California Academy of Sciences. Vol. II, nos 6-7. 8°	San Francisco, 1887	Académie des Sciences de Californie.
Boletin del Ministerio de Fomento de la Republica Mexicana. T. X, nos 103-146. Folio	Mexico, 1887-88	Observatoire météorologique central de Mexico.
Memorias della Societa scientifica Antonio Alzate. Tome I, 4, 10. 8°	Mexico, 1886	Société scientifique Alzate à Mexico.
Boletin de Estadistica del Estado de Puebla. Tome I, nos 1-38. Folio	Puebla, 1887	

- Boletín mensual del Observatorio meteorológico del Colegio p. de Villa Colon. Año I. 1, 2. 8° Montevideo, 1887 } Observatoire de Colon.
- Revista do Observatorio. Anno I, N^{os} 10-12; II, 1-12; III, 1-3. 8° Rio de Janeiro, 1887-88 } Observ. I. de Rio de Janeiro.
- Id. Anuario. 1885-1887. 8° Rio de Janeiro, 1887 } Observ. I. de Rio de Janeiro.
- Boletín de la Academia Nacional de Ciencias en Cordoba. T. IX. 1-4; T. X, 1. 8° Buenos-Ayres, 1886-87 } Académie nationale des Sciences de Cordoba.
- Id. Actas de la Academia. T. II, 1; T. V, 3. 4°. Buenos-Ayres, 1887 } Académie nationale des Sciences de Cordoba.
- Verhandlungen des deutschen wissenschaft. Vereins zu Santiago. Heft. 1-6. 8° Valparaiso, 1887 } Société scientif. allemande de Santiago.
- Proceedings of the Asiatic Society of Bengal. 1887, n^{os} 9-10; 1888, n^o 1. 8° Calcutta, 1887-88 } Société asiatique du Bengale.
- Id. Journal. Vol. LVI, 2^{me} p., n^{os} 2-3. 8° Calcutta, 1887 } Société asiatique du Bengale.
- Palaontologia indica. Ser. X, vol. IV, part 2; ser. XIII, vol. I, part 6; ser. XII, vol. IV, part 2; ser. XIV, vol. I, part 3. Folio Calcutta, 1886-87 } Commission géologique de l'Inde.
- Records of the Geological Survey of India. Vol. XX, 1-4; XXI, 1. 8° Calcutta, 1887 } Commission géologique de l'Inde.
- Memoirs of the Geological Survey of India. Catalogue of the Indian Museum, parts 1-3. 8° Calcutta, 1887 } Commission géologique de l'Inde.
- Natuurkundig Tijdschrift voor Nederlandsche-Indië. Deel XLVI; XLVII (8^{me} série, VII, VIII). 8° Batavia, 1887-88 } Association royale des Sc. dans les Indes néerland.
- Transactions of the seismological Society of Japan. Vol. X; XI, part 4. 8° Tôkiô et Yokohama, 1887 } Société seismologique du Japon.
- Proceedings of the Linnæan Society of New South Wales. 2^{me} ser., Vol. I, part 1-4. 8° Sidney, 1887 } Société Linnéenne de la Nouvelle Galles du Sud.
- Ch. Joly*. Une visite aux Expositions de Londres et de Liverpool. 8° Paris, 1886 } Don des auteurs.
- E. Renevier*. Notices géologiques sur les Alpes vaudoises. 8° Lausanne, 1887 } Don des auteurs.
- Id.* Résumé du Mémoire de M. le Prof. Taramelli. 8°. Genève, 1879 } Don des auteurs.
- Ed.-C. Pickering*. Heights of the White Mountains. 8° s. l. n. d. } Don des auteurs.
- Ch. Ashburner*. The Product and Exhaustion of the Oil Regions of Pennsylvania. 8° Philadelphia, 1885 } Don des auteurs.
- Prof. K. Weirauch*. Privatbeobachtungen der Regenstation Alswig. 1886. 8° Dorpat, 1887 } Don des auteurs.
- Félix Plateau*. Recherches expérimentales sur la vision chez les Arthropodes. 1^{re} partie. 3^{me} p. 8° Bruxelles, 1887 } Don des auteurs.
- Sars, Koren et Danielson*. Fauna littoralis Norwegiæ. Livraisons 2, 3. Folio Bergen, 1856-1877 } Don des auteurs.
- Olaf S. Jensen*. Turbellaria ad litora Norwegiæ. Folio. Bergen, 1878 } Don des auteurs.
- Dr F.-A. Forel*. 9 brochures diverses. } Don des auteurs.
- T.-E. Nipher*. The Volt, the Ohm and the Ampere. 8°. St-Louis, 1888 } Don des auteurs.

- G.-Th. Canuthers.* The Earths polar Floods in Perihelion.
8° Subathu, 1888
- Dr O.-E. Imhof.* Die Vertheilung der pelagischen Fauna in den
Süsswasserbecken. 8° Zürich, 1888
- A. Preudhomme de Borre.* Liste des 105 espèces de Coléoptères
Lamellicornes capturées en Belgique. 8° Bruxelles, 1888
- Dr E. Weirauch.* Neue Untersuchungen über die Besselsche
Formel. 8° Dorpat, 1888
- Dr A. Lissauer.* Die Prähistorischen Denkmäler des Prov. West-
Preussen. 4° Dantzig, 1887
- Id.* The Scientific Value of Volapück. 8° Philadelphie, 1888
- E. Renevier.* Rapport sur la marche du Musée géologique vau-
dois. 8° Lausanne, 1887
- J. Thore.* Communications sur une nouvelle force, 8° Dax, 1887
- Th. Studer.* Versuch eines systemes der Alcyonaria.
- Dr R. Wolff.* Astronomische Mittheilungen. LXVIII, LXIX.
12° s. l. n. d.
- Dr Campos da Paz.* A Questao dos Vinhos. 8° Rio de Janeiro, 1886
- T.-E. Nipher.* Isodynamics surfaces. 8° St-Louis, 1886
- Elias Loomis.* Contributions to Meteorology. Chapter II. 4°
New-Haven, 1887
- E. Van Aobel.* Quelques mots sur la transparence du platine.
8° Bruxelles, 1886
- Annales de l'École nationale d'agriculture. Tomes I et II.
4° Montpellier, 1885
- Dr Th. Studer.* Ueber den Steinkern des Gehirnsraumes einer
Sirenoide. 4° Zürich, 1887
- E. Renevier.* Histoire géologique des Alpes suisses. 8° . Genève, 1887
- H. Moissan.* Recherches sur l'isolement du fluor. 8° Paris, 1887
- Ch. Joly.* Note sur l'Exposition horticole de Florence. 12° . Paris, 1887
- Ch.-A. Ashburner.* The Geologic Relations of the Nanticket
Disaster. 8° s. l., 1887
- Id.* The geologic Distribution of natural for in the U. S. 8° . s. l., 1887
- S. Henshaw.* The Entomological Writings of Dr A. Spring
Packard. 8° Washington, 1887
- G. Carrasco.* Primer Censo general de la Provincia de Santa Fe.
1° Buenos-Ayres, 1887
- Sam. H. Scudder.* The Introduction of Pieris Rapæ in North
America. 4° Boston, 1887
- H. D. Harrower.* Captain Glazier and his Lake. 8° . New-York, 1886

Don des auteurs.

TABLEAU DES MEMBRES

DE LA

SOCIÉTÉ DE PHYSIQUE ET D'HISTOIRE NATURELLE

DE GENÈVE

Au 1^{er} Décembre 1888.



1^o MEMBRES ORDINAIRES RÉSIDANT A GENÈVE

RANGÉS PAR ORDRE D'ADMISSION

Date de leur
réception.

- 1825 MM. *Daniel* COLLADON, professeur de mécanique.
1828 *Alphonse* DE CANDOLLE, professeur de botanique.
1830 *Henri-Clermont* LOMBARD, docteur-médecin.
1838 *Paul* CHAIX, géographe.
1841 *Charles* CELLÉRIER, professeur de mécanique.
— *Alphonse* FAVRE, professeur de géologie.
1842 *Jean-Charles* MARIGNAC, professeur de chimie.
— *Philippe* PLANTAMOUR, chimiste.
1853 *Henri* DE SAUSSURE, entomologiste.
— *Émile* GAUTIER, astronome.
1854 *Louis* SORET, professeur de physique.
— *Marc* THURY, professeur de botanique.

L

LISTE DES MEMBRES

Date de leur
réception.

- 1861 MM. *Casimir* DE CANDOLLE, botaniste.
— *Perceval* DE LORIOU, paléontologiste.
1862 *Jean* MULLER, Dr, professeur de botanique.
1863 *Charles* GALOPIN, mathématicien.
— *Lucien* DE LA RIVE, physicien.
1864 *Victor* FATIO, zoologiste.
— *William* MARCET, à Genève.
1865 *Arthur* ACHARD, ingénieur.
1867 *Marc* MICHELI, botaniste.
— *Godefroy* LUNEL, zoologiste.
1868 *Jean-Louis* PREVOST, docteur-médecin, professeur.
1869 *Édouard* SARASIN, physicien.
— *Ernest* FAVRE, géologue.
1870 *Hermann* FOL, professeur de zoologie.
1873 *Émile* ADOR, chimiste.
— *Edmond* SARASIN, chimiste.
— *William* BARBEY, botaniste.
1874 *Adolphe* D'ESPINE, docteur-médecin, professeur.
— *Eugène* DEMOLE, chimiste.
1876 *Théodore* TURRETTINI, ingénieur.
— *Pierre* DUNANT, docteur-médecin, professeur
1877 *Maurice* SCHIFF, professeur de physiologie.
— *Frédéric-Guillaume* ZAHN, professeur d'anatomie.
1878 *Jacques* BRUN, professeur de matière médicale.
1879 *Charles* GRÆBE, professeur de chimie.
— *Albert-Auguste* RILLIET, professeur.
1880 *Charles* SORET, professeur de physique.
— *Auguste* WARTMANN, docteur-médecin.
1881 *Denys* MONNIER, professeur de chimie.
1882 *Louis* LOSSIER, chimiste.
— *Gustave* CELLÉRIER, mathématicien.
1883 *Raoul* GAUTIER, astronome.
— *Hippolyte* GOSSE, docteur-médecin, professeur.

Date de leur
réception

- 1884 MM. *Maurice* BEDOT, zoologiste.
 1885 *A.* KAMMERMANN, astronome.
 1887 *Amé* PICTET, chimiste.
 1888 *Alphonse* PICTET, zoologiste.
 — *Robert* CHODAT, botaniste.

2° MEMBRES ÉMÉRITES

- 1863 MM. *Henri* DOR, docteur-médecin.
 1864 *Marc* DELAFONTAINE, chimiste à Chicago.
 1869 *Raoul* PICTET, professeur de physique.
 1882 *Eugène* RISLER, agronome, à Paris.

3° MEMBRES HONORAIRES

- 1837 MM. *Isaac* LEA, à Philadelphie.
 1841 *L.-F.* DE MENABREA, général, à Turin.
 1842 *Charles* MARTINS, à Montpellier.
 1849 *Charles* BRUNNER, à Vienne.
 1859 *Jules* MARCOU, à Cambridge, Mass.
 — *Sir Georges* BIDDELL AIRY, à Greenwich.
 — *John* TYNDALL, à Londres.
 — *Alfred* DESCLOISEAUX, à Paris.
 — *Em.* DU BOIS-REYMOND, à Berlin.
 — *Albert* MOUSSON, à Zurich.
 1861 *Rodolphe* WOLF, à Zurich.
 1864 *A. v.* KÖLLIKER, à Würzburg.
 — *Louis* DUFOUR, à Lausanne.
 — *Charles* LORY, à Grenoble.
 — *Marcelin* BERTHELOT, à Paris.

Date de leur
réception

- 1866 MM. *Anatole* DE CALIGNY, à Paris.
 1869 *F.* PLATEAU, à Gand.
 — *Ed.* HAGENBACH, à Bâle.
 1870 *Albert* FALSAN, à Lyon.
 — *Ernest* CHANTRE, à Lyon.
 — *Adolphe* HIRSCH, à Neuchâtel.
 1871 *Pierre* BLASERNA, à Rome.
 1872 *W.* KÜHNE, à Heidelberg.
 — *Samuel-H.* SCUDDER, à Boston.
 1874 *François-Aug.* FOREL à Morges.
 — *A.* CORNU, à Paris.
 1875 *Charles* MAUNOIR, à Paris.
 — *J.-Norman* LOCKYER, à Londres.
 1876 *Eugène* RENEVIER, à Lausanne.
 — *Louis* RUTIMEYER, à Bâle.
 — *F.-W.* HAYDEN, à Washington.
 1879 *Samuel-P.* LANGLEY, à Washington.
 1880 *C.* IBANEZ, général, à Madrid.
 — *Hervé-Aug. Et.- Albans* FAYE, à Paris.
 — *E.* MAYO, général, Florence.
 — *Charles* FRIEDEL, à Paris.
 — *Alexandre* AGASSIZ, à Cambridge (Massachusetts).
 1881 *Lorenzo* RESPIGHI, à Rome.
 1883 *Louis* COULON, à Neuchâtel.
 — *Théodore* DE HELDREICH, à Athènes.
 — *Henri* DUFOUR, à Lausanne.
 1884 *L.* CAILLETET, à Paris.
 — *Albert* HEIM, à Zurich.
 — *K.-Ed.* CRAMER, à Zurich.
 — *Robert* BILLWILLER, à Zurich.
 — *Charles* DUFOUR, à Morges.
 1886 *H.* DE LACAZE-DUTHIERS, à Paris.
 — *Alexandre* HERZEN, à Lausanne.

Date de leur
réception

- 1887 MM. *Théophile* STUDER, à Berne.
1888 *Eilhard* WIEDEMANN, à Erlangen.

4^e ASSOCIÉS LIBRES

- 1860 MM. *Gustave* ROCHETTE.
— *Théodore* DE SAUSSURE.
— *Victor* GAUTIER.
— *Amédée* LULLIN.
— *Auguste* BROT.
— *Louis* LULLIN.
— *Georges* SARASIN.
— *Alexandre* MORICAND.
— *Théodore* VERNES.
1853 *Émile* NAVILLE.
1864 *James* ODIER.
1866 *Théodore* AUDÉOUD
1867 *Charles* MALLET.
1870 *Georges* PREVOST.
1871 *Henri* BARBEY.
1872 *Agénor* BOISSIER.
— *Ernest* DE TRAZ.
— *Lucien* DE CANDOLLE.
1873 *Édouard* DES GOUTTES.
— *Henri* HENTSCH.
1874 *Édouard* FATIO.
1875 *Henri* PASTEUR.
1876 *Georges* MIRABAUD.
— *Charles* GOLAZ.
— *William* FAVRE.
— *Émile* PICTET.

Date de leur
réception

- 1876 MM. *Charles* RIGAUD.
1877 *Ernest* COVELLE.
1879 *Émile* BOISSIER.
— *Henri* BOUTHILLIER DE BEAUMONT.
— *Auguste* PREVOST.
1881 *Henri* SALADIN.



M É M O I R E S
DE LA
SOCIÉTÉ DE PHYSIQUE ET D'HISTOIRE NATURELLE DE GENÈVE
TOME XXX. — N° 1.

ADDITAMENTA

AD

PRODROMUM ÆDIPODIORUM

AUCTORE

Henrico DE SAUSSURE



GENÈVE
IMPRIMERIE CHARLES SCHUCHARDT
1888

ADDITAMENTA

AD

PRODROMUM ŒDIPODIORUM

Si j'ai adopté le nom de *Prodromus* pour mon mémoire sur les Œdipodiens, c'est que ce travail ne m'avait pas paru être assez complet pour mériter celui de monographie. En effet je me vois aujourd'hui conduit à publier un Supplément à cet Essai, car l'accroissement des collections et des notes recueillies dans divers musées m'obligent à ajouter plusieurs genres à ceux qui ont été décrits et à procéder au remaniement de divers groupes de la tribu.

Je n'ignore pas que les Suppléments successifs amènent un décousu regrettable dans l'ensemble d'un ouvrage quel qu'il soit, mais le mal est inévitable, car c'est en cela que consiste la marche fatale de la science.

J'ai cherché à pallier à cet inconvénient en donnant à nouveau la Synopsis complète des genres après l'avoir modifiée eu égard aux types nouveaux qui viennent s'intercaler entre les anciens, ce qui ne peut manquer de faciliter d'autant la tâche du lecteur, en lui épargnant de longues comparaisons.

DISTRIBUTION GÉOGRAPHIQUE

Il serait sans intérêt pour le but que nous poursuivons de décrire dans tous ses détails la distribution des Œdipodiens à la surface du globe,

mais elle offre certains traits généraux auxquels s'attache un intérêt particulier et qui méritent d'être signalés.

1^o D'une manière générale on peut dire que ces insectes sont plus nombreux dans l'hémisphère boréal que dans l'hémisphère austral. Leur maximum de développement se prononce dans la zone tempérée, mais surtout dans la partie chaude de cette zone. Un petit nombre d'espèces seulement s'étendent jusqu'en Scandinavie ou au Canada ; le nombre en augmente au contraire beaucoup en Europe dans la zone méditerranéenne et en Amérique sous les latitudes situées entre le 25^{me} et le 40^{me} parallèle.

Dans le sens des longitudes les genres sont pour la plupart chacun circonscrit à une région assez bien limitée quoique souvent fort étendue, mais tous restent confinés entre les mêmes latitudes.

Ainsi le genre *OEdipoda* s'étend des bords de l'Atlantique à l'extrémité orientale de la Sibérie et de la Chine.

Parmi les genres tropicaux ou subtropicaux les genres *Trilophidia*, *Heteropternis* et *Dittopternis* s'étendent de la Chine par les îles de la Sonde sur l'Afrique méridionale et tropicale.

Nous parlerons plus bas des exceptions formées par les genres qui se ramifient aussi dans la direction des latitudes.

2^o Les genres américains sont presque tous différents de ceux de l'hémisphère oriental, mais on peut distinguer entre les deux continents des genres correspondants qui s'imitent mutuellement, et qui semblent dériver d'un type primitif commun. Ainsi :

En Europe.	En Amérique.
Genre <i>Pyrgodera</i> .	Genre <i>Tropidolophus</i> .
<i>Sphingonotus</i> .	<i>Heliastus</i> .
Type <i>Sphingonotus</i> .	<i>OEdocara</i> .
Genre <i>Conistica</i> .	<i>Dissosteira</i> .
<i>OEdipoda</i> .	<i>Tomonotus</i> et <i>Lactista</i> .
<i>Trilophidia</i> .	<i>Psinidia</i> .

3^o Les genres *Sphingonotus* et *Acrotylus* forment deux exceptions aux règles ci-indiquées en ce qu'ils présentent une tendance marquée au cosmopolitisme. Ils semblent être de tous les plus résistants, à part les genres migrants dont il sera parlé plus bas, car ils se sont accommodés de toutes les latitudes.

Le genre *Sphingonotus* est un genre septentrional; il appartient surtout à l'hémisphère boréal et c'est même de tous celui qui s'avance le plus loin vers le nord. Il s'étend de la Suède au Sahara, de la Sibérie aux Indes; des côtes de l'Atlantique au Japon, enfin d'Europe en Amérique.

Quelques espèces se trouvent en outre dans le sud de l'Afrique, occupant une position isolée (*S. nigripennis*, *scabriusculus* et *capensis*). On ne saurait dire si, pour atteindre ces régions, le genre est parti de l'Asie, en suivant le mode de progression indiqué au § 6, ou s'il n'a fait que traverser l'Afrique comme semblent l'avoir fait les types dont il est parlé au § 7. J'inclinerais plutôt vers cette dernière hypothèse, car les espèces sud-africaines sont de petite taille et rappellent bien plus les espèces méditerranéennes que les espèces sud-asiatiques. Elles se rapprochent surtout des *Sph. caeruleus* et le *S. scabriusculus* semble même se confondre avec une espèce algérienne (var. *Lucasii*, Sss.).

Les espèces connues du Nouveau Continent occupent également une position isolée et se présentent aussi comme étant un rameau du genre européen. En effet, à part une espèce des îles Gallapagos de l'Océan Pacifique dont le genre reste incertain, et une espèce du Brésil imparfaitement connue, toutes sont confinées dans l'Amérique moyenne et extrêmement voisines de celles de l'Europe; l'une d'elles, qui se trouve à Cuba, ne saurait être distinguée du *S. caeruleus* si commun en Europe et dans toute la zone paléarctique. Il est donc permis de supposer que le genre a été transporté en Amérique à une époque récente et par des causes fortuites. Cela est même d'autant plus probable que les *Sphingonotus* sont surtout des insectes extratropicaux et qu'ils devraient par conséquent se retrouver dans l'Amérique du Nord plutôt que dans la zone centrale de l'Amérique. Le *S. caeruleus* en particulier peut fort

bien avoir été importé à Cuba par les voies du commerce, de la même manière que la *Gryllotalpa* européenne a passé à Java ¹.

Le genre *Sphingonotus* est, en dehors des genres migrants le plus cosmopolite de tous les genres de l'ancien continent, et il n'est pas sans intérêt de faire remarquer que c'est précisément ce genre, si répandu dans l'hémisphère oriental, qui seul parmi les OEdipodiens s'étend aussi sur l'Amérique.

Le genre *Acrotylus*, très voisin des *Sphingonotus*, bien que se composant de petites espèces toutes très voisines les unes des autres, s'est répandu d'une manière un peu différente, mais sur une surface presque aussi vaste. Les *Acrotylus* sont des insectes plus méridionaux que les *Sphingonotus*, ils sont en même temps tropicaux et extratropicaux, tandis que les *Sphingonotus* sont presque exclusivement extratropicaux.

Les *Acrotylus* occupent les bords de la Méditerranée et la zone correspondante de l'Asie, les Indes, puis l'Afrique tout entière.

4° Sur le nouveau continent les genres sont généralement, comme dans le monde ancien, assez régulièrement cantonnés suivant les latitudes, bien que la forme du continent américain et la chaîne des Andes avec ses climats si variés se prêtassent plus particulièrement à une dispersion du nord au sud.

Un seul genre semble avoir profité de ces facilités en se propageant d'un bout à l'autre des Amériques. C'est le genre *Trimerotropis* qu'on rencontre depuis la Nouvelle Angleterre jusqu'en Patagonie. Il se divise en espèces qui sont circonscrites entre certaines latitudes; mais ces espèces sont si voisines les unes des autres qu'on ne réussit guère à en bien marquer les limites, d'où l'on peut conclure que la migration de ce genre ne remonte peut-être pas à une bien haute antiquité.

5° L'Australie est pauvre en OEdipodiens. On n'y trouve que quelques genres asiatiques (*Heteropternis*, *Dittopternis*, *OEdaleus*) auxquels la chaîne des îles a dû servir de pont; puis deux genres spéciaux *Urmissa* et *Pycnostictus* qui se rattachent au genre cosmopolite des *Sphingonotus*.

¹ Voir Henri de Saussure, Mélanges orthoptérologiques, II, p. 196.

6° Un fait frappant de la distribution des OEdipodiens, du reste commun à d'autres groupes d'Orthoptères, c'est la connexion qui règne entre la faune indienne et celle du sud de l'Afrique.

Toute une série de genres et même d'espèces sont communs d'une part à la Chine, aux Indes, à l'Archipel asiatique, d'autre part à l'Afrique méridionale, et remontent le long de la côte occidentale de l'Afrique jusqu'aux confins du Sénégal. Tels sont les genres *Cosmorhyssa*, *Heteropternis*, *Ditopternis*, *Trilophidia*, sans parler des genres migrants qui obéissent à une loi de distribution moins bien définie.

Il n'est pas à supposer que ces genres se soient propagés des Indes par l'Arabie et la côte orientale de l'Afrique, attendu qu'ils ne se rencontrent pas sur le milieu de ce parcours.

C'est directement au travers de l'Océan que la propagation a dû se faire, par les îles de la Sonde et à une époque où il devait exister un pont entre l'extrémité de l'Afrique et l'archipel Indien. Cette même analogie entre les deux régions se retrouve chez les Insectes hyménoptères, et elle est particulièrement frappante dans la Tribu des Vespiciens¹.

7° Un autre type de distribution non moins frappant est celui qui comprend d'une part la zone méditerranéenne et d'autre part le sud de l'Afrique. Divers groupes d'Orthoptères rentrent exclusivement dans ce cas ; tel est entre autres celui des Pamphagiens.

Parmi les OEdipodiens c'est seulement la section des Éremobites qui a subi ce genre de répartition, à part toutefois l'exception fournie par quelques *Sphingonotus* (comp. § 3). Il est vrai que les genres méditerranéens sont tous différents des genres sud-africains, mais ce n'en sont pas moins des genres voisins les uns des autres et se groupant autour d'un type très caractérisé.

Cette diffusion ne peut s'expliquer que par le fait d'une continuité géographique et climatérique qui a permis une fois la progression graduelle de ces insectes depuis les latitudes australes jusqu'aux régions

¹ Voir dans l'ouvrage de A. Grandidier, sur Madagascar. Partie des Hyménoptères par M. Henri de Saussure.

tempérées de l'Europe, ou *vice versa*, et cela à d'autant plus forte raison que les espèces sont pour la plupart incapables de voler vu l'atrophie de leurs organes. La continuité géographique a dû ensuite avoir été interrompue pendant une période géologique fort longue pour avoir amené la grande divergence qui règne aujourd'hui entre les genres méditerranéens et ceux qui sont propres au sud de l'Afrique.

Aujourd'hui la communication entre le nord et le sud de l'Afrique étant rétablie, les deux groupes pourraient se rejoindre en progressant l'un vers l'autre, et c'est bien ce qui semble avoir lieu pour les Pamphagiens qui jouissent de la même répartition géographique que les Éremobiens, mais ces derniers ne semblent pas avoir profité des mêmes circonstances et continuent à former deux clans de toutes manières bien séparés l'un de l'autre, l'un boréal, l'autre austral.

J'ai déjà signalé ces faits dans mon travail sur les *Pamphagiens*¹. J'y reviendrai plus bas à propos des Éremobiens.

8° A la suite de ces considérations générales je mentionnerai encore un fait de répartition spéciale qu'on pourrait nommer aberrante.

Il est deux espèces qui jusqu'à ce jour ne se sont rencontrées que dans la région de la mer Rouge d'une part, et d'autre part au Cap Vert et aux îles Canaries. Ce sont :

Le *Sphingonotus Savignyi*, Sss., espèce commune en Égypte et en Arabie, et qui se retrouve au Cap vert mais sous une taille notablement moins grande (var. *canariensis*).

Puis la *Quiragosa Brullei*, Sss., qui vit à Aden (et aux Indes) et qui se retrouve aux Canaries où elle affecte également une taille notablement moins grande qu'en Orient.

La présence de ces espèces sur des points isolés et séparés par de si grandes distances rappelle le fait signalé au § 7, mais avec ces différences toutefois que la ligne de progression va ici non pas du nord au sud mais de l'est à l'ouest, et que son interruption se rattache à des

¹ *Spicilegia entomologia Genavensis*, II, Genève, 1887.

événements tout récents, puisqu'il s'agit ici non pas d'un genre ou d'une tribu ayant jalonné son parcours par des espèces graduées suivant les régions qu'il a successivement parcourues, mais au contraire d'espèces ayant subsisté sans altération sensible sur deux points fort distants l'un de l'autre.

Faut-il supposer que chacune de ces espèces a jadis progressé de l'est à l'ouest par les bords de la mer Saharienne avant que le Sahara n'eût émergé de l'océan et qu'elles ont ensuite été détruites sur tout ce long parcours par des modifications récentes du nord de l'Afrique ?

9° Les OEdipodiens renferment un certain nombre d'espèces sociales et migratoires que leur voracité rend souvent très redoutables pour les cultures.

Dans l'Amérique du nord ces espèces dévastatrices sont en assez grand nombre et constituent un véritable fléau pour l'agriculture. On trouvera à ce sujet d'abondants renseignements dans les *Rapports* de la Commission entomologique de Washington ¹.

Dans l'hémisphère oriental les espèces migratoires sont moins nombreuses, sans être moins redoutables pour les contrées qu'elles infestent de leurs incursions. Elles appartiennent exclusivement aux genres *Pachytylus* et *OEdaleus*, et, grâce à leurs migrations, elles ont fini par devenir cosmopolites.

Ainsi le *Pachytylus cinerescens* a envahi tout l'hémisphère oriental. Il semble s'adapter à tous les climats à l'exclusion toutefois des climats froids. Il s'est répandu des côtes de l'Atlantique jusqu'aux extrémités de l'Asie au travers de la Sibérie méridionale, du Turkestan et de la Chine. Il s'étend sur les régions indiennes et sur tout l'Archipel asiatique, sur toute l'Afrique et dans les îles qui en dépendent. Il a envahi le continent australien et même la Nouvelle Zélande, où il a formé une variété de taille inférieure à la moyenne. Enfin il a poussé ses conquêtes dans les archipels de la Polynésie jusqu'à des limites qui ne sont pas encore bien

¹ Reports of the U. S. entomological commission, etc., Washington.

définies. A l'occident il s'arrête aux îles Canaries; on ignore s'il s'étend jusqu'aux Açores.

Le *Pachytylus migratorius* a une ère beaucoup moins étendue. En tant qu'espèce migratoire il ne se meut guère que sur l'Europe orientale et sur le Turkestan. Sur plusieurs points de l'Europe occidentale il n'apparaît que comme espèce locale menant une vie solitaire comme d'autres *Œdipodiens* non migrants. Les migrations de cet insecte sont donc beaucoup moins importantes que celles du *P. cinerescens*, aussi le nom sous lequel on le désigne lui a-t-il été assez mal appliqué. C'est au *P. cinerescens* que conviendrait ce nom, plus qu'à tout autre *Pachytylus*. Il n'est du reste guère douteux que Linné en l'appliquant n'ait confondu les deux espèces en une seule, et il eut mieux valu conserver le nom de *migratorius* au *P. cinerescens* qu'à son congénère.

Les autres *Pachytylus* sont propres aux régions chaudes et particulièrement à l'Afrique méridionale. Ils ont tous des habitudes migratoires et sont susceptibles de devenir un fléau lorsqu'ils se multiplient à l'excès.

Signalons encore le *P. migratoroides* qui est pour ainsi dire le représentant tropical du *P. cinerescens*. Il est répandu sur presque toutes les parties chaudes de l'hémisphère oriental, de l'Abyssinie au Cap de Bonne-Espérance, aux îles Mascareignes et aux Indes, dans l'archipel asiatique, à la Nouvelle Hollande et à la Nouvelle Zélande. Ce migrant, à en juger par les analogies, doit avoir des mœurs toutes similaires de celles du *P. cinerescens*.

L'*Œdaleus marmoratus*, espèce éminemment tropicale, s'étend au sud de l'Équateur au travers de l'Afrique, de l'Archipel indien et de la Nouvelle Hollande, mais il n'a pas été signalé à la Nouvelle Zélande.

L'*Œdaleus nigro-fasciatus* qu'on peut considérer comme le correspondant boréal de l'*Œ. marmoratus* atteint son maximum de développement dans les régions tempérées. Il se meut sur toute la zone méditerranéenne, et s'étend vers l'Orient jusqu'aux extrémités du continent asiatique. Il a également envahi l'Afrique et ses îles et a poussé des

pointes dans l'Archipel indien. Mais, très variable dans sa taille, comme dans ses formes et sa livrée, il se divise en variétés nombreuses et pour ainsi dire illimitées qui passent par degrés aux espèces voisines (de taille plutôt faible), en sorte qu'il n'est pas possible de fixer les limites géographiques de l'espèce avec une parfaite sûreté.

On peut présumer que toutes les espèces du genre *OEdaleus* sont susceptibles de se multiplier outre mesure et d'exécuter des migrations en masse. Ce qui détermine les migrations, en effet, c'est le manque de nourriture résultant du développement exubérant du nombre des individus. Lorsqu'une région est dévorée, il faut bien que les insectes en gagnent une autre, sous peine de mourir de faim, aussi l'espèce capable de se multiplier beaucoup devient-elle forcément migratoire.

Le phénomène des migrations est donc pour ainsi dire un fait occasionnel. Chez certaines espèces il est sans doute devenu permanent, mais tout en restant soumis à des accidents continuels. Telle espèce habituellement migratoire, si elle vient à succomber presque entièrement dans une contrée, y deviendra momentanément endémique et sédentaire; telle espèce sédentaire, qui par une succession de causes se multiplie d'une façon extraordinaire, deviendra momentanément migratoire. Telle autre aux mœurs migratoires sous certains climats, restera endémique sous d'autres, tout en redevenant migratoire par moments. C'est là par exemple ce qu'on a souvent observé en Suisse pour l'*OEdaleus nigrofasciatus* qui dans ce pays vit à l'état endémique, mais qui de temps en temps devient épidémique dans certains cantons.

Tant que les insectes sont à l'état de larve ils progressent en sautant. Lorsqu'ils ont pris des ailes, ils en profitent pour se transporter au travers des airs et volent souvent à de grandes distances. Ce sont naturellement les espèces de plus grande taille et le mieux ailées qui parcourent ainsi les plus grandes distances, et sous ce rapport les *Pachytylus* sont les plus dommageables.

On ne sait pas au juste pendant combien de temps les gros criquets peuvent soutenir leur vol et quelle peut être la longueur de leurs étapes;

on sait seulement qu'ils exécutent des voyages considérables. Lorsque leurs nuées sont emportées par les vents, elles sont souvent entraînées fort avant dans la mer et finissent par s'abattre sur la surface liquide qui ne tarde pas à leur servir de tombeau. Eu égard à la rapidité avec laquelle le vent franchit les distances, il n'y a rien d'impossible à ce que les ouragans n'emportent au delà des mers de grands vols de ces insectes, soit d'une île à l'autre, soit même au travers des mers d'une grande largeur¹.

Ainsi s'expliquerait comment les Orthoptères migrants ont pu passer d'un continent aux îles qui en dépendent comme par exemple d'Afrique à Madagascar et aux îles Mascareignes.

Toutefois les grands océans paraissent être absolument infranchissables, car pas une espèce, pas un genre des Œdipodiens migrants n'a passé de l'ancien continent dans le nouveau monde.

Il est vrai que le genre *Acridium* (lequel peut être considéré parmi les Acridiens comme le correspondant du genre *Pachytylus*, tant par ses formes que par ses mœurs) a envahi toutes les contrées des deux hémisphères, mais comme ses espèces diffèrent essentiellement d'un continent à l'autre, il est manifeste que ce genre, s'il a fait le tour du monde, a dû le faire à une époque fort ancienne, autrement les espèces n'auraient pas eu le temps de se diviser. Or les transformations de l'écorce terrestre ont été si profondes et la configuration des terres s'est tellement modifiée d'une époque à l'autre qu'il n'a pu manquer d'exister par intermittence des ponts partout où n'existent aujourd'hui que des océans².

¹ On sait que certains oiseaux comme les Pluviers exécutent des migrations au travers de l'océan, d'Europe au Groenland et au Canada.

² La faune circumpolaire étant partout la même, on en a conclu qu'il y a eu, encore à l'époque quaternaire, continuité de terres sur tout le pourtour de la zone arctique. D'autre part les recherches d'Osw. Heer ont montré qu'à l'époque tertiaire cette zone jouissait d'un climat tempéré. Une multitude d'espèces ont donc pu passer à cette époque d'Europe en Amérique et *vice versa*, et depuis que la zone circumpolaire s'est refroidie, ces espèces ont dû graviter vers le sud. Les restes de cette grande faune commune aux deux continents se retrouvent dans la faune arctique actuelle; plus au sud dans le Bison et dans le Bœuf musqué (fossile sur le Rhin de l'époque quaternaire).

Les *Pachytylus* et les *OEdaleus* n'ont pas profité des moyens de communication qui semblent avoir favorisé la progression des *Acridium*. Il faut en conclure que ces genres sont d'origine plus récente et qu'ils ne se sont développés que postérieurement à la disparition des points de contact qui relient entre eux les continents et à l'élargissement des mers qui les ont isolés les uns des autres.

dans les races bovines et chevalines (fossiles post-tertiaires dans l'Amérique boréale), etc. En ce qui concerne le monde des Arthropodes, tant d'espèces propres à l'Amérique boréale ressemblent si fortement à celles de l'Europe que l'origine commune d'une infinité d'entre elles ne saurait être mise en doute.

DIVISION DES ŒDIPODIENS EN TROIS LÉGIONS

- 1. Tibiarum posticarum margo exterior spina apicali ad calcaria posita deficiens.
- 2. Ocelli ad oculos positi ŒDIPODITES.
- 2,2 Ocelli ab oculis remoti TRINCHITES.
- 1,1. Tibiarum posticarum margo exterior spina apicali ad calcaria posita instructus EREMOBITES.

1. Stirps ŒDIPODA

(*OEdipodites*, Prodromus, p. 64.)

SYNOPSIS GENERUM

- 1. Frons processum nullum efficiens
- 2. Spatium inter foramina metasterni situm angustum, ♂ sensim longius quam latius vel lineare, ♀ quadratum, quam spatium inter lobos metasterni situm angustius. (Tibiæ cœruleæ vel fuscæ, luteo-fasciatæ, margine externo spinis 8-10.)
- 3. Pronotum cristulatum; crista per sulcum unicum intersecta vel integra; metazona quam prozona longior, valde angulata. Tempora explicata.
- 4. Elytra subcoriacea, dense irregulariter reticulata, tantum apice remotius (sed vix regulariter) areolata; vena intercalata venæ mediæ quam v. ulnari propior. Alæ læte coloratæ, disco basali rubro vel flavo; venis haud incrassatis, costa stigmatate nullo; area ulnari haud sensim dilatata; furca venæ mediæ per venam spuriam in parte apicali divisa. 1. *Arphia*, St.

- 4,4. Elytra fera dimidia parte apicali (saltem in campo discoidali) membranaea, venulis transversis rectis; vena intercalata a v. media remota. Alæ dilute coloratæ, nebulosæ; venis ad costam, et frequenter v. media ♂, incrassatis; costa vitta nigra instructa; area ulnari dilatata, remote scalarivenosa; furca venæ mediæ tantum apice per venam spuriam divisa. Alarum venæ spurie tantum in margine exteriori explicatæ.
5. Vena intercalata elytri intermedia, tantum apice venæ mediæ paulum approximata. Alarum venæ parum vel vix incrassatæ. 2. *Chortophaga*, Sss.
- 5,5 V. intercal. venæ ulnari quam v. mediæ distincte propior. Alarum venæ laudatæ ♂ distincte incrassatæ.
6. Antennæ brevissimæ, crassæ. Caput compressum, rostro verticis prominulo, angulato. Pronotum compressum. 3. *Chimarocephala*, Sc.
- 6,6. Antennæ longiusculæ, graciles. Caput subtumidum, rotundatum, vertice ♀ anterius obtuso. Pronotum subconstrictum. 4. *Encoptolophus*, Sc.
- 3,3. Pronotum humiliter carinatum, sulcis 3 in dorso transverse percurrentibus, margine postico obtusangulo. Alarum area ulnaris angusta.
4. Tempora haud explicata, in plano laterali jacentia. Pronotum planulum, carina lineari, per sulcos 3 intersecta, inter sulcos explicata. Elytr. venæ graciles; vena intercalata haud explicata. Alæ normales. Caput compressum, rostro angulato. 5. *Tetramerotropis*, n.
- 4,4. Tempora distincte explicata. Pronotum brevissimum, subconstrictum, carina inter sulcos oblitterata. Elytrorum venæ crassiusculæ; v. intercalata explicata, intermedia, vel venæ ulnari propiore. Alæ venis paucis. Caput tumidum, rotundatum. 6. *OEdocara*¹, Sc.
- 2,2 Spatium inter foramina metasterni situm latiusculum, ♂ quadratum, ♀ transverse quadratum.
3. Pronoti metazonæ canthi laterales sulcum typicum transnatantes, ad illum frequenter calloso-cristulati, per illum sulcum haud intersecti (vel per varietatem intersecti); sulcus typicus in lobis lateralibus plus minus obsoletus vel tenuis.
4. Corpus in utroque sexu alatum. Pronotum posterius angulatum.
5. Pronoti carina per sulcum unicum intersecta. Elytra remote reticulata.
6. Canthi laterales metazonæ in lobis lateralibus cum costam obliquam continui; prozona in dorso valde 3-carinata, carinis lateralibus retro-

¹ Ce genre se rapproche par sa tête des *Encoptolophus*, et par son pronotum des *Eignatus* et genres voisins.

- convergentibus. Elytrorum v. intercalata intermedia vel venæ ulnari propior. Alarum furca venæ mediæ tantum apice per venam spuriam divisa. Caput declive7. *Hippopedon*, Sauss.
- 6,6. Canthi laterales metazonæ cum canthi lateralibus dorsi prozona continui, vel cum illis flexuoso-conjuncti, vel haud continui; sed costa obliqua loborum lateralium nulla. Elytrorum v. intercalata ad venam mediam vergens. Alarum furca venæ mediæ per venam spuriam divisa.
7. Canthi laterales pronoti acutissimi, subrecti, toti percurrentes, per sulcum anteriorem subintersecti. Alæ vitreæ8. *Cammula*, St.
- 7,7. Canthi later. pron. variabiles, callosi, recti vel flexuosi, percurrentes vel inter sulcos 2 anteriores evanidi. Alæ coloratæ.
8. Elytra remote irregulariter reticulata, dimidia parte apicali submembranacea9. *Hippiscus*, Sss.
- 8,8. Elytra densissime coriaceo-reticulata, tantum apice membranacea. (Tomonotus, Sss.)
- 5,5. Pronoti carina per sulcos 2 intersecta (in varietatibus tamen per sulcum unicum incisa).
6. Alarum venæ radiatæ graciles, normales.
7. Elytra modice dense reticulata, dimidia parte apicali membranacea, quadrato-reticulata. Carina pronoti distincta.
8. Elytra angusta, vena intercalata haud condite explicata. Alæ vitreæ, haud fasciatæ. Femora post. pubescentia margine supero serrulato. Pronoti metazona quam prozona paulo longior.10. *Ostracina*, n.
- 8,8. Elytra. latiora, vena intercalata rite explicata. Alæ coloratæ, fasciatæ. Femora post. subglabra, haud serrata. Pronoti metazona quam prozona sesquilongior.11. *Xanthippus*, Sss.
- 7,7. Elytra densissime reticulata, tantum apice membranacea. Carina pronoti subtilis.12. *Leprus*, n.
- 6,6. Alarum venæ radiatæ incrassatæ. Elytr. vena intercalata explicata vel deficiens. Alæ variabiles47. (*Bryodema*, F.)
- 4,4. Corpus apterum. Pronotum posterius transversum.
5. Caput parpendiculare, costa faciali irregulari, ad ocellum dilatata, haud sulcata. Corpus tuberculatum.
6. Antennæ graciles, longiusculæ. Caput tumidum, ab antico obtritum¹.
13. *Pappipapus*, Sss.

¹ Ce genre rappelle assez dans les détails de la tête, le genre *Leprus*.

6. Antennæ breves, crassiusculæ apice subclavatæ. Caput nec tumidum nec ab antico planatum.14. *Pappus*, Sss.
- 5,5. Caput plus minus declive, vertice angulato; costa faciali recta, sulcata. Pronotum costulatum.15. *Phrynotettix*, Sss.
- 3,3. Canthi laterales metazonæ pronoti per sulcum posticum typice intersecti, ultra illum frequentius evanidi; sulcus posticus in lateribus condite explicatus.
4. Pronoti carina integra vel per sulcum unicum intersecta.
5. Verticis marginēs acuti; ocelli ad illos positi; tempora nulla. . .16. *Psophus*, St.
- 5,5. Verticis marginēs variabiles; ocelli ab illis remoti.
6. Pronotum altissime cristatum; crista immensa, lamellaris, foliacea.
7. Tempora nulla, in plano laterali jacentia. Elytra irregulariter reticulata tantum apice submembranacea; vena intercalata obsoleta.
8. Crista pronoti plana, integra. Elytra coriacea; vena intercalata venæ mediæ propiore. Tibiæ post. extus spinis 12-14. . .17. *Pyrgoderæ*, F. W.
- 8,8. Crista pronoti costata ac denticulata. Elytra remotius reticulata; v. intercal. intermedia vel venæ ulnari propiore. Tibiæ post. extus spinis 15-18.18 *Tropidolophus* Thom.
- 7,7. Tempora explicata. Elytra dimidia parte distali submembranacea; vena intercalata rite explicata, ad venam mediam vergente. .19. *Brunnerella*, n.
6. Pronotum cristatum vel carinatum; crista nec immensa nec foliacea.
7. Elytra dimidia parte distali (ab arcu stigmatico) tota membranacea, areolis magna parte quadratis vel rhomboidalibus.
8. Elytra dimidia parte proximali irregulariter reticulata, coriacea, saltem in areis intercalatis opaca;
9. etsi in area ulnari coriacea. Femora post. serrulata.
10. Venulæ transversæ partis distalis elytrorum perpendiculares, areolas quadratas delineantes.
11. Pronotum acute cristulatum. Tempora nulla, in plano laterali jacentia. Tibiæ post. extus spinis 10-11.
12. Crista arcuata. Vertex obtusus; frons a latere rotundatus. Pronoti metazona acutangula, quam prozona longior.20. *Humbella*, Bol.
- 12,12. Crista subrecta. Vertex angustior; frons a latere subangulata. Metazona quam prozona haud longior.21. *Scintharista*, Sss.
- 11,11. Pronotum tectiformiter carinatum. Tempora impressa vel obsoleta. Tibiæ post. extus spinis 9-10.
12. Femora post. serrulata. Tempora impressa. Verticis scutellum late

- truncatum, breve. Elytra adhuc paulo ultra medium irregulariter reticulata (habitus g. *OEdalæi*).....22. *Chloebora*, Sss.
- 12,12. Fem. post. haud serrulata. Tempora obsoleta. Verticis scutellum ovatum, longiusculum. Elytra a medio quadrato-reticulata. (Habitus g. *Scintharistæ* et *Conisticæ*).....23. *Quiroquesia*, Bol.
- 10,10. Venulæ transversæ partis distalis elytrorum obliquæ, pinnatæ, areolas rhomboidales delineantes. Tempora trigonalia.....24. *Pternoscirta*, Sss.
- 9,9. in area ulnari membranacea. Femora post. haud serrulata. Verticis scutellum sulcatum. Corpus gracile.
10. Pronotum haud strigatum. Tempora lateralia, nulla. Pronoti carina in prozona altior, tectiformis, in metazona humilior; metazona quam prozona paulo longior. Vena intercalata ad venam mediam appropinquata.
25. *Mioscirtus* n.
- 10,10. Pronotum strigatum. Tempora trigonalia. Pronoti carina linearis; metazona quam prozona longior. Vena intercalata recta, subintermedia.
26. *Cosmorhyssa*, St.
- 8,8. Elytra dimidia parte proximali minus dense reticulata, minus coriacea, areis intercalatis plerumque transverse venulosis.
9. Pronotum acute cristatum.
10. Crista per sulcum typicum haud vel tenuiter intersecta. Tempora nulla, in plano laterali jacentia. Tibiæ post. extus spinis 12-13 (in individuis majoribus magis, in minoribus minus numerosis). Costa facialis superne plana, parallela. Femora post. in speciebus majoribus serrulata, in minoribus margine integro.....27. *OEdaleus*, F.
- 10,10. Crista per sulcum typicum profundissime intersecta. Tempora minute trigonalia, lateralia vel obsoleta. Tibiæ post. extus spinis 9-10. Costa facialis sulcata ad ocellum latior. Femora post. haud serrulata.
Dissosteira longipennis, Sc.
- 9,9. Pronotum carinatum; haud cristatum. Carina per sulcum typicum distincte intersecta. Alæ haud distincte transverse fasciatæ.
10. Elytra tota membranacea, vena intercalata recta, venæ ulnari propiore et illi parallela. Alæ vitreæ; furca venæ mediæ fere tota per venam spuriam divisa. Tibiæ post. extus spinis 11-12.....28. *Pachytylus*, F.
- 10,10. Elytra dimidia parte proximali magis coriacea, irregulariter reticulata; vena intercal. variabili, apice tamen ad venam mediam vergente. Alarum furca venæ mediæ incomplete divisa. — Tempora perspicua. Verticis

- scutellum truncatum. Costa frontalis superius foveolata (rare sulcata).
Calcaria tibiæ posticarum valida.
11. Tibiæ posticæ extus spinis 9-10. Tempora lateralia. Alæ nebulosæ, basi dilute coloratæ vel vitreæ. Vena intercalata elytri retro-convexa.
12. Calcaria interna tibiæ posticarum haud insigniter inæqualia, normalia, arcuata.....29. *Ditopternis*, Sss.
- 12,12. Calc. int. tib. post. valde inæqualia; inferum longissimum, unguiculo brevi, rectangulatim incurvo.....30. *Heteropternis*, St.
- 11,11. Tibiæ post. utrinque spinis 13-15. Tempora elongata. Alæ coloratæ, dimidiatæ. Vena intercalata elytri venæ mediæ propior...31. *Celes*, Sss.
- 7,7. Elytra tantum tertia parte apicali regulariter quadrato-reticulata, de reliquo coriacea, vel *irregulariter* reticulata; vena intercalata semper venæ mediæ propior.
8. Elytra dimidia parte apicali remote (apice quadrato-) reticulata.
9. Pronotum tectiformiter carinatum; carina per sulcum typicum parum profunde intersectum. Femora post. serrulata. Elytra dimidia parte basali dense reticulata. Caput validum, obtusum.....(22. *Chlæbora*, Sss.)
- 9,9. Pronotum saltem in prozona elevato-cristatum; crista per sulcum typicum profunde incisa. Femora post. haud serrulata.
10. Elytra fere tota remote irregulariter, apice regulariter, reticulata. Lobi laterales pronoti angulo postico rotundato.
11. Caput compressum vertice angusto. Costa facialis subparallela.
32. *Pletica*, Sss.
- 11,11. Caput subtumidum, rotundatum, vertice latiusculo.
Dissosteira spurcata, Sss.
- 10,10. Elytra magna parte et secundum venam discoidalem densiuscule reticulata. Pronoti lobi laterales angulo postico infere acuto.
Conozoa sulcifrons, Sc.
- 8,8. Elytra fere tota densissime irregulariter reticulata, subcoriacea, tantum quarta parte apicali membranacea, quadrato-areolata. Alæ coloratæ, nigro-fasciatæ.
9. Femora postica margine supero integro.
10. Corpus gracile, compressum. Tempora lateralia, planula, trigonalia, brevia. Verticis scutellum apice angulatim impressum. Pronoti carina saltem antice cristata, profunde intersecta, vel cristulata haud profunde intersecta.

11. Elytrorum pars apicalis tertia vel quarta tota, etsi in margine costali membranacea 33. *Dissosteira*, Sc.
- 11,11. Elytr. pars apicalis membranacea obliqua, margine costali coriaceo. 34. *Lactista*, Sss.
- 10,10. Corpus crassiusculum. Tempora foveolata.
11. Caput compressum. Tempora lanceolata vel trigonalia. 35. *Tomonotus*, Sss.
- 11,11. Caput crassiusculum. Tempora ovata vel rotundata antrorsum vergentia.
12. Corpus crassum. Pronoti carina obtuse tectiformis. 36. *Pycnodyctia*, St.
- 12,12. Corpus obesissimum. Pronoti carina subtilis. (*Leprus*, Sss.)
- 9,9. Femora postica margine supero ultra medium exciso, sinuato. Tempora rotundata, foveolata, antrorsum spectantia, vel trigonalia, planula, magis lateralia. 37. *OEdipoda*, L.
- 4,4. Pronoti dorsum vel ejus carina per sulcos 2 intersecta. Tibiæ post. ut consue-
sue spinis extus 9-10.
5. Carina pronoti inter sulcos percurrens, haud oblitterata.
6. Carina in prozona plus minus elevata, a latere visa bidentata, vel bilobata,
vel biundata.
7. Elytra ♂ dilatata, venulatione difforme. Alæ abnormes, campo anteriore
dilatato, fenestrato, campo radiato basi coriaceo. Antennæ apice acumi-
natae. Occiput ad oculos utrinque carinulatum. 38. *Meristopteryx*, n.
- 7,7. Elytra et alæ normalia. Antennæ totæ filiformes.
8. Elytra dimidia parte basali irregulariter plus minus dense reticulata.
9. Elytra dimidia parte apicali (saltem in campo discoidali) fere tota regula-
riter transverse venulosa, nonnunquam tamen ad venam discoidalem
venulis nonnullis irregularibus; vena intercalata frequenter recta, sub-
intermedia. Pronoti carina prozonæ per sulcum anteriorem profunde
incisa, a latere remote bilobata, lobo vel dente postico retro-vergente.
Tempora a supero distinguenda.
10. Cranium summum pone oculos utrinque carinula transversa instruc-
tum. Corpus terrosus. Scutellum verticis utrinque per tempora sinua-
tum; hæc foveolata. Alarum furca venæ mediæ per venam spuriam
haud vel tantum apice divisa. Caput haud tumidum, occipite haud
vel parum prominulo¹.
11. Lobi laterales pronoti inferius subattenuati. Verticis scutellum

¹ Voyez *Prodrom.*, p. 154, le tableau des genres américains.

- carinatum. Tempora trigonalia. Costa facialis ad verticem convergens. Alæ coloratæ fascia arcuata fusca. 39. *Derotmema*, Sc.
- 11,11. Lobi laterales pronoti paralleli. Verticis scutellum haud carinatum. Tempora ovata, foveolata. Costa facialis in fronte parallela. Verticis scutellum parum declive.
12. Verticis scutellum longiusculum. Tempora plus minus lateralia. Lobi laterales pronoti angulo post. minute rotundato. Alæ margine nebuloso. Femora post. margine supero haud exciso. 40. *Trilophidia*, St.
- 12,12. Vertex obtusissimus, scutello obsoleto, transverso. Tempora antrorsum spectantia. Lobi laterales pronoti angulo postico late rotundato. Alæ coloratæ (area ulnari angusta vel latiore). Femora post. margine supero cristato, ultra medium subito exciso. 41. *Tmetonota*, Sss.
- 10,10. Occiput summum ad oculos carinulis nullis, nonnunquam tamen tuberculatum. Corpus haud terrosus. Verticis scutellum declive, per tempora utrinque haud sinuatum; hæc trigonalia. Caput plus minus tumidum, rotundatum, cranio prominulo, occipite adscendente; caput et pronotum propter hoc a latere leviter sellæformia. Alæ coloratæ vel limpidæ.
11. Pronotum posterius valde angulatum. Anterius cristulatum, cristula valde bilobata. Scutellum verticis infundibuliforme, anterius cum sulco costæ facialis continuum, ejus carinæ laterales postice ad oculos nonnunquam in tuberculum acutum terminatæ. Alarum venæ mediæ furca per venam spuriam longe divisa.
12. Caput majusculum; verticis scutellum apice truncatum, impressum. Antennæ graciles, modice longæ. Elytra basi plus minus coriacea, apice membranacea. 42. *Trachyrrhachis*, Sc.
- 12,12. Caput haud magnum; verticis scutellum apice acuminatum. Elytra basi dense coriacea, apice ad venam discoidalem venulis opacis minutis obsita. 43. *Psinidia*.
- 11,11. Pronotum posterius obtusangulum; anterius humiliter carinatum, carina a latere vix biundata. Scutellum verticis apice truncatum.
12. Cranium tumidum, prominulum. Pronotum subconstrictum, posterius transverse arcuatum vel valde obtusangulum. Elytra et alæ angusta, venis spuriiis elytrorum deficientibus vel explicatis, area intercalata transverse venosa. 51. (*Acrotylus*, F.)
- 12,12. Cranium haud prominulum. Pronotum planulum, postice rectangulum. Elytra parte proximali etsi in area intercalata coriacea. 50. (*Thalpomena*, Sss.)

- 9,9. Elytra tantum tertia vel quarta parte apicali regulariter transverse venulosa; eorum pars coriacea (vel irregulariter reticulata) obliqua, anterius quam posterius longius producta; vena intercalata flexuosa ad venam mediam vergente. Pronoti carina prozonæ minus profunde incisa, rotundata, bilobata vel fere recta. — Caput haud tumidum. Tempora trigonalia, sublateralia; verticis scutellum evatum apice impressum. Costa facialis ad verticem haud coarctata. Pronotum haud constrictum.
10. Alarum venæ radiatæ graciles, normales.
11. Elytra in dimidia parte costali nigro-, et luteo-bifasciata; inter venam ulnarem et marginem suturalem haud fasciata. Pronoti lobi laterales margine infero subrecto, obliquo, angulo postico frequenter acuto.
44. *Conozoa*, Sss.
- 11,11. Elytra tota transverse fasciata, vel haud fasciata, nigro-conspersa. Pronoti lobi laterales margine infero postice horizontali, antice oblique secto; angulo postico rectangulo, rotundato.
45. *Trimerotropis*, Sc.
- 10,10. Alarum venæ radiatæ incrassatæ 46. *Circotettix*, Sc.
- 8,8. Elytra tota remote reticulata, membranacea. Alarum venæ radiatæ incrassatæ 47. *Bryodema*, Fi.
- 6,6. Carina pronoti a latere linearis, in prozona haud elevatior.
7. Tibiæ post. intus spinis 16-17, extus 10. Elytra lata, fere tota membranacea, remote irregulariter reticulata; furca venæ ulnaris latissima; alarum venæ radiatæ incrassatæ 48. *Callirhipis*, n.
- 7,7. Tibiæ post. utrinque spinis 9-11. Elytra angustiora, saltem dimidia parte proximali dense coriaceo-reticulata; furca venæ ulnaris modice lata vel angusta; alarum venæ graciles, normales.
8. Elytra magna parte coriacea, tantum apice breviter membranacea. Antennæ longæ ac crassæ. Carina pronoti sutilissima, vix ulla. Tempora lateralia, haud explicata 49. *Hadrotettix*, Sc.
- 8,8. Elytra ultra medium magna parte membranacea, regulariter transverse venulosa. Antennæ graciles, mediocres. Tempora trigonalia.
9. Pronotum haud constrictum, postice angulatum. Elytra venis spuriiis completis.
10. Carina pronoti anterius cristulata *Conozoa sulcifrons*, Sc.
- 10,10. Carina pronoti subtilis. Pronotum planulum, margine postico rectangulo.

11. Crassiuseulæ. Pronotum anterius utrinque canthis lateralibus acutis.
Costa facialis infere explicata. Elytra latiuscula, haud fasciata.
50. *Thalpomena*, Sss.
- 11,11. Gracillimæ. Pronotum canthis lateralibus nullis. Costa fascialis
infere evanida. Elytra longe ad costam fasciata. *Conozoa Rogenhoferi*, n.
- 9,9. Pronotum subconstrictum, margine postico arcuato vel obtusangulo;
occipite prominulo; venis spuriiis elytri frequenter deficientibus.
51. *Acrotylus*, F.
- 5,5. Carina pronoti in prozona nulla, saltem inter sulcos oblitterata; sulci 3 in
dorso transverse percurrentes.
6. Verticis scutellum longitudinale, plus minus ovatum.
7. Lobi laterales pronoti haud sensim retroproducti. Elytrorum vena discoidalis
ut consuete furcata. (Prodrom. Pl. I, fig. 1, d, d'.)
8. Sulcus pectoralis valde retro-arcuatus, vel parte media retro-producta.
Elytrorum venæ paucæ; vena intercalata nulla vel spuria, venæ ulnari
proprior. Species minutæ.
9. Calcaria tibiæ posticarum normalia.
10. Sulcus pectoralis arcuatus. Elytra angusta. Alæ normales venis subtilibus.
..... 52. *Egnatius*, St.
- 10,10. Sulcus pectoralis fractus, media parte retroproducta, transverse
recta. Elytra latiuscula, alarum campus anterior dilatatus, fenestratus,
venis incrassatis. 53. *Charora*, n.
- 9,9 Calcaria tibiæ posticarum valde elongata 54. *Leptoscirtus*, n.
- 8,8. Sulcus pectoralis transversus, rectus.
9. Lobi laterales pronoti postice late rotundati. Elytra omnino remote-reticulata
..... *Bryodema Gebleri*, F.
- 9,9. Lobi laterales pronoti angulati, vel parum rotundati. Elytra dimidia
parte basali dense reticulata, subcoriacea.
10. Graciles. Elytra plus minus membranacea, vena intercalata explicata.
Pronotum subconstrictum a latere cum capite subsellæforme.
(*Spingonotus* et affines.)
11. Calcaria tibiæ posticarum haud insigniter elongata, normalia.
Elytrorum vena intercalata venæ mediæ valde propinqua, saltem
apice ad illam vergens.
12. Alæ posticæ venis radiatis incrassatis. Tibiæ posticæ rubræ.
54. *Helioscirtus*, Sss.

- 12,12. Alæ post. venis haud incrassatis. Tib. post. cœruleæ.
55. *Sphingonotus*, Fieb.
- 11,11. Calcaria tibiæ posticarum insigniter elongata.
12. Vena intercalata elytri venæ mediæ propinqua. Pronoti metazona quam prozona longior.
13. Elytra venis spurii instructa. Calcaria tibiæ posticarum gracilia56. *Leptopternis*, Sss.
- 13,13. Elytra venis spurii destituta. Calcaria tib. post. incrassata, apice incurva, interno metatarsum subæquante.
57. *Conipoda*, Sss.
- 12,12. V. intercalata venæ ulnari propior. Pronoti metazona quam prozona haud vel vix longior.54 (*Leptoscirtus*, n.)
- 10,10. Crassiores. Elytra magna parte coriacea, tantum tertia parte apicis membranacea; vena intercalata nulla vel indistincta, area media coriacea.58. *Heliastus*, Sss.
- 7,7. Lobi laterales pronoti distincte retroproducti, rotundati. Elytra angustissima, vena discoidali haud furcata.59. *Pycnostictus*, Sss.
- 6,6. Verticis scutellum transversum, anterius latius, margine antico lato, transverso, obtusangulo.60. *Urnisa*, St.
- 1,1. Frons in processum producta.61. *Dæmonca*, Sss.

DIAGNOSES SPECIERUM

5. Genus **Tetramerotropis**, n.

Corpus compressum, gracile. — Cranium carinatum. Scutellum verticis haud declive, planum, acute marginatum, pentagonale, rectangulum. Tempora nulla, in plano laterali jacentia. Pagi supra-antennales plani, valde elevati, postice per carinulam (verticalem in angulum lateralem scutelli verticis orientem et pone ocellum ducta) marginati. Ocelli a marginibus verticis valde remoti. Costa facialis infra antennis complete parallela, sulcata, supra antennis plana, punctata, ad verticem convergens. Oculi quam genæ longiores, elliptici; genæ infra illos carinatæ.

Pronotum lineari-carinatum. Carina per sulcos 3 rectos transverse percurrentes distinctissime intersecta, inter sulcos haud oblitterata. Metazona quam prozona sublongior, obtusangula, planata; prozona ante sulcum anticum utrinque carinula longitudinali instructa.

Elytra parallela, remote reticulata, submembranacea, pardalino-maculata; vena intercalata nulla; vena axillari libera. — Alæ angustæ, haud coloratæ.

Femora postica margine supero serrulato. Tibiæ post. margine externo spinis 8-9. Arolia tarsorum membranacea.

Cerci ♂ compressi, arcuati, apice rotundati.

Spatium inter lobos matasternales situm angustum.

Ce genre forme une exception parmi les *Oedipodiens*, en ce sens que la carène, sans être atrophiée, est coupée par les trois sillons.

Il se rattache au groupe des espèces chez lesquelles les perforations métasternales sont très rapprochées l'une de l'autre; il rappelle les *Edocara* par les sillons percurrents du pronotum, mais son *habitus* est bien différent et tient plutôt de celui des *Dittopternis* et genres voisins. Les élytres ocellés rappellent les *Cammula* et les *Hippiscus*.

I. T. cruciata, n. (Fig. 2.)

Fulvescens (virescens ?). — Caput læviusculum. Verticis scutellum pentagonale, marginibus lateralibus parallelis, postice apertum, antice rectangulum. Costa frontalis ad verticem valde angustata. — Pronotum læviusculum, sparse remotissime granulatum; metazona in lobis lateralibus rugulosa, verruculis et rugulis obsolete scabra, superne medio punctata. Lobi laterales margine infero arcuato, angulo postico obtuso, rotundato. Pronoti pictura brunea, crucem longitudinalem magnam in toto pronoto extensam ac per lineam nigram marginatam, delineans; ejus pars media vel dorsalis totam longitudinem pronoti tegens, postice ampliata, pone sulcum typicum constricta; ejus rami laterales utrinque in parte laterali loborum lateralium descendentes, illam magna parte tegentes, antice inter carinulam lateralem dorsi et sulcum intermedium valde constricti. Dorsum inter ramos crucis : postice plagias 2 pallidas oberfens, angulis humeralibus macula fusca, — antice maculas elongatas 2 pallidas, carinulas tegentes, præbens. — Elytra maculis pardalinis bruneis, anguste fusco-cinctis, parum numerosis obsita; campo costali basi fascia marginali et maculis 3; campo discoidali maculis majoribus 4 et apicalibus minoribus obsolete; campo anali maculis 1-2. — Alæ subhyalinæ, venis principalibus fuscis; furca venæ mediæ per venam spuriam divisa. — Femora postica fusco 3-fasciata, intus basi nigra. — Cerci ♂ compressi, lamellares, lati, apice ad inferum arcuati. — Long. ♂ 20; El. 19 mill.

In vivis verisimiliter crux pronoti maculaque elytrorum fusca.

Australia. — Fretum de Torres; insulæ *Darnley*, inter Novam Hollandiam et Nov. Guineam. (Godeffroy 1 ♂ in liquore decoloratus.)

Le dessin du pronotum offre un caractère très frappant. Il représente une croix aux formes déchiquetées et bordée d'une ligne noire. La branche médiane de cette croix occupe toute la longueur du dos tandis que les branches latérales descendent sur les côtés et couvrent presque toute la partie prozonaire des lobes latéraux. A leur base ces branches sont fortement rétrécies : en avant par deux taches allongées qui partent du bord antérieur et qui couvrent les carinules dorsales latérales, — en arrière par deux sinus arrondis formés par la couleur pâle de la métazone. La branche dorsale de la croix est rétrécie sur le sillon postérieur par ces mêmes sinus, élargie au bord postérieur (où elle est probablement sujette à se fondre avec les taches humérales). Les branches latérales ne tiennent à la branche dorsale que par un isthme limité à l'espace qui sépare le premier du deuxième sillon transversal.

9. Genus **Hippiscus**, Sauss. Prodrôm., p. 82; 8.

I. II. Ocelote, Sauss.; Prodrôm., p. 84; 1.

Pronotum superne valde rugosum, canthis lateralibus minus acutis, minus conti-

nuis, sat irregularibus, per sulcum anticum et intermedium incis. Lobi laterales in metazona punctata, margine infero ante medium subangulato. — Elytra ♀ abdomine breviora. — Femora post. crassa, convexiuscula, margine supero basi arcuato, dehinc subrecto, infero valde arcuato. — Long. ♀ 40; El. 27; Fem. 20 mill. — Mexicana Tellus frigidior; Guanajuato.

7. II. tuberculatus, P.-B. — Sauss. Prodrum., p. 87; 7.

Var. ♂. Alarum discus basalis flavus. Elytra ultra medium macula flavida; campo axillari flavido. — Amer. borealis.

10. Genus **Ostracina**¹, n.

Corpus obesum, terreum. — Caput complete perpendiculare. Vertex antierius obtusissimus, inter oculos latus, occipite subcarinato. Tempora lateralia, a supero tamen distinguenda. — Pronotum retro-dilatatum, cristulatum, prozona quam metazona brevior; crustula per sulcum typicum profunde interrupta, in prozona elevatior, per sulcum intermedium incisa; canthi laterales dorsi acuti, flexuosi, per sulcos prozonæ incisi. — Elytra angusta, parum dense irregulariter reticulata; vena intercalata nulla vel obsoleta. — Alæ haud vel parum coloratæ. — Femora post. valida, marginibus cristatis, margine supero serrulato. Tibiæ post. extus spinis 8, calcaribus sat robustis. — ♀ valvulæ genitales unguiculo arcuato, acuto terminatæ.

Ce type rappelle le facies des *Eremobia* et des genres *Hippiscus* et *Xanthippus*, par ses formes lourdes et son aspect terreux. L'écusson facial est bordé d'arêtes irrégulières et le pronotum est muni d'arêtes latérales saillantes et assez irrégulières, comme chez ces derniers genres. Le pronotum est aplati, mais avec une crête en lame de couteau, qui, vue de profil, forme sur le prozonite deux dents serratifformes, rappelant dans une certaine mesure ce qu'on voit chez les *Eremobia*.

1. O. terrea, n.

Crassa, valde pubescens, ochracea vel grisea, nigro-punctata. — Vertex antierius late rotundatus. Scutellum elongatum, subdeclive, postice parallelum, antierius angustum, utrinque ad oculos angulatum, antrorsum angustum, per tempora valde sinuatum. Tempora elongato-arcuato-trigonalia, punctata. Costa facialis planiuscula, ab infero ad verticem leviter convergens, infra ocellum subconstricta, ad frontem punc-

¹ De ὀστράκινες, imitant la terre cuite.

tata. Cranium in longitudinem carinulatum, utrinque ad oculos pagum quadratum lævigatum, acute marginatum præbens. Orbitæ pone oculos radiato-plicatæ. — Pronotum, in lateribus remote-granosum, superne planum, remote-tuberculatum, cristato-carinatum, margine anteriore valde obtusangulo, posteriore subrectangulo apice rotundato. Crista in prozona elevatior, a latere visa rotundato-bidentata; in metazona paulo humilior. Canthi laterales dorsi acutissimi, cristulati, posterius evanidi, antè ad marginem anteriorem perducti, per sulcum typicum parum, per sulcos prozonæ profundius intersecti, pone sulcum typicum potius convergentes, angulos humerales dilatatos late liberantes. Lobi laterales rugulosi, paralleli, angulo postico recto, rotundato.

Elytra abdomen parum superantia, maculis parvis nigris numerosis et ad apicem conspersa, vel reticulato-maculosa; parte apicali fere dimidia submembranacea, densiuscule quadrato-reticulata; area ulnari quam area media latiore; vena intercalata per venas implicatas 2 subdita; area furcæ ulnaris lata, basi dilatata, transverse venulosa. Vena axillaris libera, elongata. — Alæ hyalinæ, rete nigro, venis rectis; area furcæ venæ mediæ per venam spuriam longe divisa; area ulnaris areæ mediæ æquilata, quadrato-reticulata. Campus radiatus basi remotissime venulosus, (in vivis coloratus?). — Pedes valde villosi, nigro-punctati. Femora postica valida, lata, tantum apice attenuata, margine supero sat, infero magis dilatato, hoc in medio recto; carinulæ omnes lateris externi nigro-punctatæ; area supera nigro 3-fasciata; latus internum nigrum, apice et margine supero, luteis. Tibiæ post. sanguinæ, spinis 8 : 9, apice nigris. — ♀ Long. 34; Pron. 8; El. 28; Fem. 20 mill.

Africa meridionalis; Prom. B. Sp.

Le pronotum est fortement dilaté en arrière du sillon typique, formant au-dessus des élytres, des angles huméraux qui dépassent notablement en dehors la direction des crêtes latérales. Les élytres sont étroites et petits pour la taille du corps. Les pattes postérieures sont grandes, comparées à la brièveté de la tête et du pronotum; leurs fémurs ont le bord inférieur dilaté, mais non arqué au milieu. Les arêtes latérales du pronotum très saillantes, rappellent les *Hippiscus*, et forment ici une exception parmi les espèces de l'ancien continent, lesquelles n'en offrent jamais de pareilles; mais ici, au lieu de s'étendre en arrière jusqu'aux épaules, elles s'infléchissent en dedans, dégagant entièrement les angles huméraux qui sont très larges.

Le sommet de la tête offre un caractère particulier; on y voit deux carrés lisses placés en losanges, bordés d'arêtes vives, touchant les yeux par leur bord externe, et se touchant presque par leur angle interne, d'où résulte que les arêtes qui les bordent forment sur le crâne une sorte de croix (coupée par la carinule longitudinale). — Aux élytres la veine intercalée est remplacée par deux fausses nervures, qui sont comme entrelacées, se fondant entre elles et se séparant alternativement, formant presque une sorte de chaplet irrégulier.

Comparez le genre *Tmetonota*, qui du reste n'offre pas d'arêtes vives au pronotum, et dont les élytres possèdent une veine intercalée normale.

12. Genus **Leprus**, Sauss., Prodrom., p. 95; 10.

2. **L. corpulentus**, Sauss. Prodrom., p. 96; 2.

Individuum grande; statura *L. elephantis*, at crassius: Pronotum crassius, metazona rectangula vel subacutangula, haud longe producta, granulata. Vena axillaris elytri libera. — ♀ long. 39; El. 33 mill. — *Texas*. — ♂ Alæ apice obscuriores. — Long. 27; El. 25 mill. — *Mexico*.

15. Genus **Phrynotettix**, Sauss. Prodrom., p. 99; 12.

L'espèce nouvelle qui vient s'ajouter à ce genre nous oblige d'en modifier la diagnose comme suit :

Corpus apterum, crassiusculum, carinulatum. Antennæ breves, articulis parum numerosis. — Capitis facies declivis; vertex antèrius angulatus; costa facialis angusta, ad verticem acuminata. Ocelli et tempora nulla vel minima. Pagi supra-antennales transverse quadrati, — Pronoti sulci in dorso nulli vel sulcus intermedius partim perspicuus; dorsum utrinque carinulatum. — ♀ Valvulæ genitales variabiles.

Ce genre se rapproche des *Pappus*. La seconde espèce en particulier établit une sorte de lien entre les deux genres, par ses antennes en massue à l'extrémité et les lobes latéraux du pronotum qui ont la même forme que chez les *Pappus*. Néanmoins les deux genres sont bien séparés et diffèrent essentiellement par la face perpendiculaire des *Pappus*, dont la côte faciale est toute différente, par la forme obtuse du bord antérieur de l'écusson facial, par la surface rugueuse et chiffonnée du corps et par l'absence de carènes dorsales bien dessinées, chez les *Pappus*.

Synopsis specierum.

- a. Corpus depressum, dilatatum; pronoti dorsum utrinque margine acuto.....1. *rana*, Sss.
a,a. Corpus potius compressum, pronoti canthi laterales haud acuti.....2. *peruviana*, n.

1. **Phr. rana**, Sauss., (fig. 7) — Prodrom., p. 99; 1.

La fig. 7 de notre planche donne la représentation de cette espèce et permettra de la distinguer de la suivante.

2. *Phr. peruviana*, n. (fig. 8).

Subcompressa, ♀ ♂ aptera, fulvescens (viridis?). Antennæ breves 8-9 articulatae, depressæ, articulo ultimo elongato. — Corpus tota longitudine tenuiter carinulatum. Caput declive, rugulosum, facie in medio compressa, costa faciali sulcata, ad verticem laminatim compressa, haud sulcata; ejus carinæ rectæ, superne convergentes. Vertex antierius fere rectangulus, acute marginatus. Oculi triangulares. Pagi supra-antennales grandes, transverse quadrati, subgranulati. Ocelli inconspicui. Tempora nulla vel minima, supera, ante oculorum angulum impressionem minutam formantia. — Thorax in longitudinem irregulariter costulatus. Pronotum superne utrinque carinulam intus arcuatam vel subangulatam præbens, hae carinulæ antice et postice æque distantes. Dorsi latera insuper carinula longitudinali recta, frequenter obsoleta instructa. Sulci transversi in dorso nulli. Lobi laterales verticales, sulcum unicum (intermedium) obferentes, et per illum divisi; superne carinulam arcuatam per sulcum intersectam præbentes; angulo postico late rotundato, margine infero obliquo, sinuato. — Sternum nigro-varium. — Abdominis segmenta subtus basi nigra. — Femora postica brevia, crassa, margine supero modice, infero valde lamellari-dilatato, hoc fortiter arcuato. Tibiæ posticæ spinis 8 : 7. Arolia tarsorum sat magna. — Abdomen compressum; segmenta serie obsoleta præmarginali granulorum compressorum gaudentia, margine plano. Segmentum dorsale ultimum valde angulatim excisum; lamina supra-anali basi sulcata, apice trigonali. — ♀ Valvæ genitales subgraciles, unguiculo subincurvo; ♂ segmentum ventrale penultimum convexum, politum, macula nigra; lamina infra-genitalis subtrigonalis, subcompressa, carinata. — Long. ♀ 20; ♂ 14; Fem. ♀ 7,5, ♂ 6,5 mill. — Peru.

Variat : *a.* Abdomine rugulato; ejus segmenta lateraliter nigra, fascia obliqua et margine postico luteis. — *b.* Luteo et nigro marmoratus; vertice faciei 2 vel maculis nigris; pronoto antice inter carinulas luteo, posticè juxta illas utrinque fascia lutea; femoribus post. superne et inferne nigro-fasciatis. — *c.* Corpore valde luteo et nigro marmorato.

Cet insecte forme le passage du *Phrynotettix rana* au genre *Pappus*. Il offre les formes des *Pappus*, mais la tête à face inclinée, à côte faciale étroite, à vertex très angulaire en avant, ainsi que la présence des carinules au pronotum, doivent le faire placer dans le genre *Phrynotettix*. — Chez les *Pappus* la face est verticale; la côte faciale est fortement dilatée entre les antennes; le vertex est obtus; les rugosités du corps sont chiffonnées et multiples; enfin les tibias postérieurs sont armés d'épines plus nombreuses, au nombre de 10 : 10.

19. Genus **Brunnerella**, n.

Antennæ longissimæ, subgraciles, deplanatæ.

Caput validum, pachytyloides, verticale. Verticis scutellum planiusculum, inter oculos latum, antrorsum longe anguste parallele productum. Tempora grandia, foveolata, subsupera. Ocelli validi. Oculi ovato-globosi, prominuli.

Pronotum minutum, breve, valde constrictum, tota longitudine elevato-lamellari cristatum, crista per sulcum nullum incisa. Metazona superne plana, pentagona. Lobi laterales valde angusti, paralleli, verticales, angulis valde rotundatis.

Elytra dimidia parte proximali dense reticulata, vena intercalata subintermedia, arcuata, apice venæ mediæ propinqua. — Alæ coloratæ, valde angustæ.

Pedes graciles. Femora post. elongata, margine supero integro. Tibiæ post. graciles. Arolia inter ungues tarsorum membranacea, modice grandia.

Ce genre se rattache d'une part aux *Pyrgolera* par l'élevation de la crête prothoracique, d'autre part aux *Edaleus* par la livrée zébrée du corps, et même par la livrée des ailes, laquelle appartient au type des *Scintharista* qui font eux-mêmes partie du groupe des *Edaleus*. Les analogies dans la livrée constituent en effet un caractère généalogique et indiquent une véritable parenté entre les types qui en sont marqués.

1. Br. mirabilis, n. (Fig. 1).

Fulvescens, pronoto et capite oblique nigro-, et luteo-zebratis. — Antennæ nigrae, basi fulvæ, ♂ quam caput et pronotum simul sumpta plus quam duplo longiores; quam femora post. longiora, apice acute compresso. — Caput nigro-punctulatum. Vertex inter oculos transverse sulcatus, in longitudine, subtilissime subcarinulatus; scutello cum costa faciali subcontinuo, punctulato, marginibus utrinque prominulis, per tempora valde sinuatis. Tempora acute trigonalia, arcuata. Costa facialis planiuscula, parallela, punctulata, supra ocellum subdilata, a latere visa recta, ad verticem retro-arcuata, ab illo per impressionem separata. Genæ convexæ. Occiput macula trigonali nigra; cranium inter oculos fascia transversali nigra ornatum; os nigro-irroratum. — Pronotum quam vertex parum longius, superne fascia decussata albida margineque postico albido, crista elevatissima, a latere visa maxime arcuata, præsertim posterius subundulata, nigro-fasciata. Ejus latera sulcis obliquis 2-3, nec non costa obliqua granulata (vel irregulariter tuberculosa), antice granoso-tumida. Prozona tectiformiter declivis, rugosa, in lateribus oblique costata. Metazona utrinque plana, velutino-punctata, castanea, processu subacutangulato, apice hebetato, marginibus latiuscule

luteis, pone humeros subsinuatis; canthi laterales valde obliqui, superne tenuiter carinulati, intus albido-marginati. Lobi laterales nigro et luteo marmorati, infere impressione notabili nigro-nitida, margine infero obliquo.

Elytra apice haud attenuata, lutea, nigro-bifasciata, dehinc macula media, nigra, apice hyalino, venis hic illic nigro-spurcatis : dimidia parte distali membranacea, quadrato-reticulata; area ulnaris indivisa, quam a. intercalata posterior ter vel quater latior; furca ulnaris parallela, biseriata. Vena axillaris libera, brevis, ramosa.

Alæ disco basali purpureo vel roseo, fascia media nigra sat lata transversa, posterius arcuata marginem includente, ante angulum internum desinente, vittam humeralem elongatam emittente; pars apicalis limpida lobis 2 apicalibus infuscatis (primo macula, secundo margine, griseo). Campus humeralis aream axillarem sat superans, sinu inter lobos apicales valde explicato; furca venæ mediæ latiuscula, per venam spuriam divisa. — Femora post. intus basi nigra et fascia nigra superne fasciis vel maculis nigris, extus linea longitudinali nigra. — Lamina supra-analis ♂ acute triangularis. — ♂ Long. 23; Pron. 5; El. 25; Fem. 15 mill. — **Armenia**; Ordubat. (Coll. Brunn. 15014.)

20. Genus **Humbella**, Bol. — Sauss., Prodröm., p. 105; 18.

Les *H. tenuicornis* et *flava* se rencontrent dans l'Afrique méridionale, au Cap, au Transvaal et le long de la côte occidentale de l'Afrique jusqu'au Sénégal. Les individus du midi de l'Afrique sont marqués de couleurs vives. Chez la *H. tenuicornis*, la bande noire des ailes n'est pas rétrécie en avant, et elle s'étend sur le bord postérieur; mais dans les variétés pâles, elle se rétrécit dans toute son étendue; elle dégage alors le bord postérieur, et dans ce cas elle offre, comme chez les *Edaleus* à bande réduite, des prolongements rayonnants qui partent de son bord externe, les rayons du champ radié restant noirs et baveux.

Chez la *H. flava*, la partie apicale de l'élytre a ses nervures marquetées de petites taches, et les deux lobes apicaux des ailes sont ♀ un peu tachés de brun, ♂ entièrement bruns.

Synopsis specierum.

- a. Species nobis cognitæ.
- b. Crista pronoti altior, arcuatior; elytri vena intercalata incomplete explicata; alarum furca venæ mediæ parum dilatata, per venam spuriam ♀ longe, ♂ brevius divisa; area media quam area ulnaris paulo angustior *tenuicornis*, Sch.
- b. b. Crista pronoti minus alta, minus arcuata; elytri vena intercalata distincta; alarum furca venæ mediæ dilatata, scalaris-venulosa, tantum apice per venam spuriam divisa; area media angustissima; area ulnaris dilatata *flava*, L.
- a. a. Species nobis ignota *pachytyloides*, Bol.

1. H. tenuicornis, Sch. — Sauss., Prodrum., 106; 1.

Var. minor. Long. ♀ 31, ♂ 22; El. ♀ 24, ♂ 21 mill. — Color in vivis virescens. — ♂ Alæ lobis 2 apicalibus infuscatis vel nigris. Lamina infragenitalis sat producta, hebetato-acuminata. — Africa meridionalis; Promont. B. Sp.

Genus **Scintharista**, Sauss., Prodrum., p. 121; 21.

Voyez plus bas au genre MIOSEPTUS, page 36, n° 25.

22. Genus **Chlœbora**, Sauss., Prodrum., p. 132; 27.

Tempora trigonalia, basalia, sublateralia. Antennæ breviusculæ.

Synopsis specierum.

- a.* Costa facialis ad verticem subangustata. Alæ fascia arcuata fusca, marginem anticum attingente..... 1. *grossa*, Sss. — 2. *bramina*, Sss.
a,a. Costa facialis ad frontem latior, inferè angustior. Alæ haud complete fasciatæ.
b. Alæ basi rubræ, haud fasciatæ..... 3. *crassa*, W.
b,b. Alæ postice fascia arcuata brevi fusca 4. *Grandidieri*, n.

1. Chl. grossa, Sauss., Prodrum., 132; 1.

Costa facialis ad verticem subangustata. Verticis scutellum basi carinulatum. Pronoti crista continua, per sulcum typicum parum profunde intersecta. Elytra densius reticulata; area ulnari quam area media valde latiore; vena intercalata arcuata partim intermedia. Tibiæ post. extus spinis 10, quarum 5 rudimentalibus, 5 majoribus.

3. Chl. crassa, Walk. — *OEdipodu crassa*, Walk.! Cat. B. M. Derm.; Saltat. IV, 741, 74. (1870) ♀ ♂.

Fulvescens, crassa. Caput rotundatum. Scutellum verticis obsoletum, basi brevissime carinatum, apice parum coarctatum, quam longius ♀ latius, ♂ quam latius longius. Costa facialis ad frontem quam infra ocellum latior. — Pronotum punctu-

latum, vix rugulosum; carina a latere subarcuata, ♀ ad sulcum typicum subsinuata; processus posticus apice rotundatus. — Elytra grisea, nigrescente-maculosa, coriacea, dimidia parte distali membranacea, triente apicali quadrato-reticulata. — Alæ hyalinæ disco basali purpureo, fascia fusca nulla. — Femora post. crassa, intus basi et annulo præapicali nigro-cœruleis, superne nigro-bifasciata, extus carinulis nigro-punctatis; margine supero ac infero in dimidia parte basali dilatato. — *Var.* Alarum discus ruber obsolete fusco-cinctus. — Long. ♀ 40, ♂ 25; Pron. ♀ 9, ♂ 7,5; El. ♀ 33, ♂ 25; Fem. ♀ 21,5, ♂ 15 mill. — **India orientalis**; Bengalia.

4. *Chl. Grandidieri*, n.

Fulvescens, obesa. — Antennæ breves, gracillimæ. — Caput maximum, rotundatum, facie punctulata. Vertex convexiusculus, scutello quam longiore ♀ latiore, subdeclivi, anterius obtusangulatim inciso, planiusculo, rugulato, obsolete carinato, marginibus lateralibus ad oculos subarcuatis, supra tempora subsinuatis. Costa facialis latissima, plana, punctata, ad verticem obtusangula, infra ocellum angustior. Tempora foveolata, minuta vel longiora, plana, lateralia. — Pronotum rugulosum, superne granulosum; cristato-carinatum. Prozona lateraliter nitida; metazona punctata, processu rectangulo; ejus crista quam illa prozonæ humilior; prozonæ crista recta, retro elevatior, angulo rotundato; sulcus intermedius et anticus in dorso retroundatus. Lobi laterales margine infero arcuato, anterius minute sinuato. — Elytra ♀ abdominis longitudine, fusco-conspersa, tantum tertia parte basali dense reticulata; vena intercalata venæ mediæ parallela et illi propior, basi evanescens. (Vena media ramosa; v. ulnaris indivisa, arcuata.) Area ulnaris quam area media paulum latior, apice grosse areolata. Vena axillaris ramosa, libera. — Alæ vitreæ, venis nigris, remote reticulatæ. Campus radiatus intus fascia brevi arcuata fuscescens. — Femora post. valida; carina supra serrulata, infera quam in *Chl. grossa* minus dilatata, vix perspicue serrulata. Tibiæ post. extus spinis 9 apice nigris. — ♀ Long. 38; El. 27. — **Madagascar**.

23. Genus *Quiroquesia*, Bol.

Quiroquesia, Bolivar, Annal. de Histor. Natur. XV, Madrid, 1886, 515.

Corpus læviusculum. — Caput compresso-rotundatum. Verticis scutellum ovatum, declive. Costa facialis plana, inferè dilatata, ad verticem punctata, coarctata. Tempora trigonalia, obsoleta. — Pronotum tectiformiter carinatum.

Elytra dimida parte proximali coriacea, dense irregulariter reticulata; dimidia parte distali membranacea, transverse regulariter venulosa. Alæ coloratæ, fascia arcuata et apice fuscis, illa vittam humeralem nullam emittente. — Femora post. haud serrulata. — Habitus generum *Œdipode*, *Conistica*, et fere *Pycnodytæ*.

Ce genre pourrait presque être réuni au genre *Chlæbora*; l'élytre a toutefois sa seconde moitié plus membraneuse.

2. *Q. Brullei*, Sauss. — *Acrid. minutum*. Brullé, Iles Canar. Ins. 78, 34; pl. V, fig. 13, ♀. — *Œdipoda? Brullei*, Sauss., Prodrom, 153, 8. — *Quiroquesia minuta*¹, Bolivar, Ann. de Hist. Natural, XV, 1886, 516.

Grisea, fusco-punctata, subtus lactea. — Caput læviusculum. Costa facialis ad ocellum subdilata, ad frontem punctata, ad verticem subcoarctata. Verticis scutellum elongatum, subfoveolatum, apice truncatum, apertum. Tempora trigonalia, haud explicata. — Pronotum breviusculum, punctulatum; humiliter cristatum; crista subarcuata, per sulcum typicum parum incisa; processu postico ♀ rectangulo, apice rotundato, ♂ acutiore. Lobi laterales paralleli, altiores quam longiores, postice rotundati. — Elytra fusco-punctata et bifasciata, dimidia parte basali dense reticulata, dimidia parte apicali membranacea, transverse venulosa, maculosa; vena intercalata arcuata, apice cum v. media confluens, basi evanescens; area forcæ ulnaris subparallela, haud coriacea, biseriata; vena axillaris variabilis. — Alæ disco basali purpureo, fascia media angusta transversa fusca limbum posticum includente, dehinc limpidæ, lobis 2 apicalibus fascia transversa fusca vel maculis 2 apicalibus fuscis, margine apicali lobi antici anguste hyalino. — Femora postica cristulata; crista supera integra; latere interno nigro-cæruleo, margine supero et annulo ante apicem luteis. Tibiæ post. sanguinæ. — Long. ♀ 30-32; ♂ 23; Pron. ♀ 6,5, ♂ 4,8; El. ♀ 30, ♂ 24; Fem. ♀ 16, ♂ 12,5 mill. — **Insulæ hespericæ.** (Mus. Parisiense.) — **Hispania merid.** (Bolivar).

Var. BLANCHARDIANA, n. — Validior, fulvo-grisea, fusco-punctata, subtus canescens. Pronotum acute carinatum, obtuse tectiforme, haud cristulatum; lobis latera-

¹ M. I. Bolivar, en formant un genre spécial pour cette espèce, est revenu au nom spécifique *minutus* qui avait été attribué à cette dernière par Brullé ensuite d'une erreur. Bien qu'il n'y ait plus de confusion possible avec l'*Œdipoda minuta* de Pallas, du moment où l'espèce est sortie du genre *Œdipoda*, nous conservons le nom *Brullei* que nous avions donné à cet insecte, car la règle veut que, lorsqu'une espèce nouvelle a été confondue avec une espèce connue, on donne à l'insecte le nom de l'auteur. Cette règle a le grand avantage, non seulement d'éviter toute nouvelle confusion, mais encore d'attirer l'attention sur la confusion qui avait été faite.

libus late rotundatis. — Elytrorum dimidia pars apicalis subhyalina, fusco-conspersa, ad basin densiuscule irregulariter reticulata. — Alarum discus basalis citrinus, lateritius, vel miniatus. — Tibiæ posticæ frequenter basi annulo flavo. — ♀ Long. 43; Pron. 7-8; El. 41; Fem. 23 mill.

India orientalis; Bombay (Mus. Paris.) — Arabia, Aden (Mus. Britannicum).

Cette variété est remarquable par sa grande taille; le pronotum est moins fortement caréné que chez le type. Néanmoins j'oserais à peine y voir une espèce distincte.

Espèce ayant les formes de la *Dissosteira saucia*, St. (Sauss., Prodrôm., p. 141), mais s'en distinguant par la livrée de ses ailes, et par ses élytres qui ne sont pas coriacés au delà du milieu ni dans l'aire de la fourche ulnaire.

M. I. Bolivar signale cette espèce comme ayant été rencontrée à Séville; ce serait donc encore une de ces espèces atlantiques qui sont communes aux îles d'Afrique, au Maroc et à l'Espagne. Mais le *Q. Brullei* offre un fait de distribution géographique bien plus remarquable encore et tout analogue à celui que présente le *Sphingonotus Savignyi*. Chacune de ces deux espèces se partage en deux colonies, l'une formée par une variété de grande taille répandue des Indes jusqu'à la mer Rouge; l'autre formée par une variété de petite taille occupant la région atlantique de Gibraltar au Cap Vert et aux îles Canaries (Comp. ci-dessus page 8, § 8). Dans la var. orientale du *Q. Brullei* les ailes ont une tendance à passer du rouge au jaune. Dans la variété occidentale elles paraissent être constamment rouges.

24. Genus **Pternoscirta**, Sauss., Prodrôm., p. 127; 24.

P. saturata, Walk. — *Acridium saturatum*, Walk. ! Cat. B. M. Dermapt., Saltat. IV, 740, 72. — Id. *Acrid. cinetifemur*, Ann. of Nat. Hist., 3^{me} sér., IV, 223.

P. Humbertianæ affinisissima. — Caput leviusculum, fusco-marmoratum, carinulis juxtaocularibus in basi scutelli exsertis. Alæ disco basali carmineo rotundato, de reliquo infuscate venis fuscis; campus posterior fascia fusca lata transversali, in margine postico haud producta. — Long. ♀ 31, ♂ 22; Pron. ♀ 6, ♂ 5; El. ♀ 28, ♂ 22,5; Fem. ♀ 16, ♂ 13 mill. — **Ceylon.** (Mus. Britannicum).

25. Genus **Microscirtus**, n.

J'ai été obligé d'établir ce genre aux dépens du genre *Scintharista* qu'il décaractérisait d'une manière fâcheuse. Il comprend les *M. Wagneri*, Ev. et *venusta*, Fieb. (Sauss., Prodrôm., p. 121, 122; 3, 2.)

26. Genus **Cosmorhyssa**, St. — Sauss., Prodrom., 123; 22.*Synopsis specierum.*

a. Pronotum regulariter costatum, carinulis percurrentibus, minus acutis.

1. *fasciata*, Th. — 2. *sulcata*, Th.

a,a. Pronotum rugose cristatum, carinulis undulatis, acutis; lobis lateralibus angulo postico magis rotundato. 3. *costata*.

3. C. costata, n.

C. fasciata, Th. paulo minor, nigrescens. — Caput fulvescens, infere ac superne nigrum. Costa facialis latiuscula, sulcata, punctata, marginibus nigro-fasciatis. Scutellum verticis piriforme, rugosum, impressum, haud carinatum, marginibus etsi retro cariniformibus. Cranium granoso-, et costato-rugosum, carinatum, pone oculos nigro 3-vittatum. — Pronotum nigrescens, rugosum; cristula a latere fere recta; dorso irregulariter costato, costulis undulatis, quam in *C. fasciata* elevatioribus, magis lamellaribus, præcipue in prozona incompletis. — Alæ ut in *C. fasciata* pictæ, disco basali miniato sed vitta nigra marginem posticum includente, intus tamen angustata ac abbreviata, retro extus dilatata ad marginem exteriorem extensa; campi antici et areæ axillaris tertia parte apicali limpida, venis valde nigro-inquinatis, margine costali nigro. — ♀ Long. 22; El. 22 mill.

Africa meridionalis; Promot. B. Spei.

Chez cette espèce les ailes sont plus richement colorées que chez la *C. fasciata* : le disque rouge s'étend jusqu'au milieu de leur longueur, et aussi sur le bord postérieur-interne; la bordure noire s'élargit en arrière et couvre toute la partie du champ radié qui dépasse le disque rouge. Il est probable que chez les mâles toute la moitié externe de l'aile est noire avec une grande tache transparente avant l'extrémité.

27. Genus **Ædaleus**, Fieb. — Sauss., Prodrom., p. 108; 19.

Subgenus **GASTRIMARGUS**, Sauss., Prodrom., p. 109, 110.

Le tableau de la page 109 peut se compléter comme suit pour la classification des nouvelles espèces :

- b, c.* Vertex compresso-globosus, haud distincte scutellatus, antérieus rotundatus, cum fronte complete continuus, utrinque plus minus marginatus.
- d.* Elytrorum area furcæ ulnaris basi dilatata. Alæ basi flavæ, fascia media nigra. Pronotum posterius acutangulum.
- e.* Major, pronoto elongato. Alæ disco basali flavo, fascia arcuata nigra.
- verticalis*, Sss. (Prodróm. p. 109; 1.)
- e, e.* Minor, pronoto brevior. Alæ dimidia parte basali et margine postico flavæ, fascia incompleta fusca..... *1. crassicornis*, Blanch
- d, d.* Elytrorum area furcæ ulnaris basi vix dilatata. Alæ limpidæ. Pronotum rectangulum.
- 2. vitripennis*, n.
- c, c.* Vertex scutellatus, etc.

1. *Æ. crassicornis*, Blanch.

Crassiusculus, caput compressum, fastigio a latere arcum minus obtusum efficiente quam in *Æ. marmorato*. Vertex antérieus convexus, haud planatus, scutello nullo vel obsoletissime marginato. Costa facialis superne punctulata et subcoarctata. — Pronotum modice elongatum, superne fusco-bivittatum, nonnunquam pallide-decussatum, posterius acutangulum. — Elytra parum elongata, pallide fasciata, macula fusca arcum stigmaticum tegente; vena intercalata venæ mediæ paulo propior; area furcæ ulnaris obliqua, per venam divisa, basi dilatata, (illæ *Æ. verticalis* conformi). — Alæ disco basali toto et margine postico citrinis, apice infuscato; fascia media arcuata transversa fusca ad marginem posticum perducta, sed in margine postico haud extensa. — Femora post. infere fascia brevi fusca, intus basi fusca. — ♀ Long. 27; El. 25 mill. — **Africa merid.**; Promont. B. Sp.

La forme de la tête se rapproche beaucoup de celle qui caractérise l'*Æ. verticalis*, mais la taille est de moitié moins grande que chez ce dernier, et le pronotum a son processus moins prolongé. — Si la bande brune de l'aile se continuait sur la partie postérieure, elle en couvrirait le bord en entier, c'est-à-dire qu'elle ne serait pas intramarginale.

2. *Æ. vitripennis*, n.

Fulvescens, compressus, capite pronotoque fasciis nigris zebratis ornatis. Vertex convexus, scutello obsoleto, antice aperto, cum costa frontali complete continuo, utrinque obsolete marginato, medio obsolete carinulato, antice punctato. Costa frontalis punctulata, parallela. — Pronotum modice elongatum, crista recta, vel paulum arcuata, margine postico rectangulo. — Elytra parum elongata, haud fasciata, dimidia

parte basali fusco-marmorata; dimidia parte apicali vitrea, maculis griseis consperso. Vena intercalata venæ mediæ paulo propior. Area furcæ ulnaris per venam divisa, basi haud insigniter dilatata. — Alæ limpidae, venis fuscis vel badiis, ima basi et margine interno subsulfurescentibus. — *Variat* elytris subfasciatis. — ♀ Long. 49; El. 39 mill. — **Africa meridionalis**; Promont. B. Sp.

3. *Œ. marmoratus*, Th. — Sauss., Prodrum., p. 112; 2. — *Gryllus pictus*, Leach, Zoolog. Miscell. I, Pl. 25, fig. 5 ♂ (**Australia**). — *Locusta flava*, Duncan, Natural. library. I, Introd. to Entom., 258; Pl. 16, fig. 2 (**Africa merid.**). — *Pachytylus determinatus*, Walk.! Catal. B. M. Derm., Saltat. V, 72.

Var. grandis. — Pronoti crista valde elevata et arcuata. Elytra dimidia parte basali haud fasciata, sed fusco-irrorata. — **Sina** (Kiang-si).

Var. minor. — Pronoti processus rectangulus, apice rotundatus. Alarum fascia fusca postice evanescens. — ♀ Long. 37; El. 32. — **Mongolia**.

Var. sudaicus, Sauss., l. c., 113. — Fusca, et luteo-zebratus. Alarum fascia fusca lata, marginem posticum vix liberans. — **Congo**.

Var. africana. — Alarum fascia nigra lata, obscura, apice ♀ nigro-punctato, ♂ fascia marginis fusca vel apice campi antici latiuscule fusco, margine lobi axillaris fusco-limbata. — **Africa merid.**

4. *Œ. acutangulus*, St. — Sauss., Prodrum., p. 114; 3. — ♀ Grandis, alæ sublimpidæ disco basali flavicante, de reliquo fusco-nebulosæ reticulatione fusca, posterius obscuriores, costa anteriore ultra medium fusca; venæ axillaris et radiata prima, (vel 1^a-3^a) nigrae, sed haud incrassatae (♀). — **Africa occidentalis** (Guinea; Assim).

5. *Œ. subfasciatus*, De II! — Sauss., Prodrum., p. 115; 6.

Œ. marmorato fere conformis at minor. Caput et thorax fusco-marmorata vel zebrata. Scutellum verticis obsoletum, tantum lateraliter marginalum, apice apertum. Costa facialis parallela ad frontem sublätior. — Pronotum parum elongatum; ejus crista medioeris, subrecta, granulata, per sulcum typicum haud vel obsolete intersecta; costæ obliquæ laterum distincte explicatæ; metazona acutangula. — Elytra ut in specie laudata reticulata, fusca, luteo 3-fasciata. — Alæ disco basali dilute cœrulescente, de reliquo nebulosæ, venis fuscis, margine postico obscuriore. — Femora

post. intus et supra fusco 3-fasciata, infere intus rubra. Tibiæ post. sanguineæ. — Long. ♀ 34, ♂ 24; Pron. ♀ 8, ♂ 7; El. ♀ 31, ♂ 25; Fem. ♀ 19, ♂ 14,5. — **Insulæ Pelew et Samoa.** (Le type au musée de Leyden.)

Obs. La forme du pronotum rentre bien dans le type des *Gastrimargus*. Dans la figure donnée par De Haan cette pièce est représentée trop courte. J'ai vu le type de De Haan au musée de Leyde.

Subgenus OEDALEUS, Sauss., Prodröm., p. 110, 115.

Le tableau de la page 110 du Prodrömus se complètera comme suit :

b, b. Minores, graciliores, etc.

c. Pronoti metazona quam prozona brevior vel haud longior, margine postico transverse arcuato vel obtusissime angulato.

d. Pronotum cristulatum, metazona utrinque ad cristulam (ut consue) sulco longitudinali instructa, sulcis binis posterius convergentibus..... *Senegalensis*, Kr.

d, d. Pronotum carinatum; carina in metazona utrinque sulco nullo..... *Mlokozjevetsi*, Bol.

c, c. Pronoti metazona quam prozona longior, rectangular..... *abruptus*, St.

6. **Æ. nigro-fasciatus**, De G. — Sauss., Prodröm., p. 116; 8.

Edipoda virgula, Suellen Van Vollenhoven! Recherch. sur la faune de Madag. et ses dépendances d'après les documents de P.-L. Pollen, et D.-C. Van Dam. 5^{me} part. Ins. p. 11, 8; pl. 2, fig. 2 ♀.

Cette espèce varie à l'infini et l'on est toujours tenté d'y tailler des espèces nouvelles lorsqu'on en reçoit d'une région nouvelle, mais en comparant de nombreux individus on voit que toutes les variétés de forme et de livrée se relient les unes aux autres par des passages insensibles.

Varietates in formis :

a. Crassus, elytris latioribus. — *Europa merid.*; *Oriens*; *Caucasus*; *Africa tota*.

b. Gracilis, compressus, elytris longis, angustis. — *Africa merid.*; *Rossia meridionalis*.

c. Pronotum posterius rectangulum (*virgula*, Snel.) — *Ubique in terraris*.

d. Pronotum posterius obtusangulum. — *Ibid.*

Varietates in pictura alarum.

A. Vitta arcuata nigra completa, tantum per venam dividenter interrupta vel subinterrupta, marginem posticum :

a. includente. — *Italia*; *Vallis*.

b. anguste liberante. — *Ubique in terris.*

c. late liberante; angusta. — *Rossia merid.*; *Africa merid.*

B. Vitta arcuata nigra :

d. plus minus late interrupta. — *Afr. merid.*; *Caucasus.*

e. intus abbreviata. — *Rossia meridionalis.*

f. angusta, obsoleta. — *Senegalis*; *Afr. meridionalis.*

C. Minor, pronoto brevi, postice obtusangulo, angulo rotundato, superne vittis 2 nigris (ut in *marmorato*) cum vel absque cruce albida tenui. — *Afr. merid.*

Var. caffer. — Minor, velutino-lævisculus. Vertex haud carinulatus; ejus scutellum planulum, apice latiuscule truncatum; costa facialis subparallela, ad frontem plana, punctata, haud coarctata, ad verticem haud vel parum coarctata, infra antennas sulcata. — Pronotum breviusculum, processu quoque acutangulo vel rectangulo, metazona quam prozona haud brevior. — Elytra breviuscula, plus minus angusta, fusco 3-fasciata, luteo-bivittata. Alæ disco basali sulfurescente, fascia arcuata nigra angusta vel angustissima, ad venam dividenter latiuscule interrupta, marginem posticum nunc includente, nunc liberante, apice fusco-inquinato. — ♂ alæ semper, elytra nonnunquam apice fusco. — ♀ Long. 27, ♂ 18; El. ♀ 22; ♂ 18 mill. — **Africa meridionalis**; Pron. B. Sp.

Les élytres offrent une 3^me bande brune distincte qui prend souvent la forme d'une tache oblongue; l'extrémité de l'organe est réticulé de noir.

Var. citrinus. — Caput superne et pronotum, saltem in crista obsolete verrucosa; verticis scutellum eodemmodo rugulosum, posterius carinulatum. Costa facialis parallela, ad verticem biimpressa, haud angulata. Pronoti prozona posterius latiuscula vittis 2 obliquis luteis. Alarum discus basalis laete citrinus, vitta nigra completa marginem posticum includente; pars apicalis hyalina, venis nigris, apice ♀ immaculato, ♂ nigro-maculato. Femora post. breviora, crassiora, apice minus longe gracilia. Statura modice grandis. — Long. ♀ 32, ♂ 19; El. ♀ 30, ♂ 21; Fem. ♀ 17,5, ♂ 14 mill. — **Promontorium Bonæ Spei.** — *Anne species?*

Variété frappante par ses ailes à disque très coloré et non d'un jaune transparent comme chez l'espèce en général. Ressemble beaucoup aux petites variétés sudafricaines surtout à celle qui commence à prendre une croix blanche au pronotum. L'écusson facial est plat, fortement bordé, en sorte que le vertex n'est pas convexe et bombé pour se continuer avec la côte faciale. Le pronotum est court.

Var. australis. — Minor, crassiusculus. Pronoti metazona prozonæ æquilonga, posterius rectangula. Elytra albo-fasciata. Alarum fascia arcuata nigra antérieurement interrompue, posterius marginem liberans; apex ♀ ♂ infuscatus, ♂ fuscus. — Long.

♀ 24, ♂ 21; El. ♀ 24, ♂ 17,5 mill. — **Nov. Holland.** — Transit ad *Œ. senegalensem* at pronoti metazona nec abbreviata, nec rotundata.

7. *Œ. infernalis*, Sauss., Prodr., p. 116; 9.

Var. — *a.* Elytra fasciata vel maculis angulatis obsita. Alarum fascia fusca marginem posticum includens. Long. ♀ 33, ♂ 25; El. ♀ 27,5, ♂ 24 mill. (Mongolia). — *b.* Alarum fascia fusca angusta vel in maculas soluta, obsoleta (Peking). — *c.* Alarum fascia fusca antè et postè evanescentes (Mongolia). — Species valde variabilis. Capitis fastigio quam in *O. nigrofasciatus* a latere magis angulato; pronoti lobi laterales angulo postico rectangulo-rotundato vel valde angulato. — *Anne var.* *Œ. nigrofasciatus?*

Le crâne n'est pas caréné; l'écusson du vertex est plat, bordé d'arêtes fines ou non bordé. La côte faciale est parallèle dans sa moitié supérieure, tantôt tout entière lisse et convexe, tantôt faiblement cannelée depuis les antennes. Le pronotum est un peu allongé en avant des ailes, néanmoins la métazone est notablement plus longue que la prozone; le processus est à angle ♀ obtus ♂ droit, toujours arrondi. La métazone est plate en dessus; les deux sillons qui d'ordinaire vont converger à l'extrémité du processus sont ici faibles et peu prononcés. Les lobes latéraux ont leur angle postérieur moins largement arrondi que chez l'*Œ. nigro-fasciatus*, souvent coupé à angle droit arrondi, avec la moitié postérieure du bord inférieur horizontale, non oblique.

8. *Œ. senegalensis*, Kr. — Sauss., Prodr., p. 117; 10. — Kr. l. c. Pl. I, fig. 9.

Cette espèce est moins variable que l'*Œ. nigrofasciatus*, néanmoins les limites entre les deux espèces seront parfois difficiles à trouver. Elle varie comme suit :

a. Pronoti margine post. transverse arcuato; elytris elongatis (Senegalis); — elytris brevibus (Australia).

b. Major. Pronotum postè obtusangulum. Elytra pallide bi-, vel trifasciata, furca ulnari angusta, basi dilatata, biseriata vel remote-reticulata. Alarum fascia nigra lata, interrupta, postè marginem anguste liberans, antè in campo anteriore et in area axillari antica nulla; margine costali nigro. Long. ♀ 33, ♂ 25; El. ♀ 27,5; ♂ 23 mill. (Senegalis).

c. Minor; alarum fascia nigra completa (Caucasus). — *c.* Crassus; elytrorum apice nigro; alarum fascia interrupta (Nov. Holl.).

9. *Œ. Mlokozietzi*, Boliv., Bullet. Entomol. de Belgique, 1884, t. XXVIII, p. cv.

Œ. senegalensis affinis, prasinus, fusco-marmoratus. — Costa facialis parallela, ad verticem vix coarctata; verticis scutellum propter hoc magis truncatum. — Pro-

notum breve; metazona quam prozona ♀ brevior, ♂ æquilonga, margine posteriore ♀ transverse arcuato, ♂ subangulato vel obtusangulo. Crista dorsi humilis, linearis, haud compressa, obtuse tectiformis, pronotum ergo potius carinatum quam cristulatum et sulci obliqui posteriorius ad ejus apicem convergentes propter hoc *nulli*. — Elytra angusta, ante venam ulnarem valde fusco 2-, vel 3-fasciata, albido bifasciata, dehinc obsolete maculosa. — Alæ disco basali sulfureo, fascia arcuata fusca sat lata, ad angulum internum producta, marginem posticum liberante, ad venam dividendam interrupta. Femora post. fasciata. — Long. ♀ 27; ♂ 21; Pron. ♀ 5, ♂ 4,7; El. ♀ 27, ♂ 21 mill. — **Caucasus**; Tiflis.

Cette espèce m'a été envoyée par M. I. Bolivar; elle a la même livrée, du reste très variable, que l'*Æ. nigrofasciatus*, dont elle diffère par la forme du pronotum qui lui assigne sa place à côté de l'*Æ. Senegalensis*. Elle se reconnaît à sa carène prothoracique peu élevée et dépourvue à sa partie postérieure des deux sillons en gouttières qui bordent cette carène chez les autres espèces. Ce dernier caractère la distingue de toutes les autres espèces du genre, qui toutes possèdent ces deux sillons.

28. Genus **Pachytylus**, Fieb. — Sauss., Prodrom., p. 118; 20.

1. **P. capensis**, Sauss., Prodrom., 118, 149; 1.

Variat: ♀ Costa faciali ad ocellum vix dilatata, vix punctata; pronoto parum stricto, nec granoso, nec nigro-vario; elytris variabiliter reticulatis, arcu stigmatico explicato; area medio-discoidali basi uniseriatim areolata; area intercalata anteriore quadrato-areolata, posteriore apice haud multiseriata. — *Vena media* ante eam furcam semper a *vena discoidali* valde *divergens*. — **Transvaal**.

♂ Fuscescens vel cinerascens. Scutellum verticis valde carinatum. Alæ vitreæ subtilissime cœrulescentes. Lamina supraanalis ovata, granulata, margine apicali obtusangulo ac utrinque leviter incisa.

Obs. Le bord postérieur de la plaque suranale ♂ étant faiblement échancré de chaque côté, il en résulte que ses angles postérieurs paraissent un peu saillants. C'est là peut-être ce que Stål a voulu exprimer dans sa description du *P. sulcicollis*? Il est donc possible que le *P. capensis* se confonde avec l'espèce de Stål.

7. **P. cinerascens**, Fabr. — Sauss., Prodrom., p. 149, 120; 7. — *P. brasiliensis*, Walker! Cat. B. M., Derm., Saltat: IV, 724, 4. — *Æ. cinerascens*, Hutton, Catal. of the New Zel. Diptera, Orthopt., Hymen., 1881, p. 93. — *Gryllus danicus*, Linn. S. N. Ed. XIII, 1767, 702, 57: — Stein, Deutsch. Entomol. Zeitung, 1878, 235.

29. Genus **Dittopternis**, Sauss., Prodrôm., p. 125; 23.

Les miroirs opaques des élytres ne sont ni aussi noirs ni aussi brillants que chez les *Heteropternis*; ils sont de couleur brune et, chez certaines espèces, ils paraissent devenir obsolètes¹. La côte frontale est cannelée. Les ailes n'offrent pas toujours des parties enfumées.

Ce genre renferme des éléments divergents qui nous obligent de le modifier dans une certaine mesure.

D'une part l'espèce australienne qui vient s'y ajouter le caractérise quelque peu, d'autre part l'exclusion de la *D. Couloniana* qui trouve mieux sa place dans le genre *Heteropternis* le rend mieux défini.

Synopsis specierum.

a. Antennæ capite pronotoque longiores. Pronoti carina cristulata; lobi laterales subretroproducti. Elytra in area discoidali plagiis micantibus notata; vena intercalata intermedia; vena ulnari triramosa; area ulnari et prima furca ulnari irregulariter dense reticulatis. Alæ ♀ fascia nebulosa semilunari campi postici; ♂ margine toto radiatim infuscato. Arolia tarsorum membranacea.

b. Lobi laterales pronoti angulo antico valde exciso, margine infero propter hoc obtusangulo.

1. *Ceylonica*, Sss. — 2. *venusta*, W.

b.b. Lobi laterales pronoti margine infero obliquo, subarcuato, anterieus subsinuato. 4. *zebrata*, Sss.

a.a. Antennæ capite et pronoto ♀ vix æquilongæ. Pronoti carina tenuis; lobi laterales postice rectanguli. Elytra speculis obsoletis; vena intercalata venæ mediæ quam venæ ulnari paulo propiore; vena ulnari biramosa; area ulnari et furca ulnari membranaceis. Alæ haud spurcatae. Arolia tarsorum minima, compressa. 5. *cruciata*, n.

2. D. venusta, Walk, — *OEdipoda venusta*, Walk. ! Cat. B. M. Derm.; Salt. IV, 740, 73.

Fulvens; alis diaphanis, disco basali splendide flavo, parte apicali fusco-reticulata; campi radiati fascia semilunari fusca. — ♂ alarum pars apicalis infuscata. — (Hindostana).

Var. Granulata; alarum discus basalis aurantio-flavicans; fascia campi postici nebulosa. — Africa merid. (Mus.-Brit)

¹ Chez les individus ayant séjourné dans la liqueur ils sont généralement détruits.

5. D. cruciata, n.

Fulvo-ochracea, bruno-umbrata.

Antennæ graciles. — Caput læviusculum, facie perpendiculari. Scutellum verticis piriforme, subfoveolatum, apice producto, *truncato*, marginibus sinuatis. Tempora triangularia, apicem rostri haud attingentia. Costa facialis sulcata, ad verticem et infra ocellum constricta, inferius parum dilatata ac planula. Oculi subrotundati, modice prominuli. Cranium læviusculum, seriatim nigro-punctatum, linea media pallida. — Pronotum læviusculum alutaceum, superne fascia pallida decussata nigro-marginata. Carina dorsalis tenuis, linearis, per sulcum unicum leviter intersecta. Prozona quam metazona valde brevior, fornicata, margine anteriore obtusangulato; in lateribus superius inter sulcum posticum et intermedium impressione nitidula. Metazona pentagonalis, planiuscula, canthis lateralibus nullis, processu acute-rectangulo. Lobi laterales in medio et in margine postico nigro-maculati; angulo postico rectangulo vel obtusangulo, margine infero in medio obtusangulato. — Elytra longuiscula, angusta, submembranacea, remote reticulata, corporis colore, fusco-multimaculosa ac punctata, apice pallucente, badio-venosa et punctata. Vena intercalata sat subtilis; areæ intercalatæ remote transverse venosæ; antica quam postica paulo angustior. Area ulnaris per venam spuriam divisa; vena axillaris haud typice confluens, abbreviata. — Alæ subhyalinæ, venis partim nigris, basi flavicantes, apice fusco-reticulato. — Femora postica modice crassa, superne, extus et intus fusco 2 vel 3-fasciata. — Tibiæ posticæ (cœruleæ?), spinis apice nigris, extus 10. Arolia inter ungues tarsorum minuta, compressa. — Pectus latum. Lobi mesosterni transversi, margine postico oblique arcuato. Lobi metasterni invicem sat remoti.

♀ Long. 20,5; Pron. 4,1; El. 19; Fem. 11,5 mill.

Australia meridionalis; Gawlertown.

Cette espèce cadre imparfaitement avec le genre *Heteropternis*, car la côte frontale n'offre pas de fossette, mais elle est plane ou légèrement cannelée. Nous avons cependant cru devoir éviter de former un genre nouveau pour la recevoir.

30. Genus Hepteropternis, Stål. — Sauss., Prodrum., p. 129; 25.*Synopsis specierum.*

- a. Elytra angusta, magna parte obscura, maculis pallidis irrorata. Area intercalata antica venulis crassioribus dense obsita; hae venulae in parte apicali areæ, obliquæ.
- b. Area intercalata antica quam postica valde latior, frequenter duplo latior, venulis arcuatis

- inpleta. Costa facialis convexiuscula, polita, haud marginata, inferius lata, evanescens, ad superum convergens, ad ocellum minute impressa. Calcaria interna tibiarum posticarum valde inæqualia; omnia apice incurvo. Elytra longiuscula. Alæ margine externo nebuloso. Corpus gracilius.
- c.* Lobi laterales pronoti margine postico sinuato, angulo postico propter hoc subretroproducto, acuto. Verticis scutellum apice truncatum. Lamina infragenitalis ♂ haud vel parum producta. *1. pyrrhoscelis*, St.
- c,c.* Lobi laterales pronoti margine postico recto, angulo postico recto, rotundato, haud retroproducto, margine infero arcuato. Verticis scutellum cordiforme, apice obsolete truncatum, potius rotundato-angulatum. Elytra hyalino-maculosa (area ulnari ac campo anali pallescentibus vel fulvidis.) Lamina infragenitalis ♂ longe acute producta. *2. obscurella*, Bl.
- b,b.* Area intercalata antica quam postica haud vel vix latior. Costa facialis ad ocellum sulcata. Corpus modice gracile.
- c.* Area intercalata anterior venulis arcuatis crassioribus impleta. Lobi laterales pronoti late rotundati. Costa facialis ad superum convergens, infere evanida, transverse convexa. Lamina infragenitalis ♂ medio producta. Calcaria interna tibiarum posticarum valde inæqualia; omnia apice valde incurvo. Alæ margine nebuloso. *2. hyalina*, n.
- c,c.* Area intercalata anterior venulis crassis haud arcuatis impleta. Lobi laterales pronoti postice obtusanguli, angulo hebetato, margine infero antice valde sinuato. Costa facialis latiuscula, planula, ad antennis dilatatuscula, infra ocellum parallela, ad verticem coarctata, attamen latiuscula; scutellum verticis propter hoc latius truncatum. Calcaria interna tibiarum posticarum modice inæqualia; externa et supero-internum normale arcuata. Elytra breviora. Alæ dimidiatae. *3. Couloniana*, n.
- a,a.* Elytra latiora, fulvescentia, fusco-punctato-fasciata. Area intercalata antica quam postica haud latior, venulis transversis haud incrassatis plus minus irregularibus dense obsita. Costa facialis breviter sulcata infere minus lata. Calcaria interna tibiarum posticarum valde inæqualia. *5. pudica*, Serv.

1. II. *pyrrhoscelis*, St. — Sauss., Prodröm., p. 130; 4.

Gracilis; pronotum superne vitta longitudinali fulva, vel haud tæniatum, fusco-marmoratum. Elytra fera tota fusca, muculis et fasciis pellucidis minoribus ac angustis tessellata. Alæ basi flavicantes, de reliquo hyalinæ, fusco-reticulatæ, limbo externo nebuloso; area media areæ ulnari æquilata. — ♂ Lamina infragenitalis ab infero visa subconica, apice hebetato. — **Area sundaica**; Sumatra; Malacca; Java. — Sina.

Var. a. sinensis. — Fusco-velutino valde irrorata. — Antennæ dimidia parte apicali nigræ. — Caput utrinque fascia obliqua lutea. — Pronotum superne fusconigrum fascia decussata pallida, vitta lutea media nulla. — Elytra basi nigra, apice fusca, parum pallide irrorata, sed margine antico maculis 2 decoloribus magnis præ-

dito; vena intercalata *recta*; area intercalata anterior apice haud coarctata, venulis parallelis, prominulis, ultimis etsi obliquis; v. ulnaris parum arcuata; furca ulnaris latior, venulis fortibus biserialim reticulata. — Alæ apice et margine exteriori ♀ fusciscente, ♂ infuscata fusco-reticulata, basi rosecentes vel dilute lateritiæ. — Long. ♀ 28, ♂ 22; El. ♀ 27, ♂ 23. — *Sina septentrionalis*; Kiang-Si. — (Anne Species?)

Var. b. Crassior, elytris paulo latioribus. Long. elytr. 25; Fem. 14 mill. — *Sina*.

Chez cette espèce l'aire intercalée antérieure de l'élytre a son extrémité rétrécie, et les dernières vénules transverses deviennent droites et espacées; cependant on observe des exceptions surtout chez les mâles, l'aire restant également large jusqu'au bout avec des vénules grosses et obliques.

De Haan cite cette espèce comme se rencontrant au Cap de B. Esp. et Stâl à Sierra Leone. Il y a probablement confusion avec l'*H. hyalina*, qui est une espèce africaine.

2. *H. obscurella*, Blanch. — Sauss., Prodrom., p. 130; 2.

Elytra minute et anguste pellucente-tessellata, margine suturali plus minus late pallido. Pronoti discus fuscus, vitta dorsali rufescente, haud pallide decussatus. — Alæ hyalinæ, basi flavicante, apice et limbo externo ♂ infuscatis, ♀ limbo vix nebuloso; area media areae ulnari æquilata. — **Australia; Nov. Guinea; Borneo; Ceram; Ambona.**

Espèce très distincte par la forme allongée et aiguë de la plaque sous-génitale du mâle. Les lobes latéraux du pronotum sont moins arrondis en arrière que chez la *H. hyalina*; ils sont parfois presque taillés à angle droit. Aux élytres l'aire intercalée antérieure n'est pas rétrécie à l'extrémité et ses vénules sont jusqu'au bout obliques et rapprochées, mais ensuite, après l'extrémité de la v. intercalée, elles deviennent plus ou moins perpendiculaires, très espacées et forment 4-5 grandes cellules comme du reste souvent chez les espèces suivantes.

3. *H. hyalina*, n.

H. pyrroscolidi simillima at crassior, ochraceo-fulvida, vel rufescens, fusco-marmorata, punctata et tessellata; subtus pallidior. — Antennæ annulatæ. Palpi lutei. — Costa frontalis ovato-foveolata. Scutellum verticis planum, ♀ æque longum ac latum, apice truncatum vel rotundatum. — Pronoti processus acutangulus, angulo rotundato; lobi laterales angulo post. late rotundato, margine inferiore arcuato. — Elytra ♀ quam corpus totum cum femoribus posticis paulo breviora, dimidia parte apicali pellucente, subhyalina, fusco-reticulata et punctata; dimidia parte basali fulvida, fusco-

marmorata, basi fusca; maculis 2 areæ mediæ nigro-nitidis, tertiaque obsoleta, nec non macula pallida majuscula ultra medium elytrum; campus analis totus fuscus. — Alæ limpidæ, subtiliter fusco-venosæ, ima basi flavicante; area ulnari quam area media latiore. — Femora post. extus nigro-punctata, intus superne irrorata. Tibiæ post. sanguineæ, calcaribus valde pilosis, interno-infero longissimo. — ♂ Lamina infragenitalis illæ *H. pyrrhoscelidi* similis, haud longe producta. — Long. ♀ 24, ♂ 20; El. ♀ 23, ♂ 19 mill. — Senegalis; ad flumem Casamanzam. — **Africa calida.** — Senegalis (coll. Brun. n° 2022). — Africa meridionalis; Natal; Transvaal; — Zanzibar (coll. Brun. n° 10,270).

A l'élytre l'aire intercalée antérieure est rétrécie à l'extrémité et les vécules y sont plus espacées. La côte frontale est plus ou moins rétrécie vers le vertex : lorsqu'elle devient très étroite l'écusson facial n'est pas tronqué mais à angle arrondi.

4. H. Couloniana, Sauss. — *Dittopternis Couloniana*, Sauss., Prodr., 125; 1¹.

Cette espèce est presque intermédiaire entre les genres *Dittopternis* et *Heteropternis*, car l'éperon interno-inférieur des tibias postérieurs n'est guère que du tiers ou du quart plus long que le supérieur. Néanmoins l'espèce sera mieux placée dans le genre *Heteropternis*, car le grand éperon a la forme qu'il affecte dans ce genre; il est gros et parallèle jusqu'au bout, cilié et terminé par un onglet très court fortement recourbé en crochet. L'éperon supérieur a son extrémité aiguë et très arquée. — Les élytres s'atténuent vers l'extrémité; la veine intercalée est fine; l'aire intercalée antérieure est plus large que l'aire postérieure¹; mais se rétrécit à l'extrémité; les vécules sont peu arquées, les dernières sont bifurquées, au delà des aires intercalées on voit 5-6 grandes cellules transversales.

5. H. pudica, Serv.! — Sauss., Prodr., p. 130; 3.

Crassiuscula, ochraceo-fulvescens, bruneo-irrorata, habitu fere *Dittopternidis zebraæ*. Costa facialis subparallela, ad frontem coarctata, repleto-foveolata. Scutellum verticis ♀ apice truncatum. Occiput pone oculos bruneo-fasciatum. — Pronotum diverso-modo bruneo-varium, nonnunquam bruneo-strigatum vel plagiatum, carina flavida. Prozona brevis; metazona quam prozona duplo longior, pentagonalis, canthis lateralibus retro magis divergentibus, margine postico rectangulo. Lobi laterales postice obtusanguli, margine infero angulato-arcuato. — Elytra latiuscula (ut in genere *Dittopternidi*), flavo-fulvescentia, nigro-nitido fasciata et maculosa, fasciis

¹ Ligne 7^{me} de la description au lieu de : area intercalata posterior quam antica latior, lisez : area intercalata anterior quam postica latior.

2 luteis retro-angustatis; quarta parte apicali subvitrea, obsolete griseo-fasciata; area ulnari pallida. Campus analis griseus, pallide punctulatus. Pars elytri ante venam ulnarem sita : quarta parte basali castanea, parte media fascia lata castanea flavido-strigata ornata. Area media apice quam area ulnaris haud sensim angustior. Vena intercalata gracilis, subrecta, apice intermedia; area intercalata postica quam antica basi angustior apice sublatis; utraque areæ venulis transversis rectis vel furcatis gracilibus dense obsitæ; area intercalata antica apice parum coarctata; area media ultra arcum stigmaticum areolis transversis 5-6, per venulas scalares delineatis prædita. — Alæ vitreæ, disco basali roseæ vel roscientes, dimidia parte apicali hyalina margine exteriori nebuloso, ut in specie laudata, area ulnari quam area media sensim latiore. — Femora postica superne fasciata, latere externo in carinis nigro-punctato, latere interno rubro vel nigro-irrorato. Tibiæ post. sanguineæ, calcare infero-interno, longissimo quam superum plus quam duplo longiore; reliquis apice valde arcuatis.

Var. Alæ basi pellucente-citrinæ.

Long. ♀ 25, ♂ 19; El. ♀ 23, ♂ 18. — **Africa meridionalis**; Promont. Bon. Spei. (Mus. Genavensis; Mus. Lugduni Batavorum; — Mus. Parisiense, typus Servillei.)

Cette espèce est très caractéristique du genre par la longueur de son éperon supero-interne, mais elle se rapproche des *Dittoptermis*; par son *facies*, par la position de la veine intercalée de l'élytre et la réticulation des aires intercalées. Les élytres jaunâtres, bariolés de châtain rappellent la *Dittoptermis zebra*. Chez les individus bien marqués ces organes offrent la livrée suivante dans la partie qui est placée en avant de la veine ulnaire : la base est brune avec un point jaune dans l'aire intercalée; puis vient une grande tache jaune triangulaire, puis une large bande brune formée de 3-4 bandes déchiquetées séparées par des taches en lignes jaunes, puis une grande tache pâle triangulaire du disque et des points bruns sur la marge, puis une bande brune oblique déjà obsolète, enfin 3 bandes très obsolètes et pâles sur la partie apicale transparente. Aux ailes le disque coloré occupe la moitié interne de l'organe et la couleur rose s'étend sur tout le bord postérieur.

36. Genus **Pycnodictya**, St. — Sauss., Prodrum., 144; 31.

1. P. obscura, L. — Sauss., Prodrum., 145; 1. — *OEdipoda rosacea*, Serv. ! Orth. 728, 11.

♀ Caput et pronotum quam in typo rugosiora; pronoti processus rectangulus. (Typus Servillei, in Mus. Paris). — Long. 37; Elytre 33 mill. — *Promont. Bon. Sp.* ♀ ♂.

2. P. Galinieri. Reich. — Sauss., Prodröm., 146; 2.

♂ Quam ♀ minor, minus rugosus. Alarum fascia nigra marginem posticum includens. Femora post. margine infero minus dilatato. — Long. 22; El. 25 mill. — *Abyssinia; Transaal.*

♀ *Var.* Alarum fascia nigra vittam humeralem incompletam emittens. — *Transaal.*

37. Genus **Ædipoda**, Latr. — Sauss., Prodröm., p. 146; 32.

1. Æ. cœrulescens, L. — Sauss., Prodröm., p. 151; 4. — *Clyphippus assumpti*, Santos Journ. da Acad. de Scienc. de Lisboa, 1884.

M. J. Bolivar ayant reçu des individus pris aux Iles Canaries par M. F. Quiroga a pu constater que l'espèce figurée par Brullé rentre bien dans l'*Æ. cœrulescens* comme nous l'avions supposé, l. c.

2. Æ. Charpentieri. Fieb. Synops. 23. 6 (Lotos III, 1853, 123, 6). — Brunner de W. Prodröm. d. Eur. Orth. 464, 5. — *Æ. cœrulescens*, Sauss., var. *a*, Prodröm., 151, 4. — *Æ. collina*, Pantel, Contrib. à l'Orthopt. de l'Esp. centr. (Ann. Soc. Epañola de Hist. Nat. XV, 1886, 246.)

Æ. cœrulescenti alis, *Æ. gratiosæ* de reliquo simillima, grisea vel flavicans, fusco-picta, frequenter picturis bruneis pruinosis ac lacteis multifarie ornata, ut in *Æ. gratiosa*. — Costa frontalis carinulata; verticis scutellum transversum, plus minus rugulosum, sensim ut in *Æ. cœrulescente* constructum; tempora majuscula, foveolata. — Elytra valde trifasciata. — Alæ dilute cœruleæ, fascia transversa nigra in margine postico desinente, in illum haud arcuato-producta, vitia humerali nigra *elongata*. — Femora post. extus fusco et luteo 3-fasciata, intus nigra, annulo ante apicem luteo. Tibiæ post. cœruleæ annulo subbasali luteo, vel nigro et luteo fasciatæ.

Var. sulphurans, Pant. — Alæ rosescentes. Corpus sulfurescens. Tibiæ post. lutescentes. (Costa facialis distinctius sulcata. — **Hispania.** — **Gallia meridionalis.** — **Sicilia.** (Fieb.; Krauss.)

M. Pantel distingue cette espèce de l'*Æ. cœrulescens* par les caractères suivants. Les élytres sont en général plus courts; la livrée de ses ailes est un peu différente, les fémurs sont plus courts; mais nous ne saurions admettre que les formes soient plus ramassées; cela varie suivant les individus.

L'*Æ. Charpentieri* est intermédiaire entre les *Æ. cœrulescens* et *gratiosa*. La sculp-

ture de la tête est identique à celle de cette dernière espèce, l'écusson facial étant ♂ court et transversal, tandis que chez l'*Œ. cœrulescens* il est ♀ aussi long que large. Le corps est en général un peu moins trapu et le sternum moins large que chez l'*Œ. gratiosa*, un peu plus que chez l'*Œ. cœrulescens*. Les lobes du mésosternum ont leur bord interne un peu plus oblique, arqué, et l'angle plus arrondi que chez les *Œ. cœrulescens*, *gratiosa* et *Ledereri*. Les fémurs postérieurs ont la crête supérieure élevée comme chez l'*Œ. gratiosa*, mais excisée d'une manière moins perpendiculaire et l'angle qui en résulte est aussi moins prononcé: il l'est cependant plus que chez l'*Œ. cœrulescens* et la crête du fémur est plus haute que chez cette dernière. Ce sont là des détails minimes, qui varient avec les individus et qui ne sauraient être des guides sûrs pour la distinction des espèces, mais qui confirment cependant leur séparation.

L'*Œ. Charpentieri* se reconnaît surtout à la ceinture noire de ses ailes, qui est large comme chez le *cœrulescens* (souvent partagée par des lignes hyalines rayonnantes formées par les nervures radiées et par la v. divisante, qui restent incolores). Cette ceinture noire s'arrête au bord postérieur sans se continuer le long de ce dernier, mais elle atteint ce bord tandis que chez l'*Œ. cœrulescens* elle le laisse étroitement libre; dans le champ antérieur elle émet une bande humérale *allongée*, comme chez l'*Œ. gratiosa*, et non raccourcie comme chez l'*Œ. cœrulescens*.

L'*Œ. Charpentieri* a le port de l'*Œ. gratiosa*; il est comme celui-ci sujet à être bariolé de brun, de noir, de jaune et de blanc, et cela d'une manière très inconstante qui présente presque autant de dessins qu'il y a d'individus; les élytres et les fémurs postérieurs sont le plus souvent fortement faciés de noir ou de brun; les bandes sont ou entières ou formées de points confluent, etc.

3. *Œ. Ledereri*, n. — *Œ. Charpentieri*, Sauss., Prodrom., 152; 5. (Syn. excl.)

Terrea, grisea, fuscescens. Caput parum rugosum. Verticis scutellum breve, planiusculum. Tempora rotundato-ovata, planula, antrorsum spectantia. Costa facialis planula, ad antennas leviter dilatata, ad frontem subparallela, subconstricta, carinulata. — Pronotum granosum, supra tuberculatum, metazona costato-tuberculata. Carina cristata, in prozona altior, in metazona anterieus humiliata; incisura propter hoc profunda, aperta. — Elytra trifasciata ut in *Œ. gratiosa*; apice hyalino, parte hyalina parum obliqua, margine antico etsi membranaceo. — Alæ disco basali flavicante, fascia arcuata fusca angusta, marginem posticum liberante, angulum internum haud attingente, vittam humeralem longiusculam emittente. — Femora post. fasciata, nigro-punctata, intus fusca annulo ante apicem luteo, margine supero subito exciso. Tibiæ post. cœruleæ annulo subbasali luteo. ♀♂.

Syria, a Dom. Lederer lecta.

Cette espèce que j'avais confondue avec l'*Œ. Charpentieri*, Brun. est de couleur terne en dessus; elle n'est pas bariolée ni marquée de plaques blanches comme les *Œ. gratiosa* et *Charpentieri*. La sculpture du front et du ventre ressemble beaucoup à celle de

O. carulescens, mais l'écusson vertical est plus transversal, à peine bordé, et les *tempora* sont plus arrondies; le pronotum est moins densément granulé, plus tuberculé et costulé en dessus. La crête est aussi élevée que chez les *O. gratiosa* et *Charpentieri*. Le dessin des ailes est très caractéristique; il ressemble toutefois (à part la couleur du disque) à celui qui se prononce dans certaines variétés de *O. gratiosa* dans lesquelles la bande brune devient étroite et dégage le bord postérieur.

S. G. Brullei, Sauss., Prodr., p. 153; 8.

Cette espèce, qui nous avait embarrassée tant que nous ne l'avions connue que par la figure citée, forme aujourd'hui le genre *Quiroquesia*. Voyez ci-dessus, à la page 34.

38. Genus **Meristopteryx**¹, n.

Antennæ filiformes, apice acuminatæ.

Caput leviter declivè, facie subrecta. Occiput anterius utrinque carinula obliqua. Tempora foveata ad superum vergentia, carinato-marginata, arcuata, ad apicem rostri attingentia, postice lata, antice acuta.

Pronotum cristulato-carinatum; cristula per sulcos 2 intersecta; superne sulcis 3, intermedio haud percurrente; prozona arcuato-tuberculata; metazona pentagonalis, læviuscula, canthis lateralibus carinatis. Lobi laterales subparalleli, infere rotundati.

Elytra dilatata, ad apicem lata, rotundato-truncata, venulatione deformi; vena discoidali ad marginem apicalem retroarcuata; v. media deficiente; v. ulnari crassa; retro curvata; v. intercalata prominula, flexuosa, intermedia; area ulnari coriacea; parte apicali subito membranacea. — Alæ deformes, anomalæ. Campus anterior dilatatus; venis incrassatis, aréis fenestratis; vena ulnari postica a v. dividente divergente. Campus posterior anterius scalaris-venosus, campo radiato subcoriaceo, margine membranaceo. — Femora postica sat valida.

Le genre offre certains caractères des Tryxaliens, surtout dans la difformité des élytres et des ailes, qui offrent une vénelation anormale. Les ailes ont leurs aires antérieures dilatées et vitrées (ce qui est souvent le cas dans les Tryxaliens, presque jamais chez les Edipodiens); cette difformité ne reproduit toutefois pas les formes qu'elle revêt chez les Tryxaliens (*G. Orphula*). Mais la nature rugueuse du corps, les détails de la tête: écusson du vertex, tempes, carinules du crâne et la carène bisinuée du pronotum, sont des caractères positifs d'Edipodiens, qui doivent faire placer ce type parmi ces derniers. Il faut y voir une de ces formes intermédiaires dans lesquelles un caractère

¹ De $\mu\epsilon\rho\iota\sigma\tau\omicron$ partager en compartiments, et $\pi\epsilon\rho\upsilon\zeta$ aile. — Qui a les ailes divisées en compartiments.

étranger vient se greffer sur le type de la tribu, comme par une inadvertance de la nature. Les carinales du crâne rappellent les *Trilophidia*, *Derotmenus*, *Tinctenota* et *Trachyrhachis*; et ce caractère là est spécial aux Oedipodiens.

1. M. rotundata, Walk. (Fig. 3.) — *Oedipoda rotundata*, Walk.! Cat. B. M. Derm., Saltat, IV, 1870; 743, 76, ♂.

Sat gracilis, fulvo et fusco marmorata. — Antennæ capite et pronoto simul sumtis æquilongæ. — Caput: verticis scutellum planiusculum, postice latum, antice longiuscule angustum, apice truncatum, per carinulam clausum, postice sulco transverso notatum, utrinque carinato-marginatum, carinis inter oculos parallelis, anterieus per tempora valde sinuatis. Costa facialis carinato-marginata, superne leviter convergens, ad verticem truncata. Occiput posterius punctis impressis 2, anterieus carinulis 2 antrosum convergentibus.

Pronotum superne sulcis distinctis 3. Prozonæ cristula a latere biundata; margo anterior arcuatus; tuberculi 2 compressi utrinque ad marginem anticum, 2 ad sulcum posticum, nec non 2 laterales; dorsum insuper carinulam arcuatam vel impressionem utrinque ad cristulam inter sulcum intermedium et posticum præbens; metazona quam longior sublatis, lævis, apice rotundato vel subinciso, cristula arcuata.

Elytra fusco 3-fasciata, a basi ad trientem apicalem dilatata, dehinc margine anteriore valde retro-arcuato; tertia parte apicali membranacea, lata, apice suboblique rotundata, truncata. Campus marginalis venis longitudinalibus 3, transverse remote venosus; vena mediastina et postmediastina confluentibus. Venæ principales prope basin retro-arcuatæ; v. humeralis indivisa; v. discoidalis ut consueute anguste furcata, ramo postico apice cum margine valde retro-arcuato et furcato; v. ulnaris crassa, ultra medium valde retro-curvata ac furcata, ante furcam ramos 2 rectos, invicem remotos ad marginem posticum emittens. Arcæ intercalatæ dense transverse venulosæ. Area ulnaris densissime reticulata; ejus furca secunda basi dense radiatim reticulata. Tertia pars apicalis elytri, ultra fasciam fuscæ subito membranacea, quadrato-reticulata (hæc pars apicem furcæ apicalis venæ ulnaris includens). Campus analis margine posteriore membranaceo, decolore; vena axillari cum v. anali confluenta.

Alæ vitreæ, margine postico apicali et antico partim infuscato, venulatione profunde anomala. — Campus anterior valde dilatatus; ejus margo costalis in triente apicali valde retro-obliquus, subarcuatus, infuscatus. Venæ difficile recognoscendæ: Venæ humeralis et discoidalis incrassatæ, flavæ, invicem remotæ; v. discoidalis basi sinuata; v. media subtilis, recta, fere a basi libera, apice parum arcuata. V. ulnaris anterior fusca, subrecta venæ ulnari posticæ subcontigua. V. dividens subtilis, a

v. ulnari post. divergens! aream vitream anomalam *postulnarem* liberans. Area medio-discoïdalis late fenestrata; area media latissima, fenestrata; area ulnaris nulla; area postulnaris (quam aream ulnari-analem vocare possumus) basi nulla, apice latiuscula. Areæ 3 illæ remote scalarî-venosæ. Apex campi antici breviter infuscatus, venis fuscis, areolis polygonalibus aliquibus præditus. Campus posterior semi-orbicularis, quam campus anterior vix brevior; sinus analis propter hoc obtusissimus. Areæ axillares scalarî-venosæ. Campus radiatus densissime albido-reticulatus, subcoriaceus, tantum in margine fusco-membranaceus, translucidus, transverse albido-venulosus.

Pedes luteo et fusco annulati. — Femora post. sat valida, brunea, carinis externis nigro-punctatis; subtus fasciis 2 fuscis, 2 luteis; intus fusca, fascia præapicali lutea, altera incompleta; inferius et margine supero partim luteis. Tibiæ post. luteo et nigro annulatæ, spinis extus 8-9. Arolia tarsorum minuta. Lamina infragenitalis hebetata.

Pectus et abdomen fusco-marmorata.

♂ Long. 15; Pron. 3,2; El. 14; latit, 3,2; Fem. 9 mill.

India orientalis; Bengalia septentrionalis. (Mus. Britann.)

40. Genus **Trilophidia**, Stål. — Sauss., Prodr., p. 157; 34.

Tr. annulata, Th. — Sauss., Prodr., 157; 4.

Var. japonica. — Statura major. Pronotum magis tuberculatum, tuberculo utrinque in prozonæ dorso alteroque in lateribus summis, majore. — Elytra grisea. — Alæ hyalino-thalassinæ, basi haud flavæ, margine toto latiusculæ nebuloso. — Long. ♀ 28, ♂ 18; El. ♀ 26, ♂ 19,5 mill. — *Japonia*.

Var. mongolica. — *Var. japonicæ* conformis, elytris tamen fasciatis. — *Sina septentrionalis*; montes in septentrione urbis Pekin.

40. Genus **Tmetonata**, Sauss., Prodr., 159; 35.

Ce genre a été établi sur un seul individu et la diagnose que j'en ai donnée (Prodr., p. 56, n° 35) se trouve être trop spéciale. Le genre doit être défini comme suit :

Corpus crassum, terrosum. — Costa facialis haud sulcata, rugulosa, ad frontem lata, infra ocellum angustior, coarctata vel constricta, dehinc subdivergens, et per carinulam transversam clausa, denique infere ad clypeum dilatata. Vertex obtusissimus,

rugosus; scutello obsolete, rugoso, ♀ transverso, haud foveolato, declive, antèrius per tempora utrinque valde sinuato et angustato, aperto. Tempora foveolata, rotundata, ad anticum spectantia, a supèro haud perspicua. — Pronoti processus marginibus sublobatis, angulo apice rotundato. — Elytra ♀ abdomen haud vel plus minus superantia, apice valde attenuata; area discoidali ultra stigma grisea, submembranacea. Venæ humeralis, analis et axillaris subgranulatæ, in granulis nigro-punctatæ. Vena intercalata venæ mediæ quam v. ulnari saltem apice propior; v. axillari variabili. — Alæ coloratæ, apice obtusæ, campo anteriore valde angusto, aream axillarem vix superante; area ulnari variabili; disco basali et in margine postico rubro. — Femora postica margine superiore cristato, ultra medium exciso; superne fasciata; latere interno nigro, ante apicem flavido, fascia transversa nigra; latere externo carinis inferis extus nigro-punctatis. Arolia tarsorum minuta. — Lamina supra-analis ♀ trigonatis, sulcata, apice haud acuta.

Ce genre sud-africain se distingue facilement des genres voisins à la forme des fémurs postérieurs qui ont le bord supérieur dilaté, et excisé après le milieu, comme dans le genre *Oedipoda* (même plus fortement encore). La tête obtuse et arrondie en avant n'offre pas d'écusson distinct; les carènes marginales qui la dessinent, et celles qui bordent la côte faciale formant des rugosités sinueuses; les tempora sont arrondies, placées dans un plan antérieur, comme chez certains *Oedipoda* et chez les *Leprus*.

Les élytres sont en général fasciées, ponctuées de brun, rugueuses, surtout dans le champ anal: leurs vénules sont souvent salies, en sorte que par transparence elles paraissent comme renflées au milieu; dans la moitié apicale les cellules sont allongées et renferment souvent des points ou petites lignes opaques sur leur ligne médiane. Le corps est très rugueux, verruqueux et le bord postérieur du pronotum offre des tubercules linéaires. La *T. verrucosa* est décrite en détail avec les caractères qui forment le faciès du genre.

Synopsis specierum.

- a. Pronoti lobi laterales posterius rectanguli. Alarum area ulnaris dilatata, quam a. media latior.
 b. Alæ campo anteriore et intermedio fuscis, campo radiato miniato 1. *tuberculosa*, n.
 b,b. Alæ basi miniatæ, dehinc infuscatæ 2. *rugosa*, Sss.
 a,a. Pronoti lobi laterales leviter retroproducti, acutiores, angulo rotundato. Alarum area ulnaris haud dilatata; discus basalis roseus.
 b. Alæ obtusiores, parte apicali tota fusca.
 c. Alæ obtusissimæ, fuscæ, disco roseo basali minore 3. *verrucosa*, n.
 c,c. Alæ paulo longiores, disco basali et margine postico roseis 4. *scabra*, n.
 b,b. Alæ longiores, apice minus obtusæ, parabolica, fascia semilunari fusca, limbo late vitreo.
 5. *terrosa*, n.

1. T. tuberculosa, n.

Quam *T. terrosa* paulo minus crassa. Caput ubique tuberculatum, excepto in orbitis; his vix radiatis. Costa facialis infra ocellum angustior, subparallela. — Pronotum verrucoso-tuberculatum; tuberculis dorsalibus remotis, rotundatis, politis; margine posteriore undulato, sublobato, sed haud radiato-costato. Lobi laterales angulo postico rectangulo, hebetato-rotundato, margine posteriore nec sinuato, nec undato. — Elytra angusta, femora post. ♀ haud superantia. — Alæ miniatæ, campo anteriore, area axillari apiceque campi radiati fuscis; venis remotis, areolis quadratis, indivisis, venis spuriiis apicis fere nullis. — Pedes nigro-punctati. Femora post. fasciata; tibiis nigro-flavoque annulatis. — ♀ Long. 19; Pron. 5; El. 15,5; Fem. 11 mill. — **Africa meridionalis.**

2. T. rugosa, Sauss., Prodróm., p. 159; 1.

Quam *T. verrucosa* paulo minus crassa et minus rugosa, minus granosa. Costa facialis superne latissima, parallela. Pronoti metazona apice haud producta, quam prozona parum longior. Cristæ prozonæ dentes profundius sejuncti, postice perpendiculares; lobi laterales minus tuberculosi. Alæ miniatæ, apice infuscatæ, campo anteriore paulo latiore. Femora postica ut in speciebus reliquis superne cristata, crista ultra medium excisa et eodemmodo picta. Arolia inter unguis tarsorum minuta, sed quam in *T. tuberculosa* majora.

3. T. verrucosa, n.

Crassa, fulvo-brunea, rugosissima, verruculosa. — Costa facialis ad frontem lata parallela, infra ocellum constricta, infere dilatata, granulata, obsoleta. Scutellum verticis incondite marginatum. Occipitis carinulæ juxta-oculares transversæ, vix arcuatæ, utrinque 2, antica elevata, postica granulata, obsoleta. Orbitæ posterius radiatæ. — Pronotum granosum et compresso-, vel costalo-verrucosum; ad marginem anticum utrinque carinulis 2, et inter sulcos alteris 2. Metazona subtiliter carinata, carina apice elevatiore; processus ad apicem trigonali-productus, hebetatus; margine postico oblique radiato, carinulato, ante apicem utrinque subinciso. Lobi laterales vix retroproducti postice subrectanguli, rotundati, margine postico undato vel crenulato, sublobato, margine infero posterius subhorizontali, antierius obliquo, sinuato. Os et pectus nigra, flavo variegata, vel fulva nigro-varia. — Elytra ♀ abdo-

mine paulo breviora, ♂ femora superantia. — Alæ ♀ obtusissimæ. Campus anterior fuscus. Campus posterior dimidiatus, disco basali minore, roseo, de reliquo fuscus, venis obscurioribus; pars fusca quam pars rosea valde latior. — Femora postica crassiuscula, margine inferiore subarcuato, superiore dilatato, ultra medium valde exciso. Latus internum atrum, superne fulvo-marginatum, parte apicali flavo-lutea, per lineam atram transversam divisa. Latus externum parte basali dilatata fulva, area supera et carinis nigro-punctatis, parte apicali nigro-bifasciata, vel tota nigrescente. Tibiæ post. nigro et luteo fasciatae, spinis extus 8. Arolia tarsorum minima, compressa. — Abdomen nigrum, subtus flavum, apice nigro. Valvæ genitales parum acutæ. — *Var.* Pronoti metazona et femora basi rubescentia, vel-lutea. ♀ Long. 21; ♂ 15; Pron. ♀ 5,8, ♂ 3,8; El. 17,5, ♂ 14; Fem. 10,5, ♂ 9 mill.

Africa meridionalis; Promont. B. Sp. 2 ♀.

Espèce très trapue et un peu plus rugueuse que la *T. rugosa*. Le vertex un peu moins incliné. La côte faciale moins large, irrégulière, un peu étranglée sous l'ocelle et un peu divergente au-dessous de l'étranglement. Le pronotum plus fortement tuberculé, les dents de la crête de la prozone regardant en arrière, au moins la seconde; l'extrémité du processus formant un petit prolongement un peu déprimé, ce qui dégage d'autant le carène, et les bords avant l'extrémité comme sublobés. Les lobes latéraux tuberculés; leur bord postérieur tuberculé ou crénelé vers l'angle inférieur.

4. *T. scabra*, n.

T. verrucosæ et *terrosæ* formis, sculptura ac pictura simillima. Costa facialis ad ocellum constricta. Differt alis quam in prima longioribus, acutioribus, quam in secunda brevioribus, obtusioribus. Alæ radiatim fuscæ, apice venis spuriiis brevibus reticulato, ut in *T. terrosa*; discus basalis latiuscule nec non margo posterior rosei; pars fusca propter hoc postice attenuata et a margine remota. ♀ Long. 23; Pron. 6; El. 18; Fem. 11,3 mill. — **Africa meridionalis**; Promont. Bon Spei.

Ici la partie brune des ailes qui couvre toute leur moitié apicale a une tendance à se séparer du bord et à se réduire à l'état de bande semilunaire brune, comme chez la *T. terrosa*, en ce sens que l'extrémité de la partie brune se détache du bord en arrière et se termine en pointe effacée.

5. *T. terrosa*, n.

T. verrucosæ valde similis, valde rugosa et granulata. Verticis scutellum transversum, posterius utrinque carinula transversa præditum. Occiput fascia longitudinali

nigra, ad oculos utrinque carinula elevatiore, pone illos sparse granosum. — Pronotum dense granulatum et eodemmodo rugosum, at processus apice subtruncato, haud producto; metazona propter hoc quam prozona minus longa, ut in *T. rugosa*. Lobi laterales sat distincte retroproducti, angulo postico angustiore valde rotundato, margine postico sinuato sed haud undulato; margine infero toto obliquo, vix sinuato. — Elytra fulvescentia, fasciis 2 pallide-fuscis, apiceque lingiuscule fusco-punctata. — Alæ quam in reliquis speciebus sensim longiores et minus obtusæ, fascia lata semilunari fusca ad marginem anteriorem latissima, postice attenuata, intus oblitterata, a margine postico valde remota. Limbus externus totus late hyalinus venis fuscis, posterius limpidus ac rosescens. Campus anterior ad basin fuscus; area ulnari quam a media haud latiore. — Pedes illis *T. verrucosæ* similes. — ♀ Long. 22; Pron. 5,9; El. 20; Fem. 11 mill.

Africa meridionalis; Pron. B. Sp.

42. Genus **Trachyrrhachis**, Sc. — Sauss., Prodröm., p. 154, 160, 162.

Vena intercalata elytrorum venæ mediæ subparallela.

Synopsis specierum.

- a.* Antennæ graciles, ♂ quam femur post. longiores, ♀ valde breviores. Elytra remotius reticulata; tota fusco-maculosa; area intercalata postica uniseriatim areolata; area ulnari per venam distinctam divisa. Pronoti prozona utrinque tuberculata et costata; lobi laterales angulo postico acuto. Femora post. margine supero haud sensim sinuato; latere interno fusco-cæruleo, fasciis 2 nigris, unaque flavida; vel basi nigra fasciis 2 cæruleis, una nigra. — Alarum fascia nigra antice haud angustata; apex alæ saltem ♂ fusco-punctatus.
2. *pardalina*, Sss. — 3. *maculosa*, Sss.
- a. a.* Antennæ graciles, ♀ ♂ quam femora valde breviores. Elytra densius reticulata, dimidia parte basali in campo discoidali confertim reticulata; dimidia parte anteriore fusco 3-, luteo 2-fasciata, apice secundum marginem anticum fusco-punctata; area intercalata postica et area furcæ ulnaris multiseriatim areolatæ. Pronotum granosum; prozona tuberculata. Femora postica margine supero ultra medium sinuato, latere interno nigro-, et flavo-fasciato.
- b.* Alæ basi citrinæ, fascia arcuata fusca.
- c.* Elytra dimida parte basali ♀ dense reticulata, attamen quam in *T. fenestrali*, S. minus coriacea. — Alarum fascia arcuata fusca antice angustata, evanida, cum vittam humeralem ad unam continua.
- d.* Major. Costa frontalis vix coarctata. Lobi laterales pronoti angulo postico hebetato.
4. *fuscifrons*, St. — 5. (*capito*, St.).

- d, d.* Minor. Costa frontalis angustata. Lobi laterales acuti. 5. *mexicana*, Sss.
c, c. Elytra minus dense reticulata. Alarum fascia fusca antice completa. Lobi laterales pronoti
 vix retroproducti, angulo postico rotundato vel infere rectangulo.
 7. *borealis* (Coll. Brunn. n° 12,245, ♀).
b, b. Alæ limpidae. Elytra sat dense reticulata. 6. *kiowa*, Thom.

2. T. pardalina, Sauss., Prodrum., p. 162; 2.

Major. Pronoti prozona læviuscula, parce tenuiter tuberculata; lobi laterales angulo postico recto, acuto. Alarum discus basalis purpureus vel roseus, vel sulfureus; area ulnaris sat irregulariter reticulata. — Long. 36, ♂ 37; El. ♀ 33, ♂ 27,5 mill. — Colorado.

3. T. maculosa, Sauss., Prodrum., p. 162; 3.

Minor. Pronoti prozona rugosa, valde tuberculata; lobi laterales pronoti angulo postico acutangulo. Alarum discus basalis sulfureus; area ulnaris biseriatim areolata. Elytra et alæ breviores etsi in ♂ quam corpus totum breviora. — Long. ♀ 32, ♂ 22; El. ♀ 27, ♂ 21. — America borealis interior.

8. T. mexicana, Sauss., Prodrum., p. 164; 8.

T. fuscifrons simillima, ejusdem picturæ; costa facialis ad verticem dimidia latitudine coarctata. Elytra quam in specie laudata dimidia parte proximali densius reticulata, et alarum furca venæ mediæ angustiore. — (Coll. Brunn. n° 7136^b.)

Cette espèce, qui ne m'est connue que par un mâle, n'est peut-être qu'une variété de la *Ps. fuscifrons*.

44. Genre **Conozoa**, Sauss., Prodrum., p. 154, 164; 37.

Ce genre est plus nécessaire que naturel. Nous l'avons établi à notre corps défendant pour recevoir les espèces qui caractérisaient les genres *Trimerotropis* et *Trachyrhachis*, mais comme les formes sont identiques à celle des *Trimerotropis*, on pourrait se borner à en former une section de ce genre.

La tête est petite comme chez les *Trimerotropis*. Les lobes latéraux du pronotum ont souvent leur angle postérieur prolongé en bas en forme de pointe, toutefois ce caractère souffre des exceptions, cet angle étant parfois arrondi comme chez les *Trimerotropis*, mais tout en formant en général encore un petit angle inférieur.

Les bandes brunes des élytres sont marginales; elles ne dépassent pas la veine ulnaire, de même que chez les *Psinidia*, et sont surtout noires dans le champ marginal, tandis que chez les *Trimerotropis* ces bandes sont plus pâles et traversent l'élytre dans toute sa largeur lorsqu'elles sont bien développées. Aux ailes l'aire ulnaire est légèrement plus large que l'aire médiane.

Obs. Les arêtes latérales du pronotum sont bien coupées par le sillon typique, c'est seulement chez certains individus aberrants que le contraire peut s'observer. Il faut donc rabattre de ce que j'ai dit à ce sujet : *Prodrom.*, p. 165.

La carène du pronotum vue de profil est souvent bilobée comme chez les *Trimerotropis*, mais souvent aussi elle est droite et seulement faiblement coupée par le sillon antérieur, en sorte qu'elle paraît presque entière sur le prozonite. Les espèces dans ce cas (*C. sulcifrons*, *Rogenhoferi*) pourraient presque aussi bien se placer dans le genre *Dissosteira*, si leur livrée et leur *habitus* ne les rattachaient positivement au type des *Trimerotropis*.

Synopsis specierum.

- a. Pronoti cristula per sulcos distincte incisa, a latere visa bilobata.
- b. Cristæ lobi elevati, dentiformes. Elytrorum dimidia pars apicalis membranacea, margine antico haud distincte-bifasciato. — Lobi laterales pronoti angulo postico infere acute producto. 4. *rebellis*, n.
- b,b. Cristæ lobi parum elevati, rotundati. Elytrorum ♀ tertia pars apicalis membranacea, margine antico fusco-bifasciato.
- c. Lobi laterales pronoti angulo post. infere acute producto. 1. *Behrensi*, Sss.
- c,c. Lobi laterales pronoti angulo post. rotundato. 3. *Wallula*, Sc.
- a,a. Pronoti cristula per sulcum anteriorem vix incisa, ejus pars prozonalis propter hoc subrecta, haud bilobata.
- b. Pronoti carina compressa, cristata. Pronoti lobi laterales angulo postico infere acute producto. 2. *sulfifrons*, Sc.
- b,b. Pronoti carina subtilis, Pronoti lobi laterales angulo post. rotundato. . . . 5. *Rogenhoferi*, n.

Conspectus specierum, diversomodo ordinate.

- a. Elytra irrorata. — *rebellis*.
- { a,a. Elytra margine antico distincte fusco-bifasciata.
- b. Fasciæ marginis antici in campo discoidali productæ. — *Behrensi*. — *Wallula*.
- { b,b. Fasciæ marginis antici venam discoidalem haud vel obsolete transnantes. — *sulfifrons*. — *Rogenhoferi*.
- { a. Tibiæ posticæ extus spinis 8. — *sulfifrons*.
- { a,a. Tibiæ posticæ extus spinis 9. — *Behrensi*. — *Wallula*.
- { a,a,a. Tibiæ posticæ extus spinis 10. — *Rogenhoferi*.

Alarum fascia arcuata fusca :

- { *a.* marginem posticum attingens, intus abbreviata.
 b. lata, anterius haud angustata. — *rebellis*. — *Behrensi*. — *Wallula*.
 } *b.* angusta, anterius angustata. — *sulcifrons*.
a. marginem posticum late liberans. — *Rogenhoferi*.

- { *a.* Alæ apice attenuatæ, margine exteriore pone aream axillarem recto vel subsinuato. — *Behrensi*.
 — *Wallula*. — *sulcifrons*.
a. Alæ apice obtusiores, rotundatæ, margine exteriore arcuato. — *Rogenhoferi*.

4. *C. rebellis*, n.

Gracilis, compressa, fulvescens, fusco- et albido-picta. — Antennæ longiusculæ, graciles. — Caput angustum, compressum. Costa facialis subparallela, sulcata. Scutellum verticis piriforme, angustum, apice foveolatum. Tempora trigonalia, haud elongata. — Pronotum anterius attenuatum, granulatum. Prozona elevatiuscule cristata, a latere visa valde bidentata vel bilobata ut in *G. Trachyrrhachidi*, inter sulcos dentem vel lobum angustum efficiens. Metazona vix rugulosa, ♀ transversa, obtusangula, carinata, canthis lateralibus acutis. Lobi laterales angulo infero in dentem producto, margine pone angulum arcuato. — Elytra angusta, peculiare fusco-irrorata, ubique fusco-punctulata; margine costali basi et in medio macula fusca, campo discoidali maculis 3-4 elongatis fusco-nigris, ultima secundum venam discoidalem frequenter evanescente. Pars dimidia basalis dense reticulata; vena intercalata venæ mediæ valde approximata; pars dimidia apicalis quadrato-reticulata. — Alæ disco basali subfureo, fascia arcuata fusca in margine postico haud continuata, antice vix coarctata, vittam humeralem incompletam emittente; margo anterior ultra fasciam niger. Pars apicalis hyalina, fusco-reticulata, maculis vel lineis fuscis. — Margo externo-posticus subsinuatus. — Femora post. intus et extus nigro 3-fasciata; extus infere albida. Tibiæ post. cœruleæ.

Genæ pronotique latera albido-picta vel fasciata; pronotum nonnunquam anterius fusco 5-vittatum; meso-, et metapleuræ oblique albido bivittatæ. — Long. ♀ 22, ♂ 15; El. ♀ 22, ♂ 18,5 mill. — **California** (Coll. Brunn. n° 9727).

Cette espèce se distingue des autres *Conozoa* par la crête du pronotum qui est plus élevée, et aussi fortement bidentée que chez les *Trachyrrhachis*; par ses élytres dont toute la moitié apicale est membraneuse et réticulée par carrés, et dont la livrée est assez différente de ce qu'elle est chez les autres *Conozoa*, n'étant pas distinctement bifasciée dans le champ marginal, mais irrégulièrement salie de brun. — La taille est celle des *C. sulcifrons* et *Wallula*.

5. C. Rogenhoferi, n. (fig. 4).

Gracillima, compressa, griseo-fulvescens. — Caput minimum, compressum, punctulatum. Verticis scutellum ellipticum, carinatum, postice subclausum, antice truncatum et impressum. Tempora minuta, trigonalia, leviter impressa. Costa facialis infra ocellum constricta, sulcata, supra illum latiuscula, plana, punctata, subparallela, marginibus vix arcuatis, ad verticem parallela, haud coarctata. — Pronotum sat minutum, humiliter carinatum; ejus carina ante sulcum anteriorem subcompressa, inter sulcos subtilior; per sulcum posticum leviter, per sulcum anticum vix incisa. Metazona superne plana, punctulata, pentagona, æque longa ac lata, carina tenui, a latere subarcuata, margine postico ♀ rectangulo, nigro-fasciato; canthi lateralis rotundati nec carinati nec acuti. Lobi laterales margine infero obliquo, recto, subundulato, angulo postico vix retroproducto, rotundato; inferè subangulato, margine postico vix sinuato. — Elytra elongata, dimidia parte basali coriacea, campi marginalis fasciis 2 fuscis; basi, fascia ante medium et apice, pallidis; campo anali membranaceo, remote irregulariter reticulato; dimidia parte apicali membranacea, quadrato-reticulata. Vena intercalata obsoleta, venæ mediæ parallela; vena ulnaris nonnunquam postice ante furcam 1-2 ramosa; area ulnaris indivisa. — Alæ quam in reliquis speciebus apice obtusiores, margine externo toto arcuato, haud subsinuato, disco basali citrino, fascia arcuata fusca, antice angustata vel evanida, ad vittam humeralem reducta, postice marginem late liberante. Area ulnaris quam a. media paulo latior. Dimidia pars apicalis vitrea. — Femora postica gracillima, superne extus fusco-bifasciata, intus fusca, fasciis 2 flavidis. Tibiæ post. luteæ (cœruleæ?), extus spinis 10. — ♀ Long. 27; El. 28 mill. — Bagdad¹ (Mus. Vindobonense).

Espèce un peu aberrante, de forme très svelte. Le pronotum est assez large aux ailes, mais se rétrécit fortement en avant, en sorte que la tête, vue en dessus, est très petite, plus petite que dans aucune autre *Conozoa* ou *Trimerotropis*. La carène dorsale est très faible, point bilobée par les sillons; vue de profil elle est moins droite que chez la *C. sulcifrons*, subsinuée, le pronotum étant très légèrement arqué en selle. Les élytres sont longs et étroits, peu atténués à l'extrémité. Les ailes ont une forme et surtout une livrée spéciale, la bande brune restant éloignée du bord postérieur de l'organe.

¹ L'étiquette porte *Bagdad*. Est-ce Bagdad en Mésopotamie ou serait-ce quelque localité de l'Amérique septentrionale, pays où l'on répète si volontiers les noms de l'ancien continent, au risque de donner lieu à des confusions? L'insecte a un facies tout américain, se rapprochant du type *Trimerotropis*.

15. Genus **Trimerotropis**, St. — Sauss., *Prodrom.*, p. 154, 166; 38.

Synopsis specierum.

- a.* Alæ apice obtusæ, rotundatæ, obtuse bilobatæ; campus anterior et area axillaris latiusculi apice obtuse rotundati; campus anterior aream axillarem parum superans. Margo apicalis area axillaris parum obliquus. Margo externus leviter arcuatus. — *monticola*. — *tolteca*. — *laticincta*.
a. a. Alæ magis attenuatæ, apice sat triangulares, minus obtusæ. Campus anterior apice angustius rotundatus, aream axillarem magis superans; hæc margine exteriori sensim obliquo, minus arcuato ac longiore. Margo externus pone aream axillarem rectus vel subsinuatus. — (*laticincta*) — et reliquæ species.

1. Tr. tolteca, Sauss., *Prodrom.*, 169; 4.

♂ nigrescens. Pronoti crista humilis, parum crenata, tuberculo baseos metazonæ nullo. Alæ dimidia parte distali infuscatæ, fascia arcuata et apice fuscioribus. — Tellus Mexicana; Durango. (Coll. Brunn. n° 15,034.)

2. Tr. monticola, Sauss., *Prodrom.*, 170; 4 (♂, non ♀).

Læviuscula. Scutellum verticis planum, polygonale, quam latius haud longius, subcarinulatum, apice angulato-foveolatum. — Pronoti; prozona rugulosa, carna subbilobata. Metazona plana, verrucis minutis nigro-nitidis conspersa. — Alæ apice obtusæ; campo anteriore latiusculo aream axillarem parum superante; fascia latissima transversa nigra corpore parallela. Tibiæ post. sanguineæ.

Var. — *a.* ♀ Alarum fascia latissima, vel : alæ nigræ, apice breviter hyalino, basi tota et margine postico, sulfureis. — *b.* ♂ Alarum fascia nigra lata, disco basali latius flavo; in hoc casu fascia nigra vittam humeralem emittente. — Long. ♀ 28, ♂ 23; El. ♀ 32, ♂ 25,5 mill. — Mexico alta, in montibus. — Nova-Mexico. (Coll. Brunn. n° 11,450.)

Var. huasteca : — Alæ breviores. Campus anterior et area axillaris latiusculæ, apice obtusiores. Discus basalis late sulfureus, fascia angustiore fusca, extus sinuata, in margine postico haud continuata, antice vittam humeralem incompletam emittente ♂. — Long. 19; El. 21 mill. — Tellus mexicana. In montibus temperatis lacus Meztilani, in pago Huasteco cepi.

Cet insecte ressemble de tous points à la *Tr. monticola* par ses formes, sa sculpture,

la forme de ses ailes et par le fait que la bande brune de ces organes ne se continue pas sur le bord postérieur ; mais cette bande est beaucoup plus étroite que chez le type, étant sinuée en dedans et en dehors. Méanmoins je considère cet individu comme formant une simple variété de l'espèce citée.

3. *Tr. laticincta*, Sauss., Prodrôm., p. 169; 3. — Colorado. (Coll. Brunn. n° 12,254.) — Ne semble pas se confondre avec la *T. latifasciata*, Scud.

4. *Tr. citrina*, Sc. — Sauss., Prodrôm., p. 169; 2.

Pronoti prozona nigrescens; metazona lutea. — Colorado. (Coll. Brunn. n° 12,244.)

11. *Tr. ochraceipennis!* Blanch. — Sauss., Prodrôm., p. 172; 14.

Dans la synonymie, au lieu de *Æ. signatipennis*, lisez : *Æ. cinerescens!* Blanch. ap. Gay Hist. fis. de Chile, Zool. VI, 78, 2, ♂ (vu le type).

Au Brésil on trouve une variété ayant plus de brun aux ailes que chez les individus du Chili, et qui semble former un passage à la *Tr. maritima*.

46. Genus *Circotettix*, Sc. — Sauss., Prodrôm., p. 57, 174; 39.

Sous le nom de *C. undulatus*, j'ai confondu deux espèces pour les avoir reçues successivement sous le même nom. Ces deux insectes se ressemblent en effet beaucoup. Ils offrent sensiblement les mêmes formes. Les élytres sont larges et atteignent leur plus grande largeur à leur deuxième tiers. Les ailes sont très amples dans le sens longitudinal et forment en arrière un ventre arrondi très prononcé. Aux élytres et aux ailes la veine humérale s'écarte sensiblement de la veine discoïdale. Les ailes ont leur moitié interne jaunie, l'externe hyaline-nébuleuse avec quelques salissures ; les bandes intervénulaires sont réticulées en échelons transversaux et dépourvues de veines adventives intercalées. La veine axillaire antérieure et 3 ou 4 veines radiées sont épaissies, surtout la veine axillaire et les rayons 2° et 3°. D'autres détails sont indiqués dans la description ci-dessus citée.

Les deux espèces confondues sous le même nom se distinguent très nettement par la forme de leurs ailes. Nous conservons le nom *undulata* à celle qui offre des ailes plus triangulaires¹, cette espèce étant évidemment celle que Thomas a eu en vue.

¹ Pour indiquer la forme exceptionnelle des ailes de cette espèce (à bord externe droit ou subsinué), Thomas a imaginé le terme « papilio-form » qui n'est point mal choisi.

4. C. undulatus. Thom. — Sauss., Prodrum., p. 177; 4¹ (fig. 6).

Valde pubescens. Pronotum magis constrictum. Ejus carina a latere per sulcum anteriorem distincte incisa; pone sulcum typicum fere recta. Lobi laterales angulo postico rotundato-rectangulo. — Alæ postice ample rotundatæ apice trigonales. Campus anterior quam elytrum ♂ angustior, apice parabolice rotundatus. Margo externus campi postici parum profunde, obsolete lobatus, obliquus, fere rectus; margo apicalis aræ axillaris subrectus, obliquus. Dimidia pars interna et limbus posticus alarum translucente-citrina, fascia lanceolata humerali fusca, extus evanida. Dimidia pars externa hyalina venulis transversis saltem ad marginem externum fuscis; venis longitudinalibus citrinis. Vena axillaris et v. radiatæ 1,2 in parte apicali fuscæ; pars postica zonæ hyalinæ ad venas fusco-spureata, vel maculis irregularibus inter venas, fuscis. Area mediastino-humeralis leviter dilatata, quadrato-reticulata. Area ulnaris quam a. media valde latior; hæc in medio angusta, dehinc dilatata. — Tibiæ post cœruleæ extus spinis 8-9. — *Variet* fascia alarum transversa fusca radiatim divisa. — ♂ Long. 27; El. 29 mill. — Colorado; Nevada.

Le bord externe de l'aile est dans sa ligne générale plutôt sinué que droit, si l'on y fait rentrer l'extrémité du champ antérieur; en arrière de celui-ci il est fort indistinctement lobé et au bord postérieur il cesse de l'être.

6. C. lobatus, n. (fig. 5).

Pubescens. Pronotum minus constrictum. Ejus carina per sulcum anteriorem sinuata, a latere biundata; pone sulcum typicum a latere arenata. Lobi laterales angulo postico valde rotundato. — Alæ posticæ ample rotundatæ apice obtusæ. Campus anterior ♀ quam elytrum haud angustior, apice rotundatus. Margo externus campi postici arcuatus, valde 4-lobatus, inter lobos distincte incisus; margo apicalis aræ axillaris valde rotundatus; lobus sequens minus prominulus margine vix arcuato; lobi sequentes magis prominuli, margine arcuato. — Dimidia pars interna alarum dilute hyalino-sulfurescens vel subthlissima, fascia humerali obsoleta fusca extus evanida. Dimidia pars externa hyalina, venis omnibus fuscis, et ad illas plus minus infuscata.

¹ La description que j'ai donnée l. c. peut se rectifier au moyen des changements suivants :

Ligne 8^{me}, *biffez le mot* : vix.

Ligne 10^{me}, *au lieu de* : valde lobato, *mettez* : vix lobato.

Area mediastino-humeralis sensim dilatata, fere scalari-reticulata. Area ulnaris areae mediæ sensim æquilata; hæc in medio vix coarctata. Tibiæ post. cæruleæ, basi annulo luteo, extus spinis 10-11. — ♀ Long. 30; El. 28. — **America borealis**; Colorado.

Chez cette espèce le bord externe de l'aile est dans sa ligne générale plutôt arqué que concave; il est fortement lobé en lobes obtus et arrondis; le 3^{me} lobe est en retraite et à peine arqué. Le bord postérieur à partir du 5^{me} lobe est encore faiblement lobé.

47. Genus **Bryodema**, Fieb. — Sauss., Prodröm., p. 178; 40.

1. **Br. tuberculata**, Fab. — Sauss., Prodröm., p. 180; 1.

Cet insecte jouit d'une distribution géographique très remarquable qui a fait l'objet d'une notice de H. Krauss (*Wiener entomol. Zeitung*, V, 1886). C'est une espèce tout à fait septentrionale. En Europe elle se rencontre en Danemark; sur la côte nord de l'Allemagne, en Prusse, en Finlande; puis sur le versant nord des Alpes tyrolicennes; enfin dans la Russie méridionale, à Sarepta, autour de la mer Caspienne, et de là, en remontant vers le nord, le Volga et le versant de l'Oural, jusqu'à Orenbourg et Casan. En Asie, cet insecte suit le sud de la Sibérie, les pentes de l'Altaï et s'étend jusque dans le territoire de l'Amour; au nord on le trouve jusqu'à Irkutsk. Enfin il pénètre dans la Mantschourie et se rencontre jusqu'à Pékin.

La *Br. tuberculata* jouit, grâce sans doute à ses élytres membraneux, de facultés volitantes très remarquables. Elle s'élève à de grandes hauteurs dans les airs, au point qu'on la perd de vue, et son vol est très soutenu. En volant elle produit un bruit continu, surtout fort et presque métallique chez les mâles. Aussi cet insecte a-t-il beaucoup attiré l'attention des voyageurs et des naturalistes. Pallas, Eversmann, et récemment Vitus Graber en ont parlé avec détail.

48. Genus **Callirhipis**, n.

Genere *Sphingonoto* habitu similis, at corpore crassiore. Differt ab illo: Verticis scutello haud carinato; elytris latissimis, ut in genere *Bryodema* irregulariter areolata, furca venæ ulnaris latissima, vena axillari libera; alarum area ulnari quam area media valde angustiore, nec non pedibus posticis brevibus, tibiis crassiusculis, *multi-spinosis*.

Ce type relie les *Bryodema* aux *Sphingonotus*. Chez lui, comme chez ces derniers, le pronotum est étranglé et les rayons des ailes ne sont point dilatés, bien qu'assez forts; d'autre part la forme et la réticulation des élytres, la largeur de l'aire médiane de l'aile

et la forme des pattes, de même que l'écusson du vertex non caréné rappellent le type des *Bryodema*.

Les *Rhodorrhîpis*¹ établissent le même passage des *Bryodema* aux *Sphingonotus*, mais en suivant une autre voie. Ils se rattachent aux *Bryodema* par leur pronotum non étranglé, leurs ailes à rayons épaissis et à aire ulnaire étroite. Ils passent aux *Sphingonotus* par la forme élancée du corps et par la disparition de la carène prothoracique.

Les genres cités forment donc une série naturelle dont les termes s'enchaînent dans l'ordre suivant : *Bryodema* $\left\{ \begin{array}{l} \textit{Rhodorrhîpis} \\ \textit{Cullirrhîpis} \end{array} \right\} \textit{Sphingonotus}$.

I. C. Davidiana, n.

Læviuscula, punctulata, ferruginea vel fulvescens, subtus et capite pallidis. — Antennæ annulatæ. — Verticis scutellum obsoletum, ad oculos marginatum, haud carinatum. Costa facialis latiuscula, ad verticem angustior. — Pronotum anterius valde constrictum. Prozona haud carinata. Metazona lata, carinulata, rugulosa, margine postico obtusangulo, apice valde rotundato. Lobi laterales pone sulcum valde punctati, angulo postico rotundato-rectangulo. — Elytra latiuscula, apice attenuata, irregulariter reticulata, semi-membranacea, tantum basi et secundum venam intercalatam coriacea; quarta vel quinta parte apicali quadrato-areolata. Vena intercalata flexuosa, venæ mediæ parallela; area intercalata anterior coriacea, dimidia parte distali confertim transverse venulosa; area intercalata posterior lata, magna parte coriacea, margine postico areolis majoribus instructo. Campus discoidalis latissimus, tæniis inter venas sitis in dimidia parte apicali latissimis. Area furcæ ulnaris monstrose latâ, late irregulariter reticulata; (vena ulnaris ante illam ramum anomalum emittens). Vena axillaris recta, libera. Elytrorum color pallidus, tertia parte basali fusco-ferruginea, fascia brunea, dehinc fascia lata pallida, dehinc et ad apicem bruno-punctata, obsolete bifasciata; campo marginali longe immaculato apice punctato. — Alæ nigræ, apice albido; pars decolor in lobis 4 marginis externi extensa; lobo primo apice fusco-punctato vel spurcato, secundo apice macula nigra. Discus basalis minutus campi postici miniatus. Area ulnaris quam a. media valde angustior, quadrato-reticulata; area media latissima, scalari-venulosa. Venæ axillares parallelæ; areæ axillaris antica et interaxillaris quadrato-reticulatæ. Areæ radiatæ basi remote transverse venulosæ, in $\frac{2}{3}$ apicali per venam spuriam divisæ. Venæ radiatæ principales crassiusculæ, sed margo campi radiati dupliciter (quamquam obsolete) lobatus (Comp. Prodrum., p. 25). — Pedes postici breves, valde pubescentes; femora

¹ Cp. Prodrum., p. 179. (Au lieu de : RHODORRHÎPIS, lisez : RHODORRHÎPIS.)

intus partim nigra, extus carinis nigro-punctatis; tibiæ parum graciles, sanguineæ, spinis acutis, numerosis (12 : 16). Aroliæ tarsorum minora, compressa. — Long. ♀ 36, ♂ 29; El. ♀ 35, ♂ 34; latit. elytri ♀ 8,3 mill. — **Mongolia**; in Septentrione urbis Pekin, a patre David viatore lecta (Mus. Parisiense).

51. Genus **Acrotylus**, Fieb. — Sauss., Prodrom., p. 186; 43.

1. **A. crassus**, Sauss., Prodrom., p. 187; 4.

♂. Costa facialis ad verticem valde attenuata et punctata; scutellum faciale quam in ♀ longius, magis attenuatum, trigonali-lanceolatum apice parum truncatum. — Femora post. pallida, superne fusco-trifasciata, condylo fusco, limbo apicali flavo; latere externo vittis perobliquis condyloque fuscis; area media infere inter vittas albida, carinula infera nigro-punctata; latere interno pallide-flavo, fasciis 2 maculaque marginis superioris prope basin, nigris. Tibiæ post. cœrulæ basi luteæ. — Long. ♀ 29, ♂ 20; El. ♀ 25, ♂ 18; Pron, 4,2, ♂ 3,2; Fem. ♀ 16, ♂ 11,5.

Var. — *a.* Alæ basi purpureæ, fascia semilunari fusca. — *b.* Elytra campo axillari luteo; alæ vitreæ, basi roseæ, fascia semilunari fusca pallida, obsoleta, nebulosa. — *c.* Statura minore. — *d.* ♂. Elytra infuscata, puncto pallido, fascia anali pallida. Alæ basi roseæ, de reliquo totæ infuscatae vel tantum radiatim infuscatae. — *f.* Alarum area ulnaris ♂ areæ mediæ æquilata.

Africa meridionalis.

6. **A. Humbertianus**, Sauss., Prodrom., p. 189; 6. — *Œdip. inficita*, var. β. Walk. ! Cat. B. M. Derm.; Saltat. IV, 742, 75, β. — Ceylon; Bengalia.

7. **A. patruclis**, St. — Sauss., Prodrom., p. 190; 7.

Cette espèce est très variable et paraît s'étendre sur toute l'Afrique. Les élytres sont tantôt presque dépourvus tantôt pourvus de fausses nervures dans leur seconde moitié et je ne trouve pas de différences notables entre les individus méditerranéens et ceux de l'Afrique méridionale, si ce n'est que ces derniers ont une livrée plus foncée. On y peut distinguer les variétés suivantes :

Var. *inficita*, W. — Walk. ! Cat. B. M. Derm.; Saltat. IV, 742, 75. — Quam specimina mediterranea obscurior. Elytra frequenter magna parte nigra, dimidia parte

apicali valde maculosa vitta vitrea longitudinali sat angusta. Alæ valde coloratæ basi carminæ, fascia semilunari fusca lata, de reliquo nebulosæ vel infuscatæ, ad venas nigro-inquinatæ margine antico nigro-tessellato, vel limbo exteriori radiatim fusco.

Var. a. Costa facialis ad verticem anguste truncata. — *b.* acuminata. — *c.* Alarum fascia fusca lata in margine postico extensa. — *d.* Alarum aræ ulnaris et axillaris hyalinæ. — *e.* Corpus virescens.

Africa meridionalis. — Occurrit etiam in Senegali.

II. *A. furcifer*, n.

Fulvescens, fusco-varius. Caput pone oculos utrinque vitta nigra in pronoto perducta, vittaque lutea juxtaposita, metazona utrinque lineâ obliqua lutea. Costa facialis sat angusta, ab infero ad verticem gradatim convergens, valde canaliculata, infra ocellum subconstricta, ad verticem breviter parallela (fere ut in *A. patrueli*).

Pronotum superne utrinque ad sulcum typicum profundissime oblique impressum, ante illum bifoveolatum, lobisque lateralibus ad sulcum intermedium etsi profunde impressis. Dorsum a latere, inter sulcum typicum et intermedium carinam V-formem perdistinctam interdum U-formem et crenulatam, præbens, angulo retrospectante. Metazona flava, obtusangula.

Elytra fusco-grisea, apice attenuata, margine antico fasciis 2 flavidis, ac fusco-punctatis, ut in *A. patrueli*, parte apicali quam in illo magis inquinata, venis spuriiis nullis, areis tamen angustis. — Alæ disco basali breviter roseo, margine anteriore nigro, limbo interno late infuscato (variat basi rosea, limbo toto late radiatim infuscato, margine postico subhyalino; vel campo radiato fascia semilunari fusca obsoleta, a disco roseo remota, margine anteriore nigro). — Femora post. fusco-fasciata.

♂ Pronoti carinæ dens secundus angulo truncato, vel trapezino, vel obsoleto. Abdomen rubidum. Alæ radiatim infuscatæ.

♀ Long. 19, ♂ 14; Pron. ♀ 3,5, ♂ 2,5; El. ♀ 18, ♂ 14; Fem. ♀ 11, ♂ 8, 5 mill.

Africa meridionalis; Promont. B. Sp.

Appartient au groupe *P.A. apricarius*, et en diffère par ses ailes à base rouge.

53. Genus **Charorus**¹, n.

Ce type vient se placer à côté des *Egnatius* et l'on pourrait même l'y réunir si l'on élargissait comme suit le cadre de ce genre :

Genus **Egnatius**, St. (sensu latiore).

Insecta minuta. — Antennæ elongatæ, graciles, ♂ apice incrassatæ, sulcatæ, articulo postremo apice impresso vel coarctato (vel vesiculari?). — Caput prominulum subdeclive, inferè quam superne vix latius. Oculi grandes, quam genæ longiores. Occiput utrinque ad oculos transverse carinulatum. Verticis scutellum postice latum, nonnunquam per carinulam arcuatam interocularem clausum, anterius per tempora valde coarctatum. Costa facialis subparallela, sulcata. Tempora supera, foveolata, apicem rostri attingentia. — Pronotum minutum, carinatum, carina inter sulcos nulla; metazona quam prozona parum longior; prozona utrinque anterius carinula notata. Lobi laterales inferè plus minus rotundati. — Elytra breviuscula, parum dense reticulata, arcu stigmatico nullo; vena intercalata spuria vel nulla; v. media libera, furcata, a v. discoidali *valde divergens*; v. axillari recta, libera. — Alæ apice obtusæ; vena media haud furcata; v. ulnari recta. — Femora post. crassiuscula, nigro-fasciata. Arolia tarsorum minuta, compressa. — Sulcus mesosternum posterius marginans *arcuatus*, utrinque sinuatus, saltem haud transverse rectus.

52. Genus **EGNATIUS** (sensu strictiore). — Sauss. Prodrôm. 191; 44.

Antennæ ♀ quam caput et pronotum duplo longiores, apice clavatæ. — Corpus gracilius. Caput inferius quam superius angustius. Occiput utrinque ad oculos carinula unica. Verticis scutellum postice plus minus distincte clausum. Tempora a supero minus perspicua. Pronoti metazona quam prozona haud longior. Prozona haud insigniter tuberculata. Elytra ad apicem valde augusta; lobi laterales margine infero arcuato. Alæ augustæ, hyalinæ venis subtilibus, ad marginem anteriorem macula opaca nulla, venis spuris vix ullis; area ulnaris quam a. media haud latior, elongato-

¹ De χαίρειν se plaire, et ὄρει montagne. — Qui se plaît dans les collines.

areolata; areæ radiatæ remote venulosæ, haud longe divisæ. — Sulcus mesosternalis inter lobos mesosternales arcuatus, utrinque valde obliquus, sinuatus. — *E. apicalis*, F.

53. Genus CHARORA, n.

Antennæ ♂ quam caput et pronotum longiores, ad apicem longiuscule leviter incrassatæ. — Corpus crassius. Caput inferius quam superius haud angustius. Occiput utrinque ad oculos multicarinulatus. Verticis scutellum postice clausum. Tempora supra. Pronoti metazona quam prozona longior. Prozona multi-tuberculata. Elytra latiuscula. Alæ ♂ latiusculæ, infuscatae, venis valde incrassatis, ad marginem anteriorem macula opaca grande. Area ulnaris quam a. media valde latior, scalarivenulosa, areæ radiatæ per venas spurias longe divisæ. — Sulcus mesosternalis inter lobos transversus, subarcuatus, utrinque sinuatus vel angulatim fractus.

1. *Ch. crassivenosa*, n.

Minuta, fulvescens. — Antennæ annulatæ, apice obscuræ, quam femur post. breviores. — Caput crassiusculum. Vertex prominulus, subcarinatus; ejus scutellum trilobatum, angulis truncatis, utrinque per tempora sinuatum, circumeirca elevato-marginatum, posterius concavum, per carinulam arcuatam transversam marginatum, ad oculos dilatatum, anterius triangulare, apice angulatim incisum. Tempora grandia, elongata, trapezina vel anguste trigonalia, foveolata. Costa facialis ad verticem vix angustata, infra ocellum coarctata, infere lata. Facies rugulosa. Occiput inter oculos areolatum, utrinque ad oculos carinulis transversis 3 obsoletis. Orbitæ posteriori radiatæ. — Pronoti sulci valde impressi; metazona quam prozona paulo longior, carinata. Prozona rugosa, compresso-tuberculata, arcuato-costata; ejus pars anterior scutellata, 4-tuberculata vel tumoribus 2 foraminatis instructa, vel tantum transverse sulcata et rugosa. Metazona pentagona, ♀ transversa, processu ♀ rectangulo, ♂ subacutangulo, marginibus posticis nigro-notatis, saltem in ♀ subsinuatis, apice hebetato. Lobi laterales obsolete punctati, rugulosi, angulo postico late rotundato, margine infero recto, obliquo. — Spatium inter metasterni lobos situm ♂ quadratum, æque longum ac latum. — Elytra breviuscula, ♂ abdomen superantia, ♀ breviora, recta, apice parabolice rotundata, tota grisea, nigro-punctulata, late reticulata, tertia parte apicali oblique membranacea; campus marginalis tertia parte basali coriacea, de reliquo submembranaceo. Vena ulnaris frequenter indivisa; area ulnaris quam area media angustior, utraq;ue biseriatæ. — Alæ ♂ sat minutæ, obtusæ, fuli-

ginosæ, venis nigris, fere omnibus crassis; area media et ulnari vitreis, apice excepto. Campus anticus latiusculus, aream axillarem ♂ vix, ♀ haud superans, margine anteriore apice valde arcuato. Vena humeralis arcuata; v. reliquæ rectæ; v. humeralis discoidalis et media incrassatæ; venæ ulnares graciles; areæ omnes inter venas sitæ simpliciter transverse venosæ; area inter marginem anticum et venam discoidalem sita magna parte nigro-opaca, vena humerali lutea. Venæ dividens, axillaris anterior et v. radiatæ principales crassiusculæ, nigrae. Areæ axillares quadrato-reticulatæ. Campus anterior et axillaris absque venis spuriis. Areæ radiatæ per venas spurias irregulares et venulas incompletas reticulatæ. Campus radiatus ad venas hyalinescens. — Alæ ♀ minutæ, parum infuscatæ, minus crasse venosæ. — Femora post. sat robusta, margine supero basi cristato, in medio vel ante medium sinuato, subexciso; lateribus interno, externo et supero nigro-fasciatis, carinulis externis nigro-punctatis; (variat femor. intus nigris). Tibiæ post. cœrulescentes (in desiccatis annulatæ); calcaria modice grandia. — Long. ♀ 15, ♂ 13,5: El. ♀ 8, ♂ 12 mill. — Caucasus; Mons Elbrus. (Coll. Brunn. n° 15,214.)

54. Genus **Leptoscirtus**¹, n.

Statura minuta. — Verticis scutellum canaliculatum. — Pronotum tenuiter carinulatum, carinula inter sulcos oblitterata. Metazona quam prozona haud longior, valde obtusangula vel margine arcuato. — Elytra angusta, venis variabilibus; v. ulnari indivisa. — Alæ hyalinæ. — Tibiæ posticæ spinis parum numerosis instructæ, calcaribus gracilibus valde elongatis, ut in Genere *Leptopternide* (n° 56).

Ce genre renferme deux types qui diffèrent beaucoup l'un de l'autre, l'un gravitant vers les *Acrotylus*, l'autre vers les *Sphingonotus*. Nous les réunissons néanmoins dans un même genre provisoire, ces espèces étant encore mal connues. Le genre se rapproche beaucoup des *Egnatius* par ses formes et par ses élytres à nervures peu divisées, donc incomplètes.

Synopsis specierum.

- a. Corpus compressum. Elytrorum vena media furcata, v. intercalata distincta. Tibiæ post. calcaribus metatarsum subæquantibus. 1. *aviculus*, n.
 a.a. Corpus depressiusculum. Elytrorum venæ omnes indivisæ; v. intercalata spuria. Tibiæ post. extus spinis 4-5, calcaribus metatarso longioribus. 2. *unguiculatus*, n.

¹ De λεπτός petit faible, et σκίπτω bondir. — Qui fait de petits sauts.

1. *L. aviculus*, n.

Minutus, gracilis, pallidus, ferrugineo-albescens, subtus albidus. — Antennæ annulatae, quam caput pronotumque computata $\frac{1}{3}$ longiores. — Caput subdeclive. Occiput ad verticem carinatum. Scutellum verticis angustum, sulcatum. Tempora minuta. Costa facialis angusta, subparallela, infra ocellum punctata, in fronte linea punctorum notata, ad verticem subangustior; inter antennas a latere visa subprominula. — Pronotum parum constrictum; carinatum (carinula inter sulcos nulla); ejus sulci in dorso undulati. Metazona parum lata, posterius valde obtusangula vel arcuata. Lobi laterales margine infero recto, obliquo, angulis rotundatis. — Elytra angustissima, membranacea, tantum basi coriacea, venis spuriiis instructa, serie macularum fuscaram in campo axillari ornata, nec non macula ultra medium areæ mediæ, alteraque inter venam discoidalem et mediam. Vena intercalata recta, venæ ulnari quam venæ mediæ propior; vena media fere a basi libera, a v. discoidali divergens, ut consueve furcata; vena ulnaris indivisa. Stigma incompletum vel deficiens. Vena axillaris libera. — Alæ valde angustæ, hyalinæ, venis rectis, normalibus, venulis transversis rarioribus, invicem valde remotis, areolas elongatas formantibus. — Pedes postici subgraciles, latere externo supra fusco 3-fasciato. Calcaria interna tibiaram posticarum quam metatarsus paulo breviora, valde arcuata. — ♂ Long. 12,5; El. 12 mill. — **Ægyptus.**

2. *L. unguiculatus*, n.

Minutus, depressiusculus, ochraceus, bruneo-punctulatus. — Caput in genis verruculosum. Oculi globosi. Occiput juxta oculos granis 2-3 instructum. Scutellum verticis sulcatum, apice angulatum (ut in *G. Sphingonoto*) et a fronte separatum. Costa facialis a latere visa infra ocellum angulatim incisa, supra ocellum angustissima vel lamellaris, subtiliter sulcata; infra illum trigonaliter dilatata, obsoleta, per sulcum divisa, et per sulcum angulatum marginata. — Pronotum crassiusculum, sellæformiter constrictum, subtilissime carinatum; carinula inter sulcos nulla. Prozona sparse granosa, in lateribus tuberculata, superne sulco intermedio solo transcurrente, anteriore oblitterato. Metazona transversa, quam prozona haud longior, valde obtusangula, læviuscula, subtilissime punctata, utrinque superne carinulam incompletam præbens. — Elytra angusta, coriacea, fusco-punctulata, densissime transverse venulosa, venis longitudinalibus omnibus indivisis, rectis, percurrentibus; arcus stigmaticus propter hoc nullus. Vena ulnaris antica fusco-maculosa, postica subtilis. Areæ mediæ et ulnaris per venam spuriam subtilem divisæ. Areæ mediastina, humeralis et humero-discoidalis subhya-

linæ, quadrato-reticulatæ, per venas spurias nullas divisæ; vena axillaris libera. — Alæ hyalinæ, elytrorum longitudine, venis rectis, simplicibus. Margine exteriori valde lobulato. Campus anticus angustus, costa partim ad venam discoidalem fulvo-opaca; hæc indivisa, recta; area media quam a. ulnaris *lätior*; areæ omnes quadrato-reticulatæ. Vena axillaris antica valida, postica tenuis et ad basin libera. Areæ radiatæ venulis transversis rarioribus instructæ. — Pedes elongati, graciles. Femora postica modice gracilia, extus fusco-punctata. Tibiæ post. margine exteriori spinis 4-5; calcariibus longissimis, gracillimis, arcuatis, tarsum totum subæquantia. Arolia inter unguës minima, maxime compressa. — **Habitus** gen. *Sphingonoti* vel potius g. *Heliasti* et *Acrotyli*. — Long. 16; El. 13,5. — **Senegalis.**

Ce type se rapproche beaucoup des *Egnatius*, mais il en diffère par sa côte frontale plane, par un pronotum plus lisse et par la longueur des éperons des tibias postérieurs. Les organes du vol ont une vénelation analogue à celle des *Egnatius*, mais ils sont plus longs. La forme de l'écusson facial rappelle celle qui caractérise les *Sphingonotus*, étroit s'élargissant légèrement jusqu'en avant et là subitement terminé à angle obtus.

54^{bis}¹. Genus **Helioscirtus**, Sauss., Prodröm., p. 194; 46.

La diagnose de ce genre, primitivement basée sur le *H. Moseri*, doit être modifiée pour englober les espèces qui suivent et qui se rapprochent plus des *Sphingonotus* que l'espèce citée. Cette diagnose se trouvera ainsi réduite presque au fait de l'épaississement des rayons axillaires de l'aile.

Les espèces se distinguent comme suit :

- a. Alæ scalari-reticulatæ; venæ campi antici et axillaris crassæ; venulæ transversales partim incrassatæ. Vena media cum v. discoidali confusa, ejus rami 2 ab illa emergentes, invicem valde remotæ, antica apice valde inflexa; area ulnaris quam area media valde *lätior*; margo externo-posticus alæ simpliciter lobatus; *lätior*. Elytrorum area ulnaris quam area intercalata posterior *lätior*, indivisa; furca ulnaris angusta, transverse venosa. Verticis scutellum carinulatum. 1. *Moseri*, Sss. (l. c., p. 195).
- a, a. Alæ haud scalari-reticulatæ; venæ campi antici et axillaris haud incrassatæ. Vena media libera, anguste furcata.
- b. Verticis scutellum haud carinatum. Tibiæ intermediæ subtus rotundatæ. Alarum area ulnaris quam area media vix *lätior*; margo externo-posticus dupliciter lobulatus. Elytrorum area ulnaris quam area intercalata posterior angustior, subdivisa; furca ulnaris *lätiuscula*, multiseriatim areolata. 2. *Finotianus*, Sss.
- b, b. Verticis scutellum carinulatum. Tibiæ intermediæ subtus cristulata. 3. *capitanus*, Bonn.

¹ Par suite d'une inadvertance le n° 54 a été mis deux fois dans le tableau des genres, p. 23.

2. H. Finotianus, Sauss., Journal Le Naturaliste, VII, 1885, p. 28, ♂.

Fulvescens, punctulatus. — Verticis scutellum ovatum, vix foveolatum, antice truncatum, haud carinatum. Costa frontalis punctata, a vertice per carinulam transversam sejuncta. — Pronotum carinulatum; prozona ante sulcum anteriorem tuberculo compresso vix perspicuo vel carinula brevi instructa; metazona vix granulata, processu postico rectangulo, angulo haud rotundato. Lobi laterales angulo postico infere angulato. — Elytra apice attenuata, fasciata, etsi ultra medium irregulariter reticulata; vena intercalata flexuosa, apicem versus venæ mediæ contigua; area intercalata posterior latissima, irregulariter reticulata, secundum illam venam areolas majores præbens; area ulnaris per venam spuriam incompletam divisa. — Alæ latæ, sat triangulares, apice angusto; hyalinæ, disco basali dilute cœrulescente, per fasciam arcuatam fuscam obsoletissimam cineto; hæc fascia tantum per venas fusco-spurcatas indicata, postice intus evanescens. Campus anterior angustus. Campi postici venæ radiatæ principales omnes (scilicet 10) incrassatæ (♂), apice acuminatæ; posteriores quam anteriores crassiores; omnes cœrulescentes. Campus anterior et campus axillarum quadrato-reticulati (haud scalarum-venulosi). Campus radiatus venulis subtilibus invicem valde remotis, areolas elongatas formantibus reticulatus; area radiata prima venulis arcuatis invicem propioribus obsita; margo externus polygonali-reticulatus. — Femora postica crassiuscula, latere externo fascia præapicali fusca, latere interno basi fusco. Tibiæ post. sordide cœrulescentes, condylo atro, calcaribus spinarumque apice nigris; his intus 10, extus 8. Tibiæ intermediæ compressæ subtus rotundatæ. — ♂ Long. 22 mill. Elytr. 22 mill.

Algeria; Oran, tempore autumnali. (Dom. Finot.)

3. H. capsitanus, Bonnet. — *Bryodema capsitana*. Ed. Bonnet, Journal Le Naturaliste, VI, 1884, p. 548. — Bonnet et Finot, Orthopt. de Tunis, p. 28 (1885).

Corpus mediocre, fulvo-testaceum, parce nigro-punctatum subter luteum. — Antennæ ♂ quam caput et pronotum paulo longiores, fusco-annulatæ. — Caput majusculum. Oculi grandes, prominuli, invicem valde remoti. Verticis scutellum subtriangulare, carinatum. Facies verticalis. Costa frontalis marginibus leviter incurvatis. — Pronotum constrictum, reticulato-rugosum; prozona inter sulcos carina nulla, utrinque tuberculo minuto instructa; metazonæ carina antè elevatior, postè attenuata. Lobi laterales subquadrati. — Elytra abdomen superantia, in triente basali testacea, cæterum subhyalina, maculis destituta. — Alæ hyalinæ, campo radiato grandi, venis radiatis incrassatis, pallide cœrulantibus. — Pedes pubescentes,

- d.* Elytra normalia; vena media a v. discoidali ut consuete ante ejus furcam parum remota, ante stigma furcata. Vena intercalata venae mediae quam v. ulnari propior. 5. *caeruleans*, L. et varietates. — 6. *arenaria*, Luc.
- d,d.* Elytra abnormia; vena media a v. discoidali remota, procul furcata. Vena intercalata a vena media quam a v. ulnari magis remota. Minusculus. 8. *niloticus*, n.
- c,c.* Alae fusco-variae,
- d.* haud fasciatae,
- e.* antice maculis 1 vel 2 nigris. 9. *capensis*, Sss.
- e,e.* dimidiatae; basi caeruleantes, apice fuscae. 9. *jamaicensis*, Sss.
- d,d.* fascia arcuata fusca vel nebulosa;
- e.* fascia incompleta,
- f.* ad marginem anteriorem evanida;
- g.* nebulosa, vel quoque in maculas soluta. 6. *arenarius*, Luc.
- g,g.* obscurior, completa. 7. *bengalensis*, n.
- f,f.* ad marginem posteriorem nulla.
- g.* Nigro-punctatus, temporibus lateralibus, haud explicatis; elytris densius reticulatis, vena intercalata apice inflexa. 10. *Haitensis*, Sss.
- g,g.* Haud nigro-punctatus, temporibus trigonalibus; elytris remotius reticulatis, vena intercalata subarcuata, apice cum v. media conjuncta. 13. *mongolicus*, n. var.
- e,e.* fascia completa, secundum marginem posticum continua.
- f.* Minores; alarum disco basali caerulecente, apice haud maculato.
- g.* Minutus; fascia alarum nebulosa, margine antico subroseo. 11. *cyanopterus*, Ch.
- g,g.* Major; fascia alarum nigra condite delineata, marginem posticum liberans. Corpus crassiusculum, vertice latiusculo
- h.* fascia alarum angusta, transversa, antice haud vel vix attenuata, postice arcuata.
- i.* Pronotum sat valide, etsi in parte antica carinatum. 3. *callosus*, Fr.
- i,i.* Pronotum tenuiter, antice vix, carinatum; fascia alarum antice dilatata. 12. *brasilianus*, n.
- h,h.* fascia alarum lata, antice angustata.
- i.* Tempora nulla. Fascia alarum modice lata vel angusta, antice subangustata, postice evanida. Elytra remotius reticulata; vena intercalata apice cum vena media conjuncta. 13. *mongolicus*, n.
- i,i.* Tempora perspicua. Fascia alarum postice completa. Elytra densius reticulata.
- k.* Tempora trigonalia. Vena intercalata ♀ obsoleta. Alarum fascia angustior, marginem posticum latiuscule liberans. Corpus gracilius, minus rugosum. 14. *azurescens*, n.
- k,k.* Tempora foveolata. Vena intercalata apice inflexa, cum v. media conjuncta. Alarum fascia latissima, antice coarctata, postice intus attenuata. Corpus crassius, rugosius; pronoti margo posticus undulatus, sublobatus. 15. *scabriusculus*, St.
- f,f.* Majores.

- g.* Alis apice limpido, haul nigro-fasciato.
- h.* Graciliores, parum rugosi. Tempora haud explicata, (vel minuta, trigonalia, punctata). Alarum discus basalis hyalinus (vel cœrulescens) fascia arcuata fusca marginem posticum liberante.
- i.* Tempora minuta, trigonalia, punctata. Elytra membranacea, remote reticulata; area intercala postica transverse venulosa. Alæ *trigonales*, fascia angusta fusca; apice inquinato. Vena intercalata elytri in S formam flexuosa, venæ mediæ contigua.
- k.* Major..... 16. *Savignyi*, Sss.
- k,k.* Minor..... 15a. *hesperidum*, Sss.
- i,i.* Tempora haud explicata. Elytra areolis minutis multifarie conformatis reticulata; vena intercalata venæ mediæ haud contigua. Alæ margine externo-postico arcuato;
- k.* disco basali hyalino (vel cœrulescente?), fascia angusta fusca, marginem posticum latiuscule liberante..... 17. *indus*, Sss.
- k,k.* disco basali cœruleo, fascia lata fusca marginem posticum anguste liberante..... *japonicus*, et affines.
- l.* Alæ minus longæ, fascia nigra antice coarctata. Elytra latiuscule reticulata ultra medium quadrato-reticula..... 18. *japonicus*, n.
- l,l.* Alæ longiores, angustiores, fascia lata antice haud coarctata. Elytra confertim reticulata, ♀ quoque ultra medium irregulariter reticulata..... 18a. *longipennis*, Sss.
- h,h.* Crassiores, pronoto postice crassiore. Tempora elongato-trapezina, punctata, vel foveolata, vel sulcata. Alarum discus, basalis antice cœrulescens, postice roseo-violaceus, fascia lata nigra. (*balteatus* et affines vel varietates.)
- i.* Alarum fascia nigra latissima, antice coarctata.
- k.* Alæ dimidio apicali trigonales, margine externo-postico pone sinum axillarem recto vel leviter sinuato; fascia nigra disci postice intus quoque lata, rotundata haud attenuata. Vena intercalata rite explicata, in S flexuosa, venæ mediæ propinqua..... 19. *balteatus*, S.
- k,k.* Alæ dimidio apicali minus trigonales, margine externo-postico magis arcuato, pone sinum axillarem subconvexo, haud sinuato; fascia nigra disci intus attenuata, acuminata.
- l.* Vena intercalata elytri rite explicata, in S flexuosa, venæ mediæ propior..... 19a. *persa*, Sss.
- l,l.* V. intercalata incondite explicata, subrecta, apice cum reticulatione confusa, a vena mediâ magis remota..... 19b. *intutus*, n.
- i,i.* Alarum fascia nigra lata, antice haud coarctata, in medio haud dilatata, postice intus acuminata. Alæ dimidio apicali trigonales.
- 19c. *nebulosus*, Fisch. W.
- g,g.* Alis apice nigro-fasciato, vel lobis apicalibus 2 nigris.
- h.* Gracilior. Elytra sat membranacea. Alæ trigonales, basi hyalinæ.
- h,h.* Crassiores. Elytra dimidio basali coriacea.
- i.* Alæ disco basali cœrulescente..... *Brunneri* et affines.

- k.* Alæ trigonales; fascia latissima nigra, antice coarctata, postice intus parum attenuata. 20. *Brunneri*. Sss.
- k,k.* Alæ margine externo-postico arcuato; fascia lata nigra, antice haud coarctata, intus attenuata. 20a *apicalis*, Sss.
- i,i.* Alæ disco basali rubro. 21. *Kittaryi*. Sss.
- Mili ignotus.* — 21. *S. fusco-irroratus*.

1. Sph. octofasciata, Serv. — *Sph. Zinnini*, Sauss., Prodrum., 207, 18. — *OEd. Zinnini*, Kilt. — *OEdip. octofasciata!* Serv. Orth. 1839, 728, 10 (typum Servillei in Mus. Paris. vidi). — Bonnet, Journal Le Naturaliste, VIII, 1886, p. 246. — Pagi maris Caspii. — Ægyptus (Serv.) — Tunesia (Bonn).

4. Sph. nigripennis! Serv. — Sauss., Prodrum., 207; 49.

Scaber. Pronotum valde constrictum; prozona nonnunquam carinulata; metazona confertim granoso-scabra; lobi laterales angulo postico infere obtusangulatim producto. — Elytra fere tota confertim irregulariter reticulata, coriacea, tantum quarta vel quinta parte apicali membranacea, antice et postice brúneo-punctata. Vena intercalata subrecta. Alæ nigræ, subcœrulescentes, basi et margine interno hyalino-nebulosis, subcœrulescentibus, lobis apicalibus duobus hyalinis (♀); campus anterior angustus, area ulnari quam area media latiore. — ♂ Alæ apice brevius hyalinæ. — Long. ♀ 23, ♂ 18; El. ♀ 23,5, ♂ 19 mill. — Promont B. Sp. (typus Servillei in Mus. Parisiense).

5. Sph. cœrulans, L. — Sauss., Prodrum., p. 200; 3.

Var. A, i. — Albidus. Verticis scutellum et frontis costa haud carinata. Elytra albida, parum dense reticulata, fasciis laceratis atris, apice nigro-maculoso; vena intercalata venæ mediæ sat propinqua. Alæ basi cœrulescentes, venis basi cœrulescentibus, dehinc partim nigris. Pedes nigro-fasciati. — ♂ Long. 18; El. 19. — Sicilia. — (Coll. Brunn. n° 10892.)

L'individu ci-dessus décrit est si fortement marqué qu'à première vue on le prendrait pour une espèce bien caractérisée. Néanmoins je n'y puis voir qu'une variété du *S. cœrulans*, espèce dont la livrée offre des apparences si diverses. Certains individus du Turquestan sont du reste presque aussi fortement fasciés de blanc et de noir.

Var. carinata. — Pronotum antérieurement cariné.

Var. vitrea. — Minuta, canescens; verticis scutellum subcariné. Elytra pallida, basi brunea, apice punctata, remote reticulata; vena intercalata parum flexuosa, venæ

mediæ parallela. Alæ complete vitreæ; vena media cum v. discoidali confusa, ramos 2 hujus venæ efficiens; vena discoidalis de reliquo indivisa; area ulnaris quam area media haud latior. Lobi laterales pronoti angulo postico rotundato, margine infero valde obliquo, recto. ♀ Long. 19; El. 17. — Ægyptus. (Coll. Brunn. n° 8279.)

Obs. Chez les petits individus du *Sph. cærulans* la veine intercalée de l'élytre tend à devenir moins flexueuse, plus droite et à rester parallèle à la v. médiane.

Varietates diversæ: — α . Elytra nigro-punctata vel fasciata; alæ hyalinæ. (Ægyptus, Syria.) — β Elytra magna parte subvitrea, remote reticulata.

6. *Sph. arenarius*! Luc. — Sauss., Prodróm., p. 202; 6.

Fusco-punctata. — Elytra rufo-, vel bruneo-punctulata, etsi ultra stigma densiuscule reticulata; vena intercalata in forma S subflexuosa, venæ mediæ haud contigua. — Alæ angustæ, elongatæ, limpidæ vel basi cærulescentes, in campo postico fascia arcuata fusca obsoleta, angusta, nebulosa, vel in maculas soluta, intus evanescens. — *Var.* fascia nebulosa alarum fere ad maculam reducta. — Long. ♀ 23, ♂ 18; El. ♀ 25, ♂ 20 mill. — Algeria. (Typus Dom. Lucas in Mus. Paris.)

Obs. Lorsque la tache des ailes disparaît, on a la petite variété à ailes hyalines du *Sph. cærulans* (Naples, Orient.). La limite entre cette dernière espèce et d'autres voisines paraît impossible à trouver. Il y a là des races locales qui forment pour ainsi dire des espèces naissantes.

7. *Sph. bengalensis*, n.

Stutura *S. azurescntis*; crassiusculus. — Caput valde punctatum. — Pronotum breve, crassum, valde reticulato-rugosum, processu producto, rectangulo vel acutangulo, apice subtriangulato, scilicet angulis fere tribus. — Elytra fasciata, confertim reticulata, basi latiuscula, apice attenuata, campo marginali latiusculo, ad basin tamen parum dilatato; quarta parte apicali quadrato-reticulata; vena intercalata incompleta, venæ mediæ propinqua. — Alæ cærulescentes, fascia fusca semilunari campi radiati, anterieus lata, intus acuminata, marginem posticum late liberante. Area ulnaris quam a. media latior. — Femora post. crassiuscula, intus et extus fascia præapicali nigra. Tibiæ post. cæruleæ, basi annulo pallido, condylo nigro. — ♀ Long. 22; Pron. 5,5; El. 22; Fem. 10,7 mill. — India or.; Bengalía.

8. *Sph. niloticus*, n.

Minutus, fulvo-lutescens. — Scutellum verticis tantum basi carinatum. Facies

declivis, costa angusta, supra ocellum serie punctorum obsita. — Pronoti prozona antierius subtilissime carinata, metazona subtiliter punctulata, carinata, obtusangula; lobi laterales angulo postico rotundato. — Elytra angusta, parallela, subhyalina, basi grisea, campo discoidali maculis minutis bruneis, campo anali serie macularum brunearum notato. Vena media a v. discoidali valde remota, dehinc furcata; v. intercalata recta, intermedia, vel venæ ulnari propior; v. ulnaris arcuata, plerumque indivisa, v. axillaris libera. — Alæ hyalinæ; vena media indivisa. — Femora postica superne bruneo-fasciata. — Long. ♂ 13; El. 12 mill. — *Ægyptus*.

Espèce remarquable par sa petitesse. Les élytres offrent une vénelation très aberrante, qui se rapproche de celle des *Egnatius*, mais qui ne tient sans doute qu'à la petitesse absolue de l'élytre, ce qui ne laisse pas aux nervures la place de se développer normalement.

10. *Sph. haitensis*, Sauss., Prodrom., 202; 7.

Var. — *a.* Fascia fusca alarum obsoleta. — *b.* ♂ Alarum fascia nigra latior, ad apicem alarum magis appropinquata, frequenter radiatim interrupta. Long. 17; El. 18 mill. — *Ins. St. Domingo.* — *Tellus mexicana; Oaxaca* (Mus. Brit.).

S. mongolico species affinis. Ab illa differt: Capite et pronoto crassius punctatis; pronoto magis rugoso, posterius rectangulo; elytris angustioribus, densius reticulatis, vena intercalata ut in *scabriusculo* libera; alarum fascia nigra posterius brevior magisque apicali; femoribus posticis intus fasciatis.

12. *Sph. brasilianus*, n.

Fulvo-ferrugineus, punctulatus, modice gracilis. Vertex inter oculos latiusculus, scutello declivi, subcarinulato, apice punctato, cum costa frontali continuo. Costa facialis plana, inter antennas lata, ad verticem et infra ocellum angustior, supra ocellum plana, subcarinulata. Tempora elongato-trigonalia, lanceolata, obsoleta. — Pronotum constrictum; prozona transverse rugulosa, antice vix perspicue carinulata; metazona subtiliter carinata, punctulata, subtiliter granulata, processu rectangulo, apice rotundato. Lobi laterales angulo postico rotundato vel infere angulato. — Elytra angusta, fusco-bifasciata, apice maculosa, parum dense reticulata; vena intercalata in S flexuosa, venæ mediæ appropinquata; area intercalata postica biseriata, serie antica areolis majoribus formata. — Alæ angustæ, sat acuminatæ, limpidæ, fascia nigra angusta, arcuata vel potius angulata, antice dilatata, postice marginem latiuscule liberante. Venæ marginis antici et campi antici in disco basali flavidæ; venæ radiatæ et

ad basin nigræ, prima nonnunquam in disco basali flavida. — ♀ Long. 20; El. 19 mill. — **Brasilia.** (Coll. Brunn. n° 8984.)

Quam *S. cœrulans* crassior; *S. calloso* haud dissimilis; differt tamen: Costa faciali latiore, temporibus haud foveolatis; pronoto minus fortiter carinato, posterius acutiore; elytris alisque angustioribus; elytris ultra stigma membranaceis, venulis transversis reticulatis; vena intercalata haud recta, venæ mediæ propiore.

Obs. Les pattes postérieures étant recollées à l'unique individu qui nous a été soumis, nous n'osons affirmer qu'elles appartiennent bien à l'espèce. Elles sont assez différentes de celles des autres *Sphingonotus* et ressemblent plutôt à celles des *Ordipoda*. On peut les décrire comme suit :

Femora post. *crassa*, intus nigra, ante apicem fascia pallida, marginibus lamellari-dilatatis, margine supero in $\frac{3}{5}$ basali valde arcuato, dehinc subito sinuato; infero arcuato. Calcaria modice brevia.

13. *Sph. mongolicus*, n.

Minor, gracilis, læviusculus, fulvescens. Scutellum verticis vix carinatum, sulcatum, cum costa faciali continuum. — Pronotum velutinum, parum constrictum. Prozona superne cylindrica, sulcis parum impressis, subtilissime carinata. Metazona punctulata, parum dilatata, carinata, margine posteriore obtusangulato, ♀ angulo rotundato, canthis lateralibus rotundatis. Lobi laterales angulo postico inferè angulato vel dentato. — Elytra fasciata, remote-reticulata, dimida parte apicali latiuscule quadrato-reticulata; vena intercalata subarcuata, venæ mediæ haud contigua, apice cum illa conjuncta; area ulnaris areæ intercalatæ posticæ æquilata, per venam spuriam divisa. — Alæ remote reticulatæ, disco basali cœrulescente, fascia media lata arcuata nigra antè angustata, posterius evanida, marginem posticum liberante, nonnunquam antè interrupta. Vena media nonnunquam cum v. discoidali confusa. — Femora post. intus nigra, extus punctata, ante apicem fascia nigra. Tibiæ cœruleæ, basi fasciatæ. — *Variat* fascia nigra alarum angusta. — Long. ♀ 22, ♂ 11,5; El. ♀ 23, ♂ 18,5 mill. — **Mongolia.** (Pater David.)

S. haitensi species haud dissimilis. Comp. illam speciem.

14. *Sph. azurescens*, Ramb. — Sauss., Prodrom., p. 203; 9.

Var. — *a.* Alarum fascia nigra in medio latissima, antè angustior. (Tunes, Ægyptus.) — *b.* fascia nigerrima (Algeria, Ægyptus). Transit ad *Sph. nebulosum*, at

minor — *c.* fascia angusta (Ægyptus). In hoc casu *S. Savignyi* haud dissimilis; ab illo tamen condite distinguitur elytris confertim-reticulatis, area ulnari haud late areolata.

A. *S. scabriusculo* (var. *Lucasi*) differt: major, gracilior, subtilius punctulatus; temporibus haud foveolatis, pronoto minus constricto; pronoti margine postico integro, haud undato; elytris ♀ vena intercalata nulla vel obsoleta; alis acutioribus, fascia nigra limbum posticum magis liberanta; femoribus posticis gracilioribus, margine supero haud sinuato.

15. *Sph. scabriusculus.* Stål, — Sauss., Prodrum., p. 204; 12. — Bonnet, Journal Le Naturaliste, VIII, 1886, p. 246.

Fulvenscens vel rufescens; *S. azurescenti* simillimus. Caput læviusculum. — Pronotum rugatum, ad sulcum posticum magis constrictum; prozona ad illum tuberculata, carinula nulla, margine anteriore tuberculato-crenulata; metazona squamoso-rugosa, vel granosa, costato-scabra, antice carinata; processus margines bisinuati, undati, lobo apicali rotundato; lobi laterales angulo postico truncato, sinuato, infere angulato; margine postico trisinuato, undulato. — Elytra irregulariter reticulata, coriacea, tantum quarta parte apicali membranacea, subrecta vel remote fusco-bifasciata, dehinc in marginibus fusco-punctata. Vena intercalata-flexuosa, venæ mediæ valde propinqua; area intercalata postica lata; area ulnaris latior, per venam nullam divisa. — Alæ, basi cœrulescentes, fascia latissima nigra, anterie angustata, posterius modice attenuata, marginem posticum angustissime liberante. — Femora post. intus nigra, fascia præapicali lutea. Tibiæ cœruleæ. — Long. ♀ 27; El. 27 mill. — **Africa occid.;** Terra Herraræ (Damara); Terra Namaquensis.

S. azurescenti species valde affinis. Ab illo differt: pronoto rugosiore, prozona tuberculata; alarum fascia nigra valde latiore. — Ab omnibus speciebus differt pronoti margine posterius distincte lobato.

Cette espèce a le pronotum plus rugueux que le *S. azurescens*, surtout sa partie prozonaire. Celle-ci n'est pas carénée ou n'offre qu'une très courte carène en avant du sillon antérieur. La prozone est surtout plus étranglée que chez l'espèce citée, le sillon typique étant plus enfoncé. Les rugosités du pronotum sont du reste assez variables et l'angle des lobes latéraux de cette pièce paraît également être peu fixe dans sa forme.

On trouve dans le nord de l'Afrique (Bonnet, l. c.) une espèce qui semble se confondre avec le *Sph. scabriusculus*, mais qui en diffère cependant comme suit :

Var. Lucasii. — Caput et pronotum rugosa. Scutellum verticis carinatum vel apice areolatum. Pronotum crassiusculum, diverse rugosum; cristato-carinatum, cristula inter sulcos interrupta. Prozona rugosiore in medio ante sulcum typicum carinula

arcuata utrinque, metazona supra costata vel irregulariter venoso-rugosa, canthis lateralibus carinato-marginatis; lobi laterales angulo postico infere acuto vel rectangulo, margine postico recto. Elytra ultra stigma membranacea, transverse venulosa; area ulnari minus lata. Alarum fascia nigra variabilis. Femora post. margine supero ad tertiam partem apicalem leviter exciso. — ♂ Elytra remote-reticulata. — Long. ♀ 23, ♂ 15; El. ♀ 25, ♂ 18 mill. — *Var.* Frons et vertex areolati. Pronotum rugosissimum, metazona costata. — **Africa sept.**; Algeria; Tunesia.

La taille est un peu moins grande que chez le type *Scabriusculus*. La carène du pronotum est élevée en avant du sillon antérieur; entre les sillons elle est nulle ou très faible; sur la métazone elle est tantôt complète, tantôt effacée en arrière. Du reste les rugosités du corps sont très variables et les lobes latéraux semblent, chez certains individus, prendre la forme qu'ils affectent dans le type du midi de l'Afrique. La bande noire des ailes est moins large et sujette à devenir très étroite.

16. Sph. Savignyi, Sauss., Prodröm., p. 208, 20.

Var. major. — Cinereus, nigro-varius et fasciatus. Costa facialis latior, ad ocellum et inter antennas lata, ad verticem angustata, parallela. Elytra magis confertim reticulata, area intercalata antica triseriatim areolata; area ulnari areolis majoribus impleta minoribusque conspersa. Alæ fascia latiuscula nigra, apice spurcato. — Long. ♀ 36; El. 37 mill. — Kranowadok. (Coll. Brunn. n° 14633.)

16a. Sph. canariensis, Sauss., Prodröm., p. 208; 20b.

Cette petite variété pourrait être considérée comme formant une espèce, vu son habitat (Iles du Cap Vert) si éloigné et si séparé de l'Orient où vit le *S. Savignyi*. — Voyez plus haut ce qui est dit à propos de la *Quiroquesia Brullei* (pages 8 et 36.)

Obs. Nous avons reçu cette sous-espèce des *Iles du Cap Vert*. La provenance des Canaries paraît être douteuse.

18. Sph. japonicus, n.

Validus, gracilis, læviusculus, punctulatus, cinereus vel nigrescens. — Scutellum verticis planum, piriforme, haud carinatum, cum costa frontali continuum; hæc parallela, planiuscula, punctulata, ad ocellum dilatata, infra illum haud vel vix contracta. Tempora in plano laterali jacentia, nulla vel trigonalia. — Antennæ annulatae. — Pronotum angustum, posterius dilatatum, dorso a latere viso ♀ recto, haud concavo. Prozona antice (vel tota) subtilissime carinata. Metazona punctulata, dis-

tincte carinata, posterius rectangula, angulo rotundato. Lobi laterales margine infero recto, obliquo, angulo posteriore acuto, rotundato. — Elytra elongata, latiuscula, apice attenuata, obsolete fasciata, margine anteriore haud sinuato, dimidio basali latiuscule irregulariter reticulata, tantum basi subcoriacea, de reliquo areolis majoribus impleta; vena intercalata ♂ in S subflexuosa, venæ mediæ haud contigua, ♀ irregulari, incondite explicata. — Alæ subangustæ, extus parum sinuatæ, margine externo campi radiati arcuato, margine antico apice arcuato. Lobus apicalis campi antici lobum campi axillaris parum superans. Discus basalis venuste cœrulescens, fascia lata arcuata nigra, antè coarctata, in medio dilatata, posterius angustata, acuminata, marginem anguste liberante, ante angulum internum desinente; pars apicalis hyalina, fusco-reticulata. — Femora post. intus flavida, basi nigra, vel vitta media longitudinali nigra, fascia transversa ultra medium nigra et altera flava. Tibiæ post. cœruleæ (in desiccatis luteæ, annulis 2 obscuris). — Long. ♀ 34, ♂ 26; El. ♀ 38, ♂ 29 mill. — **Japonia.**

Sph. balteato et *intuto* affinis. Hæ species a *S. japonico* differunt: scutello verticis carinato, magis polygonali; temporibus explicatis, costa faciali infra ocellum constricta, in fronte subconvergente, subcarinata, rugosiore; pronoti metazona magis dilatata; elytris densius reticulatis etsi ultra medium irregulariter reticulatis; alis margine externo magis sinuato, margine externo campi postici recto; fascia nigra disci latiore.

S. indus formis gracilibus temporibusque nullis ad *S. japonicum* approximatur; differt tamen ab illo: elytrorum v. intercalata condite explicata, margine anteriore subsinato; alis apice angustioribus, magis bisinuato, lobo apicali campi antici magis prominulo; fascia nigra disci angusta, antè haud coarctata marginemque posticum magis liberante.

18. *Sph. longipennis*, Sauss., Prodrum., p. 203; 11.

Alarum formæ illis *S. japonici*, consimiles. Ab hac specie uti sequitur differre videtur:

Longipennis. Elytra confertim reticulata, coriacea; vena intercalata in S flexuosa, basi diffusa, dehinc distincta, venæ mediæ subcontigua. Alarum fascia nigra transversa, lata, parallela, posterius arcuata, angustata, ad angulum internum evanida; discus cœrulescens basalis magis quadratus. Costa facialis parallela, infra ocellum constricta. — (*Silhet.*)

Japonicus. Elytra remote reticulata; vena intercalata venæ mediæ haud contigua, apice cum rete areolarum plus minus confusa. Alarum fascia nigra arcuata, antè

angustata, posterius intus evanida; discus cœrulescens basalis magis rotundatus. Costa facialis subparallela, haud constricta.

Ces deux formes ne constituent peut-être encore que des races locales d'une seule et même espèce?

19. Sph. balteatus! Serv. — Sauss., Prodrôm., p. 203; 10. — *S. amarantinus*, Sauss., Prodrôm., p. 206; 14 b.

Validus, crassiusculus, ochraceus vel fulvescens, punctulatus. — Verticis scutellum vix declive, ♀ quam longum æque latum, antè angulatum incisum, plus minus carinatum. Costa facialis latiuscula. Tempora majuscula, elongata, punctata. — Pronotum posterius latiusculum. Prozona haud carinata, tantum margine antico granoso, Metazona confertim punctulata, subtilissime rugulosa, haud vel vix carinata, processu rectangulo, angulo hebetato, canthis lateralibus antrorsum prominulis, rotundatis. Lobi laterales angulo postico rotundato, vel oblique subtruncato. — Elytra, sat dense reticulata (fasciata), margine anteriore subsinuato; vena intercalata rite explicata, in S flexuosa, ante apicem venæ mediæ subcontigua; area intercalata postica areæ ulnari subæquilata; stigmatè ♀ ultra elytrum medium (vel in medio) sito. — Alæ sat trigonales, margine externo-postico subsinuato; disco basali in parte anteriore cœrulescente, in parte posteriore (etsi in margine postico) vialaceo, fascia latissima nigra, antè angustata (in vena dividente nonnunquam interrupta), postice adhuc lata, rotundata, marginem liberante. — Femora post. intus nigra, marginibus fasciaque præapicali pallidis. — ♀ Long. 34; El. 39 mill. — (Bombay; typus Servillei in Mus. Paris.)

Var. — *a.* Alarum discus basalis postice et intus roseo-amarantinus (Ægyptus). — *b.* Alarum fascia nigra marginem posticum includens (Armenia). — *c.* Costa facialis in fronte angustior, subcarinulata (ut in *S. persa*), infra ocellum constricta (Aden; Coll. Brunn., n° 11612).

Oriens; Syria, Armenia; Ægyptus; India orientalis.

Obs. Chez cette espèce, la bande noire des ailes a la même forme que chez le *S. Brunneri*. — Savigny a fort bien figuré le *S. balteatus* à sa grandeur naturelle, sauf peut-être que le metazonite du pronotum pourrait être un peu plus large.

19a. S. persa, Sauss., Prodrôm., p. 205; 14 a.

Costa frontalis angustata, carinulata. Pronotum rugulosum. Elytra quam in

S. balteato paulo minus dense reticulata; vena intercalata ut in hac specie condite explicata, in *S. flexuosa*. Alarum margo externus pone lobum axillarem rectus vel subarcuatus, haud subsinuatus; fascia nigra disci minus lata, antè minus coarctata, posterius intus magis attenuata (minus tamen quam in *S. nebulosa*).

Anne varietas vel stirps *S. balteati*?

19b. *Sph. intutus*, n. — *Sph. balteato* formis et pictura simillimus. Differt ab illo: pronoto superne rugosiore, granulato ut in *S. nebuloso*; elytrorum vena intercalata venæ mediæ ad apicem haud appropinquata, ♀ plus minus obsoleta ut in *S. nebuloso*, stigmatè ante medium elytrum sito; alarum fascia nigra latissima, tamen quam in *S. balteato* minus lata, antè coarctata, posterius intus attenuata ut in *S. nebuloso*, marginem posticum vix vel haud liberante. — Persia; Shahrud.

19c. *Sph. nebulosus*, Fisch. W. — Sauss., Prodrom., 205; 14.

S. balteato simillimus et forte mera varietas. Differt tamen:

Angustior; capite crassius punctato; scutello verticis cribroso; pronoto rugoso, subtiliter carinato, magis constricto, prozona antè carinata; metazona latiore, superne irregulariter granosa, vel rugata, vel costato-tuberculata; lobis lateralibus angulo postico infere producto; elytrorum vena intercalata minus explicata, minus flexuosa, prope apicem venæ mediæ haud subcontigua; area intercalata postica propter hoc quam area ulnaris valde angustior; stigmatè ante medium vel in medio elytro sito. Alarum fascia nigra minus lata, antè haud sensim angustata, posterius intus attenuata, marginem posticum vix liberante. — Turquestania; Armenia.

20. *S. Brummeri*, Sauss., Prodrom., 206; 15.

Nigro-conspersus. Pronotum transverse rugulatum; metazona brevior, transverse pentagonali, canthis lateralibus brevioribus, subacutis. Vena intercalata subrecta, venæ mediæ subparallela. Costa facialis plana, ad margines punctata. Femora post. intus ante apicem lutea.

20a. *S. apicalis*, Sauss., Prodrom., 206; 16.

Nigro-punctulatus. Pronotum læviusculum; metazona regulariter pentagonali, can-

this lateralibus ♀ longioribus, rotundatis. Vena intercalata in S flexuosa, venæ mediæ attamen haud contigua. Costa facialis et femora postica ut in *S. Brunneri*. — Anne var. hujus speciei ?

56. Genus **Leptopternis**, Sauss., Prodröm., p. 193, 198, 209.

Les *Leptopternis* pourraient être fondus avec les *Conipoda*; ils en diffèrent surtout par leurs élytres munis de veines adventives et par leurs épérons tibiaux moins gros.

Les *Hyalorrhapis* se rapprochent des *Helioscirtus*. Ils s'en distinguent par leurs épérons tibiaux internes qui sont allongés.

Synopsis specierum.

a. Insecta gracilia, femoribus posticis gracilibus, elongatis. Alarum venæ graciles, normales. Calcaria interna tiliarum posticarum quam metatarsus breviora.

LEPTOPTERNIS, Sss. — 1. *gracilis*, Ev. — 2. *imitans*, Br.

a,a. Insecta minus gracilia, femoribus posticis brevioribus. Alarum venæ radiatæ saltem in maribus incrassatæ. Calcaria interna tiliarum posticarum quam metatarsus longiora. HYALORRHAPIS, n.

b. Minor. Vena intercalata elytri recta; area ulnaris areolato-reticulata; calcaria tiliarum posticarum longissima. 3. *Clausii*, Kit.

b,b. Major; vena intercalata flexuosa venæ mediæ contigua; area ulnaris lata, transverse venulosa. 4. *canescens*, n.

1. L. gracilis, Ev. — Sauss., Prodröm., p. 210; 22 ♀.

♀ Verticis scutellum carinatum haud cribroso-punctatum. Costa facialis haud punctata, ad verticem subangustata. Caput et pronotum in longitudinem fusco-fasciata. — Elytra angustiora in campo discoidali et axillari fascia longitudinali brunea, opaca; vena intercalata vix flexuosa, venæ mediæ haud contigua; area intercalata postica minus lata, biserialim areolata; arcu stigmatico completo; area forcæ ulnaris parallela, uniserialim quadrato-reticulata. — Alæ angustiores, venis radiatis haud sensim incrassatis; venulis transversis invicem remotis, areolis arearum radiatarum magna parte longioribus quam latioribus. — *Turkmania*, etc.

3. L. Clausii, Kitt. — Sauss., Prodröm., p. 211; 24.

♀♂. Statura minor. Elytra omnino fusco-punctata; dimidio basali areolis polygonalibus vel rotundatis dense reticulata; vena intercalata vix flexuosa. Alarum vena

media angustius furcata, per venam spuriam nullam divisa; areæ radiatæ longe areolatae, venulis invicem valde remotis, tantum ad marginem invicem propinquis, limbo haud polygonali-areolato. — *Turkmania*, etc.

4. *L. canescens*, n.

Savigny, Descr. de l'Égypte, Pl. 7, fig. 12 (nec. *L. Clausii*).

Albescens, superne ferruginescens, læviuscula. — Verticis scutellum inter oculos subtilissime carinatum, antice punctatum. Costa facialis parallela, marginata, biserialiter punctata, infra ocellum constricta, evanescens. — Pronoti prozona haud vel vix carinulata; metazona punctulata, postice obtusangula, angulo rotundato; lobi laterales angulo postico inferè in acumen producti, margine infero recto, obliquo. — Elytra modice angusta, ferrugineo-punctulata, quarta parte basali coriacea, de reliquo pellucida, transverse venulosa. Campus marginalis quadrato-areolatus. Vena intercalata flexuosa, apicem versus venæ mediæ contigua. Arcus stigmaticus haud explicatus. Area intercalata posterior lata, indivisa, irregulariter transverse longe venulosa (ultra medium elytrum cum area medio-ulnari ad unum continua), et hic fere scalarivenosa. Vena ulnaris nonnunquam indivisa. Area ulnaris per venam obsoleteissimam divisa. — Alæ limpidae, venis albidis, ubique scalarivenulosæ, tantum in margine postico irregulariter areolatae; campus anticus quadrato-reticulatus; area media ultra medium quam area ulnaris angustior, basi areolis transversis obsita. Area axillaris postica et areæ radiatæ venulis transversalibus regularibus, sat propinquis reticulatæ, areolis transverse quadratis. Venæ radiatæ principales 1^a-4^a vel 5^a incrassatæ, apice sublongiuscule attenuatæ; margo posticus alæ simpliciter lobatus. — Pedes postici? calcaria? Arolia inter ungues tarsorum perspicua. — ♂ Long. 20; El. 23 mill. — **Ægyptus.**

57. Genus **Conipoda**, Sauss., Prodr., p. 192; 45; et 247; 59. —

Pternoscirtus per errorem, p. 59.

Ce type se rapproche beaucoup des *Leptopternis* comme il a été dit à propos de ce genre.

1. **C. calcarata**, Sauss., Prodr., p. 193¹; 1.

Var. ♀ a. ♀ Læviuscula, fulvescens, fusco-irrorata. Verticis scutellum piriforme,

¹ Ligne 10^{me} lisez : approximatis.

acute carinatum, apice acuminato, clauso. Costa facialis plana, sparse punctulata, infra ocellum subconstricta, in fronte haud marginata, marginibus subarcuatis, ad frontem subacuminata, subtruncata. — Pronotum in prozona et in margine postico fusco-striatum. — Elytra fusco-punctata, præcipue in marginibus in ampliacione marginis antici et in stigmatè macula irregulari fusca; areis intercalatis subdense reticulatis. Dimidia pars apicalis limpida, venis spuriiis intervenularibus valde incompletis; vena axillari cum v. anali confluenta. — Alæ limpidae — Femora post. superne fusco, intus nigro-fasciata. Tibiæ post. cœruleæ (vel fusco-fasciatae). Pedes 4 antici annulati. — ♀ Long. 25; El. 26 mill. — *Zambesi*. (Mus. Parisiense.)

Anne species? Calcaria tiliarum posticarum videntur paulo minus longa quam in typo.

Var. ? b. ♂ Minutus, gracilis, fulvo-griseus. Verticis scutellum angustum, sulcatum, haud carinatum. Facies declivis; costa infere divergens, supra ocellum angusta, ad verticem subconvergens, ad ocellum haud dilatata. — Pronotum læviusculum, metazona subtiliter carinata, processu rectangulo. Lobi laterales angulo postico lobato-rotundati vel rectanguli. — Elytra elongata angustissima, dimidia parte basali fusco-maculosa; dimidia parte apicali hyalina, venis spuriiis inter venas nullis, remote-venulosa. Vena intercalata apice venæ mediæ contigua; rami bini venæ mediæ e vena discoidali orientes. Area ulnaris angusta, per venam spuriam divisa. — Alæ vitreæ, angustæ. — Femora post. extus in carinis nigro-punctata, intus fasciis 3 nigris. Tibiæ post. cœruleæ (vel fasciis 3 obscuris); calcaria elongata, apice arcuata. — Patria?

Diffère du type par des formes plus grêles et des élytres dont les taches brunes sont plus grandes et plus rares, et dont la veine intercalée est contiguë à la v. médiane. Malgré ces différences, je considère cet insecte comme étant le mâle de l'espèce citée. (Étiqueté de la Martinique, sans doute par erreur. — Mus. de Paris.)

58. Genus **Heliaustus**, Sauss., *Prodrom.*, p. 212; 48.

1. H. Sumichrasti, Sauss., *Prodrom.*, p. 213; 4. — *OEd. speciosa* Walk.
C. B. M. Derm., Salt. IV, 735, 46, ♂. (Brit. Mus.) — Honduras.

Var. Pronoti pars antica carinulata. — Mexico calida, ♂.

5. II. Guatemalae, n.

Quam *H. Sumichrasti* paulo minor et gracilior, fulvescens, omnino fusco-marmoratus. Caput ut in illa specie constructum, prominulum. — Pronotum minus crassum, postice parum dilatatum, magis constrictum, carinatum; carina tantum inter sulcos interrupta. Metazona obtusangula. Lobi laterales angulo postico infere rotundato-producti. — Elytra valde fulvo-marmorata, in campo discoidali maculis 4-5 longioribus; apice fusco-punctato. — Alæ angustiores, ad basin minus latæ, disco basali citrino, de reliquo nebulosæ, venis fuscis; campo radiato margine toto infuscato, campo antico vitta anali et apice nebulosis vel infuscatis ut in specie dicta; margine antico nigro. — Femora post. intus nigro-, et flavo-fasciata. Tibiæ post. sanguineæ, basi nigrae annulo flavo. — ♂ Long. 15; El. 16,5 mill. — **Guatemala.**

Species habitu generis *Sphingonoti*, et pronoto ut in illo genere formato, constricto, subsellæformi, anterieus carinulato.

59. Genus **Pycnostictus**, Sauss., Prodr., p. 215; 49.

1. P. seriatus. Sauss., l. l.

♂. Elytra fulvo-brunea, corporis colore, haud maculosa, tertia parte suturali pellucida. Alæ fusco-nebulosæ, basi et secundum venam dividentem hyalinæ, margine antico fusco. — Long. 16; El. 15 mill.

60. Genus **Urnisa**, St. — Sauss., Prodr., p. 216; 50.

1. U. erythrocnemis. Stål. Recens. Orth. I. — Sauss., Prodr., 216; 1. — *Œdipoda guttulosa*, Walk. ! Cat. B. M. Derm., Saltat. IV, 745, 84 ♀ ♂ (1870). — Australia; Swan River. (Mus. Brit.) — *Œd. sobria*, Walk. ibid. 744, 83, ♂. Port Stephen. (Mus. Brit.)

Stirps **THRINCUS**

(*Thrincites*, Sauss., Prodrôm., p. 218.)

Les espèces dont se compose cette légion sont intermédiaires entre les *Ædipodites* et les *Èremobiïtes*. Elles se rattachent aux premiers par l'armure de leurs tibias postérieurs, aux seconds par la position de leurs ocelles, qui sont écartés des yeux, et par l'état rudimentaire des cerci¹. Dans le détail de leurs formes elles établissent le passage d'un type à l'autre par diverses voies; les unes se rapprochant plus des *Ædipodites*, les autres plus des *Èremobiïtes*.

Dans tous les genres connus les tibias postérieurs se terminent par de forts éperons, de longueur à peu près égale, c'est-à-dire que la paire interne n'est pas notablement plus longue que la paire externe. C'est là un caractère qui éloigne les *Thrincites* des *Ædipodites* et les rapproche des *Èremobiïtes*. En revanche l'absence d'épine apicale externe les éloigne de ces derniers et les rapproche des premiers, de même que la forme des tibias postérieurs, lesquels ont leur face inférieure arrondie à la base, aplatie et bicarénée à l'extrémité.

Le deuxième segment de l'abdomen est tantôt muni à ses angles latéraux de plaques cornées rugueuses comme chez les *Èremobiïtes*, tantôt dépourvu de ces organes stridulatoires. Il faut remarquer toutefois que l'arête interne des fémurs postérieurs est toujours lisse, dépourvue de dents, lors même qu'existent les plaques contre lesquelles cette arête doit racler pour produire une stridulation.

De même que les *Èremobiïtes*, les *Thrincites* se partagent en deux groupes, l'un boréal, l'autre austral; ce dernier est propre à l'Australie et au sud de l'Afrique.

Premier groupe. — Espèces boréales.

Ce groupe n'est encore connu que par le genre *Thrincus* qui, plus que tout autre, relie les *Thrincites* aux *Ædipodites*. En effet il offre des formes grêles, fort analogues à celles des *Sphingonotus*, et aux tibias postérieurs les épines du bord interne sont plus longues que celles du bord externe. D'autre part ces insectes ont déjà d'une manière très prononcée le faciès des *Eremobia*: Face échancrée; nervures des élytres libres

¹ Le genre *Thrincus* fait exception à cette règle, en ce que chez les mâles les cerci sont styli-formes et quelque peu allongés, comme chez les *Ædipodites*.

(sans arc stigmataire); corps marqué de plaques et de lignes d'un blanc crayeux; valves génitales inférieures des femelles dilatées, etc.

Ce groupe sert donc de lien entre les Œdipodites et les Éremobiites de l'hémisphère boréal, se rattachant d'une part au genre *Sphingonotus*, d'autre part au genre *Eremobia*.

Deuxième groupe. — Espèces australes.

Ces insectes, tous aux formes Batrachoides, offrent des caractères communs très frappants, et bien éloignés de ceux qui dominent dans le premier groupe. Le corps est extrêmement large, fortement déprimé, aptère ou mal ailé. La tête est courte, grosse, perpendiculaire, à vertex large, à face très large, non échancrée, peu convexe, et dépourvue de côte faciale distincte. Les antennes sont insérées plus bas que les yeux et écartées l'une de l'autre à leur insertion. Les pattes sont courtes et les fémurs postérieurs sont dilatés. Enfin aux tibias postérieurs les épines du bord externe sont plus grandes que celles du bord interne.

Tous ces caractères relie les espèces de ce groupe aux Éremobiites australes en les rapprochant des *Methone*, des *Batrachotettix* et des *Bufoacris*¹. D'autre part les Thrincites australes se rattachent par leurs formes aux Œdipodites américains aptères (*Pappipapus*, *Pappus*) qui sont également des insectes propres aux régions australes et qui se relie par les *Phrynotettix* aux vrais Œdipodites. On peut donc dire que si le premier groupe établit le lien entre les Œdipodites et les Éremobiites de l'hémisphère boréal, le second groupe relie entre eux les Œdipodites et les Éremobiites de l'hémisphère austral.

Les types dont se compose le deuxième groupe offrent quelques caractères spéciaux qu'ils sont les seuls à posséder dans la tribu des Œdipodiens, en dehors de rares exceptions.

1° Les yeux sont échancrés en dessus.

2° La forme élargie et déprimée du corps semble entraîner une modification particulière du sternum.

On peut considérer le métasternum en général comme composé de trois pièces : *a*. La pièce antérieure qui porte les lobes latéraux. — *b*. La pièce postérieure. — *c*. La pièce médiane en général très petite qui, intercalée entre les deux autres, remplit l'espace compris entre les perforations, et que nous désignons sous le nom d'*ombilic*.

Or dans les genres dont il est ici question cette pièce se soude souvent à la pièce antérieure et cesse d'être appréciable. Le métasternum n'est plus alors composé que

¹ Chez certains Éremobiites, particulièrement chez ceux qui ont les formes déprimées, il existe de chaque côté du front un sillon oblique qui part de l'œil et vient aboutir au sommet des fossettes antennaires. Ce sillon se retrouve chez certains Thrincites du deuxième groupe, particulièrement dans le genre *Phanocerus*. Dans le genre *Crypsicerus* on distingue quelque chose d'analogue, soit un sillon très faible qui part du bas de l'œil et qui va aboutir, non pas au-dessus, mais bien au-dessous de la fossette antennaire.

de deux pièces transversales, séparées par un sillon droit, aux deux extrémités duquel on retrouve les perforations réduites à l'état ponctiforme ¹.

Chez les *Lathicerus* il survient une modification d'un genre tout opposé. L'ombilic prend ici un énorme développement ; il s'étend sur toute la largeur du sternum, forme une pièce transversale intercalée entre la pièce postérieure et l'antérieure et, pour se faire place, il refoule la pièce antérieure pour ainsi dire dans le mésosternum. Cette pièce, ainsi refoulée, n'ayant plus assez de place pour prendre son développement normal, se trouve réduite à une sorte de lobe transversal.

3° Une modification bien plus singulière encore se rencontre dans les genres *Crypsicerus* et *Lathicerus*. Le front est creusé de deux profondes gouttières qui, partant des fossettes antennaires, vont converger au vertex, et qui servent à loger les antennes lorsqu'elles se mettent au repos. Ces organes sont aplatis, afin de pouvoir s'effacer dans les gouttières et assez courts pour ne pas dépasser le vertex afin de se dissimuler entièrement. Il faut supposer que cette organisation est en rapport avec des faits de mimétique, et que les insectes, ainsi organisés, en repliant leurs pattes contre le corps et en cachant leurs antennes, arrivent à se confondre avec les petits cailloux du sol ou avec les mottes de terre et à devenir de la sorte invisibles à leurs ennemis.

Les espèces du deuxième groupe pourraient d'après ce qui précède se diviser en Phanérocères et en Crypsicères.

4° Dans les deux genres Crypsicères dont il vient d'être question, le premier segment dorsal de l'abdomen se joint au thorax et participe à sa nature, et les tambours de ce segment sont oblitérés. Pareille exception se remarque du reste parmi les Éremobiens dans le genre *Ereminus*.

SYNOPSIS GENERUM

1. Corpus gracillimum, longe alatum. Ocelli majusculi, ad verticis magines exserti. Capitis costa facialis et carinæ genarum explicatæ; facies a latere ad ocellum valde sinuatum. Pronotum constrictum, subcompressum. Pedes elongati, gracillimi. Tibiæ anticæ subtus utrinque calcaribus 2, spinis 5 armatæ. Abdominis primum segmentum utrinque tympano, secundum ad angulum inferum scutello corneo instructa. Antennæ ad oculorum altitudinem exsertæ. — Mesosternum postice inter ejus lobos productum. Metasternum normale, umbilico distincto. Pronotum constrictum, subcompressum. Tibiæ posticæ in utroque margine spina apicali ad calcaria posita carentes. 62. *Thrinus*, F. W.

¹ Parmi les Éremobiites on trouve une sorte de modification analogue chez *Eremobia insignis* et accidentellement chez d'autres espèces.

- 1,1. Corpus obesum, depressum, apterum vel incomplete alatum. Ocelli minuti a vertice valde remoti. Caput perpendiculare costa faciali et carinis genarum haud explicatis; facies haud sinuata. Pronotum deplanatum. Pedes breves. Femora postica compressa marginibus lamellari-dilatatis. Tibiæ anticæ, saltem intermediæ, subtus utrinque calcaribus 2, spinis 2 instructæ. Abdominis secundi segmenti scutello corneo utrinque obsoleto vel nullo. Antennæ infra oculos exsertæ. — Caput crassum, superne breve, anterius parum convexum.
2. Antennæ graciles, modice longæ, haud procul ab oculis orientes. Frons plana, haud canaliculata. — Tibiæ posticæ margine interiore spina apicali ad calcaria posita instructæ.
3. Pronotum retro in processum productum. Elytra rudimentalia (vel nulla?). Sternum normale63. *Phanocerus*, n.
- 3,3. Pronotum transversum, latissimum, posterius haud productum, a mesonoto per sulcum separatum, hoc nudum. Elytra nulla64. *Lilava*, St.
- 2,2. Antennæ brevissimæ, crassiusculæ, verticem haud superantes procul ab oculis exsertæ, ex articulis paucis compositæ, in requiete ad frontem appressæ et in canaliculos frontis reconditæ. Frons per canaliculos duos supraantennales in vertice convergentes, ad antennas excipiendum, exarata. — Corpus apterum. Pronoti lobi laterales utrinque perpendiculariter acute deflexi.
3. Pronotum rhomboidale, retro in processum productum. Sternum normale; mesosterni margo posterior inter ejus lobos transversus, rectus. Femora postica lata. Tibiæ posticæ spinis paucis validis; margine interiore spina apicali deficiente65. *Crypsicerus*, n.
- 3,3. Pronotum transversum, posterius latissimum, transverse truncatum, supra mesonotum tamen productum. Sternum abnorme; mesosterni pars media angustissima, margine posteriore inter ejus lobos valde sinuato. Femora postica modice dilatata. Tibiæ posticæ margine interiore spina apicali instructæ66. *Lathicerus*, n.

DIAGNOSES SPECIERUM

63. Genus **Phaneroцерus**¹, n.

Corpus obesissimum, valde depressum, rhomboidale. — Antennæ filiformes, breves, ♀ gracillimæ, ♂ graciles. Caput brevissimum, crassum, ad oculos in pronoto invaginatum. Vertex valde transversum, latissimum, scutello nullo. Facies perpendicularis lata, ab antico sat planata, costa faciali vix ulla; fronte inter antennas latissima. Oculi minuti, suborbiculares, invicem maxime remoti, superne subsinuati. Ocelli minuti, in trigonum æquilateralem exserti; laterales ab oculis remoti. Tempora nulla. Frons utrinque sulco obliquo ab oculis ad antennas (supra antennas) ducto².

Pronotum valde loriatum, a supero truncato-rhomboidale, angulis lateralibus rotundatis, antice transverse arcuato-sinuatum. Dorsum planum, leviter convexum, sulcis 3 subtilibus arcuatis instructum. Canthi laterales rotundati, per sulcos intersecti. Metazona maxima, in processum immensum supra abdomen producta, illum magna parte obtegens; processus margines ad inferum deflexi (vel ♀ potius lateraliter crassissime rotundati). Lobi laterales perpendiculares, sulco intermedio distincto, reliquis obsolete.

Sternum latissimum, foraminibus 4 notatum. Lobi meso-, et metasternales invicem maxime remoti. Umbilicus metasternalis nullus, cum parte antica metasterni confusus, scilicet ejus sulcus anterior oblitteratus.

Elytra ♀ ♂ rudimentalia, lateralialia, sub lorica thoracis partim recondita.

Pedes antici graciles. Postici brevisculi; femora marginibus maxime lamellari-dilatatis. Tibiæ posticæ basi inermes, spinis utrinque 8-9; spina apicali marginis interni explicata, illa marginis externi deficiens. Calcaria modice grandia. Arolia inter ungues tarsorum sat minuta.

Abdomen breve, conicum. Tympanum utrinque apertum, arcuatum margine pos-

¹ De φανερόν montrer, et κέρως, corne. — Qui montre ses antennes.

² Les caractères de la face s'effacent chez les individus fortement granulés; nous les mentionnons parce qu'ils sont caractéristiques du genre.

tico crasso. Abdominis 2^m segmentum utrinque ad angulum anteriorem scutello corneo rugoso perspicuo.

♀ ♀. Lamina supraanalis transversa. Cerci minimi, vix perspicui, trogonales. Valvæ genitales obtusæ; superæ breves ac crassæ; inferæ, extus infere dilatatæ, incisæ ac lobatæ, vel dentatæ; eorum pars basalis subtus plantam lobiformem ab unguiculo per sinum discretum efficiens; unguiculi subrecti apice obtusi.

♂ ♂. Lamina supraanalis lata, magna. Cerci compressi, breves, obtusi. Lamina infragenitalis late trigonalis.

1. *P. testudo*, n. (Fig. 9).

Fulvus (prasinus?), læviusculus, obesissimus. — Antennæ quam capitis altitudo breviores, 16-articulatæ. — Caput obtusissimum; vertice brevissimo, planiusculo, marginibus complete rotundatis, antè obsoletissime impresso, utrinque ad oculos brevissime arcuato-marginato. Facies inter antennis lata, ♀ costam facialem late dilatam obsolete imitans, et ibi utrinque leviter arcuato-marginata, infra antennis utrinque per impressionem transversalem coarctata, parallela; pars infera faciei utrinque sulco subtili obliquo, partem inferiorem dilatam costæ fascialis ut ita dicam rememorans. Carinæ infra-ocellares in genis flexuosæ, obsoletæ, evanidæ; genæ infra oculos sulco lineari perpendiculari percurrente instructæ, superius inter illum sulcum et carinulam infra-ocellarem, infra oculos foveata, et tuberculum infra-ocularem obferentes. Frons utrinque inter oculos et antennis sulco distincto marginata.

Pronotum truncato-rhomboidale, densissime et subtilissime, in prozona obsolete, granulato-punctatum. Dorsum latissimum, linea cariniformi subtili, ad sulcum posticum transverse biimpressum, pone illum paulo distinctius granosum; sulcus typicus in medio obsoletus, antrorsum angulatus. Prozona brevis, superne leviter transverse convexa, margine anteriore arcuato-sinuato, subcrenulato. Metazona quam prozona plus quam duplo longior, abdominis segmenta 5 obtegens, leviter convexa, utrinque rotundato-angulata; processus plus quam dimidiam partem dorsi efficiens, apice truncatus; ejus margines laterales vix arcuati, rotundati, granulosi, inferius acuti, pubescentes. Lobi laterales elongati, rotundati, superne impressionibus 3 minutis lævigatis; eorum margo posterior remote-granosus, longe obliquus, cum processum continuus, in medio leviter angulato-sinuatus, margo inferior arcuatus. — Prosterni margo valde deflexus, transverse arcuatus, in medio retroarcuatus.

Elytra angusta, punctata, 1^m abd. segmentum haud superantia, apice rotundata; mox horizontalia, mox ad inferum vergentia.

Pedes breviter pubescentes. Femora postica latissima. Eorum area externo-media angusta, prominula, convexa, sparse granulosa, carinulis marginalibus subtilibus, supera granis vel dentibus minutis paucis instructa. Area supera late lamellari-dilatata, nonnunquam tuberculis acutis rarioribus irregularibus prædita, ad marginem superiorem tuberculis compressis 2-3 subacutis; hoc parum arcuato, dentibus minutis ac majoribus irregularibus crenato, ultra medium recto, ante condylum haud sinuato. Area inferior latissima, lamellaris, quam supera latior, margine infero valde arcuato, subundato, ad condylum angulato-incisa. Tibiæ post. haud compressæ, spinis apice nigris, extus 8, intus 9; exterioribus quam interioribus majoribus. Tarsi postici, tibiarum et femorum latus internum, coccinea; femorum area media et vitta areæ inferæ nigris vel violaceis.

Abdomen conico-cylindricum, sublæve.

♀. Læviuscula. Lamina supraanalis transverse trigonalis apice rotundato; ejus pars basalis nigro-impressa. Valvulæ inferæ a supero visæ ad basin unguiculi acut-angulatim vel rectangulatim incisæ, dentem subacutam efficientes.

♂. Minor. Omnino dense granulosis, crasse sabulosus. — Antennæ paulo minus graciles, 17-articulatæ. — Costa facialis inter et infra antennas distinctius marginata, inferè haud perspicua. Sulci et tuberculi frontis et genarum haud perspicui, in rugositatibus capitis diffusi. — Pronotum distinctius carinatum; metazona magis convexa, distincte carinulata, obtusissime tectiformi, a latere arcuata, ante apicem impressa, carina evanida. Sulci dorsales propter rugositates obsoleti. Canthi laterales acutiores. Processus apice paulo magis truncatus; ejus margines laterales magis flexi, latere laterali angusto, distincto, marginibus subtus læviusculis. Lobi laterales quam in ♀ paulo minus retundati. Femora post. extus tota dense sabulosa; margine supero leviter arcuato, granoso-dentato, ante apicem subsinuato. — Abdomen subtus dense punctatum. Lamina supraanalis quam lata paulo minus longa, subtilissime granulata, margine postico subbiundato vel 4-undato. Lamina infragenitalis punctata.

Long. ♀ 30, ♂ 17; Pron. ♀ 19,5, ♂ 15; metazonæ ♀ 14, ♂ 10,5; prozonæ ♀ 5,5, ♂ 4,5; Latit. pron. ♀ 16, ♂ 11; Fem. ♀ 17, ♂ 12,4; latit. ♀ 7, ♂ 5,4; Antennæ ♀ 7, ♂ 8 mill.

Australia meridionalis.

Obs. — La femelle a le corps uni; le mâle l'a complètement granulé. Ces différences sont probablement accidentelles et les deux sexes représentent probablement deux variétés de l'espèce. Chez les Eremobiens la sculpture du corps est également très sujette à varier d'un individu à l'autre.

Genus **Lilæa**, Stål.

Lilæa, Stål, Observ. Orthopterol, I, 1875, p. 33.

« Corpus crassum, latum. Caput os versus ampliatur, carinis destitutum, genis convexis; vertice inter oculos declivi, fastigio haud prominulo, obtusissimo; temporibus immarginatis; fronte subperpendiculari, costa obtusissima, lata, non nisi inter antennis leviter ampliata. Oculi parviusculi. — Antennæ graciles, ante oculos insertæ. — Thorax latus, depressus a medio antrorsum fortiter angustatus, carinis destitutus; pronoto transverso, basi apiceque truncato, transversim leviter convexo, lobis lateralibus angustiusculis. — Prosternum inter marginem anticum impressum. Lobi mesosterni et metasterni fortissime distantes, divaricati. — Elytra alæque nulla. — Pedes breviusculi, femoribus posticis latis, extus convexis; tibiis posticis superne in margine interiore spina apicali armatis, in margine exteriori spina apicali destitutis. » — Abdominis primum segmentum utrinque lateraliter scutello granulato nullo.

Ce genre diffère des *Lathicerus* par ses antennes grêles; son front dépourvu de coulisses, sa côte faciale élargie autour de l'ocelle; par son pronotum non prolongé sur le mésonotum, à lobes latéraux étroits (c'est-à-dire peu élevés?); par ses fémurs postérieurs convexes, non rugueux (non dentelés?).

Les caractères indiqués par Stål s'accordent assez bien avec ceux du genre *Bufonacris*, si ce n'est que les tibiis postérieurs n'offrent pas d'épine apicale externe. Cette épine, fort petite chez les *Bufonacris*, était-elle atrophiée dans l'individu observé par Stål et les deux genres doivent-ils être réunis en un seul, c'est ce que je ne saurais décider.

1. L. depressa, Stål, l. l. p. 33; 1.

« Griseo-ferruginea; thorace remote subtiliterque granulato, margine basali segmentorum granulis majoribus instructo; abdomine dorso rugulis granulisque subtilibus consperso; area interiore intermedia femorum posticorum ultra medium nigra; tibiis posticis pallide sordide flavescens, spinis apice nigris, ♀ Long. 36; lat. thor. 13 mill. » — Patria ?

64. Genus **Crypsicerus**¹, n.

Corpus crassissimum (apterum?). — Caput superne breve, planatum, sulcatum. Vertex planiusculus, latissimus, haud declivis, sulcatus, margine anteriore transverso, acuto, subinciso, oculos paulum superans. Frons supra antennis canaliculis duobus exarata, ad verticem convergentibus, inter canales lanceolato-piriformis, ad verticem angusta, compressa, sulcata. Oculi superne sinuati. — Antennæ brevissimæ, verticem haud superantes, depressæ; eorum insertiones ab oculis valde remotæ. — Pronotum superne planum, rhomboidale, retro in processum productum, canthis lateralibus acutis; lobis lateralibus perpendiculariter deflexis. — Mesosternum normale, margine posteriore recto. Metasterni umbilicus nullus. — Pedes breves. Femora postica convexa, latissima, apice parum attenuata. Tibiæ omnes spinis validis armatæ; posticæ spinis paucis, tamen et ad basin spinosæ, calcaribus validis subæqualibus. — Abdomen utrinque tympano nullo.

Dans ce genre la côte faciale n'existe que par suite de la présence des gouttières frontales. Elle n'est en effet formée que par la continuation du plan de la face entre ces gouttières; sa forme est celle d'un fer de lance longuement apointi au sommet, et dont la partie supérieure est comprimée au point de ne plus former qu'une cloison de séparation entre les deux gouttières. Cette cloison est partagée par un sillon et, vue de profil, elle paraît légèrement sinuée et inclinée en arrière pour se joindre au front. Les antennes afin de ne pas dépasser le vertex sont insérées très bas, au milieu de la hauteur de la face (si l'on en excepte le chaperon). Le bord du vertex n'est pas entamé par les gouttières frontales; il est tranchant, droit et transversal, un peu plus avancé que les yeux. La partie antérieure du plan du vertex est limitée par un sillon transversal qui en sépare comme une bande transversale marginale. Les tibias postérieurs ne portent qu'un nombre d'épines réduit. (Comp. ci-dessus, page 93, ce qu'il est dit de ce genre et du suivant.)

1° E. cubicus, n.

Griseus vel canescens. — Antennæ superne fascia longitudinali nigra, 7-articulatæ, articulis 3°-5° superne pèr sulcum divisis; 4°-6° transversis; ultimo majore, punctato. Caput lævigatum, sparse minute granulosum. Cranium planum, horizontale,

¹ De κρύπτω cacher et κίρξ; corne. — « Cache-cornes; » qui peut cacher ses antennes ou qui aime à les cacher.

antice et postice leviter impressum, per sulcum subtilem, postice evanescentem divisum. Vertex a latere cum facie angulum rectum acute angulatum (scilicet haud rotundatum) efficiens. Margine anteriore latissimo, transverso, obtusissime sinuato, per sulcum inciso, canthum acutum obsolete granulose formante, oculos superante et ad illos utrinque angulum rectum hebetatum præbente. Vertex pone marginem sulcum transversum, inter angulos anticos oculorum ductum, obferens. Facies plana, costa faciali nulla sed spatium piriformem planum inter canaliculos frontales præbens, hoc superne acuminatum, costam lamellari-compressam, sulcatam efficiens; hæc a latere ad verticem retro-obliqua, subsinuata. Canales frontis profundi, acute marginati, nigri. Pagi inter canales et oculos extantes impressione transversa notati. Ocelli obsoleti vel nulli.

Pronotum subtiliter haud dense granulatum, superne planum, quam longius valde latius, linea dorsali subtilissime carinulata. Margo anterior latiusculus, sinuatus. Canthi laterales in tota longitudine antice et postice vix acuti, recti, granoso-denticulati, anguli laterales rectanguli, rotundati vel truncati, denticulato-crenati. Canthi anteriores quam posteriores breviores, subundati, fortius crenati, per sulcum typicum intersecti; hic subtilissimus, arcuatus, in medio evanidus. Canthi posteriores posterius spinulosi, ante apicem incisus. Apex processus latiuscule truncatus, subarcuatim incisus, granosus, vel subtiliter denticulatus, angulis in spinam brevem excurrentibus. Lobi laterales perpendiculariter deflexi, lævigati, sparse granulose, sulco typico solo explicato, subrecto, margo anterior undulatus; inferior subrectus, leviter obliquus; posterior arcuatim sinuatus, subtiliter marginatus; angulus anterior, rectangulus, posterior rotundatus. Partes laterales deflexæ processus sparse granulose, posterius tuberculis acutis. — Metapleuræ et latera segmenti medialis valde granulata. Hoc valde retroproductum, posterius a pronoti processu vix superatum.

Pedes brevissimi. Femora sparse granosa; intermedia compressa. Postica dilatata, retro vix attenuata, ante condylum subito constricta, marginibus lamellaribus; area externo-media convexa; margine superiore subrecto, irregulariter denticulato; infero subarcuato, tantum apice crenato, subdentato. Tibiæ posticæ superne apice sulcatæ, marginibus rotundatis; spinis validis intus 5, extus 6, apice acutis, nigris; spina apicali utrinque deficiente. Arolia inter ungues sat grandia, rotundata.

Abdomen conicum, læviusculum, sparse obsolete granosum, superne 3-, vel 5-costatum, obsolete 4-sulcatum. Primum segmentum supra dente spiniformi retroarcuata, e sinu apicis pronoti emergente, armatum; sequentia superne compressa, carinam serratam efficientia. Costæ laterales compressæ distinctæ; intermediæ rotundatæ, obsoletissimæ. ♀ Lamina supraanalis longe lanceolata. Valvulæ genitales compressæ, in plano verticali jacentes, extus læviusculæ, apice intus incurvo, obtuso, mar-

gine superiore in medio dente minuto; inferæ deplanatæ, basi latæ, ante apicem obtuse incisæ, apice trigonali.

♂ Long. 18; Prom. 8; latit. 10,5; Fem. 10 mill.

Africa meridionalis; Terra Namaquensis. (Femina immatura?) — Mus. Prom. B. Sp.

65. Genus **Lathicerus** ¹.

Corpus latissimum, valde depressum, apterum.

Caput perpendiculare, superne brevissimum, subcarinatum. Vertex inter oculos latissimus, brevissimus, leviter declivis, in medio per canaliculum frontalem profunde emarginatus. Frons supra antennis canaliculis duobus ad verticem in unum confusis, exarata. Oculi superne sinuati.

Antennæ brevissimæ, crassæ, deplanatæ; in requiete inter oculos ad verticem in frontis canaliculis locatæ, illum leviter superantes.

Thorax planus, latissimus, quam longus valde latior, antice et postice truncatus, lateraliter arcuatus. — Pronotum complete transversum, late trapezinum, anterius valde attenuatus, supra nec sulcatus, nec carinulatus, margine antico late sinuato, postico transverso, subarcuato, crenato, supra basin mesonoti leviter producto. Lobi laterales perpendiculares, æque longi ac alti, subquadrati, sulco intermedio perspicuo. Canthi laterales subacuti (duplices, utrinque retro in unum convergentes). — Meso- et metanotum ad unum retro parum angustata, anguste transversa, supra plana, utrinque cantho acutissimo marginata, lobis lateralibus perpendicularibus, planis.

Sternum latissimum. Prosternum breve, margine antico latissimo, subrecto, brevissime deflexo, facie anteriore plana, postica obliqua, convexiuscula. Mesosternum brevissimum, margine postico valde sinuato, in medio angustissimum, transversum, lobis lateralibus subquadratis, invicem maxime remotis. Metasternum anterius valde productum, per sulcos 2 transversos rectos in pagos 3 transversos divisum: anticus semiellipticus, quasi in mesosternum propulsum; intermedius transversus, inter lobos mesosterni extensus; posticus transversus inter lobos metasterni extensus. (Comp. supra, p. 93.)

Pedes breves. Femora postica compressa, parum dilatata; tibiæ graciles, supra apice planulæ, margine interiore spinulis minutis numerosis, margine exteriori spinis majusculis paucis armatæ; calcaribus validis, subæqualibus.

¹ De λανθάνω cacher et κέρας cornu. — Qui cache ses antennes.

Abdomen conicum; ejus tympana haud perspicua. Lamina supraanalisis trigonalis. Cerci ♀ ♂ minimi, trigonales, deplanati.

♀. Valvulae genitales extus valde incisae, valde dentatae; superae breves ac crassae; inferae unguiculo longiore graciliore.

♂. Lamina infragenitalis cucullata, margine superiore inciso.

Dans le genre *Lathicerus* les antennes sont assez longues pour dépasser un peu le front, d'où résulte que le double canal frontal échancre le bord du vertex pour laisser passer l'extrémité de ces organes, dont les derniers articles s'effacent en se repliant en arrière à plat sur le vertex. Les deux gouttières frontales, quoique presque confondues en une seule au sommet du front sont cependant encore séparées dans le fond par la continuation de la côte frontale qui devient ici un peu enfoncée, bicarénée et partagée par un sillon aigu, s'élargissant au sommet. Lorsque les antennes sont logées dans leurs gaines, elles se juxtaposent au sommet et dissimulent en la recouvrant, cette partie de la côte frontale.

Le sternum offre une structure anormale qui revêt une apparence trompeuse comme il a été dit plus haut, page 93.

Les *Lathicerus* ont des formes tout exceptionnelles, voisines de celles qui s'observent chez les *Lilea* et les *Bufomeris* (fig. 15). Ils s'en distinguent facilement à leur front creusé de gouttières, à leurs antennes courtes et plates, à leur pronotum dont le bord postérieur chevauche par-dessus le mésonotum, et à leurs tibias postérieurs dont les épines externes sont fortes et peu nombreuses.

1. *L. cimex*, n.

Grisea vel fulvescens. — Antennae 8-articulatae, depressae, in quiete ad verticem inter oculos attingentes, punctulatae; articulis 3° subtrigonalis, 4° subtransverso, 5°-7° quadratis, 8° minore, rotundato. — Caput granulosum, supra brevissimum, infra oculos depressionem praebens; occipite laeviusculo; vertice inter oculos latissimo, margine subacuto, habetato, obsolete verruculoso, in medio profunde trapezino-emarginato. Costa facialis inferius ♀ nulla ♂ subexplicata, infere arcuatim valde divergens, marginibus prominulis, obtusis, linea granorum rotundatorum instructis; in parte ocellari piriformi-lanceolata, granosa, supra ocellum sulcata, superius ad verticem inter canales profundos frontis sulcata, a latere attenuata. Margines externi canaliculorum frontaliu a latere arcuati superne subsinuati. Canaliculi ac costae facialis pars verticalis obiecta nigri.

Thorax superne planissimus, totus rugulosus et dense granulatus. — Pronotum quam longum duplo latius, late trapezinum, dorsi marginibus lateralibus subarcuatis, anterius valde convergentibus, disco leviter depresso; margine postico quam anticus

fere duplo latiore, transverso, subarcuato, ♀ in basi metanoti leviter producto, ♂ illum fere totum obtegente, tuberculis dentiformibus ad superum arcuatis circ. 8 armato, margine imo ad inferum deflexo. Canthi laterales subacuti vel obsoleti, granosi, per sulcum intermedium intersecti. Lobi laterales plani, quadrati, quam altiores paulo longiores, infero leviter attenuati, antice et postice rectanguli, margine infero subrecto, postico leviter obliquo, subsinuato. ♀ granulis dentiformibus remotis acutis et in angulo humerali ♂ granulis crassioribus, obsito; margine supero carinam obsoletam granulosam horizontalem retro cum cantho dorsali convergentem, præbente, et ab illo ♂ per sulcum separata. — Metanotum pronoto æquilongum, brevissimum, superne planum, ♀ dorso utrinque cantho acuto C-formi marginato, cum segmento mediale ad unum confuso, ab illum tantum per sulcum transversum non nisi in medio perspicuum, utrinque oblitteratum superatum. Metapleuræ supra coxas posticas ♀ bidentatæ. — Prosterni margo deflexus ♀ crenulatus, ♂ subcallosus. — Segmentum mediale metanoto simillimum marginibus lateralibus ♀ acutissimis retro-convergentibus. — In maribus thorax magis granulatus; pronotum posterius minus dilatatum, metanotum fere totum obtegens, dentibus minutis marginis postici vix distinctis, frequenter graniformibus. Pedes minuti. Femora 1,2 superne sparse acute granosa, intermedia minute tuberculata. — Femora postica extus rugosa, terrosa, ac granulata, areis marginalibus parum dilatatis, margine supero spinulis circ. 10 armato, infero, subarcuato, subundato, latere interno miniatum; tibiæ post. miniatæ, margine interno spinulis 12, externo spinis majoribus 5-6 invicem remotis; infera a reliquis et a calcaribus valde remota; spinis apice nigro. Arolia inter unguis ovata, subcompressa, unguibus plus quam dimidio longiora.

Abdomen superne series 2 tuberculorum obliquorum obferens. Lamina supranalis trigonalis, apice rotundata.

♀. Valvulæ genitales valde dentatæ, valde incisæ, apice nigræ; superæ basi crassæ, punctatæ, dehinc valde excisæ, dente habetato armatæ; inferæ dente laterali trigonali acutiore, incisura profundiore, unguiculo fere obtusangulatim curvato instructæ. —

♂. Lamina infragenitalis depressa, ad superum reflexa, triangulariter incisa.

Long. ♀ 24, ♂ 17; Pron. ♀ 6, ♂ 4; latit. ♀ 13, ♂ 8,2; Fem. ♀ 10,5, ♂ 8,4 mill.

Africa meridionalis; Terra Angræ pequenæ.

Stirps **EREMOBIA**(*Eremobites*, Prodrumus, p. 221.)

Le groupe des Éremobiites est d'un intérêt particulier à cause du genre de vie auquel ces insectes sont assujettis et qui leur imprime une physionomie toute spéciale. Ils sont insectes du désert, et en s'adaptant à cet habitat, ils ont subi des modifications importantes dans plusieurs de leurs parties. On peut les considérer comme des OEdipodiens transformés en fonction des régions nues et poudreuses où ils ont élu domicile.

Distribution géographique.

Elle a déjà été indiquée sommairement à la page 7, § 7, et j'en ai également parlé ailleurs à propos des Pamphagiens qui forment un groupe parallèle à celui des Éremobiens¹. Cette distribution est nettement définie; elle se partage entre deux régions : la région méditerranéenne (ou subarctique) et la région sud-africaine.

Région méditerranéenne. — Au point de vue de la faune, cette région se prolonge à l'est, jusqu'au centre de l'Asie, dans le Turkestan et la Perse; il est même probable que le groupe des Éremobiites se continue le long de la frontière sud de la Sibérie, jusqu'aux limites extrêmes de l'Asie. Le genre *Haplotropis*, en effet, habite le territoire de l'Amour et comme il n'est guère probable qu'il occupe une position isolée, on peut supposer qu'il se relie à la faune turcomane par des espèces échelonnées au travers de la Mongolie.

Il est important de remarquer que dans la région paléarctique (ou plutôt subarctique) les Éremobiites offrent presque exactement la même distribution géographique que les Pamphagiens (avec cette différence toutefois que ces derniers ne paraissent pas dépasser les limites du centre de l'Asie). L'un et l'autre de ces groupes occupent, outre l'Espagne, toute la côte nord de l'Afrique jusqu'au Sahara, pour de là s'étendre

¹ Spicilegia entomolog. Genavensis, II, p. 11.

en Orient dans l'intérieur de l'Asie. L'un et l'autre présentent aussi de légères exceptions à cette règle. (Parmi les Pamphagiens, deux espèces africaines se retrouvent en Sicile¹ et une espèce asiatique dans la partie orientale de la presqu'île des Balkans². Parmi les Éremobiites, deux genres occupent la partie occidentale de la presqu'île des Balkans, le genre *Glyphanus*, la Grèce et l'Albanie; le genre *Cuculligera*, la zone dalmate, et ce dernier s'étend aussi sur la partie sud de l'Italie.)

Il règne donc entre les deux groupes un parallélisme presque parfait; ils ont subi une même dispersion et cela tient à ce que, pour l'un comme pour l'autre, elle dépendait d'exigences ambiantes toutes similaires. Les Éremobiites subarctiques sont partout moins nombreux en espèces que les Pamphagiens, sauf toutefois dans la presqu'île des Balkans qui sous ce rapport offre une exception sans importance.

Région sud-africaine. — En revanche, les Éremobiites semblent offrir dans le sud de l'Afrique des types plus variés que les Pamphagiens, tout en étant circonscrits à une région beaucoup plus limitée.

L'Afrique méridionale peut se diviser, sous le rapport de la nature du pays, en deux zones distinctes — La première zone part du Cap de Bonne-Espérance et comprend la partie occidentale du sud de l'Afrique; elle se compose de plateaux arides et poudreux que traverse le fleuve Orange, et s'étend à une altitude de 1000 mètres sur les territoires des Namaquois et de l'Herrera. Cette zone est tout particulièrement celle qu'habitent les Éremobiites qui, plus encore que les Pamphagiens, sont insectes des déserts. — La seconde zone, beaucoup plus vaste, part du pays de Natal, couvre le Transvaal, se prolonge fort loin au nord, s'étend aussi à la côte orientale et se continue avec le bassin du Zambèze. Cette région est verdoyante, en grande partie boisée, et les Éremobiites paraissent en être exclus. — Les Pamphagiens sont répandus sur les deux zones et s'étendent jusqu'au Cap de Bonne-Espérance, au moins en ce qui concerne le genre *Xiphocera*.

Les Éremobiites ne peuplent donc qu'une région beaucoup plus limitée que les Pamphagiens. Ils ne semblent pas se continuer le long de la côte occidentale jusqu'à des latitudes bien basses, et au sud ils ne s'étendent même pas jusqu'au Cap de Bonne-Espérance, où la faune est du reste extrêmement pauvre, tandis que les Pamphagiens se continuent, par le centre et surtout par la côte orientale, jusqu'en Abyssinie, où ils donnent peut-être la main aux Pamphagiens méditerranéens.

Une différence notable règne donc sous ce rapport entre la distribution des Pamphagiens et celle des Éremobiites. Chez les premiers, le groupe subarctique et le groupe

¹ Ce sont des espèces tunisiennes : *Pamphagus marmortus* et *Oenocrodes canonicus*.

² Le *Noacarodes cyanipes*, F. d'Asie Mineure.

sud-africain sont presque en continuité géographique l'un avec l'autre, tandis que chez les seconds, les deux groupes géographiques sont séparés l'un de l'autre par une distance immense, et le groupe sud-africain ne forme, comme on l'a vu, qu'une colonie tout à fait isolée.

Conclusions. — Envisagés au point de vue morphologique, les Éremobiites méditerranéens se relieut aux genres sud-africains d'une manière si étroite, qu'il est impossible de ne pas supposer aux deux groupes une origine commune¹. Entre l'habitat des uns et des autres, il faut donc qu'il ait régné jadis une continuité géographique.

L'entomologie conduit ici aux mêmes conclusions que la paléontologie. Les recherches de M. Albert Gaudry sur les fossiles de la Grèce avaient déjà établi qu'à l'époque tertiaire la région méditerranéenne était occupée par une faune africaine et tropicale. Les récentes découvertes du Dr Major conduisent aux mêmes résultats. Cet investigateur a mis au jour, dans l'île de Samos, une grande abondance d'ossements appartenant à des types asiatiques et africains, parmi lesquels quelques-uns spécialement sud-africains, tels que les Girafes ou les Oryctéropes, prouvent qu'à l'époque pliocène une même faune s'étendait sur la région méditerranéenne, le centre et le sud de l'Afrique.

La répartition actuelle des Éremobiites et des Pamphagiens divisée en deux groupes géographiquement séparés l'un de l'autre, doit donc être envisagée comme les restes de la faune tertiaire de ces insectes ou de leurs ancêtres, disloqués par les modifications géologiques qui ont partagé en deux régions séparées l'espace jadis occupé par une faune continue.

Parmi les Œdipodites, quelques genres, avons-nous vu, offrent la même distribution que les groupes ci-dessus cités, et leur dislocation géographique vient à l'appui de ce qui précède. (G. *Sphingonotus*.) Cp. p. 7.

Région américaine. — On connaît sur ce continent deux genres d'Éremobiites qui vivent à peu près sous les mêmes latitudes que les espèces méditerranéennes. L'un et l'autre semblent toutefois se rapprocher non pas de ces dernières, mais au contraire plutôt des genres sud-africains. Le genre *Haldmanella* semble être un type du désert ou de la steppe. Le genre *Brachystola* est un type fort aberrant qui semble avoir abandonné le désert pour s'adapter aux prairies verdoyantes.

¹ C'est un fait digne de remarque que les Éremobiites du sud de l'Afrique, bien que formant une colonie isolée, présentent des formes très voisines de celles qui caractérisent les genres méditerranéens. Les genres sud-africains *Batrachornis* et *Batrachotettix* sont très voisins des *Eremobia* (sensu latiore), si voisins même, que les larves des *Eremocharis* sont très faciles à confondre avec les *Batrachotettix*. (Cp. le *Batrachotettix elephas*, Sss.)

De l'adaption au désert.

Les Éremobiites ont tous un air de famille très prononcé ; ils sont tous d'un aspect terreux ; leur corps est rugueux, chargé de crêtes découpées, ou couvert de tubercules ou de granulations serrées ; les pattes sont le plus souvent découpées selon des formes invraisemblables pour des êtres vivants. L'ensemble de ces modifications tend à imiter l'apparence du terrain sur lequel vivent ces insectes. Les uns, grossièrement rugueux, ressemblent à de petites mottes de terre ; d'autres, simplement granulés, semblent faits pour se confondre avec le sable du désert. C'est sans contredit à un principe de mimétique que se rattachent les modifications apparentes des Éremobiites, et à une mimétique ayant pour résultat de rendre l'insecte invisible à la surface du sol en lui permettant de se confondre pour l'œil avec les accidents du terrain sur lequel il se meut. Cette mimétique s'accuse dans les formes, dans la sculpture, dans les couleurs, et elle va souvent jusqu'à produire des divergences considérables entre les individus d'une même espèce, divergences pouvant aller jusqu'à effacer des caractères qui, dans tout autre groupe, seraient presque d'ordre générique¹.

Presque tous ces insectes sont fortement pubescents. Les pattes sont ciliées de poils cotonneux, destinés peut-être à compléter la fermeture des interstices qui, à l'état de repos, séparent le corps de ces appendices, et à les préserver de la poussière. La face inférieure du corps est garnie d'un duvet de poils couchés qui sert peut-être aussi de protection contre le frottement du sable pendant la marche². Des exceptions à cette règle ne se rencontrent que chez certaines espèces subarctiques qui sont précisément celles dont les formes établissent une sorte de passage aux Pamphagiens à corps glabre, soit dans les genres *Cuculligera* et *Aplusiotropis* (et chez les *Brachystola*, type américain habitant les prairies).

Causes de ces modifications. — A notre sens, ces causes sont des plus simples et se réduisent presque à la lutte pour l'existence, aidée de la sélection naturelle.

En effet, les insectes appelés à vivre sur des terrains nus, tels que les Éremobiites et les Pamphagiens, sont plus sujets que d'autres à devenir la proie de leurs ennemis naturels. Les oiseaux du désert, en particulier les autruches et les outardes, paraissent en être très friands et leur faire une guerre continue ; d'autres encore, probablement divers oiseaux de proie et certains passereaux, les recherchent également pour en faire leur pâture.

¹ Cp. Brunner de Wattenwyl, Prodröm. der Europäisch. Orthopteron. p. 177.

² Ce même revêtement, combiné avec des formes très aplaties et également rugueuses et découpées, se retrouve chez certaines Mantes (*Chiropus*) du désert.

Les criquets du désert, en partant au vol et en montrant leurs ailes colorées, trahissent leur présence et s'exposent à être poursuivis ; ils ont donc le plus possible évité de voler et ont pris des habitudes terrestres. En sautant sur le terrain, ils frappent l'œil de leurs ennemis et s'exposent à être happés ; ils ont donc été conduits à cesser de sauter, à se blottir en cherchant à se dissimuler entre les cailloux, contre les mottes de terre ou dans les inégalités du sable. Les espèces aux formes et aux couleurs les plus voyantes ont dû disparaître, et parmi celles qui ont pu subsister, ce sont toujours les individus qui imitaient le mieux l'apparence des détails du terrain, qui ont eu le plus de chance d'échapper à la poursuite. La sélection a donc forcément conduit les espèces à prendre toujours plus cette apparence et elle a de plus en plus développé chez elles tous ces accidents de couleur et de sculpture qui tend à les rendre aussi peu visibles que possible. C'est donc dans le perfectionnement de la mimétique que ces insectes ont dû trouver leur salut, et ce sont les races les mieux mimétisées qui seules ont pu subsister.

Détail des modifications. — La nature arrive souvent à résoudre le même problème par des voies diverses et quelquefois contraires. Tandis que chez les Pamphagiens le corps tend à prendre une forme comprimée avec un dos souvent presque en lame de couteau, chez les Éremobiites on observe plutôt une tendance vers la forme déprimée. Cette forme qui va parfois jusqu'à donner à ces insectes un habitus batrachoïde, est surtout manifeste dans les genres sud-africains : *Batrachornis* (fig. 13), *Batrachotettix* (fig. 14), *Methone* et *Bufonacris* (fig. 15). On la retrouve dans le genre américain *Haldmanella*. Dans les genres méditerranéens, elle est moins prononcée, mais encore appréciable (*Eremocharis insignis*), et même chez les espèces où elle l'est le moins (*Eremobia*), le corps est toujours trapu, et le pronotum offre un méplat sur lequel la crête n'occupe que la ligne médiane¹. Aussi, lorsqu'on voit ces insectes exécuter leurs petits sauts sur les gazons ras ou sur la terre nue, on les prend à première vue pour de petits crapauds et cet habitus, en trompant leurs ennemis, contribue probablement pour sa part à les mettre à l'abri des poursuites.

Sculpture. — Le corps est rugueux, généralement sablé, mais souvent aussi tuberculeux, d'aspect terreux, avec des carinules calleuses, granuleuses, irrégulières, très variables. Les différences qui règnent entre les individus au point de vue de l'aspect superficiel du corps, sont toujours très frappantes et dépassent souvent tout ce qu'on pourrait imaginer. Parmi les *Methone*, par exemple, certains sujets ont le corps presque

¹ Les *Cuculligera*, les *Haplotropis* et les *Eremobia* du groupe de l'*E. gibbera* ont des formes comprimées qui se rapprochent de celles des *Pamphagus*, mais le pronotum présente cependant à la métazone des arêtes latérales, tandis que chez les *Pamphagus* il est tout entier en toit aigu.

lisse, d'autres l'ont sablé, d'autres sont assez fortement tuberculeux, et de ces irrégularités résultent des différences aussi dans la découpeure des bords des segments, etc. Ces variétés se sont sans doute développées par voie de sélection sur des terrains unis, sablonneux, terreux ou pierreux, et comme ces insectes ne se déplacent que dans des limites restreintes, il peut se former des races tout à fait locales, limitées à un faible rayon. Ceci est d'autant plus probable que les individus, loin d'être régulièrement disséminés sur toute une contrée, sont au contraire très localisés par petites colonies souvent fort éloignées les unes des autres. Dans le désert, ils sont parqués par oasis, et en dehors du désert proprement dit, on ne les rencontre que dans certains lieux où ils retrouvent le sol qui leur convient. Suivant les circonstances, les races, après avoir pris naissance dans des centres différents, ont pu s'entremêler et reproduire ensuite par atavisme toutes les variétés dans une même colonie.

Pattes. — Comme nous l'avons dit plus haut, les Éremobiites cherchent plus encore à se dissimuler qu'à fuir devant le danger; aussi les pattes postérieures ont-elles beaucoup perdu de leurs facultés saltatoires. Elles se sont raccourcies, et les fémurs postérieurs, à force de s'appliquer contre l'abdomen pour faire corps avec l'insecte, la sélection aidant, sont devenus très plats, très comprimés et lamellaires; ils ont ainsi perdu beaucoup de leur puissance. En revanche, les bords s'en sont dilatés par compensation, et ces bords sont lobés d'une manière singulière et inutile au point de vue de la locomotion, mais très utiles au point de vue de la mimétique. Appliqués contre les flancs de l'abdomen, offrant le même tigré gris, les mêmes rugosités, que la tête et le thorax, leurs bords découpés imitant les crénelures des mottes de terre et dissimulant l'abdomen plus lisse, les fémurs complètent au repos l'aspect terreux de l'insecte. Afin de mieux emboîter l'abdomen, ils sont d'ordinaire légèrement arqués et concaves en dedans, et de plus, ils sont assez courts pour ne pas dépasser l'abdomen, en sorte qu'au repos les genoux ne font saillie ni en dehors ni en arrière du corps. Les tibias postérieurs ne subissent point des modifications aussi prononcées, mais ils se dissimulent entièrement dans la rainure du fémur et deviennent invisibles au repos. Chez certaines espèces où ces organes étant un peu dilatés (*Eremobia*) ne peuvent être masqués par le bord inférieur du fémur, leur face externe devient granuleuse et, en prenant l'aspect rugueux du fémur, elle complète en dessous la face mimétisée de ce dernier. En général, les tibias postérieurs sont arqués, afin de s'emboîter exactement dans la rainure du fémur.

Tous les détails de la modification des pattes converge donc vers la mimétique et semble ne viser qu'un seul but, celui de dissimuler ces appendices et de réduire l'apparence de l'insecte à celle d'une petite masse inerte. Tout semble avoir été sacri-

fié à ce but¹, même les aptitudes mécaniques de ces membres qui sont cependant l'organe par excellence des Acridides. Aussi les Éremobiites sont-ils de très mauvais sauteurs; rien n'est plus gauche que ces malheureux insectes lorsqu'ils cherchent à se dérober à une poursuite. Les femelles surtout ont de la peine à soulever leur gros corps; elles n'exécutent que de petits bonds maladroits et se laissent facilement capturer à la main².

C'est chez les *Methone* que la déformation des pattes a été poussée le plus loin. Les fémurs postérieurs se dilatent d'une manière monstrueuse et deviennent presque complètement lamellaires. Mais ces cuisses, énormes en apparence, sont plus faibles encore que dans les autres genres, vu leur état d'extrême compression, et elles suffisent à peine à enlever le corps très massif de ces insectes. Aussi les *Methone* semblent-ils se priver volontiers de leurs pattes postérieures et ont-ils l'habitude de se promener sur les quatre pattes de devant, en se dressant sur ces pattes comme sur des échasses. Les besoins de la mimétique tombent ici dans l'hypertélie; la nature semble dépasser le but et être en défaut, car en exagérant la forme des fémurs, elle fait perdre à l'insecte la faculté qui est l'essence de la famille dont il fait partie. Elle les condamne à ne plus chercher de salut que dans la mimétique, car elle l'exagère au point de leur enlever la faculté de fuir!

Observations. — Les remarques qui précèdent, concernant la modification des pattes, s'appliquent également à certains Pamphagiens sud-africains, spécialement aux espèces du genre *Xiphocera*, qui habitent les mêmes lieux et le même terrain que les Éremobiites, mais elles ne s'appliquent pas d'une manière générale à toute la tribu. Chez les Pamphagiens méditerranéens, la mimétique est poussée beaucoup moins loin que chez les sud-africains, parce que ces insectes affectionnent un sol plus garni de végétation. Les *Pamphogus*, en particulier, ont des pattes postérieures grandes et peu dilatées. Ces appendices ne sont toutefois pas très puissants, car les fémurs restent minces et comprimés, et ces insectes, quoique meilleurs sauteurs que les *Xiphocera* et les *Eremobiites*, participent encore sous ce rapport, comme sous tant d'autres, au caractère typique des habitants du désert. — Chez les *Charilaus* et les *Schinzia*, les pattes postérieures sont au contraire très longues et très grêles, ce qui nous fait supposer que ces types habitent les buissons et les couverts plutôt que les steppes poudreuses.

¹ Je me sers, ici comme ailleurs, d'un langage renversé, en appelant *but* ce qui n'est qu'accident ou résultat. Dans les discussions du genre de celles qui nous occupent ici, on est sans cesse obligé de recourir à cet artifice, afin d'éviter des longueurs inutiles.

² Ces observations et celles qui précèdent s'appliquent surtout aux femelles; les mâles sont demeurés plus agiles. Tous les genres ne participent pas non plus dans la même proportion aux modifications indiquées; par exemple chez les *Éneremius* et les *Haldmanella*, les pattes sont fort peu modifiées; il en est de même chez l'*Eremocharis cinerascens*.

Organes du vol. — Les Éremobiites renferment des genres aptères, d'autres ailés dans les deux sexes. En ce qui concerne les espèces aptères ou subaptères, il faut établir une distinction importante : Les unes, comme les *Bufonacris*, les *Methone*, *Brachystola*, *Glyphanus*, le sont par arrêt de développement. Ces insectes-là conservent une forme larvaire, en ce sens que la métazone du pronotum reste courte et que les organes du vol, lorsqu'ils existent, sont atrophiés, petits et latéraux. Cet accident est un fait commun dans toutes les tribus d'orthoptères et n'offre ici rien de particulier ; il est exactement du même ordre que celui qui domine exclusivement chez tous les Pamphagiens méditerranéens. Il n'y a donc pas lieu de s'en occuper. Mais on rencontre chez les Eremobiites une autre catégorie d'aptères dans laquelle l'insecte arrive à l'état normal d'imgo, soit avec un pronotum complet et même fortement prolongé en arrière. Dans ce cas, l'absence des organes du vol ne tient point à un arrêt de développement, mais à une véritable perte de ces organes. Tel est le cas chez les *Eremotettix*, les *Batrachotettix* aptères et les *Cuculligera* brachyptères.

L'atrophie des organes du vol semble ici devoir s'expliquer par des habitudes d'inertie. En effet, même les espèces pourvues des meilleures ailes, telles que certains *Eremobia* et les *Batrachornis*, s'en servent fort peu. Pour mauvais sauteurs qu'ils sont, ces insectes ne sont pas meilleurs voleurs. Les femelles ont beaucoup de peine à s'enlever et n'exécutent que de tout petits vols. Ceci s'explique chez les uns par la pesanteur du corps, chez d'autres par le développement exubérant du processus du pronotum, qui empêche l'insecte de dégager ses élytres. Pour se livrer à cette opération, il est obligé préalablement de soulever le processus, ce qui exige un effort particulier. Plus le processus devient grand et surtout large, plus l'insecte éprouve de difficulté à étendre ses ailes ; de là chez lui une paresse qui semble avoir passé à l'état d'habitude.

Chez les *Eremobia*, le processus est encore médiocre ; il est surtout lamellaire ; aussi ces insectes peuvent-ils prendre leur essor avec une facilité relative, mais chez les *Batrachornis*, la même pièce devient large, arrondie, et ses bords sont rabattus en bas comme pour mordre sur les élytres ; or, suivant les observations de M. Péringuey, les femelles ne volent que peu, malgré la grandeur de leurs ailes et la légèreté de leur corps (*B. perloides*) ; elles ne s'enlèvent qu'au prix d'un effort désespéré, à l'approche d'un danger imminent¹. Chez les *Batrachotettix* le processus devenant encore plus

¹ Les mâles étant plus légers et ayant à errer à la poursuite des femelles, s'envolent facilement, et sont difficiles à capturer à la main, mais ils ne font néanmoins que de petites étapes. Il en est exactement de même chez les *Eremobia*, au moins chez ceux de la côte nord de l'Afrique, les seuls que j'aie eu l'occasion d'observer vivants. L'*Eremocharis insignis* aux très grandes ailes est capable d'exécuter de plus grands trajets au vol ; il en est sans doute de même de l'*E. cinerascens*.

large, les insectes ont plus de peine encore à dégager leurs ailes, et le peu d'usage qu'ils en font doit en déterminer l'atrophie. C'est en effet dans ce genre qu'on peut relever tous les degrés de l'atrophie de ces organes, jusqu'aux espèces entièrement aptères dans les deux sexes, et parmi les espèces du genre *Batrachornis*, ce sont celles qui se rapprochent le plus des *Batrachotettix* qui ont les ailes les moins longues.

Couleurs. — Chez les Éremobiites, la couleur joue un rôle considérable dans le système mimétique. Elle contribue pour une large part à faire confondre les insectes avec les accidents du sol ou les petits cailloux dont il est jonché. La couleur du corps est généralement grise, marquée de blanc-crayeux et de noir, d'où résulte à quelque distance une apparence gris de sable qui fait que souvent l'insecte est aussi invisible entre les rugosités du sol que l'est une bécasse posée sur un lit de feuilles mortes. Plus encore que la sculpture, la couleur varie selon les individus; les uns passent au jaune, les autres au blanchâtre, les autres au noir, imitant la couleur du terrain de la région où ils vivent. M. Porschinsky a observé dans les steppes de l'Ararat que l'*Eremobia grandis* en particulier prenait de lieu en lieu toute sorte de nuances et qu'il passait même au violacé sur les terrains formés de débris ardoisiers. La simple sélection suffit pour rendre compte de ces variations.

Les parties moins apparentes de la surface du corps des Éremobiites offrent souvent des couleurs vives. La face interne des fémurs et des tibias postérieurs, comme aussi les jointures du cou ou des segments, sont souvent colorées en rouge ou en violet. Ces détails de la livrée n'ont rien qui doive surprendre, car ils se retrouvent chez la plupart des Acridides et constituent presque un caractère de famille. On n'en comprend ni le but, ni la raison, et ils sont probablement fortuits. En effet, la couleur n'est point dans la nature comparable à un vernis appliqué sur un objet, mais elle résulte d'un simple accident optique déterminé par la structure des tissus. Or il faut remarquer que les taches ou bandes colorées, si elles ne sont pas utiles à la conservation des espèces, ne lui sont pas non plus préjudiciables, car, dans le cas qui nous occupe, toutes les parties qui les portent sont dissimulées au repos, en sorte qu'elles ne peuvent en rien troubler la mimétique du corps, et c'est sans doute pour cette raison qu'elles ont subsisté chez les Éremobiites. Du reste, les points rouges tels qu'on en voit aux genoux des *Batrachotettix*, ne nuisent en rien à l'effet mimétique et, dans certains cas, peuvent même le servir.

Il n'en est pas de même de la couleur des ailes; elle trahit de loin les insectes lorsqu'ils prennent le vol. Néanmoins, les Éremobiites ont pour la plupart des ailes colorées et l'on retrouve chez eux toutes les nuances qui font l'ornement des Oedipodiens, le jaune, le rouge, le bleu. Chez certaines espèces, les couleurs sont atténuées et ont

beaucoup pâli, mais chez quelques *Eremobia* elles se sont conservées avec tout leur éclat. La couleur des ailes semble donc échapper à la mimétique et cela tient sans doute à ce que, au repos, ces organes sont si bien dissimulés sous les élytres, qu'on n'en soupçonne pas l'existence.

Genres américains. — Le genre *Haldmanella*, qui habite les steppes du Nouveau Mexique, rentre tout à fait, quant à sa mimétique, dans le groupe des sud-africains à ailes atrophiées (*Batrachotettix*), mais sur le nouveau continent les pattes n'ont pas été modifiées au même degré, peut-être parce que les herbes étant plus abondantes, l'habitude du saut est restée plus familière à l'espèce. — Quant au genre *Brachystola*, c'est presque un déserteur de la tribu; il a cessé d'être un insecte du désert. Sa couleur verte, son corps glabre, ses pattes longues, très robustes et fortement saltatoires, indiquent assez qu'il vit dans les herbes et sa mimétique est tout à fait celle des Tryxaliens herbicoles. On serait tenté de voir dans ce type un Éremobiite ayant fait retour aux caractères des OEdipodiens des prairies.

Musique.

Les Éremobiites sont en grande majorité des insectes stridulents, mais ils diffèrent entièrement de la plupart des autres Acridides par les procédés au moyen desquels ils rendent des sons. L'appareil musical dont ils sont munis est de deux sortes et, contrairement à la règle générale, il existe dans les deux sexes.

1° *Appareil abdominal.* — Cet appareil, en premier lieu signalé par Vitus Graber ¹, a été étudié en détail par H. Krauss sur le *Cuculligera hystrix* ², et indiqué par Stål pour le *Methone Anderssoni*. Il consiste en une sorte d'écusson corné qui se voit de chaque côté du 2^me segment de l'abdomen, au bord inférieur ou à l'angle antérieur de ce segment, et dont la surface est obliquement striée, ou pour le moins rugulée. Le fémur postérieur de son côté offre sur sa face interne, à l'angle inférieur de sa base, en général entre le sillon inférieur et l'arête, une petite plaque rugueuse, dont les aspérités, souvent difficiles à distinguer à la loupe, sont toujours très apparentes au microscope. Lorsque le fémur oscille de haut en bas, et surtout de bas en haut, sa plaque dentée se promène comme un archet sur l'écusson abdominal, et en l'ébranlant détermine la formation de stridulations sonores.

Tous les genres ne sont pas pourvus de cet appareil; chez les *Eneremius* et les *Brachystola* il semble manquer totalement, et dans d'autres genres, au moins chez certaines

¹ Die tympanalen Sinnesapparate der Orthopteren, Wien, 1875, p. 87.

² Sitzungsber. d. Acad. d. Wissensch. Wien, t. 78. 1879, p. 491-94; Pl. II.

espèces, il est incomplètement développé, l'écusson restant obsolète. Chez d'autres cet écusson est très nettement dessiné et souvent les stries se continuent au-dessus de cette pièce sur le segment abdominal. D'autre part on le retrouve très distinct en dehors des Éremobiites dans le genre *Thrinax* et chez certains Pamphagiens ¹.

Cet appareil, on le comprend, ne saurait rendre des sons aussi bien tonalisés que ceux qui sont produits par des organes membraneux, tels que les tambours dorsaux des Gryllides et des Locustides ou le bord membraneux des élytres de certains Acridides, et en particulier des mâles de certains Pamphagiens (*Xyphocera*) chez lesquels ce bord est dilaté et muni d'une membrane parcheminée sonore. Chez les Éremobiites l'instrument est réduit à l'état d'une simple crécelle, produisant, non pas des sons musicaux, comme ceux que rendent les membranes vibrantes, mais plutôt une sorte de fracas résultant du choc de dents ou de rugosités qui raclent les unes contre les autres.

L'apparence des pièces qui constituent l'organe stridulent varie beaucoup d'un genre à l'autre.

Chez les *Caculligera hystrix* étudié par Krauss, les plaques abdominales montrent sous le microscope, dans leur moitié inférieure des costules obliques et dans leur moitié supérieure des rugosités semilunaires en forme de dents de lime, dirigées en bas, et elles-mêmes hérissées de rugosités écailleuses beaucoup plus petites, de dents et de pointes diverses très nombreuses. La plaque de la base du fémur est garnie de rugosités écailleuses plus petites que celles de l'écusson. En faisant agir le fémur de bas en haut on obtient facilement une stridulation appréciable à l'ouïe.

Chez les *Eremobia* et les *Glyphanus* les plaques de l'abdomen sont occupées surtout par des rugosités en forme d'écailles, souvent assez grosses pour apparaître très distinctes à la loupe.

C'est dans les genres *Batrachotettix* et *Methone* que l'organe stridulent atteint son plus grand développement.

Chez les *Batrachotettix* il consiste en une plaque un peu convexe, obliquement striée, placée de chaque côté à l'angle antérieur du 2^me segment et limitée en arrière par un fort sillon, qui ne s'étend pas jusqu'en bas; le test du segment abdominal est lui-même strié au-dessus de la plaque. Au fémur le bord inférieur de la face interne entre le sillon et l'arête est garni à sa base de petits tubercules aigus, dirigés en arrière; et l'arête est serrulée dans son premier quart, ou porte de petites crénelures denti-

¹ Vitis Graber a montré qu'un appareil analogue se retrouve chez certaines Locustaires, en particulier chez les *Deinacrida* et chez certains *Gryllacris*. Westwood avait déjà signalé celui des *Pneumara* ♂ chez lesquels une plaque cornée occupe les côtés du 3^me segment abdominal.

formes courtes et peu aiguës. Il en est de même chez les *Batrachornis*, sauf toutefois que les petites dents sont moins aiguës et moins inclinées en arrière. Dans l'un et l'autre genre ces rugosités sont assez grosses pour pouvoir se distinguer facilement au moyen de la loupe.

Chez les *Methone* l'appareil (fig. 12¹) prend des proportions exceptionnelles. Les pièces abdominales sont multiples et compliquées. On trouve d'abord l'écusson corné (*c*) qui est ici non seulement strié, mais encore muni de 2 à 3 lames saillantes. Au-dessus de cet écusson principal il existe une seconde amande cornée (*b*) qui n'est que très finement rugueuse, et au-dessous on trouve une troisième pièce (*a*), en triangle allongé, un peu plissée, semée de punctuations, mais seulement coriacée, et probablement formée par la membrane d'union de l'arceau dorsal avec l'arceau ventral, laquelle devient ici épaisse et solide pour servir d'appui à l'écusson principal et concourt peut-être elle-même à la formation des sons. — La face interne du fémur est armée à sa base d'un grand nombre de gros tubercules, allongés en forme d'épines, mousses chez les femelles, plus aigus chez les mâles, visibles à l'œil nu, et destinés à racler sur les plaques cornées, en particulier sur les lames saillantes de l'écusson principal.

Cet appareil, grossièrement puissant, rend, lorsqu'il est mis en œuvre, un son très vif, mais rauque à la manière des crécelles de bois, et qui n'a rien de musical. Au dire de M. Péringuey qui a observé les *Methone* à l'état de liberté et qui en a tenu en captivité, ces insectes strident volontiers. Il suffit de les toucher pour provoquer la stridulation, et rien n'est plus singulier que la manœuvre dont ils accompagnent leurs accents. Ils se dressent d'une manière grotesque sur leurs petites pattes antérieures et intermédiaires de manière à libérer leurs énormes pattes postérieures; puis, agitant leurs grosses cuisses d'un mouvement rapide, ils produisent pendant une ou deux secondes un bruit violent.

2° *Appareil alaire*. — Le vol des Éremobiites est souvent accompagné d'un chant particulier qui suppose l'existence d'un instrument spécial. L'appareil qui sert à produire ces sons avait complètement échappé à l'observation des auteurs; il a été décrit tout récemment par le Père J. Pantel sur le mâle du *Cuculligera flexuosa*². Le vol de cet insecte « est ordinairement silencieux, mais il s'accompagne au gré de l'animal, d'une stridulation forte et ronflante, d'un caractère tout à fait particulier. L'insecte fait entendre cette stridulation particulièrement quand il est sur le point d'atterrir. » L'auteur,

¹ Cette figure se trouve renversée par suite d'une erreur du graveur. — *a* est la pièce inférieure, — *b* la supérieure.

² Contribution à l'Orthoptérologie de l'Espagne centrale (Anales de la Soc. espan. de Historia natural, XV, p. 273. Madrid, 1886.

après avoir signalé ce bruissement, montre qu'il est produit par un instrument tout différent de ceux qu'on connaissait déjà chez les Acridides, et qu'il résulte du frottement du tibia intermédiaire sur la face inférieure de l'aile. A cet effet l'un et l'autre de ces organes a subi dans l'espèce citée les modifications suivantes, modifications qui se retrouvent, il est vrai, comme le présuait l'auteur, avec quelques variantes, chez tous les Éremobiites ailés :

Chez les Éremobiites subarctiques la nervure axillaire postérieure de l'aile des mâles est toujours déviée; elle devient très arquée et forme en dessous une saillie distincte, surmontée d'une petite crête, ce qui la rend apte à remplir les fonctions d'une corde de violon. Elle est en outre renforcée sur les côtés par des rides transversales destinées à lui servir d'appui, et l'on y remarque parfois aussi de petites éminences espacées. Cette déformation de la veine axillaire a évidemment pour but de lui donner une position moins longitudinale, afin de permettre au tibia de la rencontrer sous un angle moins oblique¹. Il en résulte en même temps un élargissement notable de l'aire axillaire postérieure. Cette aire reste en grande partie très membraneuse, de même que la première aire radiée, et ces deux petits champs n'étant guère occupés que par des vénules en échelons sont, comme l'a fait observer M. Pantel, organisés de manière à remplir les fonctions d'une caisse résonnante.

Les tibias intermédiaires de leur côté sont garnis en dessus dans toute leur longueur d'une rangée de tubercules aigus, parfois même serratiiformes et qui servent à ébranler la nervure axillaire de l'aile.

Pour que la stridulation se produise, il faut que les ailes soient étendues et que les pattes intermédiaires se placent dans une position particulière, le fémur un peu écarté du corps et le tibia relevé et étendu horizontalement, sa face supérieure appuyant contre la face inférieure de l'aile et coupant en travers la courbe de la veine axillaire. L'agitation de l'aile, aussi bien que celle de la patte, deviennent alors la source de vibrations qui peuvent subir diverses modulations suivant le plus ou moins d'activité déployée par chacune des parties de l'instrument; suivant que le tibia prend une position plus ou moins oblique par rapport à la nervure, ou que les battements de l'aile sont plus amples ou plus saccadés. Une simple stridulation, facilement perceptible, s'obtient artificiellement sur les insectes morts, en les étalant sur le dos et en faisant jouer le tibia sur la face inférieure de l'aile; mais le bruissement qui résulte de cette manœuvre ne saurait se comparer au chant expressif et bien accentué des insectes vivants.

¹ La déviation de la veine axillaire postérieure est surtout prononcée dans les genres *Cuculligera* et *Eremobia*, et parmi les *Eremobia* chez les espèces du groupe formé par les *E. muricata*, *biloba* et *limbata*.

Chez les Éremobiites sud-africains l'appareil alaire diffère légèrement du type qui vient d'être décrit. En effet la veine axillaire postérieure n'est pas déformée; elle reste presque droite et parallèle à la veine axillaire antérieure. De là résulte que l'aire axillaire postérieure n'est pas dilatée. En revanche l'aire axillaire antérieure est remarquablement large, partagée par une forte nervure adventive et tout entière réticulée par vénules scalaires. C'est donc peut-être cette aire-là qui sert ici de tambour de basque plutôt que l'aire postérieure ?

Je n'oserais affirmer que chez les Éremobiites la stridulation se fasse sur la seule nervure axillaire postérieure. Les veines ulnaire, humérale et marginale sont très saillantes en dessous et il n'est pas impossible qu'elles n'entrent elles-mêmes en ligne de compte dans l'acte stridulatoire. Quoi qu'il en soit l'aile des mâles remplit dans le jeu musical les fonctions d'un violon muni de une ou plusieurs cordes et possédant sa caisse résonnante, tandis que le tibia intermédiaire est converti en un archet dans le sens le plus strict du mot.

Chez les femelles l'instrument est moins parfait, moins distinctement développé que dans l'autre sexe. La veine axillaire n'est que peu courbée (*Eremobia*) ou ne l'est même pas du tout (*Eremocharis*). Les tibias, de leur côté, ne portent que des tubercules plus petits, moins aigus, souvent moins nombreux que chez les mâles; l'appareil tend à devenir obsolète dans toutes ses parties. Il est toutefois encore très accentué dans le groupe de l'*Eremobia gibbera* et dans celui de l'*E. muricata*, l'aile des femelles ressemblant ici beaucoup à celle des mâles, et les tibias étant encore très bien dentés.

L'appareil qui vient d'être décrit existe dans tous les genres ailés et forme un caractère générique positif; il se retrouve en effet plus ou moins bien exprimé même chez les espèces brachyptères appartenant à ces genres, bien que ces espèces soient incapables de voler. Ainsi chez l'*Eremobia tartara* et malgré l'extrême petitesse des organes du vol dans les deux sexes, l'instrument musical est remarquablement complet: les petites ailes offrent une veine axillaire très courbée, suivie de deux aires dilatées sonores, et les tibias sont garnis d'une longue rangée de dents. Les ailes ont chez cette espèce juste assez de longueur pour permettre aux tibias de les faire striduler, et toutes les parties de l'appareil sont trop nettement développées jusque dans leurs moindres détails pour ne pas servir à produire un chant. Nous supposons donc que l'insecte se sert encore des ailes pour striduler bien que ces organes ne puissent plus lui servir pour voler.

Il en est de même chez la femelle du *Cuculligera flexuosa* dont les organes du vol sont très raccourcis.

Chez le *C. hystrix* ♀ ♂ les organes du vol deviennent trop courts pour être d'aucun usage; néanmoins les tibias intermédiaires sont serrulés en dessus comme dans les

autres espèces. Chez les femelles les ailes sont tout à fait rudimentaires. Chez les mâles, quelque petits que soient ces organes, la veine axillaire est grosse et arquée comme si elle devait servir à la stridulation, mais les ailes sont si courtes qu'il paraît douteux que les tibias puissent encore les frotter. Il est donc probable que la crémaillère du tibia servant d'archet n'est plus ici qu'un reste inutile de l'instrument mais qui subsiste comme caractère générique ¹.

En revanche l'appareil tibial manque complètement dans les genres aptères et sub-aptères, c'est-à-dire dans ceux où les élytres sont entièrement défaut ou ne forment plus que des appendices latéraux appliqués au corps. Dans ces genres-là les tibias intermédiaires sont inermes en dessus, soit dépourvus de la rangée de tubercules destinée à ébranler les nervures des ailes. Tel est le cas chez les *Methone*, *Eneremius*, *Brachystola* et *Glyphanus*. Dans le genre *Batrachotettix*, qui renferme des espèces ailées et des espèces aptères, l'organe tibial est très distinct chez les premières et manque dans les secondes.

Résumé. — Pour résumer ce qui a trait aux facultés musicales des Éremobiites, on peut établir que les insectes de ce groupe possèdent deux sortes d'instruments, à savoir :

L'*appareil abdominal* qui leur sert à s'appeler lorsqu'ils sont au repos ou qu'ils se promènent sur le sol, et l'*appareil alaire* qui fonctionne pendant le vol. Le premier est presque identique dans les deux sexes, mais toujours un peu plus accentué chez les mâles. Le second offre plus de différences entre les sexes, étant sensiblement moins parfait chez les femelles (nervure peu ou pas arquée, tubercules des tibias plus obtus) que chez les mâles, et sert probablement aux insectes, au moins aux mâles à annoncer à l'autre sexe leur arrivée sur un point donné. Il est probable que les femelles étant averties de la sorte de l'arrivée d'un mâle lui répondent au moyen de l'instrument abdominal pour faire connaître leur présence à proximité et qu'ensuite les sexes se cherchent et se rejoignent en marchant.

¹ Cette circonstance semble confirmer la supposition émise plus haut (p. 112), à savoir que chez les *Cuculligera* la perte des organes du vol est arrivée par modification récurrente et non par arrêt de développement. En effet il semble qu'il ait fallu que l'appareil existât une fois au complet pour qu'on en retrouve les traces même chez les espèces chez lesquelles il est devenu inutile.

² Il est permis de supposer que chez les *Methone*, *Eneremius* et *Brachystola* l'organe tibial n'a jamais existé, attendu que l'absence d'ailes tient dans ces genres à un arrêt de développement ; et que chez les *Glyphanus* et *Batrachotettix* l'organe s'est perdu par suite de la perte des organes du vol, car dans ces deux genres le pronotum atteignant son développement normal, il n'y a pas eu arrêt de développement, mais perte des organes du vol (Cp. p. 112).

Comparaison avec les Pamphagiens.

Les Éremobiites et les Pamphagiens forment deux groupes parallèles et fort rapprochés sous tous les rapports. Ils habitent des régions empreintes du même caractère physique; leur distribution géographique offre la plus grande similitude; ils ont des mœurs et jouissent d'aptitudes fort analogues aussi, menant une vie sédentaire, n'étant pour la plupart que mauvais sauteurs; ils obéissent à une mimétique presque similaire; enfin, chose très frappante, certains Pamphagiens possèdent comme les Eremobiites deux appareils stridulatoires, l'un *abdominal*, presque semblable à celui des Eremobiites, l'autre *élytral* qui leur est spécial¹. Il règne donc entre l'un et l'autre de ces groupes des points de contact manifestes.

Nous avons montré plus haut que les Éremobiites ont un corps généralement déprimé, et les Pamphagiens des formes généralement comprimées; chez les uns et les autres, les fémurs postérieurs sont affaiblis par la compression et souvent très courts, comparés à la grosseur du corps. Les uns comme les autres se divisent en genres nettement séparés entre la région boréale et la région de l'Afrique torride ou méridionale.

Dans les genres sud-africains la mimétique des deux groupes offre des analogies très frappantes. Chez les Pamphagiens aux deux sexes ailés (*Adephagus* et *Acocera*) la mimétique du corps diffère à peine de celle des Éremobiites sud-africains. On en peut dire autant des *Xiphocera* (où les femelles sont aptères); les pattes avouons-nous ont subi dans ce genre la même transformation que chez divers Éremobiites (*Batrachornis*, *Batrachotellix*), seulement le corps, au lieu d'être taché de blanc, de noir, de jaunâtre comme chez les Éremobiites, est longitudinalement strié par ces couleurs et ressemble dans ses apparences soit à du bois fibreux pourri, soit à de

¹ L'appareil abdominal appartient au même type que celui des Éremobiites et existe aussi dans les deux sexes. Le deuxième segment abdominal offre de chaque côté à son bord inférieur un espace ridé, ou strié, sur lequel frotte la base du fémur postérieur ou son arête crénelée. L'espace rugueux n'est pas limité chez les *Xiphocera*, mais il est grossièrement ridé; chez les *Acocera* il forme une plaque en amande comme chez les Éremobiites; chez les *Adephagus* il est obsolète. Dans les Pamphagiens méditerranéens l'appareil manque ou reste très obsolète; on le retrouve cependant chez quelques espèces: le *Pamphagus clephas* offre de chaque côté de l'abdomen un espace finement strié, dont la partie inférieure est limitée par un sillon; le *P. algericus* offre des plaques très distinctes, lisses en apparence; chez les *Finotia* il n'y a qu'un sillon oblique, mais le bord réfléchi du deuxième segment sert peut-être de lame stridulatoire.

L'appareil élytral est formé par le champ marginal de l'élytre des mâles et ne se trouve que dans le genre *Xiphocera* (sensu latiore) dont les femelles sont aptères. La veine médiastine se résout en une multitude de branches ondulées et juxtaposées qui forment autant de petites côtes saillantes qui sont mises en vibration par le moyen des pattes postérieures. Une partie du champ marginal est occupée par une membrane parcheminée sonore qui sert de tambour (Voir Ann. Ent. Fr. 1888 pl. 5, fig. 3 c, 4 c, 5 c, t.). On ne trouve rien de semblable chez les Éremobiites.

vieux cailloux de roche fibreuse rongés par le temps. Aux rugosités du corps il s'ajoute quelquefois des épines (*Porthetis carinata*, *Schinzia Brunneri*) qui servent peut-être à ces insectes à se dissimuler parmi les chardons ou autres plantes épineuses, mais qui manquent chez les Éremobiites.

Les Pamphagiens méditerranéens ont une mimétique beaucoup moins prononcée que leurs congénères sud-africains et que les Éremobiites méditerranéens. Chez eux ce caractère est en voie de se perdre. Ils sont souvent encore gris et sableux, imitant l'aspect du sol, mais en général ils passent au jaune et au vert parce qu'ils affectionnent les jachères occupées par une végétation plus ou moins abondante, les champs cultivés ou les lieux couverts. Ils conservent cependant, par réminiscence, la tendance à avoir le corps bandé de gris et de blanc, quoique d'une manière assez effacée, ce qui semble indiquer qu'ils descendent d'un type du désert voisin des *Xiphocera*. Les *Pamphagus elephas* et *marmoratus* reproduisent sur un fond vert toutes les bariolures des *Xiphocera*, et cela, en variant leur nuance en jaune et en gris, suivant les accidents de la mimétique décrite plus haut.

Les différences qui règnent dans l'évolution des espèces entre les deux groupes et au point de vue des sexes sont surtout les suivantes : Chez les Éremobiites il y a toujours presque égalité entre les sexes, ceux-ci étant ou ailés ou subaptères ou aptères ¹.

Chez les Pamphagiens cette égalité n'existe que dans une partie des genres. On ne connaît qu'un seul genre bien ailé dans les deux sexes (*Adephagus*), plusieurs sont subaptères dans les deux sexes ; d'autres sont ailés chez les mâles, aptères chez les femelles. Ces diverses formes se répartissent comme suit au point de vue de la morphologie géographique.

a) Tous les Pamphagiens méditerranéens conservent la forme larvaire dans une certaine mesure, étant aptères ou subaptères dans les deux sexes, tandis que les Éremobiites de la même région sont pour la plupart bien ailés et toujours dans les deux sexes.

Tous les Pamphagiens sud-africains (ou tropicaux) possèdent des mâles bien ailés, mais ils se divisent en genres :

b) à femelles aptères (*Xiphocera*, sensu latiore, *Charilaus*, *Schinzia*), ce qui ne se voit pas chez les *Eremobiites* (ni même chez les *Oedipodites*).

c) ailés dans les deux sexes (*Adephagus*, *Acocera* ²), comme souvent chez les Éremobiites, tant sud-africains que méditerranéens.

¹ Le genre *Cuculligera* forme seul exception à cette règle.

² Les *Acocera* sont mal ailés chez les femelles.

SYNOPSIS GENERUM

1. Corpus terreum, rugosum vel granosum. Pedes postici modice longi; femoribus posticis valde compressis, margine supero et infero lamellari-dilatato. Vertex ante oculos declivis, in frontem deflexus. Tibiarum posticarum calcaria supera, saltem internum, quam infera haud sensim longiora.
2. Tibiarum posticarum calcaria externa calcaribus internis subæquilonga, scilicet interna quam externa haud multo longiora; abdomen basi utrinque tympano instructum. Tibiæ anticæ subtus utrinque calcaribus 2 spinisque 3-5.
3. Pronotum postice in processum productum, angulatum vel rotundatum. Corpus compressum, vel crassum, vel subdepressum. Antennæ invicem parum remotæ. Costa facialis inter illas distincta, sulcata. Prosterni margo integer.
4. Femora postica marginibus crênatis vel undatis.
5. Corpus compressum, saltem haud depressum. Antennæ ad altitudinem marginis inferi oculorum exsertæ. Costa frontalis parallela vel subparallela, inter antennis haud compressa, infra ocellum constricta, de hinc angustior vel variabilis, perspicua. Pronotum carinatum; ejus processus variabilis, marginibus tamen planis (rarissime deflexis: *Eremobia tartara*). Elytra in quiete utrinque in plano laterali jacentia, campo anali solo dorsali, sese in dorso parum, apice vix tegentia, posterius simul sumpta potius tectiformiter compressa. Alarum vena axillaris postica ♂ valde arcuata, deformis.
6. Corpus et pedes glabra. Feminarum valvulæ genitales inferæ lanceolatæ, subtus piriformes. Pronotum totum cristatum; crista percurrentis, integra vel per sulcos 2 intersecta.—Tibiæ anticæ subtus utrinque calcaribus 2 spinisque normale 5 armatæ.
7. Pronoti crista integra, per sulcum nullum intersecta. Metazona quam prozona brevior, angulata. Abdominis segmenta haud mucronata. Elytra rudimentalia, lateralia. 67. *Haplotropis*, n.
- 7,7. Pronoti crista per sulcum typicum profunde fissa, ac in prozona per sulcos 1 vel 2 intersecta; metazona quam prozona haud brevior.

Abdominis segmenta superne mucronata. Elytra variabilia. Tibiæ intermediæ latere supero serie tuberculorum instructæ.

68. *Cuculligera*, Fisch.

- 6,6. Corpus et pedes pubescentia. Femin. valvulæ genitales inferæ depressæ, extus in lobum dilatatæ. Pronotum cristatum vel carinatum (vel subtilissime carinatum); carina per sulcos 3 intersecta. Metazona quam prozona haud brevior. Abdominis segmenta haud vel parum dentata.
7. Pronoti metazona prozonæ æquilonga, haud carinata, margine postico late rotundato. Tibiæ intermediæ latere supero inermes. Prozona cristata 69. *Glyphanus*, Fieb.
- 7,7. Pronoti metazona producta, carinata vel cristata, margine postico angulato. Tibiæ intermediæ latere supero serie tuberculorum instructæ.
8. Prozona elevato-cristata, tridentata, vel tectiformis, obsolete trilobata.

70. *Erenobia*,

- 8,8. Prozona vix tectiformiter elevata, subtiliter carinata, vel teres.

71. *Eremocharis*, Sss.

- 5,5. Corpus depressum vel subdepressum. Antennæ infra altitudinem oculorum exsertæ. Costa frontalis inter antennis compressa. Pronoti processus majusculus, marginibus ad inferum deflexis, apice plus minus tridentatus vel crenatus, rare acutus. Elytra quando expicata in plano potius dorsali jacentia, sese invicem et ad apicem valde tegentia et apice simul sumpta potius deplanata quam compressa. Alarum vena axillaris postica ♂♀ subrecta, normalis. — Spinæ externæ tibiæ posticarum quam internæ longiores.
6. Corpus tuberculatum, plus minus depressum; pronoti sulcus typicus profunde impressus, canthis lateralibus ad exteriorem prominulis.
7. Corpus apterum; pronotum cristatum; crista prozonæ elevata.
72. *Eremotettix*, n.
- 7,7. Corpus alatum; elytra magna parte membranacea, remote-reticulata.
73. *Batrachornis*, Sss.
- 6,6. Corpus granulatum, vix depressum. Pronoti sulcus typicus subtilis; canthis lateralibus acutis, haud productis. — Corpus apterum vel alatum; in hoc casu elytra confertim reticulata 74. *Batrachotettix*, Burm.
- 4,4. Femora postica marginibus haud lobatis, minus lamellaribus.
75. *Haldmanella*, n.
- 3,3. Pronotum posterius processum nullum efficiens; metazona transversa, quam

- prozona valde brevior. Corpus obesissimum. Antennæ valde infra oculos exsertæ, invicem valde remotæ. Costa facialis latissima, haud explicata.
4. Corpus subdepressum, subalatum. Pronotum retro metanotum obtegens. Tibiæ posticæ extus spinis 8; femora monstrose lamellari dilatata. — Elytra in utroque sexu rudimentalia, lateralia. Prosterni margo in medio crenulatus 76. *Methone*, St.
- 4,4. Corpus valde depressum, apterum. Pronotum margine postico haud producto, mesonotum liberans. Tibiæ posticæ multispinosæ. 77. *Bufonacris*, Walk.
- 2,2. Tibiarum posticarum calcaria per pares inæqualia, externa quam interna valde breviora. Abdomen basi utrinque tympano nullo. Tibiæ anticæ subtus utrinque calcaribus 2, spinaque 1. — Corpus apterum. Pronotum transversum, metanotum liberans. Statura minuta. 78. *Eneremius*, n.
- 1,1. Corpus læviusculum, prasinum, glabrum. Pedes postici elongati, validi, femoribus crassis, vix compressis, marginibus carinatis, nullomodo lamellari-dilatatis. Vertex convexus, cum cranio confusus, margine antico carinato, a fronte valde discreto. Tibiarum posticarum calcaria supera quam infera longiora. 79. *Brachystola*, Sc.

DIAGNOSES SPECIERUM

67. Genus **Haplotropis**¹, n.

Corpus compressum, terreum.

Caput a latere visum ad ocellum incisum. Scutellum verticis grande, oblique planatum. Tempora supera, acute lanceolata. Pagi supra-antennales impressi, inferè marginati. Ocelli minuti in foraminibus infra apicem temporum exserti. Costa facialis *prominula* a latere ad frontem convexa.

Pronotum tota longitudine acute tectiformiter cristatum, anterius angulatum; crista tota integra, per sulcum nullum incisa. Sulci 3 tamen in cristæ lateribus late impressi; sulcus typicus etiam in dorso perspicuus, et juxta cristam utrinque depressionem insignem formans. Prozona quam metazona longior. Metazona in dorso utrinque oblique plana, crista valde compressa; margo posticus obtusangulus. Canthi laterales acutiusculi, anterius cum costa obliqua arcuata loborum lateralium continui. Lobi laterales angulo postico acuto, ad exteriorem deflexo; sulcis 3 in illis perspicuis: intermedio profundo, postico obsolete, antico obsolete.

Elytra rudimentalia, lateralia. Alæ minimæ.

Femora postica valde compressa, cristata, marginibus integris. Tibiæ posticæ spinis conicis gracilibus haud compressis armatæ. Valvæ genitales ♀ lanceolatæ, quam in *G. Cuculligera* angustiores.

Ce genre forme une sorte de passage des *Cuculligera* au *Brachystola*. Il se rattache aux premiers par ses formes en général; par son vertex obliquement incliné, à écusson bordé et rugueux; par les rugosités de tout le corps et de la tête en particulier; par la structure de la tête, la présence des tempes; par son pronotum à crête élevée, à lobes latéraux aigus en arrière; par des fémurs postérieurs comprimés, à bords lamellaires; par un abdomen à bord supérieur serrulé; par les valves génitales dont les inférieures sont égales aux supérieures, ces dernières n'étant pas très grandes.

Il se rapproche des *Brachystola* par son pronotum à crête non intersectée par les sillons, à metazonite beaucoup plus court que le prozonite, dépourvu de processus pro-

¹ De ἀπλοος, simple et τροπίς, carène. — A la carène non intersectée. — Obs. Dans ma Spicilegia entomol. Genavensis, II, page 13, corrigez *Aptusotropis* en *Haplotropis*.

longé et à face supérieure plus aplatie, bordée d'arêtes latérales; par des fémurs postérieurs à bord supérieur non denté; par un abdomen à bord supérieur non épineux.

Ce type, qui occupe une position géographique intermédiaire entre les deux genres cités, forme aussi le passage morphologique de l'un à l'autre, malgré l'énorme distance qui sépare l'habitat des trois genres: *Cuculligera* (Europe méridionale), — *Haplotropis* (Asie orientale), — *Brachystola* (Amérique septentrionale).

1. A. Brunneriana, n. (fig. 10).

Compressa, fulvo-grisea, albido-varia, sabuloso-sabra. Caput totum rugatum. compressum. Costa facialis prominula, plana, sat angusta, sparse punctata, subparallela, ad ocellum vix dilatata, ad frontem sulcata. Ocelli profunde impressi. Verticis scutellum circumeirca marginatum, transverse rugulatum, antérieus attenuatum, basi subcarinulatum vel subsulcatum, apice sulcatum, cum costa faciali continuum. Foramina frontalia nulla. Foveolæ ocellares obsoletæ. Orbitæ radiatim rugatæ.

Pronotum valde granoso-sabrum, in lateribus cristæ et in prozona loborum lateralium polito-granoso-verrucosum. Crista antérieus arcuata. Prozona quam metazona sesquilongior; metazona superne sulcis obsoletis divergentibus duobus notata, pagis utrinque inter illos sito subtiliter granulato, nigrescente; pagis inter sulcos et canthos laterales situs crassius granosis. Lobi laterales planati, angulo postico rectangulo; margine infero recto, antice rectangulo, ante angulum sinuato. Margo posterior pronoti a latere visus vix arcuatus, ad humeros nullomodo sinuatus, tantum supra angulum loborum lateralium leviter sinuatus. Crista, canthi laterales, margines posteriores pronoti albido-picti, nec non macula callosa albida inter sulcos loborum lateralium. Meso-, et metapleuræ granulatæ.

Elytra parabolica, primum abdominis segmentum parum superantia, nigro-grisea.

Femora postica extus nigro-fasciata, intus prope basin nigrescentia; margine supero subrecto; infero subarcuato. Tibie post. latere interno et supero coeruleo, spinis albidis, apice nigris.

Abdomen superne carinatum, serratum, segmentis haud spinosis. Lamina supranalis ♀ punctata, sulcata; valvæ genitales graciles, extus vix sinuatæ, punctatæ.

♀ Long. 46; Pron. 14; El. 9; Fem. 22 mm.

Asia orientalis. Ager fluminis *Amur* (Coll. Brunner, n° 14, 764).

70. Genus **Eremobia**, Serv. — Sauss., *Prodrom.*, p. 224; 55.

Dans ce genre aux formes variées les tambours du premier segment de l'abdomen

ont leur bord inférieur arqué en forme de lobe, et la membrane tendue obliquement laisse ce bord libre.

L'origine musical tibio-alaire est, comme dans le genre *Cuculligera*, fortement développé; les tibias intermédiaires ont leur face supérieure garnie d'une rangée de tubercules aigus et parfois serratiformes chez les mâles, moins aigus et moins nombreux chez les femelles.

Synopsis specierum.

- a.* Pronotum totum tectiformiter cristatum.
- b.* Pronotum compressum; crista metazonæ haud humilitata; processus posticus angulatus. Elytra completa. Tibiæ anticæ subtus utrinque calcaribus 2, spinis 4. 1. *gibbera*, St. — 2. *festiva*, B. — 3. *cyanipennis*, Sss. (Prodr. n° 10, 11, 12). — 4. *grandis*, Port.
- b,b.* Pronotum crassum; metazonæ crista antèrius humilior; processus posticus rotundatus. Elytra abbreviata. 5. *persa*, n.
- a,a.* Pronoti prozona acute, saltem quam metazona elevatius cristata; metazona humiliter cristata vel tantum carinata.
- b.* Vertex et frons rugosi; frons ad verticem utrinque foveolata vel transverse sulcata.
- c.* Elytra et alæ ♂ totæ explicata, ♀ rare abbreviata.
- d.* Pronoti metazona cristulata, arcuata, quam prozona æque alta, antèrius humilitata. Alæ campo radiato flavicantes vel obscuræ. Tibiæ anticæ subtus utrinque calcaribus 2, spinis 4.
- e.* Abdomen superne serrato-carinatum. Pronotum antèrius elevate acutissime cristatum, postice crasse tuberculatum. 6. *muricata*, P. — 7. *biloba*, St. (Pr. n° 7, 8).
- e,e.* Abdomen superne lineari-carinatum. Pronotum minus elevate cristatum, postice granoso-tuberculatum. Tempora planula intus marginata. Pronotum haud constrictum. Alæ basi flavicantes ♀ abbreviatæ 8. *limbata*, Ch. (Prodr. n° 6).
- d,d.* Pronoti metazona carinata vel cristulata, planula; prozona elevato-cristata vel tectiformi. Alæ campo radiato roseo vel flavicante. Tibiæ anticæ subtus utrinque calcaribus 2, spinis 3. — Tempora obsoleta vel variabilia. Pronotum constrictum, retro valde dilatatum.
- e.* Maxima. Pronoti lobi laterales margine infero recto, obliquo, angulo postico hebetato, margine postico recto. — Pronotum tuberculatum, per sulcum typicum profunde incisum; crista prozonæ elevata; processu metazonæ grandi, trigonali; lobis lateralibus *latis*, tuberculatis. 9. *carinata*, F.
- e,c.* Minus validæ. Pronoti lobi laterales margine infero arcuato, postico plus minus sinuato. Alæ campo radiato roseo. *cisti* et affines.
- f.* Pronotum tuberculatum per sulcum typicum profunde incisum; crista prozonæ valde elevata, compressa; lobis lateralibus *angustis*; metazonæ processu minore.
- g.* Pronoti processus anguste trigonalis vel variabilis, marginibus denticulatis. 10. *pulchripennis*, S.
- g,g.* Pronoti processus ♀ late trigonalis; marginibus acute granosis. 11. *Clavelii*, Luc.
- f,f.* Pronotum dense sabulosum, vel vix tuberculatum, per sulcum typicum haud

- profunde incisum, obsolete canaliculatum; crista prozonæ humili vel obsoleta; lobis lateralibus *latis*; metazonæ processu grandi, lato, planulo, subtiliter carinato, apice latius rotundato.....12, *cisti*, Ol.
c. c. Elytra et alæ ♀ ♂ valde abbreviata. Tibiæ anticæ subtus calcaribus 2, spinis 5 (3-6).
 13. *tartara*, Sss. (Prodr. n° 5).
b. b. Vertex et frons læviusculi; frons utrinque ad verticem foveola vel sulco destituta. Pronotum acute cristatum.....14. *continuata*, S.

4. *E. grandis*, Portschinsky; Horæ Entom. Rossicæ, t. XX, 1886, p. 113; 76.

Grisea vel fulvescens, colore variabili. Caput læviusculum; vertice inter oculos quam in *E. muricata* angustiore. Pronotum totum cristatum; crista in prozona tridentata, dentibus gradatim elevatioribus; sulco anteriore quam sulcus intermedius profundiore. Processus posticus acutangulus. Prozona rugulata, metazona verruculata. Lobi laterales et pleuræ thoracis læviusculi. — Elytra abdomen superantia. Alæ cinereo-cœrulescentes, basi pallidiores. — Long. 33-40 mill.

Asia centralis; desertus de Erevan et Etchmiatzin, ad montem Ararat.

Cette espèce a été décrite en russe et sans diagnose latine. L'auteur la compare à l'*E. muricata*, mais elle rentre évidemment dans le groupe de l'*E. gibbera*. Son caractère distinctif semble être dans sa taille plutôt faible et dans la couleur bleuâtre de ses ailes; elle semble se rapprocher de l'*E. cyanipennis*, Sss.

Elle habite les steppes qui s'étendent au pied de l'Ararat et qui sont tantôt presque nues, tantôt couvertes d'une végétation rare formée de petits buissons de Peganum, de Salvias, et d'Euphorbiacées mêlées à une Astragale rampante. C'est au mois de mai qu'elle atteint son état parfait (Cp. page 113).

5. *E. persa*, n.

♀. Crassa, obesa, fulvescens. — Caput tenuiter sparse granulatum. Scutellum verticis planum, latiusculum. Ocelli in foveolis exserti. Costa facialis angusta, infra ocellum evanida. Foveolæ frontales latiusculæ, arcuatæ; spatium utrinque inter illos et tempora situm rhomboidale, granosum. — Pronotum totum tectiformiter carinatum, omnino granulatum et multituberculatum. Crista prozonæ subrecta, per sulcum anticum distincte, per sulcum intermedium subtiliter intersecta, posterius angulata. Crista metazonæ arcuata, anterieus humilior. Metazona subtumida, processu lato, postice late, fere semiorbiculariter rotundata. — Elytra ♀ brevia, ovata, dimidium abdomen liberantia. Alæ pallidæ (basi cœrulescentes?) fascia arcuata fusca et apice fusco. — Femora postica valde compressa, valde dilatata, margine infero undulato, margine supero minute densissime crenulato.

♀, Long. 51; Pronot. 18; El. 23; Fem. 25 mill.

Persia (Mus. Taurinense).

Espèce formant le passage entre le type de l'*E. cisti* et celui de l'*E. gibbera*, mais appartenant plutôt au groupe de ce dernier vu la forme de la crête du pronotum.

9. *E. carinata*, Fab. — Sauss., Prodrum., p. 227; 1.

Grande espèce orientale à crête élevée; facile à reconnaître à sa taille, à la forme des lobes latéraux du pronotum, dont le bord inférieur n'est ni sinué ni arqué, et à la grandeur du processus, lequel rappelle par sa largeur celui de l'*E. cisti*, Ol. La surface de la métazone est parsemée de petits tubercules graniformes et les bords du processus portent des renflements graniformes arrondis, mais n'offrent pas de carène crénelée intramarginale comme chez les espèces du groupe de l'*E. cisti*. Le champ radié des ailes est lavé de jaunâtre¹.

***E. Cisti*, F. et affines². — *Gryllus cisti*, Fab. E. Fab. E. S. II, 55, 37.**

Les espèces qui rentrent sous ce type sont au nombre de 3 (ou seulement de 2) et forment ensemble un petit groupe très naturel, caractérisé par des formes similaires, par des ailes lavées de rose dans leur partie postérieure et par les bords du processus du pronotum qui offrent, comme chez l'*E. muricata*, une carinule intramarginale crénelée ou granulée. Elles diffèrent entre elles surtout par la grandeur et la sculpture du pronotum, mais ces caractères sont si variables qu'à moins de posséder un grand nombre d'individus, il est souvent difficile de les distinguer.

Dans chacune des espèces on rencontre aussi entre les individus originaires de localités différentes, des différences frappantes dans la largeur des élytres et du champ antérieur des ailes, et dans la longueur de ces organes. La livrée varie du jaune brûlé marbré de noir et de blanc au gris ou gris-blanc uniforme.

¹ Je ne connais que des individus plus ou moins décolorés. J'avais supposé, probablement à tort, que chez les individus frais les ailes étaient en partie roses (Cp. Prodrum., p. 228, ligne 1).

² Le nom *cisti* tel qu'il a été employé par Fabricius, Fieber et Stål s'applique presque également bien à toutes les espèces de ce groupe. Il est à supposer toutefois que Fabricius a eu en vue une espèce orientale, syrienne ou égyptienne, car il décrit une espèce à crête élevée, et il ajoute que les élytres sont bariolés de noir et de blanc, caractères qui sont bien ceux de l'*E. pulehripennis*. Ensuite cet auteur a connu beaucoup d'espèces d'Orient, fort peu d'Algérie ou d'Espagne. Olivier a spécialisé le nom de *cisti* à la seule espèce qui se rencontre en Espagne, dont le pronotum est peu étranglé. L.-H. Fischer a figuré l'espèce orientale à pronotum fortement échancré. — Dans la description donnée par Fabricius (l. l. p. 56), une faute typographique (en contradiction avec la diagnose de la page 55) attribue à l'insecte des ailes colorées de noir au lieu de rose.

- 10. *E. pulchripennis***, Serv. — Sauss., *Prodrom.*, p. 228, 4. (cum. synonym.) — *E. cisti*, Serv. *Orth.* 707, 3, ♀ ♂. — *Thrinchus cisti*, L. H. Fisch. O. E. 416; *ib.* xv, f. 14. — *Tmetis cisti*, Fich. (ex. p.)

La taille moins forte, le corps moins lourd et le pronotum moins dilaté que chez l'*E. Clavelii*. Tête granulée d'une manière lâche. Pronotum ayant sa crête prozonaire fort élevée, comprimée, tranchante ou crénelée; la métazone portant une crête distincte; les bords du processus et son extrémité garnis de denticules spiniformes, et avec une carinule intramarginale crénelée; les lobes latéraux souvent avec des tubercules aigus. — Espèce orientale.

Var. a. (pulchripennis, S.) — La taille plus faible. Pronotum : la crête prozonaire élevée, très comprimée, ♂ presque lamellaire, dentée en arrière; le processus matazonnaire en triangle étroit, parfois allongé, surtout chez les mâles, à bords subsinués; les lobes latéraux offrant au sommet un tubercule dentiforme. Corps et élytres en général fortement marquetés de blanc et de noir. Elytres peu atténués à l'extrémité, dépassant les fémurs postérieurs. — Long. avec le fémur post. ♀ 36, ♂ 25; El. ♀ 31, ♂ 23 mill. — **Egypte.**

Var. b. (cisti, Serv.) — La taille plus grande; les formes plus trapues. Pronotum : la crête prozonaire ♀ rugueuse, souvent moins élevée, parfois obtuse et arrondie; le processus en triangle large, à pointe moins arrondie, dentée; les bords parfois sinués aux épaules; les lobes latéraux souvent moins tuberculeux. Corps et élytres ochracés et tachés de brun; parfois d'un gris presque uniforme. Elytres dépassant les fémurs postérieurs, ou ne les dépassant pas. — ♀ Long. 41; Fém. 20 mill. — C'est cette variété qu'a figurée Savigny; la figure est un peu grossière. — **Egypte.**

Var. c. — Comme la var. *b.*, mais la tête entièrement sablée. Elytres très larges, à peine atténués à l'extrémité; champ antérieur des ailes large, à extrémité obtusément arrondie. — ♂ la crête prozonaire élevée; le processus en triangle régulier. — **Syrie.**

- 11. *E. Clavelii***, Lucas. — *E. Clavelii*, Lucas. *Ann. Ent. de Fr.* IX. 1851, 364, 18; Pl. 8, fig. 1, ♂ ♀. — Sauss., *Prodrom.*, p. 228, 3.

La taille plus grande que chez l'*E. pulchripennis*. Le corps plus trapu, mais moins que chez l'*E. cisti*; le pronotum dilaté; la crête prozonaire élevée, comprimée; la partie dorsale de la métazone large; le processus court, en triangle large, ♂ régulier; les bords subsinués, non denticulés, mais garnis de petits tubercules arrondis ou aigus, et d'une ligne intramarginale de granules aigus. La crête métazonaire saillante comme chez l'*E. pulchripennis*. Lobes latéraux fortement tuberculés. Elytres de longueur variable. Couleur grise peu tachée, ou ochracée, très marbrée de brun. — Espèce barbaresque.

Je suis dans le doute sur la question de savoir si cette espèce doit être conservée, ou s'il n'y faut voir qu'une variété de l'*E. pulchripennis*. Elle varie beaucoup dans ses

formes, sa sculpture et sa livrée. Nous citerons les variétés suivantes qui représentent les types extrêmes de la série.

Var. algerica. — Corps très robuste. Tête sablée. Pronotum épais, fortement dilaté; la crête prozonaire trilobée; les lobes latéraux fortement tuberculeux; le processus en triangle large ou régulier, à pointe étroitement arrondi. Corps et élytres ochracés, marbrés et tachés de brun et de blanc. Elytres dépassant les fémurs postérieurs. (*E. Clavelii*, Luc.) — **Algérie.**

*Var. tunensis*¹. (*Eremobia cisti*, Bonnet et Finot, Orthopt. de Tunis, p. 33.) — Corps très trapu. Tête non granulée, sauf en dessus. Pronotum court, très tuberculeux sur les côtés. La crête prozonaire très élevée, très comprimée, très peu crénelée. Elytres courts, ailes ayant le champ antérieur étroit; leur extrémité dépassant fortement le champ axillaire. — Les larves sont très frappantes par leur processus en triangle aigu à crête arquée. — **Tunisie**; sur les gazons ras, dans les dunes et sur les terrains nus.

Var. gracilis. — Corps svelte; pronotum peu dilaté, granuleux, à tubercules, petits; la crête de la prozone moins comprimée, rugueuse, arrondie en dessus et crénelée; le processus de la metazone en triangle régulier. Elytres étroits et longs; ailes ayant leur champ antérieur étroit. Couleur pâle. — **Tunisie** (Ancienne collect. Guérin-Mémoille).

12. E. cisti, Oliv. — *Acryd. cisti*, Olivier, Encycl. Meth. Ins. VI, 222, 33; Latr. Hist. C. et I. XII, 153. — ? *Gryllus cisti*, Fab. E. S. II, 55, 36. — Sauss., Prodrum., 228, 2 (Exclus. synonym. Servillei et Fischeri).

De la taille de l'*E. Clavelii*; le corps plus trapu encore, obèse. Tête et thorax densément sablés, peu ou pas tuberculés, sauf faiblement sur les côtés. La crête prozonaire peu élevée, en toit, parfois ♀ presque effacée, arrondie, peu crénelée, ♀ raccourcie en arrière, c'est-à-dire oblitérée entre le sillon typique et le sillon intermédiaire. Le sillon

¹ Je donne ici la description de cette belle variété dont j'ai capturé d'assez nombreux individus, tous à peu près identiques entre eux.

Crassissima, fulvescens. Caput superne sabulosum, utrinque crasse sparse vel obsolete granulatum. Pronotum breve, ad sulcum typicum profundissime, etsi in lateribus, constrictum; lobis lateralibus verrucoso-tuberculatis. Prozonæ crista altissima, valde compressa, superius recta, vix incisa, ♂ lamellaris, retro ♀ acute obtusangula, ♂ acutangula. Metazona ♀ transverse trigonalis, ♂ regulariter trigonalis, minute tuberculosa, ♀ elevato-carinata, ♂ cristata, a latere arcuata. Meso- et metapleuræ tuberculatæ et costato-crenatæ, supra coxas intermedias margine valde crenato. Elytra ♀ abdomine breviora, ♂ longiora, angusta, apice attenuata. Alæ campo anteriore angusto, apice aream axillarem valde superante. Ochracea, nigro-marmorata; pronotum albo-granosum, nigro-maculosum, prozona superne nigro-bimaculata; metazona basi utrinque albida, processu nigrescente, limbo anguste lævigato alboque marginato, margine laterali latiuscule ochraceo. Elytra valde nigro-maculata; alarum vitta nigra angusta, postice evanida; campus radiatus carmineus. Pedes nigro-fasciati; femora post. fasciis 2 nigris, ad carinulam inferam linea et ad marginem inferum vitta albicante; area infera nigro-maculata; tibiis posticis intus miniatis, extus nigro-punctatis; tarsis rubris. — Long. ♀ 45, ♂ 32; Pron. ♀ 11,5, ♂ 9; El. ♀ 30, ♂ 23; Fem. ♀ 22,5, ♂ 18 mill.

typique ne formant pas une forte impression, mais bien une sorte de dépression obsolète en gouttière transversale. La métazone très grande, très large, formant un grand triangle régulier, plat ou arqué, à extrémité bien plus largement arrondie que chez les espèces précédentes; sa carène très fine ou presque nulle; ses bords entiers, lamellaires, ou avec quelques petits tubercules (σ^7 souvent subaigus), et offrant une ligne granuleuse intramarginale souvent obsolète. Lobes latéraux très larges, à angle postérieur très arrondi. Elytres larges, un peu atténués à l'extrémité, dépassant peu les fémurs postérieurs. — Partie occidentale de la région méditerranéenne du sud; Algérie, Espagne.

Var. A. La prozone portant une crête basse, tranchante, en toit, arquée de profil, \varnothing peu échancrée, σ^7 plus haute et plus crénelée. — *a.* Couleur ochracée; élytres tachés de brun, dépassant notablement les fémurs postérieurs. — *b.* Couleur grise; élytres à peine tachés. — **Algérie.**

Var. B. La prozone \varnothing arrondie en dessus; sa crête en forme de toit obtus et partagée ou ne formant que deux bosses arrondies, σ^7 offrant une carène arrondie et crénelée. Elytres dépassant peu les fémurs postérieurs, d'un gris uniforme ou de la couleur du corps; leurs taches effacés. — **Algérie.**

14. E. continuata, Serv. ! Orth. 707, 2. — Sauss., Prodröm., p. 231; 9.

Compressa, griseo-canescens. — *Caput lævigatum, punctulatum, in genis obsolete verruculosum.* Vertex arcuatus, antèrius declivis, planulus, haud excavatus, scutello haud explicato, apice vix inciso. Costa facialis parum profunde sulcata, infra ocellum constricta, dehinc evanida, superne leviter convergens, ad verticem utrinque sulcum horizontalem nullum ad tempora emittens. Hæc obsolete, punctata, intus haud marginata, cum vertice confusa. — *Pronotum constrictum, in prozona et in lateribus sparse granoso-tuberculatum.* Prozona acute elevato-cristata, crista acute-retroproducta; ejus pinna postica frequenter spiniformi. Metazona convexa, elongato-trigonalis, quam prozona fere duplo longior (vel sesquilongior), carinata; ejus carina nodoso-crenata, læviuscula, confertim punctata, parce remote granosa; processus marginibus subarcuatis, apice vix rotundato. Lobi laterales angulo postico acutangulo, sed angulo valde rotundato. — *Elytra bruneo-marmorata.* — *Alæ disco basali cærulescente; apice limbo; fascia media transversa fusca, postice arcuata, ad angulum internum æque late producta, marginem anguste liberante.* Campus anterior latiusculus, apice late rotundatus; vena axillaris postica (σ^7) paulum flexuosa. — *Femora postica parum elevato-cristata, cristis irregulariter remote-crenatis, intus decoloribus, extus superne fusco-bifasciatis et in carinis fusco-punctatis.* — *Tibiæ anticæ et intermediæ subtus utrinque calcaribus 2, spinis 4; intermediæ latere supero σ^7 \varnothing serie tuberculorum validorum, apice serie duplici armatæ; posticæ compressæ, vix dilatatæ.* — *Abdominis basis tuberculo rotundato prædita.*

Var. — *a.* Vertex subcanaliculatus, subcarinatus. Pronoti prozonæ crista crenulata; metazona sparse remote verruculosa; ejus processus minus productus; lineam intramarginalem granulorum invicem remotorum a margine remotam præbens. Alarum fascia fusca angusta, magis arcuata, postice angustata, antice ad costam evanescens vel in maculis soluta. — *b.* Pallide ferruginea, antice et subtus canescens.

♂. Long. 42-46; El. 39-41 mill.

Ægyptus; Cairo. (Typus Servillei in mus. Parisiense).

Obs. Serville, en disant que les tibias postérieurs sont cylindriques, entend évidemment ne parler que de leur face supérieure.

Cette espèce est difficile à classer. Par ses formes comprimées elle passe au groupe de l'*E. gibbera*. Elle forme toutefois une exception dans le genre par le faciès de sa tête; celle-ci étant lisse, dépourvue des rugosités qui caractérisent le front et le vertex des *Eremobia*: l'écusson facial est très obsolete, non excavé, les deux fossettes, tantôt foraminiformes, tantôt allongées, qui se voient de droite et de gauche de la côte frontale au sommet du front, et qui forment souvent comme un canal tendant vers les *tempora*, ces fossettes sont oblitérées et n'existent pas.

71. Genus **Eremocharis**, Sauss.

Eremoplana, *Eremocharis*, Sauss. Prodrom., p. 232, 233.

Les genres *Eremobia*, *Eremoplana*¹, *Eremocharis* ne forment pour ainsi dire que des sous-genres du genre *Eremobia* proprement dit. Ils sont, il est vrai, séparés par des caractères qui, dans les Œdipodites, seraient d'ordre tout à fait générique, mais, comme nous l'avons dit, les formes varient dans les Éremobiites d'une manière exceptionnelle, comme si ces insectes étaient encore en voie de transformation, aussi n'ont-elles pas dans cette division la même signification que dans d'autres tribus.

La multiplication des genres n'offrant dans ce groupe que des inconvénients, vu le petit nombre des espèces dont il se compose, nous réunissons ici sous le nom d'*Eremocharis* toutes les espèces à pronotum finement caréné, ou non caréné, en donnant à ce genre plus d'extension que ci-devant.

Synopsis specierum.

a. Pronotum totum subtiliter carinatum; prozona obsolete tectiformi. Alarum vena axillaris posterior indivisa. EREMOPEZA, n.

¹ Le nom *Eremoplana* ne saurait être conservé, ayant déjà été employé par Stål pour un genre de Mantides; si l'on désirait conserver le genre on pourrait substituer à ce nom celui d'*Eremopeza*.

- b.* Alæ apice maculatæ *f. cinerascens*, St.
b, b. Alæ apice haud maculatæ *f. granulosa*, W.
a, a. Pronotum haud vel vix carinatum; prozona transverse fornicata. Alarum vena axillaris posterior nonnunquam ramosa; apex immaculatus *EREMOCHARIS*, Sss.
b. Pronoti sulci subtiles; metazona quam prozona duplo longior *f. insignis*, Luc.
b, b. Pronoti sulci profunde impressi; metazona quam prozona haud duplo longior.
f. subsulcata, St. (Sss. Prodr. 234).

1. E. cinerascens, Stål. — Sauss., Prodr., p. 233, 4.

Tibiæ intermediæ latere supero tuberculis acutis conicis, serie completa ♀ minoribus obsoletioribus tantum basi distinctis, armatæ. Valvulæ genitales ♀ ut in *E. subsulcata* unguiculis arcuatis, acutis.

Variat rugosior, valde granulata, pronoto distinctius carinato, in prozona subtectiformi; costa faciali infra sulcum transversum faciei anguste perducta. — **Persia**.

2. E. granulosa, n.

Albido-fulvescens, terrosa, fusco-irrorata vel punctata, valde granulata. — Caput valde granulatum. Costa facialis parallela, infra ocellum coarctata, evanescens. Scutellum verticis subexcavatum apice foraminibus 2 obsoletis. Foveolæ frontales nullæ. Orbitæ postice radiatæ. Occiput carinatum et biserialim transverse areolatum vel potius transverse carinatum. — Pronotum rugosum, sabulosum, granosum et verruculosum, carina subtili. Prozona tectiformiter carinata; carina subarcuata, bis incisa. Metazona plus quam sesquilongior, tuberculis minutis conspersa; processu acute trigonali, marginibus utrinque superne serie tuberculorum compressorum obsitis. — Elytra ♀ breviora, femora paulum superantia, ♂ longiora, fusco-marmorata, fascia humerali albida. — Alæ basi flavicantes, fascia arcuata fusca obsoletissima, interrupta; apice subhyalino, venis fuscis; vena axillari sola paulum flexuosa, irregulari, sed apice recta. — Femora post. lata, fusco-irrorata, granosa, extus tuberculosa (intus pallida?), margine supero granoso-serrato, infero granoso-undato. — Tibiæ post. intus cæruleæ, spinis apice fuscis 9:10; illis marginis interioris intus nigrocæruleis. — Abdomen inerme. Valvulæ ♀ graciles, acutæ. — Long ♀ 50, ♂ 38; Pron. ♀ 16,5, ♂ 11,5; El. ♀ 35, ♂ 30; Fem. ♀ 24, ♂ 17,5 mill. — **Beluchistan**; Quetta (Mus. Britannicum).

E. cinerascenti affinis at obesior, rugosior; pronoti processu longiore; alis aliter coloratis.

- 3. E. insignis**, Luc. — *Oedipoda insignis*, Lucas! Ann. ent. de Fr. 1851, IX, 370, 19, ♀. — *Eremobia insignis*, Bonnet et Finot, Orth. de Tunis, p. 33. — *Eremobius Jaminii*, Lucas! l. l. 1854, II, 711; Pl. 20. — *Ibid.* 1857, V, p. CVI. — *Batrachotettix elephas*, Sauss. Prodróm., 237, 1 (*subimago*).

Maxima, crassa, fulvo-albescens, bruneo-irrorata. — Caput et pronotum rugosa, granulosa, verrucosa, corrugata. Vertex transverse arcuato-strigulatus, inter oculos deplanatus, antèrìus declivis, scutello haud explicato, apice foveolis 2 rotundatis minutis invicem haud contiguìs. Tempora ovata, cum vertice confusa, utrinque declivia (ut in *E. cisti*). Costa facialis infra ocellum convergens, inferius oblitterata. Facies utrinque ad costam infra ocellum tuberculo graniformi instructa. — Pronotum haud vel vix perspicue carinatum ad sulcum typicum constrictum. Prozona brevis, strigato-plicato-rugulosa, sabuloso-scabra, sulcis anteriore et intermedio tenuissimis, obsoletis, in dorso subcontiguìs; carina subtili, tenuiter sulcata, per sulcos transversos in medio interrupta. Sulcus typicus in dorso distincte explicatus, retro-arcuatus, in lateribus obsoletus. Metazona grandis, quam prozona plus quam duplo longior, plana, venoso-rugulosa, sparse verruculosa, basi rugosior, postice minus rugosa. Processus elongatus, angulato-parabolicus, marginibus lamellaribus, subarcuatis, superne elongato-costatis. Lobi laterales angulo postico rectangulo, hebetato. — Metasternum sparse punctulatum. Umbilicus transverse strigatus, sulco anteriore obsoleto; foramine utrinque arcuato.

Elytra latiuscula, apice attenuata, confertim reticulata, bruneo-irrorata. — Alae magna parte sulfureae, dense reticulatae, fascia arcuata fusca, marginem posticum sulfureum latiuscule liberante, ad marginem anticum evanescente, in vena dividente interrupta, initiumque vittae humeralis (vel potius analis) emittente. Pars sulfurea secundum venam discoidalem apicem versus percurrens; venae principales (mediastina, humeralis, discoidalis) partim caeruleae. Apex alarum in campo antico et axillari hyalinus, fusco-reticulatus. Vena axillaris postica ♀ recta, indivisa. Campus anterior campum axillarem valde superans.

Pedes valde pilosi. Tibiae anticae subtus utrinque calcaribus 2, spinis 3. Femora postica lata, marginibus valde lamellari-dilatatis, extus in areis marginalibus granosa, intus flava; crista supra denticulata, infera integra haud lobata. Tibiae posticae compressae, basin versus latae, apice attenuatae, margine supero arcuato; latere interno ac dimidio supero purpureis; calcaribus brevibus.

Abdominis primum segmentum superne tuberculum compressum efficiens. Lamina supraanalis trigonalis, basi sulcata. — ♀ Valvulae genitales inferae subtus basi lobo rotundato, unguiculis habetatis. — ♂ Lamina infragenitalis cucullata.

♀ Long. 68 ; Pron. 18,5 ; El. 61 ; Fem. 28,5 mill.

Subimago. Formæ similes, femoribus posterioribus crassioribus et brevioribus.

Algeria; Oases Saharæ; Biskara. — **Tunesia meridionalis**.

L'*E. insignis* reproduit pour ainsi dire le type de l'*E. carinata* sans sa carène prothoracique, et avec quelques modifications : écusson du vertex non dessiné, non échancré en avant ; métazonite du pronotum plus grand ; sillons du prozonite très fins, très rapprochés, n'interrompant qu'une fois la carène, etc. — Les tambours de la base de l'abdomen sont profonds, le bord inférieur est assez droit, libre comme chez les *Eremobia*, la membrane étant insérée en dedans et écartée de ce bord.

Obs. La larve et la nymphe de cette espèce ressemblent à s'y méprendre aux *Batrachotettix*. Le premier individu (nymphe) que j'en vis portait une fausse indication de patrie et comme je ne connaissais point encore l'insecte parfait, je fus induit en erreur par son apparence. L'espèce se distingue cependant des *Batrachotettix* par sa côte frontale qui n'est pas comprimée ni sillonnée. — C'est à ma grande surprise que j'ai capturé cet insecte à l'état de nymphe, aux environs de Biskra, après l'avoir décrit comme un *Batrachotettix* sudafricain !

6. Genus **Eremotettix**, n.

Corpus rugosum apterum. — Caput perpendiculare ; costa faciali sulcata ; scutello faciali foveolato, valde marginato. Oculi globosi, prominuli. — Pronotum verrucatum, per sulcum typicum profunde constrictum ; crista crenata, in prozona elevata, retro-producta, in metazona humilis. Metazona quam prozona valde longior utrinque cauthis acutis ad exteriorem prominulis ; margine posteriore lobato, apice spinoso. — Femora postica marginibus dilatatis, crenatis.

Ce type rappelle un peu le port des *Ommexeca* par la forme découpée du pronotum et sa tête crénelée. Il se relie intimement aux *Batrachornis* et en constitue la forme aptère.

1. Er. Walkeri, n. (Fig. 14.) — *Trachypetra bufo* (per errorem) Walk! Cat. B. M. Derm., Saltat. IV, 795, 1. (syn. excl.), et in museo britanico.

Aptera, rugosa, terrosa, griseo-fulvescens, fusco-fasciata. — Antennæ 17-articulatæ, dimidia parte apicali submoniliformes.

Caput granulato-costatum. Costa facialis parallela, carinato-marginata, a latere visa inter antennas arcuato-producta, ad ocellum sinuata, illo circumcirca marginato. Scutellum verticis valde excavatum, rugosum, marginibus valde elevatis, retro ad sum-

mum verticem productum, anterie anguste rostratum. Occiput pone oculos utrinque oblique plicatum, vel carinula obliqua cum costa tricariculata media confluenta præditum.

Pronotum valde granulatum, nigro-verruculosum, superne a medio luteo et fusco radiatim vittatum; ejus crista a latere visa in prozona elevatior, postice fere in tuberculum elevata, in metazona subito humilitata et ad meram carinam reducta. Prozona oblique costato-granosa, antice angulata; crista retro-ascendente, bisinuata, posterius tuberculum decussato-carinatum efficiente. Metazona sesquilingior, lata, pentagonalis, canthis lateralibus acute carinatis, tuberculoso-crenatis; crista media humili, undata. Margines processus valde deflexi, perpendiculares, postice utrinque semiorbiculariter excisi; apex in dentem compressum horizontalem, apice trispinosum productus; spinæ et dentes omnes horizontales. Canthus superior marginum processus dentato-crenulatus, dentibus hebetatis.

Femora postica nigro-bifasciata, intus nigro-cærulea, marginibus luteis, conchis genicularibus infere macula miniata vel sanguinea. Margo superior totus valde, inferior dimidia parte apicali, crenatus. Tibiæ post. superne cæruleæ vel nigro-cæruleæ, intus purpureæ basi nigra maculisque ad spinas nigris. Spinæ luteæ.

♀. Long. 35; Pron. 13, latit. 12; Fem. 15 mill.

Africa meridionalis (Museum Britannicum).

Obs. C'est probablement par suite d'un lapsus résultant d'une transposition d'étiquette avec son *Trachypetra scutellaris* que Walker a cité cet insecte comme étant le *T. bufo* de White. Comp. ci-dessous le *Batrachotettix Whiti* (p. 148).

73. Genus **Batrachornis**, Sauss., Prodrom., p. 234; 58

Corpus plus minus depressum, rugosum, granulatum, tuberculatum.

Antennæ sensim infra oculos exsertæ, graciles, longiusculæ, primo articulo depresso, sulcato, æque longo ac lato.

Caput perpendiculare, supra breve, anterie infra ocellum sinuatum. Cranium prominulum, carinulatum. Vertex longe excavatus, anterie valde declivis, utrinque et ad oculos longe undato-marginatus. Oculi superi, prominuli. Costa facialis inter antennis prominula, compressa, sulcata, ad ocellum leviter dilatata, infra illum evanida vel angusta. Carinæ genarum infra oculos explicatæ, infere abbreviatæ, arcuatæ. Ocelli superi sat grandes, marginati, fere ad verticis margines positi.

Pronotum ad sulcum typicum plus minus constrictum, sulco profunde impresso,

dorso plus minus elevato-carinato. Prozona brevis, transverse arcuata, superne sulcis vix ullis. Metazona maxima, supra plana, antérieus ad sulcum declivis, postérieus ante apicem leviter depressa, canthis lateralibus acutis, valde crenatis, ad exteriorem prominulis; processus grandis, marginibus frequentius perpendiculariter deflexis, cantho supero crenato, parte apicali utrinque bisinuata, apice trilobato vel compresso-tridentato. Lobi laterales subparalelli, sulcis 2 distinctis, angulo postico rotundato, ad exteriorem reflexo. — Sternum latissimum. Prosternum margine deflexo, os cingens.

Elytra magna parte membranacea etsi basi transverse venulosa, apice haud attenuata, rotundata. — Alæ normales, apice obtuse rotundato-bilobatæ; in utroque sexu similes; venæ axillares ♂ ♀ invicem propinquæ, parum flexuosæ; area axillaris anterior latissima, per venam spuriam divisa, tota et ad apicem transverse-venosa, biserialitè areolata.

Pedes antici graciles, teretes. Femora intermedia compressa, margine infero undato; tibiæ interm. compressæ, graciles, latere supero tuberculis 6-8 in seriem dispositis invicem remotis armatæ, ♂ triangularibus parum acutis, ♀ rotundatis vel obsoletis. — Femora postica modice lata, apice attenuata, marginibus lobulatis. Tibiæ post. subtus canthis rotundato-carinatis, superne spinis utrinque 9. Arolia tarsorum inter unguis modice grandes.

Abdomen apice obtusum. Lamina supra-analis parabolica.

♀ ♀. Cerci brevissimi. Valvæ genitales lanceolatæ, haud dilatatæ. — ♂ ♂. Cerci longiusculi, teretes, arcuati, acuminati. Lamina infragenitalis rotundata, cucullata.

Dans ce genre et dans le suivant, c'est l'aire axillaire antérieure de l'aile qui est la plus large (Cp. p. 118). Cette aire est divisée en deux bandes inégales par une fausse nervure; la bande antérieure est la plus large et elle est elle-même partagée par une très fine nervure très rapprochée de la veine divisante.

Si l'on s'en tenait au *B. perloides* qui m'a servi pour l'établissement de ce genre, on pourrait dire que ses formes déprimées et un habitus tout particulier suffisent pour le faire reconnaître, mais les autres espèces établissent un passage manifeste aux *Batrachotettix* et décaractérisent le genre dans une certaine mesure. Néanmoins les *Batrachornis* se reconnaissent toujours aux caractères suivants: La tête saillante en dessus, à yeux rapprochés, supères et saillants, à ocelles gros et insérés au contact des bords du vertex, à face sinuée. — Le pronotum très rugueux à arêtes grossièrement crénelées, à sillon typique profondément enfoncé, à lobes latéraux parallèles en bas, divergents, enfoncés au milieu, et à angle postérieur dévié en dehors. — Les élytres lâchement réticulés. — Les valves génitales inférieures n'étant pas dilatées et lobées en dehors.

Le *facies* des *Batrachornis* est du reste très frappant et facile à saisir. Il tient à ce que le sternum étant notablement plus large que le dos, les lobes du pronotum divergent en bas; la face dorsale du pronotum de son côté est élargie par ses arêtes latérales qui forment des épaules saillantes en dehors, surplombant les lobes latéraux, en sorte

que, lorsqu'on regarde l'insecte par-devant, les côtés du pronotum paraissent fortement ou faiblement sinués vers le haut, contrairement à ce qui s'observe chez les *Batrachotettix*, où les côtés du pronotum sont rabattus perpendiculairement, et à peu près plats.

Les *Eremotettix* avons-nous vu rentrent dans le type *Batrachornis*, et n'en sont probablement que la forme aptère.

Les *Batrachornis* habitent les régions occidentales de l'Afrique méridionale; ils se rencontrent sur les plateaux qui avoisinent le fleuve Orange, dont l'altitude va jusqu'à 1000 mètres et qui ne porte qu'une rare végétation, en particulier dans le grand désert du Karoo qui est formé par un ancien lac desséché. Contrairement à d'autres Eremobites ils vivent par grandes colonies et non par individus isolés seulement. Les mâles sont agiles et s'envolent facilement, mais ne font cependant pas de grandes étapes; les femelles, au contraire, malgré la grandeur de leurs ailes ont beaucoup de peine à s'envoler, elles ne fournissent jamais qu'un vol très court. Ces insectes ne sautent guère; ils cherchent plutôt à se dissimuler en se blottissant sur le sol, et leur couleur jaunâtre ou grise, avec marques noires et blanches, imite si bien le sable ou les petits cailloux du terrain que le plus souvent ils échappent à l'œil.

Synopsis specierum.

- a. Corpus gracile, valde depressum. Tibiæ post. spina apicali ad calcaria posita minuta, ad superum rejecta, ægre distinguenda vel deficiens. Vertex antice perpendiculariter in plano faciei detrusus, apice trigonalis, fere totam frontem tegens; costa frontalis propter hoc brevissima. Costa facialis infra ocellum nulla. Pronotum superne quam sternum valde angustius; ejus lobi laterales inferè valde divergentes; dorsum per sulcum typicum profundissime impressum, sellæformiter deformatum; sulcus utrinque per canthos laterales cristatos interruptus, angulatim deflexus, cum sulco laterali prozonæ continuo et cum sulco intermedio lateraliter confluent. Prozona humiliter vel incomplete carinata, utrinque oblique costata, margine antico tuberculato, in medio *truncato*. Metazona superne modice grandis, ovata, processu apice sat rotundato, erecto-tuberculato. Elytra et alæ femora sensim superantia. Pedes graciliores. Valvulæ genitales inferæ feminarum deplanatæ, basi extus valde dilatata, unguiculo brevi, extus sinum obtusangulum distinctissimum præbentes. Caput inferè crassum, superius valde attenuatum. 1. *perloides*, Sss.
- a.a. Corpus crassius, minus depressum. Tib. post. spina apicali valida instructæ. Verticis scutellum ante oculos minus declive, lobulatum; costa frontalis distincta, longior. Costa facialis inferè completa, sulcata. Pronotum superne latius, lobis lateralibus parum divergentibus, dorso minus profunde constricto, sulco typico canthos laterales intersecante; dorso toto in longitudinem carinulato. Prozona margine antico *angulato*. Metazona superne grandis, processu apice 5-dentato marginibus crassis, scilicet ad inferum deflexis. Elytra et alæ femora vix superantia. Valvulæ genitales inferæ basi minus dilatata. Caput inferè minus incrassatum, superne minus attenuatum.
- b. Depressa. Pronotum superne æque latum ac longum, sulco typico profunde impresso; prozona transverse crenato-cristata; metazonæ canthi laterales valde dilatati. 2. *Peringueyi*, n.
- b.b. Vix depressa. Pronotum superne quam latum longius, sulco typico modice impresso; prozona haud transverse cristata; metazonæ canthi laterales parum dilatati. 3. *namaquensis*, n.

1. B. perloides, Sauss. (Fig. 13) — Prodröm., p. 235.

Pallide ochracea vel rufescens, nigro et albido multifarie irrorata. Processus pronoti marginibus utrinque parum crasse, apice haud deflexis, margine posteriore appresso, lamellari, crenato. Elytra in areis omnibus seriatim remote nigro-maculata, campo marginali medio densius nigro-punctato. Alæ basi flavicantes, campo radiato postice cœrulescente, venis campi antici et intermedii nec non limbi exterioris nigris. Tibiæ intermediae superne tuberculis ♂ crassis, compressis, ♀ rotundatis minus numerosis armatae.

♀. Lamina supraanalis trigonali-rotundata, basi trigono impresso. — *Var.* Alæ in campo anteriore et intermedio in areolis fusco-punctatae.

♂. Alæ limbo exteriori infuscatæ. Lamina supraanalis elongatiuscula, apice late rotundata, subsulcata, basi sulcis 2 obliquis trigonum delineantibus. Cerci basi subcompressi, arcuati, magna parte nigri. Lamina infragenitalis globoso-rotundata margine superiore in medio leviter producto ac truncato.

Long. ♀ 40, ♂ 22; Pron. ♀ 10.5, ♂ 6; latit. supra ♀ 8.5, ♂ 5; El, ♀ 23, ♂ 19; Fem. ♀ 17, ♂ 11 mill.

Africa meridionalis; in terra Namaquensi frequens (a dom. Peringuey lecta). — In pago Promontorii bonæ spei ut videtur haud occurrit.

2. B. Peringueyi, n.

Nigrescens, griseo-canescens varia, nigro-marmorata, partim fulvescens, scaberima, ubique confertim sabulosa. Caput minus crassum quam in *B. perloide*; oculi minus prominuli; vertex inter oculos leviter latior et minus declivis, apice minus productus frontem partim liberans. Cranium totum carinatum. Verticis scutellum granoso-scabrum, valde undato-marginatum, retro inter oculos productum rugisque transversis utrinque 2, ante oculos utrinque obtusangulatim sinuatum, apice haud carinatum, in lobum rotundatum desinens et cum costa faciali angusta et profunde sulcata conjunctum. Hæc completa, sulcata, bicarinata, ad frontem angustissima, inter antennis prominula, ad ocellum parum dilatata, infra ocellum angusta subparallela. Occiput læviusculum, pone oculos radiato-costatum.

Pronotum superne quam longius parum angustius, carina angustissima albida percurrente, anterieus cristata, haud sulcata. Sulcus typicus obtusissime angulatus. Canthi laterales valde arcuati, crenato-carinati, per sulcum typicum valde intersecti. — Prozona antice nigro-verruculosa, retro transverse arcuato-cristata, crista et pars

pone illam ad sulcum typicum confinis nigro-verrucoso-dentata. — Metazona lata, cordiformis, scaberrima, sparse nigro-verrucosa, compresso-tuberculata, anterieus ad sulcum depressa. Processus sensim trigonalis, marginibus perpendiculariter deflexis (apice propter hoc haud lamellaris); cantho supero crenato-cristulato, ante apicem utrinque sinuato, apice quam in *B. perloide* duplo angustius truncato, compresso-tridentato. Lobi laterales fere perpendiculares, saltem parum divergentes, paralleli, ad sulcum intermedium profunde impressi, angulo postico magis rotundato, vix crenulato.

Elytra femora post. leviter superantia, fulvescentia, nigro-punctulata, flexuoso-venosa, venis partim nigris, apice nigro-punctata, campo anali lutescente, area media serie macularum nigrarum et albidarum ornata. — Alæ pallide-infuscatæ, inter campum anticum et posticum vitta hyalina; campo radiato basi hyalino-cœrulescente, venis cœruleis.

Femora postica quam in *B. perloide* breviora ac latiora, extus canescente-sabulosa, fasciis 2 nigris, fasciaque præapicali albida; area supera de reliquo et infera tota fulvescentes; area supera tuberculata; area infera extus intusque maculis transversis 5-7. Latus internum carmineum, area media nigra, fascia præapicali lutea. Margo superior crenatus, basi marginatus, incisuris serratis 1-2; margo inferior undatus, apice excisus, sublobatus. — Tibiæ posticæ rubræ.

Abdomen lævigatum; valvulæ inferæ ♀ basi subdilatatæ.

♀. Long. 30; Pronot. 11; latit. dorsi 10; El. 21; Fem. 15 mill.

Les valves anales étant rétractées chez notre individu unique, ne peuvent être décrites avec certitude. Elles nous paraissent avoir une forme intermédiaire entre celles du *B. perloides* et celles du *B. namaquensis*.

Africa meridionalis; Terra Namaquensis.

3. *B. namaquensis*, n.

Fulvescens, quam *B. Peringueyi* minus scabra, omnino subtiliter sabulosa et sparse granosa; capite inferè minus incrassato, vertice inter oculos latiore, scutello minus declivi, haud rugoso, tantum sabuloso, retro sublævigato, apice breviorè, costa frontali propter hoc paulo longiore. Cranium obsoletè carinatum; occiput et genæ occipitales lævigata orbitis leviter radiatis. Carinæ laterales faciei subtiles.

Pronotum illo speciei laudatæ sat simile at angustius. Carina dorsalis subtilis, sulcata, in prozona paulo altior. Prozonæ cristula transversa haud explicata, rotundata, obsoletissima. Canthi laterales acutiusculi, vix prominuli, per sulcum typicum vix intersecti, rotundato-crenati. Metazona superne quam longior vix latior, ovata,

minus trigonalis quam in *B. Peringueyi*, minus rotundata quam in *perloide*. Processus margines crasse deflexi cantho supero prominulo; margines laterales subrecti; posticus arcuatus, dentes 5 compressos obferens (tribus apicalibus invicem quam in *Peringueyi* magis, quam in *perloide* minus remotis). — Lobi laterales in medio vix impressi, angulis posticis propter hoc vix ad exteriorem deflexi.

Elytra breviter femora leviter superantia, apice attenuata, corporis colore, dimidia parte apicali quadrato-areolata; vena ulnari arcuata. — Alæ subhyalinæ, ad apicem leviter infuscatæ, venis ferrugineis, area axillari antica hyalina, campo radiato intus leviter cœrulescente.

Pedes sensim ut in *B. Peringueyi*, eademque pictura.

♀. Valvulæ genitales inferæ basi parum dilatatæ, lanceolatæ, margine exteriore vix sinuato. — Long. 34; Pron. 11; latit. dorsi 9,5; El. 22; Fem. 14 mill.

Africa meridionalis; Terra Namaquensis; in deserto alto nomine Karoo a Dom. Peringuey lecta.

Cette espèce établit par ses formes peu déprimées le passage aux *Batrachotettix*; elle ressemble même assez au *B. hottentotus*, et à première vue on hésite sur le genre qui lui convient le mieux, mais elle n'en est pas moins un vrai *Batrachornis*, car elle réunit tous les caractères de ce genre: pronotum à sillon dorsal profond, à arêtes débordantes, côte frontale étroite et saillante, face distinctement échanerée, à carènes latérales distinctes, élytres submembraneux, valves génitales inférieures non dilatées, etc. Elle gravite toutefois fortement vers le type des *Batrachotettix* par le fait que tous ces caractères sont déjà atténués et moins prononcés que les autres *Batrachornis*.

74. Genus **Batrachotettix**, Burm. — Sauss., Prodr., p. 236; 59.

Les espèces qui sont venues s'ajouter à ce genre m'obligent d'en donner une nouvelle diagnose.

Corpus obesum, sabulosum, griseum, apterum vel alatum.

Antennæ graciles, capituli longitudine. — Caput perpendiculare. Vertex inter oculos latus, planulus vel subexcavatus, antérieus trigonalis, acute marginatus, marginibus undatis, cum costa faciali subcontinuus. Tempora nulla, cum pagis ocellaribus confusa; hi perpendiculares, utrinque infere per sulcum rectum ab oculo ad costam frontalem ductum marginati. Ocelli minuti a verticis marginibus paulum remoti. Oculi invicem valde remoti. Costa facialis infra ocellum evanida; inter antennis valde prominula, subparallela, sat angusta, sulcata, ejus sulcus frequenter in verticis apice continuus. Facies ad ocellum leviter sinuata; ejus carinæ laterales haud explicatæ.

Pronotum latissimum, planulum vel obtuse tectiforme, loricatum, canthis lateralibus rugosis, acutis, carina tenui vel obsoleta; lobis lateralibus perpendiculariter deflexis; sulcis in dorso 2 subtilibus perspicuis; canthis lateralibus haud dilatatis. Prozona brevis. Metazona maxima, in processum latum supra abdominis basin productum. Lobi laterales plani, margine infero in dimidia parte anteriore leviter exciso, angulo antico recto, postico rotundato.

Pedes breviusculi. Antici 4 graciles, femoribus intermediis compressis, granulatis, extus bicarinatis. — Femora postica rugosa, valde dilatata; marginibus crenatis, supéro serrulato parum arcuato, infero arcuato, apice exciso; latere interno ad basin cantho serrulato et supra illum aream acute-tuberculatam oberens. Tibiæ anticæ teretes, subtilis utrinque calcaribus 2 spinis 3; intermediæ in alatis compressæ, stridulatoriæ, latere supéro ♂ crenato, ♀ obsolete tuberculoso; in apteris subteretes latere supéro inermi. Tibiæ posticæ intus arcuatæ spinis utrinque 9. Tarsi inter ungues arolio membranaceo instructi.

Abdomen conicum. Lamina supraanalis cimbiformis, basi sulcata.

♀ ♀. Cerci trigonali-tuberculiformes. Valvæ genitales inferæ extus dilatatæ, incisæ, lobatæ. — ♂ ♂. Cerci longiusculi, graciles, apice acuti, subincurvi. Lamina infragenitalis cucullata.

Elytra quando explicata dense reticulata, in plano dorsali replicata. Alæ ad typum generis *Batrachornidis* pertinentes. — Mares frequentius minuti.

Dans ce genre la tête ressemble assez à celle des *Batrachornis*. L'extrémité du vertex forme un triangle coupé à pans perpendiculaires. Le pronotum, bien que se terminant par un processus analogue à celui des *Batrachornis* offre des caractères différents; il est plus grand, plat en dessus, dépourvu de crête, et point étranglé par le sillon typique.

Les *Batrachotettix* occupent une position intermédiaire entre les *Batrachornis* et les *Methone*. La tête ressemble déjà beaucoup par sa structure à celle des *Methone*; elle est large et dépourvue de carènes sous-ocellaires. Le type des *Methone* se reconnaît aussi dans la forme élargie du corps, avec le pronotum aplati et dépourvu de crête, et dans le prosternum dont le bord antérieur offre quelque tendance à devenir inégal ou crénelé.

L'appareil stridulatoire abdominal des *Batrachotettix* a été décrit p. 115. L'écusson corné des bords inférieurs du 2^m segment de l'abdomen est plus ou moins fortement strié. Aux fémurs postérieurs la carène interne inférieure a son premier tiers garni de petites crénelures serraformes et la base de la bande située entre cette arête et le sillon longitudinal est garni de tubercules aigus. Toutes les carinules de la face interne offrent en outre des granules aigus espacés.

Il faut remarquer que les tambours du premier segment abdominal sont plus grands et très membranueux dans les espèces ailées, tandis que dans les espèces aptères ils devien-

nent plus ou moins coriacée, bien que l'organe stridulatoire soit tout aussi développé chez ces derniers que chez les premiers. Dans les espèces ailées la membrane des tambours est tendue obliquement, s'enfonçant en dedans vers le bord inférieur, en laissant ce bord libre, d'où résulte qu'il existe une sorte d'ouverture entre ce bord et la membrane. Chez les espèces aptères la membrane remplit tout le cadre corné et se fixe à ses bords sur tout son pourtour.

Synopsis specierum.

- a.* Oculi superi, globosi, minores. Antennæ infra altitudinem marginis inferi oculorum exsertæ. Pronotum planulum, carina subtili, inter sulcos et posterius evanida. Femora postica subtus ad apicem longiuscule excisa.
- b.* Sedes certæ.
- c.* Alatæ. Pronoti lobi laterales magis quadrati, margine postico subperpendiculari, saltem parum obliquo, ad processum valde arcuato-sinuato; canthi laterales variables; processus apice latus, bisinuatus.
- d.* Complete alati; vertice inter oculos angustiore, latitudinem oculorum æquante, antèrius maxime declivi, in plano verticali frontis detruso. — Femora post. margine infero paulo minus arcuato, supero magis crenato.
- c.* Pronoti processus late rotundatus, margine apicali parum deflexo, lamellari. Elytra lata. Alæ posterius sulfurescentes. Mares statura sat valida 1. *cantans*, n.
- e,e.* Pronoti processus magis trigonalis, apice magis bisinuatus, tridentatus, margine postico acute deflexo, propter hoc sub crasso. Elytra angustiora. Alæ infuscatæ, posterius cærulescentes. Mares minuti 2. *Peringueyi*, n.
- d,d.* Incomplete alati; vertice inter oculos latiore, antèrius obliquo, cum costa faciali angulum obtusum distinctum efficiens. — Pronoti processus apice trigonalis, margine crasso; utrinque lateraliter compresso-bidentato.
- e.* Elytris dorsalibus 3. *loricatus*, Sss.
- e,e.* Elytris lateralibus 4. *hottentotus*, Sss.
- c,c.* Apteri. Pronoti lobi laterales minus quadrati, margine postico valde obliquo, parum sinuato; canthi laterales acuti, etsi in prozona explicati; processus apice lamellaris, rotundatus, vel margine deflexo, crasso, truncato-tridentato. Tibiæ intermediae latere supero inermi. — Vertex inter oculos latior, antice late trigonalis, plus minus declivis, cum costa frontali angulum distinctum efficiens. Femora post. margine infero valde arcuato, supero subtiliter crenulato. Mares minuti.
- d.* Pronoti processus elongatus, semi-ellipticus, late rotundatus, apice parum bisinuatus 5. *Whiti*, n. — 6. *pistrinarius*, n.
- d,d.* Pronoti processus retro-angustatus, apice bisinuatus, tridentatus. Abdominis segmenta supra inermia.
- e.* Vertex vix declivis. Processus pronoti elongatus . . . 7. *Stollii*, Sss. — 8. *Bufo*? B
- e,e.* Vertex declivis. Processus brevior 9. *scutigera*, Walk.
- b,b.* Sedes incertæ 10. *granulatus*, H.
- a,a.* Oculi majuscui, ovati. Antennæ ad eorum altitudinem exsertæ. Pronotum carinatum. Femora postica latissima, margine infero apice haud exciso, ante condylum tamen angulatim constricto. Pronotum ♀ obtuse tectiforme, ♂ planum, carinulatum, processu trigonali. Feminae apteræ, mares subapteri 9. *acutus*, n.

A. *Species saltem ♂ alata. Tibiæ intermediæ compressæ, latere supero ♂ crenato-carinato.*

1. **B. cantans**, n.

Grisæus, obscurus vel fulvescens, confertim sabuloso-granulatus. — Antennæ graciles, 18-20 articulatæ. — Caput sparsius granulatum, occipite lævi. Vertex declivis. Costa frontalis angustissima, sulcata, ad verticem acuminata, evanida. Ocelli in foramina exserti, marginati.

Pronotum densissime sabulosum, sparse verruculosum, supra planulum, ad sulcum typicum tamen impressum; sulcis subtilissimis, sulco typico solo distincto. Prozona brevissima. Linea dorsalis media subtiliter carinata, carina subtilissime sulcata, postice evanida. Canthi laterales in metazona distinctissimi, in prozona subtiles. Processus posticus latus, elliptico-rotundatus, margine apice latiusculo, obsolete bisinuato, utrinque obtuse vel obsolete angulato, in medio obsolete triangulato, vel rotundato, minute trituberculato, tuberculis invicem remotis. — Prosternum grande, margine anteriore leviter sinuato, utrinque hebetato-rectangulo, in medio dentem minimum trigonalem efficiens.

Elytra femora postica valde superantia, lata, apice haud attenuata, late rotundata. corporis colore, campo marginali basi excepto nigro-punctato, reliquo elytro in dimidia parte apicali maculis parvis nigris rarioribus consperso. Venæ mediastina et axillaris rite explicatæ, subrectæ.

Alæ amplæ, apice obtusissimæ, late rotundatæ, sinu apicali vix ullo, campo intermedio quam campus anterior haud brevior. Campus anterior et intermedius vitreus vel nebulosus, venis valde fuscis, apice infuscato; campus radiatus sulfurescens, margine apicali nebuloso. Venæ campi antici rectæ, validæ, nigræ; vena ulnaris anterior crassior; vena analis valida. Campus intermedius latus, apice obtuse rotundatus; venis axillaribus nigris, validis; area anterior latissima per venam spuriam nigram fortam inæqualiter divisa, ejus tænia antica lata, scalari-venosa, postica quadrato-areolata. Apex alæ inter campum anticum et intermedium trigono membranaceo nullo.

Pedes valde pubescentes. Tibiæ intermediæ ♂ serrato-carinatæ, scilicet tuberculis majoribus compressis acutis 8 in seriem dispositis, ♀ latere superiore tereti tuberculis rotundatis obsolete armatæ. — Femora postica rugosa, granosa, sabulosa; extus area supera areæ inferæ æquilata; margo superior irregulariter crenatus

dentibusque minoribus crenulatus; margo inferior granosus, apice sinuatus, undatus vel trisinuatus. Latus internum totum nigro-violaceum, lobo geniculari carmineo; carina nonnunquam testacea. Condylus extus et tibiæ nigro-cœrulei, hæ intus violaceæ, supra cum spinis carmineæ, spinis 9 : 8 apice nigro; spina apicalis externa minuta, gracilis ad superum rejecta. Tarsi rubri. — Abdomen politum; ejus tympana infere acuminata; secundi segmenti scutella stridulatoria distincte strigata.

♀. Lamina supraanalis trigonali-cimbiformis. Cerci quam longi latiores apice tuberculo minuto rotundato. Valvulæ inferæ basi parum dilatatæ, haud dentatæ, haud angulatim incisæ, extus vix obtusangulatim sinuatæ.

♂. Validus. Lamina supraanalis elongata, apice late rotundata, læviuscula vel punctata. Cerci subarcuati, apice graciles, teretes, acuti, basi plani, latiores. Lamina infragenitalis elongata, apice subte rotundata, subcompressa, supra angulo minuto terminata.

Var. — *a.* Elytra omnino nigro-conspersa vel obsolete maculosa. — *b.* Tibiæ posticæ intus rubræ; — *d.* totæ nigro-cyanææ. — *e.* Femora extus diverso-modo nigro-varia, fusco-punctato-bifasciata; — *f.* basi lutea dehinc obscura, condylo obscuro, etc. — *f.* Pronoto sabuloso, haud verruculoso.

Long. ♀ 46, ♂ 34; Pron. ♀ 16, ♂ 12; latit. 12,5, ♂ 9,5; El. ♀ 35, ♂ 25; latit. ♀ 11, ♂ 7; Fem. ♀ 21, ♂ 15 mill.

Africa meridionalis. Terra altior Namaquensis; Prieska; a Dom Peringuey lecta. (Mus. Capense).

2. *B. Peringueyi*, n.

Præcedenti affinisissimus, densissime sabulosus, granis majoribus insuper conspersus. Pronotum supra planum, canthis lateralibus acutis, etsi in prozona percurrentibus. Processus posticus paulo minor, minus rotundatus, magis trigonalis; ejus margines laterales obliqui, subrecti, angulato-subundati; apex latius parum profunde bisinuatus, utrinque angulato-dentatus, dente medio angulato, minutissime tridentulato.

Elytra angustiora, vix nigro-conspersa, apice acutius rotundata, venis minus rectis, minus validis, parte basali paulo minus dense reticulata.

Alæ infuscatæ, campo radiato hyalino-cœrulescente, apice nebuloso. Campus anterior minus latus, venis discoidalibus apice arcuatis; areis ulnari et anali minus angustis, vena anali subtiliore; area ulnaro-anali angusta, vitrea, venulis subtilibus. Area axillaris anterior per venam spuriam in partes æquales divisa, quadrato-areolata. Sinus apicalis alæ distinctus, inter lobos trigono angusto vitreo perspicuo; lobo antico lobum secundum superante, hic minus latus quam in *B. cantante*.

Femora postica margine infero apicè angustato, latere interno carmineo area supera grisea. Tibiæ post. intus et supra carmineæ, genubus luteis, intus fascia transversa nigra; spinis luteis, apice nigro, utrinque 9; tarsis rubris.

Abdomen nitidum, castaneum.

♀. Valvulæ genitales inferæ extus dilatatæ, profunde angulatim incisæ, lobo laterali angulato.

♂. Quam femina duplo minor, minus crassus. Costa facialis infra ocellum nonnunquam explicita, hic paulo angustior, inferè triangulariter dilatata. — Pronotum per sulcum typicum magis impressum. Processus margo posticus minus crassus quam in *B. cantante*. — Elytra femora vix superantia. Alæ venulis transversis minus regularibus, in campo postico irregularibus incompletisque reticulatæ. — Femora post. margine infero ad apicem vix exciso. — Lamina supraanalis elongata, sat trigonali-rotundata, supra acuto-granosa, sulcata, apice subcarinata. Cerci subarcuati margine supero basi compresso. Lamina infragenitalis a latere apice supero acuto, parte supera trigonali, valde prominula.

Lon. ♀ 38, ♂ 19; Pron. ♀ 13,5, ♂ 7,2; lat. ♀ 12; El. ♀ 34, ♂ 13,5; lat. ♀ 9,5, ♂ 9,5 mill.

Africa meridionalis occidentalis; Terra Gricænsis (Griqualand), a Dom Peringuey lectus. (Mus. Capense.)

3. *B. loricatus*, Sauss., Prodrum., 23, 8; 3, ♀.

N'ayant plus cette espèce sous les yeux, je ne puis la classer régulièrement faute de pouvoir la comparer aux autres espèces.

4. *B. hottentotus*, Sauss., Prodrum. 237, 2.

Statura minor. Caput subtiliter sulcatum, posterius subtiliter carinatum. Vertex antierius declivis, triangularis, marginibus acutis, subundatis, apice subbilobo.

Pronoti carina inter sulcos evanida. Processus elongatus, cimbiformi-trigonalis, marginibus crassis, utrinque bisinuatus, apice haud truncato sed trigonali 5-dentato, dentibus compressis, in margine crasso carinulas perpendiculares efficientes.

Elytra processum superantia, apice rotundata, remote reticulata, vena media furcata. — Alæ verisimiliter minimæ (vel nullæ?).

Tibiæ intermediæ...? Tibiarum posticarum spina apicalis externa valida.

Abdomen superne rugulatum et granulatum.

Cette espèce se distingue par son processus en ogive triangulaire, offrant deux dents fort latérales sur les côtés du triangle avec l'angle médian dépassant ces dents.

Elle ressemble par son habitus au *B. namaquensis*, sauf que le sillon du pronotum ne forme pas d'impression profonde.

B. Species apterae vel ♂ subapterae. Tibiæ intermediæ crassiores, teretes, latere supero subplanato, inermi.

5. **B. Whiti**, n. — *Trachypetra bufo*, White ! ap. Methuan, Wanderings in South Africa, Append, p. 317, Pl. 2, fig. 3, ♀. — *Tr. scutellaris*, Walk. ! Catal. Brit. Mus. Derm. Salt. IV, 795, 3, ♀, et in Mus. britannico.

Fulvescens, crassiuscula, obesa, depressa, valde granulata, *B. Stollii* valde affinis.

Vertex supra oculos utrinque sinuatus; scutello subplano, sulcato, apice inciso. — Pronotum retro-ellipticum, obtusissime subangulatum, dorso subplano, leviter convexo. Prozona leviter tectiformis, obsoletissime rotundato-carinata; carina in metazonæ basi continua; canthi laterales obtusi, granosi. Processus latum, elliptice rotundatum, dimidium abdomen tegens, ad media femora extensus, marginibus lateralibus superioribus rotundatis haud crenatis, cum margine deflexo granosis; apex latiuscule obtusangulatim truncatus, angulis dentiformibus, spinulis 2-3 armatis; angulo medio bispinoso (spinis haud contiguus). — Pedes breviusculi. Femora post. lata ac brevia, extus sabulosa, margine supero irregulariter serrulato, infero granoso-crenato, ante apicem subexciso; latere interno nigro-marmorato; area infera late nigro-cœrulea. Tibiæ post. intus et superne nigro-cœruleæ, spinis pallidis, apice nigris, in margine externo 7. — Lamina supraanalis ♀ semi-elliptica. — ♀ Long. 32; Pron. 16,5, latit. 13; longit. prozonæ 6,5; id. metazonæ 10; Fem. 14 mill.

Var. — Minor; pronoti processus angulus medius muticus, obtusissimus, rotundatus.

Africa meridionalis. (Mus. Britannicum; typus Whiti).

Obs. 1. Le processus du pronotum a ici une forme largement arrondie comme chez le *B. cantans*.

Obs. 2. Au British mus., cet insecte porte le nom de *T. scutellaris*, Walk, et le nom de *bufo*, White, est appliqué à une tout autre espèce. (Comp. l'*Eremotettix Walkeri*, p. 136.) Nous supposons qu'il a dû y voir transposition d'étiquette, et cela avant la rédaction du catalogue de Walker, car il est manifeste que l'espèce ci-dessus décrite est bien le *Tr. bufo* figuré par White, que cet auteur caractérise comme suit :

« Thorax ¹ somewhat ovate-trapezoidal; the first 2 segments ² and base of third ³ keeled down the middle; the 3^d or metathoracical segment ³ largest, with 2 slight sinuations and 4-6 spines to the edge, 2 in the middle and 1 or 2 at the end of the lateral margin. »

7. B. Stollii, Sauss., Prodr., 239, 5. — Stoll., Saut. Pl. VIII *b.*, fig. 29, ♀.

Fulvescens vel brunea, omnino sabulosa, sparse granulata et minute tuberculata. Antennæ 16-articulatæ capitis altitudinem subæquantes, punctatæ, apice submoniliformes, ♀ graciles, ♂ subcrassiusculæ, — Caput tuberculatum, occiput lævigatum. Vertex rugosus, obtusus, parum declivis, planatus vel subexcavatus; scutellum antice in medio quadrato-, vel rotundato-productum. Pagi supra-antennales plani, granosi, rugosi. Costa facialis sulcata, in fronte valde angusta, ad ocellum paulo latior, infra illum evanida, a latere visa leviter sinuata, infere valde dilatata, obsoletissima.

Pronotum truncato-rhomboidale, depressum, superne fere complete planum vel leviter convexum, antice subbisinuatum margine crenulato. Canthi laterales acuti, completi, granoso-crenulati, paulo ante medium rotundato-angulati, ante et pone angulum recti, per sulcum anticum et posticum distincte, per sulcum intermedium obsolete intersecti. Sulci in dorso subtiles, arcuati, intermedio obsoleto. Prozona per sulcum anticum in partes subæquales divisa. Linea dorsalis leviter carinulata, carina subtilissime sulcata, inter sulcos et posterius evanida. Metazona quam prozona duplo longior abdominis segmenta 4 obtegens. Processus apice valde bisinuatus, biincisus, tridentatus, dentibus trigonalibus, externis acutis, dente media leviter fissa mucrone bidentulo. Lobi laterales tuberculosi, angulo postico rotundato vel obtuso, margine postico late sinuato. — Prosterni margo sat fortiter reflexus, in medio retro-arcuatus vel subangulatus.

Femora intermedia carinata, superne et extus granosa et verrucosa; antica minus scabra. Tibiæ teretes, latere superiore latiusculo, subplanato, ♀ obsoletissime verrucosæ, ♂ punctatæ; intermediæ haud stridulatoriæ, superne inermes. — Femora postica lata, extus convexa, sabuloso-, et tuberculoso-scabra, area supera ac infera granosa, margine supero parum arcuato, serrato-crenulato, infero arcuato, ante apicem valde exciso et hic crenato; area externo-media prominula, carinulis tenuibus, nigro-punctatis. Latus internum nigro-cæruleum, area media maculis albidis impleta, biseriatim, basi triseriatim maculosa; area supera infere per lineam albidam inter-

¹ Pronotum. — ² Prozona pronoti. — ³ Metazona.

ruptam marginata; lobo geniculari et arcu concharum cinnabarinis. — Tibiæ posticæ, latere interno et supero, extusque basi, nigro-violaceæ; nec non intus basi macula cinnabarina; spinis utrinque 9 cinnabarinis apice nigro. Arolia tarsorum parum grandia.

Abdomen superne scabrum, segmentis carinatis; haud mucronatis. Primi segmenti tympana ovata, rotundata; secundi scutellum corneum laterale læviusculum.

♀. Lamina supraanalis obtusa, transversa, late sulcata.

♂. Minor. Vertex antice trigonalis. Pronotum longius rhomboïdale, distinctius carinatum, angulis magis rotundatis; processu utrinque spina apiceque spinulis 2, armato; margine apicali vix bisinuato. Cerci longiusculi, apice minute subuncinati. Lamina infragenitalis brevis, rotundata, apice a latere rectangula. — *Var.* Pronotum postice haud tridentatum, simpliciter obtusangulatum, bispinulosum.

Long. ♀ 34-37; ♂ 20; Pron. ♀ 16-17; ♂ 14; latit. ♀ 13, ♂ 13; Fem. ♀ 16-18, ♂ 14; Ant. 9-10, ♂ 6 mill.

Africa meridionalis; Terra Namaquensis. (A. Dom. Peringuey lecta.)

8. *B. bufo*, Burm. Handb. II, 661, 2, ♀ ♂. (Syn. excl.) — Sauss., Prodr., 239, 6.

Semble se rapprocher pour les formes du *B. Stollii*, mais l'espèce doit être de beaucoup plus petite taille. ♀ 7 1/2, ♂ 6 lignes. — Les figures de Stoll citées par l'auteur ne conviennent pas à son espèce; la première représente une grande espèce, la seconde représente un insecte étranger à la tribu.

9. *B. scutigera*, W. (Fig. 11). — *Trachypetra scutigera*, Walk.! Catal. B. M. Derm., Saltat, IV, 796, 2, ♀.

Fulvescens, terrosa, parum depressa, ubique confertim albido-sabulosa. Scutellum verticis declive, subexcavatum, marginibus lobatis, anterieus angustus, productus. — Pronotum subrhomboidale, posterius obtusangulatim truncatum et triangulatum; superne planiusculum, margine antico subangulato, sulco typico in medio arcuato. Prozona subtectiformiter carinata, carina arcuata, per sulcum anteriorem incisa, ante illum subsinuata, pone illum scutello minuto rugoso, punctis impressis notata. Metazona obsoletissime subcarinata, angulis lateralibus haud explicatis, canthis lateralibus acutiusculis. Processus primum abd. segmentum incomplete obtegens, obtusus, marginibus superioribus paulum elevatis, crenulatis, in medio utrinque dentem trigonalem minutum præbentibus; apex late truncatus, bisinuatus, tridentatus, dentibus trigona-

libus, carinatis; dente intermedio magis producto. Lobi laterales subverrucosi margine posteriore granulis 4-5 acutis. — Prosterni margo reflexus in medio subangulatus.

Femora post. margine supero serrato, infero crenulato, ante apicem exciso; latere externo remote verrucoso; latere interno nigro, area supera pallescente, infera sanguinea. Tibiæ post. intus et superne nigro-cœruleæ, spinis luteis apice nigris, extus 8-9. — Abdomen subcarinatum, seriebus duabus tuberculorum notatum. — ♀ Long. 37; Pron. 14, latit. 13; prozonæ longit. 5,5; metazonæ long. 9; Fem. 16 mill.

Africa meridionalis. (Mus. britannicum.)

Je rapporte à cette espèce un individu de notre musée, figuré sur notre planche. L'insecte est très voisin du *B. Stollii* mais avec un pronotum à processus plus court.

10. B. granulatus, Herbst. — Sauss., *Prodrom.*, p. 237; 7. — *Acridium granulatum*, Herbst, ap. *Fuessly archiv.*, 173, 5; Pl. 52, fig. 5.

Crassissimus, canescens; pronoti processu elliptice arcuato, margine toto sat minute undato-crenato (utrinque quinquies emarginato, Burm.). — Long. 35 mill.

A en juger par la figure, cette espèce se rapproche beaucoup du *B. scutigera*, W.; toutefois le processus du pronotum est ici très large, très arrondi et entièrement crénelé-ondulé.

L'auteur donne pour patrie à cet insecte les Indes orientales? Il ne serait pas impossible qu'il ne rentrât dans le groupe des *Thrineites*, au voisinage des *Phrynarium*??

11. B. acutus, n.

Griseus, densissime granulatus (crasse sabulosus) et granulis crassioribus conspersus.

Vertex quam in *B. Stollii* inter oculos minus latus, anterieus declivis. Oculi quam in illo fere duplo majores, ovati. Costa facialis ad frontem valde angusta, sulcata, ad verticem puncto impresso.

♀. Apta. Pronotum supra haud planum sed obtuse tectiforme, carina obtusa. Margo anterior in medio obtusangulus. Canthi laterales postice vix perspicui, antice distincti, verruculoso-crenati. Processus metazonæ primum abdominis segmentum paulum superans, acutangulus; ejus limbus obsolete deflexus, canthum dorsalem nullum nisi obsoletum formans, margine *infero* minute undato, granoso, subtiliter multisinuato, apice distinctius utrinque 3-4 sinuato ac denticulato, dente medio minuto, trigonali (vel si mavis, processu apice minute tridentato), dentibus subtiliter

spinulosis. Lobi laterales infere attenuati, margine infero longe subsinuato, angulo anteriore recto, apice rotundato, angulo postico late rotundato, margine postico undato valde obliquo.

Sternum sparse punctatum. Prosternum margine antico integro, vix reflexo, in medio quam ex utraque parte minus prominulo. Mesosternum anguste transverse fusiforme, margine antico magis, postico minus arcuato.

Meso-, metanotum et abdomen superne rugata, segmentis carinatis.

Femora antica et intermedia valde verrucosa; tibiæ subtus utrinque calcaribus 2, spinis 2, validis, apice nigris. — Femora postica latissima, valde granosa, margine supero arcuato, minute denticulato, infero magis arcuato, granoso-crenulato, apice haud exciso, tantum ante condylum angulatim constricto; latere interno rubro. Tibiæ post. sanguineæ, spinis intus 8, extus 9, apice nigris. Tarsi sanguinei.

Valvæ genitales inferæ lobatæ, valde incisæ.

♂. Duplo minor, rugosior, sparse tuberculatus, subapterus. — Pronotum superne planum haud tectiforme, in medio utrinque oblique impressum, carinatum, carina subtilissime sulcata, antice prominula, per sulcos obsolete intersecta, posterius subtili. Canthi laterales antici crassiores, retro utrinque in lobos laterales producti. Processus metazonæ minus trigonalis, elongato-cimbiformis, limbo utrinque ad inferum valde deflexo, canthis dorsalibus propter hoc magis distinctis (nihilominus tamen rotundatis). — Elytra rudimentalia, minima, squamiformia, late rotundata, ad inferum oblique appressa, æque longa ac lata, reticulato-punctata. — Femora postica ovata. — Abdomen superne valde granulatum, segmentis apice compresso-dentatis. Lamina infragenitalis granulata apice acute producta ac curvata.

Long. ♀ 38, ♂ 20; Pron. ♀ 15, ♂ 9; lat. ♀ 14, ♂ 7; El. ♂ 1,1; Fem. ♀ 16,2, ♂ 10,2; lat. fem. ♀ 7,5, ♂ 5 mill.

Africa meridionalis; Terra Namaquensis. A Dom. Peringuey in copula lecta. (Mus. Capense et Genevense.)

Dans cette espèce le mâle a un faciès assez différent de celui qui distingue la femelle, attendu que le pronotum est plat et caréné, mais non en toit obtus, et que les bords du processus sont rabattus perpendiculairement (sans toutefois former d'arêtes vives). Ce mâle se rapproche beaucoup du groupe du *B. Stollii*. Aussi l'aurais-je pris pour une espèce différente du *B. acutus* s'il n'avait été capturé *in copulâ* par M. Périuguey. — Les autres caractères concordent du reste parfaitement avec ceux de la femelle : tête, pattes, sternum, de même que le fait que les angles latéraux du dos du pronotum sont infléchis en bas au lieu d'être saillants. Le processus est en forme d'ogive et moins triangulaire que chez la femelle.

Nota. — Le *B. depressus*, St., n'appartient pas à ce genre. (Comp. supra la *Lilaea depressa*, page 95 et 99.)

75. Genus **Haldmanella**¹, n.

Corpus obesum, depressum, terreum, rugosum, pubescens.

Antennæ filiformes, longiusculæ. — Caput perpendiculare. Vertex inter oculos latus, anterius declivis. Costa facialis infra ocellum evanida, inter antennas prominula, ad frontem dilatata. Tempora in plano perpendiculari jacentia, obsoletissima. Ocelli perspicui.

Pronotum latum, anterius valde coarctatum, truncatum, posterius in processum productum; superne planulum, sulcis 3 profunde impressis, pone sulcum typicum transverse depressum, metazona quam prozona longiore. Lobi laterales acute perpendiculariter deflexi, margine postico valde obliquo. — Sternum latissimum; prosternum quam metasternum dimidio angustius, transverse arcuato-carinatum.

Elytra ♀ squamiformia, lateralia, rotundata. — Alæ minimæ.

Pedes pubescentes. Femora postica sat dilatata, extus convexa, marginibus elevato-cristato-carinatis, haud crenatis. Tibiæ post. arcuatæ, spinis fortibus subarcuatis armatæ.

Abdomen conicum, haud carinatum.

I. H. Tschivavensis, Hald. — *Ephippigera Tivavensis*, Haldm. ap. Stansbury, Explor. of the Valley of the great salt lake of Utah, etc., 1852, p. 371; Pl. X, fig. 3, ♀. — *Eph. Tschivavensis*, Thomas, ap. Wheeler's Geogr. a. Geol. Surv. west of the 100th merid., etc., V, Zool., 1875, p. 885. — Id. U. S. Geogr. a. Geol. Surv. of Montana. 1871; Pl. II, fig. 3. — *Eremobia magna*, Thomas, ibid., p. 886; Pl. II, fig. 5, ♀.

Obscure ochracea vel fulvescens, subtus flava. Antennæ quam pronotum breviores. Caput obtusum; vertex subquadratus, subplanus, distincte carinulatus ante oculos vix dilatatus, declivis. Tempora obsoletissima. Costa frontalis dilatata, linea utrinque tuberculorum minorum ab oculo oriente marginata. Facies et genæ rugosæ.

Pronotum scaberrimum, antice punctis nonnullis nigris. Canthi laterales subacuti per sulcos intersecti, crenulati. Carina dorsalis tantum in metazona leviter perspicua. Metazona superne elongato-ovata, elongato-tuberculata, basi pone sulcum typicum transverse depressa; ejus processus secundum abdominis segmentum tegente, marginibus lateralibus obliquis, leviter crenatis. Lobi laterales angulo postico-rotundato.

¹ Je dédie ce genre à feu mon excellent ami, le naturaliste américain Haldman, qui, le premier, a fait connaître ce type du désert de l'Utah.

Elytra ad abdominis secundum segmentum dimidium extensa, minuta, fulvo-reticulata, venis longitudinalis haud explicatis.

Femora postica robusta, extus squamoso-pinnata, nigro-fasciata, latere interno fascia præapicali flavida. Tibiæ post. intus nigræ; spinis utrinque 10-11, apice nigris.

♀ long. 48; Pron. 19-20; latit. 13; El. 6.5; Fem. 18; tib. 16.5; latit. mesosterni 14.5 mill. — ♂ valde minor.

America borealis; Chihuahua. — Utah. — Arizona (Thom.).

J'ai cru devoir réunir l'espèce décrite par Thomas à celle qu'avait décrite Haldman parce que rien dans les descriptions de ces auteurs ne permet de les séparer. A en juger d'après les figures, l'insecte décrit par Haldman serait plus rugueux : le pronotum offrirait le long des sillons de petites crêtes de rugosités et les fémurs postérieurs seraient aussi un peu moins dilatés. Mais ce ne sont là probablement que des différences individuelles.

76. Genus **Methone**, Stål. — Sauss. Prodrôm., p. 239; 60.

Comme je n'avais pu décrire ce genre que d'après des notes incomplètes recueillies en voyage, j'en complète ici la description d'après de nombreux individus que j'ai sous les yeux.

Corpus magnum, obesissimum, subdepressum, batrachoïde. Antennæ longiusculæ 14-20-articulatæ, valde infra oculos insertæ, invicem remotæ.

Caput obtusissimum, perpendiculare, infra ocellum vix sinuatum. Oculi ovati, invicem valde remoti. Vertex inter illos subexcavatus, subdeclivis, anterieus late trigonalis; ejus apex anterior valde declivis, cum fronte ad unum confusus, cum pagis supra-antennales trigonum frontale prominulum, inter antennas et oculos utrinque per sulcum delineatum, efficiens. Costa facialis nulla vel obsoletissima, tantum inter antennas perspicua, superius cum trigono frontali confusa. Ocellus anterior minutus, infra mediam faciem exsertus. Carinæ infra-ocellares nullæ. Orbitæ posterius radiatæ, antice ad verticem in dentem lateralem productæ.

Pronotum retro supra metanotum plus minus productum, margine postico subarcuato, in medio angulato-dentato. — Prosterni margo anterior ad inferum defexus, integer vel in medio leviter productus, crenatus, vel incisus vel bidentulus.

Elytra rudimentalia, lateralia, angustata, longiuscula. Alæ nullæ.

Pedes postici valde pubescentes. Tibiæ anticæ et intermediae subtus utrinque

calcaribus 2, spinis 2; intermediæ latere supero inermes, serie tuberculorum stridulatorum destitutæ. — Femora postica monstrose lamellari-dilatata, intus lævigata, canaliculo infra carinam profundissimo. Tibiæ post. lævigatæ, in requiete per marginem lamellarem inferum femorum complete absconditæ; calcaribus brevibus, superis quam infera longioribus. Tarsi postici primo articulo gracili, apice superne elevato-producto.

Lamina supraanalis ♀ basi profunde sulcata, apice rectangula; ♂ cordiformiter lanceolata. Cerci ♀ minimi, trigonales, tuberculiformes, ♂ longiusculi styliiformes.

♀♀ Valvæ genitales apice hebetatæ; inferæ depressæ, basi latissimæ, unguiculo brevi, recto, obtuso.

♂♂ Lamina infragenitalis brevis subrotundata, carinata.

Chez les *Methone* les individus varient dans des limites considérables, surtout en ce qui concerne la taille, la sculpture et les proportions des fémurs postérieurs, en sorte qu'on serait tenté de voir des espèces séparées dans les sujets extrêmes si l'on ne connaissait les variétés intermédiaires. Chez les individus peu rugueux on distingue nettement les diverses parties de la tête. Le grand triangle du front est occupé de chaque côté par une large bande granulée, d'où résulte un V enfermant un triangle mal limité qui n'est autre que l'extrémité du vertex rabattu sur la face. Les deux branches du V portent les ocelles et représentent les pans coupés du vertex (*pagi supraantennales*) qui, ici, sont placés presque à plat et fondus avec le triangle médian; elles vont aboutir aux yeux et leur bord interne, souvent caréné, se termine par la dent de l'orbite. Chez les individus très rugueux le triangle du front est saillant, bordé d'arêtes, et ses pans rabattus sont assez distincts.

Le prosternum offre chez les *Methone* une anomalie singulière; le bord de cette pièce, au lieu d'être entier comme chez tous les autres Éremobiites et même chez tous les Oédipodiens, est en général crénelé ou armé de deux petites dents. Ce caractère n'est du reste pas fixe, il disparaît chez certains individus. (On a vu plus haut que chez les *Batrachotettix* déjà le prosternum tend à prendre un bord inégal.)

Les fémurs postérieurs, d'une grandeur monstrueuse, sont très faibles, vu leur état d'extrême compression; ils semblent être impropres au saut et ne servir que pour la stridulation et pour les besoins de la mimétique (Comp. p. 111). Les tibiai au repos se cachent entièrement dans la rainure de la face interne et sont même encore bien dépassés par la lame fémorale, et le tarse replié contre le tibia se dissimule également sous cette lame.

Les tarsi postérieurs ont leurs plantes globuleuses partagées par un sillon étroit; le premier article est grêle, dilaté en arrière et renflé, ou plutôt relevé en dessus à l'extrémité.

Nous possédons des individus de tous les âges; par leurs formes, ils ressemblent de tous points aux insectes parfaits; les tambours du premier segment de l'abdomen et l'appareil stridulatoire sont chez elles bien développés; les nymphes n'offrent pas de rudiments d'élytres.

Les *Methones* sont de tous les Eremobiites les plus puissants stridulateurs. (Cp. p. 116). Ce sont sans doute comme volume du corps les plus gros des Orthoptères, et leurs formes massives leur donnent un habitus batrachoïde très prononcé. La mimétique joue chez eux un rôle considérable; aussi lorsque ces gros insectes sont au repos, les antennes rabattues contre la face et les pattes appliquées au corps, ressemblent-ils à s'y méprendre à une motte de terre. D'habitude ils se tiennent blottis sur le sol. Leur marche est des plus singulières, elles s'exécute au moyen des quatre pattes antérieures seules; ils se dressent sur ces pattes et semblent progresser à la manière des acrobates (Cp. p. 111, 116).

Synopsis specierum.

- a. Prosterni margo in medio productus, incisus, vel bidentulus. Femora post. quam latiora minus quam duplo longiora. Pronotum retro valde ampliatum.....1. *Anderssonii*, St.
 a,a. Prosterni margo in medio hispinuloso, dentibus teretibus. Femora post. quam latiora duplo longiora. Pronotum retro modice ampliatum.....2. *rana*.

1. M. Anderssonii, Stål. — Sauss. Prodrôm., p. 240: 1. — *Trachypetra* —, —, ♀, F. Karsch, Entomol. Nachricht., XIII, 1887, 41, 14¹.

Omnino granulata et sparse verruculosa, nonnunquam læviuscula.

Costa facialis nulla vel obsoletissima, nonnunquam inter antennas trigonium reversum grande, prominulum, inferre angulatim incisum efficiens.

Pronotum metanotum dimidium liberans, posterius præcipue ♀ valde dilatatum, superne levissime, obtusissime tectiforme, leviter gibberosum; vel ♂ ad sulcum typicum subdepressum; in hoc casu metazona leviter convexa, margine postico plus minus ad inferum subdeflexo. Margo anterior leviter obtusangulus; posticus subarcuatus, undatus vel crenulatus, in medio angulum vel dentem minutum efficiens. Sulci dorsales plus minus perspicui vel oblitterati, antichi 2 carinam obsoletam dorsalem nonnunquam intersecantes. Metazona utrinque ad canthos frequenter obsolete costata. — Lobi laterales superius inter sulcos ♀ obsolete rotundato-costati vel tuberculati; margo inferus antierius subrectus, angulo obtusangulato, posterius arcuatus, angulo rotundato, margine postico undulato, subsinuato. Metanotum margine medio leviter obtusangulo.

Elytra ♀ secundi, ♂ tertii abd. segmenti basin tegentia, apice valde strigata.

Pedes compressi. Femora anteriora superne granulata, subtus punctata; intermedia

¹ L'auteur n'ayant pu se procurer l'ouvrage de Methuan, et se basant sur une étiquette hypothétique du musée de Berlin, a cru devoir rapporter la présente espèce au genre *Trachypetra*. De là l'erreur, dont il n'est du reste pas responsable.

extus granulata. — Femora postica quam longiora plus quam dimidio latiora, subtiliter granulata. Lateris externi area media plagiis lævigatis in medio granulum gerentibus prædita. Aræ superæ latitudo oculorum longitudinem æquans, margine supero dentes circiter 20 spiniformes gerente minoribusque intercalatis. Aræ inferæ latitudo longitudinem oculorum valde superans, margine infero granulato-crenato, nonnunquam posterius denticulato, arcuato, ante condylum subito rotundato, anguste angulatum inciso. Latus internum cœruleum, politum, granulis remotissimis conspersum; carina infera granoso-serrulata; area media basi tuberculis trigonalibus acutis numerosis armata; area infera basi dense foraminato-punctata. Tibiæ posticæ intus et superne cœruleæ, spinis utrinque 7-8, ultima externa haud minuta.

Abdomen segmentis 6 apice carinulatis, angulatis, vel carinula compressa in dentem lamellarem minutum excurrentibus; segmentum mediale utrinque obtuse-costatum. Primi segmenti tympana grandia margine infero leviter liberato.

♂. Pronoti pars postica frequentius tumida margine postico ad inferum deflexo. Lamina supraanalis acute cordiformis, sublanceolata. Lamina infragenitalis sat minuta, a latere piriformis,

Long. 74, ♂ 57; Pron. ♀ 19, ♂ 15; latit. ♀ 25, ♂ 22; metathor. latit. ♀ 29, ♂ 24; El. ♀ 16, ♂ 20; Fem. ♀ 34, ♂ 29; latit. ♀ 19, ♂ 17 mill.

Var. *minor*. ♂, long. 44; Pron. 13; El. 15; Fem. 24 mill.

Var. *A*. Corpus scaberrimum, verrucosum, dense granulosum. Pronotum ad sulcum typicum depressum, crasse carinatum, carina arcuata denticulata; metazona posterior tumida, margine postico valde ad inferum deflexo, cantho supero tuberculato. Segmenta abdominalia apice valde carinata; segmentum primum abdominis 5-costatum. Costa facialis supra antennis prominula, vertex ante oculos carinato-marginatus, dente oculari grossa. Pedes antici et femora postica nigro-fasciata.

B. Corpus tenuiter sabulosum, sparse granulosum, minute tuberculatum. Pronotum tenuiter carinatum, carina granulosa. Abdomen leviter carinatum. Costa facialis planiuscula.

C. Corpus læviusculum subtilissime granulatum (♂).

D. Pronotum utrinque lateraliter valde bicostatum.

E. vel haud costatum (♂).

F. Pronotum postice planum margine appresso.

G. vel postice tumidum margine fere perpendiculariter deflexo.

H. Frons et cranium subtiliter sulcata.

I. Prosterni margo muticus, rectus.

K. vel bidentulus, vel unidentatus, vel processum medium gracilem emittens.

L. Femora postica in individuis minoribus minus lata, margine inferiore parum arcuato.

Larvæ et subimagines imaginibus conformes.

Africa meridionalis; Terra Namaquensis; desertus Karoo. — Angra Pequena.

2. *M. fallax*, n.

♂. Minor, minus dilatatus, scaber. — Antennæ depressiusculæ. — Pronotum retro parum ampliatum, margine anteriore obtusangulo superficie tuberculosa, inæquali. Sulci 3 omnes perspicui; posticus undatus, impressiones 2 oberens. Metazona fere acute tuberculosa, canthis lateralibus sat explicatis. Margo posterior ad inferum acute deflexus in medio subdentiformis, in cantho supero utrinque tuberculos acutos vel spinulos 3-4 submarginales, superos, gerens. Lobi laterales superius distincte costati. — Prosterni margo in medio dentibus 2 teretibus rite separatis hebetatisque armatus. — Elytra apicem tertii abd. segmenti attingentia. — Pedes antici punctati, haud granulati; femora obsoletissime granulosa. Femora post. quam in *M. Anderssonii* valde minora ac minus dilatata (eorum latitudo longitudinem dimidiam haud æquans) area superiore externa latitudinem oculorum æquante, margine superiore tantum 12-spinoso; area inferiore basi et apice attenuata; margine infero regulariter arcuato, apice ut in specie laudata haud subito rotundato. — Abdominis segmenta apice supra magis compresso-dentata quam in *M. Anderssonii*. — ♂ Long. 37-42; Pron. 11-14; latit. 12-15,5; El. 16-19; Fem. 19-21; latit. 8,5-9,5.

Var. — *a.* Pronotum frequenter valde carinatum, carina a latere per sulcum typicum valde sinuata, in metazona arcuato-cristulata. Abdominis segmenta apice cristato-carinata. — *b.* Corpus scaberrimum.

Africa meridionalis; Terra Namaquensis, a Dom. Peringuey lecta.

Cette espèce est fort embarrassante. J'en ai vu plusieurs individus mâles, mais sans aucune femelle qui puisse se rapporter à cette forme. Elle se trouve dans les mêmes régions que le *M. Anderssonii*. N'est-ce là qu'une forme du mâle de ce dernier ou bien la femelle ne diffère-t-elle de l'*Anderssonii* que par des caractères minimes, insaisissables au milieu des variétés de cette espèce, c'est ce que je ne saurais dire. Quoi qu'il en soit, ces mâles se distinguent à première vue à l'étroitesse relative du bord postérieur du pronotum, ce qui par opposition fait paraître la tête et les yeux plus saillants. La taille est souvent fort petite.

77. Genus **Bufonacris**, Walk.

Bufonacris, Walker, Cat. B. M. Derm., Salt., Suppl. 1870, p. 89.

Corpus crassum, ovatum, latissimum, valde depressum, apterum. — Antennæ graciles, modice longæ. — Caput perpendiculare, ab antico planatum. Costa facialis obsoletissima. Foveolæ antennales ab oculis valde remotæ. Oculi superi, globosi. Ocelli ab oculis remoti. — Pronotum larviforme, valde transversum, posterius totum transverse truncatum, mesonotum liberans, lateraliter ad canthos dorsales costatum. Metazona brevissima, marginalis. — Femora postica modice lata, marginibus lamellari-dilatatis, parum crenatis. Tibiæ posticæ multispinosæ, spina apicali externa minuta, ad superum rejecta. Cerci minuti. Valvulæ genitales ♀ haud dilatatæ.

Ce genre se rapproche beaucoup par ses formes singulières du genre *Lathicerus* et plus encore du genre *Lilaea*. Il diffère du premier par son pronotum plus court qui laisse le mésonotum à nu, et par les caractères de groupe et de genre, en particulier par la présence de l'épine apicale et par des épines petites et nombreuses au bord externe des tibia postérieurs; par ses antennes grêles et assez longues et par l'absence de coulisses au front, etc. — Comparez le genre *Lilaea* (page 99).

La côte faciale est ici en partie indiquée, elle est large, épatée et se dilate sous une forme orbiculaire autour de l'ocelle, comme chez les *Papipappus*. (Comp. Prodrum. Pl. I, fig. 3.)

1. B. terrestris, W. (Fig. 15) — Fr. Walker! l: l. p. 89.

Ochracea, ovato-rhomboidalis vel piriformis, anterius cum capite rotundata. Antennæ filiformes, pronoti longitudine, 20-articulatæ? Caput lævigatum. Vertex brevissimum, scilicet anterius convexus, declivis, planus, scutello nec explicato nec marginato. Facies a latere in medio haud sinuata. Costa facialis tantum ad verticem inter foveolas antennales et ad ocellum perspicua; hic dilatata rotundataque. Foveolæ antennales reniformes, in media altitudine faciei sitæ. Ocelli minimi, haud marginati.

Pronotum trapezinum, quam longius duplo latius sulcis dorsalibus nullis. Metazona transversa angustissima, marginalis, margine postico transverso, vix arcuato, serie granulorum remotorum prædito. Canthi laterales obliqui, prominuli, saltem anterius hebetati, per sulcum intermedium intersecti. Lobi laterales sulco unico (intermedio) notati, postice late rotundati, anterius oblique secti. — Mesonotum quam pronotum latius, breve, totum nudum, scilicet a pronoto nullomodo obtectum,

canthis lateralibus crenulatis. — Metanotum paulo angustius, cum segmento mediale confusum, ab illo tantum per sulcum separatum. Thorax superne granosum et margine postico segmentorum serie granulorum remotorum obsito.

Femora postica marginibus arcuatis; supero magis posterius arcuato, subcrenulato, infero magis posterius arcuato, subundulato. Tibiæ post. sanguineæ, extus spinis 13. Arolia tarsorum grandia.

Abdomen depresso-conicum, acutum. — ♀ Lamina supraanalis acute trigonalis, vel late lanceolata. Valvulæ genitales normales, acutæ, haud dentatæ. — ♂ Thorax rugulosus. Femora antica et intermedia sat crassa. Abdomen triseriatim, saltem basi in medio subcarinatum. Lamina infragenitalis trigonali-conica.

Long. ♀ 30, ♂ 22; latit. ♀ 13.5, ♂ 11; Fem. ♀ 17.5, ♂ 12.5 mill.

Africa meridionalis; (Possession Bay); terra Namaquensis ¹.

78. Genus **Eneremius**, n.

Corpus crassiusculum, teres, nec depressum, nec compressum, terrosus, pubescens. Antennæ graciles, longiusculæ, inter oculos exsertæ.

Caput perpendiculare, facie leviter sinuata. Vertex inter oculos parum latus, concavus, carinato-marginatus, ante oculos dilatatus, in medio ad costam frontalem quadrato-productus. Tempora cum vertice confusa. Carinæ infra-ocellares et costa facialis explicatæ; hæc parallela, inter antennas prominula. Frons ad antennas utrinque excavata. Oculi majusculi, elliptici. Ocelli ab oculis minime remoti, ad margines verticis positi. Facies ad ocellum utrinque sulco transverso prædita. Genæ infra oculos sulco undato ad mandibularum angulum anticum ducto exaratæ.

Pronotum transversum, anterius valde attenuatum, posterius transversum, mesonoti marginem liberans, superne sulcis 2 transversis obsoletis, lateraliter 3 distinctis instructum. — Prosterni margo rotundatus, haud lamellari-reflexus. Mesosterni lobi arcuato-trigonales, acuti.

Pedes breves. Tibiæ intermediæ latere supero inermes. Femora postica marginibus haud dilatatis. Tibiæ posticæ apice utrinque spina apicali instructæ. Calcaria

¹ Cet insecte est indiqué par Walker comme venant du détroit de Magellan, ce qui n'est guère admissible, les Éremobiites n'habitent pas les régions froides. Il existe une *Ile de la Possession* au détroit de Torres, entre l'Australie et la Nouvelle-Guinée, mais l'indication par moi recueillie au British Museum suivant laquelle cet insecte serait de la côte d'Afrique est de beaucoup la plus probable.

per pares inæqualia; externa quam interna valde breviora; externa et interna interse subæqualia.

Abdomen conicum; primo segmento tympanis destituto, secundo scutellis corneis nullis. Valvæ genitales ♀ superæ depressiusculæ, supra tuberculatæ; inferæ compressæ, graciles, extus lobatæ.

Ce genre décaractérise un peu le groupe des *Éremobiites*. En effet les ocelles placés très près des yeux le feraient classer parmi les *Oedipodites*, au voisinage du genre *Pappus* dont il a tout le habitus, si la présence aux tibias postérieurs d'une épine apicale externe même assez forte, ne lui assignait clairement sa place parmi les *Éremobiites*. Les *tempora*, qui sont fondus avec le vertex et forment de chaque côté de l'écusson facial un lobe arrondi, rappellent ce qui se voit chez les *Éremobia*.

I. *E. mutus*, n.

Rugosus, terreus. — Antennæ 17-articulatæ. Caput rugosum, sparse granosum. Cranium tuberculis minutis irregularibus conspersum in medio carinatum. Vertex subdeclivis, inter oculos et antè excavatus; ejus carinulæ marginales inter oculos parallelæ, retro in tuberculum desinentes; ejus pars anterior ante oculos dilatata, utrinque rotundato-lobata, dehinc utrinque rectangulatim incisa, in medio quadrato-producta et cum costa faciali continua. Costa facialis parallela, infra ocellum tamen quam ad frontem angustior, marginibus undulatis; ad frontem a latere prominula, cum vertice angulum obtusum rotundatum efficiens. Ocellus costalis subprominulus. Genæ infra oculos punctatæ.

Pronotum brevissimum, transverse fornicatum, sparse granosum et verrucatum, leviter carinatum; sulco postico subtili, intermedio obsoleto. Margo anterior minute incisus, posterior transversus, verrucosus, in medio subsinuatus, subundatus. Lobi laterales paralleli, inferius et postice punctati, posterius late rotundati, margine infero antè obliquo vel sinuato.

Mesonotum leviter prominulum. Metanotum et abdominis prima segmenta rugosa, granosa et verrucosa, lateraliter rugato-scabra, marginibus lævibus. — Meso et metapleuræ crasse rugoso-punctatæ. — Metasternum ad marginem anteriorem in medio foramine unico, ad sulcum umbilicæ foraminibus 2 punctiformibus notatum.

Pedes antici læviusculi, nigro-fasciati et punctati. — Femora intermedia compresso-crassiuscula, haud carinata. — Femora postica brevia, latiuscula, marginibus regularibus, supero remote-serrulato, infero integro. Latus externum in carinulis nigro-punctatum; latus internum in area media macula elongata nigra. Tibiæ post. graciles, spinis intus 10, extus 8, apice nigris; spina apicali externa modice valida,

tantum apice imo nigro; penultima ab illa remota; spinæ basales 3-4 breviusculæ. Arolia inter ungues tarsorum grandia.

Abdomen carinulatum, segmentis 2^o-4^o superne trigono prominulo calloso instructis. Lamina supraanalis convexa, punctata, ejus pars apicalis trigonalis apice sulcata ac hebetata. — Valvæ genitales graciles, apice minute nigræ. Superæ superne planæ, rugulosæ, in medio tuberculo compresso transverso; inferæ compressæ, supra carinatae, inferius extus dente rotundato. Ultimum segmentum ventrale elongatum, basi sulco arcuato.

Africa meridionalis-occidentalis; Angra Pequena.

Genus **Brachystola**, Scudd. — Sauss. Prodrôm., p. 240; 61.

Ce type occupe comme nous l'avons vu une position tout à fait séparée dans la légion des Eremobitiens. Il semble, il est vrai, offrir quelques affinités avec le genre *Haplotropis*, (Cp., p. 125), et la forme du pronotum rappelle les *Methone*, mais tous ses autres caractères l'en éloigne, aussi bien que des autres genres du groupe.

Nous compléterons comme suit la diagnose de ce genre intéressant :

La tête est un peu oblique, le crâne régulièrement convexe jusqu'à l'extrémité du vertex, lequel est bordé en avant par une arête angulaire vive. Les yeux sont ovales et très latéraux. Les fossettes antennaires sont très grandes et profondes. Les facettes supraantennaires sont latérales, perpendiculaires et renferment les ocelles qui sont très écartés des bords du vertex et des yeux. A côté des antennes on distingue des carènes sous-ocellaires très courtes. La face est plate et lisse, ensorte qu'il n'existe pas de côte faciale, à moins qu'on ne veuille envisager comme telle l'espace en triangle lancéolé qui subsiste entre les fossettes antennaires, et dont les fossettes sous-minent les bords latéraux, en sorte que ceux-ci sont débordants par-dessus la base des antennes. (Cette côte faciale pour ainsi dire négative rappelle ce qu'on voit chez les *Crypsicerus*). Le pronotum est tricaréné dans toute sa longueur. Les métapleures sont parcourus en dessus par un sillon oblique partant des élytres et bordés en dehors d'une carène lisse et calleuse; leur bord postérieur est saillant et un peu denticulé, comme chez les *Methone*.

Le prosternum n'a pas son bord antérieur réfléchi, mais il porte sur son disque, vers le bord antérieur, un faible tubercule très arrondi, obsolète et très peu saillant. Le très large métasternum a ses perforations très écartées, très petites, punctiformes et réunies par un sillon arqué en avant. L'ombilic est fondu avec la pièce postérieure.

Les pattes antérieures ne sont pas comprimées: leurs tibias portent en dessous, de chaque côté 2 éperons et 5-8 épines. Les pattes postérieures, très longues et fortes, sont très saltatoires; leurs fémurs épais ont des bords entiers, avec l'arête interne entière, non crénelée. Les tibias postérieurs sont armés d'épines plus nombreuses que d'habitude (9:12), et d'éperons robustes; le supérieur-interne est le plus grand, et sensiblement plus long que l'inférieur. La plante des tarses est assez plate, et cannelée

comme chez les *Methone*, ne formant pas de pelottes tuberculiformes. Aux tarses postérieurs le premier article est cylindrique, subdéprimé en dessus.

Les cerci sont rudimentaires dans les deux sexes, ♀ comprimés et lamellaires, ♂ coniques. Les valves génitales des femelles sont lancéolées; les supérieures comprimées en dessous, assez plates en dessus, lisses et ponctuées, carénées au bord externe, à pointe graduellement atténuée, un peu arquée en dedans; les inférieures grêles, comprimées, à bord inférieur externe un peu dilaté et arqué vers la base.

L'appareil musical ne semble pas exister, mais on en trouve comme une réminiscence dans certaines inégalités des côtés de la base de l'abdomen. Le bord postérieur du premier segment est, de chaque côté vers le bas, épaissi en bourrelet; le bord antérieur du 2^{me} est occupé par un bourrelet perpendiculaire corné, un peu rugueux, ponctué, strié vers le haut, creusé vers le bas d'un profond sillon élargi en fossette et renfermant le stigmate; en outre le bord inférieur du segment est réfléchi en dehors, formant une crête mousse et crénelée. — On serait tenté de voir dans le bourrelet l'analogue de la plaque stridulatoire des *Eremobites*, mais les fémurs postérieurs n'offrent à la base qu'une surface lisse et ne paraissent pas propres à provoquer aucune stridulation.

Les *Brachystola* habitent les steppes et les prairies de la région tempérée de l'Amérique du Nord. — (Cp., p. 107, 114, 119.)

Synopsis specierum.

- a.* Majores. Elytra ♀ ♂ rotundata; femora postica ♂ crassissima.
b. Major; pronoto posterius subarcuato. Elytra virescentia, nigro-punctata. Spinæ tiliarum apice nigra:..... 1. *magna*, Sc.
b.b. Minor; pronoto posterius producto, arcuato. Elytra nigra, flavo-venosa. Spinæ tiliarum posticarum nigra 2. *Behrensi*, Sc.
a.a. Minor, prasina, supra nigro-maculata. Elytra nigro-punctata (in maribus angusta). Femora postica ♂ modice incrassata ¹ 3. *virescens*, Ch.

2. Br. Behrensi, Scudd. — Proc. Bost. Soc. N. H. XIX, 1877, p. 33, ♂♀.

Br. magnæ, paulo minor, de reliquo illi simillima.

Color et pictura in utræque species consimiles. Corpus viride vel olivaceum, vel in desiccatis fulvescens. — Carinæ verticis et pronoti nigræ; lobi laterales pronoti superne umbrati, plagia antica fusca, margine infero pallidiore. Abdomen superne vittis 3 fuscis, 2 luteis.

Variat pronoti dorso obscure fusco, flavido-consperso; lobis lateralibus nigris, marginibus anguste, infero late, flavidis; femoribus posticis transverse fulvo et nigro notatis, apice nigris.

Specierum duarum contentio ut sequitur in conspectu ponenda est :

¹ Secundum figuram Charpentieri.

2. B. Behrensi, Sc.

Antennæ ♂ quam caput et pronotum computata longiores. Pronotum antice et caput magis compressa. Costa facialis angustior, marginibus lateralibus subrectis, superne fere complete convergentibus, ad verticem minute truncata. Vertex convexus, a latere visus et antice arcuatus, cum costa faciali minus angulatus, antérie minus elevate marginatus, apice angulo minus truncato.

Pronotum dorso obtuse tectiformi, carina acutiore, a latere visa subarcuata; canthis lateralibus minus prominulis, antrorsum magis convergentibus et magis sinuatis, antrorsum intus arcuatis, retrorsum usque a sulco intermedio subrectis. Margo posterior magis productus, arcuatus vel obtusissime angulatus. Lobi laterales minus rugosi, margine postico vix sinuato, pago anteriore polito sparse obsolete granuloso, pago posteriore intricato-ruguloso.

Elytra minora, quam abd. 1^m segmentum breviora, superne invicem remota, nigra, venis viridibus.

Femora post. minus crassa, marginibus fere rectis; area externa canteriis¹ circiter 20, in angulis incisus vel sulcatis.

Tibiæ post. spinis internis totis nigris.

Long. ♀ 55, ♂ 46-50; pron. ♀ 17,5, ♂ 15,5; El. 8, latit. 6,7; Fem. ♀ 26, ♂ 31 mill.

Mexico septentrionalis orientior; Durango; Sinaloa, (coll. Brunn. n° 15.036).

Thomas, ap. Geogr. a. Geol. Explor. a. Surveys west of the 100th merid. (Wheeler's Rep.) V, Zool. 1875, p. 886, suppose, sans doute à tort, que cette espèce n'est qu'une variété du *B. virescens*.

¹ Vel carinulis pennatis (Chevrons).

1. B. magna, Sc. — Saus., Prodr. p. 241; 1.

Antennæ ♂ quam caput et pronotum haud longiores. Pronotum antice et caput minus compressa, hoc validum. Costa facialis latior, marginibus arcuatis, superne minus convergentibus, ad verticem latiuscule truncata.

Pronotum dorso fere plano, utrinque vix declivi, grossius granulato; carina crassiore, a latere visa postice recta, ante sulcum typicum subgibbosa (♂) vel arcuata; canthis lateralibus fortioribus, fere rectis, minute undatis. Margo posterior transversus, minime arcuatus. Lobi laterales magis rugosi, margine postico sinuato; pago anteriore et posteriore verrucoso-granosis.

Elytra paulo majora, 1ⁱ abd. segmenti longitudine, in dorso invicem parum remota, viridia nigro-maculosa.

Femora post. ♂ crassissima, marginibus arcuatis; area externa canteriis angulatis crassioribus circiter 16.

Tibiæ post. spinis apice nigris.

Long. ♀ 69, ♂ 65; Pron. ♀ 17, ♂ 16; El. ♀ 10, ♂ 11; latit. ♀ 7,5, ♂ 9; Fem. ♀ 28, ♂ 32 mill.

Texas, Colorado, etc.

Cet insecte est, avec ses congénères, le plus gros et le plus lourd des criquets de l'Amérique du Nord. Il est partout connu sous un nom populaire. La pesanteur de ses formes lui a fait donner, à l'ouest du Mississippi, le nom de *Buffalo-hopper*, par comparaison avec le bison, qui habite les mêmes prairies. Comme les Eremobiites en général, il paraît être assez maladroit dans la fuite. De là le nom de *lubber grasshopper* (criquet maladroit), sous lequel il est également connu. — Pendant le gros du jour, il se tient blotti à l'ombre des touffes d'herbe. (L. Brunner, Bull. of the Washburn Coll. I, 184, 58.)

APPENDIX

A. ADDENDA ET EMENDANDA

1. *Arphia tenebrosa*, Scud. (nec Saussure). — *Oedipoda tenebrosa*, Scudd. ap. U. S. Geol. Survey of Nebraska, 1872, 251; Pl. I, fig. 2, ♀; *Id.* Thomas U. S. Surv. of Montana, 1872, 459; Pl. I, fig. 2, var. — *Tomonotus pseudo-nictanus*, Thom. Proc. Acad. Philad., 1870, 82; *Id.*, U. S. Geol. Surv. of Wyoming, 1871, 279. — *Tom. mexicanus*, *Id.* Proc. Acad. Philad., 1870, 82. — *Tom. tenebrosus*, *Id.* Synops. Acrid., 107; *Id.* U. S. Geogr. Geol. Surv. west of the 100th merid. under charge of Capt. Wheeler, 1875, V, 874; Pl. 43, fig. 4, ♀; *Id.* U. S. Geol. Surv. of Territ., 1878, IV, 482; *Id.* Uhler, U. S. Geol. Surv. of Territ. 1877, III, 795. — *Arphia sanguinaria*, Stål, Recens. I, 119, 2; *Id.* Sauss. Prodrum., 68, 6.

Espèce voisine par sa taille et ses formes de l'*A. sulphurea*, B., avec les ailes entièrement noires, à disque basilaire rouge, mais bien différente de l'espèce que nous avons décrite sous le nom *tenebrosa* d'après une fausse étiquette. — Partie orientale des États-Unis; Californie; Ile Vancouver; Souris Riv. (frontière nord); Colorado; Wyoming; Nebraska; Kansas. — Nouveau Mexique.

2. *Arphia ovaticeps*, n. — *A. tenebrosa*. Sauss. Prodrum., 68, 7 (synon. exclus.).

J'avais confondu cette espèce avec l'*A. tenebrosa*, Scud. Jusqu'à nouvel ordre je la considère comme nouvelle. Elle se distingue par la forme bombée et arrondie de sa tête, et diffère en outre de l'*A. tenebrosa* par ses élytres semés de points noirs jus-

qu'au bout et par ses ailes à extrémité étroitement hyaline et réticulée de nervures noires. — Colorado (Mus. de Genève).

3. *Tropilodophus formosus*, Say. (Sauss. Prodrôm., p. 104; 1). — *Cyrtolopha formosa*, Stål, Recens. I, 118, note. — *Oëdipoda formosa*, Thomas, ap. U. S. Geol. Surveys west of the 100th merid. (Wheeler's Rep.), V, 1875, p. 885.

L'auteur signale une variété à organes du vol raccourcis.

4. *Edaleus (Gastrimargus) Dohrnianus*, n.

OE. acutangulo formis haud dissimilis. Ochraceus, fusco-strigatus. Vertex convexus, subplanatus; scutello obsolete callosomarginato, cum costa faciali continuo, carinulam depressam λ -formem obsoletissimam obferente. Costa facialis lata, parallela, planula, lævigata, parum punctata, supra ocellum nonnunquam vitta fusca. Genæ oblique fusco-lineatæ et fasciatæ.

Pronotum antice valde angulatum; processu postico angusto, longissimo, acutissimo. Crista valde elevata, subrecta, anterieus subarcuata, utrinque punctata; dorsum de reliquo granulatum, vitta media lata fusca (in prozona maculam retro-biangulatam, in metazona fasciam lanceolatam efficiente). Lobi laterales angustissimi, paralleli, quam longiores valde altiores, angulo posteriore rotundato, in medio infuscati.

Elytra femora paulum superantia, fusco-maculata, dimidia parte proximali confertim reticulata, fusca, maculis vel fasciis 2 flavidis; dimidia parte distali submembranacea, maculis 2 magnis fuscis nec non plurimis aliis elongatis in venis positis. Furca venæ ulnaris angustissima, per venam spuriam divisa. Campus analis luteus margine basi fusco. — Alæ subhyalinæ, per vittam arcuatam latissimam profunde nigram subviolascentem divisæ, marginem posticum angustissime obsolete liberantem; apice nigro-maculoso et spurcato; disco basali minore, cœrulescente, venis cœruleis.

Femora postica robustissima, basi quam in reliquis speciebus latioribus crassioribusque; marginibus binis, inferiore tamen subtilius, serrulatis; carinulis omnibus nigro-maculatis; area externa nigro 3-fasciata; lateris interni area media nigra apice excepto, area infera sanguinea. Tibiæ post. sanguineæ, spinis apice nigro 11:10; calcaribus valde inæqualibus, internis quam externa valde longioribus; arolia inter unguis modice grandes, postica minuta rotundata, subglobosa.

♀ Long. 43; Pron. 12,3; El. 39; Fem. 21,5 mill.

Africa meridionalis, Transvaalia. (Mus. Dom. H. Dohrn).

Espèce remarquable par ses formes et par sa livrée fortement accusée. La tête rentre

absolument dans le type de l'*Æ. marmoratus*; le pronotum appartient à celui de l'*Æ. verticalis*, ayant son processus très aigu, ses lobes latéraux étroits et parallèles et même plus étroits, avec le bord postérieur plus perpendiculaire encore que chez l'espèce citée, d'où résulte que le processus est plus long et le reste du dos du pronotum plus court, que chez cette espèce, le processus formant la moitié de la longueur du pronotum. La crête prothoracique est notablement plus élevée que chez l'*Æ. verticalis*. Les fémurs postérieurs ont leur base plus renflée que dans aucune autre espèce du genre et à bord supérieur plus arqué.

Je dois la connaissance de ce magnifique insecte à l'obligeance de M. H. Dohrn. Il vient se placer à côté des *Æ. marmoratus* et *acutangulus*. (Cp. Prodrum. p. 109).

5. *Pachytylus cinerascens*, F. — Sauss. Additamenta, p. 43, n° 7.

Suivant Stein, cette espèce devrait prendre le nom de *Danicus*, Linné l'ayant distinguée et décrite sous ce nom. — Ce *Pachytylus* s'avance occasionnellement assez loin vers le nord. Bruten l'a signalé en Belgique, et Rambek en Angleterre dans le Yorkshire. — Scudder (C. R. de la Soc. Ent. de Belg. t. 21, p. v, vi, et Psyche, II, p. 124) relate qu'un vol d'insectes de cette espèce est tombé en masse sur un vaisseau à 1200 milles des côtes. Ce fait vient à l'appui de ce qui est dit ci-dessus, p. 12, à propos de la dispersion des espèces migratoires.

6. *Dissosteira utahensis*, Thom., U. S. Geogr. Geolog. Surveys, west of the 100th merid. (Wheeler's Rep.), V, Zool., 1875, p. 883; Pl. 44, fig. 2.

D. carolinæ formis simillima, at pronoti crista et femorum posticorum carina supra paulo altioribus. — Brunea, fusco-punctata. Pronoti crista valde elevata, per sulcum typicum profundissime oblique fissa. Elytra abdomen valde superantia, fusco-punctata. Alæ sulfureæ, ultra medium fascia arcuata nigra latissima, tertiam partem longitudinis alarum tegentia, vittamque humeralem latam et valde abbreviatam emittente; apex vitreus nigro-venosus. Femora post. extus superius fusco-punctata. — ♀. Long. 30; cum elytris 51; El. 28; Fem. 19 mill. — Utah.

Cette espèce appartient au groupe de la *D. carolinæ*. La figure montre que la crête prothoracique est fortement échancrée par une fente oblique et que l'extrémité de la carène prozonaire forme une dent aiguë dirigée en arrière.

7. *Pycnodietya citripennis*, n.

Crassa, sabulosa, fulvo-fuscescens. *P. Galinieri* statura et formis affinis at minus rugosa.

Caput valde rotundatum, antice obsolete granulatum, postice lævigatum, facie subarcuata. Verticis rugæ et costa facialis quam in specie laudata obsoleteiores. Scutellum verticis duplo-pentagonale; costa facialis ad frontem latissima, infra ocellum angusta ac evanida. Carinæ infra-ocellares tenues, magna parte rectæ.

Pronotum parum rugosum, obtusius tectiformiter carinatum. Prozona supra subtiliter rugulosa, margine antico elongato-granulato, carina humili, recta. Metazona convexa, punctata et verruculis politis conspersa, his in lateribus elongatis; carina tenui; processus marginibus levissime arcuatis, pone humeros subsinuatis. Lobi laterales, paralleli, quam in specie laudata paulo minus angusti, angulo posteriore rotundato.

Elytra opaca, densissime reticulata, cinerea, fasciis 2, nec non nubecula subapicali fuscis; parte apicali membranacea minus oblique secta. — Alæ disco basali læte citrino-aurantio; vitta media lata nigra, anterieus subdilata, posterius arcuata marginem includente; apice et margine exteriore hyalinis, leviter griseo-maculosis.

Pedes pubescentes. Femora postica illis *P. Galinieri* consimilia, margine infero paulo minus lato; area supero-externa granulata, latere interno sanguineo. Tibiæ post. et tarsi rubri vel violacei, spinis tibiæ apice nigris, ultimis validis; calcaribus quam in specie laudata validioribus, per pares minus inæqualibus.

♀ Long. 38; Pron. 9,2; El. 34-35; Fem. 19 mill.

Africa occidentalis, Sierra-Leone. (Mus. Dom. H. Dohrn.)

S. *Edipoda Fedtschenki*, Sauss. Prodr. p. 150, 3.

Var. Grisea, tuberculata. Tempora elliptico-piriformia vel irregularia. Elytra nigro-bifasciata. Alæ splendide carmineæ, fascia transversa nigerrima sat lata, posterius in margine evanida, scilicet intus haud continua, vittam humeralem latam ac longam emittente; parte apicali vitrea vix spurcata. ♂. — **Turquestania**. (Mus. H. Dohrn.)

9. Genus *Trachyrrhachis*, Prodr., p. 162; Additam., p. 52; 12. — Le genre *Mestobregma*, Scudd., Bullet. U. S. Geogr. Geol. Surveys of the Territor., II, 1876, 3, p. 264, rentre probablement dans notre genre *Trachyrrhachis*; en effet, la *Trachyrr. Kiowa*, Sc. (Sss. Prodr., 164, 6; Additam., 59, 6) = *Psinidia Kiowa*, Thomas U. S. Geol. Surv. west of the 100th merid. (Weeler's Report), V, 1878, p. 885 (Utah), a pour synonyme: *Mestobregma Kiowa*, Thomas, Proceed. Davenport Acad. of Nat. Sc., I, 1876; 256, 15.

10. *Leprus Wheeleri*, Thom. — *OEdip. Wheeleri*, Thomas, l. l. (Wheeler's Rep.), 879, Pl. 44, fig. 1, ♀.

Fulvescens; fusco-varius, capite et thorace parce nigro-punctatis. — Caput lævigatum; vertex inter oculos latus, tuberculo minuto cariniformi instructus, scutello obsoletissimo; costa faciali plana, lata, a facie vix discreta. — Pronotum minute tuberculato-scabrum, carina dorsali nulla; metazona prozonæ vix longiore (?) postice rectangula, canthis lateralibus rotundatis, subobsoletis. — Elytra abdomen paulum superantia, subangusta, transverse 4-5-fusco-fasciata, ultra medium inter fascias lutea, omnino dense coriaceo-reticulata, tantum quinta parte apicali membranacea; vena axillari cum v. anali confluente. — Alæ flavæ; fascia lata arcuata nigra, limbum posticum includente, apice lobos 3 hyalinos anguste liberante, sensim ultra mediam costam oriente, anterieus latiore. — Femora postica latissima, punctis rarioribus nigris; tibiis luteis (cœruleis?). — ♀ Long. 45; El. 36; Fem. 22 mill. — **Nova-Mexico.**

Cette espèce semble se distinguer des espèces connues par sa tête lisse. — La livrée des élytres, telle quelle est décrite et figurée par l'auteur, est typique du genre. La première moitié de ces organes est partagée par une bande brune; la seconde moitié est occupée par trois bandes brunes plus rapprochées et séparées par des espaces blanchâtres; la première de ces trois bandes est élargie en arrière contre la veine anale. Les ailes ont leur disque coloré très large, la bande noire se trouvant placée au delà du milieu du bord antérieur.

Les genres *PSOLOESSA*, Scud. Proc. Bost. Soc. of N. H. XVII, 1875, 512, et *STIROPLEURA*, Scudd. U. S. Geogr. Surveys west of the 100th merid. 1876, Append. II, p. 510, me sont inconnus; de même que le genre *AULOCARA*, U. S. Geol. Surv. of the Territ. 1876, II, 266, 26. Ces genres, ayant le pronotum tricaréné, semblent se rapprocher de la tribu des Tryxaliens.

Le genre *Glyphanus* (Additam., p. 112) rentre plutôt dans le cas des *Eremobia*, *Cuculligera*, etc., attendu que le pronotum ne conserve pas la forme larvaire, mais qu'il est muni d'un véritable processus. Il y a donc probablement dans ce genre perte des organes du vol plutôt que développement incomplet, de même que chez les *Batrachotettix*, aptères.

**B. SPECIES MIHI NON SATIS NOTÆ SEU IN OPERIBUS DESCRIPTÆ
QUÆ INSPICERE NON LICUIT.**

1. HIPPISCUS MONTANUS, Th. — *Ædipoda montana*, Thomas, U.-S. Geol. Survey of Montana, 1872, 462. — Id. Synopsis Acrid., p. 129.

Brunco-rufescens. Vertex latus, scutello subquadrato, transverso, minute tuberculato; apice depresso frequenter bifoveolato. Tempora distincta. Costa facialis lata, ad ocellum dilatata, infere sulcata. — Pronotum tuberculatum, quam in *Xanthippo Haldmani* minus rugosum.

Elytra apice semi-membranacea, sparse fusco-punctata, punctis confluentibus, vel obsoletis. Alæ rubræ, fascia arcuata angusta interrupta nigra, ante angulum internum evanescens, vittam humeralem latam ac longam emittente. — Femora post. fulvescentia, sat brevia, quam in *X. corallipede* minus lata. — ♀ long. 41; El. 36; Fem. 19 mill.

America borealis; Montana.

Cette espèce rentre dans le genre *Hippiscus* ou dans le genre *Xanthippus*.

Suivant l'auteur, elle se rapproche de l'*Ædip. paradoxa* (que nous avons considéré comme synonyme de l'*H. rugosus*) et du *Xanthippus corallipes*.

2. CTIPIHIPPIUS ARENIVOLANS, Butler, Proc. Zool. Soc. of Lond. 1881, p. 85. — Cap. Verd.

Petite variété de l'*Ædaleus nigro-fasciatus*? — ou var. de l'*Æ. senegalensis*?

3. ÆDIPODA HOFFMANII, Thomas, Synops. Acrid. p. 127; — Id. U.-S. Geol. Surv. west of 100th merid. (Wheeler's Rep.) 1875, V, p. 876.

Espèce décrite sur un individu fort détérioré, se rapprochant beaucoup suivant l'auteur de l'*Hadrotettix trifasciata*, Say.; s'en distinguant par son vertex plus ascendant, et par une petite dent aux angles latero-postérieurs du pronotum, ce qui correspondrait au genre *Conozoa*; mais dans ce dernier la carène du pronotum est forte tandis que chez l'*Æ. Hoffmannii* elle est très faible. — Suivant L. Bruner l'*Æ. Hoffmannii* se confondrait avec le *Hadrot. trifasciata*. (Bullet. of the Washburn Coll. I, 134, 57.)

4. TRACHYRHACHIS PLATTEI, Th. — *Ædip. plattei*, Thomas, Synops. Acrid. 123. — *Psiniidia plattei*, Thom. ap. U.-S. Surveys west of the 100th merid. (Wheeler's Rep.) 1875, V, 885. — *Mestobregma plattei*, Scudd. U.-S. Geol. Surv. of Territ., 1876, II, 264, 21. — Id. L. Bruner, Bullet. of the Washburn Coll. I, 134, 55.

Thomas suppose que cette espèce se confond avec le *Trachyrrhachis Kiowa*; mais ses ailes colorées l'en éloignent, et la rapprocheraient plutôt des *Ps. fuscifrons* et voisins.

5. OEDIPODA HAYDENII, Thom. U.-S. Geol. Surv. of Montana 1872, p. 460. — Id. Synopsis Acrid. 120. — Id. U.-S. Surveys west of the 100th merid. (Wheeler's Rep.) V, 1875, 882.

Grisea, nigro-punctata. Antennæ longiuseculæ, nigro-, et flavo-annulatæ. Caput et thorax rugulata. Vertex angustus; scutello elongato, carinato, cum costa frontali continuo; costa faciali tota sulcata, supra ocellum angustissima. Oculi prominuli, subglobosi. — Pronotum tricarinarum; carina dorsalis haud prominula; laterales tantum in metazona distinctæ; sulcus typicus superne subrectus in carina distincte impressus; prozona obsolete costata; metazona quam prozona vix longior, elongato-tuberculata processu rectangulo, hebetato. — Elytra abdomen superantia, angusta, campo marginali et anali nigro-punctatis. Alæ basi rubræ fascia modice lata arcuata nigra, postice intus abbreviata, vittam humeralem elongatam emittente. — Femora post. gracilia. — Long. ♀ 25, ♂ 20; El. ♀ 24; ♂ 20; Fem. ♀ 20 mill.

America borealis; Colorado; Wyoming.

Cette espèce rentre peut-être dans le genre *Trachyrrhachis*?

6. TRIMEROTROPIS FONTANA, Thomas, Proc. Davenp. Acad. of Nat. Sc. I, 1876, p. 255, 14; Pl. 14, fig. 5. — Scudd. U.-S. Geol. Surv. of Territ. 1876, II, 271.

Cinerea, fusco-fasciata. Vertex inter oculos oculorum latitudine. Tempora trigonalia. Costa facialis subparallela, ad ocellum subdilata. Pronoti prozona rugulosa. Elytra abdomen superantia, trifasciata. Alæ disco basali pellucente-flavo, fascia fusca semilunari, apice vitreo, fusco-venoso. Femora post. intus nigra, ante apicem fascia pallida. — Long. ♀ 38, ♂ 23; El. ♀ 38, ♂ 23 mill. — Utah; Fort Cañon, altitudine 7500 p.

La livrée des ailes rappelle plutôt celle des *Trachyrrhachis* que celle des *Trimerotropis*.

7. TRIMEROTROPIS VINCLATA, Scudd. Bost. Journ. of Nat. Hist. XVII, 1877 (1875-76), p. 270. — Id. 2^d Rep. U.-S. Ent. Comm. 1880, App. II, 27; Pl. XVII, fig. 11. — L. Bruner, Bullet. of the Washburn Coll. I, 134, 54.

Cinerea, fusco-conspersa. Pronoti carina tantum in prozona explicata, incisa; metazona posterius rugulosa, rectangula. Elytra pedes posticos æquantia, fusco-conspersa, basi pallida, subfasciata, triente apicali pellucente. Alæ disco basali pallide-citrino, pellucentes; fascia lata arcuata nigra, venis marginis externi nigris. Femora post. subfasciata; tibiæ flavidæ (cœruleæ?). Long. 28, ♂ 19; El. ♀ 30, ♂ 24; Fem. ♀ 13,5, ♂ 11 mill. — California inferior; Wallula; Mexico.

A tort ou à raison nous avons placé cette espèce en synonyme de la *Tr. cineta*. (Cp. Prodrom. p. 171.)

8. *TR. LATIFASCIATA*, Scudd, 2^d Rep. of the U.-S. Entom. Commiss. 1880, App. II, p. 26.

Pronoti carinula in prozona sat prominula, in metazona distincte perspicua, postice evanescentes. Elytra fasciata. Alæ basi pallide-sulfureæ, vel lacteæ, apice vitreo, venis nigris; fascia media nigra latissima, transversa, tertiam partem costæ tegente, posteriorius intus arcuata, marginem posticum liberante. — ♀ Long. 29; El. 32; Pron. 6 mill. — Washington territory; Wallula; Utah.

Espèce de taille moins forte que la *T. laticincta* avec la bande noire des ailes plutôt transversale qu'arquée, à bord externe droit ou subsinué.

9. *TRIMEROTROPIS SIMILIS*, Scudd., *Ibid.*, p. 27.

Tr. fontaneæ simillima; alarum fascia nigra sat angusta, distincte delineata, posteriorius ad angulum internum producta, vittam humeralem emittente; margine costali ultra fasciam fere ad apicem nigra. ♂ Long. 18,5; El. 22; fem. 9 mill. — Washington territory; Wallula.

10. *TRIMEROTROPIS CÆRULEIPES*, Scudd. *Ibid.*, p. 27.

Obscura, subtus pallida; pronoto granulato, ejus carina percurrans. Elytra subfasciata. Alæ basi sulfureo-virescentes, apice vitreæ vel nebulosæ, venis nigris; fascia media anguste fusca, vittam humeralem elongatam emittente, marginem posticum liberante; costa ultra fasciam nigra. Femora post. fasciata. Tibiæ cæruleæ, basi fusco et flavido maculosæ. — Long. ♀ 25, ♂ 19; El. ♀ 26, ♂ 21 mill. — Oregon; California.

11. *TR. CÆRULEIPENNIS*, L. Bruner, Canadian Entomologist, t. XVII, p. 10. — Amer. bor.; Montana; Utah. Wyoming, Idaho.

12. *TRIMEROTROPIS ? LAUTA*, Scudd., Bost. Journ. of N. H. XVII, 1877 (1875-76), 271.

Grisea, valde fusco-punctata. Pronoti prozona postice tuberculata. Elytra pedibus posticis vix breviora, submembranacea, fusco-punctata et obsolete punctato-bifasciata. Alæ vitreæ, apice in areolis nonnullis fusco-maculatæ. Femora post. bifasciata. — ♂ long. 15,5; El. 18; fem. 8,5 mill. — California inferior.

La livrée des ailes serait plutôt celle d'une *Psinidia* ou d'un *Circotettix* que celle d'une *Trimerotropis*.

13. *CIRCOTETTIX ? SPARSA*, Th. — *Ædipoda sparsa*, Thom. ap. U.-S. Geol. Surv. west of 100th merid. (Wheeler's Rep.) 1875, V, 883.

Griseo-fulvescens. Oculi magni, prominuli. Costa facialis parallela. Pronotum carinatum, carina in prozona intersecta. Elytra abdomen valde superantia, sparse fusco-punctata, dimidia parte apicali membranacea. Alæ *papilioniformes* (Cp. p. 64, note), vitreæ, venis fortibus, ut consueve (scilicet haud scalaris-) reticulatæ; venis venulisque

dimidiæ partis apicalis nigris. Femora post. nigro-punctata, intus nigro-notata. — ♂ long. 21; El. 25; Fem. 12 mill. — ♀ Long. cum elytr. 33 mill. — America borealis.

L'auteur compare cette espèce au *Circotettix undulata*. La forme des ailes est en effet analogue à celle de cette espèce (amples d'avant en arrière et assez triangulaires); ces organes ne sont pas, il est vrai, réticulés par vécules en échelons comme chez l'espèce citée, mais il faut observer que chez le *C. carlingiana* les ailes ne sont ainsi réticulées qu'en arrière, et que chez la *C. verruculata* elles n'offrent qu'une réticulation ordinaire.

14. ŒDIPODA NEBRASCENSIS, L. Bruner, Canadian Entomologist. VIII, p. 123.

Cette espèce se confond suivant l'auteur (Bull. Washburn Coll. I, 133, 51) avec le *Dissosteira longipennis*, Thom. (Cp. Prodrom. p. 137.)

15. ŒDIPODA ATRIFERA, Walk. Cat. B. M. Saltat. IV, 735. — Butler, Proc. Zool. Soc. of Lond., 1881, p. 85. — *Epacromia collecta*, Walk. l. l. V, 85. — Cap Verd. — Œdaleus ?

16. ŒDIPODA BIVENOSA, Scudd. Proc. of the Boston Soc. of N. H. t. XII, 1869, 339, 22, ♀.

Grisea, nigro-punctata; caput laeviusculum. Pronotum subtiliter scabrum, carina dorsali distincta, haud elevata, nec non carina utrinque laterali. Elytra abdomen superantia, fusca, opaca, apice pellucida; nigro-punctata, vena discoidali nigro-trimaculata. Alæ vitreæ, venis fuscis, parte basali leviter thalassina vel flavicante, margine exteriori medio nebuloso; costa basin versus fusca. — ♀ Long. 20; El. 21; Fem. 11-12 mill. — Ecuator.

17. ŒDIPODA OBUMBRATA, Walk. ap. J. C. Melliss, St-Helena, 1875, p. 168.

Ne paraît pas rentrer dans la tribu, mais semble appartenir à celle des Tryxaliens.

18. ŒDIPODA PARVICEPS, Walk. Cat. B. M. Derm., Saltat., IV, 172; *Id.* Thom. Synops. Acrid. p. 136. — Littus occidentale Americæ borealis.

EMENDANDA ET ADDENDA IN PRODRUMUM

Pages.

- 55, ligne 26; 10. Carina prozonæ, etc. — Comp. la note de la page 154.
- 56, lignes 16, 17, *au lieu de* : Campi antichi tæniæ 2 posticæ valde inæquales, etc., *il faudrait mettre* : Campi antichi tæniæ 2 posticæ variabiles. (Comp. Additamenta, p. 40, au genre *Imetonota*).
- 62, n° 56. Le nom de genre *Eremoplana* a été changé en *Eremepeza*. (Cp. Additamenta, p. 133.)
- 68, n° 6. *Arphia sanguinaria*, Stål.— Cette espèce devient *A. tenebrosa*, Sc. (Cp. Additam. p. 165, 1).
- 68, n° 7. *Arphia tenebrosa*, Sauss. — Cette espèce devient *A. ovaticeps*, n. (Cp. Additam. p. 165, 2).
72. Genre CHORTOPHAGA et *Ch. viridifasciata*, ajoutez : Fig. 7 et 12.
- 104, n° 17. Genre TROPIDOLOPHUS. Ce genre a pour synonyme : *Cyrtolopha*, Stål, Recens. Orth. I, 118, note.
- 117, n° 10, ajoutez à la citation de Krauss : Pl. I, fig. 9.
- 153, n° 8. Cette espèce devient le *Quirogesia Brullei*, Sss. (Cp. Additamenta, p. 34; 35 et p. 52; 8.)
- 176, n° 3, ajoutez à la citation de Scudder : Pl. 17, fig. 10.
- 237, n° 1, *Batrachotettix elephas* devient *Eremocharis insignis*, Lüc. (subimago). (Cp. Additamenta, p. 135.)
- 239, n° 8. *B. depressus* devient *Lilacu depressa*, St. (Cp. Additamenta, p. 99.)
- 243, L'*Ædip. signatipennis* est synonyme du *Trimerotropis ochraceipennis*, Bl. (Cp. Additamenta, p. 64; 11.)
- 243, L'*Eremobius lutescens*, Blanch. devient *Elasmoderus lutescens*, Bl. et n'appartient pas à la tribu des *Ædipodiens*.

SUPPLEMENTUM AD ERRATA IN PRODRUMUM¹.

Pages.

- 41, ligne 20, *au lieu de* : sulca, *lisez* : sulcos.
- 45, ligne 29, *au lieu de* : sulca, *lisez* : sulcos.
- 46, ligne 5, *au lieu de* : attingente, *lisez* : attingens.
- 50, ligne 22, *au lieu de* : distincta, *lisez* : distincte.
- 53, n° 25, *au lieu de* : *Heteroptermis*, *lisez* : *Hcteropternis*.
- 55, lignes 20, 22, 25, *au lieu de* : sulca, *lisez* : sulcos.
- 59, ligne 5 à partir du bas, *au lieu de* : prononoti, *lisez* : pronoti.
- 65, ligne 7, *au lieu de* : declive, *lisez* : declivis.
- 68, n° 7, avant-dernière ligne, *au lieu de* : subvitrea, *lisez* : subvitreus.
- 96, n° 3, ligne 5, *au lieu de* : sulca, *lisez* : sulcos.
- 96, n° 3, ligne 6, *au lieu de* : ad sulcum; typicum etc., *lisez* : ad sulcum typicum etc.
- 99, lignes 5, 4, à partir du bas, *au lieu de* : canaliculatus, *lisez* : canaliculatum.
- 118, *Synopsis*, a, ligne 5, *au lieu de* : area stigmatica, *lisez* : arcu stigmatico.
- 122, n° 2, ligne 2, *au lieu de* : *P. Brunneri*, mettez *S. Brunneri*.
- 125, n° 1, ligne 7, *au lieu de* : area intercalata posterior quam antica latior, *lisez* : a. interc. anterior quam postica latior.

¹ Comp. Prodrumum, p. 47.

Pages.

- 131, ligne 4, *au lieu de* : sanguineæ, *lisez* : sanguinea.
 131, ligne 4, *au lieu de* : 18, *lisez* : 28.
 131, ligne 4 à partir du bas, *au lieu de* : in utræque varietates, *lisez* : in utrisque varietatibus.
 154, 160, 162, 254 et partout ailleurs, *lisez* : *Trachyrrhachis*.
 155, ligne 11, *au lieu de* : vena axillaris rubrecta, *lisez* : vena intercalata subrecta.
 174, ligne 7, *au lieu de* : 261, *lisez* : 264.
 177, n° 4, ligne 8, *biffez le mot* : vix.
 177, ligne 10, *au lieu de* : valde lobato, *lisez* : vix lobato.
 179, tableau, *au lieu de* : RHODORRIPIS, *lisez* : RHODORRIPIS.
 192, note, ligne 1, *au lieu de* : Page 39, *lisez* : Page 59.
 220, dernière ligne, *au lieu de* : antica interrupta, *lisez* : antice interrupta.
 221, ligne 19, *au lieu de* : conchatis, *lisez* : conchata.
 228, n° 2, ligne 2, *au lieu de* : 349, *lisez* : 369.
 235, ligne 11, *au lieu de* : attingente, *lisez* : attingens.
 235, ligne 14, *au lieu de* : trigonalia, *lisez* : trigonales.
 235, ligne 18, *au lieu de* : hand, *lisez* : sat.
 235, ligne 31, *au lieu de* : abdomine, *lisez* : abdomen.
 238, n° 3, ligne 4, *au lieu de* : subacutæ, *lisez* : subacuti.

ERRATA IN ADDITAMENTIS

Pages.

- 8, ligne 24, *au lieu de* : *Quiragosa*, *lisez* : *Quiroquesia*.
 14, ligne 3, dans la Synopsis, *au lieu de* : *metasterni*, *lisez* : *mesosterni*.
 14, ligne 4, *au lieu de* : TRINCITES, *lisez* : THRINCITES.
 16, n° 8, *au lieu de* : *Cammula*, *lisez* : *Cannula*.
 21, § 11, *au lieu de* : Pr. p. valde angulatum. Anterius, *lisez* : Pr. p. valde angulatum, anterius etc.
 22, n° 48, *au lieu de* : *Callirhipis*, *lisez* : *Callirrhypis*.
 23, ligne 6, à partir du bas, *au lieu de* : *Spingonotus*, *lisez* : *Sphingonotus*.
 26, n° 1, *biffez* : Fig. 2.
 30, var *b*, *au lieu de* : fasciis 2, *lisez* : fasciis 2.
 36, n° 25, *au lieu de* : MICROSCIRTUS, *mettez* : MIOSCIRTUS.
 45, n° 30, *au lieu de* : HEPTEROPTERNIS, *lisez* : HETEROPTERNIS.
 54, Tr. ANNULATA, ligne 3, *au lieu de* : latiusculæ, *lisez* : latiuscule.
 54, *au lieu de* : 40. TMETONATA, *lisez* : 41. TMETONOTA.
 70, n° 53, *au lieu de* : CHARORUS, *lisez* : CHARORA.
 71, n° 53, ligne 6, *au lieu de* : grande, *lisez* : grandi.
 71, n° 1. CHARORA CRASSIVENOSA, ajoutez : (Fig. 2).
 77, ligne 3, *au lieu de* : arenaria, *lisez* : arenarius.
 78, ligne 10, *au lieu de* : 15 a. hesperidum, *mettez* : 16 a. canariensis.
 99, ligne 1, ajoutez le n° 64 au nom de genre.
 100, ligne 1, *au lieu de* : 64, *lisez* : 65.
 102, ligne 6, *au lieu de* : 65, *lisez* : 66.
 108, ligne 23, *au lieu de* : *Aplusiotropis*, *lisez* : *Haplotropis*.
 126, n° 1, *au lieu de* : A. Brunneriana, *lisez* : II. Brunneriana.
 138, ligne 18, *au lieu de* : grandes, *lisez* : grandia.

INDEX ALPHABETICUS

	Pages		Pages
ACROTYLUS	21, 23, 68	Brunneri	87
acutangulus	39	Brunneriana	126
acutus	151	BRYODEMA	16, 22, 66
<i>amarantinus</i>	86	bufo	150
Anderssonii	156	<i>bufo</i>	136, 148
annulata	54	BUFONACRIS	124, 159
apicalis	87	calcarata	89
arenarius	80	CALLIRRHIPIS	22, 66
arenivolaus	170	callosus	76, 77
ARPIHA	14, 165	CAMNULA	16
<i>assumptii</i>	50	canariensis	84
<i>Aulocara</i>	169	canescens	89
aurifera	173	cantans	145
aviculus	73	capensis	43, 77
azurescens	82	<i>capsitana</i>	75
balteatus	86	capsitanus	75
BATRACHORNIS	123, 137	carinata	129
BATRACHOTETTIX	123, 142	CELES	19
Behrensi	60, 163	ceylonica	44
bengalensis	80	CHARORA	23, 70
biloba	127	<i>Charorus</i>	175
bivenosa	173	Charpentieri	50
Blanchardiana	35	<i>Charpentieri</i>	51
borealis	59	CHIMAROCEPHALA	45
BRACHYSTOLA	124, 162	CHLOEBORA	18, 19, 33
bramina	33	CHORTOPHAGA	15, 174
brasilianus	81	cimex	103
<i>brasiliensis</i>	43	<i>cinctifemur</i>	36
Brullei	35, 52	cinerascens	43, 134, 167
BRUNNERELLA	17, 31	<i>cinerescens</i>	64

	Pages		Pages
CIRCOTETTIX.....	22, 64, 172	EGNATIUS.....	23, 70
cisti.....	129, 131	<i>elephas</i>	135
citrina.....	64	ENCOPTOLOPHUS.....	15
citripennis.....	167	ENEREMIUS.....	124, 160
Clausii.....	88	Eremobia	105
Clavellii.....	130	EREMOBIA.....	123, 126
cærulans.....	79	EREMOBITES.....	14, 105
cæruleipennis.....	172	EREMOCHARIS.....	123, 133
cæruleipes.....	172	<i>Eremiopeza</i>	133
cærulescens.....	50	<i>Eremoplana</i>	133
<i>cærulescens</i>	50	EREMOTETTIX.....	123, 136
<i>collecta</i>	173	erythrocnemis.....	91
<i>collina</i>	50	fallax.....	158
CONIPODA.....	24, 89	Fedtschenki.....	168
CONOZOA.....	22, 59	festiva.....	127
continuata.....	132	Finotianus.....	75
corpulentus.....	29	<i>flava</i>	32, 39
COSMORHYSSA.....	18, 37	fontana.....	171
costata.....	37	<i>formosa</i>	166
Couloniana.....	48	formosus.....	166
crassa.....	33	furcifer.....	69
crassicollis.....	38	fuscifrons.....	58
crassivenosa.....	71	Galiniieri.....	50
crassus.....	68	Gastrimargus.....	37
cruciata.....	26, 45	Gebleri.....	23
CUCULLIGERA.....	123	gibbera.....	127
CRYPsicERUS.....	95, 100	GLYPHANUS.....	123, 169
cubicus.....	100	gracilis.....	88
cyanipennis.....	127	Grandidieri.....	34
cyanopterus.....	77	grandis.....	128
<i>Cyrtolopa</i>	166, 174	granulosa.....	134
DÆMONEA.....	24	<i>granulatum</i>	151
<i>danicus</i>	43	granulatus.....	151
Davidiana.....	67	grossa.....	33
depressa.....	99	Guatemala.....	91
DEROTMEMA.....	21	<i>guttulosa</i>	91
<i>determinatus</i>	39	HADROTETTIX.....	22
DISSOSTEIRA.....	20, 167	haitensis.....	81
DITTOPTERNIS.....	19, 44	HALDMANELLA.....	123, 153
Dohrnianus.....	166		

	Pages		Pages
HAPLOTROPIS	122, 125	<i>lutescens</i>	174
Haydenii.....	171	maculosa	59
HELIASTUS	24, 90	magna	164
HELIOSCIRTUS	23, 74	<i>magna</i>	153
<i>hesperidum</i>	78, 175	marmoratus	39
HETEROPTERNIS.....	19, 45	MERISTOPTERYX	20, 52
HIPPISCUS	16, 26, 170	<i>Mestobregma</i>	168
HIPPOPEDON.....	16	METHONE	124, 154
Hoffmanii.....	170	mexicana	59
hottentotus.....	147	<i>mexicanus</i>	165
HUMBELLA.....	17, 32	<i>Microscirtus</i>	36, 175
Humbertianus	68	<i>miniata</i>	35
hyalina.....	47	<i>miniatum</i>	35
imitans.....	88	MIOSCIRTUS.....	18, 36
indus.....	78	mirabilis.....	31
infernalis.....	42	Mlokozievetzi.....	42
<i>inficita</i>	68	mongolicus.....	82
insignis.....	135	montanus.....	170
intutus.....	87	monticola.....	63
jamaicensis.....	77	Moseri.....	74
<i>Jaminii</i>	135	muricata.....	127
japonicus.....	84	mutus.....	161
kiowa.....	59, 168	<i>namaquensis</i>	141
Kittaryi.....	79	nebrascensis.....	173
LACTISTA.....	20	nebulosus.....	87
LATHICERUS.....	95, 102	nigro-fasciatus.....	40
laticincta.....	64	nigripennis.....	79
latifasciata	171	niloticus.....	80
lauta.....	172	obscura	49
Ledereri.....	51	obscuraella.....	47
LEPRUS.....	16, 20, 29, 169	obumbrata	173
LEPTOPTERNIS	24, 88	ocelote	26
LEPTOSCIRTUS	23, 24, 72	ochraceipennis.....	64
LILÆA.....	95, 99	octofasciata.....	79
limbata.....	127	ÆDALEUS	18, 37, 166
lobatus.....	65	Ædaleus.....	40
longipennis.....	18, 85	Ædipoda	14
loricatus.....	147	ÆDIPODA.....	20, 50
<i>Lucasii</i>	83	ÆDIPODITES.....	14

	Pages		Pages
CEOCARA.....	15	rugosa.....	56
OSTRACINA.....	16, 27	<i>sanguinaria</i>	165
ovaticeps.....	165	satrapes.....	76
pachytiloides.....	32	saturata.....	36
PACHYTYLUS.....	18, 43	<i>saturatum</i>	36
pardalina.....	59	Savignyi.....	84
PAPPIPAPUS.....	16	scabra.....	57
PAPPUS.....	17	scabriusculus.....	83
pardalina.....	59	SCINTHARISTA.....	17, 33
parviceps.....	173	<i>scutellaris</i>	148
patruelis.....	68	scutigera.....	150
Peringueyi.....	140, 146	senegalensis.....	42
perloides.....	140	seriatus.....	91
persa.....	86, 128	<i>signatipennis</i>	64, 174
peruviana.....	30	similis.....	172
<i>pictus</i>	39	<i>sobria</i>	91
PHANEROCERUS.....	95, 96	sparsa.....	172
PHRYNOTETIX.....	17, 29	<i>speciosa</i>	90
pistrinarius.....	144	SPHINGONOTUS.....	23, 24, 76
plattei.....	170	spurcata.....	19
pseudo-nietanus.....	165	<i>Stinopleura</i>	169
PSINIDIA.....	21	Stollii.....	149
<i>Psoloessa</i>	169	subfasciatus.....	39
PSOPHUS.....	17	subsulcata.....	134
PTERNOSCIRTA.....	18, 36	sulcifrons.....	19, 22, 60
<i>Pternoscirtus</i>	89	Sumichrasti.....	90
PTETICA.....	19	tartara.....	122, 128
pudica.....	48	tenebrosa.....	165
pulchripennis.....	130	<i>tenebrosa</i>	165
PYCNODICTYA.....	20, 49, 167	<i>tenebrosus</i>	165
PYCNOSTICTUS.....	24, 91	tenuicornis.....	33
PYRGODERA.....	17	terrea.....	27
pyrrhoscelis.....	46	terrestris.....	159
QUIROGUESIA.....	18, 34	terrosa.....	57
rana.....	29	testudo.....	97
rebellis.....	61	TETRAMEROTROPIS.....	15, 25
Rogenhoferi.....	23, 62	THALPOMENA.....	21, 23
<i>rosacea</i>	49	THRINCITES.....	14, 92
rotundata.....	53	Thrinicus	92
		THRINCUS.....	94

	Pages		Pages
<i>Tmetis</i>	130	<i>venusta</i>	44
TMETONOTA.....	21, 54	<i>verrucosa</i>	56
tolteca.....	63	<i>verticalis</i>	38
TOMONOTUS.....	16, 20	<i>vinculata</i>	171
<i>Trachypetra</i>	136, 148, 150, 156	<i>virescens</i>	163
TRACHYRRHACHIS.....	21, 58, 168, 170	<i>viridifasciata</i>	174
TRILOPHIDIA.....	21, 54	<i>vitripennis</i>	38
TRIMEROTROPIS.....	22, 63, 171	<i>Walkeri</i>	136
TROPIDOLOPHUS.....	17, 166, 174	<i>Wallula</i>	60
Tschivavensis.....	153	<i>Wheeleri</i>	169
tuberculata.....	66	<i>Whiti</i>	148
tuberculatus.....	27	XANTHIPPIUS.....	16
tuberculosa.....	56	<i>zebrata</i>	44
<i>undulatus</i>	65	<i>Zinnini</i>	79
<i>unguiculatus</i>	73		
URNISA.....	24, 91		
utahensis.....	167		

THE HISTORY OF THE
CITY OF BOSTON

From the first settlement in 1630 to the present time
The city of Boston was founded in 1630 by a group of Puritan settlers from England. They came to the Massachusetts Bay and established a settlement on the site of present-day Boston. The city grew rapidly and became one of the most important centers of commerce and industry in the eastern United States. In 1773, the city was the site of the Boston Tea Party, a protest against British taxation. The city was then the center of the American Revolution. In 1800, the city was the site of the first public school in the United States. In 1830, the city was the site of the first public library in the United States. In 1860, the city was the site of the first public hospital in the United States. In 1880, the city was the site of the first public park in the United States. In 1900, the city was the site of the first public playground in the United States. In 1920, the city was the site of the first public swimming pool in the United States. In 1940, the city was the site of the first public museum in the United States. In 1960, the city was the site of the first public television station in the United States. In 1980, the city was the site of the first public radio station in the United States. In 2000, the city was the site of the first public internet cafe in the United States. In 2020, the city was the site of the first public vaccination center in the United States.

EXPLANATIO TABULÆ 2^E.

GEDIPODITES

- Fig. 1. *Brunnerella mirabilis*, Sss. ♂ (pag. 31). — 1 a. Caput. — 1 b. Caput et pronotum a latere.
- Fig. 2. *Charora crassivenosa*, Sss. ♂¹ (pag. 71). — 1 a. Caput. — 1 b. Caput et pronotum a latere.
- Fig. 3. *Meristopteryx rotundata*, Sss. ♂ (pag. 53).
- Fig. 4. *Conozoa Rogenhoferi*, Sss. ♂ (pag. 62), — 4 a, Caput. — 4 b. Caput et pronotum a latere.
- Fig. 5. *Circolettix lobatus*, Sss. (pag. 65) Ala.
- Fig. 6. *Circolettix undulatus*, Th. (pag. 65) Ala.
- Fig. 7, 7 a. *Phrynotettix rana*, Sss. ♀ (pag. 29). — 7 b. Antenna ♂. — 7 c. Caput.
- Fig. 8, 8 a. *Phrynotettix peruviana*, Sss. ♂ (pag. 30). — 8 b. Antenna ♂.

THRINCITES.

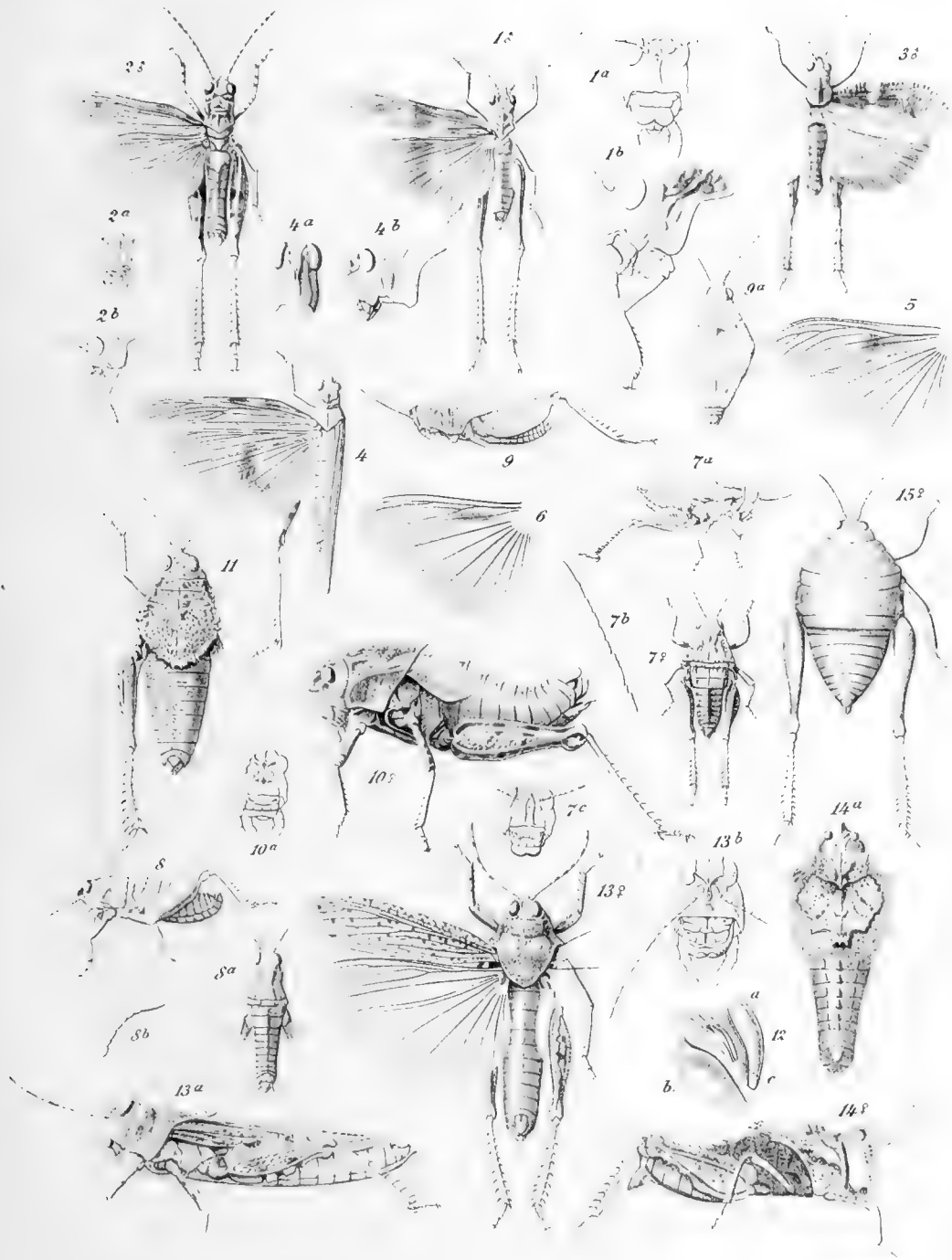
- Fig. 9. 9a. *Phaneroцерus testudo*, Sss. ♀ (pag. 97).

EREMOBITES.

- Fig. 10. *Haplotropis Brunneriana*, Sss, ♀ (pag. 126). — 10 a. Caput.
- Fig. 11. *Batrachotettix scutigera*, Wh. ♀ (pag. 150).
- Fig. 12. Plaques stridulatoires du *Methone Anderssonii*, St. (pag. 156, 116). Le dessin est renversé : b. plaque cornée supérieure ; — c. plaque principale, striée et munie de lames saillantes. — a. plaque ou bourrelet inférieur.
- Fig. 13, 13 a. *Batrachornis perloides*, Sss. ♀ (pag. 140).
- Fig. 14, 14 a. *Eremotettix Walkeri*, Sss. ♀ (pag. 136).
- Fig. 15. *Bufonacris terrestris*, Walk. ♀ (pag. 159).

¹ Les nervures des ailes ont été faites trop fines; elles sont pour la plupart épaissies chez l'insecte.
Obs. Page 26, n° 4, biffez : fig. 2, et placez cette citation au n° 1 de la page 71.





MÉMOIRES
DE LA
SOCIÉTÉ DE PHYSIQUE ET D'HISTOIRE NATURELLE DE GENÈVE
TOME XXX. — N° 2.

MATÉRIAUX

POUR

L'ÉTUDE STRATIGRAPHIQUE

ET PALÉONTOLOGIQUE

DE LA

PROVINCE D'ANGOLA

PAR

PAUL CHOFFAT

ET

P. DE LORIOL



GENÈVE
IMPRIMERIE CHARLES SCHUCHARDT
1888

INTRODUCTION

En 1882, M. Laurenço Malheiro, ingénieur des mines, fut chargé de l'étude de gisements de soufre et de malachite dans les environs de Benguella ¹.

Il en profita pour faire une ébauche de carte géologique et pour relever plusieurs profils à l'appui desquels il rapporta une abondante récolte de fossiles, mais d'autres occupations l'empêchèrent de mettre ces renseignements à profit.

En juin 1886, devant faire une conférence sur ces recherches à la Société des ingénieurs civils de Lisbonne, il montra à l'un de nous quelques-uns des échantillons recueillis et bientôt après, il lui envoyait la totalité en lui écrivant que ses travaux le forçaient à faire un long séjour en Espagne, et en l'autorisant à faire de ces fossiles ce que bon lui semblerait.

Depuis cette époque, M. Malheiro ne revint pas à Lisbonne, et ce fut en vain que l'on s'adressa à lui pour avoir des renseignements sur la manière dont les récoltes avaient été faites, ou tout au moins, la communication des profils et du croquis présentés à la séance dont il vient d'être question.

Ces échantillons appartiennent en partie à des grès sans fossiles, qui forment la base des strates en transgression sur le gneiss, en partie à des strates fossilifères, crétaciques et tertiaires.

Les *Mollusques* crétaciques appartiennent à plus de cent espèces, mais

¹ Les possessions portugaises de l'Afrique occidentale, au sud de l'Équateur, sont actuellement réunies sous la désignation de province d'Angola. Cette province est divisée en quatre districts : Congo, Loanda, Benguella et Mossamedes, et chaque district en un certain nombre de communes (concelhos) embrassant chacune des territoires fort étendus.

la plupart sont trop mal représentées pour permettre une détermination spécifique; il n'en est pas de même des *Echinodermes*, en général fort bien conservés.

Ces derniers seront tous publiés, ce qui ne sera le cas que pour ceux des Mollusques suffisamment bien représentés. Les autres sont dans le même cas que les fossiles tertiaires, il est plus prudent d'attendre de nouvelles récoltes.

Il a pourtant été fait exception pour quelques espèces insuffisamment représentées, mais dont la connaissance peut avoir une certaine valeur stratigraphique. Dans ce cas, elles ont été décrites et figurées, sans qu'il leur soit imposé de nom spécifique.

PREMIÈRE PARTIE

STRATIGRAPHIE

PAR

PAUL CHOFFAT



I. HISTORIQUE

Les renseignements géologiques sur la province d'Angola se réduisent à fort peu de chose; ils sont, à une ou deux exceptions près, noyés dans les récits de voyages, au milieu desquels on trouve par-ci, par-là, un mot ou une phrase faisant naître quelques suppositions, rarement une certitude, car il est bien rare que les voyageurs rapportent des échantillons de roches, et il est tout aussi rare qu'ils soient à même de reconnaître avec certitude la nature du terrain.

Il faudrait donc lire ces nombreux ouvrages d'un bout à l'autre pour être certain d'avoir recueilli tous ces renseignements, mais, quoique je n'aie pas eu le temps de le faire, je crois avoir rassemblé les plus importants, au moins ceux qui ont trait aux terrains secondaires.

L'histoire nous apprend que c'est au milieu du XVI^{me} siècle ¹, un

¹ Luciano Cordeiro, *Memorias do Ultramar*.

siècle après la découverte d'Angola, que l'attention des Portugais se porta sur les gîtes minéraux de la province.

D'après Lopes de Lima ², c'est en 1761 que l'on a commencé à fabriquer la chaux en Angola, en employant de la pierre calcaire.

En 1839, un chimiste suisse, le Dr J.-C. Lang, fit un rapport sur les sources de pétrole du Dande, rapport qui ne fut publié qu'en 1886 ³ mais dont quelques extraits ont été publiés par Lopes de Lima. Les données relatives à la composition du sol y sont fort confuses et noyées dans une quantité de remarques les plus diverses.

On y trouve la mention de *grès bigarré* et de *calcaire contenant des pétrifications nommées cornes d'Ammon*.

Livingstone ⁴ ne dit que fort peu de choses sur la géologie de la province d'Angola, qu'il traversa de Loanda vers l'est. Il cite à Icolo et Bengo un *tuf marneux avec coquilles marines récentes*; plus à l'est, du *trapp* et des *micaschistes*, et donne quelques détails sur les *conglomérats* et les *grès* qui composent les immenses rochers de *Pungo-Andongo* et qui se trouvent encore plus à l'est, à Malange. Livingstone est porté à croire que ces roches sont du même âge que celles de Tête dans le Zambèze.

Sa coupe géologique est fort incomplète pour la zone littorale.

Le célèbre botaniste autrichien, Friedrich Welwitsch, chargé par le gouvernement portugais de l'étude botanique de la province d'Angola, y passa sept années (fin 1853 à janvier 1861). En 1863, il se fixa à Londres pour y étudier ses récoltes à portée des bibliothèques et des collections incomparables de cette capitale, mais sa santé, ébranlée par les maladies, les privations et les fatigues, ne lui laissa pas le temps de terminer son œuvre.

² J.-J. Lopes de Lima, *Statistica das possessões portuguezas*. Lisboa, 1846.

³ O petroleo do Dande, 1839. — (*Boletim da Sociedade de Geographia de Lisboa*, 6^e serie, 1886, p. 240.)

⁴ *Explorations dans l'intérieur de l'Afrique australe et voyages à travers le continent, de St-Paul de Loanda à l'embouchure du Zambèze, de 1840 à 1856*. Traduction de M^{me} Loreau.

Welwitsch avait fait des observations géologiques dont on retrouve des traces dans les lettres qu'il écrivit pendant son voyage, et dont plusieurs furent publiées. On en trouve en outre un résumé dans l'introduction à la description des Mollusques terrestres et fluviatiles recueillis pendant son voyage ^b.

Après la mort de Welwitsch, une partie seulement de ses papiers furent envoyés de Londres au Musée national de Lisbonne, le reste paraît avoir été perdu, en particulier son journal. Parmi les papiers conservés au Musée national se trouve une enveloppe contenant des notes géologiques, elle vient de m'être obligeamment communiquée par M. le comte de Ficalho, directeur de la partie botanique du Musée.

Cette enveloppe contient quelques notes éparses, rassemblées probablement au fur et à mesure qu'il dépouillait ses notes botaniques. Elles renvoient à son journal, disparu, comme je l'ai dit plus haut, et font savoir qu'il n'avait pas encore vu des caisses d'échantillons géologiques envoyées d'Angola à Lisbonne, ce qui nous fait voir que l'aperçu géologique publié dans l'introduction de M. Morelet a été fait d'après les notes et les souvenirs de Welwitsch, et n'est pas le résultat d'une étude à tête reposée, en présence des matériaux recueillis.

La note suivante de M. Morelet (p. 6) prouve que Welwitsch préparait un mémoire géologique : « on trouvera dans un mémoire spécial, des renseignements circonstanciés sur les mines de fer et de cuivre, ainsi que sur les autres produits minéralogiques du pays. »

Je publierai prochainement les notes de Welwitsch, dans les *Comunicações da Comissão dos Trabalhos geológicos de Portugal*, et pour le moment, me bornerai à citer ce qui se rapporte aux terrains dont il est question dans ce mémoire.

Nous lisons dans Morelet (p. 5) : « En partant de la côte de Loanda « et en marchant à l'est, on voit, à mesure que l'on s'avance dans l'in-

^b Voyage du Dr Friederich Welwitsch exécuté par ordre du Gouvernement portugais dans les royaumes d'Angola et de Benguela. *Mollusques terrestres et fluviatiles*, par Arthur Morelet. Paris, 1868.

« térier, les terrains s'élever graduellement et se succéder dans l'ordre
« de leur apparition géologique, de telle sorte que leur plus grand éloi-
« gnement de la mer concorde avec leur plus grande ancienneté, et que
« ceux du littoral représentent les plus récemment émergés.

« L'époque des dernières formations correspond à l'étage inférieur du
« Trias, représenté par les calcaires coquilliers du Muschelkalk qui
« constituent, près de l'embouchure du Dande, un gisement de pierres
« à bâtir exploité par les habitants. Des grès bigarrés et des marnes
« irisées caractérisent l'étage supérieur.

« A ces terrains succède une assise de grès bitumineux appartenant
« au système carbonifère. Il est probable qu'après leur formation, les
« terrains triasiques ont livré passage à des éruptions ignées, comme le
« témoignent les trapps du district d'Icolo et Bengo et les dépôts ferru-
« gineux du district de Zenza, qui peuvent être attribués à la décompo-
« sition de cette roche.

« En atteignant le Golungo-Alto où les montagnes s'élèvent à près de
« 900 mètres, on voit succéder, aux grès carbonifères, les terrains de
« transition, formés de schistes et de grès appartenant à l'époque dévo-
« nienne; on rencontre ensuite les gneiss et les grauwackes de l'époque
« silurienne qui, selon toute apparence, reposent directement sur le
« granite. Cette roche se montre même à découvert dans le district de
« Bumbo (Benguella) où elle a traversé les terrains de transition dont
« on voit les assises redressées sur ses flancs.

« La province de Benguella présente la même succession de terrains,
« à l'exception du calcaire triasique qui demeure probablement enfoui
« sous les eaux. On y retrouve les grès bigarrés et les marnes injectées
« de trapp. Sur plusieurs points, des sources salines ont laissé, en se
« desséchant, des amas de tuf calcaire qui donnent à la surface une
« apparence plus moderne; mais ce ne sont, en réalité, que des dépôts
« adventifs produits par des sources ou des lacs dont il existe encore un
« grand nombre dans la contrée. »

D'après ce qui précède, on serait autorisé à croire que Welwitsch

n'avait pas reconnu la présence du Tertiaire, ce qui n'est pas le cas, car dans ses notes inédites, il parle de strates calcaires et de schistes arénacés représentant l'*Eocène* et le *Miocène*, et de *Pliocène*, représenté par des terres argileuses, marneuses et arénacées.

Un autre naturaliste qui passa un grand nombre d'années dans la province d'Angola est Joachim-John Monteiro, qui y arriva avant le départ de Welwitsch et eut des relations avec ce dernier.

Monteiro était associé de l'École royale des mines de Londres et membre de la Société zoologique. Une grande partie de ses séjours eurent pour but la recherche et l'exploitation de gisements métallifères; on devrait donc s'attendre à trouver dans ses publications de nombreux renseignements géologiques. Je ne sais pas s'il a laissé des écrits spéciaux sur ce sujet, je ne connais de lui qu'un ouvrage destiné au public lettré⁶, un récit de ses voyages, qui se distingue des récits analogues par un caractère beaucoup plus sérieux, peu d'aventures et beaucoup d'observations, mais la botanique et la zoologie occupent le premier rang. La géologie y est surtout représentée par les descriptions des gîtes de minerais; on y trouve bien des descriptions de l'aspect général du pays, mais presque rien sur la succession des strates qui composent la contrée. D'après les notes de Welwitsch, M. Monteiro avait pourtant relevé une carte géologique de la contrée située entre Ambriz et Bembe.

M. Monteiro avait reconnu que le gneiss ou les schistes primitifs sont recouverts par des grès, et ceux-ci par du calcaire, mais il ne se prononce pas sur l'âge de ces couches qu'il désigne du nom de formations récentes, certain passage (vol. II, p. 152) ferait même supposer qu'il les attribuait au Tertiaire.

Dans le *Résumé* qui suivra l'examen des récoltes de M. Malheiro, je donnerai plus de détails sur l'opinion de M. Monteiro au sujet des dépôts de minerais; je compte du reste publier dans les *Communicações* un extrait de tous les passages de l'ouvrage précité ayant trait à la géologie.

⁶ J.-J. Monteiro, *Angola and the river Congo*. 2 vol. London, 1875.

C'est dans un petit aperçu de la province, sans aucune prétention géologique, que je trouve pour la première fois l'âge crétacique rapporté aux calcaires du littoral⁷. L'auteur se borne à dire que les terrains tertiaires, crétaciques, des tourbes et des alluvions modernes composent cette région.

En 1878, le Dr Oscar Lenz⁸ mentionnait *Ammonites inflatus* aux îles Elobi (ilhas do Corisco, 1° de latitude nord) et en concluait à la présence du Gault.

Il parle en outre de fossiles recueillis par le Dr Pechuel-Lœsche sur territoire portugais. La côte du Loango lui a fourni une roche brun foncé, peu consistante, oolithique, argileuse, avec des Polypiers et des Lamellibranches : *Leda*, *Mactra*, *Tellina* et *Cardium*.

A Landana (cinquième degré de lat. sud), il récolta des restes de Poissons en très bon état, une dent de *Crocodile*, un *Coprolithe* et un *Nautilus* rempli de petites coquilles de Gastéropodes et de Lamellibranches.

Au sud du Congo, à Ambrissette, les falaises seraient formées par un calcaire blanc, contenant de nombreuses coquilles d'*huîtres*.

Ces deux premières récoltes se rapportent sans aucun doute au Tertiaire; la troisième est peut-être crétacique; le doute n'est pas possible pour une quatrième récolte faite par le même naturaliste, un *Ammonites inflatus*, provenant de Great-Fish-bay. (Great-Fish-bay, au sud de Mossamedes, entre le seizième et le dix-septième degré de latitude sud, porte en portugais le nom de *Bahia do Tigre*; une autre baie du même nom se trouve immédiatement au-dessous du quatorzième degré.)

C'est sur ces données que M. Lenz basa sa carte géologique de cette partie de l'Afrique occidentale⁹; on y voit une bande de Crétacique for-

⁷ Alberto de Fonseca in *A provincia de S. Thomé e Príncipe e suas dependencias*, par Manuel Ferreira Ribeiro. Lisboa, 1877.

⁸ Oscar Lenz, *Geologische Mittheilungen aus West-Africa* (Verhandlungen geol. Reichsanstalt, 1878, p. 148). — C'est en 1874 que M. Lenz découvrit les *Ammonites* d'Elobi; il se borna alors à une simple mention du genre, et les croyait jurassiques (*idem*, 1874, p. 285).

⁹ Geologische Karte von West-Africa, nach seinen in den Jahren 1874-1877 und 1879-1881 unternommenen Reisen, von Dr Oscar Lenz. — 1 : 12,500,000 (*Petermann's Mittheilung*. 2^o vol. 1882. 1^{er} cahier)

mer la côte de l'Océan, depuis le quatrième degré de latitude nord jusque près de l'Équateur. Entre l'Équateur et le troisième degré de latitude sud se trouvent deux petits affleurements, un peu vers l'intérieur, puis, après une longue interruption, on voit une nouvelle bande, presque continue, depuis l'embouchure de l'Ambriz jusque près du cap Frio.

La moitié septentrionale de cette bande est séparée de la mer par une lisière de « Tertiaire plus récent que l'Eocène. »

Pour la province d'Angola, l'auteur est fort loin d'avoir utilisé tous les documents précités; en outre de la bande étroite de Tertiaire et de Crétacique dont il vient être question, il ne distingue dans cette province qu'une large bande de latérite et une large bande de gneiss, tandis qu'il aurait pu y indiquer le prolongement des différents terrains qu'il distingue au nord du Congo.

Un voyage qui n'a pas pu être pris en considération par M. Lenz, est celui du Dr Max Büchner qui, parti de Loanda, s'avança vers l'est jusqu'au delà du vingt-deuxième degré de longitude, et revint à Loanda ayant fait à l'extrémité orientale de son parcours, une courbe s'étendant environ du 10°,30' au 7°,20' de longitude ¹⁰.

L'auteur donne sur Loanda quelques détails que je reproduirai en parlant du Tertiaire; il mentionne les grès de Dondo et les tufs calcaires de Cambambe, localité où se trouve la zone de granite qui pour l'auteur est le commencement du plateau africain.

Au delà de cette limite, l'auteur n'a fait connaître que peu d'observations, je les mentionnerai en parlant de leur âge respectif et me bornerai ici à traduire ses considérations générales.

« Tout l'intérieur, à l'est de la chaîne schisteuse de l'ouest de l'Afrique, est formé par des couches horizontales, et je n'ai pas trouvé un seul fossile. C'est une contrée d'érosion; partout on trouve la même succession de strates, en haut une terre rouge très caractéristique que l'on peut

¹⁰ Lettres in *Mittheilungen der afrikanischen Gesellschaft in Deutschland*. Vol. I et II, 1878-1881. Conférence, résumant ses observations, in *Verhandlungen der Gesellschaft für Erdkunde zu Berlin*, 1882.

désigner du nom encore peu précis de *latérite*, au-dessous du grès, et tout au fond des vallées du gneiss et du granite, formant des arêtes et des cataractes. »

Dans une lettre datée de Massumba, il dit que ce n'est qu'à l'est du Cuillo que l'érosion a atteint les terrains primitifs : du gneiss et un beau granite de couleur claire.

En 1881, MM. Capello et Ivens¹¹ publièrent le résultat de leur premier voyage, dans lequel on trouve quelques renseignements minéralogiques et beaucoup de données orographiques importantes.

Le Dr Höpfner¹², qui passa plusieurs mois à Mossamedes, se borne à dire que le littoral est formé par des grès à peu près horizontaux et surtout par un calcaire conchylien appartenant au Tertiaire supérieur, et que le basalte est fréquent sur toute la côte, tandis que plus à l'intérieur commence la région des schistes cristallins.

En 1884, M. Szajnocha¹³ décrit les *Ammonites* cités par M. Lenz; ces échantillons se rapportent tous au genre *Schlœnbachia*, et appartiennent à quatre espèces, dont trois nouvelles. En se basant sur la quatrième, *Schlœnbachia inflata*, M. Szajnocha assigne l'âge cénomaniens aux couches qui les contiennent.

La même année, la Section des travaux géologiques du Portugal recevait de M. José Araujo da Luz Feio, conducteur des travaux publics à Loanda, un certain nombre de fossiles dont il sera question dans les considérations générales.

En 1885 parut une petite notice géognostique sur la province d'Angola, due à la plume d'un zoologiste portugais qui habite depuis longtemps cette province, M. José d'Anchieta¹⁴.

¹¹ *De Benguella ás terras de Jacca*. Lisboa, 1881.

¹² Dr Höpfner, Ueber seine Reise an der Westküste Süd-Afrikas (*Verhandlungen der Gesellschaft für Erdkunde*, Berlin, 1883).

¹³ S. Szajnocha, Zur Kenntniss der mittelcretacischen Cephalopoden-Fauna der Inseln Elobi, an der Westküste Afrika's (*Denkschriften der k. Akademie der Wissenschaften*, Wien, 1884).

¹⁴ Traços geologicos da Africa occidental portugueza. Benguella, 1885; reproduit dans *Boletim da Sociedade de geographia de Lisboa*, 5^e série.

L'auteur fait connaître les principaux traits géologiques des districts de Benguella et de Mossamedes ; il distingue le *gneiss*, les *schistes primitifs*, les *terrains secondaires* qu'il nomme aussi *quadersandstein* et le *Tertiaire*. Nous reviendrons sur cette notice en parlant des résultats généraux.

En 1886 eut lieu l'étude des matériaux de M. Malheiro et la conférence dont il a été question dans l'introduction. Les résultats principaux ¹⁵ étaient la présence de grès gypsifères et cuprifères entre le gneiss et le Crétacique, grès que M. Malheiro attribuait au Triasique, et la fixation de l'âge des assises crétaciques. Je les attribuais au Gault, au Vraconnien et au Cénomaniens.

A la fin de l'année 1886 parut la relation du voyage de MM. Capello et Ivens ¹⁶ à travers le continent africain. Ces célèbres explorateurs partirent de Mossamedes en direction de l'est ; dans la région qui nous occupe, ils constatèrent la Molasse, le Crétacique, des schistes paléozoïques et du gneiss.

M. Capello rapporta en outre un bel Oursin qui lui fut remis par un habitant de Novo-Redondo, onzième degré de latitude sud. Cet Oursin, incontestablement crétacique, a été décrit par M. P. de Loriol ¹⁷ sous le nom de *Rhabdocidaris Capelloi*.

Les échantillons récoltés par MM. Capello et Ivens sont déposés à la Commission des travaux géologiques du Portugal.

M. Lenz avait considéré les *couches à Schlœnbachia inflata* des îles Elobi comme de l'âge albien, en se basant sur *Schlœnbachia inflata*, le seul fossile de cette localité qui fut alors connu en Europe. M. Szajnocha les rangeait par contre dans le Cénomaniens.

¹⁵ Paul Choffat, Faune crétacique du Portugal, 1^{re} série, 1886, p. 3 et 4. — *Neues Jahrbuch*, 1887, 1^{er} vol. p. 117. — Note préliminaire sur des fossiles recueillis par M. Malheiro dans la province d'Angola (*Bull. Soc. géol. de France*, vol. XV, p. 154).

P. de Loriol, Notes sur la géologie de la province d'Angola. (*Archives des sciences de Genève*, XIX, p. 67).

¹⁶ H. Capello et R. Ivens, *De Angola à contra-costa*. Lisboa, 1886.

¹⁷ P. de Loriol, Notes pour servir à l'étude des Échinodermes, II (*Recueil zoologique suisse*, t. IV, 1887).

M. Kilian ¹⁸ constata la présence de *Schlenbachia inflatiformis* dans les Basses-Alpes, en compagnie de *Schlenbachia inflata*, *Puzosia Mayeri* et *Desmoceras Beudanti*. Il en conclut que les couches des îles Elobi sont albiennes et non pas cénomaniennes.

Des fossiles de Lobito (Angola), rapportés par M. Cavelier de Cuverville, furent remis à M. Stanislas Meunier ¹⁹, qui y reconnut : *Schlenbachia inflata*, Sow. *Hamites virgulatus*, Brongn., les genres *Rostellaria*, *Orbulina* et *Rotalia*. Il figure deux espèces nouvelles, *Desmoceras Cuvervillei* et *Hamites tropicalis*, et considère comme albiennes les couches qui contenaient ces fossiles.

La pointe et la baie de Lobito se trouvent à 15 kilomètres au nord-est de Catumbella.

M. Zboinski ²⁰ dit que des calcaires exploités pour la fabrication de la chaux au Gabon contiennent des fossiles tertiaires et que ces mêmes calcaires se trouvent à Landana. Des calcaires analogues, mais qu'il suppose être plus récents, se trouveraient à Loanda, Benguella et Mossamedes, mais il est probable que M. Zboinski a fait en partie confusion avec les calcaires crétaciques.

Le même auteur a relevé une carte géologique du Bas-Congo dans laquelle il distingue :

1° Zone littorale ou des dépôts littoraux (cordons littoraux).

2° Zone des dépôts d'estuaires.

3° Zone sublittorale des terrains plus récents que les grès rouges de la partie supérieure des cataractes; ils sont d'âge tertiaire, au moins dans le voisinage de la côte.

4° Zone des terrains primitifs comprenant : *a* ceux où les quartzites sont imprégnés de tourmaline, *b* ceux où les micaschistes dominent.

¹⁸ W. Kilian, Note sur le Gault de la montagne du Lure (Basses-Alpes) et le *Schlenbachia inflatiformis*, Szajnocha (*Bull. Soc. géol. de France*, 1887, vol. XV, p. 464).

¹⁹ Stanislas Meunier. Contribution à la géologie de l'Afrique occidentale. (*Bull. Soc. géol. de France*, 1887, vol. XVI, p. 61, pl. I.)

²⁰ Sur la géologie du Congo, *Société belge de géologie*, etc., 1887, *Procès-verbaux*, p. 29. Esquisse géologique du Bas-Congo. Idem, *Mémoires*, p. 36, pl. I.

5° Zone des terrains ardoisiers.

6° Zone des grès et schistes rouges.

Le tout est généralement recouvert par de la latérite blanchâtre, rougeâtre ou franchement rouge. Sur le plateau, à quelques kilomètres de Manyanga-Sud, l'auteur a découvert des instruments en pierre taillés²¹.

Il a en outre recueilli des coquilles marines actuelles à l'altitude de 200 mètres. D'après MM. Van den Brœck et Dautzenberg²², ces coquilles indiquent un dépôt d'estuaire.

Pendant que je mettais la dernière main à ce travail, en décembre 1887, j'eus la visite de M. Héli Chatelain, de Morat (Suisse), qui vient de passer trois années à Angola, où il a l'intention de retourner.

M. Chatelain, qui a parcouru la contrée entre Loanda et Malange, m'a fourni différents renseignements et m'a remis plusieurs échantillons que l'on trouvera mentionnés dans les considérations générales.

J'ai puisé de nombreux renseignements à la Société de géographie de Lisbonne, et je tiens à exprimer publiquement ma gratitude à son secrétaire général, M. Luciano Cordeiro, et à son bibliothécaire, M. A.-C. Borges de Figueiredo, pour l'obligeance qu'ils ont mise à faciliter mes recherches.

La partie paléontologique qui me concerne a été faite dans les locaux de la Commission géologique du Portugal, en utilisant sa bibliothèque et ses collections.

II. EXAMEN DES RÉCOLTES DE M. MALHEIRO¹.

Comme on l'a vu dans la préface, M. Malheiro m'envoya ses récoltes

²¹ Voyez Mémoires, p. 40, et Dupont (*Bull. Acad. roy. Belg.*, 1887).

²² Procès-verbaux, etc., p. 30 et 236 (la fin de ce dernier article n'a pas encore paru, 27 mars 1888).

¹ Dans les listes de fossiles, les espèces décrites sont précédées d'un astérisque; le chiffre qui suit le nom de l'espèce indique le nombre d'échantillons.

sans avoir le temps de me donner des renseignements sur la manière dont elles avaient été faites, et depuis lors je ne l'ai pas revu et je n'ai pu obtenir aucun renseignement par correspondance.

Ces échantillons portent des numéros formant une série continue pour chaque contrée, mais ne pouvant pas parvenir à savoir sur quelle base cette numérotation a été faite, je me suis vu obligé d'interpréter ces fossiles d'après leurs caractères paléontologiques et pétrographiques, et de faire des suppositions sur les positions relatives des strates qui les contenaient.

Ces échantillons appartiennent en partie à des grès sans fossiles qui forment la base des strates en transgression sur le gneiss; quant aux fossiles, ils sont en partie crétaciques, en partie tertiaires.

Il m'a été en général facile de séparer les récoltes appartenant soit à l'une, soit à l'autre de ces périodes, sauf pour des échantillons de marnes qui, en fait de Mollusques, ne contenaient que quelques moules indéterminables. Les ayant communiqués à M. Schlumberger, il y découvrit une grande quantité de Foraminifères qui ne laissent pas de doute sur leur âge miocène.

Les récoltes de M. Malheiro proviennent de trois points différents : Saint-Paul-de-Loanda, Catumbella au nord de Benguella, et Dombes-Grande, concelho au sud de Benguella.

A. LOANDA.

Cette récolte ne contient que des fossiles provenant de la Molasse marine; elle est composée de moules intérieurs de Lamellibranches de grande taille, de couleur jaune brun, en partie empâtés dans une molasse dure, jaune-nankin, plus claire que les moules de fossiles. Cette roche contient de nombreuses empreintes de Gastéropodes de petite taille et de fragments de Lamellibranches indéterminables; les grands moules appartiennent aux formes suivantes :

Cardium, du groupe de *C. hians*, Brocc., deux exemplaires dont l'un atteint la grosseur des deux poings.

Tapes, neuf exemplaires représentant peut-être deux espèces.

Venus, un exemplaire.

Pectunculus, six exemplaires.

Ces fossiles portent simplement l'indication « Loanda, » mais la Commission des travaux géologiques du Portugal en possède d'autres, parfaitement identiques, rapportés de Loanda par M. Feio. Ils portent les étiquettes « Praia do Bispo » et « Maianga, » deux points situés au sud de la ville.

B. CATUMBELLA.

Une deuxième récolte de M. Malheiro a été faite à Catumbella, localité située sur la rive de l'Océan, entre le douzième et le treizième degré de latitude sud, à environ 25 kilomètres au nord-est de Benguella.

Une partie de cette récolte est composée d'espèces marines récentes, contenant une terre jaunâtre; elle avait probablement pour but de faire connaître une plage soulevée ou un dépôt quaternaire.

Le reste de la récolte de Catumbella porte les nos 1 à 88; les nos 32 et 33 sont des échantillons de gneiss noduleux à mica noir. Les séries 1 à 31 et 34 à 88 sont composées de fossiles présentant tous le même aspect pétrographique : un calcaire crayeux, blanc jaunâtre ou grisâtre.

La liste qui suit fait voir que ces deux séries appartiennent bien à une même assise; elle présente donc une faune sans mélange, qui nous servira à l'interprétation des récoltes de la troisième localité. J'ajouterai que M. Malheiro m'a dit qu'il considérait les calcaires de Catumbella comme appartenant à une même assise.

A l'intérieur des colonnes, j'ai indiqué le nombre d'exemplaires, ce qui donne quelques indications sur leur degré de fréquence. Les espèces mentionnées dans la description paléontologique sont précédées d'un astérisque.

NOMS DES GENRES ET DES ESPÈCES	Série	Série	Autres localités de la côte occidentale de l'Afrique.
	1 à 31	31 à 88	
<i>Lytoceras</i>	1		
* <i>Schlœnbachia inflata</i> (Sow.)	4	2	Elobi, Dombe, Lobito, Great-Fich-bay.
* » <i>Lenzi</i> , Szajn	2		» »
* » <i>cf. Lenzi</i> , Szajn		4	
* » <i>Elobiensis</i> , Szajn		2	Elobi.
* » <i>sp. ind.</i>		3	
* <i>Hoplites dispar</i> (d'Orb.)	3	2	
* <i>Puzosia, sp. aff. difficilis</i> (d'Orb.)		1	Dombe-Grande.
* <i>Hamites virgulatus</i> , d'Orb.	11	1	
* » <i>Angolensis</i> , Choff.		1	
<i>Chenopus?</i>	1		
<i>Tylostoma</i> , 2 sp. ind.		3	
<i>Nerita A.</i>		1	Dombe-Grande.
<i>Venus A.</i>		3	
<i>Cardium cf. Gentianum</i> , Sow.	?	1	
<i>Arca A.</i>		1	
<i>Janira</i> , 2 sp.		4	
* <i>Ostrea vesiculosa</i> , Sow.		6	
» (<i>Exogyra</i>), sp.		2	
* <i>Isaster Benguellensis</i> , P. de L.	2		
* <i>Epiaster Catumbellensis</i> , P. de L.		11	Dombe-Grande.

C. DOMBE-GRANDE.

La troisième localité, Dombe-Grande, est située à environ 70 kilomètres de Catumbella, un peu au-dessus du treizième degré de latitude; de même que Catumbella, elle appartient au district de Benguella. D'après la carte, elle serait située à 15 kilomètres de l'Océan, mais l'indication de M. Malheiro se rapporte évidemment au concelho et non pas au village.

Les échantillons portent les numéros 13 à 431, mais il est facile de voir qu'il y a plusieurs couches se répétant plusieurs fois dans cette série, probablement par suite de récoltes faites dans différents affleurements présentant les mêmes strates.

En me basant sur les caractères pétrographiques et paléontologiques et sur la succession des numéros, il ne m'a pas été bien difficile de rapprocher les séries d'échantillons provenant d'une même couche; j'ai obtenu ainsi vingt lots différents, mais treize seulement sont assez bien représentés pour être pris en considération.

J'ai distingué ces différents lots par des noms spéciaux comme s'ils formaient des assises distinctes, mais il est probable que plusieurs d'entre eux devront être réunis.

Au mois de juin 1886, en me soumettant quelques-uns des échantillons recueillis, M. Malheiro me dit avoir distingué deux assises dans les calcaires de Dombe-Grande, tandis que l'assise supérieure seule existait à Catumbella.

Il me fit voir des fossiles de la *faunule* à *Pholadomya pleuromyæformis* comme provenant de l'assise inférieure, tandis que les *Schlanbachia*, les *Nerinea* et les *Acteonella* étaient pour lui de l'assise supérieure.

Ce sont les seules données que j'aie reçues sur la succession des assises fossilifères; les hypothèses que j'émetts sur cette succession ne sont basées que sur les caractères paléontologiques et lithologiques.

Gneiss.

Deux échantillons de gneiss en feuillets minces et réguliers; l'un est de couleur très claire et contient des paillettes de mica blanc, larges et bien litées, l'autre, à mica noir, est de couleur rougeâtre ou violet foncé.

Grès de Dombe.

Sous ce nom je comprends les grès rouges ou bigarrés, inférieurs aux calcaires crétaciques. Au chapitre suivant j'expliquerai les raisons qui me font rejeter les dénominations de *Trias* et les autres termes analogues qui leur ont été parfois appliqués.

J'énumère ici tous les échantillons de gypse de la collection Malheiro, mais il est possible que l'un ou l'autre provienne d'un niveau supérieur, puisque ce minéral est aussi signalé dans les strates tertiaires à Loanda.

Gypse fibreux, blanc, en aiguilles de 15 centimètres de longueur, facilement désagrégables.

Gypse fibreux, rougeâtre, beaucoup plus compact.

Gypse fibreux, blanc, en lits minces, alternant avec des lits de grès fin avec malachite et azurite.

Gypse blanc, saccharoïde, avec inclusions de gypse en lamelles.

Gypse blanc en grandes lames parfaitement transparentes, avec intercalation de lits de soufre sur $\frac{1}{8}$ de l'échantillon.

Grès composé de grains de quartz, en général très petits, de mica noir et de quelques paillettes de mica blanc; le tout imprégné de malachite, qui lui donne une couleur verte, avec petits points noirs formés par le mica.

Malachite mélangée de grès et d'une matière terreuse brune.

Couches à *Pholadomya pleuromyæformis*.

Comme je l'ai dit plus haut, M. Malheiro m'a montré un certain nombre de fossiles de cette couche, en me les indiquant comme de la partie inférieure des strates fossilifères de Dombe-Grande, strates qui n'existeraient pas à Catumbella.

Les faunules de ces différents lots concordent parfaitement entre elles, un seul contient un fragment d'*Acanthoceras mamillare*, mais cette espèce suffit pour classer dès maintenant cette faunule dans le Gault.

L'astérisque qui précède le nom des espèces indique celles qui sont examinées dans la partie paléontologique; le chiffre après le nom indique le nombre d'échantillons, il fait voir quelles sont les espèces caractéristiques par leur abondance.

Faune :

- * *Acanthoceras mamillare* (Schloth.), 1.
- * *Bullina Malheiroi*, Hoff., 9.
- * *Cylindrites Cordeiroi*, Hoff., 2.
- * » *Delgadoi*, Hoff., 1.

- Bulla*, 2.
- Avellana*?, 1.
- * *Acteon Lenzi*, Choff., 1.
 - » sp. ind. 1.
- Rostellaria*, 2.
- Nerinea* de petite taille, 1.
- Cerithium*?, 1.
- * *Glauconia aff. Kefersteini*, Goldf., 10.
 - » sp. ind., 2.
- * *Tylostoma Pescheli*, Choff., 3.
- * *Natica bulbiformis*, Sow., 18.
- * » *Feioi*, Choff., 2.
 - » sp., 1.
- * *Nerita Malheiroi*, Choff., 15.
- * *Pholadomya pleuromyaeformis*, Choff., 16.
 - » *cfr. Collombi*, Coq. 1. Niveau?
- Venus*?, 18 moules intérieurs.
- Cardium*, 1.
- * *Pinna Robinaldina*, d'Orb., 7.
- * *Lithodomus prælongus*, d'Orb., 1.
- * *Janira Ficalhoi*, Choff., 10.
- * *Salenia Dombensis*, P. de L., 7.
- * *Pygurus africanus*, P. de L., 6.
- Bryozoaire*, 1.
- Algues*? 13 (concrétions globuleuses).

Deux espèces seulement ont été retrouvées à un autre niveau : *Acanthoceras mamillare*, d'un niveau inconnu, et *Salenia Dombensis*, des couches à Bryozoaires.

Couches à Bryozoaires.

Plusieurs lots présentent une faunule caractérisée par de nombreux

Bryozoaires, des *Polypiers* et des valves supérieures d'une huître paraissant se rapporter à *Ostrea canaliculata*, Sow., du Crétacique moyen, mais pouvant aussi appartenir à *Ostrea eversa*, Deshayes, de l'Éocène.

La roche adhérente est une terre verdâtre, sans consistance, parfois formée de petits grains de quartz mélangés de débris de *Bryozoaires* et cimentés par un calcaire verdâtre.

Un seul fossile est commun à cette assise et à un autre niveau, c'est *Salenia Dombensis*, P. de L., des couches à *Pholadomya pleuromyæformis*. Les *Orbitoïdes*, fréquents dans cette couche, ont été examinés par MM. Schlumberger et Munier-Chalmas, qui m'ont dit ne pas pouvoir se prononcer sur leur âge.

Il paraît y avoir un mélange de Tertiaire et de Crétacique. Quelques fossiles paraissent mésozoïques par leur mode de pétrification. Ce sont des débris de *Mytilus*, d'*Hinnites*, de *Pygurus*, *Ostrea* cfr. *canaliculata*, des radioles de *Cidaris Vafellus*, P. de L., et *Salenia Dombensis*, l'âge crétacique de ce dernier étant incontestable.

Des petits Gastéropodes ont conservé le test avec des caractères qui leur donnent plutôt l'aspect tertiaire; j'ajouterai à cette deuxième catégorie les *Bryozoaires* et les *Orbitoïdes*.

D'autres enfin sont représentés par un test blanc, parfaitement vide, et ressemblant à des coquilles à moitié décomposées ou à des coquilles du bassin de Paris. Je citerai des dents de *Squales*, un *Cerithium*, deux *Dentalium* et les *Polypiers*.

J'ai mentionné cette faunule, désirant appeler sur elle l'attention des observateurs futurs, mais je crois que l'on doit la considérer comme un mélange de différents niveaux.

C'est probablement du même voisinage que proviennent des échantillons d'un calcaire un peu rose, poreux, presque entièrement composé de fossiles de petite taille avec test, ou à l'état de moules intérieurs : *Turritella*, *Nerita*, *Cardium*, etc.

Grès à *Cyprina Ivensi*.

Grès très fin, blanc verdâtre, à ciment calcaire, fossiles à l'état de moules intérieurs, généralement de grande taille, parmi lesquels j'ai distingué :

Bulla, *Voluta*, *Pterodonta?*, *Glauconia?*, *Natica* ou *Tylostoma*, *Nerita*, *Astarte*, *Cardium aff. proboscideum*, Sow., **Cyprina Ivensi*, Choff., *Mytilus?*, **Asterobrissus Pomeli*, P. de L., **Epiaster Catumbellensis*, P. de L., *Bryozoaires* et *Polypiers* de petite taille.

Il faut peut-être y ajouter **Janira Welwitschi*, Choff., représenté par un seul exemplaire, ne portant pas de numéro, mais dont la roche est un peu analogue à celle de cette assise, quoique plus calcaire.

Epiaster Catumbellensis est le seul fossile connu d'un autre niveau, les couches à *Schlœnbachia inflata* de Catumbella. D'un autre côté, la présence de *Bryozoaires* et de petits *Polypiers* indique un certain rapprochement, très vague il est vrai, avec les couches à *Bryozoaires*.

Couches à *Schlœnbachia inflata*.

Je n'ai aucune indication pour fixer la place de ces couches relativement aux couches à *Nérinées* et à *Acteonella Anchietai*; M. Malheiro considérerait le tout comme formant l'assise supérieure.

Un des lots que je rapporte à cette assise est formé par une roche blanche, crayeuse, contenant *Schlœnbachia Lenzi*, un *Phylloceras* et une pince de *Crustacé*. Les autres fossiles annoncent une roche plus marneuse, avec grosses oolithes irrégulières.

La liste des espèces montre le nombre d'exemplaires et les rapports avec Catumbella; on remarquera que les *Schlœnbachia* y présentent moins de variations, et que les *Céphalopodes déroulés* y manquent complètement.

Il me reste à mentionner un exemplaire d'*Acanthoceras mamillare* (Schloth.) qui, par le numéro qu'il porte, serait à inclure dans cette faune,

mais sa gangue est formée par un calcaire blanc, plus compact que celui de tous les autres échantillons, soit de ce niveau, soit des autres.

Je ne puis donc pas affirmer la présence d'*Acanthoceras mamillare* dans cette assise, ce qui permettrait de la ranger sans arrière-pensée dans le Gault.

Faune :

<i>Crustacé</i> , 1.		
<i>Phylloceras sp.</i> , 1.		
· <i>Schlœnbachia inflata</i> , Sow., 2.		Catumbella.
· » <i>var.</i> , 7.		»
· » <i>Lenzi</i> , Szajn., 10.		»
· <i>Puzosia Welwitschi</i> , Hoff., 1.		
· » <i>sp. aff. difficilis</i> (d'Orb.), 1.		Catumbella.
· <i>Acanthoceras mamillare</i> (Schloth.)?		
<i>Nerita A.</i> , 1.		Catumbella.
<i>Gastéropodes</i> indéterminés, 2.		
· <i>Goniomya Beyrichi</i> , Hoff., 1.		
<i>Cardium</i> <i>cfr. sphaeroideum</i> , Forbes, 4.		
<i>Janira</i> <i>aff. æquicostata</i> , Lam., 1.		
» <i>cfr. decemcostata</i> , d'Orb., 1.		
<i>Ostrea C.</i> 3.		
· <i>Holaster Dombensis</i> , P. de L., 1.		

Couches à *Acteonella Anchietai*.

Un échantillon d'argile jaunâtre présente quatre lits chargés d'oolithes calcaires de très petite taille, empâtés dans l'argile; il dénote donc un passage entre l'argile et le calcaire oolithique, mais je n'ai aucun fossile dont la gangue présente ce mélange.

La gangue des échantillons d'*Acteonella Anchietai* présente par contre un autre passage, c'est celui de l'oolithe calcaire pure, à une oolithe chargée de glauconie, contenant en outre des silex et des quartzites roulés atteignant une dimension de 30 à 40 millimètres.

La faune est encore fort mal connue,

- * *Acteonella Anchietai*, Choff., 12 exemplaires atteignant la grosseur d'un œuf d'oie.
- * *Arellana Büchneri*, Choff., 1 exemplaire.
- * *Nerinea Capelloi*, Choff., 1 exemplaire.
- * *Cerithium Silva-Portoi*, Choff., 9 exemplaires.
- » *C.*, 4 exemplaires.
- Pachyrisma* ? 1 fragment.
- Arca B.*, 1 exemplaire.
- Ostrea* *cf.* *flabellata*, Sow., 1 exemplaire.
- * *Stygmatopegus Malheiroi*, P. de L., 1 exemplaire.
- Polypiers* roulés, ayant l'aspect des polypiers des récifs coralliens du Jura.

Je crois que l'on peut ajouter à cette faune deux fragments de *Requienia*, ne portant pas de numéros, mais s'en rapprochant par leur nature pétrographique; sur l'un d'entre eux se trouve un échantillon de *Epiaster Catumbellensis*, P. de Loriol.

Couches à *Nerinea Capelloi*.

Trois petits lots contiennent de nombreux *Nerinea* et des *Cerithium* de grande taille en général libres; d'autres sont en partie empâtés dans une gangue peu consistante, composée de grains de quartz cimentés par un calcaire blanchâtre avec taches roses; d'autres exemplaires sont empâtés dans des oolithes calcaires blanches et roses, peu consistantes.

Malgré cette différence pétrographique, il me semble hors de doute que ces couches doivent être fort rapprochées de celles qui contiennent les *Acteonella Anchietai*, qui renferment aussi un exemplaire du même *Nerinea*.

Faune :

- * *Nerinea Capelloi*, Choff., 17.

Nerinea sp. ind., 1.

• *Cerithium Monteiroi*, Hoff. 17.

• » sp., 2.

Grès à *Ostrea* Baylei.

Grès compact, fin, gris bleuâtre dans une cassure fraîche, jaune verdâtre par altération; fossiles à l'état de moules rongés, ou à l'état d'empreintes, sauf les huitres, qui ont conservé leur test.

Nerita? 1 moule.

Cyprina, 6 moules.

Roudaireia sp. nov. (empreintes).

Ostrea sp. ind. 2 exemplaires.

• » *Baylei*, Guér., 8 exemplaires.

D'après M. Coquand, cette dernière espèce est caractéristique du Carentonin. Le genre *Roudaireia* n'est encore connu que du nord de l'Afrique et de l'Inde. Il s'y trouve dans le Crétacique moyen et supérieur.

Grès à *Ostrea* Olisiponensis.

Un petit lot contient trois valves d'**Ostrea Olisiponensis* (Sharpe) et deux valves de *Janira*.

La roche adhérente est une sorte de grès calcaire à grains de quartz irréguliers, peu arrondis, le plus grand atteignant 15 millimètres dans sa plus grande longueur. La couleur varie du rose pâle au jaune rougeâtre. *Ostrea Olisiponensis* est une espèce cénomanienne.

Un autre lot se rapprochant beaucoup du premier par la nature de la roche contient de nombreux moules de *Lamellibranches*, surtout d'un *Cardinia* se rapprochant de *C. Baronneti*, Mun. Ch., du Sénonien de Tunisie. D'autres échantillons présentent ce même *Cardinia* avec la coquille transformée en grès, mais quoiqu'il soit fort abondant, son état de conservation ne permet pas une détermination certaine. Parmi

les autres empreintes contenues dans les échantillons à *Cardinia*, je ne puis distinguer qu'un *Cardium* et un *Cerithium*.

Échantillons épars.

Les échantillons incontestablement crétaciques, mais ne se rapportant pas aux faunules précédemment décrites, ne paraissent pas avoir une grande importance. Ce sont principalement des échantillons de calcaires de différentes natures, en majeure partie oolithiques.

Un seul échantillon est formé par une dolomie gris jaunâtre, compacte, à éclat résineux ; il présente de petites cavités paraissant provenir de la disparition de fossiles.

Parmi les fossiles, je citerai un *Cardium* de grande taille, un *Hinnites* et *Cidaris Malheiroi*, P. de L., en outre une espèce qui mérite d'attirer spécialement l'attention :

* *Ostrea (Gryphæa) Szajnochai*, Choff.

Entre un numéro contenant *Schlenbachia inflata*, et une faunule que je rapporte avec doute au Tertiaire, se trouvait une Gryphée remplie par un calcaire marneux, jaunâtre ne correspondant à la gangue d'aucun autre fossile.

On trouvera dans la partie paléontologique les différences que cet échantillon présente avec *Ostrea Pitcheri* (Morton), de l'Amérique du Nord, espèce campanienne d'après M. Coquand.

Cet échantillon prend une certaine valeur par suite du fait suivant. M. Neumayr ¹ mentionne deux *Gryphées* rapportées de l'Afrique australe par le Dr Holub et portant l'étiquette « entre Cradoc et Tarkastadt, » elles proviendraient donc de la partie la plus septentrionale de la Colonie du Cap. Il dit que ces exemplaires ont une telle ressemblance avec les *Gryphæa arcuata* de la Souabe, qu'il suppose que l'on a affaire à des

¹ Neumayr, *Die geographische Verbreitung der Juraformation*, p. 55.

fossiles apportés par des émigrants et qui auront été donnés au D^r Holub avec une fausse indication de provenance.

La présence dans la province d'Angola d'une *Gryphée* crétacique voisine de *Gryphaea arcuata*, me fait supposer que les deux exemplaires trouvés par M. Holub pouvaient bien provenir réellement de l'Afrique méridionale. Le fait est d'autant plus probable, que le mode de conservation et la roche de l'exemplaire de Dombe-Grande ont aussi beaucoup d'analogie avec certains exemplaires de l'Europe centrale.

Tertiaire ?

J'ai des doutes au sujet de l'ère à laquelle je dois attribuer un petit lot de fossiles dont la gangue est formée par un calcaire à grosses oolithes reliées tantôt par un ciment très dur, tantôt par un calcaire marneux. Les fossiles ont conservé leur test, qui est transformé en carbonate de chaux cristallin, mais la dureté de la roche ne permet pas de dégager les charnières.

Ce petit lot contient deux * *Strombus* appartenant à une espèce voisine de *Strombus Fortisi*, Brongn., du Nummulitique de l'Italie et de l'Inde.

Quatre Lamellibranches, en mauvais état, paraissent appartenir aux genres *Astarte*, *Cardium* et *Pectunculus*?; enfin je signalerai un *Spondylus* très voisin de *Spondylus asperulus*, Goldfuss, espèce tertiaire, et de *Spondylus Guadalupæ*, Rømer, du Crétacique du Texas.

On se souvient que les couches à Bryozoaires contiennent un mélange accidentel de fossiles crétaciques et tertiaires.

Molasse marine.

Tandis que les fossiles précédents, que je rapporte avec doute au Tertiaire, n'ont aucune analogie avec la Molasse de Loanda, il n'en est pas de même d'un autre échantillon dont la roche s'en rapproche beaucoup, sauf la couleur. C'est un calcaire crayeux, blanchâtre, avec grains de quartz, criblé d'empreintes laissées par des coquilles brisées. Il ne m'a

été possible de reconnaître que deux échantillons, un *Pseudoliva* et un *Calyptræa*

Marnes à Foraminifères.

Marne jaune verdâtre, un peu feuilletée, contenant quelques fragments de *Dentalium* et de radioles d'*Oursins*; des empreintes de *Lucina*, de *Nucula* et de petits *Cardium*. Ces fossiles ont le test blanc comme ceux mélangés à la faune crétacique des couches à *Bryozoaires*.

Un échantillon présentait un petit *Foraminifère* visible à l'œil nu. Je l'envoyai à M. Schlumberger qui y découvrit une faune abondante au sujet de laquelle il m'écrivit que presque toutes les espèces se trouvent dans les Foraminifères de Vienne de d'Orbigny¹.

Roches éruptives modernes.

Deux échantillons de roche éruptive, qui se trouvaient dans cette collection, furent déterminés par M. Jacintho Pedro Gomes, naturaliste de la Section minéralogique du Musée national. Il y reconnut une liparite et un basalte néphélinique.

III. RÉSUMÉ

Ce chapitre est le résultat de l'étude des matériaux recueillis par M. Malheiro, combinés avec les données extraites des différents auteurs cités dans la partie historique et avec quelques observations faites dans les musées de Lisbonne. Il donne un aperçu bien vague encore des terrains formant le sol de la province d'Angola, mais j'espère qu'il aura au

¹ M. Schlumberger a présenté une note sur ce sujet à la séance du 5 mars 1888 de la Société géologique de France; cette note n'est pas encore publiée.

moins un avantage, celui de démontrer aux personnes qui vont dans ces contrées que les moindres observations qu'elles puissent faire, peuvent augmenter utilement nos connaissances sur ce pays, si elles sont accompagnées d'échantillons permettant de les vérifier et de les coordonner.

Comme traits géognostiques principaux, on a distingué trois zones, la *zone littorale*, dont la largeur est fort variable suivant les points où on la considère; la *zone médiane*, constituée par une série de hauteurs formant par place des gradins plus ou moins parallèles à la côte, et s'étendant jusqu'à la troisième zone, le *plateau central*.

Une autre théorie qui me paraît beaucoup moins rationnelle, fait rentrer la zone médiane dans le plateau central.

Ces traits orographiques sont loin d'être aussi simples que je viens de le dire, on peut s'en rendre compte en consultant deux cartes d'ensemble publiées par le gouvernement portugais et qui réunissent les documents connus sur l'orographie de la province; elles ont été toutes deux coordonnées par M. A.-A. d'Oliveira, conducteur des travaux publics. L'une, de 1885, est à l'échelle de 1 : 3,000,000; elle ne comprend que la province d'Angola.

L'autre, à l'échelle de 1 : 6,000,000, date de 1886; elle s'étend d'un côté à l'autre du continent, comprenant la totalité des possessions portugaises dans l'Afrique méridionale. Quoiqu'elle soit à une échelle plus petite que la précédente, elle fait mieux ressortir les traits orographiques.

Quant aux détails, on consultera avec fruit les cartes partielles publiées dans les voyages de MM. Capello et Ivens.

J'ai porté sur la carte d'Angola toutes les données géologiques qui m'ont paru mériter confiance, et j'ai obtenu ainsi une carte qui est fort loin d'être assez complète pour mériter d'être publiée, mais qui cependant contient une quantité de faits non représentés dans la carte de M. Lenz.

Les caractères principaux qui en ressortent sont les suivants :

La *zone littorale* est formée par des dépôts tertiaires et crétaciques sous forme de grès et de calcaires blancs, et de grès rougeâtres, jaunâ-

tres ou bigarrés, plus anciens que les calcaires crétaciques, se butant contre des schistes cristallins. Ces dépôts sont traversés par du trapp (?) accompagné de fer magnétique et en outre par du basalte, dans les provinces de Benguella et de Mossamedes.

La zone médiane est formée par des schistes cristallins alternant avec du granite et des grès paléozoïques. Elle correspond donc à la chaîne schisteuse de l'ouest de l'Afrique (West africanisches Schiefergebirge) de M. Lenz, mais est beaucoup plus étroite que ne l'indique cet auteur.

Le plateau central est essentiellement formé par les grès paléozoïques recouverts par la latérite, et reposant sur le granite et le gneiss, qui paraissent n'affleurer généralement que dans le fond des vallées.

Dans les trois zones se trouvent des dépôts superficiels dont il sera question plus loin.

Il est à remarquer que les chemins parcourus par les différents explorateurs suivent plus ou moins les principaux cours d'eau et que les sommets des montagnes nous réservent sans doute beaucoup de faits inconnus. La présence fréquente de silex pyromaques dans les lits des torrents qui en découlent, paraît prouver qu'ils ne sont pas entièrement composés de terrains anciens.

Je citerai en outre un fait paraissant prouver la présence de calcaires abondants en dehors de la zone littorale. D'après M. Chatelain, les puissants dépôts de tuf de Cambulo, près de Dondo, sont formés par les eaux qui pendant la saison des pluies découlent des montagnes du Libollo. Un autre torrent provenant des mêmes montagnes contient des silex pyromaques, tandis que l'on ne cite de cette région que du granite et des grès paléozoïques, or les grès paléozoïques que j'ai eus à ma disposition ne contiennent pas trace de calcaire; il est pourtant à observer qu'ils ne proviennent pas de ce point, mais de la contrée plus à l'est.

Dans l'énumération qui suit, je procéderai en général du nord au sud et de l'ouest à l'est, sauf indication spéciale; les degrés indiquent la latitude au sud de l'Équateur ou la longitude à l'est du méridien de Greenwich.

Roches éruptives anciennes, roches archéennes et paléozoïques.

On ne peut pas se rendre compte de l'étendue occupée par chacune de ces différentes roches, car les voyageurs ont généralement confondu les schistes paléozoïques avec les schistes archéens, ceux-ci avec le gneiss et ce dernier avec le granite, l'expression de roches granitiques qui revient fréquemment, indiquant selon toute probabilité le gneiss et le granite.

GRANITE. Les citations paraissant certaines ne sont pas fréquentes.

Le Fetich-Roc sur la rive gauche du Congo, en aval de Boma, est formé de « roches granitiques » (Zboinski). — Monteiro, parlant de Mussera, 7°,30' de latitude, dit que la contrée située à 60 ou 70 kilomètres de la côte est couverte d'énormes blocs de granite empilés les uns sur les autres.

Le même auteur parle de roches granitiques entre *Golungo-Alto* et *Cazengo* et d'une belle chaîne de montagnes granitiques dans le concelho du *Duque de Bragança*, chaîne qui se terminerait au sud de *Pungo-Andungo*.

D'après Welwitsch (notes), des blocs de granite reposant sur le schiste, se trouvent sur le *plateau d'Ambuca*.

M. Büchner cite le granite des cataractes de *Cambambe*, localité qui ferait partie de la montagne granitique de 200^m de haut qu'il traversa entre *Dondo* et *Kibuakata*, tandis que *Dumba Pepe* (sans doute *N'huba ia Pepe* de Capello et Ivens) serait sur le gneiss qui s'étendrait au delà de *Muta*.

Il dit en outre que le gneiss et le granite se trouvent dans le fond de toutes les vallées à l'est du *Cuillo* (dix-neuvième degré de longitude).

Welwitsch dit que dans la contrée de *Bumbo* (entre Mossamedes et la chaîne de Chella) le granite a traversé les terrains de transition, dont on voit les assises redressées sur ses flancs.

A 50 ou 60 kilomètres au N.-E. de *Mossamedes*, il y aurait d'après Monteiro du granite quartzeux et du porphyre.

Le granite se trouverait en outre au lac Ivantala près Huilla (Welwitsch).

MM. Capello et Ivens n'auraient par contre rencontré de granite qu'en un seul point entre Mossamedes et Quiteve, sur le Cunène, à *Joroculo* ($16^{\circ}, 11'$ lat., $14^{\circ}, 9'$ long.).

Dans les cailloux roulés recueillis par M. Chatelain dans le lit d'un torrent venant du Libollo, se trouvent une *diorite* et un gros *feldspath* rose, complètement arrondi.

GNEISS. On a vu plus haut que M. Büchner a observé le gneiss à l'ouest de Pungo-Andongo. D'après les notes de Welwitsch, les curieux rochers de Pungo-Andongo, de même que ceux de Guinga, seraient formés par le gneiss et seraient entourés de conglomérats siliceux très compacts, tandis que Livingstone, Büchner, et Capello et Ivens les considéraient comme formés par le conglomérat. Les détails donnés par M. Büchner et le fait qu'il avait été spécialement chargé d'étudier la composition de ces roches, ne permettent guère de douter de sa manière de voir.

Les rochers de Pungo-Andongo ont été figurés en 1858 d'après un dessin de 1833¹. Livingstone en donne une vue moins étendue, mais bien supérieure (p. 463). Une vue générale à petite échelle se trouve dans le premier voyage de MM. Capello et Ivens (II, p. 189), ces auteurs en ont en outre donné un plan, p. 198.

Enfin on trouvera une silhouette dans les notes de Welwitsch. Dans toutes ces figures on remarque des arêtes très vives qui ne concordent guère avec la nature du conglomérat.

Monteiro cite le gneiss entre *Golungo-Alto* et *Cazengo*, et à l'est de Novo-Redondo, à 70 ou 80 kilomètres de la côte, dans la *Serra de Ngello*, où il serait presque vertical, plongeant vers l'ouest et dirigé du nord au sud.

¹ Relação de uma fornada de Loanda ao presidio de Pungo Andongo, pelo Sr Sebastião de Almeida Saldanha da Fonseca. Vista de uma pequena parte das Pedras de Pungo Andongo pelo coronel Fortunato de Mello. (*Annaes do Conselho ultramarino*, parte nao official, Serie I, junho 1858.)

D'après M. Anchieta, les terrains secondaires du district de *Benguella* et de *Mossamedes* sont limités par du gneiss amphibolique, suivant une ligne s'étendant de 20 à 25 kilomètres de la côte; il est horizontal ou peu incliné. Monteiro le signale au sud de *Benguella*; les échantillons de M. Malheiro proviennent du nord et du sud de cette localité, malheureusement on ne sait pas de quelle distance de la côte.

Mossamedes. MM. Capello et Ivens l'indiquent à 70 kilomètres de la côte, au quinzième degré de latitude, à 20 kilomètres au S.-E. de *Huilla*, et à 40 kilomètres, au seizième degré.

SCHISTES ARCHÉENS ET PALÉOZOIQUES, CALCAIRE MÉTAMORPHIQUE. D'après M. Zboinski, des quartzites imprégnés de tourmaline s'étendent le long du Congo depuis 18 kilomètres en aval de *Boma*, jusqu'à *Vivi*. De ce dernier point à *Issanghila*, ces quartzites sont mélangés de mica-schistes abondants. Il y signale aussi des grès blancs.

En amont d'*Issanghila*, il distingue des quartzophyllades, des grès gris clair, des ardoises, des calschistes et des schistes argileux qui s'étendent jusqu'à *Manyanga-Sud*.

D'après Monteiro, la vallée de *Bembe* (7° lat., 14° 50' long.) est formée par des schistes argileux; à son extrémité nord se trouve une énorme masse d'un calcaire métamorphique, très dur, sans fossiles, d'environ 30' de hauteur.

A ce sujet, je mentionnerai que les n° 390 et 950 de l'exposition d'Anvers indiquent de la chaux fabriquée à *Cabinda* (*Ambaca*). L'un des exposants ajoute : « La mine qui produit la chaux exposée est immense, « et suffit à elle seule pour toutes les constructions et le blanchissage « de la commune d'*Ambaca*. Elle a été découverte en 1878 par Victor « de Castro, et la fabrication a déjà produit de 2000 à 3000 barriques. » Je n'ai pas vu ce calcaire, mais d'après *Welwitsch*, le *concelho* d'*Ambaca* est formé par des schistes arénacés et des grès qu'il attribue à l'époque dévonique. On peut donc supposer que ces calcaires sont analogues à ceux de *Bembe*.

D'après le même auteur, le *concelho* de *Golungo-Alto* est formé par des mica-schistes.

Monteiro a observé des schistes argileux, durs, au nord de Golungo-Alto, et des schistes quartzeux, très durs, au sud de la même localité; ces derniers sont dirigés de l'est à l'ouest et plongent S.-S.-O.

Mossamedes. M. Anchieta mentionne des *schistes primitifs* entre le gneiss et les terrains secondaires. D'après un profil de Welwitsch, la contrée s'étendant entre les terrains secondaires et Huilla serait presque entièrement formée par des schistes micacés ou arénacés. Monteiro a aussi observé des schistes quartzeux entre Mossamedes et la chaîne de Chella.

MM. Capello et Ivens signalent des schistes amphiboliques au sud du seizième degré de latitude, à 40 kilomètres de la côte.

GRÈS PALÉOZOÏQUES. D'après M. Büchner, on voit entre Cambambe et Dondo du granite recouvert par un grès argileux, parfois schisteux, de couleur gris rougeâtre; ce dernier est recouvert par un conglomérat à gros éléments. Les strates sont horizontales jusqu'à l'extrémité occidentale où elles plongent légèrement vers l'ouest. Sur la rive, on lui montra un endroit où l'on dit exister des couches de charbon. « Malgré que nous
« ayons cherché longtemps, nous ne trouvâmes que quelques morceaux
« d'un charbon tendre, fracturé, ayant l'aspect d'une brèche, d'un âge
« très récent et qui paraissaient s'être détachés d'une des couches du
« grès. »

M. Büchner ne se prononce pas sur l'âge de ce grès, mais l'échantillon qu'en a rapporté M. Chatelain me fait supposer qu'il est paléozoïque. D'après le même auteur, le grès réapparaît à l'est de Muta et continue jusqu'au vingt-deuxième degré de longitude.

Welwitsch signale des grauwackes, qu'il attribue à l'époque silurique, entre Golungo-Alto et Pungo-Andongo, et d'après ses notes, la chaîne de Chella est formée de grauwackes et de roches siliceuses, ce qui est confirmé par les échantillons rapportés par Capello et Ivens. Il attribue les schistes arénacés et les grès d'Ambaca à l'époque dévonique et signale des grès analogues à Huilla.

M. Chatelain m'a remis deux petits échantillons de Dondo et de la contrée de Pungo-Andongo; ils sont de grain très fin, avec de très petites

paillettes de mica, et ne contiennent pas trace de calcaire. Leur couleur est rouge lie de vin.

Ces échantillons ont tout à fait l'aspect de grès paléozoïques; quant à l'époque qui leur est attribuée par Welwitsch, il est probable qu'elle n'était basée que sur l'aspect pétrographique et sur le plus ou moins d'éloignement de la côte. Un échantillon rapporté des bords du Cuango par MM. Capello et Ivens a une grande ressemblance avec l'old red sandstone de l'Angleterre.

J'ai mentionné plus haut les rochers de Pungo-Andongo; il paraît donc bien établi qu'ils sont formés d'un conglomérat de fragments arrondis, de nature diverse, principalement de gneiss, dont la grosseur varie de celle du poing à celle de la tête. Ils sont liés par un grès rouge sombre et reposent sur un grès semblable ne contenant que de rares galets.

Livingstone dit que l'on prétend avoir trouvé dans ces grès un palmier fossile et émet l'idée qu'ils pourraient être de même âge que les grès de Tête dans le Zambèze.

Au musée colonial de Lisbonne se trouvent deux fragments de troncs d'arbres fossiles provenant de Cazengo (90 kilomètres N. O. de Pungo-Andongo), l'un paraît simplement silicifié, tandis que l'autre est fortement ferrugineux.

Livingstone observa les mêmes grès à Malange, et plus à l'est, à Tala-Mungongo, un grès schisteux, et encore beaucoup plus à l'est, à 20° 13' 34" de longitude et 9° 38' de latitude, « un conglomérat ferrugineux à aspect de scories, probablement un dépôt diluvien reposant sur un grès durci, d'un rouge pâle, au-dessous duquel est une roche schisteuse se rapprochant du trapp, et l'étage inférieur est composé d'un grès à texture grossière contenant un petit nombre de cailloux; ce grès est mêlé à des roches blanches de nature calcaire et à des bancs de quartz libres. »

Ce serait peut-être le cas de mentionner ici les grès bitumineux du Libungo, que Welwitsch rapportait à la période carbonique, mais à en juger par Lang et Monteiro, ils paraissent plutôt être liés aux grès de Dombe, c'est-à-dire aux terrains secondaires.

MINÉRAIS DANS LES TERRAINS PRÉCITÉS. Le tableau statistique qui accompagne la *carte d'Angola* dont il a été question plus haut, signale l'*or* dans les concelhos de Golungo-Alto, Quillengues, Caconda et Huilla.

Monteiro a essayé l'exploitation dans la première de ces contrées, les sables aurifères de la rivière de Lombige. Il en dit ce qui suit : « Entre
« Golungo-Alto et les terres aurifères du Lombige, le sol est formé par
« des schistes argileux, durs, dans lesquels je n'ai observé que quel-
« ques veines de quartz et, dans mon opinion, c'est un pauvre terrain
« aurifère. Après plusieurs mois de travail, on n'obtint que quelques
« livres d'or. »

L'analyse d'un échantillon de cet or a montré : or : 93,860, argent : 5,352, cuivre : 0,404.

Depuis lors, il aura sans doute été fait de nouvelles études, car une compagnie d'exploitation s'est formée en 1886, en annonçant la valeur de 50 francs d'or par tonne de sables aurifères.

Je ne sais rien au sujet du gisement dans les trois autres localités. Quillengues et Caconda sont à peu de distance de l'intersection du quatorzième degré de latitude avec les quatorzième et quinzième degrés de longitude; Huilla, au sud du quinzième degré de latitude et à peu près mi-distance entre le treizième et le quatorzième de longitude. Toutes ces contrées aurifères sont donc dans les schistes. La carte *Sà da Bandeira* indique des sables aurifères sur le *Zenza*, entre Golungo-Alto et Lucalla. On dit aussi que de l'*or natif* se trouve dans le pays des *Ganguellas*.

Argent. D'après MM. Capello et Ivens, l'argent existerait sans aucun doute dans la *Jinga* et probablement sur la rive gauche du *Lucalla*, près de *Banza-Dalongo*; on dit aussi en avoir rencontré dans le *Camambe*.

Cuivre. La malachite se trouve sur presque tout le littoral d'Angola; M. Lenz (1878, p. 152), se basant sur des récits de voyageurs, admet qu'elle est contenue dans les schistes cristallins, mais c'est rarement le cas, car Monteiro, qui a exploré la plupart des gîtes de cuivre de la province, dit n'en avoir rencontré qu'un seul *in situ*; ce sont des veines

généralement petites de covelline, contenues dans des filons de quartz au milieu des schistes situés entre Mossamedes et la chaîne de Chella.

Dans les possessions allemandes, au sud du vingt-troisième degré de latitude, le cuivre se trouve dans le gneiss, d'après M. Schenk ¹.

M. Chatelain m'a donné un échantillon de grès paléozoïque, tapissé de malachite, provenant de Cambulo près Dondo.

On dit que du cuivre natif se trouve dans le pays des Ganguellas (17° ,30' lat. sud).

Le *plomb* existe sans aucun doute dans le district de Mossamedes, sous forme de galène dont j'ai vu des échantillons, sans connaître le lieu exact de leur provenance.

Le *fer* est abondant dans la province; nous verrons plus loin qu'une partie est de formation récente (limonite) et que le fer magnétique d'Icolo et Bengo est considéré par Livingstone comme lié aux roches éruptives récentes. M. Arthur de Paiva ² signale du fer magnétique abondant dans la Serra Ferreira do Amaral (14° ,30' lat., 15° ,30' long).

Grès bitumineux

Libungo, localité située à quelques kilomètres de la côte, au bord du Lifune, rivière au nord du Dande, est depuis fort longtemps célèbre par son bitume minéral, improprement appelé pétrole, qui était autrefois employé à Loanda pour goudronner les embarcations grandes et petites. M. Monteiro dit qu'on ne le recueille plus (1875) et qu'il en ignore la raison. A une époque plus récente, on a essayé de l'employer comme asphalte dans les rues de Loanda.

D'après cet auteur, le soi-disant lac de pétrole se trouve à une demi-journée de marche, au nord-ouest de Libungo, non loin de la mer « que l'on entendait, mais que l'on ne pouvait pas voir. »

¹ Zur Geologie von Angra-Pequena und Gross-Namaqualand. (*Zeitschrift der deutschen geol. Gesellschaft*, 1886, p. 239.)

² A expedição ao Cubango. (*Bol. da Soc. de Geographia de Lisboa*, 1887.)

« La roche est un grès fin et friable, tellement imprégné de bitume
« que celui-ci s'écoulait par la tranche horizontale des strates et formait
« de petits amas variant d'une à deux onces jusqu'à quelques livres et
« davantage.

« La roche des environs de Libongo est un schiste noir qui est
« aussi fortement imprégné de bitume. Un habitant de Loanda, croyant
« que cette circonstance indique du charbon à une certaine profondeur,
« fonça un puits de quelques *fathoms* (le fathom a 1^m 83) dans ces schis-
« tes; je visitai la place pour chercher des restes organiques dans la
« roche extraite, mais je ne pus rien découvrir.

« A mi-chemin entre Libongo et l'endroit où l'on récoltait le bitume,
« j'observai une arête de quartz courant de l'est à l'ouest et qui paraissait
« avoir fait éruption à travers les schistes. »

Lang fait déjà remarquer que c'est à tort que l'on parle du *pétrole* à Libongo, et que l'on doit le nommer asphalté ou bitume. D'après lui, les sources se trouvent dans deux collines; l'une, nommée Cabengama, est au S.-E. de Libongo, l'autre, nommée Quitatua, est au N.-O. Dans ces deux points, le bitume imprégnait un grès et n'en décollait que par les grandes chaleurs. Dans les deux localités, Lang chercha en vain des traces de charbon minéral.

Au milieu des coquilles récentes rapportées par Welwitsch et renvoyées de Londres à Lisbonne, se trouvait un petit échantillon de grès bitumineux, portant l'étiquette « Montes de Libongo. » Cette plaque présente à sa surface de petits Lamellibranches indéterminables, mais qui paraissent être lacustres ou saumâtres.

Welwitsch assignait à ces grès la période carbonique et les considérait comme inférieurs aux grès bigarrés de la même contrée, tandis que les autres auteurs ne parlent pas de leurs rapports stratigraphiques.

Monteiro cite des grès bitumineux d'une autre localité, la pointe de Mussera qui, d'après sa carte, est située sur la côte, à environ 7° 30' de latitude, c'est-à-dire à environ 100 kilomètres N.-N.-O. de Libongo.

Il ajoute que l'on parle d'un lac de bitume à quelques milles à l'inté-

rieur de Kinsao, 6° 50', mais que les naturels ne permettent pas d'y aller.

La carte d'Angola, dont il a été question plus haut, indique le *pétrole* (bitume) dans les *concelhos* du Dande (= Libungo), de Golungo-Alto et de Novo-Redondo.

Novo-Redondo est au bord de l'Océan (11° 10' lat.); on dit que les fossiles y abondent et *Rhabdocidaris Capelloi*, P. de L., qui provient de Quingillo, à une dizaine de kilomètres en amont de l'embouchure de la rivière¹, prouve qu'il s'y trouve le terrain crétacique. En outre, la collection Capello et Ivens contient des fragments de charbon provenant du même lieu que l'Oursin. C'est un charbon feuilleté, qui brûle à la flamme d'une bougie, et qui, traité par la potasse caustique ou par l'acide azotique bouillants, ne leur communique pas la couleur brune qui caractérise les lignites; c'est donc une véritable *houille*. Ce qui précède paraît prouver que le bitume du *concelho* de Novo-Redondo est bien dans les mêmes conditions stratigraphiques que celui de Libungo, c'est-à-dire dans des grès inférieurs au Crétacique fossilifère.

Le fait que le charbon qui leur est probablement associé est une véritable houille et non pas un lignite, ne prouve rien quant à leur âge, car il en est de même du charbon du cap Mondégo qui appartient au Jurassique supérieur.

Le cas est différent quant à la mention de bitume à Golungo-Alto; à en juger par les nombreux explorateurs qui y ont été, les grès qui s'y trouvent sont bien inférieurs à ceux du littoral, et aucun d'eux ne fait mention du bitume, dont on leur aurait probablement parlé s'il existait réellement.

Grès de Dombe.

D'après plusieurs auteurs, des grès rouges ou bigarrés contenant des minerais de cuivre, du soufre et du gypse, se trouvent au-dessous du calcaire crétacique fossilifère.

¹ Cette rivière, qui aboutit à Novo-Redondo, se nomme *Ouenje* sur la carte de MM. Capello et Ivens, *Ganza* sur les autres.

Welwitsch les considère supérieurs aux grès paléozoïques, ce qui est confirmé à mon avis par la présence du soufre et du gypse et par l'aspect pétrographique de morceaux de grès envoyés de Mossamedes au Musée des Colonies, comme échantillons de pierres de taille et de pierres à aiguiser. Ils sont formés par un grès très fin, jaune rougeâtre, avec paillettes de mica de très petites dimensions; ils sont complètement différents de tous les échantillons de grès paléozoïques et de grès tertiaires d'Angola que j'ai eu l'occasion de voir.

On leur a attribué les dénominations de *grès triasiques*, *grès rouge* et *grès bigarrés*, qui toutes trois sont à rejeter, car elles font supposer un synchronisme qui n'existe pas. Les minéraux qu'ils contiennent : cuivre, soufre et gypse, ne donnent pas une dénomination meilleure que la couleur, car le cuivre n'y forme que des dépôts adventifs et il paraît que le soufre et le gypse existent aussi dans les grès tertiaires de Loanda. J'ai donc dû choisir une désignation nouvelle, et l'ai naturellement tirée de la géographie.

D'après M. Malheiro, le gneiss des environs de Benguella est recouvert en stratification discordante par un grès contenant du gypse, du soufre et de la malachite, et recouvert lui-même par les calcaires fossilifères. En se basant sur l'aspect pétrographique et sur le recouvrement par les calcaires qu'il croyait jurassiques, il considéra ces grès comme appartenant à l'époque triasique.

C'est aussi à cette même époque que les rapporte Welwitsch, mais il paraît y avoir une erreur d'impression dans le passage que j'ai déjà transcrit.

« L'époque des dernières formations correspond à l'étage *inférieur* du « Trias, représenté par les calcaires coquilliers du Muschelkalk qui constituent, près de l'embouchure du Dande, un gisement de pierres à « bâtir exploité par les habitants. Des grès bigarrés et des marnes irisées caractérisent l'étage *supérieur*. »

Ce dernier mot, *supérieur*, doit à mon avis être remplacé par *inférieur*, car si Welwitsch l'avait considéré comme supérieur au Muschel-

kalk, il l'aurait assimilé au Keuper et n'aurait donc pas dit que l'époque des dernières formations correspond à l'étage *inférieur* du Trias.

Quant à ce soi-disant Muschelkalk, c'est certainement du calcaire crétacique, car on ne doit pas oublier que Welwitsch n'a pas pu revoir ses récoltes géologiques à son retour en Europe.

Welwitsch place donc ses grès bigarrés entre le Crétacique fossilifère et les grès bitumineux de Libungo.

Monteiro qui a étudié presque tous les gîtes cuprifères de la province, les considère tous comme remaniés, sauf celui dont il a été question à propos des schistes.

Il explora le littoral depuis « Cassanza, à environ 80 milles au sud du Quanza, jusqu'à Mossamedes, » sur une largeur de 50 à 60 kilomètres à Mossamedes, et de 70 à 80 à Novo-Redondo.

Comme caractère géologique de cette bande explorée, il dit que la partie orientale est formée par du gneiss, généralement très quartzeux; « près de Cuio (treizième degré), il contient une grande quantité de « hornblende et de mica et, dans les environs de Mossamedes, il passe à « un porphyre à grain fin et à un beau granite avec grands cristaux de « feldspath.

« Près de la mer, ces roches primitives sont en contact avec une ligne « de dépôts tertiaires, principalement de gypse massif et des grès en « bancs d'épaisseurs variées, séparés par des lits d'une poudre fine. »

On ne doit pas oublier que Monteiro entendait, sous la dénomination de Tertiaire ou de couches récentes, la totalité des terrains secondaires et tertiaires, et que les grès dont il parle sont inférieurs aux calcaires crétaciques, ce qu'il exprime très clairement en parlant des environs de Loanda.

Parlant des gisements de cuivre de Novo-Redondo, il dit qu'ils étaient tous dans les couches récentes, à leur jonction ou à proximité des roches primitives et consistaient en traces de carbonates bleus ou verts dans le limon sédimentaire ou dans les bancs de grès.

Il arrive aux mêmes résultats pour les environs de Benguella :

« Sur un point nommé Quileba, à environ 6 milles à l'intérieur de Benguella, j'explorai un dépôt de minerai de cuivre à la jonction du gneiss et des dépôts sédimentaires. Ce dépôt fournit environ 2000 tonnes de minerai de bonne qualité, en majeure partie de la malachite terreuse, avec un peu de covelline. Il était adhérent au gneiss, en une masse irrégulière ayant de 5 à 7 mètres depuis la surface jusqu'à la base. Lorsque cette masse fut exploitée, il ne fut pas possible d'en retrouver d'autre, soit en profondeur, soit dans le voisinage. »

A propos de l'abondance du soufre et du gypse dans les environs de Dombe-Grande, nous lisons, p. 197 : « Il y a une grande quantité de soufre natif dans les collines gypseuses, sur la rive septentrionale de la rivière à Dombe-Grande. Les traversant un jour, j'arrivai à une petite éminence qui paraissait être entièrement composée de soufre et, avec quelques bois, je parvins à détacher un bloc de soufre solide pesant environ 30 livres. »

Page 200 : « La route de Dombe-Grande à Cuio passe par des ravins profonds, à parois perpendiculaires, taillées par l'action de l'eau dans du gypse solide; ce dernier est également abondant sur d'autres points de Benguella. »

Age et extension. On peut affirmer qu'il sera possible de fixer l'âge des grès de Dombe, puisqu'il existe des fossiles dans les grès bitumineux qui, d'après Welwitsch, leur sont inférieurs, mais pour le moment on en est réduit à de simples hypothèses.

1° Nous avons vu que l'âge tertiaire qui leur est attribué par Monteiro ne peut pas être soutenu depuis que l'on connaît l'âge des calcaires qui les recouvrent.

2° Welwitsch et M. Malheiro les considèrent comme *triasiques* en se basant sans doute sur deux considérations, le recouvrement et l'aspect pétrographique.

La première n'a pas de valeur, puisque les calcaires qui les recouvrent sont d'âge crétacique et non pas triasiques ou jurassiques, comme le croyaient ces deux observateurs.

La deuxième considération a plus de valeur, car on sait que le gypse et le cuivre sont répandus dans les terrains permiques et triasiques de l'Europe et que, dans l'Afrique australe et en Abyssinie, de grandes étendues de terrain sont formées par les *grès de Karoo*, qui représentent le Triasique et probablement aussi le Permique et une partie du Carbonique.

J'objecterai que, d'après Monteiro, le cuivre n'y forme qu'un dépôt remanié, que le gypse se trouve dans tous les dépôts saumâtres, et que les grès de Karoo peuvent tout aussi bien être représentés par un des grès de l'intérieur que par les grès gypsifères ou les grès bitumineux.

3° En admettant la deuxième hypothèse, il y aurait une discordance à la base de ces grès et une autre qui les séparerait du Crétacique.

En attendant que M. Malheiro livre à la publicité les profils qu'il a relevés, ou que l'on découvre quelques fossiles déterminables, il est permis d'émettre une autre hypothèse, reposant uniquement sur l'intercalation de grès dans les calcaires crétaciques : c'est que ces grès gypsifères appartiennent aussi à ce système et qu'il en est peut-être de même des grès bitumineux.

Cette supposition n'a du reste rien d'extraordinaire, puisqu'il est aujourd'hui démontré que c'est à la période crétacique que doivent être rattachés les grès de Nubie dont la position a été contestée pendant si longtemps.

Les grès de Dombé sont probablement l'analogue des grès bigarrés, signalés sur la Côte-d'Or (Guinée) par Pierre Merian¹ en 1841, et en 1878 au Gabon, par M. Lenz. Ces deux savants, tout en faisant remarquer leur analogie pétrographique avec le Trias, ajoutent qu'il serait dangereux de se prononcer sur leur âge, ne connaissant ni sur quoi ils reposent, ni les couches qui les recouvrent.

Je ferai en outre remarquer que, d'après M. Lenz, le Crétacique du Gabon est encore plus gréseux que celui d'Angola, cette troisième hypothèse peut donc aussi être appliquée à cette contrée.

¹ *Bericht über die Verhandlungen der naturforschenden Gesellschaft in Basel*, V, p. 99 et 100 et *Neues Jahrbuch, de Leonhard und Bronn*, 1841, p. 488.

Dans un travail tout récent, M. Gürich¹, examinant la littérature sur les contrées voisines du golfe de Guinée, fait voir que ces grès y occupent une étendue considérable et qu'ils sont, sur plusieurs points, liés à des calcaires, mais il n'apprend rien de nouveau sur leur âge.

Si en Angola nous réunissons aux grès de Dombe les grès bitumineux qui sont contigus, s'ils ne leur sont pas synchroniques, nous avons les citations suivantes qui s'étendent du nord au sud de la province, à une faible distance de la côte : Mussera, Dande, Novo-Redondo, Dombe-Grande.

Plus au sud, M. Schenk², parlant des territoires situés au sud du vingt-troisième degré de latitude, y distingue le gneiss et des schistes verdâtres, recouverts par un grès blanc et rouge, en bancs épais, surmonté par des calcaires gris clair, en bancs épais, sans fossiles.

Sel.

Le sel constitue dans l'Afrique tropicale un des articles d'échange les plus recherchés. Tous les voyageurs parlent de l'habitude qui règne parmi les indigènes d'Angola, de le façonner en prismes qui sont ensuite entourés de fibres végétales et qui ont cours comme monnaies. Cependant on ne sait que peu de chose sur ses gisements.

En faisant abstraction du sel exploité dans les lagunes du bord de la mer, et de celui que les indigènes de l'intérieur obtiennent au moyen de cendres de végétaux, il me semble que l'on peut le diviser en deux catégories quant à sa provenance. 1° Ruisseaux et marais salés de l'intérieur du continent, c'est-à-dire de contrées paléozoïques. 2° Sources salées et mines de sel (?) de la zone littorale.

Le sel d'Angola se trouvant dans les collections de la Société de géographie ou au Musée colonial de Lisbonne, indiqué comme sel minéral,

¹ G. Gürich, Beiträge zur Geologie von Westafrika. *Zeitschrift der D. geol. Gesell.* 1887, p. 96.

² A. Schenk, Ueber die geologischen Verhältnisse von Angra-Pequena. (*Zeitschrift der deutschen geol. Gesellschaft*, 1885, p. 534.) — Zur Geologie von Angra-Pequena und Gross-Namaqualand (*id.*, 1886, p. 236).

en opposition à sel marin, se présente sous trois formes. *a.* Les prismes de Quissama, dont il sera question plus loin. *b.* Cristaux plus ou moins purs, cubes et trémies, atteignant deux centimètres de côtés, paraissant avoir été produits artificiellement. *c.* Masses irrégulières, dépassant la grosseur des deux poings, soit arrondies sur tout le pourtour, soit d'un côté seulement, le côté non arrondi présentant des cristaux bien formés. Parfois ces masses sont traversées par un bois mince, branche ou racine (?) autour duquel il semble que la cristallisation s'est effectuée. (Ce fait est observable sur des échantillons de divers points de l'Afrique : Angola, Mozambique, S. Thiago; un morceau présentant le même aspect, mais n'étant pas traversé par un bois, provient en outre de la Guinée portugaise.)

1° Au sujet de la première catégorie mentionnée plus haut, le catalogue portugais de l'Exposition d'Anvers signale du sel d'Encoge, d'Ambaca et de Golungo-Alto. Welwitsch dit que près de Quitaxe, au sud de Malange, se trouvent des ruisseaux et des marais salés d'où l'on retire du sel, et dans lesquels croissent des plantes maritimes, *Ruppia maritima*, etc.

MM. Capello et Ivens, parlant du pays des Bangalas et des Jingas, signalent des marais d'où l'on extrait un mélange de chlorure de sodium et d'azotate de potasse.

2° Le gisement principal de la zone littorale est celui de Quissama, célèbre dès le commencement du XVII^{me} siècle; il ne m'est connu que par les données suivantes :

Un document du commencement du XVII^{me} siècle, dit que le sel est extrait au pic, de carrières nommées Adenda, couvrant une étendue de plus de 10 lieues et situées à égale distance de la mer et du Cuanza.

Un document de la fin du siècle dernier ¹ parlant du même gisement, le nomme Demba (d'après la carte de Capello et Ivens, à 60 kilomètres au S. S. O. de Muxima). Il dit que le sel s'extrait d'une grande plaine,

¹ Voyez Lopez de Lima.

privée d'eau et entourée de montagnes; les nègres font dans le sol des trous de deux palmes¹ ou plus de profondeur et de trois pouces de diamètre, ces trous se remplissent immédiatement d'une substance liquide ayant la consistance d'une gelée; les nègres enlèvent alors la terre qui se trouve autour des trous et la substance se solidifie sous forme d'un sel blanc sale ou gris clair. Ces petits cylindres sont ensuite nettoyés et on leur donne la forme d'un prisme octaédrique.

Les échantillons de sel de Quissama qui se trouvent au Musée colonial et à la Société de géographie, n'ont qu'un diamètre inférieur à trois centimètres; ils sont composés de cristaux en général limpides, de grosseurs variables, les plus gros étant aussi bien au milieu du prisme que sur le pourtour. En un mot, ils ne présentent pas l'aspect d'une substance ayant cristallisé dans des moules, mais plutôt celui de grains mis dans des moules et arrosés ensuite pour les consolider.

Le Musée colonial contient de grosses pierres de sel provenant de Benguella, et le catalogue d'Anvers signale des salines naturelles à 3 milles de Mossamedes, sur une surface de six hectares, à 100 mètres au-dessus du niveau de la mer².

Il signale en outre du sel minéral de Cacuaco (Loanda) et de Catumbella.

Welwitsch fournit une donnée fort importante dans son profil dirigé de Mossamedes vers l'est; c'est celle de sources salées nommées « *Pedra do sal*³, » entre des mines de cuivre et le pied occidental d'un affleurement de schistes micacés nommé Marco de Cuanhanga. Mais à en juger par le dessin, il y aurait des schistes micacés plus à l'est.

Les gisements de la zone littorale sont peut-être à rapporter aux grès de Dombe ou aux grès bitumineux, à en juger par leur position géographique, et par le caractère saumâtre de ces grès.

¹ La palme équivalait à 22 centimètres et était divisée en 12 pouces.

² Indiqué dans la carte *Sã da Bandeira*.

³ M. F.-A. Pinto (*Angola e Congo*, 1888, p. 21), dit que dans les points de la zone basse de Mossamedes, où le terrain est de couleur foncée et où il ne pleut qu'une fois en deux ou trois ans, la pluie est suivie de l'apparition d'une grande quantité de cristaux de sel qui donnent au terrain l'aspect qu'il a en Europe après une gelée blanche.

La présence de sel dans ces grès ne prouverait pas grand'chose en faveur de leur âge, car si le sel est abondamment répandu dans le Triasique de l'Europe, les gisements du Sahara appartiennent à l'époque tertiaire, et ceux de la Colonie du Cap se trouvent dans la *Uitenhage formation*, qui appartient soit au Crétacique inférieur, soit au Jurassique.

Crétacique fossilifère.

D'après Anchieta, le Crétacique de Benguella présente une alternance de couches peu épaisses de grès et de calcaires compacts. Les récoltes de M. Malheiro nous ont montré que ces calcaires sont fort variables, tantôt marneux, tantôt formés par des oolithes d'un blanc éclatant et parfaitement pures, tantôt mélangées de glauconie; d'autres fois on a un calcaire compact, ou même une dolomie.

Toutes ces roches sont plus ou moins blanches, sauf les marnes qui sont gris jaunâtre et les grès qui affectent une teinte jaunâtre.

Pour le moment, on n'a cité de fossiles crétaciques que des environs de l'embouchure du Dande, de Novo-Redondo, de Lobito, de Catumbella, de Dombe-Grande et de Great-Fish-Bay.

D'après la carte de M. Lenz, le Crétacique s'étendrait depuis l'embouchure de l'Ambriz jusque près du cap Frio.

Il est probable qu'il ne se trouve pas au sud du vingt-troisième degré de latitude, car les calcaires gris bleu sans fossiles dont parle M. Schenk ne paraissent pas avoir de rapports avec les calcaires blancs d'Angola.

Quant à l'extension du calcaire crétacique vers l'intérieur, elle est naturellement très limitée au sud de Benguella, tandis qu'elle paraît être assez étendue vers Loanda.

Tout ce que je puis dire, est que l'échantillon de calcaire de Bom-Jesus, rapporté par M. Chatelain, paraît bien appartenir au Crétacique, et que Muxima, situé à près de 100 kilomètres de la côte, ferait peut-être encore partie de ce système, car Monteiro nous apprend qu'il est situé sur le sommet d'une colline rocailleuse et escarpée, composée de calcaire blanc.

Je rappellerai que des silex pyromaque se trouvent dans les lits de torrents descendant du Libollo, et dans d'autres points de la contrée, entre autres de Cassanje. On ignore complètement dans quelle roche ils étaient contenus.

Subdivision. D'après le peu que l'on connaît, les couches à *Pholadomya pleuromyæformis* forment la base du Crétacique fossilifère, elles n'ont été observées qu'à Dombe-Grande. Leur faune est composée d'espèces en général de petite taille, Gastéropodes et Lamellibranches avec quelques Échinodermes. La présence d'un exemplaire d'*Acanthoceras mamillare* me les fait ranger dans l'étage albien.

On pourra facilement se rendre compte de cette petite faunule, dont la majeure partie est représentée Pl. III, fig. 6-12; Pl. IV, fig. 6-10 et 12; Pl. V, fig. 1-10; Pl. VI, fig. 2-4; Pl. VII, fig. 1-5.

Les couches à *Schlænbachia inflata* paraissent avoir une plus grande extension, ou du moins elles attirent plus facilement l'attention. Dans le district d'Angola, elles présentent des calcaires crayeux, parfois oolithiques, avec Céphalopodes, Gastéropodes, Lamellibranches et Oursins.

Les listes de fossiles que l'on a vues plus haut font voir que les faunules de Dombe-Grande et de Catumbella ne sont pas identiques, malgré la proximité relative de ces deux localités. Le fait principal est l'absence des Céphalopodes déroulés à Dombe-Grande, tandis qu'ils sont abondants à Catumbella.

A en juger par les quelques lignes de M. Stanislas Meunier, la faunule de Lobito présente le même aspect que celle de Catumbella.

On n'a aucun détail sur le gisement de *Schlænbachia inflata* au sud de Mossamedes. Dans les îles Elobi et sur les côtes voisines du Gabon, ces couches sont représentées par des grès ne paraissant pas avoir beaucoup d'analogie avec le faciès d'Angola.

Quatre fossiles permettent de fixer l'âge de ces couches par rapport à celles de l'Europe, ce sont *Schlænbachia inflata*, *Schlænbachia inflatifomis*, *Hamites virgulatus* et *Hoplites dispar*.

Schlænbachia inflata se montre en Europe dans le Gault inférieur où

il est très rare, tandis qu'il est fréquent à partir du Gault moyen; il se trouve encore avec *Ammonites Rotomagensis* dans le bassin d'Uchaux (Hébert), mais son niveau principal est inférieur au Rotomagien.

Dans la partie paléontologique, j'examinerai les citations d'*Hoplites dispar*; on verra qu'il apparaît aussi dans le Gault inférieur, mais que son niveau principal est aussi immédiatement inférieur au Rotomagien; il en est de même de *Hamites virgulatus*.

La troisième espèce, *Schlœnbachia inflatiformis*, n'a été rencontrée qu'aux îles Elobi et en Europe dans les Basses-Alpes, où elle serait en plein Gault.

D'après les trois premières espèces, cette assise serait donc à rapporter à ces couches, immédiatement inférieures au Cénomaniens, que M. Hébert rattache à cet étage, tandis que M. Renevier et d'autres géologues les considèrent comme formant un étage à part, le Vraconnien. D'après les Céphalopodes, les couches à *Schlœnbachia inflata* d'Angola ont plus de rapport avec le Gault qu'avec le Cénomaniens proprement dit, ce qui serait encore confirmé par la présence d'*Acanthoceras mamillare*, si l'exemplaire calcaire de Dombe-Grande doit réellement être rattaché à cette assise.

Les autres niveaux du Crétacique d'Angola sont encore bien moins connus; je rappellerai que ce que j'ai distingué comme assise ne représente que des lots de fossiles, rapprochés par leurs caractères paléontologiques et pétrographiques, qu'il se peut donc parfaitement que plusieurs d'entre eux appartiennent à une même assise.

Je suis encore plus au dépourvu quant à leur ordre de succession, mais d'après les affinités paléontologiques, on peut dire que les couches à Bryozoaires, ou du moins les fossiles crétaciques qu'elles contiennent, sont entre les couches à *Pholadomya* et les couches à *Schlœnbachia inflata*, et que les couches à *Cyprina Ivensi* se trouvent en connexion avec les couches à *Schlœnbachia inflata*, soit qu'elles leur soient supérieures, soit qu'elles leur soient inférieures.

Plus haut viennent les oolites blanches, parfois pures, parfois mélan-

gées de glauconie, avec *Polypiers*, *Nérinées* et *Actéonelles*, et plus haut encore, les grès à *Ostrea Baylei* et *Ostrea Olisiponensis*. Il n'est pour le moment pas possible de dire si ces deux derniers lots ne représentent que le Cénomaniens supérieur ou bien des étages encore plus récents.

Roches éruptives modernes.

Livingstone, parlant d'Icolo et Bengo, s'exprime de la manière suivante : « Le *trapp*, en beaucoup d'endroits, a rempli les gorges formées par le soulèvement des roches, et il existe, au point de jonction des roches ignées et de celles d'un âge plus ancien, une quantité considérable de *fer fortement magnétique*. » Le fer magnétique se trouve aussi dans les environs de Mossamedes, je ne sais pas s'il y est associé aux *trapps*.

Welwitsch suppose que les *trapps* précités et les dépôts ferrugineux des environs de Zenza sont le produit d'éruptions postérieures au Triasique. Il mentionne aussi des *trapps* au milieu des calcaires de Mossamedes.

Monteiro parle aussi des *trapps* d'Icolo et Bengo qui donnent à la contrée un caractère très pittoresque. Dans le concelho du Duque-de-Bragança, il parle de « *trachyte* et d'autres roches volcaniques, » et à Cambambe, le *trachyte* serait accompagné de *basalte*. De Benguella à Mossamedes, l'aspect principal, vu de la mer, consiste en collines aplaties ou tables (mesas) dénuées de végétation. Elles sont composées de *basalte* et ont une hauteur de 200 à 300 pieds. — Entre la rivière de S. Nicolau (quatorzième degré de latitude) et Mossamedes, se trouve une bande de *basalte en colonnes* et de *trapp* ayant quelques milles de largeur.

M. Hœpfner dit aussi que le *basalte* est fréquent le long des côtes de Mossamedes; il ajoute que les habitants de cette localité le prennent pour de la houille et que c'est à ce fait que l'on doit attribuer la mention de houille de la province d'Angola, dans le rapport de l'exposition de Philadelphie. Nous avons vu plus haut que la houille y existe réellement.

Il ne me reste plus qu'à rappeler les échantillons de *basalte néphélinique* et de *liparite* rapportés de Dombe-Grande par M. Malheiro.

Tertiaire sédimentaire.

Quoique l'abondance de fossiles dans la molasse marine ait forcément dû attirer l'attention des personnes débarquant dans la province, on connaît encore moins le Tertiaire de cette contrée que son Crétacique.

La carte de M. Lenz indique une bande interrompue de « Tertiaire plus récent que l'Éocène, » depuis l'Équateur jusqu'au nord de Benguella.

Depuis l'Équateur jusqu'à l'embouchure du Congo, elle est séparée de l'Océan par des dépôts alluviaux, tandis qu'elle formerait directement le rivage depuis Ambrissette jusqu'au nord de Benguella.

Cette bande de Tertiaire doit être prolongée vers le sud. M. d'Anchieta dit que ce terrain s'étend de Benguella à Mossamedes, et des échantillons rapportés par Welwitsch¹ et par Capello et Ivens montrent sa présence encore plus au sud, au cap Negro, à Porto-Pinda et à S. Bento-do-Sul, c'est-à-dire jusque près du seizième degré de latitude.

On sait du reste que des strates tertiaires ont été reconnues à la colonie du Cap.

Je vais mentionner les observations en les groupant d'après leurs affinités.

1^o On se souvient que Welwitsch parle de strates calcaires appartenant à l'Éocène. Les calcaires blancs à nombreux *Ostrea*, formant les falaises d'Ambrissette (Pechuel Loesche) appartiendraient-ils à cet étage ou seraient-ils crétaciques?

2^o Nous avons vu à Dombe-Grande un calcaire dur, oolithique, avec *Strombus* paraissant tertiaire. Cette récolte aurait-elle de l'analogie avec la roche oolithique, brun foncé, à *Polypiers* et *Lamellibranches*, signalée par M. Lenz sur la côte du Loango? Pour le moment, rien ne prouve que ces récoltes soient plus anciennes que les autres gisements incontestablement tertiaires.

¹ Choffat, *Note préliminaire sur les fossiles d'Angola*, etc.

3° Je mentionnerai encore, parmi ces récoltes douteuses, les *couches à Bryozoaires et Polypiers*, rangées dans le Crétacique, mais contenant probablement un mélange de fossiles tertiaires.

4° Nous avons vu que M. Lenz cite des débris de vertébrés à Landana (cinquième degré de latitude). Parmi les récoltes de M. Feio, se trouvent des échantillons de marne grise, micacée, avec débris de Vertébrés et un *Ostrea*, le tout indéterminable. Ils proviennent de l'embouchure du Lifune (Dande).

5° Marnes grises, feuilletées, à nombreux Foraminifères miocènes (Schlumberger), de Dombe-Grande.

6° *Molasse fossilifère*. Roche gréseuse, jaune verdâtre, dans les environs de Mossamedes : Porto-Pinda, *Cardium*; S. Bento-do-Sul, *Natica*, *Nassa*, *Buccinum*, *Ostrea* (Capello et Ivens); cap Negro, *Turritella* (Wellwitsch); Mossamedes et rives du Giraul, roches et Lamellibranches (Capello et Ivens).

7° Calcaire crayeux, blanchâtre, avec grains de quartz à Dombe-Grande, *Pseudoliva* et *Calyptraea*.

8° Calcaire gréseux jaune brun à grands Lamellibranches (voyez plus haut), de Praia-do-Bispo et de Maianga près Loanda. *Cardium*, *Tapes*, *Venus*, *Pectunculus*.

On sait depuis longtemps que les falaises verticales de Loanda sont composées de sable ou de grès incohérents. M. Büchner nous apprend que la partie supérieure est un conglomérat rouge foncé, tandis que la partie inférieure est blanchâtre et tellement fine et farineuse que l'on peut y creuser des trous avec les doigts.

A environ 30^m au-dessus du niveau de la mer se trouvent deux bancs de grès dur contenant des fossiles à l'état de moules intérieurs; ce sont des Lamellibranches que M. Büchner rapporte à des Unionides.

Sur une grande distance dans l'intérieur de la région littorale, on a dans les ravins, à la surface, de l'argile rouge, au-dessous, des cailloux roulés et plus bas encore, le sable blanc, farineux.

Il est certain que les moules intérieurs, observés par M. Büchner, sont

les mêmes que ceux rapportés par MM. Feio et Malheiro; il en ressort donc que le sable blanc qui contient les bancs fossilifères appartient selon toute probabilité au Miocène.

Une note de Welwitsch ferait croire que les falaises immédiatement au nord-est de la ville sont d'un âge plus récent. Il a observé dans la falaise, entre Penedo et Boa-Vista, des troncs d'arbres silicifiés, à quelques pieds au-dessus du niveau actuel de la mer, et un peu plus haut une couche d'argile avec des coquilles vivants encore actuellement dans ces parages (note prise sur le terrain!). Il explique ce fait par un abaissement et un soulèvement de la côte à une époque géologique récente.

D'après Monteiro, la pointe de Lagostas, au nord de Loanda, contiendrait en abondance du gypse et du soufre natif. D'après sa position géographique, cette falaise ferait partie du Tertiaire.

Dépôts superficiels.

Welwitsch attribue au Pliocène une *terre argileuse, marneuse et arénacée* qu'il ne cite que de Loanda et de la lagune de Quilonda, au sud de cette localité. Il est probable que c'est l'argile rouge et le sable blanc dont parle Büchner, mais ce sable serait plutôt à rapporter au Miocène, à moins qu'il ne soit remanié.

Ce dernier auteur nous apprend qu'une *terre rouge*, qu'il compare à la latérite, s'étend vers l'intérieur, aussi loin qu'il est allé. MM. Capello et Ivens mentionnent aussi cette terre sur plusieurs points de leur traversée du continent.

« Les affleurements des roches du Bas-Congo sont recouverts d'amas
« détritiques (*Latérite*) de couleur blanchâtre, rougeâtre ou franchement
« rouge provenant de leur décomposition par les agents atmosphériques.
« Ces terres de désagrégation ont quelquefois une épaisseur considé-
« rable et forment non seulement des montagnes entières, mais des
« zones de grande surface » (Zboinski).

Des *coquilles marines actuelles* se trouvent sur de nombreux points au-

dessus du niveau actuel de l'Océan. M. Zboinski les a observés à 200 mètres d'altitude vers l'embouchure du Congo. Il y en a un lot dans la collection de M. Malheiro, il provient de Catumbella; mais je ne connais ni l'altitude, ni la distance de la mer à laquelle elles ont été récoltées. MM. Capello et Ivens les signalent à Bahia-dos-Elephantes, à 160 mètres d'altitude, et à 150 mètres à Mossamedes.

Livingstone en a observé dans la vallée du Bengo, à 40 kilomètres de la côte. M. Chatelain dit que les *Arca senilis*, Linn. (*Selinia senilis*, Gray) sont fréquents dans les sables blancs qui couvrent les hauteurs entre Dondo et le Lucalla, c'est-à-dire à plus de 130 kilomètres des côtes. L'altitude de Dondo est de 25 mètres d'après les cartes, de 37 d'après M. Büchner et de 93,7 d'après Capello et Ivens (1881, II^{me} vol., p. 281).

Ce désaccord n'est probablement qu'apparent, la première cote se rapportant peut-être au niveau du Quanza et les autres à des points différents de la colline. Quoi qu'il en soit, les coquilles observées par M. Chatelain proviennent certainement d'un point passablement élevé au-dessus du niveau actuel de l'Océan.

Une autre observation de M. Chatelain paraît se rattacher au même phénomène, c'est la présence d'un nombre considérable de coquilles du genre *Galathea* au sommet de la colline de Bom-Jesus. Ce genre existant actuellement dans le Cuanza, il faudrait savoir si ces coquilles n'ont pas été transportées par l'homme.

Le même observateur m'a parlé de *sables blancs*, s'étendant bien avant dans la contrée et contenant de petits cailloux de quartz blancs à arêtes arrondies et des grains de limonite de grosseur fort variable.

Des fouilles dans le lit d'un ancien torrent près de Dondo ont montré qu'au-dessous d'une couche épaisse de terre végétale se trouvaient de petits cailloux parfaitement arrondis qui ne peuvent provenir que des montagnes du Libollo. M. Chatelain m'en a remis 37, pris certainement au hasard; ils se répartissent de la manière suivante : 1 diorite, 1 feldspath, 12 quartzites, 3 jaspes rouges, 1 jaspe noir, 10 mélange de jaspe et de quartz, 1 calcédoine, 2 silex noirs paraissant être formés par des

grains cimentés, 1 silex noir (phlitanite), 5 silex pyromaques jaunes. Ces cailloux donnent quelques indications sur la contrée d'où ils proviennent et qui est complètement inconnue.

Une autre indication sur cette même contrée est fournie par les *tufs* puissants de Cambulo, sur la rive gauche du Cuanza et qui sont déposés par les eaux venant des montagnes du Libollo.

M. Büchner les a observés un peu plus au nord, près de la chute de Cambambe, dans les cavités du conglomérat, et entre celui-ci et le grès sur lequel il repose.

Monteiro parle d'*argiles remaniées* et de *conglomérats avec minerais de cuivre*, couvrant le sol de plusieurs vallées. Le même auteur signale les efflorescences blanchâtres, contenant une forte proportion de magnésie, qui couvrent les flancs perpendiculaires de quelques collines des environs de Mossamedes.

M. Chatelain en a recueilli près de Dondo un échantillon qu'il dit contenir 20 % de magnésie.

J'ai déjà signalé les sables aurifères, en parlant des minéraux originaires des terrains paléozoïques.

Le *copal*, improprement appelé gomme copal, ou gomme résine, est exporté en grande quantité de tous les ports d'Angola ainsi que d'autres points de l'Afrique tropicale.

Plusieurs auteurs se sont efforcés de démontrer qu'il provient d'un arbre, mais ils parlaient tous par ouï-dire et non pas à la suite d'observations. Welwitsch prêta une grande attention à cette importante question et exposa ses observations dans un article spécial ¹.

Il nous apprend que le copal d'Angola est toujours extrait de la terre, où il se trouve à une profondeur généralement faible, en morceaux de différentes grosseurs, généralement petits et presque toujours arrondis.

L'aire où on le trouve en Angola s'étend depuis le Congo jusqu'au

¹. Observations on the Origin and the geographical Distribution of the Gom Copal in Angola, West tropical Africa, by Fr. Welwitsch. (*The Journal of the Linnean Society*, vol. IX, 1866, p. 287.)

Cunène; c'est la contrée accidentée qui est limitée à l'ouest par le pied de la première terrasse, dont elle suit les ondulations.

L'auteur conclut que le copal de l'Afrique occidentale, et probablement la totalité de la gomme résine exportée sous ce nom de l'Afrique tropicale, peut être considéré comme une résine fossile, produite par des arbres qui ornaient les forêts de ce continent à une époque écoulée depuis fort longtemps. Ces arbres seraient complètement éteints, ou n'existeraient plus que dans un état de dépérissement. Ce serait en Afrique, le pendant de l'ambre de l'Europe.

Welwitsch a peut-être trop étendu ses conclusions; car il paraît bien avéré que le copal se produit actuellement encore dans le littoral de Zanzibar et de Mozambique ¹, ce qui n'est pas le cas en Angola.

Un autre fait ne concordant pas avec les observations de Welwitsch, est la présence au Musée des colonies, à Lisbonne, de plusieurs bœux de copal indiqués comme provenant de Golungo-Alto et de Duque-de-Bragança, territoires situés en dehors de la zone sublittorale.

Quant à la première de ces localités, on peut supposer que la récolte a été faite dans la zone sublittorale qui est voisine, mais une pareille supposition n'est pas applicable à Duque-de-Bragança, situé à 160 kilomètres à l'est de cette première localité.

— Monteiro décrit les trous qui se trouvent dans la « Pedra grande » à l'est de Mossamedes, à 20 ou 30 pieds au-dessus du niveau de la plaine. D'après cette description, il paraît que l'on a affaire à des *marmites de géants*.

— Je citerai encore, d'après le même auteur, une source thermale dans la contrée de Novo-Redondo. « J'allai jusqu'à une chaîne de montagnes de gneiss ou de schistes très quartzeux, nommée Ngello, que je suppose être à 40 ou 50 milles de la mer, et je visitai une source d'eau chaude à un col nommé Tacota, sur la route de la ville de Dongo, environ à mi-hauteur de la montagne.

¹ Plantas uteis da Africa portugueza, pelo conde de Ficalho. Lisboa, 1884, p. 159.

« Je n'avais pas de thermomètre avec moi, mais à sa sortie d'une crevasse, l'eau était tellement chaude, que je ne pouvais y tenir la main que pendant quelques secondes. »

Dans le catalogue des colonies portugaises à l'Exposition d'Anvers, en 1885, on trouvera la mention d'une eau sulfureuse provenant de Luxillo, concelho du Duque de Bragança et de deux autres « eaux minérales » dont l'une de Mutipa, région de Biballa (Mossamedes). L'autre fut exposée par un habitant de Loanda, mais la provenance n'est pas indiquée.

La carte Sá da Bandeira signale des sources thermales près de Qui-pupa, au nord-est de Dombe-Grande.

Enfin je rappellerai en dernier lieu les instruments de pierre découverts par M. Zboinski dans le Bas-Congo, quoique l'on ne sache pas encore à quel âge ils doivent être rapportés.

ADDITION A LA PARTIE HISTORIQUE.

Ce résumé stratigraphique était en majeure partie imprimé, lorsque M. A.-A. d'Oliveira eut l'obligeance d'attirer mon attention sur la carte du baron de Barth¹, relative à l'exploration qu'il fit, en 1876, pour le compte du gouvernement portugais.

Cette carte contient des données géologiques importantes, surtout parce qu'elle indique la position exacte des roches observées; mais je ne lui connais pas de texte explicatif et il est probable qu'elle n'en a pas, son auteur étant mort avant de quitter Angola.

Le Dr Barth partit de Loanda, suivit le cours du Bengo jusqu'au 14° degré à l'est de Greenwich, puis descendit au sud du 9° de latitude, se maintenant à peu près sur le même parallèle jusqu'au 16° 30' de lon-

¹ *Beiträge zur Entdeckungsgeschichte Afrika's*; 4^{tes} Heft : *Reisen im S. W. Becken des Congo*, von Otto H. Schutt, Berlin 1881, Dietrich Reimer.

gitude. Il passa par Golungo-Alto, Cazengo, Ambaca et Cachoeira ; de là il remonta vers le N.-O. jusqu'au 7° lat., 15° 50' long. et redescendit en ligne à peu près droite sur Ambaca.

Il indique jusqu'au 13° 40' E. Greenwich, le sable fin mentionné par les autres observateurs.

A 13° 55', du calcaire, au sud du fleuve Bengo ; c'est probablement le prolongement du calcaire de Bom-Jésus.

Au croisement des 14^e et 9^e degrés, grès rouge, micacé, en dalles, puis des mélaphyres et des grünsleine qui correspondent incontestablement aux trapps de Livingstone. Ils se trouvent au contact du gneiss (14° 10').

A 10 kilomètres à l'est de Golungo-Alto se trouve du *calcaire probablement cristallin*, puis des phyllites. Des blocs de gneiss sont signalés à l'ouest d'Ambaca ; ils correspondent peut-être aux blocs de granite de Welwitsch ?

Entre Cazengo et Ambaca, il n'y aurait que du gneiss et cette roche est en outre signalée au nord et à l'est de ce dernier point. Ce ne serait que près du 16° long. que l'on trouverait le grès.

Il n'y a pas d'indications géologiques relatives aux environs du Duc-de-Bragança, mais le grès est signalé plus au nord, 8° 40'.

Le point culminant de sa carte (15° 50' long., 7° lat.) est riche en calcaires cristallins jusqu'à 8° 30', et plus au sud, la montagne est formée par des schistes argileux fortement relevés, avec quelques grès ; ils sont indiqués jusqu'à la latitude de 8° 40'.

Il n'y a pas d'indications entre ce point et les environs d'Ambaca.

DEUXIÈME PARTIE

DESCRIPTION DES FOSSILES CRÉTACIQUES

MOLLUSQUES

PAR

PAUL CHOFFAT

GROUPE DE *SCHLOENBACHIA INFLATA*, Sow.

Ce groupe est représenté par 19 exemplaires de Catumbella et 19 de Dombc-Grande, offrant une telle variation de formes qu'il n'y en a pas deux parfaitement semblables.

On peut y distinguer deux séries de formes, l'une se rattachant à *Schloenbachia inflata*, à la coupe subcarrée, les côtes fortes, en partie bifurquées dans la jeunesse et présentant trois à quatre nodosités bien accentuées.

L'autre, dont *Schloenbachia Elobiensis*, Szajnocha, forme la variation

extrême, a la coupe plus ou moins comprimée, les côtes plus nombreuses, plus serrées, sont coupées par des lignes spirales dont le nombre varie entre 7 et 16 et qui donnent lieu au point d'intersection à des tubercules subégaux, allongés dans le sens de l'enroulement. Ces nœuds sont naturellement plus courts dans la région interne que dans la région externe, mais leur saillance peut être égale sur toute la longueur de la côte (*Schloenbachia Elobiensis*) ou bien la nodosité externe peut être beaucoup plus accentuée (fig. 1 et 6) ou même les deux nodosités extrêmes (*Schloenbachia Lenzi*).

En tenant compte de la hauteur où se trouve le maximum d'épaisseur et de la relation entre la hauteur et l'épaisseur, on pourrait distinguer bon nombre de variétés.

L'une d'entre elles a été décrite par M. Szajnocha sous le nom de *Schloenbachia inflatiformis*; dans cette forme, les lignes spirales, très faibles ne produisent pas de nodosités, et le maximum d'épaisseur se trouve au milieu de la hauteur des tours.

Aucun des exemplaires que j'ai sous les yeux ne correspond exactement à cette espèce, basée sur deux individus seulement.

Un peu plus loin, je mentionne des formes s'en rapprochant, et d'autres qui mériteront d'être élevées au rang d'espèces, lorsqu'elles seront mieux connues.

SCHLOENBACHIA INFLATA, SOW.

Pl. I, fig. 1 et 2.

SYNONYMIE.

<i>Ammonites inflatus</i> ,	Sow. 1817, Min. conch., pl. 178.
<i>Id. rostratus</i> ,	Sow. 1817, id., pl. 173.
<i>Id. tetrammatus</i> ,	Sow. 1829, id., pl. 587.
<i>Id. inflatus</i> ,	Brongniart, 1822, Descr. géol. des env. de Paris, pl. 6, fig. 1.
<i>Id. Id.</i>	d'Orbigny, 1840, Pal. franc., p. 304, pl. 90.

- Ammonites varicosus inflatus*, Quenstedt, 1849, Cephalopoden, p. 209, pl. 17, fig. 2.
- Id. inflatus*, Buvignier, 1852, Statistique de la Meuse, p. 46, pl. 31, fig. 8 et 9.
- Id.* Pictet et Roux, 1853, Grès verts, p. 102, pl. IX, fig. 6 et X, fig. 1-2.
- Id.* Pictet et Campiche, 1860, S¹^e-Croix, p. 178, pl. XXI, fig. 5 et XXII, 3 et 4.
- Id.* Stoliczka, Palæont. Indica, p. 48, pl. 27-29 et 30, fig. 1-3.
- Schloenbachia inflata*, Szajnocha, 1884, Cephalopoden-Fauna der Inseln Elobi, p. 232, pl. II, fig. 1-3, non pl. I.
- Id.* Choffat, 1886, Faune crétacique du Portugal, p. 3.
- Id.* *Id.* 1886, Fossiles de la province d'Angola, Bull. soc. géol. t. XV, p. 154.
- Id.* Stan. Meunier, Bull. soc. géol. F., t. XVI, pl. I, fig. 1-2.
- On trouvera une synonymie plus détaillée dans Pictet et Campiche, S¹^e-Croix, p. 178.

Je ne trouve que 5 exemplaires de Catumbella et 3 de Dombe-Grande qui se rapprochent du type de l'espèce, pl. 178 de Sowerby, 90 de d'Orbigny, fig. 6, pl. 9 de Pictet et Roux et fig. 4, pl. 22 de Pictet et Campiche, c'est-à-dire des exemplaires dont la coupe est à peu près carrée et qui présentent des nœuds accentués sur le pourtour externe et sur le pourtour interne.

Il est pourtant à remarquer que chez ces exemplaires africains, les nodosités médianes et ombilicales s'atténuent assez rapidement avec l'âge; deux exemplaires seulement les présentent encore au diamètre de 80 millimètres. La bifurcation des côtes se perd aussi vers la même taille; sous ce rapport, ils ressemblent donc aux figures 3, pl. 22 de Pictet et Campiche et fig. 8, pl. 34 de Buvignier. Les fig. 2 et 3 de la pl. II de M. Szajnocha¹ rendent bien compte de l'allure des côtes des échantillons que je rapporte au type, tandis que sa planche I ne me paraît pas se rapporter à *Schl. inflata*, mais plutôt à *Schl. Lenzi*, dont il sera question plus loin.

J'ai un fragment d'un gros échantillon de *S. inflata*, provenant de Dombe-Grande; il mesure 83 millimètres de hauteur sur 60 de largeur, ses côtes sont fortement saillantes, droites, terminées aux deux extrémités par des nœuds proéminents, tandis qu'un nœud moins fort se trouve au milieu. La distance entre deux côtes varie de 25 à 30 millimètres.

Le Musée national de Lisbonne possède un échantillon² de 240 millimètres de diamètre, la hauteur du dernier tour est de 70 millimètres; il présente les mêmes caractères que le fragment dont il vient d'être question, tous deux sont donc bien différents

¹ M. Szajnocha m'écrit qu'il y a eu erreur dans la numérotation des échantillons; il faut intervertir les numéros 3 et 1; c'est donc ce dernier qui provient de Great-Fish-bay.

² Cet échantillon ne porte pas de lieu de provenance; il est probablement européen.

du gros fragment de M. Szajnocha, dont la surface présente de nombreuses lignes spirales, tandis que ce caractère, toujours rare chez *Schl. inflata*, disparaît complètement chez les adultes, pour faire place à de gros nœuds. La planche 27 de Stoliczka rend bien compte de l'allure des côtes chez les adultes.

Un seul exemplaire, fig. 1, est beaucoup plus épais que les types précités, la plus grande épaisseur étant près de l'ombilic. Les tours intérieurs ont des tubercules ombilicaux très accentués, tandis que le dernier tour est couvert de côtes serrées, fortement ployées en avant et ne présentant de renflement qu'à leur extrémité externe.

Deux autres exemplaires, qui se rapprochent aussi du type par leurs tours intérieurs, s'en éloignent par leurs côtes plus nombreuses et fortement inclinées vers l'avant, comme le sont celles de fig. 10 de pl. I de Pictet et Roux, mais ne présentent pas de nodosités ombilicales; les flancs s'arrondissent doucement vers l'ombilic (fig. 2).

La ligne suturale ne m'est qu'imparfaitement connue, et par un exemplaire seulement.

GISEMENTS : Iles Elobi, Lobito, Catumbella, Dombe-Grande et Great-Fish-bay.

Algérie : Gault et Vraconnien.

Europe : Du Gault inférieur au Rotomagien.

Explication des figures.

Fig. 1 et 2. *Schloenbachia inflata*, var. Voyez plus haut les détails qui s'y rapportent.

Fig. 1 a, 1 b. Coupe approximative des mêmes échantillons.

SCHLOENBACHIA LENZI, Szajnocha.

Pl. I, fig. 3-6.

SYNONYMIE.

Schloenbachia Lenzi, Szajnocha, 1884, Cephalopoden-Fauna der Inseln Elobi, p. 234, pl. II, fig. 4.

Id. inflata, *Id.* *Id.* pl. I.

Id. Lenzi, Choffat, 1886, Fossiles d'Angola. Bull. soc. géol. de France, vol. XV, p. 155.

NOMBRE D'ÉCHANTILLONS ÉTUDIÉS : 13, tous incomplets, provenant de Dombe-Grande et de Catumbella.

— M. Szajnocha, qui ne connaissait cette espèce que par un jeune exemplaire passablement écrasé, dit que ses côtes sont légèrement ployées et qu'elles portent de

faibles nœuds à leurs deux extrémités, tandis qu'elles sont lisses au milieu. Il mentionne aussi des traces de lignes spirales.

J'ai de jeunes exemplaires qui se rapportent aux tours intérieurs de celui qu'a figuré M. Szajnocha; les côtes sont presque réduites aux deux nodosités des extrémités (pl. I, fig. 3). On voit la même forme de tours intérieurs dans la figure 4, tandis que le tour extérieur est orné de côtes assez fortes, présentant 7 tubercules. Les 3 tubercules internes se fondent en une proéminence accentuée; le tubercule siphonal est beaucoup plus gros et plus saillant que les autres, il se prolonge jusqu'à la carène en formant une côte très large (fig. 4 b).

Des exemplaires qui ne peuvent pas en être séparés sont un peu plus comprimés; à partir du diamètre de 60 millimètres, les côtes ne sont que rarement bifurquées.

Quelques grands échantillons ont les côtes à peine ondulées (fig. 5), comme l'exemplaire de M. Szajnocha; ils se relient à des exemplaires à côtes droites (fig. 6), coupées par des lignes spirales produisant de petites nodosités allongées, analogues à celles de *Schloenbachia Elobiensis*, tandis que leur nodosité externe est fortement accentuée et les rattache à *Schl. Lenzi*.

Ce sont ces exemplaires qui me font rattacher la pl. I de M. Szajnocha à *Schl. Lenzi*, plutôt qu'à *Schl. inflata*.

Aucun exemplaire ne montre la ligne suturale.

RAPPORTS ET DIFFÉRENCES. *Schl. Lenzi*, variation de *Schl. inflata* auquel il est intimement lié, en diffère par sa coupe comprimée et non subcarrée, par ses flancs à peu près plats, couverts de lignes spirales formant avec les côtes des nodosités très faibles au milieu et fortes aux deux extrémités; ce dernier caractère et la largeur plus grande de l'ombilic, peuvent servir à le distinguer de *Schl. Elobiensis*, qui a, en outre, les côtes plus rapprochées.

Schl. Candolleana (Pictet et Roux) se distingue de cette espèce par l'absence des tubercules allongés, formés au milieu des flancs par le croisement des côtes et des lignes spirales.

Les exemplaires à côtes droites, non bifurquées, ont une certaine ressemblance avec *Schl. Texana* (Roem.), mais les côtes sont couvertes par un nombre de tubercules beaucoup plus considérable.

GISEMENTS. Elobi, Catumbella et Dombe-Grande. Couches à *Schloenbachia inflata*.

Explication des figures.

Pl. I. Fig. 3 a, b. Jeune exemplaire. Catumbella.

Fig. 4 a, b, c. Exemplaire de Dombe-Grande, 4 c, coupe approximative.

- Fig. 5 a, b.* Exemplaire à côtes presque droites, commençant à former passage à *Schl. Elobiensis*. Dombc-Grande.
- Fig. 6 a, b.* *Schl. cf. Lenzi*. Exemplaire presque lisse. D'autres exemplaires de forme identique présentent des lignes spirales bien accentuées et formant des tubercules au croisement des côtes. Catumbella.

SCHLOENBACHIA ELOBIENSIS, Szajnocha.

Pl. I, fig. 7 à 9.

SYNONYMIE.

- Schloenbachia Elobiensis*, Szajnocha, 1884, Cephalopoden-Fauna der Inseln Elobi, p. 235, pl. IV.
Id. Choffat, 1886, Fossiles d'Angola. Bull. soc. géol., XV, p. 155.

M. Szajnocha, qui ne connaissait qu'un exemplaire de cette espèce, appuie sur le fait que les côtes ne présentent que les tubercules formés par le croisement des lignes spirales, et non pas de véritables nœuds et que les flancs sont arrondis du côté de l'ombilic et du côté de la carène.

Les récoltes de M. Malheiro contiennent trois échantillons que je crois pouvoir rapporter à cette espèce. L'un d'entre eux, fig. 8, concorde en tous points avec celui de M. Szajnocha; on remarquera pourtant que quelques côtes sont bifurquées, ce qui n'est pas le cas pour ce dernier échantillon. En outre, les tours intérieurs sont presque plats et ne présentent que deux tubercules, l'un externe et l'autre interne, comme c'est le cas chez *Schloenbachia Lenzi*. Ce caractère est encore mieux visible dans le deuxième échantillon (fig. 9), chez lequel les tubercules ne couvrent entièrement les côtes qu'à partir d'un diamètre de 23 millimètres.

Le troisième échantillon, fig. 7, correspond à un individu de grande taille; quoiqu'il ne soit pas complet, il permet de bien reconnaître l'ombilic étroit de *Schl. Elobiensis* et l'arrondissement de son pourtour. Ce sont aussi les côtes droites et non divisées du grand échantillon de M. Szajnocha, mais elles se terminent du côté siphonal par un renflement beaucoup plus fort que les autres. Ce dernier caractère le rapproche de *Schl. Lenzi*, tandis que l'arrondissement des flancs et des côtes nombreuses et très rapprochées nous le font considérer comme une variation appartenant incontestablement à *Schl. Elobiensis*. Nous avons vu, du reste, que les jeunes individus présentent aussi des tubercules plus accentués aux extrémités des côtes que sur les flancs; chez celui-ci, le tubercule siphonal aurait donc persisté.

Ces échantillons ne laissent voir qu'une faible partie de la ligne suturale.

GISEMENTS. Couches à *Schloenbachia inflata*. Iles Elobi et Catumbella.

Explication des figures.

Pl. I. Fig. 7. Fragment d'un grand échantillon, se rapprochant de *Schl. Lenzi* par la force des tubercules siphonaux. — Catumbella.

Fig. 8. Exemple typique de *Schl. Elobiensis*, mais dont les tours intérieurs sont plats et ne présentent que les tubercules extrêmes. — Même gisement.

Fig. 9. Jeune exemplaire du même gisement.

Il me reste quelques échantillons appartenant à ce groupe, mais qui ne peuvent pas rentrer dans les espèces précédentes.

Deux d'entre eux se rapprochent de *Schl. inflatiformis*, par leur allure générale, mais les côtes se terminent par une nodosité mousse, tandis que M. Szajnocha base son espèce sur l'absence de nodosités. Des fragments de test montrent que le milieu des côtes était couvert de tubercules allongés analogues à ceux de *Schloenbachia Elobiensis*, caractère qui les éloigne de *Schl. Candolleana* (Pictet et Roux), dont ils ont la coupe haute et légèrement renflée du bas.

Un échantillon, pl. II, fig. 1, est encore plus comprimé que les grands échantillons rapportés avec doute à *Schl. Lenzi* (pl. I, fig. 6 b); ses côtes plus serrées se réunissent au-dessus de l'ombilic en formant un nœud, comme c'est le cas chez *Schl. Candolleana*.

Il nous amène à fig. 2, qui ressemble à l'espèce indéterminée figurée par Stoliczka (pl. XXX, fig. 5), mais il est beaucoup plus comprimé. Ses côtes ne se réunissent qu'au pourtour de l'ombilic, ce qui l'éloigne de *Schloenbachia Hugardiana* (d'Orb.).

Explication des figures.

Pl. II. Fig. 1, 2 a, 2 b. *Schloenbachia sp. ind.* Voyez plus haut. — Catumbella.

PUZOSIA SP. AFF. DIFFICILIS, d'Orb.

Pl. II, fig. 3.

Cette espèce n'est représentée que par deux échantillons, dont l'un de très petite taille, se distingue d'*Ammonites difficilis*, d'Orb., par l'accentuation des côtes fines, en forme de faucilles, et par une hauteur moindre. Sous ces rapports, elle se rapproche d'*Ammonites Austeni*, Sharpe, dont elle diffère par un ombilic beaucoup plus étroit.

La ligne de suture n'est pas discernable.

Il est possible que cet échantillon soit à rapporter à *Desmoceras Cuvervillei*, Stan. Meunier (B. S. G. F. XVI, p. 62, pl. I, fig. 3), espèce de Lobito, dont l'auteur ne donne pas de description et qui est représentée par un exemplaire trop incomplet pour permettre une comparaison sérieuse.

GISEMENTS. Couches à *Schloenbachia inflata*, Catumbella, Dombe-Grande.

Explication de la figure.

Pl. II. Fig. 3. *Puzosia* sp. aff. *difficilis*, d'Orb. — Catumbella.

PUZOSIA WELWITSCHII, Choffat.

Pl. II, fig. 4 a-d.

Cette forme, qui ne m'est connue que par l'exemplaire figuré, se rattache au groupe de *Puzosia planulata* (Sow.), mais ses sillons presque droits, ne formant pas d'inflexions du côté siphonal, la distinguent de toutes les espèces de ce groupe.

Au-dessus de la moitié des flancs naissent des côtes fines, légèrement infléchies en avant, et atteignant leur maximum de force sur le côté siphonal qu'elles traversent en ligne droite. Ces côtes sont plus faibles que celles de *Puzosia Mayoriana* et de *Puzosia planulata*.

Les sillons sont au nombre de quatre sur le fragment conservé; il devait donc y en avoir de six à sept pour la totalité du tour. L'ombilic est plus étroit que celui de *Puzosia planulata*, et peut-être même que celui de *Puzosia Mayoriana*; ses parois forment avec les flancs un angle presque droit. — La ligne de suture est trop érodée pour pouvoir être représentée fidèlement dans ses petits détails; les principaux traits sont, par contre, bien visibles.

En parlant de l'espèce précédente, j'ai dit qu'elle est peut-être à attribuer à *Desmoceras Cuvervillei*, Stan. Meunier; je dirai de même de celle-ci.

Je reproduis ce que cet auteur dit de son espèce :

« On voit à côté une Ammonite toute différente, très voisine de celle que Stolizcka, dans son grand ouvrage, a représentée (pl. LXXV, fig. 4) et qu'il a appelée *Desmoceras involutus*. Comme on le voit par la fig. 3, pl. I, annexée à la présente note, le *Desmoceras* de Lobito présente des caractères spéciaux; sa dimension, l'écartement et la forme de ses cloisons le distinguent de la coquille déjà décrite. »

Or la figure donnée par M. St. Meunier représente un exemplaire fort incomplet; en particulier, on n'y voit ni l'écartement, ni la forme des cloisons, mais seulement les sillons, par conséquent cette espèce est publiée par un dessin insuffisant et sans description, c'est-à-dire dans des conditions qui ont été déclarées nulles par le congrès de Bologne.

Ammonites involutus, Stål., ne présente qu'une ressemblance fort éloignée avec *Puzosia Welwitschi*; sa coupe est arrondie, et non pas subcarrée, son ombilic est beaucoup plus ouvert et ses cloisons beaucoup plus déliées.

GISEMENT. Couches à *Schloenbachia inflata*. Dombe-Grande.

M. Zittel indique le groupe de *Puzosia planulata* depuis le Gault jusqu'au Turonien.

Explication des figures.

4 a, b, c, d. Seul exemplaire connu, montrant une partie de la dernière loge. La ligne de suture indiquée en 4 a, n'est pas parfaitement exacte; elle est mieux en 4 d, mais les lobes devraient être un peu plus étroits.

Hoplites dispar, (d'Orb.).

Pl. II, fig. 5 à 9.

SYNONYMIE.

- Ammonites dispar*, d'Orbigny, 1840, Pal. franç. Terrains crétacés, t. I, p. 143, pl. 45, fig. 1-2.
Ammonites Catillus, d'Orbigny, 1850, Prodrôme, t. II, p. 146, non *Am. Catillus*, Sow.
Ammonites dispar, Pictet et Campiche, 1860, St'-Croix, p. 264, pl. 38.
Stoliczkaia dispar, Neumayr, 1875. Die Ammonitiden der Kreide (Zeitschrift der deutschen geol. Gesell. p. 934).
Id. Bayle, 1878. Fossiles principaux, pl. 46, fig. 2.
Hoplites dispar, Zittel, 1885. Handbuch der Paläontologie, p. 477.

Cette espèce actuellement bien connue par la description et les figures qu'en a donné Pictet, est représentée dans les récoltes de M. Malheiro par 9 exemplaires en assez bon état. Un seul laisse voir la ligne de suture et, quoiqu'elle ne soit pas complète, elle correspond à la fig. 1 c, pl. 38 de Pictet et Campiche.

Aucun exemplaire n'a les flancs aussi lisses que les fig. 2 et 6 de Pictet; la plupart ont au contraire des côtes bien marquées ne diminuant pas de force sur les flancs, comme c'est aussi le cas dans les figures 1 et 3 du même auteur.

J'ai fait représenter, fig. 5, un jeune exemplaire dont les côtes disparaissent presque sur les flancs, tout en étant indiquées près de l'ombilic par un tubercule mousse, c'est le seul échantillon qui soit dans ce cas.

Les petits tubercules du pourtour de l'ombilic sont aussi visibles dans les tours intérieurs de fig. 6.

Les côtes sont plus ou moins flexueuses, et, tandis que les côtes secondaires paraissent naître à côté des côtes principales dans quelques échantillons, d'autres présentent une bifurcation incontestable, plus fréquente que dans les échantillons figurés par Pictet.

Le côté externe, passablement carré dans les jeunes individus, par suite de la présence de deux tubercules latéraux, devient complètement arrondi dans l'âge adulte. L'original de fig. 7 est le seul exemplaire de cette taille ayant conservé le dos presque plan, tandis que d'autres échantillons, à côtes tout aussi infléchies, ont le dos parfaitement arrondi.

GISEMENT. Couches à *Schloenbachia inflata*. Catumbella.

Europe : Dans sa description de l'espèce (1840), d'Orbigny l'indiqua avec doute comme provenant du Néocomien; cette indication est rectifiée dans le Prodrôme, où l'espèce est indiquée du Cénomaniens du Ventoux, de la Meuse et de l'Isère.

Ces indications peuvent être précisées de la manière suivante. M. Leenhard, dans sa belle monographie du Mont-Ventoux, cite *Ammonites dispar* dans une couche inférieure au Cénomaniens proprement dit. — M. Bayle l'indique de la « Craie inférieure (gaize) de Montblainville (Meuse); » or la gaize de la Meuse est de l'Albien inférieur, d'après M. de Lapparent.

M. Kilian¹ l'indique des Basses-Alpes, immédiatement au-dessous du Rothomagiens, en compagnie de *Schloenbachia inflata*.

D'après MM. Pictet et Renevier, cette espèce serait en Suisse caractéristique du Vracomniens.

Explication des figures.

Pl. II. Fig. 5. . . Jeune exemplaires dont les côtes sont presque effacées au milieu des flancs. — Catumbella.

Fig. 6. . . Exemplaire à côtes peu flexueuses. Les tours intérieurs présentent de petits tubercules sur le pourtour de l'ombilic. — Même gisement.

Fig. 7 a, b. Exemplaire à côtes siphonales fortement infléchies, présentant un tubercule de chaque côté de la région siphonale, ce qui la rend presque plane. — Même localité.

¹ Kilian, Gault de la montagne de Lure. Bull. soc. géol. de Fr., 1887, p. 465.

- Fig. 8.* . . . Fragment de l'exemplaire ayant la plus grande taille, vu de biais pour montrer les côtes sur les flancs et sur le dos. — Même localité.
- Fig. 9 a, b.* Exemplaire à côtes droites et à dos arrondi. Cet exemplaire était destiné à faire connaître la ligne de suture; par suite d'un malentendu il a été dessiné du côté opposé. Le petit fragment de ligne de suture dessiné ne signifie rien; il est même faux. — Même localité.

ACANTHOCERAS MAMILLARE (Schloth.).

Pl. III, fig. 1 a-c.

Cette espèce n'est représentée que par deux échantillons qui, bien qu'incomplets, montrent parfaitement les caractères du type de l'espèce, tel que l'a représenté d'Orbigny, pl. 72 et 73.

Les tours intérieurs présentent un prolongement des tubercules latéraux supérieurs, qui viennent s'appliquer contre le dernier tour, comme c'est le cas dans les figures 1-2 de pl. 59 des « Fossiles principaux » de M. Bayle.

Le dernier tour est orné de grosses côtes portant 16 tubercules peu proéminents, alternant irrégulièrement avec des côtes moins fortes avec tubercules beaucoup plus faibles, naissant un peu au-dessous des deux tiers de la hauteur des flancs.

GISEMENT. Dombe-Grande. — Un des exemplaires faisait partie d'une faunule à *Pholadomya pleuromiaformis*; l'autre que j'ai fait figurer n'était pas compris dans une faunule; sa gangue a de grands rapports avec la roche des couches à *Schloenbachia inflata*.

Algérie : Albien.

Europe : Cette espèce apparaît dans l'Aptien supérieur, a son plus grand développement dans l'Albien inférieur, et est très rare dans l'Albien supérieur.

HAMITES VIRGULATUS (Brong. ?), d'Orb.

SYNONYMIE.

- Hamites virgulatus*, Brongnart, 1822, ?? f. Pictet.
- Id.* d'Orb., 1840, Pal. fr. Terr. créét., t. I, p. 545, pl. 134, fig. 1-4.
- Id.* Pictet et Roux, 1847, Grès verts, p. 135, pl. 14, fig. 10 (excl. fig. 7-9).
- Id.* Pictet et Campiche, 1861, S^{te}-Croix, vol. II, p. 85, pl. 54, fig. 6-12.
- Id.* Stan. Meunier, 1888, Bull. soc. géol. de Fr., p. 62, pl. I, fig. 4.

Cette espèce paraît avoir été abondante dans les couches à *Schloenbachia inflata* de Catumbella; on en voit fréquemment des traces dans la gangue des autres fossiles de cette localité, tandis que je n'en ai point vu dans les échantillons de Dombe-Grande.

Une dizaine de fragments peuvent être rapportés à *Hamites virgulatus*, qui lui aussi n'est connu que par des fragments. Aucun d'eux ne laisse voir la ligne suturale. Ils ont la région interne lisse et le reste de la coquille couvert par des côtes simples, traversant la région siphonale en s'épaississant plus ou moins fortement, en outre on remarque généralement deux tubercules faibles, limitant la région siphonale, qui est étroite.

Le plus gros exemplaire présente 27 millimètres de haut sur 22 de large, il est un peu comprimé. D'autres ont 14 millimètres de diamètre et les autres sont beaucoup plus minces, ils se rapportent à la fig. 11 de Pictet et Campiche, et au petit débris que figure M. Stan. Meunier.

GISEMENTS. Couches à *Schloenbachia inflata*, Lobito, Catumbella.

Europe : Cette espèce est citée par Pictet du Gault des Alpes et du Jura suisse et français et des départements de l'Ain, de l'Aube, du Var et de l'Oise. D'après les renseignements plus précis, elle paraît être de l'étage vraconnien.

HAMITES ANGOLENSIS, Choffat.

Pl. III, fig. 2 a, b.

Cette espèce ne m'est connue que par un fragment de 60 millimètres de long; sa coupe est circulaire à l'extrémité antérieure dont le diamètre est de 36 millimètres, et un peu plus haute que large à l'autre extrémité; il ne paraît pourtant pas y avoir de déformation. L'ornementation consiste en sept côtes qui forment une rangée de tubercules au milieu des flancs, et une autre de chaque côté de la région siphonale. Ces côtes sont minces et tranchantes dans la moitié anti-siphonale, plus épaisses et infléchies en avant entre le tubercule latéral et le tubercule siphonal. Elles traversent la région siphonale en se bifurquant et s'infléchissant légèrement en avant.

Du côté antisiphonal, l'intervalle entre deux côtes principales présente des côtes intermédiaires, dont une médiane, un peu plus faible que la côte principale, et d'autres, très fines, trop effacées pour que je puisse en dire exactement le nombre.

Toutes ces côtes intermédiaires se perdent en atteignant les flancs.

Cette espèce n'a qu'une ressemblance éloignée avec *Anisoceras armatus*, Sow. dont

les côtes sont dichotomes à partir du tubercule inférieur. *A. pseudopunctatus*, Pictet et Campiche, a les côtes simples sur la région siphonale. *Hamites Rautinianus* d'Orb. (pl. 134, Pictet et Campiche, pl. 53) a des côtes simples intercalées entre les côtes dichotomes, ce qui paraît aussi être le cas pour *Hamites tropicalis*, Stan. Meunier.

GISEMENT. Couches à *Schloenbachia inflata*, Catumbella.

Explication des figures.

Pl. III, fig. 2 a, b. Le seul exemplaire connu, vu de flanc et du côté siphonal. Les côtes secondaires, antisiphonales sont un peu trop accentuées, les côtes de troisième ordre qui les accompagnent sont encore plus courtes, mais auraient pourtant pu être indiquées.

ACTEONELLA ANCHIETAI, Choffat.

Pl. III, fig. 3-5.

Coquille sphéroïdale, la hauteur étant tantôt égale au diamètre, tantôt légèrement plus longue (fig. 4), plus rarement un peu plus courte (fig. 3). La bouche, très étroite, est à peine un peu plus large à l'avant qu'à l'arrière. Trois plis spiraux, vigoureux, se trouvent à l'avant de laèvre intérieure; ils sont très rapprochés les uns des autres et meurent avant d'atteindre la bouche. La spire est complètement cachée, elle n'est indiquée que par une sorte de cicatrice limitée par une carène que forme le dernier tour (fig. 4 b). L'ombilic existe (fig. 5 b), mais il est complètement fermé dans l'âge adulte.

Les plis d'accroissement sont en général très fins et réguliers; d'autres fois, il y en a de plus faibles et de plus accentués, produisant des irrégularités atteignant leur maximum de force sur le pourtour de l'extrémité antérieure de la columelle.

Les dimensions sont suffisamment indiquées par les figures.

Par sa forme sphérique et la disparition complète de la spire, cette espèce se distingue de toutes les *Acteonelles* venues à ma connaissance.

GISEMENTS. Dombe-Grande, couches à *Acteonelles*, appartenant probablement à l'étage cénomaniens. Treize exemplaires.

Explication des figures.

Pl. III, Fig. 3. . *Acteonella Anchietai*. Exemplaire un peu plus large que haut, montrant la forme de la bouche. Le test est brisé du côté opposé.

Fig. 4 a. Exemplaire plus haut que large; la lèvre extérieure étant brisée, on peut voir les plis de la lèvre intérieure.

Fig. 4 b. Le même montrant la cicatrice à l'emplacement de la spire.

Fig. 5. . Noyau extrait d'un exemplaire adulte.

BULLINA MALHEIROI, Choffat.

Pl. III, fig. 6-8.

Coquille subcylindrique, coupée carrément à la base, arrondie à l'avant; aux deux tiers inférieurs se trouve une dépression peu accentuée; spire légèrement enfoncée.— Bouche étroite, anguleuse à la base, un peu élargie vers l'avant. Le pourtour inférieur est garni de petites nodosités qui se prolongent en une côte très faible se perdant à une faible distance du bord.

Une section longitudinale ne montre pas trace de plis columellaires.

Les exemplaires figurés montrent la grandeur moyenne, le plus grand atteint une hauteur de 26 millimètres et un diamètre de 13 millimètres à la base.

RAPPORTS ET DIFFÉRENCES. Par sa base concave; cette espèce se rapproche des *Itieria* (?) *truncata* et *umbonata*, Pictet et Campiche, de l'Urgonien; elle s'en distingue par l'absence de plis columellaires, par une hauteur beaucoup plus grande et par l'évasement de la base. Sa forme générale se rapproche davantage de celle d'*Acteonella truncata*, Stol., du Crétacique de l'Inde, espèce dont les plis columellaires sont bien marqués et qui appartient donc à un autre genre.

GISEMENT. — Étage albien, couches à *Pholadomya pleuromyiformis*. Dombe-Grande. Neuf exemplaires.

Explication des figures.

Pl. III, Fig. 6. Exemplaire montrant la bouche et les tubercules de la base.

Fig. 7. Autre exemplaire montrant la base entière, brisé à l'extrémité de la bouche.

Fig. 8. Spire d'un autre exemplaire.

CYLINDRITES CORDEIROI, Choffat.

Pl. III, fig. 9 et 10.

Cette jolie petite espèce ne m'est connue que par trois échantillons ayant tous deux

la partie antérieure partiellement brisée; l'un fig. 10, laisse pourtant voir le gros pli mousse de la columelle. La forme générale est cylindrique, un peu rétrécie vers le bas; le dernier tour est coupé brusquement, tandis que les tours intérieurs au nombre de cinq, forment une spire aiguë. — La bouche très étroite du bas, s'élargit considérablement à partir du milieu de la hauteur, le bord du labre s'étend beaucoup plus à la partie antérieure qu'à la base (fig. 10). — Le test est lisse.

GISEMENT. — Étage albien, couches à *Pholadomya pleuromyæformis*. Dombe-Grande.

Explication des figures.

Pl. III. Fig. 9 a, b. Exemplaire brisé à la partie antérieure du labre, mais dont la spire est bien conservée.

Fig. 10. . . Autre exemplaire dont le bord du labre est bien conservé, sauf à la partie antérieure. Le pli columellaire est en partie conservé. Spire brisée et encroûtée.

CYLINDRITES DELGADOI, Choffat.

Pl. III, fig. 11 a-b.

Coquille lisse, cylindrique au milieu, s'atténuant aux deux extrémités. Spire très courte, composée de quatre tours se reliant au dernier par un profil légèrement concave. Bouche très étroite dans le bas, s'élargissant brusquement au-dessus de la moitié de la hauteur, pli columellaire fortement accentué.

Cette espèce se distingue facilement de la précédente, par sa forme grêle et surtout en ce que le dernier tour n'est pas tronqué à angle droit, mais se termine au contraire par une surface oblique, qui se relie insensiblement à la spire.

GISEMENT. — Dombe-Grande, couches à *Pholadomya pleuromyæformis*.

Explication des figures.

Pl. III. Fig. 11 a, b. Exemplaire un peu endommagé au bord inférieur du labre.

ACTÆON LENZI, Choffat.

Pl. III, fig. 12.

Je fais figurer un moule intérieur d'une petite coquille à spire allongée, portant une

varice sur le dernier tour, me paraissant avoir appartenu au genre *Actæon*, ce que l'on ne peut toutefois pas vérifier avec certitude, les plis columellaires n'étant pas visibles. Cette figure aura l'avantage de faire connaître la petite faune des couches à *Pholadomya pleuromyæformis*, d'où provient cet échantillon. Il était accompagné d'un autre exemplaire, plus large, à spire plus courte, me paraissant appartenir à une autre espèce du même genre, Il n'est pas en assez bon état pour être figuré.

Explication des figures.

Pl. III. Fig. 12. Actæon Lenzi. Moule intérieur.

AVELLANA BÜCHNERI, Choffat.

Pl. III, fig. 13 a, b.

Coquille ovoïde, formée de tours convexes, obliques, le dernier formant les deux tiers de la longueur totale, connu seulement par un moule intérieur. La coupe de la bouche laisse voir l'empreinte de trois plis dont l'externe est à peine indiqué, tandis que les deux autres le sont très fortement.

La forme est moins globuleuse que celle d'*Avellana incrassata*, Sow., dont il se distingue, ainsi que de toutes les autres espèces décrites, par la longueur relative de la spire et par l'obliquité de ses tours.

GISEMENT. — Couches à *Actæonella Anchetai* de Dombe-Grande.

STROMBUS sp. ind.

Pl. III, fig. 14.

J'ai fait représenter un des *Strombus* tertiaires (?) de Dombe-Grande, dans l'espoir d'attirer l'attention des chercheurs futurs sur les oolithes qui le contiennent.

En le comparant à l'exemplaire de l'Inde dont il a été question dans la partie stratigraphique, on remarque que l'analogie n'existe que dans la forme générale.

La spire est plus longue que dans l'échantillon indien, en outre, elle est ornée de tubercules rapprochés, assez proéminents. Le dernier tour est orné de deux côtes au lieu d'une seule; la côte postérieure porte des tubercules plus minces et plus élevés

que ceux de l'échantillon indien, l'autre côte, qui est très rapprochée de la première, ne porte que des tubercules très faibles. Le bord inférieur du canal est brisé ainsi que le labre.

NERINEA CAPELLOI, Choffat.

Pl. III, fig. 15 à 18.

Cette espèce m'est connue par 18 exemplaires brisés aux deux extrémités; le plus grand présente un diamètre de 38 millimètres, le fragment le plus mince est représenté fig. 17.

Coquille allongée, composée de tours nombreux, croissant régulièrement sous un angle faible. Les tours correspondant à la moitié de la hauteur sont ornés en avant par un bourrelet épais à la surface duquel se trouvent des tubercules mousses, à peine saillants (exagérés dans les dessins). Le milieu des tours est soit légèrement concave, fig. 16, soit plus ou moins renflé, fig. 15 et 17; il est couvert par des stries d'accroissement plus ou moins fortes, formant parfois à l'arrière une rangée de tubercules de très petite taille (fig. 16). En outre il existe parfois des lignes spirales très faibles (exagérées dans fig. 16, ce qui est aussi le cas pour les plis d'accroissement).

Les bourrelets à l'avant des tours sont presque effacés dans les plus gros échantillons, qui sont à peu près lisses, mais présentent tous les intermédiaires entre les formes à ornementation accentuée.

L'intérieur des tours présente trois plis simples, un à la columelle, un à la lèvre extérieure et l'autre à la lèvre inférieure.

Malgré le grand nombre de formes appartenant au même groupe, cette espèce est facile à distinguer des autres, autant par son ornementation que par la faiblesse de son angle.

GISEMENT. — Dombe-Grande; très rare dans les couches à *Actæonella Anchietai*, et très abondante dans les grès que j'ai désignés de son nom.

Explication des figures.

Les tubercules de la partie supérieure des tours ont été exagérés dans les trois figures.

Pl. III. Fig. 15. Exemplaire d'épaisseur moyenne, ayant les bourrelets antérieurs fortement accentués, tandis que le filet de l'arrière est extrêmement faible. Le milieu des tours est convexe.

Fig. 16. Petit exemplaire, ayant l'ornementation fortement accentuée et de petits tubercules au-dessus du filet. Les stries d'accroissement et les lignes spirales ont été fortement exagérées par le dessinateur.

Fig. 17. L'exemplaire le plus mince, destiné à faire voir la grande longueur que devrait atteindre cette espèce.

Fig. 18. Coupe longitudinale, les cavités sont tapissées de cristaux.

CERITHIUM SILVA-PORTOI, Choff.

Pl. III, fig. 19 et 20.

Cette espèce m'est connue par neuf exemplaires en général légèrement déformés.

— Coquille allongée, à peine pupoïde. Spire formée d'un angle légèrement convexe, composée de tours à peine bombés, légèrement saillants en gradins à la base, ornés de quatre sillons spiraux, soit de cinq rangées de tubercules et dans le sens de l'axe, de côtes arrondies au nombre de treize par tour; ces côtes se continuent d'un tour à l'autre sur toute la longueur de la coquille. Les côtes axiales du dernier tour s'effacent plus ou moins avant d'atteindre le bord antérieur, ce dernier est donc garni de quelques côtes spirales que l'état de conservation des échantillons ne me permet pas de compter. Bouche ovale se terminant antérieurement par un léger sinus.

Cette espèce se distingue du *Cerithium speciosum*, Zek. par des filets spiraux en moins grand nombre, quatre au lieu de six à sept; en outre, ce dernier est beaucoup plus acuminé à l'extrémité antérieure et paraît avoir eu un véritable canal. *Cerithium formosum*, Zek. n'a que neuf côtes axiales au lieu de treize. *Cerithium Requierianum*, d'Orb., a dix côtes axiales et cinq sillons spiraux; quant au reste, ces deux espèces sont très voisines, comme on peut le voir par la diagnose.

GISEMENT. Couches à *Actæonella Anchietai* de Dombe-Grande.

Explication des figures.

Pl. III. Fig. 19. Exemplaire de grandeur naturelle, un peu encroûté.

Fig. 20. Autre exemplaire grossi, pour montrer les détails de l'ornementation.

CERITHIUM MONTEIROI, Choffat.

Pl. IV, fig. 1-4.

Coquille allongée, composée de nombreux tours, peu élevés, presque plans, séparés les uns des autres par une légère dépression provenant de ce que la partie supé-

rière et la partie inférieure du tour présentent un léger bourrelet spiral, bien distinct, et orné de petits tubercules dans la jeunesse; ces bourrelets deviennent indistincts et irrégulièrement renflés dans les gros exemplaires. Les stries d'accroissement sont irrégulières et forment de gros renflements chez les exemplaires de grande taille.

La bouche est basse, anguleuse, terminée à l'avant par un canal étroit et fortement oblique.

DIMENSIONS. Le plus grand exemplaire est brisé à son extrémité postérieure, sa longueur est de 50 millimètres, son diamètre près de la bouche de 22 millimètres et de 11 à l'extrémité postérieure. L'angle spiral est de 15°.

Cette espèce m'est connue par 17 échantillons avec lesquels étaient associés deux autres individus présentant les mêmes caractères, sauf que l'angle spiral est de 22°. Ces deux échantillons ne sont pas assez bien conservés pour pouvoir être décrits.

GISEMENT. — Couches à *Nerinea Capelloi*, Dombe-Grande.

Explication des figures.

Pl. IV, Fig. 1. Petit exemplaire montrant la forme générale et l'ornementation du test chez les jeunes.

Fig. 2. Bouche d'un exemplaire de taille moyenne, encroûtée près de la columelle.

Fig. 3. Petit exemplaire présentant un rétrécissement du diamètre dans le dernier tour.

Fig. 4. Grand individu, en partie dépourvu de son test, ce qui laisse voir le moule intérieur.

GLAUCONIA AFF. KEFERSTEINI (Gdf).

Pl. IV, fig. 5.

D'après MM. Reuss et Stoliczka, cette espèce est sujette à des variations considérables dépendant probablement des conditions d'existence, et ce ne sera qu'en étudiant ces rapports sur le terrain que l'on pourra fixer ses caractères.

M. Stoliczka donne la synonymie suivante : *Gl. Kefersteini* et *suffarcinata* Goldf. et Zekeli. — *Gl. Coquandiana*, d'Orb. et Zek. — *Gl. ventricosa* Zek. (non id. Drescher, 1863). — Stoliczka. Revision der Gastropoden der Gosauschichten, 1865, p. 119.

J'ai sous les yeux 9 exemplaires plus ou moins brisés, ne correspondant à aucune des nombreuses formes de *Glauconia* représentées par les divers auteurs; et quoique l'ornementation paraisse assez constante, je pense qu'il est plus prudent de ne pas lui imposer de nouveau nom avant d'avoir des matériaux en meilleur état.

La forme générale de la coquille est conique, les tours sont beaucoup plus larges en avant qu'en arrière, de sorte que l'ensemble a l'aspect d'une série de cornets mis

les uns dans les autres. Elle ressemble donc à la figure 3 d, pl. II de Zekeli, mais les tours ne présentent que trois filets spiraux, au lieu de cinq. Le filet postérieur est au milieu du tour et non pas au bord, ce qui sépare cette forme du groupe de *Glauconia Lujani*, Verneuil. Il n'existe qu'une analogie générique avec *Turritella Bonei*, Baily du Crétacique de Natal, dont les tours arrondis et non coniques portent quatre filets spiraux au lieu de trois.

GISEMENT. Couches à *Pholadomya pleuromyaformis*, Dombe-Grande.

TYLOSTOMA PECHUELI, Choffat.

Pl. IV, fig. 6 et 7.

Je fais figurer deux moules intérieurs qui me paraissent appartenir au genre *Tylostoma*, quoique les varices ne se laissent que soupçonner, et que le dernier tour soit brisé avant la bouche. Ils ont quelque analogie avec *Natica rotundata*, Sow., dont ils se distinguent par la spire plus allongée et la bouche moins haute. *Phasianella neocomiensis*, d'Orb. a la base des tours beaucoup plus arrondie.

Ces exemplaires appartiennent à la petite faune des couches à *Pholadomya pleuromyaformis*.

Explication des figures.

Pl. IV. Fig. 6. Une légère varice a passé inaperçue au dessinateur; elle se trouve vers le milieu du dernier tour.

Fig. 7. Le dessinateur a exagéré le changement de forme résultant de la présence d'une varice au dernier tour.

NATICA BULBIFORMIS, SOW.

Pl. IV, fig. 8.

SYNONYMIE.

Natica bulbiformis, Sowerby, Geol. transact. 1835, p. 418, pl. 38, fig. 13.

Id. immersa, Münster in Goldfuss, 1834-1840, Petref. Germ., p. 120, pl. 199, fig. 18.

Id. bulbiformis et *Natica angulata*, Zekeli, 1852, Gastropoden der Gosau-Gebilde, p. 45 et 46, pl. VIII, fig. 2 et 4.

Ampullina bulbiformis, Stoliczka, 1865, Revision der Gastropoden der Gosauschichten. (Sitzungsb. der Wiener Ak.) Vol. LII, p. 146.

Id. Stoliczka, 1868. Cretaceous Gastropoda of southern India, p. 300, pl. 21, fig. 11-15.

? *Natica bulbiformis*, d'Orb., Paléont. franç., pl. 174, fig. 3.

Stoliczka fait voir que cette espèce est très variable quant à la longueur de la spire, tantôt très courte, comme chez *Natica angulata*, Zekeli, tantôt très allongée comme dans le type de Sowerby; il lui réunit même *Natica bulbiformis*, d'Orbigny, pl. 174, fig. 3, dont la spire est pourtant si différente de celle des exemplaires du *Paleontologia indica* et que d'Orbigny avait séparés plus tard du véritable *Natica bulbiformis*, sous la désignation de *Natica subbulbiformis*.

J'ai sous les yeux vingt exemplaires provenant de Dombe-Grande. Leur spire est de grandeur moyenne, la face suturale est bien distincte. Je ne connais pas la forme exacte de la bouche, mais j'ai pu constater la présence d'une callosité au côté interne. La dépression sur la moitié postérieure du dernier tour est bien visible, quoique moins accentuée que dans les figures de Zekeli.

Dans quelques exemplaires, cette dépression est plus accentuée que dans celui que j'ai fait représenter, celui-ci est par contre plus complet.

La même assise contient d'autres échantillons à spire plus longue et sans dépression à la base du dernier tour.

Leur forme générale est celle de *Natica rotundata*, Sow., mais ils paraissent présenter des passages à *Natica bulbiformis*. Je ne puis pas encore me prononcer à leur égard.

GISEMENT. — Dombe-Grande, couches à *Pholadomya pleuromyæformis*, étage albien.

Dans l'Europe centrale *Natica bulbiformis* est caractéristique des derniers étages crétaciques, mais une forme très voisine, sinon identique, se trouve dans le cénomaniens du Portugal.

Explication de la figure.

Pl. IV. Fig. 8. *Natica bulbiformis*. Exemplaire à dépression faible, ayant conservé son test; brisé à l'avant. — Dombe-Grande,

NATICA FEIOI, Choffat.

Pl. IV, fig. 9 a, b.

Coquille globuleuse, presque aussi large que haute, marquée de lignes d'ac-

croissement très prononcées, renflée, quoique la base des tours soit légèrement aplatie.

Spire composée de 4 à 5 tours formant un angle très ouvert, présentant un méplat sutural bien prononcé. Bouche élevée, subrhomboïdale. L'ombilic est complètement fermé, mais son emplacement est indiqué par une dépression peu profonde.

Cette espèce est voisine de *Natica Gaultina*, d'Orbigny (pl. 173, fig. 3 et 4, *N. Rauliniana*, Pictet et Roux, p. 183, pl. 17, fig. 5-6), mais elle s'en distingue par sa bouche plus élevée, par l'obturation de l'ombilic, et par le léger aplatissement de la moitié inférieure des flancs. Ce dernier caractère la rapproche de l'espèce précédente dont elle diffère complètement par sa forme générale.

Je ne connais que l'exemplaire figuré et un moule intérieur, ils proviennent de Dombe-Grande, des couches à *Pholadomya pleuromyæformis*.

NERITA MALHEIROI, Choffat.

Pl. IV, fig. 10 a, b.

Cette espèce m'est connue par 16 moules intérieurs en bon état.

Coquille globuleuse, plus large que haute, paraissant avoir été lisse. Spire relativement saillante, la résorption des parois ne permet pas de compter le nombre de tours qui la composaient. Dernier tour croissant rapidement, renflé. Ouverture semi-lunaire, fort large au milieu et rétrécie aux deux extrémités.

Cette espèce paraît très caractéristique des couches à *Pholadomya pleuromyæformis* de Dombe-Grande, où elle est abondante.

PHOLADOMYA (GONIOMYA) BEYRICHI, Choffat.

Pl. IV, fig. 11.

Cette espèce ne m'est connue que par un moule intérieur, légèrement endommagé aux deux extrémités, la valve gauche l'étant encore plus que la valve droite, que j'ai fait représenter.

Elle paraît appartenir à la section des *Tronquées* d'Agassiz : bord cardinal droit, bord antérieur arrondi, peu saillant, tandis que le bord postérieur est tronqué et beaucoup plus ouvert.

Sa grande épaisseur (21 millimètres) la rapprocherait des *Cylindracées* dont elle se sépare par l'absence de dépression s'étendant des crochets au bord inférieur.

Les côtes fortement accentuées près des crochets, se perdent en atteignant la moitié de la hauteur.

Je ne connais pas de *Goniomya* avec lequel cette espèce puisse être confondue.

GISEMENT. Couches à *Schlœnbachia inflata*, Dombe-Grande.

PHOLADOMYA CFR. COLLOMBI, Coq.

Pl. IV, fig. 12 a, b.

SYNONYMIE.

Pholadomya Collombi, Coquand, 1866. Aptien d'Espagne, p. 96, pl. 9, fig. 3 et 4.

Id. Moesch, 1875, *Pholadomyen*, p. 113, pl. 35, fig. 2 et 3.

Id. Coquand, 1880, *Études supplémentaires*, p. 93.

D'après les figures données par Coquand, on ne serait pas tenté d'attribuer à la même espèce le petit échantillon que je fais représenter, l'unique contenu dans les récoltes de M. Malheiro. Les quelques mots que M. Moesch dit sur cette espèce la font voir sous un autre aspect, car il nous apprend qu'elle ne diffère de *Pholadomya lineata* Goldf., que par l'absence de carènes limitant le corselet. Or, la forme de l'échantillon de Dombe-Grande est fréquente parmi les petits individus de *Pholadomya lineata*.

Les côtes sont extrêmement faibles, à peine visibles; leur nombre ne peut pas être fixé, la partie antérieure étant légèrement érodée. La valve gauche a glissé sur la valve droite, mais le déplacement n'entraîne pas une déformation de l'aspect général.

GISEMENT. Dombe-Grande. Calcaires marneux blanchâtres paraissant devoir être rapportés aux couches à *Pholadomya pleuromiyaformis*.

Algérie. Urg-aptien (Coquand).

Europe. Urg-aptien d'Espagne (Coquand). Cénomaniens de Kiew en Russie (Moesch). Sénonien de Westphalie (Moesch).

Explication des figures.

Pl. IV. Fig. 12 a, b. Seul exemplaire connu. Les crochets sont plus gros qu'en réalité.

PHOLADOMYA PLEUROMYEFORMIS, Choffat.

Pl. V, fig. 1-3.

DESCRIPTION. Coquille équivalve, inéquilatérale, très renflée au-dessous des crochets. Proportion approximative entre la longueur du côté antérieur et la longueur totale 1 : 3,6. Côté antérieur plus ou moins arrondi et complètement fermé. Côté anal acuminé, comprimé à l'extrémité, qui est plus ou moins relevée et légèrement bail-lante. Crochets minces, élevés, fortement recourbés, contigus. Bord cardinal antérieur déclive, bord antérieur arrondi, se reliant généralement au bord palléal par une courbe régulière, tandis que d'autres fois il forme un angle arrondi assez prononcé; dans ce cas, la partie antérieure du bord anal est à peine relevée; extrémité postérieure du bord palléal plus ou moins relevée; bord cardinal postérieur déclive, se relevant parfois à son extrémité.

Face antérieure limitée du côté des flancs par un angle mousse, en arrière duquel se trouve un sillon évasé partant du crochet et atteignant le bord palléal; ce sillon est généralement très faiblement indiqué. En arrière des crochets se trouvent deux carènes assez nettes près des crochets, sur une longueur d'environ 10 millimètres; elles deviennent ensuite mousses, se dirigent parallèlement au bord cardinal et se perdent avant d'atteindre l'extrémité anale; l'area qu'elles laissent entre elles est fort étroite et incomplètement limitée¹. Toute la coquille sauf l'area, est couverte de plis d'accroissement de force irrégulière, chaque pli ayant sa plus grande force sur la ligne qui joint les crochets à l'extrémité anale. Les crochets présentent en outre des côtes radiantes au nombre de 6 à 8; ces côtes sont très fines et s'effacent peu après avoir atteint les flancs; dans un exemplaire, celles de la région postérieure atteignent le bord palléal, mais elles sont tellement fines que ce n'est qu'avec une disposition favorable de la lumière que l'on peut les apercevoir.

DIMENSIONS. Les exemplaires figurés sont de dimension moyenne, le plus grand exemplaire a une longueur de 46 millimètres, une hauteur de 31 et une épaisseur de 23 millimètres.

RAPPORTS ET DIFFÉRENCES. Les caractères différentiels extérieurs entre les *Pholadomya* et les *Pleuromya*, parfaitement tranchés pour la plupart des espèces,

¹ J'ai observé ce corselet mal défini sur quelques échantillons de *Pholadomya ovulum*, tandis que d'autres échantillons provenant de la même localité avaient le corselet parfaitement limité.

deviennent au contraire insuffisants pour celles qui sont dépourvues de côtes, et comme les caractères internes sont généralement inobservables, on est dans certains cas réduit à l'arbitraire. C'est ce qui m'arrive pour cette petite espèce dont la forme se rapproche de celle des *Pleuromya* et que je n'aurais pas hésité à ranger dans ce genre, si un certain nombre d'exemplaires ne présentait pas de côtes radiantes. J'ai constaté ces côtes sur 7 exemplaires, 2 exemplaires n'en présentent aucune trace, et 10 autres n'ont pas la surface des crochets assez nette pour que l'on puisse affirmer l'absence de côtes.

Doit-on admettre que ces échantillons appartiennent à deux espèces ou même à deux genres différents, *Pholadomya* et *Pleuromya*? Certainement non, car les formes qui s'éloignent le plus des *Pholadomya* pour se rapprocher des *Pleuromya*, c'est-à-dire celles dont l'extrémité anale est recourbée et dont le sillon évasé à l'arrière de l'angle mousse, qui limite la face antérieure, est bien accentué, se trouvent aussi bien parmi les échantillons pourvus de côtes radiantes que parmi ceux qui en sont dépourvus, et l'on doit donc admettre que l'on a affaire à un *Pholadomya* ayant, non seulement une forme de *Pleuromya*, comme c'est du reste exceptionnellement le cas pour quelques exemplaires de *Pholadomya ovulum* et de *Pholadomya hemicardua*, mais pouvant en outre se présenter sans côtes radiantes, comme c'est le cas pour *Pholadomya scaphoides*, *Sanctæ-Crucis*, *Ligeriensis* et pour *Pholadomya (Homomya) gibbosa*.

M. Lartet (Palestine p. 49, pl. 11, fig. 11) a trouvé en Palestine une espèce ayant un peu la forme de la nôtre et qu'il rapporte avec doute à *Pholadomya Mollii*, Coquand. Il ne la fait pas connaître d'une façon qui permette une identification; d'après sa figure, elle serait dépourvue de côtes, aurait une forme plus arquée que la nôtre et les crochets plus larges.

GISEMENT. Dombe-Grande, couches à *Pholadomya pleuromyaformis* (étage albien).

Explication des figures.

Pl. V. Fig. 1. *Pholadomya pleuromyaformis*; exemplaire à extrémité anale acuminée, présentant huit côtes très fines, dont quelques-unes atteignent le bord palléal. Elles ont été dessinées un peu plus fortes qu'elles ne sont en réalité.

Fig. 2a. Exemplaire un peu fruste, mais dont les côtes étaient relativement accentuées; extrémité anale relevée, légèrement brisée.

Fig. 2b. Le même exemplaire, vu du dessus, la brisure de l'extrémité postérieure fait paraître le bâillement beaucoup plus grand qu'il n'est réellement.

Fig. 2c. Le même exemplaire, vu de face.

Fig. 3. Exemplaire plus massif, à forme de *Pleuromya*; côtes radiantes très courtes, sillon bien marqué, limitant les flancs du côté buccal, contrairement à la figure, sillon se perd avant d'atteindre le bord palléal.

CYPRINA IVENSI, Choffat.

Pl. IV, fig. 13 a, b.

Cette espèce ne m'est connue que par un moule intérieur ayant conservé quelques restes du test.

Coquille très renflée, épaisse, plus haute que large, très inéquilatérale. Côté buccal tronqué carrément, fortement excavé sous les crochets, côté anal tronqué obliquement. Bord palléal à peu près droit. Crochets très élevés, étroits, contournés à leur extrémité et ne laissant qu'un faible espace entre eux. Un angle mousse part de l'extrémité des crochets et se perd à l'extrémité palléo-postérieure. Cet angle limite une area légèrement convexe. Empreintes musculaires très fortes.

DIMENSIONS. Hauteur 100 mill., longueur 94, épaisseur 93 mill.

RAPPORTS ET DIFFÉRENCES. Par la grande hauteur de ses crochets, cette espèce se rapproche des *Pachyrisma* et des *Isocardia*. *Cyprina curvirostris*, Coquand, a les crochets aussi élevés, mais ils sont moins rapprochés du bord antérieur et le bord palléal est convexe au lieu d'être presque plan. *Cyprina quadrata*, d'Orb. a les crochets beaucoup plus bas, le bord antérieur arrondi ainsi que le bord palléal, et le bord postérieur est beaucoup moins oblique.

GISEMENT. Dombe-Grande. Couches gréseuses probablement cénomaniennes (*Couches à Cyprina Ivensi*).

Explication des figures.

Pl. IV. Fig. 13 a. Cyprina Ivensi, vu de flanc. Le test est en partie conservé sur les crochets et manque complètement au bord palléal.

Fig. 13 b. Le même vu de dessus. Le crochet droit est brisé; le crochet gauche et la majeure partie de l'area ont conservé le test, tandis qu'il manque sur la face buccale.

PINNA ROBINALDINA, d'Orb.

Pl. V, fig. 4 et 5.

SYNONYMIE.

Pinna Robinaldina, d'Orbigny, 1844, Pal. franç. Terr. créét., p. 251, pl. 330, fig. 1-3.

Pinna Robinaldina, Pictet et Renevier, 1857, Terrain aptien, p. 117, pl. 16, fig. 5.

Id. Pictet et Campiche, 1867, S^{te}-Croix, vol. III, p. 532, pl. 139, fig. 3 à 6.

Id. P. de Loriol, 1882, Gault de Cosne, p. 82, pl. X, fig. 3 à 5.

(Voyez la synonymie complète dans Pictet et Campiche.)

Les couches à *Pholadomya pleuromyæformis* m'ont fourni huit fragments d'un *Pinna* que j'assimile au *Pinna Robinaldina*, tout en faisant remarquer que cette détermination n'a pas grande valeur, vu que cette espèce est encore imparfaitement connue, malgré les différents auteurs qui s'en sont occupés, ces derniers n'ayant généralement eu que des exemplaires incomplets.

Les fragments de Dombe-Grande ont en majeure partie conservé le test, leurs côtes paraissent plus écartées que celles des exemplaires figurés par d'Orbigny, Pictet et Renevier, et les figures 5 et 6 de Pictet et Campiche; par contre, fig. 3 de ces derniers auteurs a les côtes tout aussi écartées, ce qui est aussi le cas pour l'exemplaire figuré par M. de Loriol.

La région anale est couverte par 6 à 7 côtes se dirigeant des crochets à la base; trois côtes analogues se trouvent aussi sur la région buccale, le reste étant couvert par les stries d'accroissement. Les côtes umbono-ventrales sont étroites, arrondies, séparées par un intervalle ayant plus de deux fois leur largeur. Elles sont croisées par des lamelles d'accroissement très faibles, assez régulièrement espacées, formant des ondulations fortement accentuées en passant sur les côtes. Parfois il y a une légère ondulation au milieu de l'intervalle qui sépare deux côtes comme s'il y avait tendance à la formation d'une côte intermédiaire.

Ces exemplaires diffèrent incontestablement de *Pinna cretacea*, (Schloth.) qui a les côtes beaucoup plus espacées et est divisé en deux par un angle donnant lieu à une carène, tandis que les exemplaires africains ont un angle arrondi, comme c'est le cas pour *Pinna Robinaldina*.

GISEMENT. Dombe-Grande. Couches à *Pholadomya pleuromyæformis* (albien).

Europe : du Valanginien à l'Aptien (Pictet), Gault de Cosne (de Loriol).

Explication des figures.

Pl. V. Fig. 4 a. Extrémité supérieure d'un petit exemplaire ayant parfaitement conservé l'impression du test.

Fig. 4 b. Coupe à 35 millimètres des sommets.

Fig. 5. . Fragment ayant conservé le test.

LITHODOMUS PRÆLONGUS, d'Orb.

Pl. V, fig. 6 et 7.

SYNONYMIE.

Lithodomus prælongus, d'Orbigny, 1843, Paléontologie française, p. 289, pl. 344, fig. 1-3.

Coquille très allongée, presque cylindrique du côté buccal, plus large et beaucoup moins épaisse du côté palléal. Bord antérieur presque droit, bord postérieur légèrement convexe; extrémité inférieure atténuée, régulièrement courbée; extrémité supérieure rétrécie, se terminant assez brusquement. Crochets fortement repliés en dedans. La surface du test ne présente que des plis d'accroissement.

Cette espèce correspond en tous points à la description et aux figures que d'Orbigny a données du *Lithodomus prælongus* de l'étage néocomien, sauf en ce qui concerne l'extrémité palléale, qui est un peu plus acuminée chez les jeunes exemplaires, ce qui n'est pas le cas chez ceux dont la hauteur dépasse 20 millimètres.

Treize exemplaires, provenant de Dombe-Grande ont une hauteur de 20 à 25 millimètres, deux d'entre eux se trouvent dans des échantillons de roches paraissant avoir formé des nodules dans un calcaire crayeux; ils sont accompagnés de nombreux échantillons de petite taille, n'ayant que 5 millimètres de hauteur et présentant une largeur relativement beaucoup plus forte. Je les considère comme de très jeunes exemplaires de la même espèce.

GISEMENT. Calcaire blanc, probablement cénomanien, mais ne se rapportant à aucune des couches distinguées. — Un exemplaire des couches à *Pholadomya pleuromyæformis*, Dombe-Grande.

Europe. Néocomien.

Explication des figures.

Pl. V. Fig. 6. Grand exemplaire un peu brisé au crochet gauche et à l'extrémité palléale, ayant en partie conservé le test.

Fig. 7. Petit exemplaire bien conservé; le dessin le fait paraître un peu plus large qu'il n'est réellement.

JANIRA FICALHOI, Choffat.

Pl. V, fig. 8-10.

Coquille convexe, trigone, plus haute que large. Grande valve profonde, présentant extérieurement une convexité plus ou moins accentuée selon les individus, petite valve concave. Oreillettes ayant une faible longueur, mais passablement hautes. La grande valve est couverte de côtes rayonnantes, convexes, arrondies, régulières, portant des plis d'accroissement très fins, à peine visibles, sauf quelques-uns plus forts. Il y a 6 côtes principales, formant 6 angles sur le bord palléal ; les intervalles qui les séparent contiennent deux côtes plus faibles, mais présentant les mêmes caractères. Les côtes principales présentent parfois à la base une légère division longitudinale, si faible, que l'on peut à peine la considérer comme une côte accessoire ; elle manque le plus souvent, et lorsqu'elle existe, se présente tantôt de chaque côté de la même côte, tantôt d'un côté seulement. — Les espaces entre les côtes externes et les bords palléal et buccal ne sont ornés que par des plis d'accroissement aussi fins que ceux qui couvrent les côtes, ils présentent en outre une légère dépression longitudinale, mais pas de côtes.

La petite valve présente 6 sillons radiants, correspondant aux 6 côtes principales, et aboutissant par conséquent aux 6 angles du bord palléal. Entre deux sillons principaux s'en trouvent deux autres, correspondant aux côtes accessoires de la grande valve. Les intervalles entre deux sillons sont formés par des côtes arrondies, beaucoup plus étroites que celles de la grande valve, et beaucoup plus égales entre elles. Lorsqu'une des côtes principales de la grande valve présente un léger sillon longitudinal à sa base, le sillon de la petite valve est bordé par une côte double correspondant au dédoublement de la côte de la grande valve.

RAPPORTS ET DIFFÉRENCES. Cette espèce est du même groupe que les *Janira atava*, (Rœmer), *Morrisi*, Pictet et Ren., *quinqucostata* (Sow.), *quadricostata* (Sow.), *Faujasi*, Pictet et Camp., *tricostata* (Bayle), et *Coquandi*, Peron, espèces qui s'en distinguent par un plus grand nombre de côtes secondaires. — M. Rœmer a figuré et décrit une forme du Texas (1852, p. 64, pl. VIII, fig. 4), qu'il considère comme une variété de *Janira quadricostata*. Parmi les caractères de cette forme, il en est un qui se retrouve parfois dans notre espèce, c'est celle d'un sillon à la base des côtes principales, mais ce sillon qui n'est qu'exceptionnel dans notre espèce, est constant et en outre beaucoup plus

accentué dans la forme du Texas; de plus, la description de la petite valve fait voir une assez grande différence.

Pecten Dresleri, Drescher (Zeitschrift der deutschen geol. Gesell. 1863, vol. XV, p. 354, pl. IX, fig. 17), ne présente que deux côtes intermédiaires, comme c'est le cas pour notre espèce, qui s'en distingue en ce que les espaces en dehors des côtes externes sont lisses, tandis qu'ils présentent des côtes radiantes chez *Pecten Dresleri*.

Janira alpina, d'Orb. qui ne présente aussi que deux côtes intermédiaires, s'en distingue par le même caractère que l'espèce précédente et en outre par une plus grande taille et une plus grande largeur.

GISEMENT. Dombe-Grande. Couches à *Pholadomya pleuromyæformis*, 13 exemplaires.

Explication des figures.

Pl. V. Fig. 8. Exemplaire privé de ses oreillettes et de l'extrémité du crochet. a. Grande valve montrant un dédoublement de quelques-unes des côtes principales. Les stries d'accroissement à la région palléale sont exagérées. b. Petite valve montrant le dédoublement des côtes correspondant aux intervalles de côtes principales de la grande valve, pourvues de sillons.

Fig. 9. Exemplaire dont le crochet est comprimé, mais dont les oreillettes sont intactes.

Fig. 10. Exemplaire vu du côté anal, pour montrer les areas lisses en dehors des côtes externes. Les extrémités des oreillettes et du crochet sont brisées, ainsi que le bord palléal.

JANIRA WELWITSCHI, Choffat.

Pl. V, fig. 11.

Quoique cette espèce ne me soit connue que par une valve inférieure, je n'hésite pas à l'établir, car elle est complètement différente de toutes les espèces venues à ma connaissance. Cette valve présente extérieurement une convexité assez fortement accentuée, et est couverte par environ 21 larges côtes, arrondies, séparées par un sillon étroit et profond. Onze de ces côtes sont alternativement plus élevées que les dix autres. Les méplats entre les deux côtes externes et les oreillettes sont en outre couverts par 2 à 3 côtes faibles.

Pecten Texanus, Roemer (Texas, p. 65, pl. VIII, fig. 3) ressemble un peu à notre espèce par la largeur de ses côtes, mais elles sont aplaties au lieu d'être arrondies et l'intervalle entre deux côtes fortes est couvert par deux côtes plus faibles, au lieu de ne l'être que par une seule, comme c'est le cas dans notre espèce. — Le grand exem-

plaire de *Janira æquicostata* figuré par M. Bayle dans ses « Fossiles principaux, » pl. 122, a quelque ressemblance éloignée avec notre espèce; il en diffère en ce que ses côtes sont toutes de force égale.

GISEMENT. Dombe-Grande. Niveau inconnu, probablement cénomanien.

Explication de la figure.

Pl. V. Fig. 11. Echantillon de grandeur naturelle, ayant perdu les oreillettes et une partie du test.

OSTREA CFR. CANALICULATA, SOW.

Pl. V, fig. 12-14.

Les couches à Bryozoaires m'ont fourni une vingtaine de valves supérieures d'une huitre qui n'est représentée par aucun débris de la valve inférieure.

Par leur forme générale et leurs lamelles d'accroissement distantes les unes des autres, ces valves supérieures rappellent: *Ostrea canaliculata*, Sow., de l'Aptien, du Gault et du Cénomanien, *Ostrea Delettrei*, Coquand, du Cénomanien, *Ostrea lateralis* Nilsson, du Sénonien et *Ostrea eversa*, Deshayes de l'Éocène.

MM. Hébert et Munier-Chalmas qui ont bien voulu examiner quelques exemplaires, me disent que les lamelles de *Ostrea eversa* font un chevron et non pas une courbe arrondie comme dans les exemplaires africains; il faudrait donc plutôt les rapporter à une espèce crétacique, mais on ne pourra les déterminer avec certitude que lorsque l'on connaîtra la valve inférieure.

GISEMENT. Dombe-Grande, dans les couches à Bryozoaires, dont les échantillons paraissent contenir un mélange de Crétacique et de Tertiaire.

Explication des figures.

Pl. V. Fig. 12, 13, 14. Valves supérieures. L'impression musculaire est plus oblique que ne la représente la fig. 12.

OSTREA VESICULOSA (Sowerby).

Pl. V, fig. 15-17.

SYNONYMIE.

Gryphaea vesiculosa, Sow., 1823, Min. conch., pl. 369.

- Ostrea vasculum*, d'Archiac, 1847, Mém. soc. géol., t. II, pl. 16, fig. 5.
Ostrea vesiculosa, Guéranger, 1850, Bull. soc. géol. de France, t. VII, p. 802.
Id. Coquand, 1869, Monographie des haitres, pl. 59, fig. 4-7.
Id. Pictet et Campiche, 1871, 8^e-Croix, 4^e vol., p. 311, pl. 194; fig. 1-6.
Gryphaea vesiculosa, Seguenza, 1882, Atti Ac. dei Lincei, 3^e ser., vol. XII, p. 120, pl. 19, fig. 2.

Cette espèce est représentée par 7 exemplaires provenant des couches à *Schlenbachia inflata* de Catumbella, dont 2 sont fortement déformés par suite d'adhérence sur des corps étrangers. Les autres adhéraient par l'extrémité du crochet dont on ne peut par conséquent pas vérifier la forme; trois d'entre eux montrent par contre la facette ligamentaire, qui ne laisse pas de doute sur l'espèce à laquelle ils doivent être rapportés. Sans être aussi large que celle des figures 1 et 2 de Pictet, elle l'est davantage que celle des exemplaires de Sowerby. — Le lobe latéral est moyennement accentué.

En Europe, *Ostrea vesiculosa* se trouve dans le Gault et le Cénomanien.

Explication des figures.

Pl. V, Fig. 15 à 17. Exemplaires de grandeur naturelle; la partie non ombrée, a de fig. 17 appartient à un autre individu sur lequel l'huître est fixée.

OSTREA SZAJNOCHAI, Choffat.

Pl. V, fig. 18 a, b, c.

Espèce connue seulement par un exemplaire présentant la grande valve en bon état et la face intérieure de la petite valve.

Coquille gryphoïde, allongée, gibbeuse. Valve inférieure arquée, moyennement épaisse, présentant des lamelles d'accroissement paraissant avoir formé des écailles latérales dans la moitié inférieure, lobée longitudinalement. Le lobe latéral est séparé du reste de la coquille par un sillon large, mais peu profond, se perdant avant d'atteindre le crochet; crochet large, moyennement recourbé, adhérent par son sommet seulement. Valve supérieure subtriangulaire, coupée obliquement par la ligne de charnière, présentant à l'intérieur deux bourrelets latéraux; sa face extérieure m'est inconnue.

RAPPORTS ET DIFFÉRENCES. Cette espèce rappelle l'*Ostrea arcuata* du lias, qui s'en distingue par un sillon latéral moins large, plus près du bord, ne détachant pas un lobe latéral aussi distinct; en outre, le crochet est généralement plus recourbé et les lames d'accroissement plus fortes.

Le lobe fortement accentué de la grande valve et sa région palléale élargie rapprochent cet exemplaire de *Ostrea Pitscheri*, ainsi que de certains individus d'*Ostrea vesiculosa*. Il s'éloigne de cette dernière espèce par son crochet plus recourbé et cachant complètement la face ligamentaire. Ce crochet est pourtant plus large et moins recourbé que dans les exemplaires d'*Ostrea Pitscheri* figurés par Coquand, ce qui provient peut-être de ce qu'il était fixé. Il est à remarquer que les exemplaires figurés par Marcou laissent voir la face ligamentaire, tandis qu'elle est entièrement cachée dans les exemplaires reproduits par Coquand. — La petite valve de notre exemplaire est coupée obliquement en haut, formant une ligne ligamentaire large, tandis qu'elle forme une pointe dans les figures d'*Ostrea Pitscheri* (Voyez Coquand, pl. XII, fig. 5 et 6).

GISEMENT. Cet échantillon était isolé au milieu des récoltes de Dombe-Grande; la roche qui le remplit ne me permet aucun rapprochement.

Ostrea Pitscheri se trouve dans le Campanien de l'Amérique du Nord. Dans l'Afrique australe, on a signalé des Gryphées à deux reprises. L'une, *Gryphæa imbricata*, Krauss, signalée de la colonie du Cap par Sharpe (Transactions geol. soc. 2^{me} série, vol. VII, pl. 23, fig. 3) paraît devoir être rapporté à *Ostrea aquilla* (Goldfuss). L'autre découverte de *Gryphæes* se rapporte à deux exemplaires rapportés du nord de la même contrée. Au chapitre concernant l'examen des récoltes de Dombe-Grande, j'ai indiqué que l'on a émis l'idée que ces échantillons proviennent d'Europe.

Explication des figures.

Pl. V, fig. 18 a, b, c. La petite valve a glissé et s'est retournée 18°, elle a été supprimée dans les deux autres figures.

OSTREA BAYLEI, Guéranger.

Pl. V, fig. 19-21.

SYNONYMIE.

Ostrea Baylei, Guéranger, 1853. Notes inédites.

Id. Coquand, 1859, Bull. soc. géol. de France, t. 16, p. 961.

Id. Id. 1869, Monographie des huitres, p. 124, pl. 46, fig. 5 à 9.

« Coquille ostréiforme, globuleuse, vésiculaire, très inéquivalve, lisse ou marquée de

plis concentriques d'accroissement, à sommet arrondi ou bien légèrement contourné sur lui-même, ou tronqué sur la partie adhérente. Valve supérieure concave, mince, ornée de quelques lignes rayonnantes peu prononcées, à sommet non tronqué. Valve inférieure très convexe, profonde, gibbeuse et dominant deux expansions latérales, dont l'une est un peu plus développée que l'autre, mais qui disparaissent dans l'âge adulte.

Cette espèce a beaucoup de ressemblance avec l'*Ostrea vesicularis*. Elle s'en sépare par une taille relativement petite et surtout par l'absence de la partie saillante et lobée que l'on aperçoit sur la région anale de celle-ci. Elle ressemble aussi, mais d'une manière moins frappante, à l'*Ostrea vesiculosa*, dont elle diffère par sa forme franchement vésiculaire, la minceur de son test, le peu de développement que prend la fossette ligamentaire et surtout par la forme de son crochet qui n'est jamais aigu ni proéminent. » Coquand, *Monographie des huitres*, p. 124.

J'ai sous les yeux sept exemplaires qui se rapportent à la description et aux figures de M. Coquand par leur taille et leur forme générale; le crochet et l'impression ligamentaire sont par contre plus petits chez les adultes, tandis qu'un jeune exemplaire présente les mêmes proportions.

Deux des grands exemplaires ont conservé l'expansion de la région anale que M. Coquand dit disparaître dans l'âge adulte, les autres sont bien vésiculaires. L'impression du muscle adducteur, fortement accentuée dans les jeunes exemplaires, l'est beaucoup moins chez les adultes. La petite valve m'est inconnue.

Coquand cite cette espèce du Carentonin de France, d'Italie, de Sicile, de Portugal et d'Algérie. Il la cite en outre de Palestine, mais M. L. Lartet n'admet pas cette espèce; il met en garde contre les variations si trompeuses de l'*Ostrea vesicularis* et propose l'appellation de *var. judaica* pour celle de Palestine.

Les figures qu'il donne me font partager sa manière de voir et je pense que l'on doit étendre cette désignation aux exemplaires portugais, mais celles de Dombe-Grande ont un faciès tellement distinct que l'on doit certainement les en séparer soit en les rapportant à *Ostrea Baylei*, soit en en faisant un type nouveau si les localités citées par Coquand, pour cette dernière espèce, ne permettent pas de la conserver.

D'un autre côté, j'ai sous les yeux de jeunes exemplaires d'*Ostrea proboscidea*, d'Archiac, du Sénonien du bassin de Paris, qui m'ont été envoyés par M. Peron avec la remarque qu'à cet âge il est bien difficile de les distinguer de l'*Ostrea vesicularis*, or deux d'entre eux ne peuvent guère se distinguer des exemplaires africains.

GISEMENT. Dombe-Grande, couches à *Ostrea Baylei* et couches à *Nerinea Capelloi* (?).

Explication des figures.

Pl. V. Fig. 19 et 20. Grands exemplaires, des grès à *Ostrea Baylei*.

Fig. 21. . . . Petit exemplaire, laissant voir la charnière et l'impression musculaire. Couches à *Nerinea Capelloi* (?).

OSTREA OLISIPONENSIS, Sharpe.

J'ai déjà eu l'occasion de faire remarquer¹ qu'il n'est pas certain que l'on doive rapporter à cette espèce les exemplaires algériens publiés sous ce nom par M. Coquand et qui s'en distinguent par l'absence de crêtes radiantes sur la valve supérieure. Il n'en est pas de même d'une valve supérieure de Dombe-Grande, qui montre ces crêtes bien développées, tandis qu'un fragment écrasé appartient à la valve inférieure.

GISEMENT. Dombe-Grande, grès à *Ostrea Olisiponensis*, probablement supérieurs aux autres fossiles cénomaniens.

En Portugal, cette espèce est caractéristique du Carentonin. M. Lartet figure de Palestine une valve inférieure qui peut lui être rapportée, mais il ne parle pas de la valve supérieure, en outre il assimile à cette espèce *Ostrea Overwegi*, Buch, sans qu'il y ait de raisons suffisantes.

¹ Choffat, Faune crétacique du Portugal, 1886, p. 39.

DESCRIPTION DES ÉCHINIDES

PAR

P. DE LORIOI

CIDARIS MALHEIROI, P. de Lorioi, 1888.

Pl. VI, fig. 1, 5-7.

DIMENSIONS.

Diamètre	48 mm.
Hauteur par rapport au diamètre	0,66.

Test circulaire, élevé, peu renflé au pourtour; l'individu décrit est un peu déformé.

Zones porifères très onduleuses, étroites, très enfoncées. Pores petits, séparés, dans chaque paire, par un petit renflement granuliforme; les paires sont séparées l'une de l'autre par un sillon profond qui se continue en dehors, sur l'aire interambulacraire adjacente.

Aires ambulacraires très onduleuses comme les zones porifères, assez larges, divisées au milieu comme par un sillon profond, garnies de chaque côté d'une rangée de granules mamelonnés, très petits, arrondis, serrés, qui est tout à fait marginale, et, en dedans, de verrues fort petites, formant quatre à six rangées irrégulières à l'ambitus et présentant ceci de particulier que, sur chaque plaque, elles sont disposées sur deux séries transverses assez régulières, correspondant à un granule marginal. Vers le sommet, et aux abords du péristome, les aires se rétrécissent, les granules marginaux deviennent un peu plus volumineux et les verrues, beaucoup moins abondantes, ne forment plus que deux rangées.

Aires interambulacraires larges, avec deux rangées de sept tubercules tout à fait rapprochés des zones porifères, assez développés, sans l'être beaucoup, à la face supérieure et à l'ambitus, mais diminuant très graduellement à la face inférieure. Scrobicules arrondis, assez déprimés, entourés d'un cercle complet de granules peu volumineux, mais cependant distincts, espacés, mamelonnés; au-dessous de l'ambitus ils deviennent peu à peu elliptiques. Quelques granules, alignés en travers par les sillons qui arrivent des zones porifères, séparent ces dernières des cercles scrobiculaires. Mamelon saillant, volumineux, finement perforé, toujours entièrement lisse à sa base. Zone miliaire fort large, déprimée au milieu, couverte de granules très petits, très fins, très homogènes, formant des séries transverses régulières, séparées par un sillon très fin, mais bien marqué.

Le pourtour du péristome n'est pas intact; son diamètre paraît avoir été à peu près égal à celui de l'appareil apical.

Quelques fragments de radioles, rapportés avec ce *Cidaris* sans que la localité précise ait été indiquée, peuvent lui avoir appartenu, la tige est grêle, cylindrique, couverte de côtes longitudinales lisses ou denticulées.

RAPPORTS ET DIFFÉRENCES. Cette espèce, qui se rapproche de certaines espèces sénoniennes, *Cidaris vendocimensis*, Ag., *Cid. perlata*, Sorniget, s'en distingue par sa forme moins renflée au pourtour, ses scrobicules très rapprochés des zones porifères, et par les granules internes des aires ambulacraires qui ne sont que de simples verrues formant deux rangées transverses sur chaque plaque ambulacraire. Les mêmes caractères le séparent du *Cidaris subvesiculosa*, d'Orbigny, et du *Cid. rhotomagensis*, Cotteau.

LOCALITÉ. Dombe-Grande.

Explication des figures.

- Pl. VI. Fig. 1, 1 a. *Cidaris Malheiroi*, de grandeur naturelle; fig. 1 b, fragment d'une zone porifère et d'une aire ambulacraire grossies; fig. 1 c, fragment d'une aire intrambulacraire grossie.
- Id. Fig. 5. Fragment de radiole de grandeur naturelle appartenant probablement au *Cid. Malheiroi*; fig. 5 a, fragment grossi.
- Id. Fig. 6. Autre fragment d'un radiole semblable, de grandeur naturelle; fig. 6 a, fragment du même, grossi.
- Id. Fig. 7. Autre fragment d'un radiole semblable, de grandeur naturelle; fig. 7 a, fragment grossi.

CIDARIS VAFELLUS, P. de Loriol, 1888.

Pl. VI, fig. 8-13.

DIMENSIONS.

(Radioles.)

Longueur de petits exemplaires complets	10 mm.
Diamètre de la tige	1 à 2

Radioles fusiformes, allongés, dont la longueur maximum est inconnue; les seuls exemplaires complets n'atteignent que 10^{mm}, mais il existe des fragments d'un diamètre double qui devaient être notablement plus longs. Tige ornée de granules relativement gros, arrondis ou allongés, un peu inégaux, disposés en séries régulières. Sur un point de la tige ces granules se montrent très développés, devenant parfois renflés et un peu hexagones, ou bien comme de petites épines obtuses, tantôt groupés en un simple paquet sur l'une des faces, tantôt formant un verticille complet; sur un fragment je vois même deux verticilles. La surface est, en outre, couverte de fines stries longitudinales que le dessin n'indique pas. L'extrémité de la tige est simplement obtuse, les séries de granules s'y terminent graduellement sans former des lamelles. Collerette courte, impressionnée, finement striée. Bouton court; anneau peu saillant; la facette articulaire paraît lisse, mais comme il y a un peu d'usure, il pourrait se faire qu'elle eût été, en réalité, crénelée, quelques traces semblent l'indiquer.

RAPPORTS ET DIFFÉRENCES. Ces petits radioles, dont j'ai sous les yeux de nombreux individus, ont tout à fait l'ornementation et les caractères de radioles de *Cidaris*; ce ne sont pas leurs faibles dimensions qui peuvent faire douter de leur attribution, car on connaît des espèces certaines qui n'en ont pas de plus forts. Cependant on ne peut pas dire que leur classement dans le genre *Cidaris* soit absolument certain. Ils ressemblent un peu, en très petit, aux radioles du *Rhab. verticillata*, espèce vivante, à cause de leurs verticilles d'épines plus ou moins complets, mais les autres caractères sont fort différents. Je ne vois pas de radioles décrits avec lesquels on puisse confondre ceux-ci. On ne saurait, je pense, les attribuer au *Salenia dombeensis*, car les radioles connus des *Salenia* actuellement vivants présentent des caractères tout à fait différents.

LOCALITÉ. Dombe-Grande.

Explication des figures.

Pl. VI. Fig. 8. Radiole du *Cidaris vafellus* de grandeur naturelle; fig. 8 a, fragment grossi; fig. 8 b, le même, entier, grossi; fig. 9, 9 a; fig. 10, 10 a; fig. 11 a, autres radioles de la même espèce, de grandeur naturelle et grossis; fig. 12, autre radiole de la même espèce avec deux verticilles; fig. 12 a, fragment grossi; fig. 13, autre radiole de la même espèce; fig. 13 a, bouton du même, grossi.

SALENIA DOMBEENSIS, P. de Loriol, 1888.

Pl. VI, fig. 2-3-4.

SYNONYMIE.

Salenia dombeensis, P. de Loriol, 1888, Archives de la Bibl. Univers., 3^e pér., t. 19, n^o 1. Géologie d'Angola, p. 5.

DIMENSIONS.

Diamètre	11 à 28 mm.
Hauteur par rapport au diamètre	0,64 à 0,78
Diamètre du péristome par rapport au diamètre	0,44 à 0,54
Diamètre de l'appareil apical id. id.	0,50 à 0,62

Test circulaire, tendant à s'élever à mesure que l'animal vieillit, et cela très graduellement, ainsi, un exemplaire de 11^{mm} de diamètre a une hauteur proportionnelle de 0,64 seulement, tandis qu'elle est de 0,78 pour un individu de 28^{mm} de diamètre, et de 0,75 pour un autre qui a un diamètre de 20^{mm}. Pourtour peu renflé, face supérieure assez régulièrement convexe, sauf une légère saillie autour du périprocte.

Zones porifères faiblement flexueuses dans le jeune âge; elles le deviennent peu à peu davantage et, dans le plus grand échantillon, elles le sont d'une manière assez marquée. Pores petits, transverses, disposés par paires très serrées.

Aires ambulacraires suivant les sinuosités plus ou moins grandes des zones porifères, très étroites, pourvues de deux rangées de petits granules égaux entre eux, régulièrement alternes, arrondis ou un peu elliptiques et si rapprochés qu'ils se touchent presque au milieu de l'aire, où il n'y a de place que pour un filet de verrues d'une petitesse extrême.

Dans les aires interambulacraires les tubercules sont au nombre de 6 à 7 par série, suivant la taille des individus, ceux qui avoisinent le péristome sont très petits. Les

scrobicules sont bien développés, sans être très grands, assez égaux entre eux, circulaires, peu déprimés. La bosse qui supporte le mamelon est assez saillante, mais le mamelon lui-même est petit, imperforé, finement crénelé à sa base. Un cercle de granules arrondis, écartés, petits, mais bien distincts, entoure entièrement les scrobicules, sauf sur un point, dans la ligne verticale, où ils sont confluent. Entre les cercles scrobiculaires la zone miliare est très étroite, occupée par des granules qui forment à peu près deux rangées verticales dans les plus grands individus, et sont accompagnés de quelques verrues microscopiques.

Appareil apical relativement peu étendu et peu épais, renflé autour du périprocte, circulaire, ou un peu polygonal sans angles bien marqués. Plaques génitales heptagones, inégales, deux d'entre elles, postérieures, qui contribuent à former le périprocte, bien moins larges que les autres; les pores génitaux sont assez éloignés du bord externe des plaques, mais toujours bien plus près de lui que du bord interne. Le corps madréporiforme, toujours très petit, est plus ou moins étroit et souvent un peu déchiqueté. Plaques ocellaires assez grandes, à peu près égales entre elles. Une seule d'entre elles, postérieure, touche le périprocte. Plaque suranale grande, hexagone. Périprocte assez grand, triangulaire ou sub-ovale, non marginé. Toutes les sutures sont fortement persillées, unies entre elles par des fentes plus ou moins longues, et plus ou moins nombreuses, et par des creux dans le plus petit individu seulement; dans un exemplaire un étroit sillon rectiligne unit les cinq pores génitaux, de manière à former un pentagone régulier.

Péristome assez grand, non enfoncé, marqué d'entailles peu profondes.

RAPPORTS ET DIFFÉRENCES. J'ai pu examiner six individus appartenant à cette espèce et provenant de la même localité; ils présentent des caractères communs très constants, et quelques modifications dues à l'âge. L'individu le plus petit est le moins élevé, il a, relativement, le plus grand péristome et le plus grand appareil apical, et les zones porifères les moins flexueuses. Le contraire existe exactement pour le plus grand individu, et on voit les modifications s'opérer graduellement à mesure que la taille augmente. J'ai comparé minutieusement ces exemplaires avec une série de très bons échantillons du *Salenia scutigera*, qui est l'espèce la plus voisine, et que je comprends de la même manière que M. Cotteau. Ces individus présentent des différences de taille tout à fait analogues, mais j'ai reconnu que l'espèce d'Afrique doit en être séparée. Elle se distingue du *Sal. scutigera* par ses zones porifères plus flexueuses dans les grands individus, et composées de paires de pores plus serrées, ainsi on en compte 16 paires pour une plaque interambulacraire, dans un individu de 28^{mm} de diamètre, et 12 seulement pour la même plaque dans un exemplaire de même taille du *Sal. scutigera*; 12 paires dans un exemplaire de 17^{mm} de diamètre et 9 paires seulement

dans un exemplaire de même taille du *Sal. scutigera*. Ensuite les aires ambulacraires sont plus étroites, ne laissant de place entre les deux séries de granules que pour une série de verrues et elles sont aussi plus flexueuses dans les individus très adultes; l'appareil apical est plus petit, son diamètre est en moyenne de 0,54 à 0,56 du diamètre total, et, dans le *Sal. scutigera*, 0,66 à 0,77, par contre le péristome est plus grand, son diamètre étant de 0,44 à 0,54, en moyenne 0,46 du diamètre total, et 0,38 à 0,43 dans le *Sal. scutigera*. Je place l'un à côté de l'autre deux exemplaires très bien conservés de chacune des deux espèces, de même taille, 11^{mm} de diamètre, dans le *Sal. scutigera*, le péristome a 5^{mm} de diamètre, dans l'autre il en a 6, l'appareil apical du premier a 8^{mm} de diamètre, celui du second 7^{mm}; enfin dans le *Sal. dombeensis* les cercles de granules sont plus complets autour des scrobicules, surtout près des zones porifères, les pores génitaux sont ouverts bien près du bord, et les sutures des plaques de l'appareil apical sont profondément persillées, ce qui leur donne une autre apparence, mais ce caractère n'est pas constant.

LOCALITÉ. Dombe-Grande. Couches à *Pholadomya pleuromyaformis* (avec l'*Acanthoceras mamillare*), et couches à Bryozoaires.

Explication des figures.

- Pl. VI. Fig. 2, 2 a.* Le plus grand individu du *Salenia dombeensis*, de grandeur naturelle; *fig. 2 b*, fragment grossi du même exemplaire; *fig. 2 c*, fragment d'une aire ambulacraire grossie; *fig. 2 d*, appareil apical grossi.
- Id. Fig. 3, 3 a, 3 b.* Autre exemplaire de plus petite taille de la même espèce, de grandeur naturelle; *fig. 3 c*, aire interambulacraire grossie; *fig. 3 d*, aire ambulacraire grossie; *fig. 3 e*, tubercule grossi.
- Id. Fig. 4.* Appareil apical d'un autre individu de la même espèce, grossi.

PYGURUS AFRICANUS, P. de Loriol, 1888.

Pl. VII, fig. 1-3.

SYNONYMIE.

Pygurus africanus, P. de Loriol, 1888, Arch. des Sc. Bibl. Univ., 3^e pér., vol. 19, n^o 1. Géologie d'Angola, p. 5.

DIMENSIONS.

Longueur	57 à 69 mm.
Largeur, par rapport à la longueur	0,85
Hauteur	id. id.	0,33 à 0,38

Test déprimé, allongé, ovale, fortement rostré en arrière, tronqué et un peu émarginé en avant. Le contour suit une convexité régulière en s'élargissant graduellement depuis l'angle de la troncature antérieure jusqu'au quart postérieur des aires interambulacraires postérieures paires; à partir de ce point il forme un angle peu accusé, en se rétrécissant très rapidement suivant une ligne droite et même légèrement concave; l'extrémité postérieure est un peu arrondie. Face supérieure peu élevée, uniformément bombée, sauf un léger relèvement autour de l'appareil apical, et un renflement à peine sensible dans l'aire interambulacraire impaire. Face inférieure un peu concave, assez accidentée par des renflements dans les aires interambulacraires.

Appareil apical assez excentrique en avant. Les quatre pores génitaux sont peu écartés; le corps madréporiforme occupe le centre de l'appareil, dépassant à peine les deux pores génitaux postérieurs.

Ambulacres très longs, relativement assez étroits, pétaloïdes, très graduellement resserrés vers leur extrémité; l'espace interporifère n'est aucunement renflé. Zones porifères étroites, ayant un peu plus que la moitié des zones interporifères, les pores externes en fente sont courts. Ce n'est que très près du bord que, les pores externes devenant arrondis, les ambulacres perdent leur apparence pétaloïde et ne se continuent que par deux séries parallèles de très petits pores disposés par paires écartées.

Péristome pentagonal, excentrique en avant, correspondant à peu près avec l'appareil apical; il est entouré d'un floscelle très apparent; les bourrelets sont courts, renflés, saillants, sans être bien volumineux; les phyllodes, par contre, sont fort larges, enfoncés, en fer de lance, avec des pores fort petits; l'antérieur impair est un peu plus étroit que les autres.

Péripote plus ou moins triangulaire, assez grand, ouvert à la face inférieure, à l'extrémité du rostre postérieur qu'il n'échancre pas; il est entouré d'une large area très distincte, tout à fait aplatie, limitée en dehors par un angle prononcé.

Toute la surface est couverte d'une granulation d'une grande finesse. Les tubercules ne sont pas visibles à la face supérieure à cause de l'usure; à la face inférieure on les voit, très petits et très serrés vers le pourtour, s'espacer peu à peu en approchant du péristome vers lequel ils se montrent très rares, un peu plus développés et plus largement scrobiculés.

RAPPORTS ET DIFFÉRENCES. J'ai sous les yeux trois exemplaires de cette intéressante espèce, qui se montrent très constants dans leurs caractères. Elle est très voisine du *Pygurus lampas*, Desor, et, au premier abord, on serait tenté de lui rapporter ces individus. Cependant, un examen plus approfondi fait bientôt apercevoir des différences sensibles qui obligent à séparer l'espèce d'Afrique, qui est certainement distincte, par les caractères suivants: Sa hauteur est beaucoup moindre, la face supérieure est beau-

coup plus uniformément bombée et déprimée sans qu'aucun angle vienne marquer, dans l'aire interambulacraire postérieure impaire, ce renflement correspondant avec le rostre; au pourtour les angles où commence le rétrécissement du rostre sont à peine sensibles, l'extrémité du rostre est arrondie et non tronquée; le bord antérieur est échancré au lieu d'être arrondi; les ambulacres sont beaucoup plus longs, les bourrelets du floscelle sont moins volumineux et les phyllodes, surtout les postérieurs, relativement encore plus larges et plus en fer de lance, enfin le périprocte est triangulaire et toujours entouré d'une large area très nettement limitée.

LOCALITÉ. Dombe-Grande. Couches à *Pholadomya pleuromyiformis* (avec *Acanthoceras mamillare*).

Explication des figures.

Pl. VII. Fig. 1, 1 a, 1 b. *Pygurus africanus*, de grandeur naturelle.

Id. Fig. 2. Phyllode grossi d'un autre exemplaire de la même espèce; fig. 2 a, périprocte du même, de grandeur naturelle.

Id. Fig. 3. Péristome d'un autre exemplaire de la même espèce, de grandeur naturelle; fig. 3 a, phyllode antérieur du même individu, grossi; fig. 3 b, tubercules grossis.

GENRE ASTEROBRISSUS, P. de Loriol (*Trochalia*, Pomel).

C'est avec regret que je suis obligé de changer le nom donné par M. Pomel, mais il existe déjà un genre *Trochalia*, Sharpe, qui a l'antériorité, et qui doit être maintenu; il comprend des espèces de la famille des Nérinées. Je reproduis ici la diagnose que M. Pomel a donnée de son genre *Trochalia*: « Pétales plus développés (que dans les *Antho-*
« *brissus*) lancéolés, tendant à se fermer, à pores externes linéaires allon-
« gés; les phyllodes étroites, mais formées de quelques paires dédoublées
« de pores plus gros, un peu déprimés entre des bourrelets épais, net-
« tement limités, quoique peu saillants. Péristome excentrique en avant,
« pentagonal. Périprocte au sommet d'un sillon dorsal peu profond.
« Souvent une zone granulée sur la suture longitudinale des assules du

« plastron. *Echinobrissus setifensis*, Coq., *E. trigonopygus* Cotteau, etc. »
 Je crois que M. Pomel a eu raison de séparer ces espèces du genre *Echinobrissus*; elles en diffèrent certainement par leurs ambulacres nettement pétaloïdes, formant une étoile distincte, et par leur péristome entouré d'un floscelle nettement déterminé, avec des phyllodes en fer de lance bien caractérisés, séparés par des bourrelets pas très saillants, mais cependant très apparents, et couverts de leur granulation spéciale.

ASTEROBRISSUS POMELI, P. de Loriol, 1888.

Pl. VII, fig. 5 et 6.

SYNONYME.

Asterobrissus Pomeli, P. de Loriol, 1888, Arch. des Sc. Bibl. Univ., 3^e pér., t. 19, n^o 1. Géologie d'Angola, p. 5.

DIMENSIONS.

Longueur		25 à 38 mm.
Largeur par rapport à la longueur		0,92
Hauteur	id. id.	0,52

Test largement ovale, un peu rétréci et arrondi en avant, très graduellement élargi jusque vers le milieu des aires interambulacraires postérieures paires, arrondi et très légèrement émarginé au milieu sur le bord postérieur. Face supérieure déprimée, à peu près uniformément convexe, légèrement déclive en avant et s'abaissant dans l'aire interambulacraire impaire par une courbe uniforme et régulière; l'apex se trouve près du sommet ambulacraire. Face inférieure à peu près plane, légèrement déprimée autour du péristome. Pourtour arrondi.

Appareil apical excentrique en avant sans l'être fortement. Le corps madréporiforme paraît en occuper la plus grande partie sans être renflé en bouton; on ne distingue aucune des sutures des plaques. Les quatre pores génitaux sont peu ouverts, les deux postérieurs plus écartés l'un de l'autre que les antérieurs.

Ambulacres relativement courts, nettement pétaloïdes, lancéolés, et presque fermés à leur extrémité, à peu près égaux entre eux. Les aires interporifères ne sont pas renflées et à peu près une fois et demie aussi larges que les zones porifères. Ces dernières

sont, relativement, larges et un peu déprimées, on compte environ 40 paires de pores dans les ambulacres postérieurs.

Péristome excentrique en avant, correspondant à l'appareil apical; il est assez grand, régulièrement pentagonal, et entouré d'un floscelle très distinct et apparent. Les bourrelets, sans être très saillants, sont bien définis et couverts de granules très fins et très serrés; les phyllodes, en fer de lance, sont bien limités et comptent environ 14 pores externes avec quatre ou cinq doubles paires de pores internes.

Périprocte fort étroit, acuminé au sommet, ouvert sur la face postérieure à peu près à la moitié de la hauteur, aucune espèce de sillon ne le relie à l'appareil apical dont il est plus éloigné que du bord postérieur; il surmonte une area étroite, légèrement creusée, qui échancre faiblement le bord.

Tubercules excessivement fins et serrés à la face supérieure, invisibles à l'œil nu. malgré leur grande petitesse ils sont distinctement scrobiculés et les granules qui les entourent sont presque imperceptibles; à la face supérieure ils sont plus apparents, plus écartés, mais toujours fort petits.

Les individus que j'ai examinés sont très constants dans leurs caractères; seule, la taille varie notablement, mais les passages s'observent entre le plus grand exemplaire et le plus petit.

RAPPORTS ET DIFFÉRENCES. Tout en présentant quelques rapports avec l'*Ast. sub-setifensis*, Coquand, l'*Ast. Pomeli* s'en distingue par ses ambulacres relativement plus longs, son périprocte plus éloigné du bord, sa face supérieure un peu plus renflée et plus uniformément convexe.

LOCALITÉS. Dombe-Grande. Grès à *Cyprina Yvensi* (au-dessous des couches à *Schlanbachia inflata*).

Explication des figures.

Pl. VII, Fig. 5, 5 a. . . *Asterobrissus Pomeli*, de grandeur naturelle. Le plus grand exemplaire.

Id. Fig. 6, 6 a, 6 b, 6 c. Autre exemplaire de plus faible taille, de la même espèce. Grandeur naturelle. Fig. 6 d, ambulacres grossis. Fig. 6 e, péristome du même individu grossi. Fig. f, tubercules grossis.

STIGMATOPYGUS MALHEIROI, P. de Loriol, 1888.

Pl. VII, fig. 4.

SYNONYMIE.

Stigmatopygus Malheiroi, P. de Loriol, 1888, Arch. des Sc. Bibl. Univ., 3^e pér., vol. 19, n^o 1. Géologie d'Angola, p. 5.

DIMENSIONS.

Longueur	22 mm.
Largeur	18
Hauteur	12

Test plus long que large, sub-ovale, arrondi et rétréci en avant, élargi dans la région postérieure, un peu échancré au milieu du bord postérieur qui est arrondi; la face postérieure est obliquement tronquée en dehors. La face supérieure est en grande partie détruite, on peut juger qu'elle était un peu en forme de toit; le faite un peu relevé, probablement, au sommet apical, ne paraît pas déclive vers le bord postérieur. Face inférieure pulvinée, profondément et largement évidée autour du péristome, et déprimée aussi dans le sens de sa longueur. Pourtour très arrondi.

Appareil apical invisible, on peut seulement juger qu'il était un peu excentrique en avant.

Ambulacres relativement larges, courts, très pétaloïdes; les pairs à peu près égaux en longueur et en largeur, arrondis à l'extrémité. Au milieu de la longueur les zones porifères sont un peu plus étroites que l'espace interporifère. On ne voit plus que deux ambulacres pairs de l'un des côtés de l'oursin.

Péristome petit, pentagonal, excentrique en avant, le test est altéré à son pourtour, de sorte que le floscelle ne se distingue plus, mais il devait être assez apparent, à en juger par des traces des phyllodes qui existent encore.

Périprocte allongé, resserré vers le tiers supérieur, et élargi en bas, ce qui lui donne un peu la forme d'une bouteille; le sommet se trouve à peu près à égale distance entre le sommet apical et le bord postérieur; il s'étend sur la moitié supérieure environ de la déclivité de la face postérieure. L'area anale est peu marquée et échancrée cependant légèrement le bord. Au-dessus du périprocte l'aire interambulacraire impaire est un peu renflée, mais sans projection proprement dite.

Tubercules très petits, entourés d'un profond scrobicule, assez écartés à la face supérieure, plus serrés à la face inférieure.

RAPPORTS ET DIFFÉRENCES. Un seul échantillon, malheureusement très mutilé à la face supérieure, représente cette espèce. Il appartient certainement au même genre que le *Stigmatopygus galeatus* d'Orbigny, dont il diffère par sa forme plus rétrécie en avant, sa face inférieure très concave au lieu d'être plane, ses ambulacres plus larges et plus arrondis à l'extrémité, l'absence de saillies de chaque côté du périprocte modifiant l'aspect de la face postérieure et le périprocte relativement moins élargi dans sa région inférieure. Le *Stigmatopygus galeatus*, que d'Orbigny avait pris comme type de

son genre, a été rangé par Desor parmi les *Rhynchopygus*, et M. Cotteau envisageait le genre *Stigmatopygus* comme synonyme du genre *Cyrthoma*, Mac Clelland (Pal. fr. T. jurass. T. IX, p. 123) auquel appartient en effet une des deux espèces comprises par d'Orbigny dans son nouveau genre. Plus tard, M. Cotteau (Echinides du sud-ouest de la France, p. 122), est revenu de cette manière de voir, et conserve le genre *Stigmatopygus*, en lui donnant pour type le *Stigmatopygus galeatus*. Je pense aussi, comme mon savant ami, que ce genre, envisagé de cette manière, doit être conservé, et l'espèce que je viens de décrire sera la seconde connue, appartenant à cette curieuse petite coupe, qui, certainement, ne forme pas un double emploi avec le genre *Cyrthoma*. Une troisième espèce, le *Styg. Bervillei* Desor (Sorignet), ne m'est connue que par une diagnose et me paraît un peu douteuse. Dans son dernier ouvrage, M. Pomel conserve le genre *Stigmatopygus*, mais comme une simple section des *Rhynchopygus*; il me semble cependant que la forme du périprocte, si différente, est un caractère générique suffisant, car on retrouve le périprocte transverse des *Rhynchopygus* avec une grande constance, soit dans les espèces vivantes, soit dans les espèces fossiles. Du reste, comme le genre *Stigmatopygus* est encore peu connu, et représenté par deux espèces seulement, dont on a cité encore que très peu d'exemplaires, il peut se faire que des passages viennent à être découverts. D'un autre côté la découverte d'une nouvelle espèce africaine, avec un périprocte identique à celui de l'espèce type, est une présomption en faveur de la validité du genre et de la valeur de ce caractère.

LOCALITÉS. Dombe-Grande. Couche au-dessus du niveau à *Schlenbachia inflata*.

Explication des figures.

Pl. VII. Fig. 4, 4 a, 4 b, 4 c. *Stigmatopygus Malheiroi*, de grandeur naturelle. Fig. 4 d, périprocte du même, grossi. Fig. 4 e, ambulacres grossis.

ISASTER BENGUELLENSIS, P. de Loriol, 1888.

Pl. VIII, fig. 1-2.

SYNONYMIE.

Isaster benguelensis, P. de Loriol, 1888, Arch. des Sc. Bibl. Univ., 3^e pér., t. 19, n^o 1. Géologie d'Angola, p. 5.

DIMENSIONS.

Longueur environ 50 à 63 mm.

Les exemplaires connus étant très déformés les autres dimensions ne sauraient être données correctement ; la largeur du plus grand exemplaire était d'environ 60^{mm} et sa hauteur de 35^{mm}. Le test paraît avoir été ovale, arrondi en avant, rétréci en arrière ; la face postérieure arrondie et non tronquée. La face supérieure était, paraît-il, régulièrement convexe, déclive en arrière ; la face inférieure assez plane. Pourtour arrondi.

Appareil apical un peu excentrique en avant. On voit deux des pores génitaux dans un exemplaire ; ils sont très rapprochés l'un de l'autre.

Ambulacre impair dans une légère dépression de la face supérieure, qui ne devient nullement un sillon échancrant le bord. Il est relativement large, ses zones porifères sont composées de pores allongés, à peu près égaux, et leur largeur est un peu moindre que celle de l'espace interporifère.

Ambulacres antérieurs pairs très larges et très longs, mais presque superficiels, logés dans de très légères dépressions. Dans le plus grand exemplaire il y avait, dans chacune des zones porifères, au moins 50 ou 60 paires de pores, dont les internes sont allongés, mais courts, et les externes en fente bien plus longue. L'espace interporifère a une largeur à peu près égale à celle de l'une des zones porifères. Ces dernières, vers l'extrémité de l'ambulacre, ne tendent pas à se rapprocher pour le fermer. Ambulacres postérieurs pairs identiques aux antérieurs, mais seulement un peu plus courts et moins divergents.

Péristome invisible. Périprocte largement ovale, acuminé à ses deux extrémités, situé à une certaine hauteur sur la face postérieure, mais je ne saurais préciser exactement sa position à cause des cassures. Il s'ouvre tout à fait à fleur du test sans area anale. Tubercules très petits, assez saillants eu égard à leur petitesse, mamelonnés, crénelés, perforés, très espacés sur toute la surface.

RAPPORTS ET DIFFÉRENCES. Deux exemplaires seulement, très déformés par de nombreuses cassures, représentent cette espèce. Il me paraît que c'est du genre *Isaster* qu'ils se rapprochent le plus, mais un classement définitif ne sera possible qu'avec des exemplaires plus parfaits. L'absence du sillon antérieur paraît complète et l'ambulacre impair est logé dans une dépression à peine sensible ; les ambulacres pairs, également, sont à peine déprimés ; les tubercules sont extrêmement petits et très espacés. Ces caractères sont parfaitement ceux des *Isaster* ; ceux qui en diffèrent sont la position plus élevée du périprocte, du reste, de même forme, et ensuite la grande largeur des ambulacres, et la longueur proportionnelle un peu plus grande des pores internes ; quant aux ambulacres eux-mêmes ils ont une forme semblable à celle de ceux des *Isaster*, les zones porifères ne se rapprochant pas vers l'extrémité. Les tubercules sont tout à fait ceux des *Isaster*, ainsi que je m'en assure par la comparaison de bons exemplaires de *Is. aquitanicus*, et différents de ceux des *Micraster* ou des

Epiaster. Les deux exemplaires décrits n'appartiennent pas à ces deux genres, car, en outre de l'écartement de leurs tubercules, ils ont leurs ambulacres presque superficiels et ne possèdent pas de sillon antérieur; il y avait seulement, paraît-il, une légère dépression en avant du péristome comme du reste, aussi, dans *Isaster aquitanicus*. Ils sont certainement très voisins des *Macraster*, genre que vient d'établir M. Roemer pour une espèce du Texas, mais je ne crois pas qu'ils puissent lui être rapportés, parce que les pores des ambulacres pairs sont moins longs et très notablement inégaux dans chaque paire d'une zone porifère, puis leurs tubercules sont différents. Il ne serait cependant pas impossible que la comparaison immédiate d'exemplaires bien conservés, ne vint à prouver que c'est bien dans ce genre qu'ils doivent être classés.

LOCALITÉ. Catumbella. Avec *Schlenbachia inflata*.

Explication des figures.

Pl. VIII. Fig. 1, 1 a. *Isaster benquellensis* de grandeur naturelle; fig. 1 b, tubercules du même individu, grossis.

Id. Fig. 2. Autre exemplaire de la même espèce, de grandeur naturelle; fig. 2 a, péri-procte du même, de grandeur naturelle. Sa position sur la face postérieure n'est peut être pas tout à fait exacte à cause d'une cassure.

HOLASTER DOMBEENSIS, P. de Loriol, 1888.

Pl. VIII, fig. 7.

Je n'ai sous les yeux qu'un seul échantillon très mutilé et très incomplet appartenant à cette espèce, et, si je me suis décidé à ne pas le négliger tout à fait, et à lui donner un nom, c'est qu'il présente des caractères assez particuliers pour qu'il soit possible de reconnaître l'espèce plus tard, lorsqu'on en aura découvert de meilleurs exemplaires. La longueur est inconnue, elle devait être de 50^{mm} environ, la largeur de 43^{mm}, la hauteur au sommet ambulacraire antérieur, de 20^{mm}. Le test devait être subcordiforme, très déprimé, et relativement large; le bord antérieur est largement échanuré, et assez profondément, par un sillon court qui commence seulement à quelque distance du sommet ambulacraire antérieur, et descend, presque abrupt, sur la face antérieure; il est limité, de chaque côté, par une carène bien prononcée, mais non tranchante. La face supérieure, détruite en grande partie, devait être en forme de toit. Pourtour arrondi, non tranchant.

Ambulacre antérieur impair composé de pores ronds, extrêmement petits, disposés par paires très écartées.

Ambulacres antérieurs pairs très excentriques en avant, presque transverses, tout à fait à fleur du test, longs, mais peu apparents; la zone porifère antérieure est plus étroite que la postérieure et ses pores sont plus petits, tous sont virguliformes et disposés en circonflexe dans les paires. Les deux zones s'écartent beaucoup et l'espace interporifère est beaucoup plus large que la zone porifère postérieure. La face supérieure étant en grande partie détruite on ne voit pas les autres ambulacres.

Péristome très ouvert, transverse, rapproché du bord antérieur, dans une légère dépression de la face inférieure qui, du reste, est très plane, seulement un peu relevée sur le plastron, tandis que les avenues ambulacraires sont un peu déprimées.

Tubercules petits, très clairsemés dans la région antérieure; quelques-uns un peu plus volumineux vers les bords du sillon; sur le plastron, et en dehors des avenues ambulacraires, ils ont à peu près le même développement que ceux qui se trouvent près du sillon, mais ils sont très clairsemés. Toute la surface, entre les tubercules, est couverte de granules d'une finesse extrême, homogènes, relativement assez écartés.

RAPPORTS ET DIFFÉRENCES. Voisine de l'*Holaster prestensis*, Desor, l'espèce qui vient d'être décrite s'en distingue par son sillon antérieur ne commençant qu'à une distance plus grande du sommet apical, moins profond au début, et limité par un angle moins tranchant, puis, par son plastron moins renflé et ses ambulacres antérieurs pairs dont les pores, soit dans les zones antérieures, soit dans les zones postérieures, sont beaucoup moins longs. Dans l'*Hol. Perezii*, Sismonda, le sillon antérieur est plus profond, plus caréné et commence à l'appareil apical, de plus la hauteur est plus grande, le plastron plus renflé, les autres caractères ne peuvent être comparés vu l'imperfection de l'exemplaire type de l'*Hol. Dombeensis* qui est certainement très différent des espèces connues.

LOCALITÉ. Dombe-Grande. Couche à *Schænbachia inflata*.

Explication des figures.

Pl. VIII. Fig. 7, 7 a, 7 b. *Holaster dombeensis*, de grandeur naturelle; fig. 7 c, fragment d'un ambulacre antérieur grossi; fig. 7 d, tubercule grossi.

EPIASTER CATUMBELLENSIS, P. de Loriol, 1888.

Pl. VIII, fig. 3-6.

SYNONYMIE.

Epiaster catumbellensis, P. de Loriol, 1888, Arch. des Sc. Bibl. Univ., 3^e pér., t. 19, n^o 1. Géologie d'Angola, 5.

DIMENSIONS.

Longueur	25 à 36 mm.
Largeur par rapport à la longueur	0,88 à 0,94
Hauteur id. id.	0,66 à 0,77

Test subcordiforme, un peu polygonal, allongé, arrondi et un peu échancré en avant, rétréci et tronqué en arrière. Face supérieure à peine décline en avant, peu renflée, mais très accidentée par les renflements des aires interambulacraires et, principalement, de la postérieure impaire où se trouve le point culminant, et qui est, parfois, très élevée. Face inférieure convexe, surtout sur le plastron, à peine un peu évidée autour du péristome. Face postérieure tronquée un peu obliquement en dehors, et légèrement évidée au milieu par une area sous anale. Pourtour très arrondi. Les aires interambulacraires paires sont renflées et un peu aplaties au milieu; la postérieure impaire étroite, proéminente, aussi un peu aplatie.

Appareil apical un peu excentrique en avant; les quatre pores génitaux assez écartés en travers, les antérieurs moins que les postérieurs; le corps madréporiforme, relativement très petit, n'arrive pas au niveau des pores génitaux postérieurs. Ambulacre impair logé dans un sillon profond dès sa naissance à l'appareil apical, étroit, plat sur le fond, qui, peu à peu, devient plus superficiel, et, finalement, échancre le bord largement, mais peu profondément. Les pores, d'abord très petits et à peine perceptibles dans les 4 ou 5 premières paires, ensuite arrondis et bien ouverts, sont séparés, dans chaque paire, par un granule; on ne compte guère que 17 paires dans chaque zone qui soient bien développées, les pores deviennent ensuite, de nouveau, à peine perceptibles et les paires très espacées; on en compte un peu moins dans les petits individus.

Ambulacres antérieurs pairs larges, très largement creusés, arrondis à l'extrémité, pas très longs relativement et fortement dirigés en avant. On compte 32 paires de

pores dans chacune des deux zones d'un grand individu. Entre chaque paire se trouvent une ou deux lignées de très petits granules. Les zones porifères antérieures et postérieures sont égales entre elles, et un peu plus larges que l'espace interporifère qui est très finement granuleux. Ambulacres postérieurs pairs notablement plus courts que les antérieurs, moins divergents, tout aussi larges, et plus arrondis encore à leur extrémité; on ne compte que 24 paires dans chacune de leurs zones porifères.

Péristome relativement éloigné du bord antérieur, semi-lunaire, un peu marginé, avec une lèvre étroite et saillante en arrière.

Périprocte étroit, acuminé aux deux extrémités, au sommet d'une large area plus ou moins déprimée, se continuant jusqu'à la face inférieure entre deux gibbosités assez accentuées, et limitée, de chaque côté, par quelques protubérances plus ou moins sensibles.

Tubercules de faible taille, scrobiculés, crénelés et perforés, serrés et un peu plus apparents autour de l'appareil apical, écartés dans les aires interambulacraires, serrés et plus développés au pourtour et sur le plastron; il ne s'en trouve presque point sur l'area sous-anale. Toute la surface est, du reste, couverte d'un chagrin excessivement fin et homogène.

Aucune trace de fasciole.

VARIATIONS. Les exemplaires de cette espèce que j'ai eus à ma disposition sont assez nombreux, et ils présentent quelques modifications individuelles qui se laissent facilement toutes rattacher à un même type. Elles sont à peu près limitées aux différences proportionnelles que j'ai indiquées, il y a des exemplaires un peu plus larges que les autres, d'autres sont un peu plus élevés. La taille varie également, aussi un peu la profondeur de l'area sous-anale, mais tous les autres caractères se montrent très constants.

RAPPORTS ET DIFFÉRENCES. L'état de conservation des exemplaires décrits est assez bon pour que je puisse constater avec certitude l'absence totale de fasciole. Parmi les espèces d'*Epiaster* qui sont connues, je n'en vois aucune avec laquelle elle puisse être confondue. Elle se distingue par sa forme allongée, les renflements de ses aires interambulacraires et particulièrement de la postérieure impaire, son sillon antérieur étroit et profond, les gibbosités de sa face postérieure toujours nettement tronquée. L'*Epiaster restrictus*, Gauthier, serait un des plus voisins pour la forme, mais il en diffère par ses aires interambulacraires non renflées, son sillon antérieur moins profond, ses ambulacres plus étroits.

LOCALITÉS. Catumbella. Zone à *Schlenbachia inflata*. Dombe-Grande. Grès à *Cyprina Ivensi*, et couches à *Acteonella Anchietai*.

Explication des figures.

- Pl. VIII. Fig. 3, 3 a, 3 b, 3 c. Epiaster catumbellensis*, de grandeur naturelle. *Fig. 3 d*, ambulacres du même, grossis.
- Id. Fig. 4.* Autre individu de la même espèce plus déprimé, de grandeur naturelle.
Fig. 4 a, tubercules du même individu grossis.
- Id. Fig. 5.* Autre exemplaire plus renflé, de grandeur naturelle.
- Id. Fig. 6.* Autre exemplaire de grandeur naturelle, vu sur la face postérieure.
C'est le seul dont le périprocte soit encore intact.

TABLE DES MATIÈRES

	Pag.
INTRODUCTION.....	1

PREMIÈRE PARTIE

STRATIGRAPHIE

Par P. CHOFFAT.

I. HISTORIQUE.....	5
Anciens auteurs : Lang, Livingstone, Welwitsch, Monteiro, Fonseca, Lenz, Büchner, Capello et Ivens, Höpfner, Szajnocha, Feio, Anchieta, Malheiro, Choffat, P. de Loriol, Kilian, Stanislas Meunier, Zboinski, Van den Broeck, Dautzenberg.	
II. EXAMEN DES RÉCOLTES de M. MALHEIRO.....	15
A. LOANDA. Molasse marine.....	16
B. CATUMBELLA. Quaternaire. — Crétacique.....	17
C. DOMBE-GRANDE. Gneiss. — Grès de Dombe.....	18
Couches à <i>Pholadomya pleuromyæformis</i> . — Couches à Bryozoaires. — Grès à <i>Cyprina Ivensi</i> . — Couches à <i>Schloenbachia inflata</i> . — Couches à <i>Acteonella Anchietai</i> . — Couches à <i>Nerinea Capelloi</i> . — Grès à <i>Ostrea Baylei</i> . — Grès à <i>Ostrea Olisiponensis</i> . — Échantillons épars. — <i>Ostrea (Gryphæa) Szajnochai</i> . — Tertiaire? — Molasse marine. — Marnes à Foraminifères. — Roches éruptives modernes.....	28
III. RÉSUMÉ. <i>Traits généraux de la province</i>	29
<i>Roches éruptives anciennes, roches archéennes et paléozoïques</i> . — Granite. — Gneiss. — Schistes archéens et paléozoïques, calcaire métamorphique. — Grès paléozoïques. — Minéraux dans les terrains précités : or, argent, cuivre, plomb, fer.....	32
<i>Grès bitumineux</i> . Houille.....	38
<i>Grès de Dombe</i>	40
<i>Sel</i>	45
<i>Crétacique fossilifère</i>	48
<i>Roches éruptives modernes</i> . Fer magnétique.....	51
<i>Tertiaire sédimentaire</i>	52
<i>Dépôts superficiels</i> . — Argile rouge. — Coquilles marines actuelles. — Changement de la ligne de rivage. — Sables blancs. — Cailloux roulés. — Tufs. — Argiles remaniées et conglomérats cuprifères dans les vallées. — Copal. — Marmites de géants. — Sources thermales. — Instruments de pierre.....	54
<i>Addition à la partie historique</i> . Barth.....	58

DEUXIÈME PARTIE

DESCRIPTION DES FOSSILES CRÉTACIQUES

MOLLUSQUES par Paul CHOFFAT.

Groupe de <i>Schloenbachia inflata</i> , Sowerby.....	61
<i>Schloenbachia inflata</i> (Sowerby).....	62
Id. Lenzi, Szajnocha.....	64
Id. Elobiensis, Szajnocha.....	66

	Pag.
Puzosia sp. aff. difficilis, (d'Orbigny).....	67
Id. Welwitschi Choffat.....	68
Hoplites dispar (d'Orbigny).....	69
Acanthoceras mamillare (Schlotheim).....	71
Hamites virgulatus (Brongniart?), d'Orbigny.....	71
Id. Angolensis, Choffat.....	72
Acteonella Anchietai, Choffat.....	73
Bullina Malheiroi, Id.	74
Cylindrites Cordeiroi, Id.	74
Id. Delgadoi, [Id.	75
Actæon Lenzi, Id.	75
Avellana Büchneri, Id.	76
Strombus sp. ind. (Tertiaire).....	76
Nerinea Cappelloi, Choffat.....	77
Cerithium Silva-Portoi, Id.	78
Id. Monteiroi, Id.	78
Glauconia aff. Kefersteini (Goldfuss).	79
Tylostoma Pechueli, Choffat.....	80
Natica bulbiformis, Sowerby.....	80
Id. Feioi, Choffat.....	81
Nerita Malheiroi, Choffat.....	82
Pholadomya (Goniomya) Beyrichi, Choffat.....	82
Id. cfr. Collombi, Coquand.....	83
Id. pleuromyæformis, Choffat.....	84
Cyprina Ivensi, Choffat.....	86
Pinna Robinaldina, d'Orbigny.....	86
Lithodomus prælongus, d'Orbigny.....	88
Janira Ficallioi, Choffat.....	89
Id. Welwitschi, Choffat.....	90
Ostrea cfr. canaliculata, Sowerby.....	91
Id. vesiculosa (Sowerby).....	91
Id. Szajnochai, Choffat.....	92
Id. Baylei, Guéranger.....	93
Id. Olisiponensis, Sharpe.....	95

DESCRIPTION DES ÉCHINIDES

PAR P. DE LORIOI.

Cidaris Malheiroi, P. de Lorioi.....	97
Cidaris vafellus, Id.	99
Salenia dombeensis, Id.	100
Pygurus africanus, Id.	102
Asterobrissus, Pomeli, Id.	105
Stigmatopygus Malheiroi, P. de Lorioi.....	106
Isaster benguellensis, Id.	108
Holaster dombeensis, Id.	110
Epiaster catumbellensis, Id.	112

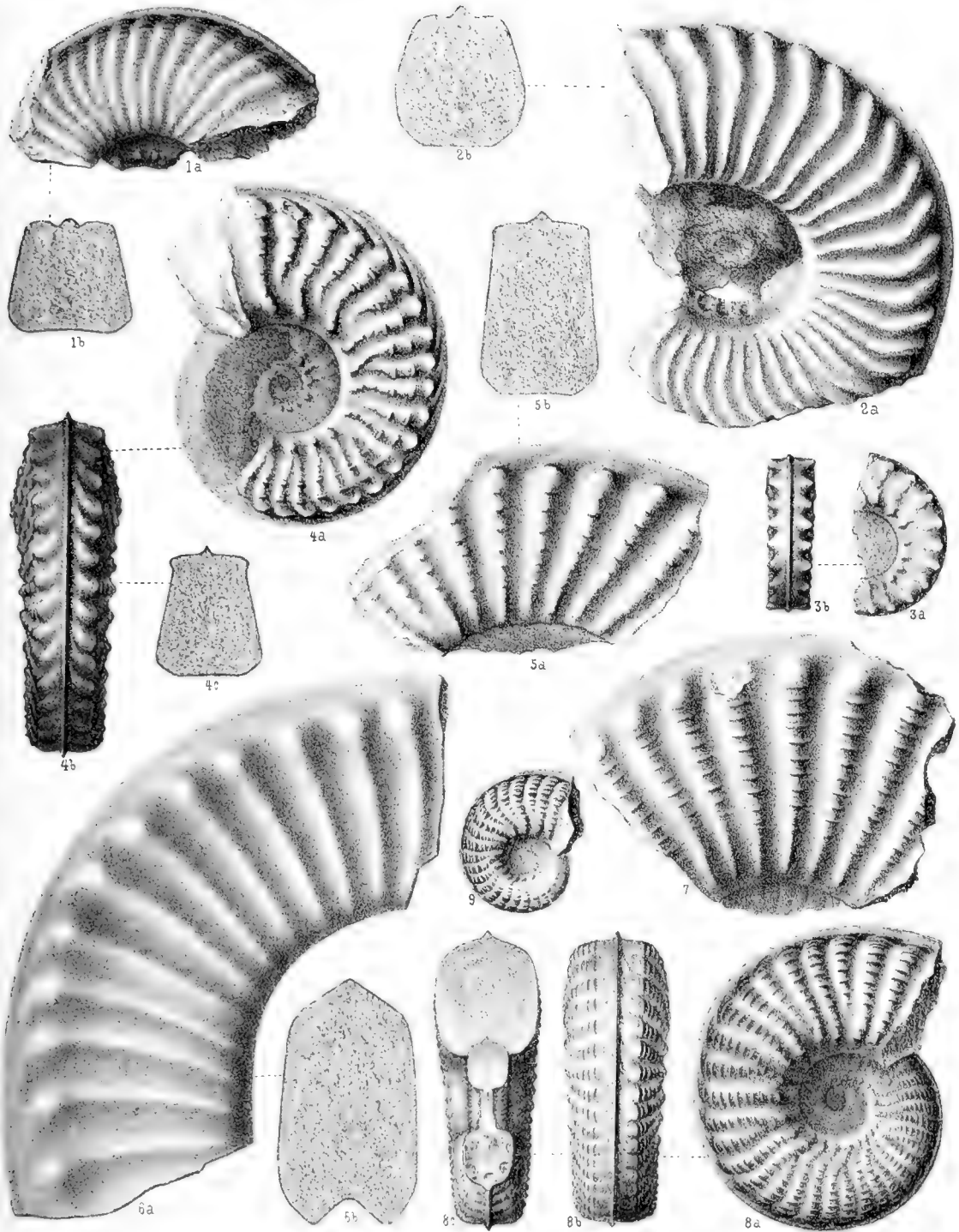


Fig. 1-2 *Schloenbachia inflata* (Sow.) var.
Fig. 3-5 *Schloenbachia lenzi* Szapoczn.

Fig. 6 *Schloenbachia* cf. *lenzi*, *Szapocznia*
Fig. 7-9 *Schloenbachia Flebiansi* Szapoczn.

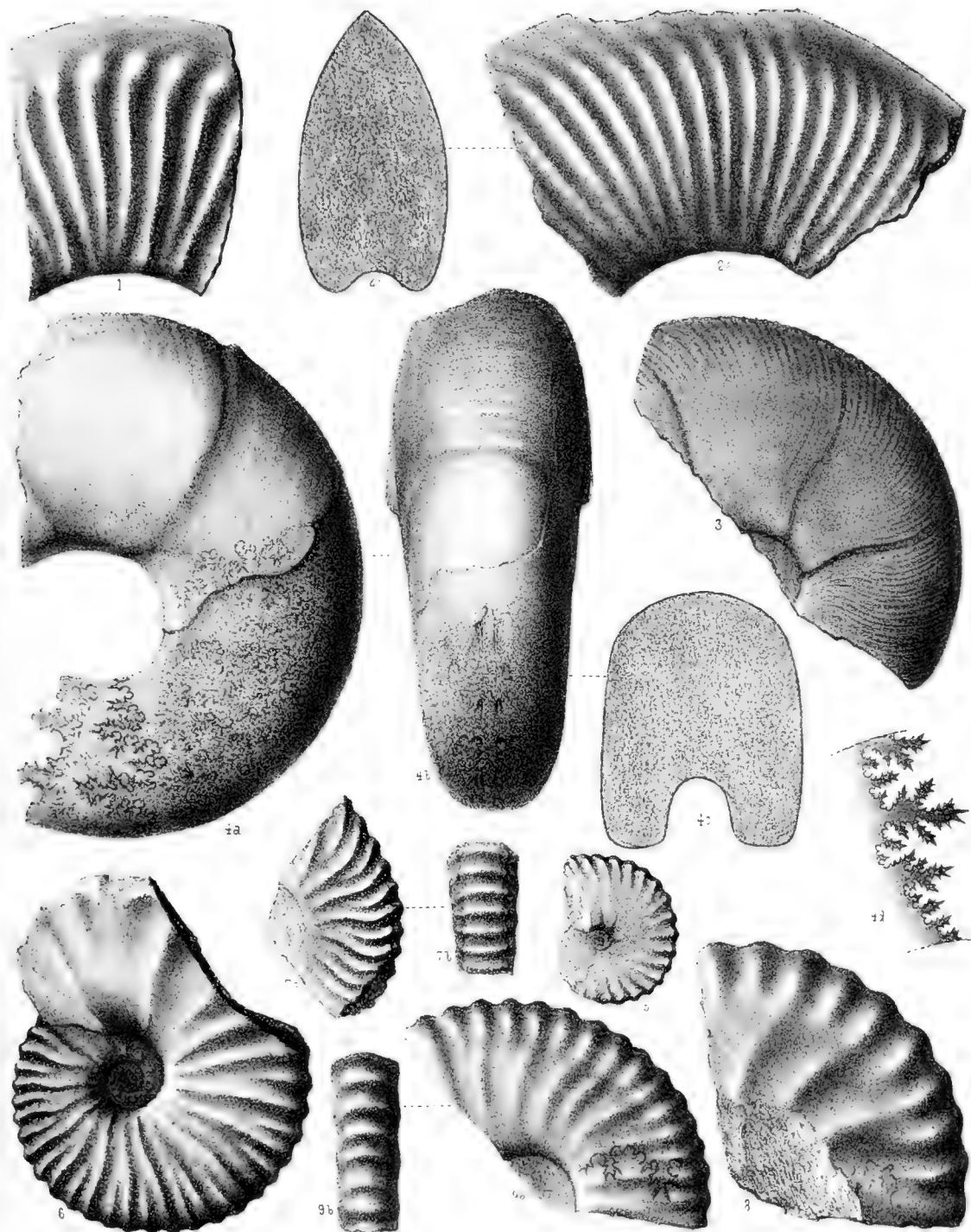


Fig. 1-2 *Schloenbachia*, sp. und
Fig. 3 *Puzosia* sp. aff. *difficilis*, (d'Orb.)

Fig. 4 a d *Puzosia* *Hérvitschi*, Cheffut
Fig. 5, 6, 7, 8, 9, 10 *Hoplites dispar*, (d'Orb.)

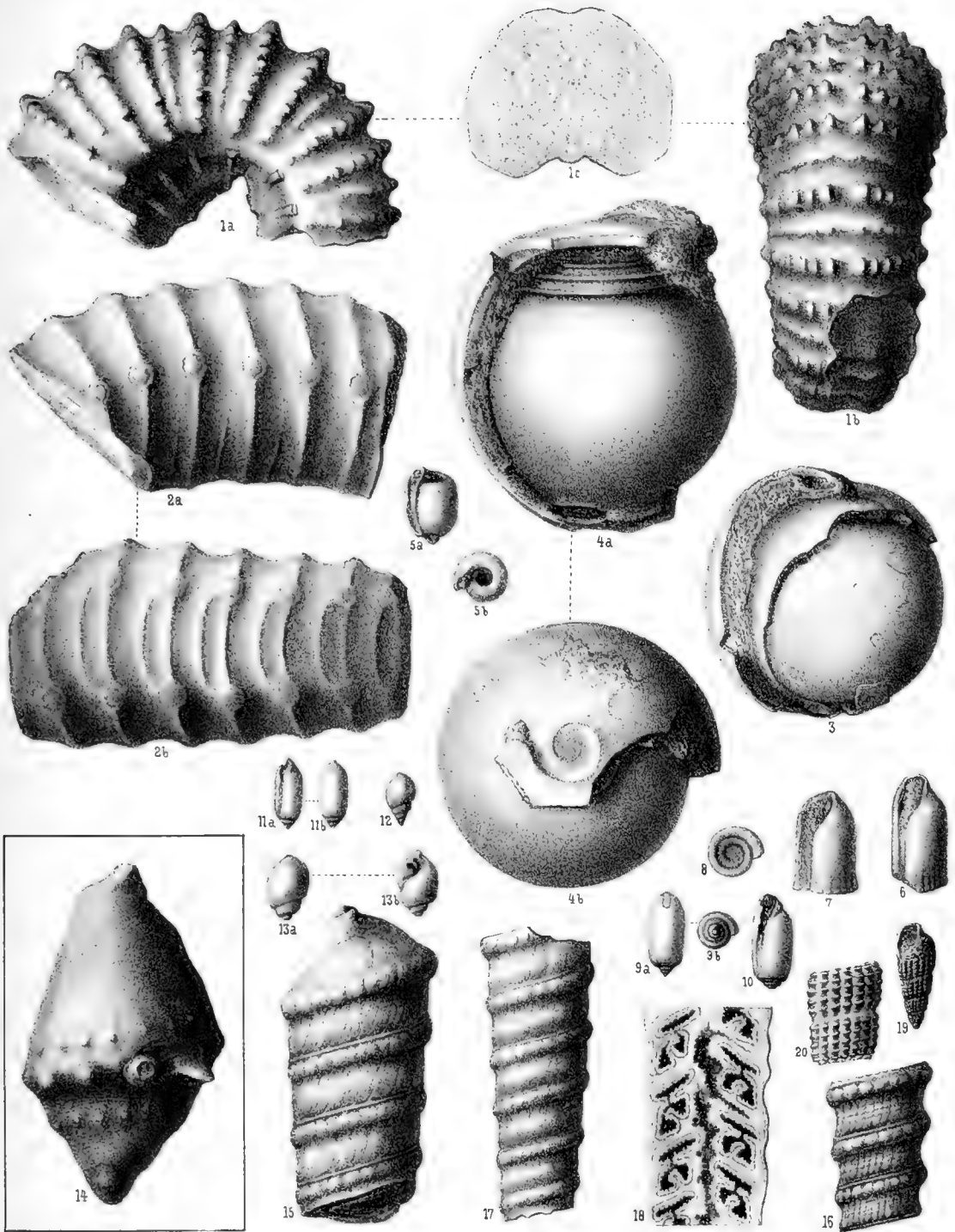


Fig. 1. a. b. c. — *Acanthoceras mamillare*, (Schloth.)

Fig. 2. a. b. *Ilamites Angelensis*, Cheffat

Fig. 3.-5. — *Aeteonella Anchietai*, Cheffat

Fig. 6.-8. — *Bullina Malharoi*, Cheffat

Fig. 9.-10. — *Cylindrites Cerdaroi*, Cheffat

Fig. 11. a. b. *Cylindrites Delgadoi*, Cheffat

Fig. 12. — *Actaeon Lenzi*, Cheffat

Fig. 13. a. b. *Avellana Buechneri*, Cheffat

Fig. 14. — *Strombus* sp. (Eocene?)

Fig. 15.-18. — *Xerinea Capelloi*, Cheffat

Fig. 19-20. — *Cerithium Silva-Perlei*, Cheffat

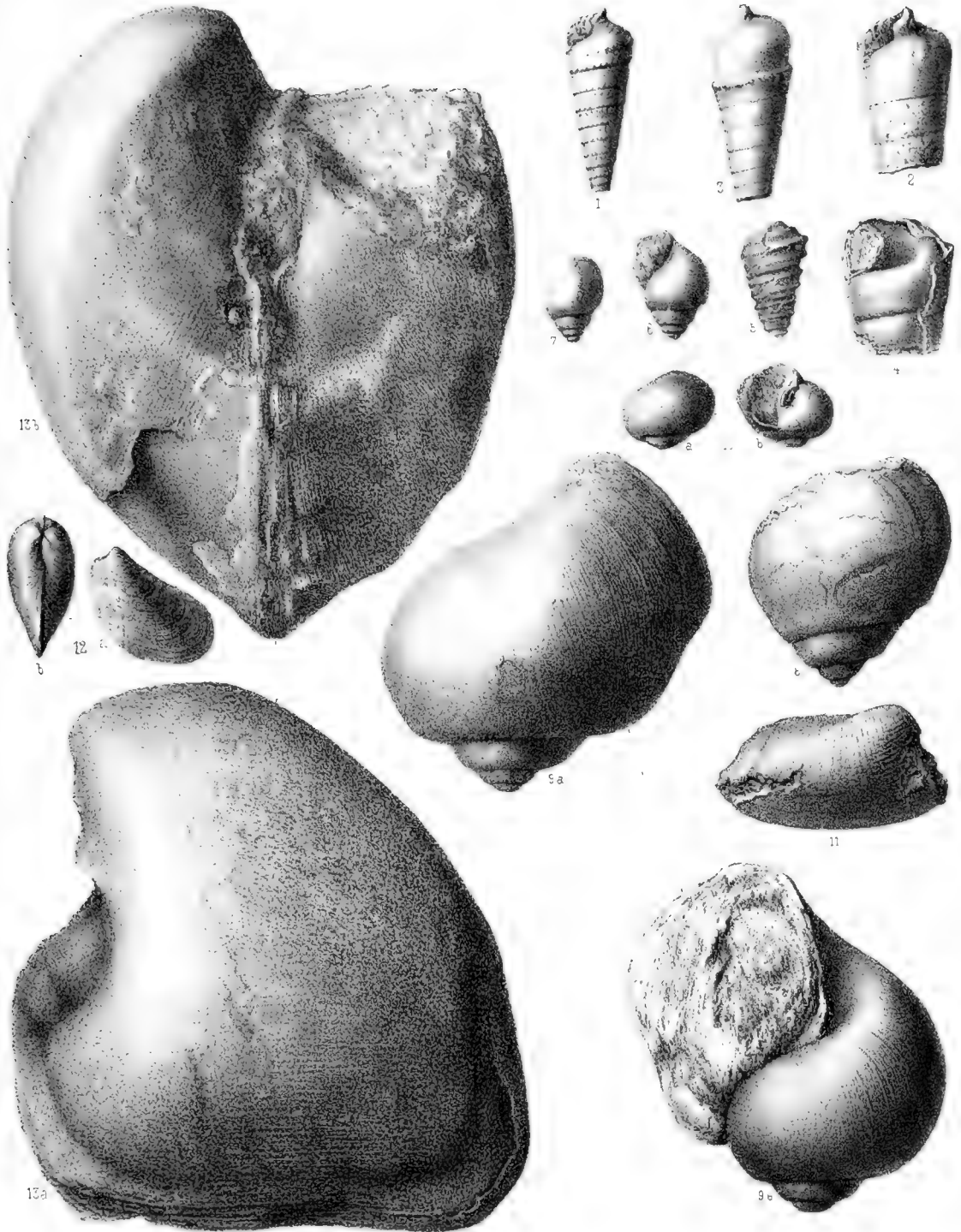


Fig. 1-4. *Cerithium Monteiroi*, Cheffat.
 Fig. 5. *Glaucenia* aff. *Käfersteini*, Goldf.
 Fig. 6-7. *Tylostoma Peschueli*, Cheffat.
 Fig. 8. *Natica bulbiformis*, Sow.
 Fig. 9 a. b. *Natica Feioi*, Cheffat.

Fig. 10 a. b. *Nerita Malheiroi*, Cheffat.
 Fig. 11. *Gonomya Beyerichi*, Cheffat.
 Fig. 12 a. b. *Pheladomya* cf. *Colombi*, Ceg.
 Fig. 13 a. b. *Cyprina Ivensi*, Cheffat.

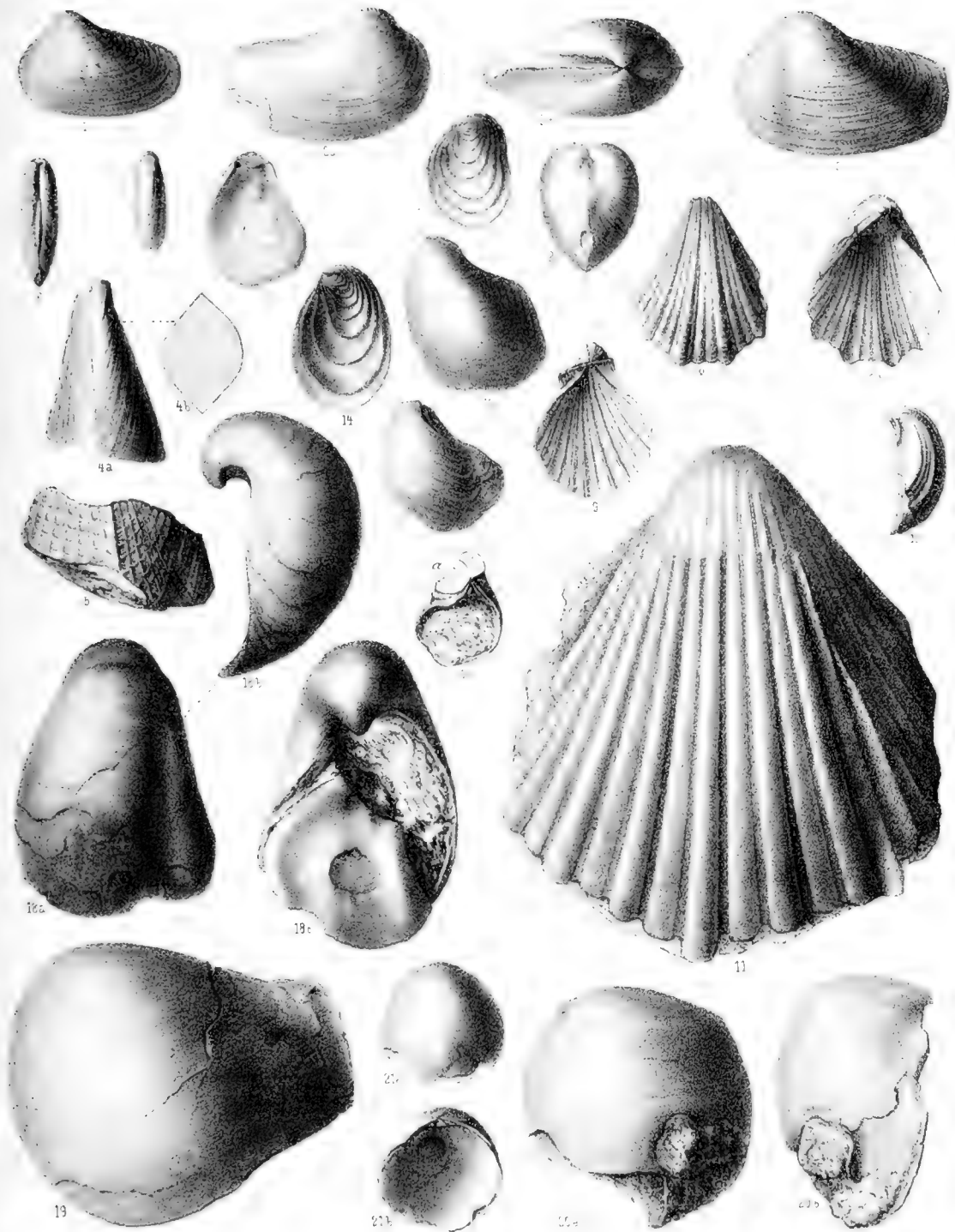
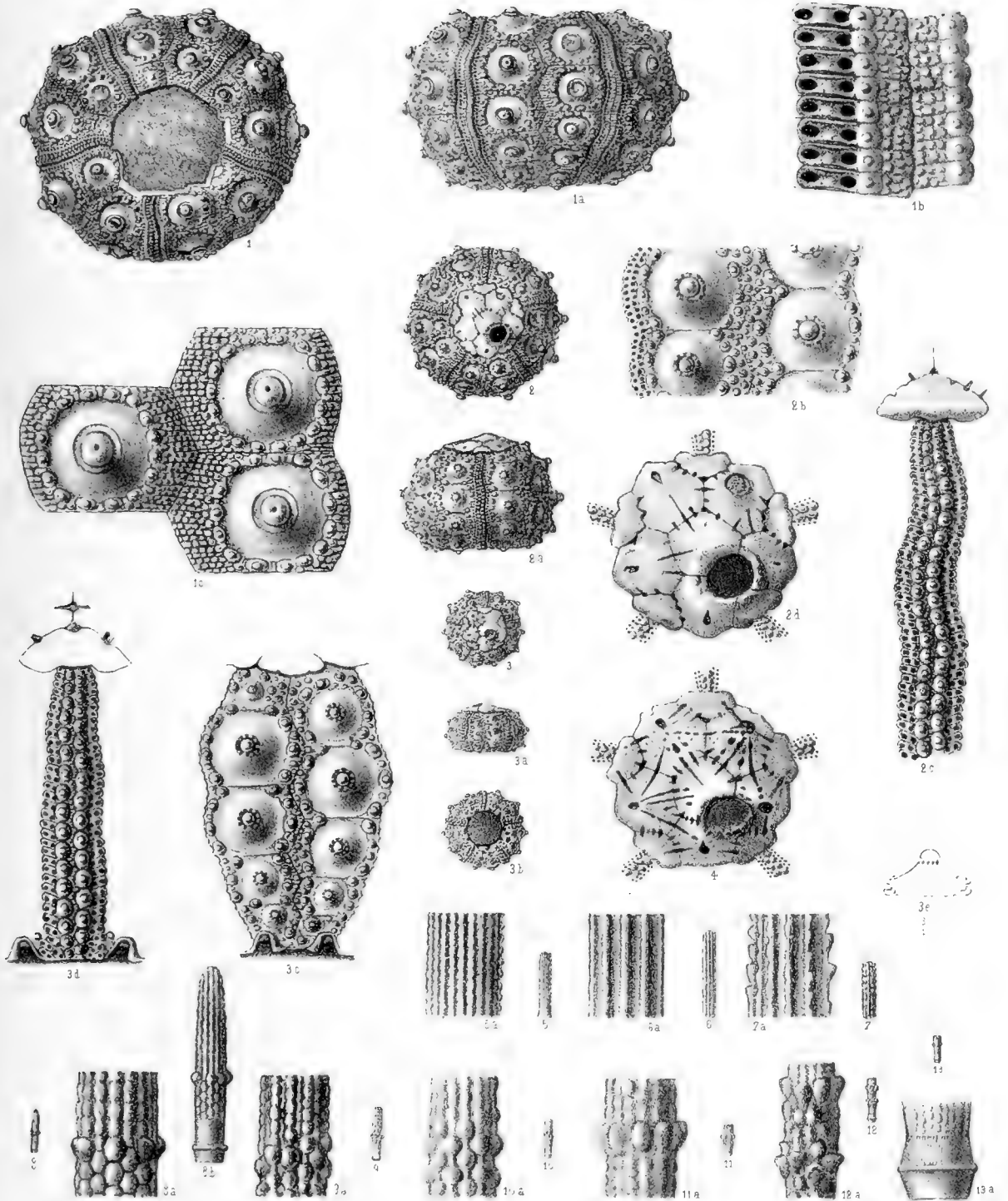


Fig. 1-3. *Pheladonax pleuremyxiformis*, Choiff.
 Fig. 4. *Pinna Robinaliana*, d'Orbigny
 Fig. 5-7. *Lithodomus praelongus*, d'Orbigny
 Fig. 8-10. *Janira Ficalhoi*, Choiffat
 Fig. 11. *Janira Helwitschi*, Choiffat

Fig. 12-14. *Ostrea di canalculata*, Sow
 Fig. 15-17. *Ostrea vesiculata*, Sow
 Fig. 18. *Ostrea Szajnochai*, Choiffat
 Fig. 19-21. *Ostrea Baylei*, Guer

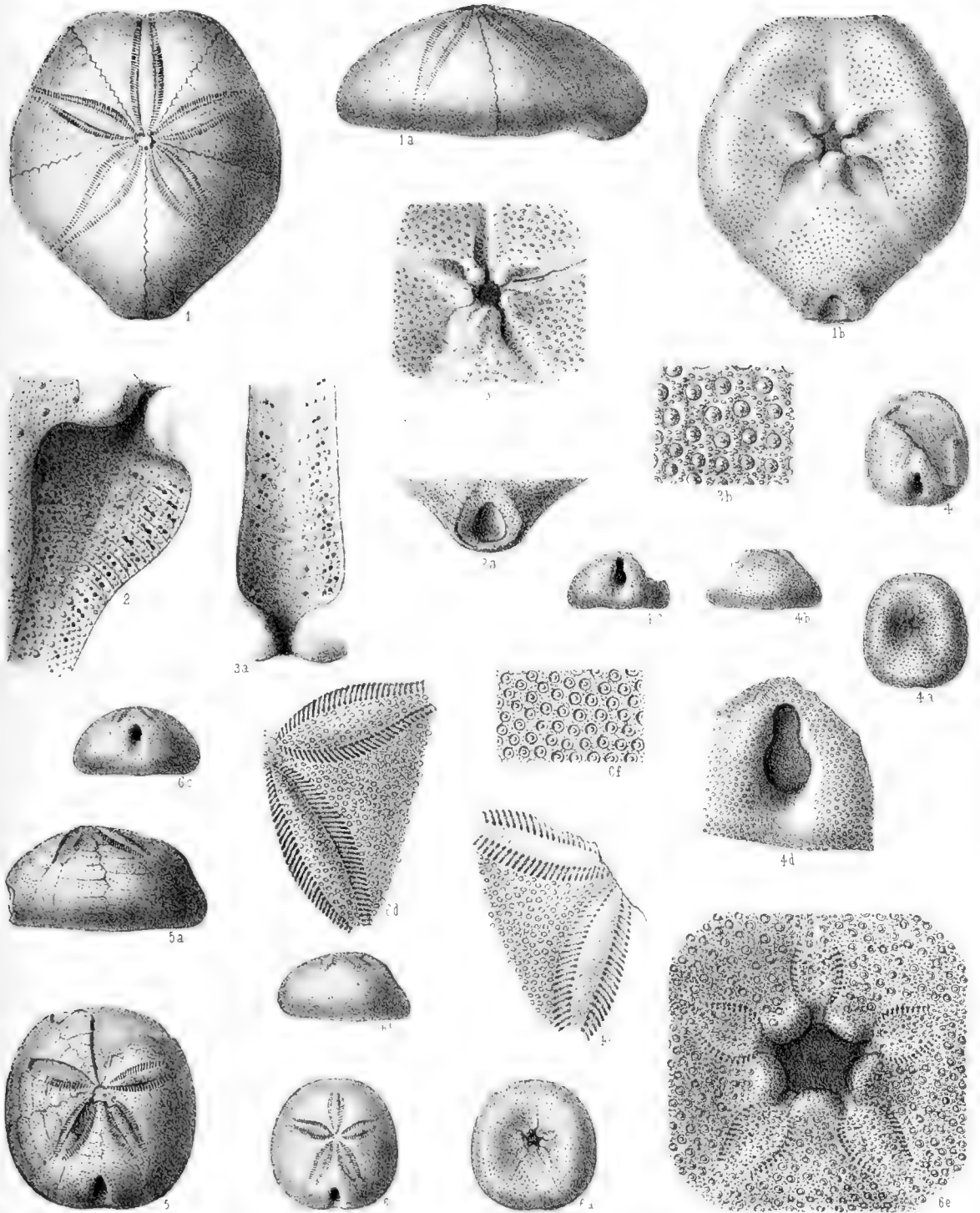


A Linné del et lith

Imp Jules Roy Geneve

Fig 1 - *Cidaris Malheiroi*, P de Lorient
 Fig 5-7 - *Cidaris Malheiroi* ?

Fig 2 3 4 - *Salenia dembeensis*, P de Lorient
 Fig 8-13 - *Cidaris vafellus*, P de Lorient



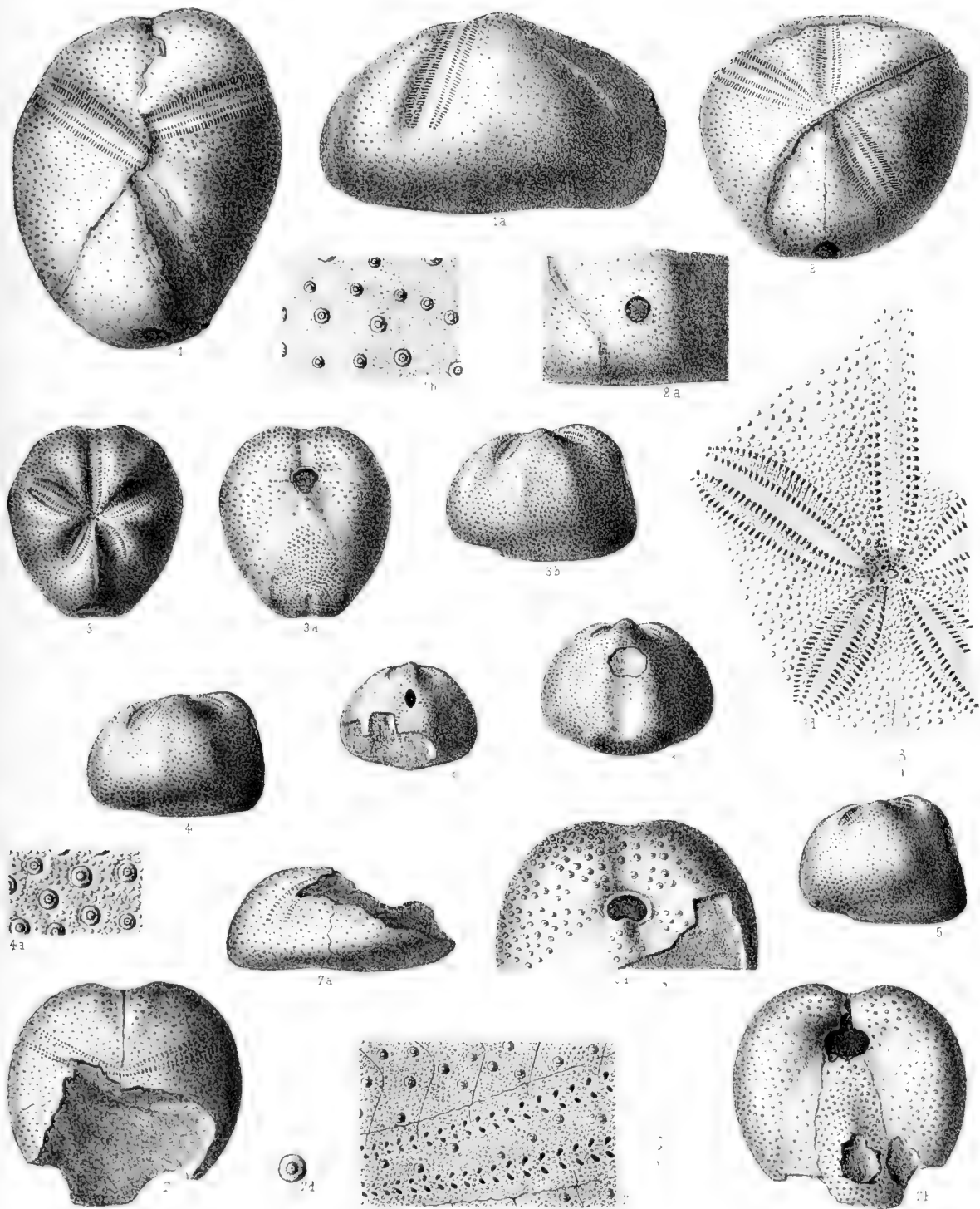
A. Lurel, del et lith.

Imp. Jules Rey, Genève

Fig. 1-3 - *Pignus africanus*, P. de Loriol.

Fig 4. - *Stigmatopygus Malheiroi*, P de Loriol

Fig 5-6. - *Asterobrissus Pomeli*, P de Loriol



A. Lurcl. del. et lith.

Imp. Jules Rey, Genève

Fig 1-2 - *Isaster benguellensis*, P. de Loriol

Fig 3-6 - *Epiaster Catumbellensis*, P. de Loriol

Fig 7 - *Holaster dombeyensis*, P. de Loriol

MÉMOIRES
DE LA
SOCIÉTÉ DE PHYSIQUE ET D'HISTOIRE NATURELLE DE GENÈVE
TOME XXX. — N° 3.

PYRENOCARPEÆ FEEANÆ

IN FÉEI ESSAI (1824) ET SUPPLÉMENT (1837) EDITÆ

E NOVO STUDIO SPECIMINUM ORIGINALIUM EXPOSITÆ

ET IN

NOVAM DISPOSITIONEM ORDINATÆ

AUCTORE

D^r J. MÜLLER



GENÈVE
IMPRIMERIE CHARLES SCHUCHARDT
1888

PYRENOCARPEÆ FÉEANÆ

Pyrenocarpeæ Lichenés sunt angiocarpici, perithecio hemisphærico aut subglobo-
boso (non cupulari nec annulari), præter ostiolum poriforme clauso præditi, nuclei-
geri (nec laminigeri), ascos et paraphyses convergentes (nec parallelos) gerentes et
epithecio distincto carentes. — *Pyrenocarpeæ* Féeanæ in *Essai et Supplément*
editæ omnes thallo crustaceo et gonidiis viridi-chroolepoideis gaudent.

Graphideas Féeanas jam anno præterito in *Mémoires de la Société de Physique et*
d'Histoire naturelle de Genève, vol. XXIX, sub n. 8°, similiter exposui, et omnium
reliquorum Lichenum Féeanorum revisionem simul dedi in cl. Roumeguérii *Revue*
mycologique n° 35.

Conspectus tribuum, subtribuum et generum :

TRIB. I. **Striguleæ**, thallus plagulaformis, undique arcte adnatus, ad peripheriam radiatim effi-
guratus, zoosporangia gerens (gonidia chroolepoidea, in disculum phyllactoideum connata).

1. STRIGULA, sporæ hyalinæ, transversim divisæ, loculi non lenticulares ; paraphyses
discretæ.

TRIB. II. **Pyrenuleæ**, thallus crustaceus, undique arcte adnatus, peripherice non effiguratus.

SUBTRIBUUM SER. I. **Pyrenuleæ campylostomaticæ**, perithecium in sectione verti-
cali obliquum, in ostiolum declinatum abiens (in nostris perithecia circ. 3-6-natim circulatim
sita et in ostiolum centrale commune convergenter abeuntia).

SUBTRIB. I. **Astrotheliæ**, apothecia composita (aut et simul depauperando simplicia); perithecia circulatim sita, in ostiolum (vulgo) unicum commune abeuntia).

2. ASTROTHELIIUM, sporæ hyalinæ, transversim divisæ, loculi lenticulares.
3. PARMENTARIA, sporæ fuscæ, parenchymaticæ.
4. PYRENASTRUM, sporæ fuscæ, transversim divisæ, loculi lenticulares (ut in *Pyrenulis*).

SUBTRIBUM SER. II. **Pyrenuleæ orthostomaticæ**, perithecium in sectione verticali rectum, in ostiolum rectum et erectum abiens.

SUBTRIB. II. **Trypetheliæ**, fructus compositi, pluribus peritheciiis formati, pluriostiolati.

5. TRYPETHELIUM, sporæ hyalinæ, transversim divisæ, loculi lenticulares.
6. BATHELIUM, sporæ hyalinæ, parenchymaticæ.
7. BOTTARIA, sporæ fuscæ, parenchymaticæ.
8. MELANOTHECA, sporæ fuscæ, transversim divisæ, loculi lentiformes (ut in *Pyrenulis*).
9. TOMASELLIA, sporæ hyalinæ, transversim divisæ, loculi non lentiformes.

SUBTRIB. III. **Verrucariæ**, fructus simplex, perithecio unico formatus, 4-ostiolatus.

10. PORINA, sporæ hyalinæ, transversim divisæ, loculi cylindrici; paraphyses non connexæ.
11. ARTHOPYRENIA, sporæ hyalinæ, transversim divisæ, loculi denum cylindrici; paraphyses connexæ.
12. PSEUDOPYRENULA, sporæ hyalinæ, transversim divisæ, loculi lenticulares; paraphyses connexæ.
13. PYRENULA, sporæ fuscæ, transversim divisæ, loculi lenticulares.
14. ANTHRACOTHECIUM, sporæ fuscæ, parenchymaticæ.
15. MICROTHELIA, sporæ fuscæ, transversim divisæ, loculi non lenticulares.

Trib. I. STRIGULEÆ Müll. Arg. Pyrenoc. Cubens. p. 375 et 378.

1. STRIGULA Fries in Vet. Akad. Handl. 1821, p. 323, ex Th. Fries Gen. heterol. p. 112 obs. 2; Nyl. Pyrenoc. p. 65; Müll. Arg. Pyrenoc. Cubens. p. 375.

1. **Strigula complanata** Montg. v. **genuina** Müll. Arg. Pyrenoc. Cubens. p. 381, s. *Phyllocharis complanata* Fée Ess. p. xcix, t. 2, f. 3 et Suppl. p. 147,

t. 43 add. f. 17, e St-Domingo, species haud vulgaris, facile distinguitur plagulis e centro radiatim paullo irregulariter lacinato-undulatis et radiis ipsis tota superficie longitrorsum costulato-striolatis, costulae hæ sub objectivis centies augmentibus, non autem sub lente, eleganter perspicuæ. — Follicola in ins. St-Domingo (ad specim. Féeana ut undique in sequentibus).

Var. CILIATA Müll. Arg. Pyrenoc. Cubens. p. 380; huc pertinet *Strigula ciliata* Montg. Centur. VI, n° 19; *Nematora argentea* Fée Ess. p. xcix, t. 2, f. 4 et Suppl. p. 146, t. 3 add., f. 14, ex icone et specim. pr. p. (altera pars est *Strigula elegans* v. *nematora* Müll. Arg. Pyrenoc. Cubens. p. 380), sed pili radiorum, qui valde abbreviati (e copia aliorum speciminum longitudine et numero insigniter ludentes), in icone omissi sunt. — Follicola in St-Domingo.

2. ***Strigula elegans* v. *nematora*** Müll. Arg. Pyrenoc. Cubens. p. 380; hic pertinent specimina pr. p. *Nematoræ argenteæ* Fée Ess. p. xcix. — In Java.

Var. VIRIDISSIMA Müll. Arg. L. B. n. 919, s. *Nematora viridissima* Fée Ess. p. xcix, t. 2, f. 8 et Suppl. p. 146, t. 3 add., fig. 45. — Lacinulae hujus var. ut in v. *nematoræ*, sed breviores et magis cuneate. — Color vulgo magis viridis, sed albidus et albus etiam occurrit ut in omnibus generis. Omnia primum viridia, dein sensim sensimque albiora evadunt ut in multis speciminibus facillime observandum et a cl. Ward recenter etiam observatum est. — Coloribus solis plagularum varietates veræ non stabiliendæ sunt.

Var. INTERMEDIA Müll. Arg. Pyrenoc. Cubens. l. c., *Craspedon concretum* Fée Ess. p. c et xciv, t. 2, f. 1 et Suppl. p. 147, t. 43 add., f. 19. Radii plagularum interrupto-connexi, usque versus centrum sinibus exiguis at ambitu latis inter se discreti. — In Antillis.

Var. GENUINA Müll. Arg. Pyrenoc. Cub. l. c.; *Phyllocharis elegans* Fée Ess. p. C, t. 2, f. 7; *Stigmatidium elegans* Spreng. Syst. Veg. 4, p. 243 pr. p. — Habitu ad *St. complanatam* v. *genuinam* Müll. Arg. accedit, sed plagularum laciniæ convexiores, latiores, apice magis late rotundatæ et in ipsa superficie haud (microscopice) longitrorsum costulatae, ceterum in quaque plagula valde inæquilongæ. — In plantis Féeanis, ut vulgo, nunc apothecia, nunc pycnides, nunc spermogonia v. etiam fructificationes variæ mixtæ adsunt, unde, addito habitu summo-pere variabili specierum verarum, facile intelligitur, cur tot species falsæ Féeanæ ante 64 annos admitti potuerunt. — Follicola in insula Mauritiæ.

3. ***Strigula Antillarum*** Müll. Arg. Pyrenoc. Cubens. p. 379; *Melanophthal-*

mum Antillarum Fée Ess. p. C, t. 2, f. 2 et Suppl. p. 147, t. 43 add., f. 18; *Strigula melanophthalma* Montgn. Syllog. p. 376. Pyrenidibus in centro plagularum minutarum confluentibus numerosis quasi maculas exiguas 1-4 ibidem formantibus facile recognoscenda. Reliqua cæterum in Pyrenoc. Cubens. l. c. exposui. — In Antillis, foliicola.

4. ***Strigula subtilissima*** Müll. Arg. L. B. n. 678 (plenius exposita); *Racoplaca subtilissima* Fée Ess. p. xcix, t. 2, f. 5 et Suppl. p. 146 (t. 43 add., f. 16). — Icon prior Féeana bona, secunda autem analytica quoad sporas simplices in ascis falsa est. — In Antillis foliicola.

Trib. II. PYRENULEÆ Müll. Arg. Pyrenoc. Cubens. p. 375 et 381.

Series I. PYRENULEÆ CAMPYLOSTOMATICÆ Müll. Arg. Pyrenoc. Cubens.
p. 375 et 382.

Subtrib. I. ASTROTHELIEÆ Trev. Syn. Trypeth. p. 22; Müll. Arg. Pyrenoc. Cubens. p. 375 et 382.

2. **ASTROTHELIUM** Trev. Syn. Tryp. p. 23; Eschw. Syst. Lich. p. 18 pr. p. (1824); Nyl. Pyrenoc. p. 80 pr. p.; Müll. Arg. Pyrenoc. Cubens. p. 375 et 382; *Pyrenodium* Fée Suppl. p. 68 (1837) et Mém. Lichenogr. p. 43.

1. ***Astrothelium variolosum*** Müll. Arg. L. B. n. 846 (excl. syn. Eschw.); *Trypethelium variolosum* Ach. Syn. p. 404; *Porina macrocarpa* Fée Ess. p. 84; *Pyrenodium macrocarpum* Fée Suppl. p. 69, t. 41. Pyren. f. 3 et Mém. Lichenogr. p. 55; *Pyrenodium hypoxylon* Fée Suppl. p. 69, t. 41. Pyrenoc. f. 2 et Mém. Lichenogr. p. 54; *Astrothelium hypoxylon* Nyl. Pyren. p. 80; *Astrothelium*

sulphureum Nyl. in Prodr. Nov. Gran. p. 129 (excl. syn. Eschw.). — Species ambæ Féeanæ nec ab Achariana nec inter se specificè differunt, in *Pyrenodio macrocarpo* plantam bene evolutam ostendunt (ut in Lindigii n. 2890); *P. hypozylon* nil est nisi status ejusdem minus evolutus, stromatibus minus emersis, in ipsissimo enim specimine Féeano *P. macrocarpi* ambæ sensim transeunt et dein ne quidem sub varietatis titulo distinguendæ sunt. Verrucæ fructigeræ apice demum varioloso-subulceratæ sunt. Etiam eadem est *Pyrenula epapillata* Fée Ess. p. 78 et Suppl. p. 82 (non *Verrucaria epapillata* Nyl. Pyren. p. 43), statu eximie juvenili, vix nisi stromata apice umbilicata omnino sterilia ostendens. Perithecium crassum, quale ab auctore descriptum, nil est nisi prominentia corticis thallino-vestita. Sporæ non adsunt nec perithecia evoluta (specimina orig. cæterum valde mutilata sunt). *Pyrenastrum sulphureum* Eschw. dein, e Brasilia, colore alio, læte flavo-pallido (nec roseo-pallido v.-albido aut sublavescente) thalli et verrucarum sub *Astrothelio sulphureo* (Eschw.) servandum est. — Ad corticem *Cinchonarum*.

3. **PARMENTARIA** Fée Meth. Lich. p. 24; Ess. p. xxxix et 70 et Suppl. p. 67, et Mém. Lichenogr. p. 63; Müll. Arg. Pyrenoc. Cubens, p. 375; *Pyrenastrum* Tuck. Gen. p. 276 (non Eschw.); *Heufleridium* Müll. Arg. L. B. n. 592; *Plagiothelium* Stirt. Addit. Lichenfl. of Queensl. p. 75.

1. **Parmentaria astroidea** Fée Meth. Lich. p. 24, t. 1, f. 14 et Ess. p. 70, t. 20, f. 1; Suppl. p. 67, t. 41. Parm. f. 1; Massal. Ricerche p. 45, fig. 282; *Verrucaria aspistea* v. *astroidea* Nyl. Pyren. p. 44; *Verrucaria astroidea* Nyl. Prodr. Nov. Gran. p. 116; *Heufleridium pentagastricum* Müll. Arg. L. B. n. 592. — Planta eximie distincta, locis citatis jam amplius exposita. — Ad corticem *Crotonis Cascarillæ*.

Obs. In Suppl. p. 67 insuper citatur variatio hujus speciei apotheciis et thallo rubris. Hæc planta, etiam in cortice *Crotonis Cascarillæ* crescens, et sporis sat similibus sed minus parenchymatice divisis prædita, non est (ex specim. hb. Féeani) *Parmentaria*, sed ad *Bottariam cruentatam* Müll. Arg. Pyrenoc. Cubens. p. 395 inter *Trypetheliaceas* referenda est. — Similiter *Parmentaria Quassie* Fée hb. ined., in cortice *Zanthoxyli caribæi*, non est *Parmentariæ* species, sed *Pyrenastrum cubanum* Müll. Arg. Pyrenoc. Cubens. p. 386.

2. **Parmentaria Cinchonarum** Fée Suppl. p. 68, t. 41. Parm. f. 2. Spe-

cies distincta est, sed apothecia in specim. orig. omnia sectione horizontali mutilata sunt præter unicum verticaliter dimidiatum, cujus ambitus alius, apothecia non disjunctim circa ostiolum centrale sita, sed omnia in corpus regulare late conicum extus non gibbosum connata sunt. Sporæ (ex Féei observatione) paullo minores quam in præcedente. — Ad corticem *Cinchonarum*.

4. PYRENASTRUM Eschw. Syst. Lich. p. 16, f. 15, 1824 (non Tuck.); Müll. Arg. Pyrenoc. Cubens. p. 375.

1. **Pyrenastrum oleaginum** Müll. Arg.; *Pyrenula oleagina* Fée Suppl. p. 79, t. 44. Pyr. f. 42; thallus crassus, subareolatim rumpens; apothecia nigra, omnino immersa, ore communi e fusco nigro et tum ampliato perspicua, 2-5-na, apice intus in unum confluentia, v. ostiola 2-4 aggregata; perithecia completa, in interiore thalli irregulariter concentrice sita et hinc inde etiam solitaria; sporæ in ascis 8-næ, 1-seriales, 28-34 μ longæ, 13-17 μ latæ, 4-loculares, loculi terminales multo minores. — A cl. Nyland. (Pyrenoc. p. 46) cum *P. nitida* Ach. confusa, valde accedit ad *Pyrenastrum cryptothelium* Müll. Arg. Pyrenoc. Cubens. p. 386, sed thallus magis flavicanti-pallidus et apothecia irregularia et perithecia longe tenuiora. — In cortice *Crotonis suberosi*.

2. **Pyrenastrum irregulare** Müll. Arg.; *Pyrenula irregularis* Fée Ess. p. 79 et Suppl. p. 82, t. 44. Pyren. fig. 29; thallus undulato-inequalis, superficie lævis; stromata parum evoluta; apothecia occulta, duplicia-quintuplicia, in crista prominentiarum thalli ostiolo leviter prominente $\frac{1}{4}$ mm. lato fusco indicata, valde inclinata, longicolla, connata, undique nigra, sæpe irregulariter circa ostiolum sita; sporæ in ascis 8-næ, fuscæ, 4-loculares, 20-22 μ longæ et 8-9 μ latæ. — Affine *P. cryptothelio* Müll. Arg. Pyrenoc. Cubens. p. 386, sed apothecia singula magis obtecta et sporæ multo minores, et a *Pyr. clandestino* Müll. Arg. differt habitu, thallo non lævigato nec flavido et sporis minoribus. — In cortice *Bonplandiae trifoliatae*.

3. **Pyrenastrum clandestinum** Müll. Arg.; *Trypethelium clandestinum* Fée Ess. p. 68, t. 18, f. 4; *Pyrenodium clandestinum* Fée Suppl. p. 68, t. 44. Pyr. f. 1 et Mém. Lichenogr. p. 53 (sed sporæ hyalinæ delineatæ et descriptæ, in specim. orig. fusciculæ sunt); *Astrothelium clandestinum* Nyl. Pyrenoc. p. 81. — Primo intuitu nil nisi thallum sterilem valde tenuem lævigatum argillaceo-flavidum refert, sed hinc inde adsunt læves emergentiæ, thallino tectæ, demum vertice ulce-

ratæ et pallidæ, ostiola vix denudantes, quæ apothecia nigra, vertice conniventia omnino obtegunt. Paraphyses capillares, tenellæ, liberæ. Sporæ ut jam a cl. Nyl. bene descriptæ. — Color thalli fere ut in *Astrothelio sulphureo* Müll. Arg. — Juxta *P. cryptothelium* Müll. Arg. Pyrenoc. Cubens. p. 386 (Wright Lich. Cub. exs. n. 140) locandum est, a quo differt thallo tenui, pallidiore, apotheciis magis immersis et ostioliis obtectis. — In cortice *Cinchone lancifolie* in Peruvia.

4. **Pyrenastrum lageniferum** Müll. Arg.; *Pyrenodium lageniferum* Fée Ess. Suppl. p. 70, t. 44. Pyr. f. 5, Mém. Lichenogr. p. 57 (excluso *Trypethelio lagenifero* Ach., quod nunc *Plagiotrema lageniferum* Müll. Arg. L. B. n. 834). Stromata conico-hemisphærica, semiinnata, cæterum nuda et atra, lævia, sat regularia, vulgo 1 mm. lata, vertice ostiolo majusculo, $\frac{1}{5}$ - $\frac{1}{4}$ mm. lato, centro depressulo, cum thallo concolore ornata, solitaria v. interdum geminatim ternatimve confluentia et tum ostiola 2-3 conjunctim gerentia; apothecia completa, undique nigra ut substantia stromatum, superne modice in collum abeuntia (et in ostiolum commune convergentia); asci lineares, 4-8-spori; sporæ imbricatim 4-seriales, 4-loculares, 14-18 μ longæ et 7-9 μ latæ, similes iis *Pyrenule nitidæ*. — Simile *Pyrenastro Knightii* Müll. Arg. L. B. n. 825, sed stromata minora, sporæ multo minores et tantum 4-loculares. — Ad corticem *Cascarille* in ins. St-Domingo.

Series II. PYRENULÆ ORTHOSTOMATICÆ Müll. Arg. Pyrenoc. Cubens.
p. 376 et 389.

Subtrib. II. TRYPETHELIEÆ Müll. Arg. Pyrenoc. Cub.
p. 376 et 389.

5. TRYPETHELIUM Trev. Syn. Tryp. p. 19; Müll. Arg. Pyrenoc. Cubens. p. 389.

Sect. 1. BATHELIUM Müll. Arg. Pyrenoc. Cub. p. 389.

α . Apothecia subsimplicia; sporæ maximæ (c. 100 μ longæ).

1. **Trypethelium uberinum** Nyland. Pyrenoc. p. 72; Müll. Arg. L. B.

n. 824; *Porina uberina* Fée Ess. p. 83, t. 20, f. 3 (1824), *Pyrenula uberina* Fée Suppl. p. 84, t. 41. Pyr. fig. 37; *Astrothelium umbilicatum* Fries S. O. Veg. p. 287 (1825). Verrucæ vulgo monocarpicæ, 4-1 $\frac{1}{4}$ mm. latæ, elato-hemisphaericæ, thallinæ, juniores valide umbonatum fusco-v. nigricanti-ostiolatæ, demum late apertæ et vertice umbilicatæ, superne demum rufulæ; perithecium completum, basi planiusculum, undique sat tenue et fulvo-fuscum; sporæ in ascis 8-næ, 100-170 μ longæ, 30-45 μ latæ, hyalinæ, 4-loculares. — In cortice *Cinchonarum*.

β . Apothecia subdiscreta; sporæ circ. 20 μ longæ (stroma obscurum subindistinctum).

2. **Trypethelium tropicum** Müll. Arg. Pyrenoc. Cub. p. 393; *Verrucaria tropica* Ach. Univ. p. 278; *Verrucaria Gaudichaudii* Fée Ess. p. 87, t. 22, f. 4 et Suppl. p. 86, t. 41. Verr. fig. 8; *Sagedia tropica* Mass. Recherche p. 161, fig. 345. Bene nota et geographice latissime distributa. Structura interior optime cum *Trypethelis* congruit. — Ad corticem *Crotonis Cascarilla* et *Bonplandia trifoliata*.

γ . Apothecia late confluentia; sporæ circ. 20-25 μ longæ; stromatu effusa, e ferrugineo v. ochraceo expallentia.

3. **Trypethelium Kunzei** Fée Monogr. Trypeth. p. 36, t. 45, f. 3, 1831 (stromata in tab. nimis pallida); Suppl. p. 61, t. 40. Tryp. f. 43; Müll. Arg. Pyrenoc. Cubens. p. 390; a cl. Nyland. Pyren. p. 74 erronee ad *Tr. pallescens* Fée relatum, e specim. ipsiss. Kunzean. et Féean. distinctum est, cui adscribenda est bene nota *Verrucaria heterochroa* Montgn. in Ann. Sc. nat. 1843 p. 60 (cent. 3, n. 87), ut jam in L. B. n. 841 exposui, et ubi etiam spectant: *Verrucaria myriococca* Kze. in Goeb. Pharm. Waarenk. p. 182 (lapsu, pro *V. myriocarpa*, ex Kze. l. c. p. 184), non Fée, et *Verrucaria tetracera?* v. *crocea* Eschw. Bras. p. 134, nec non *Verrucaria aenea* Eschw. in Mart. Icon. sel. t. 8, f. 3 et Bras. p. 133. — Hoc ultimum nomen (1828) prioritatem gaudet sed pro planta falsum est, statum vetustum et depravatam referens, postponendum et *Trypethelium Kunzei* admittendum est. — In Surinamia: Weigelt, cæterum in America calidiore late distributum.

4. **Trypethelium catervarium** Tuck. Gen. p. 260; Müll. Arg. Pyrenoc. Cubens. p. 391; *Verrucaria catervaria* Fée Ess. p. 90, t. 22, f. 1; Nyl. Pyren.

p. 52; *Trypethelium inaequale* Fée Monogr. Trypeth. p. 30, t. 13, f. 2, Suppl. p. 59 (excl. t. 40. Tryp. f. 8, quæ sporæ ad *Tr. Eluteriæ* Spreng. referendæ sunt); *Verrucaria decolorata* Fée Ess. p. 91, t. 22, f. 2 et Suppl. p. 87, t. 41. Verr. fig. 13 (junior et spermogonifera), nec non, eodem statu juvenili: *Verrucaria macrozoma* Fée Ess. p. 85 et Suppl. p. 87, hæ ambæ sine sporis. Ulterioris zona late marginans est aliena. — *Verrucaria salebrosa* Fée Ess. p. 90, Suppl. p. 87, est accurate eadem ac *V. catervaria* Fée, similiter statu valde juvenili, sine sporis (situs apotheciorum nihil offert specifici characteris et cæterum in ipsis specim. orig. non est constans); et denum non minus accurate etiam hic pertinet *Verrucaria serialis* Fée Ess. p. 91 (in Suppl. p. 73 dubitanter ad *Porinam Acharii*, s. *Pertusariam Acharii* Nyl. relata) sporis carens. *Pyrenula myriocarpa* Fée Ess. p. 74, t. 21, f. 2 et Suppl. p. 78 (excl. syn. Zenk.), t. 41. Pyr. f. 6 etiam pro parte ad amassim apotheciis et sporis convenit, at pro parte apothecia vetusta (sporis destituta) magis emersa et hæc ob causam distincte majora apparentia offert. Hic status vetustus *Trypethelium myriocarpum* Müll. Arg. Pyrenoc. Cubens. p. 391 (excl. syn. Féean.) simulat, sed apothecia tamen magis thallino-velata sunt, at planta cubensis, apotheciis orbiculari-ellipticis mox subnudis separanda est. — A *Trypethelio Eluteriæ* v. *inaequali* Müll. Arg. Pyrenoc. Cubens. dein synonymon Féeanum excludendum est. — Species pluries bene exposita, vulgaris in America calidiore, colore partium et stromatibus plus minusve depauperatis eximie varians. Specimina orig. Féean. *Verrucariæ catervarie* valde juvenilia et sporis destituta sunt, at species habitu jam facile dignoscitur. — In cortice *Cinchonarum*.

5. ***Trypethelium marcidum*** Müll. Arg.; *Pyrenula marcida* Fée Ess. p. 77 et Suppl. p. 80, t. 41. Pyren. fig. 13; thallus fulvo-pallidus, lavigatus; apothecia catervatim confluentia, triente emersa, thallino-vestita, nigrescenti-ostiolata, vestimento mox subferrugineo- et pallescenti-decolorato ornata; stromata mox decorticato-ulcerata et albescencia; ostiolum non albido-annulatum; perithecium integrum, superne fuscum; nucleus albidus; sporæ in ascis biserialitini 8-næ, hyalinæ, 4-loculares, circ. 46 μ longæ et 18 μ latæ. — Quasi medium tenet inter *Tryp. catervarium* Tuck. et *Pseudopyrenulam Pupulam* Müll. Arg., illi situ catervario apotheciorum, huic magnitudine sporarum accedens, ab utroque tamen simul diversum est apotheciis majoribus et validius emergentibus. — Cinchonicolium (in chartula Féeanâ hujus speciei etiam adest simile sed magis microcarpum *Trypethelium catervarium* Tuck.).

δ. *Apothecia in stromate fusco-nigricante immersa.*

6. **Trypethelium mastoideum** Ach. Lich. Univ. p. 307; Syn. p. 405; Müll. Arg. Pyrenoc. Cubens. p. 390; *Bathelium mastoideum* Ach. Meth. p. 105; *Trypethelium Féei* Meissn. ap. Fée Monogr. Tryp. p. 33, t. 14, f. 2, Suppl. p. 60, t. 40. Tryp. f. 41; *Trypethelium scoria* Nyl. Pyren. p. 74 (excl. syn. pr. p.); *Trypethelium carolinianum* Tuck. Suppl. p. 429; *Arthonia? granulosa* Fée Ess. p. 56, Suppl. p. 44, t. 40, f. 13 (quæ falsa). — Omnium vidi specimina originalia. Plantæ e diverso gradu evolutionis sat variabiles, saepe in iisdem specimenibus quoad magnitudinem, ambitum et colorem stromatum, numerum peritheciolorum, ostiolorum emergentiam et colorem plus minusve intense flavam partium internarum stromatis insigniter variantes. — Perithecia altiora quam lata, superne subincrassata. Sporæ et paraphyses ut in affinis, illæ 4-loculares, 48-25 μ longæ, 7-9 μ latæ. — In *Crotone Cascarille* Americæ meridionalis, ubi insuper late distributa.

Var. CONVEXUM Müll. Arg.; *Trypethelium scoria* v. *convexum* Nyl. Pyrenoc. p. 74. — Est illud *Trypethelium* de quo mentio facitur in Fée Suppl. p. 57 ad calcem *Trypethelii Sprengelii* Ach., cui dubitanter adseribitur. Specim. haud bona, sporæ non visæ. — In cortice *Crotonis suberosi*, *Copalchi* dicti.

ε. *Apothecia in stromatibus varie pallidis immersa; sporæ circ. 20-25 μ longæ.*

7. **Trypethelium pulcherrimum** Fée Monogr. Trypeth. p. 41, t. 41, f. 2; Suppl. p. 63, t. 40. Tryp. f. 47; Nyl. Pyrenoc. p. 75; *Trypethelium porosum* Fée Ess. p. 69, t. 49, f. 2. — Thallo et stromatibus albido-rosellis, his leviter tantum prominentibus, anguste vage prorepentibus et peritheciis subdepresso-globosis a proximo *Tr. Cascarille* Müll. Arg. distinguitur. Stromata hinc inde obsoleta ut in *Tr. catervario* Tuck., cæterum basi sensim in thallum abeuntia, et ostiola quam in comparata specie demum duplo et ultra majora, annulo pallidiore cincta. Sporæ in ascis biserialim 8-næ, 4-loculares, quoad dimensiones eas vidi ut a cl. Nyl. l. c. indicatæ sunt, sc. 24-24 μ longas et 8-9 μ latas. — In cortice *Crotonis Cascarille* in America calidiore, at rarissimum.

8. **Trypethelium quassiaceolum** Fée Monogr. Tryp. p. 39, t. 15, f. 2; Suppl. p. 62, t. 40. Tryp. f. 16, a cl. Nyl. haud feliciter ad *Tr. pallescens* Fée

relatum, jam in meis L. B. n. 840 iterum expositum, a proximo *Tr. Scoria* Fée, præsertim peritheciis minoribus et stromatibus nanioribus distinctum est, et cum hoc omnino jungendum est *Trypethelium Phlyctena* Fée Ess. p. 68, t. 19, f. 3 (thallus et stromata in icon. nimis flava, sunt flavescenti-fulva, abeuntia in fulvo-pallidum), Monogr. Tryp. p. 35, t. 14, f. 3 (melius tineta); Suppl. p. 61, t. 40. Tryp. f. 12, a cl. Nyland. Pyrenoc. p. 74 erronee sub nomine paullo mutato ad suum *Tr. Scoria* (non Fée) relatum. Utraque species in iconib. Féean. male colorata, prior nimis flava, posterior nimis obscura, et aliis speciminibus adeo conjunguntur ut distinctæ, ne quidem ut varietates, haberi nequeant. Stromata intus alba aut pallida sunt, sporæ ut in proximis. — In cortice *Quassie* et *Exostemmatidis floribundi*, rarum.

9. **Trypethelium Scoria** Fée Ess. p. 69 (excl. syn.); Monogr. Trypeth. p. 37, t. 15, f. 2; Suppl. p. 61, t. 40. Tryp. f. 14 (non Nyl. Pyrenoc. p. 74). — Stromata similia iis *Tryp. quassiacoli* Fée, sed ostiola distincte majora e cinereo-pallido fusciscentia v. pallido-nigrescentia, prominentia ostiolorum nigrorum paullo gibbosa, intus alba v. albida, non flava (ut in *Tr. mastoideo* Ach.), nec nigrescens (ut in pallidiore *Tr. ochroleuco* Nyl.). Ab affini *T. Cascarillæ* Müll. Arg. jam stromatibus depressis et longe minus microcarpis differt. — Sporæ 4-loculares quoad magnitudinem ut in proximis. — In cortice *Crotonis Cascarillæ*, rarum.

10. **Trypethelium papillosum** Ach. Syn. p. 104; Fée Monogr. Trypeth. p. 26, t. 12, f. 3; Suppl. p. 58, in meis Pyrenoc. Cubens. p. 392 secundum specim. orig. e Guinea et Cubensia Wrightiana nec non Guyanensia, omnia conformia, exposui et l. c. ad hoc insuper retuli *Trypethelium Leprieurianum* Montgn. in Ann. Sc. nat. 1843, p. 70, t. 2, f. 2 (fide specim. orig. e manu auctoris), et *Trypethelium porosum* Ach. Syn. p. 106 (fide specim. orig. ex hb. Ach.).

11. **Trypethelium ochroleucum** (Eschw.) Nyl. in Flora 1869, p. 126, v. PALLESCENS Müll. Arg. Pyrenoc. Cub. p. 392; *Trypethelium pallescens* Fée Monogr. Trypeth. p. 31, t. 13, f. 3 et Suppl. p. 60, t. 40. Tryp. f. 9; Nyl. Pyrenoc. p. 74 (excl. syn. pr. p.). — Stromata quam in forma genuina speciei minora, minus polycarpica et ambitu rotundiora, intus demum saltem obscurata, ostiola demum perforanti-prominula. Perithecia superne incrassata. Sporæ 18-27 μ longæ, 7-10 μ latæ. — In Surinamia (et reliqua America calidiore).

Var. ERUBESCENS Müll. Arg. Lich. Beitr. n. 842; *Trypethelium erubescens* Fée

Monogr. Tryp. p. 32, t. 14, f. 1; Suppl. p. 60, t. 40. Tryp. f. 10. — De inconstantia characterum hujus Lichenis conf. ad mea L. B. n. 842. — Præter specimen Kunzeanum hb. Lips. duo vidi in hb. Féeano, ubi var. *pallescens* et var. *erubescens* conjunctim in iisdem fragmentulis corticis adsunt, ubi sicca e colore diverso facile quidem distinguuntur, ubi autem madefactæ similiores evadunt. Ulterior, ostioliis magis denudatis (dein paullo majoribus), est status provecior evidenter quadam pulverulentia prioris destituta, prior enim, ope scalpelli subtiliter scabendo detergata, colorem sumit v. *erubescens*. — Crescit cum præcedente.

12. **Trypethelium Cascarillæ** Müll. Arg.; *Trypethelium duplex* Fée Monogr. Trypeth. p. 28, t. 13, fig. 4; Suppl. p. 58, t. 40. Tryp. f. 7; Nyland. Pyrenoc. p. 75. — Simile vulgari *Tr. pallescenti* Fée, s. *Tr. ochroleuco* Nyl., sed stromata intus undique alba et superficie aequali-levia, nec prominentiis ostiolorum multigibbosa et ostiola longe tenuius punctiformia; stromata cæterum basi ætius circumscripta et crassius prominentia sunt. Perithecia altiora quam lata, undique subtenuia, nigra et undique inter se distincta. Sporæ accurate ut in cl. Nyl. Pyrenoc. l. c. descriptæ sunt, sed hyalinae sunt et species in genere *Trypethelio* servanda, nec ad *Melanothecam* (L. B. n. 839 ad calcem) referenda est. — Nomen *duplex* ob perithecium duplex e strato interiore pallidiore viso, datum fuit, sed revera duplex non est, et nomen dein absolute falsum mutari debuit. — In cortice *Crotonis Cascarillæ* in America calidiore; evidenter rarissimum.

13. **Trypethelium erumpens** Fée Monogr. Tryp. p. 27, t. 13, f. 1, Suppl. p. 58 (excl. t. 40. Tryp. f. 6 falsiss.); Nyl. Pyrenoc. p. 75. — Stromata $\frac{1}{3}$ -1 mm. lata, acute prominula, subconico-hemisphærica, flavescenti-fuscula v. rufula; e velato superne nuda et nitida, minute nigro-1-5-ostiolata. Sporæ in ascis 8-næ, cæterum omnino ut eas descripsit cl. Nylander, hyalinae, oblongato-ellipsoideæ, 25 μ longæ et 10 μ latæ, v. pro parte modice minores. — In cortice *Cinchonæ flavæ* officinarum.

14. **Trypethelium crassum** Fée Ess. p. 66, t. 19, f. 5 (1824), s. *Pyrenodium crassum* Fée Suppl. p. 69, t. 41. Pyren. f. 4, Mém. Lichenogr. p. 56, non differt a *Trypethelio annulare* Montgn. in Ann. Sc. nat. 1843, p. 74 et Syll. p. 372; Nyl. Pyrenoc. p. 76 pr. p., sed *Pyrenula annularis* Fée Ess. p. 73, t. 21, f. 4 diversa est. In planta originali juniore ostiola non v. vix annulo thallino discicolore depressulo cineta sunt, at hic annulus tamen rudimentarie adest et planta

cæterum congruit. Sporæ rare visæ 18 μ longæ et 7-8 μ latæ, sed etiam paullo majores et latiores male servatæ aderant, hyalinæ; paraphyses laxè connexæ. — Color thalli et verrucarum nunc testaceo-pallidus, nunc olivaceus. — In specim. Féeano admixtæ sunt *Bathelium spherioides* Trev. Syn. Tryp. p. 21 et *Melanotheca inconspicua* Müll. Arg. L. B. n. 839, sed hæc species nec in ic. nec in descript. Féeanis comprehensæ erant. — In cortice *Cascarillæ* et *Cinchonæ lancifoliæ*.

ζ. Apothecia in stromatibus pallidis innata, sporæ circ. 60 μ longæ.

15. **Trypethelium annulare** Müll. Arg.; *Pyrenula annularis* Fée Ess. p. 73, t. 21, f. 4 et Suppl. p. 77 (non *Trypethelium annulare* Montgn. quod ex specim. auct. idem ac *Tr. crassum* Fée); *Pseudopyrenula annularis* Müll. Arg. L. B. n. 882; *Trypethelium annulare* Nyl. Pyrenoc. p. 76 pr. p., quoad plantam macrosporam. — Quodammodo simile est *Tr. crasso* Fée, sed stromata minus arcte circumscripta et minus polycarpica, potius ex apotheciis nonnullis confluentibus formata, apothecia majora, sæpe etiam solitaria et longe minutius ostiolata et demum sporæ omnino aliæ, 50-70 μ longæ, 16-25 μ latæ (4-loculares), in comparata specie autem circ. 20 μ tantum longæ. — Cinchonicola.

Sect. 2. EUTRYPETHELIUM Müll. Arg. Pyrenoc. Cubens. p. 393.

16. **Trypethelium Eluteriæ** Spreng. Anleit. z. Kenntn. der Gewächse p. 351; *Trypethelium Sprengelii* Ach. Univ. p. 306; Fée Ess. p. 65, t. 19, f. 1, Suppl. p. 56, t. 40. Trypeth. f. 1, Monogr. Tryp. p. 49, t. 11, f. 1; Mass. Ricerche p. 143, fig. 280; Nyl. Pyrenoc. p. 77 et *Trypethelium Perrottetii* Fée Monogr. Tryp. p. 23, t. 12, f. 1 (ubi zona hypothallina aliena); Suppl. p. 57, t. 40. Tryp. f. 3 (nullo modo a forma normali speciei segregandum est, ut jam antea dixi L. B. n. 836). *Trypethelium inæquale* Fée Monogr. Tryp. p. 30, t. 13, f. 2 et Suppl. p. 59, t. 40. Tryp. f. 8, e structura sporarum (quas non vidi) etiam hic spectat, sed altera pars, commixtim crescens, stromatibus depressis et hinc inde tenuissimis, sine sporis, ad *Trypethelium catervarium* Tuck. pertinet et quidem longe maxima pars speciminis Féeani. A *Tryp. Eluteriæ* v. *inæquale* Müll. Arg. Pyrenoc. Cubens. p. 393 dein synonymon Féeanum l. c. excludendum est. Bene nota, vulgaris. — In cortice *Crotonis Cascarillæ* et *Bonplandiæ trifoliatæ*.

Var. NIGRICANS; *Trypethelium Sprengelii* v. *nigricans* Fée Monogr. Tryp. p. 21, Suppl. p. 56. — Stromata intus obscura, extus fusco-nigricantia, nitidula. Reliqua omnia bene cum planta normali speciei quadrant. — In cortice *Cascarilla*.

Var. EXPALLIDUM Müll. Arg.; *Trypethelium Anacardi* Fée Monogr. Tryp. p. 21, t. 11, f. 3, et Suppl. p. 57. Planta non nisi in eo distinguenda est quod thallus (et plus minusve stromata) griseo-pallidus aut virenti-pallidus. Characteres interiores et forma basi arcte circumscripta stromatum omnino quadrant. — In cortice *Anacardi occidentalis* in ins. Guadeloupe; et etiam ex ins. St-Thomas habeo.

TRYPETHELII species e PYRENOCARPEIS *exclusæ*.

T. chiodectionoides Fée Ess. p. 67 = *Pertusaria chiodectionoides* Nyl. Enum. p. 117.

T. Sclerotium Fée Ess. p. 68 = *Pertusaria Sclerotium* Müll. Arg. L. B. n. 740.

T. sordidescens Fée Suppl. p. 64 = *Enterostigma compunctum* Müll. Arg. Graph. Fééan. p. 70.

T. tetrathalamium Fée Ess. p. 69 = *Pertusaria tetrathalamia* Nyl. Prodr. Nov. Gran. p. 37, obs.

T. verrucarioides Fée Suppl. p. 64 = *Chiodecton (Enterographa) verrucarioides* Müll. Arg. Graph. Fééan. p. 69.

T. verrucosum Fée Ess. p. 66 = *Porina verrucosa* Fée Suppl. = *Pertusaria granulata* Müll. Arg. Revis. Lich. Fééan. p. 3.

6. **BATHELIUM** Trev. Syn. Trypeth. p. 21 in Flora 1861 Jan. (excl. syn. Ach.); Müll. Arg. Pyrenoc. Cubens. p. 376 et 394; *Meristosporum* Mass. Esam. compar. p. 46 (Jan. 1861); *Meissneria* Fée Suppl. p. 66 (1837), non DC. (1828, inter *Melastomaceas*).

1. **Bathelium madreporiforme** Trev. Syn. Trypeth. p. 21 (excl. syn. cit.); jam antea in L. B. n. 837, ex analysi speciminis orig. Perrottetiani, ab ipso Fée inscripti, hic retuli *Trypethelium marginatum* Fée (1834) Monogr. Trypeth. p. 24, t. 12, f. 2 (ubi sectio verticalis sub C. haud bona), Suppl. p. 57, t. 40. Tryp. f. 4. Est enim exacte idem ac *Trypethelium madreporiforme* Eschw. Bras.

p. 156 (1829), fide specim. orig. brasiliensis a cel. Martio lecti. — Corticolum ad Cap Vert : Perrottet.

2. **Bathelium varium** Müll. Arg. ; *Meissneria varia* Fée Suppl. p. 66, t. 10, Meissn. ; *Trypethelium deforme* Fée Monogr. Tryp. p. 45, t. 16, f. 3 (in planta nihil deforme adest et dein nomen specificum *varium* admissum fuit, ut ap. Nyland.); *Trypethelium varium* Nyl. Pyrenoc. p. 78. A cl. Trev. (Syn. Tryp. p. 21) erronee cum *B. madreporiformi* Trev. junctum. — Stromata $1\frac{1}{4}$ - $1\frac{1}{2}$ mm. lata, late truncata, nigra, extus tota altitudine valide thallino-corticata, quasi margine thallino integro obsolete prominente cincta, 2-3-carpica, vertice truncato 2-3-gibbosa, nuda. Sporæ ex cl. Nyl. (Pyrenoc. p. 78 et in Prodr. Nov. Gran. p. 379) $48-105\ \mu$ longæ, $22-46\ \mu$ latæ (quas vidi intermediae erant, sed haud bene servatæ). — Ad corticem *Lauri* in insula Amboina.

3. **Bathelium Exostemmatis** Müll. Arg. ; *Pyrenula subcutanea* Fée Suppl. p. 83 quoad plantam in cortice *Exostemmatis* ; thallus cum epidermide rufo-v. rubello-pallidus, levigatus ; stromata vix nisi quadam tumiditate indicata, confluentia, irregularia, effusa, cum thallo concolora, circa ostiola tamen decoloratopallentia ; apothecia subsolitaria, immersa, similia iis *Anthracothecii libricoli* Müll. Arg. ; ostiolum nigrum, demum annulo decolorato cinctum ; perithecium integrum, basi attenuatum, superne crassum ; nucleus globosus et hyalinus ; paraphyses connexæ ; sporæ in ascis circ. 6-næ, hyalinae, circ. $75-85\ \mu$ longæ et $20-25\ \mu$ latæ, 44-18-loculares, loculi copiose locellati. — In hb. Féeano cum simili *Anthracothecio subcutaneo* Müll. Arg. confusum est, at statim recedit ostioliis distinctis albido-marginatis et dein paraphysibus connexis, spotis duplo majoribus, hyalinis et longe crebrius parenchymatosis. — Prope *B. sphaerioides* Trev. locandum est, cujus stromata distinctiora, apothecia conferta, ostiola lata et latissime albido-marginata. — In cortice *Exostemmatis caribæi*.

7. **BOTTARIA** Mass. Misc. lich. p. 42 (1856) ; Trev. Syn. Trypeth. p. 20 ; Müll. Arg. Pyrenoc. Cubens. p. 395.

1. **Bottaria cruentata** Müll. Arg. Pyrenoc. Cubens. p. 395 ; *Parmentaria astroidea* Fée Suppl. p. 67 apotheciis et thallo rubris (exclusa planta normali hujus

speciei). — Est lichen trypethelianus, nec astrothelianus. Thallus intense ruber et apothecia rubro-corticata. — Ad corticem *Crotonis Cascarille* (fertilis et sporigera).

2. **Bottaria endoleuca** Müll. Arg. ; *Pyrenula endoleuca* Fée Ess. p. 79 et Suppl. p. 83, t. 41. Pyr. f. 32. Thallus vitellino-flavicans, gibboso-inæqualis, hinc inde in stromata effusa irregularia confluentia extus concolora et intus alba abiens ; apothecia immersa, poro nigricante perspicua, conico-globosa, basi planiuscula, apice abbreviatim late colligera, inferne $\frac{3}{10}$ mm. lata ; perithecium completum, hyalinum, apice obscuratum ; nucleus demum fuscus ; sporæ in ascis 4-6-næ, mox fuscae, 38-45 μ longæ, 17-20 μ latæ, 6-8-loculares, loculi locellati. — Species eximie distincta at rarissima ut videtur, a cl. Nyland. (Pyrenoc. p. 79) subdubitanter ad *Trypethelium porosum* Ach. relata fuit. — Stromata parum distincta sunt, at specimina visa paupera. — In cortice *Crotonis Cascarille*.

8. **MELANOTHECA** Fée Suppl. p. 70, Mém. Lichenogr. p. 73 ; Müll. Arg. Pyren. Cubens. p. 375 et 395 ; *Melanotheca* Nyl. Pyren. p. 69 (quoad primam speciem tantum) ; *Porothelium* Eschw. Syst. Lich. p. 18, f. 21 (non homonymon mycologicum) ; *Stromatothelium* et *Chrooica* Trev. Syn. Tryp. p. 20 et 48 ; *Trypethelii* sp. Ach.

α . Stromata copiose polycarpica ; sporæ circ. 15-20 μ longæ.

1. **Melanotheca aggregata** Müll. Arg. ; *Verrucaria aggregata* Fée Ess. p. 91 ; Nyl. Pyrenoc. p. 44 ; *Pyrenula aggregata* Fée Suppl. p. 80, t. 41. Pyr. f. 45 ; *Trypethelium nudum* Fée Suppl. p. 61, t. 40. Tryp. f. 15. Apothecia, ubi singula, $\frac{2}{3}$ mm. lata, i. e. ut in *M. Achariana* Fée aut leviter majora, at connata longe minus arcte cincta, superne longius discreta et hanc ob causam majora apparentia. Sporæ imbricatim subuniseriales, 14-21 μ longæ, 5-7 μ latæ. — Quod autem ante autopsiam speciminum orig. Féeanorum in meis Pyrenoc. Cubens. p. 396 sub *M. aggregata* habui, differt et idem est (ut jam l. e. citavi) ac *Trypethelium fuscum* Krph. et dein sub *Melanotheca fusca* Müll. Arg. habenda est, cujus stroma maculari-tenue et apothecia multo-minora. — Planta Féeana in cortice *Cinchonarum* crescit.

2. **Melanotheca Achariana** Fée Suppl. p. 41, t. 36, f. 1 (minus bene et excl. syn. Acharii) ; Müll. Arg. Pyrenoc. Cubens. p. 396. — Sporæ, ut jam in Pyr.

Cub. exposui, non 16 biloculares, sed (6-)8 quadriloculares in quoque asco occurrunt, circ. 15-17 μ longæ, 7-8 μ latæ, 4-loculares et fuscule. — In cortice *Crotonis Cascarilla*.

3. **Melanotheca arthonioides** Müll. Arg. Pyr. Cub. p. 396. — *Verrucaria arthonioides* Eschw. Bras. p. 129 et Icon. sel. p. 15, t. 8, f. 2; *Trypethelium nigrifulum* Nyl. Prodr. Nov. Gran. p. 427; *Melanotheca Achariana* Fée Suppl. quoad syn. Meissn. s. *Trypethelium dubium* Meissn. ined. — Specimina Meissneri valde mutilata sunt, sed stromata altius convexa et superficie laxia v. sublavina, potius *M. Esenbeckianam* Fée (quæ est *Tomasellie* species) simulantia, speciem indignant. Sporam unicam detegere potui 18 μ longam, 8 μ latam, 4-locularem, fuscam. — In cortice *Bomplandiae trifoliatae*; Meissn.

4. **Melanotheca inconspicua** Müll. Arg. L. B. n. 839; *Trypethelium inconspicuum* Fée Syn. Tryp. p. 40, t. 16, f. 3, et Ess. Suppl. p. 63, t. 40. Tryp. f. 17; Nyland. Pyrenoc. p. 76 (excl. *Pyrenodio crasso* Fée); *Chrooica inconspicua* Trev. Syn. Tryp. p. 19. — Thallus griseo-flavidulus in descript. Féeana dicitur, sed revera testaceo-pallescentis est aut testaceo-fuscidulus, at dein detergente cortice pallidior et flavescenti-griseus evadit, superficie verrucis fructigeris grosse undulato-inequalis apparet. Spore 15-20 μ longæ, 6-8 μ latæ, 4-loculares, in ascis oblique uniseriales. — A cl. Nyland. (Pyrenoc. p. 76) hic etiam erronee refertur *Pyrenodium crassum* Fée Suppl. p. 69; specimina hb. Féeani sub hoc titulo servata offerunt 1° plantam veram cum descript. auctoris quadrantem, 2° *Bathelium sphaerioides* Trev. Syn. Tryp. p. 21, s. *Trypethelium sphaerioides* Montgn., ut recte monuit Nyl. l. c., et 3° *Melanothecam inconspicuam* Müll. Arg., a vero *Pyrenodio crasso* Fée ostiolis crassis sublucentibus omnino diversam. Hæc ultima insuper genericè differt et *Trypethelium* est. — In cortice *Cinchonæ lancifoliæ* in Peruvia.

℄. Stromata sæpius monocarpica, sporæ circ. 100 μ et ultra longæ.

5. **Melanotheca arcte-cincta** Müll. Arg.; *Pyrenula arcte-cincta* Fée Suppl. p. 84, t. 41. Pyr. f. 36, a cl. Nyl. Pyrenoc. p. 73 subdubitanter ad *Trypethelium melanophthalmum* Nyl. relata, in chartula Féeana hujus speciei hodie deest, sed ibidem fig. sporæ duæ, 2-et 4-loculares, fuscæ delineatæ sunt, quæ 114-118 μ

longæ et 32-41 μ latæ indicantur. Dimensiones hæc cum iis Nylanderii (110-118 μ longæ et 32-42 μ latæ) bene conveniunt. Plantæ cæterum sat similes videntur *Trypethelio uberino* Nyl., sed sporæ fuscæ ut in affini sed minus macrospora *Melanothecca melanophthalma* Müll. Arg., s. *Trypethelio melanophthalmo* Nyl. Pyrenoc. p. 72. — In cortice *Bonplandiae trifoliatæ*.

9. TOMASELLIA Mass. in Flora 1856, p. 283; Trevis. Syn. Trypeth. p. 21; Müll. Arg. Pyrenoc. Cubens. p. 376; *Melanothecca* Fée Suppl. p. 70 pr. p. et Nyland. Pyrenoc. p. 69 pr. p.

1. **Tomasellia Esenbeckiana** Müll. Arg.; *Melanothecca Esenbeckiana* Fée Suppl. p. 71. — Hic etiam omnino pertinet *Tomasellia brasiliensis* Müll. Arg. Rev. Lich. Eschw. ad n. 25. At omnino aliam plantam sub Féeano nomine olim Nylander accepisse videtur, in Énumération gén. p. 134 enim planta Féeana sub *Melaspilea Esenbeckiana* inter *Graphideas* citatur. Hæc hodie in chartula Féeana *Melanotheccæ Esenbeckianæ* non adest, sed revera specimina nonnulla delapsa aut segregata sunt. Quæ supersunt, sat male servata, non differunt a mea *Tomasellia brasiliensi*, quod nomen consequenter mutandum est. — Species e St-Domingo indicatur, at specimen Neesianum adeo perfecte cum Martianis e brasiliensi regione Para convenit ut facile ex eodem arbore ortum crederem.

Subtrib. III. VERRUCARIEÆ Müll. Arg. Pyrenoc. Cubens. p. 376 et 398.

10. PORINA Müll. Arg. L. B. n. 644.

Sect. 1. EUPORINA Müll. Arg. L. B. n. 648.

* Sporæ circ. 80-100 μ et ultra longæ, circ. 15-25 μ latæ.

1. **Porina** (s. EUPORINA) **americana** Fée Ess. p. 83 (pr. p.), t. 20, f. 4;

Porina superior Müll. Arg. L. B. n. 869, — In meis L. B. l. e. characteres expositi sunt, quibus addere liceat : Thallus argillaceo-olivaceus; apothecia $\frac{3}{4}$ -1 mm. lata, turgido-hemisphærica, basi arcte circumscripta, non sensim in thallum abeuntia, primum cum thallo concoloria, dein superne late aurantiaco-pallida. Sporæ vulgo ultra 100 μ longæ, 17-22 μ latæ, 9-11-septatæ, loculi ultimi 2-3 exigui. — Ad cortices *Cinchonarum*. — In chartula Féeana *P. americanae* cæterum 4 species commixtæ adsunt : 1° *P. marginata* Fée (specimina longe meliora quam in ipsa chartula Féeana *P. marginata*, 2° *P. superior* Müll. Arg., 3° *P. nucula* Ach. et 4° *P. nuculiformis* Müll. Arg. — Omnes 4 cum ic. citata et descriptione comparatæ quodammodo conveniunt et omnes saltem in Suppl. p. 74 sub *P. americana* comprehensæ fuerunt, sed ex observatione : « les apothécions sont assez gros, » et ex icone et e sporis majoribus secunda tantum, sc. *P. superior* Müll. Arg. essentialiter sub *P. americana* servanda est; reliquæ 3 apotheciis et sporis distincte minoribus gaudent. Quæ autem ipse sub *P. americana* in meis L. B. n. 866 coram habui, erant falsa specimina originalia Féeana, eadem ac supra sub n° 1 citata, ad *P. marginatam* referenda, et hæc in chartula Féeana longe copiosius repræsentata sunt quam reliquæ 3 species.

Quod dein, in Fée Ess. p. 83 in observ. de planta foliicola e Cayenna et St-Domingo dicitur, ad *P. epiphyllam* Fée pertinet (vide hb. Féean.), quæ microcarpa, et quæ magnitudine apotheciorum, non autem colore partium, ad *P. nuculiformem* Müll. Arg. accedit.

2. **Porina** (s. EUPORINA) **subcutanea** Ach. Syn. p. 113; Fée Ess. p. 81; Müll. Arg. L. B. n. 863; apothecia similia iis *P. nucule* Ach., at subduplo majora, ut in *P. americana* Fée, sed modice tantum convexa, v. plano-convexa, basi sensim in thallum abeuntia; sporæ (non omnino evolutæ ut videtur) 72-83 μ longæ, cum halone 18-23 μ crasse, 7-9-septatæ, loculi æquilongî. — In India orient. (ex specim. Ach.).

** Sporæ circ. 40-60 μ longæ et 8-11 μ latæ.

3. **Porina** (s. EUPORINA) **marginata** Fée Ess. p. 82, t. 21, f. 5; Suppl. p. 74, t. 40. Por. f. 1; *P. americana* Fée Ess. p. 83 pr. p. et Müll. Arg. L. B. n. 866, e falso specim. orig. ex hb. Féeano in hb. Krph. orta. — Hanc iterum inter specimina *Porinæ americanae* hb. Fée video, ab ipso Fée commutata. Thallus obsolete granularis v. sublaevis, flavescenti-cinereus v. virens. Apothecia $\frac{2}{3}$ mm.

lata, basi in thallum dilatata, superne late aurantiaco-v. fulvescenti-pallida, vertice demum ostiolo fusco haud prominente superne nonnihil depresso-deplanata; sporæ ut in *P. mastoidea* Müll. Arg., circ. 40-50 μ longæ, 9-10 μ latæ, 7-septatæ, valide fusiformes. — In cortice *Crotonis Cascarille*.

Var. NIGRICANS Müll. Arg.; *Porina* (s. *Euporina*) *mastoidea* v. *marginata* Müll. Arg. L. B. n. 864, est forma obscurior, statu sicco omnino *P. mastoideam* Müll. Arg. referens, apothecia bene madefacta autem superne late aurantiaca aut fulvo-fusca evadunt. — In cortice *Cinchonæ lancifoliæ*.

4. **Porina** (s. EUPORINA) **mastoidea** Müll. Arg. Pyrenoc. Cubens. p. 400 (non Fée); *Pyrenula mastoidea* Ach. Syn. p. 122 pr. p.; *Verrucaria mastoidea* Nyl. Pyrenoc. p. 38; *Porina viridi-olivacea* Fée Suppl. p. 74, t. 30. Por. f. 3; Müll. Arg. L. B. n. 867. — Speciem Féeanam antea propter apothecia leviter majora a *P. mastoidea* Müll. Arg. distinctam segregavi, sed planta iterum in hb. Fée visa et cum numerosioribus speciminibus comparata, non amplius ab ea distingui potest. Sporæ nunc visæ bene conveniunt. — In hb. Féeano insuper sub *P. viridi-olivacea* Fée adsunt specimina fertilia, at sporis destituta, quæ evidentè ad *P. nuculam* Ach. Syn. p. 112 referenda sunt, sed hæc specimina ex apotheciis et ostiolis pallidis speciei Féeanæ contraria sunt et in primitiva *P. viridi-olivacea* Fée evidentè non comprehensa erant. — In cortice *Eugeniæ Caryophyllatæ* in Ceylonia.

5. **Porina** (s. EUPORINA) **nucula** Ach. Syn. p. 112; Müll. Arg. Pyrenoc. Cubens. p. 400; *Verrucaria nucula* Nyl. Pyrenoc. p. 40; *P. americana* Fée Ess. p. 83 pr. p. et Suppl. p. 74 pr. p.; *Porophora gilva* Zenk. in Goeb. Pharm. Waarenk. t. 25, f. 1; *Porina mastoidea* Fée Ess. p. 82; Suppl. p. 74, t. 40. Por. f. 4. — Planta Féeana primitiva, ab ipso Achario determinata, bene cum specim. Acharianis quadrat. Apothecia pallida, obscure fulvo-ostiolata. Sporæ 48-60 μ longæ, 10-15 μ latæ. — At specimina a cl. Fée pro *Porina mastoidea* determinata pro parte etiam ad *P. americanam* Fée Ess. p. 83, sporis longe majoribus, 95-110 μ longis et 17-20 μ latis distinctam referenda sunt. — Ad corticem *Cissampelos* et *Cinchonæ angustifoliæ*.

6. **Porina** (s. EUPORINA) **nuculiformis** Müll. Arg. L. B. n. 870; *P. americana* Fée Ess. p. 83, pro min. parte. — In meis L. B. l. c. jam exposita. Apothecia elato-hemisphærica, haud raro obsolete apiculata, in thallo argillaceo, mox

fuscescente v. paullo rufescente sessilia, thallo facile pallidiora; ostiola fusca, madefacta sanguinolenta v. rufula. Sporæ omnino ut in *P. nucula* Ach. — In cortice *Quassia excelsa*.

1. Sporæ circ. 35-50 μ longæ, 5-7 μ latæ.

7. **Porina** (s. EUPORINA) **Tetracera** Müll. Arg. Pyrenoc. Cubens. p. 401; *Verrucaria Tetracera* Ach. Meth. p. 121, Univ. p. 280; *Verrucaria mastoidea* v. *Tetracera* Nyl. Pyrenoc. p. 39; *Pyrenula Tetracera* Ach. Syn. p. 125 (fide specim. hb. Ach.); *Porina mastoidea* v. *griseo-virens* Fée Ess. p. 82; *Porina melanostoma* Fée Suppl. p. 75, t. 40. Pyr. f. 7. — In specim. Féeano occurrunt spermogonia vetusta et apothecia. Sporæ visæ 40-50 μ longæ, 5-7 μ latæ, 7-septatæ, omnino ut in specim. Acharii. — Similis *P. desquamescentis* Fée, sed thallus magis argillaceo-pallens, et ostiola apotheciorum nigra. — In cortice *Bonplandia trifoliata*.

8. **Porina** (s. EUPORINA) **desquamescens** Fée Suppl. p. 75, t. 40. Por. f. 5; Mass. Recherche p. 192 pr. p.; *Verrucaria desquamescens* Nyl. Pyrenoc. p. 39. — Thallus sæpe, non semper, desquamescens, viridis, levigatus, sæpe suboleosonitidulus, margine nigro-limitatus, non autem crebre nigro-decussatus; apothecia quam in *P. Tetracera* Müll. Arg. paullo minora, tenuiora et pallide ostiolata; sporæ sæpe in eodem nucleo magnitudine valde ludentes, 32-55 μ longæ, 3 $\frac{1}{2}$ -6 μ latæ, vulgo 7-septatæ, subinde tamen occurrunt 5-12-septatæ. — In variis corticibus officinalibus, et insuper in regionibus tropicis late distributa est, coram habeo ex Africa occidentali, Ceylonia, Australia.

9. **Porina** (s. EUPORINA) **variegata** Fée Suppl. p. 75, t. 40. Por. f. 6; Müll. Arg. L. B. n. 865 et Pyrenoc. Cubens. p. 401; *Verrucaria dissipans* Nyl. Coll. Lith. Cub. n. 294; cum speciminibus Wrightianis e Cuba bene convenit. Habitus *P. desquamescentis* Fée, sed thallus lineis nigris hypothallinis crebre decussato-lineolatus est. Apothecia etiam conveniunt, sed ostiola mox obscure fusca et nigricantia, madefacta tamen statim fusco-pallentia. Sporæ non differunt ab iis comparatæ speciei, circ. 42 μ longæ, 5-6 μ latæ, 7-septatæ. — In cortice *Quassia excelsa* in Jamaica.

**** Sporæ 20-30 μ longæ, 4-5 μ latæ.

10. **Porina** (s. EUPORINA) **nana** Fée Suppl. p. 75, t. 36, f. 12, et t. 41. Por. f. 8; *Verrucaria nana* Nyl. Pyrenoc. p. 38; apothecia cum vestimento thalino concolore $\frac{1}{3}$ - $\frac{1}{2}$ mm. lata, hemisphærica, vertice nudato primum albida, dein subtruncata et fusca, basi sensim in thallum abeuntia, interdum geminatim connexa; sporæ a cl. Nylanderò visæ 24-30 μ longæ, 4-5 μ latæ, 3-5-septatæ; mihi in apotheciis valde juvenilibus haud obvise. — In cortice *Crotonis Cascarille*.

Sect. 2. PHYLLOPORINA Müll. Arg. L. B. n. 651.

11. **Porina** (s. PHYLLOPORINA) **epiphylla** Fée Suppl. p. 76, t. 41. Por. f. 10; *Verrucaria epiphylla* Nyl. Pyrenoc. p. 38 (ubi sporæ erronee descriptæ); *Verrucaria prestans* Nyl. Lich. Angol. p. 15. — In meis L. B. n. 653 hanc speciem vulgatissimam jam amplius exposui. — In Cayenna, cæterum in omnibus regionibus calidioribus.

Sect. 3. SAGEDIA Müll. Arg. L. B. n. 668.

* Perithecium dimidiatum; sporæ 2-loculares.

12. **Porina** (s. SAGEDIA) **Tamarindi** Müll. Arg.; *Verrucaria Tamarindi* Fée Suppl. p. 85, t. 41. Verr. f. 5; Nyland. Pyrenoc. p. 56; apothecia $\frac{4-5}{10}$ mm. lata, hemisphærica, nigra, inferne innata, superne nudata v. thalli vestigiis griseo-nigra, ostiolum indistinctum; perithecium basi deficiens; paraphyses copiosæ, tenuissime capillares, liberæ; asci lineares, excepta basi undique æquilati, biserialim 8-spori; sporæ (hyalinæ) 15-20 μ longæ, 4-5 μ latæ, rectæ et incurvæ, 2-loculares, loculi æquilongî, superior paullo latior. — Similis transwaalensi *P. albella* Müll. Arg. L. B. n. 4105, sed thallus tenuior, maculiformis, hinc inde evanescens, et sporæ tantum 4- (nec 3-) septatæ. — In cortice *Tamarindi*.

** Perithecium completum; sporæ 2-loculares.

13. **Porina** (s. SAGEDIA) **insulata** Müll. Arg.; *Verrucaria insulata* Fée

Suppl. p. 158, t. 43 add., f. 3; Nyland. Pyrenoc. p. 56; thallus maculam e cinnamomeo v. pallido-rufo expallentem formans, valide nigro-limitatus; spermogonia atomaria; apothecia (in thallo rarissima) demum $\frac{2}{3}$ mm. lata, cæterum minora, semiimmersa, subglobosa, nitidula; perithecium completum, dimidia parte superiore crassius et in sectione verticali medio utrinque anguloso-productum; nucleus subglobosus; paraphyses capillares; asci lineares, 1-seriatim 8-spori; sporæ (hyalinæ ex cl. Nyl. l. c. et ic. in chartul. Fécan.) 30-35 μ longæ, 10-14 μ latæ, 2-loculares, loculi æquilongi et fere æquales. — In cortice *Canella alba* (specimina pauperrime apotheciigera).

14. **Porina** (s. SAGEDIA) **Bouplandii** Müll. Arg.; *Verrucaria stigmatella* v. *lactea* Fée Ess. p. 85 (non Ach.), sed exclusis omnib. synonym.; Suppl. p. 85, t. 41. Verr. fig. 5; thallus albus, tenuissimus, maculiformis, hinc inde evanescens; apothecia fere dimidia parte emersa, nigra, hemisphærico-convexa; spermogonia 3-plo minora; perithecium completum, sed basi paullo tenuius, undique nigrum; nucleus globosus, hyalinus; paraphyses copiosæ, tenuiter capillares, liberæ; asci lineares, imbricatim 1-serialiter 8-spori; sporæ (hyalinæ) 23-25 μ longæ, 6-7 μ latæ, fusiformi-ellipsoideæ, medio paullo constrictæ, 2-loculares, loculi æquilongi et subæquales. — In cortice *Bouplandii trifoliata*.

*** Perithecium dimidiatum; sporæ 4-loculares.

15. **Porina** (s. SAGEDIA) **Cascarilla** Müll. Arg.; *Verrucaria Cascarilla* Fée Suppl. p. 86 pr. p.; thallus flavescens-albus, tenuissimus, demum evanescens, hinc inde nigro-decussatus; apothecia $\frac{1}{3}$ - $\frac{2}{3}$ mm. lata, sessilia, inferne leviter thalino-velata, cæterum nigra, hemisphærica, obsolete ostiolata, perithecium dimidiatum; nucleus hemisphæricus, basi planus; paraphyses capillares, firmæ, liberæ; asci lineares, 2-seriatim 8-spori; sporæ 13-21 μ longæ, 3-4 μ latæ, fusiformes, utrinque obtusiusculæ, 2-4-loculares. — Valde affinis est africanæ *P. albella* Müll. Arg. L. B. n. 1105, sed thallus non glauco-albus et apothecia leviter majora, inferne non thallo immersa. — In cortice *Crotonis Cascarilla*.

PORINÆ species e PYRENOCARPEIS exclusæ.

Porina Acharii Fée Suppl. p. 73 = *Pertusaria Acharii* Nyl. Enumér. gén. p. 147.

Porina chiodectionoides Fée Suppl. p. 73 = *Pertusaria chiodectionoides* Nyl. Enumér. gén. p. 447.

Porina compuncta Ach.; Fée Ess. p. 80 = *Enterostigma compunctum* Müll. Arg. Graphid. Féean. p. 70.

Porina depressa Fée Ess. p. 80, Suppl. p. 72 = *Pertusaria depressa* Müll. Arg. L. B. n. 732.

Porina granulata Ach.; Fée Ess. p. 82 = *Pertusaria granulata* Müll. Arg. L. B. n. 756.

Porina peliostoma Ach.; Fée Ess. p. 80 = *Pertusaria peliostoma* Müll. Arg. L. B. n. 749.

Porina Quassiae Fée Ess. p. 84, Suppl. p. 72 = *Pertusaria Quassiae* Nyl. Enumér. gén. p. 447.

Porina Sclerotium Fée Suppl. p. 74 = *Pertusaria Sclerotium* Müll. Arg. L. B. n. 740.

Porina tetrathalamia Fée Suppl. p. 73 = *Pertusaria tetrathalamia* Nyl. Prodr. Nov. Gran. p. 37, obs.

Porina verrucosa Fée Suppl. p. 73 = *Pertusaria granulata* Müll. Arg. L. B. n. 862.

11. ARTHOPYRENIA Müll. Arg. L. B. n. 642; Pyrenoc. Cubens. p. 376 et 403.
Verrucaria, Pyrenule et Sagedie spec. auctorum.

Sect. 1. MESOPYRENIA Müll. Arg. Pyrenoc. Cubens. p. 403.

* Sporæ 2-loculares; perithecium dimidiatum.

1. **Arthopyrenia** (s. MESOPYRENIA) **Cinchonæ** Müll. Arg. L. B. n. 645; *Verrucaria Cinchonæ* Ach. Syn. p. 90; Nyl. in Prodr. Nov. Gran. p. 422, obs. 2; *Verrucaria Cascarillæ* Fée Suppl. p. 86 pr. p. Thallus albidus, evanescens. Perithecium dimidiatum, basi patens. Sporæ circ. 40-25 μ longæ, et 6-7 μ latæ, 2-loculares. — In cortice *Crotonis Cascarillæ* et insuper vulgaris in America calidiore, nec non in Africa occidentali et orientali.

2. **Arthopyrenia** (s. MESOPYRENIA) **quassiecola** Müll. Arg.; *Verrucaria epidermidis* v. *quassiecola* Fée Ess. p. 84; Suppl. p. 86, t. 44. Verr. 14. γ ;

thallus albus v. albidus, insulatim crescens, tenuissimus, demum evanescens; apothecia copiosa, minutissima, diametro $\frac{1}{10}$ - $\frac{1}{8}$ mm. lata, hemisphærica, nigra, nitidula, vertice rotundata; perithecium dimidiatum, pro minutie crassum; asci oblique ovoidei, inferne ventricosi, 8-spori; sporæ cylindrico-obovoideæ, 12-16 μ longæ, 3 $\frac{1}{2}$ -4 $\frac{1}{2}$ μ latæ, utrinque obtusæ, subdistracto-2-loculares. — Americanis *A. leucochloræ* Müll. Arg. L. B. n. 615 et *A. griseolæ* Müll. Arg. Lich. Paraguayens. proxima et subsimilis est, sed sporæ ambitu angustiores et longiores quam in priore et multo breviores quam in posteriore et apothecia dein minora quam in utraque. — In cortice *Quassia excelsæ*.

3. **Arthopyrenia** (s. MESOPYRENIA) **planorbis** Müll. Arg. L. B. n. 616; *Verrucaria planorbis* Ach. Syn. p. 92; Fée Ess. p. 89, t. 22, f. 6, et Suppl. p. 86, t. 41. Verr. fig. 9; *Pyrenula leucostoma* Fée Ess. p. 76, et Suppl. p. 80 (non Ach.), cum *Verrucaria planorbi* Ach. habitu et characteribus analyticis optime congruens; Nyland. Pyrenoc. p. 58; *Sagedia planorbis* Mass. Ricerche p. 141, fig. 314. — Thallus cretaceo-albus, tenuissimus, farinulentus, demum evanescens; apothecia circ. $\frac{1}{10}$ mm. lata v. subinde paullo latiora, depressa, inferne thallino-suffusa, basi dilatata; perithecium dimidiatum; nucleus basi lata nano-pyramidalis; paraphyses connexæ, tenellæ; asci biserialim 8-spori, elongato-obovoidei; sporæ 15-28 μ longæ, 5-14 μ latæ, minores 2-loculares, loculis lateraliter lyrato-excisus, majores 4-loculares. — Planta Fécana bene cum Achariana convenit. — In cortice *Crotonis Cascarille*.

** Sporæ 4-loculares; perithecium integrum.

4. **Arthopyrenia** (s. MESOPYRENIA) **pyrenuloides** Müll. Arg.; *Verrucaria pyrenuloides* Fée Suppl. p. 86, t. 41. Verr. fig. 10 (non Nyl. Pyren. p. 44); *Pyrenula verrucarioides* Fée Ess. p. 76 (non Ach.); *Verrucaria Cinchonæ* f. *minor* Nyland. Pyrenoc. p. 57. — Apothecia evoluta $\frac{1}{2}$ mm. lata, e convexo demum alte hemisphærica v. fere globosa, nigra v. demum rufo-suffusa, juniora thallino-velata, evoluta inferne thallino-vestita; perithecium completum, subglobosum, inferne tenuius; nucleus globosus; paraphyses confertæ, spumoso-vesiculosæ et sparse connexæ; asci cylindrici, biserialim 8-spori; sporæ (hyalinæ) 17-19 μ longæ, 5-6 μ latæ, cylindrico-ellipsoideæ, utrinque obtusæ, 4-loculares. Est species valde distincta, nulli arete affinis. — In cortice *Cinchonarum*.

Sect. 2. ANISOMERIDIUM Müll. Arg. L. B. n. 624.

5. **Arthopyrenia** (s. ANISOMERIDIUM) **Féeana** Müll. Arg. ; *Verrucaria Cascarillæ* Fée Suppl. p. 86 pr. p. Thallus albus, tenuissimus, effusus, evanescens ; apothecia sparsa, $\frac{4-5}{10}$ mm. lata, nigra, apice lato emergentia, cæterum profunde immersa ; perithecium completum, basi valde attenuatum et pallidius, superne incrassatum ; nucleus subpyramidalis ; paraphyses capillares, laxè connexæ ; sporæ in ascis angustis 1-2-seriatim (4-6-) 8-næ, obovoideæ, 15-17 μ longæ, 7-8 μ latæ, 2-loculares, locus superior latior et subduplo longior. — Prope *Arthop. adnexam* Müll. Arg. L. B. n. 626 locanda, a qua recedit thallo albo et sporis minoribus. — In cortice *Crotonis Cascarillæ*.

12. PSEUDOPYRENULA Müll. Arg. L. B. n. 602 et Pyrenoc. Cubens.
p. 376 et 407.

* Perithecium dimidiatum.

1. **Pseudopyrenula diluta** Müll. Arg. L. B. n. 602 ; *Verrucaria diluta* Fée Suppl. p. 85 (excl. falsa t. 44. Verr. f. 2) ; Nyland. Syn. Lich. Nov. Caledon. p. 94 ; *Verrucaria Cascarillæ* Fée Suppl. p. 86, t. 44. Verr. f. 7. — Thallus albus. Apothecia $\frac{2}{3}$ mm. lata, superne late denudata, crassa, facile demum secedentia et fundum album aut griseum relinquentia ; perithecium dimidiatum, subduplo latius quam altum, basi valde attenuatum aut deficiens, lateraliter basi haud anguloso-productum ; nucleus albus, paraphyses tenellæ, spumosæ ; asci 2-seriatim 8-spori ; sporæ 30-35 μ longæ, 8-9 μ latæ, elongato-ellipsoideæ, semper hyalinæ, 4-loculares. — Ad *Cinchonarum* cortices (cum hac auctor *Microthelia* speciem, ex descriptione sporarum, confundisse videtur), et in cortice *Crotonis Cascarillæ* (hujus sporæ in opere Féeano loculis 4 concatenatis repræsentantur).

Inter specimina *Verrucariæ Cascarillæ* Fée in chartula Féeana insuper 6 species adsunt et quidem omnes subsimiles et omnes in cortice *Crotonis Cascarillæ* crescentes :

Microthelia dominans Müll. Arg. ; *Microthelia sexocularis* Müll. Arg. ; *Porina Cascarillæ* Müll. Arg. ; *Arthopyrenia Féeana* Müll. Arg. ; *Arthopyrenia Cinchonæ* (Ach.) Müll. Arg. ; et *Pyrenula Guayaci* (Fée) Müll. Arg.

** Perithecium completum.

2. **Pseudopyrenula Pupula** Müll. Arg. L. B. n. 602 et 884; *Pyrenula Pupula* Ach. Syn. p. 123; Fée Ess. p. 73, t. 21, fig. 1 et Suppl. p. 77 (excl. t. 41. Pyr. f. 2 et excl. synonym.); *Pyrenula discolor* Fée Ess. p. 71 (non Ach.), et Suppl. p. 77 (excl. synonym. et excl. t. 41. Pyr. fig. 1); *Pyrenula cartilaginea* Fée Ess. p. 77, t. 22, f. 3 et Suppl. p. 77, t. 41. Pyr. fig. 5 (non Mass. Ric. f. 322). — Ad corticem *Cinchonarum*. — Descriptionem hujus speciei dedi in meis L. B. n. 884. — Omnes 3 species Féeanæ bene conveniunt et sporis et apotheciis circa ostiolum annulo demum lato decolorato-albescente ornatis. Structura partium internarum etiam optime cum genere *Trypethelio* quadrat et hæc et affines *Pseudopyrenula* species, intercedente *Trypethelio catervario* Tuck., fere cum *Trypethelio* junguntur, sed apothecia hic undique regulariter et æqualiter sparsa, nec in stromatibus colore aut crassitie distinctis disposita sunt. Tota series specierum affinium apotheciis cæterum vertice v. latius circa ostiolum decolorato-albidis pulchre distincta est.

3. **Pseudopyrenula ceratina** Müll. Arg.; *Pyrenula ceratina* Fée Suppl. p. 77, t. 41. Pyren. fig. 3; thallus ceratino-flavus, tenuissimus, levigatus; apothecia superne emergentia, cæterum thallo obtecta, sparsa v. hinc inde 2-3-natim simplice serie confluentia, nigro-ostiolata, circa ostiolum dupliciter annulari-cincta, annulo interiore expallente, exteriori lineari fusco-nigrescente; perithecium globosum, completum, pallidum, superne fusco-nigricans, undique tenue; paraphyses connexæ; sporæ in ascis 8-næ, biseriales, hyalinæ, 4-loculares, 24-28 μ longæ et 9-12 μ latæ. — A proximis *P. Pupula* Müll. Arg. et *P. porinoide* Müll. Arg. recedit apotheciis magis innatis et sporis minoribus et colore thalli, et priore et ultimo caractere simul etiam a *Ps. neglecta* Müll. Arg. L. B. n. 885 differt. — Cinchonicola.

13. PYRENULA Fée Ess. Suppl. p. 76; Trevir. Consp. Verr. p. 12; Stitzenb. Flechtensyst. p. 148; Müll. Arg. Pyrenoc. Cubens. p. 376.

§ 4. DIMIDIATÆ, perithecium hemisphæricum aut nano-pyramidale, basi plana deficiens v. valde attenuatum.

1. **Pyrenula minor** Fée Ess. p. 79, et Suppl. p. 80, t. 41. Pyr. f. 14;

apothecia leviter emergentia, $\frac{1}{8}$ - $\frac{1}{4}$ mm. lata, superne nuda, nigra, cæterum velamine thallino tecta, juniora tantum vertice emergentia; perithecium dimidiatum, subtus deficiens, superne dilatatum; sporæ in ascis 8-næ, sub-1-2-seriales, fuscidule, 15-17 μ longæ, 8 μ latæ, 4-loculares. — Juxta *P. minutulam* Müll. Arg. L. B. n. 817, cujus apothecia multo convexiora et minora sunt, inserenda est, et a *P. dispersa* Müll. Arg. recedit apotheciis minoribus, vertice minus emergentibus et deplanatis. — Cinchonicola.

2. ***Pyrenula quassiacola*** Müll. Arg.; *Verrucaria quassiacola* Fée Ess. p. 449; *Pyrenula brunnea* Fée Suppl. p. 81, t. 41. Pyr. f. 22; thallus olivaceofuscus v. brunneus, lavigatus, tenuissimus; apothecia alte hemisphærica, basi innata, tenuiter thallino-velata et dein opaco-nigra, vertice mox irregulariter subfisso-aperientia; perithecium dimidiatum aut basi plana tenuissimum, in sectione utroque latere basi dilatato-angulosum; sporæ in ascis subbiseriatim 8-næ, fuscae, 4-loculares, oblongato-ellipsoideæ, utrinque obtusæ, 15-17 μ longæ, et 7 μ latæ. — A proxime affini *P. velata* Müll. Arg. Revis. Lich. Eschw. n. 1 recedit apotheciis minoribus, distincte altius convexis et ostioliis. Apothecia præter angulos basilares $\frac{1}{3}$ mm. lata. — In Suppl. suo l. c. nomen specificum jam antea editum *V. quassiacola* Fée infeliciter, leges prioritatis male adhibens, in *Pyr. brunneam* mutavit cl. auctor, propter ipsius *Pyrenulam quassiacolam* Suppl. p. 79, sed hæc posterior junior est. — In cortice *Quassia excelsa*.

§ 2. PYRAMIDALES, perithecium pyramidale, basi plana v. subplana evolutum ibidemque in sect. verticali extrorsum patenti-angulosum.

3. ***Pyrenula mamillana*** Trev. Consp. Verruc. p. 13; Müll. Arg. Pyrenoc. Cubens. p. 411; *Verrucaria mamillana* Ach. Meth. p. 120, t. 3, f. 2; *Pyrenula Cinchonæ* Fée Suppl. p. 80, t. 41. Pyr. fig. 16; Mass. Ricerche p. 463, f. 321; *Verrucaria Cinchonæ* Fée Ess. p. 87; *Pyrenula nitida* Fée Ess. p. 75 pr. p., in cortice *Lauri Cassiæ*; *Verrucaria santensis* Tuck. ap. Nyl. in Prodr. Nov. Gran. p. 417. — Cl. Nyland. Pyrenoc. p. 46 speciem Féeanam infauste ad *P. nitidam* Ach. retulit. Apothecia deplanato-pyramidalia ut in proxima *P. Kunthii* Fée, sed paullo minorâ. Characteres cæteros vide in Müll. Arg. Pyrenoc. Cub. l. c. — Species vulgaris, etiam Cinchonicola.

4. ***Pyrenula Kunthii*** Fée Suppl. p. 80, t. 41. Pyr. fig. 18; Müll. Arg.

Pyrenoc. Cubens. p. 411; *Verrucaria Kunthii* Fée Ess. p. 88, t. 34, fig. 4. In hb. Féeano hoc sub nomine *Pyr. marginata* Trev. et *P. Kunthii* Fée et aliæ male evolutæ commixtæ sunt, sed ex analysi sporarum, et ex observatione: « sporidies fort petites » hæc ulterior essentialiter comprehensa fuit. Sporæ circ. 18-24 μ longæ et circ. 7-11 μ latæ sunt, quo caractere species a simili *P. marginata* Trev. statim differt. Reliqua satis consimilia et e vario gradu evolutionis multiformia sunt. — Cinchonicola.

5. **Pyrenula marginata** Trev. Caratt. p. 13; *Pyrenula Kunthii* Fée Suppl. p. 80 pr. p. Similis *P. Kunthii* Müll. Arg. (Fée pr. p.) Pyren. Cubens. p. 411, sed apothecia paullo latiora et sporæ multo majores, circ. 28-40 μ longæ et 12-18 μ latæ. — Cinchonicola.

§ 3. SUBGLOBOSÆ, perithecium globosum v. depresso-globosum, basi rotundata non extrorsum angulosa completum aut æquicrassum aut tenuius.

* Sporæ circ. 12-20 μ longæ.

6. **Pyrenula Bonplandii** Fée Ess. p. 74, t. 24, f. 3, Suppl. p. 78, t. 41. Pyr. f. 7 (a cl. Nyl. Pyrenoc. p. 46 ad *Verrucariam nitidam* v. *nitidellam* Flk., et in Expos. Lich. Nov. Caledon. p. 52 in notula adhuc falsius ad *V. vitream* Eschw. relata), eadem est ac *Pyrenula aspistea* Ach. Syn. p. 123 pr. p. (non autem primitiva *Verrucaria aspistea* Ach. Meth., e Sierra Leone), quam antea in meis L. B. n. 894 sub *Pyrenula dispersa* distinxi, sed nomen Féeanum prioritate gaudens anteponendum est. Apothecia media altitudine $\frac{4-5}{10}$ mm. lata, primum thallino-velata, mox superne late nuda et nigra; perithecium in sectione insigniter ludens, nunc hemisphæricum, nunc depresso-globosum, basi valide completum, aut ibidem tenuius v. hinc inde interrupto-deficiens; sporæ in ascis irregulariter 1-2-seriales, 12-18 μ longæ, 5-7 μ latæ, 4-loculares. — In cortice *Bonplandii trifoliatæ*.

7. **Pyrenula glauca** Müll. Arg.; *Verrucaria glauca* Fée Ess. p. 86, Suppl. p. 87; thallus viridis, tennis, levigatus, demum expallens; apothecia atra, circ. $\frac{1}{3}$ altitudinis v. brevius emersa, parte emersa convexa, demum macrostoma; perithecium completum, paullo latius quam altum, demum globosum, subtus vix atte-

nuatum, basi rotundatum; nucleus subglobosus; paraphyses capillares, rigidulæ; sporæ (fuscæ) 15-18 μ longæ, 6-7 μ latæ, cylindrico-ellipsoideæ, æqualiter 4-loculares. — Prope *Pyr. microcarpam* Müll. Arg. Pyrenoc. Cubens. p. 412 inserenda est. — In cortice *Bonplandie trifoliata*.

8. **Pyrenula porinoides** Ach. Syn. p. 128; Fée Ess. p. 77 et Suppl. p. 81, t. 41. Pyr. fig. 26; Müll. Arg. L. B. n. 901 (ubi species iterum tractata); *Pyrenula mollis* Fée Ess. p. 78 et Suppl. p. 84, t. 44. Pyr. fig. 25; *Pyrenula viridescens* Fée Suppl. p. 81, t. 44. Pyr. fig. 23; est quasi *P. nitidella* Müll. Arg. thallo magis flavicante et sporis ambitu angustioribus. Apothecia in thallo crassiore globosa, in tenuiore distincte latiora quam alta, semper completa, apice demum paullo emergente non nisi ostiolo nigro punctiformi v. etiam dein latius denudata v. antea omnino non emergentia (cui statui evolutionis speciatim referenda *Pyrenula porinoides* Fée), et hæ diversæ formæ subinde in uno eodemque specimine conjunctim adsunt. Sporæ congruunt, fuscæ, 4-loculares, elongato-ellipsoideæ, 11-22 μ longæ, 5-8 μ latæ. — Thallus *Pyrenula viridescens* Fée ab auctore valde hyperbolice « viridi-olivaceus » dicitur, at revera levissime tantum in olivaceum vergit, quia, firmantibus apotheciis immersis punctiformi-ostiolatis paullo junior est, et planta dein ne quidem sub varietatis titulo pro distincta haberi potest. — In cortice *Cinchonarum*.

** Sporæ circ. 20-28 μ longæ.

9. **Pyrenula Glaziovii** Müll. Arg.; *Pyrenula quassiacola* Fée Ess. Suppl. p. 79, t. 41. Pyr. f. 9 (1837), Müll. Arg. L. B. n. 899 (non *Verrucaria quassiacola* Fée Ess. p. 149, 1824, quæ nunc prioritatis causa *Pyrenula quassiacola* Müll. Arg.). — Extus prima fronte *Pyrenulam quassiacolam* Müll. Arg. (non Fée) simulat, et similiter in cortice *Quassie excelsæ* in Jamaica crescens, sub lente differt apotheciis paullo validioribus, $\frac{4}{10}$ mm. latis, basi turgescencia distincta thallina cinctis et thallo minute subgranulari-aspero (haud lævi), et dein analytice peritheciis globosis completis et sporis multo majoribus circ. 21-26 μ longis et 10-14 μ latis distinguitur. Apothecia minora sunt et magis emergunt quam in *P. nitida* Ach. — Speciem pulchre distinctam grato animo dicavi egregio et oculatissimo Glaziou, qui summa benevolentia mihi submitit specimina originalia Féeana.

10. **Pyrenula Guayaci** Müll. Arg.; *Verrucaria Guayaci* Fée Suppl. p. 83,

t. 41. Verr. fig. 1, a cl. Nyl. in Expos. Lich. Nov. Caledoniæ p. 52 (notula) cum *Verrucaria citrea* Eschw. Bras. p. 130, quæ *Pyrenula citrea* Müll. Arg. Revis. Lich. Eschw. n. 12, conjuncta, huic quidem sat similis est, sed apothecia minus emergunt et sporæ minores sunt. Ab affiniore *P. porinoide* Ach. Syn. p. 128, s. *P. molli* Fée Ess. p. 78 vix nisi sporis distincte majoribus et inequaliter 4-locularibus, i. e. loculis terminalibus deminutis distinguenda est. A *P. nitidella* (Flk.) Müll. Arg. recedit apotheciis omnino immersis et thallo albido v. fuscidulo-albo. — Thallus levigatus, haud olivaceus, nec cartilagineus. Apothecia globosa, $\frac{1}{3}$ mm. lata, omnino immersa, demum vertice paullo denudata et tum jam vetusta et sporis destituta. Sporæ fuscae, 15-23 μ longæ, 8-9 μ latæ, oblongo-ellipsoideæ, 4-loculares, loculi intermedii vulgo multo majores, terminales haud raro rudimentarii. Paraphyses visæ haud bene distinctæ. Ad hanc demum etiam pertinet *Verrucaria Cascarillæ* Fée Suppl. p. 86 pr. p. — In cortice *Guayaci officinalis*.

11. **Pyrenula cerina** Müll. Arg. Revis. Lich. Eschw. n. 44; *Verrucaria cerina* Eschw. Bras. p. 133 (1833); *Pyrenula aurantiaca* Fée Suppl. p. 82, t. 37, f. 1 et t. 41. Pyr. fig. 30; *Verrucaria aurantiaca* Nyl. Pyrenoc. p. 48. Specimina originalia utriusque conveniunt, juvenilia densius, evoluta parce lineis hypothallinis nigris peragrata aut limitata sunt; hæ lineæ nigre marginales pro parte etiam deficiunt. — In ins. Guadeloupe, in cortice non officin.

*** Sporæ 30-50 μ longæ.

12. **Pyrenula pinguis** Fée Ess. p. 75 (1824), et Suppl. p. 82, t. 21. Pyr. fig. 27 (non Chev. 1836); *Verrucaria punctella* Nyl. Pyrenoc. p. 46 et in Prodr. Nov. Gran. p. 119; *Pyrenula punctella* Müll. Arg. L. B. n. 487 (nomen *pinguis* prioritate gaudet et dein anteponendum est). Thallus e pallide olivaceo mox albicans, levigatus, tenuissimus; apothecia innata, ostiolo punctiformi-nigro perspicua, mox dein vertice magis denudata sed vix v. leviter tantum emergentia; perithecium globosum, completum, nigrum, undique crassiusculum, $\frac{6}{10}$ mm. latum; sporæ in ascis linearibus imbricatum uniserialiter 8-næ, fuscae, 4-loculares, 35-40 μ longæ et 15-18 μ latæ, oblongato-ellipsoideæ. — Species a *P. nitida* Ach. sporis multo majoribus et thallo magis albido recognoscitur. — In cortice *Crotonis Cascarillæ*.

Obs. *Pyrenula pinguis* Chev. Flore de Paris p. 518 (1836); Schær. Enum. p. 213; Fr. Lich. europ. p. 443 est *P. nitidella* (Flk.) Müll. Arg. Pyrenoc.

Cubens. p. 414. Status apotheciis enucleatis, quem pro *P. pingui* Chev. habuit cl. Nyl. Pyrenoc. p. 46, ex eo ortus est, quod omnium apotheciorum pars major, excepta basi, conjunctim cum parte exteriori corticis delapsa est. In specimine europæo hb. Féeani altero latere status completus adest qui rem optime demonstrat.

13. **Pyrenula analepta** Fée Suppl. p. 80, t. 44. Pyr. fig. 20; *Verrucaria analepta* v. *americana* Fée Ess. p. 89 (excl. syn. Ach.); thallus olivaceo-fuscus, nigro-limitatus, tenuissimus, levis, parce granuloso-asperulus; apothecia immersa, nigra, apice applanato v. demum convexo emergente mox late nudata, minutissime umbonato-ostiolata; perithecium subglobosum, paullo latius quam altum, completum, supra medium in sectione incrassatum et lateraliter dilatatum; sporæ in ascis 1-v. incomplete 2-seriales, fuscæ, 26-35 μ longæ et 14-16 μ latæ, 4-loculares, loculi terminales reliquis minores. — Thallus ut in *Pyr. Glaziovii* Müll. Arg., sed apothecia paullo majora et superne applanata et dilatata, fere ut in proxime affini cubensi *Pyr. endostega* Müll. Arg., ubi apothecia cæterum minora et thallino-velata. — Extus *Pyr. mamillanum* Trev. et *P. Kunthii* Fée minorem simulat, sed perithecia globosa et sporæ majores. — Cum *Verrucaria analepta* v. *americana* Ach., quæ species *Anthracothecei*, nullam affinitatem offert. — In cortice *Exostematis*.

14. **Pyrenula nitens** Fée Suppl. p. 80, t. 44. Pyr. fig. 17; *Verrucaria nitens* Fée Ess. p. 88, t. 20, f. 5 (a cl. Nyland. Pyrenoc. p. 46 ad *P. nitidam* Ach. relata, cujus apothecia magis thallino-velata). *Pyrenula nitida* Fée Ess. p. 75 in cortice *Crotonis Cascarille* (pr. p.); *Pyrenula nitida* v. *americana* Fée Suppl. p. 78 pr. p. (non *Arthopyrenia americana* Mass. Ricerche p. 170, f. 341). Apothecia depresso-globosa, immersa, apice late hemisphærico-obtuso emergentia ibique nuda, diametro $\frac{2}{3}$ mm. æquantia; perithecium completum, basi tenuius, undique nigrum, in sect. verticali lateraliter rotundatum; sporæ in ascis linearibus 1-seriatim 8-næ, fuscæ, 4-loculares, 25-33 μ longæ et 12-15 μ latæ. — Differt a simili *P. analepta* Fée thallo magis fulvo et perithecio superne non dilatato, et a *P. convexa* (Nyl.) Müll. Arg. apotheciis paullo minoribus et vertice late hemisphærico obtusis. — Cinchonicola.

15. **Pyrenula adacta** Fée Ess. p. 74 (1824), et Suppl. p. 79, t. 44. Pyr. fig. 40 (a cl. Nyland. Pyrenoc. p. 46, in obs. infeliciter ad *P. nitidam* Ach. relata); *Pyrenula copalchiana* Fée Suppl. p. 79, t. 44. Pyr. fig. 41; *Pyrenula nitida* Fée

Ess. p. 75 pr. p. (in cortice Angusturæ); *Pyrenula pulchella* Müll. Arg. L. B. n. 900 (e Ceylonia et Nova Hollandia bene conveniens); thallus colore varians, fulvo-fuscescens v.-flavescens v.-albescens; apothecia majuscula, ex innato mox modice emergentia et superne demum nuda, prominentia thallina inferne cincta, ostiolum late urceolatum, sæpe (inconstanter) particula thallina adhaerente discolor et quasi decoloratum; perithecium globosum, circ. 1 mm. latum, undique nigrum; sporæ in ascis 8-næ, 1-seriales, circ. 35-50 μ longæ, 15-23 μ latæ, 4-loculares. — Species ambæ Féeanæ nullo caractere valido distingui possunt. Apothecia majora et demum longe magis emergentia quam in *P. pingui* Fée, s. *Verrucaria punctella* Nyl. — Cinchonicola.

PYRENULÆ species e PYRENOCARPEIS exclusæ :

Pyrenula clandestina Fée Ess. p. 72 est *Ocellularia clandestina* Müll. Arg. Graphid. Féean. p. 7.

Pyrenula clandestina Fée Suppl. p. 83 (non ejusd. Ess. p. 72) est *Ocellularia demersa* Müll. Arg. Graphid. Féean. p. 9.

Pyrenula fimbriata Fée Ess. p. 78 est *Sphaeria fimbriata* Fée Suppl. p. 15.

Pyrenula subfarinoso Fée Ess. p. 79 et Suppl. p. 84 est *Phæotrema subfarinosum* Müll. Arg. Graphid. Féean. p. 10.

Pyrenula umbrata Fée Ess. p. 72 est *Leptotrema umbratum* Müll. Arg. Graphid. Féean. p. 12.

Pyrenula volvarioides Fée Ess. p. 74 et Suppl. p. 81 (sed jic. spor. fig. 24 in tab. 44 sub Pyr. falsa est), non est *Pyrenulæ* species nec *Pyrenocarpea*, sed species propria generis CONOTREMATIS Tuck. Syn. p. 86 (erronee inter VERRUCARIA-CEAS locati), et ejusd. Gen. p. 128 (ad URCEOLARIEAS relati) et North American Lichens p. 216 (similiter). Genus est lecideinum, nec lecanorinum, margo enim proprius est et gonidia vulgaria sunt, sc. globosa, simplicia, viridia et planta quoad affinitatem naturalem a cl. Nylander (Enum. gén. p. 127) rectius inter species

LECIDEÆ recepta fuit, sed hoc cum genere coadunari nequit. Apothecia fere cum iis GYROSTOMI conveniunt, sed gonidia non sunt graphidacea. Nostra planta a LECIDEA URCEOLATA Ach. Syn. p. 27, seu CONOTREMATE URCEOLATO Tuck. Syn. p. 86, in eo recedit quod thallus tenuissimus, farinulentus, continuus (non tenuiter tartareus et rimoso-areolatus et inæqualis), et sporæ duplo tenuiores, tantum $2-2\frac{1}{2}\ \mu$ latæ, loculi demum subduplo longiores quam lati (nec sporæ demum $4\frac{1}{2}-5\frac{1}{2}\ \mu$ latæ et loculi demum æquilati ac longi). Reliqua omnia bene conveniunt. Apothecia utriusque extus accessorie farinoso-albida sunt et demum fere omnino nuda et nigra evadunt. Hypothecium basi tenuiter completum aut subinde deficiens. Paraphyses liberæ; sporæ 80-110 μ longæ, 20-30-loculares. Sit ergo Lichen Féeanus CONOTREMA VOLVARIODES Müll. Arg., crescens in cortice *Crotonis Cascarille* — Obs. In chartula Féeana hujus speciei hodie adsunt speciminula 3, cum diagnosi primitiva Féeana optime convenientia, et quorum sporæ, ut supra expositæ, longissimæ et multiloculares sunt, non autem parvæ et 4-loculares, ut in Féeano Suppl. t. 41, Pyr. fig. 21. Hæc icon falsa verisimiliter sporas refert speciminis quarti, hodiè deficientis, forte ad *Ocellulariam* spectantis, cujus vestigia gummosa in chartula adhuc perspicuntur.

44. ANTHRACOTHECIUM Mass. Esam. compar. p. 49; Müll. Arg. Lich. Afric. occid. n. 52 et Pyrenoc. Cubens. p. 376 et 444.

* Sporæ 25-50 μ longæ.

1. **Anthracothecium Cascarille** Müll. Arg. L. B. n. 908 (ubi descripta et affinitate determinata); *Pyrenula nitida* Fée Ess. p. 75 quoad specim. in cortice *Cascarille* crescentia, et similiter *Pyrenula nitida* v. *americana* Fée Suppl. p. 78 excl. t. 41. Pyren. f. 8, ubi sporæ *Pyrenulæ* ejusdam veræ. — Hæc ab omni specie *Pyrenulæ* jam sporis parenchymaticis differt et sporæ insuper longe majores sunt quam in *P. nitida* Ach., longitudine 32-50 μ , et latitudine 14-18 μ æquantes; locelli in series 8 transversales dispositi. — In cortice *Crotonis Cascarille*.

2. **Anthracothecium libricolum** Müll. Arg. Lich. Afric. occid. n. 52; *Pyrenula libricola* Fée Suppl. p. 82, t. 41. Pyr. fig. 31; *Pyrenula aspistea* Fée Suppl. p. 82, t. 41. Pyr. fig. 35 (excl. omnibus synonym.), quæ status est apotheciis vertice distincte emergentibus; planta apotheciis nunc omnino v. fere omnino

immersis v. demum plus minusve emergentibus et hanc ob causam valde ludens et hinc inde ad *Anthr. pyrenuloïdes* Müll. Arg. accedens, at apotheciis et sporis minoribus distincta. Apothecia inferne saltem thallino-duplicata. Perithecia integra, basi tenuiora. Sporæ in ascis 6-8-nae, 30-50 μ longæ, 12-18 μ latæ, 8-loculares, loculi transversim 2-4-locellati. — Ambæ species Féeanæ inter se nullo modo diversæ sunt et earum sporis et structura et magnitudine optime conveniunt. — In cortice *Drymidis Winteri*, *Mangiferæ ind.*, *Hymenææ* et *Crescentiæ* offic.

3. **Anthracothecium subcutaneum** Müll. Arg.; *Pyrenula subcutanea* Fée Ess. p. 81 (non Ach., vid. Müll. Arg. L. B. n° 863), et Suppl. p. 83 (excl. specim. in *Exostemmate caribæo*) t. 41, Pyr. fig. 34; fere omnino cum vulgari *Anthracothecio libricolo* Müll. Arg. congruit, sed in eo differt quod apothecia leviter minora, et semper valide oblecta, nec demum emergentia, et thallus rufidulus. — Apothecia $\frac{1}{3}$ mm. lata, basi rotundata valde attenuata; sporæ fuscæ, 25-40 μ longæ, 13-18 μ latæ, 8-loculares, loculi locellati. — In cortice *Eugeniæ Caryophyllatæ*.

** Sporæ 7-12 μ longæ.

4. **Anthracothecium sinapispermum** Müll. Arg. Lich. Afric. occid. n. 52; *Verrucaria sinapisperma* Fée Ess. p. 86 et Suppl. p. 86 (excl. t. 40. Verr. f. 6, quæ omnino erronea, similit. ac descript. sporarum in Suppl. l. c.); Nyland. Pyrenoc. p. 50. Est species singularis, a cl. Nyl. l. c. bene exposita, eximie microcarpa, apotheciis $\frac{15-20}{100}$ mm. tantum latis, alte hemisphæricis, madefactis nigro-rufis, nigro-ostiolatis, inferne thallino-vestitis insignita; paraphyses capillares, liberæ; sporæ in ascis linearibus 4-seriales, vulgo transversim sitæ, 7-8 μ longæ, 4-5 μ latæ, fuscæ, 1-septatæ, loculi indivisi aut oblique semel varie secti et sporæ dein 2-4-loculares. — In cortice *Cinchonæ rubræ* officin.

5. **Anthracothecium Canellæ albæ** Müll. Arg.; *Pyrenula Canellæ albæ* Fée Suppl. p. 157, t. 43 add., f. 4 (ubi asci erronee 14-16-spore et sporæ tantum juniores 4-loculares delineatæ sunt); *Verrucaria Canellæ albæ* Nyl. Pyrenoc. p. 51. Thallus cum cellulis corticis maculam fulvescenti-pallidam v. fulvo-argillaceam formans; apothecia $\frac{1}{4}$ - $\frac{1}{3}$ mm. lata, circ. triente emersa, nuda, nigerrima; perithecium depresso-globosum v. subglobosum, basi completum v. attenuatum v.

ibidem tantum zonula $\frac{1}{2}$ fusca indicatum; sporæ in ascis linearibus imbricatim 1-seriales et 8-næ, parvæ, 10-12 μ longæ et 6-8 μ latæ, fuscæ, ellipsoideæ, e 4-loculari 8-loculares, i. e. loculi 4 demum sat regulariter bilocellati, locelli in series binas longitrorsas dispositi. — In cortice *Canellæ albæ*.

15. MICROTHELIA Körb. Syst. p. 372; Müll. Arg. Pyrenoc. Cubens. p. 376 et 416.

* Sporæ biloculares.

1. **Microthelia dominans** Müll. Arg.; *Verrucaria Cascarilla* Fée Suppl. p. 86 pr. p., thallus albissimus, levigatus, tenuissimus, demum pro parte evanesens, haud nigro-limitatus; apothecia evoluta $\frac{2}{3}$ mm. lata, nano-hemisphærica, obtusa, superne nuda, inferne thalino-vestita; perithecium dimidiatum, basi non extrorsum dilatatum; nucleus hemisphæricus; paraphyses laxissime connexæ; sporæ in ascis cylindrico-obovoideis 8-næ, 2-seriales, e hyalino fuliginosæ et demum fuscæ, pro genere magnæ, 32-46 μ longæ, 11-16 μ latæ, clavato-obovoideæ, 2-loculares, locus superior distincte latior et longior. — Apothecia majora quam in *Pseudopyrenula diluta* Müll. Arg., et sporæ omnino aliæ, distincte anisobæ. — In cortice *Crotonis Cascarilla*.

2. **Microthelia thelena** Müll. Arg. Rev. Lich. Eschw. n. 49 et Pyrenoc. Cubens. p. 417; *Verrucaria thelena* Ach. Syn. p. 92; Fée Ess. p. 89, t. 22, f. 5 et Suppl. p. 85, t. 41. Verr. fig. 3; *Pyrenula thelena* Trev. Caratt. duod. p. 43. Apothecia $\frac{2}{3}$ -1 mm. lata, nano-convexa, 3-4-plo latiora quam alta, nitidula, atra; perithecium lata basi deficiens; paraphyses parce connexæ; asci angusti, biserialim 8-spori; sporæ fuscæ, magnitudine ludentes, 18-32 μ longæ, 8-10 μ latæ, oblongato-obovoideæ, 2-loculares, loculi æquilongi, superior paullo latior. — In cortice *Bonplandiae trifoliatae*.

** Sporæ (4-) 6-loculares.

3. **Microthelia sextocularis** Müll. Arg.; *Verrucaria Cascarilla* Fée Suppl. p. 86 pr. p.; thallus albissimus, levigatus, tenuissimus, effusus, demum evanesens; apothecia $\frac{1}{10}$ mm. lata, convexa, 2 $\frac{1}{4}$ -plo latiora quam alta, nuda,

nigra, demum nitida, basi in sectione utrinque acute angulosa; perithecium nigrum, dimidiatum, basi subplana deficiens aut tenuissimum et pallidius; paraphyses connexæ; sporæ in ascis biseriatim (6-) 8-næ, fuscæ, 18-23 μ longæ et 3-6 $\frac{1}{2}$ μ latæ, obtuse fusiformes, e 4-5-loculari demum 6-loculares. — Numero loculorum sporarum insignita est, quo caractere species *Pyrenulam sexlocularem* (Nyl.) Müll. Arg. in memoriam revocat, sed loculi sunt *Microtheliæ* nec *Pyrenulæ*. Species hucusque notæ *Microtheliæ* omnes offerunt sporas 2-loculares. — Hæc a *Verrucaria Cascarilla* Fée, vera, sc. *Pseudopyrenula diluta* Müll. Arg., extus hand distingui potest nisi quodammodo insufficienter, sc. lineæ hypothallinæ marginantis defectu. — In cortice *Crotonis Cascarilla*. — Hujus spermogonia, perithecio dimidiato, demum refert *Verrucaria epidermidis* v. *albissima* Fée Ess. p. 84 (non Achar.) et Suppl. p. 86, in cortice *Crotonis Cascarilla*.

VERRUCARIÆ et AULAXINÆ species FÉEANÆ e PYRENOCARPEIS exclusæ aut suppressendæ.

Verrucaria Acharii Fée Ess. p. 85, est *Pertusaria Acharii* Nyl. Enumér. gén. p. 117; Müll. Arg. L. B. n. 781 et Revis. Lich. Féean. p. 3, n. 3.

Verrucaria caduca Fée Ess. p. 86, Suppl. p. 87, est eximie juvenilis Lichen gymnocarpicus, lamina haud evoluta, sporis carens et pr. p. spermogonifera. E speciminibus orig. (quorum alterum ad *Trypethelium catervarium* Tuck. pertinet, at cura posteriore auctoris additum fuit) enucleari hand potest.

Verrucaria cincta Fée Suppl. p. 87, est planta spermogonifera *Enterographa quassiacole* Fée Ess. p. 17, nunc ad *Chiodecton* relatæ. — Vid. Müll. Arg., Graphid. Féean. p. 70 sub n. 15.

Verrucaria punctiformis Ach. ex auctoritate Rœm. et Schult. in operibus Féeanis, Ess. p. 89 et Suppl. p. 87 recepta, in cortice *Exostemmatidis floribunda* Sw. indicata, videtur male determinata et dein omnino negligenda, vera enim *Verr. punctiformis* Ach., planta hemisphærii septentrionalis, quantum scio, hucusque in corticibus tropicis nunquam lecta fuit et ipse Fée talem non legit et in herbario non habuit.

Verrucaria theioplaca Fée Ess. p. 86, ex ipso Fée, Suppl. p. 88, est status junior *Lecanoræ endochromatis* Fée Ess. p. 114, s. *Patellariæ endochromatis* Müll. Arg. L. B. n. 335 et Revis. Lich. Féean. p. 8, n. 31.

Aulaxina Fée Ess. p. LX, cujus species unica edita : *A. OPEGRAPHINA* Fée Ess. p. c, t. 2, f. 6, et Suppl. p. 147, t. 43. Add. fig. 18 bis, evidenter *Graphideis* adscribenda est, at in meis *Graphideis* Féeanis prætervisa fuit. — In specim. Féeano, quod coram habeo, nihil boni restat et rem dubiam analytice investigare haud possum, attamen planta vix non *Melaspilæ* aut *Opegraphæ* species distincta est.

INDEX SPECIERUM

	Pages		Pages
Anthracotheceium Canellæ albæ	37	Chrooica inconspicua Trev. = <i>Melano-</i>	
<i>Cascarillæ</i>	36	<i>thea inconspicua</i>	19
<i>libricolum</i>	36	Conotrema volvarioides	36
<i>sinapispermum</i>	37	Craspedon concretum F. = <i>Strigula ele-</i>	
<i>subcutaneum</i>	37	<i>gans v. intermedia</i>	5
Arthonia ? granulosa F. = <i>Trypethelium</i>		Heufleridium pentagastricum = <i>Par-</i>	
<i>mastoideum</i>	12	<i>mentaria astroidea</i>	7
Arthopyrenia Cinchonæ	26	Meissneria varia F. = <i>Bathelium varium</i> . 17	
<i>Féeana</i>	28	Melanophthalmum Antillarum F. =	
<i>planorbis</i>	27	<i>Strigula Antillarum</i>	5
<i>pyrenuloides</i>	27	Melanotheca Achariana F.	18
<i>quassiæcola</i>	26	<i>aggregata</i>	18
Astrothelium clandestinum Nyl. = <i>Py-</i>		<i>arcte-cincta</i>	19
<i>renastrum clandestinum</i>	8	<i>arthonioides</i>	19
<i>hypoxyton</i> Nyl. = <i>A. variolosum</i>	6	Esenbeckiana F. = <i>Tomasellia Esen-</i>	
<i>sulphureum</i>	7	<i>beckiana</i>	20
<i>sulphureum</i> Nyl. = <i>A. variolosum</i>	6	<i>fusca</i> vid. <i>M. aggregatam</i>	18
<i>umbilicatum</i> F. = <i>Trypethelium ube-</i>		<i>inconspicua</i>	19
<i>rinum</i>	10	Microthelia dominans	38
<i>variolosum</i>	6	<i>sexlocularis</i>	38
Aulaxina opegraphina F. = <i>Graphidea</i>		<i>thelena</i>	38
<i>vid.</i>	40	Nematora argentea F. = <i>Strigula com-</i>	
Bathelium Exostemmatis	17	<i>planata v. ciliata</i>	5
<i>madreporiforme</i> Trev.	16	<i>viridissima</i> F. = <i>Strigula elegans v.</i>	
<i>mastoideum</i> Ach. = <i>Trypethelium</i>		<i>viridissima</i>	5
<i>mastoideum</i>	12	Parmentaria astroidea F.	7
<i>varium</i>	17	<i>Cinchonarum</i> F.	7
Bottaria cruentata	17	Phyllocharis complanata F. = <i>Strigula</i>	
<i>endoleuca</i>	17	<i>complanata v. genuina</i>	4

	Pages		Pages
Phyllocharis elegans F. = <i>Strigula elegans</i> v. <i>genuina</i>	5	Pseudopyrenula annularis Müll. Arg. = <i>Trypethelium annulare</i>	15
Plagiotrema lageniferum Müll. Arg. vid. <i>Pyrenastrum lageniferum</i>	9	ceratina	29
Porina Acharii F. = <i>Pertusaria Acharii</i>	25	diluta	28
<i>americana</i> F.	20	Pupula	29
<i>americana</i> F. pr. p. vid. <i>Porina</i> spec. 1, 3, 5, 6	20	Pyrenastrum clandestinum	8
Bonplandiæ	25	<i>irregulare</i>	8
Cascarillæ	25	<i>lageniferum</i>	9
chiodectonoides F. = <i>Pertusaria chiodectonoides</i>	26	<i>oleaginum</i>	8
compuncta Ach. = <i>Enterostigma compunctum</i>	26	Pyrenodium clandestinum F. = <i>Pyrenastrum clandestinum</i>	8
depressa F. = <i>Pertusaria depressa</i>	26	<i>crassum</i> F. = <i>Trypethelium crassum</i>	14
desquamescens F.	23	<i>hypoxylon</i> F. = <i>Astrothelium variolosum</i>	6
epiphylla F.	23	<i>lageniferum</i> F. = <i>Pyrenastrum lageniferum</i>	9
granulata Ach. = <i>Pertusaria granulata</i>	26	<i>macrocarpum</i> F. = <i>Astrothelium variolosum</i>	6
insulata	24	Pyrenula adacta F.	34
macrocarpa F. = <i>Astrothelium variolosum</i>	26	<i>aggregata</i> F. = <i>Melanthea aggregata</i>	18
marginata F.	21	<i>analepta</i> F.	34
mastoidea F. = <i>P. nucula</i>	22	<i>annularis</i> F. = <i>Trypethelium annulare</i>	15
mastoidea	22	<i>arcte-cincta</i> F. = <i>Melanthea arcte-cincta</i>	19
<i>mastoidea</i> v. <i>griseo-virens</i> F. = <i>P. Tetracera</i>	23	<i>aspistea</i> Ach. pr. p. = <i>P. Bonplandiæ</i>	31
<i>melanostoma</i> F. = <i>P. Tetracera</i>	23	<i>aspistea</i> F. = <i>Anthracotheceum libricolum</i>	36
<i>nana</i> F.	24	<i>aurantiaca</i> F. = <i>P. cerina</i>	33
<i>nucula</i> Ach.	22	Bonplandiæ F.	31
<i>peliosstoma</i> Ach. = <i>Pertusaria peliosstoma</i>	26	brunnea F. = <i>P. quassiæcola</i>	30
Quassiæ F. = <i>Pertusaria Quassiæ</i>	26	Canellæ albæ F. = <i>Anthracotheceum Canellæ albæ</i>	37
Sclerotium F. = <i>Pertusaria Sclerotium</i>	26	cartilaginea F. = <i>Pseudopyrenula Pupula</i>	29
<i>subcutanea</i> Ach.	21	ceratina F. = <i>Pseudopyrenula ceratina</i>	29
<i>superior</i> Müll. Arg. = <i>P. americana</i>	26	<i>cerina</i>	33
<i>uberina</i> F. = <i>Trypethelium uberinum</i>	10	Cinchonæ F. = <i>P. mamillana</i>	30
<i>variegata</i> F.	23	clandestina F. Ess. = <i>Ocellularia clandestina</i>	35
<i>verrucosa</i> F. = <i>Pertusaria granulata</i>	26		
<i>viridi-olivacea</i> F. = <i>P. mastoidea</i>	22		
Porophora gilva Zenk. = <i>Porina nucula</i>	22		

	Pages
Pyrenula clandestina F. Suppl. = <i>Ocellularia demersa</i>	35
copalchiana F. = <i>P. adacta</i>	34
discolor F. = <i>Pseudopyrenula Pupula</i>	29
dispersa Müll. Arg. = <i>P. Bonplandiae</i>	34
endoleuca F. = <i>Bottaria endoleuca</i>	18
epapillata F. = <i>Astrothelium variolosum</i>	7
fimbriata F. = <i>Sphæria fimbriata</i> Fée inter Fungos; conf. ad Fée Suppl.	15
glauca	31
Glaziovii	32
Guayaci	32
irregularis F. = <i>Pyrenastrum irregulare</i>	8
Kunthii F.	30
leucostoma F. = <i>Arthopyrenia planorbis</i>	27
libricola F. = <i>Anthracothecium libricolum</i>	36
mamillana Trev.	30
marginata Trev.	31
marcida F. = <i>Trypethelium marcidum</i>	11
mastoidea Ach. = <i>Porina mastoidea</i>	22
minor F.	29
mollis F. = <i>Pyrenula porinoides</i>	32
myriocarpa F. = <i>Trypethelium catervarium</i>	11
nitens F.	34
nitida F. = <i>P. mamillana</i>	30
<i>P. nitens</i>	34
<i>P. adacta</i>	34
<i>Anthracothecium Cascarillæ</i>	36
oleagina F. = <i>Pyrenastrum oleaginum</i>	8
pinguis Chev. vid. <i>Pyrenulam pinguem</i>	33
pinguis F.	33
porinoides Ach.	32
pulchella Müll. Arg. = <i>P. adacta</i>	35
punctella Müll. Arg. = <i>P. pinguis</i>	33

	Pages
Pyrenula Pupula Ach. = <i>Pseudopyrenula Pupula</i>	29
quassiæcola F. = <i>P. Glaziovii</i>	32
quassiæcola	30
subcutanea F. = <i>Bathelium Exostematis</i>	17
<i>Anthracothecium subcutaneum</i>	37
subfarinosa Trev. = <i>Phaeotrema subfarinosum</i>	35
Tetraceræ Ach. = <i>Porina Tetraceræ</i>	23
thelena Trev. = <i>Microthelia thelena</i>	38
uberina F. = <i>Trypethelium uberinum</i>	10
umbrata F. = <i>Leptotrema umbratum</i> inter <i>Graphideas</i> Féeanas	12
verrucarioides F. = <i>Arthopyrenia pyrenuloides</i>	27
viridescens F. = <i>P. porinoides</i>	32
volvarioides F. = <i>Conotrema volvarioides</i>	35
Racoplaca subtilissima F. = <i>Strigula subtilissima</i>	6
Sagedia planorbis Mass. = <i>Arthopyrenia planorbis</i>	27
<i>tropica</i> Mass. = <i>Trypethelium tropicum</i>	10
Stigmatidium elegans Spreng. = <i>Strigula elegans</i> v. <i>genuina</i>	5
Strigula Antillarum	5
<i>ciliata</i> Montgn. = <i>St. complanata</i> v. <i>ciliata</i>	4
<i>complanata</i> Montgn.	4
<i>elegans</i>	5
<i>melanophthalma</i> Montgn. = <i>St. Antillarum</i>	6
<i>subtilissima</i>	6
Tomasellia brasiliensis Müll. Arg. = <i>T. Esenbeckiana</i>	20
<i>Esenbeckiana</i>	20
Trypethelium Anacardii F. = <i>Tr. Eluteriæ</i> v. <i>expallidum</i>	16
<i>annulare</i>	15
<i>annulare</i> Montgn. = <i>Tr. crassum</i>	14

	Pages		Pages
Trypethelium carolinianum Tuck. =		Trypethelium Perrottetii F. = Tr.	
Tr. mastoideum.....	12	Eluteriæ.....	15
Cascarillæ	14	Phlyctæna F. = Tr. pulcherrimum. 13	
catervarium Tuck.....	10	porosum Ach. = Tr. papillosum... 13	
chiodectonoides F. = Pertusaria		porosum F. = Tr. pulcherrimum... 12	
chiodectonoides.....	16	pulcherrimum F.....	12
clandestinum F. = Pyrenastrum		quassiæcolum F.....	12
clandestinum.....	8	Sclerotium F. = Pertusaria Sclero-	
crassum F.....	14	tium.....	16
deforme F. = Bathelium varium... 17		Scoria F.....	13
dubium F. = Melanotheca artho-		Scoria Nyl. = Tr. mastoideum... 12	
nioides.....	19	sordidescens F. = Enterostigma com-	
duplex F. = Tr. Cascarillæ..... 14		punctum.....	16
Eluteriæ Spreng.....	15	Sprengelii F. = Tr. Eluteriæ..... 15	
erubescens F. = Tr. ochroleucum v.		tetrathalamium F. = Pertusaria	
erubescens.....	13	tetrathalamia.....	16
erumpens F.....	14	tropicum	10
Féei Meissn. ap. Fée. = Tr. mastoi-		uberinum Nyl.....	9
deum.....	12	variolosum Ach. = Astrobilium va-	
fuscum Krphl. = Melanotheca fusca,		riolosum.....	6
vid. n° 1.....	18	varium Nyl. = Bathelium varium... 17	
inæquale F. = Tr. catervarium... 11		verrucarioides F. = Chiodecton ver-	
Tr. Eluteriæ.....	15	rucarioides.....	16
inconspicuum F. = Melanotheca in-		verrucosum F. = Pertusaria gra-	
conspicua.....	19	nulata.....	16
Kunzei F.....	10	Verrucaria Acharii F. = Pertusaria	
lageniferum Ach. vid. Pyrenastrum		Acharii.....	39
lageniferum.....	9	ænea Eschw. = Trypethelium Kunzei. 10	
Leprieurianum Montgn. = Tr. pa-		aggregata F. = Melanotheca aggregata 18	
pillosum.....	13	analepta v. americana F. = Pyrenula	
madreporiforme Eschw. = Bathel-		analepta.....	34
ium madreporiforme.....	16	arthonioides Eschw. = Melanotheca	
marcidum	11	arthonioides.....	19
marginatum F. = Bathelium madre-		aspistea v. astroidea Nyl. = Parmen-	
poriforme.....	16	taria astroidea.....	17
mastoideum Ach.....	12	astroidea Nyl. = Parmentaria as-	
nigritulum Nyl. = Melanotheca ar-		troidea.....	17
thonioides.....	19	aurantiaca Nyl. = Pyrenula cerina. 33	
nudum F. = Melanotheca aggregata. 18		caduca F. vid.	39
ochroleucum Nyl.....	13	Canellæ albæ Nyl. = Anthracothe-	
pallescens F. = Tr. ochroleucum v.		cium Canellæ albæ.....	37
pallescens.....	13	Cascarillæ F. = Porina Cascarillæ.. 25	
papillosum Ach.....	13	Arthopyrenia Cinchonæ.....	26

	Pages		Pages
Verrucaria Cascarillæ F. = Arthopyrenia Féeana	28	Verrucaria macrozoma F. = Trypethelium catervarium	11
<i>Microthelia dominans</i>	38	mamillana Ach. = <i>Pyrenula mamillana</i>	30
<i>Microthelia sexocularis</i>	38	mastoidea Nyl. = <i>Porina mastoidea</i>	22
<i>Pseudopyrenula diluta</i>	28	myriococca Zenk. = <i>Trypethelium Kunzei</i>	40
<i>Pyrenula Guayaci</i>	33	nana Nyl. = <i>Porina nana</i>	24
catervaria F. = <i>Trypethelium catervarium</i>	10	nitens F. = <i>Pyrenula nitens</i>	34
cerina Eschw. = <i>Pyrenula cerina</i>	33	nucula Nyl. = <i>Porina nucula</i>	22
Cinchonæ Ach. = <i>Arthopyrenia Cinchonæ</i>	26	planorbis Ach. = <i>Arthopyrenia planorbis</i>	27
Cinchonæ F. = <i>Pyrenula mamillana</i>	30	præstans Nyl. = <i>Porina epiphylla</i>	24
Cinchonæ f. <i>minor</i> Nyl. = <i>Arthopyrenia pyrenuloides</i>	27	punctella Nyl. = <i>Pyrenula pinguis</i>	33
cincta F. = <i>Enterographa quassiæcola</i>	39	punctiformis F. conf. ad.	39
decolorata F. = <i>Trypethelium catervarium</i>	11	pyrenuloides F. = <i>Arthopyrenia pyrenuloides</i>	27
desquamescens Nyl. = <i>Porina desquamescens</i>	23	quassiæcola F. = <i>Pyrenula quassiæcola</i>	30
diluta F. = <i>Pseudopyrenula diluta</i>	28	salebrosa F. = <i>Trypethelium catervarium</i>	11
dissipans Nyl. = <i>Porina variegata</i>	23	santensis Tuck. = <i>Pyrenula mamillana</i>	30
epapillata Nyl., vid. <i>Astrothelium variolosum</i>	7	serialis F. = <i>Trypethelium catervarium</i>	11
epidermidis v. <i>albissima</i> F. = <i>Microthelia sexocularis spermogonifera</i>	39	sinapisperma F. = <i>Anthracothecium sinapispermum</i>	37
epidermidis v. <i>quassiæcola</i> F. = <i>Arthopyrenia quassiæcola</i>	26	stigmatella v. <i>lactea</i> F. = <i>Porina Bonplandiae</i>	25
epiphylla Nyl. = <i>Porina epiphylla</i>	24	Tamarindi F. = <i>Porina Tamarindi</i>	24
Gaudichaudii F. = <i>Trypethelium tropicum</i>	10	Tetraceræ Ach. = <i>Porina Tetraceræ</i>	23
glauca F. = <i>Pyrenula glauca</i>	31	Tetraceræ ? v. <i>crocea</i> Eschw. = <i>Trypethelium Kunzei</i>	10
Guayaci F. = <i>Pyrenula Guayaci</i>	32	theioplaca F. = <i>Lecanora endochroma jun.</i>	39
heterochroa Montgn. = <i>Trypethelium Kunzei</i>	10	thelena Ach. = <i>Microthelia thelena</i>	38
insulata F. = <i>Porina insulata</i>	24	tropica Ach. = <i>Trypethelium tropicum</i>	40
Kunthii F. = <i>Pyrenula Kunthii</i>	30		

MÉMOIRES
DE LA
SOCIÉTÉ DE PHYSIQUE ET D'HISTOIRE NATURELLE DE GENÈVE
TOME XXX. — N° 4.

SUR LA
COMPOSITION DES SENSATIONS

ET LA
FORMATION DE LA NOTION D'ESPACE

PAR
L. DE LA RIVE



GENÈVE
IMPRIMERIE CHARLES SCHUCHARDT
1888

SUR LA

COMPOSITION DES SENSATIONS

ET LA

FORMATION DE LA NOTION D'ESPACE

§ 1. **Notions générales sur la formation de la notion d'espace.**

N° 1. Rappelons quelle est l'origine de la notion d'espace dans notre organisation psychologique. Nos perceptions sensuelles ont pour conséquence de déterminer en nous la croyance en une cause de ces sensations. Quel que soit celui de nos cinq sens auquel appartient une perception de sensation, cette perception souvent répétée implique l'existence d'une cause qui se définit par cette perception elle-même. L'observation, l'expérimentation, plus ou moins conscientes, nous font acquérir un ensemble de convictions, conséquences de nos perceptions, qui constituent le monde sensible. On peut dire qu'à chacun de nos sens correspond une forme de notre conviction de l'existence des entités perceptibles. La faculté que nous possédons de provoquer la reproduction imaginative d'une sensation détermine une représentation imaginative et permanente des causes extérieures, et cette représentation se nomme localisation ou espace.

Une notion d'espace pourrait résulter de l'exercice de chacun des sens, et un homme qui ne jouirait que de l'ouïe ou de l'odorat n'en acquerrait pas moins une certaine conception du monde sensible. Toutefois, les sensations tactile et visuelle ont une importance dominante dans l'opération psychologique dont il s'agit, parce que l'exercice de ces deux sens est accompagné de mouvements volontaires d'une espèce précise. Notre part d'activité est plus considérable et mieux déterminée, dans la relation qui s'établit entre nous et le monde extérieur par l'intermédiaire de ces deux sens, qu'elle ne l'est dans les communications plus vagues dues aux trois autres.

Ainsi, la notion d'espace résulte à la fois de la perception des sensations et de la conscience de notre propre activité. Nous classons les causes de nos sensations dans le seul champ de variation qui soit à notre disposition pour obtenir une connaissance qui soit indépendante de perturbations inconnues, à savoir le champ de variation de notre activité volontaire. Plus notre part d'activité est susceptible de variation délicate et précise, plus aussi la notion d'espace devient complète. Celle-ci est donc le résultat d'une association d'activité et de réceptivité concomitantes. L'espace visuel nous semble posséder le privilège de représenter l'étendue, parce que le sens de la vue est celui auquel nous avons recours presque exclusivement pour notre vie de relation, et celui par conséquent qui prévaut dans notre imagination.

N° 2. La notion d'espace qui s'impose à nous est caractérisée par les trois dimensions qu'elle implique. Nous sommes incapables de concevoir un espace ayant plus de trois dimensions. Les espaces à une ou deux dimensions ne sont que des éléments constitutifs de l'espace réel. On sait que l'expression d'espace à n dimensions n'a d'autre valeur que celle d'une définition mathématique. Si l'on se borne à admettre l'irréductibilité de la notion d'espace, on ne cherche, dans sa formation, que la manière dont notre conscience se met en rapport avec le mode d'existence des causes de nos sensations, mode d'existence qui implique toutes les qualités de la notion. Mais on peut aussi envisager les caractères essen-

tiels de la notion comme n'étant pas objectifs et comme résultant du mode d'exercice de nos facultés conscientes. On est conduit à cette hypothèse, en observant que la sensation visuelle ou colorée possède des propriétés, qui la font dépendre de trois éléments, dans toutes ses manifestations diverses. En termes de mathématique, la sensation colorée est une fonction de trois variables. En outre, ces trois variables ne sont pas objectives mais résultent de l'organisation physiologique et psychologique par l'intermédiaire de laquelle les ondulations de l'éther se transforment en une sensation. C'est du moins le cas si l'on admet, comme nous le faisons, que la composition des sensations colorées n'est pas une composition des vibrations de l'éther du rayon lumineux, mais constitué un phénomène de synthèse, qui dépend de la constitution de la substance nerveuse où il a lieu. Il est permis de supposer qu'une autre sensation possède les mêmes propriétés, et, cette sensation étant celle qui nous donne conscience de nos propres mouvements, le mouvement est une fonction de trois variables, ce qui revient à dire que l'espace a trois dimensions. On fait ainsi rentrer le phénomène de la formation de la notion d'espace dans le phénomène général de la formation du champ de variation de la sensation, et on assimile les trois dimensions aux trois variables de la sensation colorée. Cette tentative d'explication du caractère essentiel de la notion d'espace fondée sur l'analogie entre deux modes de la sensation semble mériter d'être prise en considération; en effet il serait rationnel d'admettre que le caractère particulier de l'espace est subjectif, et que la réaction des causes conscientes les unes sur les autres reste affranchie, dans son principe, de la restriction numérique.

Comme nous venons de le dire, on peut admettre pour la sensation qui nous donne conscience de nos mouvements volontaires qu'elle possède les propriétés de la sensation colorée, mais nous avons essayé d'aller plus loin, et d'établir la loi de la composition des sensations en partant d'un petit nombre de principes supposés admis et en particulier de celui de la synthèse triple. Il convient néanmoins de présenter les phénomènes expérimentaux de la couleur et leur théorie en premier lieu, parce qu'ils sont le point de départ de cette étude.

§ 2. **Sensation colorée.**

N^o 3. La perception de la *sensation colorée* résulte de l'excitation d'une partie quelconque de la rétine; sensation colorée est synonyme de sensation visuelle, sauf que l'emploi de la première expression implique que l'on prend en considération la sensation elle-même et ses qualités à l'exclusion de toute notion objective. Le terme de *couleur* peut remplacer celui de sensation colorée sans aucune différence de signification. Comme une portion quelconque de la rétine est susceptible de prendre tous les états d'excitation qui correspondent à toutes les couleurs possibles, dans l'étude de la sensation colorée, on peut supposer que la rétine est réduite à un seul point d'excitation. La couleur est une quantité variable, car la perception des couleurs nous permet, comme cela a lieu pour chacun des sens de comparer entre elles toutes les sensations colorées. En outre c'est un fait expérimental que l'on peut relier deux couleurs données l'une à l'autre par une série de couleurs intermédiaires différant deux à deux aussi peu que l'on veut. Il en résulte que la couleur est une quantité à variation continue.

Le champ de variation de la couleur est déterminé par les limites entre lesquelles la lumière homogène produit l'excitation de la rétine. Les couleurs simples, ainsi nommées parce que nous savons que la lumière qui les provoque est une lumière à une seule longueur d'onde, constituent une série continue, qui va du rouge au violet spectral, et présente une infinité de couleurs, dites *saturées*, qui se groupent sous les sept dénominations connues. Les couleurs composées sont le résultat de l'action simultanée de deux ou plusieurs lumières homogènes, et constituent de nouvelles séries de sensations colorées; elles introduisent le blanc et le pourpre dans la variation de la couleur et relie toute cou-

leur simple ainsi que le pourpre au blanc, par toutes les nuances intermédiaires.

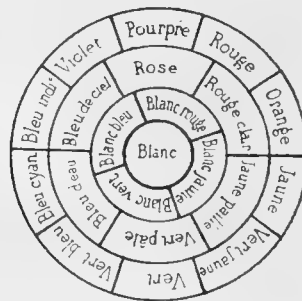
La composition des couleurs est une donnée expérimentale qui se formule de la manière suivante : on considère un nombre quelconque de couleurs que l'on désigne par *couleurs composantes*, et on suppose que les lumières qui les produiraient isolément agissent simultanément sur un même point de la rétine ; cette simultanéité détermine la production d'une couleur unique que l'on désigne par *couleur résultante*. Cette sensation est la synthèse des sensations simultanées que nous cessons de percevoir isolément. La composition des couleurs, en permettant de substituer à une couleur un certain nombre de couleurs simultanées, établit des relations entre les diverses couleurs et ces relations, comme on va le voir, concourent avec la variation d'intensité, à faire dépendre la sensation colorée de trois éléments variables.

Nous pouvons comparer deux sensations colorées relativement à leur intensité et à leur couleur. Une couleur comprend donc en premier lieu deux éléments qui par leur variation la différencient d'une autre couleur, la couleur proprement dite que nous désignons par l'expression de *couleur spécifique* et l'*intensité*. L'intensité peut varier et la couleur spécifique rester constante : si l'on rapproche plus ou moins d'une fenêtre une surface recouverte de colorations diverses, les couleurs spécifiques restent les mêmes et les intensités varient. Nous sommes incapables de percevoir directement un rapport entre les intensités des couleurs spécifiques différentes. La couleur spécifique dépend elle-même de deux variables que nous reconnaissons par l'exercice naturel de la perception colorée. La couleur spécifique des couleurs saturées est une de ces variables ; nous distinguons chaque couleur spectrale de celle qui la précède et de celle qui la suit et on désigne par *ton* d'une couleur saturée sa place dans la série ; un ton correspond à une longueur d'onde. La seconde variable est le *degré de saturation* de la couleur spécifique ; en effet, toute couleur se rattache à une couleur saturée et nous la reconnaissons comme une atténuation de cette couleur par le fait de son mélange avec une plus ou moins grande

quantité de blanc. Ces deux éléments déterminent la couleur spécifique et la donnée expérimentale dont cette détermination est la conséquence s'énonce ainsi : toute couleur spécifique peut-être obtenue par la composition d'une couleur saturée et du blanc en donnant aux intensités de ces deux couleurs un rapport convenable. Les trois variables dont la couleur dépend sont ainsi : 1° Le ton de la couleur saturée. 2° Le degré de saturation. 3° L'intensité. Ce sont celles dont l'existence et la définition sont le résultat immédiat de l'observation et on est conduit, comme on le verra, par la théorie de la composition, à rapporter la couleur à trois autres variables qui sont les trois couleurs fondamentales de la théorie d'Young.

N° 4. La couleur spécifique, dépendant de deux variables, peut-être représentée par la position du point dans le plan, qui dépend des deux coordonnées. La désignation de couleur saturée comprend, outre les couleurs spectrales, la série des couleurs appartenant au pourpre qui relie le rouge au violet et sont le résultat de la composition de ces deux couleurs dans tous les rapports d'intensité possibles. Par leur adjonction, la

Fig. 1



série des couleurs saturées est continue avec elle-même, c'est-à-dire, qu'en partant de l'une quelconque d'entre elles, on y revient après avoir passé

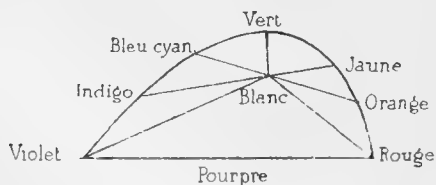
par toute la série. Il en résulte que, dans la représentation géométrique des couleurs spécifiques, la série des couleurs saturées doit être une courbe fermée. *La table circulaire des couleurs de Newton* est une représentation géométrique des couleurs spécifiques dans laquelle la courbe des couleurs saturées est une circonférence dont le blanc occupe le centre (fig. 1). Sur chaque rayon se trouvent, à partir du centre, toutes les nuances d'un même ton depuis le blanc jusqu'à la couleur saturée. De cette façon on obtient une table des couleurs qui représente rangées suivant leurs transitions successives toutes les couleurs spécifiques possibles. Il est utile de se représenter cette table des couleurs quand on veut rapporter la couleur spécifique à ses deux variables naturelles le ton et la saturation.

La représentation de la couleur ne sert pas seulement à exprimer par une surface le champ de variation de la couleur; on exige d'une table géométrique des couleurs qu'elle donne la solution de toutes les compositions possibles en faisant intervenir la règle de composition des centres de gravité, condition à laquelle la table de Newton ne satisfait qu'imparfaitement. Pour procéder à la construction d'une table géométrique des couleurs, on choisit arbitrairement trois couleurs spécifiques telles qu'aucune d'elles ne puisse résulter de la composition de deux couleurs appartenant aux deux autres et on les représente par trois points non en ligne droite. Toute couleur résultant de la composition des trois couleurs choisies est représentée par le centre de gravité des trois sommets du triangle auxquels sont appliqués des poids proportionnels aux intensités respectives des trois couleurs et se trouve placée, par conséquent, dans l'intérieur du triangle. Toute couleur qui ne résulte pas des trois couleurs choisies est placée en dehors du triangle, en un point qui est déterminé en composant cette couleur avec une couleur de l'intérieur du triangle, de manière à obtenir pour résultante une couleur appartenant également à l'intérieur du triangle. Toute composition de couleurs obtenue dans la table ainsi construite, en appliquant la règle des centres de gravité, se vérifie expérimentalement; la couleur résultante

tante est toujours celle que donne le centre de gravité des points qui représentent les couleurs composantes, auxquels sont appliqués des poids proportionnels aux intensités des couleurs. On verra dans la théorie mathématique de la composition des couleurs pourquoi la construction de la table des couleurs est nécessairement possible en admettant certains principes.

On ne peut pas prévoir quelle sera la forme de la courbe sur laquelle viendront se placer les couleurs saturées; elle pourra être très différente ¹ suivant le choix des trois couleurs avec lesquelles on commence la table et suivant leurs unités d'intensité que l'on choisit arbitrairement. On dispose de quatre grandeurs arbitraires, qui sont les unités d'intensité de deux des couleurs choisies et les deux coordonnées de l'un des trois sommets du triangle, pour satisfaire aux conditions que l'on veut s'imposer. Si l'on veut considérer comme égales des intensités de lumière colorée qui paraissent équivalentes à l'œil, la courbe des couleurs saturées est analogue à celle représentée par la figure 2. Les cou-

Fig. 2.



leurs saturées, rouge et violette, doivent être plus éloignées du blanc que leurs complémentaires, parce que d'après le jugement de l'œil, l'intensité du violet est bien moindre que celle du vert jaune dans le mélange de ces deux couleurs qui donne le blanc; le blanc devant se trouver au

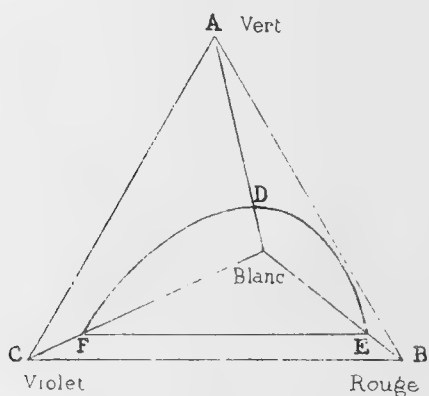
¹ *Optique physiologique*, par H. Helmholtz, traduite par Javal et Klein. Paris, 1867, p. 377.

centre de gravité de ces deux couleurs, la petite intensité du violet doit agir, d'après la règle des centres de gravité, sur un bras de levier plus grand que la grande intensité du vert jaune. Du reste, comme dans toute table des couleurs, la série des couleurs spectrales se trouve sur la courbe périphérique, le pourpre sur la corde qui joint le violet au rouge, et les couleurs complémentaires aux extrémités opposées de cordes qui passent par la position du blanc.

La table des couleurs est l'expression des propriétés de la couleur. Les couleurs spécifiques comprises dans l'intérieur d'un triangle quelconque dépendent des intensités des trois couleurs qui se trouvent aux sommets du triangle; ce sont trois variables que l'on peut substituer aux trois variables définies plus haut. *Les trois couleurs fondamentales* sont trois couleurs spécifiques hypothétiques telles que toute couleur résulte de leur composition et dépend par conséquent de leurs intensités. D'après cette définition elles doivent, dans la table des couleurs, se trouver aux sommets d'un triangle qui comprend toutes les couleurs possibles; d'autre part la construction de la table ne donne pas un triangle pour la courbe des couleurs saturées; le triangle des couleurs fondamentales comprend donc, outre la surface des couleurs réalisables par l'action de la lumière comprises dans la courbe des couleurs saturées, un espace correspondant à des sensations colorées que la lumière ne peut pas produire. Dans la figure 3, on place en A, B, C, les couleurs fondamentales auxquelles on est conduit par diverses considérations et qui appartiennent aux tons du vert, du rouge et du violet. La courbe D, E, F, est la courbe des couleurs saturées de la figure 2; on ne fait pas coïncider les points E et F avec les sommets B et C du triangle, parce que l'observation des images accidentelles montre que nous pouvons percevoir des sensations colorées plus saturées que les couleurs spectrales, observation qui confirme la théorie des trois couleurs fondamentales, puisque l'espace compris entre les côtés du triangle A B C et la courbe représente des couleurs spécifiques plus saturées que les couleurs spectrales.

N° 5. Voici maintenant comment, d'après Young, l'excitation de la fibre rétinienne par les lumières homogènes de différentes longueurs d'onde donne lieu à la perception des couleurs. Il existe dans l'œil trois sortes de fibres nerveuses dont l'excitation provoque respectivement les trois sensations colorées fondamentales. La lumière homogène agit sur les trois espèces de fibres avec des intensités relatives qui varient suivant la longueur d'onde. Celle de plus grande longueur d'onde excite

Fig. 3.



le plus fortement la fibre du rouge, celle de longueur d'onde moyenne la fibre du vert, et celle de plus petite longueur d'onde la fibre du violet. Une lumière homogène donne donc lieu à la perception de la couleur saturée (fig. 3) obtenue par la composition des trois couleurs, A, B, C, auxquelles sont affectées des intensités relatives dépendant de la longueur d'onde. La couleur saturée est caractérisée par le fait que la lumière objective ne peut pas donner lieu à trois composantes fondamentales, telles que l'une soit plus petite par rapport à la somme des deux autres qu'elle ne le fait quand la lumière est homogène.

Il n'est pas nécessaire d'admettre l'existence de trois fibres distinctes.

L'hypothèse d'Young peut se formuler en admettant que la fibre est susceptible de trois modifications différentes transmettant au centre nerveux trois actions distinctes et indépendantes qui sont les trois sensations colorées fondamentales. La réduction des couleurs à trois couleurs fondamentales a, comme on le voit, une signification subjective. Ces trois couleurs ne consistent pas dans un certain état vibratoire de l'éther, mais dans une certaine excitation d'une fibre nerveuse, que les vibrations de l'éther de toute lumière objective possible sont incapables de provoquer isolément.

On a aussi cherché l'explication de la composition des couleurs dans la composition mécanique de la lumière objective. Deux rayons de longueurs d'onde différentes, en se superposant, donnent lieu à des vibrations de l'éther dont on peut calculer l'amplitude et la durée. Nous signalons, à ce sujet, une difficulté qui n'a pas été prise en considération, à savoir l'impossibilité de composer des rayons provenant de sources différentes, parce que les phases sont soumises à des irrégularités qui ne s'excluent pas. Les phénomènes de diffraction impliquent une source unique. Quoiqu'il en soit, bien que la longueur d'onde de la lumière objective soit l'élément variable qui détermine les intensités relatives des actions sur les trois fibres, nous admettons ici l'hypothèse des trois sensations fondamentales de Young.

§ 3. **Théorie mathématique de la composition des couleurs.**

N° 6. *Centres de gravité.*

Soient A, B, C, les trois sommets d'un triangle auxquels sont appliqués les poids a , b , c . La composition de ces poids donne le centre de gravité G auquel est appliqué le poids $a + b + c$ que nous désignons par

i. Rapportons le plan à deux axes de coordonnées. Soient X_1, X_2, X_3, x , et Y_1, Y_2, Y_3, y , les coordonnées des points A, B, C, et G. On a :

$$(1) \left\{ \begin{array}{l} x = \frac{aX_1 + bX_2 + cX_3}{a + b + c} \\ y = \frac{aY_1 + bY_2 + cY_3}{a + b + c} \\ i = a + b + c \end{array} \right.$$

Les équations (1) constituent un système de points pesants. Les points A, B, C, sont les points fixes du système et nous appelons composantes fondamentales du point G les variables a, b, c . Tout point dans l'intérieur du triangle peut être déterminé par les équations (1) et réciproquement, tout système de trois valeurs positives pour les variables détermine un point dans l'intérieur du triangle. Les équations (1) sont la forme algébrique du théorème de la composition de deux ou plusieurs forces parallèles.

Les composantes fondamentales d'un point résultant sont les sommes respectives de celles des points composants. En effet, le centre de gravité de plusieurs points pesants peut s'obtenir en décomposant le poids de chacun d'eux en trois poids appliqués en A, B, C, et en composant les sommes respectives de ces composantes.

Corollaire. Si l'on considère deux points composants et leur point résultant, les composantes fondamentales de l'un des points composants sont les différences respectives entre celles du point résultant et celles de l'autre point composant.

N° 7. Tout point pesant G est le point résultant de trois points D, E, F, formant un triangle dans l'intérieur duquel il se trouve et auxquels sont appliqués des poids convenables.

Soient $x_1, x_2, x_3, x, y_1, y_2, y_3, y, i_1, i_2, i_3, i, a_1, a_2, a_3, b_1, b_2, b_3, c_1, c_2, c_3$, les coordonnées, les poids et les composantes fondamentales des trois points D, E, F, et de leur centre de gravité G.

On a d'après les équations (1) :

$$(2) \left\{ \begin{array}{l} x_1 = \frac{a_1 X_1 + b_1 X_2 + c_1 X_3}{a_1 + b_1 + c_1} \\ y_1 = \frac{a_1 Y_1 + b_1 Y_2 + c_1 Y_3}{a_1 + b_1 + c_1} \\ i_1 = \frac{a_1 + b_1 + c_1}{a_1 + b_1 + c_1} \\ \text{et deux autres groupes d'équations semblables} \\ \text{relatives aux points E et F.} \end{array} \right.$$

D'autre part (n° 6) le point résultant G est déterminé par les équations :

$$(3) \left\{ \begin{array}{l} x = \frac{[a_1 + a_2 + a_3]X_1 + [b_1 + b_2 + b_3]X_2 + [c_1 + c_2 + c_3]X_3}{a_1 + a_2 + a_3 + b_1 + b_2 + b_3 + c_1 + c_2 + c_3} \\ y = \frac{[a_1 + a_2 + a_3]Y_1 + [b_1 + b_2 + b_3]Y_2 + [c_1 + c_2 + c_3]Y_3}{a_1 + a_2 + a_3 + b_1 + b_2 + b_3 + c_1 + c_2 + c_3} \\ i = \frac{a_1 + a_2 + a_3 + b_1 + b_2 + b_3 + c_1 + c_2 + c_3}{a_1 + a_2 + a_3 + b_1 + b_2 + b_3 + c_1 + c_2 + c_3} \end{array} \right.$$

qui en tenant compte des équations (2) deviennent :

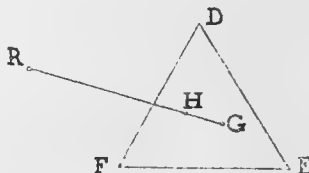
$$(4) \left\{ \begin{array}{l} x = \frac{i_1 x_1 + i_2 x_2 + i_3 x_3}{i_1 + i_2 + i_3} \\ y = \frac{i_1 y_1 + i_2 y_2 + i_3 y_3}{i_1 + i_2 + i_3} \\ i = \frac{i_1 + i_2 + i_3}{i_1 + i_2 + i_3} \end{array} \right.$$

Les équations (4) donnent x, y, i , en fonction des variables i_1, i_2, i_3 , qui sont les poids appliqués aux points D, E, F. Les valeurs des variables étant positives, le point G est forcément compris dans l'intérieur du triangle.

Réciproquement, si un point G est le point résultant de trois points D, E, F, on peut rapporter ces trois points à trois points fixes A, B, C, et les composantes fondamentales de G sont les sommes respectives de celles des trois composants. En effet, les équations (4) donnent x, y, i ; on choisit les points fixes de manière que les équations (2) soient satisfaites par des valeurs positives des a, b, c ; les équations (3) sont ainsi obtenues et le point G est rapporté aux points fixes.

Corollaire. Soit R un point pesant extérieur au triangle D E F (fig. 4).

Fig. 4.



Joignons-le par une ligne droite à un point G intérieur au triangle, et donnons à G un poids tel que le centre de gravité de R et de G tombe également dans l'intérieur du triangle, ce qui est possible en rendant ce poids suffisamment grand par rapport à celui de R. Soit H le point résultant; G et H se trouvant dans le triangle, on peut, comme on vient de le voir, après avoir obtenu leur position et leur poids en fonction des points D, E, F, les obtenir en fonction de trois points fixes A, B, C. Choissant ces points fixes de manière à ce qu'ils comprennent R, les composantes fondamentales de R sont (n° 6) les différences de celles de H et de G et sont positives.

N° 8. Nous admettons les principes suivants qui sont établis expérimentalement, comme nous le montrerons plus loin, par la construction d'une table des couleurs d'après le procédé qui a été exposé (n° 4).

1° Une couleur et ses composantes sont toujours équivalentes.

2° La couleur est une fonction de l'intensité et de la couleur spécifique.

3° Soient trois couleurs spécifiques D, E, F, telles qu'aucune d'elles ne résulte du mélange des deux autres, et considérons la couleur spécifique G obtenue en donnant trois intensités à ces trois couleurs. G reste la même quand on fait varier dans un même rapport les trois

intensités et par conséquent G est une fonction des rapports de deux des intensités à la troisième. Lorsque G reste constante, l'intensité de la couleur G est proportionnelle à celle de l'une quelconque des trois couleurs D, E, F.

4° La résultante de plusieurs couleurs ayant même couleur spécifique a pour intensité la somme des intensités des composantes.

N° 9. Si l'on choisit arbitrairement trois couleurs spécifiques satisfaisant à la condition du principe 3, qu'on les représente par trois points non en ligne droite, D, E, F, et que l'on représente la couleur spécifique de la résultante par le centre de gravité G des trois points pesants D, E, F, ayant des poids proportionnels aux intensités des trois couleurs, le triangle D E F est un fragment de représentation géométrique de la couleur spécifique.

Soient I_d, I_e, I_f , les intensités des trois couleurs. Nous déterminons le point G par les équations (4) en remplaçant les poids par des quantités proportionnelles aux intensités. Faisons :

$$\frac{I_e}{I_d} = p' \quad \frac{I_f}{I_d} = q'$$

Les deux premières des équations (4) deviennent :

$$(5) \left\{ \begin{array}{l} x = \frac{x_1 + p'x_2 + q'x_3}{1 + p' + q'} \\ y = \frac{y_1 + p'y_2 + q'y_3}{1 + p' + q'} \end{array} \right.$$

D'après le principe 3, la couleur spécifique est une fonction de p' et de q' ; elle est donc, à cause des équations (5) une fonction de x et de y . C'est ce que l'on exprime en disant que le triangle D E F est une représentation géométrique de la couleur parce que l'on est certain que la variation totale de la couleur spécifique à partir de la couleur G est représentée par la variation du point autour du point G. La variation totale du point implique que x et y soient des variables indépendantes

et elles le sont si p' et q' le sont elles-mêmes. Or c'est ce qui a lieu si aucune des couleurs n'est produite par les deux autres, car les trois intensités restent indépendantes.

N° 10. Les couleurs appartenant aux couleurs spécifiques comprises dans le triangle D E F se composent comme des points pesants.

La troisième des équations (4) se met sous la forme :

$$(5) \quad i = I_0 (1 + p' + q')$$

Nous appelons poids de la couleur la quantité i qui est une variable auxiliaire. Soit I l'intensité de la couleur. Lorsque p' et q' restent constants, I est proportionnel à I_0 , à cause du principe 3; d'autre part l'équation (5) montre que si p' et q' sont constants, I_0 est proportionnel à i ; on en conclut :

$$I = Ki$$

K étant un coefficient qui reste constant avec la couleur spécifique. Les unités d'intensité des trois couleurs D, E, F, sont laissées arbitraires, mais on convient de soumettre le choix de l'unité d'intensité de toute autre couleur à une condition telle que la valeur numérique de i soit celle de I . Il suffit de choisir cette unité d'intensité de telle manière que pour cette intensité, i soit égal à 1. On a :

$$\text{unité d'intensité} = K$$

et par conséquent en général :

$$I = \text{unité d'intensité} \times i$$

Soient deux couleurs G et H dont les intensités sont données par les valeurs numériques des poids comme on vient de le voir. Pour obtenir leur résultante, on peut, à cause du principe 1, leur substituer les trois couleurs composantes et, à cause du principe 4, composer les trois couleurs D, E, F, ayant des intensités, sommes respectives des deux inten-

sités ou des deux poids. De là résulte que la position de la couleur résultante est celle du centre de gravité des deux points G et H, affectés des poids dont la valeur numérique est celle des intensités des couleurs, et que le poids de la couleur résultante est la somme des poids des composantes.

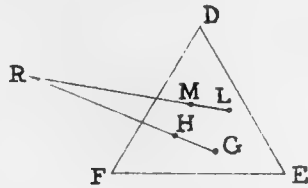
N° 11. On peut déterminer la position d'une couleur R qui ne résulte pas de la composition des couleurs choisies et compléter la représentation de la couleur.

On compose la couleur R avec une couleur G du triangle de façon à obtenir une autre couleur H du triangle. En effet, en donnant à G une intensité suffisamment grande par rapport à celle de R, on obtiendra une couleur très voisine de G et puisque la variation totale de la couleur est représentée par celle du point autour de G, la couleur peut-être maintenue dans l'intérieur du triangle. On détermine la position du point R (fig. 4) et le poids de la couleur par les équations suivantes exprimant que H est le centre de gravité de R et G.

$$\begin{aligned} xi &= x_h i_h - x_g i_g \\ yi &= y_h i_h - y_g i_g \\ i &= i_h - i_g \end{aligned}$$

Remarquons que ce mode de détermination donne pour x, y et i une valeur constante, quelque soit G. Supposons qu'on ait choisi une autre couleur L (fig. 5) donnant lieu à la résultante M. Il faut que la compo-

Fig. 5.



sition de **H** et de **L** donne le même résultat que celle de **M** et de **G**, car dans les deux cas, on compose **G**, **L**, et **R**. Or ces deux compositions sont comprises dans le triangle et l'on a par conséquent (n° 10) :

$$\begin{aligned}x_m i_m + x_g i_g &= x_h i_h + x_l i_l \\y_m i_m + y_g i_g &= y_h i_h + y_l i_l \\i_m + i_g &= i_h + i_l\end{aligned}$$

D'où résulte, en tenant compte des premières équations :

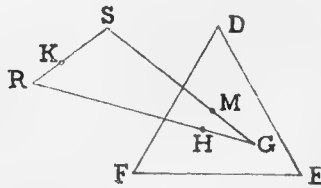
$$\begin{aligned}xi &= x_m i_m - x_l i_l \\yi &= y_m i_m - y_l i_l \\i &= i_m - i_l\end{aligned}$$

Toute couleur spécifique **R**, quelle que soit l'intensité, donne donc un point dont les coordonnées, x et y sont constantes; la couleur spécifique **R** est donc une fonction de x et de y et la représentation géométrique de la couleur est complétée.

N° 12. La résultante de deux couleurs ayant des couleurs spécifiques extérieures au triangle **DEF** s'obtient par la composition des points pesants correspondants.

On vient de voir comment les coordonnées et le poids d'une couleur

Fig. 6.



appartenant à la couleur spécifique **R** sont déterminés. Soit **I** l'intensité de la couleur; d'après le principe 3, lorsque les couleurs spécifiques

restent constantes, elle varie proportionnellement à I_G et à I_H et par conséquent à leur différence. D'autre part I_G et I_H sont respectivement égales à i_g et i_h ; donc I est proportionnel à $i_h - i_g$, c'est-à-dire à i . On convient, de même que dans l'intérieur du triangle, par le choix de l'unité d'intensité de la couleur spécifique R , de faire de cette proportionnalité une égalité numérique.

Soient deux couleurs appartenant aux couleurs spécifiques R et S (fig. 6). On peut les supposer déterminées par la même couleur spécifique G , de telle manière que les couleurs M et H soient respectivement les résultantes de R et S avec G , en donnant des intensités convenables. On a :

$$\begin{aligned} x_r i_r &= x_h i_h - x_g i_g \\ y_r i_r &= y_h i_h - y_g i_g \\ i_r &= i_h - i_g \end{aligned}$$

et

$$\begin{aligned} x_s i_s &= x_m i_m - x_g i'_g \\ y_s i_s &= y_m i_m - y_g i'_g \\ i_s &= i_m - i'_g \end{aligned}$$

D'après le principe 1 et le principe 4, en composant avec la résultante cherchée la couleur ayant G pour couleur spécifique et pour intensité la somme $i_g + i'_g$, on obtient le même résultat que si l'on compose H et M puisque dans les deux cas, on compose les mêmes couleurs. La composition de H et de M est celle des points pesants (n° 10) et celle de G avec leur résultante qui se trouve dans le triangle doit donner la position de la couleur cherchée dont on désigne les coordonnées et le poids par x, y, i , on a donc :

$$\begin{aligned} xi + x_g (i_g + i'_g) &= x_m i_m + x_h i_h \\ yi + y_g (i_g + i'_g) &= y_m i_m + y_h i_h \\ i + i_g + i'_g &= i_m + i_h \end{aligned}$$

et à cause des premières équations :

$$\begin{aligned} ix &= i_r x_r + i_s x_s \\ iy &= i_r y_r + i_s y_s \\ i &= i_r + i_s \end{aligned}$$

Ainsi la couleur résultante est représentée par le centre de gravité des couleurs composantes et le poids est la somme des poids composants. La remarque du n° 11 montre qu'une couleur hors du triangle et une couleur dans l'intérieur se composent également d'après la règle des points pesants.

N° 13. La couleur est une fonction de trois variables ou composantes fondamentales a, b, c ; la couleur spécifique est une fonction de p et de q en faisant $p = \frac{b}{a}, q = \frac{c}{a}$; l'intensité est donnée par une expression de la forme $I = a F(p, q)$; toute composition a lieu par l'addition des composantes fondamentales.

D'après ce qui a été démontré (n° 9 à n° 13), la représentation géométrique de la couleur spécifique constitue, pour un nombre quelconque de couleurs simultanées, un système de points pesants rapportés à trois points, D, E, F, représentant les trois couleurs spécifiques qui servent à établir la table. On peut, comme on l'a démontré (n° 7), choisir arbitrairement trois points fixes, A, B, C, comprenant la surface entière de la table et déterminer les composantes fondamentales de chaque point pesant.

En faisant $p = \frac{b}{a}$ et $q = \frac{c}{a}$ les équations (1) se mettent sous la forme :

$$(6) \begin{cases} x = X_1 + pX_2 + qX_3 \\ y = Y_1 + pY_2 + qY_3 \\ i = a[1 + p + q] \end{cases}$$

Des équations (6) il résulte que :

La couleur spécifique qui est une fonction de x et y est une fonction de p et de q ; l'intensité qui est exprimée par $K i$ où K est une fonction de la couleur spécifique et par conséquent de p et de q a pour expression $a F(p, q)$; toute composition s'obtient par l'addition des composantes fondamentales, puisque c'est le principe de la composition des points pesants.

Réciproquement si la couleur satisfait aux conditions énoncées, tous les principes expérimentaux sont satisfaits. En effet :

1° Un nombre quelconque de couleurs ont une résultante unique donnée par trois fondamentales, qui sont les sommes respectives des fondamentales des composantes, et la résultante est équivalente aux composantes dans toute composition possible, puisque pour l'une et pour les autres la somme des fondamentales est la même.

2° La couleur dépend de la couleur spécifique qui est elle-même une fonction de deux variables et de l'intensité, puisqu'on peut prendre p , q , et a pour variables indépendantes.

3° Soient trois couleurs ayant les couleurs spécifiques D, E, F, telles qu'aucune d'elles ne puisse résulter de la composition des deux autres ; elles sont déterminées par les valeurs $p_a, q_a, I_a, p_e, q_e, I_e, p_f, q_f, I_f$; leur résultante a pour composantes fondamentales les expressions suivantes dans lesquelles a_a, a_e, a_f , sont remplacés par leurs valeurs tirées de l'équation :

$$(7) \quad I = a F(p, q)$$

$$(8) \quad \left\{ \begin{array}{l} a = \frac{I_a}{F(p_a, q_a)} + \frac{I_e}{F(p_e, q_e)} + \frac{I_f}{F(p_f, q_f)} \\ b = \frac{p_a I_a}{F(p_a, q_a)} + \frac{p_e I_e}{F(p_e, q_e)} + \frac{p_f I_f}{F(p_f, q_f)} \\ c = \frac{q_a I_a}{F(p_a, q_a)} + \frac{q_e I_e}{F(p_e, q_e)} + \frac{q_f I_f}{F(p_f, q_f)} \end{array} \right.$$

Des équations (8) il résulte que : La couleur spécifique de la résultante qui est une fonction de p et de q est une fonction des rapports des intensités des trois couleurs D, E, F, désignés par p' et q' (n° 9) ; l'intensité qui est donnée par $a F(p, q)$ peut s'exprimer par $I_a E(p', q')$.

4° Si p et q sont constants l'addition des fondamentales donne l'addition des intensités

N° 14. La théorie mathématique de la composition des couleurs qui vient d'être exposée diffère par la manière dont elle est établie de celle de Grassmann qui se trouve dans l'optique physiologique.

Les principes expérimentaux qui ont été pris ici pour point de départ

ne sont pas formulés par Grassmann, mais ne s'en trouvent pas moins admis implicitement. Voici en effet le commencement de la démonstration des propriétés de la couleur qui permettent la construction d'une table des couleurs.

« Supposons ¹ qu'on ait choisi les trois couleurs A, B, C, qu'on prend pour points de départ, qu'on ait défini les unités de leurs intensités lumineuses et leurs positions sur la table des couleurs que nous indiquons par a , b , c ; mêlons une quantité α de A avec une quantité β de B, et plaçons la couleur résultante au centre de gravité des poids α et β appliqués en a et b . Le centre de gravité d est sur la ligne ab et il faut que l'on ait :

$$\alpha \times ad = \beta \times bd$$

De même, en général, toutes les couleurs résultant de mélanges de A et de B se trouvent sur la ligne ab . Si aux quantités α et β des couleurs A et B, on veut mélanger la quantité γ de la couleur C, on peut d'abord supposer les quantités α et β mélangées comme précédemment, et leur résultante dont la valeur sera désignée par $\alpha + \beta$, appliquée en d ; il reste à construire le point d'application e de la résultante des deux poids $\alpha + \beta$ et γ , appliqués en d et en c ; ce point doit se trouver sur la droite cd . On obtient ainsi la position de la couleur résultante dont la quantité doit être :

$$\varepsilon = \alpha + \beta + \gamma$$

On obtient aussi par cette équation l'unité d'intensité lumineuse pour cette couleur ; cette unité est :

$$\text{unité} = \frac{\varepsilon}{\alpha + \beta + \gamma}$$

De ce qui précède, il résulte que toute couleur provenant du mélange de A, B et C, doit se trouver dans l'intérieur du triangle abc ; la position et l'unité d'intensité le déterminent pour chacune d'elles de la manière qu'on vient de voir. »

¹ *Optique physiologique*, p. 373.

Montrons que le principe 3 est impliqué dans ce qui précède. Pour que la construction de la table soit possible, il faut qu'on retrouve la même couleur spécifique résultante lorsqu'on remplace α , β et γ par des quantités proportionnelles $m\alpha$, $m\beta$, $m\gamma$. S'il en était autrement, toutes les couleurs provenant du mélange de A, B et C ne trouveraient pas une position déterminée. On voit qu'il importe de distinguer la *couleur spécifique*, laquelle est constante avec le point déterminé dans l'intérieur du triangle, et l'intensité qui est variable. Celle-ci doit varier proportionnellement aux intensités des trois couleurs A, B et C si l'unité établie pour la couleur résultante reste la même, ce qui est aussi admis implicitement. En effet le rapport $\frac{\varepsilon}{\alpha + \beta + \gamma}$ doit être égal au rapport $\frac{\varepsilon'}{m\alpha + m\beta + m\gamma}$, ce qui suppose que l'on a :

$$\varepsilon' = m\varepsilon$$

Considérons en second lieu le principe 1. Il est formulé par Grassmann de la manière suivante : lorsqu'on mélange des couleurs de même aspect, on obtient des mélanges de même aspect.

Or la résultante est de même aspect que le mélange des couleurs composantes. Donc les composantes sont équivalentes à la résultante.

Le principe 2 est la définition des propriétés expérimentales de la couleur qui permettent de construire la table par le procédé indiqué.

Le principe 4 est la définition de l'intensité de la couleur, telle qu'elle est admise dans la construction de la table.

N° 15. La loi de la composition des forces satisfait aux conditions (n° 13) de la composition des couleurs.

Soient trois axes rectangulaires OX, OY, OZ, sur lesquelles on porte des longueurs respectivement égales aux composantes fondamentales de la couleur, a , b , c . On convient de représenter la couleur spécifique par la direction de la force résultante et son intensité par sa grandeur. Soient α , β , γ , les angles de la résultante avec les axes. On a :

$$\cos \alpha = \frac{a}{\sqrt{a^2 + b^2 + c^2}} = \frac{1}{\sqrt{1 + p^2 + q^2}}$$

$$\cos \beta = \frac{b}{\sqrt{a^2 + b^2 + c^2}} = \frac{p}{\sqrt{1 + p^2 + q^2}}$$

$$\cos \gamma = \frac{c}{\sqrt{a^2 + b^2 + c^2}} = \frac{q}{\sqrt{1 + p^2 + q^2}}$$

$$1 = \sqrt{a^2 + b^2 + c^2} = a\sqrt{1 + p^2 + q^2}$$

Il résulte de ces équations : la couleur spécifique est une fonction de p et de q ; l'intensité rentre dans l'expression de l'équation (7); toute composition a lieu par l'addition des fondamentales.

On peut donc substituer à la représentation plane de la couleur, la représentation géométrique à trois dimensions. Le triangle schématique des couleurs fondamentales devient l'angle solide orthogonal.

N° 16. *Résumé.* La sensation colorée est une quantité variable et continue et la variété infinie des couleurs et de leurs nuances constitue son champ de variation. Prenons pour objet de comparaison la position d'un point susceptible de varier dans une portion limitée de l'espace. On peut imaginer une infinité de courbes et de surfaces qui donneraient lieu aux relations les plus diverses entre les positions du point, mais à chaque position correspond une valeur donnée à chacun des trois éléments constitutifs de la position, les trois coordonnées. Il existe donc entre deux positions quelconques une relation essentielle, à savoir celle des trois coordonnées de l'une et des trois coordonnées de l'autre. La variation de la position est réductible aux trois variations des longueurs des axes de coordonnées; la position du point est une fonction de trois variables. Il en est ainsi de la couleur, et l'exercice même de la perception nous la fait reconnaître pour dépendre de trois éléments, l'intensité lumineuse, le ton de la couleur saturée et le degré de saturation; les deux derniers composent le caractère spécifique de la sensation et nous l'appelons couleur spécifique. Nous sommes capables de réduire

ainsi la couleur à ses éléments constitutifs, parce que l'expérimentation inconsciente nous a enseigné à percevoir dans une nuance la couleur saturée et le blanc que la nature, dans le très grand nombre des cas, emploie pour la produire, et que cette réduction est une classification naturelle, telle que l'offre la table circulaire de Newton.

La composition des couleurs est l'ensemble des relations que la sensation colorée garde avec elle-même dans ses variétés. La perception simultanée de plusieurs couleurs équivaut à la perception d'une seule. C'est pourquoi le blanc et une couleur saturée produisent une nuance, et la réduction naturelle de la couleur à ses trois éléments est une analyse inconsciente de ce mélange. L'étude de la composition des couleurs est une analyse plus complète, par laquelle on réussit à dégager les trois éléments du caractère particulier que leur donnent les conditions d'expérimentation les plus fréquentes imposées par la nature. Que l'on revienne à la comparaison avec la position d'un point, et que l'on suppose que nous fussions habitués par les circonstances naturelles à l'usage de coordonnées curvilignes; l'analyse de leurs propriétés nous ferait reconnaître celles des coordonnées rectilignes. Par un procédé analogue, nous reconnaissons dans la couleur les trois composantes qui sont nommées les trois couleurs fondamentales, et dont elle se trouve dépendre de la même manière que la force dépend de ses trois composantes rectangulaires. Des calculs élémentaires établissent en effet, comme on l'a vu, que les propriétés de la couleur, représentées par la position d'un point pesant dans le plan par rapport à trois points fixes auxquels on applique des poids variables, sont également représentées par la résultante de trois forces orthogonales variables d'intensité.

On est ainsi conduit à assimiler les trois sensations fondamentales à des longueurs prises sur trois directions orthogonales, OX , OY , OZ , (fig. 7) et la couleur résultante à la diagonale du parallépipède, OR , dont les arêtes respectives sont OA , OB , OC . La direction de la diagonale représente la couleur spécifique et sa longueur l'intensité lumineuse. Le champ de variation de la couleur est l'angle droit solide dans lequel la force peut prendre toutes les directions possibles.

Représentons sur le huitième de sphère la courbe des couleurs saturées (fig. 8) par une ligne ponctuée, et la position du blanc par B. Il n'est pas difficile de comprendre comment les trois variables, auxquelles la sensation colorée est rapportée par la perception visuelle, sont remplacées par les trois couleurs fondamentales. OR est une couleur donnée par la composition d'une sensation de blanc OB et d'une sensation de vert saturé OV. Par suite du mode de composition des forces, la résultante s'obtient, soit en construisant le parallélogramme sur OB et OV, soit en projetant les deux composantes sur les trois axes, en ajoutant respectivement les projections et en construisant le parallélépipède sur les trois sommes.

Fig. 7.

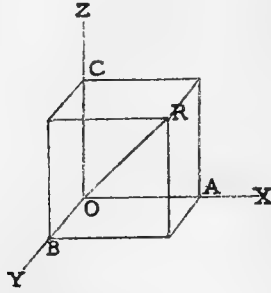
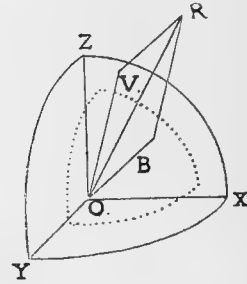


Fig. 8.



§ 4. Composition des sensations.

N° 17. Le phénomène de la composition des sensations a pour type celui de la composition des sensations colorées. Il consiste essentiellement dans le fait expérimental qui s'énonce de la manière suivante : Si les causes de deux sensations appartenant à des espèces différentes dans

l'un de nos sens agissent simultanément, nous percevons une sensation résultante.

C'est un phénomène de synthèse psychologique. Dans le cas de la sensation colorée la perception de la résultante ne laisse pas subsister celle des composantes. On peut produire la sensation d'une couleur composée au moyen de plusieurs combinaisons de couleurs spectrales, sans que l'œil le plus exercé puisse reconnaître quelles sont les couleurs simples contenues dans cette lumière composée. Sous ce rapport, l'œil dans sa réaction sur les vibrations de l'éther¹, se comporte tout autrement que l'oreille; en effet, frappée par des ondes sonores de durées d'oscillation différentes, l'oreille tout en réunissant les divers sons dans les sensations d'un accord unique, peut distinguer, lorsqu'elle est très exercée, chaque son composant; si bien que jamais deux accords composés de sons différents ne lui paraissent tout à fait identiques.

La composition des sensations spécifiquement différentes comprend le cas particulier où l'espèce est la même. Dans ce cas, la sensation garde le même caractère, c'est l'intensité qui change et la définition devient la suivante : Si les causes de deux ou plusieurs sensations spécifiquement les mêmes agissent simultanément, nous percevons une seule sensation, ayant ce même caractère spécifique et dont l'intensité est autre. La notion d'intensité n'est pas toutefois très claire, envisagée comme notion subjective. Appliquons, par exemple, la définition à la superposition d'un grand nombre de sensations de gris; nous devons obtenir le blanc dont la couleur spécifique est la même. Pouvons-nous envisager le blanc comme étant la superposition d'un certain nombre de gris ? On doit répondre que cette synthèse peut se concevoir, comme celle de couleurs différentes et qu'elle est une abstraction rendant compte de la même manière de la substitution d'une sensation unique à un certain nombre de sensations simultanées. Cette abstraction donne lieu à une conception de l'intensité qui a son importance.

¹ *Optique physiologique*, p. 360.

En effet la qualité qui varie seule dans la sensation perçue, lorsque les sensations simultanées sont de même espèce, est celle que nous appelons *intensité* et il n'y a pas d'autre définition possible de l'intensité. D'autre part, la notion abstraite du nombre intervenant, nous disons que l'intensité de la résultante est la somme de celles des composantes. Ainsi, en prenant pour unité d'intensité celle d'un certain gris, nous disons que le gris produit par la superposition simultanée de 5 de ces gris est 5. C'est là évidemment une définition théorique de l'intensité, mais elle a du moins la précision voulue. On voit qu'elle repose sur le fait de la composition des sensations de même espèce et qu'elle invoque la possibilité de la formation de la sensation par la simultanéité des causes d'un certain nombre de sensations de même espèce. La notion d'intensité répond d'autre part à la conscience directe de l'énergie avec laquelle une sensation est perçue. Nous avons la faculté de nous souvenir de nos perceptions et de les comparer entre elles. C'est ainsi qu'en regardant une feuille de papier blanc, nous pouvons concevoir qu'elle fût éclairée plus fortement qu'elle ne l'est, et imaginer une sensation d'éclairement ayant une plus grande intensité. Cette notion directe de l'intensité d'une même sensation nous fait connaître la variation positive ou négative, mais ne nous renseigne pas sur le rapport numérique de deux intensités; l'une des sensations ne nous apparaît pas comme renfermée un certain nombre de fois dans l'autre. Ce rapport est probablement perçu, puisque c'est en l'appréciant même avec une grande précision, que nous reconnaissons la justesse des imitations de la nature dans lesquels les rapports d'intensité sont seuls observés, mais il est ignoré comme rapport numérique.

Du moment que l'on veut soumettre une quantité au calcul, il faut la définir avec précision. Nous admettons les principes suivants :

Nous reconnaissons qu'une sensation appartient à une certaine espèce et, si elle varie en gardant le même caractère spécifique, qu'elle change d'intensité positivement ou négativement. Il n'existe pas d'autre variation possible.

L'intensité d'une sensation rapportée à une sensation de même espèce est obtenue en connaissant combien de fois la cause qui produit la seconde devra être superposée à elle-même simultanément pour donner lieu à la première.

N° 18. Variation de l'intensité de la sensation. Cherchons ce qu'implique la notion de variation d'intensité de la sensation. Soient s et s' les intensités de la même sensation aux temps t et t' . Nous percevons cette variation. Quelle que soit la nature du phénomène désigné par s , dire qu'il est s au temps t et s' au temps t' implique que s n'existe plus au temps t' . La superposition admise pour définir l'intensité (n° 17) suppose la simultanéité, tandis qu'en passant de t à t' on compare deux phénomènes reliés par le temps. Il faut donc avoir recours à une conception analogue à celle d'un instrument enregistreur. La sensation s'enregistre par un phénomène rentrant dans la catégorie des phénomènes psychologiques de la mémoire, sous l'influence de l'attention, et la variation de la sensation est une sensation que j'appelle sensation de second ordre par rapport à la sensation qui est de premier ordre. En assimilant la sensation à la vitesse d'un mobile, la relation qui s'établit entre la sensation de premier et de second ordre est celle qu'on a lieu de considérer en mécanique quand on donne pour vitesse à un second mobile l'accélération du premier. Voici une comparaison qui permet d'obtenir une notion schématique satisfaisante de la dépendance des deux phénomènes. Assimilons la cellule nerveuse excitée donnant la sensation de premier ordre à une roue tournant avec une certaine vitesse. A un instant donné t , admettons que l'influence de l'attention consiste à mettre cette roue en communication, par une courroie de renvoi, avec une roue semblable, de manière à lui donner la même vitesse. Si cette opération est renouvelée au temps t' , le rôle de la courroie de renvoi sera différent suivant que la vitesse sera restée la même, aura augmenté ou aura diminué. C'est la perception de ce rôle de la courroie de renvoi qui est la sensation de second ordre.

La sensation de second ordre a pour caractère essentiel d'être suscep-

tible de prendre deux formes différentes suivant que la variation est positive ou négative, ce qu'on exprime en disant qu'elle peut être directe ou inverse. Elle est directe si la variation est positive et se trouve dans ce cas identique à la sensation de premier ordre; elle est inverse si la variation est négative et constitue dans ce cas une sensation qui n'existe pas en général à l'état de sensation de premier ordre. Pour la sensation de chaleur les deux sensations directe et inverse existent comme sensations premières. Au-dessous d'une certaine intensité, la sensation de chaleur cesse et fait place à celle du froid qui est identique à celle que nous fait éprouver une variation négative de celle de chaud. Ne pourrait-on de même, au-dessous d'une certaine valeur de l'intensité lumineuse, désigner la sensation par l'expression, sensation d'obscurité, car la sensation d'obscurissement nous rappelle ce que nous éprouvons lorsque notre œil ne reçoit qu'une faible lumière. Ne peut-on pas citer ici le vers de Corneille ?

Cette obscure clarté qui tombait des étoiles.

N° 19. Nous formulons de la manière suivante les principes théoriques sur lesquels nous cherchons à établir une loi de la composition des sensations.

I. La conscience simultanée de deux sensations est la conscience du rapport de leurs intensités.

Ce principe est, comme on le verra (n° 20), une généralisation de la loi de Fechner.

II. La sensation est la résultante ou synthèse ou conscience simultanée de trois sensations fondamentales variables d'intensité. On obtient la résultante en composant d'abord deux des fondamentales, et ensuite leur résultante avec la troisième. Le résultat est le même quel que soit l'ordre de la composition.

Cette hypothèse donne à la sensation en général, quel que soit le sens auquel elle appartient, les propriétés les plus générales de la sensation colorée.

III. Le champ de variation spécifique de la résultante de deux fondamentales est constant, quelles que soient ces fondamentales.

Ce principe revient à dire que la faculté de synthèse qui détermine la production d'un champ de variation entre deux sensations indépendantes l'une de l'autre s'exerce toujours de la même manière.

IV. Lorsque les causes qui produiraient isolément des fondamentales agissent simultanément, elles produisent les sommes de ces fondamentales.

Ce principe admet la superposition des effets des causes simultanées.

V. L'intensité d'une sensation est la somme des intensités des sensations simultanées de la même espèce, qui la déterminent. Ce principe est, comme on l'a montré (n° 17), la définition de l'intensité.

N° 20. Composition de deux fondamentales.

L'espèce de la résultante de deux fondamentales X et Y reste le même quand on multiplie par un même nombre les intensités X et Y et l'intensité de la résultante R est multipliée par ce nombre.

L'espèce est le résultat de la conscience de deux fondamentales simultanées. D'après le principe I il n'y a pas variation lorsque le rapport des intensités reste le même; donc l'espèce reste la même. Remarquons en second lieu que mX est produit par la simultanéité de m causes qui produiraient X d'après le principe IV; de même pour Y. Admettons l'indépendance des m synthèses qui donnent chacune la même résultante R; il y a superposition de ces m résultantes identiques et par conséquent production d'une intensité mR d'après le principe V.

Variation de l'espèce. Toute valeur du rapport $\frac{X}{Y}$ correspond à la perception d'une espèce déterminée. L'espèce est une quantité susceptible de variation continue entre les deux limites, l'espèce X et l'espèce Y. Le champ total de variation binaire a une amplitude appelée φ . Une espèce R dépend du rapport $\frac{X}{Y}$ ou, puisque R est proportionnel à X et à Y, du rapport $\frac{X}{R}$. La portion du champ de variation à parcourir de X

pour arriver à R est désignée par α et appelée divergence. On voit que α est une fonction de $\frac{X}{R}$ et on désigne par $f(\alpha)$ la fonction inverse de manière que l'on a :

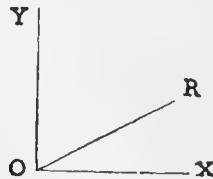
$$\frac{X}{R} = f(\alpha)$$

et de même :

$$\frac{Y}{R} = f(\varphi - \alpha)$$

Représentation de la sensation par la direction d'une ligne droite autour d'un point dans le plan. Il serait difficile de suivre les démonstrations relatives à la composition des sensations sans cette représentation, mais cette assimilation, remarquons-le, reste une représentation et les propriétés connues des angles ou des lignes ne sont pas prises en considération indépendamment des démonstrations. On convient de représenter les deux sensations fondamentales par deux directions rectangulaires OX et OY (fig. 9), et la sensation résultante par une direction OR comprise dans l'angle droit. Le champ total φ est représenté par un angle droit et la divergence α par l'angle X O R.

Fig. 9.



Remarque. La perception de la variation de l'espèce est celle de la variation du rapport des intensités des deux fondamentales. Or nous percevons avec sensibilité et précision la variation spécifique des sensa-

tions et il résulte de là que sous une dénomination différente nous percevons les intensités que nous n'avons pas conscience d'évaluer numériquement. C'est peut-être cette évaluation comparative qu'il faut considérer en psychologie comme étant le phénomène synthétique irréductible et c'est ce qu'exprime le principe I. La loi psycho-physique de Fechner peut se déduire du principe I. Lorsque l'intensité d'une sensation définie par le principe V varie, le rapport $\frac{dS}{S}$ constitue, par la synthèse de deux sensations de même espèce, un élément spécifique que seul nous évaluons et qui est l'élément constant de variation dans le champ de l'estimation consciente. Désignons-le par dp , p étant la sensation perçue; on a ainsi :

$$dp = k \frac{ds}{S}$$

Le schéma de l'angle droit montre clairement la transformation, par la perception sensuelle, du rapport abstrait de deux intensités en une quantité variable dans un champ total.

N° 21. Établissons maintenant la loi qui fait dépendre R de X et Y. R est une fonction de X et de Y; on a :

$$R = F(X, Y)$$

et en différenciant :

$$dR = \frac{\Delta R}{\Delta X} dX + \frac{\Delta R}{\Delta Y} dy$$

$\frac{\Delta R}{\Delta X}$ est le rapport de la variation de R à la variation de X, quand X varie seul. Considérons le rapport $\frac{X}{R}$ que nous supposons être perçu. Ce rapport est la mesure de la participation de X dans la formation de R. D'autre part, quand X varie, la variation qui en résulte pour R dépend de cette participation. Soient ΔR et $\Delta R'$ deux valeurs de la variation de R correspondant aux valeurs X, R et X', R' des variables, et à la même variation ΔX . Nous admettons que l'on a :

$$\frac{\Delta R}{\Delta X} : \frac{\Delta R'}{\Delta X} = \frac{X}{R} : \frac{X'}{R'}$$

C'est-à-dire que X en variant influe sur la variation de R proportionnellement à sa participation à la formation de R. En d'autres termes, la synthèse des variations ou la perception du rapport $\frac{\Delta R}{\Delta X}$ impose à la variation de R d'être déterminée par celle de X et par la perception du rapport $\frac{X}{R}$. On obtient ainsi l'équation :

$$\frac{\Delta R}{\Delta X} = h \cdot \frac{X}{R}$$

h étant une constante.

En faisant le même raisonnement pour Y, on obtient l'équation différentielle :

$$R dR = h(X dX + Y dY)$$

qui donne l'équation :

$$(9) \quad R^2 = X^2 + Y^2$$

en remarquant que pour $X = 0$ ou $Y = 0$, on a R égal à X ou Y, et que si X et Y sont nuls, R l'est aussi.

Cette démonstration se fonde sur la manière dont la synthèse des variations dépend de celle des quantités elles-mêmes. En imposant à la synthèse des variations une condition qui est le résultat de la synthèse des quantités, on admet dans un phénomène inconscient une règle de logique fondée sur les habitudes de l'intelligence consciente. Mais il faut bien chercher les premiers éléments de la logique en dehors de nos jugements proprement dits et antérieurement à leur formation. Le principe qui sert de base à notre démonstration peut se formuler en admettant que : *Les éléments psychologiques obéissent à la conviction qu'une même cause agit toujours de la même manière.*

En effet, reprenons notre démonstration en supposant, pour plus de clarté, qu'il s'agisse de la sensation colorée. X et X' sont les intensités de jaune qui en se combinant avec un même bleu donnent deux variétés de vert R et R' . Quand X et X' varient de ΔX nous imposons aux deux variations ΔR et $\Delta R'$ d'être entre elles comme les participations $\frac{X}{R}$ et $\frac{X'}{R'}$, parce que cette proportionnalité implique que le jaune agit toujours de la même manière pour déterminer la variation de l'intensité de la couleur dont il est partie constituante.

N° 22. Champ de variation quadruple continu avec lui-même de la sensation de second ordre.

On a vu (n° 19) que la sensation de second ordre est susceptible de deux formes, directe et inverse. Appliquant le principe III.

1° Les directes X et Y donnent lieu au champ de variation XY dont l'amplitude est φ .

2° L'inverse désignée par $(-X)$ et la directe Y donnent lieu au champ de variation $(-X)Y$ ayant avec le précédent Y commun et dont l'amplitude est toujours φ .

3° L'inverse $(-X)$ et l'inverse $(-Y)$ donnent lieu au champ $(-X)(-Y)$ ayant $(-X)$ commun avec le précédent et de même amplitude.

4° La directe X et l'inverse $(-Y)$ donnent lieu au champ $X(-Y)$ ayant $(-Y)$ commun avec le précédent et en outre X commun avec le premier champ. L'amplitude reste la même.

Ainsi la divergence de la résultante avec X peut varier de 0 à 4φ et quelle que soit l'espèce R , on peut parcourir à partir de cette espèce le champ total 4φ en y revenant. J'appelle champ binaire total ce champ continu avec lui-même. D'après la convention admise (n° 20) il se trouve représenté par quatre angles droits qui forment eux-mêmes un champ continu. Lors même que la sensation de premier ordre n'existe que dans le champ XY , on prend en considération ce champ total pour la sensation de second ordre avec les quatre fondamentales directes et inverses.

Remarque. Deux espèces de sensations ayant entre elles une divergence φ offrent la divergence spécifique maxima que peut produire

notre faculté de synthèse, et sont ainsi reliées dans le champ total par un caractère constant; la divergence φ peut être désignée par *divergence d'indépendance*.

N° 23. Équation différentielle de la fonction cosinus ¹.

Assujettissons la résultante à varier spécifiquement sans varier d'intensité; la variation de la divergence sera la variation totale. Puisque $dR = 0$, on a :

$$\frac{dX}{Y} = -\frac{dY}{X} = \pm \frac{\sqrt{dX^2 + dY^2}}{R}$$

Il faut donc que la variation de l'une des fondamentales soit de signe contraire à celle de l'autre. Supposons que dY soit direct, il faut que dX soit inverse; les valeurs absolues des variations satisfont aux équations.

$$\frac{(-dX)}{Y} = \frac{dY}{X} = \frac{\sqrt{(-dX)^2 + dY^2}}{R}$$

La variation de la résultante r a pour valeur $\sqrt{(-dX)^2 + dY^2}$ et se trouve dans le champ $(-X)Y$ et, en appelant α' la divergence avec les Y , on a :

$$f(\alpha') = \frac{dY}{\sqrt{(-dX)^2 + dY^2}} = \frac{X}{R}$$

Par conséquent la variation r est séparée de R dans le champ total de variation (n° 22), par la divergence maxima d'indépendance, φ , qui reste la même quelle que soit la direction de R (fig. 11). Ainsi la variation spécifique de R est le résultat de la composition avec R de la sensation r

¹ Laplace a donné une démonstration du principe de la composition des forces dans la *Mécanique céleste*, t. I, p. 4, et il peut sembler qu'il aurait suffi de la rappeler ici. Mais cette démonstration s'appuie sur la décomposition admise a priori de toute force en deux composantes rectangulaires quelconques et cette décomposition est considérée ici, ainsi qu'on le verra plus loin, comme un résultat des propriétés du cosinus.

dont la direction est déterminée et dont l'intensité seule est variable. La perception de la variation est donc, d'après le principe I, celle du rapport $\frac{r}{R}$; d'autre part, cette perception est la divergence élémentaire ; donc on a :

$$d\alpha = \pm \frac{\sqrt{(-dX)^2 + dY^2}}{\sqrt{X^2 + Y^2}} = \pm \frac{(-dX)\sqrt{1 + \frac{dY^2}{(-dX)^2}}}{Y\sqrt{1 + \frac{X^2}{Y^2}}} = \pm \frac{(-dX)}{\sqrt{R^2 - X^2}}$$

Remarquons que dX considéré comme la variation de X peut prendre des valeurs négatives et que c'est le cas lorsque la variation dX constitue une fondamentale inverse ; puisque Y a augmenté et X diminué, la variation de α est positive ; on a donc, en faisant R égal à 1 :

$$d\alpha = \frac{-dX}{\sqrt{1 - X^2}}$$

qui est l'équation différentielle de la fonction inverse du cosinus. On a trouvé ainsi :

$$f(\alpha) = \cos \alpha \quad \text{et puisque} \quad f(\varphi) = \varphi = \frac{\pi}{2}$$

N° 24. Résultante de deux fondamentales dans le champ total. Les résultats obtenus (n° 21 à 23) sont formulés par les équations :

$$(9) \quad R^2 = X^2 + Y^2$$

$$(10) \quad \left\{ \begin{array}{l} \cos \alpha = \frac{X}{R} \\ \sin \alpha = \frac{Y}{R} \end{array} \right.$$

Nous allons nous assurer que ces équations sont applicables au champ

total. Considérons le champ Y ($-X$) et soit α la divergence de R avec ($-X$); on a :

$$\cos \alpha = \frac{(-X)}{R}$$

$$\sin \alpha = \frac{Y}{R}$$

$$R^2 = X^2 + Y^2$$

D'autre part les propriétés du cosinus donnent :

$$\cos (2\varphi - \alpha) = -\cos \alpha$$

$$\sin (2\varphi - \alpha) = \sin \alpha$$

Donc :

$$\cos [2\varphi - \alpha] = \frac{-X}{\sqrt{X^2 + Y^2}}$$

$$\sin (2\varphi - \alpha) = \frac{Y}{\sqrt{X^2 + Y^2}}$$

La démonstration est analogue pour les deux autres champs.

On désigne les quantités X et Y dont la valeur absolue est celle des fondamentales, mais qui peuvent être négatives par *projections de la résultante sur les X et Y directs* et la généralisation qui vient d'être démontrée s'énonce : La résultante dépend de ses projections par les équations (9 et 10).

La définition donnée des sensations directes et inverses appliquée aux fondamentales se vérifie pour une sensation quelconque. Soit R une sensation, α sa divergence, dX et dY les variations qui la laissent spécifiquement la même et augmentent sa valeur; on a :

$$\frac{dX}{\sqrt{dX^2 + dY^2}} = \cos \alpha \quad \frac{dY}{\sqrt{dX^2 + dY^2}} = \sin \alpha$$

La sensation inverse de R est celle qui résulte des variations $-dX$ et $-dY$ d'où résulte que, α' étant la divergence de l'inverse de R , on a :

$$\alpha' = \alpha + 2\varphi$$

N° 25. Composition de plusieurs sensations. Lorsque les causes qui détermineraient la production de plusieurs sensations agissent simultanément, bien que les sensations isolées soient fictives, on les considère comme des composantes et la composition s'effectue par l'addition des fondamentales à cause du principe IV.

Équations de transformation. Soient R_1 et R_2 deux sensations telles que la divergence de R_1 est α_1 et celle de R_2 , $\alpha_2 + \frac{\pi}{2}$. Étant donnée une sensation quelconque R , dont les projections sont X et Y , on se propose de déterminer deux sensations composantes appartenant à R_1 et à R_2 telles que leur résultante soit R .

La projection de R_1 sur X est $R_1 \cos \alpha$ et sur Y , $R_1 \sin \alpha$.

La projection de R_2 sur X est $-R_2 \sin \alpha$ et sur Y , $R_2 \cos \alpha$.

Il faut donc que l'on ait :

$$(11) \left\{ \begin{array}{l} X = R_1 \cos \alpha - R_2 \sin \alpha \\ Y = R_1 \sin \alpha + R_2 \cos \alpha \end{array} \right.$$

Remarque. Les projections peuvent être positives ou négatives. La somme des fondamentales est donc une somme algébrique et on doit chercher si le principe IV admet cette généralisation. Puisque deux fondamentales inverses simultanées s'excluent, les causes qui, isolément les produiraient, produisent, en agissant simultanément, l'une des deux avec une intensité égale à la différence des deux sommes. On admet ainsi que l'impossibilité de coexistence qui existe pour les inverses existe pour les causes et en disant que deux causes agissent simultanément on sous-entend que les parties de leurs effets qui sont incompatibles sont détruites. Si plusieurs causes de chaud et de froid agissent simultanément, il n'y a lieu de considérer que leur somme algébrique.

Les équations (11) donnent :

$$(12) \begin{cases} R_1 = X \cos \alpha_1 + Y \sin \alpha_1 \\ R_2 = -X \sin \alpha_1 + Y \cos \alpha_1 \end{cases}$$

Si R_1 , ou R_2 ont une valeur négative, on l'interprète en donnant à la divergence la valeur $2\pi + \alpha_1$. On trouve :

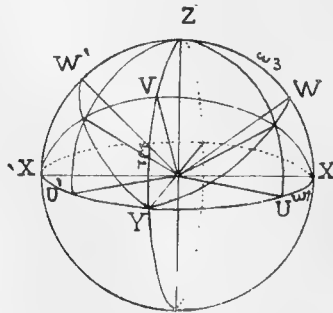
$$\begin{aligned} R^2 &= R_1^2 + R_2^2 \\ \cos(\alpha - \alpha_1) &= \frac{R_1}{R} \\ \sin(\alpha - \alpha_1) &= \frac{R_2}{R} \end{aligned}$$

Ainsi, deux espèces ayant entre elles une divergence $\frac{\pi}{2}$ constituent deux variables dont on peut faire dépendre la sensation R par des équations identiques aux (9) et (10). En d'autres termes, on peut décomposer une sensation quelconque suivant deux composantes rectangulaires.

N° 26. Composition de trois sensations fondamentales.

Soient X, Y, Z , les trois fondamentales; elles forment deux à deux des champs binaires qui, en prenant en considération les inverses, sont des champs continus avec eux-mêmes, ayant pour amplitude 2π ; cette amplitude est la même pour les trois champs binaires XY, YZ, ZX , à

Fig. 10.



cause du principe III. En représentant les trois fondamentales par les trois directions rectangulaires, les trois champs binaires sont les trois grands cercles correspondant de la sphère (fig. 10). Cherchons la résultante de trois intensités fondamentales X, Y, Z, et supposons-les directes; d'après le principe II, nous pouvons composer d'abord X et Y; nous obtenons ainsi U dans le champ binaire XY et en appelant ω_1 la divergence avec X, on a par les équations (9) et (10) :

$$U = \sqrt{X^2 + Y^2} \quad \cos \omega_1 = \frac{X}{U} \quad \sin \omega_1 = \frac{Y}{U}$$

Le principe II, en admettant que l'on compose ensuite U avec Z comme si U était une fondamentale, admet à cause du principe III, que toutes les résultantes du champ XY ont une divergence $\frac{\pi}{2}$ avec Z et que l'une quelconque U détermine avec Z un champ binaire; ce champ binaire est susceptible de devenir continu avec lui-même par la considération de l'inverse de U et de l'inverse de Z et d'autre part nous avons démontré que l'inverse de U se trouve dans le champ XY en augmentant ω_1 de π . Dans le champ binaire ZU, on a en appelant γ la divergence avec Z de la résultante R et en tenant compte de la valeur de U.

$$(13) \quad R = \sqrt{X^2 + Y^2 + Z^2} \quad \cos \gamma = \frac{Z}{R} \quad \sin \gamma = \frac{U}{R}$$

En opérant de la même manière d'abord avec Y et Z, on a en appelant ω_2 la divergence de la résultante V avec Y :

$$V = \sqrt{Y^2 + Z^2}. \quad \cos \omega_2 = \frac{Y}{V} \quad \sin \omega_2 = \frac{Z}{V}$$

puis en composant V et X et en appelant α la divergence de R et de X, on retrouve l'équation (13) et de plus :

$$\cos \alpha = \frac{X}{R} \quad \sin \alpha = \frac{V}{R}$$

Enfin en commençant par Z et X et ω_3 étant la divergence de W avec Z, on a :

$$W = \sqrt{Z^2 + X^2} \quad \cos \omega_3 = \frac{Z}{W} \quad \sin \omega_3 = \frac{X}{W}$$

et la composition de W avec Y donne une troisième fois l'équation (13) et de plus en appelant β la divergence de R avec Y :

$$\cos \beta = \frac{Y}{R} \quad \sin \beta = \frac{W}{R}$$

D'après le principe V, la résultante est la même, quelque soit l'ordre de la composition; elle se trouve par conséquent dans le champ ternaire XYZ placée de telle manière qu'à partir d'une quelconque des trois fondamentales, on la trouve dans un des champs binaires analogues à ZU avec une divergence moindre que $\frac{\pi}{2}$ puisque les cosinus et les sinus sont positifs. Ce champ ternaire ainsi défini est représenté par l'angle solide rectangulaire. Les valeurs des cosinus des divergences de R avec les fondamentales sont données par les équations :

$$(14) \left\{ \begin{array}{l} \cos \alpha = \frac{X}{\sqrt{X^2 + Y^2 + Z^2}} \\ \cos \beta = \frac{Y}{\sqrt{X^2 + Y^2 + Z^2}} \\ \cos \gamma = \frac{Z}{\sqrt{X^2 + Y^2 + Z^2}} \end{array} \right.$$

elles donnent lieu à l'équation de condition :

$$(15) \quad \cos^2 \alpha + \cos^2 \beta + \cos^2 \gamma = 1$$

et les variables auxiliaires $\omega_1, \omega_2, \omega_3$, satisfont aux équations :

$$\begin{aligned} \cos \alpha &= \cos \omega_1 \sin \gamma \\ \cos \beta &= \cos \omega_2 \sin \alpha \\ \cos \gamma &= \cos \omega_3 \sin \beta \end{aligned}$$

Supposons en second lieu une des fondamentales inverses, X par exemple. On répète pour le champ ternaire (—X) Y Z ce qui vient d'être démontré. La résultante R garde la même valeur; elle est déterminée par les résultantes partielles U', V et W' (fig. 12), par les auxiliaires ω'_1 , ω_2 et ω'_3 , et par les divergences α' , β , γ . Le champ binaire XV forme un champ continu avec lui-même par l'adjonction du champ (—X) V, et on a :

$$\cos \alpha' = -\cos \alpha \quad \sin \alpha' = \sin \alpha \quad \alpha' = \pi - \alpha$$

L'équation :

$$\cos \alpha' = \cos \omega'_1 \sin \gamma$$

continue à être satisfaite en faisant $\omega'_1 = \pi - \omega_1$. Les autres variables gardent les mêmes valeurs que dans le cas précédent.

Les équations (13) et (14) se trouvent ainsi valables pour les valeurs négatives des variables et la résultante susceptible de varier dans toute l'étendue du champ ternaire total.

N° 27. Composition de deux ou plusieurs sensations simultanées. Il faut étendre au cas de trois fondamentales ce qui a été démontré pour deux (n° 25). Lorsque les causes qui produiraient isolément les sensations R₁, R₂, etc., agissent simultanément, on obtient la résultante unique en appliquant le principe IV, et par conséquent en déterminant les sommes respectives des fondamentales. Remarquons que les composantes R₁, R₂, etc., sont fictives comme sensations et doivent être considérées comme des représentations de leurs causes.

Soient α , β , γ , les angles de la sensation R avec les axes fondamentaux; les fondamentales de R sont à cause des équations (14).

$$R \cos \alpha \quad R \cos \beta \quad R \cos \gamma$$

Par conséquent, les fondamentales de la résultante sont données par les expressions :

$$\Sigma R \cos \alpha \quad \Sigma R \cos \beta \quad \Sigma R \cos \gamma$$

Changement de variables. Soient $X' Y' Z'$ trois espèces dont les angles avec les axes fondamentaux sont $\alpha_1, \beta_1, \gamma_1, \alpha_2, \beta_2, \gamma_2, \alpha_3, \beta_3, \gamma_3$; on a (n° 26) :

$$(16) \left\{ \begin{array}{l} \cos^2 \alpha_1 + \cos^2 \beta_1 + \cos^2 \gamma_1 = 1 \\ \cos^2 \alpha_2 + \cos^2 \beta_2 + \cos^2 \gamma_2 = 1 \\ \cos^2 \alpha_3 + \cos^2 \beta_3 + \cos^2 \gamma_3 = 1 \end{array} \right.$$

On assujettit ces quantités à satisfaire aux équations :

$$(17) \left\{ \begin{array}{l} \cos \alpha_1 \cos \alpha_2 + \cos \beta_1 \cos \beta_2 + \cos \gamma_1 \cos \gamma_2 = 0 \\ \cos \alpha_2 \cos \alpha_3 + \cos \beta_2 \cos \beta_3 + \cos \gamma_2 \cos \gamma_3 = 0 \\ \cos \alpha_3 \cos \alpha_1 + \cos \beta_3 \cos \beta_1 + \cos \gamma_3 \cos \gamma_1 = 0 \end{array} \right.$$

Soit R une espèce dont les angles sont α, β, γ et les fondamentales X, Y, Z . Pour que la sensation R soit la résultante de trois sensations simultanées $X' Y' Z'$ il faut que l'on ait :

$$(18) \left\{ \begin{array}{l} X = X' \cos \alpha_1 + Y' \cos \alpha_2 + Z' \cos \alpha_3 \\ Y = X' \cos \beta_1 + Y' \cos \beta_2 + Z' \cos \beta_3 \\ Z = X' \cos \gamma_1 + Y' \cos \gamma_2 + Z' \cos \gamma_3 \end{array} \right.$$

Les équations (18) déterminent $X' Y' Z'$.

On sait que des équations (16) et (17) il résulte :

$$(19) \quad X^2 + Y^2 + Z^2 = X'^2 + Y'^2 + Z'^2$$

et

$$\begin{array}{l} X' = X \cos \alpha_1 + Y \cos \beta_1 + Z \cos \gamma_1 \\ Y' = X \cos \alpha_2 + Y \cos \beta_2 + Z \cos \gamma_2 \\ Z' = X \cos \alpha_3 + Y \cos \beta_3 + Z \cos \gamma_3 \end{array}$$

ou en remplaçant XYZ par leurs valeurs en α, β, γ :

$$(20) \begin{cases} \frac{X'}{R} = \cos \alpha \cos \alpha_1 + \cos \beta \cos \beta_1 + \cos \gamma \cos \gamma_1 \\ \frac{Y'}{R} = \cos \alpha \cos \alpha_2 + \cos \beta \cos \beta_2 + \cos \gamma \cos \gamma_2 \\ \frac{Z'}{R} = \cos \alpha \cos \alpha_3 + \cos \beta \cos \beta_3 + \cos \gamma \cos \gamma_3 \end{cases}$$

Des équations (19) et (20) il résulte que l'intensité de la résultante a la même expression en X', Y', Z' , que en X, Y, Z , et que les rapports $\frac{X'}{R}, \frac{Y'}{R}, \frac{Z'}{R}$ qui, dans le cas des fondamentales, sont les cosinus des angles sont des produits de cosinus. On définit par analogie en l'égalant à ce produit le cosinus de la divergence de deux espèces quelconques en énonçant : La divergence ou angle de deux espèces quelconques R et R' est un angle dont le cosinus est égal à :

$$\cos \alpha \cos \alpha' + \cos \beta \cos \beta' + \cos \gamma \cos \gamma'.$$

Remarque 1. Lorsque deux espèces se trouvent dans un grand cercle fondamental, cette définition de l'angle est satisfaite. Supposons en effet que ce soit le grand cercle XY, il faut faire $\cos \gamma = 0$ $\cos \gamma' = 0$ et il en résulte pour l'expression du cosinus de l'angle des deux directions $\cos \alpha \cos \alpha' + \sin \alpha \sin \alpha'$ ou $\cos (\alpha - \alpha')$. L'angle des deux directions est donc bien égal à la différence des angles respectifs avec X.

Remarque 2. Les équations (17) établissent que les axes X'Y'Z' font entre eux deux à deux un angle droit. On les appelle un système d'axes orthogonaux.

Remarque 5. On sait que des équations (16) et (17) il résulte que si a, b, c, a', b', c' , sont les angles de R et R' avec X'Y'Z', on a :

$$\cos a \cos a' + \cos b \cos b' + \cos c \cos c' = \cos \alpha \cos \alpha' + \cos \beta \cos \beta' + \cos \gamma \cos \gamma'$$

l'angle de deux espèces est donc exprimé de la même manière au moyen

des angles avec les $X' Y' Z'$ qu'au moyen des angles avec les fondamentales.

Remarque 4. Toutes les espèces faisant un angle droit avec une espèce donnée forment un champ binaire ou grand cercle auquel l'espèce donnée est dite normale.

En effet Z' étant quelconque, considérons deux espèces R et R' faisant un angle droit avec Z' ; d'après la remarque 3, le cosinus de leur angle s'obtient en faisant $\text{cose} = o$, $\text{cose}' = o$. On obtient ainsi l'expression $\text{cosa cosa}' + \text{sina sin } a'$ ou $\cos(a - a')$. Ces angles s'obtiennent donc par la différence des angles respectifs avec la direction X' . Les espèces faisant un angle droit avec Z' font donc entre elles des angles qui se déduisent les uns des autres de la même manière que dans un champ binaire fondamental. Par extension, on dit qu'elles forment un champ binaire et l'espèce avec laquelle elles font un angle droit est normale à ce champ binaire.

Deux espèces quelconques R et R' déterminent un champ binaire. En effet, on détermine par les équations connues, les cosinus des angles que fait la normale aux deux directions R et R' avec les axes.

Les équations (18) sont des équations de transformation des trois variables $X Y Z$. Ce sont celles qui font passer d'un système d'axes rectangulaires à un autre. Des valeurs négatives pour les X' , Y' , Z' doivent être interprétées en prenant pour axe positif la sensation inverse.

N° 28. *Résumé.* Admettant l'hypothèse que la sensation est le résultat de la synthèse de trois fondamentales qui ne varient que par leur intensité, nous cherchons quelle est la forme de la loi qui fait dépendre la résultante de ses composantes. Dans cette recherche nous considérons le phénomène simple de la synthèse de deux sensations simultanées comme irréductible et assimilons le rapport des intensités des deux composantes au caractère spécifique de la résultante. Il est certain que la notion de comparaison est celle à laquelle correspond le résultat de la synthèse de deux éléments de grandeur variable. Si ces deux éléments augmentent ou diminuent dans la même proportion, le caractère de leur

comparaison, c'est-à-dire le résultat spécifique de leur synthèse reste le même. Nous trouvons dans la loi psychophysique de Fechner un important argument en faveur de cette considération. On sait que d'après cette loi, confirmée par toutes les recherches sur la perception des sensations, ce n'est pas la variation de l'intensité absolue de la sensation que nous percevons, mais le rapport de la variation à l'intensité. Nous pouvons formuler ce principe en disant que la comparaison de la variation de l'intensité et de l'intensité elle-même est l'opération de synthèse dont nous sommes capable et qu'elle a un résultat spécifique dépendant du rapport des deux éléments. Nous trouvons ainsi dans cette loi bien établie une sorte de cas particulier du principe général de synthèse que nous voulons établir.

Ce sont évidemment les sensations appartenant à un même sens qui sont comparables entre elles et qu'il faut entendre sous la dénomination de la sensation. Celle-ci se différencie par la variation de deux éléments, l'intensité et l'espèce, et l'ensemble de toutes les espèces possibles constitue le champ de variation spécifique. La résultante de deux fondamentales possède un champ de variation que nous désignons par champ binaire. Quelle relation doit s'établir entre les intensités des deux composantes et les éléments de la résultante, son espèce et son intensité ? Le principe de synthèse ne fait dépendre l'espèce que du rapport des intensités des composantes et d'autre part le principe des superpositions des effets simultanés donne à la résultante une intensité proportionnelle à celle des composantes. Le rapport de la composante à la résultante est donc l'élément variable avec l'espèce. Avant de trouver la forme explicite de la relation entre l'espèce et le rapport, nous cherchons celle de la relation entre les intensités et ces considérations ne seraient guère possibles sans la représentation graphique des composantes et de leur résultante. Deux axes rectangulaires (fig. 9) OX et OZ, représentent les deux fondamentales et OR, variable de direction dans l'angle droit la résultante. La portion du champ de variation qui sépare la sensation résultante R de la fondamentale X, désignée d'une

manière générale par divergence de R et de X est représentée par l'angle R O X.

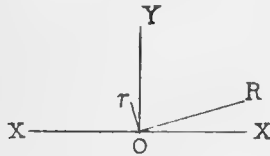
Nous obtenons la forme explicite de la relation entre l'intensité R et les intensités X et Y en intégrant une équation différentielle dans laquelle nous supposons qu'il existe une loi de formation de la variation de l'intensité résultante. Cette loi s'énonce ainsi : quand une des composantes varie seule, la variation de la résultante est déterminée par celle de cette composante, de telle manière qu'elle est proportionnelle à la participation de la composante à la résultante. Supposons, par exemple, que la même composante donne lieu dans deux cas différents à une résultante 1 et à une résultante 2; la même variation de la composante donnera des variations de la résultante qui seront relativement $\frac{1}{2}$ et 1.

Les éléments psychologiques obéissent ainsi à la loi que la même cause agit toujours de la même manière, car si une composante participe deux fois moins à la formation de la résultante, sa variation influe deux fois moins aussi sur celle de la résultante. On voit que c'est encore la participation de la composante, c'est-à-dire la conscience du rapport des intensités qui est perçue et prise en considération. Cette hypothèse donne la formule connue de la somme des carrés : $R^2 = X^2 + Y^2$.

Nous revenons à la relation qui doit faire dépendre l'espèce du rapport des intensités et pour la trouver nous assujettissons la variation à laisser l'intensité constante. Mais il est nécessaire de montrer d'abord que le champ de variation s'agrandit et se quadruple par la considération de la sensation de variation. Il est inutile de reproduire ici comment nous avons cherché à établir au n° 18 l'existence nécessaire d'une sensation directe et d'une sensation inverse de variation. On voit aisément au n° 22 que l'existence des deux inverses pour chaque fondamentale conduit à un champ de variation spécifique continu avec lui-même, quadruple du champ binaire et représenté par l'espace angulaire total dans le plan autour d'un point. Il importe de remarquer, comme résultat psychologique, que le fait de continuité résultant de ce que le troisième champ a une fondamentale commune avec le premier et que le fait

d'équivalence des champs entre eux résultant de ce que chacun d'eux représente notre capacité de synthèse, sont des déductions logiques indépendantes de leur représentation par l'espace angulaire. Il était nécessaire d'obtenir la variation possible totale de la sensation, parce que la variation de la résultante assujettie, comme nous le disions, à rester d'intensité constante se trouve, ainsi que le montre le calcul, assujettie elle-même à représenter une espèce de sensation r rectangulaire à la sensation R dont l'intensité seule est variable (fig. 11).

Fig. 11.



Il résulte de là par le principe de synthèse que le rapport de l'intensité r et l'intensité R est la valeur de la variation spécifique et l'équation différentielle ainsi obtenue est l'équation différentielle du cosinus d'un angle. Cela signifie que la relation qui existe en géométrie entre un arc de cercle et la longueur de la corde est celle qui détermine la variation du champ spécifique de la sensation par rapport à celle des fondamentales. En d'autres termes, les propriétés de la sensation telles que nous les avons admises conduisent aux propriétés du cosinus.

La considération du champ binaire total permet de substituer aux deux fondamentales deux espèces rectangulaires quelconques et de montrer que la résultante dépend de leurs intensités de la même manière que de celles des fondamentales. Cette substitution possible est l'énoncé des propriétés essentielles du champ de variation de la sensation. Rappelons que l'existence de sensations simultanées autres que les fondamentales est fictive et qu'il faut l'entendre par l'existence des causes qui

isolément les produiraient ou par l'existence de la somme ou de la différence des fondamentales correspondant à ces causes. C'est ainsi qu'une seule couleur est perçue et qu'on peut lui substituer théoriquement tous les mélanges qui la produisent. Les propriétés du champ coloré sont les relations qui font dépendre la résultante de toutes ces composantes possibles. La relation dont il s'agit a pour forme explicite les formules qui, lorsqu'un point est déterminé dans le plan par un système d'axes rectangulaires, permettent d'évaluer les coordonnées appartenant à un second système d'axes rectangulaires.

Nous passons à la composition de trois sensations fondamentales qui constituent, prises deux à deux, trois champs binaires représentés par les grands cercles XY, YZ, ZX, de la sphère (fig. 10). On obtient la résultante R de trois intensités données en composant d'abord X et Y, puis la résultante trouvée U avec Z. L'ordre dans lequel la composition s'effectue étant indifférent, il en résulte que OR se trouve à la fois dans les trois champs binaires ZU, XV, YW, et l'on obtient l'intensité et l'espèce de la résultante par les formules qui donnent la résultante de trois forces rectangulaires (n° 26). Les cosinus des trois angles avec les axes sont assujettis à la condition que la somme de leurs carrés est égale à un et en outre les variables auxiliaires représentées sur la figure par les angles $\omega_1, \omega_2, \omega_3$, satisfont aux conditions qui équivalent à la propriété des triangles sphériques rectangles.

Chacun des trois champs binaires étant extensible pour la sensation de second ordre au champ continu avec lui-même de quatre angles droits, le champ ternaire de la sensation de premier ordre représenté par l'angle droit solide est extensible au champ ternaire total continu avec lui-même qui est égal à huit angles droits solides.

La composition de trois sensations orthogonales quelconques s'obtient de la même manière et en conséquence du même principe que dans le cas de la composition binaire et permet aussi de substituer aux intensités des sensations fondamentales des variables fictives qui servent à définir les propriétés du champ ternaire. On considère trois espaces

X' , Y' , Z' , assujetties aux conditions auxquelles satisfont trois directions rectangulaires deux à deux, et ces conditions étant satisfaites, la résultante dépend de ces composantes fictives de la même manière que des fondamentales. L'identité de l'expression du rapport de l'intensité de la composante à celle de la résultante qui, dans le cas de la fondamentale, est le cosinus de l'angle, implique la définition du cosinus de l'angle de deux directions quelconques du champ ternaire.

Cette définition étant admise, on démontre la propriété essentielle du champ ternaire à savoir que toutes les espèces qui font avec une espèce donnée un angle droit forment entre elles un champ binaire, c'est-à-dire sont comprises dans un même plan ou grand cercle de la sphère. En effet les angles que trois quelconques de ces directions font entre elles, s'ajoutent ou se retranchent comme c'est le cas dans un champ binaire fondamental. Pour déterminer un champ binaire deux espèces quelconques sont nécessaires et suffisantes. L'espèce avec laquelle toutes celles d'un champ binaire font un angle droit est normale à ce champ ou au plan de ce grand cercle de la sphère.

On a ainsi établi les propriétés angulaires du champ ternaire de la sensation et obtenu les formules qui sont celles qui permettent de passer des coordonnées d'un point rapporté à trois axes rectangulaires à celles de ce point rapporté à autre système de coordonnées rectangulaires ayant la même origine.

Terminons en observant, comme nous l'avons fait en parlant du champ total binaire, que la multiplication du champ unique des fondamentales directes par 8 est un résultat logique des principes et non une assimilation au champ angulaire de l'espace. En supposant l'existence des deux inverses coïncidant avec une faculté de synthèse quadruple, on obtiendrait pour nombre des champs de variation juxtaposés et devenus continus avec eux-mêmes 2^4 , c'est-à-dire 16 au lieu de 2^2 et de 2^3 comme cela a lieu pour la synthèse double et la synthèse triple.

§ 5. Application de la composition des sensations à la sensation d'effort-moteur.

N° 29. Certaines parties du corps sont susceptibles de prendre des positions variables par rapport aux parties avoisinantes et ce déplacement est accompagné de la conscience du mouvement volontaire. Nous les désignons sous le nom d'organes mobiles. La conscience du mouvement volontaire comprend plusieurs espèces de sensations. On peut distinguer : 1° L'intensité de l'effort de volonté ; 2° la tension des muscles ; 3° le résultat de l'effort qui, indépendamment de sa perception directe, se traduit par un raccourcissement effectif du muscle. L'analyse des divers modes de perception des mouvements de l'œil conduit M. Helmholtz à la conclusion que nous apprécions la ligne visuelle, c'est-à-dire la valeur du mouvement angulaire effectué, par l'effort de volonté dans les muscles oculaires. Nous admettons ce mode de perception des mouvements volontaires pour tout organe mobile, et nous appelons *sensation d'effort moteur* ou *sensation d'innervation* la donnée sensuelle par laquelle nous percevons nos mouvements volontaires. Elle accompagne l'excitation de la fibre nerveuse d'une fibre musculaire, excitation dont la conséquence est la contraction du muscle, et n'est pas assimilable au tact. On s'accorde en général à faire de la perception des mouvements volontaires un sens particulier, le sens musculaire.

L'application de la composition des sensations au sens musculaire semble d'abord présenter une difficulté, provenant de ce que la fibre nerveuse excitable n'est pas susceptible de percevoir ou de faire percevoir au centre nerveux des sensations d'espèces différentes. La contraction d'une fibre musculaire est une sensation à caractère spécifique invaria-

¹ *Optique physiologique*, p. 762.

ble. Tandis qu'un même point de la rétine reçoit des excitations susceptibles de produire toutes les couleurs, la fibre nerveuse qui perçoit l'innervation perçoit une seule espèce dans le champ de variation. Cette différence n'est toutefois qu'apparente si l'on admet, ce qui n'est pas douteux, que les diverses fibres d'un même organe mobile communiquent avec une même partie du centre nerveux, et constituent un organe nerveux analogue à la fibre rétinienne, susceptible de toutes les excitations spécifiques du sens musculaire. Nous dirons que l'ensemble des fibres nerveuses des fibres musculaires d'un organe mobile et la portion du centre nerveux qui leur correspond sont l'organe nerveux de la sensation d'effort moteur.

N° 30. Une fibre musculaire est une portion de l'organe mobile susceptible de subir une modification, le raccourcissement, lorsqu'elle se contracte et forcément la modification inverse, l'allongement. L'une ou l'autre des modifications accompagne en général, pour toutes les fibres, un mouvement quelconque de l'organe mobile.

A. Tout mouvement élémentaire implique la possibilité du mouvement inverse. C'est étendre à la considération d'un nombre quelconque de modifications simultanées, ce qui est admis pour chaque fibre isolément. Dans le mouvement élémentaire qui fait passer l'organe mobile d'une position A à une position A' infiniment voisine, chaque fibre passe d'une longueur L à une longueur L'. La modification inverse de toutes les fibres est possible simultanément, et, les deux positions étant infiniment voisines, il n'y a qu'une manière de passer de l'une à l'autre.

B. Tout mouvement élémentaire donne lieu à une sensation résultante. En effet, nous admettons que la sensation satisfait à la loi de la composition et que par conséquent un nombre quelconque de sensations simultanées ont une résultante unique. Puisque tout mouvement élémentaire implique un mouvement inverse, la sensation du premier implique l'existence de celle du second. Nous appelons antagonistes ces deux sensations.

C. Quand une fibre musculaire est soumise à l'action de la fibre ner-

veuse qui la contracterait si elle était libre et qu'elle ne peut pas se raccourcir, sa force élastique augmente et nous disons que l'intensité de sa tendance à se raccourcir augmente.

Deux sensations antagonistes S et S' simultanées d'intensité convenable maintiennent l'organe mobile en équilibre. En effet, deux mouvements inverses s'excluent par définition. Les fibres musculaires que la sensation S contracte ne peuvent donc pas se raccourcir si le mouvement de la sensation S' existe simultanément et réciproquement. La double sensation ne peut donc avoir pour effet que l'augmentation des forces élastiques et nous admettons que ces forces peuvent être égales lorsque les intensités des sensations qui dépendent aussi de l'intensité de l'excitation prennent certaines valeurs.

Quand un organe mobile est immobile, les fibres musculaires exercent des actions qui se font équilibre, c'est-à-dire que tout effort-moteur est accompagné de l'effort-moteur antagoniste équivalent, équivalence dans laquelle la variation de la force élastique de la fibre avec son allongement est comprise. Il résulte de là que les deux sensations antagonistes sont associées l'une à l'autre pour toute position de l'organe mobile et nous disons que l'association $S S'$ constitue une sensation statique dont la perception accompagne toute position maintenue fixe de l'organe mobile. Nous appelons sensation d'effort-statique la sensation S accompagnée de son antagoniste S' . Il importe d'observer qu'il existe en général pour toute position de l'organe mobile une infinité de positions voisines possibles et par conséquent aussi une infinité de sensations d'effort-statique.

D. Quand l'organe mobile passe d'une position à une position voisine, les deux sensations antagonistes se produisent, mais avec des intensités différentes de celles qui donnaient l'équilibre et nous disons : tout mouvement élémentaire est déterminé par l'action simultanée des deux systèmes de fibres musculaires qui maintenaient l'organe mobile en équilibre et la sensation d'effort-moteur est la résultante des sensations d'effort-statique avec leurs intensités modifiées.

Soient S et S' deux antagonistes. Soient X, Y, Z, X', Y', Z', X'', Y'', Z'', les composantes de S, de S' et de leur résultante R. On a :

$$\begin{aligned} X'' &= X + X' \\ Y'' &= Y + Y' \\ Z'' &= Z + Z' \end{aligned}$$

Quand S et S' ont les intensités de l'équilibre, la sensation motrice est nulle, d'où résulte :

$$X' = -X \quad Y' = -Y \quad Z' = -Z$$

Ces équations ne peuvent être satisfaites que si le système de fondamentales comprend les inverses et nous disons que la sensation d'effort-moteur s'obtient, comme on l'a établi, en admettant que la sensation d'effort-statique appartient à un système de fondamentales directes et inverses composant le champ ternaire total, tel qu'il résulte de la considération de la sensation de second ordre. Deux sensations d'effort-statique antagonistes sont des sensations inverses, puisque leur résultante est nulle; d'autre part le caractère spécifique de la sensation d'effort-moteur est le même que celui de la sensation d'effort-statique donnant lieu au mouvement. Donc deux sensations d'effort-moteur inverses correspondent à deux mouvements inverses.

E. Nous avons ainsi démontré que la liaison d'association entre la sensation et une modification quelconque, susceptible seulement d'être successivement directe ou inverse, détermine la formation d'un champ ternaire total. Cette démonstration suppose implicitement que les deux formes de sensation, S et S', s'associent entre elles par le fait de leur association respective avec les deux modifications inverses. Le caractère d'inversité attribué aux deux sensations est le résultat de l'expérimentation. Nous voyons ainsi se constituer le champ de variation total continu avec lui-même qui n'avait été supposé appartenir qu'à la sensation de second ordre.

N° 31. Considérons toutes les fibres musculaires dont la contraction

accompagne un mouvement élémentaire. Les fibres nerveuses correspondantes donnent des sensations dont la résultante est la sensation d'effort-moteur déterminée par les valeurs des trois fondamentales.

Pour chaque fibre il y a une relation entre l'intensité de la sensation et le raccourcissement; nous admettons que l'intensité de la sensation est proportionnelle au raccourcissement élémentaire effectué dans le temps dt . Prenons pour unité de sensation celle qui correspond à un raccourcissement 1 dans l'unité du temps; dans le temps dt , le raccourcissement sera dL et l'on a pour une sensation quelconque S correspondant à un raccourcissement $-dL$:

$$S : \text{unité} = -dL : dt$$

$$(21) \quad S = -\frac{dL}{dt}$$

Soient $X Y Z$ les trois fondamentales d'une sensation d'effort-moteur. Faisons :

$$(22) \quad \left\{ \begin{array}{l} -dA = Xdt \\ -dB = Ydt \\ -dC = Zdt \end{array} \right.$$

Puisque $X Y Z$ sont à chaque instant les trois variables indépendantes dont dépend la résultante R , les raccourcissements de toutes les fibres donnant les sensations simultanées dont la résultante est R , sont des variables équivalant aux trois variables indépendantes $dA dB dC$, dont elles dépendent. Nous disons donc que le mouvement a lieu comme s'il existait un système de six fibres indépendantes antagonistes deux à deux, donnant lieu aux fondamentales, que nous appelons fibres fondamentales fictives.

Les équations (18) permettent, comme on l'a vu, de prendre pour variables indépendantes trois espèces de sensations formant un système orthogonal et l'équivalence de la sensation et du raccourcissement de la fibre donne lieu à la même transformation. Supposons qu'il existe un

système de six fibres antagonistes deux à deux donnant trois sensations orthogonales ou fibres fictives orthogonales et appelons dD , dE , dF , les raccourcissements élémentaires, on a en appliquant les équations (18)

$$(23) \begin{cases} dA = dD \cos \alpha_1 + dE \cos \beta_1 + dF \cos \gamma_1 \\ dB = dD \cos \alpha_2 + dE \cos \beta_2 + dF \cos \gamma_2 \\ dC = dD \cos \alpha_3 + dE \cos \beta_3 + dF \cos \gamma_3 \end{cases}$$

N° 32. Considérons un mouvement fini de l'organe mobile. Nous faisons :

$$A = F_1(t) \quad B = F_2(t) \quad C = F_3(t)$$

d'où :

$$dA = F'_1(t) dt \quad dB = F'_2(t) dt \quad dC = F'_3(t) dt$$

Puisque dA , dB , dC , sont trois variables indépendantes, un système quelconque de trois fonctions $F(t)$ donne lieu à un passage possible de l'organe mobile d'une position dans laquelle les A , B , C , ont une certaine valeur à une position dans laquelle ils en ont une certaine autre. Considérons un nombre quelconque de systèmes de trois fonctions satisfaisant aux conditions :

$$\begin{aligned} F_1(t_0) = A_0 \quad F_2(t_0) = B_0 \quad F_3(t_0) = C_0 \\ F_1(t_1) = A_1 \quad F_2(t_1) = B_1 \quad F_3(t_1) = C_1 \end{aligned}$$

et cherchons quel est le système pour lequel la somme des produits élémentaires de la sensation par le temps est minima. On a :

$$Rdt = \sqrt{X^2 + Y^2 + Z^2} dt = \sqrt{dA^2 + dB^2 + dC^2}$$

Il faut que l'intégrale :

$$(24) \int \sqrt{dA^2 + dB^2 + dC^2}$$

soit minima entre des limites constantes. C'est le problème de la plus courte distance entre deux points dont la solution est :

$$\frac{X}{m} = \frac{Y}{n} = \frac{Z}{1} = \frac{R}{\sqrt{m^2 + n^2 + 1}}$$

m et n étant deux constantes.

Désignons par quantité de sensation le produit de la sensation par le temps. Nous dirons : de tous les passages d'un organe mobile d'une position dans laquelle les longueurs des fibres fictives ont une valeur donnée à une position pour laquelle elles ont également une valeur donnée, celui qui a lieu avec une somme minima de quantité de sensation est celui pour lequel l'espèce de sensation reste invariable.

N° 33. L'évaluation de la somme des quantités de mouvements élémentaires suppose une faculté d'enregistrement, se prolongeant pendant un temps fini, dont l'existence peut être mise en doute. Nous allons montrer que cette évaluation est réductible à des évaluations simultanées d'intensité de sensation et de durée.

Supposons en premier lieu que le passage s'effectue de telle manière que la sensation reste constante, satisfaisant ainsi à la condition de rester invariable spécifiquement. Les équations (22) intégrées donnent :

$$(23) \begin{cases} A_0 - A_1 = X_1 (t_1 - t_0) \\ B_0 - B_1 = Y_1 (t_1 - t_0) \\ C_0 - C_1 = Z_1 (t_1 - t_0) \end{cases}$$

et l'intégrale (24) a pour valeur :

$$\int_{t_0}^{t_1} R_1 dt = R_1 (t_1 - t_0)$$

Donnons à la seconde limite t_1 une autre valeur t_2 et déterminons la sensation, supposée encore constante, de manière à obtenir les mêmes valeurs A_1, B_1, C_1 . On a à cause des (25) :

$$\frac{X_1}{X_2} = \frac{Y_1}{Y_2} = \frac{Z_1}{Z_2} = \frac{R_1}{R_2} = \frac{(t_2 - t_0)}{(t_1 - t_0)}$$

Nous percevons les durées $t_1 - t_0$ et $t_1 - t_0$, et nous percevons d'autre part les intensités R_0 et R_1 . Nous savons donc que si le mouvement donne lieu à un même raccourcissement $A_0 - A_1$, $B_0 - B_1$, $C_0 - C_1$, au moyen d'une sensation constante, la durée est en raison inverse de l'intensité de la sensation. Nous associons ainsi la durée à l'intensité.

Supposons en second lieu que l'espèce de la sensation subisse des petites variations et faisons :

$$X = X + \varepsilon \quad Y = Y + \varepsilon' \quad Z = Z$$

ε et ε' sont très petits et peuvent être également positifs ou négatifs. Assujettissons ces valeurs de X , Y , Z , à déterminer les mêmes variations des A , B , C . On a par les équations (25) :

$$X(t_1 - t_0) = X(t_1 - t_0) + \int_{t_0}^{t_1} \varepsilon dt$$

$$Y(t_1 - t_0) = Y(t_1 - t_0) + \int_{t_0}^{t_1} \varepsilon' dt$$

et par conséquent :

$$(26) \quad \int_{t_0}^{t_1} \varepsilon dt = 0 \quad \int_{t_0}^{t_1} \varepsilon' dt = 0$$

La résultante a pour valeur :

$$R \left(1 + \frac{2\varepsilon X + 2\varepsilon' Y + \varepsilon^2 + \varepsilon'^2}{R^2} \right)^{\frac{1}{2}} =$$

$$R \left[1 + \frac{1}{2} \frac{2\varepsilon X + 2\varepsilon' Y + \varepsilon^2 + \varepsilon'^2}{R^2} - \frac{1}{2} \frac{3}{2} \left(\frac{2\varepsilon X + 2\varepsilon' Y + \varepsilon^2 + \varepsilon'^2}{R^2} \right)^2 + \text{etc.} \right]$$

et, en s'arrêtant aux termes du second degré en ε et ε' :

$$R \left[1 + \frac{\varepsilon X + \varepsilon' Y}{R^2} + \frac{\varepsilon^2}{2R^2} \left(1 - \frac{X^2}{R^2} \right) + \frac{\varepsilon'^2}{2R^2} \left(1 - \frac{Y^2}{R^2} \right) - \frac{\varepsilon \varepsilon' X Y}{R^4} \right]$$

tenant compte des équations (26) et remarquant que l'intégrale

$$\int_{t_0}^{t_1} \varepsilon \varepsilon' dt$$

est nulle si l'on admet qu'à toute valeur positive de ε correspondent des valeurs égales et de signes contraires de ε' , ce qui est le cas si l'espèce de la sensation oscille de toutes les manières possibles autour de l'espèce fixe, l'intégrale (24), en remplaçant $\frac{X}{R}$ par $\cos\alpha$ et $\frac{Y}{R}$ par $\cos\beta$, se réduit à :

$$R \left[(t_1 - t_0) + \frac{\sin^2 \alpha}{2R^2} \int_{t_0}^{t_1} \varepsilon^2 dt + \frac{\sin^2 \beta}{2R^2} \int_{t_0}^{t_1} \varepsilon'^2 dt \right]$$

ou en donnant à ε et ε' une valeur moyenne la même :

$$R (t_1 - t_0) \left[1 + \frac{\varepsilon^2}{2R^2} (\sin^2 \alpha + \sin^2 \beta) \right]$$

Cette expression montre que le facteur par lequel $t_1 - t_0$ s'y trouve multiplié est plus grand que R. Nous expérimentons que, lorsque l'espèce varie, il faut pour obtenir avec la même durée $t_1 - t_0$ les mêmes variations des A, B, C, une sensation d'effort-moteur plus grande. En outre la différence entre les deux quantités de sensation est proportionnelle au carré de l'amplitude de l'oscillation autour de l'espèce constante.

On voit ainsi comment il est possible que l'évaluation de l'intégrale ait lieu psychologiquement, bien que nous ne soyons pas capable d'enregistrer une somme de quantités de mouvement successives. Il suffit que l'intensité de la sensation moyenne d'une part et la durée du mouvement de l'autre soient estimées avec précision.

N° 34. *Résumé.* Nous admettons l'existence d'un sens spécial par lequel nous avons conscience de nos mouvements volontaires et nous appelons sensation d'effort-moteur celle que nous percevons dans l'exercice de notre faculté de mobilité consciente. En appliquant à la sensation d'effort-moteur les principes de la composition, nous cherchons à éta-

blir que le champ total de variation est occupé par la sensation de premier ordre.

En effet cette sensation est associée à un phénomène qui a pour caractère essentiel d'être réversible, le mouvement. Sans définir le mouvement autrement que par la modification d'une qualité, la longueur de la fibre musculaire, cette modification est susceptible de se produire en sens inverse et de rendre à la qualité sa valeur initiale. Deux sensations simultanées qui, isolément s'associeraient à des modifications inverses et que nous appelons sensations d'effort-statique, ont une résultante d'effort-moteur nulle, puisque les mouvements inverses s'excluent et l'expression algébrique de cette condition est l'assimilation de la sensation d'effort-moteur à une sensation de second ordre susceptible d'être directe et inverse et occupant par conséquent le champ ternaire dans sa totalité.

Ces considérations nous paraissent être un argument en faveur d'une genèse subjective des notions qui se présentent comme irréductibles. Le champ de variation continu avec lui-même n'existe objectivement que pour la sensation de second ordre, parce que celle-ci est précisément susceptible de deux formes qui s'excluent simultanément. Cette même propriété donnée à la sensation de premier ordre, par son association avec un phénomène qui la présente, fait naître pour elle le champ continu. Si l'on se demande pourquoi la sensation colorée n'est pas susceptible d'une inverse, on voit qu'elle n'est pas liée à une modification réversible. Les oscillations des molécules d'éther ont des périodes qui n'entrent pas en ligne de compte dans la durée nécessaire pour que la sensation se produise ou dans celle du moins de sa persistance, un dixième de seconde. Il en est de même de la sensation de chaleur dans le champ de variation de laquelle l'existence des inverses est le résultat de la chaleur propre du sang. Deux sensations inverses le sont par rapport à une intensité moyenne laquelle devient un point nul par le fait des circonstances concomitantes; et bien qu'une sensation de froid soit identique à une sensation de refroidissement, la modification

objective accompagnant la sensation du froid n'est pas l'inverse de la modification du chaud. En d'autres termes, le zéro de la modification ne correspond pas au zéro de la sensation. C'est donc le propre de la sensation d'effort-moteur d'être associée à une modification assez lente pour que ses diverses phases soient perçues par notre organisation psychologique. Une oscillation très rapide d'un organe mobile ne donnerait pas lieu à la production du champ ternaire continu avec lui-même, parce que les sensations inverses ne pourraient pas être perçues à part et devenir l'objet de l'expérimentation inconsciente qui leur donne leur relation.

La sensation d'effort-moteur nous donne conscience d'une modification susceptible d'être directe et inverse, ce qui est le caractère essentiel de la notion même de modification. Admettons qu'il n'existe qu'une modification possible. Cette sensation nous fait percevoir cette modification, tandis que les autres sensations nous donnent conscience des effets complexes qu'elle détermine. Ces effets se produisent par un concours de phénomènes qui fait du sens de la vue, par exemple, un critère bien autrement sensible et précis du mouvement lui-même que le sens musculaire, mais qui fait disparaître de la perception directe le caractère d'inversibilité. C'est ainsi qu'un podomètre compte aussi bien les pas en arrière que les pas en avant. Nous n'attribuons pas à la matière la propriété de la vision, comme nous lui attribuons celle de la mobilité, et en cela nous sommes il est vrai guidés par la connaissance des êtres autres que nous-même, mais il y a plus, et l'*inversibilité* de la modification nous fait connaître que nous percevons dans la mobilité la modification essentielle de l'être. Nous ne pourrions pas intervertir les rôles de la mobilité et de la vision, faire de la sensation visuelle l'espace lui-même et lui donner la qualité d'être étendu. Tous nos organes mobiles nous font percevoir la mobilité et nos yeux seulement la visibilité. La sensation d'effort-moteur est celle qui nous met en relation directe avec la matière, consciente de sa propre modification.

La sensation d'effort-moteur variable dans le champ ternaire et dépendant de ses trois fondamentales directes ou inverses (n° 26, 27) est

associée à la contraction de la fibre musculaire. Nous admettons qu'il y a proportionnalité entre l'intensité de la sensation et celle de la modification, qui est le raccourcissement. Il résulte de là que les contractions de toutes les fibres d'un organe mobile dépendent elles-mêmes de trois variables indépendantes qui sont les contractions de fibres fictives correspondant aux fondamentales. En attribuant ainsi au phénomène objectif les qualités du phénomène subjectif, on reste bien dans l'esprit de cette étude qui a pour objet de suivre l'hypothèse de la subjectivité des qualités de l'espace. Observons que cette déduction revient à dire que nos fibres musculaires sont soumises à notre système nerveux et que les seuls mouvements possibles sont ceux qui ont une cause déterminante. Or si cette cause est soumise aux conditions du champ ternaire, ses effets le sont nécessairement. Nous reconnaissons toutefois que nos habitudes d'esprit nous rendent difficile l'abstraction dont il s'agit. L'espace a pour nous une réalité qui semble imposer ses qualités a priori à toute relation ou modification possible, mais il en est de même de bien des phénomènes relatifs, tant qu'on les considère comme absolus et la connaissance du mouvement de la terre n'est pas encore devenue une perception directe, ce qu'elle deviendra peut-être sous l'influence du besoin de mettre nos perceptions en accord avec notre connaissance.

Le mouvement d'un organe mobile détermine des variations dans l'ensemble des fibres musculaires et les variations totales des fibres fictives constituent un cycle jouissant d'une propriété particulière. Quand une sensation d'effort-moteur est perçue d'une manière continue, l'intensité de cette sensation multipliée par la durée de la perception est un produit que nous désignons par *quantité de sensation*, et qui est l'expression de notre apport dans l'exercice de notre faculté de mobilité. De tous les passages de l'organe mobile de l'une des extrémités à l'autre du cycle, celui pour lequel la somme des quantités de sensation successivement dépensées est le moindre, est tel que la sensation conserve le même caractère spécifique. Représentons-nous le champ ternaire figuré

par la sphère (n° 26) et choisissons une direction quelconque parmi toutes celles de l'espace angulaire total. Le cycle donné est fourni par la somme minima d'effort, lorsque l'espèce de la sensation, c'est-à-dire la direction choisie est telle qu'elle permet à l'organe mobile d'accomplir le cycle sans qu'elle varie elle-même. La démonstration analytique de cette propriété est celle qui montre, par une application élémentaire du calcul des variations, que la plus courte distance d'un point à un autre est la ligne droite.

§ 6. Notion d'espace sphérique.

N° 35. Nous appelons *notion d'espace sphérique* celle de toutes les directions autour d'un point accompagnée de celle d'une longueur quelconque portée sur une direction à partir du point.

La sensation d'effort-moteur est représentée par l'espace sphérique. Nous avons remarqué (n° 20) que les démonstrations relatives à la composition des sensations ne reposaient pas sur leur représentation graphique. Nous démontrons maintenant que cette représentation est possible. En effet, la sensation dépend des six fondamentales, inverses deux à deux, par la fonction du cosinus, de la même manière que la force résultante dépend de ses projections sur un système d'axes rectangulaires positifs et négatifs et, d'autre part, la force variable dans tout l'espace sphérique est équivalente à cette notion.

La notion d'espace sphérique est la sensation d'effort-moteur. De même que la notion de couleur, qui comprend sa variation spécifique et la variation de son intensité lumineuse, est la sensation colorée avec ses qualités variables (n° 3) perçue par la rétine, la notion de direction à partir d'un point, sa variation spécifique dans l'espace angulaire et la variation d'une longueur prise sur la direction à partir du centre, sont

la sensation d'effort-moteur perçue par l'organe nerveux de l'organe mobile. A l'appui de cette assertion nous faisons valoir les considérations suivantes :

1° Chaque sens donne lieu à une notion qui lui est spéciale. Il existe donc, dans l'exercice du sens musculaire, une notion qui est pour cette sensation ce qu'est la couleur pour la vue, la résistance pour le toucher, le son pour l'ouïe, l'odeur pour l'odorat, la saveur pour le goût.

2° Ce sens n'est pas apparent comme les cinq autres, parce que la qualité qu'il nous fait connaître du monde sensible constitue pour nous le monde sensible lui-même sous la dénomination d'espace. Nous attribuons à la qualité de mobilité de la matière un caractère essentiel et, en effet, les autres qualités ne nous la font connaître qu'au travers d'une sorte d'illusion, puisque les phénomènes de mobilité sont la raison d'être de tous les autres (n° 34). Mais il n'en faut pas moins admettre l'existence d'un sens spécial où prend naissance la notion du mouvement. Cette notion semble exister d'elle-même, précisément parce que ce sens est implicitement admis. Supposons ce sens paralysé; lors même que la vue et le toucher subsisteraient, la notion d'espace qui repose sur la propriété de la mobilité n'existerait plus. Les réactions du monde sensible sur nos sens ne seraient plus reliées entre elles par la conscience de notre activité.

3° Le sens musculaire ne cesse pas d'être analogue aux cinq autres, parce qu'il met en relation notre centre nerveux réceptif avec notre propre volonté s'exerçant sur nos muscles. L'excitation nerveuse partant d'un muscle contracté est assimilable à celle qui part d'un point de la périphérie, quand il s'agit des autres sens, et on peut définir ce sens comme nous donnant directement conscience des modifications dues à la mobilité dans un espace restreint qui est notre corps. Cette conscience s'étend au delà de ces limites par l'intermédiaire des autres sens et devient celle de l'espace.

4° La conception très complète et très nette de la notion d'espace chez les aveugles est une donnée importante en faveur de l'hypothèse d'un

sens musculaire" indépendant de la vue et du toucher. Un aveugle-né possède la notion de la direction variable autour d'un point et d'une longueur portée sur la direction avec le même caractère de précision que le voyant. L'angle a une signification aussi claire pour l'un que pour l'autre; mais, pour exprimer objectivement sa conception de la ligne droite, l'aveugle a recours au sens du toucher et dit qu'elle est un fil tendu très mince, au lieu de parler d'un trait sur le papier.

Nous avons constaté, ce qui du reste n'est pas contesté, l'existence de toutes les notions géométriques avec leur complète rigueur chez l'aveugle-né. Voici un exemple de la manière dont la notion géométrique de l'espace s'exerce chez un aveugle. Nous posons la question suivante : Je suppose qu'à 100 mètres devant vous se trouve un arbre de 10 mètres de hauteur; dans quelle direction, par rapport à vous, se trouve le sommet de cet arbre? On répond : Je sais que si je marchais 100 mètres, je rencontrerais un arbre; un arbre de 10 mètres n'est pas un objet dont l'ensemble me présente une idée tout à fait nette; l'aveugle ne possède pas au même degré que le voyant la faculté de juxtaposer par l'imagination les diverses parties d'un objet de grandes dimensions; mais j'ai grimpé à des arbres et je me rends compte de la hauteur. Je m'imagine donc un triangle rectangle dont les côtés, comprenant l'angle droit, ont respectivement 100 mètres et 10 mètres, et la direction dans laquelle se trouve le sommet de l'arbre est déterminée par l'hypoténuse. Cette réponse nous a été faite par un professeur de géométrie qui a perdu la vue à deux ans, et prouve que la géométrie tactile existe dans l'esprit de l'aveugle avec le même degré de finesse et de sécurité que dans celui du voyant. Ne doit-on pas en conclure que la géométrie n'est ni visuelle ni tactile, mais musculaire?

Nous avons aussi constaté que l'aveugle indique en étendant le bras avec une certaine précision d'où vient un son. Il constate ainsi l'identité de la direction du son avec celle dans laquelle il faudrait qu'il marchât pour en atteindre l'origine. Bien que la notion de direction prolongée ne puisse ainsi s'objectiver pour lui, que par un procédé d'activité com-

plexe, au lieu d'être la prolongation de la ligne de visée du voyant, elle n'en conserve pas moins le caractère net et géométrique. Il est à noter que l'aveugle étend les bras incomplètement en gardant les coudes au corps, ayant pour objet de mettre en relation les objets extérieurs non avec la tête qui, pour le voyant, est le centre angulaire, mais avec le milieu de la poitrine qui est le centre bi-tactile.

N° 36. Tout organe mobile donne lieu à la production de la notion d'espace sphérique rapportée à cet organe. Nous formulons ainsi, sans chercher à l'analyser davantage pour le moment, l'exercice du sens musculaire, tel que nous l'avons défini, en admettant que la notion d'espace sphérique est la sensation d'effort-moteur.

Il n'y a pas lieu de résumer ce paragraphe dans lequel il n'entre pas de calculs et où les considérations, qui sont présentées, le sont aussi brièvement que possible.

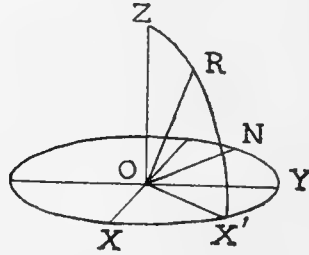
§ 7. Déplacement de l'espace sphérique ou champ ternaire par rapport à lui-même.

N° 37. Changement de coordonnées angulaires. Soit OR une direction quelconque donnée par α, β, γ . Cherchons les coordonnées angulaires de la normale, ON, aux deux directions OZ et OR (fig. 12). Soient λ, μ, ν , les angles de la normale avec les axes et V l'angle plus petit que π des deux directions. On a, en général :

$$(27) \left\{ \begin{array}{l} \cos \lambda = \pm \frac{1}{\sin V} [\cos \beta' \cos \gamma - \cos \gamma' \cos \beta] \\ \cos \mu = \pm \frac{1}{\sin V} [\cos \gamma' \cos \alpha - \cos \alpha' \cos \gamma] \\ \cos \nu = \pm \frac{1}{\sin V} [\cos \alpha' \cos \beta - \cos \beta' \cos \alpha] \end{array} \right.$$

Il y a ambiguïté, parce qu'un champ continu, le grand cercle XY, peut être parcouru en deux sens contraires. Dans le champ des sensations d'effort-moteur, les constantes servant à fixer le sens direct viennent de notre configuration. De là les dénominations suivantes : Une

Fig. 12.



normale OZ est positive par rapport aux deux directions énoncées dans l'ordre OX, OY, quand OZ étant la direction de notre corps, avec les pieds en O et la tête en Z, le regard allant de X à Y va de droite à gauche ; la succession XY s'appelle le sens direct par rapport à la normale positive et la succession contraire rétrograde¹. Cette règle donne les signes supérieurs des équations (27) si l'on va de la direction avec un accent à celle sans accent, et pour la normale ON aux directions OZ, OR, on a :

$$\cos \lambda = -\frac{\cos \beta}{\sin \gamma} \quad \cos \mu = \frac{\cos \alpha}{\sin \gamma} \quad \cos \nu = 0$$

L'angle que fait ON avec OY ou, ce qui revient au même, celui de OX' avec OX étant désigné par φ et susceptible de varier de 0 à 2π , on a :

$$(28) \left\{ \begin{array}{l} \cos \alpha = \cos \varphi \sin \gamma \\ \cos \beta = \sin \varphi \sin \gamma \end{array} \right.$$

¹ Cette définition du sens de la rotation autour d'un axe est celle qui concorde avec les désignations astronomiques. Il en résulte que le mouvement des aiguilles d'une montre est rétrograde.

et les trois variables $\alpha \beta \gamma$ se trouvent remplacées par les deux variables γ et φ . Je les désigne par coordonnées bi-angulaires.

N° 38. Variation du champ ternaire par rapport à lui-même. Considérons le champ ternaire rapporté au système X, Y, Z, puis un second système d'axes orthogonaux ayant OZ commun avec le précédent X', Y', Z et déterminons OX' par l'angle φ' .

A. Étant donnée une direction quelconque rapportée au premier système, on obtient celle qui lui est équivalente dans le second système en laissant γ constant et en ajoutant φ' à la seconde coordonnée bi-angulaire.

Ce principe peut s'énoncer de la manière suivante : l'axe OZ restant le même, on suppose que OX fasse successivement des angles divers avec sa direction initiale; toute direction reste équivalente à elle-même, c'est-à-dire conserve les mêmes coordonnées, si γ reste constant et si φ croît de ces mêmes angles. Le champ ternaire reste ainsi identique à lui-même tout en se déplaçant par rapport à lui-même.

B. Toute variation élémentaire a lieu de cette manière. Démontrons en premier lieu que si le système X, Y, Z, est amené à coïncider avec le système X', Y', Z', ce qui est la variation la plus générale possible, il existe une direction $\alpha \beta \gamma$ qui conserve les mêmes coordonnées. On a le tableau :

	X	Y	Z
X'	a_1	b_1	c_1
Y'	a_2	b_2	c_2
Z'	a_3	b_3	c_3
D	α	β	γ

Soient $\alpha' \beta' \gamma'$ les coordonnées de D par rapport à X', Y', Z', on a trois équations qui donnent $\cos \alpha'$, $\cos \beta'$, $\cos \gamma'$ et qui donnent une solution si l'on y fait $\alpha' = \alpha \beta' = \beta \gamma' = \gamma$.

D'autre part, une variation élémentaire ne peut avoir lieu que d'une seule manière. Si l'on suppose que la direction constante est prise pour axe des Z, la variation élémentaire a donc lieu par celle de φ . On appelle

rotation élémentaire autour de l'axe OZ cette variation positive ou négative.

N° 39. Composition des rotations élémentaires. Donnons au champ ternaire trois rotations élémentaires autour de Z, X, Y, et cherchons les variations des coordonnées α, β, γ au moyen des équations (28). En s'arrêtant au premier degré on peut laisser α, β, γ , constants dans le facteur de $d\varphi$. On a ainsi, en appelant $\varphi_1, \varphi_2, \varphi_3$ la coordonnée bi-angulaire φ correspondant aux X, Y, Z, et en différenciant les (28) :

$$\begin{array}{ccc} \text{OZ} & \text{OX} & \text{OY} \\ d\alpha = \frac{\cos \beta}{\sin \alpha} d\varphi_3 & d\beta = \frac{\cos \gamma}{\sin \beta} d\varphi_1 & d\gamma = \frac{\cos \alpha}{\sin \gamma} d\varphi_2 \\ d\beta = -\frac{\cos \alpha}{\sin \beta} d\varphi_3 & d\gamma = -\frac{\cos \beta}{\sin \gamma} d\varphi_1 & d\alpha = -\frac{\cos \gamma}{\sin \alpha} d\varphi_2 \end{array}$$

Égalant à 0 les variations totales, on a :

$$\begin{array}{l} \frac{\cos \beta}{\sin \alpha} d\varphi_3 - \frac{\cos \gamma}{\sin \alpha} d\varphi_2 = 0 \\ \frac{\cos \gamma}{\sin \beta} d\varphi_1 - \frac{\cos \alpha}{\sin \beta} d\varphi_3 = 0 \\ \frac{\cos \alpha}{\sin \gamma} d\varphi_2 - \frac{\cos \beta}{\sin \gamma} d\varphi_1 = 0 \end{array}$$

coordonnées qui déterminent la direction α, β, γ de l'axe de rotation et qui donnent :

$$\frac{\cos \alpha}{d\varphi_1} = \frac{\cos \beta}{d\varphi_2} = \frac{\cos \gamma}{d\varphi_3} = \frac{1}{\sqrt{d\varphi_1^2 + d\varphi_2^2 + d\varphi_3^2}}$$

Cherchons en second lieu la valeur de la rotation élémentaire autour de cet axe OA et pour cela considérons OE normal à OA et à OX. Les angles α', β', γ' , de OE données par les (27) sont :

$$\cos \alpha' = 0 \quad \cos \beta' = \frac{d\varphi_3}{\sqrt{d\varphi_2^2 + d\varphi_3^2}} \quad \cos \gamma' = -\frac{d\varphi_2}{\sqrt{d\varphi_2^2 + d\varphi_3^2}}$$

Le cosinus d'un angle infiniment petit ε a pour valeur en s'arrêtant aux termes du second degré :

$$\cos \varepsilon = \cos \alpha \left[\cos \alpha \left[1 - \frac{d\alpha^2}{2} \right] - \sin \alpha d\alpha \right] + \text{etc.} =$$

$$1 - \frac{1}{2} [\cos^2 \alpha d\alpha^2 + \cos^2 \beta d\beta^2 + \cos^2 \gamma d\gamma^2] - [\cos \alpha \sin \alpha d\alpha + \cos \beta \sin \beta d\beta + \cos \gamma \sin \gamma d\gamma]$$

D'autre part la condition :

$$\cos^2 (\alpha + d\alpha) + \cos^2 (\beta + d\beta) + \cos^2 (\gamma + d\gamma) = 1$$

donne :

$$- [\cos^2 \alpha d\alpha^2 + \cos^2 \beta d\beta^2 + \cos^2 \gamma d\gamma^2] - 2 [\cos \alpha \sin \alpha d\alpha + \cos \beta \sin \beta d\beta + \cos \gamma \sin \gamma d\gamma] + \sin^2 \alpha d\alpha^2 + \sin^2 \beta d\beta^2 + \sin^2 \gamma d\gamma^2 = 0$$

On a donc :

$$\cos \varepsilon = 1 - \frac{1}{2} [\sin^2 \alpha d\alpha^2 + \sin^2 \beta d\beta^2 + \sin^2 \gamma d\gamma^2]$$

d'où :

$$\varepsilon = \sqrt{\sin^2 \alpha d\alpha^2 + \sin^2 \beta d\beta^2 + \sin^2 \gamma d\gamma^2}$$

Cette expression donne pour α' , β' , γ' et les variations $d\alpha'$, $d\beta'$, $d\gamma'$ exprimées plus haut par les rotations $d\varphi_1$, $d\varphi_2$, $d\varphi_3$:

$$\varepsilon = \sqrt{d\varphi_1^2 + d\varphi_2^2 + d\varphi_3^2}$$

OE étant normal à l'axe de rotation, ε est la valeur de la rotation élémentaire. Cette démonstration n'introduit dans le calcul aucune notion qui ne soit pas angulaire.

Remarque. Les variables $d\varphi_1$, $d\varphi_2$, $d\varphi_3$, peuvent être considérées comme des intensités de composantes orthogonales et se composent comme les sensations elles-mêmes. On peut leur appliquer les équations de transformation (18) qui deviennent :

et la somme minima correspond à une somme minima d'angles élémentaires entre OA et OB; il faut donc que l'intégrale :

$$\int \sqrt{\sin^2 \alpha dx^2 + \sin^2 \beta d\beta^2 + \sin^2 \gamma d\gamma^2}$$

prise entre $\alpha_0, \beta_0, \gamma_0$ et $\alpha_1, \beta_1, \gamma_1$, soit un minimum. Faisons $\cos \alpha = x \cos \beta = y \cos \gamma = z$; l'expression sous le signe somme devient :

$$\sqrt{dx^2 + dy^2 + dz^2}$$

et on a :

$$x^2 + y^2 + z^2 = 1$$

Le problème est celui de la plus courte distance entre deux points sur la sphère. Il faut donc que la rotation ait lieu autour d'un seul axe qui est normal aux deux directions initiale et finale, OA et OB.

N° 41. *Résumé.* Nous établissons dans ce paragraphe les propriétés connues des rotations élémentaires d'un corps tournant autour d'un point fixe et cette démonstration sous une forme différente de celle que l'on trouve habituellement dans les traités de mécanique, a seulement l'avantage de ne supposer aucune autre notion géométrique que celles impliquées par notre définition de l'espace sphérique. Ces propriétés deviennent, dans notre étude, celles du déplacement de l'espace sphérique par rapport à lui-même. Ce déplacement, lorsqu'il est élémentaire, est réductible à trois rotations élémentaires autour de trois axes orthogonaux qui équivalent à une rotation autour d'un axe résultant. La composition des rotations élémentaires suit la loi de la composition des sensations, résultat important qui est une conséquence des propriétés du cosinus, c'est-à-dire de la relation entre la variation du champ angulaire et celle des composantes fondamentales. En d'autres termes, trois rotations élémentaires autour des axes OX, OY, OZ, ayant des valeurs que l'on peut représenter par des composantes X, Y, Z, équivalent à une rotation autour d'un axe, qui se trouve avoir pour direction celle de la

résultante de X, Y, Z, et dont la valeur est cette résultante elle-même, $\sqrt{X^2 + Y^2 + Z^2}$.

Ces propriétés de la variation élémentaire permettent d'établir une propriété importante des variations finies, qui définit en géométrie le plus court chemin d'un point à un autre, sur la surface de la sphère. Pour que le champ ternaire en se déplaçant de telle manière qu'une direction OA devienne OB (fig. 13) donne lieu à une somme minima de rotations élémentaires, il faut que le déplacement soit une rotation autour d'un axe constant, lequel se trouve normal aux deux directions OA et OB.

§ 8. Espace visuel monoculaire.

N° 42. Nous appelons sensation visuelle, en restreignant cette expression, celle que nous percevons lorsque la lumière provenant d'une source très éloignée, telle qu'une étoile atteint notre œil. Nous faisons abstraction de la couleur et de l'intensité et ne prenons en considération que la variation du point de la rétine qui subit l'excitation.

A. Nous attribuons une existence à la cause de toute sensation visuelle. L'existence du monde sensible se constitue par la notion de cause de sensation puisque nous n'en avons conscience que par nos sensations. Nous croyons qu'une cause de sensation existe parce que nous croyons qu'en nous remplaçant dans les mêmes circonstances et en éliminant tout ce qui ne dépend pas de cette cause, nous percevons de nouveau la même sensation. Nous acquérons la certitude à cet égard en faisant intervenir notre volonté dans les phénomènes où cette cause est en jeu, parce que nous éliminons ainsi de plus en plus la possibilité des circonstances fortuites. L'expérimentation est la base de notre conviction. La citation suivante d'un passage de l'*Optique physiologique* fera com-

prendre, mieux que nous ne saurions le faire autrement, sur quelles données réelles ces considérations sont fondées¹. « Si les objets ne faisaient que passer devant nos yeux, sous l'action d'une force étrangère et sans que nous pussions rien y faire, nous n'aurions peut-être jamais pu nous reconnaître dans une semblable fantasmagorie, de même qu'on ne pouvait pas expliquer les mouvements apparents des planètes sur la voûte céleste avant de savoir leur appliquer scientifiquement les lois de la perspective. Mais si nous remarquons que, pour obtenir différentes images d'une table, il nous suffit de nous déplacer ; qu'en choisissant convenablement notre position, nous pouvons en obtenir à volonté, et au moment que nous voulons, tantôt le premier, tantôt le second aspect ; que la table peut disparaître pour nos sens, mais qu'elle reparaît à tel instant que nous voulons, dès que nous y portons le regard, nous acquérons la conviction, basée sur l'expérience, que nos mouvements sont la cause des différents aspects de la table et, que nous la voyions ou ne la voyions pas, que nous pouvons la voir dès que nous voulons. C'est ainsi que nos mouvements nous apprennent à considérer l'image immobile de la table dans l'espace comme la cause des images variables qui se présentent dans nos yeux. Nous déclarons que la table est là, indépendamment de notre observation, parce que nous pouvons l'observer *à tout instant de notre choix*, dès que nous nous mettons dans une position convenable.

B. Nous associons une cause de sensation dont l'existence est admise à la sensation de mouvement volontaire qui a pour conséquence de provoquer cette sensation spéciale ou de la laisser subsister à l'exclusion des autres. Cette association est la localisation de la cause.

Notre procédé pour connaître le monde sensible est, comme on l'a rappelé (A), une intervention incessante de notre activité dans l'exercice de nos perceptions. Quand nous disons connaître une cause de sensation, nous voulons dire que nous connaissons la manière dont notre

¹ *Optique physiologique*, par H. Helmholtz. Traduction Javal et Klein, p. 590.

activité nous fait entrer en relation avec cette cause. Elle est définie pour nous par le point de contact, si l'on peut s'exprimer ainsi, de la sphère d'activité de la cause et de notre sphère d'activité, c'est-à-dire par l'association de la sensation résumant l'activité de la cause avec la sensation résumant la nôtre. Localiser la cause, c'est la classer dans le seul champ de variation qui soit à notre disposition, le champ de variation de la sensation d'effort-moteur. La localisation est un travail d'association, une abstraction produite par la simultanéité des sensations associées et qui devient pour nous la représentation du monde sensible et ce monde sensible lui-même.

N° 43. L'œil est un organe mobile qui se trouve être l'organe de la sensation visuelle. Elle varie dans le champ rétinien où chaque espèce se distingue des autres, et il existe une espèce qui donne lieu à une sensation plus intense, attirant notre attention avec plus d'énergie de manière que les autres espèces, bien qu'existant simultanément, semblent disparaître. Elle est celle qui est due à l'excitation de la fovea centralis ou tache jaune, la portion très circonscrite de la rétine où a lieu la vision directe, la seule où l'image est nette. Nous considérons en premier lieu la rétine comme réduite à ce point central et la sensation visuelle comme n'existant que sous cette forme.

A. L'œil étant un organe mobile, détermine la production de la notion d'espace sphérique (n° 36) rapportée au globe oculaire.

B. Étant donnée une sensation visuelle, il existe une espèce de sensation d'effort-moteur qui la laisse subsister et il n'en existe aucune autre.

Nous admettons cette proposition comme point de départ d'ordre expérimental dans l'exercice de la vision monoculaire.

C. Nous localisons la cause de la sensation visuelle en l'associant à la sensation d'effort-moteur qui la laisse subsister à l'exclusion de toutes les autres (n° 42). L'expérimentation nous fait acquérir la conviction de l'existence de la cause, parce que nous pouvons retrouver la sensation en donnant de nouveau à l'œil le seul mouvement qui la laisse subsister après lui avoir donné des mouvements qui la suppriment.

D. L'œil est susceptible de prendre des positions successives, telles que, dans ces positions, la sensation d'effort-moteur qui localise la sensation visuelle occupe une certaine portion du champ ternaire et cette portion du champ ternaire constitue le champ visuel monoculaire.

Cette proposition est comme B une donnée expérimentale et la conclusion que nous en tirons est une conséquence de ce qui précède.

E. Nous avons ainsi démontré le mode de formation de l'espace visuel. Si l'on veut se représenter le mouvement de l'œil en supposant possédées toutes les notions géométriques de l'espace visuel et tactile, on sait que le mouvement d'une sphère dont le centre est fixe, tel qu'est le mouvement du globe oculaire, est un mouvement de rotation autour d'un certain axe. Toute sensation d'effort-moteur oculaire correspond donc à une rotation autour d'un certain axe. D'autre part, l'axe de rotation, qui laisse subsister le passage d'un rayon lumineux de la pupille au centre de la rétine, est la droite qui joint ces deux points, car elle passe sensiblement par le centre de rotation de l'œil. Donc la direction dans l'espace sphérique suivant laquelle nous objectivons la source lumineuse est l'axe de rotation coïncidant avec le rayon lumineux.

Ici se présente une difficulté dont nous ne méconnaissons pas l'importance. L'œil n'effectue pas ou n'effectue que très peu le mouvement de rotation autour de la ligne de regard, le mouvement appelé torsion, raddrehung en allemand, en vertu duquel l'iris exécute une rotation semblable à celle d'une roue. Ce n'est pas que cette rotation soit impossible, car le système des muscles de l'œil permet une rotation autour d'un axe quelconque, mais elle ne rentre pas dans les mouvements que nous savons faire exécuter à notre œil dans l'exercice des fonctions visuelles. D'après nos déductions, lorsque nous regardons une étoile et que nous voulons avoir conscience de l'existence de cette direction lumineuse, nous devrions pouvoir faire tourner notre œil autour de cette direction comme axe et constater que les étoiles voisines se déplacent tandis que celle-là reste immobile. Ce mouvement, nous le répétons, n'est pas réalisable. Le seul indice de sa production possible est le mou-

vement apparent consécutif à la rotation d'une figure rotative étoilée en sens inverse du mouvement, dénotant l'existence d'un mouvement de torsion dans l'œil. L'association que nous supposons exister doit être considérée comme le résultat acquis d'une expérimentation initiale dont l'individu hérite ou que l'enfant, peut-être pendant la première période de son existence, renouvelle en partie. Notre hypothèse implique que pour toute position de l'œil nous connaissons la sensation d'effort-moteur qui, en s'exerçant, laisserait subsister la sensation visuelle directe et que nous localisons suivant cette sensation la source lumineuse. Nous admettons que cette sensation existe à l'état de sensation d'effort-moteur statique (n° 30).

N° 44. Champ rétinien. Nous avons montré que toute perception visuelle directe est associée à une sensation d'effort-moteur ou direction de l'espace sphérique oculaire. Il existe une variation de la sensation visuelle que nous percevons par la conscience que nous avons du champ rétinien.

A. La variation continue de l'espèce de la sensation visuelle indirecte dans le champ rétinien accompagnant le mouvement de l'œil nous donne la conviction de la persistance de la cause lumineuse.

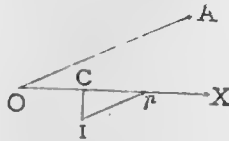
On peut faire rentrer cette conviction dans celle de la permanence d'une cause de sensation, acquise par l'expérimentation volontaire. Nous avons expérimenté qu'un certain mouvement laisse la vision directe intacte et détermine au contraire des modifications de toutes les visions indirectes. Lorsque nous passons d'une cause lumineuse à une autre, nous trouvons que celle qui subsistait donne lieu à un mouvement continu sur la rétine et, ayant d'autre part conscience que notre mouvement volontaire est continu, nous attribuons le phénomène à la persistance de la cause et à notre propre activité.

B. Par l'intermédiaire de la vision indirecte, nous donnons à notre œil un mouvement tel que la cause d'une sensation indirecte devienne celle de la sensation directe. Le tâtonnement et l'expérimentation permettent évidemment d'obtenir ce résultat et nous expliquons ainsi par quel procédé s'opère la localisation des causes lumineuses (n° 43. D.).

C. Le champ rétinien se localise suivant une portion du champ ternaire ou espace sphérique, laquelle se déplace avec la direction de l'espèce directe. Supposons l'espace sphérique oculaire rapporté à un système de trois axes orthogonaux particuliers, tels que, l'œil étant dans sa position initiale ou normale, la sensation directe coïncide avec OX. Soit c la cause de la sensation directe et c' celle d'une sensation indirecte i du champ rétinien; d est l'espèce directe du champ rétinien. Nous expérimentons que c' devient cause de la sensation directe et se localise suivant une direction OA dans le système d'axes. Nous ramenons l'œil à la position OX et, le faisant tourner autour de OA, nous trouvons que c' perçue par i est la cause lumineuse non modifiée. Or OX et OA sont deux directions du champ ternaire reliées entre elles par un angle constant. Par conséquent l'espèce i est liée à d par cet angle. Nous classons les espèces i par rapport à l'espèce d dans le champ ternaire autour de OX qui est la direction moyenne de la cause lumineuse directe.

Montrons maintenant objectivement comment la rotation de l'œil autour de l'axe OA laisse subsister sans variation l'espèce indirecte i . Soit OX (fig. 14) l'axe normal de l'œil, p la pupille, I le point où le

Fig. 14.



rayon lumineux parallèle à OA rencontre la rétine dont le centre est C. Le point I de la rétine est celui dont l'excitation donne la sensation correspondant à un rayon lumineux parallèle à OA, parce que pI et OA sont parallèles. Une rotation du globe oculaire autour de OA comme axe laisse le rayon pI atteindre la rétine en un point constant.

D. Un mouvement quelconque de l'œil donne lieu à un déplacement de l'espace sphérique rétinien par rapport à l'espace sphérique visuel. Lorsque l'œil se meut, nous percevons directement la variation du champ rétinien par rapport au champ visuel supposé fixe. En effet si l'espèce *i* est, il est vrai, un élément spécifique constant, nous avons appris, d'autre part, que par un mouvement volontaire, l'espèce *i* devient la perception d'une autre cause lumineuse et que celle qui produisait *i* produit une espèce voisine. Nous avons ainsi appris à avoir conscience du déplacement de l'espace rétinien dans l'espace visuel fixe. A l'appui de cette assertion rappelons que si nous déplaçons notre œil par une pression du doigt, nous croyons voir se déplacer le champ visuel.

N° 45. L'œil se trouve défini par les propriétés que nous avons établies dans le n° 44. Il constitue un organe mobile qui se localise suivant le champ rétinien et dont le déplacement par rapport au champ visuel possède les propriétés rappelées dans le § 7 et qui sont celles du mouvement angulaire d'un corps autour d'un point fixe.

A. La sensation d'effort-moteur correspond à une rotation élémentaire autour d'un certain axe.

En effet tout déplacement élémentaire est une rotation autour d'un certain axe (n° 38, B.), et d'autre part toute sensation d'effort-moteur donne lieu à un mouvement élémentaire (n° 30, B.).

B. La sensation donnant lieu à la rotation autour d'un certain axe est celle dont la direction coïncide avec cet axe.

L'organe mobile localisé suivant le champ rétinien se déplace en laissant subsister, sans modification, la direction visuelle autour duquel l'œil tourne. Or la sensation d'effort-moteur qui agit localise précisément (n° 43, C.) la sensation visuelle; elle est donc la direction de cette sensation visuelle localisée.

C. Les équations (23) (n° 31) établissent une relation entre les raccourcissements des fibres fictives fondamentales et ceux d'un système quelconque de fibres orthogonales. Les muscles qui font mouvoir l'œil satisfont approximativement, à la condition de présenter trois paires de

fibres orthogonales. Désignons par $d\varphi_1, d\varphi_2, d\varphi_3$, des rotations élémentaires autour des trois axes de rotation et admettons la proportionnalité de la rotation élémentaire au raccourcissement de la fibre.

En désignant par h une constante, on a :

$$(30) \quad \begin{aligned} d\varphi_1 &= h X dt \\ d\varphi_2 &= h Y dt \\ d\varphi_3 &= h Z dt \end{aligned}$$

X, Y, Z étant les sensations qui donnent lieu à des rotations élémentaires autour des X, Y, Z (B.). On a donc :

$$\sqrt{d\varphi_1^2 + d\varphi_2^2 + d\varphi_3^2} = h dt \sqrt{X^2 + Y^2 + Z^2}$$

D'autre part, le déplacement élémentaire du champ angulaire possède (n° 39) la propriété que nous avons admise, comme conséquence de la composition des sensations, pour le raccourcissement de la fibre. Il dépend des trois rotations orthogonales, comme la sensation dépend de ses trois fondamentales ou de trois variables fictives orthogonales. La proportionnalité de trois rotations orthogonales quelconques aux trois sensations correspondantes donne donc lieu à une proportionnalité constante s'exprimant comme suit : Toute sensation détermine une rotation qui lui est proportionnelle autour de sa propre direction.

D. De tous les mouvements finis par lesquels l'axe visuel de l'œil passe d'une direction initiale OA à une direction finale OB, celui pour lequel la somme des quantités des sensations est minima exige que la sensation reste d'espèce constante, et elle est normale aux directions OA et OB.

Dans la démonstration (n° 40) du passage de rotation minima, l'expression sous le signe somme, est d'après ce qu'on vient de voir (C), la quantité élémentaire de sensation et la constance de l'axe de rotation devient la constance de la direction de la sensation. La somme des quantités de sensation est proportionnelle à l'angle OA, OB. En effet, l'axe

de rotation étant à chaque instant normal à l'angle élémentaire, l'angle total est la somme des angles élémentaires. Il résulte de là que nous mesurons la distance angulaire de deux directions par l'angle qu'elles font entre elles, parce que nous passons ainsi de l'une à l'autre en employant la plus petite somme possible de quantités d'effort-moteur.

Le passage de moindre effort entre deux directions est une succession de directions toutes normales à l'axe rotation; elles forment donc un champ binaire ou grand cercle de la sphère.

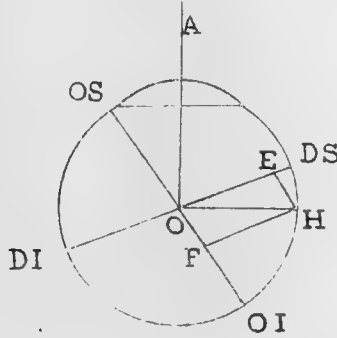
E. Loi de Listing. Dans l'exercice de la vision, lorsque la ligne de regard ou axe visuel direct prend une position déterminée, la position de l'œil lui-même est déterminée aussi de la manière suivante : Soit OA la ligne de regard dans la position normale de l'œil ou position primaire et OB la direction actuelle; l'œil a la position qu'il prendrait en tournant autour d'un axe normal à OA et OB. D'après ce qui précède, on peut énoncer ce principe en disant que l'œil a la position qu'il prendrait, s'il y parvenait à partir de sa position primaire par un passage de moindre effort-moteur.

N° 46. Nous avons admis (n° 45, C.) que les trois axes de rotation des muscles oculaires sont orthogonaux et constants, c'est-à-dire indépendants de la position de l'œil, puisqu'ils sont supposés coïncider avec trois directions orthogonales du champ visuel fixe. Le mécanisme oculomoteur ne satisfait qu'approximativement à ces conditions.

En premier lieu, des trois axes de rotation auxquels on peut rapporter les mouvements oculaires, parce que les six muscles sont deux à deux antagonistes, l'un est bien normal au plan des deux autres, mais ces deux derniers font entre eux un angle d'environ 75° . La figure (15) représente une coupe horizontale de l'œil gauche dans sa position normale. OA est la ligne de regard qui se trouve dans le plan horizontal de la figure. L'axe de rotation vertical dû aux muscles droits externe et interne, n'est représenté que par sa projection en O. L'axe DI, DS, est l'axe horizontal dû aux muscles droits, supérieur et inférieur et fait un angle de 70° avec OA. L'axe OS, OI, est l'axe horizontal dû aux muscles

obliques supérieur et inférieur et fait avec OA un angle de 35° ; il en résulte que OS fait avec DI un angle de 75° . Les désignation des axes servent à montrer quel est le muscle dont la contraction donne à cette direction de l'axe un mouvement de rotation positif.

Fig. 15.

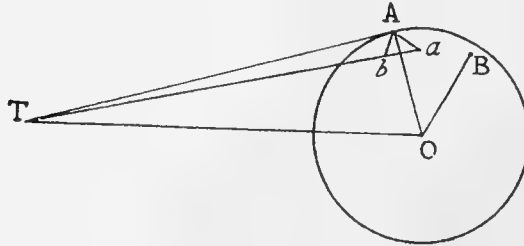


Les propriétés du champ angulaires qui sont celles du cosinus, et qui ont donné les équations (18) (n° 27), permettent de rapporter la sensation à trois directions quelconques, c'est-à-dire de rapporter la force aux trois arêtes du parallélipipède. Il en est de même pour la rotation élémentaire. La proportionnalité entre la sensation et la rotation élémentaire admise pour les trois axes quelconques donne donc les mêmes conclusions que pour trois axes orthogonaux (n° 45, C.). Mais on doit se demander si les rotations élémentaires autour des axes oculaires peuvent être des variables indépendantes comme l'exigent les équations de transformation faisant passer d'un système d'axes orthogonaux à un système d'axes obliques. Or c'est là un point sur lequel nous ne pouvons que faire valoir les considérations suivantes relatives au mode d'insertion des fibres musculaires sur le globe oculaire.

A. Soit AT (fig. 16) une fibre musculaire assujettie à passer par le point fixe T et à être tangente à la sphère et soit Aa l'élément du cercle

de contact. Faisons tourner la sphère autour d'un axe quelconque OB ; le point A décrit un arc élémentaire Ab dans le plan tangent en A et par conséquent la fibre TA se raccourcit de la quantité ba , longueur qui

Fig. 16.



était enroulée sur la sphère. Le point T est supposé suffisamment éloigné pour qu'on ait, en appelant θ l'angle que fait bA avec aA :

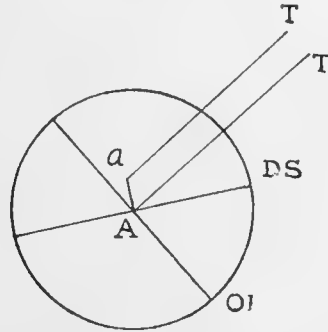
$$ab = Ab \cdot \sin \theta.$$

D'autre part l'angle θ est celui des plans OTA et OBA ; il est donc nécessaire pour que la fibre TA ne subisse pas de modification de longueur que les deux plans soient le même. Puisque l'axe de rotation produit par la fibre TA est normal au plan OAT , il faut que les deux axes soient perpendiculaires l'un à l'autre. Les deux paires des muscles droits qui ont leur extrémité fixe autour du trou optique au fond de la cavité de l'orbite satisfont à cette condition puisque, le point T étant le même, les plans OTA sont l'un le plan vertical et l'autre le plan horizontal. Pour que le troisième axe y satisfait aussi, sa direction qui est bien horizontale devrait être normale au premier axe horizontal, ce qui n'est pas, puisque leur angle est de 75° .

Cherchons ce qui doit résulter de l'action réciproque des rotations. Supposons que l'œil fasse une rotation autour de OI (fig. 15) de manière que la ligne de regard s'élève dans le plan vertical ; les composantes sont OE et OF .

La rotation positive autour de DS déplace le point d'insertion de TA supposé en A suivant l'élément Aa perpendiculaire à DS (fig. 17).

Fig. 17.



La fibre TA dont la contraction représente la rotation positive autour de OI se raccourcit de la quantité $Aa \cos 75^\circ$, car elle a son point d'insertion à l'extrémité inférieure du diamètre vertical. De même la rotation autour de OI contracte la fibre du droit supérieur. Ces contractions de dépendance sont accompagnées de la sensation qui les détermineraient. On peut donc admettre que nous évaluons ce mouvement de rotation comme étant plus grand qu'il ne l'est en réalité, tandis que la rotation autour de l'axe vertical satisfait à la condition d'indépendance pour les axes horizontaux, et ne donne pas lieu à cette évaluation exagérée. On sait que nous estimons les angles verticaux trop grands par rapport aux angles horizontaux et la coïncidence entre cette donnée expérimentale et notre conclusion prouverait qu'en effet nous supposons que nos sensations d'effort-moteur sont indépendantes.

B. La constance des axes de rotation est inadmissible si l'on suppose que la fibre continue à donner la même sensation spécifique, car son point d'insertion se déplace avec le globe oculaire. Le muscle oculomoteur a sur le globe qu'il met en mouvement une insertion en forme

d'éventail d'où résulte que, malgré le déplacement du point d'insertion moyen, il se trouve toujours une fibre musculaire, du moins dans un certain champ angulaire autour de la position primaire, qui peut déterminer la rotation autour d'un axe constant. Suivant cette hypothèse, les diverses fibres d'un même muscle seraient successivement mises en activité par une excitation qui garderait le même caractère spécifique.

Si, comme le mécanisme oculaire semble l'indiquer, les axes de rotation se déplacent avec l'œil lui-même, tout en continuant à correspondre à des sensations constantes, la production de la notion du champ visuel peut s'expliquer en modifiant les considérations du n° 43 que pour plus de simplicité, nous avons exposées d'abord en supposant les axes fixes.

En premier lieu, l'œil étant dans la position primaire, un mouvement de rotation autour d'un axe quelconque, laisse persister la sensation visuelle, qu'elle soit directe ou indirecte (n° 44, C.), due à la cause lumineuse qui est localisée suivant cette direction. La formation de l'espace visuel est donc encore le résultat de l'existence de la notion d'espace sphérique associée aux mouvements qui l'accompagnent lorsque l'œil est dans la position primaire.

En second lieu, l'évaluation du champ visuel par le déplacement du champ rétinien de la position primaire subsiste avec exactitude, car, dans ce champ angulaire restreint, le déplacement des axes n'a qu'une influence insensible. Il existe donc autour de la position primaire de la ligne de regard, un champ angulaire au dedans duquel les mouvements de l'œil sont tels que nous les avons supposés, et sont définis par le déplacement de l'espace angulaire par rapport à lui-même. Au dehors de ce champ angulaire, nous admettons que la non-fixité des axes de rotation donne lieu à des erreurs d'évaluation analogues à celle dont nous avons cherché à montrer la cause. Ainsi dans la position primaire de l'œil, une espèce indirecte i est localisée suivant une direction faisant un angle α avec la direction directe. Lorsque nous déplaçons l'œil de manière que la cause lumineuse de i soit vue directement, l'angle que nous évaluons par la quantité de sensation est inexactement évalué,

puisque nous supposons que les axes sont fixes et qu'ils ne le sont pas. Mais remarquons que nous n'attribuons pas à l'estimation angulaire une bien grande exactitude à moins qu'il ne s'agisse de reconnaître l'égalité, cas dans lequel les mêmes erreurs en se reproduisant ne diminuent pas la valeur de l'estimation.

N° 47. *Résumé.* Nous cherchons à établir avec rigueur la production de la notion d'espace visuel par l'exercice simultané de la perception de la sensation visuelle et de la perception de la sensation d'effort-moteur des muscles oculaires. Le champ rétinien est d'abord supposé restreint à la seule vision directe et nous admettons la localisation de la cause lumineuse suivant la direction de la sensation d'effort-moteur qui la laisse subsister à l'exclusion de toutes les autres. Il en résulte la production du champ visuel.

Prenant ensuite en considération le champ rétinien tout entier, nous montrons qu'un point de la rétine est relié au point central par l'angle entre les deux directions du champ visuel qui déterminent respectivement l'excitation de ces deux portions de la rétine, et que nous localisons le champ rétinien, suivant un champ angulaire ou espace sphérique susceptible de se déplacer avec l'œil par rapport au champ visuel fixe.

Les propriétés du mouvement de l'espace sphérique par rapport à lui-même sont donc celles du champ rétinien par rapport au champ visuel. Il en résulte, entre autres conséquences, que deux directions se trouvent reliées entre elles par leur angle, parce que l'angle plan correspond au passage de la ligne de regard de l'une des directions à l'autre avec l'emploi d'une somme minima de sensation d'effort-moteur.

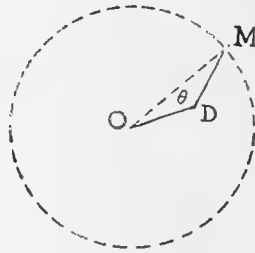
§ 9. **Espace tactile.**

N° 48. Bras schématique. J'appelle bras, l'organe mobile complexe formé par deux articulations, celle de l'humérus et celle du coude, et

main l'extrémité du bras qui perçoit la sensation tactile. Pour qu'on se rende compte de la manière dont cet organe mobile schématique est réalisé par le bras, tel qu'il nous est connu par l'ensemble de nos notions de l'espace, il faut supposer ces notions admises et représenter le bras schématique, sans que cette représentation soit prise pour une démonstration.

J'assimile le bras à un triangle isocèle ODM (fig. 18); O est le centre

Fig. 18.



de rotation de l'humérus, OD l'humérus, DM l'avant-bras, M la main ; l'angle ODM que je désigne par θ est variable suivant la position relative des deux parties de l'articulation du coude et la longueur OM varie avec θ .

J'appelle *bras simple* le bras dans lequel l'articulation du coude ou articulation secondaire a une position invariable quelconque et *bras complexe* celui où cette articulation est susceptible de se mouvoir.

N° 49. Le bras simple est un organe mobile assimilable à l'œil en remplaçant la sensation visuelle par la sensation tactile.

J'appelle sensation tactile directe celle que nous percevons en réunissant les extrémités des doigts et sensations indirectes celles que nous percevons simultanément en les écartant.

Ne considérons en premier lieu que la sensation directe. On peut

répéter ce qui a été établi (n° 43) pour la vision directe et il en résulte la formation d'un champ ternaire tactile rapporté à l'articulation de l'humérus comme le champ ternaire visuel est rapporté au globe oculaire. En effet l'articulation de l'humérus est un organe mobile complètement libre et donnant lieu par conséquent à la formation d'une notion d'espace sphérique, laquelle localise la sensation tactile. Toute sensation tactile attribuée à une cause permanente est localisée suivant la direction de la sensation qui la laisse subsister. De même que pour l'œil, le mouvement volontaire qui laisse subsister la sensation directe M (fig. 18), est la rotation autour de l'axe OM , puisque toute autre rotation fait décrire un cône à la droite OM .

Considérons en second lieu la sensation indirecte; on peut l'assimiler à la vision indirecte, et ce qui a été établi montre que la sensation tactile indirecte constitue un champ ternaire tactile mobile, susceptible de se superposer au champ tactile fixe ou espace angulaire tactile.

Ce qui est relatif au déplacement de l'organe mobile et à son passage d'une position initiale à une position finale est donc applicable au bras simple, à la condition d'admettre la proportionnalité entre les rotations élémentaires autour de trois axes de rotation quelconques et les sensations d'effort-moteur correspondantes.

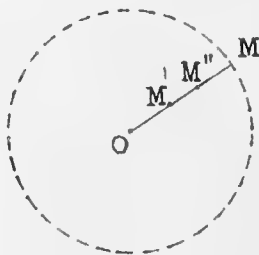
N° 50. L'exercice de la perception tactile au moyen du bras complexe détermine la production de la notion de l'espace appelée profondeur.

Considérons l'exercice de la perception tactile lorsque l'articulation secondaire fonctionne simultanément avec celle de l'humérus. Sur une même direction OM (fig. 19), nous localisons successivement différents points tactiles $M, M',$ etc., et nous acquérons ainsi une notion de l'espace qui n'existe pas dans l'espace visuel monoculaire, et que l'on désigne ordinairement par profondeur. La seconde articulation est un organe mobile incomplètement libre, dont le mouvement ne dépend que d'une seule variable que je désigne par θ et il y a entre cette variable et la quantité de sensation, Sdt , de cette articulation, la relation suivante, h étant une constante :

$$(31) \quad hd\theta = S dt$$

Soit M un point tactile localisé sur une direction déterminée OM (fig. 19). Par le jeu de l'articulation secondaire nous pouvons toucher

Fig. 19.



successivement des points M' , M'' , etc., qui se trouvent localisés sur la même direction et correspondent à des valeurs différentes de θ et, pour une certaine valeur θ_0 , nous pouvons avec la main toucher l'articulation de l'humérus et reconnaître que ce point tactile jouit de la propriété exceptionnelle d'appartenir à toutes les directions autour du point O . En effet si M coïncide avec O , le contact subsiste quel que soit l'axe de rotation. Par conséquent nous localisons le centre O du bras schématique au centre de l'espace tactile angulaire.

Supposons qu'après avoir touché l'humérus, nous touchions de nouveau le point tactile M ; il est d'une part localisé sur la direction OM et de l'autre nous expérimentons qu'il faut pour l'atteindre, à partir du point tactile O , une certaine somme de quantités de la sensation S de l'articulation secondaire, lorsque celle-ci varie entre θ_0 et θ . Le seul élément variable dont nous disposons pour l'associer à cette somme de sensations et localiser le point M , étant admis qu'il l'est sur la direction OM , est l'intensité R de la sensation dont l'espèce est déterminée, c'est-à-dire la longueur OM comptée à partir de O . Il en résulte que nous

localisons le point tactile M en M, en attribuant à la sensation OM une intensité R qui est donnée à cause de l'équation (31) par $h(\vartheta - \vartheta_0)$.

Considérons les points tactiles M, M', etc., qui se localisent sur la même direction et correspondent à des valeurs $\vartheta, \vartheta',$ etc.; on a :

$$R - R' = h(\vartheta - \vartheta')$$

etc.

Les points M, M', M'', O, jouissent donc de la propriété que la différence des distances de deux d'entre eux au point O est égale à leur distance respective. Nous acquérons ainsi la notion d'une direction qui est une suite continue de points tactiles à partir du centre de l'espace angulaire tactile.

J'appelle surface sphérique l'ensemble des points qui sont localisés à une distance constante R du centre O. Il résulte de ce qui précède que l'espace tactile est une surface sphérique de rayon variable; la direction dans laquelle se trouve un point M est celle de l'axe de rotation de l'articulation de l'humérus qui passe par ce point et sa distance à l'origine est une intensité de la sensation d'effort-moteur qui fait tourner l'humérus autour de cet axe, égale à la somme des quantités de sensations d'effort-moteur de l'articulation secondaire qui accompagne le mouvement de cette articulation lorsque la main se meut de la tête de l'humérus au point M. Un point M est défini par les trois projections de la sensation R.

La localisation de la somme des quantités de la sensation S, suivant une intensité de la sensation R est une conséquence du même principe d'association qui localise une sensation visuelle ou tactile suivant une sensation d'effort-moteur. Il faut se rappeler que nous n'avons souvent conscience de nos sensations d'effort-moteur que par la localisation qu'elles déterminent. Une expérience montrant qu'il en est ainsi est la suivante : On étend à demi le bras en avant et en dedans de manière à ce que l'avant-bras fasse un angle obtus avec le bras et en fermant les yeux, on imagine toucher un objet avec les doigts réunis; puis on

cherche à donner à l'humérus un mouvement de rotation, tel que la main ou plutôt le bout des doigts rassemblés ne change pas de place; on le fait sans hésitation. Si l'on déplace le bras et qu'on cherche à reproduire ce même mouvement de rotation, on ne peut essayer de le faire qu'en imaginant un cône dont la ligne droite qui joint la tête de l'humérus aux doigts est une génératrice et dont l'axe est le premier axe de rotation que l'on retrouve approximativement par l'imagination. Ainsi une sensation d'effort-moteur de l'humérus ne nous est connue que par la localisation qu'elle implique de la position de la main.

N° 51. La sensation d'effort-moteur de l'humérus est variable dans un champ qui est le résultat de la position variable de l'articulation secondaire s'associant à cette sensation.

Considérons une certaine valeur de θ . Les sensations d'effort-moteur de l'humérus associées à cette valeur, sont celles qui font passer la main d'un point à un autre de la surface sphérique du rayon R , R étant donné par la valeur $h(\theta - \theta_0)$.

Lorsque la main passe d'un point M à un point infiniment voisin M' de la surface sphérique, la direction passe de OM à OM' . Ce passage effectué avec une somme d'efforts minima est une rotation autour de l'axe normal aux deux directions. OM et OM' , et l'angle élémentaire de rotation est l'angle des deux directions. On a trouvé, pour l'expression de cet angle :

$$\varepsilon = \sqrt{(d \cos \alpha)^2 + (d \cos \beta)^2 + (d \cos \gamma)^2}$$

Soient X, Y, Z , les trois projections de R ; puisque R est constant, on a :

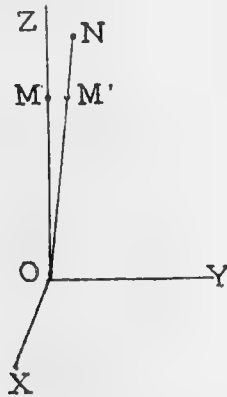
$$(32) \quad R\varepsilon = \sqrt{dX^2 + dY^2 + dZ^2}$$

Si, après avoir localisé le point M par la sensation R dont X, Y, Z , sont les projections, on compose avec cette sensation R la sensation dont les projections sont dX, dY, dZ affectés des signes convenables, la résultante localise le point M' ; il faut donc pour cela composer avec R

une sensation dont l'intensité est $\sqrt{dX^2 + dY^2 + dZ^2}$ ou, d'après l'équation (32), $R\varepsilon$. Par conséquent, pour que la rotation ε donne lieu à une sensation d'effort-moteur dont l'intensité soit celle qui localise le point M' , il faut que l'intensité de la sensation s'obtienne en multipliant par R l'angle ε . Ce résultat s'énonce ainsi : La sensation d'effort-moteur de l'humérus associée à une valeur θ de l'articulation secondaire, prend une intensité que l'on obtient en multipliant l'angle de rotation par l'intensité qui localise un point tactile obtenu avec cette valeur de θ .

N° 52. Considérons un point M et un point quelconque infiniment voisin N , et supposons que la main passe de M à N . Choisissons, pour simplifier la démonstration, OM pour axe des Z (fig. 20). Pour faire

Fig. 20.



passer la main de M en N , on peut effectuer simultanément les deux mouvements, l'un qui fait passer la direction OM en OM' , et l'autre qui fait passer M' en N . Les projections de OM sont o, o, Z , celles de ON $dX, dY, Z + dZ$ et celles de OM' dX, dY, Z ; en effet l'angle de OM' avec OZ étant infiniment petit, sa projection sur OZ est égale à OM , c'est-à-dire à Z et sa projection sur OX et OY ne diffère de celle de

ON que d'un infiniment petit du second ordre. Le premier mouvement est obtenu par une sensation d'effort-moteur dont l'intensité est (n° 51) :

$$\sqrt{dX^2 + dY^2}$$

Le second mouvement est obtenu par une variation de θ qui donne une sensation d'effort-moteur $M'N$ ou dZ , parce que l'angle est infiniment petit. La sensation d'effort-moteur résultante a donc pour intensité :

$$\sqrt{dX^2 + dY^2 + dZ^2}$$

Cette expression est, comme on peut le démontrer, indépendante du système d'axes orthogonaux auxquels le champ ternaire est rapporté et par conséquent on a établi que : La variation élémentaire du point tactile s'effectue par une sensation d'effort-moteur qui a pour intensité la résultante des variations des projections.

N° 53. Pour que la main passe d'un point M à un point N quelconque par une somme minima de quantités de sensation, il faut que la sensation reste d'espèce constante. Soient X_0, Y_0, Z_0 et X_1, Y_1, Z_1 les projections de OM et ON; pour chaque mouvement élémentaire, la sensation élémentaire est :

$$\sqrt{dX^2 + dY^2 + dZ^2}$$

La recherche du minimum de l'intégrale entre les valeurs initiales et finales de X, Y, Z , est le problème de la plus courte distance entre deux points rapportés à des coordonnées rectangulaires. La solution est, comme on l'a vu (n° 32) donnée par :

$$(33) \left\{ \begin{array}{l} \cos \alpha = \frac{m}{\sqrt{1 + m^2 + n^2}} \quad \cos \beta = \frac{n}{\sqrt{m^2 + n^2 + 1}} \quad \cos \gamma = \frac{1}{\sqrt{1 + m^2 + n^2}} \\ \text{et, de plus,} \\ m = \frac{X_1 - X_0}{Z_1 - Z_0} \quad n = \frac{Y_1 - Y_0}{Z_1 - Z_0} \end{array} \right.$$

Nous appelons ligne droite la suite continue des points par lesquels la main passe du point M au point N, lorsque la sensation est d'espèce constante et que, par conséquent, la somme des sensations élémentaires est minima.

Nous localisons sur la ligne droite MN la somme de quantités de sensations au moyen desquelles elle est parcourue par la main.

N° 54. A. La ligne ou suite continue de points qui est localisée sur une direction donnée passant par le centre du champ ternaire est une ligne droite. En effet la main passe d'un point à l'autre de cette ligne par une variation de l'intensité de la sensation d'espèce constante qui détermine cette direction.

Les directions du champ ternaire forment donc l'ensemble de toutes les lignes droites possibles passant par le point O.

B. Un point M quelconque est assimilé au point O et toutes les lignes droites qui passent par M étant données par les équations (33) qui les localisent, elles sont appelées parallèles aux lignes droites passant par le point O pour lesquelles α, β, γ , ont les mêmes valeurs. Deux parallèles ne peuvent pas se rencontrer. En effet au point où elles se rencontreraient il faudrait qu'elles fussent localisées suivant une même ligne droite et que les points par lesquels les deux parallèles sont menées fussent sur cette droite, c'est-à-dire, que les deux parallèles n'en fissent qu'une.

N° 55. *Résumé.* L'espace tactile possède tous les éléments de l'étendue. Tandis que l'espace visuel monoculaire localise les sources lumineuses suivant les directions de l'espace angulaire sans leur assigner de distance à partir du centre, l'espace tactile localise les causes de contact, suivant les directions variables à partir d'un centre, et par la superposition d'une seconde activité musculaire, d'après des distances variables à partir de ce centre. Nous cherchons à établir, d'une manière plausible, un procédé de localisation qui soit une application des propriétés de la sensation et décomposons les fonctions tactiles du bras, en considérant séparément le mouvement de l'articulation humérale et celui de l'arti-

culation du coude. L'humérus est un organe mobile libre répondant à la définition générale que nous en avons donnée et donnant lieu à la production de la notion d'espace sphérique aussi bien que le globe oculaire. Que l'on se représente la tête de l'humérus comme une sphère susceptible de tourner autour de son centre, et la direction du bras comme analogue à la direction de la ligne de regard direct dans l'œil; l'exercice de l'activité des muscles de l'humérus associée à la sensation tactile, lorsque la main rencontre un obstacle, produit un espace tactile assimilable de tous points à l'espace visuel monoculaire; la largeur de la main, jouant un rôle qui rappelle celui de l'étendue de la rétine, donne lieu à un champ tactile mobile se déplaçant dans le champ tactile fixe.

Si l'articulation secondaire, celle du coude, entre en activité dans une position angulaire fixe de la direction qui joint l'épaule à la main, la sensation tactile est provoquée par des causes d'obstacle variant dans un champ nouveau et, appliquant les principes déjà invoqués, nous admettons que nous classons ces causes dans le champ de notre activité volontaire, laquelle a pour élément variable la somme d'efforts-moteurs de l'articulation secondaire perçus en passant d'un obstacle à l'autre. La notion d'espace sphérique acquiert ainsi, comme élément variable, une localisation qui doit s'effectuer sur une direction constante, puisque nous supposons que l'activité de l'humérus n'intervient pas, et une longueur variable à partir du centre angulaire, c'est-à-dire une intensité variable de la sensation de l'humérus, se trouve associée à une somme de sensations élémentaires de l'articulation secondaire pour localiser les causes de contact et produire l'espace tactile.

La loi de la composition ou de la synthèse de deux ou trois sensations fondamentales fait trouver dans les éléments psychologiques la genèse des propriétés géométriques angulaires du cercle et de la sphère, puisque celles-ci dépendent de la fonction trigonométrique, le cosinus d'un angle, dont la forme explicite a été trouvée. Comme conséquence de cette genèse, on doit attribuer au mode même de notre activité psychologique la mesure que nous prenons de la distance de deux sources

lumineuses dans le champ angulaire par l'angle plan qui les sépare, et qui se trouve être le passage de moindre effort de la ligne visuelle de l'une à l'autre. Notre étude, en portant sur l'espace tactile, permet d'attribuer la même origine, subjective et sans ambiguïté, à la genèse de la notion géométrique de la ligne droite. Nous la définissons par une succession de points tactiles qui se trouve être le passage de la main d'un point tactile à un autre, lorsque ce passage a lieu accompagné d'une somme minima d'efforts. Cette condition équivaut à assujettir la sensation d'effort-moteur à rester spécifiquement la même. Puisqu'il en est ainsi, la succession de points localisés suivant une même direction à partir du centre angulaire satisfait à la définition de la ligne droite, et la sensation d'effort-moteur elle-même ne variant que d'intensité, qui est la notion de direction, est en même temps la notion de la ligne droite. On voit donc dépendre l'une de l'autre, par leur genèse même, deux notions que l'on considère ordinairement comme étant l'une le résultat de nos sens et l'autre l'expression des propriétés de l'espace. La définition du parallélisme de deux droites résulte de l'assimilation d'un point tactile au point central, par l'intermédiaire d'une direction constante, et deux droites ainsi définies ne peuvent pas se rencontrer, parce que cette hypothèse les assimilerait dans tous leurs points. Du moment que l'on admet que la loi de la composition des forces est celle des sensations, on substitue les propriétés de la sensation à celles de l'espace. Nous avons montré comment cette substitution peut se suivre d'abord dans la production de l'espace monoculaire, c'est-à-dire seulement angulaire et, en second lieu, dans la production de l'espace tactile à trois dimensions.

MÉMOIRES
DE LA
SOCIÉTÉ DE PHYSIQUE
ET
D'HISTOIRE NATURELLE
DE GENÈVE

MÉMOIRES
DE LA
SOCIÉTÉ DE PHYSIQUE
ET
D'HISTOIRE NATURELLE
DE GENÈVE

TOME XXX. — SECONDE PARTIE

GENÈVE
IMPRIMERIE AUBERT-SCHUGHARDT
RUE DE LA PÉLISSERIE, 18

—
1890

RAPPORT
DU
PRÉSIDENT DE LA SOCIÉTÉ DE PHYSIQUE
ET
D'HISTOIRE NATURELLE DE GENÈVE
POUR
L'ANNÉE 1888

PAR
M. Hippolyte-J. GOSSE



MESSIEURS ET HONORÉS COLLÈGUES,

Je dois, comme président de notre Société pendant l'année qui vient de s'écouler, vous retracer sa marche pendant cette période et vous présenter une revue des différents sujets dont on vous a entretenus.

Vous avez appelé M. Marc Micheli à remplir les fonctions de vice-président pendant l'année 1888, et celles de président pour 1889. MM. Ch. Soret et V. Fatio ont été nommés membres du Comité de publication en remplacement de MM. Bedot et Humbert, et M. le colonel Gautier a été réélu trésorier.

M. Eilhard Wiedemann, professeur de physique à l'Université d'Erlangen, a été nommé membre honoraire, et notre collègue M. le professeur Raoul Pictet absent de notre cité, momentanément espérons-le, membre émérite de notre Société.

Deux nouveaux membres ordinaires ont été admis; ce sont MM. Alphonse Pictet, et Robert Chodat docteur ès sciences, de telle sorte que la Société compte actuellement 50 membres ordinaires et 32 associés libres.

Vous avez délégué MM. Micheli et Rilliet pour vous représenter à la session de la Société helvétique des sciences naturelles qui s'est réunie à Soleure.

En ce qui concerne nos publications, la première partie du tome XXX est imprimée et vous sera remise prochainement.

Voici les noms des Sociétés avec lesquelles nous n'étions pas encore en rapport et auxquelles seront envoyés les *Mémoires* en échange de leurs publications :

Musée de Bergen, Norwège.

Académie de Bologne.

Wagner's Institute, Philadelphie.

Société du Musée de Transylvanie.

Biological Society of Liverpool.

Royal Society of Queensland, Brisbane.

D'un autre côté, le *Bulletin* sera envoyé à :

l'Académie d'Arezzo.

Verein für Naturwissenschaft, Brunswick.

Soc. de Morphologie, Munich.

Soc. Antonio Algete, Mexico.

Naturwissenschaftlichen Verein, Frankfurt a/Oder.

Kansas Academy of science, Topelka.

Museo de Costa-Rica, San-José.

Geological Society of Edinburgh.

Si nous avons eu le plaisir de constater qu'il ne s'est produit aucun

vide parmi nos membres ordinaires, d'un autre côté nous avons eu le profond regret de perdre deux de nos membres honoraires : MM. les professeurs Wroblewski à Cracovie et Asa Gray en Amérique. Je vais essayer de résumer les principaux traits de la vie scientifique de ces deux hommes éminents.

SIGISMOND WROBLESKI

SIGISMOND WROBLESKI est né en Lithuanie, à Grodno, le 28 octobre 1845, où il fit ses premières études. Il quitta le gymnase de cette ville après avoir obtenu une médaille d'argent, pour entrer à l'Université de St-Wladimir à Kiew, et là, comme beaucoup de ses collègues, dévoué à l'idée de sa patrie, il abandonna ses cours pour participer à l'insurrection polonaise de 1863. Arrêté, il fut déporté en Sibérie, où il resta jusqu'en 1869.

Rentré en Europe et malgré une maladie des yeux contractée pendant son exil, il se remet avec ardeur au travail, étudia à Berlin, Heidelberg et Munich où, en 1874, il obtient le diplôme de docteur en philosophie « *summà cum laude.* » Nommé assistant à la chaire de physique de cette dernière ville, il y resta un an, et passa avec la même qualité à Strasbourg en 1875.

En 1876, il obtint l'agrégation au professorat, après avoir obtenu de l'Académie de Varsovie la bourse fondée par Galesowski.

Il séjourna cinq ans à Strasbourg, se consacrant toujours plus à la physique, sa science favorite.

En 1880, il continua ses études à Paris, Londres et Oxford, et, en 1881, il entra dans le laboratoire de St-Claire Deville, à l'École normale supérieure. C'est là, qu'en 1882 il reçut sa nomination de professeur ordinaire de physique de l'Université des Jajellons, à Cracovie.

L'année suivante, il fut nommé membre de la commission chargée de

l'organisation de l'exposition d'électricité, et membre du jury de l'exposition universelle de Vienne.

En 1886, il reçut de l'Académie des sciences de Vienne le prix Baumgartner, qui lui fut décerné pour son remarquable travail sur la liquéfaction des gaz. Deux ans auparavant, sur la proposition de notre savant collègue M. Raoul Pictet, vous lui aviez décerné le titre de membre honoraire de notre Société.

Sans vouloir mentionner les titres de tous ses travaux, j'indiquerai les sujets principaux qui ont été l'objet de ses études :

- 1^o De la diffusion de la matière en général.
- 2^o Des phénomènes essentiels liés à l'absorption des gaz par les corps absorbants.
- 3^o De la connexion qui existe entre les phénomènes d'absorption des gaz par les liquides, et les propriétés capillaires de ces derniers.
- 4^o De la condensation des gaz.
- 5^o Des propriétés des gaz liquéfiés.
- 6^o Des rapports que l'on constate entre l'état gazeux et l'état liquide des corps.
- 7^o Des propriétés électriques des corps à de très basses températures.

Sans parler des dangers et des difficultés que présentent les expériences nécessaires pour ses recherches, on ne peut s'empêcher d'admirer la grande valeur des travaux de Wroblewski qui ne se rapportent pas seulement à la physique, mais ont un champ plus vaste.

La grande découverte de la liquéfaction de l'oxygène a été faite presque simultanément à Genève par Raoul Pictet et à Paris par Cailletet; mais ces deux physiciens n'avaient obtenu l'élément liquide que dans un état instable et fugitif. Wroblewski perfectionnant la méthode de Cailletet, utilisant le froid produit par l'évaporation dans le vide d'autres gaz plus faciles à liquéfier, et particulièrement l'éthylène, parvint à obtenir dans des vases transparents l'oxygène liquide à l'état fixe, et à déterminer son point d'ébullition, sa densité et ses propriétés physiques. — Il a étudié de même l'azote, l'oxyde de carbone, plus difficiles à amener à l'état

liquide, et même l'hydrogène, le plus réfractaire de tous à la condensation. Il est arrivé, dans ses expériences, à opérer à des températures de 150 et 200 degrés au-dessous de zéro, qui n'avaient pas été atteintes avant lui. Le nom de Wroblewski est donc attaché d'un lien indissoluble à cette découverte mémorable. — Professeur et travailleur infatigable, il était chéri de ses élèves qu'il considérait comme ses amis.

Gravement blessé par une explosion dans son laboratoire, il ne survécut que peu de temps aux conséquences de ce malheureux accident, et mourut ainsi sur le champ de bataille de la science en mai 1888.

Tous les journaux polonais et étrangers ont rendu pleine justice aux talents remarquables et au travail infatigable de l'éminent professeur si prématurément enlevé à l'affection de ses collègues et de ses amis. La patrie polonaise perd en Wroblewski un homme sans tache, un patriote éprouvé, la science un de ses plus fervents adeptes ¹.

ASA GRAY

ASA GRAY naquit le 18 novembre 1810 à Sauquoit, dans le district de Paris (État de New-York). Après avoir passé ses jeunes années dans la tannerie de son père, il passa deux ans dans l'école de Clinton, puis à l'Académie de Fairfield. Sur le désir de son père, il entra dans l'École de médecine de Fairfield, et c'est de là que date sa liaison avec le Dr J. Hudly qui y professait la chimie et la matière médicale.

Il obtint le grade de Docteur, mais ne pratiqua pas. Les sciences naturelles l'avaient absorbé, et il préféra donner une série de cours de minéralogie, de chimie et de botanique à l'École supérieure de Bartlett, à Utica. C'est là, en 1833, qu'il publia ses premières recherches, *Découvertes de nouvelles localités minéralogiques près de New-York*.

¹ Voir notamment, Notice sur le professeur Wroblewski par le Dr Auguste Kwásnicki, dans le *Przegląd Lekarski* du 19 mai 1888.

Le D^r Torrey, professeur de chimie d'une École de médecine à New-York, remarqua les travaux de botanique du jeune maître et le prit comme assistant de chimie.

Dans cette période de sa vie, nous le voyons publier une série de mémoires sur « le genre *Rhynchospora*, » sur « les plantes nouvelles rares et intéressantes du Nord et de l'Ouest de New-York, » sur « les graminées et les cyperacées du Nord de l'Amérique. » Il collabora à la monographie de Torrey sur les *Juncus*. En effet, l'auteur y mentionne que toute la partie correspondant aux genres *Rhynchospora* et *Ceratophyllum* avait été préparée par Gray.

Le nombre des espèces nouvelles décrites par lui atteignait déjà plus de mille, et il y avait à peine trois ans qu'il avait quitté l'École de médecine de Fairfield.

Les finances de l'École d'Utica ne permirent pas à Torrey de conserver Gray comme assistant, mais il lui procura la place de curateur et de bibliothécaire du Lycée d'histoire naturelle de New-York. C'est là, qu'il commença à préparer ses *Éléments de botanique*. Ce travail, publié en 1837, fut fait sur le plan adopté par de Candolle, mais avec des idées personnelles très remarquables, et en même temps il sut traiter magistralement la structure végétale, la physiologie et la classification, quoique dans un cadre très restreint; aussi ce livre fut-il un succès pour Gray tant au point de vue scientifique qu'au point de vue du style.

Désigné comme botaniste pour faire partie d'une grande expédition dans les mers du Sud, il fut sur le point de partir, mais, par suite des délais et des hésitations qui se produisirent et fatigué d'attendre, il donna sa démission, d'autant plus que le D^r Torrey lui offrit de collaborer à son ouvrage sur la Flore de l'Amérique du Nord. Deux volumes, fruits de leurs efforts, parurent déjà en 1838.

Dans l'été de cette même année, il accepta la chaire de botanique que lui offrait l'Université de Michigan nouvellement fondée, mais avec la réserve d'un congé pour aller en Europe, ce qui lui fut accordé. Il consacra une année à examiner tous les herbiers importants d'Europe et à

comparer les échantillons types des plantes américaines. Les résultats de ce voyage furent consignés dans une notice des plus intéressantes dans laquelle on voit la quantité immense de détails et d'observations exactes qu'embrassaient les travaux de Gray, et en même temps le grand savoir, le jugement excellent et la superbe mémoire dont il disposait. C'est dans ce voyage qu'il vint à Genève, faire connaissance des de Candolle père et fils et travailler dans leur herbier sans rival et dans leur riche bibliothèque.

De retour chez lui, il se remit avec vigueur à la *Flora*, dont le premier volume parut en 1840 et le second en 1843. Après avoir fait une exploration botanique dans les vallées de la Virginie et les plus hautes montagnes de la Caroline du Sud, dont il publia la narration, en signalant et analysant les espèces découvertes par ses prédécesseurs; il entreprit la revision de ses éléments de botanique, dont il fit un traité plus complet, dont parurent plusieurs éditions, toujours complétées au fur et à mesure que la science progressait. L'ouvrage prit une telle étendue que l'on dut, pour la cinquième édition, diviser l'ouvrage en un certain nombre de volumes. Gray rédigea ce qui concernait la morphologie, la taxonomie et la phytographie, laissant la physiologie botanique au professeur G.-L. Goodale, et la cryptogamie au professeur W.-G. Farlow.

En 1842, il accepta l'offre qu'on lui faisait de la chaire de botanique du Collège de Harvard. Le jardin offrait peu de ressources, personne ne s'en étant occupé depuis le départ de Thomas Nuttall en 1828, et il n'y avait pas même d'herbier. Gray s'y consacra entièrement et, tout en faisant son enseignement, continuant ses travaux botaniques, tenant à jour son énorme correspondance, et l'on sait qu'il répondait à toutes les demandes avec une courtoisie à toute épreuve, il organisa un grand herbier.

En 1864, il offrit celui-ci ainsi que sa bibliothèque (fort complète) au Collège de Harvard, à condition qu'il serait construit un bâtiment à l'abri de l'incendie. Cette proposition fut acceptée. Nous inspirant de cet exemple, ne devrions-nous pas à Genève prendre une décision semblable pour sauvegarder les richesses qui nous ont été léguées.

Pendant cette période de sa vie, nous le voyons faire dans le journal américain des sciences fondé par Silliman, un compte rendu des ouvrages importants qui paraissaient, en y ajoutant des remarques critiques, puis une série de notices biographiques des botanistes, qu'ils fussent Américains ou Européens, car il considérait les botanistes comme une seule famille. Sa critique, faite toujours dans l'intérêt de la précision et de la vérité est toujours si franche et empreinte d'une telle bonté, qu'elle ne pouvait offenser personne et que ces notices forment, suivant l'opinion d'un botaniste éminent « la meilleure histoire de la littérature botanique et des progrès de cette science pendant les cinquante dernières années. »

C'est à cette époque que paraît en particulier le *Compte rendu des plantes rapportées par l'expédition de Wilkie*, un volume in-4°, avec un atlas de 100 planches in-folio. C'est pour ce travail qu'il revint à deux reprises en Europe et qu'il honora notre ville de ses visites lorsqu'il vint travailler de nouveau dans l'herbier de Candolle.

En 1851, il fit chez George Bentham la connaissance de Darwin, qu'il revit plus tard en 1868 et 1869, et dont les opinions eurent une grande influence sur les études d'Asa Gray. C'est ainsi que ses mémoires sur l'origine des espèces, sur la distribution géographique des plantes, leurs variations, leur origine, ne furent que des réponses à des lettres que lui avait écrites l'illustre naturaliste. Celui-ci le remercia de la façon aimable avec laquelle il avait répondu à des questions si difficiles et en profita pour lui en poser de nouvelles.

Gray publia à cette occasion la *Statistique de la flore des États-Unis*. Il tâche de prouver dans ce mémoire l'idée d'une zone unique d'origine pour les espèces, avec des dispersions des plantes à des époques plus ou moins reculées. Il discute l'hypothèse de Darwin que les espèces des grands genres occupent de plus grandes surfaces géographiques que celles des genres moins nombreux. Il observe qu'une grande proportion des types extra-européens de l'est de l'Amérique sont les mêmes que ceux de l'est de l'Asie, et qu'un tiers des espèces alpines de l'Amérique sont pareilles à celles des espèces alpines de l'Europe.

En 1859, Gray poursuivit ce genre de recherches sur les plantes du Japon recueillies par M. Charles Wright, et il donne comme conclusion de ses études que les plantes du Japon sont représentées en plus grand nombre en Europe que dans le N.-O. de l'Amérique, qui en est cependant bien plus rapprochée. D'un autre côté, il trouve que les plantes de l'est de l'Amérique se sont mélangées avec les flores de l'Asie orientale par les changements de climats, dans les époques qui ont précédé et suivi l'époque glaciaire. Appliquant ses idées à l'étude des Sequoias de la Californie, il démontra la survivance de certaines formes végétales d'une période antérieure; ces arbres ne sont, suivant lui, que les restes d'une végétation fossile qui couvrait de vastes étendues et qui s'est de nouveau développée sous l'influence du retour d'une période plus chaude.

Les connaissances scientifiques de Gray firent de lui un collaborateur de Dârwin, et, aussitôt que *l'Origine des espèces* fut publiée, Gray travailla à en faire une édition américaine. Il en admit les idées tout en faisant ses réserves sur certains points. Il n'admettait pas que dans les variétés sans fin des plantes il devait y avoir quelque chose amenant un résultat défini et ordré, que tout n'était pas laissé aux hasards de la sélection. Il admet que la loi naturelle est une conception humaine d'une action divine organisée et continue.

Gray avait publié dans différentes revues plusieurs essais dans lesquels il indiquait ses divergences avec Darwin; il les réunit en 1876 sous le titre de *Darwiniana*.

Il les exprime en ces termes : « Nous sommes de plus en plus convaincus que la variation, et par conséquent le terrain d'adaptation, n'est pas le produit, mais la réponse à l'action des milieux ambiants. Les variations ou, en d'autres termes, les différences qui existent entre individus, plantes ou animaux, quelle que soit leur origine, sont évidemment dues à une action interne et non à l'influence externe, elles se produisent physiologiquement et non physiquement. »

Il dit ailleurs que « la variation dans l'espèce est capable de se produire dans des directions particulières, et d'être le point de départ

« d'espèces variées, comme on le constate souvent dans les plantes, » ce qui s'accorde avec la conclusion précédente.

Quoique admettant la sélection naturelle, ses conclusions étaient ainsi dans une certaine limite antidarwiniennes. Et cependant Darwin écrivait à Gray à propos de l'article que celui-ci venait en 1860 de publier dans le *Journal américain des sciences* de Dana, sur l'origine des espèces :

« Je déclare que vous connaissez mon livre aussi bien que moi; vous y ajoutez des faits et des arguments d'une manière qui excite mon étonnement et mon envie. Hooker m'écrit dans un billet que vous êtes plus qu'aucun autre entièrement le maître du sujet. »

Gray était un darwinien théiste, et nous le voyons dans sa profession de foi exposée dans la préface du *Darwiniana* : « Je suis scientifique-
« ment et à ma manière, un partisan des idées de Darwin, philosophi-
« quement un théiste convaincu et religieusement un adepte du sym-
« bole de Nicée, que j'admets comme le véritable exposé de la foi
« chrétienne. »

Gray venait d'atteindre sa 75^{me} année et les botanistes américains, au nombre de 180, voulurent fêter cet anniversaire. Ils lui envoyèrent un vase en argent repoussé, représentant les plantes dont il s'était le plus occupé et auxquelles était attaché son nom. — Certes, Gray fut vivement touché de ce témoignage, mais ceux qui le lui envoyaient étaient aussi heureux, car il était pour eux plus qu'un ami et un maître, c'était l'objet de leur admiration et de leur dévouement pour sa bonté, ses principes élevés, sa franchise indépendante, sa parfaite cordialité et la lumineuse clarté de son intelligence.

Gray avait épousé en 1848 la fille d'un juriste éminent de Boston, Charles-G. Loring, femme remarquable par sa bonté et son intelligence, qui s'intéressait à ses travaux aussi bien qu'à ses joies. Elle accompagnait généralement son mari dans ses voyages, et partit avec lui, quand en 1885 il voulut revoir encore une fois l'Europe. Il avait été élu précédemment membre honoraire des principales Académies ou Sociétés scientifiques de l'Europe, et en particulier de la Société royale de

Londres et de l'Institut de France; mais cette excursion fut un véritable triomphe pour Gray : il fut nommé docteur des Universités d'Oxford, de Cambridge et d'Édimbourg.

Il revint chez lui, au mois d'octobre, en excellente santé physique et mentale, et reprit ses travaux, en particulier une revision complète des Vitacées de l'Amérique du Nord; mais il la mit de côté pour écrire les dernières pages sur Darwin, et c'est pendant qu'il les rédigeait qu'il fut frappé d'une paralysie, le 27 novembre 1887. Sans avoir pu, depuis lors, proférer une parole, il s'éteignit paisiblement dans la soirée du 30 janvier de cette année, dans le domicile qu'il occupait dans les jardins botaniques de Cambridge.

Gray était un penseur subtil et profond, avec un grand pouvoir de généralisation joint à une grande patience alliée à la minutie et à la précision nécessaires à un expérimentateur et à un collectionneur scientifique. Son grand bon sens dans les questions les plus ardues de l'histoire naturelle était universellement reconnu, et de toutes parts des savants s'adressaient à lui pour avoir son opinion, laquelle était généralement adoptée.

Toujours prêt à encourager les voyageurs qui parcouraient en Amérique des régions jusqu'alors peu explorées, il était devenu un centre vers lequel tout convergeait; aussi n'est-on pas étonné de lire dans une notice publiée par le *Galignani* que « pendant près d'un demi-siècle il fut le dictateur de la botanique américaine. » Personne ne s'en plaignait, car il avait gagné l'affection de tous par son talent et son amabilité.

Sa mort enlève à l'Amérique un homme charmant et plein de génie, elle ravit au monde scientifique l'un des plus célèbres botanistes de notre époque¹.

¹ Voir en particulier notice par James-D. Dana. — *The american journal of sciences*, mars 1888. — Notice par Dr F. Hoffmann, *Pharmaceutische Rundschau*, mars 1888. — *New-York Times*, 31 janvier 1888. — *Times*, 30 janvier et 1^{er} février 1888. — *Galignani*, février 1888. — Notice par le prof. A. de Candolle, *Archives des sciences physiques et naturelles*, 15 avril 1888. — Notice par W. A. Farlow, *Botanical Gazette*, mars 1888. — In memoriam, Asa Gray, imprimerie de l'Université, Cambridge, 1888. — Memorial of Asa Gray, *American Academy of Arts and Science*, 13 juin 1888.

TRAVAUX DE LA SOCIÉTÉ

Mathématiques, Astronomie, Géodésie.

M. le colonel *E. Gautier* a donné des renseignements sur l'établissement du nouvel observatoire du Mont Hamilton en Californie créé avec le legs de M. Lick.

M. *Kammermann* nous a présenté les photographies des principaux appareils de ce nouvel observatoire et nous a donné des détails à leur égard.

M. le colonel *E. Gautier* a annoncé que l'exécution du *lever photographique* du ciel est maintenant assuré. Quinze ou seize observatoires concourront à ce travail lequel pourra être achevé dans 3 ou 4 ans.

M. le colonel *E. Gautier* a attiré aussi l'attention de la Société sur un nouveau journal d'astronomie, *Himmel und Erde* publié à Berlin par notre ancien collègue M. Mayer. Il cite en particulier un travail très remarquable de Schiaparelli sur la planète Mars, qui a paru dans ce recueil.

M. *Ch. Cellérier* a fait une communication sur les mouvements des corps *électrisés* dans laquelle il étudie les divers mouvements produits par une attraction jointe à la pesanteur. Mettant de côté les cas où le mobile tombe sous l'action de cette dernière force seule, il estime qu'il ne reste que deux formes de mouvements de circulation.

L'un des mouvements contenu dans un plan vertical, est très irrégulier et a peu de rapport avec celui d'une planète. Il n'en est pas ainsi de l'autre où le mobile circule autour du centre d'attraction sans pouvoir sortir d'un volume de révolution en forme d'anneau.

M. *de la Rive* nous a indiqué que l'on peut démontrer que le centre

de gravité d'un triangle, le point où se coupent les trois hauteurs et le centre du cercle circonscrit sont en ligne droite; et cela en se servant de poids appliqués aux sommets du triangle comme coordonnées.

M. *Kammermann* a présenté un travail *Sur un changement dans l'aspect physique de la comète de Sawerthal*.

Découverte au Cap le 19 février 1888 elle a été observée le 20 mars à Genève. Le 24 mai son éclat avait augmenté de trois grandeurs et la forme allongée de la comète était modifiée par deux effluves très brillantes partant du noyau, perpendiculairement à la queue principale et se recourbant en arc de cercle vers cette dernière. Les deux appendices s'étendirent en s'élargissant, puis l'un d'eux se rapprocha de la queue de la comète. Le 11 juin la comète avait presque repris sa forme primitive, cependant la queue s'était élargie; mais cette modification paraît avoir disparu le 11 juillet suivant.

M. *Raoul Gautier* nous a rendu compte du travail important que vient de publier M. H. *Kreutz* *Sur la grande comète de 1882*.

Découverte au commencement de septembre 1882 elle a été l'objet d'observations exactes jusqu'au 1^{er} juin 1883. Elle a passé à une très petite distance du soleil et grâce à l'éclat qu'elle a pris dans ce voisinage, elle a pu être observée en plein jour. Au point de vue physique elle a présenté des particularités fort intéressantes et en particulier la formation de plusieurs condensations de lumière dans son noyau. M. *Kreutz*, après de longues recherches, a reconnu que le second des noyaux était le centre de gravité de la comète, et que l'atmosphère du soleil n'a amené aucune perturbation dans la loi de son mouvement.

La durée de sa révolution est de 772 ans avec une erreur probable de ± 3 ans. Une comète a été observée en 1106 et l'on pouvait croire que c'était elle qui avait réapparu, les calculs faits par M. *Kreutz* n'ont pas réussi à résoudre cette question.

Météorologie, Physique terrestre.

M. le professeur *L. Soret* a communiqué à la Société un résumé des observations qu'il a recueillies sur le tremblement de terre qui a été ressenti à Genève le 23 février 1887 et qui a produit des effets si désastreux dans les Alpes maritimes et en Ligurie.

A Genève trois secousses ont été ressenties à 6h3^m, 6h33^m et 8h34^m (heure de Berne). Étudiant les heures du phénomène dans les diverses localités il arrive à montrer qu'il n'a pas été partout simultané, mais qu'il est très difficile d'arriver à une conclusion sur la vitesse de propagation des oscillations du sol, car, outre l'incertitude de l'heure des observations, l'on ne sait pas quel était le centre d'ébranlement, quelle en était la profondeur, et l'on n'a aucune raison de croire que la vitesse soit la même dans toutes les directions.

M. le prof. *L. Soret* a relevé quelques observations sur *divers phénomènes de mirage*. Aux perturbations de la réfraction déjà signalées il ajoute la suivante qu'il a observée étant en bateau à vapeur sur le lac de Genève. Sur la côte méridionale on voyait du côté du golfe d'Anthy des langues de fumée blanche qui se détachaient en clair sur un fond plus foncé. A certains moments on voyait une image renversée des objets situés très près de la surface de l'eau, mais inconstante.

Il estime que ce phénomène doit se produire quand on se trouve à la limite où se produit le mirage et que les couches aériennes ne présentent pas de stabilité.

M. le colonel *E. Gautier* a rendu compte du travail de M. Zona, professeur à Palerme, sur un siroco d'une violence extrême qui a sévi en Sicile le 29 août 1885.

La conclusion de l'auteur est que la source des vents chauds et secs s'abaissant sur des régions quelconques de la surface de l'Europe, se trouve dans les couches supérieures de l'air et provient de l'échauffement qui se produit au-dessus des déserts de l'Afrique.

M. le colonel *E. Gautier* nous a entretenus des *conditions atmosphériques* de la Grande-Bretagne pendant les mois de juin et de juillet, lesquels ont été exceptionnellement humides et la quantité de pluie sept fois plus abondante que dans la même période en 1887.

M. *E. Gautier* a également signalé la quantité d'eau tombée à Genève pendant 46 heures du 1^{er} au 3 octobre.

A l'Observatoire l'on a mesuré 183^{mm},4, à Cognny 205^{mm},2, dans cette même période la hauteur du lac s'est élevée de 39^{cm}.

M. le prof. *L. Soret* donne quelques renseignements sur un coup de foudre qui s'est produit dans une maison à Lancy le 2 octobre 1888.

Un globe de feu de 30 centimètres de diamètre a pénétré dans une chambre par une porte ouverte sur un corridor et a éclaté.

M. Soret pense qu'il est possible que la foudre soit tombée sur les fils téléphoniques extérieurs et que le globe de feu ne fut qu'un effet de choc en retour.

M. *Édouard Sarasin* a décrit également un coup de foudre qui, le 2 octobre 1888, a frappé des poteaux télégraphiques près du Grand-Saconnex. L'effet s'est étendu sur huit poteaux répartis sur une longueur de 280^m et dont deux sont restés intacts.

M. le Dr *Wartmann* a donné des détails sur un éclair en boule dont il a été témoin le même jour à Malagny.

M. *L. de la Rive* a fait une communication sur le *grand tremblement de terre du 51 août 1886 à Charleston* dont M. Carl McKinley a publié un récit détaillé.

L'on a pu constater que la zone qui comprend l'action maxima a une aire elliptique de 27 milles de long sur 18 de large. Son grand axe n'est pas une ligne droite, mais est concave par rapport à Charleston. Sur cette ligne axiale on a déterminé trois points présentant le caractère d'épicentres, c'est-à-dire offrant des preuves de secousses verticales, ou tout au moins très violentes. L'aire dans laquelle on a senti un mouvement appréciable, à partir de Charleston qui en occupe le centre a un rayon de 330 lieues. A 200 lieues le mouvement ondulatoire a été assez fort pour avoir produit la sensation du mal de mer.

La profondeur du foyer calculée serait de 12 milles (4 lieues).

M. le prof. *Forel* nous a communiqué des observations faites pendant une traversée de la Méditerranée au sujet de la *couleur de la mer*.

Celle-ci serait à peu près la même que celle du lac de Genève. L'éclat de la couleur de la Méditerranée qui est incontestablement plus grand, serait dû à l'éclairage plus intense du soleil méridional.

M. le prof. *Chaix* vous a entretenus des *Observations faites sur les variations de la salure et de la température dans les estuaires de la Clyde et du Forth en Écosse; ainsi que de l'étude bathymétrique des lacs du Comté de Perth*.

Les premières sont dues à MM. Hugh Robert Mil, Holzauer, John Morray, Buchanan et Morison; les secondes à M. Wilson.

La salure maximum des eaux de la mer du Nord au golfe Moray est de $3\frac{1}{2}\%$. La présence de l'eau douce à la surface de la mer se fait sentir jusqu'à 25 milles de l'île de May. Quant à la température, les eaux des estuaires présentent un minimum d'abaissement à l'équinoxe du printemps. Cet abaissement est plus rapide à la surface qu'au fond.

Les études relatives aux lacs montrent qu'ils vont dans une direction uniforme, ont leur maximum de profondeur à leur extrémité orientale, ce qui, d'après M. Wilson, serait dû à l'action érosive d'anciens glaciers. — La profondeur du loch de Morar étant de 145^m,4, le fond du lac serait à 40^m au-dessous du niveau de l'océan.

Physique, Chimie, Minéralogie.

M. le prof. *Ch. Soret* a décrit un petit réfractomètre à liquides de son invention, destiné aux usages courants des laboratoires de chimie. Il est facile à nettoyer, peu sujet à se détériorer, et donne très rapidement et très simplement les indices, avec une précision d'une demi-unité de la deuxième décimale.

M. le prof. *Ch. Soret* nous présente un mémoire *Sur l'application des phénomènes de réflexion totale à la mesure des indices de réfraction des cristaux à deux axes.*

Dans ce travail il démontre trois propositions :

1° Sur toute section diamétrale de la surface de l'onde, ne passant pas par un point ombilical, trois des quatre rayons vecteurs maxima et minima sont égaux respectivement aux trois vitesses principales ;

2° Le cristal étant en contact avec un milieu plus réfringent d'indice $\frac{1}{v}$ la quantité V , déduite par la formule $\frac{1}{V} = \frac{1}{v} \sin I$ de l'angle limite I de réflexion totale sur une face plane quelconque, est le rayon vecteur, compris dans le plan d'incidence de la podaire de l'intersection de la surface de l'onde avec la face considérée.

3° Sur toute section diamétrale coupant la surface de l'onde suivant une courbe convexe, les maxima et les minima de la podaire se confondent avec ceux de l'intersection elle-même.

Il en résulte que l'on peut déduire les indices de réfraction principaux d'un cristal à deux axes, de l'observation des angles limites de réflexion totale sur des surfaces quelconques.

Chaque face, quelle que soit sa position, fournit quatre valeurs maxima et minima de l'angle limite, dont trois donneront directement trois indices principaux par la formule $n = \mu \sin I$, où μ représente l'indice du milieu extérieur au cristal. Les trois valeurs utiles doivent se retrouver sur toutes les faces, tandis que la quatrième valeur variera d'une face à l'autre.

M. le prof. *Ch. Soret* continuant les recherches dont il nous a précédemment entretenus, a lu une *note sur quelques aluns prismatiques d'alumine et d'ammoniaques composées.*

Il a obtenu des cristaux de sulfate double d'alumine et de diméthylamine, d'éthylamine, de diéthylamine et de tétraéthylammonium. Ils cristallisent en prismes biobliques ou en prismes clinorhombiques. Les deux premiers diffèrent quant à l'orientation optique ; il n'en est pas

de même des deux derniers, qui diffèrent alors au point de vue cristallographique.

La formule chimique paraît être celle des aluns, avec une proportion d'eau plus faible.

M. *Kammermann* nous a présenté un nouveau *thermomètre-fronde* à boule humide, construit sur sa demande par M. Tonnelot, opticien à Paris.

La mousseline qui entoure la boule est humectée par un pinceau en forme de bourrelet en fil de lin qui fournit exactement la quantité d'eau voulue sans excès. L'avantage de ce nouveau thermomètre sur le psychromètre, est de pouvoir obtenir l'indication la plus basse au bout de deux minutes, quelle que soit la température extérieure.

M. *L. de la Rive* a lu un travail sur la *composition des couleurs* ayant pour objet de dégager les propriétés de la sensation colorée, fonction des trois variables de sa représentation géométrique.

L'auteur a donné une forme différente à la théorie mathématique de la composition des couleurs établie par Grassmann. Admettant que la couleur peut être représentée par un système de points pesants, il établit les propriétés qui rendent possible cette assimilation.

M. le prof. *L. Soret* nous a fait connaître une expérience de cours propre à mettre en évidence l'action de l'électricité sur les poussières et la vapeur d'eau condensée.

M. le prof. *L. Soret* nous a fait une communication sur *quelques-unes des illusions que produisent le dessin et la peinture artistiques*.

Dans ce travail, il s'occupe particulièrement de la distance et de la grandeur apparentes des objets représentés sur un tableau, ainsi que des illusions de mouvements qui résultent du déplacement du spectateur, telle que celle que l'on éprouve en présence d'un portrait dont les yeux semblent vous suivre du regard, et dont la tête, le corps même, semblent tourner en même temps que les yeux.

Les professeurs *L.* et *Ch. Soret* communiquent des observations qu'ils ont eu l'occasion de faire récemment au sommet du Rigi, concernant le point neutre de polarisation atmosphérique signalé par Brewster.

M. le prof. *L. Soret* a signalé l'influence que la surface de la mer ou d'un lac exerce sur les phénomènes de polarisation atmosphérique.

C'est ainsi que la polarisation dans un plan vertical tend à augmenter dans le voisinage du soleil, par l'effet de la réflexion. L'on observe en outre l'apparition de deux points neutres à la hauteur du soleil, à sa droite et à sa gauche.

M. le prof. *L. Soret*, à propos d'observations qu'il a faites sur le Rigi le 23 septembre et à Bologne le 13 octobre 1888, vient confirmer l'explication qu'il avait donnée précédemment, de la limpidité de l'atmosphère que l'on constate souvent avant la pluie. Pour lui, cela provient de ce que l'air a été épuré par la pluie tombée dans une autre localité.

M. le prof. *L. Soret* a présenté un petit instrument, très portatif, destiné à la mesure des distances angulaires et qu'il désigne sous le nom de *lorquette goniométrique*. Il se compose essentiellement, comme objectif d'un verre sphérique partout d'égale épaisseur et sur lequel est tracé une échelle de division ; puis, comme oculaire d'une demi-lentille convergente, de sorte que l'observateur voit l'image de l'échelle, se superposant à celle des objets éloignés, ce qui permet de mesurer la grandeur angulaire de ces derniers.

M. Ed. Sarasin, au nom de M. le prof. *Kundt* a présenté un travail sur les *Indices de réfraction des métaux*.

Pour ces recherches, *Kundt* a fait confectionner des prismes de métal très aigus, suffisamment minces pour être transparents, et a mesuré la déviation prismatique produite par ces prismes pour en déduire, par l'observation directe, la mesure de la vitesse de la lumière dans ces métaux. Il a pu, pour 7 métaux, déterminer la déviation moyenne et, pour six d'entre eux, constater le sens et l'étendue approximative de la dispersion.

Voici quelques-unes des conséquences obtenues par ce savant. Les métaux qui possèdent le plus petit indice de réfraction, que la lumière traverse par conséquent avec la plus grande vitesse, sont ceux qui sont les meilleurs conducteurs pour l'électricité et la chaleur.

Le pouvoir conducteur électrique d'un métal est réellement proportionnel à la vitesse avec laquelle les radiations de grande longueur d'onde traversent ce métal.

Il existe une proportionnalité au moins approchée entre la vitesse de transmission de la lumière, le pouvoir conducteur galvanique et le coefficient de conductibilité calorifique des métaux. Cette remarquable relation dénote une parenté entre le mouvement de la lumière dans les métaux, celui de l'électricité dans le courant galvanique et celui de la chaleur dans un courant calorifique.

M. le Dr *W. Marcet* a décrit un *eudiomètre d'une forme nouvelle* qu'il a fait construire.

Le principe de l'instrument est l'introduction directe dans l'eudiomètre de l'hydrogène provenant d'une cloche maintenue exactement sous la pression atmosphérique. On fait passer l'air destiné à l'analyse dans l'instrument en soulevant le tube dans un bain de mercure.

M. *Marcet* nous a en outre indiqué diverses modifications qu'il a fait subir à son *appareil pour le dosage volumétrique de l'acide carbonique*, dont il a précédemment entretenu la Société.

M. *W. Michelson* de Moscou nous a communiqué son travail sur un *électro-aréomètre*, récemment publié dans les annales de *Wiedemann*.

Cet instrument peut être employé comme condensateur électrique à capacité variable; il pourra également servir d'électromètre absolu pour la mesure approximative de potentiels élevés.

M. *L. Duparc* a présenté une *Notice sur les pisolithes des sources de Hammam Meskoutine*.

Ces sources, dont la température atteint 95° centigrades, sont situées dans la province de Constantine, non loin de Guelma; elles contiennent une grande quantité de carbonate de chaux en dissolution.

La source principale amène à la surface des pisolithes pyriteux qu'avaient signalés M. Daubrée. L'étude de ces corps a montré qu'ils étaient formés d'un noyau de calcaire grisâtre présentant une structure cristalline, friable, lequel est recouvert par un calcaire dur, formé par

un grand nombre de couches concentriques. Enfin, extérieurement se trouve une couche de pyrite d'un jaune brillant ou, dans quelques cas, une enveloppe noire constituée par un sulfure de fer.

Les tufs calcaires déposés par les sources varient comme aspect et sont quelquefois de nature cristalline, mais leur constitution chimique est assez fixe.

M. Alex. Le Royer a exposé les essais qu'il a faits avec M. Ch. Soret pour établir un *thermomètre à air ou à hydrogène*, dont le réservoir fût de petite dimension et pût se déplacer indépendamment du manomètre.

L'instrument offre des analogies avec les appareils de MM. Cailletet et Chappuis, mais cependant s'en différencie. Pour obvier aux inconvénients produits sur le verre du réservoir par la pression intérieure à des températures élevées, il a été cerclé par un mince treillis de fils très fins de platine, ce qui a donné d'excellents résultats.

M. le prof. D. Colladon a fait une communication sur les *procédés employés par MM. Mannesmann*, à Remscheid en Westphalie.

Ils emploient des volants dont la jante, spécialement, est formée de fils d'acier repliés un grand nombre de fois sur eux-mêmes. Grâce à ces volants, ils ont pu obtenir des vitesses doubles et même triples de celles obtenues jusqu'ici, ce qui, joint à d'immenses fours à réchauffer, leur a permis d'obtenir des résultats surprenants. C'est ainsi qu'ils fabriquent des tubes de dix mètres de longueur et plus, en acier, lesquels n'ont que le quart de l'épaisseur des tubes en fer fondu.

M. Colladon montre l'importance de cet outillage tout particulièrement pour la transmission de la force. Pour lui, il estime qu'au point de vue industriel les conséquences en seront considérables.

M. le D^r Batault présente un *compteur d'électricité* de son invention. Le principe général de ce compteur consiste dans l'intégration de quantités inégales d'électricité, à des intervalles égaux.

L'appareil se compose de trois parties principales :

1^o Un solénoïde placé verticalement et servant d'ampèremètre, attire un tube en fer doux suspendu librement à un ressort à boudin. Ce tube

porte à sa partie supérieure une plaquette découpée en forme d'escalier, dont les degrés sont tous de même largeur, mais dont la hauteur est déterminée expérimentalement, chaque degré correspondant à l'enfoncement du tube de fer doux dans le solénoïde sous l'influence d'un courant d'une unité, d'un ampère par exemple.

2° Une tige horizontale, glissant sur deux galets et pouvant recevoir un mouvement de va-et-vient, est sollicitée par un léger ressort à boudin à chuter contre la plaquette à cran portée par le noyau du solénoïde. Cette plaque limite par conséquent la course de cette tige horizontale; plus elle s'enfonce et plus la tige recule.

3° Un pendule, mu par un électro-aimant établi en dérivation sur le courant principal au moyen d'un système Hipp, est modifié de façon à permettre au balancier de se mettre en marche de lui-même. Il entraîne la tige horizontale en oscillant dans un sens, et la laisse venir s'appuyer contre la plaquette dans l'autre sens. La tige horizontale porte un cliquet qui engrène dans les dents d'une roue dentée de grand diamètre, laquelle est elle-même montée sur l'axe d'un compteur de tours. Plus la tige horizontale recule, plus le cliquet prend de dents, chaque dent représentant une unité de courant, puisque le recul de la tige est déterminé par l'enfoncement du solénoïde. Le balancier, à chaque oscillation dans un sens donné, entraîne la tige et le cliquet, et fait tourner la roue d'entrée d'un nombre de dents proportionnel à l'intensité du courant.

Il enregistre donc des quantités inégales dans des temps égaux.

M. *Ador* nous a entretenus de ses essais pour reconnaître de petites proportions d'oxyde de carbone dans une chambre, et il a reconnu l'insuffisance de la méthode ordinaire d'analyse de ce gaz dans ces conditions.

Géologie, Paléontologie.

M. *Perceval de Loriol* a rendu compte d'un travail de M. *Choffat* sur une importante collection de fossiles rapportées du Benguella, province

d'Angola, côte ouest de l'Afrique méridionale, par M. Malheiro, voyageur portugais, il a fait une étude spéciale des Échinides de cette collection.

Ces recherches ont permis de constater dans cette région la stratigraphie du tertiaire et du crétacique (les fossiles montrent qu'ils doivent se rapporter à l'étage albien et au vraconnien). Ces fossiles ont donné spécialement neuf espèces d'Échinides fort intéressantes et toutes nouvelles.

M. le prof. *Thury* a lu un mémoire sur *l'âge actuel des règnes organiques, et la théorie de la descendance.*

Dans l'examen d'une question aussi controversée que celle de la durée totale des temps géologiques depuis la première apparition des êtres organisés, il fait appel à trois sources générales d'information.

1° Astronomiques et physiques. Suivant les travaux de Sir William Thomson qui s'est basé: 1° sur la chaleur intense de la terre, 2° sur le retard que la marée fait subir au mouvement de la terre, 3° la chaleur du soleil; on admettrait qu'aucun être vivant de même nature que ceux qui existent aujourd'hui n'a pu se développer sur la terre à une époque plus ancienne que 10 millions d'années, ou comme limite extrême, 15 millions d'années.

2° Géologiques. Les considérations géologiques fondées sur le temps qu'exige aujourd'hui le travail d'érosion du sol et sur l'épaisseur totale des couches fossilifères, feraient admettre pour la durée des temps paléontologiques au moins 150 millions d'années. — Mais les agents qui produisent l'érosion n'ont agi dans les temps géologiques ni avec la même intensité ni dans les mêmes circonstances qu'aujourd'hui. — Tenant compte de ces conditions, M. *Thury* estime que la solution géologique ne contredit point celle que vient d'apporter l'astronomie et qu'autant qu'on peut le constater aujourd'hui toutes deux convergent vers les mêmes valeurs, 10 à 12 millions d'années.

3° Les considérations biologiques, soit le temps nécessaire pour l'évolution des règnes organisés. La durée des 25 époques géologiques étant évaluée à 10 millions d'années cela ferait en moyenne 400,000 ans pour

chaque époque, et par conséquent 100,000 années pour la durée moyenne d'une espèce conservant ses caractères précis, c'est-à-dire ne se modifiant que dans la limite des variétés actuelles. Thury estime que des recherches faites à cet égard on peut admettre que les chiffres ci-dessus mentionnés peuvent être acceptés comme résultant de l'observation des phénomènes géologiques de l'époque moderne.

M. le Dr *C.-J. Forsyth Major* a exposé les principaux résultats des fouilles qu'il a exécutées dans l'île de Samos sous les auspices de M. William Barbey. — Ce digne continuateur des travaux d'Edmond Boissier, chargé en 1887 de faire une exploration scientifique dans quelques îles de l'Archipel turc, consacra une grande partie de son temps à des herborisations que son programme lui prescrivait en première ligne, mais son attention avait été éveillée par des passages de Plutarque et d'Élien. Le premier disait que l'on voyait encore de son temps à Samos les ossements des Amazones qui s'y étaient réfugiées poursuivies par Bacchus. Le second peuplait la même île, des Neades, monstres dont d'après lui les os se voyaient encore à l'époque où vivait Euphorion. Persuadé que c'étaient des ossements fossiles il fit des recherches dans cette direction et obtint des renseignements positifs du prince de Samos, Alexandros Karatheodoris, homme d'État remarquable, possédant une grande érudition.

Son Altesse lui apprit qu'un médecin du village de Mytilini possédait des ossements trouvés dans les environs, et fit cesser les difficultés qui s'opposaient aux fouilles.

Le terrain ossifère est de nature torrentielle. Ce sont des couches irrégulières et alternantes de grès, de cailloux, de marnes calcaires et argileuses, adossées aux parties basses d'un calcaire lacustre miocène, et traversant l'île sur une étendue d'environ 15 kilomètres.

M. Forsyth Major a pu constater les restes d'une quarantaine d'espèces de mammifères et un oiseau. Pour 18 d'entre eux il a pu établir avec certitude l'identité avec ceux de la faune de Pikermi, et il est probable que l'on en retrouvera d'autres.

A part celles-ci il a trouvé des espèces qui présentaient un intérêt tout

particulier et qui sont presque toutes nouvelles pour la science. Ce sont des représentants des deux familles d'Édentés du vieux monde, l'*Orycteropus Gaudryi* Major, le *Palæomanis Neas* Major; un ruminant gigantesque d'un genre nouveau *Samotherium Boissieri* Major (dont on a retrouvé au moins 12 individus). Il appartient à la famille des Girafes dont il se distingue cependant par plusieurs caractères. Un fémur d'une autruche, *Struthio Karatheodoris* Major se rapprochant du *Struthio Camelus*. L'on voit ainsi que d'un côté la faune a un cachet africain, néanmoins l'élément asiatique est représenté par quelques fossiles qui ont des rapports avec des mammifères habitant aujourd'hui l'Asie. De ce nombre sont les deux suivants : le *Meles Maraghanus* décrit par Ritt qui l'a trouvé en Perse; le *Criotherium argalioides* Major, lequel donnerait le premier indice d'un ovidé tertiaire.

Parmi les types éteints que l'on a retrouvé à Samos il faut citer l'*Ancylotherium Pentelici* Gaudry, que les ossements retrouvés peuvent faire admettre pour un onguiculé dont les doigts auraient été réduits au nombre de trois.

M. Gaudry disait il y a quelques années : « Sans vouloir prétendre que l'*Ancylotherium* fût un proche parent des ongulés, je crois pouvoir dire qu'il a un peu diminué la grande distance qui semblait exister entre ces animaux et les onguiculés. » M. Forsyth Major ne serait pas loin de s'associer à cette opinion, seulement il ne voit pas de raisons suffisantes pour chercher cette parenté onguiculée du côté des Édentés.

Lorsqu'on se rappelle l'importance scientifique des fouilles de Pikermi et du Mont Leberon, l'on ne peut que féliciter chaudement M. Forsyth Major de sa magnifique découverte et le remercier de nous en avoir donné la primeur.

Botanique.

M. le prof. *Müller* a lu un rapport sur ses trois derniers *Travaux lichenographiques* lesquels concernent l'Amérique méridionale.

Dans le premier il étudie les Lichens du détroit de Magellan, de la Terre de Feu et du Cap Horn, qui lui ont été confiés par le Museum de Paris. Il a pu décrire 20 espèces et 12 variétés comme nouvelles.

Dans le deuxième, étudiant les Lichens collectés par le professeur Arechavaleta dans les environs de Montevideo, il a trouvé 10 espèces et 3 variétés nouvelles, montrant une affinité marquée avec la Flore tropicale.

Dans le troisième il traite des Lichens du Paraguay rapportés par M. Balansa. Sur 248 espèces, 73 n'étaient pas connues et présentaient un grand intérêt par les traits particulièrement distincts de l'organisation de certaines espèces. On doit signaler le fait que cette flore du Paraguay est très différente de celle de la province brésilienne de Saint-Paul qui se trouve sous la même latitude.

M. Müller nous a présenté la revision des Lichens de Fée qu'il vient de terminer. Ce grand travail paraîtra dans nos Mémoires.

M. le prof. A. de Candolle a lu une notice biographique sur l'illustre botaniste Asa Gray, qui fut son ami de longues années, et dont j'ai tâché bien imparfaitement, il est vrai, de vous retracer la vie.

Il nous a parlé d'un mémoire de M. Schaler sur le *Taxodium distichum* dont le genre était très répandu surtout à l'époque miocène. Il présente la particularité d'émettre sur ces racines des protubérances qui varient suivant la profondeur de l'eau, allant jusqu'à 10 pieds si l'eau est profonde, elles sont très petites ou nulles si le terrain n'est pas submergé.

M. de Candolle nous a entretenus de l'ouvrage important du Dr Bayley Balfour sur la botanique de Socotra, sur les 565 espèces de phanérogames recueillies, 206 ne sont pas connues ailleurs. La flore offre des analogies spécifiques et génériques avec les plantes de Madagascar et des continents africain et asiatique, et tendrait à faire admettre l'existence à une époque géologique ancienne de communications terrestres entre ces différents pays. La constitution géologique de Socotra confirme l'idée d'une ancienneté très grande, car le centre est une masse granitique sans volcans sur lesquels s'appuient des calcaires qui jusqu'ici n'ont

fourni aucune pétrification. Cette ancienneté expliquerait la singularité de quelques végétaux actuels de cette île.

M. le prof. de *Candolle* questionné par M. Émile Burnat sur le point suivant: *Faut-il donner aux lois actuellement admises sur la nomenclature un effet rétroactif*, nous a donné connaissance de sa réponse ainsi que des raisons qui militent en faveur de son opinion. Il estime que l'on ne peut faire autrement et que du reste on n'a jamais soulevé d'objections. Il en cite de nombreux exemples.

M. *Chodat* a donné lecture d'une *Étude sur les noix de Kola* faite en collaboration avec M. Ph. Chuit. Ces semences qui font l'objet d'un commerce très considérable dans le bassin du Niger, sur les côtes de la Guinée et dans l'intérieur de l'Afrique, sont encore peu connues en Europe par le fait de la difficulté de leur conservation.

Dans la première partie de ce travail se trouve la description des caractères morphologiques et anatomiques particuliers au genre *Kola* et à ses semences.

Dans la seconde partie les auteurs ont rendu compte des analyses chimiques qu'ils ont faites des substances qui composent la partie alimentaire de ces noix. On voit qu'elles sont formées par de l'amidon en grande quantité, et de matières protéiques et alcaloïdes. D'un autre côté on remarque que la quantité des alcaloïdes (caféine et théobromine) qu'elles renferment et auxquelles elles doivent leur effet stimulant est à peu près la même que dans le thé, le café et le cacao.

Si donc MM. *Chodat* et *Chuit* ont trouvé, comme ils le pensent, les moyens de retirer des noix de *Kola* sèches un produit utilisable comme substance alimentaire, ils auront certainement fait une œuvre vraiment utile.

M. le Dr *Chodat* a rendu compte de son *Étude sur les Polygalacées du Paraguay* récoltées par B. Balansa. Sur 23 espèces 8 sont nouvelles, les autres se rapportent à des espèces brésiliennes connues. Dans ses recherches l'auteur a pu se convaincre que le genre *Acantocladus* de *Klotsch* n'est pas distinct du genre *Polygala*; il a donc réuni les deux espèces de ce genre avec des noms nouveaux au genre *Polygala*.

Dans une autre communication M. *Chodat* nous a parlé de la *Polygalite*, corps qu'il a trouvé dans le *Polygala amara* et qu'il a étudié en collaboration avec M. P. Chuit. Sa formule est $C^6H^{12}O^3$ et il paraît se rattacher par ses propriétés aux hydrates de carbone. — Différentes raisons amènent ces Messieurs à penser qu'elle joue le rôle de l'amidon dans le *Polygala*, lequel n'en renferme point. Elle serait peut-être une deshydratation de la mannite.

M. *Chodat* nous a fait part des recherches qu'il a faites sur le genre *Sempervivum* concernant les phénomènes de la reproduction. Ces plantes sont protandres et en conséquence la reproduction est croisée, le pollen d'une fleur doit être transporté dans une fleur plus âgée et ce sont les insectes qui en sont chargés. Il a observé en outre un dimorphisme intéressant; certaines espèces ont deux boutons, les uns coniques, les autres arrondis. Cette différence concorde dans le premier cas avec une longistilie et dans le second avec une brachystilie o ù les styles ne dépassent pas les anthères.

M. M. *Micheli* nous a présenté un mémoire sur les *Légumineuses du Paraguay*, qui est le complément de celui qui a paru en 1883.

Les déterminations comprennent les dernières collections de Balansa ainsi que celles de Reugger faites il y a plus de 50 ans.

Ces nouvelles recherches ne modifient pas les résultats obtenus précédemment et montrent que les *Légumineuses du Paraguay* ont un caractère subtropical et brésilien. Les espèces récoltées s'élèvent au total à 264. Quatre espèces nouvelles ont été décrites par M. *Micheli*.

M. le Dr *Gosse* a signalé l'apparition très précoce cette année d'un certain nombre de champignons qu'il a constaté dans la Haute-Savoie. Il a remarqué en outre que l'*Hydnum rufescens* a donné lieu en 1884 et en 1888 à quelques accidents, tandis que dans d'autres années il a été utilisé sans inconvénients.

Zoologie.

M. *Em. Covelle* a donné quelques détails sur l'établissement de pisciculture de Genève.

M. *Victor Fatio* a exposé ses vues sur l'*Introduction dans les lacs suisses de diverses espèces de poissons d'Amérique*.

L'on a importé le *Salmo Quinnot* et le *Salmo fontinalis*, le *Coregonus albus* et le *Salmo namaycush*. Les deux premiers n'ont pas, paraît-il, prospéré, puisque depuis 12 ans on n'en a pas retrouvé trace jusqu'ici.

Pour les deux autres on peut se demander s'ils atteindront les dimensions qu'ils acquièrent en Amérique, et d'un autre côté si leur multiplication ne se fera pas au détriment de nos espèces indigènes vu la petitesse relative de nos bassins, et la consommation des éléments nutritifs qui leur sont nécessaires.

M. *Fatio* nous a donné des détails intéressants sur des bécasses qui, blessées, s'étaient avec leur bec fait des pansements et des ligatures fort ingénieuses au moyen de leurs plumes.

M. *Fatio* nous a communiqué une notice sur *Un nouveau Coregone français, le Coregonus Bezola du lac du Bourget*.

Ce poisson a été confondu jusqu'ici avec le Lavaret quoique les pêcheurs lui eussent donné le nom de Bezoule. Après en avoir indiqué les caractères propres il montre que des différences anatomiques, les dimensions et l'époque du frai viennent bien démontrer que l'on doit la rapprocher de la Gravenche dont elle peut cependant être distinguée et dont elle serait une sous-espèce locale.

M. *Alphonse Pictet* nous a présenté un mémoire intitulé *Description de quelques nouvelles espèces d'Orthoptères du Musée de Genève*.

Ce travail renferme la description d'une trentaine de genres et d'espèces appartenant pour la plupart à des formes très frappantes et très nettement séparées de celles qui sont connues. Ainsi la tribu des *Heterodicus* offre des formes très intéressantes, et certaines modifications

dues à l'habitat dans les régions nues de l'Afrique. Ce sont des Locustides avec perte des organes du vol et développement de nombreuses épines à la surface du corps, épines qui répondent sans doute à l'aspect des buissons épineux dans lesquels elles vivent. Les *Pterochroza* offrent une mimétique bien plus prononcée en ce qu'elles prennent l'apparence de feuilles sèches ou vertes, comme on le remarque du reste chez certaines Mantides.

M. II. de Saussure nous a donné des détails sur une excursion qu'il a faite dans le Sahara algérien en 1887.

Il admet que la plaine du Sahara a été formée en partie par les débris de la région montagneuse qui s'abaisse depuis le plateau de Batna, lequel offre le spectacle d'un pays raviné par les eaux. Celles-ci, après de gros orages, forment des torrents considérables qui viennent se perdre dans la basse plaine des Chots, laquelle est à 20^m au-dessous du niveau de la mer. C'est dans cette plaine que l'on pratique des puits artésiens qui donnent une eau chargée de sels mais potable. Ces sources artificielles donnant naissance à des oasis, il s'est créé des compagnies pour en forer et comme conséquence se livrer à la culture des palmiers. Un fait remarquable est que ces eaux jaillissantes amènent à la surface de petits poissons analogues à ceux qui vivent dans les ruisseaux des bords des montagnes et de gros crabes du genre *Thelphusa* que l'on retrouve dans les lagunes marines.

Il faut donc qu'il existe de grands canaux souterrains et non des couches seulement perméables.

M. le prof. de Candolle a résumé le travail sur la relation qui existe entre la *grosseur de la tête et la capacité pour les études* publié par M. le Dr Venn, et qui sont le résultat des mensurations faites pendant trois ans sur 1095 étudiants de l'Université de Cambridge.

Il constate que si des jeunes gens ont atteint le maximum de croissance de la tête à 19 ans, chez d'autres le grossissement continue au moins jusqu'à 25 ans. Il a pu diviser les têtes d'après leur volume en trois catégories, et les 258 qui étaient les plus grosses se sont trouvés se rap-

porter aux jeunes gens qui avaient eu le plus de succès. D'un autre côté, l'on remarque que chez ces derniers le grossissement de la tête n'a été que de 3 % tandis que pour les autres elle a été de 6 %.

Il en tire comme conséquence que les jeunes gens de la catégorie supérieure ont dû en partie leur supériorité à un développement précoce. Il admettrait que l'on doit éviter d'envoyer les jeunes gens à l'Université avant 20 ou 21 ans. Mais l'on peut, dans ce cas, se demander si le travail intellectuel que sont obligées de faire les têtes d'un petit volume n'a pas pour résultat direct d'augmenter la croissance, et par conséquent de les amener à pouvoir lutter à armes égales.

M. *Victor Fatio* a donné une analyse de deux mémoires du professeur T. Studer sur les restes de mammifères découverts dans des dépôts glaciaires du canton de Berne et sur les restes de l'*Arctomys* dans le diluvium des environs de Berne.

Dans le premier travail, il signale que les restes d'éléphas trouvés jusqu'ici se rapportent au *Primigenius*; que les dépôts de Rapperswyl et de Huttwyl se rapportent à la fin de l'époque glaciaire; que l'apparition du rhinoceros tichorius, de l'éléphas primigenius, de l'équus cabellus, du cervus tarandus, dans l'Europe moyenne daterait de cette époque et qu'ils auraient même dépassé l'époque glaciaire. Les glaciers devaient encore occuper nos vallées lorsque l'homme chassait du côté de Schaffhouse et en Souabe. Le renne est resté sur notre sol plus tard que les gros pachydermes, et on retrouve ses restes à Veyrier et à Ville-neuve avec ceux d'espèces vivant encore sur nos Alpes.

Dans le second travail, profitant de la découverte d'un squelette entier d'une marmotte à Zollikofen, il y retrouve une variété de l'*Arctomys marmotta* qui, avec une taille supérieure, serait la souche de la Marmotte suisse actuelle, la diminution de la taille de l'animal provenant surtout du fait de la limitation progressive de l'habitat.

M. G. *Lunel* a attiré l'attention de la Société sur l'anomalie constatée cette année pour l'époque du frai de l'Ombre-chevalier dans le lac de Genève. Ordinairement elle avait lieu en février et en mars; cette année,

l'on a capturé une grande quantité de ces poissons en train de frayer sur les lieux accoutumés en juin, en juillet et même en août. L'on ne peut pas préciser la cause de ce fait, à moins qu'on ne l'attribue aux phénomènes atmosphériques qui auraient arrêté ou ralenti le développement des organes reproducteurs.

Physiologie.

M. le prof. *Schiff* nous a présenté une tumeur odontome d'un volume considérable, qui provenait d'un bœuf des Maremmes. Elle s'était développée dans la partie antérieure et moyenne du crâne et, ayant produit une atrophie du cerveau, aurait dû détruire les prétendus centres moteurs, s'ils existent chez les ruminants.

M. *Schiff* a donné lecture d'un travail sur *les prétendues pétrifications du cerveau*.

On peut les diviser en deux classes :

Dans la première, ce sont des tumeurs osseuses qui, pendant la vie, ont comprimé le cerveau auquel elles se sont substitué.

Dans la seconde, c'est un remplissage des cavités crâniennes par des substances terreuses et salines qui se solidifient et forment des concrétions qui imitent la forme du cerveau. Il donne la liste des huit cas où il a pu constater une semblable substitution.

M. *Schiff* a fait en outre une communication préliminaire sur *la localisation de la sensibilité générale chez les singes*.

M. le D^r *Henri Girard* a exposé les recherches qu'il a faites sur la sécrétion du suc gastrique actif.

Il s'est appliqué à contrôler dans des digestions artificielles l'action des peptogènes, et a cherché plus particulièrement si l'absorption de matériaux alimentaires dans le gros intestin détermine dans l'estomac vide une sécrétion de suc gastrique actif.

Il a reconnu t^o que le suc gastrique d'un animal privé de nourriture

depuis 16 à 20 heures est très pauvre en pepsine et n'a sur l'albumine coagulée qu'une action digestive à peine appréciable ;

2^o Que l'absorption de matériaux alimentaires dans le gros intestin a sur la composition du suc gastrique et sur son pouvoir digérant une influence évidente ;

3^o Que l'injection rectale d'une petite dose de chlorure de sodium est presque toujours suivie d'une sécrétion abondante d'un suc gastrique riche en acide chlorhydrique et en pepsine.

M. le prof. *Gosse* vous a entretenu des résultats qu'il a obtenus pendant une période de plus de deux ans, en se servant du *liquide Pictet* (CO'S) à la morgue de police de Genève.

Les résultats pour la désinfection des vêtements que l'on doit conserver n'ont rien laissé à désirer, et l'emploi facile de cet agent doit encourager son utilisation dans les établissements publics.

En outre, il a pu constater que son action comme désodorant était des plus remarquables et pourra être utilisée dans bien des cas, et spécialement dans les localités ne possédant pas d'appareils frigorifiques. Cette étude devra être continuée pour déterminer l'action de ce liquide sur les bacilles, etc.

M. le prof. *Gosse* a présenté une série de photographies de globules du sang de différents mammifères et a signalé à votre attention les avantages multiples qu'il y avait à faire les mensurations de ces corps sur des photographies présentant un fort grossissement. Il vous a en outre fait remarquer que les dimensions des globules varient sous l'influence de l'âge et de certaines opérations, telles que la castration.

Tel est le résumé des travaux qui ont occupé notre Société pendant l'année qui vient de s'écouler ; il ne me reste qu'à vous présenter mes remerciements pour le concours bienveillant que vous n'avez cessé de m'accorder, et à faire des vœux pour que notre Société continue à soutenir longtemps le renom scientifique de notre Patrie.

BULLETIN BIBLIOGRAPHIQUE

*Liste des ouvrages reçus par la Société du 1^{er} juillet 1888
au 31 décembre 1889.*

Titres.	Donateurs.
Compte rendu des travaux présentés à la 70 ^{me} session de la Société helvétique des Sciences naturelles réunie à Soleure en 1888. 8°	} Société helvétique des Sc. naturelles.
Genève, 1888	
Mittheilungen der naturforsch. Gesellschaft in Bern. Nos 1195-1214. 8°	} Société des Sciences naturelles de Berne.
Bern, 1888	
Europäische Gradmessung. Das schweizerische Dreiecknetz. Bd. III. IV. 4°	} Observatoire de Genève.
Zürich, 1888-89	
Hirsch et Dumur. Le réseau de triangulation suisse. Vol. II. 4°	} Société des Sciences naturelles de Fribourg.
Lausanne, 1888	
Bulletin de la Société fribourgeoise des Sciences naturelles. 5 ^{me} -8 ^{me} années. 1883-87. 8°	} Société des Sciences naturelles de Neuchâtel.
Fribourg, 1888	
Bulletin de la Société des Sciences naturelles de Neuchâtel. T. XVI. 8°	} Société des Sciences naturelles de St-Gall.
Neuchâtel, 1888	
Bericht über die Thätigkeit der St.-Gallischen naturwissenschaftlichen Gesellschaft. 1886-1887. 8°	} Société commerciale de St-Gall.
St. Gallen, 1888	
Mittheilungen der ostschweizerischen Geog. commerc. Gesellschaft in St. Gallen. Heft 1. 8°	} Société vaudoise des Sc. naturelles.
St. Gallen, 1889	
Bulletin de la Société vaudoise des Sciences naturelles. 2 ^{me} série. Vol. XXIV, nos 98-99. 8°	} Société des Sciences naturelles de Thurgovie.
Lausanne, 1888-89	
Rapport sur le Musée de Lausanne en 1887. 8°	
Lausanne, 1888	
Eclogæ geologicae Helvetiæ. III. IV. 8°	
Lausanne, 1888	
Mittheilungen der Thurgauischen naturforschenden Gesellschaft, 8 ^{tes} Heft. 8°	
Frauenfeld, 1888	

Beiträge zur geologischen Karte der Schweiz. XXIV. 4 ^e Theil. 4 ^e Berne, 1888	} Commission géologique fédérale
Comptes rendus des séances de l'Académie des Sciences de Paris. Tomes CVII, CVIII, CIX, nos 1-22. 4 ^e Paris, 1888-89	
Mission scientifique du Cap Horn. 1882-83. Tome I. Histoire du voyage. 4 ^e Paris, 1889	} Académie des Sciences de Paris.
Journal de l'École Polytechnique. Cahiers 57 et 58. 4 ^e . Paris, 1888-89	
Annales des Mines. Tomes XIII à XV. 8 ^e Paris, 1888-89	} École Polytechnique. École des Mines.
Nouvelles Archives du Muséum d'Histoire naturelle. 2 ^{me} série. Tome IX, fasc. 2; tome X, fasc. 1. 4 ^e Paris, 1889	
Annales de la Société entomologique de France. 6 ^{me} série. T. VII et VIII. 8 ^e Paris, 1888-89	} Société entomologique de France.
Bulletin de la Société de Géographie de Paris. 1888, trimestres 1 à 4 1889, trimestre 1. 8 ^e Paris, 1888-89	
Compte rendu des séances. 1888, nos 13-17; 1889, nos 1-13. 8 ^e Paris, 1888-89	} Société de Géographie de Paris.
Bulletin de la Société géologique de France. Tome XV, nos 7 à 9; tome XVI, nos 1 à 10; tome XVII, nos 1 à 7. 8 ^e . Paris, 1888-89	
Travaux du Bureau international des poids et mesures. Tome VI. 4 ^e Paris, 1888	} Comité international des poids et mesures.
Revue savoisienne. 29 ^{me} année, 1888, nos 6-7 et 9-12; 30 ^{me} an- née, 1889, nos 1-10. 8 ^e Annecy, 1888-89	
Mémoires de l'Académie des Sciences, Belles-Lettres et Arts de Savoie. 3 ^{me} série, Tomes VII et VIII. 8 ^e Chambéry, 1888	} Académie de Savoie.
Actes de la Société Linnéenne de Bordeaux. 4 ^{me} série, tome X; 5 ^{me} série, tome I. 8 ^e Bordeaux, 1888-89	
Mémoires de la Société des Sciences physiques et naturelles de Bordeaux. 3 ^{me} série. Tomes II, 2 et III, 1, 2. 8 ^e . Bordeaux, 1888-89	} Société des Sciences phys. et nat. de Bordeaux.
Mémoires de l'Académie des Sciences, Belles-Lettres et Arts de Lyon. Classe des Sciences. Vol. XXVIII, XXIX. 8 ^e . . . Lyon, 1889	
Annales de la Société d'agriculture, Histoire naturelle et Arts utiles de Lyon. 5 ^{me} série. Tomes IX, X; 6 ^{me} série. Tome I. 8 ^e Lyon, 1888-89	} Société d'agriculture, etc. de Lyon.
<i>Dr St-Lager</i> . Histoire des herbiers. — Recherches sur les anciens Herbaria. — Vicissitudes onomastiques de la Globulaire vul- gaire. 8 ^e Paris, 1885-89	
Annales de la Société Linnéenne de Lyon. Nouvelle série, Tomes XXII à XXIV Lyon, 1888-89	} Société Linnéenne de Lyon.
Bulletin de la Société linnéenne de Normandie. 4 ^{me} série. Tomes I, II. 8 ^e Caen, 1888-89	
Annales de l'Académie de la Rochelle, fol. 25. 8 ^e . La Rochelle, 1888	} Académie de la Rochelle.
Mémoires de l'Académie de Stanislas. cxxxviii ^{me} année, 5 ^{me} série, Tome V. cxxxix ^{me} année, 5 ^{me} série, Tome VI. 8 ^e . Nancy, 1888-89	

- Mémoires de l'Académie des Sciences, Inscriptions et Beaux-Arts de Toulouse. 8^{me} série. Tome IX et X. 8°. Toulouse, 1888 } Académie de Toulouse.
- Bulletin de la Société scientifique d'études d'Angers. 17^{me} année (1887). 8°. Angers, 1888 } Société scientif. d'Angers.
- Mémoires de la Société nationale des Sciences naturelles et mathématiques de Cherbourg. Tome XXV. 8°. Cherbourg, 1888 } Société nationale des Sc. de Cherbourg.
- Mémoires de l'Académie des Sciences et Belles-Lettres de Dijon. 3^{me} série. Tome X. 8°. Dijon, 1889 } Académie de Dijon.
- Ph. Milsand*. Bibliographie bourguignonne. Supplém. 8°. Dijon, 1888
- Annales de la Société des Sciences nat. de la Charente-Inférieure. 1886 (n° 23) et 1887 (n° 24). 8°. La Rochelle, 1888-89 } Société des Sc. nat. de la Charente-Inférieure.
- Bulletin météorologique du département de l'Hérault. Montpellier, 1886 } Académie de Montpellier.
- Bulletin de la Société des amis des Sciences naturelles de Rouen. 3^{me} série. 25^{me} année. 1^{er} semestre 1889. 8°. Rouen, 1889 } Don de la Société.
- Memorias del Instituto geografico y estadístico. T. VII. 8°. Madrid, 1888 } Don du général Ibañez.
- Jornal de Ciencias mathematicas, physicas e naturaes; n^{os} XL à XLVIII. 8°. Lisboa, 1889 } Société des Sciences de Lisbonne.
- J. de Andrade Corvo*. Estudos. A.-X. *Pereira*. Curso di Silvicultura. V. *Machado*. Estudo. 8°. Lisboa, 1886-89 } Académie de Lisbonne.
- Memorias da Academia-real das Sciencias de Lisboa. Classe de Sc. math. phys. et nat. Tome VI, 2. 4°. Lisboa, 1887 } Académie de Lisbonne.
- Id. Elogio historico. 4°. Lisboa, 1886 } Académie de Lisbonne.
- Jornal da Sociedade das Sciencias medicas de Lisboa. Tome LIII, LIV. 8°. Lisboa, 1889 } Société de médecine de Lisbonne.
- Atti della R. Accademia dei Lincei. *Transunti*. Anno XLII. 4°. Roma, 1889 } Académie des Lynx.
- Id. *Memorie*. Serie IV, vol. III, IV. 4°. Roma, 1889 } Académie des Lynx.
- Id. *Rendiconti*. Serie IV, vol. IV, 1^{er} sem., fasc. 7-13; 2^{me} sem., fasc. 1-12; vol. V, 1^{er} sem., fasc. 1-12; 2^{me} sem., fasc. 1-5. 4°. Roma, 1888-89 } Académie des Lynx.
- Memorie per servire alla descrizione della carta geologica d'Italia. Vol. III. P. 2. 4°. Firenze, 1889 } Comité géologique d'Italie.
- Bollettino delle opere moderne e straniere acquistate dalle biblioteche pubbliche. Vol. III, n^{os} 1-6; vol. IV, n^{os} 1-3. 8°. Roma, 1888-89 } Bibliothèque nationale de Rome.
- Annali del Museo civico di Storia naturale di Genova. Serie 2, vol. III à VI. 8°. Genova, 1888 } Musée d'histoire naturelle de Gènes.
- Memorie del R. Istituto Lombardo di Scienze e di Lettere. Classe dei Sc. matem. e natur. Vol. XVI, fasc. 1. 4°. Milano, 1888 } Institut Royal lombard des Sc. et des Lettres.
- Id. *Rendiconti*. Ser. II. Vol. XX. 8°. Milano, 1888 } Institut Royal lombard des Sc. et des Lettres.
- Atti della Soc. italiana di Scienze naturali. Vol. XXX, n^{os} 1-4. 8°. Milano, 1888 } Société des Sc. naturelles de Milan.
- Memorie della Regia Accademia di Sc., L., ed Arti in Modena. Serie II, vol. V, VI. 4°. Modena, 1888 } Académie Royale de Modène.

- Memorie della R. Accademia delle Scienze di Bologna. Serie IV.
Tome VIII. 4°.....Bologne, 1887 } Académie de Bologne.
- Id. *Tondini de Guarengi*. Note sur l'unification du calendrier.
Giornale di Scienze naturali ed economiche di Palermo. Vol.
XVIII, XIX. 4°.....Palermo, 1889 } Société des Sc. nat. de
Palermo.
- Atti della Società Toscana di Scienze naturali. *Memorie*. T. IX,
8°.....Pisa, 1888 } Société toscane des Sc.
Id. *Processi verbali*. T. VI, 8°.....Pisa, 1889 } naturelles.
- Id. Alla Memoria del prof. G. Meneghini. 8°.....Pisa, 1889 }
- Memorie della R. Accademia delle Scienze di Torino. Serie seconda.
T. XXXIX. 4°.....Torino, 1889 } Académie Royale des Sc.
Id. Atti. Vol. XXIII, Disp. 5-15. Vol. XXIV, Disp. 1-15. 8°.
Torino, 1888-89 } de Turin.
- Bollettino dell' Osservatorio della Regia Università di Torino.
Anno XXIII (1887). Folio.....Torino, 1889 } Académie Royale des Sc.
de Turin.
- Atti della Società Veneto-Trentina di Scienze naturali. T. X,
fasc. 2. 8°.....Padova, 1889 } Société des Sc. nat. de
Id. Bollettino. Tome IV, n° 2, 3. 8°.....Padova, 1887 } Venise et du Trentin.
- Atti del Reale Istituto Veneto di Scienze, Lettere ed Arti. T. V,
disp. 10. T. VI, 1-10. T. VII, 1, 2. 8°.....Venezia, 1889 } Institut Royal des Sciences
de Venise.
- Verlagen en Mededeelingen der kon. Akademie van We-
tenschap. — Afdel. Natuurkunde. 3^{de} serie. T. III à V.
8°.....Amsterdam, 1888-89 }
- Id. Afdel. Letterkunde. Ser. 3. T. IV, V. 8°.....Amsterdam, 1889 } Académie Royale des Sc.
Id. Afdel. Letterkunde. Deel XVII. 4°.....Amsterdam, 1888 } d'Amsterdam.
- Id. Verhandelingen. Deel XXVI. 4°.....Amsterdam, 1888 }
- Id. Jaarboek voor 1888. 8°.....Amsterdam, 1884-85 }
- Id. Adam et Christus, etc. Carmina præmio ornata. 8°. Amsterdam, 1889 }
- Bijdragen tot de Dierkunde. Livr. 14 à 16. 4°.....Amsterdam, 1888 } Soc. zool. d'Amsterdam.
- Archives du Musée Teyler. Sér. II. T. III, nos 2, 3. 8°. Harlem, 1889 }
- Fondation Teyler. Catalogue de la bibliothèque. Livr. 7, 8.
8°.....Harlem, 1888 } Fondation Teyler.
- Archives néerlandaises des Sciences exactes et naturelles. T. XXII,
livr. 4 et 5; T. XXIII, livr. 1 à 5. 8°.....Harlem, 1888-89 } Société hollandaise des
Sciences.
- Mémoires de l'Académie Royale des Sciences, Lettres et Beaux-
Arts de Belgique. T. XLVIII, XLIX. 4°.....Bruxelles, 1889 }
- Id. Mémoires couronnés. T. XL à XLII. 4°.....Bruxelles, 1889 } Académie Royale de
Id. Annuaire. 1888-1889. 8°.....Bruxelles, 1887-89 } Belgique.
- Id. Bulletins. 3^{me} série. T. XIII à XVI. 8°.....Bruxelles, 1889 }
- Annales de la Société entomologique de Belgique. Tome XXXI.
8°.....Bruxelles, 1888 } Société entomologique de
Belgique.
- Annales de la Société malacologique de Belgique. 10^{me} série.
Tome II. 8°.....Bruxelles, 1888 } Société malacologique de
Belgique.

Bulletin de la Société belge de microscopie. 15 ^{me} année. T. VIII à X. 8°.....	Bruxelles, 1889	} Société belge de microscopie.
Report of the 57 th Meeting of the British Association for the advancement of Science. 8°.....	London, 1888	
Philosophical Transactions. Vol. 177 à 179. 4°.....	London, 1888-89	} Association britan. pour l'avancem. des Sciences.
Proceedings of the Royal Society. Nos 274-283. 8°.....	London, 1889	
List of Fellows. déc. 1888. 4°.....	London, 1889	
The Eruption of Krakatoa. 4°.....	London, 1888	} Société Roy. de Londres.
Astronomical and Magnetical and Meteorological Observations made at the Royal Observatory Greenwich, in the year 1885. 4°.....	London, 1885	
Monthly Notices. Vol. XLVIII, nos 8, 9; vol. XLIX, nos 1-9. London, 1888-89		} Amirauté anglaise.
Proceedings of the Royal Geographical Society and Monthly Record of Geography. Vol. X, 7-12; Vol. XI, 1-12. 8°..	London, 1888-89	
Quarterly Journal of the Geol. Soc. Nos 174-179. 8°..	London, 1889	} Société Royale de Géographie de Londres.
Id. List for 1888. 8°.....	London, Nov., 1888	
Nature. Nos 975-1046. 8°.....	London 1888-89	} Société géologique de Londres.
Transactions of the Linnean Society of London. 2 ^d series. Zoology. Vol. III, 5, 6; IV, 1-3; V, 1-3.....	London, 1888-89	
Id. Botany. Vol. II, 9-15; III, 1. 4°.....	London, 1888	} Rédaction.
Journal of the Linnean Society. Zoology. nos 114-132. 8°.	London, 1888-89	
Id. Botany. nos 145-169. 8°.....	London, 1888-89	} Société Linnéenne de Londres.
Id. Proceedings. 1886-1887. 8°.....	London, 1887	
Journal of the R. Microscopical Society. 1888, parts 4-6; 1889, parts 1-5. 8°.....	London, 1888-89	} Société R. de Microscopie de Londres.
Proceedings of the Zoological Society of London for 1887, part 4, 1888, parts 1-2. 8°.....	London, 1888-89	
Id. Transactions. Vol. XII, part 7. 4°.....	London, 1888	} Société zoologique de Londres.
Proceedings of the Birmingham Philosophical Society. Vol. VI, part 5-6. 8°.....	Birmingham, 1888-89	
Proceedings of the Cambridge Philosophical Society. Vol. VI, part 5-6; vol. VII, part 3. 8°.....	Cambridge, 1888-89	} Société des Sc. naturelles de Birmingham.
Id. Transactions. Vol. XIV, part 3, 4. 4°.....	Cambridge, 1889	
Memoirs and Proceedings of the Manchester Literary and Philosophical Society. 4 ^{me} serie, 1. 8°.....	Manchester, 1889	} Société des Sc. naturelles de Cambridge.
Id. Memoirs. Ser. III. Vol. X. 8°.....	Manchester, 1888	
Id. Proceedings. Vol. XXV, XXVI. 8°.....	Manchester, 1888	
Proceedings of the Liverpool biological Society, Vol. I, H. 8°.	Liverpool, 1888	} Société des Sc. naturelles de Manchester.
Transactions of the Royal Society of Edinburgh. Vol. XXX, part 4; vol. XXXI; vol. XXXII, part 2-4; vol. XXXIII, part 1, 2. 4°.....	Edinburgh, 1888	
Id. Proceedings, ff. 115-123. 8°.....	Edinburgh, 1888	} Société biologique de Liverpool.
		} Société royale d'Édimbourg.

- | | | |
|---|----------------------|---|
| Proceedings of the Royal Physical Society of Edinburgh. Session 1887-88. 8° | Edinburgh, 1889 | } Société Roy. de physique d'Édimbourg. |
| The Scientific Transactions of the Royal Dublin Society. Vol. III, vol. IV, nos 1-5. 4° | Dublin, 1888-89 | |
| Id. Proceedings. Vol. VI, parts 1-6. 8° | Dublin, 1889 | } Société Royale d'Irlande. |
| Journal of the Royal geological Soc. of Ireland. Vol. XVII, part 2, 8° | Dublin, 1888 | |
| Transactions of the Royal Irish Academy. T. XXIX, 1, 2, 5-11. 4° | Dublin, 1888-89 | } Académie Roy. d'Irlande. |
| Id. Proceedings. II, 8; IV, 6; III ^{me} serie. I, 1. 8° | Dublin, 1888 | |
| Id. Cunningham Memoirs. 1887. 4° | Dublin, 1888 | |
| Id. List of papers 1786-1886 | Dublin, 1887 | |
| Bulletin de l'Académie royale de Copenhague. 1888, 2. 8° | Copenhague, 1888 | } Académie Royale de Copenhague. |
| Ofversigt af Kongl. Vetenskaps-Akademiens Forhandlingar, Vol. XLVI. 8° | Stockholm, 1889 | |
| Entomologisk Tidsskrift. 9 ^{me} année (1888), nos 1-4. 8° | Stockholm, 1888 | } Société entomologique de Stockholm. |
| Sveriges offentliga Bibliothek Accessions-Katalog. N° 3. 8° | Stockholm, 1888 | |
| Acta Universitatis Lundensis. Tome XXIV. 4° | Lund, 1889 | } Université de Lund. |
| Forhandlingar i Videnskaps-Selskabet i Christiania. 1886, p. 1-13, 1887. 8° | Christiania, 1888 | |
| Bergens Museums Aarsberetning for 1887. 8° | Bergen, 1888 | } Musée de Bergen. |
| Mémoires de l'Académie impériale des Sciences de St-Petersbourg. 7 ^{me} série. Tome XXXVI, nos 1-17; Tome XXXVII, n° 1. 4° | St-Petersbourg, 1888 | |
| Id. Bulletin. T. XXXII, nos 2-4. 4° | St-Petersbourg, 1888 | } Académie impériale de St-Petersbourg. |
| Annales des physikalischen Central-Observatoriums. Jahrg. 1887. 4° | St-Petersbourg, 1888 | |
| Repertorium für Meteorologie. Bd. XI. 4° | St-Petersbourg, 1888 | |
| Acta Horti Petropolitani. Tome X, fasc. 2. 8° | St-Petersbourg, 1889 | |
| Schriften herausgegeben von der Naturforscher Gesellschaft bei der Universität Dorpat. 1887, nos 1-3; 1888, n° 4. 8° | Dorpat, 1889 | } Société des Naturalistes de Dorpat. |
| Id. Sitzungsberichte. Bd. VIII, Heft 2-3 | Dorpat, 1889 | |
| Archiv für die Naturkunde. Bd. IX, Lief. 5. 8° | Dorpat, 1889 | } Société des Sciences de Finlande. |
| Acta Societatis Scientiarum Fennicæ. Tomes XV, XVI. 4° | Helsingfors, 1888 | |
| Öfversigt af Finska Vetenskaps-Soc. Förhandlingar. T. XXVIII, XXIX, XXX. 8° | Helsingfors, 1888-89 | |
| Bidrag till Kännedom af Finlands Natur och Folk. Häfte 45-47. 8° | Helsingfors, 1887-88 | |

Nouveaux mémoires de la Société impériale des Naturalistes de Moscou. Tomes I-XV. 10 vol. et 15 fasc. 4°	Moscou, 1829-88	} Société des Naturalistes de Moscou.
Id. Bulletin. 1888, 2-4; 1889, 1. 8°	Moscou, 1884-85	
Meteorologische Beobachtungen ausgeführt am meteorologischen Observatorium. 4°	Moscou, 1889	} Académie royale de Berlin.
Abhandlungen der Kön. preussischen Akademie d. Wissenschaften zu Berlin aus dem Jahre 1887-1888. 4°	Berlin, 1888-89	
Id. Sitzungsberichte. 1888, 21 à 52; 1889, 1 à 38. 8°	Berlin, 1888-89	} Société géologique allemande.
Zeitschrift der deutschen geologischen Gesellschaft. Bd. XL, H. 1-4; Bd XLI, H. 1. 8°	Berlin, 1888-89	
Jahresbericht des directors des K. geodätischen Instituts 1888-89. 8°	Berlin, 1889	} Institut géodésique de Berlin.
Jahresbericht des naturwissenschaftlichen Vereins zu Magdebourg. 1887. 8°	Magdebourg, 1888	} Société des Sc. naturelles de Magdebourg.
63 ^{er} und 66 ^{te} Jahresbericht der Schlesisch. Gesellschaft für vaterl. Cultur. 8°	Breslau, 1888-89	} Société des Sc. naturelles de Breslau.
Schriften d. physikal.-œconom. Gesellschaft zu Königsberg. XXVIII ^{ter} und XXIX ^{ter} Jahrg. 1887-88. 4°	Königsberg, 1888-89	} Société de physique de Königsberg.
Berichte der Wetterauischen. Gesell. für gesammte Naturkunde in Hanau, 1887-1888. 8°	Hanau, 1889	} Société des Sc. naturelles de Hanau.
72 ^{ter} und 73 ^{ter} Jahresbericht der naturf. Gesell. in Emden. 1886-1887. 8°	Emden, 1889	} Société des Sc. naturelles de Emden.
Abhandlungen der naturforschenden Gesellschaft zu Halle. B ^d XVII, Hefte 1-2. 4°	Halle, 1888	} Société des Sciences naturelles de Halle.
Id. Berichte der Sitzungen für 1887. 8°	Halle, 1888	
Abhandlungen herausgegeben von naturwissenschaftlichen Vereine zu Bremen. T. X, n ^o 3. 8°	Bremen, 1889	} Association scientifique de Brème.
Schriften der naturf. Gesellsch. in Dantzig. N. F. Bd. VII; H. 2. 8°	Dantzig, 1889	} Société des Sc. naturelles de Dantzig.
Berichte über die Verhandl. der k. sächs. Gesellschaft der Wissenschaften. Mathem.-physische Classe. 1888, 1-4, 1889, 1-2. 8°	Leipzig, 1889	} Société R. des Sciences de Saxe.
Id. Abhandlungen. Bd. XIV, n ^o 10-13. 8°	Leipzig, 1889	
Id. <i>Bruno Peter</i> . Monographie der Sternhaufen.		} Société des Sc. naturelles de Leipzig.
Id. <i>W. Ostwald</i> . Ueber die Affinitats grossen.		
Id. <i>W. Pfeiffer</i> . Beiträge zur Kenntniss der Oxydations Vorgänge. 8°	Leipzig, 1889	} Société des Sciences nat. de Zwickau.
Sitzungsberichte der naturforschenden Gesellschaft zu Leipzig. XIII ^{ter} und XIV ^{ter} Jahrg. 1886-87. 8°	Leipzig, 1888	
Jahresbericht des Vereins für Naturkunde zu Zwickau, 1887-88. 8°	Zwickau, 1888	} Société des Sciences nat. de Halle a. S.
Zeitschrift für Naturwissenschaften. Bd. LXI, Hefte 1-6; Bd. LXII, Hefte 1-4. 8°	Halle a. S., 1888-89	

Nova Acta Academiæ C. L. Car. germ. Naturæ Curiosorum. Bd. LIII. 4°	Halle a. S., 1888-89	} Société des Sciences nat. de Halle a. S.
Id. Necrologe. 1881-87.		
Jenaische Zeitschrift für Naturwissenschaft. Bd. XXII und XXIII, 8°	Jena, 1888-89	} Société de Médecine et d'Histoire nat. de Iéna.
Verhandlungen des naturhistorischen Vereins der preussischen Rheinlande und Westphalens. Jahrg. XLV, (5 F., 5), Jahrg. XLVI (5 F., 6). 8°	Bonn, 1888-89	
16 ^{ter} Jahresbericht des Westphälischen provinz. Vereins für Wiss. und Kunst für 1886. 8°	Münster, 1888	} Société des Sciences et Arts de Westphalie.
Abhandlungen herausg. v. d. Senckenbergischen naturforschenden Gesellschaft. Bd. XV, Hefte 3. 8°	Frankfurt a/M., 1888	
Berichte über Senckenberg. naturf. Gesellschaft 1887-88. 8°	Frankfurt a/M., 1888	} Société Senckenbergienne.
Berichte über die Verhandlungen der Naturforschenden Gesellschaft zu Freiburg in Baden. 1887-1889. 8°.	Freiburg i. B., 1888-89	
Bulletin de la Société industrielle de Mulhouse. 1888, juillet-décembre; 1889, janvier-septembre. 8°	Mulhouse, 1888-89	} Société industrielle de Mulhouse.
Jahreshefte des Vereins für vaterländische Naturkunde in Württemberg. Jahrg. XXV. 8°	Stuttgart, 1889	
Abhandlungen der Mathem.-Physikal. Cl. der K. b. Akademie der Wissenschaften. Bd. XVI, Abthl. 3. 4°	München, 1888	} Académie des Sciences de Bavière.
Id. Sitzungsberichte der Mathem.-Physikal. Kl., 1888, H. 2, 3; 1889, H. 1, 2. 8°	München, 1889	
Sitzungs Berichte der Gesellschaft für Morphologie und Physiologie in München. II, 1-2; III, IV, V, 1. 8° ..	München, 1886-88	} Société physiologique de Munich.
Verhandlungen der physikalisch-medicinischen. Gesellschaft. zu Würzburg, Bd. XXII. 8°	Würzburg, 1889	
Sitzungsberichte der physikal.-medicinisch. Gesellsch. zu Erlangen. 1888, 8°	Erlangen, 1889	} Société physico-médicale d'Erlangen.
Denkschriften der k. Akademie der Wissenschaften. Bd. LIII, LIV. 4°	Wien, 1889	
Id. Sitzungsberichte. Mathem.-naturwiss. Klasse. 1 ^{te} Abtheil. Bd. XCV, 1-5; XCVI, 1-5; XCVII, 1-5. — 2 ^{te} Abtheil. Bd. XCV, 3-5; XCVI, 1-5; XCVII, 1-7; XCVII _b , 1-7. — 3 ^{te} Abtheil. Bd. XCV, 1-5; XCVI, 1-5; XCVII, 1-6.	Wien, 1888-89	} Académie Impér. des Sc. de Vienne.
Jahrbuch der k. k. geologischen Reichsanstalt. Bd. XXXVII, nos 3-4; XXXVIII, und XXXIX, 1-2. 8°	Wien, 1888-89	
Id. Verhandlungen. 1887, nos 13-16; 1888, nos 9-18; 1889, 1-10. 8°	Wien, 1888-89	} Institut géologique d'Autriche.
Verhandlungen der k. k. zoologisch-botanischen Gesellschaft in Wien. Bd. XXXVIII, 3-4; XXXIX, 1-2. 8°	Wien, 1888-89	
Astronomische arbeiten des k.-k. Gradmessungs Bureau. Vol. I. 4°	Wien, 1889	} Observatoire de Vienne.

- Mittheilungen der k.-k. geographischen Gesellschaft in Wien.) Société Imp. de Géogra-
 Bd. XXXI. 8°Wien, 1889) phie de Vienne.
- Annalen des k. k. naturhistorischen Hofmuseums. Bd. III, n°s 2-4;) Musée de Vienne.
 Bd. IV, n°s 1-3. 8°Wien, 1889)
- Magnetische und meteorologische Beobachtungen an der k. k.) Observatoire de Prague.
 Sternwarte zu Prag im Jahre 1887-1888. 4°Prag, 1888-89)
- Sitzungsberichte d. königl. böhm. Gesellschaft d. Wiss. Jahrg.)
 1885-1888. 8°Prag, 1887-88) Société des Sciences nat.
 Id. Jahresbericht. 1886-1888. 8°Prag, 1886-89) de Bohême.
 Id. Abhandlungen. VII Folge, 1-2. 8°Prag, 1888)
 Id. *Fr. Vejdovsky*. Oplozeni a Ryhovani Vajicka. 8°Prag, 1888)
 Matematikai es Termésetstudományi Közlemények. Vol. XXII,)
 XXIII, 1-3. 8°Budapest, 1888-89)
 Ertekezések a matematikai Tudismanyak Köréből. Vol. XIII, 3;)
 XIV, 1. 8°Budapest, 1888)
 Id. a Termésetstudománysk Körebol. Vol. XVI, 7; XVII, XVIII,)
 1-5. 8°Budapest, 1888-89)
 Matematikai es Termésetstudományi Ertesitő. Vol. VI, 2-9;)
 VII, 1-3. 8°Budapest, 1888) Académie Hongroise.
 Magyar Tudiom. Akadémiai Almanach 1887, 1888, 1889. 8°)
 Budapest, 1887-89)
- Mathematische und Naturwissenschaftliche Berichte aus Ungarn.)
 Vol. V, VI (1886-1888). 8°Budapest, 1887-89)
- Id. *Thanhofer Lajos*. Données sur la structure du système cen-)
 tral des nerfs. 4°Budapest, 1887)
- Id. *Dr Isidor Frèhlich*. Electro-dynamomètre. Mémoire cou-)
 ronné. 4°Budapest, 1889)
- Orvos-Termésetstudományi Ertesitő. Vol. XIII, 2-3; XIV, 1-2;)
 8°Koloswart, 1888) Musée de Koloswart.
- Bulletin de la Société des naturalistes de Jassy. 1^{re} année, 11.) Société des naturalistes
 2^{me} année, 1-12. 3^{me} année, 1. 8°Jassy, 1887-88) de Jassy.
- Bulletin de l'Académie des Sciences de Cracovie. N°s 1, 4, 5, 6.) Académie de Cracovie.
 8°Cracovie, 1889)
- Proceedings and Transactions of the Royal Society of Canada for) Académie royale du
 the year 1887. Vol. V. 4°Montréal, 1888) Canada.
- Contributions to Canadian Paleontology. Vol. I, n° 2. 8° Montreal, 1889) Geological Survey du
 Rapport annuel de la Commission géologique du Canada. 8° Ottawa, 1886) Canada.
 Id. météorologique pour 1885. 8°Ottawa, 1888)
- Annual Report of the Chief Signal Office to the Secret. of War.) Département de la guerre
 1887, 1888. 8°Washington, 1888-89) des États-Unis.
- Bulletin of the U. S. Geol. Survey. n°s 40-47. 8° Washington, 1889) Geological Survey des
 Id. Monographs. Vol. XII and Atlas. 4°Washington, 1888) États-Unis.
 Mineral Ressources of the United States. 8°Washington, 1887)

Annual Report of the Board of Regents of the Smithsonian Institution 1885-1886. 8°	Washington, 1887-88	} Institution Smithsonianne.
Report upon the international Exchanges. 8°	Washington, 1889	
Smithsonian Miscellaneous Collections. Vol. XXI-XXXIII. 8°	Washington, 1888	} Association américaine p ^r l'avancement des Sciences.
Proceedings of the American Association for the Advancement of Science. 37 th Meeting (1888). 8°	Salem, 1889	
Bulletin of the philosophical Society of Washington. Vol. X. 8°	Washington, 1887	} Société des Sciences nat. de Washington.
Annals of the New-York Academy of Sciences. Vol. IV, n ^{os} 3-11. 8°	New-York, 1889	} Académie des Sciences de New-York.
Id. Transactions. Vol. VI, VII, VIII, 1-4. 8°	New-York, 1888-89	
Transactions of the Connecticut Academy of Arts and Sciences. Vol. VII, part. 2. 8°	New-Haven, 1888	} Académie des Sciences et Arts du Connecticut.
American Journal of Science, n ^{os} 211-225. 8°	New-Haven, 1887-88	} Rédaction.
Report for the Years 1886-87 of the Observatory of Yale University. 8°	New-Haven, 1888	} Direction de l'Observat. de New-Haven.
Proceedings of the American Academy of Arts and Sciences. New series. Vol. XV, p. 1. 8°	Boston, 1889	} Académie américaine des Sciences et des Arts.
Memoirs of the Boston Society of Natural History. Vol. IV, n ^{os} 1-6. 4°	Boston, 1888	} Société d'Histoire naturelle de Boston.
Id. Proceedings. Vol. XXIII, parts 3, 4. 8°	Boston, 1889	
Memoirs of the Museum of Comp. Zoology at Harvard College. Vol. XIV, n ^o 1, p. 1. 4°	Cambridge et Boston, 1889	} Musée de Zoologie comparée de Harvard College.
Id. Bulletin. Vol. XIII, n ^{os} 9-10; Vol. XIV, XV, XVI, n ^{os} 2-4; Vol. XVII, n ^{os} 1-4; Vol. XVIII. 8°	Cambridge, Mass., 1888-89	
Annual Report of the Museum of Comp. Zoology for 1887-88. 8°	Cambridge, Mass., 1888	
<i>Edward-C. Pickering.</i> 43 th Annual Report of the Director of the Astronomical Observatory of Harvard College. 8°	Cambridge, Mass., 1889	} Observatoire de Harvard College.
Id. Photographic Study of Stellar Spectra. 3 rd annual Report. 8°	Cambridge, 1889	
Annals of the Astronomical Observatory at Harvard College. Vol. XVIII, 3-9; XIX, 1; XX, 1, 2. 4°	Cambridge, Mass., 1888-89	} Académie américaine des Arts et des Sciences.
Memoirs of the American Academy of Arts and Sciences. Vol. XI, n ^{os} 5-7. 4°	Cambridge, Mass., 1888	
Bulletin of the Essex Institute. Vol. XIX. 8°	Salem, 1889	} Institut de l'Essex.
Visitors Guide to Salem. 8°	Salem, 1888	
Proceedings of the Academy of Natural Sciences of Philadelphia. 1887, n ^o 3; 1888, n ^{os} 1, 2; 1889, n ^o 1. 8°	Philadelphia, 1888-89	} Académie des Sciences nat. de Philadelphie.
Id. Journal. 2 th series. Vol. IX, part 2. 4°	Philadelphia, 1887	
Id. Banquet given by the learned Societies. 8°	Philadelphie, 1888	

- The Journal of comparative Medicine and Surgery. Vol. IX, p. 3. 8° Philadelphia, 1888 } Société de médecine de
Philadelphia.
- Transactions of the American Philosophical Society. Vol. XVI, n° 2. 4° Philadelphia, 1888 } Société américaine des
Sciences naturelles.
- Id. Proceedings. Vol. XXV (127-128), XXVI (129), and Supplement. 8° Philadelphie, 1888-89
- Annual Report of the Geological Survey of Pennsylvania for 1886. 8° Harrisburg, Pa. 1887 } M. Ashburner.
- Id. Catalogue of the geological Museum. Part III. }
Proceedings of the Portland Society of Natural history. 1880, nos 9-16; 1881, nos 1-1, 3-11; 1888, n° 9. 8° Portland, 1888 } Société d'histoire natu-
relle de Portland.
- Id. Catalogue of Birds. 8° Portland, 1882 }
Transactions of the 18th and 19th Meetings of the Kansas Academy of Science. Vol. X. 8° Topeka, 1887 } Académie du Kansas.
- Bulletin of the California Academy of Sciences. Vol. II, nos 8. 8° San Francisco, 1888 } Académie des Sciences de
Californie.
- Id. Memoirs. Vol. II, 1, 2. 8° San Francisco, 1888 }
Id. Proceedings. Vol. VII. II^{me} serie. Vol. I, 1, 2. San Francisco, 1888 }
Anales del Ministerio de Fomento de la Republica Mexicana. T. VIII. Folio Mexico, 1887 } Observatoire météorologi-
que central de Mexico.
- Memorias della Societa scientifica Antonio Alzate. Tome I, 1-2; II, 9-11. 8° Mexico, 1888 } Société scientifique Alzate
à Mexico.
- Boletin de la Sociedad de Geographia y Estadistica de la Republica Mexicana. Tome I, 1-2; VI, 4-9. 8° Mexico, 1887 } Société de géographie du
Mexique.
- Id. Boletin de Estadistica del Estado de Puebla. Tome I, 39-47; II, 1-3. Folio Puebla, 1888 }
Annales del Museo nacional de la Republica de Costa-Rica. Tome I, 1887. 8° San José, 1888 } Musée de Costa-Rica.
- Id. Boletin. n° 3. Folio San José, 1888 }
Revista do Observatorio. Anno III, N°s 9-11; IV, 1-19; 8° Rio de Janeiro, 1888-89 } Observ. I. de Rio de Janeiro.
- Boletin de la Academia Nacional de Ciencias en Cordoba. T. X, fasc. 2; T. XI, fasc. 1-2. 8° Buenos-Ayres, 1888 } Académie nationale des
Sciences de Cordoba.
- Proceedings of the Asiatic Society of Bengal. 1886, nos 1-10; 1887, nos 1-6. 8° Calcutta, 1888 } Société asiatique du Ben-
gale.
- Id. Journal. Vol. LIII, p. 2; LIV, p. 2, nos 1-4; LVI, p. 2, n° 1. 8° Calcutta, 1888 }
Manual of the Geology of India. T. IV. 8° Calcutta, 1888 }
Records of the Geological Survey of India. Vol. XXI, 2-4. 8° Calcutta, 1888-89 } Commission géologique de
l'Inde.
- Memoirs of the Geological Survey of India. XXIV, part 1. Id. Ser. X, Vol. IV, p. 3. Id. Ser. XIII, Vol. I, p. 7. 8° Calcutta, 1888 }
Transactions of the seismological Society of Japan. Vol. XII; XIII, p. 1. 8° Tôkiô et Yokohama, 1888-89 } Société seismologique du
Japon.

- Proceedings of the Linnean Society of New South Wales. 2^{me} ser.,
Vol. III, 1; Vol. II, 4. 8°. Sydney, 1888 } Société Linnéenne de la
Nouvelle Galles du Sud.
- Results of meteorological observations in 1887. }
Id. of Rain river, etc. observations 1778-1860. } L'astronome du gouvern.
dans la Nouvelle Galles
du Sud.
- Id. *H.-C. Russel*. 7 mémoires divers. 8°. Sydney, 1888-89 }
Transactions and Proceedings of the Royal Society of Victoria.
Vol. XXIII, XXIV. 8°. Melbourne, 1889 } Société Roy. de Victoria.
- Proceedings of the Royal Society of Queensland. Vol. I à IV, V,
p. 5, VI, p. 1-4. 8°. Brisbane, 1887-89 } Soc. Roy. de Queensland.
- G. und H. Kronecker*. Beiträge zur Kenntniss des Einflusses der
Respirations Bewegungen. 8°. Leipzig, 1888
- Dr Th. Studer*. On some new species of the genus Spongodes.
8°. Berne, 1886
- Id.* Fauna der Mascarenen. 8°. Berne, 1886
- Id.* Nekolog. Gustav v. Reymond. 8°. Berne, 1887
- E. Delaurier*. Essai d'une théorie générale de philosophie natu-
relle. 8°. Paris, 1883
- Id.* Nouvelle théorie d'électricité.
- Id.* Procédé pour résoudre les problèmes de chimie.
- Id.* Notice sur ses appareils.
- Id.* Nouveau moteur et nouveau moulin. 8°. Paris. 1883-86
- M. Berthelot*. Collection des anciens alchimistes grecs. 1 à 4 livr.
4°. Paris, 1888
- Ch. Joly*. Note sur trois arbres gigantesques. 8°. Paris, 1888
- Id.* Note sur l'exposition d'horticulture à Rouen. 8°. Paris, 1888
- P. Tacchini*. Memorie della Societa degli Spettrocopisti italiani.
4°. Roma, 1885 } Don des auteurs.
- F. Moore*. Description of news indian lepidopterous Insects.
Part. III. 4°. Calcutta, 1888
- F.-A. Forel*, prof. Les tremblements de terre. — La mousse de
la moraine d'Ivoire. — L'éclairage des eaux profondes. —
Observations sur le Perce-neige. — Les stations lacustres du
lac Léman. — Expériences photographiques. — Glaçons de
neige. — Capacité du lac Léman. — Images réfléchies. —
Microorganismes. — Variations périodiques des glaciers. —
Relief de la Jungfrau. — 12 brochures. 8°. Lausanne, 1888
- Preudhomme de Borre*. Répertoire des noms des Libellulines.
8°. Bruxelles, 1889
- D. Lauro Clariana y Ricart*. Memoria inaugural. 8°. Barcelona, 1889
- Jules Marcou*. Biographical notice of Bernhard Studer. 8°.
Cambridge Mass., 1888
- Ch. Joly*. Note sur les nouvelles serres de Cambridge. 8°. Paris, 1889
- S. Scudder*. Mimicry. 8°. Cambridge, 1889

- H. Dufour*, prof. Notice sur un hygromètre. 2^{me} note. Id. 8°. Lausanne, 1889
- S. Scudder*. Butterflies. 8°. Cambridge, 1889
- Jules Marcou*. Canadian geological classification.
- Id.* Barranda and the Taconic system. 8°. Salem, 1889
- P. Joubin*. La dispersion rotatoire magnétique. Thèse. 4°. Paris, 1888
- Id.* De la dispersion rotatoire magnétique. 8°. Paris, 1889
- Elias Loomis*. Contributions to meteorology III. 4°. New Haven, 1889
- E. Buelna*. Constitucion de la atmosfera. 8°. Mexico, 1889
- Helmert*, prof. Die Lotabweichungen in der Umgebund von Berlin. 4°. Berlin, 1889
- Dr V. Fatio*. Catalogue des oiseaux de la Suisse. 1^{re} livr. 8°. Genève, 1889
- Dr A. D'Espine*. Du traitement local de la diphtérie. 8°. Genève, 1889
- Dr Rudolf Wolf*. Astronomische Mittheilungen LXXII. 8°. Zurich, 1888
- Plateau, Félix*. Recherches sur la vision chez les Arthropodes, IV et V p. 8°. Bruxelles, 1888
- Id.* Recherches sur la perception de la lumière par les Myriapodes aveugles. 8°. Paris, 1888
- Nicolas Urdariano*. De la pneumonie chez les enfants. 8°. Thèse. Genève, 1888
- Ed. Hagenbach*, prof. et *F.-A. Forel*. Die Temperatur des Eises im Innern des Gletschers. 8°. Basel, 1888
- Id.* Weiteres uber Gletscher Eis. 8°. Basel, 1889
- Id. J. Bernouilli* und der Begriff der Energie. 8°. Basel, 1889
- Id.* Erdbeben des 30^{ten} May 1889. 8°. Basel, 1889
- Ed.-C. Pickering*. The Bruce photographic Telescope. 4°. Cambridge, 1889
- Id.* A large photographic Telescope. 4°. Cambridge, 1889
- Renévier, E.*, prof. Th. de la Harpe. Sa vie et ses travaux. 8°. Lausanne, 1889
- F.-E. Nipher*. Report on Missouri Rainfall.
- Id.* The winding on dynamo fields. 8°. St-Louis, 1889
- Dr R. Schramm*. Zur Frage der Eisenbahn Zeit. 8°. Wien, 1888
- A. Hirsch*. Compte rendu des séances de la Commission permanente de l'Association géodésique internationale. 4°. Berlin, 1889

Don des auteurs

TABLEAU DES MEMBRES

DE LA

SOCIÉTÉ DE PHYSIQUE ET D'HISTOIRE NATURELLE

DE GENÈVE

Au 1^{er} Janvier 1890.



1^o MEMBRES ORDINAIRES RÉSIDANT A GENÈVE

RANGÉS PAR ORDRE D'ADMISSION

Date de leur
réception.

- | | |
|----------|---|
| 1825 MM. | <i>Daniel</i> COLLADON, professeur de mécanique. |
| 1828 | <i>Alphonse</i> DE CANDOLLE, professeur de botanique. |
| 1830 | <i>Henri-Clermont</i> LOMBARD, docteur-médecin. |
| 1838 | <i>Paul</i> CHAIX, géographe. |
| 1841 | <i>Alphonse</i> FAVRE, professeur de géologie. |
| 1842 | <i>Jean-Charles</i> MARIGNAC, professeur de chimie. |
| — | <i>Philippe</i> PLANTAMOUR, chimiste. |
| 1853 | <i>Henri</i> DE SAUSSURE, entomologiste. |
| — | <i>Emile</i> GAUTIER, astronome. |
| 1854 | <i>Louis</i> SORET, professeur de physique. |
| — | <i>Marc</i> THURY, professeur de botanique. |

Date de leur
réception.

- 1861 MM. *Casimir DE CANDOLLE*, botaniste.
 — *Perceval DE LORIOI*, paléontologiste.
 1862 *Jean MULLER*, D^r, professeur de botanique.
 1863 *Charles GALOPIN*, mathématicien.
 — *Lucien DE LA RIVE*, physicien.
 1864 *Victor FATIO*, zoologiste.
 — *William MARCET*, docteur-médecin.
 1865 *Arthur ACHARD*, ingénieur.
 1867 *Marc MICHELI*, botaniste.
 — *Godefroy LUNEL*, zoologiste.
 1868 *Jean-Louis PREVOST*, docteur-médecin, professeur.
 1869 *Edouard SARASIN*, physicien.
 — *Ernest FAVRE*, géologue.
 1873 *Emile ADOR*, chimiste.
 — *Edmond SARASIN*, chimiste.
 — *William BARBEY*, botaniste.
 1874 *Adolphe D'ESPINE*, docteur-médecin, professeur.
 — *Eugène DEMOLE*, chimiste.
 1876 *Théodore TURRETTINI*, ingénieur.
 — *Pierre DUNANT*, docteur-médecin, professeur.
 1877 *Maurice SCHIFF*, professeur de physiologie.
 — *Frédéric-Guillaume ZAHN*, professeur d'anatomie.
 1878 *Jacques BRUN*, professeur de matière médicale.
 1879 *Charles GRÆBE*, professeur de chimie.
 — *Albert-Auguste RILLIET*, professeur de physique.
 1880 *Charles SORET*, professeur de physique.
 — *Auguste WARTMANN*, docteur-médecin.
 1881 *Denys MONNIER*, professeur de chimie.
 1882 *Louis LOSSIER*, chimiste.
 — *Gustave CELLÉRIER*, mathématicien.
 1883 *Raoul GAUTIER*, astronome, professeur.
 — *Hippolyte GOSSE*, docteur-médecin, professeur.
 1884 *Maurice BEDOT*, zoologiste.

Date de leur
réception

- 1885 MM. *A. KAMMERMANN*, astronome.
 1887 *Amé PICTET*, chimiste.
 1888 *Alphonse PICTET*, zoologiste.
 — *Robert CHODAT*, botaniste, professeur.
 1889 *Henri GIRARD*, docteur-médecin.
 — *Alexandre LE ROYER*, chimiste.
 — *Louis DUPARC*, professeur de minéralogie.
 — *Louis PERROT*, physicien.
 — *Eugène PENARD*, zoologiste.
 — *Ch.-Eugène GUYE*, physicien.
 — *Emile BURNAT*, botaniste.

2° MEMBRES ÉMÉRITES

- 1863 MM. *Henri DOR*, docteur-médecin.
 1864 *Marc DELAFONTAINE*, chimiste, à Chicago.
 1869 *Raoul PICTET*, professeur de physique.
 1882 *Eugène RISLER*, agronome, à Paris.

3° MEMBRES HONORAIRES

- 1844 MM. *L.-F. DE MENABREA*, général, à Turin.
 1849 *Charles BRUNNER*, à Vienne.
 1859 *Jules MARCOU*, à Cambridge, Mass.
 — *Sir Georges BIDDELL AIRY*, à Greenwich.
 — *John TYNDALL*, à Londres.
 — *Alfred DESCLOISEAUX*, à Paris.
 — *Em. DU BOIS-REYMOND*, à Berlin.
 — *Albert MOUSSON*, à Zurich.

Date de leur
réception

- 1861 MM. *Rodolphe WOLF*, à Zurich.
- 1864 *A. v. KÖLLIKER*, à Würzbourg. —
— *Louis DUFOUR*, à Lausanne.
— *Charles LORY*, à Grenoble.
— *Marcelin BERTHELOT*, à Paris.
- 1866 *Anatole DE CALIGNY*, à Paris.
- 1869 *F. PLATEAU*, à Gand.
— *Ed. HAGENBACH*, à Bâle.
- 1870 *Albert FALSAN*, à Lyon.
— *Ernest CHANTRE*, à Lyon.
— *Adolphe HIRSCH*, à Neuchâtel.
— *Pierre BLASERNA*, à Rome.
- 1872 *W. KÜHNE*, à Heidelberg.
— *Samuel-H. SCUDDER*, à Boston.
- 1874 *François-Aug. FOREL*, à Morges.
— *A. CORNU*, à Paris.
- 1875 *Charles MAUNOIR*, à Paris.
— *J.-Normann LOCKYER*, à Londres.
- 1876 *Eugène RENEVIER*, à Lausanne.
— *Louis RUTIMEYER*, à Bâle.
— *F.-W. HAYDEN*, à Washington.
- 1879 *Samuel-P. LANGLEY*, à Washington.
- 1880 *C. IBANEZ*, général, à Madrid. †
— *Hervé-Aug.-Et.-Albans FAYE*, à Paris.
— *E. MAYO*, général, à Florence.
— *Charles FRIEDEL*, à Paris.
— *Alexandre AGASSIZ*, à Cambridge (Massachusets).
- 1883 *Louis COULON*, à Neuchâtel.
— *Théodore DE HELDREICH*, à Athènes.
— *Henri DUFOUR*, à Lausanne.
- 1884 *L. CAILLETET*, à Paris.
— *Albert HEIM*, à Zurich.
— *K.-Ed. CRAMER*, à Zurich.

Date de leur
réception

- 1884 MM. *Robert BILLWILLER*, à Zurich.
 — *Charles DUFOUR*, à Morges.
 1886 *H. DE LACAZE-DUTHIERS*, à Paris.
 — *Alexandre HERZEN*, à Lausanne.
 1887 *Théophile STUDER*, à Berne.
 1888 *Eilhard WIEDEMANN*, à Erlangen.
 1889 *August KUNDT*, à Berlin.
 — *H. HERTZ*, à Bonn.
 — *A. RADLKOFER*, à Munich.

4° ASSOCIÉS LIBRES

- 1860 MM. *Gustave ROCHETTE*.
 — *Théodore DE SAUSSURE*.
 — *Amédée LULLIN*.
 — *Auguste BROT*.
 — *Louis LULLIN*.
 — *Georges SARASIN*.
 — *Alexandre MORICAND*.
 — *Théodore VERNES*.
 1863 *Emile NAVILLE*.
 1864 *James ODIER*.
 1866 *Théodore AUDÉOUD*.
 1867 *Charles MALLET*.
 1870 *Georges PREVOST*.
 1871 *Henri BARBEY*.
 1872 *Agénor BOISSIER*.
 — *Ernest DE TRAZ*.
 — *Lucien DE CANDOLLE*.
 1873 *Edouard DES GOUTTES*.
 — *Henri HENTSCH*.

Date de leur
réception

- 1874 MM. *Edouard* FATIO.
1875 *Henri* PASTEUR.
1876 *Georges* MIRABAUD.
— *Charles* GOLAZ.
— *William* FAVRE.
— *Emile* PICTET.
— *Charles* RIGAUD.
1877 *Ernest* COVELLE.
1879 *Emile* BOISSIER.
— *Henri* BOUTHILLIER DE BEAUMONT.
— *Auguste* PREVOST.



MÉMOIRES
DE LA
SOCIÉTÉ DE PHYSIQUE ET D'HISTOIRE NATURELLE DE GENÈVE
TOME XXX. — N° 5.

NOTE

sur les

MOUVEMENTS DES CORPS ÉLECTRISÉS

PAR

CH. CELLÉRIER
Professeur à l'Université.



GENÈVE
IMPRIMERIE CHARLES SCHUCHARDT
1888

NOTE SUR LES MOUVEMENTS DES CORPS ÉLECTRISÉS

Si l'on voulait reproduire sur une petite échelle des mouvements analogues à ceux des astres, dus à l'attraction en raison inverse du carré des distances, ce ne pourrait être qu'au moyen des attractions électriques. Les attractions magnétiques n'atteindraient pas le même but, la présence des deux pôles ôtant au phénomène sa simplicité. On pourrait donc concevoir deux corps, par exemple deux petites sphères S , S' , la première fixe, la seconde mobile, toutes deux électrisées, et chercher à réaliser un mouvement analogue à celui d'une planète, S' tournant autour de S . Ce mouvement serait rapidement amorti par la résistance de l'air et devrait s'opérer dans le vide; je n'examinerai pas jusqu'à quel point l'expérience serait praticable; seulement les effets de la pesanteur se joindraient nécessairement à ceux de l'attraction. Celle-ci agira bien sensiblement en raison inverse du carré des distances des centres des sphères, en supposant qu'elles aient toutes deux des charges suffisantes de signe contraire. Il ne faut point confondre ce cas avec celui où l'une d'elles n'aurait pas de charge et serait électrisée seulement par l'influence de l'autre. L'attraction serait alors en raison inverse de la cinquième puissance de la distance, du moins en supposant celle-ci beaucoup plus grande que les rayons des sphères.

Le but de cette note est de trouver les lois du mouvement précédent, ou de celui d'un corps sur lequel agissent à la fois la pesanteur et une

attraction vers un centre fixe. Indépendamment de son application aux corps électrisés, du reste, ce mouvement présente des circonstances remarquables.

Il semble au premier abord un cas particulier d'un problème devenu célèbre, le mouvement d'un point attiré à la fois par deux centres fixes. Euler en a trouvé la solution en 1760 par des transformations étrangères à toutes les méthodes ordinaires, et telles qu'il fallait une grande sagacité pour les découvrir. Toutefois nous n'aurons pas à employer sa solution ; nous pourrons y parvenir par les méthodes directes, et quant à la forme du mouvement et à sa discussion, elles diffèrent complètement quand le second centre d'attraction est remplacé par la pesanteur.

ANALYSE

N^o 1. *Recherche des intégrales premières.* Plaçons l'origine O au centre d'attraction, l'axe OZ étant dirigé suivant la verticale inférieure ; soient : m la masse du point mobile ou mg son poids ; r sa distance à l'origine ; x, y, z , ses coordonnées ; $\frac{mk^2}{r^2}$ l'attraction dirigée vers l'origine, k étant une constante. Les équations du mouvement d'un point sont

$$m \frac{d^2x}{dt^2} = X, \quad m \frac{d^2y}{dt^2} = Y, \quad m \frac{d^2z}{dt^2} = Z,$$

où X, Y, Z, désignent les sommes des projections des forces sur les axes.

L'attraction étant dirigée vers l'origine, les angles qu'elle fait avec les axes ont pour cosinus $-\frac{x}{r}$, $-\frac{y}{r}$, $-\frac{z}{r}$, et par suite les équations du mouvement, divisées par m , deviennent

$$(1) \quad \frac{d^2x}{dt^2} = -\frac{k^2x}{r^3}, \quad \frac{d^2y}{dt^2} = -\frac{k^2y}{r^3}, \quad \frac{d^2z}{dt^2} = -\frac{k^2z}{r^3} + g.$$

Ces équations ne sont pas séparément intégrables, et on sait qu'en pareil cas toute méthode générale consiste à les ajouter multipliées par des facteurs tels que les deux membres de la somme soient des dérivées exactes. Il faut donc qu'il en soit ainsi pour les premiers membres $\frac{d^2x}{dt^2}$, $\frac{d^2y}{dt^2}$, $\frac{d^2z}{dt^2}$, ce qui limite beaucoup le choix des facteurs.

S'ils ne contiennent pas de dérivées, ils seront $-y$, x , o , ce qui donne pour la somme

$$x \frac{d^2y}{dt^2} - y \frac{d^2x}{dt^2} = \frac{d}{dt} \left(x \frac{dy}{dt} - y \frac{dx}{dt} \right),$$

et on combinerait de même x et z , y et z .

S'ils en contiennent et que ce soient $\frac{dx}{dt}$, $\frac{dy}{dt}$, $\frac{dz}{dt}$, chacun des premiers membres est séparément intégrable, devenant $\frac{1}{2} \cdot \frac{d}{dt} \left(\frac{dx}{dt} \right)^2$, etc.

Le but est encore atteint en employant les facteurs $\frac{dy}{dt}$, $\frac{dx}{dt}$, et o , ce qui donne

$$\frac{dy}{dt} \frac{d^2x}{dt^2} + \frac{dx}{dt} \frac{d^2y}{dt^2} = \frac{d}{dt} \left(\frac{dx}{dt} \cdot \frac{dy}{dt} \right).$$

Ce dernier procédé qui sera appliqué plus loin ne réussirait pas pour les équations (1) sous leur forme actuelle; mais en employant les deux autres, on en déduit

$$x \frac{d^2y}{dt^2} - y \frac{d^2x}{dt^2} = 0, \text{ d'où } x \frac{dy}{dt} - y \frac{dx}{dt} = c.$$

c étant une constante arbitraire; de même en ajoutant les équations multipliées par $2 dx$, $2 dy$, $2 dz$, et remarquant que

$$x^2 + y^2 + z^2 = r^2, \quad 2x dx + 2y dy + 2z dz = 2r dr,$$

on trouve

$$d\left(\frac{dx^2 + dy^2 + dz^2}{dt^2}\right) = -\frac{k^2(2x dx + 2y dy + 2z dz)}{r^3} + 2g dz = -\frac{2k^2 dr}{r^2} + 2g dz,$$

et en intégrant,

$$(2) \quad \frac{dx^2 + dy^2 + dz^2}{dt^2} = \frac{2k^2}{r} + 2gz + h,$$

h étant une constante arbitraire.

Nous désignerons par r' et φ les coordonnées polaires de la projection du mobile m sur le plan des xy ; de la sorte r' ou $\sqrt{x^2 + y^2}$ est la distance de m à OZ , et φ le dièdre compris entre le plan des zx et celui qui passe par OZ et le point m . On a ainsi

$$x = r' \cos \varphi, \quad y = r' \sin \varphi,$$

et en substituant ces valeurs, la première intégrale se réduit à

$$(3) \quad r'^2 \frac{d\varphi^2}{dt^2} = c.$$

On trouve aussi

$$\frac{dx^2}{dt^2} + \frac{dy^2}{dt^2} = \frac{dr'^2}{dt^2} + r'^2 \frac{d\varphi^2}{dt^2};$$

en substituant cette expression dans la formule (2) et remplaçant $\frac{d\varphi^2}{dt^2}$ par sa valeur $\frac{c^2}{r'^4}$ déduite de l'équation (3), on a

$$(4) \quad \frac{dr'^2}{dt^2} + \frac{dz^2}{dt^2} = \frac{2k^2}{r} + 2gz + h - \frac{c^2}{r'^2}.$$

Nous examinerons plus tard le cas où les quantités r, r' deviendraient nulles, ou auraient une valeur initiale nulle; pour le moment nous les supposons différentes de o , afin que les expressions précédentes aient un sens bien défini.

Les inconnues x, y , sont maintenant remplacées par r' et φ ; φ n'entre plus que dans la formule (3) qui donnera sa valeur quand on aura déterminé celles de r, r', z , ce qu'on doit donc faire en premier lieu. Entre elles nous avons déjà l'intégrale (4), la troisième équation (1) et de plus la relation $r^2 = r'^2 + z^2$, qui doit servir à en éliminer une, de façon à n'avoir plus que deux fonctions inconnues du temps.

Il ne convient pas de substituer $r = \sqrt{r'^2 + z^2}$, ce qui introduirait un radical dans l'équation (4); on doit encore moins remplacer z par $\sqrt{r^2 - r'^2}$; c'est donc r' qu'on doit éliminer parce que r' et dr' n'entrent qu'au carré dans les formules (3) et (4) et que le signe radical disparaîtra. Nous devons donc prendre pour fonctions inconnues r et z .

Une nouvelle intégrale première est nécessaire, et pour la trouver nous devons combiner la troisième équation (1) avec une analogue où entre $\frac{d^2r}{dt^2}$, comme nous l'avons fait pour les équations du mouvement.

Nous déduirons la valeur de $\frac{d^2r}{dt^2}$ de la relation

$$rdr = xdx + ydy + zdz,$$

qui donne

$$\frac{d}{dt} \left(r \frac{dr}{dt} \right) = \left(x \frac{d^2x}{dt^2} + y \frac{d^2y}{dt^2} + z \frac{d^2z}{dt^2} \right) + \left(\frac{dx^2 + dy^2 + dz^2}{dt^2} \right).$$

En ajoutant les équations (1) multipliées par x, y, z , on trouve

$$x \frac{d^2x}{dt^2} + y \frac{d^2y}{dt^2} + z \frac{d^2z}{dt^2} = - \frac{k^2}{r} + gz;$$

en outre l'équation (2) donne

$$\frac{dx^2 + dy^2 + dz^2}{dt^2} = \frac{2k^2}{r} + 2gz + h,$$

et en réunissant ces deux parties,

$$\frac{d}{dt} \left(r \frac{dr}{dt} \right) = \frac{k^2}{r} + 3gz + h,$$

à laquelle il faut joindre la troisième équation (1) ou

$$\frac{d^2z}{dt^2} = -\frac{k^2z}{r^3} + g.$$

Or on peut appliquer à ce système de deux équations le troisième procédé indiqué précédemment, en y remplaçant $\frac{dx}{dt}$, $\frac{dy}{dt}$, par $\frac{rdr}{dt}$, $\frac{dz}{dt}$, c'est-à-dire qu'en ajoutant les deux équations précédentes, multipliées par $\frac{dz}{dt}$, $\frac{rdr}{dt}$, le premier membre devient

$$\frac{dz}{dt} \cdot \frac{d}{dt} \left(r \frac{dr}{dt} \right) + \frac{rdr}{dt} \cdot \frac{d^2z}{dt^2} = \frac{d}{dt} \left(\frac{rdr}{dt} \cdot \frac{dz}{dt} \right).$$

En multipliant par dt , on aura ainsi

$$\begin{aligned} d \left(\frac{rdrdz}{dt^2} \right) &= \left(\frac{k^2}{r} + 3gz + h \right) dz + \left(-\frac{k^2z}{r^3} + g \right) rdr = \\ &= k^2 \left(\frac{dz}{r} - \frac{zdr}{r^2} \right) + g(3zdz + rdr) + hdz, \end{aligned}$$

dont le premier terme est $k^2 d \left(\frac{z}{r} \right)$. Il en résulte en intégrant

$$(5) \quad r \frac{dr}{dt} \cdot \frac{dz}{dt} = \frac{k^2 z}{r} + \frac{1}{2} g(r^2 + 3z^2) + hz + h',$$

h' étant une constante arbitraire.

N° 2. *Réduction des intégrales et première forme de la solution.* Nous devons d'abord éliminer r' de l'équation (4) en la multipliant par r'^2 et substituant

$$r'^2 = r^2 - z^2, \quad r' dr' = r dr - z dz,$$

ce qui donne

$$\frac{(r dr - z dz)^2}{dt^2} + \frac{(r^2 - z^2) dz^2}{dt^2} = (r^2 - z^2) \left(\frac{2k^2}{r} + 2gz + h \right) - c^2.$$

Pour la simplifier, faisons disparaître son second terme — $\frac{2rzdrdz}{dt^2}$ en lui ajoutant l'équation (5) multipliée par $2z$, ou

$$\frac{2rzdrdz}{dt^2} = \frac{2k^2 z^2}{r} + gz(r^2 + 3z^2) + 2hz^2 + 2h'z.$$

En réduisant les termes multipliés par k^2 , g , etc. on trouvera ainsi

$$r^2 \left(\frac{dr^2 + dz^2}{dt^2} \right) = 2k^2 r + gz(z^2 + 3r^2) + h(r^2 + z^2) + 2h'z - c^2.$$

Le premier membre contient la somme des carrés de $\frac{dr}{dt}$, $\frac{dz}{dt}$, et l'équation (5) leur produit; il est clair qu'on en déduirait des relations plus simples en ajoutant à la précédente ou retranchant l'équation (5) multipliée par $2r$, ou

$$r^3 \frac{2drdz}{dt^2} = 2k^2z + gr(r^2 + 3z^2) + 2kzr + 2h'r;$$

en effet le premier membre deviendra ainsi un seul carré

$$\left[\frac{rd.(r \pm z)}{dt} \right]^2.$$

Or on a pour les termes multipliés par g ,

$$g(z^3 \pm 3z^2r + 3zr^2 \pm r^3) = g(z \pm r)^3,$$

et de même tous les autres ne contiendront que $r + z$ seul ou $r - z$ seul.

En posant

$$(6) \quad r - z = u, \quad r + z = v,$$

le résultat se réduit ainsi à

$$(7) \quad \frac{r^2 du^2}{dt^2} = U, \quad U = -gu^3 + hu^2 + 2(k^2 - h)u - c^2,$$

$$(8) \quad \frac{r^2 dv^2}{dt^2} = V, \quad V = gv^3 + hv^2 + 2(k^2 + h)v - c^2.$$

Les dérivées $\frac{du}{dt}$, $\frac{dv}{dt}$ sont positives ou négatives suivant que u , v , augmentent ou diminuent, et ce signe est aussi celui de du , dv , tandis que dt est positif.

Nous désignerons par $\pm du$, $\pm dv$, les valeurs absolues de ces différentielles. Les équations (7) et (8) donnent alors

$$\frac{\pm du}{\sqrt{U}} = \frac{\pm dv}{\sqrt{V}}.$$

D'après les formules (6), on a

$$r = \frac{u + v}{2}, \quad r'^2 = r^2 - z^2 = uv;$$

$r^2 - z^2$ est toujours positif, et il en est de même de $r \pm z$ ou de u et v .
On tire ainsi des équations (7) et (5)

$$dt = (u + v) \frac{\pm du}{2\sqrt{U}}, \quad d\varphi = \frac{cdt}{uv} = c \left(\frac{1}{u} + \frac{1}{v} \right) \frac{\pm du}{2\sqrt{U}},$$

et en remplaçant dans leur second terme $\frac{du}{\sqrt{U}}$ par $\frac{dv}{\sqrt{V}}$,

$$dt = \frac{\pm u du}{2\sqrt{U}} + \frac{\pm v dv}{2\sqrt{V}},$$

$$d\varphi = \frac{\pm c du}{2u\sqrt{U}} + \frac{\pm c dv}{2v\sqrt{V}}.$$

Quand c n'est pas nul on peut le supposer positif, car c'est la valeur de $\frac{xdy - ydx}{dt}$, et si elle était négative, il suffirait d'échanger entre eux OX et OY pour la rendre positive.

En désignant par u_0, v_0, φ_0 les valeurs initiales de u, v, φ , on trouverait, en intégrant ces formules

$$(9) \quad \int_{v_0}^{u_0} \frac{\pm du}{\sqrt{U}} = \int_{v_0}^{v_0} \frac{\pm dv}{\sqrt{V}},$$

$$(10) \quad 2t = \int_{v_0}^{u_0} \frac{\pm u du}{\sqrt{U}} + \int_{v_0}^{v_0} \frac{\pm v dv}{\sqrt{V}},$$

$$(11) \quad \varphi - \varphi_0 = \frac{1}{2} c \int_{v_0}^{u_0} \frac{\pm du}{u\sqrt{U}} + \frac{1}{2} c \int_{v_0}^{v_0} \frac{\pm dv}{v\sqrt{V}}.$$

La première donne la relation entre les variables u et v , après quoi t et φ se tirent des autres. La solution est ainsi ramenée aux *quadratures*, c'est-à-dire à l'intégration de fonctions d'une seule variable. Mais la signification des valeurs précédentes et les limites des intégrales restent indéterminées, tant que nous n'aurons pas déterminé les périodes de croissance et de décroissance de u et v , ce qui sera fait plus loin.

N° 3. *Examen des cas où c , r , ou r' sont nuls.* Nous nommerons constamment *plan méridien* celui qui passe par l'axe OZ et le mobile m .

Supposons d'abord que la vitesse initiale ne soit pas dirigée dans ce plan; le point ne sera pas sur l'axe et r' , r ne seront pas nuls; en outre la vitesse ayant une composante perpendiculaire au plan, le mobile le quittera et φ variera; la valeur initiale de $\frac{d\varphi}{dt}$ étant différente de 0, il en sera de même de c . Ensuite, d'après les équations (7) et (8), U et V étant égaux à des carrés restent positifs pendant tout le mouvement, et comme ils se réduiraient à $-c^2$ si u ou v s'annulaient, cela ne peut avoir lieu. Par conséquent r' ou \sqrt{uv} et r seront toujours différents de 0.

Si au contraire la vitesse initiale est dirigée dans le plan méridien tout le mouvement s'effectuera dans ce plan, car il n'y a pas de raison pour que le mobile s'en écarte d'un côté plutôt que de l'autre. En ce cas nous prendrons ce plan pour celui des xz ; la seconde des équations (1) et l'équation (3) disparaîtront, et dans l'équation (2) on supprimera le terme $\frac{dy^2}{dt^2}$; l'équation (4) est alors la même en y supposant $c = 0$ et remarquant que $r' = x$ au signe près; c'est ensuite $x dx$ au lieu de $r' dr'$ qu'on devra remplacer par $r dr - z dz$, et il n'y a d'ailleurs rien à changer aux calculs qui ont donné les formules (6), (7) et (8); celles-ci, en y supposant $c = 0$, représenteront donc encore le mouvement, et même seront suffisantes pour cela.

Dans ce cas, que nous nommerons le *mouvement plan*, r' ne se trouve

en dénominateur dans aucune des équations employées, et il n'y a plus aucune raison d'exclure les cas où $r' = 0$.

Quant à r si cette quantité devient nulle l'équation (2), ou

$$\frac{dx^2 + dz^2}{dt^2} = \frac{2k^2}{r} + 2gz + h,$$

montre que la vitesse est infinie. Quand cela a lieu en un point non situé à l'infini les formules ne répondent plus à un phénomène physiquement réalisable; mais indépendamment de cette circonstance, au point de vue purement analytique, la vitesse étant infinie est indéterminée, et le mouvement ultérieur auquel elle sert de vitesse initiale l'est aussi. Si on voulait le déduire des formules le résultat ne pourrait être qu'illusoire.

C'est aisé à vérifier dans l'hypothèse simple où le mobile serait non pesant et partirait du point A sans vitesse. Il tomberait alors sur l'ori-

O A A'

gine O en ligne droite, arrivant avec une vitesse infinie; il en serait de même s'il venait d'un autre point A', et le mouvement ultérieur étant dû à cette vitesse, rien ne distinguerait les deux cas.

On arriverait à la même conclusion d'une autre manière; en effet ce mouvement simple sert à la fois de limite ou de cas extrême à deux autres, où le mouvement ultérieur est très différent.

Dans le premier le point A aurait reçu une vitesse transversale infini-



ment petite; il décrirait alors une ellipse se confondant presque avec une droite, passant en A' tout près de O et revenant en A.

Dans le second le mobile partirait de A sans vitesse, mais le point O



serait remplacé par un anneau attirant infiniment petit. Le mobile oscillerait entre les points A et B, en supposant $OB = OA$.

Ces deux cas, à la limite, seraient remplacés par la chute de A sur l'origine.

En conséquence de ce qui précède, nous laisserons de côté soit les cas où u et v et par suite $u + v$ ou $2r$, convergeraient à la fois vers o , soit celui où les vitesses initiales de u et v seraient toutes deux nulles.

N° 4. *Mode de variation de u et v .* Tout ce que nous allons dire de la variation de v s'appliquera identiquement à celle de u en remplaçant V par U. Nous appellerons *intervalles* ceux des nombres o, a, a', a'', ∞ , où a, a', a'' sont les racines positives et différentes de o de l'équation $V = o$, rangées par ordre de grandeur croissante. Il sera aisé d'étendre ce qui suit aux cas où il y en aurait moins de trois.

Tant que v est contenu dans le même de ces intervalles V ne change pas de signe; convenons de nommer intervalles *positifs* et *négatifs* ceux pour lesquels, si v y est compris, V est positif ou négatif. Si une racine f autre que o est simple, on a $V = (v - f) Q$, Q ne s'annulant pas pour $v = f$; ainsi V a des signes contraires quand v est un peu plus grand ou plus petit que f ; f sépare donc deux intervalles de signe contraire. Il en est de même si la racine f est triple, auquel cas $V = (v - f)^3 Q$. Si elle est double, $V = (v - f)^2 Q$, et les intervalles adjacents ont le même signe.

Comme d'après l'équation (8) V est égal à un carré, v sera constamment, ou égal à une racine de $V = o$, ou compris dans un intervalle positif.

Si v est compris dans un intervalle, il ne peut ni cesser de croître ni cesser de décroître avant d'avoir atteint une racine de l'équation $V = 0$. En effet tant que cela n'aura pas lieu V différera de 0 et il en sera de même de $\frac{dv}{dt}$ d'après l'équation (8); $\frac{dv}{dt}$ conservera donc le même signe, ne pouvant en changer brusquement. Il faut remarquer que v ne pouvant être négatif devrait cesser de décroître s'il s'annulait; mais c'est impossible si c diffère de 0 , V et U étant alors négatifs; si $c = 0$, v en devenant nul aurait atteint une racine de $V = 0$.

Il nous reste à voir comment varie v quand il est égal à une racine f . Or l'équation (8) serait satisfaite en supposant que v restât constamment égal à f , car on aurait à la fois $V = 0$, $\frac{dv}{dt} = 0$. Mais ce n'est pas en général possible, car en différentiant l'équation (8) dans le cas général où v est quelconque, on trouve

$$\frac{d(r^2)}{dt} \cdot \frac{dv^2}{dt^2} + 2r^2 \frac{dv}{dt} \cdot \frac{d^2v}{dt^2} - \frac{dV}{dv} \cdot \frac{dv}{dt}$$

ou en divisant par $\frac{dv}{dt}$,

$$(12) \quad 2r^2 \frac{d^2v}{dt^2} = \frac{dV}{dv} - \frac{d(r^2)}{dt} \cdot \frac{dv}{dt}$$

Or si v restait constant, il en résulterait $\frac{dv}{dt} = 0$, $\frac{d^2v}{dt^2} = 0$, d'où $\frac{dV}{dv} = 0$. Ainsi le cas où v reste constant, que nous nommerons un *mode de variation singulier*, ne peut exister que si la racine f satisfait à la fois $V = 0$, $\frac{dV}{dv} = 0$, ou si elle est une racine multiple de l'équation.

Mais réciproquement si cette racine multiple f est la valeur initiale de v , celui-ci restera constant. En effet les quantités c , h , h' , contenues dans les valeurs (7) et (8) de U et V sont déterminées par les conditions initiales de manière à satisfaire les intégrales premières, et par suite les

équations (7) et (8) qui en sont une combinaison. Si donc dans les conditions initiales on a $v = f$, $V = 0$, on a aussi $\frac{dv}{dt} = 0$. En outre l'équation (12) est nécessairement une conséquence des équations du mouvement. Elle-même en est donc une, en prenant v pour une des inconnues. Elle est satisfaite en posant $v = f = \text{const.}$, de même que les conditions initiales de v . On aura donc la solution complète en supposant qu'il en est ainsi, et déterminant ensuite les deux autres fonctions inconnues par leurs conditions initiales et les deux autres équations du mouvement.

Il résulte de ce qui précède que si $v = f$, f étant une racine multiple de $V = 0$, v reste constant; si f est une racine simple il n'en est plus de même; si elle n'est pas nulle, et sépare par suite deux intervalles de signe contraire, c'est dans le positif que v variera; si $f = 0$, v ne peut varier qu'en croissant, et on doit s'attendre à ce que ce soit alors dans un intervalle positif; nous allons le vérifier pour v et pour u .

Nous supposons par conséquent qu'à un certain instant on ait $u = 0$ ou $v = 0$, et qu'en même temps 0 soit racine simple de l'équation $U = 0$ ou $V = 0$. D'après les équations (7) et (8) on a en même temps $\frac{du}{dt} = 0$ ou $\frac{dv}{dt} = 0$, et par conséquent

$$z = \pm r, \quad \frac{dz}{dt} = \pm \frac{dz}{dt},$$

les signes supérieurs correspondant à u , les inférieurs à v . En substituant ces valeurs dans les équations (4) et (5), en remarquant que $c = 0$, on a

$$\frac{dr'^2}{dt^2} + \frac{dr^2}{dt^2} = \frac{2k^2}{r} \pm 2gr \mp h, \quad \pm r \frac{dr^2}{dt^2} = \pm k^2 + 2gr^2 \pm hr + h',$$

ou en multipliant la première par r , l'autre par ± 1 ,

$$r \frac{dr'^2}{dt^2} + r' \frac{dr^2}{dt^2} = 2k^2 \pm 2gr^2 + hr, \quad r \frac{dr^2}{dt^2} = k^2 \pm 2gr^2 + hr \pm h'.$$

En les soustrayant et séparant les deux cas, on trouve

$$r \frac{dr'^2}{dt^2} = k^2 - h' \text{ pour } u = 0,$$

$$r \frac{dr^2}{dt^2} = k^2 + h' \text{ pour } v = 0.$$

Si l'on supposait $k^2 + h' = 0$ dans V, la racine 0 de $V = 0$ serait multiple; puisqu'il n'en est pas ainsi la relation précédente montre que $k^2 + h'$ est positive; or son signe est aussi celui de V quand v est très petit; par conséquent l'intervalle aboutissant à 0 est positif. La vérification serait tout à fait semblable pour u .

On voit en même temps que si 0 est racine simple de $U = 0$ ou de $V = 0$, $\frac{dr'}{dt}$ ne s'annule pas avec u ou v . Cette remarque nous servira plus tard.

Les règles précédentes définissent complètement les périodes de croissance et de décroissance de u , v , à partir de leur valeur initiale, et par suite le sens à attacher aux signes \pm dans les formules (9), (10) et (11). Toutefois celles-ci ne sont plus applicables si u ou v reste constant, \sqrt{U} ou \sqrt{V} étant alors toujours nul.

Si par exemple u est constant l'équation (7) est identique et l'équation (8) donne

$$dt = \frac{\pm r dv}{\sqrt{V}} = \frac{\pm (u + v) dv}{2\sqrt{V}}.$$

Les formules (10) et (11) sont alors évidemment remplacées par

$$(13) \quad 2t = \int_{v_0}^v \frac{\pm (u + v) dv}{\sqrt{V}}, \quad \varphi - \varphi_0 = \frac{c}{2} \int_{v_0}^v \left(\frac{1}{u} + \frac{1}{v} \right) \frac{\pm dv}{\sqrt{V}},$$

dans lesquelles u est une constante et les variations de v se trouvent comme précédemment. La valeur de $\varphi - \varphi_0$ ne s'emploie que si c n'est pas nul et dans ce cas u ne peut pas l'être.

N° 5. *Formes diverses des variations de u, v , indéfiniment prolongées.* Après avoir examiné ces variations en faisant abstraction du temps, nous devons chercher quelles formes prend leur succession quand le temps croît à l'infini. Nous allons d'abord vérifier que pour v elles sont l'une des suivantes :

1° *Forme périodique* : v oscille entre deux racines simples a, b de l'équation $V = 0$.

2° *Forme indéfinie* : v croît à l'infini, soit depuis sa valeur initiale, soit après avoir d'abord diminué jusqu'à une racine simple f de l'équation.

3° *Forme singulière* : ou v reste constamment égal à une racine multiple f de l'équation, ou v converge vers f , soit depuis sa valeur initiale, soit après avoir d'abord varié en sens contraire jusqu'à une racine simple de l'équation.

En effet, comme on l'a vu, si v en variant dans un intervalle positif atteint une racine simple, il varie ensuite dans ce même intervalle, c'est-à-dire en sens contraire. En outre la valeur initiale de v est toujours égale ou supérieure à une racine : si c est nul cette racine est 0 ; si $c > 0$ c'est la plus petite racine positive de $V = 0$; l'intervalle entre cette racine et 0 est négatif, et par suite il y en a toujours une, V ne pouvant être constamment négatif. Cette remarque s'étend à l'équation $U = 0$.

Supposons d'abord la valeur initiale de v dans un intervalle. Puisqu'une racine lui est inférieure, elle sera comprise, ou entre une racine f et l'infini, ou entre deux racines a, b .

Dans le premier cas si v croît c'est sans limite puisqu'il n'atteint aucune racine ; s'il décroît jusqu'à f racine simple, il varie ensuite en sens contraire ; c'est la forme indéfinie. Si f est une racine multiple, c'est la forme singulière.

Dans le second cas, v étant alors dans l'intervalle de a et b , si a et b sont racines simples et $a > b$, v ne fera tour à tour que croître sans discontinuer de b à a , puis décroître de même de a à b , et nous dirons alors que v oscille entre a et b ; c'est la forme périodique.

Si a et b ne sont pas simples, ou v converge d'abord vers une racine multiple, ou elle le fait après avoir atteint l'autre racine, celle-ci étant simple. C'est la forme singulière.

Supposons maintenant que la valeur initiale de v soit égale à une racine. Si elle est multiple, v reste constant et c'est un cas de la forme singulière; si elle est simple, v varie dans l'intervalle positif adjacent et l'on est ramené aux cas précédents. Tous les cas possibles rentrent donc dans l'une des trois formes. La forme indéfinie n'existe pas pour u qui ne peut croître à l'infini sans rendre U négatif; quant aux autres formes, tout ce qui a été dit pour v s'applique à u sans autre changement que celui de V en U .

Les formes singulières étant des cas exceptionnels, nous nommerons les deux autres *les formes ordinaires*.

N° 6. *Propriétés des formes ordinaires.*

1° *Forme périodique.* Si θ est un angle toujours croissant avec le temps, $\cos^2 \theta$ oscille entre 1 et 0, et par suite $b + (a - b) \cos^2 \theta$ entre a et b , comme cela a lieu pour v ; on pourra donc faire varier θ avec une vitesse telle qu'on ait $b + (a - b) \cos^2 \theta = v$, ou

$$v = a \cos^2 \theta + b \sin^2 \theta,$$

la nouvelle variable θ croissant avec t . C'est une transformation qu'il convient d'employer pour toute quantité oscillant entre a et b .

Puisque a et b sont racines simples, on a

$$V = (a - v)(v - b) R,$$

R étant une fonction de v du premier degré qui ne s'annule pas quand v est égal à a , b , ou varie de l'une à l'autre; en même temps V et $(a - v)(v - b)$ étant positifs, il en est de même de R , qui restera ainsi compris entre un maximum μ^2 et un minimum μ'^2 , tous deux différents de o .

En remplaçant v par sa valeur, on a

$$(a - v)(v - b) = (a - b)^2 \sin^2 \theta \cos^2 \theta, \quad dv = 2(b - a) \sin \theta \cos \theta d\theta,$$

d'où

$$(14) \quad \frac{\pm dv}{\sqrt{V}} = \frac{2 d\theta}{\sqrt{R}}, \quad v = a \cos^2 \theta + b \sin^2 \theta;$$

le signe \pm disparaît, $d\theta$ étant toujours positif. En posant

$$(15) \quad I = \int_{v_0}^v \frac{\pm dv}{\sqrt{V}}, \quad I' = \int_{\theta_0}^{\theta} \frac{\pm du}{\sqrt{U}},$$

et désignant par θ_0 la valeur de θ correspondant à v_0 , on a

$$I = \int_{\theta_0}^{\theta} \frac{2 d\theta}{\sqrt{R}} < \int_{\theta_0}^{\theta} \frac{2 d\theta}{\mu'} = \frac{2(\theta - \theta_0)}{\mu'};$$

ainsi I reste fini pour toute valeur finie de θ , mais en outre, d'après la formule (10)

$$I > \int_{\theta_0}^{\theta} \frac{2 d\theta}{\mu} = \frac{2(\theta - \theta_0)}{\mu}, \quad 2t > \int_{\theta_0}^{\theta} \frac{2vd\theta}{\sqrt{R}},$$

d'où

$$t > \frac{1}{\mu} \int_{\theta_0}^{\theta} (a \cos^2 \theta + b \sin^2 \theta) d\theta;$$

ainsi, a n'étant pas nul, I croît à l'infini avec θ et il en est de même de t .

On pourrait employer la même transformation pour u s'il variait suivant la forme périodique.

En substituant la valeur (14) dans les formules (9), (10) et (11), elles seraient intégrables par les fonctions elliptiques ou en série, mais nous laisserons de côté ce calcul; tant que les constantes h, h', c , conserveront leur généralité, il n'éclaircirait en rien ce que nous avons à dire sur la forme du mouvement.

2° *Forme indéfinie.* Lorsque v approche d'une racine simple f la valeur (15) de I ne croît point à l'infini; c'est ce qu'on a vu quand v oscillait entre a et b ; par conséquent lors même que v décroîtrait d'abord jusqu'à f , I resterait fini. Ensuite, v croissant sans limite, l'expression

$$\frac{V}{v^3} = g + \frac{h}{v} + \text{etc.},$$

à partir d'une grande valeur $v = v'$ est toujours comprise entre un maximum μ^2 et un minimum μ'^2 peu différents de g , et dv étant alors constamment positif, la formule (10) donne

$$2t > \int_{v'}^v \frac{v dv}{\sqrt{V}} > \int_{v'}^v \frac{v dv}{\mu v^{\frac{3}{2}}} = \frac{2}{\mu} (\sqrt{v} - \sqrt{v'});$$

t croît donc à l'infini avec v . Mais en même temps

$$I = \int_{v_0}^{v'} \frac{\pm dv}{\sqrt{V}} = \int_{v'}^v \frac{dv}{\sqrt{V}} < \int_{v'}^v \frac{dv}{\mu' v^{\frac{3}{2}}} = \frac{2}{\mu'} \left(\frac{1}{\sqrt{v'}} - \frac{1}{\sqrt{v}} \right),$$

et cette valeur se réduit à $\frac{2}{\mu' \sqrt{v'}}$ quand v devient infini. Ainsi I converge alors vers une limite finie. Remarquons aussi qu'en posant $\frac{V}{v^3} = m^2$, et remplaçant ensuite m par une valeur moyenne, on a

$$\int_{v'}^{\infty} \frac{dv}{\sqrt{V}} = \int_{v'}^{\infty} \frac{dv}{m v^{\frac{3}{2}}} = \frac{2}{m \sqrt{v'}};$$

m converge vers \sqrt{g} si v' devient très grand; en écrivant v au lieu de v' il en résulte

$$(16) \quad \limite \sqrt{v} \int_v^{\infty} \frac{dv}{\sqrt{V}} = \frac{2}{\sqrt{g}},$$

la limite supposant que v croît à l'infini.

N° 7. *Propriétés de la forme singulière.* Nous allons démontrer que si u ou v varie en approchant d'une racine multiple, il ne peut l'atteindre, ou du moins il faut pour cela un temps infini.

En effet si par exemple u approche de f , racine double de $U = 0$, on a

$$U = (u-f)^2 Q,$$

Q ne s'annulant pas pour $u = f$. En désignant par u' une valeur de u très voisine de f , et par μ le maximum de \sqrt{Q} quand u varie de u' à f , on a

$$\int_{u'}^u \frac{\pm du}{\sqrt{U}} = \int_{u'}^u \frac{\pm du}{(u-f)\sqrt{Q}} > \frac{1}{\mu} \int_{u'}^u \frac{\pm du}{u-f} = \frac{1}{\mu} l. \left(\frac{u'-f}{u-f} \right),$$

en remarquant que l'expression $\frac{u'-f}{u-f}$ est positive, plus grande que l'unité, et que l'intégrale doit s'évaluer avec le signe $+$. Or cette intégrale croît à l'infini pour $u = f$, et par suite il en est de même de la valeur (15) de I' . On en peut dire autant si u converge vers une racine triple, auquel cas on aurait $U = (u-f)^3 Q$ et sous le signe \int , $u-f$ serait remplacé par $(u-f)^{\frac{3}{2}}$ ou $(f-u)^{\frac{3}{2}}$.

Si f n'est pas nul, u' en différant peu sera positive, et on aura toujours $u > \alpha$ quand u varie de u' à f , α étant le plus petit de ces deux nombres. La formule (10) donne alors

$$2t > \int_{u'}^{u''} \frac{\pm u du}{\sqrt{U}} > \alpha \int_{u'}^{u''} \frac{\pm du}{\sqrt{U}};$$

nous venons de voir que la seconde intégrale croît à l'infini quand u converge vers f , et par suite il en est de même de t .

Il ne reste à faire la démonstration qu'en supposant $f = o$. Or o ne peut être racine multiple à la fois des équations $U = o$, $V = o$; car on devrait avoir $c = o$, et en outre $k^2 - h' = o$, $k^2 + h' = o$, d'où $k^2 = o$, ce qui n'a pas lieu.

La relation entre u et v est exprimée par la formule (9) ou $I = I'$; I' croissant à l'infini, il faut qu'il en soit de même de I .

C'est impossible si la variation de v a la forme indéfinie, I conservant une valeur limitée même pour $t = \infty$.

Si cette forme est périodique, I croîtra bien à l'infini en même temps que I' , mais il en sera de même de t comme on l'a vu au numéro précédent.

On en peut dire autant si v converge vers une racine multiple f , car celle-ci ne peut-être nulle, et la démonstration faite ci-dessus pour u s'applique également à v .

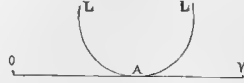
Il ne reste donc à examiner que le cas où v resterait constant, sa valeur f étant une racine multiple différente de o . En échangeant u et v dans la formule (13) où l'on supposait $u = \text{const.}$, on aura pour ce cas où $v = f$

$$2t = \int_{u_0}^{u''} \frac{\pm (u + v) du}{\sqrt{U}} > f \int_{u_0}^{u''} \frac{\pm du}{\sqrt{U}} = fI';$$

ainsi I' croissant à l'infini il en est de même de t .

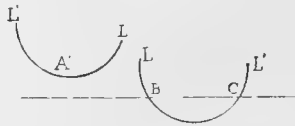
Stabilité de la forme de variation singulière. Il ne s'agit ici que du cas où u ou v reste constant, et où cette forme subit plus tard une légère altération. Plus loin, en parlant du mouvement, nous verrons comment sa stabilité peut en résulter.

Supposons qu'on ait $v = f = \text{const.}$, f étant une racine double de $V = 0$, séparant deux intervalles D, D' de même signe. Prenons V pour



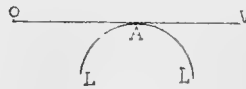
ordonnée d'une courbe, v étant compté sur l'axe OV ; la courbe, dans le cas où D, D' sont positifs, a la disposition LAL , le point de tangence A correspondant à $v = f$.

Si une force troublante très faible vient à agir pendant un temps fort court, elle altérera très peu soit les constantes, soit les valeurs de u, v , après que l'action aura cessé; il en sera de même de la forme de la courbe LAL , qui se changera en $L'A'L'$, ou en $L'BCL'$. Il arrivera



donc, ou que la racine $v = f$ de l'équation aura disparu, ou qu'elle aura été remplacée par deux racines simples correspondant à B, C . Dans le premier cas les intervalles D, D' n'en feront plus qu'un, et dans le second ils seront séparés par un intervalle négatif; dans les deux cas la nouvelle valeur de v ne peut être contenue que dans un intervalle positif, et par suite se mettra à osciller entre des limites étendues. La forme singulière est donc instable.

Si au contraire D et D' étaient négatifs, la courbe LAL étant au-des-



sous de l'axe, ils ne pourront après l'altération se trouver réunis en un

seul, qui serait négatif, et où cependant la nouvelle valeur de v serait comprise; elle ne pourra l'être que dans un petit intervalle positif qui aura été formé entre D et D' , et dont les limites seront très peu différentes. Ainsi v oscillant entre ces limites s'écartera très peu de sa valeur primitive.

La forme singulière est donc *stable* si D, D' sont des intervalles négatifs, *instable* s'ils sont positifs. Tout ce qui précède s'appliquerait de même au cas où l'on aurait $u = \text{const.}$ Quant à ceux où f serait une racine triple, ils ne donnent lieu à aucune règle précise sous le rapport de la stabilité.

N° 8. *Signification géométrique de u et v .* Ces variables définissent la position du mobile dans le plan méridien. Toutefois leurs valeurs $r \pm z$ étant les mêmes pour deux points symétriques par rapport à l'axe OZ , le côté de l'axe où se trouve un point reste indéterminé. Cela n'a pas lieu quand $c > 0$, le plan méridien étant alors mené d'un seul côté de l'axe, et défini par son angle polaire φ . En supposant $c = 0$, on doit aussi laisser de côté le cas où u ou v serait constamment nul; on aurait $r' = \sqrt{uv} = 0$, et le point resterait sur l'axe.

Dans tout autre cas, si u ou v vient à s'annuler, la racine 0 de l'équation est simple, sans quoi elle ne serait jamais atteinte. Or on a vu au n° 4 qu'alors $\frac{dr'}{dt}$ n'était pas nul; ainsi comme $r' = x$ au signe près, la vitesse a une composante $\frac{dx}{dt}$ perpendiculaire à l'axe. Par conséquent, chaque fois que u ou v devient nul le mobile traverse l'axe, et le mouvement continue de l'autre côté.

Le mobile à un instant quelconque se trouvera ainsi du même côté de l'axe que sa position initiale, ou du côté opposé, suivant que u et v se seront annulés un nombre pair ou impair de fois, ce qui suffit pour lever l'ambiguïté ci-dessus. Si dans sa position initiale le point est sur

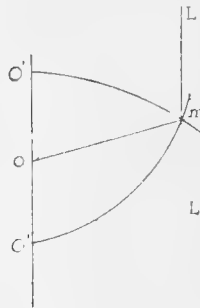
l'axe, les composantes de sa vitesse sont données, et celle qui est perpendiculaire à l'axe indique de quel côté il se dirige en premier lieu; si elle était nulle le point se mouvrait sur l'axe.

Il faut remarquer que r n'étant jamais nul, $r - z$ ou u ne peut l'être que si z est positif, et le passage du mobile sur l'axe OZ a lieu au-dessous du point o ; il a lieu de même au-dessus si c'est v qui s'annule.

Coordonnées paraboliques. L'équation $r - z = p$, où p est une constante, est la même que

$$\sqrt{r'^2 + z^2} = p + z, \quad r'^2 = 2p(z + \frac{1}{2}p).$$

Si l'on transporte l'origine au point O' à la hauteur $OO' = \frac{1}{2}p$, elle devient $r'^2 = 2pz$; comme r' est la distance du point à l'axe, elle



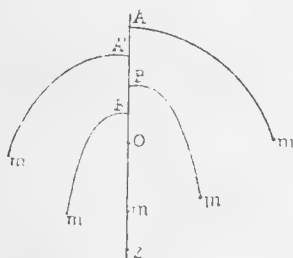
représente une parabole dont O' est le sommet, O le foyer et OZ l'axe. De même l'équation $r + z = p'$ est celle d'une parabole dont le foyer est O , le sommet O'' situé au-dessous à la distance $OO'' = \frac{1}{2}p'$, et dont l'axe est le prolongement de OZ .

Par tout point m non situé sur OZ on peut faire passer une parabole de chaque espèce et une seule, en prenant pour p et p' les valeurs de

$r - z$, $r + z$ en m , ou celles de u et v . Nous les supposons menées à partir de O' , O'' , seulement du côté de l'axe où se trouve m , et nous les nommerons pour abrégier *la courbe (u)* et *la courbe (v)* de ce point. Elles s'y coupent à angle droit, car en menant LL' parallèle à l'axe, leurs tangentes sont les bissectrices des angles OmL , OmL' .

De la sorte u et v équivalent pour chaque point à un système de coordonnées paraboliques.

Quand u varie en passant par o sans que v s'annule, la courbe (u), du sommet jusqu'en m , a des positions successives telles que Am , Bm , Om



sur l'axe, $B'm$, $A'm$. Mais si pendant ce déplacement v vient à s'annuler, par exemple dans la position Bm , c'est que m est arrivé au sommet B , après quoi la courbe (u) doit être tracée de l'autre côté de l'axe; elle reviendra au premier après la position Om .

La même figure renversée indiquerait les positions successives des courbes (v) du point m quand v passe par o , soit que pendant ce temps u vienne ou non à s'annuler.

N^o 9. *Remarques sur les mouvements possibles.* D'après les numéros précédents u ou v ne peut que varier dans un intervalle positif ou rester égal à une racine multiple. Toute forme du mouvement ne peut résulter

que de l'association d'un mode de variation de u avec un de v , en leur adjoignant, si c n'est pas nul, la variation de φ définie par l'équation (3).

Au premier abord il semble que h, h', c , ne peuvent point être choisis arbitrairement, étant déterminés par la position et la vitesse initiales du mobile. Mais pour trouver tous les mouvements possibles, g et k^2 étant donnés, il revient au même et il est plus simple de regarder h, h', c comme indéterminés, pourvu que d'après la forme de U il existe un intervalle positif où u puisse varier, ou une racine multiple à laquelle u puisse rester égal, et que V satisfasse une condition analogue.

En effet supposons qu'on ait choisi pour les constantes des valeurs h, h', c , satisfaisant ces conditions; nous allons démontrer que *tous les mouvements représentés par une association de formes de variation quelconques de u et v sont possibles, et cela en attribuant à u ou v s'il est dans un intervalle une valeur initiale quelconque comprise dans l'intervalle, et la supposant à volonté croissante ou décroissante à cet instant.*

Pour le démontrer supposons d'abord chaque valeur initiale de u, v , comprise dans un intervalle, et par suite, différente de o . Nous choisirons la vitesse pour $t = o$ de façon qu'à cet instant en employant h, h', c , les équations (7), (8), (3) soient satisfaites.

Sachant si u et v sont croissants ou décroissants, ou connaissant le signe de $\frac{du}{dt}, \frac{dv}{dt}$, les équations (7) et (8) nous donneront leur valeur et par suite $\frac{dz}{dt}, \frac{dr}{dt}$. On a ensuite

$$r \frac{dr}{dt} = r' \frac{dr'}{dt} + z \frac{dz}{dt},$$

et r' ou \sqrt{uv} n'étant pas nul, on en déduira $\frac{dr'}{dt}$. L'équation (3) donnera ensuite $r' \frac{d\varphi}{dt}$ composante de la vitesse perpendiculaire au plan méridien.

Ainsi avec cette vitesse les équations (7), (8), (3) seront satisfaites pour $t = o$.

D'autre part à cette vitesse et cette position initiales correspond un mouvement et il sera représenté par les formules (7), (8), (3) avec certaines valeurs de h, h', c . Elles seront donc satisfaites pour $t = 0$ soit qu'on emploie h, h', c , ou h_1, h_1', c_1 , les valeurs de u, v, r' , et la vitesse étant les mêmes. En comparant l'équation (3) dans les deux cas on voit que $c = c_1$. Ensuite si l'on tire des formules (7), (8) les valeurs de h, h' , en fonction de U, V , leur dénominateur commun est

$$2u^2v + 2uv^2 = 2uv(u + v) = 4rvv,$$

et diffère de 0 . Or soit qu'on emploie h, h' ou h_1, h_1' , ces équations doivent être satisfaites, $u, v, c, \left(\frac{du}{dt}\right)^2, \left(\frac{dv}{dt}\right)^2$, et par suite U, V , restant les mêmes.

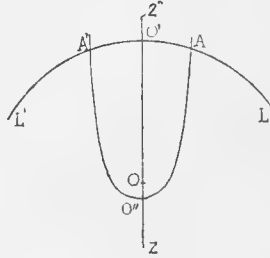
Il faut donc pour cela qu'on ait $h = h_1, h' = h_1'$, et le mouvement réel correspond bien à h_1, h_1', c_1 .

La démonstration précédente s'applique sans changement au cas où u par exemple resterait égal à une racine multiple différente de 0 , correspondant à h_1, h_1' ; r' n'étant pas nul on trouverait de même la vitesse initiale, pour laquelle $\frac{du}{dt} = 0$, et si h, h', c correspondent au mouvement réel, on vérifierait encore que $h = h_1, h' = h_1'$. On en peut dire autant si $v = \text{const.}$, ou si à la fois $u = \text{const.}, v = \text{const.}$, aucune n'étant nulle.

Il reste à examiner le seul cas où l'on aurait par exemple $u = 0 = \text{const.}$, ce qui ne peut avoir lieu en même temps pour v . Cela suppose que $k^2 - h_1' = 0$. Or on a vu au n° 4 que si $u = 0$ on a $r \left(\frac{dr'}{dt}\right)^3 = k^2 - h'$; ainsi $\frac{dr'}{dt} = 0$ pour $t = 0$; la composante de la vitesse perpendiculaire à l'axe étant nulle, le mouvement réel sera sur l'axe et l'on aura constamment $u = 0$, d'où $h' = k^2 = h_1'$.

N° 10. *Mouvements dans lesquels u ou v reste nul ou converge vers 0 .*

Premier cas. Supposons que o soit racine multiple de $V = o$; on a dans les formules (7) et (8) $k^2 + h' = o$, $k^2 - h' = 2k^2$, et le troisième terme de $\frac{U}{u}$ étant positif, $U = o$ a une seule racine f positive et différente de o ; u ne peut donc qu'osciller entre les racines simples f et o . La courbe (u) se modifie comme on l'a vu au numéro précédent, de sorte que son sommet oscille entre O et O' à la hauteur $OO' = \frac{1}{2} f$.



1° Si $v = o = \text{const.}$ ou $z = -r$, le mobile est sur OZ' prolongement de OZ , et par suite au sommet de la courbe (u); il ne pourra donc que tomber sur l'origine, soit de suite, soit après s'être élevé jusqu'en o' .

2° Il est clair que pour V l'intervalle adjacent à o peut être positif; il en est ainsi en particulier si $V = o$ n'a pas de racine positive ou si $h > o$; v peut donc converger vers o , et en le supposant devenu très petit, le sommet O'' de la courbe (v) sera très près de O ; alors pendant que la courbe (u) oscille entre $O'L$ et $O'L'$, le point m aura une sorte de mouvement pendulaire sur la parabole $AO''A'$, tandis qu'elle se rapproche lentement de l'axe.

Second cas : o est racine multiple de $U = o$. On a alors $k^2 - h' = o$, d'où

$$\frac{V}{v} = gv^2 + hv + 4k^2,$$

et l'équation $V = o$ a un nombre pair de racines positives.

1° Si u converge vers o il faut que l'intervallé adjacent à o soit positif, et comme $U = u^2 (h - gu)$, h doit l'être; l'équation $V = o$ n'a pas alors de racine positive, et v varie entre o et l'infini. Quand u est devenu très



petit, la courbe (u) est $LO'L'$, O' étant tout près de O , et se rapproche lentement de l'axe, tandis que le mobile m la parcourt, ou en descendant indéfiniment, ou en montant en O' et descendant de l'autre côté.

2° Si $u = o = \text{const.}$, on a $z = r$, $v = 2r$; le mobile se meut sur l'axe OZ , et h pouvant être quelconque, l'équation $\frac{V}{v} = o$ aura deux racines positives a , b , ou une double f , ou aucune.

Dans ce dernier cas, v variant entre o et l'infini, ou le point remonte en O , ou il tombe verticalement, et ces deux mouvements sont encore possibles s'il y a des racines et que v commence par s'en éloigner.

Dans le cas contraire, s'il y en a deux simples a et b , le point descendra d'abord quelque temps avant d'aller en O , ou montera avant le mouvement de chute.

S'il y a une racine double f , v convergera vers elle, ou lui restera toujours égal. D'après la valeur ci-dessus de $\frac{V}{v}$ on aura pour cette racine double $gf^2 = 4k^2$, et comme $2r = v = f$, la valeur OH de r ou $\frac{1}{2}f$ qui lui correspond est telle que $\frac{k^2}{r^2} = g$; H est donc le point où la pesanteur et l'attraction se font équilibre. Ainsi le point m pourra non seulement y rester immobile, mais s'en approcher au-dessus ou au-dessous en ne l'atteignant qu'au bout d'un temps infini.

N° 11. *Comparaison des nombres de racines des équations $V=0$, $U=0$.*
L'équation (7) donne

$$U - 4k^2u = -gu^3 + hu^2 - 2(k^3 + h')u - c^2,$$

expression qui se déduit de V en remplaçant v par $-u$; de même $V - 4k^2v$ se forme de U en remplaçant u par $-v$. Si donc on désigne par α, β, γ , les racines réelles ou imaginaires de $V = 0$, et par α', β', γ' , celles de $U = 0$, on aura identiquement

$$V = g(v - \alpha)(v - \beta)(v - \gamma), \quad U = -g(u - \alpha')(u - \beta')(u - \gamma'),$$

d'où

$$(17) \quad \begin{cases} U = 4k^2u - g(u + \alpha)(u + \beta)(u + \gamma), \\ V = 4k^2v + g(v + \alpha')(v + \beta')(v + \gamma'). \end{cases}$$

Ces relations nous permettront de comparer les nombres i, i' de racines qu'on peut attribuer à $V = 0, U = 0$; nous entendrons par racines dans ce qui suit seulement celles qui sont positives et différentes de 0 . Des valeurs possibles de i, i' signifient celles qui permettent des modes de variation de u, v . Nous aurons surtout à vérifier que *si un système de valeurs de i, i' est possible, il l'est soit que les racines soient simples ou qu'il y ait entre elles des relations d'égalité quelconques*; en d'autres termes, quelles que soient ces relations, elles existeront pour certaines valeurs de h, h', c , en laissant invariables les nombres donnés g, k^2 .

Premier cas : supposons $c > 0$. Pour que U ne soit pas toujours négatif, comme cela a lieu pour $u = 0$ et $u = \infty$, il faut que $U = 0$ ait deux racines égales ou inégales; ainsi $i' = 2$; V étant négatif pour $v = 0$, $V = 0$ a un nombre impair de racines, et $i = 1$ ou 3 ; mais on peut disposer de h, h', c , de façon que sauf le signe de $-c^2$, les coefficients de V soient quelconques. Supposons tour à tour

$$V = g(v - nf)(v^2 + n^2), \quad V = g(v - n\alpha)(v - n\beta)(v - n\gamma),$$

f, α, β, γ étant des nombres positifs choisis à volonté, et n une indéter-

minée positive; dans la seconde forme, les racines $n\alpha, n\beta, n\gamma$ pourront avoir des relations d'égalité quelconques, mais qui resteront les mêmes si l'on change n . Nous avons donc à vérifier qu'en même temps $U = 0$ aura pour certaines valeurs de n deux racines inégales, et pour une autre deux égales. Les valeurs correspondantes de U sont

$$U = 4k^2u - g(u + nf)(u^2 + n^2),$$

$$U = 4k^2u - g(u + n\alpha)(u + n\beta)(u + n\gamma).$$

Sans changer f, α, β, γ , on peut prendre n assez grand pour que tous les termes de U soient négatifs, ou que $U = 0$ n'ait aucune racine. D'autre part en supposant $u = n$, et prenant n très petit, le terme $4k^2n$ l'emportera sur le reste qui a n^3 en facteur; U aura donc des valeurs positives, et $U = 0$ deux racines inégales; ainsi en prenant pour n une valeur convenable intermédiaire entre les deux précédentes, $U = 0$ aura deux racines égales.

Second cas : on suppose $c = 0$. Nous avons examiné au n° précédent les mouvements dans lesquels u ou v reste égal à 0 ou converge vers 0 ; nous devons donc exclure ceux où ces formes de variation seraient les seules possibles. Ainsi il faut que $U = 0$ ait une ou deux racines, sans quoi l'intervalle de 0 à l'infini étant négatif, il n'y aurait pas d'autre forme que $u = 0 = \text{const}$. Il faut même supposer de toute manière que 0 n'est pas racine double de $U = 0$, sans quoi il n'y aurait d'intervalle positif qu'entre elle et une racine simple, et u convergerait vers 0 .

Si $i' = 2$ et que les racines de $U = 0$, égales ou inégales, soient α', β' , les formules (17) où $\gamma' = 0$, donnent

$$\frac{V}{v} = 4k^2 + g(v + \alpha')(v + \beta'),$$

expression toujours positive, et par suite $i = 0$; en outre 0 n'est pas racine multiple de $V = 0$.

Si $i' = 1$, on a $i = 0, 1$ ou 2 , ou les racines de $\frac{V}{v} = 0$ peuvent être quelconques en disposant de h, h' . Pour le vérifier il est superflu de les supposer imaginaires, le nombre i étant alors nul comme quand elles sont négatives. Représentons-les par $n\alpha, n\beta$, n étant une indéterminée positive, et α, β , des quantités arbitraires; $n\alpha$ et $n\beta$ seront, en même temps que α et β , positifs ou négatifs, égaux ou inégaux, nuls ou non. La première formule (17), où $\gamma = 0$, deviendra

$$\frac{U}{u} = 4k^2 - g(u + n\alpha)(u + n\beta);$$

ou on peut sans changer α, β , prendre n assez petit pour que $4k^2 - gn^2\alpha\beta$, troisième terme de l'équation $\frac{U}{u} = 0$, soit positif, auquel cas elle aura une seule racine positive. En même temps $V = 0$ pourrait avoir une racine 0 multiple; mais on peut exclure ce cas, car toute forme de variation qui serait alors possible, sauf celles du n° précédent, le serait également en supposant 0 racine simple.

Voici, en résumé les cas qui nous restent à examiner :

1° Si $c = 0$; ou $i' = 2, i = 0$; ou $i' = 1, i = 0, 1$, ou 2 .

2° Si $c > 0$; $i' = 2, i = 1$ ou 3 .

Dans le premier cas 0 n'est pas racine multiple des équations $U = 0, V = 0$.

N° 12. *Associations possibles des formes de variation.* Le classement de ces formes fait au n° 5 est insuffisant; nous devons distinguer dans les variations périodiques les cas où l'une des racines est nulle, et dans les variations indéfinies ceux où v commence par croître ou décroître, cas également possibles comme on l'a vu au n° 9. Nous désignerons comme il suit toutes les formes de variations par des lettres, en les indiquant pour v :

Variations périodiques.

(A) : v oscille entre deux racines simples a et b , toutes deux différentes de o .

(A') : v oscille entre deux racines simples dont l'une est o .

Variations indéfinies.

(B) : v croît à l'infini à partir de sa valeur initiale.

(B') : v croît à l'infini après avoir diminué jusqu'à une racine simple f différente de o .

(B'') : Même cas en supposant $f = o$.

Variations singulières.

(C) : v reste constamment égal à f , racine double séparant deux intervalles négatifs.

(C') : v reste constamment égal à f , racine double séparant deux intervalles positifs, ou converge vers f en croissant ou en décroissant.

Nous allons maintenant, pour chaque valeur de i ou i' , déterminer les formes de variation qu'elle rend possibles, et qui toutes rentreront dans les précédentes; pour chacune nous indiquerons le cas $c = o$ ou $c > o$ pour lequel le nombre i ou i' est admissible. En outre les racines autres que o seront constamment désignées par a , ou a et b , ou a , b , et e , en ordre de grandeur décroissante.

Premier cas ; variations de u .

Si $i' = 1$ (pour $c = o$) il n'y a d'intervalle positif qu'entre a et o : la forme est (A').

Si $i' = 2$ (pour $c =$ ou $> o$) il n'y a d'intervalle positif qu'entre a et b ; la forme est (A) si $a > b$, si $a = b$ elle est (C); les deux intervalles adjacents étant négatifs, u ne peut converger vers a . On peut remarquer que le cas où $a = b$ rentre dans celui où u oscille entre a et b , de sorte que la forme (C) sera toujours adjointe à (A).

Second cas : variations de v .

Si $i = 0$ (pour $c = 0$) l'intervalle est positif de 0 à l'infini; suivant que v commence par croître ou par décroître, la forme est (B) ou (B'').

Si $i = 1$ (pour $c =$ ou > 0) le seul intervalle positif est de a à l'infini; suivant que v commence par croître ou par décroître, la forme est (B) ou (B').

Ces deux formes existent aussi évidemment si $i = 2$ ou 3 .

Si $i = 2$ (pour $c = 0$) l'intervalle de b à 0 est positif, d'où résulte, quand $a > b$ la forme (A') outre (B) et (B'). Si $a = b$ on peut avoir $v = a = \text{const.}$, et v converge vers a soit si $v > a$ et commence par décroître, soit si $v < a$. C'est la forme (C').

Si $i = 3$ (pour $c > 0$) en supposant $a > b > e$, l'intervalle de b , e est positif, et si v s'y trouve la forme est (A); c'est (B) ou (B') si $v > a$. Celles-ci sont encore possibles si $b = e < a$, et en outre $v = b = \text{const.}$, ou la forme (C). Si $a = b > e$, a séparant deux intervalles positifs, il en peut résulter la forme (C') comme dans le cas où $i = 2$.

Enfin si $a = b = e$ on pourrait encore avoir $v = a$, ou v pourrait converger vers a ; mais cette forme ne diffère pas de (C') qui est déjà mentionnée.

Voici le résumé des résultats :

1° Pour les variations de u :

Si $i' = 1$, la forme (A');

Si $i' = 2$, les formes (A), (C).

2° Pour les variations de v :

Si $i = 0$, les formes (B), (B'');

Si $i = 1$, les formes (B), (B');

Si $i = 2$, les formes (B), (B'), (A'), (C');

Si $i = 3$, les formes (B), (B'), (A), (C), (C').

Nous avons vu au n° précédent quelles valeurs de i , i' pouvaient être associées, et quant cela a lieu toutes les formes de variation ci-dessus que i ou i' rendent possibles peuvent être séparément associées; par exemple si $c = 0$ la forme (A') correspondant à $i' = 1$ peut s'associer à

celles qui correspondent à $i = 0, 1, 2$, dont quelques-unes d'ailleurs se répètent plusieurs fois. Voici le tableau des associations diverses qui en résultent.

Premier cas : $c = 0$; on a $i' = 2, i = 0$, ou $i' = 1, i = 0, 1, 2$, ce qui donne les associations de formes

(A), (C) pour u , (B), (B'') pour v .

(A') pour u , (B), (B'), (B''), (C'), (A') pour v .

Second cas : $c > 0$; on a $i' = 2, i = 1$ ou 3 , ce qui donne

(A), (C) pour u , (B), (B'), (A), (C), (C') pour v .

A chaque association d'une forme de variation de u et d'une de v correspond une forme du mouvement et une seule, car les mouvements qu'elle représente ne pourraient différer que par la grandeur absolue des racines employées, laquelle reste indéterminée comme celle des constantes h, h', c ; si $c > 0$ il ne s'agit que de la relation entre u et v ou du mouvement dans le plan méridien, mais la formule (3) détermine alors le mouvement correspondant dans l'espace.

Nous avons déjà appelé *ordinaires* les formes de variation périodique et indéfinie; nous nommerons *mouvements ordinaires* ceux où elles sont seules employées. Ils constituent le cas général, et les *mouvements singuliers*, où se trouvent des variations singulières (C), (C') sont des cas d'exception; ce sont d'ailleurs les plus remarquables à cause de leur simplicité.

La forme (C) comme on l'a vu est stable, c'est-à-dire qu'après une altération du mouvement due à une force passagère très faible, elle sera remplacée par une forme (A) oscillatoire entre deux limites a, b très rapprochées, ou que u ou v restera presque constant. Cette stabilité existe donc évidemment pour le mouvement dans le plan méridien, et dans l'espace il changera peu de forme.

Quant à la variation (C') on peut remarquer qu'elle est toujours accompagnée d'une forme périodique (A) ou (A') et d'une indéfinie, entre lesquelles elle sert de transition.

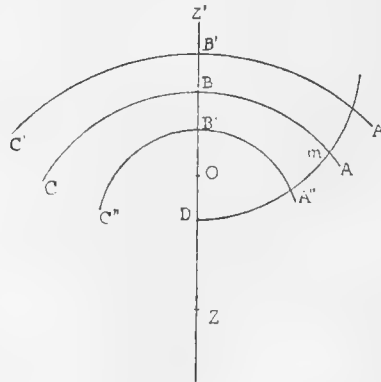
Nous nommerons *mouvements de chute* ceux où entrent les formes

(B), (B'), (B''); v croît alors à l'infini, u restant limité; $\frac{v+u}{2}$ ou r devenant infini, le mobile n'est plus animé que de la pesanteur, et par suite sa trajectoire tend à devenir une parabole. Les *mouvements de circulation* seront tous les autres, où u , v , r restent limités. Dans les numéros suivants nous indiquerons les particularités propres à chaque forme du mouvement.

N° 13. *Formes du mouvement quand $c = 0$.* Il est alors situé dans le plan du méridien immobile.

Nous partagerons en cinq cas les associations de formes de variation indiquées au n° précédent.

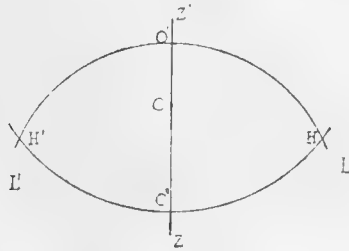
Premier cas : La forme est (A) pour u , (B), (B'') pour v ; u varie entre a et b sans s'annuler; la courbe (u) ou BA oscille donc entre deux posi-



tions extrêmes $B'A'$, $B'A''$, tandis que la courbe (v) ou Dm , soit descend indéfiniment, soit remonte jusqu'à se confondre avec OZ' quand $v = 0$ et redescend de l'autre côté, la courbe (u) oscillant entre $B'C'$ et $B''C''$, après le passage du mobile sur l'axe.

Second cas : La forme est (C) pour u , (B), (B'') pour v . Alors v varie comme dans le cas précédent, et puisque $a = b$ le mobile se meut indéfiniment dans un sens ou dans l'autre sur une parabole fixe ABC, de sorte que cette forme finale des mouvements de chute s'étend à toute la trajectoire.

Troisième cas : La forme est (A') pour u , (B), (B'), (B'') pour v . C'est entre les racines simples f et o que u varie. En supposant $OO' = \frac{1}{2} f$ la courbe (u) oscille comme on l'a vu au n° 8 entre O'L et O'L' en se plaçant sur OZ à chaque oscillation quand le point m traverse l'axe : la



forme est encore indéfinie pour v ; ainsi pendant l'oscillation de u le point m se déplace de H en H' sur sa courbe (v) ou HO''H', et en même temps celle-ci ou descend constamment, ou remonte sans atteindre O puis descend, ou enfin elle atteint le point O, se place alors sur OZ' et redescend après que le mobile a traversé l'axe.

Quatrième cas : La forme est (A') pour u , et (C') pour v . L'oscillation de la courbe (u) est la même, et dans ce mouvement de circulation, v étant constant, le mobile se déplace sur la parabole fixe HO'H', oscillant comme un pendule entre les points fixes H et H'. Il peut aussi approcher indéfiniment de cette courbe au-dessus ou au-dessous sans l'atteindre, mouvement qui se confond sensiblement avec le précédent.

Cinquième cas : La forme est (A') pour u , et (A') pour v . C'est le principal mouvement de circulation. Les déplacements de la courbe (u) sont

les mêmes; v varie entre f' et o . En supposant $OO'' = \frac{1}{2} f'$ la courbe (v) oscille alors entre les limites $O''H$, $O''H'$, traversant l'axe de même que le mobile à chaque oscillation, de sorte que la trajectoire, fort irrégulière, reste enfermée dans l'intérieur du contour fixe $HO''H'O'H$. Les passages du mobile sur l'axe au-dessus et au-dessous de l'origine ne sont pas en général également nombreux et se succèdent irrégulièrement.

Les deux formes sont oscillatoires. Par suite, d'après les formules (14) et (15), on peut, en remplaçant a, b , par f ou f' et o , poser

$$u = f \cos {}^2\theta, \quad v = f' \cos {}^2\theta',$$

θ et θ' étant des angles toujours croissants avec le temps. L'égalité $I = I'$ peut ainsi s'écrire

$$\int_{\theta_0}^{\theta} \frac{d\theta}{\sqrt{R}} = \int_{\theta'_0}^{\theta'} \frac{d\theta'}{\sqrt{R'}},$$

θ_0, θ'_0 correspondant à u_0, v_0 ; R et R' restent compris entre des limites fixes positives et différentes de o .

Désignons par p, p' les périodes de ces intégrales, ou

$$p = \int_{\theta}^{\theta + \pi} \frac{d\theta}{\sqrt{R}}, \quad p' = \int_{\theta'}^{\theta' + \pi} \frac{d\theta'}{\sqrt{R'}}.$$

Si elles ont un rapport rationnel de sorte qu'on ait $np = n'p'$, n et n' étant des entiers, il en résulte, quels que soient θ et θ' ,

$$\int_{\theta}^{\theta + n\pi} \frac{d\theta}{\sqrt{R}} = \int_{\theta'}^{\theta' + n'\pi} \frac{d\theta'}{\sqrt{R'}};$$

par conséquent pendant un même temps T , θ s'accroîtra de $n\pi$ et

θ' de $n'\pi$, ce qui ne change pas u et v ; ainsi au bout du temps T u et v repasseront de nouveau simultanément par les mêmes valeurs.

Si le mobile se trouve à ce moment du même côté de l'axe on voit que la trajectoire sera une courbe rentrante. Il en est de même si le mobile se trouve de l'autre côté, car au bout d'un temps $2T$ il aura traversé l'axe un nombre pair de fois et se retrouvera du même côté; en outre dans ce cas la trajectoire sera symétrique par rapport à l'axe.

N° 14. *Cas où $c > 0$. Mouvements ordinaires.* Ils résultent de l'association des formes ordinaires (A) pour u , et (A), (B), (B') pour v , et on peut les représenter par les mêmes formules. Pour cela admettons que pour la forme (B') la racine simple soit f ; nous pouvons supposer que dans la forme (B) l'intervalle où v augmente soit aussi de f à l'infini. On peut alors poser dans les deux cas

$$v = \frac{f}{\cos^2 \theta'}$$

θ' étant un angle toujours croissant, mais compris entre $\pm \frac{\pi}{2}$; en effet dans la forme (B) v étant d'abord croissant nous prendrons la valeur initiale de θ' positive et pendant qu'il augmentera jusqu'à $\frac{\pi}{2}$, v deviendra infini. Dans la forme (B') nous prendrons la valeur initiale de θ' négative, et pendant qu'il croîtra jusqu'à 0 et au delà, v diminuera jusqu'à f et augmentera ensuite.

En même temps puisque f est la plus grande racine de $V = 0$ et qu'elle est simple, on a

$$V = (v-f)Q, \text{ où } Q = gv^2 + Av + B,$$

A, B étant des constantes, et Q restant positif et différent de 0 tant que $v = 0$ ou $v > f$. En substituant $v = \frac{f}{\cos^2 \theta'}$ on trouve

$$V = f \operatorname{tang}^2 \theta' \times \frac{f R'}{\cos^4 \theta'}, \text{ où } R' = \frac{gf^2 + Af \cos^2 \theta' + B \cos^4 \theta'}{f},$$

et R' reste positif et différent de 0 soit quand $\theta' = \frac{1}{2} \pi$ puisqu'il se réduit à gf , soit pour tout autre valeur de θ' , chacune correspondant à une valeur finie de v égale ou supérieure à f . En outre

$$dv = \frac{2f \sin \theta' d\theta'}{\cos^3 \theta'}, \text{ d'où } \frac{\pm dv}{\sqrt{V}} = \frac{2 d\theta'}{\sqrt{R'}}.$$

Quand v a une variation périodique (A) entre a' et b' la relation précédente est encore exacte; en la substituant dans les formules (9), (10), (11), de même que la valeur analogue de $\frac{du}{\sqrt{U}}$, u variant entre a et b , on aura pour le mouvement de circulation et celui de chute

$$(18) \quad \left. \begin{array}{l} 1^\circ u = a \cos^2 \theta + b \sin^2 \theta, \quad v = a' \cos^2 \theta' + b' \sin^2 \theta', \\ 2^\circ u = a \cos^2 \theta + b \sin^2 \theta, \quad v = \frac{f}{\cos^2 \theta'}, \end{array} \right\}$$

$$(19) \quad \int_{\theta_0}^{\theta} \frac{d\theta}{\sqrt{R}} = \int_{\theta'_0}^{\theta'} \frac{d\theta'}{\sqrt{R'}},$$

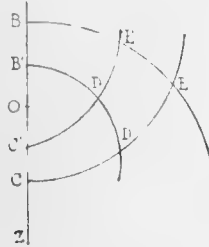
$$(20) \quad t = \int_{\theta_0}^{\theta} \frac{u d\theta}{\sqrt{R}} + \int_{\theta'_0}^{\theta'} \frac{v d\theta'}{\sqrt{R'}},$$

$$(21) \quad \varphi - \varphi_0 = c \int_{\theta_0}^{\theta} \frac{d\theta}{u \sqrt{R}} + c \int_{\theta'_0}^{\theta'} \frac{d\theta'}{v \sqrt{R'}},$$

θ et θ' étant toujours croissants, mais θ' dans le mouvement de chute ne dépassant pas $\frac{\pi}{2}$.

Premier cas : mouvement de chute. La forme étant (A) pour u , la courbe

(*u*) varie entre deux positions $BE'E$, $B'D'D$; la forme étant (B) ou (B') pour *v* le mobile oscille entre D, E sur sa courbe (*v*) ou CDE, pendant



que celle-ci ou descend indéfiniment ou remonte sans atteindre O jusqu'à une position $C'D'E'$ puis redescend.

Second cas : mouvement de circulation. La courbe (*u*) a la même variation, et la forme (A) étant celle de *v* la courbe (*v*) oscille entre deux positions CDE, $C'D'E'$ de sorte que le mobile *m* reste enfermé dans le plan méridien à l'intérieur du quadrilatère fixe DEE'D', et dans l'espace à l'intérieur de la surface de révolution de forme annulaire que ce quadrilatère décrit en tournant autour de l'axe; θ et θ' croissent à la fois à l'infini de même que I, I' ou les deux membres de l'équation (19), et il en est de même des valeurs (20), (21) de t et φ puisque *u, v* restent compris entre des limites fixes; ainsi le mobile fait un nombre infini de révolutions autour de l'axe.

En désignant par p, p' les périodes

$$(22) \quad p = \int_0^\pi \frac{d\theta}{\sqrt{R}}, \quad p' = \int_0^\pi \frac{d\theta'}{\sqrt{R}},$$

on verrait comme au n° précédent que si elles ont un rapport rationnel la courbe décrite par le mobile dans le plan méridien est rentrante.

Mais sa trajectoire dans l'espace ne l'est pas nécessairement; seule-

ment elle se trouve en totalité sur la surface de révolution que décrit en tournant la courbe précédente.

N° 15. *Cas où $c > 0$. Mouvements singuliers.*

Premier cas : La forme est (A) pour u , (C) ou (C') pour v . Dans la figure du numéro précédent la courbe (u) varie encore entre BE et B'D, mais la courbe (v) ou CDE reste invariable, et le mobile oscille ainsi entre les points fixes, D, E. Le mouvement est stable pour la forme (C), ou si la racine double à laquelle v reste égale n'est pas la plus grande racine de $V = 0$. Dans l'espace le mobile reste sur le parabolôïde de révolution décrit par la courbe DE autour de l'axe.

Second cas : La forme est (C) pour u , (B), (B'), ou (A) pour v . La courbe (u) ou BE'E est constante; la courbe (v) peut osciller entre CE et C'E' ou descendre. Ainsi le mobile reste sur la parabole fixe BE'E, ou oscillant entre les points fixes E, E', ou descendant indéfiniment, soit à partir de sa position initiale, soit après avoir remonté quelque temps.

Dans l'espace la trajectoire est située sur le parabolôïde de révolution décrit par BE en tournant autour de l'axe.

Troisième cas : La forme est (C) pour u , (C) ou (C') pour v . Ce cas est le plus remarquable à cause de sa simplicité; u et v étant constants, de même que la valeur (3) de $\frac{d\varphi}{dt}$, le mobile décrit d'un mouvement uniforme une circonférence horizontale ayant son centre sur OZ.

Soit a la racine double à laquelle v reste égale et b la troisième racine, $V = 0$ en ayant nécessairement trois positives. Supposons d'abord a et b données, ce qui détermine h, h', c ; on aura ainsi d'après les formules (17)

$$V = g(v-a)^2(v-b), \quad U = 4k^2u - g(u+a)^2(u+b).$$

En désignant par f la racine double à laquelle u reste égale, elle doit satisfaire les conditions $U = 0, \frac{dU}{du} = 0$; en posant $\frac{k^2}{g} = l^2$ il en résulte

$$4l^2f - (f+a)^2(f+b), \quad 4l^2 = 2(f+a)(f+b) + (f+a)^2.$$

Ainsi a et b ne peuvent être quelconques, et en supposant a donnée, b et f en sont des fonctions. En soustrayant de la première équation la seconde multipliée par f , on a

$$0 = (f+a)(a-f)(f+b) - f(f+a)^2,$$

et en substituant la valeur de $f+b$ dans la première équation, on trouve

$$(23) \quad f+b = \frac{f(f+a)}{a-f}, \quad 4l^2(a-f) = (a+f)^2.$$

Comme a et f sont les valeurs de u et v pour le mobile, la seconde équation peut s'écrire

$$8l^2z = (2r)^2 \quad \text{ou} \quad \frac{k^2z}{r^2} = g.$$

Cette équation représente le lieu des points M où l'on peut supposer le mobile placé dans le plan méridien; ce sont aussi les points où la composante verticale de l'attraction fait l'équilibre à la pesanteur. Quelle que soit la position de M sur cette courbe, les forces se réduisent à la composante horizontale de l'attraction ou $\frac{k^2r'}{r^3}$; d'autre part la vitesse angulaire étant $\frac{d\varphi}{dt}$, la force dirigée vers l'axe et capable de faire décrire une circonférence de rayon r' est d'après l'équation (3) $r' \frac{d^2\varphi}{dt^2}$ ou $\frac{c^2}{r'^3}$, de sorte qu'on doit avoir

$$\frac{c^2}{r'^3} = \frac{k^2r'}{r^3}, \quad c^2 = \frac{k^2r'^4}{r^3}.$$

On le vérifie aisément en remarquant que la valeur

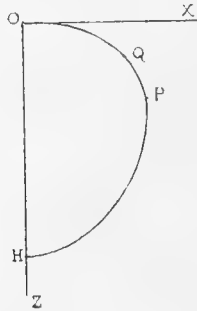
$$V = g(v-a)^2(v-b),$$

comparée à la formule (8), donne $c^2 = ga^2b$, et d'après les formules (23)

$$b = \frac{f(f+a)}{a-f} - f = \frac{2f^2}{a-f}, \quad r^2 = \frac{2ga^2f^2}{a-f} = \frac{2k^2a^2f^2}{l^2(a-f)} = \frac{8k^2a^2f^2}{(a+f)^4}.$$

Or on a $a + f = u + v = 2r$, $af = uv = r'^2$ d'où $c^2 = \frac{k^2r'^4}{r^3}$ comme ci-dessus.

Forme de la courbe. Pour simplifier rapportons-la aux coordonnées x et z , OX étant horizontal. D'après l'équation $z^2 = r^3$, $\frac{z}{r}$ et par suite z



croissent en même temps que r à partir de o ; la tangente est donc horizontale en O, $\frac{z}{r}$ étant nul. La courbe se termine en H au point où $\frac{z}{r} = 1$, $z = r = l$, de sorte que OH = l . La différentielle logarithmique de l'équation est

$$\frac{3 dr}{r} = \frac{dz}{z} \quad \text{ou} \quad 3z(xdx + zdz) = (x^2 + z^2) dz.$$

En posant $\frac{dx}{dz} = x'$, $\frac{dx'}{dz} = x''$, et différentiant de nouveau on trouve

$$3zx' = x^2 - 2z^2, \quad 3zx'' = -3x'^2 - xx'' - 4z,$$

et en substituant dans la seconde $xx' = \frac{x^2}{3z} - \frac{2z}{3}$, on voit que la valeur de x' est entièrement négative; la courbe est donc partout concave vers l'axe OZ.

Au point H on a $x = 0$, $z = l$, et x' est infini; la tangente est donc horizontale; elle devient verticale au point P où $x' = 0$, $x^2 = 2z^2$, $r^2 = 3z^2$, ce qui donne $\frac{z}{r} = \frac{1}{\sqrt{3}}$, $r^2 = \frac{l^4}{\sqrt{3}}$, $z^2 = \frac{l^2}{\sqrt{27}}$, $x = z\sqrt{2}$; ainsi le rayon de la plus grande circonférence que le mobile puisse décrire est $l\sqrt{\frac{4}{27}}$.

La forme de variation de u est stable; celle de v est (C) ou (C'); pour qu'elle soit (C) ou stable il faut que a ne soit pas la plus grande racine de $V = 0$ ou qu'on ait $b > a$. D'après la première équation (23) cette condition est

$$\frac{f(f+a)}{a-f} > f+a, \quad \text{ou } 2f > a, \quad 2(r-z) > r+z, \quad \frac{z}{r} < \frac{1}{3}.$$

Elle sera remplie pour tous les points de l'arc OQ, en supposant $z = \frac{r}{3}$ en Q; pour ce point on a $b = a$, et la racine a est triple, et pour toute position de M sur l'arc HQ la forme de variation de v est (C') au lieu de (C). La relation $\frac{z}{r} = \frac{1}{3}$ donne $r = \frac{l}{\sqrt{3}}$, $x = \frac{r\sqrt{8}}{3} = l\sqrt{\frac{8}{27}}$. C'est la limite des rayons des circonférences que le mobile peut décrire d'un mouvement stable.

N° 16. *Asymptotes de la trajectoire dans les mouvements de chute.* Soit qu'on ait $c = 0$ ou > 0 nous n'avons à chercher une asymptote que si la forme de variation de v est indéfinie. En outre pour éviter des complications inutiles nous pouvons choisir la position initiale de façon que v soit déjà croissant.

En supposant la variation de u périodique, la relation $I = I'$, d'après les formules (14) et (15) peut s'écrire

$$\int_{\theta_0}^{\theta} \frac{d\theta}{\sqrt{R}} = \frac{1}{2} \int_{v_0}^v \frac{dv}{\sqrt{V}},$$

θ correspondant à u ; le signe \pm est supprimé, v étant croissant.

Nous avons vu au n° 6 que v et t croissant à l'infini la seconde intégrale reste limitée; il en est donc de même de la première. Ainsi, R restant inférieur à un certain maximum, il faut que θ n'augmente pas à l'infini et s'approche d'une valeur fixe θ_1 ; u et R convergent donc vers des limites correspondantes u_1 , R_1 . La formule ci-dessus est satisfaite en supposant v infini et $\theta = \theta_1$; en soustrayant du résultat la première égalité il en résulte

$$\int_{\theta_0}^{\theta_1} \frac{d\theta}{\sqrt{R}} = \frac{1}{2} \int_v^{\infty} \frac{dv}{\sqrt{V}}.$$

Le premier membre ne change pas en remplaçant R par une valeur moyenne convenable et la supposant constante; en multipliant en outre l'égalité par \sqrt{v} on a ainsi

$$\frac{(\theta_1 - \theta) \sqrt{v}}{\sqrt{R}} = \frac{1}{2} \sqrt{v} \int_v^{\infty} \frac{dv}{\sqrt{V}}.$$

D'après la formule (16) quand v augmente, le second membre converge vers $\frac{1}{\sqrt{g}}$; en même temps R a pour limite R_1 . Il en résulte

$$\text{limite } (\theta_1 - \theta) \sqrt{v} = \sqrt{\frac{R_1}{g}},$$

quand v croit à l'infini, θ convergeant vers θ_1 .

On a ensuite

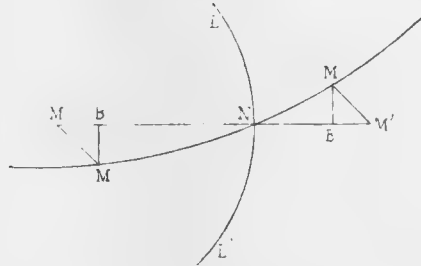
$$\sqrt{u_1 v} - \sqrt{uv} = \frac{\sqrt{u_1} - \sqrt{u}}{u_1 - u} \times \frac{u_1 - u}{\theta_1 - \theta} \times (\theta_1 - \theta) \sqrt{v};$$

la limite du dernier facteur est $\sqrt{\frac{R_1}{g}}$; pour les deux autres, $u_1 - u$ et $\theta_1 - \theta$ devenant infiniment petits, elle est évidemment $\frac{d\sqrt{u}}{du}, \frac{du}{d\theta}$, en remplaçant après les différentiations θ et u par leurs limites θ_1, u_1 . Il en résulte

$$\text{limite } (\sqrt{u_1 v} - \sqrt{uv}) = \alpha,$$

α étant une quantité finie, positive ou négative, en général différente de 0, et qui sera connue dans chaque cas particulier si l'on a calculé θ_1 .

Premier cas : Supposons $c = 0$. Soit LL' dans le plan méridien la courbe (u) correspondant à la limite $u = u_1$, et supposons le mobile en



M quand v est devenu déjà très grand; MN est sa courbe (v) coupant LL' en N, et sur laquelle M peut se trouver de deux côtés différents. Menons l'horizontale NBM' et la verticale MB.

La distance à l'axe est \sqrt{uv} pour M, $\sqrt{u_1 v}$ pour le point N où v est le même. Il en résulte $\sqrt{u_1 v} - \sqrt{uv} = + NB$ si M est à gauche, et $- NB$

s'il est à droite; cette ligne convergeant vers α reste finie. La tangente à LL' en N approche constamment d'être verticale, et par suite la tangente à NM d'être horizontale; la courbure diminuant, NM sur une longueur finie approche aussi d'être rectiligne, et se confond sensiblement avec une droite horizontale. Par conséquent MB décroît sans limite; il en est de même de BM', en prenant NM' = α , limite de NB, et par suite MM' converge vers α .

Si par tous les points de la parabole LL' on mène des horizontales de même longueur NM' ou α , leurs extrémités seront le lieu des points M', ou l'asymptote du mouvement, puisque le point M finira par devenir infiniment voisin de cette courbe. Cette asymptote est donc une parabole qu'on déduit de LL' en la transportant dans son plan par une translation horizontale, ou parallèlement à elle-même, à une distance α d'un côté ou de l'autre suivant le signe d' α .

Second cas : Supposons $c > 0$. D'après la formule (14) appliquée à u , l'équation (11) peut s'écrire

$$\varphi - \varphi_0 = c \int_{\theta_0}^{\theta} \frac{d\theta}{u \sqrt{R}} + \frac{c}{2} \int_{v_0}^v \frac{dv}{v \sqrt{V}}, \quad u = a \cos^2 \theta + b \sin^2 \theta;$$

u restant compris entre a et b , et θ ne dépassant pas θ_1 , le premier terme reste limité. Il en est de même du second; en effet en prolongeant l'intégrale à l'infini on a

$$\int_v^{\infty} \frac{dv}{v \sqrt{V}} < \frac{1}{v^2} \int_v^{\infty} \frac{dv}{\sqrt{V}},$$

puisque la lettre v sous le signe \int dépasse celle qui sert de limite inférieure; or nous savons que la seconde intégrale est limitée. On voit aussi que

$$\sqrt{v} \int_v^{\infty} \frac{dv}{v \sqrt{V}} < \frac{1}{\sqrt{v}} \int_v^{\infty} \frac{dv}{\sqrt{V}};$$

cette quantité décroît donc sans limite quand v augmente.

Le second terme de $\varphi - \varphi_0$ restant fini, φ approche d'une limite φ_1 , de sorte que le plan méridien ne tourne pas indéfiniment. La valeur de $\varphi - \varphi_0$ reste exacte en remplaçant φ et θ par φ_1 , θ_1 , v étant infini. En soustrayant du résultat la formule elle-même, on a

$$\varphi_1 - \varphi = c \int_0^{\theta_1} \frac{d\theta}{u \sqrt{R}} - \frac{c}{2} \int_v^{\infty} \frac{dv}{v \sqrt{V}}.$$

En supposant v très grand, et u , θ , R très près de leurs limites, on peut remplacer dans le premier terme u et R par des valeurs moyennes constantes, et en multipliant l'égalité par \sqrt{v} on trouvera

$$(\varphi_1 - \varphi) \sqrt{v} = \frac{c(\theta_1 - \theta) \sqrt{v}}{u \sqrt{R}} + \frac{c}{2} \sqrt{v} \int_v^{\infty} \frac{dv}{v \sqrt{V}}.$$

Nous venons de voir que le second terme a une limite nulle; celle de $(\theta_1 - \theta) \sqrt{v}$ est finie, et par suite il en est de même pour $(\varphi_1 - \varphi) \sqrt{v}$; en posant

$$\text{limite } (\varphi_1 - \varphi) \sqrt{uv} = \beta,$$

β sera une quantité finie, positive, en général différente de α .

Prenons pour plan de la figure employée ci-dessus le plan méridien dans sa position limite correspondant à $\varphi = \varphi_1$; soit encore LL' la courbe (u) correspondant à $u = u_1$, et en supposant v très grand, soit MN la courbe (v) et M le point correspondant à v et u ; ce n'est pas la position du mobile m , le plan méridien qui le contient ayant pour angle polaire φ au lieu de φ_1 . Ainsi on ramènerait le point M en m en faisant tourner le plan de la figure autour de l'axe d'un angle $\varphi_1 - \varphi$; l'arc mM ayant pour rayon r' ou \sqrt{uv} , sa longueur est $(\varphi_1 - \varphi) \sqrt{uv}$ et converge vers β quand v augmente; en même temps le rayon croissant à l'infini, l'arc devient sensiblement rectiligne. Par conséquent si l'on mène par M une perpen-

diculaire au plan de la figure, de longueur β , le point m finira par être infiniment voisin de son extrémité, et il en est de même si on la mène par M' , la distance MM' convergeant vers o . L'asymptote du mouvement est donc le lieu des points M'' situés à la distance β de la figure et se projetant sur les points M' . Le lieu de ceux-ci comme on l'a vu est une parabole déduite de LL' par un premier déplacement; si on la transporte de nouveau dans un plan parallèle, à la distance β , par une translation perpendiculaire au plan, elle deviendra le lieu des points M'' , ou l'asymptote cherchée.

Dans le cas où la forme de variation de u ne serait pas oscillatoire, et où l'on aurait $u = \text{const.}$, le mobile dans le plan méridien resterait toujours sur la parabole LL' correspondant à u , et par suite si $c = o$ il n'y aurait pas d'asymptote à chercher. Si $c > o$ on verrait comme ci-dessus que l'asymptote se déduit de LL' en la transportant en avant de la figure à la distance β . Toutefois le mobile doit rester toujours sur le parabolôide de révolution décrit par LL' ; aussi est-il alors préférable de prendre pour asymptote, au lieu de la précédente qui n'est pas sur la surface, la section faite dans le parabolôide par un plan parallèle à celui de la figure à la distance β . En effet la droite joignant deux points situés à la même hauteur sur cette asymptote et sur LL' approche constamment d'être perpendiculaire au plan et de longueur β ; en général si l'asymptote d'une courbe est non une droite mais une parabole; elle est multiple, parce que deux paraboles peuvent être asymptotes l'une de l'autre. Il en est ainsi quand elles ont le même plan, le même axe, le même paramètre et des sommets différents.

N^o 17. *Remarques sur la nature de la trajectoire dans les mouvements ordinaires de circulation. Transformation des relations entre u , v et φ .*

Nous avons vu aux n^{os} 13 et 14 que dans le plan méridien, soit qu'on ait $c = o$ ou $> o$, le mobile dans un mouvement de circulation se déplace

à l'intérieur d'un contour fermé, et que sa trajectoire dans le plan est rentrante si les périodes p, p' définies par les formules (22) ont un rapport rationnel. Si cela n'a pas lieu nous démontrerons que la trajectoire *épuse* l'aire intérieure au contour, c'est-à-dire que toute portion de cette aire, quelque petite qu'elle soit, sera traversée par le mobile un nombre infini de fois.

Dans le cas où $c > 0$ le mobile dans l'espace circule autour de l'axe à l'intérieur d'une surface de révolution de forme annulaire, et l'on peut se demander de même si la trajectoire épuse le volume intérieur, c'est-à-dire si toute portion de ce volume, quelque petite qu'elle soit, finit par être traversée.

Soit qu'il s'agisse du mouvement dans un plan ou dans l'espace, la question revient à la suivante : Étant donné un point Π quelconque intérieur à l'aire ou au volume, le mobile finira-t-il par en passer à une distance inférieure à toute grandeur donnée.

Nous supposerons d'abord qu'il s'agisse d'un point Π déterminé, donné dans l'espace, et pour exprimer analytiquement la condition précédente nous devons transformer les relations entre u, v , et φ . Les variations de u et v ayant la forme (A), nous pouvons poser

$$u = a \cos^2 \theta + b \sin^2 \theta, \quad v = a' \cos^2 \theta' + b' \sin^2 \theta',$$

et nous considérons comme invariables les constantes h, h', c , de même que les racines a, b, a', b' , toutes positives et différentes de 0. Les relations entre θ, θ' et φ sont exprimées par les formules (19) et (21). En supposant $a > b$, u décroît de a à b quand θ varie de 0 à $\frac{\pi}{2}$, et croît de b à a quand θ varie de $\frac{1}{2}\pi$ à π ; quelle que soit la position initiale du mobile, et soit que u soit alors croissant ou décroissant, nous pouvons donc admettre que θ est compris entre 0 et π , et il en est de même pour θ' . Nous supposerons que pour le point donné Π on ait $\varphi = \beta$, $\theta = \alpha$, $\theta' = \alpha'$, β étant compris entre 0 et 2π , α et α' entre 0 et π . La valeur de

u en Π correspond à la fois à $\theta = \alpha$, $\theta = \pi - \alpha$, suivant que u est croissant ou décroissant; nous supposons qu'on ait choisi pour α une quelconque des deux valeurs, de même que pour α' ; ce qui suit s'appliquera également au cas où elles auraient été choisies d'une autre manière.

Comme α , α' , β sont donnés, si dans les formules (19) et (21) nous prenons α , α' pour limites inférieures des intégrales au lieu de θ_0 , θ_0' , nous ne ferons qu'altérer chacune d'elles d'une constante; si nous substituons $\varphi - \varphi_0 = \varphi - \beta + \beta - \varphi_0$, la constante $\beta - \varphi_0$ se confondra avec les autres. Ces formules peuvent donc s'écrire

$$(24) \quad \int_{\alpha}^{\theta} \frac{d\theta}{\sqrt{R}} - \int_{\alpha'}^{\theta'} \frac{d\theta'}{\sqrt{R'}} = D, \quad \varphi - \beta + 2\pi D' = c \left[\int_{\alpha}^{\theta} \frac{d\theta}{u\sqrt{R}} + \int_{\alpha'}^{\theta'} \frac{d\theta'}{v\sqrt{R'}} \right],$$

D , D' étant des constantes connues.

Quelques soient θ , θ' , φ , on peut poser

$$(25) \quad \theta - \alpha = n\pi + x, \quad \theta' - \alpha' = n'\pi + x', \quad \varphi - \beta = 2\pi(n'' + y),$$

n , n' , n'' étant des entiers, x et x' étant compris entre $\pm \frac{\pi}{2}$, et y entre $\pm \frac{1}{2}$. De la sorte, θ , θ' , φ étant donnés, n , n' , n'' , x , x' , y , sont complètement déterminés, en convenant que x et x' sont $=$ ou $< \frac{\pi}{2}$, mais $> -\frac{\pi}{2}$, et que $y =$ ou $< \frac{1}{2}$ mais $> -\frac{1}{2}$.

En remplaçant \sqrt{R} par une valeur moyenne constante, on a

$$\int_{\alpha}^{\alpha+x} \frac{d\theta}{\sqrt{R}} = \frac{x}{\sqrt{R}},$$

où \sqrt{R} est supérieur à un minimum différent de 0; cette remarque s'étend au cas où \sqrt{R} serait remplacé par $u\sqrt{R}$, u étant toujours supérieur à b ; en raisonnant de même pour les intégrales contenant θ' , on aura

$$(26) \int_{\alpha}^{\alpha+x} \frac{d\theta}{\sqrt{R}} = Xx, \int_{\alpha'}^{\alpha'+x'} \frac{d\theta'}{\sqrt{R'}} = X'x', \int_{\alpha}^{\alpha+x} \frac{d\theta}{u\sqrt{R}} = Yx, \int_{\alpha'}^{\alpha'+x'} \frac{d\theta'}{v\sqrt{R'}} = Y'x',$$

X, Y, X', Y' étant des fonctions de x, x' , toutes comprises, quels que soient x, x' , entre un maximum μ et un minimum μ' tous deux positifs et différents de 0; il est aisé de voir que les relations précédentes sont encore exactes en supposant x ou x' négatif, auquel cas l'intégrale l'est aussi.

Soient p, p', q, q' , les périodes des intégrales, ou

$$(27) \quad p = \int_{\alpha}^{\alpha+\pi} \frac{d\theta}{\sqrt{R}}, \quad p' = \int_{\alpha'}^{\alpha'+\pi} \frac{d\theta'}{\sqrt{R'}}, \quad q = \int_{\alpha}^{\alpha+\pi} \frac{d\theta}{u\sqrt{R}}, \quad q' = \int_{\alpha'}^{\alpha'+\pi} \frac{d\theta'}{v\sqrt{R'}},$$

les deux premières étant les valeurs (22) déjà employées.

Comme on l'a déjà vu, quelque soit ω on a

$$\int_{\omega}^{\omega+n\pi+\omega} \frac{d\theta}{\sqrt{R}} = np;$$

en outre la première équation (25) donne $\theta = \alpha + x + n\pi$; ainsi d'après les formules (26) on a

$$\int_{\alpha}^{\theta} \frac{d\theta}{\sqrt{R}} = \int_{\alpha}^{\alpha+x} \frac{d\theta}{\sqrt{R}} + \int_{\alpha+x}^{\alpha+x+n\pi} \frac{d\theta}{\sqrt{R}} = Xx + np.$$

En transformant de la même manière les autres intégrales et substituant $\varphi - \beta = 2\pi(n'' + y)$, les formules (24) deviennent

$$Xx + np - X'x' - n'p = 0,$$

$$2\pi(n'' + y) + 2\pi D' = c \left[Yx + nq + Y'x' + n'q' \right],$$

qu'il est préférable d'écrire ainsi :

$$(28) \quad np - n'p' - D = s, \quad \frac{c}{2\pi} (nq + n'q') - D' - n'' = s',$$

$$(29) \quad s = X'x' - Xx, \quad s' = y - \frac{c}{2\pi} (xY + x'Y'),$$

s et s' étant des quantités auxiliaires.

Ce qui précède comprend le cas où l'on a $c = 0$. La forme de variation pour le mouvement de circulation est alors (A') pour u et v comme on l'a vu au n° 13; u et v s'expriment au moyen de θ, θ' de la même manière que ci-dessus, sauf qu'on a $b = 0, b' = 0$. En donnant à α, α', x, x' la même signification, la relation entre θ et θ' est l'équation (19) qui peut encore se mettre sous la forme (24); les deux premières formules (26) restent exactes, et la relation entre θ et θ' ou x et x' se ramène comme ci-dessus à l'égalité des valeurs (28) et (29) de s .

Il en est de même quand $c > 0$ si l'on se borne aux propriétés de la trajectoire dans le plan méridien.

N° 18. *Analyse de la propriété de la trajectoire mentionnée au n° précédent.* En supposant donnée la position d'un point H nous devons chercher soit les valeurs de θ, θ', φ , si elles existent, pour lesquelles le mobile passe en H, soit celles pour lesquelles il en passe à une distance inférieure à un maximum donné δ très petit.

Pour qu'il passe en H il faut d'abord, s'il s'agit du mouvement dans l'espace, que $\varphi - \beta$ soit un multiple de 2π ou d'après les formules (25) qu'on ait $y = 0$. Ensuite, u' et v' étant les valeurs de u, v en H, il faut que $u = u', v = v'$; en outre si $c = 0$ auquel cas l'axe est traversé par le mobile M, il faut que M et H soient du même côté de l'axe.

L'équation $u = u'$, si θ est compris entre 0 et π , a pour solution comme on l'a vu $\theta = \alpha, \theta = \pi - \alpha$; θ étant quelconque, il faut qu'à un

multiple près de π , on ait $\theta = \alpha$ ou $\pi - \alpha$. Mais nous ne nous occupons ici que de la première solution; pour la seconde l'analyse serait pareille, en donnant à α la seconde valeur. Or d'après les formules (25) cette solution signifie que $x = o$, et quand M doit passer très près de H nous admettrons également que $\theta - \alpha$ doit différer très peu d'un multiple de π , ou que x doit être très petit. La même remarque s'applique à x' , et par suite, M passant en H , on doit avoir $x = o$, $x' = o$, $y = o$.

Les équations (29) donnent alors $s = o$, $s' = o$, et par suite n , n' , n'' devront être choisis dans les équations (28) de façon que s et s' soient nuls. Cela se peut pour certaines positions de H , ou pour certaines valeurs de D , D' , qui dépendent de ces positions, et dans ce cas les valeurs de θ , θ' , φ sont ainsi trouvées, mais ce n'est pas possible d'une manière générale.

Si M doit passer très près de H , il est évident par ce qui précède que x , x' , y , et par suite s , s' , doivent être très petits; on doit donc trouver des valeurs de n , n' , n'' pour lesquelles il en soit ainsi. Pour abrégé nous dirons que n , n' , n'' *satisfont la condition* (λ) si on les choisit de telle manière que les valeurs (28) de s , s' soient numériquement inférieures à un petit nombre donné λ ; on ne sait d'avance si c'est possible à la fois pour toutes les positions de M , puisque les valeurs (28) en dépendent; mais pour une position donnée il est évident que la condition devra pouvoir être satisfaite même en supposant λ aussi petit qu'on voudra si M doit passer à une distance de H d'une petitesse indéfinie.

Supposons maintenant connus des entiers n , n' , n'' satisfaisant la condition (λ) pour une valeur donnée de λ et pour une position déterminée de H . De la sorte les valeurs (28) de s , s' sont connues. Dans les formules (29) on suppose numériquement $x < \frac{\pi}{2}$, $x' < \frac{\pi}{2}$, $y < \frac{1}{2}$, ce qui les rendrait impossibles si s , s' dépassaient certaines limites; mais comme ils sont inférieurs à λ nous pouvons admettre que cet inconvénient ne se présente pas. Alors une infinité de valeurs de x , x' satisfont la première formule (29) et la seconde détermine ensuite

$$y = s' + \frac{c}{2\pi} (xY + x'Y').$$

Nous avons dit plus haut que si **MH** est très petit, s, s' le sont aussi, mais on voit que la réciproque est en général inexacte; seulement parmi ces systèmes de valeurs de x, x' , nous allons en chercher un pour lequel **MH** soit très petit. Or il suffit pour cela de supposer x, x' de signe contraire, y compris le cas où l'une serait nulle. En effet on a alors numériquement $xX < s, x'X' < s$; d'ailleurs X, X', Y, Y' sont compris entre un maximum μ et un minimum μ' tous deux positifs et différents de 0, et en outre $s < \lambda, s' < \lambda$. On conclut aisément de ces relations et de la valeur ci-dessus de y les inégalités numériques $x < \frac{s}{\mu'}, xY < \frac{s\mu}{\mu'}$, c'est-à-dire

$$(30) \quad x < \frac{\lambda}{\mu'}, \quad x' < \frac{\lambda}{\mu'}, \quad y < \lambda \left[1 + \frac{c\mu}{\pi\mu'} \right].$$

Soient comme précédemment u', v' , les valeurs de u, v en **II**, et ε le dièdre des plans méridiens de **M** et **II**, ou $\varepsilon = 2\pi y$. On a

$$u = a \cos^2 \theta + b \sin^2 \theta, \quad \frac{du}{d\theta} = -(a-b) \sin 2\theta.$$

Le maximum de $\frac{du}{d\theta}$ est $a-b$; si donc θ varie de $n\pi + \alpha$ à $n\pi + \alpha + x$, l'accroissement $u - u'$ de u est au plus $(a-b)x$; de même $v - v' < (a' - b')x'$, et en remarquant que $\varepsilon = 2\pi y$ on a numériquement, d'après les formules (30),

$$u - u' < \delta', \quad v - v' < \delta'', \quad \varepsilon < \delta''',$$

en posant

$$\delta' = \frac{(a-b)\lambda}{\mu'}, \quad \delta'' = \frac{(a'-b')\lambda}{\mu'}, \quad \delta''' = 2\pi\lambda \left[1 + \frac{c\mu}{\pi\mu'} \right].$$

Ensuite, en supposant Π dans l'espace, soit z' son ordonnée, ρ' sa distance à l'axe, ρ étant celle de M . On trouve aisément

$$MII^2 = (z' - z)^2 + \rho^2 + \rho'^2 - 2\rho\rho' \cos \varepsilon = (z' - z)^2 + (\rho + \rho')^2 \sin^2 \frac{\varepsilon}{2} + (\rho - \rho')^2 \cos^2 \frac{\varepsilon}{2},$$

et en remplaçant chaque terme par une limite supérieure, nommant δ^2 leur somme, on aura $MII < \delta$.

Dans le premier terme

$$z' - z = \frac{v' - u'}{2} - \frac{v - u}{2}, \text{ ou } (z' - z)^2 < \left(\frac{\delta' + \delta''}{2} \right)^2.$$

Dans les autres $\rho = \sqrt{uv}$, $\rho' = \sqrt{u'v'}$, $u < a$, $u' < a$, $v < a'$, $v' < a'$; par suite

$$(\rho + \rho')^2 \sin^2 \frac{1}{2} \varepsilon < (2\sqrt{aa'})^2 \frac{\varepsilon^2}{4} < aa' \delta''^2,$$

$$(\rho - \rho')^2 \cos^2 \frac{1}{2} \varepsilon < (\sqrt{uv} - \sqrt{u'v'})^2 < (\sqrt{uv} + \sqrt{u'v'}) (\sqrt{uv} - \sqrt{u'v'}),$$

et cette expression peut s'écrire

$$(u - u')v + (v - v')u < a'\delta' + a\delta''.$$

Comme δ' , δ'' , δ''' sont proportionnels à λ , les deux premiers termes le seront à λ^2 , le troisième à λ , d'où résulte

$$\delta^2 < G^2 \lambda^2 + G'^2 \lambda,$$

G^2 , G'^2 étant des quantités positives, fonctions uniquement des constantes absolues g , k , et des constantes h , h' , c du mouvement, que nous considérons comme invariables. En effet a , b , a' , b' , μ , μ' , ne sont fonctions que de ces lettres, et il en est de même des coefficients de λ dans les valeurs ci-dessus de δ' , δ'' , δ''' .

Par conséquent, λ étant donné de même que des entiers n , n' , n''

satisfaisant la condition (λ), on peut leur associer des valeurs de x, x', y , ou de θ, θ', φ , telles que pour la position correspondante du mobile on ait $MH < \delta$, δ étant indépendant de la position de H , de la position initiale du mobile, et devenant infiniment petit en même temps que λ .

N° 19. *Extension des résultats précédents aux trajectoires planes.* Dans ces résultats nous avons supposé le point H dans l'espace; s'il ne s'agit que de la trajectoire dans le plan méridien nous avons vu que les formules (28) et (29) se réduisaient à la première. Si $c > 0$, le mobile n'atteignant jamais l'axe, il est aisé de vérifier que le résultat énoncé à la fin du n° précédent reste le même, la condition (λ) ne concernant plus que la première formule (28). Mais dans le cas où $c = 0$ il ne suffit plus que $u - u'$ et $v - v'$ deviennent très petits pour qu'il en soit de même de MH ; il faut de plus que M et H se trouvent du même côté de l'axe. Cette condition est superflue si M ou H est sur l'axe; c'est ce qui a lieu pour H si α ou $\alpha' = \frac{1}{2}\pi$; supposons qu'il n'en est pas ainsi.

En général u ou v s'annule toutes les fois que θ ou θ' a la forme $(i + \frac{1}{2})\pi$, i étant un entier; soient N, N' le nombre de fois que cela a lieu pendant que θ croît de θ_0 à $n\pi + \alpha$, ou θ' de θ'_0 à $n'\pi + \alpha'$; il ne peut en être ainsi pour les valeurs finales, α et α' étant différents de $\frac{1}{2}\pi$; si cela avait lieu pour θ_0 ou θ'_0 , la position initiale étant alors sur l'axe, nous ne compterions pas cette annulation dans le nombre N ou N' , et nous prendrions comme côté de l'axe où se trouve la position initiale celui vers lequel le mobile se dirige en premier lieu; u s'annule une fois quand θ croît de $i\pi + \alpha$ à $(i + 1)\pi + \alpha$; par suite $N - n$ est constant, et il en est de même de $N' - n'$; nous pouvons donc poser

$$N + N' = E + n + n',$$

E étant un entier connu d'après la position initiale du mobile et celle de II.

Comme précédemment nous admettrons que n, n' satisfont la condition (λ) pour la première formule (28) seulement, et s étant connu nous donnerons à x, x' des valeurs quelconques de signe contraire, de façon à satisfaire la condition $s = x'X' - xX$. Les relations (30) seront alors exactes et la position actuelle M du mobile correspondra à x, x' ou à $\theta = n\pi + \alpha + x, \theta' = n'\pi + \alpha' + x'$.

Si θ ne passe pas par une valeur de la forme $(i + \frac{1}{2})\pi$ en variant de $n\pi + \alpha$ à $n\pi + \alpha + x$, le nombre total N d'annulations de u qui convenait pour $\theta = n\pi + \alpha$ sera le même pour $\theta = n\pi + \alpha + x$, ou pour la position M; si au contraire cela a lieu nous pourrons en diminuant numériquement x et augmentant x' faire en sorte que $n\pi + \alpha + x$ ait exactement la forme $(i + \frac{1}{2})\pi$, auquel cas M étant sur l'axe il n'y a aucune condition à poser. La même remarque s'étendant à θ' , il reste à examiner le seul cas où N, N' sont bien le nombre total d'annulations de u ou v depuis la position initiale du mobile jusqu'à la position M. Le mobile se trouvera donc du même côté de l'axe que dans sa position initiale ou du côté opposé suivant que $N + N'$ ou $E + n + n'$ est pair ou impair.

Or avant d'avoir trouvé x, x' et même les valeurs de n, n' , on connaît déjà le nombre E et le côté de l'axe où se trouve la position initiale; on sait par conséquent si $E + n + n'$ et par suite si $n + n'$ doit être pair ou impair, pour que M et II soient du même côté. C'est ce que nous nommerons la *condition de parité* qui devra être satisfaite outre la condition (λ). Mais il n'en résultera aucune complication, car en remplaçant suivant les cas n par $2i$ ou $2i + 1$, et n' par $2i'$ ou $2i' + 1$, i et i' étant des entiers, l'équation $np - n'p' - D = s$ se changera en

$$2ip - 2i'p' - D'' = s \quad \text{ou} \quad ip - i'p' - \frac{1}{2}D'' = \frac{1}{2}s,$$

D'' étant une nouvelle constante, et comme il importe peu pour la

condition (λ) qu'on suppose s ou $\frac{1}{2}s$ inférieur à λ , la condition aura la même forme, en écrivant n, n' au lieu de i, i' . Seulement le nombre de fois que θ contient π ne sera plus n mais $2n$ ou $2n + 1$. Une fois cette condition satisfaite, **M** et **II** seront du même côté de l'axe, et le résultat indiqué à la fin du n° précédent deviendra exact.

N° 20. *Simplification de la condition (λ). Application aux trajectoires planes.* Cette condition constitue maintenant la seule question à résoudre, purement arithmétique, ou la recherche des entiers n, n', n'' ; ceux-ci toutefois doivent correspondre à une époque postérieure à l'époque initiale; cela suffit pour que toutes les formules soient applicables. Voici ce que signifie cette condition.

Dans les formules (25) on a attribué à θ, θ' des valeurs correspondantes quelconques telles que $\theta > \theta_0, \theta' > \theta'_0$, l'une de ces relations entraînant l'autre.

Ensuite n est défini par l'équation $\theta - \alpha = n\pi + x$, où $x < \frac{1}{2}\pi$; si θ_0 est très petit, θ aussi, α très près de π , on trouve $n = -1$, et il peut arriver de même qu'on ait $n' = -1, n'' = -1$. Mais actuellement la valeur de n que nous chercherons, en faisant abstraction de celles de θ_0, α, x , doit, quels que soient ces nombres, correspondre à une époque postérieure à l'époque initiale, et pour cela nous admettrons que n doit être au moins égale à 2; on peut vérifier qu'il ne suffirait pas toujours de prendre $n = 1$. Il est ensuite inutile d'y joindre aucune condition relative à n' ou n'' .

En posant

$$(31) \quad \frac{p}{p'} = r, \quad \frac{c}{2\pi}(q + rq') = \rho,$$

la première équation (28) donne

$$n' = nr - \frac{D}{p'} - \frac{s}{p'},$$

et en substituant cette valeur dans la seconde, on trouve

$$nr - \frac{cDq'}{2\pi p'} - D - n' = \xi' + \frac{cq'}{2\pi p'} s,$$

ou

$$nr + f = n' + s'', \quad nr + f' - n'' + s''',$$

en posant

$$-\frac{D}{p'} = f, \quad -\frac{cDq'}{2\pi p'} - D = f', \quad \frac{s}{p'} = s'', \quad s' + \frac{cq'}{2\pi p'} s = s''.$$

De la sorte f, f' sont de nouvelles constantes connues. Quant à s'', s''' , il est clair qu'en les supposant inférieurs à λ, s et s' le seront à

$$p'\lambda, \quad \text{et} \quad \left(1 + \frac{cq'}{2\pi}\right)\lambda.$$

Il revient donc au même d'appliquer à s'', s''' la condition d'être inférieurs à λ et en posant

$$(32) \quad x = nr + f, \quad y = nr + f',$$

cette condition revient à *trouver un entier n tel que x et y se réduisent à des entiers avec une erreur inférieure à λ .*

La condition relative à x ne peut-être satisfaite en général si r est une fraction rationnelle $\frac{m}{l}$, m et l étant des entiers; car en multipliant la première équation (32) par l on aurait $lx - nm = lf$; or nm est entier et comme lx doit l'être à très peu près, il devrait en être de même de lf qui est une quantité donnée. Ce ne serait donc pas possible pour toutes sortes de positions de Π ou de valeurs de f .

Ce cas dans lequel le rapport $\frac{p}{p'}$ ou r est rationnel doit donc être

exclu, et l'on a vu d'ailleurs que la trajectoire plane était alors rentrante.

En supposant r irrationnel soit $\frac{P}{Q}$ une réduite quelconque de son développement en fraction continue, et $\frac{P'}{Q'}$ la suivante. On sait par la théorie de ces fractions que la différence

$$\beta = r - \frac{P}{Q} < \frac{1}{QQ'},$$

abstraction faite du signe. Désignons par F l'entier le plus rapproché de Qf , de sorte qu'on ait $Qf = F + \alpha$, α étant compris entre $\pm \frac{1}{2}$. En substituant

$$f = \frac{F + \alpha}{Q}, \quad r = \frac{P}{Q} + \beta,$$

la première équation (32) devient

$$x - e = \frac{nP + F}{Q}, \quad \text{où } e = n\beta + \frac{\alpha}{Q}.$$

Or P et Q étant premiers entre eux on peut trouver des entiers n, n' tels que

$$nP - n'Q + F = 0,$$

ou que $\frac{nP + F}{Q}$ soit un entier, et μ étant l'une des valeurs de n , la condition est encore satisfaite en prenant $n = \mu + tQ$, t étant un entier quelconque; on pourra donc supposer que μ ait l'une des valeurs $1, 2, 3, \dots, Q$. En même temps α sera à peu près l'entier n' et e exprimera l'erreur. On a vu que numériquement $\beta < \frac{1}{QQ'}$, $\alpha < \frac{1}{2}$; il en résulte la solution

$$(33) \quad n = \mu + tQ, \quad e < \frac{n}{QQ'} + \frac{1}{2Q}.$$

La condition relative à x suffit quand il s'agit d'une trajectoire plane, et comme on doit avoir $n = \text{ou} > 2$, on prendra $n = 1 + Q$ si $\mu = 1$, $n = \mu$ si $\mu > 1$; ainsi en tout cas

$$n = \text{ou} < Q + 1, \quad \frac{n}{QQ'} = \text{ou} < \frac{1}{Q}, \quad e < \frac{3}{2Q}.$$

En choisissant pour $\frac{P}{Q}$ une réduite suffisamment éloignée, e sera aussi petit qu'on voudra et par suite il en sera de même de la limite de distance δ ; en même temps le nombre de fois que π entre dans θ est au plus $2n + 1$ ou $2Q + 3$. Ainsi pendant que u fait un nombre $2Q + 3$ d'oscillations le mobile passe à une distance inférieure à δ de la totalité des points intérieurs à l'aire où il reste enfermé. Au bout de ce temps sa position actuelle pouvant de nouveau être prise comme initiale, la même chose se répétera pendant les $2Q + 3$ oscillations suivantes, et ainsi de suite indéfiniment, comme nous l'avions indiqué au n° 17.

N° 21. *Résolution de la question générale sauf un cas d'exception.* Dans la seconde équation (32) nous devons supposer que ρ comme r est irrationnel, sans quoi elle n'aurait pas de solution; λ étant donné nous poserons $\frac{\lambda}{\lambda} = M$; de la sorte c'est à $\frac{\lambda}{M}$ que les erreurs devront être inférieures. Nous choisirons la réduite $\frac{P}{Q}$ de r de façon qu'on ait $Q = \text{ou} > 2M^2$.

En substituant la valeur (33) de n dans la seconde équation (32) on a

$$y = tQ\rho + f'', \quad \text{où } f'' = \mu\rho + f',$$

de sorte que f'' est une constante connue, indépendante de t . Désignons par $\frac{S}{R}$ dans le développement de $Q\rho$ en fraction continue la première réduite dont le dénominateur soit au moins égal à M .

La différence

$$\beta' = Q\rho - \frac{S}{R} < \frac{1}{R^2},$$

abstraction faite du signe; soit en outre F' l'entier le plus rapproché de Rf'' , de sorte qu'on ait $Rf'' = F' + \alpha'$, α' étant compris entre $\pm \frac{1}{2}$. En substituant

$$Q\rho = \frac{S}{R} + \beta', \quad f'' = \frac{F' + \alpha'}{R},$$

l'équation ci-dessus devient

$$y - e' = \frac{tS + F'}{R}, \quad \text{où } e' = t\beta' + \frac{\alpha'}{R}.$$

Comme S et R sont premiers entre eux, on peut, comme on l'a vu dans un cas analogue, rendre

$$\frac{tS + F'}{R}$$

entier en donnant à t une des valeurs $1, 2, 3, \dots, R$; y sera alors entier sauf l'erreur e' ; on a numériquement

$$\beta' < \frac{1}{R^2}, \quad \alpha' < \frac{1}{2}, \quad t = \text{ou} < R,$$

d'où résulte

$$e' < \frac{t}{R^2} + \frac{1}{2R} \quad \text{ou} \quad e' < \frac{1}{R} + \frac{1}{2R},$$

et comme on a supposé $R = \text{ou} > M$ la condition demandée $e' < \frac{2}{M}$ est satisfaite pour y .

Quant à x , dans les formules (33) on a $\mu = \text{ou} > 1$, et comme t est au moins l'unité, $n > 2$.

En outre

$$a = \text{ou} < Q, \quad t = \text{ou} < R, \quad n = \text{ou} < Q(R + 1);$$

par conséquent

$$e < \frac{R}{Q} + \frac{1}{Q} + \frac{1}{2Q}.$$

Or on a supposé $Q = \text{ou} > 2M^2$, et comme $\frac{2}{M} = \lambda$, nous pouvons admettre que $M > 1$.

Il en résulte

$$\frac{1}{Q} + \frac{1}{2Q} < \frac{3}{2Q} < \frac{1}{M^2} < \frac{1}{M}.$$

La condition $e < \frac{2}{M}$ sera donc satisfaite si $\frac{R}{Q} = \text{ou} < \frac{1}{M}$ ou $R = \text{ou} < \frac{Q}{M}$, et il reste à examiner le seul cas où l'on aurait $R > \frac{Q}{M}$, le signe $>$ excluant l'égalité.

Nous avons pris pour $\frac{P}{Q}$ dans ce qui précède une réduite quelconque de r pour laquelle Q soit au moins $2M^2$; admettons maintenant que $\frac{P}{Q}$ soit la première satisfaisant cette condition, et désignons par $\frac{P'}{Q'}$, $\frac{P''}{Q''}$, etc. les suivantes. Le même essai que nous venons d'indiquer pourra être répété en employant $\frac{P'}{Q'}$, $\frac{P''}{Q''}$, etc. au lieu de $\frac{P}{Q}$, et si l'on ne trouve pas de solution, c'est qu'on aura une suite d'inégalités analogues à la précédente, c'est-à-dire

$$(34) \quad R > \frac{Q'}{M}, \quad R' > \frac{Q''}{M}, \quad R'' > \frac{Q'''}{M}, \text{ etc. ,}$$

en désignant par $\frac{S}{R}$, $\frac{S'}{R'}$, $\frac{S''}{R''}$, etc., dans les développements de Q_ρ , Q'_ρ , Q''_ρ , etc. en fraction continue, la première réduite dont le dénominateur soit au moins égal à M .

Avant d'indiquer s'il y a malgré cela une solution, il est nécessaire de chercher les relations résultant des inégalités (34).

N° 22. *Signification du cas d'exception précédent.* Vu la grandeur de M nous pouvons admettre que $2M'_\rho > 1$, d'où $Q_\rho > 1$, $Q'_\rho > 1$, etc.; ainsi la première réduite de Q_ρ en fraction continue, ayant pour dénominateur l'unité, est distincte de $\frac{S}{R}$ pour laquelle il est au moins égal à M . Désignons par $\frac{h}{g}$, $\frac{h'}{g'}$, $\frac{h''}{g''}$, etc., dans les valeurs de Q_ρ , Q'_ρ , etc., la réduite précédant immédiatement $\frac{S}{R}$, $\frac{S'}{R'}$, etc., et posons

$$(35) \quad Q_\rho = \frac{h}{g} + \delta, \quad Q'_\rho = \frac{h'}{g'} + \delta', \quad Q''_\rho = \frac{h''}{g''} + \delta'', \text{ etc.}$$

Les deux réduites étant consécutives, on a $\pm \delta < \frac{1}{gR}$; en outre $\frac{S}{R}$ est la première dont le dénominateur soit au moins égal à M , d'où $g < M$. Il en est de même pour δ' , etc., d'où résulte numériquement

$$(36) \quad \delta < \frac{1}{gR}, \quad \delta' < \frac{1}{g'R'}, \quad \delta'' < \frac{1}{g''R''}, \text{ etc., } g < M, \quad g' < M, \quad g'' < M, \text{ etc.}$$

Puisque $\frac{P}{Q}$, $\frac{P'}{Q'}$, etc., sont des réduites successives de r , on a

$$(37) \quad Q'' = iQ' + Q, \quad Q''' = i'Q'' + Q', \text{ etc., } P'' = iP' + P, \quad P''' = i'P'' + P', \text{ etc.,}$$

i , i' , i'' , etc., étant les quotients incomplets successifs. Par conséquent $Q_\rho + iQ'_\rho - Q''_\rho = o$, et en y substituant les valeurs (35)

$$(38) \quad o = \frac{h}{g} + \frac{ih'}{g'} - \frac{h''}{g''} + \frac{D}{gg'g''}, \quad \text{où } D = gg'g''(\delta + i\delta' - \delta'').$$

D'après les formules (36) on a numériquement

$$D < \frac{g'g''}{R} + \frac{igg''}{R'} + \frac{gg'}{R''} < M^2 \left(\frac{1}{R} + \frac{i}{R'} + \frac{1}{R''} \right),$$

et d'après les relations (34)

$$D < M^2 D', \quad \text{où } D' = \frac{1}{Q'} + \frac{i}{Q''} + \frac{1}{Q'''},$$

En outre

$$Q' > Q, \quad Q'' = iQ' + Q > (i+1)Q, \quad Q''' = ou > Q'' + Q' > (i+2)Q,$$

d'où

$$D' < \frac{1}{Q} \left[1 + \frac{i}{i+1} + \frac{1}{i+2} \right] = \frac{1}{Q} \left[2 - \frac{1}{(i+1)(i+2)} \right],$$

et comme

$$Q = ou > 2M^2, \quad D' < \frac{1}{M^2} \text{ et } D < 1.$$

D'ailleurs la relation (38) donnant

$$D = gg'h'' - igg'h' - g'g''h,$$

D ne peut être qu'un entier; par conséquent il est nul.

On pourrait répéter le même calcul en employant au lieu de la première relation (37) l'une des suivantes.

Ainsi l'équation (38) et ses analogues se réduisent à

$$(39) \quad \frac{h''}{g''} = i \frac{h'}{g'} + \frac{g}{h}, \quad \frac{h'''}{g'''} = i' \frac{h''}{g''} + \frac{h'}{g'}, \text{ etc.}$$

qui correspondent ainsi aux formules (37).

Désignons par **A** le plus petit commun multiple de g, g' , et soient **B, C**, deux nombres tirés des équations

$$QC + PB = -\frac{Ah}{g}, \quad Q'C + P'B = -\frac{Ah'}{g'},$$

dont les seconds membres sont entiers ; B et C le seront aussi, leur dénominateur commun étant $PQ' - P'Q$ ou ± 1 . En multipliant la seconde équation par i et l'ajoutant à la première, on a d'après les formules (37) et (39)

$$C(Q + iQ') + B(P + iP') = -A \left(\frac{h}{g} + i \frac{h'}{g'} \right), \quad \text{ou } CQ'' + BP'' = -A \frac{h''}{g''}.$$

En continuant ainsi on verrait que la relation

$$(40) \quad QC + PB = -\frac{\Lambda h}{g}$$

reste exacte en affectant d'accents quelconques P, Q, h, g. En mettant aussi des accents à δ il en est de même de la première formule (35), ou $Q\rho = \frac{h}{g} + \delta$, et par suite du résultat de l'élimination de $\frac{h}{g}$ entre elles, ou de

$$\Lambda Q\rho = -QC - PB + \Lambda\delta;$$

on peut l'écrire

$$Q\theta = B(Qr - P) + \Lambda\delta, \quad \text{où } \theta = \Lambda\rho + Br + C,$$

et en l'affectant de tous les accents on trouve

$$\theta = B \left(r - \frac{P}{Q} \right) + \Lambda \frac{\delta}{Q} = B \left(r - \frac{P'}{Q'} \right) + \Lambda \frac{\delta'}{Q'} = B \left(r - \frac{P''}{Q''} \right) + \Lambda \frac{\delta''}{Q''} = \text{etc.}$$

Or on a $\delta < \frac{1}{gR} < \frac{1}{M}$, $\delta' < \frac{1}{M}$, etc.; ainsi $\frac{\delta}{Q}$, $\frac{\delta'}{Q'}$, etc., convergent vers 0, de même que $r - \frac{P}{Q}$, $r - \frac{P'}{Q'}$, $r - \frac{P''}{Q''}$, etc. Par conséquent la suite d'égalités qui précède se prolongeant à l'infini, on a nécessairement $\theta = 0$, ou

$$(41) \quad \Lambda\rho + Br + C = 0.$$

Voici les conséquences de ce résultat :

Si l'on continue d'assigner à M ou à $\lambda = \frac{2}{M}$ une valeur déterminée, comme nous l'avons fait dans ce n° et le précédent, il suffit de calculer $\frac{P}{Q}, \frac{P'}{Q'}, \frac{h}{g}, \frac{h'}{g'}$ pour connaître les entiers A, B, C . S'ils ne satisfont pas l'équation (41) on est certain que la suite d'inégalités (34) ne se prolonge pas à l'infini et qu'on trouvera une solution par la méthode indiquée. Si au contraire l'équation (41) est satisfaite, il n'est point démontré que la série (34) se prolonge, et quand même cela aurait lieu il est possible qu'il y ait des solutions, sans que la méthode indiquée, basée sur des évaluations en excès, puisse les fournir.

Mais d'autre part notre but principal était de trouver à quelles conditions la trajectoire dans l'espace épuise le volume de forme annulaire dans lequel circule le mobile. Il faut pour cela que la condition (2) puisse être satisfaite pour toute position du point H et en prenant λ aussi petit qu'on voudra. C'est ce qui aura lieu si r et ρ ne satisfont aucune équation de la forme (41), A, B, C étant des entiers, car quelque grand que soit M , on ne rencontrera pas ce cas d'exception, et il y aura une solution. Cela n'aurait pas lieu s'il existait une relation de cette forme, car les équations (32) donneraient

$$Ay + Bx = -nC + Af' + Bf,$$

et nC étant entier, x et y ne pourraient l'être avec une erreur décroissant sans limite pour des valeurs quelconques de f, f' .

D'après les formules (31) l'équation (41) peut s'écrire

$$\frac{Ac}{2\pi} (pq' + p'q) + Bp + Cp' = 0.$$

Elle contient comme cas particulier celui où p et p' auraient un rapport rationnel.

MÉMOIRES
DE LA
SOCIÉTÉ DE PHYSIQUE ET D'HISTOIRE NATURELLE DE GENÈVE
TOME XXX. — N° 6

LOCUSTIDES
NOUVEAUX OU PEU CONNUS

DU

MUSÉE DE GENÈVE

PAR

ALPHONSE PICTET



GENÈVE
IMPRIMERIE CHARLES SCHUCHARDT
1888

LOCUSTIDES
NOUVEAUX OU PEU CONNUS
DE
MUSÉE DE GENÈVE

M'étant, depuis deux ans, occupé d'Entomologie, mon attention s'est portée sur l'ordre des Orthoptères, dont notre Musée possède aujourd'hui, grâce à l'initiative et aux efforts persévérants de M. Henri de Saussure, une collection qui compte parmi celles d'Europe.

En procédant récemment à la révision des Locustaires et à leur classement suivant les nouvelles divisions établies par Stål, Brunner de Wattenwyl et Karsch, j'ai trouvé, parmi de nombreux matériaux inédits, quelques espèces remarquables par leurs formes et leur structure qui m'ont paru assez intéressantes pour devenir l'objet d'une publication. A la description de ces espèces, dont plusieurs constituent des genres nouveaux, j'ai ajouté celle de quelques Locustides déjà connus, mais insuffisamment décrits par des auteurs anciens et qui pouvaient donner lieu à des confusions.

Je me fais un devoir de remercier ici M. H. de Saussure de l'obligeance avec laquelle il a bien voulu, à propos de ce travail, m'aider de ses précieux conseils.

Genève, septembre 1888.

TRIBU des PHANÉROPTÉRIENS

Phaneropteridæ, Brunner de Wattenwyl, Monogr. der Phaneropteriden, 1878, p. 10. — *Phyllophoridæ*, Stål, Recens. Orthop. 1874, II, p. 2.

1. Genre STILPNOTHORAX ¹, n.

Occiput haud depressum; fastigium verticis inter antennis obtuse productum, cum dente frontali haud contiguum. Pronotum latum, loricatum, posterius longe productum, late rotundatum, sinu humerali destitutum. Prosternum bispinosum; meso- et metasternum triangulariter lobata. Elytra coriacea, latissima, apice latissime rotundata; vena humerali et discoidali parallelis, haud contiguis; vena ulnari furcata. Alæ minores. Femora antica inermia; postica subtus spinosa; tibiæ anticae superne sulcatae. Coxæ omnes unispinosæ. Ovipositor triangulariter elongatus, apice acutangulus.

Antennes du double de la longueur du corps, écartées à leur insertion. Yeux globuleux, assez saillants.

Tête assez forte; l'extrémité du vertex formant entre les antennes un prolongement parallèle, mousse, subsilloné en dessus, dépassant légèrement la pointe frontale, la surplombant et en étant séparé par une échancrure.

Pronotum très grand et large, presque plat en dessus, subcaréné d'une manière très obsolète sur la métazone, longuement prolongé et arrondi en arrière; les sillons transversaux très faibles, interrompus au milieu, le postérieur effacé; arêtes latérales mousses. Lobes latéraux beaucoup plus longs que hauts, rabattus perpendiculairement; le sinus huméral nul; l'angle antérieur arrondi, le postérieur très obtus, le bord postérieur longuement oblique.

Élytres larges, très coriacés, l'extrémité obtusement arrondie; la veine humérale parallèle à la veine discoidale; ces nervures écartées l'une de l'autre, rameuses; la veine ulnaire bifurquée ou rameuse; le sillon anal court.

Ailes petites, très arrondies à l'extrémité.

¹ De *στύπνός*: brillant et *θώραξ* cuirasse, — à la cuirasse brillante.

Prosternum armé de deux épines courtes et distantes; méso- et métasternum transversaux, largement sinués en arrière, les angles prolongés en forme de lobes triangulaires aigus.

Pattes assez robustes. Fémurs des deux premières paires inermes, arrondis en dessus, plats ou cannelés en dessous; tibias armés en dessous de deux rangées de 7 épines. Tibias antérieurs comprimés, légèrement sillonnés en dessus, armés de 5 : 4 épines en dessous; les tambours elliptiques; tibias intermédiaires aplatis en dessus avec 5 : 5 très petites épines. Fémurs postérieurs très longs, dilatés à la base, creusés en dessous d'un profond sillon et armés de deux rangées d'épines ne s'étendant pas jusqu'à la base; tibias de même longueur que les fémurs, aplatis en dessus, armés d'épines dans toute leur étendue, en dessous arrondis et portant deux rangées de très petites épines, avec la base inerte. Toutes les hanches munies en dessus d'une forte épine.

Oviscapte grand, corné, poli, assez étroit, recourbé presque en quart de cercle, légèrement élargi vers l'extrémité et terminé en triangle aigu; le triangle apical un peu plus saillant que le reste de l'oviscapte, crénelé à son bord inférieur et très finement serrulé au bord supérieur et séparé du reste de l'oviscapte par une carène transversale; ses valves inférieures dilatées à la base d'une manière piriforme, formant par leur réunion un cœur échancré.

Ce genre forme parmi les *Phanéoptérides* une exception en ce que le prosternum est bidenté; il se rapproche surtout du genre *Cosmophyllum*, Blanch., dont il diffère du reste notablement par ses hanches épineuses; par la forme du vertex; par son pronotum en forme de bouclier fortement prolongé; par ses lobes sternaux triangulaires et aigus; par ses fémurs postérieurs armés en dessous de deux rangées d'épines; par la grandeur et la forme de l'oviscapte, et par ses ailes petites à nervures droites.

1. *S. LORICATUS*, n. (Fig. 1-1c).

Flavo-testaceus; capite lævigato, antèrius punctis nigris consperso; pronoto retrorsum producto, abdominis segmenta 2-3 obtegente, lobis lateralibus in medio punctatis; elytris corpore concoloribus a femoribus posticis paulo superatis, campo marginali latissimo, campo anali basi semimembranaceo; alis angustis quam elytra tertia parte brevioribus; ovipositore elongato valde incurvo. ♀

Longueur du corps, ♀ 30 mill.	Longueur de l'élytre, ♀ 26 mill.
» pronotum, 16	» fémur post., 30

D'un ferrugineux testacé, lisse et luisant. Tête lisse en devant, parsemée de quelques petits points noirs, surtout autour des yeux. Rostre du vertex parallèle, arrondi au bout et aussi large que le premier article des antennes.

Pronotum corné, lisse, très grand, son processus prolongé en arrière par-dessus les deux ou trois premiers segments de l'abdomen et arrondi en demi-cercle; le sillon typique nul, remplacé par une légère dépression arquée. Lobes latéraux ponctués au milieu.

Élytres de la couleur du corps, coriacés, un peu moins longs que les fémurs postérieurs, très largement arrondis à l'extrémité en courbe moins arquée que le demi-cercle; le champ marginal très large, offrant à sa base une tache noire lancéolée; les deux veines axillaires confluentes; le champ anal demi-membraneux à sa base.

Ailes étroites atteignant aux deux tiers de la longueur de l'élytre, arrondies en demi-cercle à l'extrémité, l'arrondissement portant sur les deux champs qui sont confondus en un seul sans aucune échancrure apicale; le champ antérieur très large, un peu obscurci par des plaques membraneuses opaques, ses nervures droites; la veine discoïdale bifurquée ou rameuse; le champ postérieur petit, irrégulièrement réticulé.

Pattes : Fémurs postérieurs armés en dessous au bord interne de 8 à 9 épines et de 6 à 7 sur le bord externe. Tibias offrant en dessus deux rangées de 22 à 24 épines; en dessous sur le bord externe 8 à 9 et sur le bord interne 5 à 6 épines petites et espacées.

Oviscapte long, très lisse, recourbé; les valves supérieures très finement ponctuées au milieu; les inférieures écailleusement ponctuées dans le triangle apical; ce dernier d'un brun noir. Plaque suranale transversale, carénée au milieu. Plaque sous-génitale obtuse avec une échancrure dessinant deux lobes arrondis. Cerci longs, minces, aigus et un peu arqués.

Habite : L'Afrique méridionale. — Récoltée par M. Péringuey. Mus. du Cap.

2. Genre ELBENIA, St.

Elbenia, Stål, Obs. Orthopt., II, 1876, p. 55. — Brunner de Wattenw. Monogr. d. Phaneropter. p. 165.

1. E. MANILLENSIS, n.

Prasina; *clytris densissime reticulatis*; *campo anali concolore, vena media pone medium furcata*. ♀.

Longueur du corps, ♀ 25 mill. Longueur de l'élytre, ♀ 37 mill.
 » pronotum, 7 » du fémur post., 27

Jaunâtre ou d'un vert pâle pendant la vie. Antennes fines, de la couleur du corps. Tête petite, lisse, arrondie en devant, aplatie en dessus. Rostre du vertex s'avancant entre les antennes, comprimé, caréné, les carènes divergentes en arrière, portant l'ocelle à son extrémité; celui-ci gros et ovale; la pointe frontale arrondie au bout, presque en contact avec l'ocelle, dépassant un peu le rostre et partagée par un sillon. Yeux grands, assez saillants.

Pronotum un peu élargi en arrière; son disque plat, uni; le bord antérieur droit, le postérieur arqué en portion de cercle; les arêtes latérales vives mais mousses, avec une ligne jaune. Lobes latéraux plus hauts que larges, arrondis; l'échancrure humérale prononcée.

Lobes du mésosternum triangulaires; ceux du métasternum obtus, un peu arrondis.

Élytres de la couleur du corps, dépassant notablement les fémurs postérieurs, subcoriacés, très densément réticulés sur toute leur étendue, mais laissant cependant voir les vénules parallèles; la veine médiane bifurquée après son milieu, la veine ulnaire courbée à son extrémité pour atteindre le bord postérieur; le sillon anal profond.

Ailes dépassant notablement les élytres au repos; subhyalines; avec l'extrémité coriacée.

Pattes antérieures grêles; fémurs des deux premières paires comprimés, surtout les intermédiaires, portant en dessous 3 à 4 très petites épines; tibias antérieurs plus ou moins sillonnés en dessus, offrant en dessous au bord interne 4 à 5 et à l'externe 3 à 4 très petites épines (parfois seulement deux); les intermédiaires plus longs, portant en dessus 2 épines, et en dessous deux rangées de 8 à 9 épines.

Fémurs postérieurs fortement dilatés à la base, inermes en dessus, armés en dessous de deux rangées de 3 à 4 épines petites et espacées; tibias plus longs que les fémurs et les hanches pris ensemble, portant en dessus deux rangées de 30 à 35 épines aiguës à pointe noire, et en dessous deux rangées de 13 à 14 épines espacées sur la base, rapprochées à l'extrémité.

Oviscapte corné, court, large et recourbé, son bord supérieur tout entier finement crénelé, le bord inférieur l'étant à l'extrémité seulement. Les valves inférieures formant à leur base de chaque côté un lobe demi-circulaire marqué d'une profonde fossette. Plaque sous-génitale triangulaire, subcomprimée, à extrémité arrondie. Cerci assez longs, styliiformes.

Habite : Les îles Philippines ; Manille.

Obs. Cette espèce a, comme l'*E. signata*, la veine médiane des élytres bifurquée, et comme l'*E. tenera* le champ anal de ces organes dépourvu de taches noires.

3. Genre PROSAGOGA, Brunn.

Prosagoga, Brunner v. Wattenw., Monogr. der Phaneropt., 1878, p. 320.

Synopsis des espèces.

- a.* Pronoti lobi laterales altiores quam latiores. Elytri vena media venula unica cum vena ulnari conjuncta. Femora antica pronoto valde breviora, subtus unispinosa, intermedia mutica; tibiæ anticæ parte basali tumida quam pars gracilis subæquilonga. Lamina infragenitalis tricarinata..... 1. *nitidula*, Brun.
- a. a.* Pronoti lobi laterales æque alti ac lati. Elytri vena media venulis 2 cum vena ulnari conjuncta. Femora antica pronoto paulum breviora, subtus et intermedia spinulosa; tibiæ anticæ parte basali tumida quam pars gracilis breviora. Lamina infragenitalis canaliculata, bicarinata..... 2. *coriacea*, n.

1. P. CORIACEA, n. (Fig. 2, 2 a).

Longueur du corps, ♂ 23 mill.	Longueur de l'élytre, ♂ 33 mill.
» pronotum, 7	Largeur » 12
Longueur du fémur post., 16 mill.	

Verte. Rostre du vertex allongé, parallèle, partagé par un sillon qui n'en échancre pas l'extrémité; celle-ci fort éloignée de la dent frontale. La face légèrement convexe du haut en bas, sa dent frontale étroite et aiguë; bourrelets des fossettes antennaires peu élevés et n'étant pas tout à fait contigus.

Pronotum rétréci en avant, ses arêtes latérales arrondies. Lobes latéraux aussi larges que hauts.

Élytres parcheminés, à nervures non saillantes, leur bord postérieur très arqué à l'extrémité, celle-ci étant tronquée-arrondie; la veine médiane ayant sa branche postérieure réunie à la veine ulnaire par deux vénules transversales.

Pattes : Fémurs antérieurs un peu moins longs que le pronotum, offrant, ainsi que les intermédiaires, en dessous depuis le milieu sur le bord antérieur 3 petites épines.

Tibias antérieurs ayant leur partie basilaire renflée, sensiblement plus courte que la partie linéaire, armés en dessous au bord antérieur de 3, et au bord postérieur de 2 petites épines.

Le dernier segment abdominal ♂ ayant son bord postérieur tronqué. Cerci longs, arqués, obtus. Plaque sous-génitale fortement bicarénée et excavée, en dessous un peu tronquée et armée de deux styles courts.

Habite : L'Amérique méridionale; la Guyane.

4. Genre APOCERYCTA, Brun.

Apocerycta, Brunner de Wattenw., Monogr. der Phaneropt., 1878, p. 29 et 331.

L'espèce qui s'ajoute à ce genre obligera d'en modifier légèrement la diagnose.

Synopsis des espèces.

- a. Pronotum antice et postice æque latum; lobis lateralibus altioribus quam longioribus. Vena media in medio elytro oriens. Meso- et metasternum rotundatim lobata. Ovipositor incurvus, pronoto multo longior, margine superiore apice oblique truncato. 1. *incommoda*, Brun.
- a. a. Pronotum postice latius quam antice; lobis lateralibus æque longis et altis. Vena media ante medium elytrum oriens. Mesosterni lobi acuti. Ovipositor a basi incurvus, minus elongatus et apice haud oblique truncatus. 2. *Bariana*, n.

2. A. BARIANA, n. (Fig. 3).

Longueur du corps,	♀ 21 mill.	Longueur de Pélytre,	♀ 32 mill.
» pronotum,	5	Largeur	» 6
» fémur postér.,	19	Longueur de l'oviscape,	7

D'un vert pâle. Tête lisse; crâne légèrement convexe; la face arrondie en devant, plate sur les côtés. Rostre du vertex comprimé, horizontal, sillonné et en contact avec la dent frontale. Yeux grands, globuleux et saillants.

Pronotum lisse, légèrement relevé en avant, son disque plat en dessus, partagé par un faible sillon longitudinal médian; le bord antérieur légèrement sinué, occupé au milieu par un renflement transversal brun; le bord postérieur subéchancré au milieu, les carènes latérales aiguës ou du moins fortement dessinées et linéaires. Lobes

latéraux aussi larges que hauts, le bord inférieur et le postérieur largement arrondis, l'angle antérieur obtus, mais distinct.

Lobes du mésosternum triangulaires, ceux du métasternum arrondis.

Élytres larges, coriacés, densément ponctués, assez elliptiques; l'extrémité arrondie; le bord postérieur plus arqué que l'antérieur; la veine médiane séparée un peu, avant le milieu de l'élytre et bifurquée avant son milieu; le disque occupé par de grandes cellules à peu près carrées; la veine ulnaire un peu flexueuse, portant trois branches, ne dépassant pas la troisième branche, mais envoyant ici un rameau pour s'anostomoser à la branche postérieure de la veine discoïdale; le champ anal assez fortement ponctué, ayant un très petit espace membraneux à l'élytre droit.

Ailes un peu moins longues que les élytres, ayant sensiblement la même longueur que ceux-ci en comptant le champ triangulaire; celui-ci obtus dépassant peu le champ antérieur.

Pattes grêles. Fémurs des pattes antérieures mutiques et offrant en dessous au bord antérieur des impressions punctiformes qui deviennent presque des petites dents. Tibias antérieurs offrant en dessous sur le bord externe 8 petites épines dont une apicale; les intermédiaires environ 8 sur le bord externe et 5 sur le bord interne, les dernières de chaque bord étant apicales. Fémurs postérieurs portant en dessous deux rangées de 6 à 7 épines, et les tibias de nombreuses petites épines sur les deux faces.

Oviscapte plus long que le pronotum, très recourbé depuis sa base, l'extrémité terminée en épine aiguë; les valves inférieures finement ponctuées, les supérieures granulees, le bord inférieur arqué en demi-cercle, crénelé seulement à sa partie terminale, le bord supérieur presque droit et finement denticulé à partir du coude. Cerci longs, arrondis à pointe mousse.

Habite : Cayenne. (Envoyée par feu A. Bar.)

5. Genre POSIDIPPUS, Stål.

Posidippus, Stål, Recens. Orthopt., 1874, II, p. 20. — Brunner de W., Monogr. der Phaneropt., 1878, p. 32.

1. P. BARELLUS, n. (Fig. 4-4b).

Prasinus; facie reclinata; pronoti carinis humilibus rectis latere parum arcuatis,

utrinque obtuse rotundato-5-dentatis; fastigio verticis fastigio frontis æque lato; metasterno triangulariter lobato; clytrīs subangustis, margine postico recto; tibiis intermediis supra 3-spinosis. ♀ ♂.

Longueur du corps,	♂ 29	♀ 42 mill.	Longueur de l'élytre,	♂ 55	♀ 62 mill.
» pronotum, »	8	» 9	Largeur	» 15	» 19
	Longueur du fémur post., ♂ 25, ♀ 27 mill.				

Verte. Tête convexe en dessus ; la face oblique. Rostre du vertex et pointe frontale de même largeur, séparés par un sillon transversal et divisés par un sillon longitudinal. Le bord inférieur de la face, les mandibules et la partie antérieure du crâne, blancs.

Pronotum un peu élargi en arrière, son disque plat et subconcave ; le bord antérieur légèrement concave, le postérieur tronqué-subarqué ; les arêtes latérales offrant de chaque côté une rangée de 6 fortes dents comprimées et arrondies, les deux extrêmes étant les plus petites.

Lobes du métasternum terminés en angle droit.

Élytres coriacés, légèrement atténués à partir du milieu, leur bord postérieur droit, l'extrémité étroitement arrondie, en parabole étroite ; la veine médiane séparée avant le milieu, bifurquée au milieu de l'élytre, sa branche antérieure n'étant pas régulièrement arquée, mais presque coudée.

Pattes grêles. Fémurs antérieurs et intermédiaires armés en dessous sur le bord antérieur de 4 à 5 très petites épines. Tibias intermédiaires sillonnés, offrant en dessus sur le bord postérieur 4 à 5 petites épines et en dessous deux rangées d'épines. Fémurs postérieurs armés en dessous de deux rangées de 7 à 8 épines, inermes à la base seulement.

♂ Plaque sous-génitale courte, comprimée, carénée, un peu sillonnée sur la carène avant l'extrémité ; styles articulés et courts.

Habite : Cayenne (Récoltée par feu Bar).

Cette espèce se rapproche du *De Geeri*, Stål. Elle s'en distingue par ses élytres plus étroits, à veine médiane beaucoup plus courbée, à bord postérieur non sinué ; par les arêtes de son pronotum qui sont moins élevées et n'offrent que 6 dents droites, et par le bord postérieur qui est subarqué non bisinué ; par ses tibias intermédiaires garnis en dessus de 3 épines seulement, etc. — Elle diffère du *C. fastigosus*, Brun. par le rostre du vertex qui est aussi large que la dent frontale et obtus, et par la forme du pronotum.

TRIBU des MÉCOPODIENS

Mecopodidae, Brunner de Wattenw., 1878, Monogr. der Phaneropteriden, p. 10. —
Mecopoda, Stål, Recens. Orthopt. II, 1874, p. 22.

1. Genre MACROSCIRTUS ¹, n.

Corpus compressum. Vertex a fronte per sulcum profundum separatus. Pronotum canthis dorsalibus rotundatis; metazona brevi, parum retroproducta, margine postico parum arcuato, sinibus humeralibus tenuibus. Prosternum bispinosum, meso- et metasternum transversa leviter lobata. Pedes graciles. Femora anteriora et intermedia inermia; tibiis supra et subius in utroque margine parce spinulosis. Femora postica longissima, linearia, ad basim maxime tumida; tibiis triquetris, superne utrinque multi-spinosis. ♂ Cerci arcuati, teretes, obtusi. Lamina infragenitalis valde elongata, apice fissa.

Antennes longues, écartées à leurs insertions.

Tête perpendiculaire; extrémité du vertex arrondie entre les antennes, et séparée du front par un sillon transversal et droit.

Pronotum légèrement aplati en arrière, cylindrique en avant; les arêtes latérales nulles; le sillon typique arqué, très obsolète sur le disque, linéaire sur les côtés; le sillon antérieur faible. Métazone très courte, son bord postérieur peu arqué. Lobes latéraux assez allongés, rétrécis en bas, l'échancrure humérale presque nulle, l'angle antérieur obtus, le postérieur très arrondi, le bord postérieur oblique,

Prosternum biépineux, ses dents écartées et coniques. Mésos- et métasternum transversaux. Lobes du mésosternum écartés et cordiformes, peu aigus. Lobes du métasternum transversaux, point prolongés, leur bord légèrement transversal, très faiblement concave et formant de chaque côté un angle obtus.

Élytres ne dépassant guère l'abdomen, coriacés, comme densément ponctués, à réticulation serrée, les veines radiales formant une côte très peu arquée, les autres nervures noyées dans la réticulation, le replat anal petit et rugueux.

¹ De μακρός long et σκίρσιον sauter, — qui fait de grands sauts, ou grand sauteur.

Ailes rudimentaires.

Pattes longues et grêles; celles des deux premières paires comprimées; pattes postérieures extrêmement longues. Fémurs antérieurs et intermédiaires aplatis en dessous et bordés d'arêtes vives et mutiques, l'arête interne des intermédiaires obsolète. Tibias des deux premières paires armés sur les deux faces de petites épines espacées; tambours des tibias antérieurs ovales. Fémurs postérieurs très fortement renflés et bombés à leur base, tout à fait grêles et linéaires dans le reste de leur étendue qui forme plus que la moitié de leur longueur, un peu dilatés au genou; la partie renflée convexe en dessus, presque droite en dessous, fortement striée en travers: la partie linéaire cylindrique, non comprimée. Tibias postérieurs un peu plus longs que les fémurs, légèrement arqués, en dessous arrondis et mutiques, armés en dessus de deux rangées d'épines, celles-ci nombreuses.

Lobes géniculaires internes aigus, les externes subaigus.

Segment génital subsinué au milieu et offrant deux petits angles saillants; plaqué suranale grande, en triangle arrondi. Cerci longs, cylindriques, arqués, à pointe mousse nullement appointie.

♂ Plaque sous-génitale allongée, étroite, fortement débordante et fourchue à son extrémité.

1. M. KANGUROO, n. (Fig. 38, 38 a).

Bruna (vel virescens?) fronte et vertice fulvidis; pronoto punctato; elytris ♂ abdomine paulo brevioribus, apice rotundatis, coriaceis, dense punctatis; alis rudimentariis; femoribus posticis quam corpus valde longioribus, basi crassissimis superne rufose punctatis. ♂.

Longueur du corps, ♂ 31 mill.	Longueur des fémurs post., ♂ 41 mill.
» pronotum, 10	» de l'élytre, 22

Brunâtre. Le premier article des antennes assez carré, aussi long que large. Tête lisse en devant, ponctuée en dessus. Yeux ovales, assez saillants; le front et l'extrémité du vertex jaunâtres.

Pronotum entièrement ponctué avec quelques petites plaques lisses; les sillons très faibles, le postérieur presque à angle obtus en dessus. La métazone n'ayant pas la moitié de la longueur de la prozone; le bord antérieur à peine bordé; le bord postérieur transversal, faiblement arqué et régulièrement ourlé. Les lobes latéraux ayant le bord inférieur ourlé.

Élytres de la couleur du corps, un peu dépassés par l'abdomen et atteignant aussi loin que le renflement du fémur; le bord sutural légèrement arqué et le bord marginal presque droit au milieu; l'extrémité arrondie; le champ discoïdal offrant deux rangées de grandes cellules formées par des nervures très fines et indistinctes, le champ anal, ou replat dorsal, très rugueux.

Ailes rudimentaires.

Tibias antérieurs offrant en dessus sur le bord externe une rangée de 4 très petites épines, et en dessous deux rangées de 5 épines espacées et très petites; tibias intermédiaires portant en dessus 5 à 6 épines sur le bord externe et 4 à 5 sur le bord interne, en dessous deux rangées de 8 à 9 très petites épines.

Fémurs postérieurs verdâtres marbrés de brun; la partie renflée en dessus très fortement ponctuée, ruguleuse, la zone rugueuse devenant très étroite en avant; la face inférieure creusée d'un sillon pour recevoir le tibia, et le bord inférieur vu de profil un peu sinué au milieu, ce qui correspond à la forme arquée du tibia; celui-ci inerme et arrondi en dessous, offrant en dessus deux rangées de 20 à 22 épines.

Abdomen lisse. Plaque sous-génitale plus longue que le pronotum, étroite et subparallèle, profondément échancrée et se terminant par deux pointes recourbées en dedans. Cerci longs, recourbés en dedans de manière à se croiser.

Habite : Le Gabon.

TRIBU des PSEUDOPHYLLIENS.

Pseudophyllus, Burmeister, Handb. II, p. 698, 16. — *Pseudophyllidae*, Stål, Recens. Orth. II, p. 48. — Brunner de Wattenwyl, Monogr. der Phaneropteriden, p. 10.

1. Genre MERONCIDIVS, Serv., Stål.

Meroncidius, Serv., Orth. 1839, p. 448. — Stål, Recens. Orth. II, 1874, p. 64.

L'espèce suivante forme dans ce genre une section particulière. Elle diffère des *Meroncidius*, Stål, Serv., comme suit: Pas de tubercule au bord antérieur du pronotum;

les tibias intermédiaires armés au bord interne de toute une rangée d'épines (7); tibias antérieurs n'étant pas bordés en dessus.

1. M. ROSALIA, Stoll.

Viridis; verticis rostra scrobicula antennarum æquante; pronoto punctato, sulco typico profundo; metazona plana, postice subarcuatim truncata, subtiliter lamellari-limbata, in medio puncto luteo; alis semi-orbicularibus, apice rotundato, roseæ, limbo toto angustissime canescente, ♀.

Locusta ? rosalia, Stoll, Sauter, pl. 7 a, fig. 23 ♀, 24 ♂.

Longueur du corps, ♀ 45 mill.	Longueur de l'élytre, ♀ 54 mill.
» pronotum, 10	» du fémur postér., 36
Longueur de l'oviscapte, 26 mill.	

D'un beau vert. Antennes verdâtres, très longues et fines, le premier article gros et allongé, le deuxième petit et cylindrique.

Tête petite, peu avancée, lisse, luisante en devant; sa carène frontale tranchante, un peu sinuée, en contact avec la dent frontale; celle-ci aiguë. Rostre du vertex horizontal, un peu comprimé, ne dépassant pas le bord des fossettes antennaires. Yeux globuleux, très saillants.

Pronotum petit, tout entier finement ourlé, légèrement voûté en avant, plat en arrière; son disque légèrement rugueux, ses deux sillons très distincts, parallèles et un peu arqués en arrière; le bord postérieur de la métazone tronqué et très légèrement convexe, à angles arrondis, et offrant au milieu une impression avec un point blanc. Carènes latérales presque vives sur la métazone. Lobes latéraux légèrement ponctués, avec une tache lisse entre les sillons; les bords coupés presque droit; l'angle antérieur presque droit, le postérieur plus obtus et arrondi; le bord inférieur arqué, son ourlet presque droit, non marginal; le bord postérieur presque parallèle au bord antérieur.

Les dents du prosternum longues et spiniformes; les lobes des méso- et métasternum en triangle aigu.

Élytres verts, coriacés, à peu près d'égale largeur dans toute leur étendue, entièrement couverts d'une ponctuation fine et serrée, sauf le replat anal de l'élytre droit qui est membraneux, transparent et régulièrement divisé en quatre bandes transversales, droites et parallèles, avec les mailles finement et irrégulièrement réticulées. L'extrémité de l'organe arrondi en courbe parabolique. Les veines humérale

et discoïdale contiguës jusqu'au dernier tiers de l'élytre; la veine médiane séparée un peu avant le milieu de son trajet, bifurquée à l'extrémité.

Ailes un peu moins longues que l'élytre, très larges, en demi-cercle, avec l'extrémité obtus-arrondie; entièrement roses avec une fine bordure blanche ou hyaline; les nervures vertes, le champ postérieur régulièrement réticulé par vénules transverses, le champ antérieur ayant ses vénules obliques.

Pattes comprimées. Fémurs antérieurs ayant en dessous au bord interne jusqu'à 6 épines; tibias plats en dessus offrant en dessous deux rangées de 6 à 7 épines. Fémurs intermédiaires avec 7 épines en dessous au bord externe; tibias avec deux rangées de 9 épines. Fémurs postérieurs armés en dessous de 13 épines fortes, un peu crochues et à pointe noire; tibias quadrangulaires, très comprimés en dessous, plats sur toutes les faces, offrant en dessus deux rangées de 15 à 16 épines et en dessous deux autres rangées de 13 à 14 épines.

Abdomen luisant, subcaréné en dessus.

Oviscapte large, un peu recourbé, la valve supérieure très finement serrulée.

♀. Plaque suranale transversale et étroite. Plaque sous-génitale tout à fait transversale, courte et terminée au milieu par une épine. Cerci robustes, spiniformes, un peu arqués.

Habite : Cayenne. (Récoltée par M. Bar.)

2. Genre COCCONOTUS, Stål.

Cocconotus, Stål, Recens. Orth. II, 1874, p. 89.

1. C. PERSONATA, n. (Fig. 6).

Testaceus vel virescens; verticis apice, facie, mandibulis, labri apice muculisque clypei, nigris; rostro verticis acute trigonali-dentiformi, sulcato; elytris brevibus abdomen medium attingentibus, coriaceis et reticulato-punctatis; campo marginali luteo-reticulato; pedibus omnibus nigro-spinosis; ovipositore femori breviora, fusco, utrinque luteo-vittato.

Longueur du corps, ♀ 31 mill.	Longueur de l'élytre, ♀ 13 mill.
» pronotum, 9	» du fémur postér., 21
Longueur de l'oviscapte, 19 mill.	

D'un vert testacé. Premier article des antennes gros et allongé. Tout le devant de la

tête et les mandibules noires, chaperon vert avec les angles et une tache carrée au sommet noirs, labre noir avec sa base verte, le reste de la bouche testacé.

Rostre du vertex terminé en pointe triangulaire aiguë partagée par un sillon, dépassant légèrement les bourrelets antennaires ; la pointe de l'écusson facial arrondie et séparée du rostre du vertex par une profonde dépression. Les carènes sous-antennaires arrondies ; carènes sous-oculaires ponctuées ; l'espace entre ces deux carènes ponctué ; les joues en arrière des carènes semées de punctuations distantes.

Pronotum voûté en avant et rétréci en arrière, partout densément granuleux, surtout en dessus ; le sillon typique profond ; le bord antérieur un peu avancé et arqué, le postérieur très légèrement arqué et fortement ourlé. Angle antérieur des lobes latéraux droit-arrondi, le postérieur obtus-arrondi ; le sinus huméral très petit.

Dents du prosternum petites et aiguës.

Élytres d'un vert sombre, très courts, dépassant à peine le milieu de l'abdomen, étroits, coriacés et rétrécis à l'extrémité. La réticulation du champ marginal et des aires comprises entre les nervures radiales lâche, à nervures jaunes ; le reste de l'élytre réticuleusement ponctué.

Ailes atteignant au repos aussi loin que les élytres.

Pattes assez fortes ; tous les fémurs fortement comprimés ; ceux des deux paires antérieures de la longueur du pronotum et de la moitié de la tête pris ensemble, offrant en dessous au bord interne 3 à 4 petites épines. Tibias antérieurs plats et subgranulés en dessus, armés en dessous ainsi que les intermédiaires de deux rangées de 6 à 7 épines.

Fémurs postérieurs portant en dessous une rangée de 5 à 6 petites épines ; les tibias plats en dessus, subponctués, armés en dessus de 9 : 4 et en dessous de 5 : 7 épines.

Oviscapte lisse, à bord supérieur à peine arqué mais obsolètement crénelé ; les faces latérales brunes et ornées d'une ligne médiane blanche, arquée ; les valves supérieures offrant dans leur dernier tiers et sur leur face externe deux rangées de tubercules convergeant vers la pointe de la bande blanche.

Plaque suranale en triangle arrondi ; plaque sous-génitale en triangle largement arrondi, offrant à sa base et de chaque côté un renflement sphérique. Cerci gros, obtus et un peu arqués.

Habite. . . . ?

3. Genre ECHINACRIS ¹, n.

Antennæ gracillinae, articulo primo subcylindrico, apice spinoso, fastigium verticis superantes. Oculi fortiter prominuli. Pronotum confertim spinoso-verrucosum; metazona quam prozona longiore, margine postico arcuato, obtuse spinoso; lobis lateralibus angulo antico subacuto, postico rotundato, margine inferiore recto. Meso-, et metasternum transversa, sulcis obliquis instructa, marginibus lateralibus in angulum dentiformem productis. Elytra abbreviata, venis radialibus parallelis. Pedes elongati, crasse spinosi. Femora anteriora parum compressa; reliqua compressa, in utroque margine valde spinosa. Tibiæ prismaticæ; anticæ superne inermes, foraminibus superis linearibus. Abdomen subcarinatum. ♀ Ovipositor elongatus, latus, superne in medio crenulatus.

Antennes longues et fines; le premier article cylindrique, allongé, épineux à son extrémité interne, dépassant la pointe du vertex.

Tête peu avancée. Vertex formant une dent à bords carénés. Écusson facial terminé supérieurement entre les bords relevés des fossettes antennaires par une dent non séparée.

Pronotum grand, aplati en dessus, entièrement tuberculeux ou épineux; son sillon typique profond, arqué, le divisant en deux parties un peu inégales. La prozone divisée par un sillon droit; son bord antérieur très légèrement avancé, arrondi, avec un petit tubercule au milieu. La métazone arrondie en arrière. — Lobes latéraux un peu divergents; l'angle antérieur presque droit; le postérieur arrondi; bord inférieur droit.

Prosternum étroit, biépineux avec une cavité à chacun des angles postérieurs. *Méso-* et *métasternum* transversaux, offrant chacun deux sillons obliques, divergents en avant; le milieu des bords latéraux formant des angles dentiformes; le mésosternum offrant trois trous, un petit médian et deux latéraux ovoïdes ou piriformes; les deux trous du métasternum confondus en une fossette transversale.

Élytres petits, à réticulation très lâche; les deux veines radiales (humérale et médiastine) parallèles, sauf à l'extrémité.

Ailes petites.

Pattes très ponctuées, robustes, longues; les deux premières paires à peu près d'égale longueur. Fémurs de la première paire peu comprimés, ceux des autres

¹ De ἐχίνος hérisson et ἀκρίς sauterelle.

paires étant fortement ; les deux premières paires portant en dessus deux rangées d'épines et en dessous une rangée au bord interne ; les postérieurs élargis à leur base, armés en dessus sur la moitié basilaire d'une seule rangée, et sur la moitié apicale d'une double rangée d'épines ; en dessous d'une autre rangée d'épines. — Tibias prismatiques, quadrangulaires, leurs faces plates. Les antérieurs inermes en dessus, armés en dessous de deux rangées de 6 à 7 épines ; les tambours situés en dessus sur les bords du tibia, peu ouverts, linéaires et n'élargissant guère le tibia, l'espace qui les sépare plus étroit que la face supérieure du tibia. Tibias intermédiaires fortement comprimés, armés en dessus, au bord interne, d'une rangée et en dessous de deux rangées d'épines ; les postérieurs comprimés surtout en dessous, armés en dessus de chaque côté de 10 épines alternes et en dessous de deux rangées de 11 épines.

Abdomen lisse, légèrement comprimé.

♀. Oviscapte grand, large, aigu ; plaque sous-génitale polygonale avec un prolongement un peu échancré, presque cordiforme. Cerci longs, robustes, stiliformes, avec une petite pointe aiguë recourbée en dedans.

1. E. HISPIDA, n. (Fig. 5, 5a).

*Fusco-ferruginea, omnino pubescens; capite subdeclivi superne haud polito; vertice sulcato in dentem adscendentem excurrente; pronoto magno, deplanato posterius subcon-
cavo, sulco longitudinali subtilissimo, sulco typico profundo, arcuato, lavigato; prozona
ante medium per sulcum divisa, margine anteriore medio tuberculum minimum obtusum,
in lateribusque dentes 2—3 hebetatos obferente; elytris 6^m abdominis segmentum attingen-
tibus, apice rotundatis; venis nigris; pedibus valde dense punctatis, lobis genicularibus
omnibus spinosis (externo fem. intermed. excepto); ovipositore nigro, valvis inferis angus-
tioribus apice acute acumínatis, superioribus subsinuatis in apice sinus crenatis, ♀.*

Longueur du corps,	♀ 50 mill.	Longueur du fémur post.,	♀ 30 mill.
» pronotum,	20	» ant.,	19
Longueur de l'oviscapte, 37 mill.			

D'un brun ferrugineux, entièrement pubescente et couverte d'un duvet soyeux.

Antennes longues ; le premier article gros, épais, un peu déprimé, du double plus long que large, et portant une épine à son extrémité interne ; le second plus court et cylindrique.

Tête médiocre, un peu oblique, ponctuée et luisante en devant et sur les côtés, lisse et terne en dessus. Vertex se terminant d'une manière lancéolée, creusé d'un sillon, sa pointe formant une petite dent ascendante. Yeux globuleux, très saillants.

Pronotum grand, aplati, subconcave en arrière, son disque densément couvert de tubercules dentiformes mousses, petits en dessus, plus grands sur les côtés; la métazone granulée, ses tubercules beaucoup moins serrés. La ligne dorsale médiane offrant un très faible sillon; le sillon typique lisse, profond, arqué; la prozone plus longue que la métazone. Prozone divisée un peu avant son milieu par un sillon transversal; son bord antérieur offrant au milieu un très petit tubercule obtus et sur les côtés, vers le bas, deux ou trois dents mousses. — Métazone légèrement relevée en arrière, son bord postérieur arqué en demi-cercle, armé de chaque côté de 4 épines régulièrement espacées et à pointe mousse, les deux externes plus grandes; les arêtes latérales armées de deux grandes dents ou apophyses très mousses mêlées aux autres tubercules. — Lobes latéraux tuberculeux; l'angle antérieur presque droit et formant une épine mousse; le postérieur obtus; le bord inférieur droit, portant en avant trois petites dents mousses, du reste garni de tubercules verruqueux espacés, plus grands sur le bord postérieur.

Métasternum plus large que le mésosternum; ses dents tout à fait mousses.

Élytres courts, arrondis, de la couleur du corps; les nervures noires, n'atteignant que le sixième segment de l'abdomen.

Pattes longues, robustes, densément et fortement ponctuées, sauf en dessous. — Fémurs antérieurs portant en dessus 6 épines au bord externe, 4 à 5 au bord interne; en dessous au bord interne 5 épines, les dernières plus grandes. — Fémurs intermédiaires offrant en dessus deux rangées irrégulières de 5 épines, en dessous au bord externe une rangée de 5 à 7 épines. — Fémurs postérieurs dilatés à la base, offrant en dessus au bord externe 9 à 10 épines dont les 4 à 5 premières petites, et dans la seconde moitié du bord interne 4 à 5 épines; en dessous une rangée de 11 épines. — Lobes géniculaires épineux à toutes les pattes; lobes externes des intermédiaires seuls mutiques ou dentiformes.

Tibias prismatiques, quadrangulaires, à arêtes vives. Les antérieurs inermes en dessus, mais l'arête externe portant près de sa base deux saillies en angle très obtus; en dessous deux rangées de 7 petites épines; les intermédiaires fortement comprimés, armés en dessus au bord interne de 5 épines, à l'externe de 1 à 2 épines obsolètes et en dessous de 6 paires d'épines. Tibias postérieurs presque aussi longs que les fémurs et les hanches pris ensemble; armés en dessus et de chaque côté d'une rangée de 10 épines alternes; en dessous de 11 épines sur le bord externe et de 9 à 10 plus

petites sur le bord interne. Toutes les épines fortes et aiguës, surtout celles des fémurs et celles des tibias postérieurs.

Abdomen lisse, comprimé, caréné en dessus.

Oviscapte assez long, d'un noir luisant; les valves inférieures étroites et terminées en pointe aiguë; les supérieures beaucoup plus larges, lamellaires, légèrement sinuées en dessus, offrant 5 à 6 crénelures sur l'extrémité du sinus.

Habite : L'Amérique du Sud; le Haut-Amazone.

Groupe des **PTEROCHROZA**.

Genres *Pterochroza* et *Typophyllum*, Serville.

De tous les Orthoptères, ces insectes sont les plus remarquables par leur mimétique. Soit par leur forme extraordinaire, soit par la couleur de leurs élytres, ils imitent à s'y méprendre les feuilles tant vertes que sèches des arbrisseaux et suivent, pour ainsi dire, tous les accidents de teinte et de marbré qu'on observe dans les feuilles au fur et à mesure qu'elles se dessèchent. Sous ce rapport, on trouve presque autant de variétés que d'individus, comme cela se voit, du reste, parmi les Lépidoptères dans le genre *Kallima*, West, qui offre une mimétique analogue.

En outre, on observe souvent sur les élytres entre la première et la seconde branche de la veine médiane une tache calleuse ou hyaline imitant assez bien les taches qui résultent du fait que des larves d'insectes ont rongé la surface des feuilles; on observe souvent aussi d'autres taches hyalines irrégulières disséminées sur l'élytre et placées d'une manière symétrique dans les deux élytres; toutefois nous supposons que ces taches sont variables et la plupart du temps accidentelles.

M. Brunner de Wattenwyl a mis ces faits en lumière dans une notice accompagnée de belles figures¹.

Tableau analytique des genres.

1. Elytrorum apex rectus vel leviter antrorsum vergens, campo marginali variabili.

¹ Brunner de Wattenwyl, Ueber hypertelische Nachahmungen bei den Orthopteren (Verhandlungen der k. k. zoologisch-botanischen Gesellschaft in Wien 1883, p. 247).

2. Pedes validi. Femora antica et intermedia latiuscula, in margine anteriore dentibus crassis trigonalibus armata. Tibiæ intermedia dilatata et superne ultra medium valde sinuata, subexcisæ. Alæ latæ, apice rotundato vel subangulato (haud lobato), haud ocellato; campo posteriore remote reticulato; venis campi anterioris arcuatis a margine remotis. Antennæ graciliores.
3. Tibiæ anticæ basi dilatata, dehinc supra sinuata, foraminibus apertis, conchatis. Tibiæ posticæ superne plus minus lobata. Alæ vitreæ margine anteriore sinuato, apice rotundato.
4. Prosternum muticum. Foramina tibiæ anticarum subæqualia, elongata, marginibus haud productis. Pronotum retro subtruncatum, margine postico vix arcuato; canthis lateralibus acutis, haud rugosis. Elytrorum margo anterior ultra medium valde excisus, vel subangulatum arcuatus. Ovipositor gracilis, breviusculus. 1. *Typophyllum*, Serv.
- 4, 4. Prosternum bispinosum. Foramina tib. antic. inæqualia, externum angustum, internum apertum, ejus concha in lobum producta. Pronotum retro-productum, margine postico valde arcuato; canthis lateralibus rugosis. Elytrorum campus marginalis plerumque latior quam campus discoidalis, ampliacione ♀ rotundata, apice ♂ excisa. Ovipositor longior et robustior. 2. *Mimeticæ*, n.
- 3, 3. Tibiæ anticæ graciles, parum dilatata, vix sinuata, foraminibus partim clausis. Tibiæ posticæ haud lobata, tantum spinas nonnullas oblitteratas obferentes. Alæ latæ, coloratæ, margine anteriore recto, angulo apicali parum rotundato, nonnunquam subsinuato. Prosternum muticum. Campus marginalis elytrorum latior quam campus discoidalis, margine anteriori valde arcuato, ultra medium undulato. 3. *Rhodopteryx*, n.
- 2, 2. Pedes graciles. Femora antica et intermedia gracilia, subtus spinis minutis armata. Tibiæ intermedia minus dilatata, parum sinuata. Alæ coloratæ, apice splendide ocellata, albo signatæ; campo posteriore dense reticulato. Antennæ crassiores.
3. Alæ amplæ, margine anteriore sinuato, apice in lobum trigonalem antrorsum producto. Venæ campi antici arcuatæ, flexuosæ a margine remotæ; vena ulnaris venæ discoidali parum parallela, ab illa basin versus ad ejus furcam divergens; v. discoidalis furcata, ejus rami flexuosi, invicem remoti, ad marginem apicalem desinentes. Prosternum (anne semper?) bispinosum. Pronotum supra leviter convexum, canthis lateralibus subacutis. Foramina tibiæ anticarum angusta, sublateralia. Ovipositor, validus, elongatus.
4. Foramina tibiæ anticarum clausa, sulciforinia, superne puncto aperto. Pronoti margo posterior truncatus; ejus canthi laterales subsinuati. Elytra sat angusta, campis subæquilatis. 4. *Ommatoptera*, n.
- 4, 4. Foramina tibiæ anticarum anguste lanceolata. Pronoti margo posterior productus, arcuatus, incisus; ejus canthi recti. Elytra latissima, campo marginali minus lato quam campus discoidalis, ultra medium margine exciso. Ovipositor majusculus.
5. *Tanusia*, St.
- 3, 3. Alæ angustæ, margine anteriore recto, angulo apicali rotundato-rectangulo, lobum nullum efficiente. Venæ campi antici rectæ, invicem propinquæ; vena humerali cum margine confusa; vena ulnari venæ mediæ propinqua et illi parallela, postice ramos emittente, totum marginem apicalem formante. Prosternum bispinosum. Pronotum superne cylindricum, canthis lateralibus nullis; margine posteriore parum arcuato. Foramina tibiæ anticarum aperta. — Elytrorum campus marginalis angustior quam campus discoidalis, margine integro. 6. *Pterochroza*, Serv.

- 1, 1. Elytrorum apex retro-arcuatus, campo marginali latiore quam campus discoidalis. — Pedes graciles; tibiæ anticæ superius haud dilatatae. Alæ latissimæ, vitreæ, apice valde rotundato, margine anteriore sinuato; venis anticis 3 parallelis, prima a margine remota. Antennæ crassæ.
2. Prosternum bispinosum. Tibiarum anticarum foramina clausa sulciformia. Pronoti prozona supra cylindrica, metazona ampliata, margine posteriore arcuato. Femora omnia subviseriatim spinosa. Tibiæ posticæ quadriseriatim spinulosæ. 7 *Cycloptera*, Serv.
- 2, 2. Prosternum muticum. Tibiarum anticarum foramina superne aperta, angustissima, lanceolata. Pronotum supra leviter convexum, anterius valde attenuatum, canthis lateralibus subacutis, margine posteriore leviter arcuato. Femorum spinæ rudimentaria. Tibiæ posticæ spinis destitutæ. 8. *Chlorophylla*, n.
- NOTA. Le genre *Parysatis*, Stål, ne nous est pas connu.

1. Genre TYPOPHYLLUM, Serv.

Typophyllum, Serville, Orth. 439.

Antennes relativement fines, le premier article du double plus long que large. Palpes labiaux ayant le dernier article dilaté à l'extrémité.

Pronotum aplati en dessus, à arêtes vives peu divergentes en arrière; le bord antérieur sinué, le bord postérieur tronqué et très faiblement arqué.

Prosternum mutique; méso- et métasternum armés de deux fortes épines.

Élytres très larges, fortement dilatés au deuxième tiers ou au delà; de forme variable, le bord postérieur arqué, le bord antérieur presque droit jusqu'à l'extrémité de la dilatation, ensuite découpé ou droit jusqu'à la pointe.

Ailes hyalines ou légèrement teintées, très arrondies, le bord antérieur concave, l'angle apical arrondi, les nervures fines, celles du champ antérieur écartées du bord de l'aile, la veine ulnaire étroitement bifurquée.

Pattes relativement courtes et épaisses; fémurs des deux premières paires offrant au bord antérieur 3 à 4 dents lamellaires triangulaires, et au bord postérieur une très petite épine près de la base. Tibias antérieurs non comprimés, dilatés au sommet, ensuite aplatis et sinués en dessus, larges, déprimés, bordés supérieurement sur les côtés, parcourus sur la face interne d'un sillon longitudinal arqué, les tambours ouverts en dessus, lancéolés, à valves externes conchoïdes. Tibias intermédiaires comprimés et dilatés dans leur partie supérieure, ensuite fortement excisés et sinués en dessus, la face supérieure large et aplatie, bordée d'arêtes qui convergent avant la base.

Fémurs postérieurs garnis en dessous de deux rangées d'épines espacées. Tibias

postérieurs un peu difformes, un peu dilatés vers la base, ensuite aplatis ou sinués en dessous, la face supérieure large, bordée de fortes arêtes un peu lobées ou garnies de quelques petites épines passant souvent à l'état de tubercules.

Abdomen caréné, souvent crénelé. Oviscapte assez petit, grêle, fortement granulé et crénelé à l'extrémité. Plaque suranale ♂ presque carrée, largement tronquée. Plaque sous-génitale ♀ ovale, sillonnée à sa base.

Synopsis des espèces.

- a.* Elytra margine postico exciso — 1. *erosum*, Stoll.
a. a. Elytra margine anteriore apice exciso, margine postico integro.
b. Tibiæ posticæ supra lobatæ — 2. *excisum*, n. ♂.
b. b. Tibiæ posticæ supra sinuatæ — 3. *lunatum*, n.
a. a. a. Elytra marginibus integris, trapezinis — 4. *trapeziforme*, Stoll. — 5. *Peruvianum*, n.

1. T. EROSUM, Stoll. (Fig. 8, 8 a).

Gryllus erosum, Stoll, Sauter, 1787, pl. 6 a, fig. 18. — *Pterochroza erosa*, Burmeister, Handb. II, 1839, p. 696, 5. — *Typophyllum erosum*, Serville, Orthopt., 1839, p. 440, 1.

Longueur du corps, ♂ 18 mill.	Longueur de l'élytre, ♂ 20 mill. 5.
» fémur post., 13	Largeur » 14
Largeur du champ marginal de l'élytre, 6 mill.	

Couleur feuille morte. Tête très oblique, un peu granulée. Pronotum ruguleux en dessus, semé de granulations en avant et ponctué en arrière, offrant au bord postérieur une petite échancrure; arêtes latérales vives, saillantes, latéralement presque parallèles sur la prozone; divergentes sur la métazone; lobes latéraux portant souvent quelques granulations.

Élytres couleur feuille morte, leur largeur égale aux trois quarts de leur longueur; le bord antérieur droit jusqu'au dernier tiers, offrant ensuite deux échancrures, l'une large, presque en demi-cercle crénelé, l'autre plus petite et plus obtuse à l'extrémité, laquelle est en pointe courte. Le bord postérieur presque droit, offrant au même niveau que l'échancrure antérieure une échancrure plus obtuse, presque en demi-cercle, suivie d'un sinus peu profond, d'où résulte une dent placée entre les

deux échancrures. Le champ postérieur offrant après le milieu une tache transparente en forme de larme, et en dessus un point transparent.

Pattes : Les quatre dents des fémurs antérieurs et intermédiaires allant un peu en augmentant de grandeur de la première à la dernière.

Tibias intermédiaires ayant leur dilatation sensiblement fusiforme, leur arête supérieure interne biondulée, l'externe formant une sorte d'angle obtus avant le rétrécissement; les bords supérieurs ensuite faiblement sinués, la dilatation graduellement atténuée.

Tibias postérieurs légèrement dilatés vers la base, atténués au bout; leur face supérieure un peu granulée, l'arête interne offrant dans sa première moitié deux lobes arrondis et vers la base un troisième plus petit, ces lobes parfois obsolètes; l'arête externe un peu ondulée; ces arêtes souvent avec quelques vestiges de petites épines.

Abdomen ayant les segments 1-3 armés en dessus d'une petite épine, le deuxième portant une crête dans la seconde moitié, cette crête formant une dent à sa base; les segments 7, 8 et 9 terminés en forme de dent triangulaire.

Plaque suranale ♂ en trapèze transversal arrondi. Plaque sous-génitale cordiforme, comprimée, carénée dans sa seconde moitié, excavée et bicarénée dans sa première moitié.

Var. a. Élytre n'ayant qu'une seule échancrure à leur bord postérieur. — *b.* La couleur des élytres uniformément feuille morte — *c.* mêlée de jaune — *d.* avec des taches diverses renfermant des points noirs (*erosum*, Serv.).

Habite : Cayenne (Récoltée par feu Bar).

Obs. Sur la figure de Stoll, les élytres sont renversés, vus en dessous, et qui plus est, l'élytre droit est placé à gauche; les échancrures du bord antérieur n'ont point la même forme que chez nos individus; il est néanmoins probable que l'espèce est la même.

Nous soupçonnons que cet insecte pourrait être le mâle du *T. trapeziforme*.

2. *T. excisum*, n. (Fig. 9, 9a).

Longueur du corps, ♂ 16 mill.	Longueur de l'élytre, ♂ 20 mill. 5.
» fémur post., 13	Largeur » 15
Largeur du champ marginal de l'élytre, 6 mill. 5.	

Formes très analogues à celles du *T. erosum*. L'échancrure du bord postérieur du pronotum moins sensible.

Élytres ayant leur bord postérieur entier, formant une sorte d'angle obtus après le milieu, ensuite un peu arqué et souvent légèrement ondulé; la couleur de ces organes feuille morte ou verte avec l'extrémité feuille morte, le champ postérieur n'offrant pas toujours de tache hyaline en forme de larme, mais seulement le point hyalin postérieur. Les cellules du champ postérieur un peu différentes.

Pattes : Les tibias intermédiaires dilatés d'une manière plus irrégulière, beaucoup moins fusiformes; la face supérieure plus fortement et plus subitement sinuée, comme excisée; vue de profil la dilatation formant un angle plus vif.

Les tibias antérieurs plus fortement aplatis-sinués, leur face interne offrant au milieu seulement un profond sillon bordé de deux bourrelets marginaux.

Pattes postérieures comme chez le *T. erosum*.

Le deuxième segment de l'abdomen armé en dessus d'une dent ou d'un lobe dirigé en haut, les suivants inermes, les segments 6, 7 et 8 terminés en forme de dent triangulaire.

Var. L'angle du bord postérieur de l'élytre formant une sorte de lobe suivi d'un léger sinus.

Habite : Cayenne (Recoltée par feu Bar).

3. *T. LUNATUM* n. (Fig. 12-12 d).

Longueur du corps,	♀ 26 mill.	Longueur de l'élytre,	♀ 38 mill.
»	fémur post., 23	Largeur	» 28
»	pronotum, 6	Longueur de l'oviscapte,	12
	Largeur du champ marginal de l'élytre, 13 mill.		

Verte. Tête très légèrement granulée. Pronotum parsemé de granules; ceux-ci plus rapprochés sur sa partie postérieure et sur la partie antérieure des lobes latéraux; arêtes latérales moins vives que chez les autres espèces, subsinuées; le bord postérieur très faiblement arqué et offrant une petite échancrure au milieu.

Élytres très larges, parsemés de quelques petits points noirs; le champ marginal un peu moins large que le champ discoïdal, s'élargissant graduellement; le bord antérieur droit jusqu'aux trois quarts de la longueur de l'élytre ou même au delà, le reste formant une large échancrure en arc de cercle, ondulée, offrant trois à quatre sinus entre lesquels deux à trois petites dents correspondant aux nervures. Les nervures du champ marginal simples à l'exception de celle qui forme l'extrémité de la partie dilatée (veine humérale), laquelle est trifurquée ou quadrifurquée. Les nervures principales un

peu courbées en avant à l'extrémité; la pointe de l'organe assez obtuse, non prolongée en triangle. Le champ discoïdal large, presque en triangle, offrant au milieu une tache orbiculaire de même couleur que le fond et finement bordée de hyalin et de brun; le bord postérieur divisé en deux moitiés presque égales, la moitié interne peu arquée, formant de légères saillies à l'extrémité des nervures, ses nervures allongées.

Pattes: La dent apicale des fémurs antérieurs très grande, triangulaire; l'avant-dernière petite, la précédente très petite, la dernière atrophiée. Fémurs intermédiaires offrant le même caractère, mais avec des dents plus petites; tibias sensiblement comme chez le *Peruvianum*. Fémurs postérieurs n'offrant en dessous que de très petites épines; tibias un peu courbés et difformes, longuement sinués en dessus au milieu, un peu dilatés à la base, leurs arêtes vives, armées de tubercules espacés devenant plus rapprochés et spiniformes à l'extrémité du bord interne.

Oviscapte très grêle, fortement serrulé et très rugueux à l'extrémité.

Habite: Le Pérou; Mayobambo.

4. T. TRAPEZIFORME, Stoll. (Fig. 11).

Gryllus trapeziformis, Stoll, Sauter, 1787, Pl. 3 a, fig. 7. — *Pterochroza trapeziformis* Burmeister, Handb. II, 1839, p. 696, 4.

Longueur du corps, ♀	25 mill.	Longueur de l'élytre, ♀	32 mill.
» fémur post.,	19	Largeur »	21
» de l'oviscapte,	5	» du champ marg.,	12

Couleur feuille morte. Tête granulée. Pronotum fortement granulé; ses arêtes latérales tantôt droites ou légèrement sinuées, tantôt émoussées, arrondies; le bord postérieur peu ou pas échancré au milieu.

Élytres couleur feuille morte ou marbrés de jaunâtre avec des points noirs dans les cellules, de forme plus ou moins trapézoïdale; le bord antérieur subconcave jusqu'à l'angle arrondi qu'il forme au delà du milieu, après cela droit jusqu'à la pointe ou subsinué avant l'extrémité; le bord postérieur arqué, droit ou subsinué au delà du milieu; la nervure principale légèrement arquée, la pointe droite, tantôt plus longue et étroite, tantôt plus courte et plus obtuse.

Pattes: Fémurs antérieur et intermédiaires larges, leurs quatre dents très grandes et très lamellaires. — Tibias antérieurs très aplatis; leur sillon externe profond, resserré entre deux bourrelets marginaux. Tibias intermédiaires fortement excisés après le milieu,

fortement sinués, formant un angle prononcé au bord supérieur là où commence le sinus comme chez l'*excisum*; les bords supérieurs de la dilatation offrant souvent deux légères saillies surtout l'interne, n'étant ni ondulés ni bilobés, mais au contraire presque entiers. Tibias postérieurs ayant le bord interne formé comme chez l'*erosum*, s'atténuant graduellement jusqu'à l'extrémité, et l'externe ondulé, parfois subbilobé, les arêtes portant souvent en outre 1 ou 2 épines.

Segments de l'abdomen portant en dessus une crête en forme de lobes découpés ou d'épines; le 2^{me} segment avec un grand lobe terminé en forme d'épine, le 3^{me} lobé aussi, le 7^{me} avec un lobe très découpé; les segments 3^{me} à 5^{me} avec une épine; le 9^{me} avec deux petites dents.

Oviscapte grêle, fortement granulé et crénelé au bout. Plaque suranale granulée, en trapèze, subbilobée, presque en triangle échancré.

Habite : Cayenne (Récoltée par feu Bar).

5. T. PERUVIANUM, n. (Fig. 10, 10 a).

Longueur du corps, ♀	24 mill.	Longueur de l'élytre, ♀	32 mill.
» pronotum, 6		Largeur »	23
» fémur post., 21		Longueur de l'oviscapte,	11
		Largeur du champ ant. de l'élytre,	12 mill.

Tout à fait semblable au *trapeziforme*, mais un peu plus grand. La tête et le pronotum plus fortement granulés, celui-ci assez allongé en dessus, ses arêtes souvent assez vives.

Fémurs antérieurs et intermédiaires moins dilatés que chez le *trapeziforme*.

Tibias postérieurs n'étant dilatés que dans leur premier quart, la dilatation ayant son bord supérieur bilobé en dedans, très ondulé en dehors; le reste du tibia ayant ses bords ondulés ou avec quelques épines, le bord interne offrant un troisième petit lobe vers le milieu de sa longueur.

Abdomen ayant le deuxième segment armé en dessus d'une double épine et d'un petit lobe à son bord postérieur; le suivant armé d'un lobe denté; les autres comme dans l'espèce citée.

Habite : Le Pérou.

2. Genre MIMETICA ¹, n.

Tête inclinée. Rostre du vertex obtus, triangulaire-arrondi; les bords des fossettes antennaires en dessus obtuses et en contact.

Pronotum aplati en dessus, peu ou pas sinué en avant, fortement prolongé en arrière, arrondi, échancré, bilobé; la métazone plus longue que la prozone; les arêtes latérales mousses légèrement arquées en dedans.

Prosternum armé de deux petites dents.

Élytres très larges, le champ marginal beaucoup plus large que le reste de l'élytre; sa dilatation arrondie; le bord antérieur au delà ondulé; la pointe médiocrement longue; la veine médiastine arquée avec une seule branche à sa base; les autres nervures du champ marginal peu nombreuses, droites et obliques, simples ou bifurquées; le bord postérieur ondulé après son milieu.

Ailes hyalines; leur extrémité arrondie; la veine ulnaire étroitement bifurquée vers le milieu, n'offrant guère d'autres branches; les trois nervures principales écartées les unes des autres.

*Patte*s moins fortes que chez les *Rhodopteryx*. Fémurs antérieurs et intermédiaires armés à leur bord antérieur (sauf exceptions) de 4 grosses dents triangulaires et au bord postérieur de 1 épine imperceptible. Tibias antérieurs grêles, à peine sinués en dessus, à peine dilatés à la base; les tambours ouverts en dessus, conchoïdes, le tambour interne notablement plus grand que l'externe et ayant sa valve externe dilatée en forme de lobe arrondi. Tibias intermédiaires dilatés dans plus de leur première moitié, puis assez fortement sinués en dessus. Fémurs postérieurs armés au bord externe de 4 à 5 dents spiniformes et à l'interne de 2 à 3; tibias ayant leurs arêtes supérieures un peu ondulées, irrégulièrement garnies de petits tubercules jusqu'au milieu de leur bord interne, ce qui les fait paraître un peu lobés.

Abdomen fortement caréné.— ♀ Oviscapte relativement peu rugueux à l'extrémité.

1. M. MORTUIFOLIA, n. (Fig. 13—13 c).

Obscura vel flavicans; pronoto antèrius coarctato, superne plano, margine antico inciso, postico bilobato, lobis tuberculo acuto instructis; canthis antèrius acutis, retro rotundatis;

¹ De μιμητικός, imitateur.

elytris latissimis, mortuifoliis, margine postico arcuato, ultra medium lobulato; disco maculis minutis 1—2 vitreis; margine antico ♀ apice sinuato, ante sinum crenulato, ♂ ultra venam furcatam profunde sinuato.

Longueur du corps,	♀ 27 ♂ 19 mill.	Longueur de l'élytre,	♀ 39 ♂ 27 mill.
> pronotum,	7 > 6	Largeur >	26 > 18
> fémur postér.,	22 > 19	Longueur de l'oviscapte,	16
	Largeur du champ marginal de l'élytre,	♀ 19 ♂ 11 mill.	

Brune, le corps jaunâtre. Tête peu inclinée, veloutée, légèrement convexe en dessus et rugueuse au vertex. Rostre du vertex avec un faible sillon.

Pronotum rétréci en avant, élargi en arrière, son disque plat un peu concave en dessus entre les sillons; le bord antérieur notablement échancré au milieu; les arêtes latérales de la prozone vives et droites, celles de la métazone mousses, arrondies et divergentes; le bord postérieur formant deux lobes très arrondis, offrant chacun en dessus un petit tubercule dentiforme. Lobes latéraux obsolètement granuleux, à peine rugueux.

Élytres d'un brun feuille-morte rougeâtre, très larges; le champ marginal offrant outre la veine médiastine 4 à 5 nervures, la troisième bifurquée; le bord antérieur formant à partir du milieu de petites saillies à l'extrémité des nervures, son extrémité sinuée; le bord postérieur arqué, formant après le milieu des petits lobes arrondis. Le champ discoïdal offrant au delà du milieu une petite tache hyaline piriforme et un peu plus en dedans près de l'extrémité souvent une autre tache hyaline.

Oviscapte lisse, étroit, recourbé, son bord supérieur après le milieu avec quelques petites dents; l'extrémité des valves supérieures peu rugueuse, celle des valves inférieures plus longuement ponctuée-granulée. Plaque suranale convexe, en trapèze arrondi. Plaque sous-génitale largement hexagonale, carénée dans sa seconde moitié, échancrée en angle obtus, subsinuée de chaque côté. Cerci robustes, droits, courts, à pointe mousse.

Var. ♀ Tibias postérieurs offrant au bord externe quelques courtes épines espacées, le bord interne non lobé, seulement un peu crénelé vers la base. Élytres verts ou marbrés de brun.

♂ Élytres prolongés en pointe, comme chez la ♀, ayant également le champ marginal notablement plus large que le champ discoïdal mais avec la partie du bord qui dépasse la dilatation fortement découpée, offrant une profonde échancrure demi-circulaire entre la nervure bifurquée et la suivante et tronquée entre les deux branches de la nervure bifurquée; l'extrémité du bord formé par les deux dernières nervures,

la pointe restant intacte comme chez la ♀. Tibias postérieurs comme dans la variété.

Habite : L'Amérique centrale.

3. Genre RHODOPTERYX ¹, n.

Tête peu inclinée. Rostre du vertex court et obtus, les replis des fossettes antennaires en dessus épais et très obtus, peu prolongés en avant.

Pronotum aplati en dessus, tuberculeux, à bord postérieur à peine arqué, à bord antérieur sinué, à arêtes latérales crénelées.

Prosternum mutique; mésosternum en forme de triangle spiniforme; dents du métasternum grandes.

Élytres : le champ antérieur plus large que le postérieur, réticulé par grandes mailles; les branches obliques peu dessinées, sauf la veine médiastine qui s'écarte presque dès la base du tronc huméral; le bord antérieur très arqué après le milieu.

Ailes amples, tronquées-arrondies à l'extrémité, à bord antérieur droit, offrant quelquefois un très petit sinus avant l'angle apical, d'un beau coloris, mais n'offrant pas d'ocelle apical. Les trois nervures principales rapprochées les unes des autres, la veine ulnaire birameuse en arrière.

Pattes veloutées. Fémurs antérieurs et intermédiaires comprimés, portant au bord antérieur 3 à 4 dents triangulaires comprimées terminées par une petite épine aiguë, la première petite, la dernière grande. Tibias inermes. La paire antérieure grêle, faiblement dilatée dans le premier tiers, arrondie en dessus; ses tambours latéraux, ouverts au sommet, en forme de pointe ou lancéolés; la seconde partie de ces tibias médiocrement aplatie et peu sinuée. Tibias intermédiaires dilatés dans plus que leur moitié, peu fortement échancrés en dessus après la dilatation. Fémurs postérieurs armés au bord externe de 4 à 5 dents triangulaires; tibias inermes ou offrant aux arêtes supérieures de très petites épines en général atrophiées, mais dont la place est marquée, arrondis en dessous, aplatis en dessus, insensiblement dilatés vers la base.

Oviscapte subserrulé en dessus, fortement denticulé et granulé à l'extrémité.

1. R. PULCHRIPENNIS, n. (Fig. 7).

Ochracca; *pronoto* *superne* *subexcavato* *canthis* *tuberculato-crenatis*; *elytris* *fusco-*

¹ De ῥόδος, rose, et πτερόξ aile. — Qui a les ailes rouges.

purpurecentibus margine antico ante apicem subsinuato, campo discoïdali macula punctisque nonnullis vitreis; alis rubris, transverse nigro-fasciatellis, areolis inter illas albo-ocellatis; femoribus anticis subtilus dentibus minutis 1—2. ♀.

Longueur du corps, ♀ 38 mill.	Longueur de l'élytre, ♀ 31 mill.
» pronotum, 7	Largeur » 19
» fémur postér., 24	Longueur de l'oviscapte, 16
Largeur du champ marginal de l'élytre, 11 mill.	

Ochracé. Tête lisse, convexe en dessus, plate en devant et sur les côtés. Rostre du vertex presque pentagonal à sillon court.

Pronotum subconcave, lisse sur les côtés, en dessus semé de quelques tubercules inégaux et espacés; ses arêtes latérales crénelées par les tubercules et légèrement sinuées.

Élytres d'un feuille-morte rouge pourpré, surtout en dessous; le bord antérieur subsinué sur le retour de l'extrémité; le champ postérieur offrant vers le milieu une tache vitreuse irrégulière et quelques autres taches ou lignes indistinctes transparentes irrégulièrement parsemées sur l'élytre; la veine médiastine portant trois branches; le champ marginal offrant en outre trois nervures obliques.

Ailes d'un beau rouge pourpre avec petites bandes transversales noires placées sur les veinules transverses, dessinant des mailles rouges qui sont occupées à leur centre par une tache blanche, la partie marginale n'a de noir que ses nervures transverses, tandis que la partie du milieu de l'aile a ses bandes larges et réunies par une ou plusieurs bandes noires placées sur les nervures rayonnantes.

Pattes : fémurs antérieurs offrant en dessous à leur bord externe 1 à 2 très petites dents.

Les segments abdominaux terminés en dessus par une petite carène comprimée.

Oviscapte ayant les valves inférieures granulées après le milieu, et fortement rugueuses à l'extrémité; les supérieures fortement denticulées en dessus et offrant à l'extrémité de chaque valve une à deux rangées de tubercules.

Plaque suranale en trapèze large, convexe, subéchancré, subbilobé. Plaque sous-génitale cordiforme, arrondie, et subéchancrée au bout.

Habite : La Nouvelle Grenade.

4. Genre OMMATOPTERA¹, n.

Tête peu inclinée. Rostre du vertex étroit, fortement sillonné.

Pronotum granulé, aplati en dessus, ses arêtes très vives, sinuées et crénelées; le bord antérieur subsinué, le postérieur arqué et échancré? Méso- et métasternum armés de deux petites épines écartées.

Élytres étroits à peu près également larges dans leurs deux tiers antérieurs; à bord antérieur peu arqué, découpé dans sa seconde moitié; le champ marginal un peu plus large ou égal au champ discoïdal; l'extrémité formant une pointe allongée.

Ailes colorées, avec un grand ocelle à l'extrémité; les nervures du champ antérieur fortes; le bord antérieur droit, sinué à l'extrémité, l'angle formant un petit lobe dirigé en avant.

Pattes longues et grêles; fémurs armés sur leur bord antérieur de 3 à 4 épines. Tibias antérieurs non dilatés, les tambours fermés, en forme de sillon. Tibias intermédiaires faiblement dilatés au sommet, légèrement sinués en dessus dans leur seconde moitié. Tibias postérieurs armés en dessus de deux petites épines.

Abdomen caréné, crénelé en dessus?

1. O. LAURIFOLIA, n. (Fig. 15, 15 a).

Fulvescens; pronoto valde tuberculato, canthis crenulatis, fuscis; elytris mortuifoliis subtus fusco-, et purpureo-marmoratis, margine antico ultra medium trisinuato, ante apicem longe sinuato, apice longe anguste producto; alis confertim fusco-tessellatis, ocello nigro a margine remoto, maculis 2 albis postice per lineam flavam conjunctis; femoribus anticis subtus spinis 4 sat validis; tibiis posticis utrinque spinis 5. ♀.

Longueur du corps,	♀ 25 mill.	Longueur de l'élytre,	♀ 34 mill.
» pronotum,	7	Largeur »	12,5
» fémur postér.,	25	Largeur du champ marg.,	5
Longueur de l'oviscapte, 18 mill.			

D'un fauve grisâtre. Tête lisse.

Pronotum fortement granulé, ses granulations formant en partie de petits tubercules

¹ De *ομμα*, œil, ocelle, et *πτερόν* aile. — Aux ailes ocellées.

aigus à pointe noire; les arêtes crénelées par ces tubercules, un peu saillantes en dehors, marquées d'une ligne brune. Lobes latéraux parsemés de ces mêmes tubercules.

Élytres couleur feuille-morte en dessus, en dessous marbrés de pourpré et de brun; le champ marginal offrant outre les trois branches de la veine médiastine environ cinq branches obliques, la troisième bifurquée; le bord antérieur découpé dans toute sa seconde moitié, trisinué, faiblement et longuement sinué avant la pointe, celle-ci longue et étroite; le bord postérieur très arqué vers la base, fort peu dans le reste de son étendue.

Ailes densément tesselées de brun et de jaunâtre, le brun dominant; cette couleur couvrant la partie située en arrière de l'ocelle. L'ocelle ovalaire, entièrement noir, n'atteignant pas le bord antérieur, offrant avant son milieu un C et à son bord externe un trait, blancs entourés de rose, ces deux taches réunies postérieurement par une ligne jaune subarquée placée sur une nervure. L'angle apical de l'aile formant un très petit lobe dirigé en avant et précédé d'une petite échancrure.

Les épines des fémurs antérieurs au nombre de 4 et assez grosses; celles des fémurs postérieurs souvent tronquées ou atrophiées. Tibias postérieurs offrant en dessus sur chaque bord 5 épines courtes et fortes, celles du bord interne souvent atrophiées.

(Abdomen en partie détruit.)

Oviscapte long, son bord antérieur offrant d'assez fortes dents espacées; l'extrémité des valves inférieures fortement crénelée et ces valves l'étant finement jusqu'au milieu de leur longueur. L'extrémité des valves supérieures ayant d'assez fortes crénelures émoussées, leur surface peu granulée, l'aire apicale offrant à sa base en outre une ligne oblique de granules qui deviennent de plus en plus allongés et dont les derniers forment trois petites carènes obliques espacées.

Habite : Le Brésil ? (Ancienne collection Jurine.)

5. Genre TANUSIA, Stål.

Tanusia, Stål, Recens. Orthopt. II, p. 57.

Antennes fortes, leur premier article du double plus long que large.

Tête faiblement inclinée; rostre du vertex triangulaire, sillonné. Palpes labiaux ayant le dernier article dilaté à l'extrémité, piriforme.

Pronotum légèrement convexe transversalement, granulé, ses arêtes distinctes; le bord postérieur prolongé, arqué, portant au milieu une petite échancrure en cœur dessinant deux lobes arrondis.

Élytres très larges, rarement deux fois plus longs que larges, de couleur feuille-morte ou verte; le champ marginal moins large que le champ discoïdal; le bord antérieur découpé après le milieu et formant un lobe saillant avant le sinus; le bord postérieur arqué; les nervures du champ marginal simples et obliques sauf celle qui correspond au lobe qui précède l'échancrure et qui est bifurquée près de sa base; cette nervure est formée par l'extrémité de la veine humérale qui se détache de la veine discoïdale en émettant une branche. Dans le champ discoïdal la veine médiane, après s'être séparée de la veine discoïdale, s'écartant peu de celle-ci; la bande comprise entre ces deux nervures occupée par 3 à 4 petites cellules larges. La face inférieure offrant à l'extrémité un ocelle incomplet, violacé, marqué de salissures blanches et dessiné par une ligne arquée noire partant de la nervure discoïdale, et d'une tache noire subapicale placée en arrière de cette nervure.

Ailes amples, finement tesselées de brun sur toute leur étendue dans les individus feuille-morte; hyalines ou tesselées de vert sur les veinules dans les individus verts, un peu teintées le long du bord postérieur; toutes portant à l'extrémité un grand ocelle coloré, rond, violacé ou rougeâtre bordé de noir ou de rouge aux bords interne et inférieur, offrant deux taches semi-lunaires blanches bordées de rose antérieures, comprises entre les branches de la veine discoïdale (souvent petites et simplement oblongues), et une postérieure en forme de C suivie d'un groupe de petites taches ou d'un pointillé blanc (fig. 18-20). Le bord antérieur concave; son extrémité formant un lobe triangulaire dirigé en avant. Les trois nervures antérieures fines, arquées, écartées l'une de l'autre, la première écartée de la côte, la troisième ou ulnaire flexueuse, leurs rameaux flexueux. L'extrémité de l'aile arrondie, n'offrant pas d'échancrure entre le champ antérieur et le champ postérieur.

Pro-, méso- et métasternum biépineux.

Pattes assez grêles. Fémurs antérieurs et intermédiaires comprimés, armés au bord antérieur de 5 petites épines triangulaires; tibias comprimés à la base, déprimés, aplatis et subsinués en dessus, quadricarénés; les antérieurs grêles, non dilatés à leur base, parcourus de chaque côté par un fort sillon, les tambours étroits, lancéolés, souvent un peu latéraux. Tibias intermédiaires dilatés dans leur première moitié, excisés dans la seconde. Fémurs postérieurs armés sur les deux bords d'épines espacées, dentiformes au bord externe, peu nombreuses et petites au bord interne. Tibias postérieurs armés en dessus dans leur première moitié de deux rangées d'épines atrophiées.

Abdomen ayant souvent les premiers segments lobés en dessus. — Oviscapte offrant en dessus de petites dents espacées.

Synopsis des espèces.

- a.* Major, elytrorum et alarum ocello maximo, elytris duplo longioribus quam latioribus.
1. grandicellata, n.
- a. a.* Minor, elytrorum et alarum ocello minore, elytris haud duplo longioribus quam latioribus.
2. variabilis, n.

1. T. GRANDIOCELLATA, n. (Fig. 20).

Magna, mortuifolia; elytris apice paulo angustius attenuatis, areolis campi discoïdalis majoribus, per venas nullas transverse divisâ; areola secunda discoïdali ad venam principalem apposita maxima, aequè alta ac lata; areolis minutis sequentibus 2 distincte delineatis, postice obtuse angulatis; ocello principali faciei inferi maximo, valde longiore quam altiore; alis infuscatis, saltem dimidia parte basali luteo-tessellatis, ocello maximo, arcu albo semilunari ultra medium ornato et ultra illum macula orbiculari nigra; nec non posterius arcu semilunari albo, primum arcum haud superante.

Longueur du corps,	♂ 32 mill.	Longueur de l'élytre,	♂ 64 mill.
» pronotum,	11	Largeur	» 34
» l'oviscapte,	23	» du champ marg.,	15

Élytres ayant en longueur le double de leur largeur.

Les taches des organes du vol sont ici très caractéristiques par leur grandeur. A la face inférieure de l'élytre la tache est allongée, presque piriforme, elle porte à sa base un arc noir et avant l'extrémité une grande tache transversale noire. A l'aile l'ocelle est très grand; la tache blanche centrale est étroite, longue, arquée, en forme de C; la tache postérieure forme une ligne arquée étroite dont l'extrémité interne ne dépasse pas le niveau de la tache centrale (dont elle est du reste fort éloignée). A l'élytre à la suite de la grande cellule du champ discoïdal qui précède le milieu, on ne trouve le long de la veine discoïdale que deux cellules larges dont le bord postérieur forme un angle obtus; ce bord est formé par la veine médiane qui offre des ondulations anguleuses, étant plusieurs fois brisée à angle obtus.

Taches rongées : une petite tache ronde demi-membraneuse après le milieu de la seconde branche de la veine médiane (dans la même cellule vers la base une longue éraillure hyaline et au delà de la tache dans la cellule suivante un petit trait hyalin).

Habite : La Guyane? (Ancienne collection Jurine.)

2. T. VARIABILIS, n. (Fig. 19).

Quam P. grandiocellata paulo minor, mortuifolia vel prasina, vel marmorata; elytris apice paulo obtusius attenuatis, areolis campi discoïdalis minoribus, obsolete divisis et reticulatis; areola secunda discoïdali ad venam principalem apposita minus alta quam lata; areolis sequentibus ♀ quadratis, tenuiam parallelam efficientibus; ocellis elytrorum et alarum minus grandibus; alis tessellatis vel subhyalinis, ocello in medio maculis oblongis 2, posterius arcu semihunari albis, hoc maculam mediam extus multo, intus paulum superante. — ♂ Elytris fere ut in grandiocellata reticulatis, alis saltem posterius ad ocellum infuscatis.

Longueur du corps,	♀ 32 mill.	Longueur de l'élytre,	♀ 43 mill.
» pronotum,	9	Largeur	» 28
» fémur post.,	30	» du champ marg.,	17
Longueur de l'oviscapte, 19 mill.			

Espèce un peu moins grande que la *C. grandiocellata*. Les élytres n'étant pas deux fois plus longs que larges, plus ovalaires, à extrémité moins atténuée en triangle; la partie découpée du bord antérieur étant un peu moins longue. La grande cellule discoïdale qui précède le milieu de la nervure principale plus large que haute; la veine médiane depuis sa séparation de la veine discoïdale jusqu'à sa bifurcation, assez droite, parallèle à la veine discoïdale, dessinant un espace étroit divisé par des veinules transverses en 3 à 4 cellules carrées; les cellules du champ discoïdal réticulées ou divisées d'une manière obsolète.

Taches rongées: une petite tache ronde calleuse ou hyaline en dedans de la seconde branche de la veine médiane, et après son milieu un ou deux points hyalins vers la base de la première branche en arrière de l'angle de la grande cellule discoïdale. (*Var.*: la tache hyaline de la seconde nervure médiane plus grande, ovoïde; une seconde tache hyaline en avant de celle-ci sur le bord de l'ocelle séparée de la première par la seconde branche médiane et quelques éraillures vers l'angle de la grande cellule discoïdale. Taille moins grande.)

Les ailes partout densément tessellées de brun et de fauve, et offrant souvent une bande plus brune le long du bord postérieur ou précédant ce bord et partant de l'ocelle. Celui-ci beaucoup moins grand que chez la *grandiocellata*; la tache blanche médiane, courte et droite, l'externe souvent plus grande et en C; la postérieure en C étroit, son extrémité externe dépassant beaucoup la tache médiane, arrivant presque au milieu

de la tache externe. La tache noire entre les deux taches blanches antérieures nulle ou peu prononcée. — La découpeure de l'aile a une forme intermédiaire entre celle de l'*erosa*, Brun. et de la *colorata*, Brun.

Var. La tache blanche en C postérieure de l'ocelle de l'aile est souvent raccourcie à son extrémité interne et suivie d'un point blanc. Il faut la considérer comme s'étendant jusqu'à ce point blanc inclusivement.

♂? Semblable à la femelle. L'ocelle de l'aile souvent plus coloré et le bord postérieur souvent précédé d'une bande obscure qui part de l'ocelle, formée par les traits bruns du tesselé qui deviennent ici plus larges. Les cellules discoïdales de l'élytre comme chez la *grandioccellata*.

Obs. La nuance obscure de l'aile aussi bien que la vénulation des élytres permettent d'attribuer ces mâles à la *T. variabilis*; mais l'ocelle de l'aile est identique à celui des femelles de la précédente espèce. — L'aspect de ces individus veut qu'on les attribue plutôt à la *variabilis*. Serait-ce une espèce intermédiaire?

Var. ♀. *a.* L'élytre ayant sa pointe en triangle aigu; *b.* l'élytre plus ovale, sa pointe en triangle obtus; *c.* couleur verte avec les ailes subhyalines, leur tache rouge ceinte de rouge foncé; *d.* ailes légèrement tesselés de jaunâtre et de gris; *e.* élytres verts ou gris, marbrés avec des taches obscures dans les cellules marginales et des taches sur les nervures du champ discoïdal; *f.* élytres feuille-morte de mille apparences, ailes tesselées de brun, avec l'ocelle orangé ou violacé ou pourpré ceint de noir.

Cette espèce se confond peut-être avec la *Pterochroza illustrata* ou la *cristata*, Serv. qui ne sont pas décrites de manière à permettre de les distinguer avec certitude.

Habite : La Guyane. (Récoltée par feu Bar, et ancienne collection Jurine.)

6. Genre PTEROCHROZA, Serv.

Pterochroza, Serville, Orthopt., p. 431.

Antennes fortes, leur premier article n'étant pas deux fois plus long que large.

Tête inclinée; le dernier article des palpes labiaux peu dilaté.

Pronotum granulé, voûté dans sa partie antérieure, aplati en arrière, à bord postérieur faiblement arqué, subéchancré; ses arêtes latérales nulles.

Élytres ovalaires, moins larges que chez les *Tanusia*, le champ marginal ♀ ayant un peu plus de la moitié de la largeur du champ discoïdal, plus étroit chez les mâles; le bord antérieur peu arqué sauf à l'extrémité, entier, non excisé mais avec un petit

sinus avant la pointe; le bord postérieur arqué depuis le milieu; la veine médiane s'écartant beaucoup de la veine discoïdale et formant de grandes cellules. En dessous, les élytres marbrés, offrant une sorte d'ocelle oblong formé par une bande noire oblique et droite qui part de la veine discoïdale, une tache noire subapicale à cheval sur cette nervure et trois traits blancs fondus; la dernière branche de la veine discoïdale s'en écartant beaucoup et arquée.

Ailes très étroites mais ayant le champ antérieur très large, entièrement tessellées de brun avec un ocelle à l'extrémité; leur bord antérieur droit, ne formant à son extrémité aucun lobe dirigé en avant. Les trois grandes nervures rapprochées l'une de l'autre, presque droites; la veine humérale formant presque la marge de l'aile; la veine discoïdale simple; la veine ulnaire portant plusieurs rameaux réguliers. Le champ antérieur séparé du champ postérieur par une échancrure distincte, son bord apical largement tronqué, arrondi en arrière et formant en avant un angle arrondi.

Pro-, méso- et métasternum biépineux.

Pattes grêles; fémurs antérieurs et intermédiaires armés sur leurs deux bords de 4 à 5 petites épines, celles du bord antérieur ou peu triangulaires. Tibias antérieurs grêles, non dilatés, un peu aplatis en dessus, à valves presque conchoïdes; tibias intermédiaires très faiblement dilatés et trisinués. Fémurs postérieurs offrant une rangée d'épines au bord externe et point à l'interne.

1. P. OCELLATA, Linn.

Gryllus ocellatus, Linné, Mus. Ludovic, p. 129, fig. 20 ♀. — Stoll, Sauter, Pl. 1 a, fig. 1, 1 A ♀; Pl. 2 a, fig. 2 ♂, fig. 3 ♀, variété. — *Locusta ocellata*, Fabr. Ent. syst. tome II, p. 39, fig. 19. — *Pterochroza ocellata*, Serville, Orthopt. p. 432. — *Pterophylla ocellata*, Duncan, Natural. library, Introd. to Entom. 1840, p. 253, Pl. XIII, fig. 3. — * * Seba, Locupl. Rer. Natur. Thesaur., 1765, Pl. 73, fig. 7 et 8 ♀.

Mortuifolia; clytrorum margine antico 12-venoso; alis flavicantibus, omnino fusco-tessellatis, ocello maculis albis 2 G-formibus superpositis. ♀.

Longueur du corps,	♀ 26 mill.	Longueur de l'élytre,	♀ 51 mill.
» pronotum,	7	Largeur	» 24
» fémur post.,	28	» du champ marg.,	9

Couleur fenille-morte. Épines du prosternum très petites. Le champ marginal de

l'élytre offrant 12 nervures obliques dont 4 médiastines, 5 humérales et 3 discoïdales ou apicales, la veine médiastine ayant en outre 2 branches incomplètes; la veine ulnaire après s'être séparée de la veine discoïdale fournissant deux branches est reliée à cette dernière par deux veines transversales. Dans le champ discoïdal l'aire comprise entre la veine médiane et la veine discoïdale large, occupée par trois grandes cellules sans compter l'apicale. En dessous l'élytre marbré de brun et pourpré, la troisième ligne blanche de l'ocelle placée sur l'extrémité de la tache noire apicale et entourée de points blancs.

Ailes d'un jaune tanné, entièrement tesselées de gris brun; la veine ulnaire émettant en arrière trois branches subarquées et formant à elles seules toute l'extrémité de l'organe. L'ocelle noir dans sa première moitié, rougeâtre ou violacé dans sa seconde moitié, offrant à la limite des deux couleurs deux C blancs superposés et entourés d'un pointillé blanc; au delà de ces C une ligne noire transversale, comme pour limiter l'ocelle dont la couleur se prolonge cependant jusqu'au bord apical avec quelques taches blanches.

Épines des fémurs postérieurs distinctes au bord externe, devenant rapprochées à la base.

Les premiers segments de l'abdomen offrant souvent une crénelure membraneuse.

♂. Plaque suranale en trapèze; plaque sous-génitale subcomprimée, bilobée.

Habite : La Guyane; Surinam.

7. Genre CYCLOPTERA, Serv.

Cycloptera, Serville, Orthopt., p. 439. — Stål, Recens. Orthopt., I, p. 57.

Antennes très fortes. *Tête* à peine inclinée. Palpes labiaux ayant le dernier article allongé, cylindrique, un peu renflé d'une manière conique et tronqué à son extrémité.

Pronotum cylindrique en dessus en avant, ses sillons profonds; aplati et dilaté en arrière, à bord postérieur très arqué (échancré?).

Pro-, méso- et métasternum biépineux.

Élytres au moins du double plus longs que larges; le champ marginal plus large que le champ discoïdal, à bord antérieur très arqué au delà du milieu; la pointe arquée un peu en arrière appartenant au bord postérieur. Le champ discoïdal partagé par une nervure ondulense (ulnaire) et occupée par deux rangées de cellules également hautes.

Ailes très arrondies, hyalines. Les trois nervures du champ antérieur très écartées l'une de l'autre.

Pattes grêles et longues, toutes garnies en dessous de deux rangées d'épines. Tibias antérieurs non dilatés, grêles, prismatiques, non aplatis. Tambours en sillon, fermés. Tibias intermédiaires très faiblement dilatés vers la base. Tibias postérieurs subcomprimés, garnis de 4 rangées d'épines. Fémurs intermédiaires et postérieurs ayant leur lobe géniculaire terminé en épine. Fémurs postérieurs garnis d'épines nombreuses dans toute la longueur du bord externe et dans la seconde moitié du bord interne.

Oviscapte long, arqué, lisse, à bord supérieur mutique; ses valves apicales très granulées et crénelées.

1. C. AURANTIFOLIA, Stoll.

Gryllus aurantifolia, Stoll, Sauter., Pl. 3 a, fig. 5, ♀. — *Cycloptera aurantifolia*, Serville, Orthopt., p. 439.

Valida, prasina; elytris in campo marginali 9-10 venosis, venis tantum 2 (scilicet ramis apicalibus venæ mediastinae et humeralis) furcatis, stigmatibus albido-callosis in furca venæ discoidalis et humeralis exserto; campo discoidali biseriatim quadrato-ærolato; vena mediastina longissima et ramosa, ramo primo furcato; vena humerali haud ramosa, tantum apice furcata; alis vitreis, venis prasinis; vena ulnari a vena discoidali valde remota; lamina supra-anali producta, trapezina, utrinque sinuata, rotundata; lamina infragenitali lata, obtusangulatim incisa.

Habite : Le Brésil.

8. Genre CHLOROPHYLLA¹, n.

Tête petite très peu inclinée. Palpes maxillaires peu dilatés; palpes labiaux ayant le dernier article ovoïde, médiocrement large. Antennes très fortes, le premier article court, à peine plus long que le second.

Pronotum subconvexe en dessus, ses arêtes vives, fortement convergentes en avant, le bord postérieur large et peu arqué avec une petite échancrure au milieu, l'antérieur non sinué.

¹ De κλωρός, vert, et φύλλον, feuille.

Prosternum mutique; méso- et metasternum portant de chaque côté une petite épine.

Élytres assez courts, extrêmement larges, le champ marginal beaucoup plus large que le champ postérieur; les deux champs réticulés par grandes mailles; le champ discoïdal n'étant pas partagé par une nervure longitudinale; le bord antérieur arqué à partir de la dilatation et entier; le bord postérieur très faiblement arqué, très faiblement sinué après le milieu.

Ailes hyalines très arrondies, les trois nervures principales également écartées l'une de l'autre et beaucoup moins que chez les *Cycloptera*.

Pattes grêles. Fémurs antérieurs et intermédiaires portant en dessous sur chaque bord quelques très petites épines; tibias subarrondis en dessus, les tambours de forme lancéolée, étroits, ouverts en dessus. Fémurs et tibias postérieurs inermes, ces derniers assez larges et aplatis en dessus; les bords inférieurs des fémurs et les bords supérieurs des tibias offrant quelques très petites saillies comme pour indiquer le point d'insertion des épines qui manquent.

Abdomen subcaréné sur la partie postérieure des segments.

1. C. LATIFOLIA, n. (Fig. 14, 14 a).

Flavo-aurantia vel viridis; clytris quam latioribus sesquilongioribus, areolis maximis minute nigro-punctatis gudentibus; campo marginali quam campus discoïdalis valde latiore, 9-venoso. ♂.

Longueur du corps,	♂ 29 mill.	Longueur de l'élytre,	♂ 39 mill.
> pronotum,	7	Largeur >	27
> fémur post.	23	> du champ ant.,	16
		Largeur du champ post. de l'élytre,	11 mill.

D'un jaune d'ocre orangé (verte?). Tête lisse. Pronotum finement granulé en dessus, au moins sur la prozone et d'une manière lâche, la métazone plus densément ponctuée et granulée. Lobes latéraux lisses.

Élytres ayant en longueur environ une fois et demie leur largeur; réticulés par grandes mailles marquées de petits points noirs; le champ antérieur beaucoup plus large que le postérieur portant 9 nervures; la veine humérale se détachant d'une manière presque perpendiculaire et ramifiée; le champ discoïdal garni de cellules polygonales, offrant près de la base deux grandes cellules qui occupent presque toute

la largeur du champ. Le tambour membraneux de l'élytre droit, grand et cordiforme, celui de l'élytre gauche offrant deux forts replis et deux profonds sillons.

Plaque suranale arrondie; cerci en triangle aigu dépassés par la plaque; plaque sous-génitale grande, en demi-cercle, à bord postérieur largement tronqué.

Habite : Cayenne. Cette espèce nous a été envoyée par M. Bar.

TRIBU des CONOCÉPHALIENS

Conocephalidae, Brunn. de Wattenw., Monogr. der Phaneropteriden, 1878, p. 11.
— Stål, Recens. Orthopt. II, p. 3.

1. Genre COPIOPHORA, Serv.

Copiophora, Serville, Orthopt. II, p. 512.

Synopsis des espèces.

1. *Conus verticis rectus*. Dens frontalis plus minusve distinctus. Pronotum retrorsum minus productum. Elytra angusta.
2. *Conus verticis spiniformis*, conicus.
3. *Conus verticis subtus tuberculatus*.....1. *cornuta*, Serv. — 2. *longicauda*, Serv.
- 3, 3. *Conus supra lævigatus*, haud carinatus.
4. *Conus corpori concolor* ;
5. *robustus* ut in *cornuta*3. *capito*, Stål.
- 5, 5. *gracilis*. Elytra angusta. 4. *licornis*, n. — 5. *gracilis*, Scudd. — 6. *conspersa*, Stål.
- 4, 4. *Conus supra niger*.....7. *lancifera*, Burm.
- 2, 2. *Conus compressus*, apice carinatus;
3. a latere spiniformis, supra carinatus8. *carinata*, n.
- 3, 3. a latere lanceolatus. ♂ subtus ad basim subcarinatus9. *cultricornis*, n.
- 1, 1. *Conus verticis cylindricus*, arcuatus, corniformis. Dens frontalis nullus. Pronotum retrorsum paulo magis productum. Elytra lata10. *rhinoceros*, n.

1. C. CORNUTA, de Geer.

Locusta cornuta, de Geer, Mém., III, 1773, pl. 37, fig. 7, ♀. — *Gryllus mono-*

ceros, Stoll, 1787, pl. 17 *b*, fig. 65, ♂. — *Copiophora cornuta*, Burmeister, Handb., II, 1839, p. 703, 2. — Serville, Orthopt., p. 514, pl. 37, fig. 7. — Brésil; Bahia.

2. C. LONGICAUDA, Burm.

C. longicauda, Burmeister, Handb., II, 1839, p. 703, 3. — Serville, Orthopt. p. 513. — *Gryllus subulatus*, Stoll, Sauter., 1787, pl. 13 *a*, fig. 51 ♀. — Indes Orientales; Surinam.

3. C. CAPITO, St.

C. capito, Stål, Recens., Orthopt. II, p. 105, 3. — Amérique méridionale.

4. C. LICORNIS, n. (Fig. 24, 24 a).

Prasina; facie et cono levigatis, hoc spinoso, conico, superne biserialim tuberculato; elytris angustis, fusco-punctatis; femoribus posticis longiuscule 8-spinosis; ovipositore corpori cum elytris æquilongo.

Longueur du corps,	♀ 41 mill.	Longueur de l'élytre,	♀ 46 mill.
» pronotum,	9	» du fémur postér.,	22
» cône,	7	» de l'oviscapte,	61
Largeur de l'élytre, 9 mill.			

D'un vert jaunâtre. Face large; carènes sous-oculaires peu tuberculeuses; écusson frontal entre les antennes triangulaire; bords inférieurs de la face échancrés en arc de cercle peu concave. Yeux globuleux, très saillants. Cône du vertex lisse, en forme d'épine conique, droit, non comprimé, arrondi à son extrémité; les tubercules ocellaires placés plus haut que la dent inférieure; la face supérieure offrant dans sa moitié inférieure un sillon vague bordé de chaque côté de 4 à 5 petits tubercules.

Pronotum lisse, son bord antérieur très légèrement relevé; métazone peu prolongée, à bords peu arqués, son bord postérieur non relevé. Lobes latéraux peu élevés, l'angle postérieur à pointe arrondie, le bord postérieur peu sinué.

Élytres longs et étroits, à réticulation ponctuée, parsemés de quelques petites taches brunes, leur extrémité étroitement arrondie, la réticulation du champ marginal assez lâche et distincte.

Ailes hyalines, à extrémité arrondie.

Pattes faibles. Fémurs antérieurs portant en dessous sur le bord interne une rangée de 4 épines; les tibias en dessous deux rangées de 5 épines. Fémurs intermédiaires comprimés, offrant en dessous au bord externe une rangée de cinq épines; les tibias en dessus une rangée de 3, et en dessous deux rangées de 7 à 8 épines. Fémurs postérieurs armés en dessous d'une rangée de 8 épines longues, un peu recourbées en arrière; les tibias en dessus et en dessous deux rangées de 10 à 12 épines alternes, fines, aiguës avec la pointe noire.

Oviscapte très long. Cerci un peu arqués, à pointe grêle. Plaque sous-génitale carénée, un peu échancrée, ses angles arrondis.

Habite : Le Haut-Amazone.

Obs. Cette espèce semble se rapprocher beaucoup du *gracilis*, Scudd, mais cette dernière semble être une espèce de plus petite taille.

5. C. GRACILIS, Scudd.

C. gracilis, Scudder, Proc. of the Boston Soc. N. H. 1868-69, p. 7 ♂.

Cône du vertex spiniforme, à pointe aiguë légèrement arquée. Bords des mandibules et l'échancrure de la face, noirs. Élytres avec quelques points noirs le long du milieu. Pronotum 3,3 lignes.

Habite : La république de l'Équateur; Napo ou Maranon.

6. C. CONSPERSA, St.

C. conspersa, Stål, Recens. Orthopt., p. 104, 2. — Indes orientales; Surinam.

7. C. LANCIFERA, Burm.

C. lancifera, Burmeister, Handb., p. 703, 4. — Le Brésil; Bahia.

8. C. CARINATA, n.

C. cultricorni affinis; facie latiore; verticis cono basi dilatato, superne fortiter

carinato, in spinam minutam excurrente; tuberculis bascos quam in specie laudata magis prominulis; elytris brevibus; alis vitreis, apice subangulatis, vena ulnari multiramosa. ♂.

Long. du corps avec les élytres, ♂	47	Long. de l'élytre,	♂	36 mill.
» pronotum,	19	» du fémur postérieur,		15
Long. du cône, 6,5 mill.				

Très voisin du *cultricornis*; la face plus large; le cône du vertex élargi à sa base; les tubercules latéraux notablement plus saillants et presque aigus; le tubercule inférieur aigu et plus long; le cône tout entier très fortement caréné en dessous dans toute sa longueur, vu de profil s'atténuant de la base à l'extrémité, terminé par une petite épine.

Élytres plus courts; le tambour des élytres ayant sa cellule dorsale entièrement membraneuse, arrondie en arrière; sa cellule externe assez large et membraneuse.

Ailes hyalines, leur extrémité presque angulaire; la veine ulnaire très rameuse.

Habite: Le Haut-Amazone.

9. C. CULTRICORNIS, n. (Fig. 23).

Prasina, facie polita, nigro-punctata; verticis cornu apice acute compresso, ♀ a latere haud attenuato, rotundato; dente apicali minuto; ♂ apice subattenuato, mucronato; elytris latiusculis; femoribus posticis 11-spinosis; ovipositore longissimo.

Longueur du corps,	♀	48 mill.	Longueur de l'élytre,	♀	49 mill.
» pronotum,		11	» fémur postér.		23
» cône		8	» l'oviscapte		72
Largeur de l'élytre, 11 mill.					

Verte. Face lisse, peu rétrécie au sommet, offrant quatre points noirs reliés par deux lignes brunes et quatre petits points noirs formant une ligne transversale au-dessus du bord inférieur, lequel est un peu échancré, et deux points noirs au sommet du chaperon. Carènes sous-oculaires distinctes mais mousses; les joues derrière ces carènes obtusément tuberculeuses. Écusson frontal entre les antennes presque hexagonal, non rétréci au sommet, formant une très faible dent mousse. Le cône du vertex très comprimé et tranchant à son extrémité; vu de profil point rétréci, plutôt un peu élargi vers l'extrémité et arrondi en dessous, terminé en dessus par une très petite dent, sa dent frontale triangulaire; la face supérieure portant deux lignes de 4 à

5 tubercules, partagée par un sillon jusqu'au delà du milieu où elle devient carénée; tubercules ocellaires arrondis, placés sensiblement plus haut que le tubercule médian.

Pronotum sensiblement comme chez le *cornuta*, mais ses lobes latéraux un peu plus élevés; son bord postérieur peu arqué, ses bords latéraux subsinués.

Élytres assez larges, arrondis à l'extrémité d'une manière parabolique; la réticulation irrégulière.

Tibias et fémurs comme chez la *licornis*; les fémurs postérieurs armés en dessous de 11 épines.

Oviscapte excessivement long; plaque sous-génitale échancrée, ses angles triangulaires.

♂. Le cône du vertex un peu plus grêle et caréné en dessous, non dilaté mais plutôt atténué vers l'extrémité; vu de profil appointi d'une manière lancéolée ou en forme de mitre, sa pointe apicale un peu crochue. La cellule principale du tambour des élytres peu membraneuse, en partie réticulée, à bord postérieur angulaire; la cellule externe assez étroite.

Plaque suranale transversale, tronquée, en trapèze; plaque sous-génitale échancrée à angle obtus, ses angles arrondis portant deux styles courts. Cerci gros.

Habite : L'Amérique centrale,

10. C. RHINOCEROS, n. (Fig. 25).

Prasina; facie nitidissima; verticis cono corniformi, arcuato, acuto, dente infero elongato; frontis dente nullo; pronoti margine postico producto, leviter reflexo; elytris latis, apice ellipticis, violaceo-maculosis; femoribus anticis et intermediis 4-, posticis 8-9, spinosis; ovipositore elytris longiore; tarsorum articulo ultimo atro.

Longueur du corps,	♀ 43 mill.	Longueur de l'élytre,	♀ 49 mill.
» pronotum,	11	» du fémur postér.	22
» cône,	11	» de l'oviscapte,	53
Largeur des élytres, 15 mill.			

Verte. Tête lisse, très luisante en devant; la face un peu convexe transversalement, son bord inférieur assez fortement échancré en arc de cercle; mandibules largement bordées de noir; les carènes sous-oculaires formées de 4 ou 5 gros tubercules très arrondis, les joues derrière les carènes offrant aussi des tubercules très obsolètes.

Le cône du vertex en forme de corne cylindrique, très long et arqué, sa pointe très

aiguë, légèrement recourbée en avant, sa dent inférieure longue; tubercules ocellaires peu saillants, arrondis, peu élevés au-dessus de la dent; la dent frontale au-dessous de l'échancrure presque nulle; le cône en dessus offrant de chaque côté 5 à 6 tubercules en ligne très divergente.

Pronotum un peu plus prolongé en arrière que chez les autres espèces; métazone plate, un peu concave, son bord postérieur un peu relevé en forme de selle. Lobes latéraux comme chez le *cultricornis*.

Élytres larges, le bord antérieur arqué, l'extrémité largement arrondie, le bord sutural taché de brun rose, les élytres entre les nervures offrant des taches et des lignes de cette couleur, peut-être seulement dues à la dessiccation; le champ marginal offrant des nervures parallèles très distinctes.

Fémurs antérieurs et intermédiaires armés en dessous de 4 épines, et le postérieur de 8 à 9.

Oviscapte de la longueur des élytres et de la moitié du pronotum. Le dernier article des tarsi et les griffes, noirs.

Habite : L'Amérique centrale.

2. Genre *AGRÆCIA*, Serv.

Agræcia Serville, Orthopt., p. 525. — Stål, Recens., Orthopt. II. p. 401 et 415.

1. *A. PUPUS*, Sss. (Fig. 28, 28 a).

Agræcia pupus, H. de Saussure (in litteris).

Prasina; antennarum art. primo crasso, basi tumido, rostrum verticis superante; capite antice grosse punctato, supra leviusculo, seriatim punctulato; verticis rostro a latere adscendente apice incurvo; ore nigro-marginato; pronoto ubique rugulato et punctato, anterius fornicato, posterius supra plano; clytris ovipositorem superantibus apice late rotundatis, vena media paulum ultra medium oriente; femoribus latis, valde compressis, lobis genicularibus internis grandibus acute spinosis.

Longueur du corps,	♀ 97 mill.	Longueur de l'élytre,	♀ 66 mill.
" pronotum,	16	" du fémur post.,	30
Longueur de l'oviscapte, 26 mill.			

Verte. Le premier article des antennes gros et renflé à sa partie médiane intérieure.

Tête légèrement convexe en devant et arrondie en dessus; la face et les bords entièrement couverts d'une grossière ponctuation, peu profonde, presque réticuleuse, les ponctuations offrant au fond comme une sorte de granule aplati; le crâne lisse, offrant quatre zones de ponctuations légères et espacées. Rostre du vertex n'atteignant pas l'extrémité du premier article des antennes, conique, à pointe mousse, vu de profil ascendant avec l'extrémité recourbée en avant, et offrant en dessus à sa base un tubercule séparé du rostre par une profonde fissure. Yeux assez grands, ronds et saillants. Les bords du chaperon, l'extrémité des mandibules et les bords du labre, noirs.

Pronotum entièrement ponctué et ruguleux, voûté en avant; la métazone plate en dessus, son bord postérieur peu avancé et tronqué. Le bord inférieur des lobes latéraux droit, le postérieur à peine sinué; le sinus huméral faible.

Prosternum biépineux; mésosternum légèrement creusé entre ses lobes; métasternum transversal, portant à chaque angle antérieur une petite dent spiniforme.

Élytres de la couleur du corps, dépassant l'oviscapte, larges, à extrémité largement arrondie; la veine médiane séparée un peu après le milieu.

Ailes hyalines.

Pattes de la couleur du corps. Fémurs larges et très comprimés; les antérieurs armés en dessous de 6 : 5 petites épines sans compter celles des lobes géniculaires; les intermédiaires, au bord externe de 6 et au bord interne de 2, très petites épines. Lobes géniculaires internes grands, triangulaires, terminés par une épine aiguë, les externes beaucoup moins grands et terminés par une petite épine mousse. Tibias antérieurs armés en dessous de deux rangées de 6 épines et les intermédiaires de 8 à 9. — Fémurs postérieurs portant en dessous sur le bord externe 9 à 10 épines à pointe noire; tibias offrant en dessus deux rangées de 9 à 10 épines, et en dessous 12 à 13 épines sur le bord externe et 5 à 6 petites et noires sur le bord interne.

Oviscapte brun, assez large, recourbé; son extrémité émoussée. Cerci coniques et robustes. Plaque sous-génitale petite et échancrée à son extrémité.

Habite : La Nouvelle Irlande.

2. A. GODEFFROYI, n. (Fig. 29, 29 a).

Viridis; — ♀ *capitis facie rufa, rugulosa, superius maculis nigris 4, ore nigro, clypeo supra nigro inferius flavo; verticis rostro quam in A. pupo minus adscendente, tuberculoque ejus bascos minus prominulo; pronoto levigato; elytris apicem ovipositoris æquantibus, fumosis venis albidis; femorum lobis genicularibus internis rotundatis; tibiis basi genicu-*

lorum sulcoque infra-geniculari nigris; — ♂ capitis facie lævigata carinis lateralibus distinctis, sigmoidalibus; fronte summo tuberculum triangulare antrorsum vergente armata; pronoto postice producto, margine anguste rotundato; elytris angustioribus; lobo geniculari interno femorum anticorum longe spinoso, externo triangulari, mucronato vel inermi; cercis crassis, basi intus tubero maximo forcipe instar præditis.

Longueur du corps, ♀ 52 ♂ 45 mill. Longueur de l'élytre, ♀ 51 ♂ 45 mill.
 » pronot., » 15 » 15 » fém. post., » 25 » 25
 Longueur de l'oviscapte, 22 mill.

♀ Verte. La face légèrement convexe, densément ruguleuse et d'un beau roux-marron : les joues et le crâne luisants avec quelques punctuations éparses. Mandibules et labre noirs, ainsi que le sommet du chaperon ; la partie inférieure du chaperon jaune, palpes jaune-testacés ou verts ; une tache noire sous chaque œil, une à droite et à gauche de la dent frontale ; bord interne des fossettes antennaires noir, premier article des antennes varié de noir et de roux en dessous et une marque noire au vertex à côté de chaque œil.

Le rostre du vertex comme chez le *pupus*, mais moins ascendant et le tubercule de sa base moins élevé, n'en étant séparé que par un petit sillon.

Pronotum très luisant et légèrement ponctué par places.

Élytres atteignant l'extrémité de l'oviscapte, moins larges que chez le *pupus*, enfumés et à nervures blanches ; la veine médiane se séparant après le milieu de son trajet.

Pattes comme chez l'espèce précédente ; les lobes géniculaires externes des fémurs antérieurs arrondis et mutiques ou avec une très petite dent et les lobes géniculaires des tibias postérieurs un peu moins longuement épineux, surtout les externes ; tibias ayant la base des genoux et le sillon sous-géniculaire noirs.

Oviscapte comme chez le *pupus* ; cerci robustes, leur extrémité légèrement recourbée en dedans.

♂ Tête large ; la face convexe, lisse, ponctuée d'une manière obsolète et peu profonde ; les carènes sous-oculaires distinctes, ruguleuses, un peu sinuées en S, effacées au milieu et se terminant en dessous de l'angle antérieur des mandibules par une petite carène saillante. Le sommet du front à la hauteur des antennes offrant un tubercule presque triangulaire dirigé en avant ; la dent frontale comprimée et échancrée en avant, paraissant presque bidentée ; le tubercule de la base en dessus nul. Labre, mandibules, deux taches du chaperon et face interne du premier article des antennes, noirs ; la face et les joues d'un roux marron.

Pronotum lisse, fortement bosselé, à peine ponctué, son bord postérieur prolongé d'une manière parabolique, étroitement arrondi.

Élytres plus étroites que chez la ♀ ; la veine médiane se séparant après le milieu.

Lobes géniculaires internes des fémurs antérieurs armés d'une longue épine, les externes triangulaires avec une épine courte ou nulle ; les genoux des fémurs postérieurs avec deux épines longues et aiguës.

Segment anal arrondi et très faiblement bilobé au milieu. Cerci épais ayant à leur base un énorme renflement interne, courbés en pinces à l'extrémité, en s'atténuant fort peu et à pointe mousse. Plaque sous-génitale échancrée à angles obtus, armée de styles forts.

Habite : La Nouvelle Irlande.

3. Genre MACROXIPHUS¹, n.

Capitis vertex in spinam angustam compressam productus, primum antennarum articulum æquantem vel superantem, basi tuberculatam. Caput et pronotum ruguloso-punctata. — Pronotum postice truncatum, lateribus in lobum rotundatum retro-productis, margine postico supra illum valde inciso. — Prosternum breviter bispinosum ; mesosterni lobi acute producti ; metasterni lobi triangulares. — Elytra angusta, elongata, dense reticulata, vena humerali et discoidali contiguës. — Pedes compressi ; femora anteriora subtus in margine anteriore spinis 4, postica subtus uniseriatim spinosa ; tibiis anticis subtus spinulosis. — Ovipositor longissimus, latus, basi leviter angustatus, valvis superioribus inferiores superantibus.

Antennes notablement plus longues que le corps ; leur premier article offrant à son bord apical une petite dent obtuse.

Tête forte, formant au vertex un angle aigu. Le rostre du vertex comprimé en dessous, atteignant l'extrémité du premier article des antennes, finement sillonné en dessus et offrant à sa base un tubercule. La dent de l'écusson facial longue et triangulaire, appuyant sur la base du rostre frontal.

Pronotum assez grand, son sillon antérieur obsolète, les autres effacés en dessus ; le sillon typique en forme de gouttière, échancrant le disque et lui donnant une forme de selle² ; la prozone voûtée en avant, à bord antérieur arqué ; la métazone plate en dessus, à bord postérieur tronqué, à angles arrondis, de moitié moins longue que la

¹ De μακρός grand et ξίφος sabre.

² Le pronotum est comme s'il avait été défaussé, la partie postérieure ayant été un peu relevée, ce qui aurait produit une déformation des côtés.

prozone; le dos offrant deux arêtes latérales rugueuses et obsolètes, formant un dessin en forme de sablier à étranglement placé avant le sillon postérieur, et cette partie dorsale rugueuse. Lobes latéraux allongés, à bord inférieur presque droit, à angle antérieur obtus, l'angle postérieur prolongé en lobe arrondi, surmonté d'une forte échancrure à angles obtus.

Épines du prosternum aiguës; méso- et métasternum étroits; lobes du mésosternum étroitement triangulaires, prolongés et aigus.

Élytres longs, dépassant notablement les fémurs; l'extrémité arrondie, très densément réticulée par petites mailles; les veines humérale et discoïdale contiguës sauf à l'extrémité; la veine médiane naissant beaucoup après le milieu de la veine discoïdale; la veine ulnaire faible.

Ailes arrondies à l'extrémité.

Pattes grêles et comprimées; fémurs des pattes antérieures armés au bord antérieur de 4 épines avec de plus petites épines entre les grandes; tibias antérieurs arrondis et inermes en dessus, offrant en dessous deux rangées de 7 épines; leurs tambours linéaires. — Fémurs postérieurs armés en dessous au bord externe de 6 à 7 épines, et à l'interne de 1 épine subapicale; les tibias un peu plus longs que les fémurs, plats en dessus, arrondis en dessous, épineux sur les deux faces; offrant 4 éperons en dessous et 2 en dessus.

Oviscapte extrêmement long, rétréci à sa base, large et lisse jusqu'au bout, les valves supérieures dépassant les inférieures et appointies en triangle. Cerci robustes, styliformes, arrondis et aigus.

1. M. VAGINATUS, n. (Fig. 27).

Testaceus; antennarum articulis 1 et 2 testaceis; verticis spina adscendente, supra sulcata, basi tuberculata, tuberculo diviso; capite pronotoque rugosis, hoc ad sulcum posticum selliformiter plicato, castaneo, utrinque macula flavida, dorso fascia lata fusca, pone medium angustata et cranio fusco; pedibus corporis colore; ovispositore longissimo.

Longueur du corps,	♀ 42 mill.	Longueur de l'élytre,	♀ 47 mill.
» pronotum,	10	» du fémur post.,	28
Longueur de l'oviscapte, 52 mill.			

D'un testacé ferrugineux; le premier article des antennes gros et arrondi. Tête relevée, aplatie et lisse en devant, semée de ponctuations espacées; les bords des fossettes antennaires et les angles supérieurs du chaperon, bruns; le crâne châtain,

ponctué, rugulé avec deux taches pâles et lisses à la base. L'épine du vertex ascendante; la base portant en dessus un tubercule arrondi et partagé.

Pronotum fortement ponctué et rugulé; la partie dorsale offrant un dessin brun en forme de sablier et fortement rugueux, les bords du reste largement brun roux; entre ceux-ci et la bande brune dorsale de chaque côté une tache ovale jaune se prolongeant en arrière; le bord antérieur arqué, le bord postérieur transversal, à angles arrondis.

Élytres longs, entièrement couverts d'une ponctuation brune, très serrée dans la partie basilaire, plus pâle et plus lâche dans le dernier tiers.

Pattes : tibias intermédiaires armés en dessous au bord antérieur de 8, et au bord postérieur de 4 à 6 épines; tibias postérieurs en dessus de 11 : 12 assez grandes épines, en dessous dans leur seconde moitié de 2 : 4, et dans leur première moitié de quelques épines couchées.

Oviscapte lisse, plus long que le corps, d'un vert olive. Plaque sous-génitale large et formant deux dents triangulaires et courtes.

Habite : Java.

2. M. NASICORNIS, n. (Fig. 26, 26 a).

Obscure rufescens; capite et pronoto valde dense punctatis; capitis rostro mandibulisque nigris; antennis flavidis, articulis 1, 2 nigris; verticis spina primum articulum antennarum superante, supra carinata, basi in dentem compressum elevata; clytris elongatis bruno-irroratis et punctatis; femoribus nigro-fuscis, spinis luteis; tibiis et tarsis luteis.

Longueur du corps, ♀	36 mill.	Longueur de l'élytre, ♀	49 mill.
» pronotum, 11		» du fémur post.,	26
Longueur de l'oviscapte, 37 mill.			

D'un fauve brunâtre. Antennes jaunes à partir du troisième article; les deux premiers articles, le rostre du vertex et les mandibules d'un brun noirâtre. Tête luisante et partout assez fortement ponctué; rostre du vertex plus élargi à sa base que chez la *vaginalis*, dépassant le premier article des antennes, caréné en dessus, la carène tuberculeuse, crénelée, élevée en arrière sous la forme d'une dent triangulaire très élevée et arrondie au sommet; yeux très globuleux; palpes très longs et très grêles.

Pronotum presque plat en dessus, densément et fortement ponctué, ayant la même forme que chez la *vaginalis*, mais n'étant pas défaussé en arrière du milieu; la métazone légèrement remontante en arrière; les arêtes latérales de la prozone nulles, celles de la métazone arrondies; le sillon formant au milieu un angle dirigé en arrière.

Élytres longs, très étroits, entièrement couverts d'une ponctuation brune; l'extrémité arrondie.

Ailes hyalines, à extrémité obtuse; la veine médiane birameuse; le champ discoïdal et le champ postérieur sensiblement réticulés en carré par des veinules transverses.

Hanches intermédiaires et postérieures offrant souvent à leur base une épine à pointe jaune; les hanches postérieures offrant sur l'angle interne de leur bord une dent mousse avec une petite tache jaune.

Fémurs et genoux d'un brun noir, à épines jaunes et à pointe noire; fémurs antérieurs portant en dessous 3 épines; tibias et tarsi d'un jaune testacé. Fémurs postérieurs sans épine subapicale interne.

Oviscapte plus court que dans l'autre espèce

Plaque sous-génitale en triangle arrondi à peine échancré; plaque suranale triangulaire, ses bords réfléchis en bas perpendiculairement, d'où résulte que l'extrémité offre une carène perpendiculaire et que leur face supérieure est en triangle large bordé d'arêtes vives.

Cette espèce se distingue facilement de la précédente, par son rostre du vertex plus long, ses fémurs d'un brun noirâtre, et son oviscapte plus court.

Habite : Java.

TRIBU des DECTICIENS

Dectidae, Brunner de Wattenwyl, Monogr. der Phaneropteriden, p. 11. — Stål, Recens. Orthop. II, p. 99.

1. Genre PARADRYMADUSA, Herm.

Paradrymadusa, Hermann, Vehr. Zool. Bot. Gesell. Wien, XXIV, 1874, p. 499.

1. P. SYRIACA, n. (Fig. 37).

Grisea; capite nigro-consperso, antennis polito; verticis rostro lato, rotundato, a dente

frontali sulco subtili sejuncto; pronoto circumcirca subtiliter luteo-limbato; margine anteriore truncato; disco fusco-maculato utrinque macula pallida; elytris coriaceis, ♀ ad tertium abdominis segmentum extensis; pedibus gracilibus, posticis longissimis; ovipositore angusto, perparum arcuato apice acuto. ♀.

Longueur du corps, ♀ 31 mill.	Longueur de l'élytre, ♀ 8 mill.
» pronotum, 9	» fémur post., 32
Longueur de l'oviscapte, 20 mill.	

Grise. Tête tachée, lisse et luisante en devant. Rostre du vertex large et arrondi, séparé de l'épine frontale par un très faible sillon transversal. Yeux grands, ovales et peu saillants.

Pronotum entouré d'un très fin liseré pâle occupant seulement l'ourlet; son disque offrant de larges taches brunes avec une tache pâle de chaque côté; le bord antérieur tronqué au milieu, le postérieur arrondi.

Prosternum transversal, armé de deux très petites dents placées à côté des hanches; lobes du mésosternum en triangle régulier, ceux du métasternum en triangle large et arrondi.

Élytres coriacés, atteignant l'extrémité du deuxième segment abdominal, se recouvrant légèrement par leur bord interne; les veines humérale et discoïdale parallèles; la veine médiane séparée tout près de l'extrémité; la veine ulnaire bifurquée au milieu de l'élytre.

Pattes grêles, les postérieures très longues. Fémurs antérieurs offrant en dessous sur le bord interne 4 à 5 très petites épines, les intermédiaires seulement 3. Tibias antérieurs armés en dessus de 2 épines sur le bord externe, et en dessous de deux rangées de 5 à 6 épines longues et aiguës, surtout les externes; tibias intermédiaires portant en dessus 3 épines sur le bord externe et 2 sur le bord interne, en dessous deux rangées de 5 épines.

Fémurs postérieurs renflés à la base, linéaires dans leur seconde moitié, offrant en dessous deux rangées de 8 à 9 très petites épines; tibias en dessus plats et armés de deux rangées de 27 à 28 épines; en dessous garnis de deux rangées de 8 à 10 spinules, la base restant inerme sur les deux faces; l'éperon supérieur-interne très long et un peu crochu.

Oviscapte étroit, très peu arqué, à pointe aiguë. Plaque suranale échancrée et terminée par deux pointes. Cerci aigus.

Cette espèce diffère de la *P. longipes*, Brun. par ses tibias antérieurs plus courts, n'ayant pas $1 \frac{1}{2}$ fois la longueur du pronotum; de la *P. sordida*, Herm. par des

élytres plus longs et se touchant sur le dos; et des deux espèces par une taille plus grande et un oviscapte beaucoup moins long à proportion.

Habite : La Syrie.

2. Genre GAMPSCOLEIS, Fieb.

Gampsocleis, Fieber, ap. Kelch. Grundl. zur Kenntniss d. Orth. Oberschlesiens, 1852, p. 5; Synops. d. eur. Orthopt. 1853, p. 38, 1. — Brunner de Wattenw., Prodr. d. Eur. Orth., p. 318.

1. G. GRATIOSA, Brunn. (Fig. 34).

Obesa, fulvenscens; verticis rostro lato, superne rotundato, subtiliter lateraliter marginato; ejus carinis ad frontem convergentibus; pronoto anterius fornicato, disco planato, margine postico arcuato, in medio incisura minuta, lobis lateralibus flavo-limbatis nec non macula obsoleta pallida; clytris brevissimis, latissimis in 5° abd. segmento desinentibus, campo marginali angustissimo, campo anali quam reliquum clytrum parum angustiore. ♂.

G. gratiosa, Brunner de Watt., Sitzungsber. d. Zool. Botan. Gesellsch., 1863, (Orth. der Reise der Fregatte Novara, p. 9.)

Longueur du corps, ♂ 42 mill.	Longueur de l'élytre, ♂ 20 mill.
» pronotum, 14	» du fémur post., 32

Corps obèse, fauve. Tête lisse, couverte d'une très fine ponctuation; le crâne un peu convexe, formant avec la face un angle droit-arrondi; rostre du vertex large, arrondi en dessus, finement bordé latéralement, ses carènes marginales convergentes sur le front, effacées à l'extrémité avant d'atteindre le sillon frontal; yeux très grands, courts et pas très saillants; palpes longs et très grêles.

Pronotum d'un brun testacé, légèrement convexe en avant du sillon antérieur, plat sur le reste du disque; le sillon antérieur très distinct, le médian formant en dessus un sinus en forme de V, le postérieur obsolète, oblitéré sur les côtés. Arêtes latérales obsolètes dans la première moitié, devenant dorsales en arrière; le bord postérieur arqué avec une petite échancrure distincte au milieu.

Lobes latéraux larges, entourés d'une bande jaune avec une large tache obsolète en arrière du sillon median; l'angle antérieur arrondi, le postérieur obtus-arrondi, les bords coupés droit, le bord inférieur peu ascendant en avant; le sinus huméral nul.

Les dents du prosternum longues, spiniformes et parallèles; lobes du mésosternum très allongés en forme de dent aiguë, ceux du métasternum triangulaires à pointe aiguë.

Élytres verts, très courts, très larges, s'arrêtant sur le cinquième segment de l'abdomen, coriacés, à extrémité largement arrondie; les nervures brunes; le champ marginal très étroit; les veines humérale et discoïdale très écartées; chacune des aires discoïdales plus large que le champ marginal; la veine ulnaire bifurquée après le milieu de l'élytre; le champ anal presque aussi large que le reste de l'élytre, coriacé; l'élytre gauche portant un tambour et l'élytre droit offrant une grande cellule vitreuse et arrondie.

Ailes n'existant que sous la forme de très petits rudiments.

Pattes comprimées. Fémurs antérieurs armés en dessous au bord antérieur de 8 petites épines et les intermédiaires de 13 à 14; tibias des deux premières paires portant en dessous deux rangées de 6 fortes épines, les antérieurs 3 épines en dessus.

Fémurs postérieurs armés en dessous de deux rangées d'épines noires nombreuses et petites; tibias offrant en dessus une double rangée de 27 à 28 épines, et en dessous deux rangées de 6 à 7, la base restant inerme.

Plaqué suranale transversale, son bord postérieur arqué. Cerci aigus, peu déprimés, comprimés au bout, offrant une face interne un peu concave bordée de deux arêtes, leur dent grosse et mousse. Plaque sous-génitale débordant un peu les cerci, carénée sur les bords, son extrémité échancrée d'une manière très obtuse, légèrement sinuée de chaque côté avec une incision triangulaire au milieu.

Habite : La Chine.

3. Genre EUMENYMUS¹, n:

Pronotum margine postico arcuato. — Prosternum longe bispinosum. — Elytra et alae perfecte explicatae. — Femora omnia subtus spinosa. — Tibiae anticae supra in margine externo trispinosae; tarsorum posticorum articulus primus lobis brevissimis. — Ovipositor rectus apice haud truncatus. — Cerci recti, elongatissimi. — Segmentum anale ♀ in medio depressum, sulcatum, marginibus posticis in dentes duos productis, ♂ fortiter emarginatum et canaliculatum.

Prosternum longuement biépineux. Lobes de la base des tarsez postérieurs très

¹ De εὖ bien et μίνυμα signalement — au bon signalement.

courts, arrondis et latéraux. — *Organes du vol* développés. — *Fémurs* des deux premières paires portant en dessous une rangée, ceux de la paire postérieure deux rangées d'épines. *Tibias* postérieurs armés en dessous de 4 éperons dont les deux externes ne sont pas extraordinairement longs. — *Oviscapte* légèrement recourbé en bas, terminé en pointe régulière (non tronquée). — *Cerci* des mâles très longs, cylindriques dans leur partie apicale.

Ce genre diffère des *Drymadusa* par son oviscapte qui n'est pas tronqué à son extrémité, par les cerci des mâles qui ne sont pas arqués et par le segment anal qui est échancré plutôt que fendu; — des *Paradrymadusa* par les longues épines prosternales, par les cerci ♂ très longs, déprimés seulement à leur base; — des *Anatola* par ses fémurs armés d'épines en dessous, par son pronotum non caréné, ses organes du vol bien développés, ses cerci ♂ droits et allongés; — enfin des *Gampsocleis* et des *Pterolepis* par les lobes du premier article des tarses postérieurs qui sont très courts, par des fémurs distinctement épineux en dessous, le segment anal ♂ échancré et bidenté, et des cerci très allongés.

1. E. VAUCHERIANUS, n. (Fig. 36).

Prasinus; capite a latere ad verticem fere rectangulo; pronoto lævigato, sat longe in metanoto producto; elytris ad femorum apicem extensis, basi latis, apice attenuatis, acute rotundatis, campo marginali latissimo, basi fere dimidiam latitudinem elytri efficiens, vena media in media longitudine elytri oriente; pedibus robustis; tibiis anticis superne spinis 3, intermedis 6; femoribus posticis elongatis, basi modice crassis; ♀ ovipositore femoribus posticis paulo brevioribus, subdeflexo; segmento anali supra margine medio bispinoso; ♂ segmento anali bidentato, cercis longissimis, basi dilatatis dente acuto, dehinc gracillimis; lamina infragenitali rotundato-bilobata.

Longueur du corps,	35 mill.	Longueur de l'élytre,	37 mill.
» pronotum,	13	» du fémur post.,	31
		Longueur de l'oviscapte,	22 mill.

D'un vert clair. La face vue de profil formant presque un angle droit avec le vertex; le crâne convexe, yeux assez ronds.

Pronotum lisse; la métazone en dessus aplatie, très finement rugulée et obsolètement subcarénée; son bord postérieur arqué et assez prolongé sur le métasternum; l'échancrure humérale sensible.

Les dents du prosternum longues, parallèles, cylindriques et mousses au bout; lobes

du mésosternum allongés en forme de dent triangulaire et mousse; ceux du métasternum en triangle presque régulier, un peu arqués et à pointe mousse.

Élytres de la couleur du corps, atteignant à peu près l'extrémité du fémur postérieur, larges à la base, très atténués au bout, appointis-arrondis; la réticulation lâche, excepté sur le champ anal où elle est plus serrée. Le champ marginal très grand, ayant près de sa base la moitié de la largeur de l'élytre. La veine médiastine rameuse et un peu irrégulière; les veines humérale et discoïdale parallèles, peu écartées et un peu flexueuses; la veine médiane ramifiée seulement à l'extrémité, se séparant de la veine discoïdale au milieu de sa longueur, s'approchant au commencement de son trajet de la veine ulnaire et émettant à l'extrémité trois petites branches. La partie basilaire de l'élytre entre la veine médiastine et la veine anale ♀, ulnaire ♂, réticulée par veines transverses.

Pattes robustes. Fémurs des deux premières paires offrant en dessous sur le bord antérieur une rangée de 7 à 10 très petites épines noires. Tibias antérieurs armés en dessus de 3 épines, et en dessous de deux rangées de 6 épines; les intermédiaires portant en dessus 4 épines sur le bord interne et 2 sur le bord externe, en dessous deux rangées de 6 épines. Fémurs postérieurs longs, leur partie grêle ayant moins de la moitié de leur longueur, peu renflés à la base portant en dessous deux rangées de 8 à 10 petites épines; tibias de même longueur que les fémurs, armés en dessus de deux rangées de 20 à 25 épines, et en dessous de douze sur le bord externe et 6 à 7 sur le bord interne. Les éperons inférieurs peu allongés; les deux latéraux à peine plus longs que les épines apicales supérieures.

♀ Segment anal offrant au milieu une forte dépression partagée par un sillon dont les angles postérieurs forment deux dents spiniformes; plaque suranale formant un triangle régulier; plaque sous-génitale fendue, formant de chaque côté un lobe parabolique. Oviscapte brunâtre, lisse, un peu moins long que les fémurs postérieurs et légèrement recourbé en bas, son extrémité très aiguë.

♂ Segment anal terminé par deux dents triangulaires, fortement échancré en V arrondi et profondément cannelé avant l'échancrure. Cerci très longs, dépassant de moitié le segment anal, subcylindriques, très grêles dans la partie placée au delà de leur dent interne, mais élargis vers la base et dilatés au bord interne, leur dent interne aiguë, un peu oblique et placée au niveau des dents du segment anal; plaque sous-génitale échancrée angulairement, bilobée en lobes arrondis.

Habite : Le Maroc, Tanger.

4. Genre THORACISTUS¹, n.

Tibiæ posticæ subtus calcaribus 4. — Prosternum longe hispinosum. — Plantulæ liberæ tarsorum posticorum breves, inferæ. — Femora postica subtus spinulosa. — Vertex cum fronte unguulatim continguis. — Pronotum læve, disco convexo, posterius longe productum, ♀ addominis basin, ♂ abdomen totum obtegens, utrinque sinuatum, superne valde retro-productum. — Meso-, et metasternum hispinosa. — Tibiæ anticæ et intermediæ subtus utrinque longe 6-spinosæ, supra anticæ 1-, intermediæ 5-spinosæ. — ♀ Apteræ. Ovipositor rectus, acuminatus, margine supero apice recto, valvis inferis spiniformiter productis. — ♂ Elytra membranacea sub pronoti processu abscondita. Segmentum anale transversum arcuatim truncatum. Cerci ♂ crassi, teretes, obtusi, intus dentati. Lamina infra-genitalis producta.

Antennes fines et longues, le premier article fortement aplati. La tête peu large, étroite en dessus; la face subglobuleuse. Rostre du vertex parallèle en dessus, triangulaire en devant, se joignant à la dent frontale par un très petit bord; la dent frontale triangulaire. Yeux peu saillants.

Pronotum allongé, convexe, ses carènes latérales nulles ou à peine sensibles; le bord antérieur légèrement sinué, recouvrant un peu l'occiput; le bord inférieur sinué, fortement prolongé en arrière au dessus de l'abdomen, ce prolongement formé par toute la métozone qui est parabolique, au moins aussi longue que la prozone et striée longitudinalement. Lobes latéraux arrondis.

Prosternum armé de deux épines droites, longues, aiguës et écartées; lobes des méso- et metasternum prolongés en épine.

Pattes médiocrement fortes. Fémurs antérieurs assez grêles, offrant en dessous sur leur bord interne 3 petites épines noires. Épine des hanches antérieures longue. Tibias antérieurs et intermédiaires armés en dessous d'une double rangée de 6 longues épines et en dessus, les antérieurs de 1, les intermédiaires de 3:2 épines.

Fémurs postérieurs peu fortement renflés à la base, linéaires dans leur seconde moitié, portant en dessous deux rangées de petites épines. Tibias postérieurs armés en dessous de 4 éperons, les supérieurs notablement plus longs que les inférieurs. Les sandales articulées du premier article des tarsi postérieurs n'atteignant qu'au milieu de cet article.

¹ δωρακιζω cuirasser, — qui est cuirassé.

♀ Aptère; le pronotum prolongé en arrière d'une manière parabolique par-dessus la base de l'abdomen; ses bords latéraux très obliques et subsinués en arrière de l'angle postérieur. Oviscapte long, très étroit, presque droit, à peine arqué à l'extrémité, non tronqué; les valves supérieures droites à l'extrémité; les inférieures arquées à l'extrémité et prolongées au delà des supérieures en forme d'épine. Plaque sous-génitale à pointe échancrée.

♂ Pronotum très fortement prolongé en arrière en forme de bateau renversé couvrant et enveloppant tout l'abdomen; ses bords latéraux horizontaux dans toute leur longueur et fortement sinués entre les hanches antérieures et postérieures.

Élytres très courts, membraneux, entièrement cachés sous la cuirasse.

Segment anal un peu prolongé, à bord postérieur largement sinué, formant de chaque côté un angle presque aigu. Cerci cylindriques, courts, à pointe très obtuse, offrant une dent interne obtuse. Plaque sous-génitale débordante, presque ovoïde, à bord apical échancré, à angle obtus, à bords latéraux bordés; styles médiocres.

Ce genre appartient au groupe des *Drymadusa* par l'armure de ses tibia postérieurs et par la structure de ses tarsi postérieurs, mais il représente dans ce groupe le type des *Thyreonotus* par suite de l'allongement du pronotum et il exagère même considérablement ce caractère.

1. T. PERINGUEYI, n. (Fig. 16 ♀, 21-21 c ♂).

Viridissima; pronoti prozona superne sulcata; lobis lateralibus rugulatis; metazona multicoskulata, ♀ prozone æquilonga, ♂ abdominis longitudine, convexa retro-attenuata.

Longueur du corps,	♀ 22	♂ 20	mill.	Longueur des fémurs post.,	♀ 25	♂ 23	mill.
»	pronotum,	12	18	»	de l'oviscapte,	18	

Verte. La tête enfoncée dans le pronotum jusqu'aux yeux.

Pronotum ayant les deux parties séparées par une sorte de gouttière dorsale arquée, très peu distincte chez le mâle; la prozone partagée par un sillon longitudinal qui n'atteint pas le bord antérieur, lisse en dessus avec quelques ponctuations vagues; les arêtes latérales légèrement indiquées, très obsolètes, divergentes en arrière, dessinant une sorte de replat dorsal assez étroit; les lobes latéraux offrant des granulations lisses et subobsolètes. La métazone parcourue par de nombreuses veines longitudinales saillantes, parallèles, dont l'une sert de carène médiane, les latérales plus écartées, divergentes et irrégulières, les bandes entre ces veines irrégulièrement ponctuées et réticuleuses.

♀ Pronotum vu de profil à bord supérieur droit, la métazone au moins de même longueur que la prozone. Oviscapte très étroit et aigu.

♂ Pronotum très convexe, emboitant tout l'abdomen à la manière d'une cuirasse; la métazone très allongée, vue en dessus presque piriforme avec l'extrémité arrondie, vue de profil très convexe s'abaissant obliquement en arrière, ses bords inférieurs un peu dilatés d'une manière lamellaire au-dessous de la carène qui continue le bord inférieur des lobes latéraux de la prozone.

Plaque sous-génitale atteignant aussi loin que les cerci.

Habite : Le Transvaal; ♀ ♂ de M. Peringuey. — Musée du Cap.

5. Genre IDIOSTATUS¹, n.

Rostrum verticis latum, articulo primo antenarum latius, rotundatum, cum fastigio frontis per sulcum transversum conjunctum. — *Antennæ graciles, elongatæ, articulo primo compresso.* — *Pronotum supra planum, postice leviter elevatum et truncatum; canthis lateralibus distinctis, inter sulcos evanidis.* — *Elytra et alæ abbreviata.* — *Coxæ anticæ spina acuta armatæ.* — *Femora omnia subtus spinulosa; tibiæ anticæ supra in margine externo 3-4 spinosæ.* — *Pedes postici longissimi; femora dimidia parte apicali lineari.* — *Prosternum muticum; lobi meso-, et metasterni triangulares.* — *Lamina subgenitalis anguste profunde incisa; segmentum anale rotundatum, postice emarginatum.* — *Cerci deplanati, acuti, intus dentati.*

Antennes très fines, longues, le premier article comprimé, le second cylindrique. *Tête* étroite à sa partie supérieure, aplatie en devant avec sa face assez haute, formant avec le crâne un angle presque droit et arrondi. Rostre du vertex plus large, que le premier article des antennes, de forme ovoïde, à bords aigus, séparé de la pointe de l'écusson facial par un sillon transversal. Yeux arrondis, médiocrement saillants.

Pronotum plat en dessus, peu prolongé en arrière, et ne couvrant que la base des élytres; le sillon antérieur très distinct; le sillon typique très obsolète en dessus, interrompu au passage des carènes et légèrement creusé en gouttière sur les lobes latéraux. La métazone notablement moins longue que la prozone, un peu relevée en arrière, le bord postérieur tronqué; les arêtes latérales distinctes et arrondies sur la métazone, effacées entre les sillons, appréciables et divergentes en avant vers le bord antérieur. Lobes latéraux assez grands; l'angle antérieur obtus, le postérieur arrondi; le bord inférieur droit, le postérieur à peine sinué, presque droit.

¹ De ἴδιος particulier, et τᾶτος forme, — aux formes très particulières.

Prosternum mutique; lobes du méso- et métasternum triangulaires à pointe mousse.

Organes du vol très raccourcis.

Pattes comprimées et longues; les postérieures très longues. Hanches antérieures offrant en dessus une épine longue et aiguë; celles des autres paires formant en dessous à leur bord un angle arrondi, subtuberculeux. Tous les fémurs atténués vers l'extrémité; ceux des deux pattes antérieures offrant en dessous sur le bord interne, les antérieurs 4 et les intermédiaires 7 très petites épines. Tibias antérieurs armés en dessus de 4 épines sur le bord externe, et en dessous de deux rangées de 6 épines longues et aiguës; les tambours linéaires, s'ouvrant sur la face supérieure.

Fémurs postérieurs renflés dans leur première moitié, très grêles dans leur seconde moitié, armés en dessous de deux rangées de très petites épines; les tibias offrant en dessous 4 éperons. Sandales du premier article des tarses postérieurs courtes et infères, n'atteignant qu'un peu au delà du milieu de l'article.

♂ Segment anal ayant sa partie postérieure occupée par un large triangle arrondi, submembraneux et rugueux, à bord postérieur légèrement échancré. Cerci aplatis, larges, dilatés au bord interne en forme de dent. Plaque sous-génitale longue, profondément échancrée en forme de V aigu, ses carènes arrondies, styles longs.

Ce genre diffère des *Anabrus* par ses formes plus grêles, ses pattes plus longues, la tête étroite, plus haute que large, le pronotum moins prolongé en arrière, les élytres plus développés; par ses cerci plus grands et de forme caractéristique; par ses tibias antérieurs armés seulement de 4 épines en dessus au bord externe, le bord interne n'en possédant pas, tandis que chez les *Anabrus* on trouve 5 à 6 épines sur le bord externe et 2 sur le bord interne, et enfin par ses organes du vol moins rudimentaires.

1. I. CALIFORNICUS, n. (Fig. 35, 35 a).

Prasina vel fulvescens; pronoti margine postico et laterali utrinque luteo; elytris ♂, segmenta 2-3 abdominis tegentibus; tibiis intermediis supra intus 4, extus 2 spinosis; cercis valde deplanatis, intus in dentem triangularem productis, subtus basi tuberculo rotundato præditis.

Longueur du corps,	24 mill.	Longueur de l'élytre,	5 mill.
» pronotum,	8	» du fémur post.,	22

D'un fauve testacé. Antennes de la couleur du corps. Tête lisse et luisante, aplatie en devant, parsemée d'une très faible ponctuation et toute pointillée de gris.

Pronotum d'un jaune grisâtre, ses bords ourlés; les lobes latéraux légèrement

ponctués, offrant le long du bord postérieur une bande jaune et lisse bordée de brun en dedans.

Élytres très courts, ne dépassant guère le troisième segment de l'abdomen; tout entiers assez triangulaires, à extrémité arrondie; le champ dorsal membraneux, occupé tout entier par le tambour, réticuleux au bord postérieur; le champ latéral fortement cannelé, brunâtre; le champ marginal fort peu élargi vers sa base; le champ intermédiaire compris entre la veine discoïdale et la veine ulnaire plat et grossièrement réticuleux.

Ailes atrophiées.

Les fémurs postérieurs offrant en dessous deux rangées de 7 à 8 très petites épines noires, la base et la partie apicale restant inermes; tibias plats en dessus, armés de deux rangées de 22 à 24 épines, arrondis en dessous avec une double rangée de 8 à 9 épines et la base inermes. Les épines des tibias blanchâtres à pointe noire.

Cerci aplatis, s'avancant aussi loin que les styles de la plaque sous-génitale, larges, offrant en dessous et près de la base une dent très arrondie et sur le bord interne une large dent triangulaire terminée par une forte épine aiguë.

Habite : La Californie.

6. Genre APROSPHYLUS¹, n.

Caractères généraux.

Tarses déprimés, les deux premiers articles portant un sillon latéral. Tibias antérieurs ayant un tambour ouvert, ovale; parcourus de chaque côté et en dessus par un sillon, portant en dessus une épine apicale externe, dépourvus d'épine apicale interne.

Le premier article des tarses offrant en dessous deux lobes libres; les lobes du premier article des tarses postérieurs courts, arrondis et latéraux. Fémurs postérieurs armés d'épines en dessous; les tibias postérieurs portant en dessous deux éperons seulement. Ce type occupe dans la disposition des tribus de la famille des Locustaires, telle qu'elle a été établie par M. Brunner de Wattenwyl, une position assez curieuse en ce sens que, par ses tibias antérieurs sillonnés en dessus et leurs tambours ovales, il semble appartenir à la tribu des *Phanéroptérides*; tandis que par les deux premiers articles des tarses qui portent un sillon latéral, et par la présence de lobes libres au

¹ De ἀπρόσφυλος qui n'appartient pas à la tribu, — qui est d'une parenté contestable.

premier article des tarsi postérieurs, il paraît rentrer dans la tribu des *Decticides*. Ces derniers caractères étant les plus importants, c'est bien dans cette dernière tribu que nous le classons. Il y forme un genre aberrant et entièrement isolé par ses caractères mixtes.

* *

Caput et thorax minuta. — *Fastigium verticis liberum, utrinque marginatum a dente frontali sejunctum, sulcatum.* — *Pronotum levigatum, convexum; sulco postico obsolete; margine anteriore arcuatim producto; lobis lateralibus rotundatis.* — *Sterna mutica.* — *Elytra elongata, membranacea, remote reticulata, apice rotundata, venis longitudinalibus crassis.* — *Pedes longi, gracillimi; tibiis anticis supra et utrinque sulcatis, subtus et supra spinulosis, supra in margine externo spina apicali instructis, foraminibus apertis; femoribus posterioribus basi incrassatis, subtus remote spinulosis.* — *Articulus primus tarsorum posticorum subtus plantulis liberis, lateralibus, rotundatis instructus.* — *Ovipositor subrectus, acuminatus.*

Tête courte formant au vertex un angle peu aigu, presque droit. Le rostre du vertex s'atténuant à l'extrémité, arrondi au bout, calleux, partagé par un sillon et se prolongeant en arrière sous la forme de deux branches divergentes plus saillantes que le reste du crâne, lequel vient se terminer en triangle entre ces deux branches; l'extrémité du rostre vue en avant, en triangle arrondi; le crâne offrant deux sillons faisant suite aux branches calleuses du rostre; l'écusson facial se terminant supérieurement par une dent en triangle étroit et séparé du rostre du vertex par une échancrure de quelque longueur. Yeux ovoïdes, saillants, séparés du rostre par des gouttières. Le premier article des antennes assez gros et cylindrique; les bourrelets des fossettes antennaires non saillants en dessus.

Pronotum petit et en forme de selle, mais non creusé; ses sillons obsolètes en dessus, le sillon médian interrompu au milieu, le postérieur n'existant que sous la forme d'une dépression transversale; le bord antérieur arqué, un peu prolongé sur l'occiput, le bord postérieur un peu prolongé sur la base des élytres et largement arrondi; les sinus huméraux distincts et larges. Lobes latéraux très arrondis, l'angle antérieur obtus. — *Sternum* mutique.

Élytres très longs, entièrement membraneux, la réticulation lâche et irrégulière; l'extrémité assez largement arrondie, au repos paraissant s'élargir en arrière; les veines humérale et discoïdale contiguës jusqu'au milieu de leur trajet, la première envoyant des branches obliques au bord marginal, la veine médiastine faible et peu allongée;

la veine médiane bifurquée, ses branches allant rejoindre le bord apical; la veine ulnaire émettant après le milieu des petites branches vers le bord sutural.

Ailes larges, un peu plus courtes que les élytres.

Pattes très longues, très grêles, les fémurs postérieurs seuls renflés dans leur première moitié; fémurs antérieurs offrant en dessous sur le bord externe 4 à 5 très petites épines; les intermédiaires 5 sur le bord externe et 2 à 3 sur le bord interne; tous les tibias armés d'épines en dessus et en dessous.

Lobes du deuxième article de tous les tarse très grands et arrondis.

Oviscapte presque droit et régulièrement appointi.

1. A. HYBRIDUS, n. (Fig. 22).

Prasina vel flavescens; pronoti margine postico, antico utrinque limboque loborum lateralium nigris; elytris femora post. superantibus, subhyalinis, serie macularum inter venas campi anticæ, maculis nonnullis inter venam discoidalem et mediam, maculis 5-6 quadratis inter venam ulnarem et mediam, alteris minoribus versus basin, numerosis majoribusque transversis in area ulnari, genibus et tarsis posticis, nigris; ovipositore angusto, castaneo, apice valde granulato. ♀.

Longueur du corps,	♀ 26 mill.	Longueur de l'élytre,	♀ 41 mill.
» pronotum,	6	» du fémur post.,	24
Longueur de l'oviscapte, 20 mill.			

Jaunâtre et probablement vert pendant la vie. Tête lisse et luisante; les bourrelets marginaux du rostre du vertex d'un jaune calleux.

Pronotum petit et luisant, les deux sillons transversaux prononcés sur les côtés, le médian formant de chaque côté en dessus un enfoncement, et effacé au milieu; le postérieur nul mais indiqué en dessus par une sorte de gouttière. Le bord antérieur de la prozone très légèrement sinué de chaque côté par suite de son prolongement supérieur; la métazone un peu plus courte que la prozone, prolongée sur la base des élytres, légèrement plus élevée, son bord postérieur largement arrondi; la ligne dorsale occupée par un sillon interrompu par le sillon transversal antérieur et oblitéré entre le sillon intermédiaire et le postérieur. Lobes latéraux ayant le bord inférieur très arqué; la plus grande saillie de ce bord située en son milieu (et non en arrière); tout le bord postérieur et l'antérieur, sur les côtés seulement, noirs.

Élytres très longs, dépassant longuement les fémurs postérieurs, subhyalins, à nervures de la couleur du corps, offrant: une série de taches entre les nervures du

champ marginal; quelques petites taches entre la veine discoïdale et la veine médiane; une série de taches carrées au nombre de 5 à 6 entre la veine discoïdale et la veine ulnaire (soit 3 grandes taches carrées, dont la dernière dans la fourche de la veine médiane et d'autres plus petites vers la base); enfin d'assez nombreuses taches transversales dans le champ ulnaire; l'extrémité de l'organe noir. La veine discoïdale émettant la veine médiane à peu près au milieu de son trajet; celle-ci largement bifurquée, sa branche antérieure trifurquée; sa branche postérieure souvent bifurquée et se terminant sur le bord sutural de l'élytre.

Ailes hyalines à nervures vertes.

Pattes très longues et grêles. Tibias antérieurs offrant en dessus au bord interne 5 épines et 3 au bord externe, en dessous 8 à 10 au bord interne et 3 à 4 au bord externe; les intermédiaires portant en dessus, 9 à 10 épines au bord interne et 4 à 5 au bord externe, en dessous 12 à 13 internes et 10 à 11 externes.

Fémurs postérieurs armés en dessous au bord externe de 5 à 6 et au bord interne de 2 à 3 petites épines espacées; tibias de même longueur que les fémurs, offrant en dessus deux rangées de 25 à 27 et en dessous deux rangées de 12 à 13 épines, la base restant inerme. Les tarses de toutes les pattes et les genoux postérieurs bruns.

Oviscapte presque droit, long, étroit, de couleur marron, régulièrement appointi, non tronqué obliquement, fortement granulé à l'extrémité; ses bords finement denticulés dans leur tiers apical; sa pointe aiguë.

Plaque sous-génitale en triangle arrondi à l'extrémité; plaque suranale courte, échancrée au milieu. Cerci courts, styliformes, un peu recourbés en arrière.

Habite : L'Afrique méridionale; Angra.

TRIBU des HETRODIENS

Hetrodidae, Brunner de Wattenwyl, Monogr. der Phaneropteriden, p. 11. —
Hetrodes, Stål, Recens. Orthop. II, p. 5.

1. Genre ACANTHOPROCTUS, Karsch.

Karsch, Orthopt. Beiträge (Berliner Entomolog. Zeitschrift, XXXI, 1887, Heft L, p. 54 et 65).

Synopsis des espèces.

- a.* Frontis spina elongata. Pronoti cornua oblique antrorsum vergentia, leviter torsata. Margines laterales inter cornua et dentem discoidalem sinum laevum, apertum, semiorbicularem efficientes: Pronoti margo posticus prominulus, faciem posticam angustam perpendicularem præbens, cantho superiore spinoso. Prozonæ disci spina lateralis et metazonæ pleurarum spinæ 2 laterales elongatæ ac acutæ. Tibiæ posticæ subtus utrinque 4-5 spinosæ, spina prima a reliquis remota. Abdomen seriebus 3 tuberculorum vel spinarum armatum.
- b.* Tibiæ posticæ superne muticæ. Abdomen tuberculatum: Pronoti metazona superne plana, truncata, bisinuata, in margine spinis 5 armata.....1. *capreolus*, n.
- b.* Tibiæ posticæ superne unispinosæ. Abdomen spinosum. Pronoti metazona subexcavata, margine postico arcuato, multispinuloso.....2. *cervinus*, de H.
- a. a.* Spina frontalis brevis, ascendens, antennarum articulum 2^m haud superans. Pronoti cornua transversalia, deplanata, spina postica fortiter retrorsum recurva; margines laterales inter cornua et dentem discoidalem propter hoc sinum ellipticum minus apertum efficientes. Pronoti margo posticus lamellaris, appressus, arcuatus, crenulatusque; prozonæ disci spina lateralis minuta, dentiformis. Spinæ laterales metazonæ minutæ, triangulares. Tibiæ posticæ subtus utrinque spinis 5 æqualiter distantes armatæ. Abdomen muticum.....3. *ibex*, n.
- a. a. a.* Incertæ sedis.....4. *diadematus*, Stål.

1. A. CAPREOLUS, n. (Fig. 33, 33 a).

Longueur du corps, ♂ 30 mill. Longueur du pronotum ♂ 16 mill.
 Longueur des fémurs postérieurs, 18 mill.

♂ Tête petite, suborbiculaire, rugulée, ponctuée, luisante; la face au-dessous des antennes semée de quelques punctuations. Les yeux très globuleux, presque étranglés à leur base et très rapprochés de la base des antennes. Le tubercule interantennaire spiniforme, long, atteignant à peu près la base du quatrième article des antennes. Le vertex légèrement aplati, présentant sur la partie médiane un sillon en gouttière, lisse, n'atteignant pas la base de l'occiput, aigu en avant et se terminant à la base de l'épine frontale. De chaque côté de ce sillon, il existe une gouttière obsolète, aboutissant à la base des antennes et ruguleuse comme le reste du crâne.

Pronotum relativement étroit, plus long que large (aussi large que long en comptant les épines); son disque très rugueux, tuberculé et plat; son sillon postérieur très prononcé, arqué, divisant les lobes latéraux en deux parties à peu près égales; la prozone partagée par un sillon vague, la métazone par une sorte de carène calleuse

et lisse. La partie antérieure du pronotum légèrement relevée, ses deux épines du milieu longues, aiguës et droites; les cornes des angles dirigées un peu en avant comme chez le *A. cervinus*, allongées, comprimées obliquement (à 45°), un peu tordues; ses trois dents peu divergentes, la postérieure un peu plus grande que les autres, droite, non recourbée en arrière. L'échancrure latérale qui fait suite aux cornes ayant moins la forme demi-orbiculaire que chez le *A. cervinus*. — Le disque de la prozone portant trois paires de tubercules, dont les deux paires postérieures triangulaires, à pointe mousse; ceux de la paire antérieure beaucoup plus petits et arrondis; les deux épines latérales du disque assez grandes et aiguës. — La métazone formant en dessus un disque plat, prolongé de chaque côté en une forte épine latérale triangulaire, aiguë; son bord postérieur transversal, peu arqué, formant une sorte de bourrelet calleux et lisse, armé au milieu de trois dents aiguës, presque droit entre ces dents, non lamellaire, mais relevé de manière à offrir une facette postérieure lisse. Lobes latéraux de la métazone portant chacun deux longues épines, lisses en arrière de celles-ci. Lobes latéraux de la prozone ponctués de grosses punctuations ocellées; l'angle antérieur dépourvu de dents, mais formant un petit angle; l'angle postérieur arrondi, formant en dessous de la carène latérale de la métazone une espèce de cavité presque lisse.

Patte grêle; hanches antérieures portant à leur extrémité, en dessus, une (?) petite épine aiguë; fémurs des deux premières paires arrondis et mutiques, les postérieurs grêles, leur tiers apical lisse et arrondi. — Tous les tibias arrondis, lisses, inermes en dessus, armés en dessous de deux rangées d'épines, la moitié basilaire restant inerme; les épines assez petites, au nombre de trois paires aux tibias antérieurs et intermédiaires, de quatre aux tibias postérieurs.

Abdomen semé de granulations éparses, offrant en dessus trois séries longitudinales de tubercules allongés, un peu apointis et dirigés en arrière, s'effaçant sur les derniers segments, et présentant en outre sur le bord des segments de petits plis longitudinaux.

Plaque sous-génitale beaucoup plus large que longue, ses bords latéraux arrondis et son bord postérieur subsinué. Plaque suranale avancée au milieu en triangle, large, arrondie.

Habite : L'Afrique méridionale; le Cap de Bonne-Espérance.

2. *A. CERVINUS*, de Haan (Fig. 32-32 b).

Hetrodes cervina, de Haan, Bidrag. tot de Kennis der Orthopt., in Verhand. over de natur. Geschied. der Nederland, Overz. Bezitt., 1842, p. 183, 2.

Longueur du corps,	45 mill.	Longueur du pronotum,	22 mill.
»	fémur postér., 23	Largeur du pronotum avec les épines,	23 mill.

♀ D'un jaune d'ocre pâle. Tête très légèrement ponctuée en devant, rugulée et ponctuée en dessus. Les yeux globuleux et saillants, mais non étranglés à leur base. Le tubercule frontal spiniforme, long, aigu, atteignant la base du sixième article des antennes. Vertex légèrement aplati, présentant deux gouttières très obsolètes convergent sur la base des antennes. Un espace lisse en dessus de chaque antenne.

Pronotum grand, large; son disque plat, légèrement convexe, granuleux, et comme gaufré; son sillon postérieur effacé en dessus, linéaire sur les côtés; carène médiane nulle. Le bord antérieur du pronotum moins relevé que chez le *A. capreolus*; ses deux dents du milieu très petites et écartées; les dents des cornes latérales plus longues, plus aiguës et plus divergentes que dans l'espèce citée, toutes d'égale longueur (sauf variété), la supérieure un peu arquée en arrière.

Le disque de la prozone portant deux paires de tubercules très faibles; ceux de la première paire très comprimés, en forme de petites arêtes transversales mousses; la seconde paire très obsolète, effacée, offrant aussi une petite crête mousse transversale et des impressions. L'arête latérale portant de chaque côté une épine horizontale droite et forte; l'échancrure entre les cornes et cette épine grande, presque demi orbiculaire. Le bord postérieur de la prozone formant une sorte d'arête rugueuse. La métazone large, un peu concave, ponctuée en avant, ruguleuse en arrière; son bord postérieur un peu relevé, arqué, portant au milieu une très petite dent, et de chaque côté 4 à 5 très petites épines noires, plus l'épîne d'angle qui est plus longue; arête latérale armée de deux longues épines horizontales, fortes et pointues. Les lobes latéraux lisses, striolés, ponctués d'une manière vague, portant à l'angle antérieur deux très petites dents.

Pattes assez fortes; hanches antérieures offrant en dessus deux épines aiguës, inégales. Fémurs de toutes les pattes assez forts, comprimés; ceux de la troisième paire offrant à leur angle apical-interne une petite épine, noire à son extrémité.

Tibias postérieurs portant en dessus, un peu avant leur milieu, une petite épine isolée; en dessous, les trois paires d'épines apicales rapprochées les unes des autres et très éloignées de la première.

Abdomen noir, semé de petites granulations transversales, offrant en dessus trois séries longitudinales composées chacune de cinq épines aiguës; et en outre, au bord du premier segment, de chaque côté, une épine très petite.

Oviscapte: la dent des valves supérieures forte, triangulaire, mousse. Plaque suranale arrondie en dessous.

Pronotum ayant en dessus ses cornes et épines noires, et la prozone marquée de petites taches noires. Fémurs mouchetés de noir en dehors.

Habite : Le Cap de Bonne-Espérance.

Larve : Le disque de la prozone brun ; les bords latéraux et la métazone jaunes ; les épines qui bordent le bord postérieur du pronotum plus aiguës que chez l'individu adulte. Les tambours des tibias antérieurs plus ouverts. Le prosternum offrant de chaque côté une très légère protubérance carrée, noire, cornée, lisse et luisante.

Obs. White a figuré sous le nom de *Hetrodes militaris* (ap. Methuen, Wenderings in South Africa, p. 361. Pl. I, fig. 4), la larve d'une espèce appartenant à ce genre et qui semble se confondre avec celle de l'*H. cervinus* que nous avons sous les yeux. La figure qu'il en donne n'est toutefois pas assez distincte pour nous permettre d'établir ce rapprochement avec une parfaite certitude.

3. A. IBEX, n. (Fig. 31-31 b).

Longueur du corps, ♀	46 mill.	Longueur du pronotum, ♀	22 mill.
»	fémur post.. 22	Largeur du pronotum avec les épines,	19 mill.

D'un jaune d'ocre pâle. Tête presque lisse en devant, très légèrement ponctuée sur les côtés, ponctuée et légèrement rugulée en dessus. Les yeux grands, globuleux, moins saillants que chez les autres espèces. Le tubercule frontal très court, large à sa base, très aigu, ascendant, atteignant le milieu du deuxième article des antennes. Vertex légèrement aplati, ses gouttières très obsolètes ou nulles.

Prothorax grand, son disque plat, très légèrement convexe, couvert d'assez fortes rugosités irrégulières ; son sillon postérieur en gouttière large, prononcé en dessus ; carène médiane linéaire, très fine ou nulle sur la métazone.

Le bord antérieur du pronotum très large ; ses deux dents du milieu écartées, très petites ou nulles ; les cornes latérales différentes de celles des autres espèces en ce sens qu'elles sont déprimées, soit comprimées de haut en bas, et qu'au lieu d'être dirigées obliquement en avant, elles sont transversales, leur dent postérieure recourbée en arrière de manière à rendre l'échancrure beaucoup plus étroite (presque en ovale ouvert en dehors) et non demi-orbiculaire ; les deux autres dents plus petites, celle du milieu dirigée latéralement, l'inférieure un peu plus longue dirigée en avant ; ces trois dents aiguës, avec l'extrémité noire.

Le disque de la prozone ayant ses tubercules larges, aplatis et effacés ; l'arête latérale offrant de chaque côté une petite dent latérale triangulaire.

La métazone courte, ruguleuse, gaufrée, partagée en deux parties égales par une sorte d'arête transversale qui limite la gouttière; le bord postérieur très arqué, un peu ascendant, portant environ 16 très petites dents, les deux latérales plus grandes et spiniformes. Les côtés de la métazone armés de deux dents spiniformes, triangulaires, courtes. Le milieu du bord postérieur presque lamellaire, n'offrant pas comme chez les autres espèces une petite face postérieure.

Les lobes latéraux lisses, ponctués d'une manière obsolète, ou parsemés de très petites granulations noires; l'angle antérieur portant trois très petites dents rapprochées les unes des autres et à pointe mousse. Le bord postérieur latéral du pronotum formant une bande plus étroite que chez les autres espèces.

Pattes semblables à celles du *cervinus*; hanches antérieures armées de deux épines; tibias postérieurs inermes en dessus, armés en dessous de 5 paires d'épines également espacées.

Abdomen inerme, noir avec le bord des segments jaune.

Oviscapte comme chez le *cervinus*, mais la dent des valves supérieures mousse.

Obs. L'épine supérieure des hanches antérieures est parfois sujette à manquer.

Habite : L'Afrique méridionale.

Cette espèce se confond peut-être avec le *A. diadematus*, Stål.

4. A. DIADEMATUS, Stål.

Testaceo-flavescens. Spina frontis articulum primum antennarum nonnihil superans, leviter recurva. Pronotum superne tuberculis destitutum, posterius vix elevatum, margine postico multispinoso, sulco typico obtuse compresso. Margo anterior dentibus 2 minoribus armatus; anguli antici processum magnitudine variantem, angulatum vel spiniformem extrorsum vergentem, leviter recurvum, saepe ipsum anterieus fortiter bispinosum formantes, spina anteriore majore et porrecta. Margines laterales pone processum sinum sat longum et obtusum præbentes, pone sinum spina vel dente armati. Spine marginis postici spinæque laterales, minores quam in Eugastro loricato, Gerst. Loborum lateraliu anguli dentulis 2-3. — Coxæ anticæ bispinosæ. Tibiæ posticæ superne inermes, subtus utrinque 4-5-spinosæ. — ♀ Long. 0,50; latit. 20 mill.

♂ *Spina frontis major, vix recurva. Pronotum posterius magis productum et minus obtuse rotundatum, spinis marginalibus longioribus, validioribus, minus numerosis.*

Hetrodes diadematus, Stål öfvers. Vetensk. Akad. Förhandl. Stockholm, 1858, p. 308; 4 — *Eugaster diadematus*, Stål, Recens. Orthopt. 2, (1874), p. 22. —

Enyalus diadematus, Stål öfvers. Vetensk. Akad. Förhandl. Stockholm, 1876, p. 58, 3.

Habite : Le territoire de Damara.

Il n'est pas possible de décider avec certitude si cette espèce est la même que la précédente.

2. Genre HEMIHETRODES, n.

Tympana tibiæ tibiarum anticarum aperta, elliptica. Tibiæ totæ superne longitudinaliter sulcatæ. Tibiæ posticæ utrinque ♀ ♂ superne ac subtus biserialim spinosæ. — Femora postica superne, saltem basi, spinis crassis armata. — Prosternum bidentatum; mesosternum muticum. — Caput muticum. — Abdomen serialim spinosum. ♀ Ovipositor brevissimus; valvis superioribus dentem gerentibus.

Tête mutique. — Antennes comme chez les *Hetrodes*.

Pronotum aplati en dessus; le bord antérieur de la prozone élevé, armé de deux épines, les bords latéraux armés chacun de trois épines. La métazone moins longue que la prozone, épineuse à son bord postérieur avec une épine sur les flancs.

Prosternum portant deux dents écartées.

Hanches des pattes antérieures avec une épine.

Fémurs antérieurs inermes en dessus, presque arrondis en dessous; les intermédiaires aplatis en dessous; les postérieurs aplatis et bicarénés en dessous. Ceux des deux premières paires armés en dessous de 3 épines. Les postérieurs portant en dessous 4 épines au bord externe et 1 à 2 au bord interne (sauf exceptions); en dessus une rangée de 3 à 4 épines sur la base.

Tibias parcourus en dessus par un sillon, faible aux pattes antérieures; armés en dessous de deux rangées d'épines composées, aux deux premières paires, chacune de 5 épines, et à la troisième d'épines plus nombreuses.

Abdomen parcouru par plusieurs rangées d'épines. Oviscapte court, ayant la même forme que chez les *Acanthoproctus*; ses valves inférieures stiliformes, les supérieures crochues et armées d'une forte dent.

1. H. PERINGUEYI, n. (Fig. 30, 30 a).

Fulvescens, nigro punctulatus; pronoto superne grosse haud profunde punctato; prozonæ disco subhexagono, margine antico spinis antice 2 erectis, postice 2, utrinque 3 gracilibus

nigris apice luteis; metazona utrinque spinis 3; pedibus gracilibus; genibus posticis superne dentibus 2; tibiis 2ⁱ, 3ⁱ parvis subtus utrinque 5-spinosis, intermediis nonnunquam superne unispinosis; abdomine nigro 3-fasciato; segmentis 1-2^o 9-spinosis, 3-4^o 7-spinosis, 5^o 5-spinoso. ♀.

Longueur du corps, ♀	31 mill.	Longueur du pronotum..... ♀	12 mill.
» femur post.,	16 »	Largeur du pronotum avec les épines	14 mill.

♀ De couleur jaunâtre ou brunâtre, tachée de noir.

Tête ponctuée, quelquefois lisse en devant. Yeux globuleux, très saillants.

Pronotum très épineux, couvert en dessus de grosses ponctuations peu profondes, un peu plus grosses sur la métazone que sur la prozone; son sillon typique creusé en gouttière et ponctué comme la métazone. La prozone plate en dessus en forme d'écusson héraldique arrondi en arrière, son bord antérieur avancé et relevé à sa partie médiane portant deux épines droites, ascendantes et divergentes; les arêtes latérales armées chacune de trois épines aiguës, subhorizontales, à pointe légèrement recourbée en bas; le bord postérieur offrant deux épines droites, moins grandes et divergentes. Les épines en dessus noires avec leur pointe rousse. La métazone inclinée en avant, courte, presque de moitié moins longue que la prozone, plate ou légèrement convexe, à bord postérieur arqué, armée de chaque côté d'une épine aiguë, et en arrière de deux épines écartées et très divergentes. Les lobes latéraux lisses ou ponctués d'une manière obsolète; le sillon typique linéaire et profond; l'angle postérieur arrondi, l'antérieur obtus-arrondi; le bord inférieur ourlé et blanchâtre, l'ourlet bordé de noir en dessus, devenant épais et calleux en avant du sillon; un peu avancé presque en forme de lobe arrondi en arrière du sillon au-dessus de la hanche antérieure. Les bords de la métazone armés d'une longue épine complétant la ligne arquée des épines du bord postérieur, à pointe brune et courbée en bas.

Pattes grêles. L'épine des hanches antérieures très aiguë. — Fémurs antérieurs et intermédiaires arrondis, non cannelés en dessous, offrant à leur bord antérieur 3 épines (par exception 2). — Fémurs intermédiaires portant à l'angle postérieur de leur bord apical une dent spiniforme et offrant quelquefois en dessus vers leur milieu une très petite épine. — Fémurs postérieurs armés en dessus d'une rangée de 3 à 4 épines à pointe arquée, la quatrième plus petite, occupant à peu près le milieu du fémur, et sujette à manquer; le genou offrant en dessus deux dents divergentes, l'interne plus longue que l'externe; épines des bords inférieurs rousses à pointe noire, également espacées, occupant les $\frac{2}{3}$ du bord externe. — Tibias des deux premières paires inermes en dessus, portant en dessous deux rangées, chacune de 5 petites épines;

76 LOCUSTIDES NOUVEAUX OU PEU CONNUS DU MUSÉE DE GENÈVE.

les intermédiaires parfois avec une épine en dessus. Épines des tibias postérieurs en nombre variable (de 4-8 par série) laissant en dessus le quart apical, en dessous la base, inermes.

Abdomen noir en dessus ou avec trois bandes noires; ses premier et deuxième segments offrant chacun 9, les troisième et quatrième 7, le cinquième 4 à 5 épines aiguës; tous les segments ayant leur moitié postérieure finement striée transversalement.

Oviscapte court; la dent des valves supérieures subaiguë ou émoussée. Plaque sous-génitale rectangulaire, transversale en dessous, ses bords repliés à angle droit emboitant exactement la base des valves inférieures de l'oviscapte. Cerci très petits, spiniformes. Plaque suranale cordiforme.

Habite : L'Afrique méridionale.

Nous dédions cet insecte à M. Peringuey qui l'a capturé et auquel nous en devons la connaissance.

Obs. Le *Hetrodes Bachmani*, Karsch (l. l. 57 ♂) doit peut-être rentrer dans ce genre. Le mâle seul étant connu, l'auteur a jugé par analogie qu'il rentrait dans son genre *Hetrodes*, mais il serait possible que la femelle eût un oviscapte court. L'espèce semble se rapprocher beaucoup de notre *Peringueyi*, mais elle en diffère par la métazone du pronotum qui est notablement plus longue et plus bombée.

INDEX ALPHABÉTIQUE

	Pages		Pages
ACANTHOPROCTUS	68	ELBENIA	7
AGRÆCIA	49	<i>erosa</i>	25
APOCERYCTA	10	<i>erosum</i>	25
APROSPHYLUS	65	EUMENYMUS	58
<i>aurantifolia</i>	42	<i>excisum</i>	25, 26
Barellus	11	GAMPSOCLEIS	57
Bariana	19	Godeffroyi	50
 		<i>gracilis</i>	44, 46
californicus	64	<i>grandiocellata</i>	37
capito	44, 45	<i>gratiosa</i>	57
capreolus	69	 	
<i>carinata</i>	44, 46	HEMHETRODES	74
<i>cervina</i>	70	HETRODIENS	68
<i>cervinus</i>	69, 70	HETRODES	68
CHLOROPHYLLA	24, 42	<i>Hetrodidae</i>	68
COCCONOTUS	17	<i>hispidus</i>	20
CONOCÉPHALIENS	44	<i>hybridus</i>	67
<i>Conocephalidae</i>	44	 	
<i>conspersa</i>	44, 46	<i>ibex</i>	69, 72
COPIOPHORA	44	IDIOSTATCS	63
<i>coriacea</i>	9	 	
<i>cornuta</i>	44	kanguroo	14
<i>cultricornis</i>	44, 47	 	
CYCLOPTERA	24, 41	<i>lancifera</i>	44, 46
 		<i>latifolia</i>	43
<i>diadematus</i>	69, 73	<i>laurifolia</i>	31
<i>Decticeida</i>	55	<i>licornis</i>	44, 45
DECTICIENS	55	<i>longicauda</i>	44, 45
 		<i>loricatus</i>	6
ECHINACRIS	19	<i>lunatum</i>	25, 27

78 LOCUSTIDES NOUVEAUX OU PEU CONNUS DU MUSÉE DE GENÈVE.

	Pages		Pages
MACROSCIRTUS	13	POSIDIPPUS	41
MACRONIPHUS	52	PROSAGOGA	9
manillensis	7	<i>Pseudophyllidæ</i>	15
MECOPODA	13	PSEUDOPHYLLIENS	15
<i>Mecopodidæ</i>	13	<i>Pseudophyllus</i>	15
MÉCOPODIENS	13	PTEROCHROZA	22, 23, 39
MERONCIDUS	15	<i>pulchripennis</i>	32
MIMETICA	23, 30	<i>pupus</i>	49
<i>monoceros</i>	44	<i>rhinoceros</i>	44, 48
<i>mortuifolia</i>	30	RHODOPTERYX	23, 32
<i>nasicornis</i>	54	<i>rosalia</i>	16
<i>ocellata</i>	40	STILPNOTHORAX	5
<i>ocellatus</i>	40	<i>syriaca</i>	55
OMMATOPTERA	23, 34	TANUSIA	23, 35
PARADRYMADUSA	55	THORACISTUS	61
<i>Parysatis</i>	24	<i>trapeziforme</i>	25, 28
<i>Peringueyi</i>	62	<i>trapeziformis</i>	28
<i>peruvianum</i>	25, 29	TYPOPHYLLUM	22, 23, 24
<i>personata</i>	17	<i>vaginatus</i>	53
<i>Phaneropteridæ</i>	5	<i>variabilis</i>	37, 38
PHANÉROPTÉRIENS	5	Vaucherianus	59
<i>Phyllophoridæ</i>	5		

EXPLICATION DE LA PLANCHE I

PHANEROPTERIENS

Fig. 1. Stilpnothorax loricatus, n. ♀ — 1 a, l'oviscapte. — 1 b, la tête vue en dessus. — 1 c, meso-et metasternum.

Fig. 2. Prosaogoga coriacea, n. ♂, l'élytre. — 2 a, la tête et le pronotum vus en dessus.

Fig. 3. Apocerycta Bariana, n. ♀.

Fig. 4. Posidippus Barellus, n. ♀, la tête et le pronotum vus en dessus — 4 a, les mêmes vus de profil. — 4 b, l'oviscapte.

PSEUDOPHYLLIENS

Fig. 5. Echinaeris hispida, n. ♀ — 5 a, l'oviscapte et les cerci vus en dessus.

Fig. 6. Cocconotus personata, n. ♀.

Fig. 7. Rhodopteryx pulchripennis, n. ♀.

Fig. 8. Typophyllum erosum, Stoll. ♀ — 8 a, la patte postérieure.

Fig. 9. Typophyllum excisum, n. ♂, — 9 a, la patte intermédiaire.

Fig. 10. Typophyllum peruvianum, n. ♀, l'élytre. — 10 a, la patte postérieure.

Fig. 11. Typophyllum trapeziforme, Stoll. ♀, la patte intermédiaire.

Fig. 12. Typophyllum lunatum, n. ♀. — 12 a, la patte antérieure, face antérieure. — 12 b, la patte intermédiaire. — 12 c, le tibia postérieur, face interne. — 12 d, l'oviscapte.

Fig. 13. Minetica mortuiifolia, n. ♀, l'élytre — 13 a, la tête et le pronotum. — 13 b, la patte antérieure, face interne, ♂. — 13 c, la patte intermédiaire.

Fig. 14. Chlorophylla latifolia, n. ♂. — 14 a, la tête et le pronotum vus en dessus.

Fig. 15. Ommatoptera laurifolia, n. — 15 a, la patte postérieure face externe.

DECTICIENS

Fig. 16. Thoracistus Peringueyi, n. ♀.

EXPLICATION DE LA PLANCHE II

PSEUDOPHYLLIENS

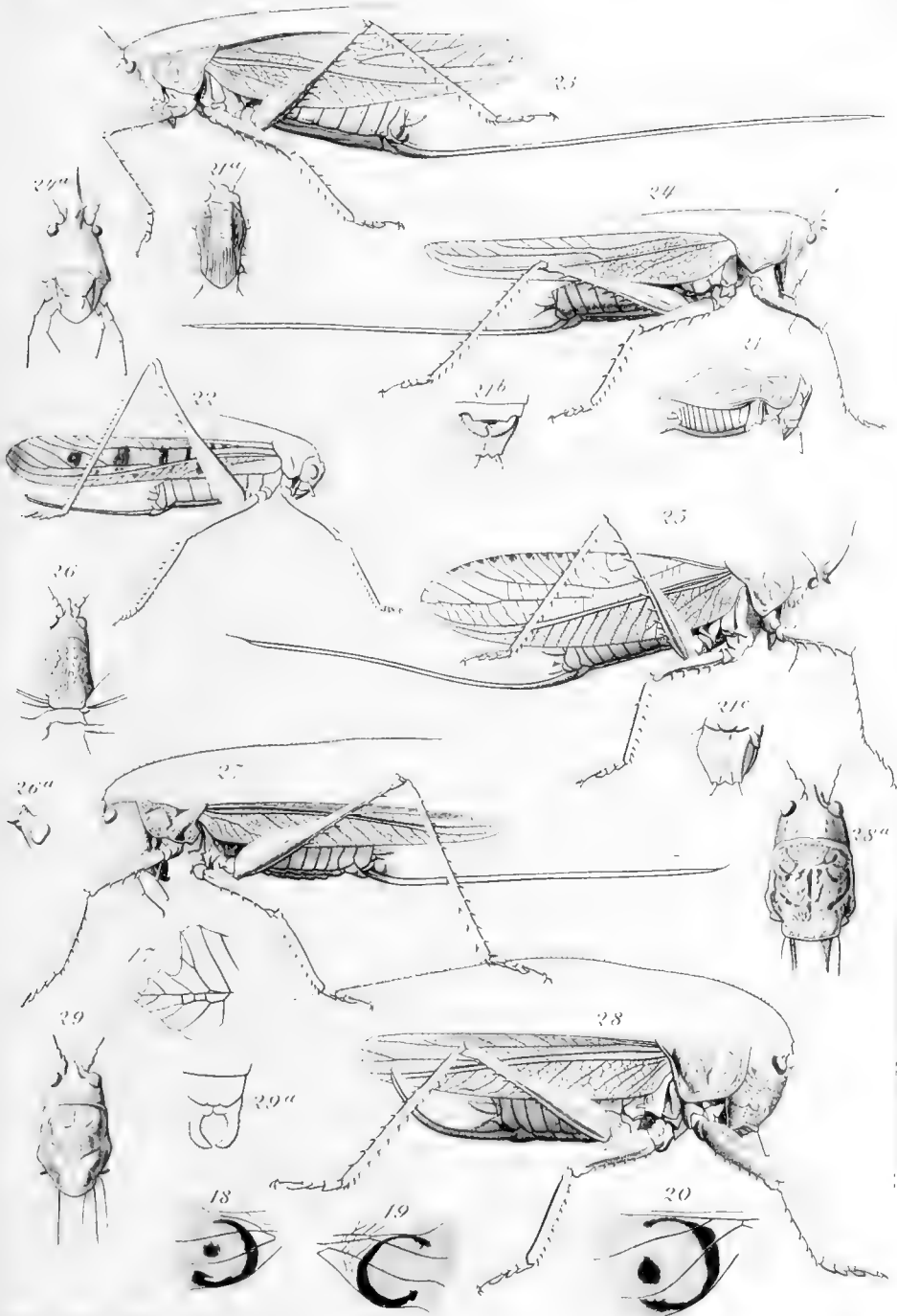
- Fig. 17. *Mimetica mortuifolia*, n. ♂.
Fig. 18. *Tanusia variabilis*, n.
Fig. 19. *Tanusia variabilis*, var.
Fig. 20. *Tanusia grandicellata*, n.

DECTICIENS

- Fig. 21. *Thoracistus Peringueyi*, n. ♂. — 21 a, la tête et le pronotum vus en dessus. — 21 b, la plaque sous-génitale ♂. — 21 c, la plaque suranale et les cerci ♂.
Fig. 22. *Aprosphylus hybrida*, n. ♀.

CONOCÉPHALIENS

- Fig. 23. *Copiophora cultricornis*, n. ♀.
Fig. 24. *Copiophora licornis*, n. ♀. — 24 a, la tête vue de face.
Fig. 25. *Copiophora rhinoceros*, n. ♀.
Fig. 26. *Macroxiphus nasicornis*, n. ♀. — 26 a, le rostre du vertex vu de profil.
Fig. 27. *Macroxiphus vaginatus*, n. ♀.
Fig. 28. *Agræcia pupus*, Sauss. ♀. — 28 a, la tête et le pronotum vus en dessus.
Fig. 29. *Agræcia Godeffroyi*, n. ♂. — 29 a, les cerci grossis, vus en dessus.



EXPLICATION DE LA PLANCHE III

HÉTRODIENS

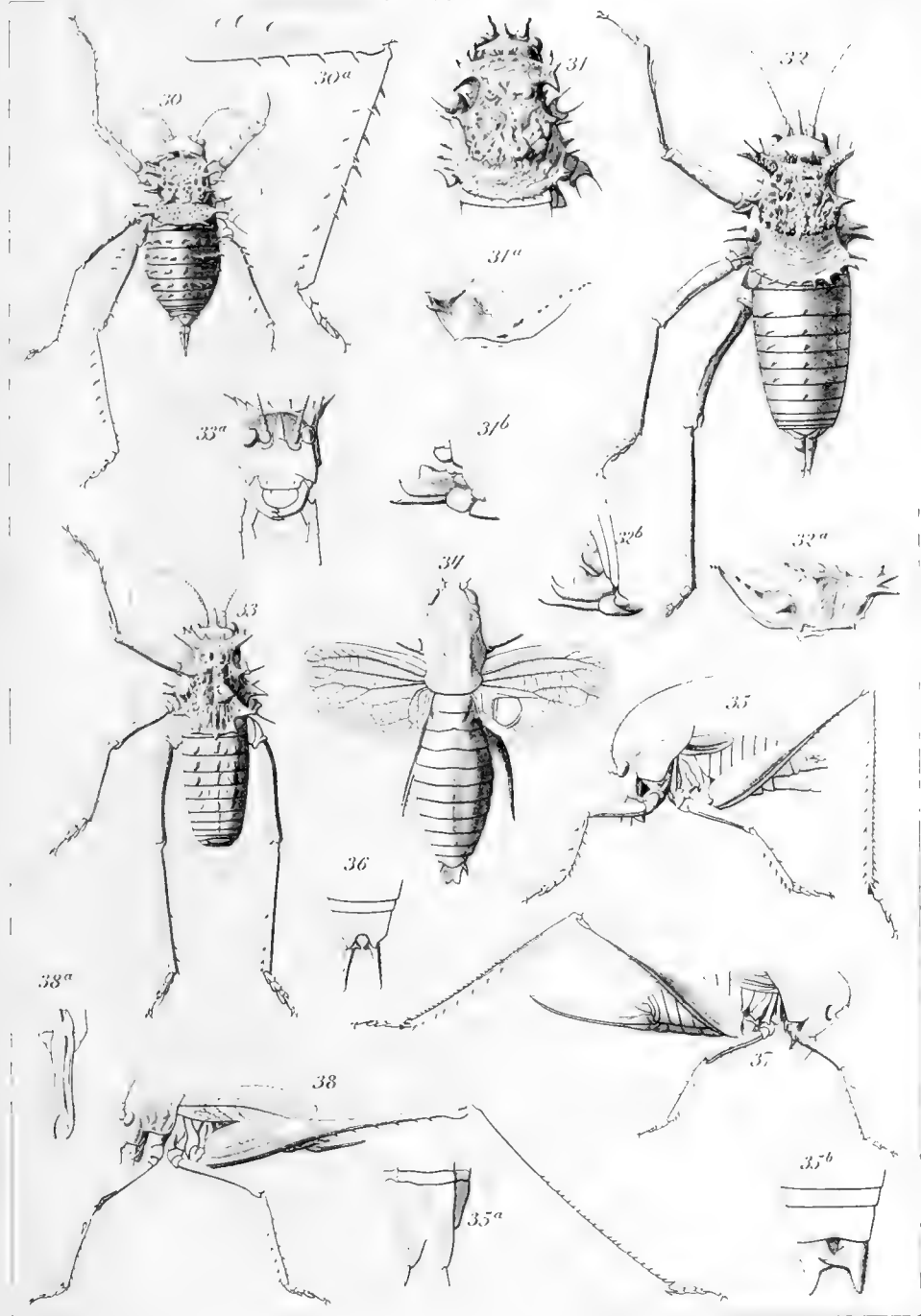
- Fig. 30. Hemihetrodes Peringueyi*, n. ♀. — 30 a, la patte postérieure.
Fig. 31. Acanthoproctus ibex, n. ♀. — 31 a, le pronotum vu de profil. — 31 b, l'oviscapte.
Fig. 32. Acanthoproctus cervinus, De Haan. — 32 a, le pronotum vu de profil. — 32 b, l'oviscapte.
Fig. 33. Acanthoproctus capreolus, n. ♂. — 33 a, la tête vue de face.

DECTICIENS

- Fig. 34. Gampsocleis gratiosa*, Brun. ♂.
Fig. 35. Idiostatus californicus, n. ♂. — 35 a, le segment anal et les cerci. — 35 b, la plaque sous-génitale grossie.
Fig. 36. Eumenymus Vaucherianus, n. ♂. Segment anal et cerci.
Fig. 37. Paradrymadusa Syriaca, n. ♀.

MÉCOPODIENS

- Fig. 38. Macroscirtus kangaroo*, n. ♀. — 38 a, la plaque sous-génitale.



MEMOIRES
DE LA
SOCIÉTÉ DE PHYSIQUE ET D'HISTOIRE NATURELLE DE GENÈVE
TOME XXX. — N° 7.

CONTRIBUTIONS

A LA

FLORE DU PARAGUAY

II

SUPPLÉMENT

AUX

LÉGUMINEUSES

PAR

Marc MICHELI

— 6 4 2 2 1 4 0 —

GENÈVE
IMPRIMERIE CHARLES SCHUCHARDT
1889

CONTRIBUTIONS

A LA

FLORE DU PARAGUAY

En publiant aujourd'hui la suite des Légumineuses récoltées par M. Balansa au Paraguay de 1880 à 1884, je n'ai rien à ajouter aux considérations générales exposées ici même en 1883. Les caractères généraux sont toujours les mêmes. Sur 79 espèces représentées dans ces collections, 29 ne figuraient pas dans les récoltes antérieures. Ayant en outre eu entre les mains les Légumineuses récoltées par le voyageur argovien Reugger au Paraguay entre 1818 et 1826 (et qui sont actuellement au Polytechnicum de Zurich), j'y ai trouvé 31 espèces que Balansa n'avait pas rencontrées. Cela donne un chiffre total de 272 Légumineuses, réparties comme suit :

	Papilionacées.	Casalpinées.	Mimosées.	Total.
Balansa, 1 ^{re} coll.	109	33	70	212
Balansa, 2 ^{me} »	16	4	9	29
Reugger	16	5	10	31
	141	42	89	272

Ces 272 espèces sont réparties entre 65 genres, dont 7 ne figuraient

pas dans les premières collections : *Albizzia*, *Clitoria*, *Cyclolobium*, *Hoffmanseggia*, *Myrocarpus*, *Sophora*, *Tipuana*.

Quatre espèces nouvelles, un *Discolotium*, un *Hoffmanseggia* et deux *Mimosa* ont été décrites dans ce travail.

Deux autres familles ont été étudiées dans les mêmes conditions que les Légumineuses et vont prochainement paraître dans les *Mémoires de la Société de Physique*; ce sont les Polygalacées par M. le Dr Chodat et les Cypéracées par M. le Dr Maury, aide-naturaliste au Museum de Paris.

Marc MICHELI.

Genève, juin 1889.

LEGUMINOSÆ

Subordo I. PAPILIONACEÆ.

Tribus II. Genistea.

LUPINUS LANATUS, Benth. (1) in pratis montium Peribebuy. Nov., n. 3109¹.

CROTALARIA NITENS, Benth. Fl. bras., vol. XV, pars 1, p. 23.

⊙ In valle Y-Acan-Guazu prope Valenzuela. Mai, sine numero.

Area geog. America meridionalis, a Mexico ad Bras. australem.

CROT. VITELLINA. Ker. Bot. reg., t. 447; Benth. Fl. bras., l. c. p. 29.

Reugger Paraguay.

Ar. geog. Brasil. centralis.

Tribus IV. Indigofereæ.

INDIGOFERA TRUXILLENIS, H. B. et K. Nov. Gen. VI, p. 456; Benth., l. c. p. 42.

Reugger Paraguay.

Area geog. Peruvia; Bras. prov. Minas Geraes et S.-Paul.

¹ Les espèces marquées d'(1) figurent déjà dans les premières collections décrites en 1883.

Tribus V. Galegeæ.

SESBANIA PUNICEA, Benth., l. c. p. 43.

Reugger Paraguay.

Area geog. Brasil., prov. Rio-Grande do Sul; la Plata; Bonaria.

TEPHROSIA, species.

♀ In valle Y-Acan-Guazu prope Paraguari; Nov., n. 4402. Specimen valde mancum, T. aduncæ, Benth. affine; verisimiliter species nova, accuratius non describenda.

Tribus VI. Hedysarææ.

ÆSCHYNOMENE SELLOI, Benth. (1). Paraguari in paludibus, Mart., n. 3090.

ÆSCH. SENSITIVA, Swartz (1). Yaguaron in pratis humidis, Mart., n. 3094; Guarapi in paludibus, Mai, n. 4443.

ÆSCH. MONTEVIDENSIS, Vog. (1). In pratis humidis vallis Y-Acan-Guazu, Mart., n. 4440.

ÆSCH. AMERICANA, L. (1). Ad vias prope Paraguari, Mart., n. 3608.

ÆSCH. PLATYCARPA, Benth., l. c. p. 63.

Reugger Paraguay.

Area geog. Columbia, Peruvia.

ÆSCH. FALCATA, DC. (1). In pratis humidis sylvarum; Peribebuy, Caagazu. Jan., n. 4439, 3092 (var. racemis elongatis).

ÆSCH. HYSTRIX, Poir. (1). In pratis siccis prope Valenzuela in valle Y-Acan. Mart., n. 4442.

DISCOLOBIUM JUNCEUM, n. sp., erectum, junceum, caulibus virgatis, foliis subnullis, inflorescentia terminali longe racemosa.

Tabula nostra XXIV : 1, ramus ante anthesim; 2, ramus sub anthesi; 3, flos; 4, vexillum; 5, ala; 6, carina; 7, calyx cum bracteolis; 8, stamina; 9, ovarium longitudinaliter fissum; 10, legumen junius.

Caules erecti, virgati, 1 m. alti, puberuli, cylindrici, striati; *folia* perrara, minima, ad petiolum 3-4 mm. longum et foliolum unicum, lineare, acutum, 8-9 mm. longum reducta, puberula; *stipulas stipellasque* non vidi; *racemi* terminales, longissimi, pedunculi 40-50 cent. longi, in parte superiore floriferi; *bracteæ* jam ante anthesim deciduæ, minimæ, acutæ; *bracteolæ* sub calyce 2 lineares; *pedicelli* graciles 5-7 mill. longi; *flores* majusculi, lutei, ad apicem pedunculi 6-10 distantes, *calyx* campanulatus, quinquefidus, laciniis supremis altius connatis, junius puberulus, postice glabratus; *vexillum* orbiculatum, 15 mill. longum, breviter unguiculatum, *alæ* carinam vix superantes, hinc auriculatæ, *carina* lata, recta; *staminum* vagina more generis demum utrinque fissa cum filamento vexillari et carinali fere libero; *ovarium* bi-triovulatum, pubescens, stylus elongatus, incurvus, glaber; *legumen* maturum non vidi sed in floribus marcidis ovarium jam in articulos horizontales more generis arcte superpositos dispositum videtur.

Specimen unicum, leguminibus absentibus incompletum sed species ab omnibus aliis Discolobiis longe diversa.

♂ Paraguari, in pratis humidis, Nov., n. 3089.

NISSOLIA FRUTICOSA, Jacq. (1). Ad vias prope Paraguari et Assomption. Aug., n. 4430.

POIRETIA ANGUSTIFOLIA, Vog., Linn., XII, 53; Benth., Fl. bras., l. c. p. 78.

Reugger Paraguay.

Area geog. Bras., prov. Minas.

POIR. PSORALIOIDES, DC., Prodr. II, 315; Benth., Fl. bras., l. c. p. 79.

Reugger Paraguay.

Area geog. Bras. merid.

POIR. LATIFOLIA, Vog. (1). Nom. vern. Isau-Caa. In campis Mbatobi prope Paraguari, n. 4412.

ZORNIA DIPHYLLA, Pers (1). In valle Y-Acan inter Paraguari et Valenzuela, Mart., n. 4769.

STYLOSANTHES VISCOSA, Sw. Fl. Ind. occ. 4283; Benth., loc. cit. p. 91.

Reugger, Paraguay.

Area geog. America meridionalis.

DESMODIUM INCANUM, DC. (1). Posta-cui inter Paraguari et Yagaron, ad vias. Mart. n. 4444.

DESM. ALBIFLORUM, Salzm. (1). Guarapi, ad vias. Mart., n. 4438.

DESM. SCLEROPHYLLUM, Benth. (1). Guarapi, in campis, Dec. n. 3088.

DESM. CAJANIFOLIUM, DC. Prodr. II, 331; Benth., l. c. p. 100.

Caules ascendentes; flores rubro-violacei. In pratis montium Peribebuy Mart., n. 4437.

Area geog. America centralis.

Tribus VII. Viciae.

LATHYRUS PUBESCENS, Hook. et Arn. Bot. Beech., p. 21; Benth., l. c. p. 114.

Reugger Paraguay.

Area geog. America meridionalis extratropica.

Tribus VIII. Phaseoleae.

CLITORIA GUYANENSIS, Benth., l. c. p. 121, tab. XXXI, fig. 2.

Reugger Paraguay.

Area geog. Brasilia australis et centralis, Guyana, Columbia.

CLITORIA SELLOI, Benth., l. c. p. 123.

Reugger, Paraguay.

Area geog. Brasilia (Sellow).

CENTROSEMA PLUMIERI, Benth. (1). Guarapi. Mart., n. 3098.

- CENTR. ANGUSTIFOLIUM, Benth., l. c. p. 129.
 Reugger Paraguay.
Area geog. In locis sabulosis supra frutices in America tropicali.
- CENTR. HASTATUM, Benth. (1). Guarapi, n. 4433.
- GALACTIA GRACILLIMA, Benth. (1). Formosa. Mai, sine numero.
- GAL. BENTHAMIANA, Mich. (1). In pratis montium Peribebuy. Mart., n. 4767.
- COLLAEA STENOPHYLLA, Benth. (1). In pratis montium Peribebuy. Apr., n. 4406.
- CAMPTOSEMA RUBICUNDUM, Hook. et Arn. (1). In sylvis prope Mbatobi Apr., 4414 ;
 ad Cerro S. Thomas prope Paraguari, n. 3401.
- ERYTHRINA VELUTINA, Willd. Sp. III, 914. Benth., l. c. p. 174.
 Reugger Paraguay.
Area geog. In Brasiliæ Prov. Minas ; in Surinam, Nova Granata, etc.
- CANAVALIA LENTA, Benth., l. c. p. 177.
 ☞ Caules volubiles. Pirayu. Mart., n. 3096.
Area geog. Brasilia centralis.
- CANAVALIA GLADIATA DC. (1). Yagaron ad vias, April. n. 4409.
- PHASEOLUS APPENDICULATUS, Benth. (1). Pirayu, Mart. n. 3097.
- PHAS. MEMBRANACEUS, Benth., l. c. p. 183.
 Flores flavo-violacei ; ad ripas flum. Y-Acan inter Paraguari et Valenzuela. Mart.,
 n. 4408.
Area geog. Brasiliæ prov. Goyaz et Minas.
- PHAS. LOBATUS, Hook. Bot. Mag., tab. 4076 ; Benth., l. c. p. 184.
 Reugger Paraguay.
Area geog. Banda oriental ad Rio Negro.

PHAS. FIRMULUS, Benth, l. c. p. 185.

♀ frutescens; caules basi lignosi; flores flavi. In valle Y-Acan-Guazu prope Valenzuela. Mart., n. 4436.

Area geog. Brasilia centralis.

PHAS. CRASSIFOLIUS, Benth., l. c. p. 185.

In pratis, ad ripas Y-Acan inter Paraguari et Valenzuela. Mart., sine numero.

Area geog. Brasiliæ prov. Minas.

PHAS. LATIFOLIUS, Benth, l. c. p. 185.

Reugger Paraguay.

Area geog. Brasiliæ prov. Minas et Bahia.

PHAS. TRUXILLENIS, H. B. et K. (1). Ad ripas Y-Acan, inter Paraguari et Valenzuela. Mart., n. 4407.

PHAS. LASIOCARPUS, Mart. Benth., l. c. p. 188.

Caules volubiles, flores lutei, ad ripas Y-Acan inter Paraguari et Valenzuela. Mart., sine numero.

Area geog. Brasilia borealis, Surinam, Guyana et dubio prov. Rio Grande do Sul.

PHAS. BALANSÆ, Mich. Par. p. 29 (1). Ad ripas flum. Y-Acan in pratis. Mart., n. 4410.

RYNCHOSIA CORYLIFOLIA, Benth. (1). In pratis montium prope Peribeby. Mart., n. 4413.

RYNCH. LINEATA, Benth. (1). In pratis siccis montium prope Peribeby. Mart., n. 4404.

RYNCH. PHASEOLOIDES, DC. (1). In montibus circa Peribeby. Oct. n. 3106.

RYNCH. TEXANA, Torr. et Gray. (1). In valle Y-Acan-Guazu prope Valenzuela. Mart., sine numero.

RYNCH. DIVERSIFOLIA, Micheli (1). Cerro-Pelado prope Paraguari. Mart., n. 4405.

ERIOSEMA FLORIBUNDUM, Benth., l. c. p. 211.

Reugger Paraguay.

Area geog. Brasiliæ prov. Minas.

ERIOS. PLATYCARPON, Micheli (1).

In pratis vallis Y-Acan. prope Paraguari. Mart. n. 4403.

ERIOS. VOLUBILE, Micheli (1).

In pratis humidis montium Peribebuy. Mart. sine numero.

Tribus IX. Dalbergiæ.

DALBERGIA sp.

Arbor 5-6 metralis, cortice suberoso, floribus albis; specimen incompletum, accuratius non determinandum. Inter rupes montium Peribebuy, Mart. n. 4434.

CYCLOLOBIUM CLAUSSENI, Benth., l. c. p. 230.

Arbor 6-8 metralis, cortice suberoso, in collibus herbosis, prope Valenzuela. Jan., n. 4425.

Area geog. Brasil. prov. Minas.

MACHERIUM ANGUSTIFOLIUM, Vog. Linn. XI, p. 193; Benth., l. c. p. 235.

Arbor 5-6 metralis, floribus violaceis. Borja, prope Villa Rica. Jan. n. 3095.

Area geog. Passim in sylvis montosis Americæ calidioris a Peruvia ad Brasiliam australem.

MACH. ACUTIFOLIUM, Vog. (1). Nom. vernac. Tapeuhu-Monoti. In campis saxosis Cerro-Yagaron, Caucape, Yagaron, Mart. Jun. n. 3110, 3607, 4427.

MACH. STIPITATUM, Vog. (1). Paraguari. Mai, n. 4429.

MACH. BRASILIENSE, Vog. Linn. XI, p. 185. Benth., l. c. p. 248.

Nom. Vernac. Sape-Hu.

Arbor 8-10 metralis, calyce nigricante, corolla virido-flava.

Guarapi, in sylvis. Mart. n. 4428.

Area geog. Brasil. prov. Rio-Janeiro.

TIPUANA SPECIOSA, Benth., l. c. p. 260.

Nom. vernac. Petirua-Guazu.

Arbor 15-20 metralis in sylvis prope Cerro San Thomas. Nov. n. 4426.

Area geog. America australis, Tucuman, flum. Pilcomayo.

DALBERGIEARUM specimen incompletum, ignotum, verisimiliter e genere Pterocarpo vel Hecastophyllo; arbor 6-8 met. Formosa n. 4431.

Tribus X. Sophoreæ.

SOPHORA TOMENTOSA, L. Spec. Pl. 533., Benth., l. c. p. 314.

Reugger Paraguay.

Area geog. In sabulosis maritimis, utriusquæ orbis calidioris.

MYROCARPUS FRONDOSUS, Allem. Diss. 1848; Benth., l. c. vol. XV, pars 2, p. 2, tab. I.

Nom. vernac. Encensio.

Arbor 10-15 met. cortice resinoso, floribus albis. Yaguaron Jul. n. 3112.

Area geog. Brasil. prov. Rio-Janeiro et Minas.

SWEETIA ELEGANS, Benth. (1). Cerro Pelado, prope Paraguari. Nov., n. 3306.

Tribus XI. Swartzicæ.

HOLOCALYX BALANSÆ, Micheli (1).

Nom. vernac. Uira-Pepe. Guarapi, in sylvis. Jul., n. 3083.

Subordo II. CÆSALPINIÆ.

Tribus XIII. Eucæsalpinicæ.

PELTOPHORUM VOGELIANUM, Benth. (1). Nom. vern. Uira-pita. Guarapi, in sylvis, Dec., n. 3082.

HOFFMANSEGGIA PARVIFLORA, n. sp. Herbacea vel suffruticosa, rhizomate repente, caulibus erectis, foliis bipinnatis, floribus racemosis, parvulis, petalis erectis, summo dissimili.

Tabula nostra XXV : 1, ramus floriferus; 2, ramus fructiferus; 3, foliola; 4, flos sub anthesi; 5, calyx expansus; 6, petalum inferum; 7, petalum superum difforme; 8, stamen; 9, ovarium; 10, legumen apertum.

Caules erecti, herbacei vel sublignosi, 30-40 cent. alti, cylindrici, striati, pilis brevibus, patentibus puberuli. *Folia* bipinnata, pinnis æqualibus, uni-jugis cum impari ad apicem petioli digitatis; petioli graciles, erecto-patentes, 4 cent. longi, parce glanduloso-puberuli; pinnæ 3 cent. longæ, 3-5 jugæ, foliolis abrupte pinnatis, rachi setoso; foliola sessilia, ovata, basi inæquilatera, rotundata, apice obtusa, mucronulata, superne puberula, ciliata, subtus puberula et glandulis nigris copiose notata, penninervia, 1 cent. longa, 4-5 mill. lata. *Stipulæ* cito deciduæ, lineares, puberulæ, 3-4 mill. longæ. *Pedunculi* oppositifolii, folia superantes, post anthesim 12-14 cent. longi. *Flores* ad dimidiam partem pedunculi racemosi, pedicelli 4-5 mill. longi, graciles, erecti; *bracteæ* cito deciduæ, ante anthesim alabastra superantes, comosæ, lineari-lanceolatæ, acutissimæ, puberulæ, glandulosæ, 4-4,5 cent. longæ. *Flores* parvuli, petalis sepalis brevioribus; *calycis* tubus brevissimus, segmenta 5 fere valvata, inferius ovatum, obtusum, cetera lanceolata, acuta, 5-6 mill. longa, copiose glandulosa; *petala* 5 lutea, erecta nec patentia, 4 inferiora late ovata, vel fere rotundata, breviter unguiculata, 3-4 mill. longa, summum intimum, dissimile, 7 mill. longum, vix expansum, rotundato-plicatum, glandulis nigris copiose notatum. *Stamina* 10 declinata, filamentis basi complanatis pubescentibus, vix glandulosis, antheris parvis, nutantibus. *Ovarium* sessile, glanduloso-puberulum, pluri-ovulatum, stylo brevi, stigmate parvo. *Legumen*

bivalve 3 mm. sessile, complanatum, ovatum, acutum, glandulis nigris et setis plumosis copiose conspersum. *Semina* fere quadrata, complanata, — Affini sect. *Melanosticta*, DC., Mém. Lég., sed ab omnibus speciebus differt petalo difformi,

In collibus incultis vallis Y-Acan, prope Valenzuela, Mart., n. 4444. Hujus generis nulla species adhuc in Bresilia reperta fuit.

Tribus XIV. Cassiæ.

CASSIA PUDIBUNDA, Benth., l. c. pars 2, p. 102.

Reugger Paraguay.

Area geog. Brasil. prov. Bahia, Piahy, Minas.

CASSIA BICAPSULARIS, L. (1). In valle Caau-Cupe prope Mbatobi, Mart., n. 4414.

CASSIA EXCELSA, Schrad. Prodr., II, p. 492; Benth., l. c. pars 2, p. 109.

Reugger Paraguay.

Area geog. Brasil., prov. Bahia, Piahy, Minas.

CASSIA PUBESCENS, Jacq. Fragm. 46, t. 57; Benth., l. c. pars 2, p. 113.

Folia minora quam in speciminibus brasiliensibus. Formosa, Mai, n. 4415.

Area geog. Brasil., prov. Rio-Janeiro.

CASSIA RACEMOSA, Mill. (1). In valle Y-Acan : Mart., n. 4416.

CASSIA BARBATA, Nees. et Mart. Nov. Acta Nat. Cur., XII, p. 32; Benth., l. c. pars 2, n. 133.

Frutex metralis, floribus luteis; in pratis vallis Y-Acan. Mart., n. 4417.

Area geog. Brasiliæ prov. Rio-Janeiro, Minas-Geraës, Bahia.

CASSIA LATISTIPULA, Benth., l. c. pars 2, p. 156.

Reugger Paraguay.

Area geog. Brasil., prov. Ceara, Minas-Geraës, Goyaz, S. Paul.

CASSIA ROTUNDIFOLIA, Pers. (1). In pratis circa Paraguari. Feb., n. 3105.

CASSIA CHAMECRISTA, L. Spec. Pl. 1542; Benth., l. c. pars 2, p. 172, tab. XLV, fig. 2.

Reugger Paraguay.

Area geog. Brasilia australis.

CASSIA RIPARIA, H. B. et K. Nov., Gen. et Spec., VI, p. 369; Benth., l. c. pars 2, p. 174.

Reugger Paraguay.

Area geog. Brasil., prov. Rio-Negro; Guyana, Columbia, America centralis.

CASSIA MIMOSOIDES, L. (1). In valle Y-Acan. Mart., n. 4768.

Tribus XV. Bauhiniceæ.

BAUHINIA MICROPHYLLA, Vog. (1). Caacupe, in collibus incultis, Dec., n. 4401.

Tribus XVII. Cynometreeæ.

COPAÏFERA LANGSDORFFII, Desf. Mem. Mus. Par. VII, p. 377, t. 14; Benth., l. c. pars 2, p. 242, tab. LXIII, fig. 4.

Nom. vern. Copahu.

Arbor 10-12 metralis, Paraguari, Cerro-Peron, Mai, n. 4432.

Area geog. Brasil. australis, prov. S. Paul, Minas, Matto-Grosso.

Subordo III. MIMOSEÆ.

Tribus XX. Adenanthereæ.

PIPTADENIA RIGIDA, Benth. (1) Arbor 8-10 metralis, floribus pallide luteis, sine loco. Nov., n. 4419.

PIPTADENIA COLUBRINA, Benth., l. c. p. 282; tab. 76.

Reugger Paraguay.

Area geog. Bolivia, Peruvia, Brasiliæ prov. Bahia, Rio-Janeiro, S. Paul, etc.

PIPTADENIA PEREGRINA, Benth., l. c. p. 282.

Arbor 5-6 metralis, in collibus saxosis ad Cerro San Toma, prope Paraguari. Oct. sine numero.

Area geog. Brasilia imprimis borealis.

PIPTADENIA CEBIL, Griseb. (1). Sine loco, n. 3610.

PIPTADENIA sp. ?

Caulis erecti, 4-1^m,50 alti, flores rosei (Balansa). Specimen incompletum, verisimiliter e sectione Niopa.

In sylvis prope Peribebuy, n. 3086.

PROSOPIS JULIFLORA, DC. (1). Nomen vernac. Algarobo; Ispinilla. In campis argillosis ad ripas flum. Mbai prope Paraguari. Sept., n. 3093.

NEPTUNIA TRIQUETRA, Benth., l. c. p. 292.

Reugger Paraguay.

Area geog. Brasil. merid.

Tribus XXI. Eumimosæ.

MIMOSA ORTHACANTHA, Benth., l. c. p. 315.

Reugger Paraguay.

Area geog. Brasilia meridionalis.

MIMOSA POLYCARPA, Kunth. (1). Paraguari in collibus incultis. Mart., n. 3087.

MIMOSA POLYDACTYLA, Humb. et Bonpl.; Benth., l. c. p. 317.

Reugger Paraguay.

Area geog. Brasilia centralis.

MIMOSA FLAGELLARIS, Benth. (1). Yagaron in campis. Dec., n. 3094.

MIMOSA DISTANS, Benth. (1). In pratis siccis et sylvis montium prope Peribeby. Apr., sine numero.

MIMOSA SUBSERICEA, Benth. (1). In pratis humidis montium prope Peribeby Apr., s. n.

MIMOSA DIVERSIPILO, Mich. Par. p. 57 (1). In pratis humidis Posta-Cui. Mart., sine numero.

MIMOSA PLUMOSA, n. sp. Suffruticosa, inermis, dense hirsuta, pinnis unijugis, foliolis 12-jugis, ovatis vel lanceolatis, crassiusculis, undique indumento plumoso dense vestitis, nervis obsoletis, costa parum excentrica, capitulis cylindraceis, axillaribus vel summis racemosis, floribus 4-meris, 4-andris, calyce fere obsoleto, brevi, ciliato, legumine 3-4 articulado, indumento plumoso dense vestito.

Tab. nostra XXVI: 1, ramus floriferus; 2, inflorescentia fructifera; 3, foliola; 4, flos sub anthesi; 5, floris sectio longitudinalis; 6, bractea; 7, ovarium; 8, ovarii sectio transversalis; 9, legumen; 10, leguminis pilum.

Caules erecti, virgati, circa metrales, pilis longis, patentibus, rufescentibus, basi plumosis dense vestiti. *Stipulae* patentēs, lineari-lanceolatae, acutae, plumosae, hirsutae, 15-18 mm. longae; *petiolus* communis 3-4 cm. longus, plumoso-hirsutus; *pinnae* 10-12 cm. longae, rachi hirsuto, basi stipellis linearibus fultae; *foliola* lanceolata, ovata, fere obtusa, mucronulata, basi inaequaliter, 2-2,5 cm. longa, 8 mm. lata; foliola interna parium 2 inferiorum, multo minora, costa parum excentrica, nervis lateralibus obsoletis. *Pedunculi* axillares, summi foliis obsoletis plus minusve racemosi, basi stipulis bracteiformibus fulti, sub anthesi 4-5 cm., postea 6-7 cm. longi. *Capitula* cylindrica 3-4 cm. longa, bractea corollam superantes, in alabastro comosae, 4-5 mm. longae, lineares, pilis longis hirsutae, *flores* circa 3 mm. longi, corollae lobi superne pubescentes; ovarium hirsutissimum; *legumen* 3-4 cm. longum, 5-7 mm. latum, valvis 3-4 articulatis, a margine lineari secedentibus, undique dense plumoso hirsutae; semina nigra, compressa, laevia. Ab omnibus Mimosis ex sect. *Lepidotis* et specieis cylindricis, differt pinnis unijugis.

⊙ In valle Y-Acan prope Valenzuela. Mart., n. 4424.

MIMOSA HEXANDRA n. sp. Fruticosa, diffusa, aculeata, canescens, pinnis 2-3 jugis, foliolis 10-12 jugis, fere linearibus, inflorescentia racemosa, floribus 3-4 meris, 6-8 andris, calyce membranaceo, corollae tertiam partem æquante, legumine ignoto.

Tabula nostra XXVII: 1, rami floriferi; 2, foliola; 3, flos tetramerus; 4, flos trime-

rus; 5, floris sectio longitudinalis; 6, calyx; 7, bractea; 8, ovarium; 9, ovarii sectio transversalis.

Caules lignosi, 2 metrales, ramosissimi, ramis divaricatis, patentibus, in partibus junioribus, canescentes. *Aculei* infrastipulares bini, recti vel leviter recurvi. *Stipule* minimæ, setaceæ. *Petiolus* communis 1-1,5 cm. longus, eglandulosus, canescens, inter pinnas seta rigida auctus. *Pinnæ* bijugæ, rachi 1-2 cent. longo, basi stipellis minutis fultæ. *Foliola* 12 juga, lineari lanceolata, obtusa, mucronata, basi costa excentrica inæquilatera, glabra, subcoriacea, 5-6 mm. longa. *Inflorescentiæ* ad apicem ramorum racemosæ; racemi elongati, circa 20 cm. longi, basi foliosi. *Pedunculi* sæpius gemini, aculeis et stipulis bracteiformibus fulti, 1 cm. longi, capitula globosa. *Bractee* corolla circa duplo breviores, lineares, puberulæ. *Flores* 3-4 mm. longi, sæpius 3 meri, 6 andri, nonnunquam 4 meri, 8 andri. *Galyx* membranaceus, fimbriato-dentatus, pubescens; *corolla* lobis superne puberulis, ovarium pubescens. Hæc species ad *Mimosas Rubicaules* floribus 3 meris et inflorescentia pertinet, ad *Acanthocarpas* autem, aculeis infrastipularibus et habitu (arbusi ramosissimi). Ad ripas fluminis Mbay prope Paraguari, n. 4422.

MIMOSA FILIFORMIS, Benth., l. c. p. 371.

Reugger Paraguay.

MIMOSA SOMNIANS, Humb. et Bonpl. in Willd. sp. IV, 4036; Benth., l. c. p. 374.

Reugger Paraguay.

MIMOSA INVISA, Mart. (1). In pratis humidis, montium Peribebuy, Mart., n. 4766.

Tribus XXII. Acaciæ.

ACACIA PLUMOSA, Lowe, Benth., l. c. p. 398.

Caules spinosi, subscandentes, flores albi; Guarapi in sylvis, Apr., n. 3085.

Area geog. In fruticetis circa Rio-Janeiro.

ACACIA; specimen incompletum, accuratius non determinandum.

Nom. vernac. Huirá-Hu.

Prope Paraguari, n. 4420.

Tribus XXIII. Ingeae.

CALLIANDRA SCUTELLIFERA, Benth., l. c. p. 412.

Reugger Paraguay.

Area geog. Brasilia borealis.

CALLIANDRA FOLIOLOSA, Benth., l. c. p. 423.

Frutex gracilis; in sylvis Cerro San Toma, Nov., n. 4418.

Area geog. Brasil., prov. Minas.

CALLIANDRA BICOLOR, Benth. (1). In valle Y-Acan prope Paraguari, Mart.,
n. 4421.

CALLIANDRA PARVIFLORA, Benth., l. c. p. 427.

Frutex 1 m. 50 altus, flores rubro-violacei. Guarapi in fruticetis : Oct., n. 4423
et 4423 a.

Area geog. Brasilia centralis et australis.

ALBIZZIA LEBBECK, Benth. in Hook. Lond. Journ., III, 87.

Reugger Paraguay.

Ex Asia tropic. illata.

PITHECOLOBIUM SCALARE, Gris. Symb. ad Fl. Argent., p. 123.

Nomen vernac. Tatane.

Arbor 6-8 metralis, cortice suberoso, floribus albis. Mbocaiati prope Paraguari; flor.
Febr.; fructus Jul., n. 3084.

Area geog. Respublica Argentina.

Reugger Paraguay.

INGA LEPTANTHA, Benth., l. c., p. 485.

Reugger Paraguay.

Area geog. Brasil. prov. Rio-Janeiro et Bahia.

INGA URUGUENSIS, Hook. et Arn., Benth., l. c. p. 495, tab. CXXXV.

Reugger Paraguay.

Area geog. Brasilia australis.

INDEX TABULARUM

<i>Discolobium junceum</i>	Tab.		Tab.
	24	<i>Mimosa plumosa</i>	26
<i>Hoffmanseggia parviflora</i>	25	<i>Mimosa hexandra</i>	27

INDEX NUMERORUM

- | | |
|--|--|
| <p>3082 <i>Peltophorum</i> Vogelianum.
 3083 <i>Holocalyx</i> Balansæ.
 3084 <i>Pithecolobium</i> Scalare.
 3085 <i>Acacia</i> plumosa.
 3086 <i>Piptadenia</i> sp.
 3087 <i>Mimosa</i> polycarpa.
 3088 <i>Desmodium</i> sclerophyllum.
 3089 <i>Discolobium</i> junceum.
 3090 <i>Æschynomene</i> Selloi.
 3091 » sensitiva.
 3092 » falcata.
 3093 <i>Prosopis</i> juliflora.
 3094 <i>Mimosa</i> flagellaris.
 3095 <i>Machærium</i> angustifolium.
 3096 <i>Canavalia</i> lenta.
 3097 <i>Phaseolus</i> appendiculatus.
 3098 <i>Centrosema</i> Plumieri.
 3101 <i>Camptosema</i> rubicundum.
 3105 <i>Cassia</i> rotundifolia.
 3106 <i>Rynchosia</i> phaseoloides.
 3107 <i>Cæsalpiniazarum</i> genus ignotum.
 3109 <i>Lupinus</i> lanatus.
 3110 <i>Machærium</i> acutifolium.
 3112 <i>Myrocarpus</i> frondosus.
 3306 <i>Sweetia</i> elegans.
 3607 <i>Machærium</i> acutifolium.
 3608 <i>Æschynomene</i> americana.
 3610 <i>Piptadenia</i> Cebil.
 4401 <i>Bauhinia</i> microphylla.
 4402 <i>Tephrosia</i> sp.
 4403 <i>Eriosema</i> Platycarpon.</p> | <p>4404 <i>Rynchosia</i> lineata.
 4405 <i>Rynchosia</i> diversifolia.
 4406 <i>Collæa</i> stenophylla.
 4407 <i>Phaseolus</i> truxillensis.
 4408 » membranaceus.
 4409 <i>Canavalia</i> gladiata.
 4410 <i>Phaseolus</i> Balansæ.
 4411 <i>Camptosema</i> rubicundum.
 4412 <i>Poiretia</i> latifolia.
 4413 <i>Rynchosia</i> corylifolia.
 4414 <i>Cassia</i> bicapsularis.
 4415 » pubescens.
 4416 » racemosa.
 4417 » barbata.
 4418 <i>Calliandra</i> foliolosa.
 4419 <i>Piptadenia</i> rigida.
 4420 <i>Acacia</i> sp.
 4421 <i>Calliandra</i> bicolor.
 4422 <i>Mimosa</i> hexandra.
 4423 <i>Calliandra</i> parviflora.
 4424 <i>Mimosa</i> plumosa.
 4425 <i>Cyclolobium</i> Blanchetianum.
 4426 <i>Tipuana</i> speciosa.
 4428 <i>Machærium</i> brasiliense
 4429 » stipitatum.
 4430 <i>Nissollia</i> fruticosa.
 4431 <i>Dalbergiæa</i> incertæ sedis.
 4432 <i>Copaïtera</i> Langsdorffii.
 4433 <i>Centrosema</i> hastatum.
 4434 <i>Dalbergia</i> sp.
 4435 »</p> |
|--|--|

4436	<i>Phaseolus firmulus.</i>	4443	<i>Æschynomene sensitiva.</i>
4437	<i>Desmodium cajanifolium.</i>	4444	<i>Hollmanseggia parviflora.</i>
4438	» <i>albiflorum.</i>	4766	<i>Mimosa invisa.</i>
4439	<i>Æschynomene falcata.</i>	4767	<i>Galactia Benthamiana.</i>
4440	» <i>montevidensis.</i>	4768	<i>Cassia mimosoides.</i>
4441	<i>Desmodium incanum.</i>	4769	<i>Zornia diphylla.</i>
4442	<i>Æschynomene hystrix.</i>		

SPECIMINA SINE NUMERO

<i>Æschynomene americana.</i>	<i>Mimosa diversipila.</i>
<i>Calliandra parviflora.</i>	» <i>distans.</i>
<i>Crotalaria nitens.</i>	<i>Phaseolus lasiocarpus.</i>
<i>Eriosema volubile.</i>	» <i>crassifolius.</i>
<i>Galactia gracillima.</i>	<i>Rynchosia Senna.</i>
<i>Mimosa subsericea.</i>	

INDEX GENERUM ET SPECIERUM

	Pages.		Pages.
<i>Acacia plumosa</i>	92	<i>Clitoria guyanensis</i>	82
» <i>sp</i>	92	» <i>Selloi</i>	82
<i>Eschynomene americana</i>	80	<i>Collaea stenophylla</i>	83
» <i>falcata</i>	80	<i>Copaifera Langsdorffii</i>	89
» <i>hystrix</i>	80	<i>Crotalaria nitens</i>	79
» <i>montevidensis</i>	80	» <i>vitellina</i>	79
» <i>platycarpa</i>	80	<i>Cyclobium Clauseni</i>	85
» <i>Selloi</i>	80	<i>Dalbergia sp</i>	85
» <i>sensitiva</i>	80	<i>Desmodium albiflorum</i>	82
<i>Albizzia Lebbeck</i>	93	» <i>cajanifolium</i>	82
<i>Bauhinia microphylla</i>	89	» <i>incanum</i>	82
<i>Calliandra bicolor</i>	93	» <i>sclerophyllum</i>	82
» <i>foliolosa</i>	93	<i>Discolobium junceum</i>	80
» <i>parviflora</i>	93	<i>Eriosema floribundum</i>	85
» <i>scutellifera</i>	93	» <i>platycarpon</i>	85
<i>Camptosema rubicundum</i>	83	» <i>volubile</i>	85
<i>Canavalia gladiata</i>	83	<i>Erythrina velutina</i>	83
» <i>lenta</i>	83	<i>Galaetia Benthamiana</i>	83
<i>Cassia barbata</i>	88	» <i>gracillima</i>	83
» <i>bicapsularis</i>	88	<i>Hoffmanseggia parviflora</i>	87
» <i>Chamaecrista</i>	89	<i>Holocalyx Balansæ</i>	86
» <i>excelsa</i>	88	<i>Indigofera Truxillensi</i>	79
» <i>latistipula</i>	88	<i>Inga leptantha</i>	93
» <i>mimosoides</i>	89	» <i>Uruguensis</i>	93
» <i>pubescens</i>	88	<i>Lathyrus pubescens</i>	82
» <i>pudibunda</i>	88	<i>Lupinus lanatus</i>	79
» <i>racemosa</i>	88	<i>Machaerium acutifolium</i>	85
» <i>riparia</i>	89	» <i>angustifolium</i>	85
» <i>rotundifolia</i>	88	» <i>brasiliense</i>	85
<i>Centrosema angustifolium</i>	83	» <i>stipitatum</i>	85
» <i>hastatum</i>	83	<i>Mimosa distans</i>	91
» <i>Plumieri</i>	82	» <i>diversipila</i>	91

	Pages.		Pages.
Mimosa filiformis	92	Piptadenia Cebil	90
» hexandra	91	» colubrina	90
» invisã	92	» peregrina	90
» orthacantha	90	» rigida	84
» plumosa	91	» sp.	90
» polycarpa	90	Pithecolobium scalare	93
» polydactyla	90	Poirertia angustifolia	81
» somnians	92	» latifolia	81
» subsericea	91	» psoralioides	81
Myrocarpus frondosus	86	Prosopis juliflora	90
Neptunia triquetra	90	Rynchosia corylifolia	84
Nissolia fruticosa	81	» diversifolia	84
Peltophorum Vogelianum	87	» lineata	84
Phaseolus appendiculatus	83	» phaseoloides	84
» Balansæ	84	» texana	84
» crassifolius	84	Sesbania punicea	80
» firmulus	84	Sophora tomentosa	86
» lasiocarpus	84	Stylosanthes viscosa	82
» latifolius	84	Sweetia elegans	86
» lobatus	83	Tephrosia sp.	80
» membranaceus	83	Tipuana speciosa	86
» truxillensis	84	Zornia diphylla	84



DISCOLOBIUM JUNCEUM MICHELI



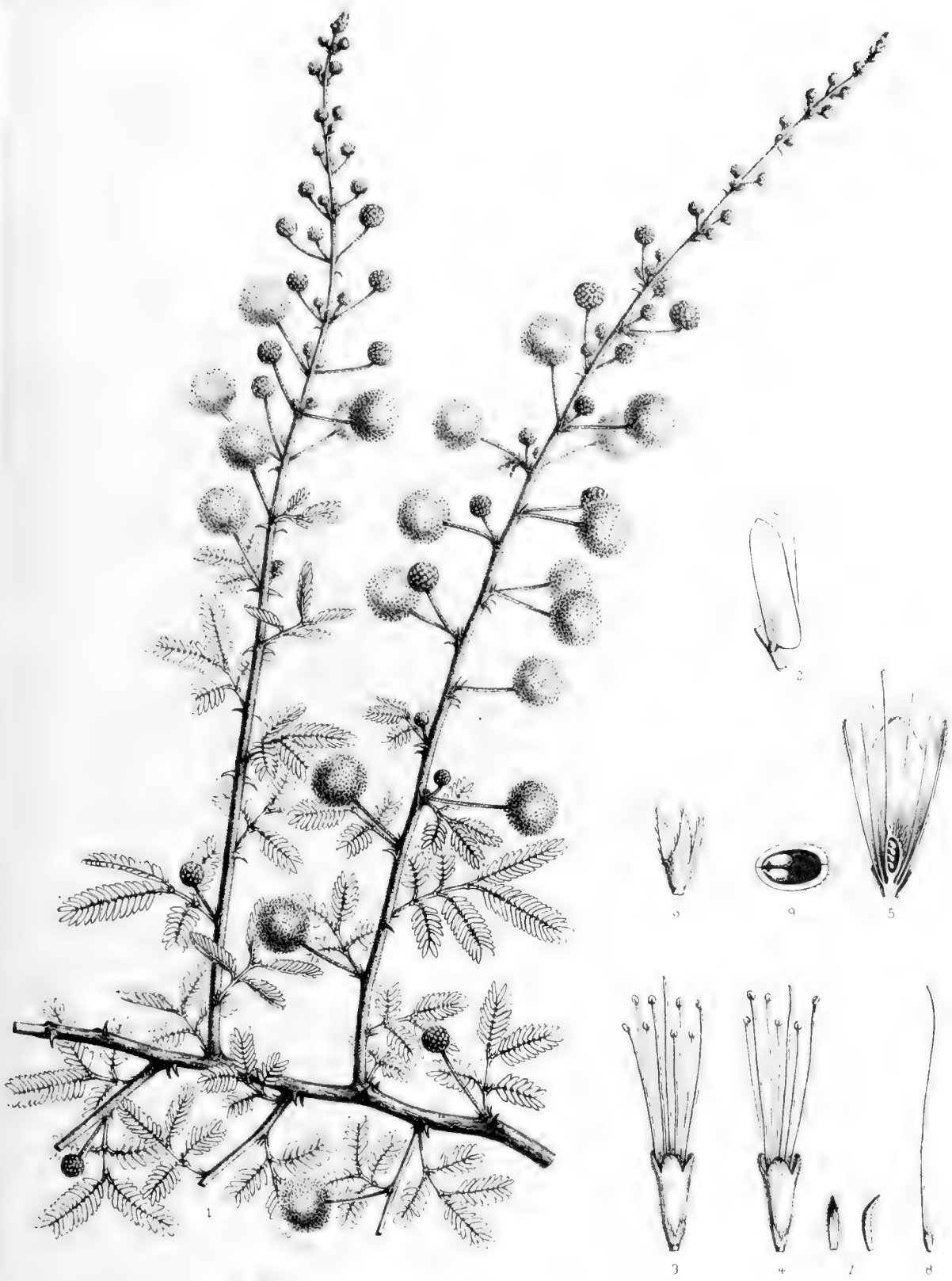
B Bergeron del. & lith.

Imp. Lemercier & C^o, Paris

HOFFMANSECCIA PARVIFLORA MICHELI



MIMOSA PLUMOSA MICHELI



B. Bergeron del & lith

Imp. Lemercier & Co. Paris

MIMOSA HEXANDRA MICHELI

MÉMOIRES
DE LA
SOCIÉTÉ DE PHYSIQUE ET D'HISTOIRE NATURELLE DE GENÈVE
TOME XXX. — N° 8.

M. MICHELI

CONTRIBUTIONS

A LA

FLORE DU PARAGUAY

III. POLYGALACÉES

PAR

le D^r Robert CHODAT

Privat-docent à l'Université de Genève.



GENÈVE
IMPRIMERIE CHARLES SCHUCHARDT
1889

CONTRIBUTIONS

A LA

FLORE DU PARAGUAY



M. Marc Micheli a déjà fait ressortir dans ses premières contributions à la flore du Paraguay¹, l'affinité considérable qui existe entre cette flore et celle du Brésil méridional (Prov. de St-Paul et des Mines) pour ce qui concerne les Légumineuses. Il en est de même pour les Polygalacées; sur 25 espèces récoltées par l'illustre voyageur Balansa, 11 sont entièrement nouvelles, les autres ont déjà été trouvées autre part (Brésil). Autant qu'on peut en juger d'après les travaux parus sur la flore de l'Amérique australe, aucune des espèces du Paraguay n'a encore été signalée dans la République Argentine. Une seule se trouve dans l'Uruguay (*Monina Richardiana*).

La proportion d'espèces nouvelles et propres au Paraguay est de 46 %, chiffre très considérable si on le compare à celui de 11 % obtenu par M. Micheli pour les Légumineuses. Par leurs affinités, ces 11 nouvelles espèces se rapprochent d'espèces brésiliennes, mais s'en distinguent par des caractères bien tranchés et de première importance; une seule (*P. areguensis*) est très voisine d'une espèce bolivienne décrite par M. A.-W. Bennet² (*P. nemoralis*). Le même auteur a donné (l. c.) une liste des Polygalacées récoltées par Balansa. Outre qu'elle est incomplète,

¹ Contrib. à la Fl. du Parag. M. Micheli, Legumin.

² Polyg. amer. nov. in *Journ. of Bot.* 1879.

cette énumération est fautive pour plus de la moitié des noms cités. J'ai déjà rectifié quelques-unes de ces erreurs, dans une communication préalable à la Société de physique de Genève ¹. J'ai aussi rectifié quelques synonymies erronées, introduites par le même auteur dans la Flore du Brésil ². Par contre les 4 nouvelles espèces décrites par M. A.-W. Bennet se sont trouvées être nouvelles.

Des 26 espèces que possède le Paraguay, 11 ont les feuilles toutes ou en partie verticillées; proportion beaucoup plus considérable qu'au Brésil.

Chose remarquable, le *P. paniculata*, le plus commun de tous les *Polygala* sud-américains, paraît manquer complètement au Paraguay proprement dit. Il n'est pas non plus cité au sud de ce pays : ce qui ferait croire que sa limite australe doit être au nord du Paraguay. *P. longicaulis*, une espèce presque aussi commune, pénètre réellement au cœur du pays, mais ne le franchit pas. Il en est de même pour *P. paludosa* et *P. tenuis* DC. Le fait que des espèces très communes dans l'Amérique australe (*P. linoides*, *P. thesioides*, *P. gnidioides*, *P. Duar-tena*, *P. Næi*, etc.) n'apparaissent pas au Paraguay, semblerait indiquer que ce pays forme, pour ainsi dire, une zone intermédiaire entre la flore (au moins pour les *Polygalacées*) du Brésil et celle de la République Argentine, mais participe plus de la première que de la seconde. S'il y a eu migration, c'est donc au Brésil qu'il faut chercher le centre de végétation des *Polygala* du Paraguay.

Dans le cours de ce travail, extrait d'une monographie de la famille devant être publiée prochainement, j'ai été amené à supprimer le genre *Acanthoclados* et à le réunir au genre *Polygala*. J'ai dénommé les deux espèces existantes d'après les auteurs qui les ont baptisées, leurs noms spécifiques ne pouvant être appliqués à des *Polygala*, vu que déjà d'autres espèces portent les mêmes noms.

Genève, mai 1889.

D^r Robert CHODAT.

¹ *Archives des sc. phys. et nat.* 1888.

² Mart. Fl. Bras. Polyg. A.-W. Benn.

I. POLYGALA

I. POLYGALA EXTRAAXILLARIS n. sp.

Radix nodosa; caulis erectus, puberulus; folia alterna, lineari-lanceolata, pubescentia, trinervia; racemi extraaxillares, laxiflori; flores submajores; carina ecristata; stigmata nec cucullata nec cristata; semina cylindrica, pilis sericeis, longis appressis vestita; caruncula galeata, exappendiculata.

Tabula nostra XXVIII, fig. 1 : 1, planta florifera; 2, alæ; 3, sepala superiora concrescentia; 4, corolla; 5, anthera cum filamentis; 6, pistillum; 7, fructus cum sepalis sub maturitatem; 8, semen.

Perennis. *Radix* fascicularis, interdum nodosa, caulem unicum vel plures edens. E caudice, *caulis* 15-30 cm. longus, erectus, teres, puberulus, inferne sublignosus, simplex, nudus vel parce foliosus, superne ramosus, nascitur. *Rami* erecti, foliosi. *Folia* lineari-lanceolata, erecta, racema plus minusve amplectentia, sæpe superantia, utrinque acuta, acuminata, trinervia, 2-5 cm. longa, 3-5 mm. lata, in petiolum brevem attenuata, utraque facie molliter puberula, haud subglabra. *Racemi* supraaxillares, pedunculo cum caule fere usque ad nodum superiorem connato, sublaxiflori, 4-6 cm. longi. *Flores* rosei. *Bracteæ* lineares, deciduæ. *Pedicelli* tenues, penduli, 3-4 mm. longi, puberuli. *Sepala* exteriora, viridia, superius arcuatum, geniculatum, in fructu erectum; duo inferiora fere usque ad apicem coalita, margine glanduloso-ciliolata, alis duplo breviora. Alæ rhomboidales vel suborbiculares, carinam æquantem vel paullo superantes, demum virescentes, membranaceæ et auctæ 6-7 mm. long., 5 mm. lat. *Petala* tria; carina galeata exappendiculata, quam petala superiora paullo longiora; petala superiora truncata, apice lata, margine inferiori exteriori ciliolata, fere usque ad basin libera. *Ovarium* ellipticum; stylus latus elongatus curvatus. Filamenta *staminum* quam antheræ multoties longiora, basi tantum in tubum coalita. *Capsula* obovata, emarginata, marginibus angustis munita, alis brevior atque angustior. Semina cylindrica, pilis sericeis appressis, longis vestita, 3-3 1/2 mm. longa; caruncula galeata, semini superposita, cornea, exappendiculata.

Obs. : Species nova a P. Brizoides Saint-Hil., radice nodosa, foliis magis hirsutis

atque firmioribus, caule et ramis pilis brevioribus (haud hispidis ut *P. Briz.*) vestitis, floribus majoribus, sepalis viridioribus, seminibus magis vestitis, caruncula dissimili sat distincta.

In collibus incultis : Villa-Rica, n. 2180, cerro Pelado apud Paraguari 4716.

P. Fallax, sp. n. Radix repens, ramosa, fragilis; caulis erectus, puberulus; folia alterna, ovato-lanceolata, pubescentia; racemi extra-axillares, laxiflori; flores speciosi; carina ecristata; stigmata nec cucullata, nec cristata; semina cylindrica; caruncula galeata exappendiculata.

Tabula nostra XXVIII, fig. II : planta tota.

Caulis 2-3 cm. altus, simplex vel ramosus, hirsutus plus minusve angularis, parte superiore molliter lanuginosus. Folia omnia late lanceolata vel ovato-lanceolata, superiora maxima. Racemi laxiflori extraaxillares, pyramidales, vel terminales. Indoles floris eadem sunt quæ in *P. extraaxillaris* Chodat.

A præcedenti, floribus paullo majoribus, foliis multo latioribus, habitu dissimilis.

In pratis : Capitindu, in oriente Cordillieræ Villa-Rica, n. 2479.

POLYGALA TENUIS DC. (fide Herb. DC.) non A.-W. Bennet. *P. sulphurea* A.-W. Bennet. Fl. brasil. 38; *P. paludosa* Saint-Hil. Flor. bras. mer., II, 9, ex parte.

In America meridionali varietates tres hujus speciei reperiuntur.

Var. α : caulibus elongatis 5 decm. long. quandoque parte inferiore sublignosi, parte superiore ramosis, floribus pallide sulphureis Gardn., 4419.

Var. β : caulibus elongatis 4-5 decm. longis, herbaceis, floribus antecedenti paullo majoribus, pallide roseis. Claussen 156.

Var. γ : caulibus minus elongatis 1-3 decm. long., herbaceis, parce ramosis, floribus sulphureis. Glaziou 10272.

Cl. Saint-Hilaire in Fl. brasil. merid. qui specimen Candolleum cognoscebat, sine ullo judicio cum varietatibus, sub nomine novo *P. paludosa*, descripsit. Cl. A. W. Bennet in Fl. brasil. (Mart.) speciem Hilarianam *P. paludosam* abrogavit, illiusque varietates partim ad species cognitatas partim ad novas reduxit. Sic pro varietatibus γ *amethystina* et ε *longispicata* speciem novam (*P. sulphurea*) fecit, indicavit simul autem, plantam Gardnerianam 4419 typicam esse. Quæ planta nisi habitu majore, cum specimine Candolleano sub nomine *P. tenui* in Herb. Prodromi asservato prorsum conveniet, ita ut *P. sulphurea* A.-W. Bennet eadem est qua *P. tenuis* DC.

Polygalæ tenuis A.-W. Bennet autem Icones. Tab. VII, 2, Tab. XXX, A. fig. 16 (semen) cum descriptione in eodem libro non conveniunt. quo fecit ut nesciam quam plantam sub eo nomine describere voluit.

Specimina paraguensia ad var. γ pertinent. B. Balansa Pt-Parag. 2183. Caaguazu. in pratis paludosis. Novemb.

P. CHUITI, n. sp. Caulis tenuissimus, subaphyllus; corolla cristata; antheræ subsessiles; stigmata cucullata, cristata; capsula elliptica, alis paullo brevior; appendicula carunculæ lanceolata, semine triplo breviora.

Tabula nostra XXIX, fig. I: 1, planta florifera; 2, ala; 3, sepalum superius; 4, corolla; 5, antheræ tres in tubo; 6, pistillum; 7, fructus maturus cum sepalis persistentibus; 8, semina.

Annua. *Radix* parva fibrosa. *Caulis* unicus, tenuissimus, filiformis, teres, subaphyllus, 3-5 decm. altus, parte superiore ramosus, ramis tenuissimis, erectis, fastigiatis. *Folia* sparsa, squammaeformia vel linearia, acicularia, usque ad 5 mm. longa. *Racemus* elongati, 10-15 cm. longi (floribus dilapsis adjunctis), laxiflori, subsecundi. *Flores* 2 mm. longi, pedicellati, albicantes vel flavescens. *Bractea* bracteolis duplo longior, lanceolata, in anthesi pedicellum æquans, decidua. *Pedicelli* floribus brevioribus, demum deflexi. *Sepala* exteriora, inæqualia; superius ellipticum, nervo medio ramoso notatum; inferiora minora, lanceolata, uninervata. *Alæ* elliptico-spathulatæ, obtusæ, stipitatæ, nervis tribus, simplicibus notatæ, glabræ, quam corolla longiores. *Carina* concava, cristam, laciniis paucis simplicibus formatam, in dorso ferens. *Petala* superiora cum carina connata, a parte media libera, latescentia, rhomboidalia, quam carina paullo breviora. *Antheræ* octo, in tubo staminali fere sessiles, glabræ. *Ovarium* ellipticum; *stylus* brevis; *stigma* cucullatum cristatum. *Capsula* elliptica, emarginata, marginibus membranaceis nullis notata, glabra, punctata, alis paullo brevior. *Semina* hirsuta, ovoidea, elongata, arillo parvo, biappendiculato munita. *Appendicula* acuta alba, in semine equitantia atque eo triplo breviora.

Obs. Species habitu *P. tenui* var. α valde similis, sed ob filamenta staminum usque ad apicem connata i. e. ob antheras subsessiles, ob formam alarum, ob semen distincte stropholatum, toto cœlo diversa. Species nova amico Ph. Chuit scientiarum Doctori, egregio chemico dicata.

P. PALUDOSA, Saint-Hil. Fl. bras. mer., II, p. 9 (exclusis varietatibus α , β , γ , ϵ); *P. tenuis* A.-W. Bennet (non D. C.) pp. Fl. brasil. Polygal, p. 18. Tab. VII, II, fig. 1-2.

Tabula nostra XXXI, fig. I: 1, planta florifera; 2, ala; 4^a, petalum superius ablatum; 4^b, crista ablata; 6, pistillum; 7, fructus cum sepalis persistentibus; 8, semen.

Var. angustocarpa.

Radix fibrosa annua. *Caulis* erectus, teres, leviter striatus, herbaceus, tenuis, superne ramosus, 20-40 cm. longus. *Rami* tenuissimi, erecti, simplices vel iterum ramosi. *Folia* numerosa, erecta haud patula, lanceolata, sæpius linearia, 5 mm. longa, $\frac{1}{4}$ mm. lata, margine subtus revoluta, glabra, in ramis floriferis angustissima. *Racemi* elongati, cylindrici, 2-4 cm. longi, 4-5 mm. lati, subdensiflori. *Flores* breviter pedicellati, rosei. *Sepala* inæqualia, haud connata. *Alæ* duplo longiores, obovatæ, obtusæ, roseæ, basi attenuatæ, nervis tribus inter se haud anastomosantibus, præditæ, carinam fimbriatam æquantes. *Carina* cristata. *Crista* filamentis paucis (6-8), simplicibus formata. *Petala* superiora, irregulariter sinuata, apice submarginata, cum tubo staminali usque ad medium connata. *Filamenta* staminum libera, antheris breviora, maxima parte connata. *Stigma* superius cristatum. *Fructus* ellipticus, alis paullo brevior vel eas æquans. *Semina* griseo-nigra, breviter hirsuta, ellipsoidea, caruncula breviter exappendiculata munita.

Conf. observat. in *P. tenuis*, p. 104.

In pratis humidis et in uliginosis: Paraguari, n. 2180; Villa-Rica, n. 2180 (eadem est pl. Schomburgk 670 e Guy. angl.).

P. SERICEA, A.-W. Bennet Fl. bras. Polyg., p. 70. Specimina paraguensia cum descriptione ac cum icone seminis (in Fl. brasil.) bene conveniunt. (In hac specie stigma cristatum est, quod omisit A. Bennet.) Folia caulinea sunt angustiora quam in speciebus brasiliensibus.

Cl. A.-W. Bennet in Journ. of Bot. 1879, Polyg. americ. n. 2188 Bal. cum *P. tenui* identificavit sed meo sensu erronee. *P. tenuis* DC. ut jam (pag. 104) demonstravi eadem est planta qua *P. sulphurea* A.-W Bennet. *P. tenuis* A.-W. Bennet, l. c. descriptio perbrevis quæ non cum icone convenit, plantam quam auctor describere voluit cognoscere non licet. Ille adeo in summo errore versatur ut species quas creavit non recognoscat.

In campis: Cerro Perron apud Paraguari, n. 2188; Cuaguazu, n. 2601; Cerro Pelado apud Paraguari, n. 4714.

Area geog. In campis provinciæ brasiliensis minarum.

P. VILLA RICA, sp. n. Caules virgati, foliosi vel subaphylli; folia linearia alterna;

alæ obovatæ, obtusæ; carina cristata; petala superiora ligularia; antheræ subsessiles; stigma haud cristata. Fructus ellipticus. Semina biappendiculata; appendicula ligularia, membranacea.

Tabula nostra XXIX, fig. II : 1, planta tota et racemus fructiferus; 2-3, ala et sepala exteriora; 4, corolla aperta; 4^a, petalum superius ablatum; 5, anthera in tubo; 6, pistillum; 7, fructus cum sepalis; 8, semina.

Radix perennis, cylindrica, ramosa, articulata, brunneofusca. E caudice haud incrassato oriuntur *caules* plures, virgati, teretes, striati, parte superiore ramosi vel simplices, 2-3 dcm. alti, erecti. *Folia* alterna, lineari-lanceolata, vel linearia, aculeiformia, sæpe omnia decedentia, interdum persistentia, in caulibus junioribus 2-3 cm. longa, acuminata, mucronata, 1-2 mm. lata, margine incrassata, erecta, *Racemus* in juventute densus, elongatus 2,5-4 cm. longus, demum laxis 10-12 cm. longus. *Flores* albi, flavescentes breviter pedicellati. *Sepala* inæqualia. *Alæ* obovatæ, obtusæ, rotundatæ, basi attenuatæ, nervis haud anastomosantibus, munitæ. *Nervi* laterales extrinsecus ramosi. *Carina* cristata. *Crista* filamentis simplicibus paucis (6) formata. *Petala* superiora haud sinuata, ligularia. *Stamina* filamentis parte minima liberis, quam antheræ duplo brevioribus. *Stigmata* hippocampiformia, haud cristata. *Fructus* ellipticus, alis paullo brevior sed latior, marginibus membranaceis nullis præditus. *Semina* cylindrica, breviter hirsuta, caruncula biappendiculata munita. *Appendicula* dimidium semen æquantia vel superantia, ligularia, membranacea.

A præcedenti, stigmatibus haud cristatis, seminibus diversis, pilis brevioribus, appendiculis longioribus diversa. Affinis *P. Lagoanæ* sed ob semina atque alia diversa. Verumtamen ad sectionem *P. aphyllæ* appropinquanda.

Cl. A.-W. Bennet l. c. eam pro *P. remota* A.-W. Bennet (*P. paludosa*, S^t-Hil. p. p.) erronee habet. Ab ea fructibus non quam alæ duplo longioribus, caule firmiore, stigmatibus haud cristatis, atque forma seminis, diversa.

In pratis et pascuis : Dona Juana apud Villa-Rica, n. 2191; Villa-Conception, n. 2191 6. Apr.

P. MOLLUGINIFOLIA, S^t-Hil. Fl. brasil. mer. II, 25. *P. galioïdes* var. γ *molluginifolia*, A.-W. Bennet Fl. brasil. Polyg., p. 29.

A.-W. Bennet sine ullo iudicio speciem Hilarianam cum *P. galioïde*, Poir., conjugit quacum nisi foliis verticillatis, non convenit.

In pratis : Villa Rica, n. 2186.

Area geog. Brasil. meridionalis; Paraguay.

P. ORTHIOCARPA, sp. n. Caulis quadrangulatus, folia verticillata, linearia aut lineari-lanceolata; racemi subdensiflori; bracteæ persistentes; petala superiora rhomboidalia, lata; stigmata cristata; fructus erectus, elliptico-rotundatus; appendicula carunculæ semen subæquantia vel $\frac{1}{3}$ breviora.

Tabula nostra XXX, fig. II : 1, planta florifera et fructifera; 2, ala; 3, sepalum superius; 4, corolla sine uno petalo; 4^a, petalum superius; 5, antheræ cum filamentis; 6, pistillum; 7, fructus cum ala et sepalis exterioribus; 8, semina.

Radix crassa, tortuosa, griseo violacea, striata. E caudice oriuntur *caules* plures, adscendentes, 4-angulares, simplices aut pauciramosi. *Folia* omnia lineari-lanceolata aut linearia, 5-verticillata aut superiora alterna, mucronata, in medio caule longiora atque latiora, 2-2 $\frac{1}{2}$ cm. longa, 2-4 mm. lata. *Racemi* terminales, subdensiflori 3-6 cm. longi, 3 $\frac{1}{2}$ -4 mm. lati. *Bracteæ* persistentes. *Bractea* bracteolis multo longior, acuminata, quam pedicellum triplo longior, etiam post anthesin persistens. *Pedicelli* brevissimi etiam in fructu erecti. *Flores* subsessiles. *Sepala* inæqualia. *Alæ* ellipticæ trinerviæ, maculis elongatis crassis, notatæ, carinam subæquantes, albidæ. *Carina* cristata. *Petala* superiora usque ad medium cum tubo staminali connata, triangularia vel rhomboidalia sed haud ligularia, lata. *Antheræ* quam filamenta libera longiores. *Stigmata* cristata. *Fructus* irregularis elliptico *rotundatus* maculis croceis præditus, haud pendulus sed erectus, alis subbrevior sed sublatur. *Semina* breviter sed molliter pubescentia; caruncula biappendiculata; appendicula semen subæquantia vel $\frac{1}{3}$ breviora.

In pratis : Itangu apud Villa-Rica, n. 2189.

Species distinctissima. A præcedenti, floribus majoribus, foliis angustioribus, pedicellis brevioribus, bracteis persistentibus, petalis superioribus diversis, differt.

Cl. A.-W. Bennet eam cum *P. galioides* (l. c.) conjugit, quacum minime convenit. Magis affinis est *P. paraguayensi*, quam creavit ipse ille auctor.

P. PUNCTATA, A.-W. Bennet, Polyg. Amer. Journ. of Bot., 1879, p. 173. Caulis angulatus; folia verticillata, glanduloso-punctata, lanceolato-obovata, vel superiora lanceolato-linearia; racemi capitati, compacti, subglobosi; alæ ellipticæ, obtusæ; petala superiora rhomboidalia, quam carina breviora; fructus pendulus, ellipticus, apice emarginatus; semina pilis sublongis vestita; appendicula carunculæ semine $\frac{1}{3}$ breviora.

Tabula nostra XXXIII, fig. I : 1, planta florifera; 2, ala; 3, sepala; 4^a, petalum superius; 4, carina cristata cum petalis superioribus (dorsalis); 5, antheræ; 6, pistillum; 7, fructus cum sepalis; 8, semina; 9, bracteæ.

Radix crassa, carnosa, ramosa. *Caulis* numerosi. basi tantum ramosi vel subsimplices, angulosi, subglabri, firmi, erecti, 1-2,5 dcm. alti. *Folia* inferiora 4-5 verticillata, obovato-oblonga, apiculata; superiora lanceolato-lineararia, acuta, mucronata, verticillata vel alterna; omnia pellucido-punctata. *Racemi* capitati, compacti, demum cylindrici, breves, 1-3 cm. longi. *Bractæ*, inæquales; bractea bracteolis triplo, vel quaduplo longior, lanceolato-subulata, ciliolata, pedicellum æquans vel superans, usque ad anthesin persistens. *Flores* pedicellati; *pedicelli* graciles, floribus subbreviares, demum penduli. *Sepala* exteriora inæqualia, ovata, obtusa, superius paullo majus, glabra. *Alæ* membranaceæ, ellipticæ vel obovatæ, corollam paullo superantes; nervi vix vel non anastomosantes. *Carina* cristata; crista e filamentis numerosis, linearibus formata. *Petala* superiora quam carina cristata fere dimidio breviora, rhomboidalia, lata. *Antheræ* filamentis liberis longiores. *Stigmata* cristata ut in *P. molluginifolia*. *Capsula* elliptica, emarginata, alis paullo brevior sed æquilata. *Semina* subcurvata, pilis sublongis, sericeohirsuta, utrinque attenuata; *appendicula* linguæformia, $\frac{2}{3}$, semen æquantia.

In collibus incultis : Villa Rica.

Species habitu *P. adenophyllæ* proxima, sed alis haud ovatis, sepalis latioribus, petalis minus elongatis, crista dissimili valde distincta.

P. PARAGUAYENSIS, A.-W. Bennet, Journ. of Botany, 1879. Polyg. americ., p. 174. Caulis quadrangularis, subalatus; folia verticillata obovata, mucronata vel lanceolata; bractæ persistentes; alæ obtusæ, quam capsula vix longiores; fructus erectus, haud pendulus. Caruncula biappendiculata; appendicula lineararia alba membranacea tenuia, semen æquantia vel superantia.

Radix crassa, perpendicularis, lignosa. E caudice incrassato, oriuntur caules plures adscendentes, erecti, simplicis vel parce ramosi 15-30 cm. longi, 4 angularis subalati. *Folia* inferiora 4-verticillata, obovata, mucronata; superiora lanceolata, sæpius alterna, uninervia, 10-15 mm. longa, 4-8 mm. lata. *Racemi* elongati, subdensiflori, usque ad 1 dcm. longi. *Flores* albo-lutescentes. *Bractæ* persistentes. *Bractea* bracteolis major, lanceolata subulata. *Pedicelli* fructuum erecti, haud penduli. *Flores* non vidi. *Alæ* ellipticæ, quam capsula vix longiores obtusæ. *Capsula* elliptica, apice attenuata, emarginata. *Semina* oblonga, pilis adpressis subsericea, strophiolata. *Caruncula* biappendiculata. *Appendicula* semen longitudine æquantia vel paulo superantia, alba, lineararia.

In pratis : Itangu, n. 2193.

Obs. : Species Polygalæ orthiocarpæ valde affinis. Bracteis persistentibus, pedicellis

erectis, forma fructus cum ea conveniet. Foliis latioribus, fructibus majoribus, forma seminum atque eorum appendiculis longioribus distincta.

P. GRÆBIANA, sp. n. Caules numerosi, diffusi, adscendentes, internodiis articulatis; folia verticillata, lanceolato-linearia, internodia æquantia vel superantia; racemi arcuati; pedicelli breves; alæ ovatæ; petala superiora rhomboidalia; antheræ filamenta libera longitudine æquantes.

Tabula nostra XXX, fig. II : 1, planta tota; 2, alæ; 3, sepala exteriora; 4^a, petalum superius ablatum; 4^b, carina ablata sine crista; 5, androceum; 6, pistillum; 7, fructus cum duobus sepalis; 8, semen.

Radix crassa, ramosa, sinuata, articulata, brunneo-rufa. E caudice nascuntur *caules* numerosi, adscendentes, diffusi, curvati, striati, subalati, internodiis articulatis. *Folia* omnia lanceolato-linearia, 4-5 verticillata, internodia subæquantia vel superantia, tenuissime mucronata, punctata, 10-20 mm. longa, 1-2 mm. lata. *Racemi* graciles, arcuati, elongati, sublaxiflori, 3-7 cm. longi. *Flores* albidæ. *Bracteæ* persistentes vel caduæ. *Pedicelli* breves, demum penduli. *Sepala* exteriora inæqualia; superius ellipticum, aliis duplo majus, nervis tribus notatum; inferiora uninervia. *Alæ* ovatæ, triangulares, nervis tribus munitæ; nervi laterales extrinsecus simpliciter ramosi, ramis haud anastomosantibus. Alæ carina paullo longiores. *Carina* cristata, appendiculis simplicibus, paucis (5-7) formata. *Petala* superiora fere usque ad basin libera, rhomboidalia, lata, apice subserrulata. *Antheræ*, filamenta libera longitudine æquantes. *Stigmata* cristata. *Capsula* orbiculari-elliptica, sæpe irregularis, glabra non alata, alis paullo brevior haud latior. *Semina* griseo-hirsuta. *Caruncula* biappendiculata. *Appendicula* descendens, linearis, semen paullo superantia vel breviora.

In basi Cerro Perron ap. Paraguari, n. 2062.

Species nova, in honorem celeberrimi chemici, Professoris C. Græbe, rectoris Universitatis Genevensis, gratissime dicata.

P. LEUCANTHA, A.-W. Bennet. Journal of Bot., 1879. Polyg. americ., p.

A præcedenti, foliis angustioribus, caulibus brevioribus, alis obovatis vel spathulatis sed non triangulari lanceolatis, semine subcurvato, appendiculis arcuatis, apice latescentibus, diversa.

In speciminibus a cl. Balansa lectis, duæ varietates reperiuntur (in Herbario Mus. Paris eadem paginæ affixæ).

Var. α (in Hb. Mus. sup.).

Carunculæ appendicula dimidium semen attingentia vel paullo superantia.

Var. β (in Hb. Mus. Par. inf.).

Carunculae appendicula leviter falcata, semen longitudine æquantia.

N. 4718, n. 2190.

P. AREGUENSIS, A.-W. Bennet. Journ. of Bot., 1879. Caules rigidi, erecti, subalati; internodia elongata; rami erecti; folia verticillata (5), lanceolato-lineararia quam internodia duplo vel triplo breviora; bractea decidua; carina cristata; anthera subsessiles; stigmata cristata; capsula alis dimidio brevior; appendicula carunculae $\frac{2}{3}$, seminis æquantia.

Tabula nostra XXXIII, fig. II : 1, planta florifera; 2, alae; 3, sepala; 4, corolla; 4^a, crista; 4^b, petala superiora; 5, anthera; 6, stylus et stigmata; 7, fructus cum sepalis; 8, semen.

Radix crassa, cylindrica, striata, haud articulata. E caudice oriuntur *caules* plures, crassi, a basi dichotomi, striati, subalati, rigidi, basi tantum adscendentes, deinde erecti 15-40 cm. longi. Internodia 1-4 cm. longa, nodosa. Rami erecti, validiores. Folia 5-verticillata, lanceolata vel lanceolato-lineararia, mucronata, superiora alterna, quam internodia duplo vel triplo breviora, 15-25 mm. longa, 1-4 mm. lata. *Racemi* longe pedunculati, subdensi, elongati 1 $\frac{1}{2}$ -6 cm. longi, 6-7 mm. lati. *Bractea* minutae, deciduae. *Sepala* exteriora inæqualia, superius duplo majus. *Alae* ellipticae, obtusae, basi in stipitem attenuatae, roseae, trinerviae, nervo medio simplice incrassato, lateralibus extrinsecus ramosis, corollam fimbriatam æquantibus. *Carina* cristata. Crista speciosa, filamentis sublatis, simplicibus formata. *Petala* superiora irregulariter elliptica, obtusa, quam carina breviora. *Anthera*, quam filamenta libera longiores. *Stigmata* hippocampiformia valde cristata. *Capsula* elliptica, subrotunda, submarginata, quam alae dimidio breviores. *Semina* pilis sericeis, brevibus, grisea; appendicula lata alba $\frac{2}{3}$ seminis æquantia.

Obs. : Species ab omnibus hujus sectionis internodiis longioribus, caule erecto rigido, forma stigmatum atque aliis valde distincta, *P. nemoralis*, A.-W. Bennet, valde affinis.

In planitie : Aregua, Balansa, n. 2187. Weddel 3161 (Hb. Mus. Paris). Apr.-Mai.

P. GLOCHIDIATA, H. B. K. Nov. Gen. V. 400; DC. Prodr. I, 329; Bennet Fl. brasil. Polyg., 30.

B. Balansa, n. 2184 α et β .

Area geog. Brasilia tota.

P. TIMOUTOIDES, sp. n. Folia subsessilia, lanceolata vel linearia, mucronata, infima plusminusve verticillata, superiora alterna; racemi terminales, cylindrici, densiflori; bracteæ in summo racemo vix comosæ; sepala exteriora obtusa elliptica; alæ corolla multo majores in flore reduplicatæ, orbiculares haud mucronatæ vel apiculatæ; corolla, crista callosa bipartita, brevi munita; semina subrotunda, caruncula biappendiculata munita.

Tabula nostra XXXI, fig. I : 1, planta florifera; 2^a, alæ; 3, sepala exteriora; 4, corolla aperta; 4^a, carina dorsalis cum crista; 5, antheræ cum filamentis; 6, pistillum; 8^a, semen. (Polyg. Timoutou : 2^b, ala; 8^b, semen.)

Radix parva, fibrosa. *Caulis* simplex vel apice tantum ramosus, striatus, subalatus. *Folia* lanceolata, vel lanceolato-linearia, mucronata, infima interdum verticillata, sæpe angustiora, minute pellucido punctata, superiora alterna et majora, 5 mm.-3 cm. longa, 1-5 mm. lata. *Racemi* 1 cm.-4 cm. longi, 6-8 mm. lati, cylindrici apice, subcomosi. *Bracteæ* lineari-lanceolatæ. *Sepala* exteriora, inæqualia, elliptica, haud mucronulata. Alæ sepalis exterioribus plusquam duplo longiores, corollam includentes, orbiculares, haud apiculatæ, reduplicatæ, carinatæ. *Carina* minor, galeata, in summo dorso crista brevi, carnosa, bifida, ornata, in fructu persistens. *Petala* superiora, elliptica, obtusa quam carina sublongiora et usque ad medium cum tubo staminali connata, apice subdenticulata. *Antheræ* quam filamenta libera breviores. *Stylus* gracilis, quam ovarium longior, stigmata cucullata et cristata. *Capsula* membranacea, cordato-orbicularis, quam alæ brevior, croceo-punctata. *Semina* brunnea, hispidula; caruncula in duos appendiculos, membranaceos, albos prolongata.

In locis humidis : Cuaguazu, n. 2177.

Obs. : Species a *P. Timoutou* Aubl. valde distincta, foliis angustioribus, racemis minus comosis, alis sepalisque haud mucronatis vel apiculatis, seminibus brevioribus. Descriptio *P. Timoutou* a cl. Bennet in Fl. brasil. data, haud bona est, dicit enim, alas *P. Timoutou* obtusas esse, quod non est. Idem in Journ. of Bot., l. c., nostram plantam cum *P. hygrophylla* identificavit. Illa a *P. timoutoide*, caulibus valde ramosis, racemis pedunculatis atque minoribus, seminibus magis elongatis habitu dissimili, etc. differt.

P. HYGROPHYLLA, H. B. K. Nov. Gen. V, 395, t. 508.

Species a B. Balansa non lecta, tamen in Paraguay occurrit. Weddel Parag., 1843. N. 3304. In Hb. Mus. Par.

P. LONGICAULIS, H. B. K. Nov. Gen. V, 396.

In pratis uliginosis : Pastoreo-mi apud Villa Rica, n. 2179.

Area geog. Per Americam totam calidiorem.

P. PULCHELLA, S^t-Hil. Fl. bras. mer. II, 30, n. 2185.

Area geog. Brasilia meridionalis.

Cl. Bennet, l. c., hanc plantam ad *P. paniculatam* contulit quacum nihil commune habet.

P. OBOVATA, S^t-Hil. Fl. brasil., mer. II.

In pascuis : Villa-Conception, n. 2194.

In hac specie, petala lateralia haud desunt sed eximie formata.

Area geog. Brasilia meridionalis.

P. MICHELI, n. sp. folia alterna, petiolata, lanceolata, acuminata, mucronata, tenuia, lucida; caulis ramosus, teres, filiformis, basi plus minusve decumbens, puberulus; racemi sublaxiflori; flores albi, parvi; sepala exteriora glanduloso-ciliata; corolla cristata; stigmata ecristata.

Tabula nostra XXXI, fig. II : 1, ramus floriferus; 2, ala; 3, sepala; 4, corolla aperta; 6, pistillum; 7, fructus cum alis.

Radix sinuosa, teres, articulata, cinnamomea. *Caulis* ramosus, tenuis, flexuosus, teres, puberulus, 20-35 cm. altus, basi nudus, superne foliosus. *Folia* alterna, breviter petiolata, lanceolata vel lanceolata-ovata, patentia vel deflexa, acuminata, mucronata, lucida 1,5-3 cm. longa 3-10 mm. lata. *Racemi* terminales vel etiam axillares, sub laxi et pauciflori. *Bractæ* subpersistentes. Sepala exteriora inequalia, margine ciliolata quam alæ 3-plo minoræ. Alæ ovatæ, obtusæ, 3 nervatæ; nervus medius apice simpliciter ramosus, laterales extrinsecus ramosi; nervilli haud anastomosantes. *Carina* quam alæ paullo brevior, cristata. Crista filamentis paucis (6), apice emarginatis formata. Petala superiora elliptica. Antheræ quam filamenta libera paullo longiores. Ovarium obcordatum; stylus brevis, stigmata cucullata. Capsula elliptica, emarginata quam alæ longior. Semina ignota.

In sylvis : Paraguari, n. 2599.

Descriptio secundum specimen unicum in herb. Mus. Paris asservatum, postea planta melius cognita, amplificanda et forte emendanda. Species nova, in honorem instigatoris harum contributionum ad Fl. Parag. cl. M. Micheli, cujus liberalitate tabulæ editæ sunt, gratissime dicata.

POLYGALA BENNETTI, Chod.

Acanthocladus albicans A.-W. Bennet. Fl. brasil. Polyg., p. 46 (Descriptio incompleta).

Capsula orbicularis, haud emarginata, sublignosa, vel partim carnosa, rugosa,

sepalis dilapsis nuda. Semina sphaerica, glabra, nitida, brunneo-violacea, carunculata; caruncula papyracea, irregularis, patens.

Tabula nostra XXXII, fig. II : 1, ramus floriferus; 2, ala; 3, sepalum superius; 4, corolla; 5, anthera cum filamentis; 6, pistillum; 7, capsulae; 8, semina.

In ericetis : Inter Assomption et Trinitad. Oct.

Area geog. : Brasil. mer.

Obs. Genus *Acanthocladus* Klotsch, cum *Polygala* perbene conveniet, ut jam indicavit cl. A.-W. Bennet (l. c.). Indoles omnes iidem sunt in *Polygala* ut in *Acanthoclado*; a *Mundtia*, genere capensi, fructu haud bacciformi, bene distinctae. Quare, genus *Acanthocladum* ad *Polygalam* reduco.

POLYGALA KLOTZSCHII, Chod.

Acanthocladus brasiliensis Klotsch. in Pl. sello Exscc.; A.-W. Bennet. Fl. brasil. Polyg., p. 46. Nondum in Paraguay observata.

II. MONINA, Ruiz. et Pav.

MONINA RICHARDIANA Saint-Hil. Fl. bras. mer. II, 66 var. angustifolia.

In pratis humidis : Cuaguazu n. 2175. Cordillière de Peribebuy n. 4715.

Area geog. Bras. aust. Urug.

MONINA EXALATA, A.-W. Bennet. Fl. bras. In campis : Cuaguazu.

Ar. geog. Brasil. prov. Minarum.

III. BREDMEYERA, Willd.

BREDMEYERA FLORIBUNDA, Willd. Neue Schrift. Naturf. Freund. Berlin. III, 406, t. 4; A.-W. Benn. Fl. brasil., l. c. 48.

Var. acutifolia.

Folia utrinque acuminata.

In sylvis : Scandens : Cordill. Peribebuy n. 4713 (flores), n. 4714 (fruct.).

Obs. In hac specie, petala lateralia haud desunt, sed squammæformia bene apparent (interdum ligularia), semina coma sericea, flavescenti donata, in raphen aculeiformem, hirsutam prolongata sunt. Fructus durus, apice haud emarginatus sed mucrono obtuso præditus.

INDEX TABULARUM

	Tab.		Tab.
<i>Polygala areguensis</i>	33.2	<i>Polygala Michellii</i>	31.2
» <i>Benetti</i>	32.2	» <i>orthiocarpa</i>	30.1
» <i>Chuiti</i>	29.1	» <i>paludosa</i>	32.1
» <i>extraaxillaris</i>	28.1	» <i>punctata</i>	33.2
» <i>fallax</i>	28.2	» <i>timoutoides</i>	31.1
» <i>Græbiana</i>	30.2	» <i>Villa-Rica</i>	29.2

INDEX NUMERORUM

2175 <i>Monnina Richardiana</i> .	2189 <i>Polygala orthiocarpa</i> .
2176 » <i>exalata</i> .	2190 » <i>leucantha</i> .
2177 <i>Polygala timoutoides</i> .	2191 » <i>Villa-Rica</i> .
2178 » <i>longicaulis</i> (non 2179).	2192 » <i>punctata</i> .
2179 » <i>fallax</i> .	2193 » <i>paraguayensis</i> .
2180 » <i>extraaxillaris</i> .	2599 » <i>Michellii</i> .
2181 » <i>paludosa</i> .	2602 » <i>Græbiana</i> .
2182 » <i>Chuiti</i> .	4713 <i>Bredemeyera floribunda</i> .
2183 » <i>tenuis</i> .	4714 » »
2184 » <i>glochidiata</i> .	4716 <i>Polygala extraaxillaris</i> .
2185 » <i>pulchella</i> .	4717 » <i>sericea</i> (non 4714).
2186 » <i>molluginifolia</i> .	4718 » <i>leucantha</i> .
2187 » <i>areguensis</i> .	4719 » <i>longicaulis</i> .
2188 » <i>sericea</i> .	



Bengeron del. et lith.

Imp. Lemercier & Co. Paris.

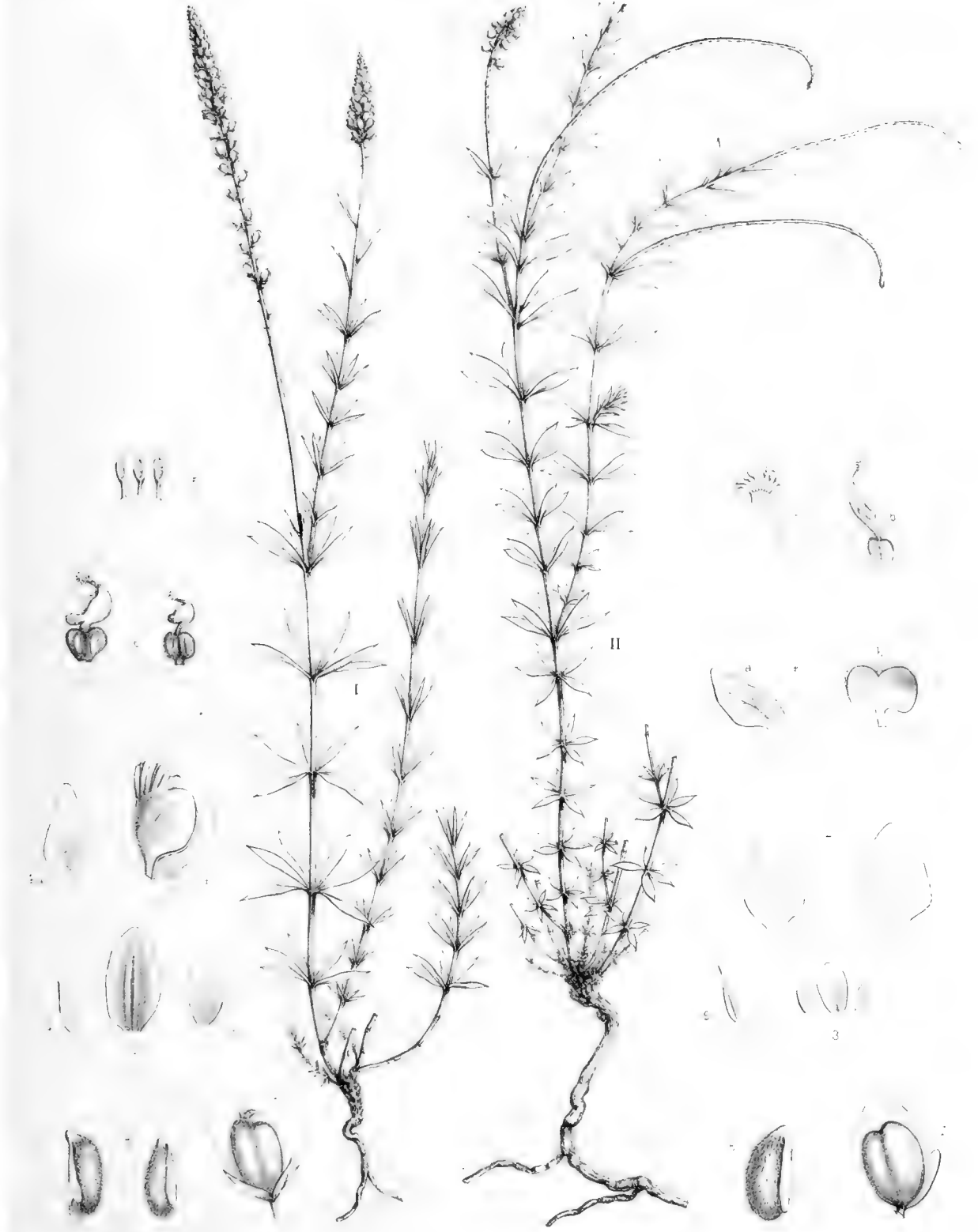
I. POLYGALA EXTRAAXILLARIS CHOD — II. POLYGALA FALLAX CHODAT



Bergeron del et lith

Imp Lemaitre & Co Paris

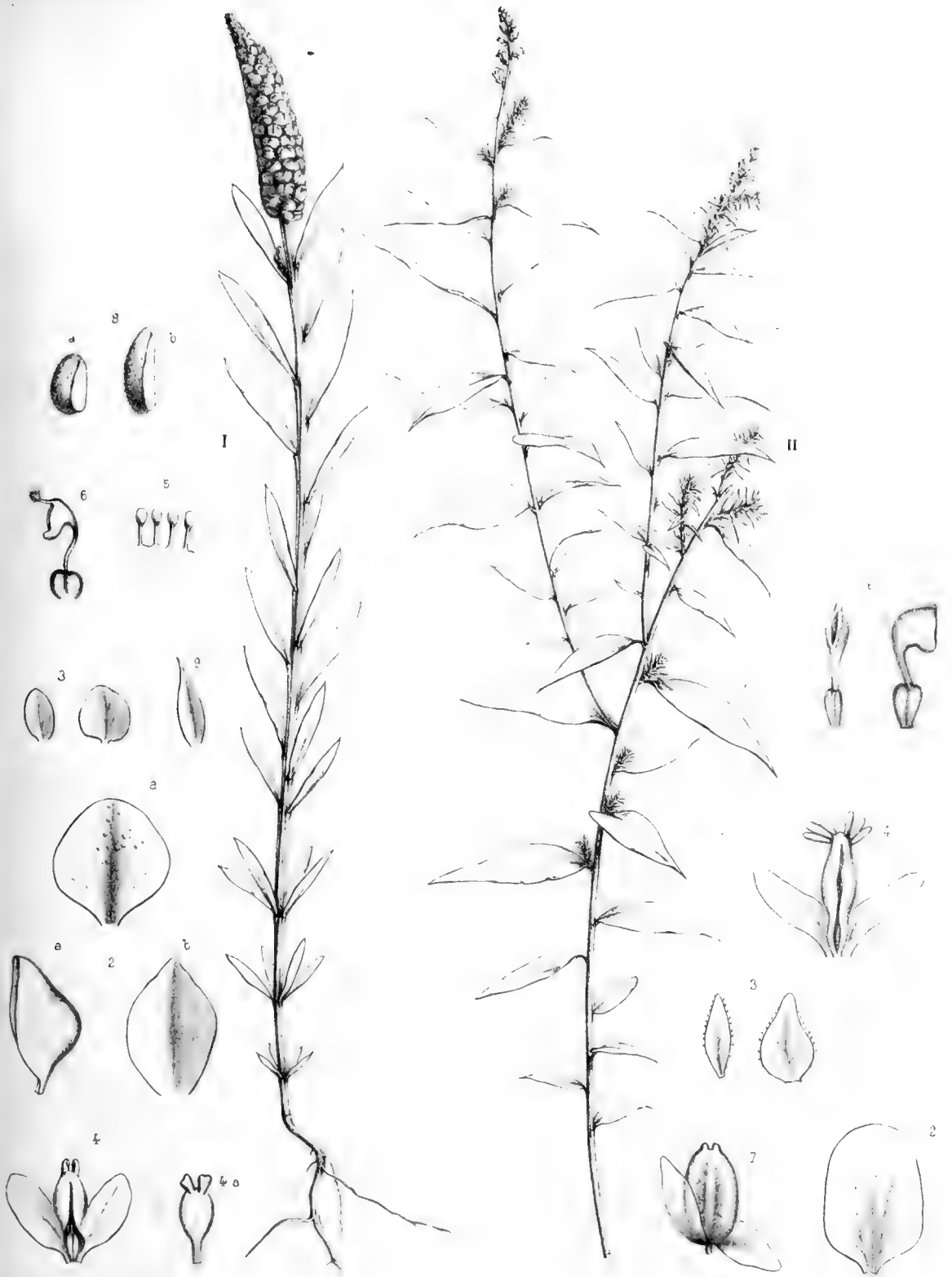
I. POLYGALA CHUITI CHOD — II. POLYGALA VILLA-RICA CHOD.

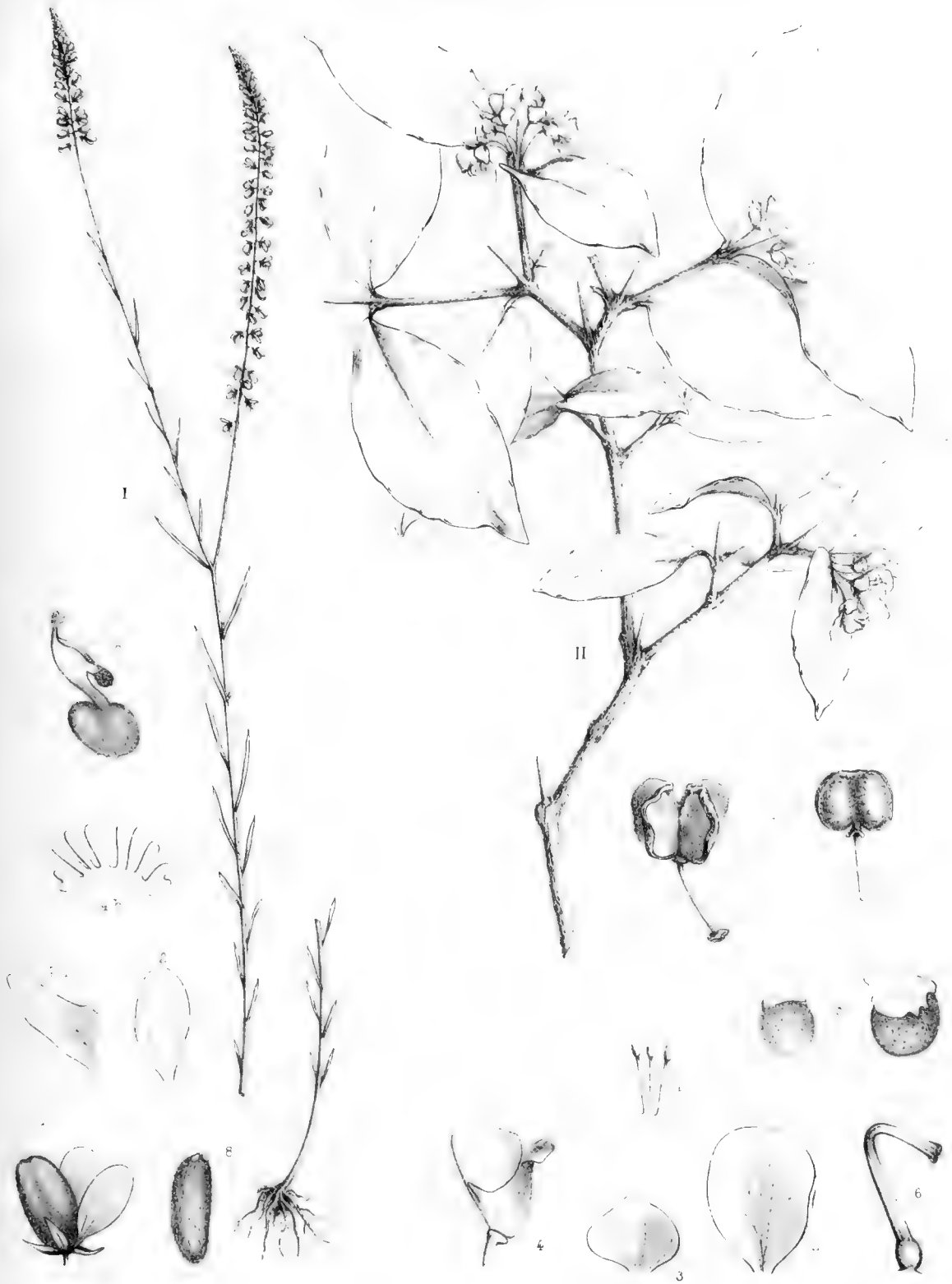


Bergeron del et lith

Inp. Lemercier & Co Paris

I. POLYGALA ORTHIOCARPA CHOD. — II P. GRABBIANA CHOD







Bergeron del et lith

Imp. Lottin et C^{ie} Paris

I. POLYGALA PUNCTATA A W BENNET — II. POLYGALA LEUCANTHA A W BENNET

MÉMOIRES
DE LA
SOCIÉTÉ DE PHYSIQUE ET D'HISTOIRE NATURELLE DE GENÈVE
TOME XXX. — N° 9.

DIATOMÉES FOSSILES

DU

JAPON

ESPÈCES MARINES & NOUVELLES DES CALCAIRES ARGILEUX

DE

SENDAÏ & DE YEDO

PAR

JACQ. BRUN

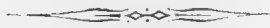
Professeur de microscopie à l'Université de Genève,
Membre correspondant de la Société belge de microscopie.

ET

J. TEMPÈRE

Préparateur-micrographe du Muséum et de l'École normale de Paris,
Membre de la Société botanique de France.

AVEC 9 PLANCHES



GENÈVE
IMPRIMERIE CHARLES SCHUCHARDT
1889

DIATOMÉES FOSSILES DU JAPON



Nous avons communiqué à la Société de Physique et d'Histoire naturelle de Genève (*dans sa séance du 18 avril 1889*) nos recherches faites sur les *Diatomées fossiles* des calcaires de Sendai et de Yedo et nous y avons montré, au microscope, un grand nombre de préparations types contenant les espèces nouvelles décrites dans ce mémoire.

Une des roches qui les contient avait été envoyée de Sendai au Museum de Paris¹. Elle est dure, très résistante au choc, et à cassure conchoïde. Elle est susceptible de prendre un beau poli et de s'user au tour, comme les roches granitiques, en lamelles très minces.

Des lamelles de cette roche, amincies jusqu'à $\frac{1}{100}$ de millim. d'épaisseur et montées au baume styrax, laissent voir, déjà à un faible grossis-

¹ Voici ce que nous écrit là-dessus M. Schlumberger : — « Les calcaires de Sendai (nord du Japon) envoyés par M. l'abbé Faurie ont été remis par M. Bureau (professeur de botanique au Museum) au Laboratoire de pathologie du même établissement. M. Fischer, aide-naturaliste, y a reconnu la présence (outre de nombreux restes de poissons, indéterminables et trop engagés dans la roche pour pouvoir être reconnus) de quelques *Gastropodes* et de *Bivalves* appartenant à des espèces *pliocènes*. — Un morceau présentait des rugosités, que M. le prof. Gaudry me pria d'examiner, croyant y reconnaître des *Foraminifères*. Il n'en était rien : mais en brisant ce morceau de calcaire, je vis des facettes brillantes qui n'étaient autre chose que de grands *Arachnoidiscus*. La macération dans l'acide m'a confirmé le fait et m'a fait découvrir la riche flore de Diatomées pliocènes que MM. Brun et Tempère ont bien voulu étudier. »
Paris, juillet 1889.

sement, un nombre énorme de carapaces siliceuses de Diatomées, mêlées à quelques Radiolaires et Polycistines.

Ce calcaire est de couleur chocolat, avec des plaques couleur rouille et d'autres presque noires. Il constitue des cailloux roulés de grosseurs très variables, souvent creux intérieurement et formant des géodes. A la calcination il noircit d'abord, puis blanchit. Chauffé au tube de verre, il dégage une eau alcaline (*ammoniacale*) et donne un sublimé brunâtre d'odeur bitumineuse. A l'analyse chimique il a donné :

Carbonate de calcium	76
Silice et silicates	20
Bitume	1
Eau	2
Matières organiques	1
	100

C'est donc un calcaire *bitumineux* mêlé d'une argile en poudre très ténue; et c'est sans doute grâce à la présence de ce bitume que la silice des valves n'a pas été dissoute par l'eau, comme c'est le cas chez tous les calcaires jurassiques. Les Diatomées y sont fossilifiées *non par de la silice*, mais *par du carbonate de calcium* qui en remplit toutes les valves à l'état cristallin, et qui s'y trouve mêlé à de petits cristaux d'oxyde noir de fer. — Les énormes pressions que les soulèvements volcaniques de cette région du globe ont dû lui faire subir, y ont brisé la plupart de ces fragiles organismes siliceux. Cependant, en traitant ce calcaire par un acide chlorhydrique très dilué, on peut trier, dans le résidu lavé, un bon nombre d'exemplaires en parfait état de conservation.

Dans le courant de l'année 1887, M. Gosse, prof. à Genève, remit à M. Brun une provision de vase marine récoltée dans la rade de Yokohama, par M. le Dr Appert, prof. à l'Université de Yedo. Là se sont trouvés de petits cailloux roulés d'un aspect particulier et que M. Brun a étudiés

séparément. Couleur marron, imprégnés de bitume, durs et brillants, riches en argile, ils ont aussi fourni à l'étude microscopique presque toutes les espèces des cailloux de Sendaï, plus un bon nombre d'espèces fossiles non encore décrites.

Ces cailloux ont très probablement été charriés dans la baie de Yedo par les nombreux torrents qui descendent des volcans d'alentour et notamment du Fusijama qui s'élève à quelques lieues de là, à une altitude de 12,400 pieds anglais. En tout cas, leur formation géologique est la même que celle des cailloux roulés de Sendaï et l'aspect des minces lamelles est identique dans le champ visuel du microscope. — Cristallisation du calcaire, bitume, argile, oxyde noir de fer; tout s'y retrouve, ainsi qu'un très grand nombre d'organismes siliceux.

Les Diatomées ainsi enclavées dans ces deux calcaires sont toutes *marines*. Aucune espèce n'est d'eau douce. Quelques-unes de ces espèces vivent encore dans les mers tropicales actuelles; mais à côté d'elles se montrent des types qui datent évidemment d'une période géologique bien antérieure à la nôtre. Depuis qu'elles ont vécu, la chaleur a baissé dans les flancs de notre vieille planète et beaucoup de ces espèces ne peuvent plus s'y produire.

Ce sont ces formes disparues et maintenant fossiles que nous avons tenu à faire connaître. Elles se relient aux espèces déjà connues; mais néanmoins plusieurs de ces types ont été difficiles à classer parce qu'ils venaient s'intercaler entre des genres déjà décrits, sans coïncider exactement avec leurs caractères. Preuves nouvelles des transitions insensibles qui se sont opérées par la suite des siècles chez ces minuscules organismes et qui viennent nous dire avec Linné « *natura non facit saltum.* »

Il est à remarquer que la plupart de ces espèces antiques sont très rares dans ces roches. Il semble que, déjà à cette époque, ces types tendaient à disparaître, ou à se transformer: Aussi peut-on dire que bien des espèces actuellement vivantes dérivent de ces types primitifs.

Les récoltes pélagiques des mers japonaises et les sondages qu'on y a

faits ces dernières années, se sont trouvés très riches en Diatomées. C'est aussi dans cette région, au nord du Japon, que se trouvent les plus grandes profondeurs marines connues. La sonde y a plongé jusqu'à 8500 mètres! La plus formidable ligne de volcans de notre planète (ligne qui part des îles de la Sonde et va jusqu'au Kamschatka) traverse aussi toute la longueur du Japon. De nos jours, c'est encore à cette île que va se heurter et s'infléchir le plus énorme courant marin; courant profond et qui traverse deux fois l'océan Pacifique. — La richesse en Diatomées du Japon *pliocène* n'a donc rien d'étonnant et vient expliquer le nombre d'espèces nouvelles (120 environ) que nous y avons trouvées.

Du reste, sur notre globe, les Diatomées peuvent vivre dans les conditions les plus variées. On en trouve vivant sur les banquises de l'extrême nord, subissant ainsi les plus basses températures de notre atmosphère. Il y en a, inondées de lumière, qui vivent sur les plus hauts névés des Alpes. On en trouve dans les geiser d'Islande, dont les eaux ont 85°. On en trouve enfin dans les plus grandes profondeurs des mers, subissant des pressions énormes, au milieu d'une complète obscurité. D'autre part, leurs valves siliceuses résistent extraordinairement bien aux agents destructeurs. Et, si jamais quelque poussière cosmique de l'espace interplanétaire venait un jour nous révéler la vie sur d'autres astres, il ne serait pas impossible qu'on y trouve des valves de Diatomées!

Nous avons utilisé pour la comparaison de ces espèces et pour leur détermination :

1° L'ensemble des publications faites (*avec planches à l'appui*) sur toutes les Diatomées déjà connues.

2° La collection de types de Van Heurk.

3° La collection de types de Cleve et Möller.

4° Notre collection, contenant 6400 espèces montées à sec et au baume styrax.

5° Un nombre considérable de préparations faites en traitant ces

calcaires du Japon par les acides et par des lévigations répétées et en triant ensuite, dans ces dépôts lavés, les meilleurs exemplaires.

Les dessins de nos planches ont été exécutés à la chambre claire *avec la plus rigoureuse exactitude*; à un grossissement linéaire de + 800; réduit à + 450 par la phototypie, et nous nous sommes servi des lentilles à immersion homogène les plus parfaites et actuellement fournies par les meilleurs fabricants.

Mais, malgré les soins mis à nos recherches, malgré de longs et minutieux triages, qui ont exigé plusieurs mois d'un travail assidu, nous ne croyons pas avoir trouvé toutes les espèces que contiennent ces calcaires. Des travaux ultérieurs feront certainement connaître encore bien des espèces nouvelles! surtout lorsque des matériaux plus abondants et de sources plus variées auront été recueillis au Japon et en Asie: contrées encore si peu étudiées au point de vue micrographique.

Genève, juillet 1889.

DESCRIPTION DES ESPÈCES NOUVELLES

(PAR ORDRE ALPHABÉTIQUE)

Abréviations.

- A. S.* = Atlas Schmidt (der Diatomeen Kunde).
Cl. et Grun. = Cleve et Grunow Arctische Diatomeen.
F. V. = Face valvaire. — *F. C.* = Face connective.
Fr. Jos. land. = Grunow Die Diatomeen von Franz-Josefs-land.
M. J. = Quaterly Journal of microscopical Science.
V. Hk. = Van Heurck (Sinopsis).
Verhd. = Grunow Verhandlungen de k. k. botanischen Gesellschaft in Wien.

ACHNANTHES LEUDUGERI *Temp. et Brun.*

Pl. IX, fig. 11. Rare.

Frustule arqué. Long. 75 à 95 μ . larg. 30 à 37 μ . *Valve infer.* (b) elliptico-lancéolée à terminaisons coniques arrondies. Stauros transversal évasé vers les bords de la valve; portant 4 plissures en virgule près du nœud. Stries moniliformes parallèles. 6 en 10 μ . Raphé un peu sigmoïde, accompagné de deux lignes bien nettes où s'arrêtent les stries. *Valve super.* (a) à connectif hyalin. L'area médiane y a la même largeur qu'à l'autre valve.

Calcaire de Sendaï.

Rem. Voisin de l'*Achnanthes Kerguelensis* Castr. (Chall. 20. 15) dont les valves sont lancéolées, beaucoup plus petites et plus délicates; à stauros sans plissures et dont les stries restent distantes du raphé.

ACTINOCYCLUS CALIX Temp. et Brun.

Pl. IX, fig. 3. Très rare.

Diamètre 50 à 60 μ . Perles en rayons écartés et dichotomes. Très grosses au centre et diminuant rapidement de grosseur vers la périphérie; puis s'éteignant aux $\frac{1}{4}$ de leur parcours, de manière à laisser une large zone hyaline. Ocule placé près de la marge. Bordure double et striée.

Calcaire de Sendai.

Rem. Il a quelque rapport avec le *Coscinodiscus Lame* Ehr. (Microg. 35, A. 21. 7), mais celui-ci n'a pas d'ocule et les perles y sont toutes d'égales dimensions.

ACT. FLOS J. Brun.

Pl. IX, fig. 2. Fréquente.

Diamètre 60 à 75 μ . Bordure avec 12 à 14 dépressions ondulées en dedans du circuit de la marge. Perles nettes, distantes, 6 en 10 μ . Rayons écartés, dichotomes, interrompus aux $\frac{3}{4}$ de leur parcours et laissant en dedans de la ligne perlée qui dessine les polygones, une large zone hyaline. Ocule distant du bord.

Calcaire de Yédo; aussi vivante dans la mer d'Arafuru.

Rem. J'avais d'abord pensé que cette jolie espèce était une variété du *Coscinodiscus polygonus* Castr. (Chall. 22. 6), mais M. de Castracane, à qui je l'ai soumise, la considère comme une espèce distincte. Le *Coscin. (?) angulatus* Grev. (1864. M. J. 2. 11) offre aussi une bordure à frange segmentée.

ACTINOPTYCHUS ADAMANS Temp. et Brun.

Pl. III, fig. 8. Très rare.

Diamètre 45 à 55 μ . 6 compartiments presque au même niveau, peu dissem-

blables, non striés ni réticulés, mais à ponctuation formée de groupes étoilés. L'ombilic est entouré de profondes cavernes rondes, alternativement en creux et en bosses; d'aspect noir ou lumineux, suivant la mise au point. Chacune de ces grosses cavernes, porte une petite loge brillante formant couronne autour de l'ombilic. Silice robuste.

Calcaire de Yédo. Aussi trouvée à Chalkmount et à Barbados-Springfield.

ACTIN. ANEMONE *J. Brun.*

Pl. III, fig. 4. Très rare.

Diamètre 90 à 110 μ . Valve hexagonale. Compartiments bosselés vers leur milieu. Striation fine, nette. Une ponctuation étoilée éparse accompagne les stries. 3 des compartiments portent des rayons terminés par un large lumen conico-sphérique et proéminent. Selon la mise au point, la surface de la valve apparaît veloutée avec des irrégularités orangées ou violettes, surtout vers le centre de chaque compartiment.

Calcaire de Yédo. Onianino (Russie).

Rem. Notre *Act. Trifolium* Pl. VII, fig. 3 rentre dans la même section. Il est moins fortement strié et tend à se rapprocher de l'*Act. hexagonus* var. *tenella* A. S.

ACTIN. ASIATICUS *Temp. et Brun.*

Pl. III, fig. 9. Rare.

Diamètre 100 à 145 μ . Compartiments réticulo-ponctués; 3 d'entre eux plus foncés coniques, sont quelquefois à flancs turgides. Tous sont à creusure profonde. 6 lumen aux 6 angles externes des cônes. La très large bordure porte une lignée circulaire de perles, nettes, distantes avec de plus grosses perles coniques, plus proéminentes, intercalées de distance en distance. Silice délicate et d'aspect pâle.

Calcaire de Yédo et de Sendai.

Rem. Les seules espèces qui auraient avec ce type quelque analogie seraient l'*Heliopecta nitida* Grev. (1865. M. J. 14. 18) et l'*Act. Bismarki* (A. S. 91. 4) qui n'ont également pas de rayons, ni de tubuli, mais dont l'aspect général est tout autre.

ACTIN. ERINACEUS (HISPIDUS var.?) Temp. et Brun.

Pl. VII, fig. 1. Très rare.

Diamètre environ 100 μ . Se comporte vis-à-vis de l'*hispidus Grun.* type (V. Hk. 123. 2) comme la var. *Halionyx* vis-à-vis du type *Act. splendens* Ralfs. Elle est en outre plus petite, réticulée vers les bords et n'offre que des stries radiantes vers l'ombilic. De plus ses sections élevées sont évasées vers la marge à l'endroit des tubuli.

Calcaire de Sendai et de Yédo.

Rem. Cette forme représente peut-être une espèce distincte, dont se rapproche l'espèce de Richmond (*Ehr. Microg.* 18. 18), mais le dessin précité est fort incomplet.

ACTIN. PAPILLO J. Brun.

Pl. VII, fig. 4. Très rare.

Diamètre 77 à 80 μ . Un peu hexagonal et quelquefois irrégulier dans son pourtour. 6 compartiments alternativement concaves et convexes; portant chacun environ 9 côtes linéaires, proéminentes, s'écartant au centre de chaque compartiment et se terminant près de la marge par un petit nodule. Entre chaque côte se voit une striation très nette, croisée, et s'atténuant vers l'ombilic.

Calcaire de Yédo.

Rem. Espèce très distincte. Il n'y a guère que l'*Act. radiolatus Grun.* (V. Hk. 122. 5) qui ait avec lui une assez lointaine analogie.

ACTIN. PERICAVATUS J. Brun.

Pl. III, fig. 7. Extrêmement rare.

Diamètre 55 à 65 μ . *F. V.* presque plane. 6 compartiments munis de 18 exca-

vations marginales, alternant 3 par 3, de manière que l'une d'elles est en creux, tandis que les deux autres qui la bordent sont en relief et vice versa. Ni rayons, ni tubuli appréciables. Striation très nette et se croisant à angle droit dans chaque compartiment, avec quelques étoiles ponctuées, éparses. Frange marginale lisse. Silice forte. La teinte des 6 compartiments presque d'égale intensité.

Calcaire de Yédo.

ACTIN. TRIFOLIUM *Temp. et Brun.*

Pl. VII, fig. 3. Assez rare.

Diamètre 70 à 80 μ . Hexagonal. 6 compartiments en forme de doubles cônes, 3 d'entre eux diagonalement striés, à centre bombé (d'aspect fauve). Stries nettes, se croisant sous un angle de 65° environ; 12 à 14 en 10 μ . Tubuli élevés, à base large, ronde et hyaline. Les 3 autres compartiments plus délicatement striés, plus pâles que les 3 autres; ceci, quelle que soit la mise au point.

Calcaire de Sendai et de Yédo.

Rem. Toute sa surface est *quelquefois* constellée de très petites étoiles, qui apparaissent noires ou incolores (translucides), selon la mise au point = *var. constellata* *Ip.* et *Br.*, plus rare que le type.

ACTIN. TRIFURCATUS *Temp. et Brun.*

Pl. VII, fig. 2. Très rare.

Diamètre 100 à 125 μ . 6 compartiments assez distants de la marge; les uns réticulés, ponctués et étoilés, sans rayons tubulifères. Les 3 autres délicatement réticulés avec rayons portant 3 tubuli en forme de flèche obtuse.

Calcaire de Sendai.

AMPHIPRORA COARCTATA J. Brun.

Pl. III, fig. 12. Rare.

Longueur 115 à 135 μ ., larg. (moyenne) 20 μ . Carène presque droite avec un pseudo-stauros unilatéral. Stries nettes 10 à 12 en 10 μ . incurvées vers le rostre des bouts. *F. C.* (b.) biconvexe; chaque courbe avec une assez forte dépression en X, ce qui donne à la valve un aspect typique et bien reconnaissable.

Calcaire de Yédo. Aussi vivante dans la rade de Yokohama.

Rem. Ni Gregory (Diat. de Clyde), ni Greville (1863. Diat. du Pacifique), ni O'Meara (M. J. Amphiprora des Seychelles), etc., n'ont décrit de formes analogues.

AMP. FRAGILIS Temp. et Brun.

Pl. VIII, fig. 14. Rare.

Longueur 190 à 240 μ . Frustule très aplati, difficilement visible du côté de la *F. V.* La *F. C.* plano-convexe. La ligne dorsale porte une encoche en stauros. — L'une des ailes de la valve est à flanc rectiligne, l'autre est sigmoïde. — Striation transversale très délicate. 16 à 18 stries en 10 μ . Silice très mince et très délicate.

Calcaire de Sendaï et de Yédo.

Rem. Les formes affines sont la *superba* Grev. (Diat. du Pacifique 13. 17), la *membranacea* Cleve (Java 2. 18), la *vitrea* A. S. (V. HK. 22. 7) et peut-être le *Stauroneis glacialis* Castr. (Chall. 27. 11)?

AMPHORA FALLAX Temp. et Brun.

Pl. VII, fig. 13. Très rare.

Longueur 180 à 210 μ . Valve à double carène. Les extrémités du raphé au lieu de se rapprocher des rostres, sont incurvées en sens contraire. Stries fines, nettes, per-

lées, transversales. 12 à 14 en 10 μ . radiantés entre les bouts recourbés du raphé et les courbes des rostres. — Silice épaisse, d'aspect fauve foncé.

Calcaire de Sendai.

Rem. Bien que cette espèce s'éloigne passablement des *Amphora*, nous n'avons pas cru en devoir faire un genre spécial. D'ailleurs l'*Amp. oceanica* *Castr.* (Chall. 27, 20) tend déjà à prendre la même forme, bien que le raphé soit recourbé autrement et que la direction des stries terminales soit tout autre.

AM. PETITI *Temp.* et *Brun.*

Pl. IX, fig. 16. Rare.

Longueur 55 à 60 μ . Frustule trapu, avec un staurós transversal rectiligne accompagnant le nodule central. Stries nettes (ponctuées à l'immersion) 12 à 14 en 10 μ . transversales, équidistantes en dedans comme en dehors du raphé. Lignes longitudinales de la zone connective striées. Silice robuste, d'aspect fauve.

Calcaire de Sendai et de Yédo.

Rem. L'*Amp. membranacea* W. Sm. (2, 29) et Roper (1858, M. J. 6, 3) a le flanc connectif de sa valve muni de stries longitudinales et non transversales. L'*Amp. littoralis* Donk. (1858, T.M.S. 6, 3) a les stries transversales internes fines, très serrées et en nombre double de celles du flanc externe.

AM. PLEUROSIGMA *Temp.* et *Brun.*

Pl. VII, fig. 13. Très rare.

Longueur 120 à 160 μ . Largeur d'une seule valve 20 μ . environ. Frustule très aplati. — Stries fortement ponctuées (presque perlées) rectilignes, se croisant sous un angle de 65° environ et touchant presque le raphé dans toute sa longueur. 9 à 10 en 10 μ . Près du nodule, se montre un pseudo-staurós (peu distinct à cause du rapprochement des stries de la face opposée de la valve). Ligne dorsale peu courbée. Ligne ventrale droite. Connectif lisse ou muni seulement d'une ou 2 lignes légères. Silice mince, d'aspect jaunâtre.

Calcaire de Sendai et de Yédo.

Rem. Cette curieuse espèce ne peut se cadrer dans aucun des groupes d'*Amphora* déjà connus. L'aplatissement du frustule ne le laisse guère apercevoir par son côté étroit. Beaucoup d'autres *Amphora* se laissent au contraire facilement glisser et étudier ainsi dans le styrax.

AM. ZEBRATA *Temp. et Brun.*

Pl. VII, fig. 14. Rare.

Longueur 180 à 195 μ ., largeur d'une seule valve 28 à 32 μ . Raphé arqué, avec un demi-cercle au nodule médian. Stries dorsales, larges, distantes, plissées, ondulées (presque réticulées) n'atteignant pas le raphé. 3 en 10 μ . Extrémités rostrées, tronquées. Silice épaisse.

Calcaire de Sendai.

Rem. L'*Amp. egregia* Ehr. (A. S. 28. 13 à 15) a les stries lisses et touchant le raphé. L'*Amp. exornata* Janisch (A. S. 39. 26) a les stries lisses et les extrémités très larges et doublement rostrées.

ANALUS (TERPSINOE?) LATECAVATUS *J. Brun.*

Pl. I, fig. 13. Rare.

F. V. longueur 120 à 140 μ ., largeur 75 à 85 μ . Bombée, très large, biconnéiforme. Surface squameuse, réticulée, ponctuée. Le haut des cônes à stries fines s'atténuant et laissant un cercle final à striation à peine visible. 4 vittæ profonds, transversaux, un peu pliés. *F. C.* à flancs bombés. Vittæ peu ou pas capitulés. Silice épaisse, mais fragile.

Calcaire de Yédo. Marne de Pöplein.

Rem. Pourrait tout aussi bien appartenir aux *Terpsinoe*, car la différence des deux genres, qui ne repose que sur les vittæ linéaires ou capitulés de la *F. C.*, n'a guère sa raison d'être. Le *Terp. intermedia* Grun. (Pant. 154. a. b.) est une espèce affine. Le réticule des exemplaires de Pöplein est un peu moins accentué que celui des exemplaires de Yédo, et la valve un peu moins large.

ASTEROLAMPRA (?) *J. Brun.*

Pl. III, fig. 3. Rare.

J'ai dessiné cette forme qui n'est probablement qu'une valve génératrice interne de l'*Ast. Grevillei* Wall. Elle est sans aucune striation, comme celles représentées par Greville (monogr. des Aster. 8, 37 à 47) et par Grunow (V. Plk 127. 8. 9).
Calcaire de Yédo.

ASTEROMPHALUS SENECTUS (MORONENSIS var.) *Temp. et Brun.*

Pl. III, fig. 2. Rare.

Diamètre 70 à 85 μ . Valve très bombée. Area à 6 rayons spatuliformes et 1 étroit et linéaire; tous étranglés près de leur extrémité qui est proéminente, et munis chacun d'un petit nœud terminal. Le sillon hyalin des rayons en occupe toute la largeur. Côtes du raphé droites ou brisées en zigzag; celles du rayon étroit se réunissent toujours en formant un cône aigu tourné contre le centre. Striation accompagnant la courbe de la périphérie. Perles grosses très distinctes, 6 en 10 μ . au centre; 8 vers la périphérie.

Calcaire de Sendaï et de Yédo.

Rem. Les espèces affines sont le *Variabilis* Grev. (M. J. vol. III, Pl. 3. 6 à 8) qui a les rayons de l'area étroits, rectilignes et une striation bien plus fine; et le *Moronensis* Grev. (A. S. 38. 24) qui a sa striation beaucoup plus délicate.

ASTER. STELLARIS (MARYLANDICUS var.) *Temp. et Brun.*Pl. III, 1^{re} figure. Assez fréquent.Diamètres 65 à 90 μ . Valve presque plate. Les 6 rayons de l'area, larges, dila-

tés en ovales et arrondis vers leurs bouts. Le sillon hyalin qui les parcourt n'occupe environ que le tiers de leur largeur. Stries incurvées selon les courbes de chaque cône rentrant. 40 en 40 μ . le long de leurs flancs et devenant toujours plus serrées jusqu'à la périphérie. Lignes des raphés toujours droites et non brisées en zigzag.

Calcaire de Sendai.

Rem. L'*Ast. Marylandicus* Ehr. (type Grev. Monog. 3. 1 à 4) est plus bombé. Son area centrale est plus développée et les rayons plus étroits et non ovoïdes. Cette forme du Japon représente donc une espèce distincte.

AULACODISCUS ADONIS *Temp.* et *Brun.*

Pl. III, fig. 10. Très rare.

Diamètre 170 à 210 μ . Surface médiane presque plane, s'abaissant entre les tubuli. Striation radiante d'abord, puis vers le milieu de leur parcours, les rayons se rapprochent de manière à former un chenal. Perles rondes, nettes, distantes, 4 par 10 μ . au centre, 7 vers les bords. Rayons des tubuli proéminents vers leur dernier tiers où ils forment un plateau hyalin, intra-conique, bordé d'une striation pennée. Les tubuli eux-mêmes sont larges et peu élevés; souvent caducs (comme dans l'exemple dessiné). De leur base à la circonférence, la valve s'abaisse fortement. Silice épaisse, robuste, d'aspect clair comme chez l'*Aul. Margaritaccus*.

Calcaire de Sendai.

Rem. Comme espèces affines de ce beau type, nous citerons : l'*Aul. spectabilis* Grev. (1863. T. M. S. 5. 16) pour l'aspect pruiné des rayons vers les tubuli; l'*Umbonatus* Grev. (1864. T. M. S. 1. 2) pour l'aspect conique du replat hyalin à la base des tubuli et le *rotulus* Ratt. (REVIS. OF AULACOD.); mais ni son dessin 5. 10, ni sa description page 348, ne peuvent coïncider entièrement avec cette espèce.

AUL. ANGULATUS *Grev. var. JAPONICA Temp. et Brun.*

Pl. IV, fig. 14. Rare.

Diamètre 80 à 105 μ . Diffère du type (Grev. 1863. 5. 15 et Atl. Schm. 105. 7

et 103. 2) et de la var. *hungarica* (Pant. 25. 231). 1^o par ses perles écartées, grosses surtout à la base des tubuli où elles laissent de larges et longues aréoles coniques; 2^o par ses stries très distantes (3 en 10 μ .); 3^o par la ligne ponctuée bien distincte qui avoisine la circonférence. Silice d'aspect fauve.

Calcaire de Sendai.

Rem. Toute la surface de la valve est très finement granulée entre les stries [caractère que Rattray donne comme appartenant aussi au type (Revision of Aul., page 347, section § 3 *radiati*)].

AUL. CRATER *J. Brun.*

Pl. IV, fig. 5. Très rare.

Diamètre 140 à 155 μ . Valve offrant une série de creux cratériformes dans son pourtour. Région centrale plane, presque au même niveau que les tubuli et bordée d'une dépression hexagonale. Elle porte une ponctuation pruinoso-stellée d'un aspect tout particulier. Chaque tubulus domine un creux cylindro-conique flanqué de deux protubérances latérales. 6 tubuli à capitules ronds et élevés; le pourtour de la valve fortement déprimé entre les tubuli. Dans le champ visuel, suivant la mise au point, les effets lumineux varient beaucoup et virent du fauve au bleu violacé.

Calcaire de Yédo. Trouvé aussi 2 exemp. dans l'argile d'Onianino (Russie).

Rem. Cette magnifique espèce ne se rapporte à aucun des groupes connus et se rapproche des *Polymyzus*, avec lesquels il n'est cependant guère possible de la réunir.

AUL. GIGANTEUS *Temp. et Brun.*

Pl. IV, fig. 15. Rare.

Diamètre 720 à 1200 μ . Valve portant jusqu'à 100 et même 120 tubuli. Surface centrale de la valve presque plane: elle offre une large bosselure circulaire en dedans de la ligne des tubuli vers les $\frac{1}{5}$ de la longueur du rayon; puis s'abaisse lentement jusqu'à leur base et de là fortement vers la périphérie. Perles nettes, arrondies, dépri-

mées, à oicules petits ; radiantes, également répandues mais inégales dans leurs dimensions, surtout près du centre. En moyenne 3 en 10 μ . celles de la frange plus petites et plus serrées. Chez plusieurs exemplaires l'espace intervalvéolaire est nettement ponctué. Tubuli à capitules presque sessiles avec une large gaine cylindrique très apparente. Marge lisse¹.

Calcaire de Sendaï et de Yédo.

Rem. C'est une des plus grandes Diatomées avec notre *Brighwellia* de la Pl. IX, fig. 1, et celles dessinées A. S. 134. 1 à 3. Elle a de l'analogie avec ces dernières espèces. En tout cas, ses caractères sont constants et la placent dans la section des *Margaritacæ*.

AUL. MULTISPADIX *Temp. et Brun.*

Pl. III, fig. 11. Rare.

Son diamètre atteint jusqu'à 280 μ . Surface plane s'abaissant vers les bords, entre les tubuli. Les rayons jusqu'à la base des tubuli sont au même niveau que le centre. Striation en lignes rayonnantes, écartées (3 à 4 en 10 μ .) s'évasant en *spadix* vers les tubuli. Ceux-ci au nombre de 8 à 12, élevés, capitulés. Marge externe de la valve, très finement striée. Silice mince, fragile; d'aspect jaunâtre, pâle.

Calcaire de Sendaï et de Yédo.

Rem. Ne peut appartenir à l'*Aul. decorus* tel que l'a dessiné Greville (1864. T. M. S. 10. 2), mais se rapproche de l'espèce 105. 8 sans nom de l'Atlas Schmidt, et appelée *decorus* par Rattray (*Revis. Aul.*, page 345). En somme, cette espèce des calcaires japonais tient le milieu entre le type précité et l'*Aul. Janischii* Gr. et St. (Oamarn. 11. 28) et (A. S. 133. 2).

AUL. NIGRICANS *Temp. et Brun.*

Pl. IV, fig. 1.

Diamètre 100 à 135 μ . Valve plate jusqu'à la moitié du rayon, puis s'abaissant doucement et régulièrement jusqu'au bord. Les sillons (région rapprochée des tubuli)

¹ M. Rattray vient de publier dans le Q. J. M. (juillet 1889), sous le nom de *Aulac. nobilis*, une

et les bases des tubuli sont très proéminents, flanqués de stries pennées tournées vers l'extérieur. Stries écartées, 3 en 10 μ ., radiantes jusque près du centre; perles nettes très écartées. On distingue dans la partie plane quelques perles plus grosses et plus élevées que les autres. Tubuli robustes, quelquefois noirâtres, tronqués. Une ligne de punctuations serrées borde intérieurement tout le pourtour. La surface interlinéaire de la valve n'est pas lisse, mais recouverte d'une très fine granulation qui la rend mate. Silice fauve, excepté la région des tubercules qui est ordinairement d'une teinte plus foncée et même quelquefois noirâtre.

Calcaire de Sendaï.

Cette espèce appartient à la section § 3 *radiati* de Batrattay (Revision of Aul.) et vient se ranger à côté du *spectabilis* de Grev. (1863. T. M. S. 5. 16), dont les tubercules débordent la périphérie et dont les sillons sont bordés de stries pennées jusqu'au centre; d'où résulte un aspect général fort différent. Cette espèce du Japon tient le milieu entre le *spectabilis* et notre var. *Japonica* précitée de l'*angulatus*.

AUL. TRIPARTITUS Temp. et Brun.

Pl. IV, fig. 3.

Diamètre 40 à 50 μ . Porte trois tubuli élevés, cylindriques et nettement capitulés. Leurs bases sont réunies par une ligne de hautes perles qui dessinent un large triangle, légèrement arrondi. L'intérieur de ce triangle est plan, l'extérieur s'abaisse vers le cercle du diamètre. Les tubuli dominent passablement le replat central. Une zone hyaline étroite à la circonférence. — Punctuation nette radiante en dedans et en dehors du triangle. Sillons des tubuli atteignant le centre.

ESP. AFF. *Aul. kükellyanus* Grev. forma minor (Atl. Schm. 102. 3) n'a pas de triangle. *Aul. sceptus* (Atl. Schm. 36. 19 à 21) et *Schmidtii* Witt. (Simb. 9. 1 et 2), dont les triangles sont beaucoup plus petits, fermés en dedans des tubuli et sans punctuation radiée dans leur intérieur. Cette espèce peut être placée dans la section § 5 *septati* de Batrattay (*Revision of Aulacod.*, 1888).

espèce nouvelle provenant d'un dépôt japonais. Cette espèce est voisine de la nôtre déjà présentée le 18 avril 1889 à la Société de Physique de Genève. La description qu'il en donne montre qu'elle n'a pas de large bosselure circulaire et que sa bordure est finement striée. C'est peut-être une variété? Cependant son dessin Pl. III, fig. 1 diffère beaucoup du nôtre.

AUL. TUBULO-CRENATUS Temp. et Brun.

Pl. VII, fig. 19. Très rare.

Diamètre 180 à 240 μ . 30 à 40 tubuli. Valve cratériforme. Sa surface est plane au centre, plus enfoncée à mi-distance du bord; puis se relevant fortement vers la base des tubuli. Ceux-ci sont très élevés, à capitules larges un peu triangulaires. De leur base à la marge la valve s'abaisse subitement et beaucoup. Alvéoles ponctuées, de dimensions variables au centre de la valve. Elles sont coniques, plus serrées et radiantes vers la région voisine des tubuli. Dans les courbes qui séparent les tubuli, les alvéoles sont très allongées, puis s'écartent pour entourer leur base et se terminent en formant un collier de perles. Silice épaisse et très robuste.

Calcaire de Sendai.

AULISCUS AMBIGUUS Grev. var. MULTICLAVA J. Brun.

Pl. II, fig. 13. Rare.

Diffère du type de *Barbados* (Greville 1863, M. J. 5. 23) par sa petitesse (45 à 50 μ . de diamètre), par ses oculi placés différemment et surtout par un réticule enveloppant les perles.

Calcaire de Yédo.

AULISCUS ASIATICUS J. Brun.

Pl. II, fig. 4. Assez fréquente.

Diamètre 160 à 185 μ . Valve avec 2, 3 ou 4 oculi souvent inégaux, reliés entre eux par une zone bombée, plus élevée que les bords et le centre qui sont au même

niveau. Région centrale perlée, à lignes rayonnantes interrompues et pruinées. Grosses côtes des flancs bosselées, chagrinées, interrompues, quelquefois même légèrement dentées. Silice robuste, d'aspect fauve.

Calcaire de Yédo. Aussi vivante dans la vase de la baie.

Rem. J'ai cherché en vain à rapporter cette espèce aux types déjà connus. Elle est apparentée à l'*Aul. sculptus* Ralfs, *caelatus* Bail. et *Schmidtii* Grund. (A. S. 30. 7), à l'*intercedens* Jan. (A. S. 32. 9) et surtout à l'*Aul. speciosus* A. S. (80. 5), mais ne peut cadrer avec aucun d'eux, même comme variété.

AULISCUS CRYSTALLINUS *J. Brun.*

Pl. II, fig. 1. Rare.

Longueur 75 à 95 μ ., largeur 65 à 80 μ . *F. V.* largement elliptique et bombée. Alvéoles grandes, profondes, irrégulièrement polygonales, disposées en réticule. 2 en 10 μ . La surface de la valve est comme cristallisée. Oculi bordés de longues et fortes alvéoles disposées en couronne. Area médiane ronde. Silice épaisse mais fragile.

Calcaire de Yédo.

Rem. L'*Aul. Ralfsianus* Grev. (Monogr. 3. 21) a les réticules ponctués et l'*Eupodiscus Barbadiensis* Grev. (1864. M. J. 12. 4) n'a ni area centrale, ni les oculi en couronne et le relief des alvéoles y est bien moins accentué.

AULISCUS GRUNOVII *A. S. var. FLAMMULA* *Ip. et Br.*

Pl. II, fig. 3. Extrêmement rare.

Diffère du type américain dessiné A. S. 30. 14, par ses côtes représentant deux flammes perpendiculaires aux oculi et par 10 à 12 oculules très petits et peu visibles près de la marge. Silice robuste.

Calcaire de Sendai.

AULISCUS TRICORONA J. Brun.

Pl. II, fig. 14. Rare.

Longueur 50 à 65 μ ., largeur 40 à 50 μ .. Largement elliptique et bombée. Alvéoles polygonales disposées en réseau d'un aspect marbré, 3 en 10 μ .. Celles de la marge grandes et arrondies. Oculi bordés de longues alvéoles disposées en couronne. Area médiane ronde.

Calcaire de Yédo.

Rem. Chez l'*Aul. punctatus* Grev. (Monogr. 3. 15 et 16), la surface est perlée et non réticulée et les oculi sont plus grands et sans couronnes. Cette espèce tient le milieu entre l'*Eupodiscus trioculatus* de Barbados (Grev. 1864. M. J. 12. 3) et notre *Crystallinus*.

AULISCUS TRIGEMMIS A. S. var. ROBUSTA J. Brun.

Pl. II, fig. 15. Assez fréquente.

Ne diffère du type de Simbirsk dessiné A. S. 125. 16 (et que j'ai aussi trouvé à Onianino) que par ses oculi plus gros et plus proéminents au-dessus de la surface de la valve qui s'en détache *en creux* et porte au centre 3 ou 4 perles pointues. Silice d'aspect fauve foncé.

Calcaire de Yédo.

AULISCUS TRILUNARIS J. Brun.

Pl. II, fig. 2. Extrêmement rare.

Diamètre 60 à 70 μ .. *F. V.* plus ou moins ronde, à 3 grands oculi munis de stries rayonnantes (ponctuées à l'immersion). Surface faiblement bombée et à ponctuation

éparse. Marge rubanée, large, plane, avec des côtes transversales tubuliformes. Silice incolore ou à peine jaunâtre. Espèce très distincte de l'*Aul. trigemmis* A. S.

Calcaire de Yédo.

AURICULA JAPONICA *J. Brun.*

Pl. IV, fig. 8. Assez fréquente.

Longueur 90 à 100 μ ., largeur totale 40 à 45 μ .. Carène porte-raphé de la *F. V.* à double courbure. Raphé bordé de deux rangées de perles 7 en 10 μ .. La valve offre 2 flancs *inégaux*; l'un assez bombé, l'autre presque droit ou un peu creux. *F. C.* (fig. a. et b. dans deux positions différentes et qui se présentent habituellement) finement striée. Stries dichotomes rayonnant autour de deux axes placés assez loin des nœuds terminaux; incurvées et arrondies autour de ces nœuds; parallèles, transversales dans la région du centre. 10 à 12 en 10 μ .. Vue du côté creux (b) on aperçoit une longue bosselure rectiligne assez rapprochée de la ligne de suture.

Calcaire de Yédo.

Rem. Malgré l'analogie de cette espèce avec notre *Amphiprora coarctata* (Pl. III, fig. 12. a. b.), j'ai cru devoir la maintenir dans les *Auricula*; mais il faut cependant constater que ces deux genres sont bien peu distincts. Ainsi l'*Amphiprora Diadema* O'Meara (M. J. XI. N. S. 3. 5 des îles Seychelles) offre aussi une bosselure longitudinale comme notre espèce.

AUR. OSTREA *Temp. et Brun.*

Pl. IV, fig. 7. Très rare.

Longueur 90 à 105 μ ., largeur maximale 50 μ .. Vue de la *F. V.* elle est étroite et peu courbée et les deux ailes assez semblables. La carène porte-raphé est arquée. *F. C.* plane, concave seulement vers le raphé. Ligne de suture droite à bordure hyaline. Ligne dorsale en demi-cercle (c'est toujours cette face qui se rencontre dans les triages). Stries rayonnantes seulement en partant du milieu de la marge de suture,

dichotomes et s'incurvant en demi-cercle autour des nœuds terminaux. 7 à 9 en 10 μ .

Calcaire de Sendai.

Rem. Conformément à l'intéressante notice publiée par M. Pérangolo (Diat. de Villefranche, page 87), nous conservons le genre *Auricula*; d'autant plus que, ayant observé cette espèce *par glissement* dans le styrax, comme il l'indique, nous avons pu reconnaître, tant sur cette espèce que sur l'*Aur. amplitrîs* et la *complexa*, le bien fondé de ses observations. L'*Aur. complexa* Greg. (Clyde 12. 62) est une tout autre espèce à *F. V.* notablement plus large et à stries encore beaucoup plus délicates et serrées.

BACTERIASTRUM (?) HALO *J. Brun.*

Pl. IX, fig. 10. Trouvé un seul exemplaire.

Diamètre 60 μ . (avec les épines 150 μ). *F. V.* bombée à ponctuation non radiante. Bordure bien distincte, formée de deux franges rubanées très rapprochées, planes, superposées et à côtes tubulées. Entre ces deux disques *frangés* partent de longues épines capillaires, courbées en tous sens. *F. C.* non vue.

Calcaire de Yédo.

Rem. Cette curieuse espèce ne peut être mise avec les *Coccinodiscées* et doit appartenir aux *Chaetocérées*. Comme elle n'est connue d'une manière insuffisante, je la place provisoirement dans les *Bacteriastrum*, genre qu'avec M. Castracane je crois bon de conserver, surtout en face des formes fossiles semblables qui peuvent encore se rencontrer. — L'*Hercotricha Mammillaris* (Pritt. 7. 35) et le *Chaetoceros hispidum* Brighthw. (1856. M. J. 7, 37) sont probablement des spores.

BIDDULPHIA (ODONTELLA) CALAMUS *Temp. et Brun.*

Pl. V, fig. 15. Assez rare.

Longueur 150 à 185 μ ., largeur 60 à 75 μ .. Appendices tubuleux à capitule tronqué. Entre eux s'élève une bordure crénelée en couronne et portant 4 longues épines en forme de roseau. Deux d'entre elles sont toujours beaucoup plus longues. La striation de la valve augmente de netteté, du bord connectif jusqu'à la marge crénelée et toute cette région supérieure est couverte de fines épines aciculaires.

Calcaire de Sendai.

Rem. La *Biddulphia longispinna* Grun (incomplètement représentée, V. III. 102. 6) doit être une espèce affine plus trapue. Sa crénelure porte six grosses épines égales et les acicules du reste de la surface valvaire n'y existent pas.

BIDDULPHIA NOBILIS *J. Brun.*

Pl. V, fig. 11. Assez abondante.

F. V. (a). Longueur 120 à 150 μ ., largeur 70 à 90 μ . Elliptique ovoïde. Traversée par un large et profond canal transversal (qui la rapproche de certains *Hemiaulus*). Perles éparses, coniques. Appendices très grands, ovoïdes, couverts de punctuations coniques et bordés par une frange rubanée, traversée par de petits canaux infundibuliformes. *F. C.* (b) subquadrangulaire. Pas de mucron. Sauf pour l'enveloppe du connectif qui est hyalin et très mince, la silice est épaisse et très robuste.

Calcaire de Yédo. Très rare dans le dépôt d'Onianino (Russie).

BRIGHWELLIA (?) MIRABILIS *J. Brun.*

Pl. VIII, fig. 1. B. région centrale. C. alvéole vue obliquement. D. surface de la valve au-dessous de l'alvéole qui forme toit (à -| 800). Assez fréquente.

Porte une rangée circulaire d'énormes alvéoles proéminentes, courbées en voûte et portant un piédestal conique à large base (c). Cette rangée d'alvéoles se détache de la surface de la valve (d), elle est très distante de la marge que je n'ai pu trouver. Stries nettes, ponctuées en dedans de ces alvéoles et perlées vers la périphérie de la valve. Silice mince (flexible), fragile, d'aspect jaune fauve.

Assez fréquente dans calcaire de Yédo. Rare dans dépôt de Churchill Hill.

Rem. Cette espèce, dont on rencontre souvent des débris lors des triages, mais dont il ne m'a pas été possible de trouver un exemplaire entier, arrive à des dimensions considérables et doit atteindre 2 et même 3 millimètres de diamètre. Je l'ai mise provisoirement dans les *Brighwellia*. Voir Castr. (Chall. 10. 2 et 21. 8 *Heterodyction*) et Brighwell (1860. M. J. 5. 6 et 7 *Craspedodiscus*). Il se peut qu'elle doive former un genre spécial. C'est à ce type que doivent aussi, je crois, se ranger les fragments aperçus et dessinés par *Castracane* (Chall. 14. 4. a. b. c.).

CAMPYLODISCUS CANALISATUS *Temp. et Brun.*

Pl. II, fig. 5. Rare.

Diamètre 70 à 85 μ . Valve à côtes radiantes, s'atténuant près de la bordure et s'interposant entre une rangée de protubérances tronquées et plus ou moins carrées. Côtes incurvées en S puis en demi-cercle aux deux pôles. 2 en 10 μ . Chacune d'elles est bordée de deux traits translucides délicats qui se prolongent jusqu'à la dentelure du bord et dans l'area centrale où elles sont spatulées. Il en résulte un aspect tout particulier (difficile à rendre par le dessin) et qui ne permet guère de confusion avec d'autres espèces. Area réticulée et plus ou moins ponctuée. Marge externe finement striée.

Calcaire de Sendai.

CAMP. CHRYSANTHEMUM *J. Brun.*

Pl. II, fig. 7. Rare.

Diamètre 80 à 90 μ . Bordure large, très élégante, avec cercles et stries. Côtes radiantes, très distantes, fortes, lisses, atténuées dès la moitié de leur parcours. Zone interne nettement elliptique, épineuse et entourée d'une double ligne en forme de sillon hyalin et profond.

Calcaire de Yédo. Vase marine de Nossi-bé.

Rem. Le *Cp. Mulleri* (A. S. 14. 13) a les côtes *uniformes* et le centre lisse, mais il s'en rapproche par l'aspect de sa bordure.

CAMP. CLIVOSUS *J. Brun.*

Pl. II, fig. 11. a. b. Rare.

Diamètre 60 à 105 μ . Valve peu courbée, quelquefois presque plane. Circuit

généralement irrégulier et ondulé. Côtes courtes, $\frac{1}{8}$ du diamètre. Espace intercostal nettement strié. Tout le reste de l'espace est ponctué et finement strié; avec une clepsydre faiblement dessinée. Ces stries sont en forme de longues virgules partant du bord et s'éteignant vers l'intérieur. Silice mince, fragile.

Calcaire de Yédo et embouchure de l'Orégon U. S.

Rem. Le *Cp. hibernicus* Ehr. (A. S. 55. 12) n'a avec lui qu'une lointaine analogie, et le *Cp. Grælandicus* Cleve (mer arct. 2. 9) a le pourtour et les côtes assez semblables, mais n'offre ni stries ni clepsydre.

CAMP. HYPODROMUS *J. Brun.*

Pl. II, fig. 10. a. b. Assez fréquente.

Diamètre 100 à 135 μ . Valve à côtes curvilignes et radiantes. 2 en 10 μ . Capitules de la marge, allongés, pointus (b). Area très grande, elliptique avec des pôles coniques, acuminés, et munis de deux petits cercles latéraux vers la marge. L'ensemble de la surface est lisse. Silice épaisse et forte.

Calcaire de Yédo et vivant dans la vase de la baie.

CAMP. RIVULOSUS *Temp. et Brun.*

Pl. II, fig. 9. a. b. Rare.

Diamètre 75 à 105 μ . Bordure à côtes serrées, courtes et tronquées (comme chez le *Cp. limbatus* Breb.). 3 en 10 μ . De la bordure partent de longs sillons, un peu ramifiés, offrant entre eux de nombreuses bosselures de formes irrégulières; ce qui donne à la surface un aspect squameux et réticulé tout spécial et très caractéristique. La dépression centrale est allongée en canal à flancs parallèles mal définis et porte à ses deux bouts un peu dilatés, un groupe de perles qui les entoure.

Calcaire de Sendai et de Yédo.

CAMP. SCALARIS *Temp. et Brun.*

Pl. II, fig. 12. Assez fréquent.

Diamètre 65 à 80 μ . Côtes longues, fortes, équidistantes. Espace intercostal hyalin (ce n'est qu'à l'immersion que l'on aperçoit une faible striation radiante). Canal central allongé, rectiligne, muni quelquefois de rares perles sur ses flancs.

Calcaire de Sendai.

Rem. Le *C. Ralfsii* (*W. Sm.* 30. 257), (*A. S.* fig. 14. 1 à 3) et (*Gregory, Clyde* 11. 52) a les côtes plus fines, et son area centrale est presque nulle ou plus ou moins dilatée et *lancéolée*. Le *Cp. Normanianus* *Grev.* (1860. *M. J.* 1. 1) est plus grand; a les côtes radiantés et plus rapprochées et se continuant dans l'intérieur de la zone médiane. Le *Cp. nitens* *Castr.* (11. 6) a le haut de chaque côte muni d'une grosse perle.

CAMP. SIMPLEX *Temp. et Brun.*

Pl. II, fig. 6. Rare.

Diamètre 55 à 70 μ . Petit robuste. Silice blanche, épaisse. Pourtour souvent un peu carré. Côtes fortes, 2 en 10 μ ., celles des pôles en demi-cercle, puis en cercle complet. Striation délicate, égale sur toute la valve. Courbures marginales des côtes simples, striées, mais sans épines, ni perles, ni bosselures. Région centrale en ellipse très peu marquée et transversalement striée.

Calcaire de Sendai et de Yédo.

CAMP. VITRICAVUS *Temp. et Brun.*

Pl. II, fig. 8. Rare.

Diamètre 50 à 65 μ . Valve à côtes fortes et d'épaisseur égale dans leur parcours,

incurvées en S, puis en un cercle vers les pôles. 2 en 10 μ . Area elliptique, nettement bordée, porte des lignes radiantes faisant suite aux côtes et mêlées de quelques petites épines. Ondulations de la bordure très proéminentes. Une très fine striation intercostale (visible à l'immersion). Silice forte.

Calcaire de Sendaï.

Rem. Voir le *Cp. Hodgsonii* (W. Sm. G. 53. b.) qui s'en rapproche.

CHÆTOCEROS SIGMO-CALAMUS *Temp. et Brun.*

Pl. VII, fig. 5. Assez fréquente.

F. V. arrondie, oblongue. Très finement ponctuée. Diamètre 20 à 25 μ . *F. C.* à piquants robustes, aplatis, crénelés, dilatés vers le milieu de leur longueur et plus ou moins courbés en S.

Calcaire de Sendaï et de Yédo.

CLAVICULA DELICATA *var. radiata Temp. et Brun.*

Pl. IX, fig. 13. Rare.

(La fig. 12 représente la forme japonaise de la *var. delicata Grun.*)

Valves souvent à moitié tordues dans le sens de leur longueur. Capitules plus ou moins arrondis avec une ponctuation radiante.

Calcaire de Sendaï et de Yédo.

Rem. Nous estimons que les *var.* dessinées dans Pantocsek (Diat. hong. 75. 223. a. 234. 235 et 237) sous les noms de *delicata*, *delicatula*, *amphylepta*, *platycephala*, pourraient former avec la *var.* fossile japonaise *radiata* une espèce distincte de la *Polymorpha Grun.*, en lui gardant le nom de *delicata Grun.* et dont la figure (Pant. 233. a.) et la nôtre (Pl. IX, fig. 12) seraient le type.

COCCONEIS ANTIQUA *Temp. et Brun.*

Pl. VIII, fig. 5. Assez fréquente.

Longueur 60 à 70 $\mu.$, largeur 40 à 50 $\mu.$ *Valve super.* plane. Bordure à courtes côtes marginales se prolongeant en perles radiantes. 7 en 10 $\mu.$ 4 groupes de perles formant un trapèze autour du centre (on trouve une variété où ces perles arrivent jusqu'au centre). *Valve infér.* à côtes radiantes, incurvées vers les bouts et demi-circulaires aux pôles; elles s'atténuent du bord jusqu'au raphé, et offrent de fines stries longitudinales qui suivent la courbure des bords, 7 à 8 en 10 $\mu.$ Une assez large zone hyaline marginale. Area terminée aux deux bouts par un lumen en croissant de lune peu distinct. Un pseudo-stauros conique et peu visible.

Calcaire de Sendai et de Yédo.

Rem. La *Coc. decipiens* Cleve (mer Arct. 2. 6) a du rapport avec la valve inférieure. La *Coc. interrupta* Grun. (Verh. 13. 14) et (V. IIK. 30. 3 et 4) s'en rapprochent aussi. Mais ni la description de Grunow, ni les figures précitées ne cadrent suffisamment avec notre forme qui reste bien distincte et ne peut en être une variété perlée. En tout cas, cette forme fossile, remontant à une haute antiquité, serait logiquement le type primitif d'où auraient dérivé les formes actuellement vivantes.

COC. CURVIROTUNDA (PELLUCIDA *var?*) *Temp. et Brun.*

Pl. VIII, fig. 6. Assez fréquente.

Longueur 100 à 120 $\mu.$, largeur 90 à 105 $\mu.$ *Valve super.* un peu bombée. 4 rangées de côtes ondulées suivent la bordure, puis deviennent presque parallèles vers le pseudo-raphé. Un circuit hyalin large entoure les côtes médianes. Striation transversale un peu radiante, très fine, surtout visible sur les côtes. *Valve infér.* à stries radiantes, nettes au bord, s'atténuant peu à peu jusqu'au raphé. 13 en 10 $\mu.$ à la bordure. Raphé légèrement sigmoïde, terminé par 2 lumen en demi-lune bien distincts. Nodule central avec une area circulaire. Toute la surface médiane de la valve

est finement ponctuée et offre aussi à l'immersion de fines stries incurvées dans le sens de la longueur.

Calcaire de Sendai et de Yédo.

Rem. Cette espèce tient le milieu entre la *Coc. heteroidea* Hantsch (1862. Arch. ind. 6. 10) et la *pellucida* Grun. (1862. Arch. ind. 6. 11) et (Verh. 1863, page 145, Pl. XIII, fig. 6). Ces deux espèces diffèrent encore par une striation moins visible. Elles sont plus petites et à silice plus mince et plus fragile.

COC. SIGMO-RADIANS *Temp. et Brun.*

Pl. VIII, fig. 4. Rare.

Longueur 55 à 65 μ ., largeur 45 à 50 μ . Frustule largement elliptique. *Valve inf.* (b) presque plane, à raphé sigmoïde. Stries perlées radiantées n'atteignant pas le raphé et laissant une large area carrée médiane. 6 en 10 μ . *Valve super.* (a) à stauros incomplet et un peu latéral. Stries fines, ponctuées, radiantées, incurvées en demi-cercle vers les pôles. 10 à 11 en 10 μ .

Calcaire de Sendai et de Yédo.

Rem. Dans le *Coc. Sigma* Pant. (qui se rencontre aussi dans ces calcaires), la valve supérieure est bombée; les stries sont plus distantes et se terminent, vers la marge, en une ligne de perles transversalement allongées. Du reste, la valve supérieure seule est représentée et dessinée par M. Pantocsek (Diat. hongr. 8. 68).

COSCINODISCUS TEMPEREI *J. Brun.*

Pl. VII, fig. 2. Fréquente.

Longueur 60 à 85 μ ., largeur 40 à 55 μ . En forme d'ellipse large, régulier et plissé en long (surtout vers le centre). Alvéoles radiantées, rayons interrompus le long de la plissure médiane et dichotomes vers les flancs. 5 à 7 alvéoles en 10 μ . non ponctuées (même à l'immersion). L'un des flancs de la valve est muni d'épines qui débordent la marge. 3 à 4 en 10 μ . Au milieu du dit flanc se trouve une épine

plus longue et plus forte que les autres. Du côté opposé les perles se transforment en une striation dichotome marginale.

Calcaire de Sendai et de Yédo.

Rem. Il appartient au groupe des *Pseudo-Stephanodiscus* décrit par Grunow (Fr. Jos. land., page 33). Le *Coscin. lacustris* et ses variétés (idem, 4. 28 et 33) quoique circulaires et à marges uniformes, puis le *Campylodiscus cocconeiformis* Cleve (Vega 38. 78) avec sa valve elliptique, ont avec cette forme fossile de l'analogie. — Ce *Coscinodiscus* est une des espèces typiques des calcaires japonais et c'est pour moi une satisfaction que de la dédier à M. Tempère, mon habile et savant collaborateur.

COS. TUBIFORMIS *Temp. et Brun.*

Pl. VII, fig. 6. Fréquente.

Diamètre 20 à 32 μ . *F. V.* (a) composée d'une couche d'alvéoles superposée sur un large disque (anneau) marginal plan. Alvéoles (perles) rondes, espacées (souvent ponctuées) 4 à 5 en 10 μ . Connectif (b) très large portant quelquefois une encoche conique.

Calcaire de Yédo. Rare au calcaire de Sendai.

Rem. Parmi les nombreuses espèces de *Coscinodiscus* qui abondent dans ces calcaires, il n'y a que celle-ci que nous tenons pour nouvelle. Elle est en effet rendue typique par sa valve à double bosselure et par l'aspect tubulaire de sa zone connective. Il est difficile de dire si le *Coscin. concavus* Ehr. (Microg. 18. 38) appartient à ce type. Le dessin précité est insuffisant et semble se rapporter à une espèce beaucoup plus grande.

CRASPEDOPORUS COROLLA *J. Brun.*

Pl. IV, fig. 4. Très rare.

Diamètre 100 à 120 μ . Surface de la valve punctuo-chagrinée. Région centrale faiblement déprimée. Compartiments des ocelli nombreux, à bordure nette, 16 à 20 s'évasant vers la marge (infundibuliformes). Ocelli coniques. Silice fauve.

Calcaire de Yédo.

Rem. Cette forme de *Craspedoporus* se rapproche de celles de Greville (1863. M. J. 4. 9, 10, 11).

Cras. Ralfsianus et *Johnsonianus* et *Actinodiscus Barbadosis* (A. S. 132. 1), sans que l'on puisse cependant les confondre. Il en est de même du *Crasp. Truani* Pant. (11. 92), espèces que je possède et que j'ai comparées.

CRASP. PANTOGSEKI *J. Brun.*

Pl. IV, fig. 13. Très rare.

Diamètre 85 à 95 μ . Surface de la valve squameuse. Squames striés. Ceux des bords plus gros que ceux de la région centrale. Centre cratériforme. Compartiments des ocelli, courts, larges et comme tubulés. Silice d'aspect fauve orangé.

Calcaire de Yédo et terrain de Szakal (Hongrie).

Rem. Apparenté avec le *Glyphodiscus Grunowii* et le *scintillans* (A. S. 80. 6, 7), et fait la transition avec ces deux genres qui pourraient être réunis.

CYCLOTELLA ASIATICA *J. Brun.*

Pl. IV, fig. 16. Assez rare.

Diamètre 55 à 65 μ . *F. V.* (b) plane à disque marginal proéminent. Striation intercostale très nette. Stries en lignes croisées à 45° environ, s'avancant jusqu'au quart du diamètre. Région centrale recouverte de protubérances épineuses irrégulièrement placées. Côtes fortes, lisses. Bordure à fossettes plus petites que chez la *Mel. ornata*. *F. C.* (a) large de 20 μ . en moyenne, laissant voir sur ses bords rectilignes les fossettes. Striation croisée très nette.

Calcaire de Yédo. Aussi trouvée à Onianino (Russie).

Rem. Le disque annulaire marginal de la *F. V.* sépare les *Cyclotella* des *Melosira*; mais il faut avouer que certaines espèces (les *Mel. Sol. Ehr.*, *Coronata Grun.*, etc.) offrent aussi ce caractère, en se rapprochant ainsi beaucoup du type japonais.

D'autre part, chez les frustules réellement fossiles et qui, pour arriver à cet état, ont subi forcément bien des frottements ou des glissements, il est bien rare de trouver chez les *Melosira* les frustules réunis en filaments. Il me semble donc peu logique de maintenir ces deux genres dans deux tribus aussi distinctes que le sont les *Mélosirées* et les *Coscinodiscées*.

CYMATOSIRA DÉBYI *Temp. et Brun.*

Pl. VII, fig. 18. Rare.

Longueur 50 à 65 μ . *F. V.* (a) prolongée en rostre presque capitulé. Bordure non ponctuée. Perles peu nombreuses. *F. C.* (b), étranglée aux deux bouts.

Calcaire de Sendai.

Rem. Nous avons d'abord cru devoir réunir cette forme à la *Cym. belgica* Grun. (V. IIK. 45. 38 à 41); mais l'étude comparative avec cette espèce que nous possédons ne permet pas de les réunir. L'espèce fossile est plus grande, presque acuminée-capitée, jamais lancéolée et surtout à silice épaisse et plus robuste.

CYM. JAPONICA *Temp. et Brun.*

Pl. IV, fig. 12. Rare.

Longueur 120 à 160 μ . *F. V.* arquée, étroite, large de 9 à 12 μ . Extrémités rostrées et finement striées (à l'immersion). Perles irrégulières, disséminées sur une surface lisse. Bordure de la courbe dorsale ponctuée. 40 points en 10 mm. Bordure ventrale lisse. *F. C.* très étroite, rectiligne ou à peine courbée, très faiblement étranglée près des bouts.

Calcaire de Sendai et de Yédo.

Rem. Nous avons mis cette espèce dans le genre *Cymatosira* de Grunow. Bien que la forme de la *F. V.* la rapproche de la *Campylosira* (V. IIK. 45. 43), mais dans cette dernière figure la bordure ventrale est aussi ponctuée; puis la *F. C.* est très courbée. Ces deux genres, du reste, pourraient être réunis.

EPITHEMIA ARGENTINA *J. Brun.*

Pl. III, fig. 6. Rare dans le calcaire de Yédo. Abondante et actuellement vivante dans une argile rouge de Naposta (République Argentine).

Longueur 145 à 210 μ . Largeur (du frustule entier) 50 à 60 μ . *F. V.* plane,

convexe, étroite, rarement visible. *F. C.* plano-convexe à extrémités rostrées, munie d'une encoche dorsale avec nodule. Côtes (cloisons) transversales, fortes, à peine radiantes et un peu capitulées et en massue. 2 en 10 μ . vers le centre. Stries intercostales finement ponctuées; 14 à 16 en 10 μ . Le frustule entier vu par la *F. C.* est de forme lancéolée, bombé. La zone de suture porte de longues lignes ponctuées. Silice épaisse, robuste.

ETHIMODISCUS (*Pantocsekia*?) VITRIFACIES *Temp. et Brun.*

Pl. VIII, fig. 11. Assez rare.

Diamètre 135 à 170 μ . *F. V.* (a) très bombée, demi-sphérique finement punctuo-chagrinée. Pas de striation appréciable. Les 2 ou 3 petites dépressions qui se voient quelquefois et qui sont toujours irrégulières dans leur forme, ne sont peut-être dues qu'à une action de contact. *F. C.* (b) demi-circulaire d'un côté, rectiligne de l'autre et sans ponctuation nette ni striation. Silice hyaline.

Calcaire de Sendaï.

Rem. Voir Pantocsek (Diat. de Hongrie, 27. 258) et Castracane (Challenger, 1.1. 5), dont certains exemplaires s'en rapprochent. Il en est de même de l'*Ethm. sphaeroidalis* Castr. (idem, 22. 10).

EUODIA (*Hemidiscus*) MARGARITACEA *J. Brun.*

Pl. IV, fig. 6. a. Très rare.

Longueur 70 à 85 μ ., largeur 50 à 55 μ .. Valve en ellipse large et conique; courbures des flancs inégales. Perles de la région médiane très grosses, oculées, épar- ses et apparaissant enveloppées d'un réseau semblable à celui du *Stict. serpentinus* (Truan et Witt. VI, 4). Perles des flancs beaucoup plus petites; en stries rayonnant à partir du centre et des deux pôles. Ocule excentrique. Silice robuste.

Calcaire de Yédo.

Rem. Aussi trouvée dans un sondage de la mer d'Arafuru (fig. 6. b.) fait à la profondeur de 3900 fathoms (5307 mètres) et que je dois à l'obligeance de M. de Castracane.

GOMPHONEMA CURVIROSTRUM *Temp. et Brun.*

Pl. IX, fig. 4. Assez fréquente.

Longueur 120 à 145 μ ., largeur 40 à 45 μ . *F. V.* toujours courbée (même très courbée chez quelques exemplaires). Area dilatée au milieu avec une plissure longitudinale demi-lunaire du côté dorsal et une perle grosse, conique et très proéminente du côté opposé. Stries fortes équidistantes, rayonnantes et nettement perlées. 6 à 8 en 10 μ . *F. C.* rectiligne, bacillaire et peu conique.

Calcaires de Sendai et de Yédo.

Rem. Le *Gom. geminatum* W. Sm. 235 (a) 5 à 6 perles latérales dans le milieu de l'area et pas de lumen au sommet. Sa var. *hybrida* Grun. (Fr. Jos. land. A. 11) est trapue, rectiligne, non capitulée et dans la fig. 23. 4 de V. HK., les stries sont dessinées comme étant moniliformes. Le type fossile du Japon est donc bien une espèce distincte.

GRAMMATOPHORA MONILIFERA (*ARCTICA* var.) *Temp. et Brun.*

Pl. VII, fig. 9. Très rare.

Longueur moyenne 100 μ . Diffère du type (Clève, *Diat.*, Spitzb., 23, 1) et (V. HK 53 bis. 3) par ses stries plus serrées; 14 en 10 μ . et par les lignes longitudinales nettement moniliformes de la *F. C.* qui n'offre qu'une très étroite marge striée. Pourrait peut-être être portée au rang d'espèce?

Calcaire de Sendai.

LIOSTEPHANIA (?) *JAPONICA* *J. Brun.*

Pl. IV, fig. 2. Très rare.

Diamètre 55 à 60 μ . Surface plane ou peu bombée. 8 pseudo-tubuli allongés et groupés deux par deux. Chaque section enveloppée d'une fine striation circulaire et ponctuée. Le reste de la valve est lisse.

Calcaire de Yédo.

Rem. Il est difficile de bien classer cette forme et l'observation que fait Schmidt (Atl. 80. 9), en observant que la *L. rotula* Ehr. n'est peut-être qu'une valve génératrice interne, m'a rendu hésitant. Il se pourrait qu'il en soit aussi de même avec cette valve, bien que j'en aie trouvé trois exemplaires identiques.

MASTOGLOIA CLEVEI *J. Brun.*

Pl. IX, fig. 18. Très rare.

Longueur 110 à 125 μ . *F. V.* bi-elliptique à terminaisons très larges et arrondies. Surface pruinée, ponctuée, même perlée vers les flancs. Logettes bien visibles. 3 à 4 en 10 μ .; nulles à l'étranglement central. Striation transversale, fine, visible à l'immersion sur toute la valve. Silice forte, d'aspect fauve violacé.

Calcaire de Yédo. Aussi vivante dans la rade de Yokohama et à Nossi-bé.

MAST. RUGOSA *Temp. et Brun.*

Pl. IX, fig. 20. Très rare.

Très allongée (200 à 225 μ ., largeur 26 à 30 μ .). Terminaisons obtuses, aussi larges que le centre de la valve. Nœuds terminaux en hameçons à double courbure incurvés en sens inverse à chaque bout. Raphé bordé de deux lignes proéminentes. Surface de la valve rugueuse surtout vers les bords (comme saupoudrée). Striation transversale très fine, surtout visible dans la région du nodule central. Logettes très petites; 5 en 10 μ . nulles vers la partie centrale étranglée. Silice d'aspect fauve.

Calcaire de Sendai.

Rem. Bien qu'elle diffère sensiblement du *Mast. reticulata* Grun. (Hond. 195. 4, page 175) et *panduriformis* Cleve (New. Diat. 1. 1), elle appartient cependant au même groupe, avec les *Navicula Jamaicensis* et *strangulata* de Greville et *Janischii* Castr. (Chall. 30. 5).

MELOSIRA CLYPEUS J. Brun.

Pl. V, fig. 14. Rare.

Diamètre 45 à 55 μ . *F. V.* très bombée. Elle forme un large dôme qui surmonte une zone plane et hyaline. Dôme surmonté d'une protubérance centrale en capitule. Valve recouverte d'épines distantes simples ou tripartites et bordée d'une rangée de grosses perles serrées et appointies contre la marge, *F. C.* étroite.

Calcaire de Yédo. Aussi vivante à Zanzibar.

Rem. Il ne me semble guère possible de classer cette forme ailleurs que dans les *Mélosirées*. Elle doit appartenir à la section des *Liparogyra* Ehr. (V. I.K. 89, soit *Stephanosira* Ehr.). Comparer V. I.K. 89. 14 *Mel. Roseana* var. *Hamadryas* (soit *Liparogyra circularis* Ehr.). Comparer aussi Cleve 1881 New. Diat. 5. 65 *Melosira* (*Podosira*) *tuberculosa*.

MELOSIRA (?) CORNUTA Temp. et Brun.

Pl. VII, fig. 16. Très rare.

Largeur 18 à 20 μ , longueur 30 à 35 μ . Frustule cylindrique et à silice délicate. Surface délicatement ponctuée; légèrement striée près de la jonction des frustules. *F. V.* ronde, demi-sphérique, munie d'un cercle de suture proéminent et occupant environ le tiers du diamètre. En dehors de ce cercle, deux longues épines convexes et appliquées de chaque côté du bord sutural.

Calcaire de Yédo et de Sendai.

Rem. Devra former une division à part dans le genre *Melosira* et pourrait peut-être même au besoin donner un genre spécial. Car elle offre à la fois les caractères des *Stephanopyxis* et ceux des *Melosira* (voir A. S. 130. 18, 29, 34 *Step. appendiculata* et ses variétés) et 33. *Dictyopyxis* Ehr. avec une troncature au hant de la valve (voir aussi V. I.K. 85. 4).

NAVIGULA ADONIS *J. Brun.*

Pl. V, fig. 3 et 4. Très rare.

Longueur 100 à 125 μ ., largeur 35 à 45 μ . Silice très épaisse et robuste. *F. V.* large, de forme didyme (mais sans ponctuation intercostale). Raphé dilaté entre le nœud médian et les nœuds terminaux. Area bordée d'une double rangée de perles. La rangée externe de ces perles est placée sur une longue proéminence en lamelle. Côtes fortes lisses (à peine ridées à l'immersion). 5 en 10 μ . partant de la haute ligne perlée pour s'abaisser et s'élargir vers les flancs de la valve. Les deux ellipses que forme la valve sont tantôt réguliers (type fig. 3) tantôt comprimés *var. gibbosa* (fig. 4). *F. C.* large à bord perlé et comprimée vers le centre.

Calcaire de Yédo et Tripoli de Mjilones.

NAV. ANTHRACIS *Cleve et Brun.*

Pl. V, fig. 6. Assez abondante.

Longueur 50 à 60 μ ., largeur 14 à 18 μ . *F. V.* à courbure ventrale et dorsale comme les *Cymbella*. Raphé toujours longuement courbé du même côté aux deux bouts. Côtes larges, nettement ponctuées, radiantes, 6 en 10 μ . région centrale; plus serrées vers les bouts. Toujours une rangée de perles le long du raphé côté dorsal. *F. C.* à flancs un peu bombés à l'extérieur et infléchis vers l'intérieur, en sorte que si le frustule est entier, il prend ainsi l'aspect d'une *Amphora* (b).

Calcaire de Yédo. Rare dans celui de Sendai.

Rem. Se trouve aussi vivante dans la vase du delta du Panagava (eau douce) et dans la vase marine de la rade de Yokohama. Semble assez répandue au Japon, sans que ces différents habitats influent sur son aspect. Appartient à la section des Radiosae.

NAV. BACCATA *J. Brun.*

Pl. V, fig. 10. Rare.

Longueur 50 à 60 μ ., largeur 40 à 45 μ .. Section de la *Nav. Caribea* Cleve (6. 11 A. S.). *F. V.* en carré allongé, à terminaisons coniques un peu rostrées; recouverte de fortes perles disposées à la fois en rayons et en courbes enveloppant les trois dilatations de l'area : dilatations qui sont, l'une ronde autour du nodule médian, les deux autres elliptico-lancéolées le long du raphé. 4 stries en 10 μ ..

Calcaire de Yédo.

NAV. CRUCIFIX *Temp. et Brun.*

Pl. VII, fig. 10. Très rare.

Longueur 110 à 130 μ .. *F. V.* large de 22 à 26 μ ., avec deux bordures. L'interne seule porte un stauros très net. Stries parallèles au centre, un peu obliques aux bouts, finement ponctuées, 12 à 14 en 10 μ .. Nœuds terminaux grands et atteignant la marge finale. *F. C.* très large, 35 à 45 μ ., rectiligne, à stries transversales et parallèles. Silice fauve.

Calcaire de Sendai.

Rem. Cette espèce appartient à la section des *Pseudo-Amphiprora* de Cleve (1881. New. Diat. 3. 38, 39 et page 13), où il donne les caractères de ce groupe (voir aussi A. S. Nord. Diat. 3. 1) et Gregory Clyde 4. 59 et (T. M. S. Sable de Glenshira IV, Pl. 5. 23). Cette forme, qu'il donne sous le nom de *Stauroneis amphioxys*, mais sans représenter son connectif, diffère nettement de la nôtre par son stauros qui atteint les bords externes de la marge, puis par ses bouts plus aigus et ses nodules terminaux très petits.

NAV. CUBITUS *Temp. et Brun.*

Pl. V, fig. 8. Rare.

Longueur 90 à 110 μ ., largeur 15 à 18 μ .. (y compris la courbure 25 à 35 μ ..).

F. V. longuement lancéolée, avec un stauros transversal net et profond. Extrémités comprimées semblables à celles de la *Nac. compressicauda* A. S. (Nord. diat. 2. 35).
F. C. régulièrement courbée (c'est sous cet aspect (b) que cette navicule se rencontre le plus souvent, lors des triages). Côtes fortes; 5 à 6 en 10 μ ., ne se résolvant pas en points, mais en fines stries transversales (C à +800). Terminaisons obliquement tronquées, avec un large lumen, bordé par le nœud terminal qui est en forme de massue.

Calcaire de Sendai et de Yédo.

Rem. Cette forme ne se relie guère à des types déjà connus et ne peut pas se cadrer dans les groupes des Navicules actuellement admis.

NAVICULA FOLIOLA *Temp.* et *Brun.*

Pl. VII, fig. 15. Rare.

Longueur 80 à 100 μ ., largeur 15 à 17 μ .. *F. V.* longuement lancéolée, finement striée, surtout près de la marge (à l'immersion hom. le reste de la valve apparaît aussi transversalement strié).

Calcaire de Sendai.

Rem. La *Navicula fusiformis* Grun. (Hond. 195. 12) et (V. HK. 14. 33) qui lui ressemble, a son raphé beaucoup plus accentué et continu et n'a pas ses bords striés d'une manière apparente à + 500 (par ex. : au E de Zeiss).

NAV. GUINARDIANA *J. Brun.*

Pl. V, fig. 9. Très rare.

Longueur 150 à 170 μ ., largeur 15 à 18 μ .. *F. V.* très allongée; étranglement central occupant le tiers de la longueur; les terminaisons en cônes obtus très longs. Raphé et area rectilignes, bordés d'une lignée de perles. 7 stries en 10 μ ., lisses, (faiblement bosselées à l'immersion) presque parallèles, sauf vers les bouts.

Calcaire de Yédo et terrain quaternaire de Szakal (Hongrie).

Rem. La *Nav. limitanea* (A. S. 11. 23), actuellement vivante à Samao, est plus large, avec l'area dilatée dans chaque moitié de la valve et n'a pas les stries lisses.

NAV. INDEX *Temp.* et *Brun.*

Pl. V, fig. 7. Très rare.

Longueur 90 à 110 μ ., largeur 15 à 20 μ . *P. V.* longuement lancéolée; munie d'un large pseudo-stauros et d'une double bordure. Chaque nœud final est intercalé entre les deux courbes de l'extrémité (c). Côtes lisses, toutes convergentes, assez distantes du raphé, plus serrées aux deux bouts, écartées vers le centre. *P. C.* à courbure régulière, tronquée aux deux bouts. Le nœud final rond, profond, y est nettement visible (C à + 1000).

Calcaire de Sendai et de Yédo.

Rem. Touche le groupe des Pinnulariæ par ses côtes lisses (à l'immersion on n'aperçoit que difficilement des rides légères) et à celui des Radiosæ par ses côtes touchant presque le raphé et radiant jusqu'à l'extrémité des valves, comme dans la Nav. (*Pinn.*) distans *W. Sm.* 18. 169 et *Atl. Schm.* 46. 11 à 13. — Voir les formes 46. 71 et 72 *Atl. Schm.* sans nom et Nav. *Zostereti Grun.* A. S. Nord. *Diat.* III. 3. qui n'offre pas une double bordure à sa face valvaire.

NAV. RETICULO-RADIATA *Temp.* et *Brun.*

Pl. V, fig. 4. Rare.

Longueur 110-120 μ ., largeur 75 à 80 μ . Régulièrement elliptique. Perles fines, formant au centre de larges réticules, et aux bords des stries radiantes. 6 à 7 en 10 μ . Une ligne de perles accompagne toute la bordure de l'area longitudinal et du pseudo-stauros central. Deux petits sillons cotoient le nodule médian.

Calcaire de Sendai.

Rem. Cette espèce, très constante dans sa forme, est apparentée à la *Nav. margaritifera Tr.* et *Witt* (*Geremie* IV. 10) qui est plus petite, plus lancéolée, à plus grosses perles ne s'étalant pas en stries vers les bords.

NAV. SCINTILLANS *Temp. et Brun.*

Pl. V, fig. 5. Rare.

Longueur 90 à 125 μ ., largeur 25 à 35 μ . *F. V.* contractée en deux lobes coniques. Côtes larges, plates, lisses (même à l'immersion); 5 à 6 en 10 μ ., un peu convergentes vers le centre de chaque lobe. Toutes sont aplaties au dedans d'une ligne assez éloignée du raphé : celui-ci courbé dans le même sens aux deux bouts. Une large area centrale et transversale. *F. C.* ordinairement très large; offrant une faible dépression médiane.

Calcaire de Sendai.

Rem. Touche de près la *Nav. bilobata* Gr. et St. (Oamaru 1887. Q. J. 10. 8) et a comme elle deux courts sillons longitudinaux près du nodule, dans la grande area centrale; mais elle en diffère par ses terminaisons coniques et surtout par ses côtes plus serrées, toujours subitement aplaties.

NAV. TEMPEREI *J. Brun.*

Pl. V, fig. 1. Extrêmement rare.

Longueur 140 à 150 μ ., largeur 45 à 55 μ . Section des *Pinnulariées*, sous-section des *Mesolepta*. Deux forts sillons partent de chaque nodule terminal, accompagnent le raphé et vont en s'évasant vers la large area centrale. 5 à 6 côtes lisses en 10 μ ., subitement aplaties en arrivant à l'area. Silice épaisse et robuste.

Calcaire de Sendai et de Yédo.

NITZSCHIA ASIATICA *Temp. et Brun.*

Pl. I, fig. 14 et Pl. IX, fig. 15. Rare.

Longueur 90 à 105 μ ., largeur 40 à 45 μ . *F. V.* bombée, largement conique,

ovale. Stries ponctuées 8 à 9 en 10 μ . incurvées et convergentes vers les cônes. Une zone hyaline longitudinale se voit un peu latéralement et apparaît plus ou moins courbe suivant la position de la valve. *F. C.* plano-convexe, tronquée obliquement.

Calcaire de Sendai et de Yédo.

Rem. Doit appartenir au groupe des *Tryblionella*, dont elle s'éloigne cependant par sa forme en coque de navire qui rappelle l'*Amphora dubia* Greg. (A. S. 27. 22) et certains *Achnanthes*.

NIT. LONGISSIMA var. FOSSILIS J. Brun.

Pl. I, fig. 10. Très rare.

Longueur 280 à 320 μ . *F. V.* lancéolée, oblique. Perles latérales s'atténuant en lignes légères, transversales et équidistantes, 5 en 10 μ . Cornes longues, occupant chacune le tiers de la longueur totale et courbées en sens inverse.

Calcaire de Yédo.

Rem. La *Nit. curvirostris* Cleve (West. Ind. 3. 21) *Nit. ventricosa* Kitton (1873. M. J. 38. 5) et *Nit. reversa* W. Sm. (V. HK. 70. 4) sont des formes voisines.

NIT. PENNATA Temp. et Brun.

Pl. IX, fig. 17. Rare.

Longueur 170 à 210 μ . Linéaire, fusiforme en tous sens. Vue de la *F. C.* la valve est un peu courbée. Côtes de la carène capitulées, diversement obliques, 3 à 4 en 10 μ . Pas de pseudo-nodule central appréciable. Stries transversales fines, surtout visibles vers la carène, 14 en 10 μ . La marge connective offre toujours une ligne de points.

Calcaire de Sendai et de Yédo.

Rem. Parmi les nombreuses formes de *Nitzschia* dessinées et décrites, nous n'en connaissons aucune qui cadre avec ce type que nous avons dû ériger au rang d'espèce.

NIT. PROTUBERANS *J. Brun.*

Pl. I, fig. 9. Très rare.

Longueur 95 à 115 μ ., largeur 22 à 25 μ . *F. V.* bi-elliptique. Terminaisons très larges, coniques, obtuses. Le flanc de la carène porte de grosses perles ovoïdes ou carrées; 3 en 10 μ . L'autre flanc porte des lignes légères, larges, transversales; 4 en 10 μ . Valve divisée longitudinalement en une zone hyaline d'un côté et très finement ponctuée de l'autre.

Calcaire de Yédo et terrain quaternaire de Szakal (Hongrie).

Rem. Espèce très distincte. Parmi les formes décrites et dessinées, il n'y a guère que la *Nit. Campechiana* Grun. (J. M. S. New. Nitsch. 13. 16. a), groupe des *bilobata* (V. HK. 60) qui s'en rapproche un peu.

PLAGIOGRAMMA FENESTRA *J. Brun.*

Pl. IX, fig. 6. Assez fréquente.

F. V. allongée; terminaisons larges arrondies, à peine capitulées; flancs légèrement dilatés vers le centre. Zone transversale médiane, avec un pseudo-ocellus, mais sans côtes transversales bien visibles. Côtes des bouts fortes, un peu courbées. Stries perlées; 6 en 10 μ . Perles écartées. *F. C.* en carré long. Silice très épaisse.

Calcaire de Yédo. Très rare dans le dépôt de Mjillones (Bolivie).

Rem. Le *Plag. validum* Grev. (Plagiogr. 1859. M. J. 10. 8) est plus grand, plus allongé, sans pseudo-ocellus et à perles beaucoup plus grosses, avec des stries plus distantes.

PLAG. GREGORIANUM var. ROBUSTA *J. Brun.*

Pl. IX, fig. 7. Rare.

Diffère du type (V. HK 36. 2) et du *decussatum* Grev. (T. M. J. XIV 1. 122) et

de l'*Antillarum* Cleve (arch. ind. 3. 16) par ses vittæ plus forts et ses terminaisons dilatées, un peu capitulées et par sa silice plus épaisse; 6 stries en 10 μ . Chaque strie transversale formée de 2 ou 3 perles seulement. Vittæ très prononcés dans la *F. C.* Calcaire de Yédo.

PLEUROSIGMA HAMULIFERUM *J. Brun.*

Pl. IX, fig. 5. Rare.

Longueur 90 à 120 μ ., largeur 25 à 30 μ . *F. V.* rhomboédrique à terminaisons larges et arrondies, Le rhomboèdre ordinairement un peu oblique. Raphé rectiligne, sauf aux deux bouts où il s'incurve en larges crochets, tournés en sens opposé. Nœud central rond. Stries transversales et obliques équidistantes sur toute la valve, 21 à 24 en 10 μ . Les obliques se croisant sous un angle d'environ 65°. Silice mince, délicate, jaune pâle.

Calcaire de Yédo. Aussi vivante dans le port de Yokohama (sondage Appert).

PLEUR. HUNGARICUM *Cleve et Brun.*

Pl. IX, fig. 9. Très rare.

Longueur 105 à 135 μ ., largeur 50 à 60 μ . *F. V.* ovoïde et devenant sigmoïde seulement vers les deux bouts. Région centrale un peu bombée. Raphé nettement sigmoïde. Nœud central grand et très net. Stries se croisant à environ 60°. 14 à 16 en 10 μ . au centre. Devenant peu à peu plus fines (18 à 20 en 10 μ .) et presque parallèles au raphé vers les pointes.

Kekkō (Hongrie) (et déterminées sous ce nom par M. Cleve), puis trouvée assez fréquemment dans le calcaire de Yédo.

Rem. La différence d'écartement des stries ventrales et finales est ici encore plus accentuée que dans le *Pl. Naviculaceum* Bréb. et dans notre *Pl. Sagitta* de Sendai, d'où résulte aussi (à un faible grossissement) un aspect fauve au centre et jaune pâle vers les bords.

PLEUR. SAGITTA *Temp. et Brun.*

Pl. IX, fig. 19. Rare.

Longueur 150 à 175 μ . largeur 30 à 36 μ . *F. V.* lancéolée, sans courbure et raphé rectiligne. Stries du centre plus fortes que celles des deux bouts, 12 à 14 en 10 μ . Région médiane, 17 à 20 aux extrémités se croisant au centre sous un angle de 60° et sous un angle plus obtus aux terminaisons. Nœud rond; nodules terminaux coniques et touchant le bord de la valve. Silice épaisse. A un faible grossissement le centre apparait fauve et les flancs jaune pâle.

Calcaire de Sendai et de Yédo.

Rem. Cette espèce n'a rien de sigmoïde et paraît tout d'abord appartenir aux Navicules avec lesquelles elle fait transition. Sa striation, fort semblable à celle du *Pl. Naviculacea* Breb., nous la fait placer cependant dans les Pleurosigma, section C. monographie du genre par Grunow (Cl. et Gr. Art. Diat., page 51). La *Pl. Nubecula* W. Sm. 21. 201 s'en rapproche, mais elle offre quelquefois un aspect un peu sigmoïde, et la striation y est équidistante sur toute la valve. Il en est de même du *Pl. lanceolata var. cuspidata* Cleve New. Diat. I. 7, dont le raphé est incurvé aux deux bouts. L'étude du *Pl. directum* Grun. dans la préparation N° 125 Cl. et Möll. nous a montré que c'était là une espèce différente (voir aussi Cleve et Grunow, page 53).

PODOSIRA SPINO-RADIATA *J. Brun.*

Pl. IV, fig. 10. Très rare.

Diamètre 40 à 50 μ . Valve demi-sphérique. Une area ronde au centre, d'où partent des stries radiantes qui vont envelopper les bases d'un grand nombre de longues et fortes épines rectilignes et radiantes. A l'immersion les stries sont nettement ponctuées, mais non moniliformes. Variable dans ses dimensions, mais constante dans sa forme. Silice d'aspect brunâtre et un peu violacé.

Calcaire de Yédo et de Jackson's Paddock.

Rem. Ce type pourrait former un genre à part; mais j'ai préféré le classer dans un des genres si nombreux (même trop nombreux) qui existent déjà et qu'une bonne monographie de ces *Coscinoc*

discées viendra certainement plus tard simplifier. — Ehrenberg (Microg. dépôt de Richmond, Virginie 18. 124) donne une figure qui a avec notre type quelque ressemblance et qu'il considère comme un œuf (*Ovulum hispidum*), tout en ajoutant le nom de *Pyridicula* (*Xanthiopyxis?*) *aculeata*.

PORODISCUS CALYCIFLOS *Temp. et Brun.*

Pl. IV, fig. 11. b. Très rare

Diamètre 60 à 75 μ . *F. V.* en disque bombé, surmonté vers sa base d'une couronne de protubérances plates et à bords trilobés, qui s'élèvent sous un angle de 45° environ au-dessus d'un cercle strié. Ces protubérances sont en nombre variable, 12 à 20. Le tout est surmonté d'un dôme criblé de perles (perforations) avec une pseudo-ouverture circulaire à bords nets, comme celle du disque des *Porodiscus* de Greville.

Calcaire de Yédo; aussi trouvé vivant aux îles Sandwich (fig. 11. a).

Rem. Nous laissons cette forme dans les *Porodiscus*, mais elle est certainement apparentée avec le *Pyrogodiscus simplex* O. Witt (Sibirsk G. 6) et (A. S. 100. 13). Il faut reconnaître que le *Porodiscus interceptus* Grove et St. (Oamaru 14. 54) et (*Truan et Witt* 3. 22) représente parfaitement le dôme (seul et séparé de son disque) de notre espèce. La *Podosira pacifica* (Walk. et Ch. 6. 5) est peut-être aussi une forme voisine.

PTEROTHECA SPADA *Temp. et Brun.*

Pl. I, fig. 7. Extrêmement rare.

Longueur du frustule entier 230 à 265 μ ., largeur 35 à 40 μ .. Frustule cylindrique, hyalin, faiblement ponctué, muni de deux appendices; l'un rectiligne, conique et tubuleux; l'autre très long, courbé en sabre et un peu aplati dans sa partie étroite. Un léger voile siliceux circulaire enveloppe sa base.

Calcaire de Sendai.

Rem. Nous avons maintenu cette forme dans le genre *Pterotheca* créé par Grunow, mais il faut reconnaître que les genres *Dicladia*, *Syringidium*, *Ditylium*, *Pyxilla* et *Pterotheca*, presque tous fossiles, sont mal définis et qu'une étude d'ensemble de toute la classe des *Chaetocérées* serait bien nécessaire. La *Pt. subulata* Grun. (V. IIK. 83 bis 6) est la forme qui a le plus d'analogie avec notre espèce japonaise.

RAPHONEIS ASIATICA J. Brun.

Pl. I, fig. 8. Assez fréquente.

Longueur 140 à 210 μ ., largeur 15 à 18 μ . *F. V.* longuement lancéolée, plus ou moins rectiligne. Bordure perlée. Stries transversales moniliformes; 7 en 10 μ ., formées de deux ou trois perles seulement et s'atténuant en une ou deux lignes longitudinales inégales et perlées vers les bouts.

Calcaire de Yédo et dépôt d'Onianino (Russie).

Rem. N'offre pas la régularité et l'aspect rectiligne du *Raph. lancettula* Grun. (Pant. 271 et 321) et n'a pas comme lui des terminaisons dilatées.

RAPHONEIS LUMEN J. Brun.

Pl. IX, fig. 8. Rare.

Longueur 45 à 60 μ ., largeur 35 à 55 μ . Largement elliptique, quelquefois presque ronde. Côtes moniliformes, radiantes au centre, puis incurvées en demi-cercle vers les pôles hyalins (*lumen*). 6 en 10 μ . Lumens arrondis bien distincts. Pseudo-raphé étroit. Silice épaisse.

Calcaire de Yedo. Guano de Huanillos.

Rem. La réunion de deux valves identiques nous a montré que cette espèce n'appartient pas aux *Cocconeis*. Comme la fig. de *Grove* et *Sturz* (Oamaru 10. 5 *Cocconeis nodulifer*), ne donne pas la valve inférieure, elle pourrait coïncider avec le *Raph. liburnica* Grun. (V. HK. 36. 33). Le *Coscinodiscus cocconeiformis* A. S. (58. 23 à 28) et la *Fenestrella Barbadosis* Grev. (1863. M. J. 4. 8) lui ressemblent également. Voir la juste observation de Grunow (Verhand. 1862, page 64).

RAPH. (*Achnanthes?*) PINNULARIA Temp. et Brun.

Pl. VII, fig. 11. Très rare.

Longueur 55 à 65 μ ., largeur 35 à 40 μ . Valve elliptico-lancéolée. Côtes lisses (à peine plissées à l'immersion) fortes, larges, 4 en 10 μ .; radiantes.

Calcaire de Sendai.

Rem. Voisin du *Raph. fluminensis* Grun. (V. JIK. 36. 34), du *Scutelloides* Grun. (Verhand. 6. 34) et du *Raph. elliptica* Castr. (Chalenger 26. 13). Ce genre, du reste, est encore mal établi et demande une revision.

RHABDONEMA BIQUADRATUM J. Brun.

Pl. I, fig. 5. Très rare.

Silice épaisse. Longueur 155 à 185 μ ., largeur 45 à 55 μ . *F. V.* à terminaisons rostrées. Un large étranglement central donne à la valve l'aspect de 2 carrés superposés. Côtes fortes, turgides, larges, 3 en 10 μ ., comprimées en un large chenal vers le pseudo-raphé. *F. C.* rectiligne. Les lignes de suture perlées. Vittæ très prononcés, trapus et courbés en massue.

Calcaire de Yédo. Kieselgühr de Santa-Maria (Californie).

RHAB. ELEGANS Temp. et Brun.

Pl. I, fig. 11. Très rare.

Longueur 90 à 135 μ ., largeur 12 à 16 μ . *F. V.* (b) presque capitulée, flancs tribosselés. Côtes fines, très serrées, 12 en 10 μ ., n'apparaissant ponctuées qu'à l'immersion. Pseudo-raphé très peu distinct. *F. C.* (a) à lignes de suture délicates et

très finement striées. Vittæ courts, trapus, presque ovoïdes, robustes. Silice épaisse pour la petitesse des frustules.

Calcaire de Sendai et de Yédo.

RHAB. JAPONICUM *Temp. et Brun.*

Pl. I, fig. 6. Assez fréquente.

F. V. (a). Longueur 150 à 185 μ ., largeur 25 à 30 μ ., allongée. Terminaisons arrondies, presque capitulées; flancs plus ou moins tribosselés. Côtes turgides, comprimées en chenal vers le pseudo-raphé. 4 en 10 μ . Chacune d'elles porte une ligne de perles nettes et distantes. *F. C.* (b) rectiligne. Les lignes de suture munies d'une rangée de grosses perles, 5 à 6 en 10 μ . Vittæ courbés et en massue.

Calcaire de Sendai et de Yédo.

Rem. Varie avec *F. V.* à flancs rectilignes (var. *recta* Tp. et Br.) et avec des côtes quelquefois très distantes (var. *sparsicostata* Tp. et Br.) la faisant ressembler aux *Gephyria*, genre qui, du reste, ne diffère des *Rhabdonema* Ehr. que par la courbure de sa face connective et n'a guère sa raison d'être. Il n'y a pas, à notre connaissance, d'espèce qui se rapproche de ce type. Tout au plus le *Rh. robustum* Grun. (Verhand. 8. 1. c.) a-t-il quelque analogie par ses lignes de suture.

RHAB. VALDELATUM *Temp. et Brun.*

Pl. I, fig. 4. Assez fréquente.

F. V. (a). Longueur 95 à 105 μ ., largeur 30 à 35 μ .. Compression latérale des flancs formant double carrure. Côtes comme chez le *Rh. Japonicum*. *F. C.* (b) rectiligne. Lignes de suture finement striées, 12 à 14 en 10 μ . Vittæ trapus et en massue.

Calcaire de Sendai et de Yédo.

RUTILARIA CAPITATA (ÉPSILON var.?) Temp. et Brun.

Pl. I, fig. 3. Assez fréquente.

Longueur 185 à 225 μ ., largeur 45 à 60 μ . *F. V.* (a) ronde avec deux fortes cornes nettement capitulées. Perles épineuses comme dans la *longicornis*, mais les perles de la bordure plus serrées, 4 à 5 en 10 μ . Surface fortement ponctuée, excepté autour du cône. Pas de stries longitudinales vers les nœuds terminaux. *F. C.* (b) dilatée au centre; les bouts en pieds de biche. Épines *concentriques* autour du grand nœud de la valve et *centrifuges* sous les prolongements.

Calcaire de Sendai; absente dans le calcaire de Yédo.

Rem. Cette espèce doit se rapprocher de la *Rut. obesum* dont il est question page 19 (Cleve New. Diat. 1881), mais dont il n'a pas été donné de dessin à notre connaissance.

RUT. LONGICORNIS (ÉPSILON var.?) Temp. et Brun.

Pl. I, fig. 1. Assez fréquente.

Longueur 260 à 320 μ ., largeur 25 à 30 μ . *F. V.* ovale, se prolongeant en deux très longues cornes. Surface à perles épineuses et éparées vers le cône central. Le reste de la surface est finement ponctué. Pas de stries vers les nœuds terminaux. Pas d'area lisse autour du cône. Perles de la bordure épineuses, 3 en 10 μ .

Calcaire de Sendai et de Yédo.

Rem. Cette forme et la précédente nous paraissent devoir être considérées comme espèces et non comme de simples variétés. La *R. tenuis* Gr. et St. (Oamaru 6. 13) a bien une forme analogue, mais elle offre une double striation oblique. La *R. Epsilon* Grev. (1863, M. J. 9. 1) est dessinée avec des perles médianes rondes et un grand espace lisse tout autour du cône central.

RUT. HEXAGONA var. *CORNUTA* Temp. et Brun.

Pl. I, fig. 2. Assez fréquente.

Longueur 80 à 100 μ ., largeur 35 à 45 μ .. Cette forme a trop de rapport avec l'espèce de Grunow V. HK. 105. 8, pour ne pas y appartenir. Elle en diffère par ses deux prolongements cornus, par ses perles qui sont plus coniques, épineuses et beaucoup plus serrées à la bordure. Elle n'a pas non plus cet aspect marbré et sombre qu'a l'espèce de Santa-Monica; mais elle est comme elle striée vers les deux bouts.

Calcaire de Sendaï; très rare dans celui de Yédo.

Rem. Du reste, ces trois formes de *Rutilariées* passent, dans ces calcaires, insensiblement de l'une à l'autre et il est bien difficile de leur fixer exactement des caractères-limites.

SCEPTRONEIS (Raphoneis?) COLUBER J. Brun.

Pl. I, fig. 12. Assez fréquente.

Longueur 380 à 400 μ . *F. V.* large de 30 à 40 μ . plus ou moins cunéiforme, quelquefois presque rectiligne. Surface un peu plissée en long et cône du gros bout plus ou moins oblique. Côtes ponctuées, transversales, 4 à 5 en 10 μ ., irrégulièrement interrompues et formant un pseudo-raphé souvent peu prononcé. Très variable dans ses dimensions. Silice robuste.

Calcaire de Yédo.

Rem. Les côtes sont ici tout autres que chez le *Scep. cuneata* Grun. (Hond. 194. 3) qui a la même forme. La *Gomphonitzschia Clerei* Grun. (New. Nitsch. M. J. 13. 11) a aussi la même forme, mais les côtes lisses et très distantes. Les exemplaires rectilignes n'ont pas double bordure comme la *Synedra cristallina* Ktz. et sa var. *bacillaris* Grun. (Hond. 193. 12. b. c.).

STAUROSIGMA ASIATICUM Temp. et Brun.

Pl. IX, fig. 1. a. b. Assez fréquente.

Longueur 190 à 220 μ ., largeur 25 à 28 μ . *F. V.* longuement sigmoïde et pointue. Stauros transversal très prononcé. Deux longs sillons accompagnent le raphé de chaque côté de la valve, qui paraît ainsi divisée en 5 compartiments. Stries transversales, parallèles, lisses, équidistantes, 16 à 18 en 10 μ ., s'atténuant près du raphé. Pas de stries obliques. *F. C.* rectiligne.

Calcaire de Sendai.

Rem. Le *Pl. Staurophorum* Grun. (Cleve et Grun. Arct. Diat., page 61) avec sa dimension moitié plus petite, ses stries plus écartées et sa *F. C.* sigmoïde, doit être une autre espèce. Ces deux formes, du reste, diffèrent suffisamment des *Pleurosigma* pour que nous ayons cru devoir conserver le genre *Staurosigma* proposé par Grunow (Verh. Vienne 1862). Ce n'est en tout cas pas un *Rhoicosigma*. Quant au *Stauroneis Sigma* d'Ehr. (Microgeol. 18. 63), c'est une tout autre espèce, plus large, dont le stauros biovoïde ne traverse pas totalement la valve. Nous avons en l'occasion de trouver cette dernière espèce dans la vase de la rade de Yokohama (sondage Appert 1886).

STEPHANODISCUS ELEGANS J. Brun.

Pl. IV, fig. 9. Rare.

Diamètre 35 à 45 μ . Disque peu bombé au centre et muni là d'une épine. Stries fines, perlées, radiantes, avec de très fines lignes intercalées entre les rayons. Épines marginales courbes, longues, à large base.

Calcaire de Yédo.

Rem. Voisine du *St. Hantschianus* Grun. (V. IIK. 95. 10. 11) et (Cleve et Grun. 7. 131). Les genres *Peristephania* (Pritt. 5. 73) *Syndetocystis* (Walk. et Chase 4. 13) et *Discoplea* Ehr. pourraient être réunis, car le développement de l'épine centrale est chose très variable. Comparer aussi le *Thalasiotrix* (Castr. 30. 4 bis).

STEPHANOPYXIS ARISTATA Temp. et Brun.

Pl. VIII, fig. 7. Rare.

F. V. elliptique, très bombée (quelquefois même presque circulaire et demi-sphérique). Longueur 32 à 40 μ ., largeur 24 à 35 μ . sans les épines. Celles-ci sont au moins aussi longues que la moitié du diamètre, coniques, ponctuées ou bifurquées ou tripartites ; toujours à larges bases et nombreuses.

Calcaire de Sendai.

STEP. LIMBATA var. CRISTA GALLI Temp. et Brun.

Pl. VIII, fig. 8. Assez rare.

Diffère du type de *Santa-Monica* (V. HK. 83 ter. 13.14) par la surface de la *F. V.* (a) ponctuée en réticules ; par sa bordure qui s'amincit vers les pôles et se dilate le long des flancs. La *F. C.* est plus large, et comme un capuchon ayant la forme d'une crête de coq.

Calcaire de Sendai et de Yédo.

STEP. NIDULUS Temp. et Brun.

Pl. VIII, fig. 10. Assez fréquente.

Diamètre 30 à 45 μ . Valves planes, ou à centre un peu creux. Alvéoles variables de forme et de dimensions 5 à 7 en 10 μ . Leur disposition n'est qu'imparfaitement radiante. Alvéoles de la bordure allongées, cylindriques. Les fortes et hautes arêtes (formant couronne) sont à pointes bifurquées, reliées en cuvette par une très mince membrane représentée fig. 10 (b fragment vu de la *F. C.*). Les deux valves semblent être presque identiques. Elles ne diffèrent guère que par la couronne plus ou moins

rapprochée de la marge et par une très fine ponctuation interalvéolaire que laisse voir l'immersion.

Calcaire de Sendaï et de Yédo.

Rem. Cette curieuse et jolie espèce est aussi très distincte. Ses alvéoles radiantes lui donnent l'aspect d'un *Coscinodiscus*, et le groupe des *St. coronatæ* que A. Schm. a si bien dessinées (Atl. 123. 10 à 17) en diffère trop pour qu'elle appartienne à ce même groupe, ou à celui de la *Creswellia Barbadosis* Grev. (1865. T. M. S. 1. 11) et (A. S. 130. 6, 7). Elle se rapproche aussi de la *Dictyolampra Stella* Pritt. 5. 58 et appartient peut-être au même genre.

STEP. PERAGALLI *Temp. et Brun.*

Pl. VIII, fig. 3. Assez fréquente.

Diamètre 130 à 150 μ . Frustule presque sphérique. La *valve supér.* est très bombée, à surface plus ou moins finement alvéolée. 5 à 8 alvéoles en 10 μ . En contact immédiat avec cette superficie et au-dessous d'elle s'aperçoit un réseau délicat à larges mailles hexagonales qui cessent vers la région marginale. 10 à 15 épines en cercle très irrégulier. La *valve infér.* a les alvéoles plus grosses, 4 en 10 μ . et 6 à 10 épines irrégulièrement espacées. Silice fauve.

Calcaire de Sendaï et de Yédo.

Rem. Cette espèce est très distincte et ne peut guère être confondue avec les types déjà décrits et dessinés. Le curieux réseau à larges mailles n'est pas toujours bien distinct. D'autres fois, au contraire, il apparaît seul chez certains exemplaires brisés, comme le montre notre dessin.

SYNEDRA (*Raphoneis* ?) TIBIALIS *Temp. et Brun.*

Pl. VII, fig. 12. Rare.

F. V. bacillaire-cunéiforme. Stries moniliformes, 5 à 6 en 10 μ ., radiantes aux extrémités. Perles de la marge plus grosses et plus distantes. Pseudo-raphé assez distinct. *F. C.* laisse voir sur ses bords une rangée de fortes perles avec quelques perles éparses le long de la zone connective. Bordure (ligne) du connectif très finement ponctuée.

Calcaire de Sendaï et de Yédo.

Rem. Cette espèce, bien distincte, tient à la fois des *Raphancis* par le perlé de ses stries et de ses terminaisons [voir (V. HK. 37. 6. 5) et (Fr. Jos. land. 2. 8. 6)] et des *Synedra* [voir *Syn. crystallina* Ktz. V. HK. 42. 10; mais n'a pas comme lui double ligne marginale].

Genre TABULINA *J. Brun.*

F. V. aplatie, tabellaire, plus ou moins carrée, munie de canaux hyalins radiants et transversaux. 4 protubérances arrondies et striées. Suture de la *F. C.* rectiligne.

TABULINA TESTUDO *J. Brun.*

Pl. VI, fig. 8. Très rare.

Caractères du genre. Longueur 90 à 105 μ ., largeur 70 à 85 μ .. Perles centrales rayonnantes; puis elles suivent la direction des canaux en se transformant en épines vers les bords. Area centrale munie de quelques épines.

Calcaire de Yédo.

Rem. Voilà un type bien curieux et que je ne puis classer dans les genres connus, car sa forme s'est montrée constante dans le peu d'exemplaires entiers qui ont été trouvés. Une des raisons qui m'engage aussi à créer ce genre, c'est que nous sommes loin de connaître toutes les espèces des calcaires et des marnes du Japon, de la Chine et de l'immense Asie. Leur étude ne fait que commencer et nous réserve, je crois, bien des surprises. Il est donc admissible que dans le nombre des espèces à trouver il y en ait qui viennent se grouper à ce type et former avec lui un genre naturel. Ceci montre, une fois de plus, combien une monographie complète des ΒΙΒΟΥΛΙΝΕΣ serait désirable.

TRICERATIUM BALANIFERUM *Temp. et Brun.*

Pl. VI, fig. 4. Rare.

Cette belle espèce est bien caractérisée par les anneaux proéminents de ses angles. Diamètre 200 à 260 μ .. Surface plane garnie de sillons nuageux radiés et perlés exactement comme chez le *Stictodiscus Eulensteinii* Grun (A. S. 75. 7). Cet aspect est

parfaitement rendu par la photographie 5. 12. Truan et Witt (Jeremie). Flancs de la valve avec une rangée de perles (Côtes très courtes). Capitules élevés, munis de perles coniques à leur base et de stries vers leurs bouts.

Calcaire de Sendai.

Rem. Ce type singulier montre combien il est difficile de donner les caractères-limites d'une espèce et de fixer exactement le cadre d'un genre chez les Diatomées; car avec ses bouts en anneaux (cornes tronquées) et ses extrémités striées, cette espèce offre à la fois les caractères du genre *Odontella* et du genre *Biddulphia* tels que les a définis Grunow (Fr. Jos. land. page 5). Dans ce qui a été dessiné, il n'y a guère que *Tr. microstictum* Grev. (1864. T. M. C. 8. 17) qui ait avec celui-ci quelque analogie.

Nous avons trouvé une forme munie à ses angles, non d'anneaux, mais de capitules arrondis et fortement ponctués. Ces capitules forment un cône élevé, muni d'un lumen central et rond. Tout le reste de la F. V. est identique au *balaniferum*. — Est-ce là une variété ou une autre espèce? — Ou bien est-ce là une double valve opposée et dissemblable comme chez certains *Triceratium*s fossiles? (voir la note relative au *Tric. radiatum* Brigh. page 62).

TR. BERGONII Temp. et Brun.

Pl. V, fig. 13 (b. contours à + 150). Très rare.

Largeur moyenne 250 μ . F. V. triangulaire à centre légèrement bombé et plus élevé que les bords et les appendices. Alvéoles grandes, d'un diamètre de 12 à 14 μ . hexagonales, à marge lisse sans épines ni petits capitules aux angles; à surface chagrinée et à oculés ronds. Les alvéoles qui touchent les appendices ont leur oculé tourné vers le centre. Appendices des trois angles, larges, circulaires, plats et peu proéminents. Bordure ondulée. Ces ondulations (dessinées à 2 mises au point différentes A. C.) sont au niveau des alvéoles. La couche siliceuse inférieure offre une fine striation rayonnant du centre à la circonférence. Silice épaisse.

Calcaire de Sendai.

Rem. Nous avons cru devoir décrire exactement cette espèce à cause du grand nombre de formes qu'elle offre cette section. Les seules espèces, du reste, qui s'en rapprochent, sont le *Tr. Wittii* Janisch (A. S. 126. 2), ordinairement pentagonal et dont la bordure est tout autre, et le *Tr. tumescens* Castr. (Chall. 6, 9) qui est beaucoup plus grêle et dont les appendices sont elliptiques.

TR. CELLULOSUM *Grev. var. JAPONICA* *J. Brun.*

Pl. VI, fig. 13. Très rare.

J'ai cru devoir dessiner cette variété à cause des différences notables des dessins qui se rapportent à cette espèce. Cette variété du calcaire de Yédo a les perles *élevées*, allongées, *plates* et *ponctuées* et de même que la *var. major* (photographie de Walk. et Chase 4. 3 et 8) elle n'a ni flancs cloisonnés, ni côtes internes. Ces deux, dans leur aspect général, coïncident bien avec la fig. de Greville 1861. J. M. S. 4. 14. Mais les variétés dessinées par O. Witt. (Zimbirsk 12. 8 à 10 et dans l'atl. Schm. 111. 30 à 33 et 112. 4) me semblent devoir constituer une autre espèce qu'il faudrait dénommer.

TR. CONSTELLATUM *Temp. et Brun.*

Pl. VI, fig. 12. Rare.

Diamètre 120 à 165 μ . *F. V.* légèrement concave, constellée de perles qui diminuent de grandeur vers les bords. Chaque perle a une auréole étoilée qui l'entoure; auréole large, plus ou moins bien visible, et apparaissant sombre ou lumineuse suivant la mise au point. Bordure perlée. Proéminences peu élevées, longuement coniques, à striation fine et diagonalement croisée. 12 à 14 stries en 10 μ . La base des cônes porte des perles (*lacrymæ*) coniques.

Calcaire de Sêndaï.

TR. CURVILIBUM *J. Brun.*

Pl. VI, fig. 1. Très rare.

Largeur 109 à 125 μ . *F. V.* trimamelonnée. Stries et perles nettement séparées, atteignant les bords sans diminuer de grandeur et en restant presque équidistantes. 5

en 40 μ . Le centre est déprimé en triangle et muni d'une area bordée de quelques épines.

Calcaire de Yédo.

Rem. A du rapport avec le *Tr. fractum* (Walk. et Chase. 3. 8 malheureusement incomplètement rendu par la photographique). Il se rapproche aussi de l'espèce de Grove et Sturtz (Oamaru 11. 24) dessiné par eux sous le nom de *Barbadense* Grev. Mais la figure de Greville (T. M. S. 4. 12) ne peut guère être la même espèce. La bonne photographie de Truan et Witt. (Geremie 7. 27) et les échantillons que j'ai trouvé dans Barbados, me confirment dans cette opinion. Je tiens donc le type japonais pour spécialement différent et je crois que le dessin précité de Oamaru s'y rattache.

TR. DULCE Grev. var. JAPONICA Temp. et Brun.

Pl. VI, fig. 6. a. b. Rare.

Diffère du type de Barbados (Greville 1865 M. J. 2. 20) en ce que la forme japonaise est plus grande (100 à 130 μ . de diamètre) et porte une dépression circulaire occupant la moitié de la valve avec le centre un peu élevé. Ce que la face connective (fig. 6. b) montre clairement.

Calcaire de Sendai.

Rem. Le *Tric. pauperulum* Grev. (M. J. 6. 26) n'en est qu'une autre variété très petite. Le *Tric. exornatum* Grev. (1865. M. J. 2. 25) en diffère grandement et il ne nous est pas possible non plus d'identifier à cette espèce le *Tric. exornatum* dessiné par A. S. (112 1 à 3). Ces dernières formes de l'atlas doivent être une autre espèce et se rapprocher davantage du *microstictum* Grev. (1864. M. J. 13. 17).

Un travail d'ensemble sur les BIDDULPHIÉES serait bien nécessaire, surtout maintenant que l'on en connaît un nombre suffisant. C'est ainsi que les *Tric. acceptum*, *Hardmanianum* et *trilineatum* de Greville et *radiatum* Brighw., ne sont que les membranes externes et internes d'une seule et même espèce! J'ai eu l'occasion de le montrer à plusieurs micrographes dans une préparation faite avec un filament intact provenant de Chalky-Mount et composé de plusieurs frustules.

TR. LUMINOSUM Temp. et Brun.

Pl. VI, fig. 3. Très rare.

Diamètre 135 à 150 μ . Valve triangulaire à centre bombé. Extrémités obtuses à région striée ronde, au même niveau que les alvéoles du centre. Stries finement

ponctuées, 15 en 10 μ . Alvéoles radiantes, dichotomes, rondes, lisses, avec ocule : 3 en 10 μ ., dans la région médiane; 4 en 10 μ . vers les flancs. Une marge lisse à la bordure.

Calcaire de Sendai.

Rem. Son aspect est particulier. A un faible grossissement, sa silice apparaît bleue ou violette, et le replat strié des angles, couleur orangé. S'éloigne de tous les types connus, et, comme espèces affines, on ne peut guère citer que le *Tr. africanum* Ehr. (Microg. 35. A. 19. 1), à alvéoles finement ponctuées, sans oculules et les angles incomplètement dessinés, et le *Tr. Mölleri* (Pant. 47), à alvéoles petites et sans oculules, etc. Le *Tr. gratum* A. S. 77. 19 qui a la bordure perlée et les angles non striés ni ponctués.

TR. MULTIFRONS *J. Brun.*

Pl. VI. fig. 2. Très rare.

Diamètre 65 à 75 μ . *F. V.* à surface plane, avec perles rayonnantes d'égale grosseur sur toute la valve. 7 en 10 μ . Quelquefois une grosse épine au centre du cercle de l'area qui est plus ou moins étendue. Cônes des angles grands, à base rectiligne, occupant un tiers du diamètre; 3 fortes et profondes cloisons à la base de chaque cône.

Calcaire de Yédo. Tripoli de Pöplein.

Rem. Espèce bien distincte et qui n'est guère apparentée à d'autres formes déjà connues.

TR. PLANO-CONCAVUM *J. Brun.*

Pl. VI. fig. 9.

Diamètre 95 à 115 μ . *F. V.* à bords bombés et au même niveau que les stries des angles. Stries des flancs formées de perles très distantes, aboutissant à une dépression triangulaire qui occupe toute la moitié de la valve et où les perles sont inégalement espacées et ont une auréole qui apparaît sombre ou lumineuse suivant la mise au point. Stries des angles rectilignes, 6 à 7 en 10 μ .

Assez fréquent dans le calcaire de Yédo (rare dans le calcaire de Jackson's Paddock).

Rem. Parmi les espèces qui s'en rapprochent, nous avons : le *Tr. inelegans* var. *micropora* Grun. (A. S. 128, 3) et (V. HK. 110, 3 et 5). Mais Grunow représente la F. V. avec une grande bosselure médiane et arrondie, et Greville (1865. M. J. 2. 21) ne donne pas la face connective. Il diffère également trop du *Tr. Jucatanense* (A. S. 76. 16) et du *Nicobarium* (Idem, 76. 21) pour pouvoir y être joint comme variété.

TR. RADIANS *Temp. et Brun.*

Pl. VI, fig. 5. Assez fréquente.

Diamètre 70 à 85 μ . F. V. avec de grosses alvéoles polygonales ou carrées, ponctuées, rayonnantes, plus ou moins serrées. 3 à 4 en 10 μ . s'atténuant en petites perles éparses vers les bords et au centre. La région des grosses alvéoles est proéminente. Stries des angles fines. 14 environ en 10 μ ., au même niveau que le centre.

Calcaire de Yédo et de Sendai.

Rem. Le *Tr. Seychellense* Grun. (A. S. 81. 15) et (V. HK. 110. 1) est perlé plutôt qu'alvéolé et il a la marge perlée et le centre bombé.

TR. RADIATO-PUNCTATUM var. CALCAREA *Temp. et Brun.*

Pl. VII, fig. 17. Très rare.

Diffère du type par ses appendices plus allongés, ses flancs toujours courbes et par sa ponctuation plus forte; mais les ondulations du niveau de la valve, sont bien celles que décrit Schmidt (Atlas, Pl. 94).

Calcaire de Sendai (mêlé au type).

Rem. Il tient le milieu entre le *radiato-punctatum* A. S. (94. 14) et le *receptum* A. S. (81. 10). Dans la même section appartiennent aussi l'*acceptum* Grev. (1865. M. J. 2. 21) et son *Smithianum* (Idem, 12. 7), puis le *Californicum* Grun. (V. HK. 108. 11), le *Schadboldtii* Bail. et le *striolatum* Roper (T. M. S. 3. 3).

TR. SCHLUMBERGERI *Temp. et Brun.*

Pl. VI, fig. 10. Très rare.

Diamètre 140 à 185 μ . Robuste et à silice très épaisse. Valve triangulaire bombée au centre avec de larges capitules aplatis. Ces capitules ont deux sillons latéraux et profonds, en forme de massues courbées et 7 à 9 stries en 10 μ . sur leur surface. Perles du reste de la surface irrégulièrement espacées, les unes rondes et basses, les autres coniques, tubulées et proéminentes. Une forte dépression hyaline à la base de chaque capitule. Les 3 flancs du triangle montrent des sillons rectilignes internes.

Calcaire de Sendai.

TR. SIMPLEX *J. Brun.*

Pl. V, fig. 12. Très rare.

Diamètre 140 à 160 μ . Valve toujours tripartite à prolongements larges, arrondis et un peu capitulés. Une dépression hyaline, en forme de canal, se voit à la base de ses capitules. Le reste de la surface offre de grandes alvéoles rondes et assez également disséminées.

Calcaire de Yédo et de Jackson's Paddock.

Rem. Si dans le grand nombre d'espèces nommées *Triceratium*, on place avec Grunow (Fr. Jos. land. page 5) dans le genre *Odontella*, toutes celles qui ont des tubuli tronqués et dans le genre *Biddulphia*, celles dont la ponctuation des proéminences s'atténue peu à peu en stries délicates vers les angles; cette forme fossile du Japon reste forcément dans les *Triceratium* comme type du genre. — Le *Tric. nebulosum* Grev. (1861. T. M. S. 10. 15) est représenté comme ayant un point lumineux (creux) au centre de chaque perle, ce qui n'est pas le cas pour cette espèce. L'*Amphitetras Crux* Brighth. (1859. M. J. 9. 13) est aussi une autre espèce.

TR. TRIPOLARIS *Temp. et Brun.*

Pl. VI, fig. 7. Rare.

Diamètre 135 à 155 μ . Angles en cônes obtus, portant une surface ronde finement striée, 9 à 10 stries en 10 μ . Surface valvaire presque plane. Alvéoles grosses, rayonnantes, polygonales ou carrées. Chaque alvéole est ordinairement bordée d'une couronne ponctuée plus ou moins nette. 3 à 4 en 10 μ .

Calcaire de Sendaï et de Yédo.

Rem. Cette forme et le *Tr. radians* appartiennent au groupe si variable du *Tr. arcticum* Brightw. (1853. M. J. 4. 11), groupe abondamment représenté dans ces deux calcaires japonais, avec toutes ses variétés 3, 4 et 5-gonales et ses appendices cunéiformes ou largement arrondis. Le *Tr. Brachiolatum* Ehr. et Brighthw. (1850. M. J. 4. 2) nous semble aussi y appartenir, ainsi que le *quadrangulare* Grun. (A. S. 81. 3) qui passe insensiblement aux autres formes.

TR. TRUNCATUM *J. Brun.*

Pl. VI, fig. 11.

Diamètre 70 à 85 μ . *F. V.* un peu bombée, portant au centre 2 à 3 fortes épines et quelques petites perles éparses un peu plus rapprochées vers les proéminences qui ne portent elles-mêmes que peu de perles et sont en demi-cercle à base plane. Bordure à fortes perles; 3 en 10 μ . Proéminences larges, nettement tronquées (*F. C. b.*).

Fréquente dans le calcaire de Yédo. Très rare dans le dépôt d'Onianino (Russie).

Rem. Cette espèce, très constante dans ses formes, ne peut se rapporter ni aux *Trinacria Pileolus* Ehr. (O. Witt. Simbirsk 9. 15) et *incipiens* (Idem, 11. 8 et 11) et (A. S. 110. 11 à 13), ni au *Triceratium blandum* O. Witt. (A. S. 111. 8 à 13), ni au *Tric. mesoleium* Grun. (V. HK. 113. 14), à cause de leurs proéminences plus petites et plus aiguës. Seul le *Tric. pauperculum* Grev. (1865. M. J. 6. 26) s'en rapprocherait un peu.

LISTE DES DIATOMÉES DES CALCAIRES DE YÉDO ET DE SENDAÏ

Outre les espèces nouvelles décrites dans ce mémoire, nous citerons encore les espèces suivantes que nous avons trouvées et nous désignerons leur abondance ou leur rareté par ces signes :

T. ab. = très abondante	A. rare = assez rare
ab. = abondante	rare = rare
P. ab. = peu abondante	T. rare = très rare

Rappelons que les espèces contenues dans les calcaires bitumineux du Japon sont très nombreuses et que des recherches ultérieures viendront encore certainement augmenter ce nombre.

Lorsqu'un nom d'espèce, dans cette liste, est suivi d'une indication entre parenthèses, nous entendons le type ou la forme qui se rapporte *exactement* au dessin désigné. Ceci, soit à cause de la grande variabilité des formes chez ces algues microscopiques, soit à cause du plus ou moins de valeur des dessins qui ont été déjà publiés. Il faut même avouer que beaucoup des anciens dessins ne permettent pas des déterminations exactes !

Obs. Dans les chiffres indiqués entre parenthèses le premier indique la planche et le second le N° de la figure.

- T. rare. — *Actiniscus pennatus* *Grun.* (V. HK. 82 bis 12).
(= *Corethron hispidum* *Castr.* Chall. 21. 3. 5).
- Rare. — *Actinocyclus Ralfsii* var. *Australensis* (V. HK. 124. 2 et 4).
- T. rare. — » *elongatus* *Grun.* (V. HK. 125. 14. 15).
Obs. Avec des perles au centre réunies en couronne et un nodule latéral bien distinct.
- P. ab. *Actinoptychus glabratus* *Grun.* (V. HK. 120. 6).
- P. ab. » » var. *incisa* (V. HK. 120. 7).
- A. rare. — » » var. *subangulatus* A. S. (132. 11).
Obs. Passe insensiblement au type du *Glabratus* de Grunow.
- Rare. — *Actinoptychus nitidus* *Grev.* (Var. : A. S. 1. 7).
Obs. Ce doit être une autre espèce que celle dessinée par Greville (*Helio-pelta nitida*, 1865. M. J. 2. 18), forme, du reste, qui ne se rencontre pas dans ces calcaires.
- A. rare. — *Actinoptychus nitidus* var. *TURGIDA* *Tr.* et *Br.*
Obs. Les réticules encore plus petits que dans la forme A. S. 1. 7., et accompagnés d'une ponctuation perlée bien distincte et peu serrée. La valve toujours très bombée. Pourrait former peut-être une espèce distincte? L'*Act. undulatus* var. A. S. 1. 2) s'en rapproche!
- A. rare. — *Actinoptychus summissus* A. S. toujours ponctué (= *Omphalopelta punctata* *Ehr.*).
- Ab. — *Actinoptychus undulatus* *Ehr.* (formes A. S. 1. 1. 2)
- Rare. — » » var. (A. S. nord. Diat. 3. 29. Sans nom).
- Rare. — » » var. *Montereyii* (A. S. 1. 6).
- A. rare. — *Alloioneis Antillarum* *Cleve* et *Grun.* var. (Castr. Chall. 20. 14).
- T. rare. — *Amphitetras Græffiana* *Witt.* (A. S. 79. 1).
- Rare. — *Amphora Arcus* *Greg.* (Glenshira M. J. 1. 37).
- Rare. — » (Atlas Schmidt 28. 17. Sans nom.).
- A. rare. — » *crassa* *Greg.* (1873. Lens 2. 5).
Obs. A très grosses perles distantes et se rapprochant de la *monilifera* *Greg.* (Clyde 12. 69).
- T. rare. — *Amphora excisa* *Greg.* (Clyde 13. 86).
- T. rare. — » *Labuensis* *Cleve* (Vega 35. 1).
- P. ab. — » *Proteus* *Greg.* (A. S. 27. 2. 3).
- A. rare. — » *spectabilis* *Greg.* (Clyde 13. 80.) et (A. S. 40. 20 à 23).
- Rare. — » » var. (A. S. 40. 18. 19. Sans nom).
- Rare. — *Arachnoidiscus Ehrenbergii* *Bail.*
- P. ab. — » » var. *Californica* (A. S. 68. 3. 4),
- Rare. — » *indicus* *Ehr.* (A. S. 68. 6. et 73. 2).
- Rare. — » » var. (A. S. 68. 7).
- A. rare. — *Asteromphalus Brockei* *Wall.*
- Rare. — » *Wallischianus* *Grev.* (Monogr. 4. 11).
- T. rare. — *Aulacodiscus* (Atlas Schmidt 133. 7. Sans nom).
Obs. La base des proéminences (*tubuli*) n'offre pas toujours le cône rentrant dessiné dans cette figure, mais l'ensemble du dessin est très exact.

- T. rare. — *Aulacodiscus angulatus* *Grev.* (exactement 1863. M. J. 5. 15).
Obs. Passe insensiblement à notre variété dessinée Pl. IV, fig. 14 et aux formes si variables de l'*Aul. amœnus*.
- Rare. — *Aulacodiscus amœnus* *Grev.* (var. A. S. 134. 7).
Obs. Porte jusqu'à 16 et même quelquefois 20 tubuli.
- Rare. — *Aulacodiscus amœnus* var. (A. S. 41. 13) var. (A.S. 34. 6) et var. (A. S. 133. 4).
- T. rare. — » *pallidus* *Grev.* (exactement 1863. M. J. 5. 17).
- T. rare. — *Auliscus gigas* *Ehr.* (exactement A. S. 117. 6).
Obs. Cette forme se trouve aussi vivante dans la vase de Yokohama.
- Rare. — *Auliscus pressus* *Leuduger* (Ceyl. 7. 72).
- P. ab. — *Biddulphia aurita* *Breb.*
- Rare. — » *capucina* A. S. (119. 13. 14).
- P. ab. — » *Edwardsii* *Febiger* (V. HK. 100. 9. 10).
Obs. A les épines quelquefois très développées.
- A. rare. — *Biddulphia indica* *Roper* (1859. T. M. S. 2. 20 à 22).
Obs. S'y rencontre ordinairement avec des opercules (*cornes*) plus larges que dans le type de *Roper*.
- A. rare. — *Biddulphia obtusa* *Ralfs* (V. HK. 100. 11 à 14).
- Rare. — » » var. *SPINOSA* *Tp.* et *Br.*
Obs. Porte 6 à 8 très fortes épines entourant le plateau central et offre une striation plus prononcée, et se rapprochant de celle de la *Bid. Edwardsii*.
- Rare. — *Biddulphia Rhombus* *W. Sm.* (45 et 61. 320).
- T. rare. — » *reticulata* *Roper.* (A. S. 78. 21 à 22).
- T. rare. — » *rigida* A. S. (120. 1. 2).
Obs. En général plus trapue; mais porte aussi quatre cloisons et des épines aplaties comme dans le dessin précité.
- A. rare. — *Biddulphia Roperiana* *Grev.* type et une var. 3 gona.
- P. ab. — » *Thuomeyü* *Bail.* var. (A. S. 119. 7. 8).
- Rare. — *Campylodiscus angularis* *Greg.*
Obs. Avec l'area central en ovale très allongé, et même quelquefois linéaire, soit var. *striolata* (voir *Pant.* Hongr. 18. 156).
- T. rare. — *Campylodiscus Ecclesianus* *Grev.* var. (A. S. 16. 8 et 3. Sans nom).
Obs. On trouve à Sendai une variété à côtes ondulées et bosselées comme chez notre *Camp. rivulosus*, Pl. II, fig. 9 a. b.
- Rare. — *Campylodiscus notatus* var. *vitiensis* *Grun.* (A. S. 51. 8).
- P. ab. — » *Ralfsii* *Sm.*
- T. rare. — » *striolatus* *Grun.* (*Pant.* Hongr. 18. 156).
Obs. soit *Angularis* var. *striolata*? (voir plus haut).
- T. rare. — *Campylodiscus teniatus* A. S. var. *RADIOSA* *Tp.* et *Br.*
Obs. Se trouve à Sendai. Elle diffère du type (A. S. 16. 2. et 51. 1) par ses rayons ondulés, radiants et atteignant tous le centre; sans offrir, comme le type, une ligne ponctuée plus ou moins circulaire et qui interrompt les côtes dans leur parcours.

- A. rare. — *Cerataulus turgidus Ehr.* et variétés.
 A. rare. — *Cestodiscus japonicus Cleve.*
 P. ab. — » *Johnsonianus Grev.* (1865. M. J. 5. 8).
 A. rare. — » *pulchellus Grev.* (1866. M. J. 11. 5).
 Rare. — » » var. *gemmifer. Castr.* (Chall. 7. 7).
 Rare. — *Chaetoceros clavigerum Grun.* (Fr. Jos. land. 5. 51) var.
 Rare. — » *didymum Ehr.*
 Rare. — » *distans Cleve* var. *subsecunda Grun* (V. HK. 82 bis 6).
 T. rare. — » *incurvum Bail.* (1856. M. J. 7. 9 à 11).
 A. rare. — » *javanicum Cleve* (Java 2. 13).
 Rare. — » *Ralfsii Cleve* (Java 3. 3) et (V. HK. 82 bis 3).
 Rare. — *Cladogramma conicum Grev.* var. *RETICULATA J. Brun.*
Obs. Elle a la forme du type (1865. M. J. 8. 1), mais est couverte d'un réseau proéminent à larges mailles irrégulières et non de lignes (côtes) convergeant vers le cône. Calcaire de Yédo et de Jackson's Paddock.
 A. rare. — *Cocconeis costata Greg.* (V. HK. 30. 11).
 P. ab. — » *dirupta Greg.* (Clyde 9. 25) et (V. HK. 29. 14. 15).
 Rare. — » *nitida Greg.* (Clyde 9. 26).
 A. rare. — » *Scutellum Ehr.* (W. Sm. 3. 34).
 A. rare. — » var. *ornata* (V. HK. 29. 6).
 Rare. — » *sigma Pant.* (Hongr. 8. 68).
 Rare. — » » *Pant. var. SPARSIPUNCTATA Tp. et Br.*
Obs. A perles beaucoup moins nombreuses que dans le dessin de Pantocseck (Hong. 8. 68). Une très fine ponctuation pruinée recouvre toute la valve et la rangée de perles de la bordure est très nette. Calcaires de Sendai et de Yédo. Pourrait au besoin être érigée au rang d'espèce.
 Rare. — *Cocconeis (Orthoneis) splendida Greg.* (V. HK. 28. 1).
 A. rare. — » » » var. *CRUCIFERA Tp. et Br.*
Obs. Identique à la figure de Gregory (Clyde 9. 29). Mais avec un grand pseudo-stauros central un peu fusiforme à la valve supérieure.
 T. rare. — *Cocconeis (orthoneis) splendida var. LUCIDA Tp. et Br.*
Obs. Avec des perles plus grosses et beaucoup moins nombreuses que dans la figure 28. 1. de l'atlas Van Heurek.
 P. ab. — *Coscinodiscus asteroides Tr. et Witt* (Jeremie 3. 2).
 Ab. — » *asteromphalus Ehr.*.
 Ab. — » *borealis Bail.* (A. S. 63. 11).
Obs. Passe insensiblement au *Cosc. crassus* Bail. (A. S. 61. 19).
 Ab. — *Coscinodiscus crassus Bail.* (var. A. S. 61. 19).
 Rare. — » *elegans Grev.* (1866. M. J. 1. 6. exactement).
 A. rare. — » » (forme A. S. 58. 7).
 Ab. — » *excentricus Ehr.* (V. HK. 130. 4 et 8) 8 fréquent.
 Ab. — » *excentricus Ehr.* var. *sublineatus Grun.* (Fr. Jos. land. 4. 21. 22).
 Ab. — » *fimbrio-limbatus Ehr.* (A. S. 65. 4 à 6).
 Ab. — » *gigas Ehr.* (microg. 18. 34).

Rare. — *Coscinodiscus gigas* var.? *STELLIFERA* *Tp.* et *Br.*

Obs. Valve plane, portant aux $\frac{2}{4}$ de la longueur du rayon, de très grosses alvéoles, irrégulières, ovoïdes et groupées en étoiles, ce qui lui donne l'aspect d'une *Brightwellia*. Ce n'est peut-être là qu'une anomalie semblable à celle signalée chez le *Cosc. oculus Iridis* dans l'Atlas Schmidt 63. 8.

P. ab. — *Coscinodiscus heteropus* *Ehr.* var. (A. S. 61. 1 et 4).

A. rare. — *Coscinodiscus lineatus* *Ehr.*

Ab. — » *marginatus* *Janisch.*

T. ab. — » *obscurus* A. S. (61. 16).

T. ab. — » *oculus Iridis* *Ehr.*

T. ab. — » *radiatus* *Ehr.*

Rare. — » *robustus* *Grev.* (1886. M. J. 1. 8. exactement).

Ab. — » » (formes A. S. 62. 5. 6) dont les alvéoles portent quelquefois une couronne de points très nets (= var. *AMÆNA* *Tp.* et *Br.*).

T. ab. — *Coscinodiscus* var. (A. S. 62. 2. 3. Sans nom).

Ab. — » *subconcauus* *Grun.* forma major A. S. 62. 7. qui passe insensiblement à la var. 62. 3. du *robustus*!

Ab. — *Coscinodiscus symbolophorus* *Ehr.* var. (*Grun.* Fr. Jos. land. 4. 6).

T. rare. — » *symmetricus* *Grev.* (1861. M. J. 8. 2.) a les perles encore plus grosses et plus distantes et laissant entre elles des areas radiantes.

P. ab. *Coscinodiscus subtilis* *Ehr.* (A. S. 57. 13. 14. et la var. 57. 16).

P. ab. — » *vigilans* A. S. (114. 11. 12).

A. rare. — » *Woodwardii* *Eulenst.* (formes A. S. 60. 8. et var. id. 65. 2).

Rare. — *Cymbella gastroïdes* *Kütz.*

T. rare. — » (*Encyonema*) *Yarrense* A. S. (71. 16).

Rare. — *Eunotia Monodon* *Ehr.* (V. HK. 33. 3).

Rare. — » *formica* *Ehr.* (V. HK. 34. 1).

T. rare. — *Euodia inornata* *Custr.* (Chall. 12. 1).

P. ab. — » » var. *CURVIROTUNDA* *Tp.* et *Br.* Très grande avec des extrémités très arrondies. La forme exacte de *Castracane* ne s'y rencontre pas.

Rare. — *Euodia gigantea* et sa var. minor.

Rare. — » *Janischii* *Grun.* (V. HK. 126. 1 à 4).

A. rare. — » *ventricosa* *Custr.* (Chall. 12. 5).

P. ab. — *Dicladia Capreolus* *Ehr.* (microg. 18. 101. 102) et (1856. *Brightw.* M. J. 7. 53 à 60)

Rare. — *Gephyria gigantea* *Grev.* (forma minor).

T. rare. — *Grammatophora flexuosa* var. *JAPONICA* *Tp.* et *Br.*

Avec les ondulations de la F. V. bosselées et très irrégulières.

Rare. — *Grammatophora robusta* *Dippel* (*Plant.* Hongr. 30. 312 à 316).

Rare. — » *stricta* *Ehr.*

Rare. — *Hydrosira* (*Terpsinoe*) *triquetra* *Wallisch* (A. S. 94. 18).

[= *Triceratium javanicum* *Cleve* (New. diat. 6. 75)]. Voir notre dessin de la var. 4 gona, Pl. III, fig. 5.

Rare. — *Isthmia nervosa* *Kütz.*

Rare. — *Isthmia enermis Ehr.* (et la var. ponctuée A. S. 136. 3).

T. rare. — *Liradiscus lucidus J. Brun.*

Obs. Il a la forme du *Lir. ellipticus* Grev. (1865. M. J. 8. 6) et la même bordure; mais toute la surface de la valve est lisse ou à peine pruinée. Calcaire de Yédo.

P. ab. — *Lithodesmium californicum Grun.* (V. HK. 115. 9).

P. ab. — » » var. *TIGRINA* *Tr.* et *Br.*

Obs. Variété dont la F. c. est garnie d'une large zone de grosses perles diminuant de grosseur en dedans et en dehors de cette zone, et qui s'aperçoivent aussi sur les trois flancs de la Face valvaire, comme dans le *Lith. minusculum*. Calcaires de Yédo et de Sendai.

T. rare. — *Mastogloia ovata Grun.* (V. HK. 28. 5).

T. rare. — » » *reticulata Grun.* var. *JAPONICA J. Brun.*

Obs. Beaucoup plus fortement ponctuée que le type (Hond. 195. 4). Calcaire de Yédo. Aussi vivante à Nossi-Be.

A. rare. — *Melosira Sol. Ehr.* et ses variétés.

» *sulcata* var. *LUCIDA J. Brun.*

Obs. Porte à la F. v. une double rangée de cellules marginales [comme dans la var. *coronata* (V. HK. 91. 24)], mais la surface, en dedans de ce double cercle, est nettement réticulo-ponctuée. Rare. Fossile à Yédo et Ananino (Russie). Vivante dans la vase du port de Yokohama.

T. rare. — *Navicula (Alloioneis) Antillarum Grun.* var. (Castr. Chall. 15. 5).

T. rare. — » » *aspera* var. *intermedia Grun.* (A. S. 48. 14).

Obs. Les stries ne touchent le raphé que sur un des côtés de la valve, comme dans le groupe de *Alloioneis*.

A. rare. — *Navicula arabica Grun.* (A. S. 6. 14).

T. rare. — » *Bomboides Ehr.* var. *media Cleve* et *Grun.* (Arct. diat. 3. 54).

Rare. — » *Bombus Ehr.* (V. HK. B. 22.) = *Gemina Kütz.*

A. rare. — » *Crabro Ehr.* (forme A. S. 49. 1).

Rare. — » *Californica* var. *Campechiana Grun.* (A. S. 3. 9).

T. rare. — » *compressicauda A. S.*

Rare. — » *distans W. Sm.*

Rare. — » *excavata Grev.* var. (A. S. 3. 23).

Rare. — » » *Grev.* var. *Angelorum Cleve* (New. diat. 2. 20). Quelquefois très grande et n'offre pas de ponctuation comme dans le type de Greville (1866. M. J. 12. 15).

Rare. — *Navicula fusca Greg.*

Rare. — » *Grunovii Rab.* (= *Nav. gemmata Grun.*). Quelquefois très grande.

Rare. — » *Hennedyi W. Sm.* var. *manca A. S.* (3. 17).

Rare. — » *Johnsoniana Grev.* (1862. M. J. 1. 8). Quelquefois elliptique.

T. rare. — » *libellus Greg.* (Clyde 14. 101).

Rare. — » *maxima Greg.* (Glenshira M. J. 5. 2) et (A. S. 50. 20).

Obs. Cette espèce offre une variété munie de deux plis sombres et courbés accompagnant le nœud central, comme dans la *Nav. Samoensis Grun.* (A. S.

50. 44), mais les stries et la forme de la valve sont identiques au type (= var. ASIATICA *Tp. et Br.*).
- T. rare. — *Navicula oscitans* A. S. (6. 41).
- Rare. — » *praetexta* Ehr. et variétés.
- Rare. — » *Smithii* Breb. (forme ovale A. S. 7. 19).
- Rare. — » *spectabilis* Grev. (A. S. 3. 20).
- Obs.* On trouve aussi à Sendaï une variété assez semblable à la *Navic. Hen- nedyi* minuta Cleve (1881. New. diat. 1. 15).
- Rare. — *Navicula splendida* Greg. (forme A. S. Nord. diat. 1. 4).
- T. rare. — » *subeincta* A. S. (*Grun.* Fr. Jos. land. 1. 39).
- T. rare. — » *subtilis* Greg. (A. S. Nord. diat. 3. 6). F. C. toujours très large.
- T. rare. — *Navicula superimposita* A. S. type et une variété ponctuée qui s'est toujours présentée du côté de la face connective.
- Rare. — *Navicula*: Sans nom dans l'Atlas Schmidt (48. 12. 13), section de *Paspera*.
- T. rare. — » *polysticta* var. *circumsecta* *Grun.* (A. S. 3. 28).
- Rare. — » *forcipata* var. *versicolor* *Grun.* (A. S. 70. 19. 20).
- Rare. — *Nitzschia angularis* W. Sm. (V. HK. 62. 11 à 14).
- Rare. — *Nitzschia vitrea* Norm. (forme major V. HK. 67. 11).
- Obs.* Offre quelquefois un pseudo-nodule médian comme la *Nit. obtusa* (W. Sm. 13. 109).
- T. rare. — *Pleurosigma candidum* (Norm. 1867, page 59, Pl. II, fig. 57).
- Rare. — » *carinatum* Donk. (1858. T. M. J. 3. 5).
- T. rare. — » *Clevei* *Grun.* (Cleve et *Grun.* Arct. diat. 3. 70).
- P. ab. — » *decorum* W. Sm. type.
- Rare. — » *directum* *Grun.* (Cl. et M. N° 125).
- Rare. — » *lancoletatum* Donk. (M. J. 3. 4).
- Rare. — *Podosira hormoides* var. *maxima* *Grun.* (Fr. Jos. land., page 130), (= *Hyalodiscus maximus* *Grun.* non *P. Petit.*)
- Rare. — » *maculata* W. Sm. (V. HK. 84. 1. 2).
- P. ab. — *Pyxilla americana* Ehr. (microg. 18. 98) et (V. HK. 83 bis 1 à 3).
- P. ab. — *Rhizosolenia inermis* *Castr.* (Chall. 24. 10).
- Rare. — » *robusta* *Pritt.* 8. 42 et (*Castr.* Chall. 24. 5).
- P. ab. — » *styliformis* *Brightw.* (1858. M. J. 5, forme 5. C).
- Rare. — *Stauroptera oblonga* *Bail.*
- Rare. — *Stephanopyxis appendiculata* var. *intermedia* (A. S. 130. 35).
- P. ab. — » *corona* Ehr. type, et ses var. A. S. 123. 10 à 17 et y compris les formes 13 et 14.
- P. ab. — *Stephanopyxis Grunovii* *Grov.* et *Sturt.* (A. S. 130. 1 à 4).
- Obs.* L'une des valves n'a pas les aréoles bordées de très petits capitules représentés A. S. 130. 1. et 2., et l'on trouve à Sendaï des formes de valves qui passent insensiblement à la *Step. marginata* var. *californica* telle qu'elle est décrite par *Grunow* (Fr. Jos. land., page 38).
- P. ab. — *Stephanopyxis Turris* var. *arctica* *Grun.* (Fr. Jos. land. 5, 21. *micropora*).

- T. rare. — *Stephanopyxis Weissflogii* A. S. (123. 2).
 Rare. — *Stictodiscus Hardmanianus* type et *var. JAPONICA* *Tp.* et *Br.* avec les côtes moins nombreuses que dans le dessin de Greville (1865. M. J. 8. 4) et à perles plus éparées que dans celui de (A. S. 131. 5).
 T. rare. — *Stictodiscus Kittonianus* *Grev.* (*var.* 131. 4. Sans nom dans l'atlas Schmidt).
 T. rare. — *Surirella fastuosa* *Ehr.*
 Ab. — *Synedra affinis* *var. hybrida* *Grun.* (V. HK. 41. 9 et 10).
 Rare. — » *crystallina* *Kütz.* *var. bacillaris* *Grun.* (Hond. 193. 12. a. b. c.).
 P. ab. — » *parva* *var. major.* — *Cleve* et *Grun.* (*Arct. diat.* 6. 117).
 T. rare. — » *pulchella* *Kütz.*
 T. rare. — » *Nitzschioides* *Grun.* (*Pant. Hong.* 26. 246).
 Rare. — *Terpsinoe americana* *var. 3 gona* (*Pant. Hong.* 6. 53).
 P. ab. — *Thalassiothrix Frauenfeldii* *var. Javanica* (V. HK. 87. 13).
 P. ab. — » *longissima* *Cleve.*
 P. ab. — *Triceratium arcticum* *Brighlw.*
Obs. Le type et toutes ses variétés déjà décrites et dessinées se retrouvent dans ces calcaires, ainsi que la *var. Kerguelensis* *Castr.* (*Chall.* 13. 7), et elles s'y rencontrent *tri, tetra* et *pentagones*.
 Nous citerons en sus :
 a) la *var. VULCANICA* *Tp.* et *Br.* Les angles du triangle très allongés et les alvéoles grandes et munies d'une couronne de gros points plus nets que dans la *Californica*.
 b) la *var. LUCIDA* *Tp.* et *Br.* Quadrangulaire, avec des alvéoles lisses.
 T. rare. — *Triceratium elegans* *Grev.* *var. pusilla* (V. HK. 109. 3).
 Rare. — » » *var. JAPONICA* *Tp.* et *Br.* Toujours quadrangulaire.
 Les appendices prolongés en cônes et même un peu capitulés et très lépais.
 Rare. — *Triceratium punctatum* *Brighlw.* (A. S. 76. 20).
 Rare. — » *Montereyii* *Brighlw.* (A. S. 94. 1).
 P. ab. — » *quadrangulare* *Grev.* (A. S. 81. 3) et sa forme 5 gone.
Obs. N'est, à notre avis, qu'une variété de l'*Arcticum*.
 Rare. — *Triceratium Stokesianum* *var. Moravica* *Grun.* (A. S. 112. 19).
 T. rare. — » *venulosum* *var. JAPONICA* *Tp.* et *Br.*
Obs. Cette forme a les proéminences *coniques* et non *rondes* comme celles de Oamaru (Grove et Sturtz Q. J. 19. 15). De plus les angles de la F. V. sont aigus et forment une doublure aux appendices qui sont très élevés. En tout cas, cette variété diffère grandement du type de Greville (1864. M. J. 8. 21) où les côtes des flancs ne se bifurquent pas vers l'intérieur et où les proéminences n'offrent pas à leur centre un lumen arrondi.
 T. rare. — *Trinacria Pileolus* *Ehr.* (O. Witt. Simbirsk. 9. 15).
 Ab. — *Xanthiopyxis umbonatus* *Grev.* (1866. M. J. 1. 5).
 P. ab. — *Zygoceros circinus* *Bail.* *var. TRAPEZOIDALIS* *Tp.* et *Br.*
Obs. Porte quatre épines robustes et longues [et non pas deux, comme dans le type (V. HK. 105. 13)]. Elles sont placées *en trapèze* sur la face valvaire et

non placées *en rond* [autour du réseau de mailles ponctuées, comme dans le *Zyg. quadricornis* Grun. (V. HK. 105. 5 à 7)]. — On pourrait peut-être en faire une espèce distincte? — Peut se confondre, à première vue, avec la *Biddulphia Calamus*, Pl. V, fig. 15.

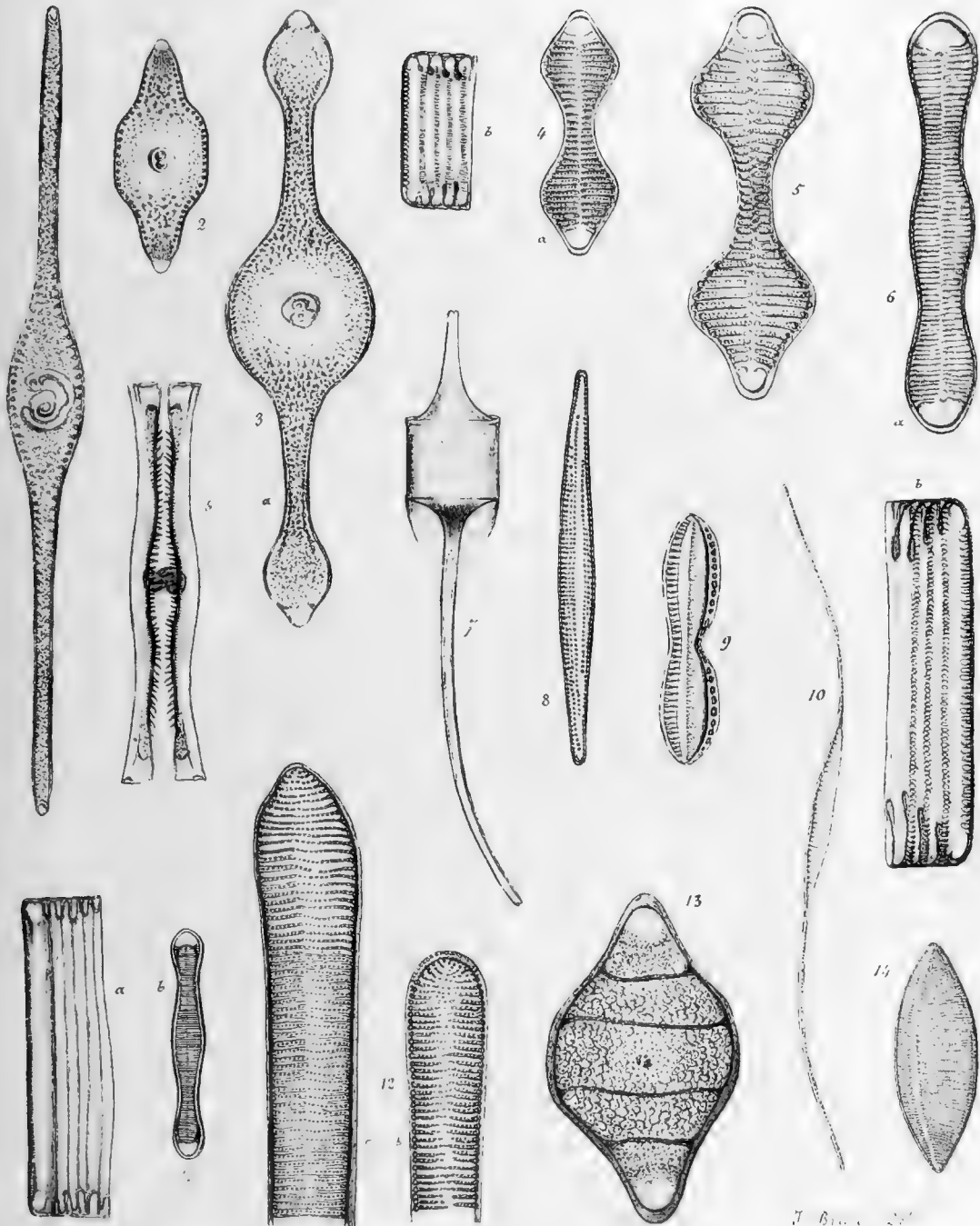
Ce qui porte à 328 le nombre des espèces que nous avons trouvées dans ces deux calcaires, nombre qui comprend 36 variétés et 116 espèces nouvelles.

DIATOMÉES FOSSILES DU JAPON.

PLANCHE I

1. Rutilaria (*Epsilon var.?*) longicornis *Temp. et Br.*
2. » hexagona *var. cornuta Temp. et Brun.*
3. » (*Epsilon var.?*) capitata *Temp. et Br. (b. face connective)*
4. Rhabdonema valdelatum *Temp. et Brun.*
5. » biquadratum *J. Brun.*
6. » Japonicum *Temp. et Brun.*
7. Pterotheca Spada *Temp. et Brun.*
8. Raphoneis asiatica *J. Brun.*
9. Nitzschia protuberans *J. Brun.*
10. » longissima *var. fossilis J. Brun.*
11. Rhabdomena elegans *Temp. et Brun.*
12. Sceptroneis (*clavícula?*) Coluber *J. Brun.*
13. Anulus (*Terpsinoe?*) latecavatus *J. Brun.*
14. Nitzschia asiatica *Temp. et Brun.*

Grossissement linéaire + 450.



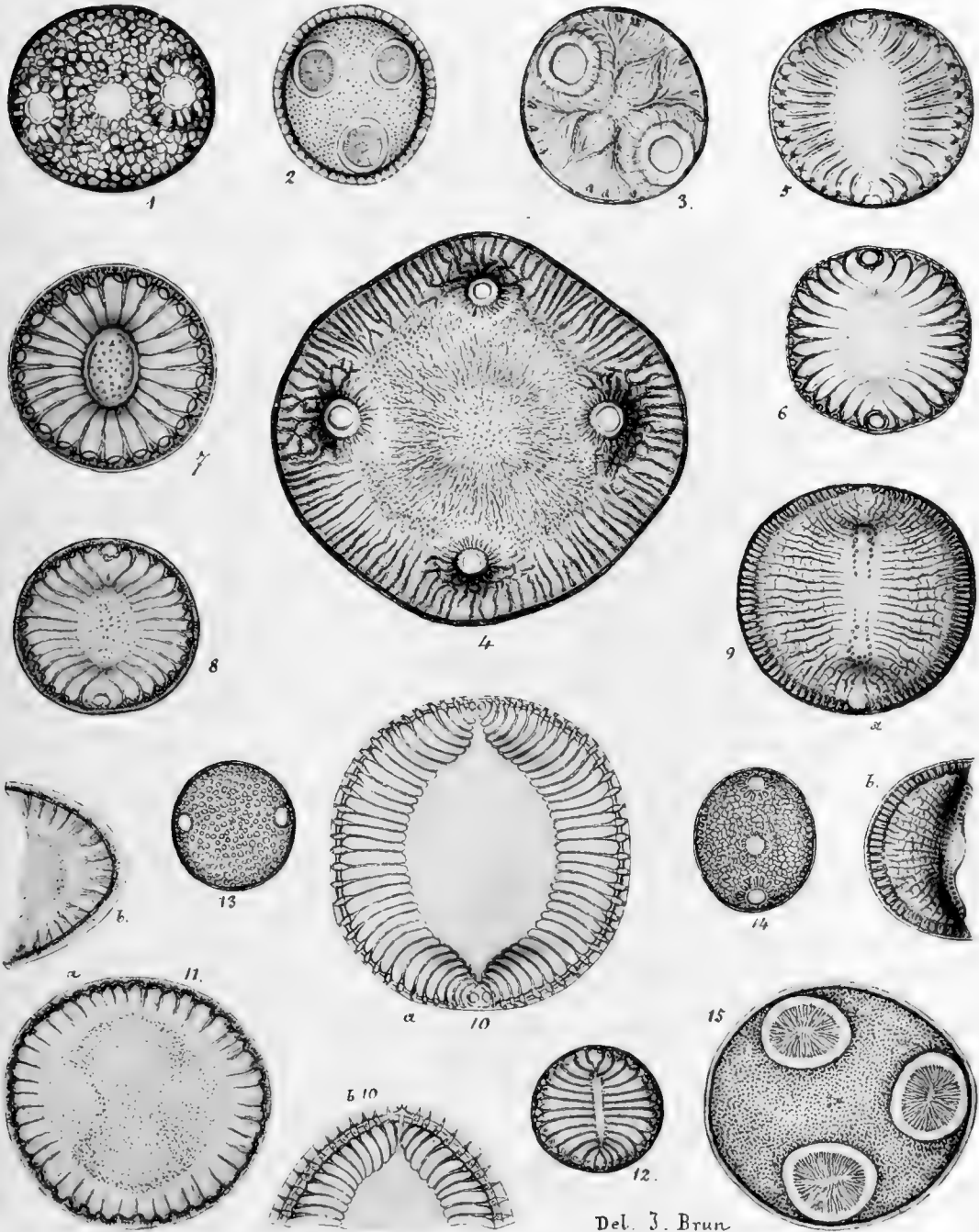
Phototypie F. Thévoz & Co. Genève



PLANCHE II

1. *Auliscus crystallinus* *J. Brun.*
2. » *trilunaris* *J. Brun.*
3. » *Grunovii* *var. flammula* *Temp. et Brun.*
4. » *asiaticus* *J. Brun.*
5. *Campylodiscus canalisatus* *Temp. et Brun.*
6. » *simplex* *Temp. et Brun.*
7. » *Chrysanthemum* *J. Brun.*
8. » *vitricavus* *Temp. et Brun.*
9. » *rivulosus* *Temp. et Brun* (b. bordure).
10. » *Hypodromus* *J. Brun* (b. bordure).
11. » *clivosus* *J. Brun* (b. bordure).
12. » *scalaris* *Temp. et Brun.*
13. *Auliscus ambiguus* *var. multiclava* *J. Brun.*
14. » *trilumen* *J. Brun.*
15. » *trigemmis* *A. S. var. robusta* *J. Brun.*

Grossissement linéaire + 450.



Del. J. Brun

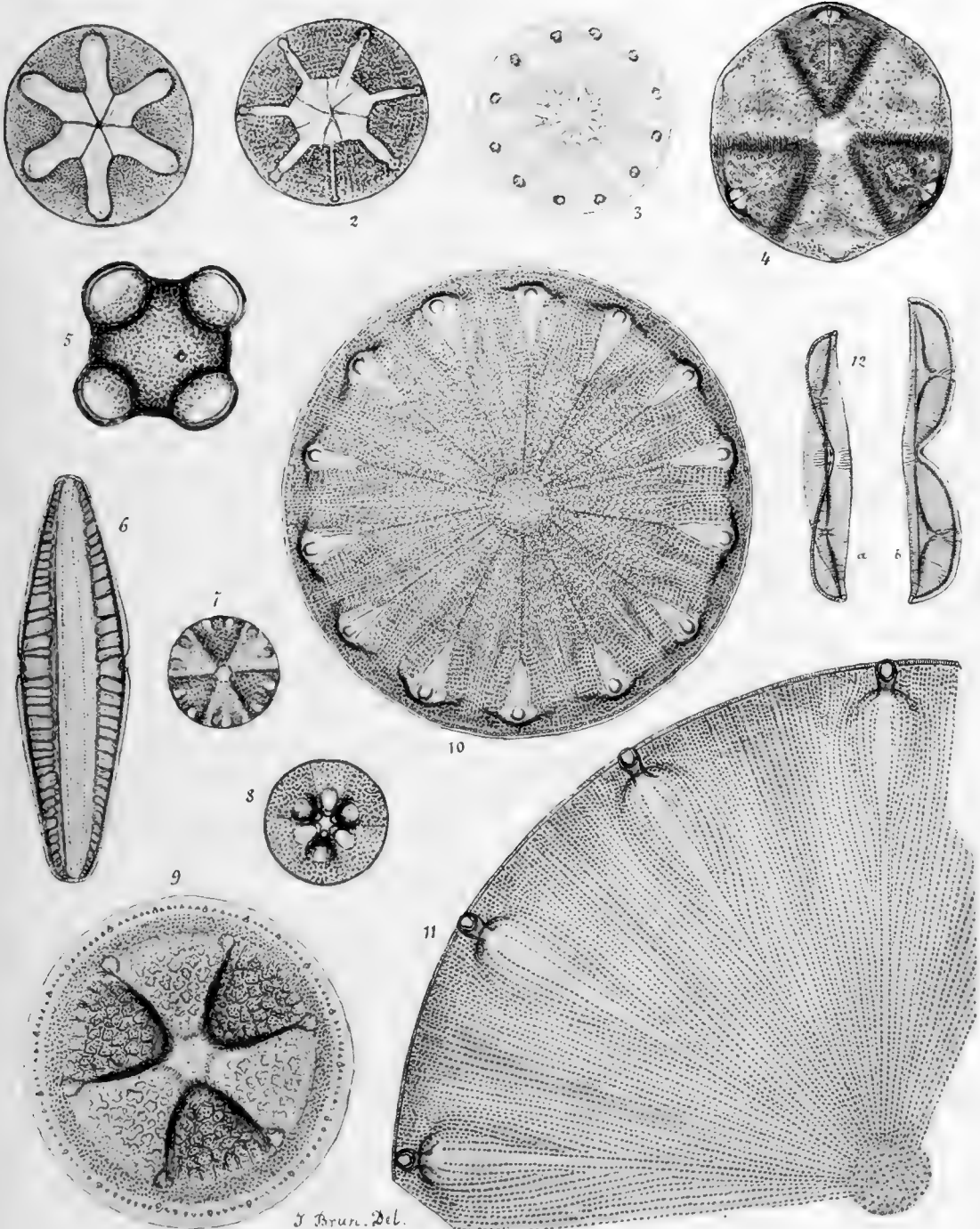
Phototypic F. Thevenot & Co Genève

DIATOMÉES FOSSILES DU JAPON.

PLANCHE III

1. *Asteromphalus (Marylandicus var.?) stellaris Temp. et Br.*
2. » (*Humboldtii var.?*) *senectus Temp. et Brun.*
3. *Asterolampra Grevillei (valve génératrice interne).*
4. *Actinoptychus Anemone J. Brun.*
5. *Hydrosira triquetra Wall. var. tetragona Temp. et Br.*
6. *Epithemia Argentina J. Brun.*
7. *Actinoptychus pericavatus J. Brun.*
8. » *Adamans Temp. et Brun.*
9. » *asiaticus Temp. et Brun.*
10. *Aulacodiscus Adonis Temp. et Brun.*
11. » *multispadix Temp. et Brun.*
12. *Amphiprora coarctata J. Brun.*

Grossissement linéaire + 450.



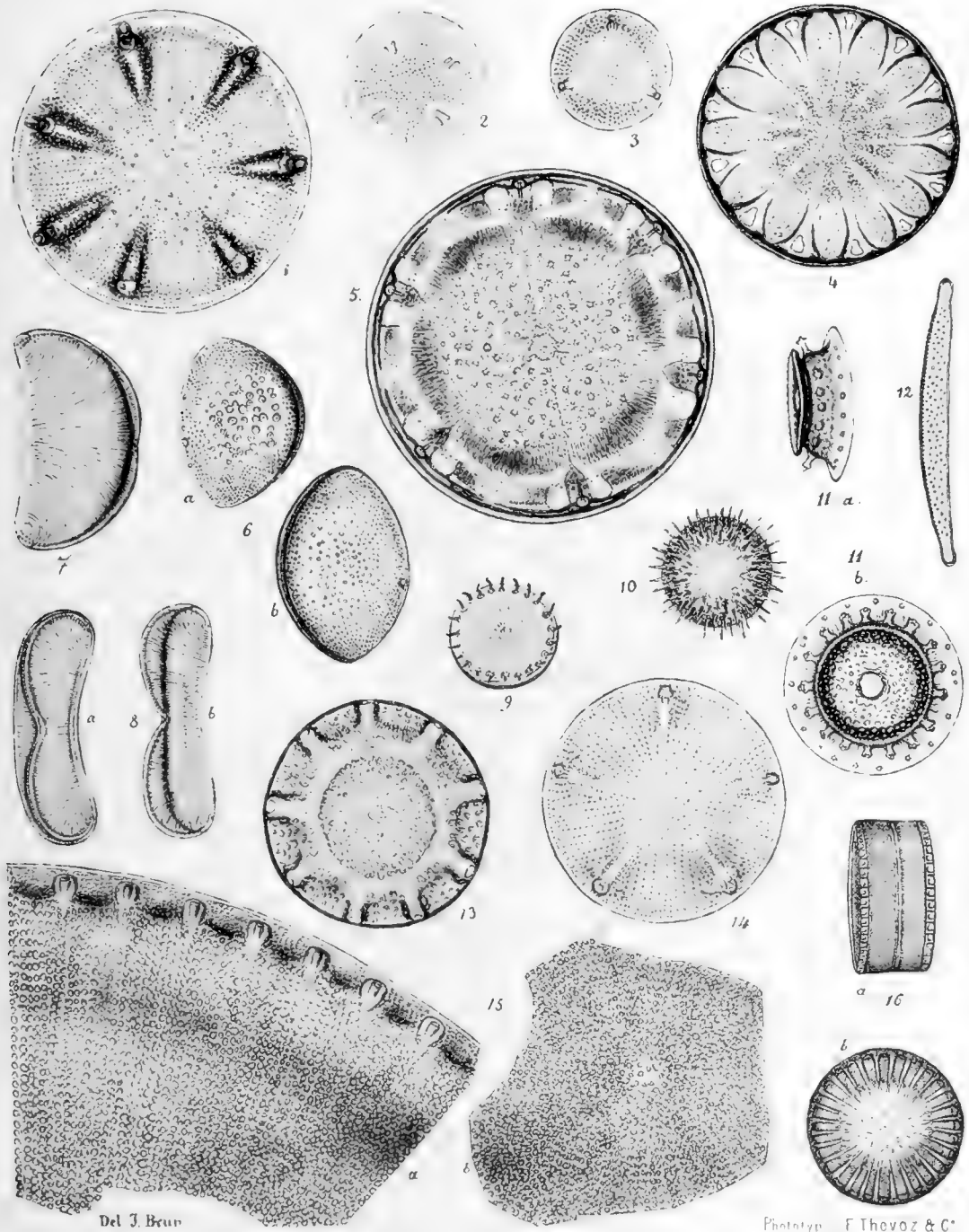
J. Brun. Del.
Phototypic E. Thevoz & C^o, Genève

DIATOMÉES FOSSILES DU JAPON.

PLANCHE IV

1. *Aulacodiscus nigricans* *Temp. et Brun.*
2. *Liostephania* (?) *Japonica* *J. Brun.*
3. *Aulacodiscus tripartitus* *Temp. et Brun.*
4. *Craspedoporus Corolla* *J. Brun.*
5. *Aulacodiscus Crater* *J. Brun.*
6. *Euodia Margaritacea* *J. Brun.* (a. fossile ; b. vivante).
7. *Auricula Ostrea* *Temp. et Brun.*
8. » *Japonica* *J. Brun.*
9. *Stephanodiscus elegans* *J. Brun.*
10. *Podosira spino-radiata* *J. Brun.*
11. *Porodiscus* (*Pyrgodiscus*?) *Calycillos* *Temp. et Brun.*
 - a. Face connective vue obliquement.
12. *Cymatosira Japonica* *Temp. et Brun.*
13. *Craspedoporus Pantocseki* *J. Brun.*
14. *Aulacodiscus angulatus* *Grev. var. Japonica* *Temp. et Brun.*
15. ⁶ *giganteus* *Temp. et Brun.* (b. région centrale).
16. *Cyclotella* (*Melosira*?) *asiatica* *J. Brun.*

⁶ Grossissement linéaire + 450.



Del J. Brun

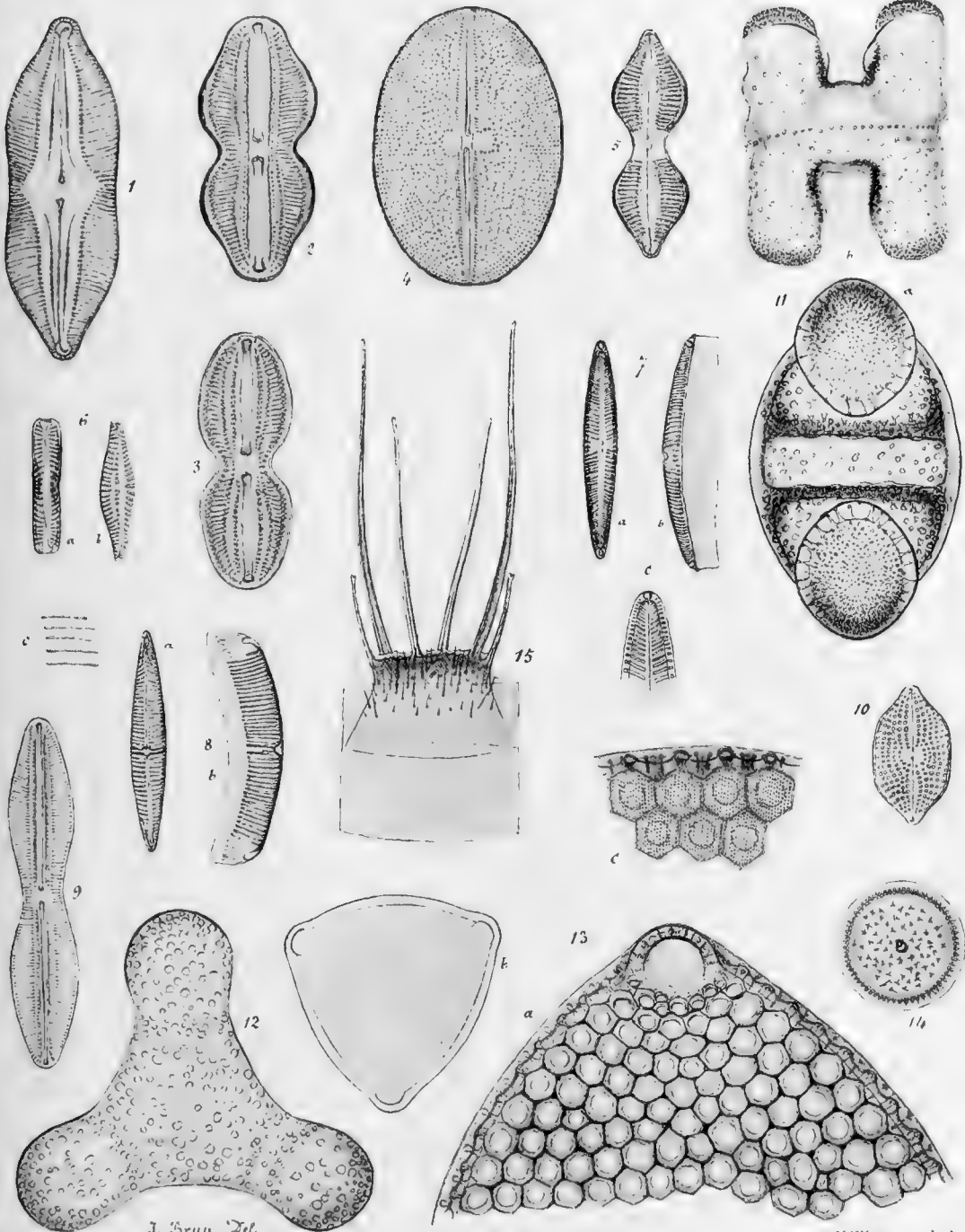
Phototyp. F. Thvoz & C^o

DIATOMÉES FOSSILES DU JAPON.

PLANCHE V

1. *Navicula Temperei* *J. Brun.*
2. » *Adonis var. gibbosa* *J. Brun.*
3. » » (type) *J. Brun.*
4. » *reticulo-radiata* *Temp. et Brun.*
5. » *scintillans* *Temp. et Brun.*
6. » *Anthracis* *Cleve et Brun.*
7. » *Index* *Temp. et Brun* (c. extrémité à + 800)
8. » *Cubitus* *Temp. et Brun* (stries à + 800).
9. » *Guinardiana* *Temp. et Brun.*
10. » *baccata* *J. Brun.*
11. *Biddulphia nobilis* *J. Brun.*
12. *Triceratium simplex* *J. Brun.*
13. » *Bergonii* *Temp. et Brun.*
 - a. Bordure dessinée à deux mises au point différentes.
 - b. Contours à + 160. — c. Bordure et réseau strié inférieur à + 800.
14. *Melosira Clypeus* *J. Brun.*
15. *Biddulphia (Odontella) Calamus* *Temp. et Brun.*

Grossissement linéaire + 450.



J. Brun Del.

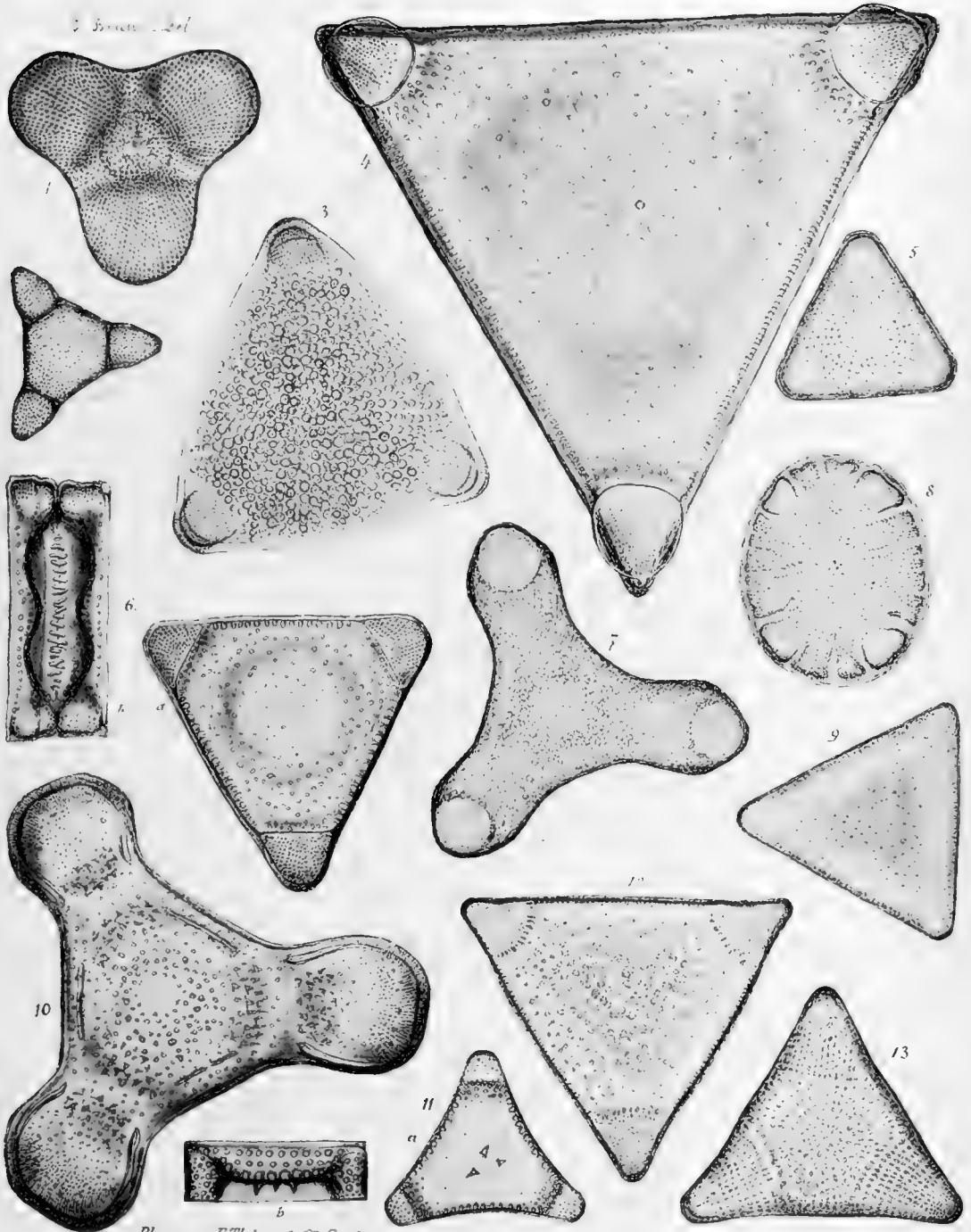
Phototypic F. Thevoz & Co. Givors

DIATOMÉES FOSSILES DU JAPON.

PLANCHE VI

1. *Triceratium curvilimbum* *J. Brun.*
2. » *multifrons* *J. Brun.*
3. » *luminosum* *Temp. et Brun.*
4. » *balaniferum* *Temp. et Brun.*
5. » *radians* *Temp. et Brun.*
6. » *dulce* *Grev. var. Japonica* *Tp. et Br.*
7. » *tripolaris* *Temp. et Brun.*
8. » *(TABULINA) Testudo* *J. Brun.*
9. » *plano-concavum* *J. Brun.*
10. » *Schlumbergeri* *Temp. et Brun.*
11. » *truncatum* *J. Brun.*
12. » *constellatum* *Temp. et Brun.*
13. » *cellulosum* *Grev. var. Japonica* *J. Brun.*

S. Borealis - *and*



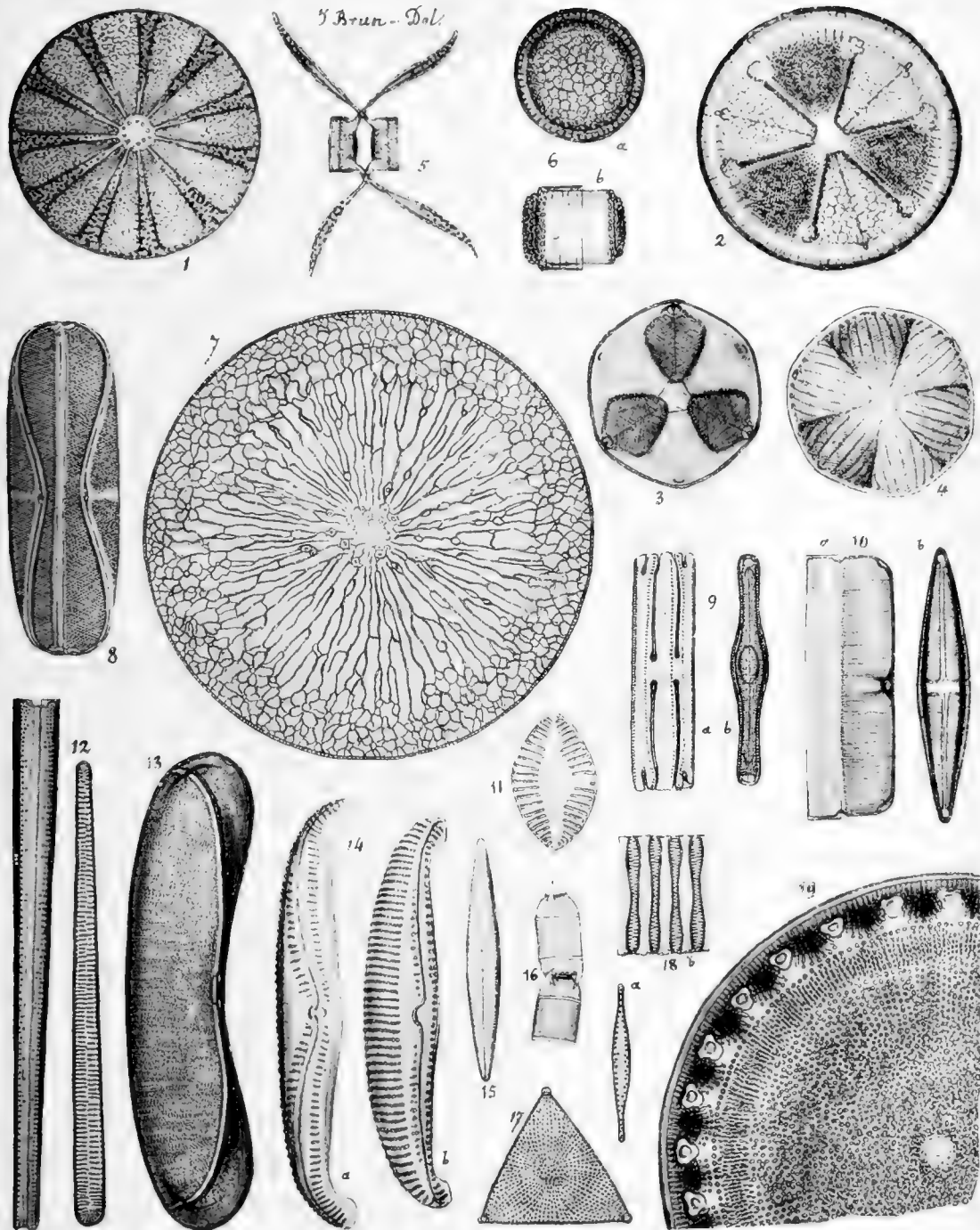
Phototypie F. Thevoz & C^o, Genève

DIATOMÉES FOSSILES DU JAPON.

PLANCHE VII

1. Actinoptychus (*hispidus var?*) Erinaceus *Temp.* et *Brun.*
2. » trifurcatus *Temp.* et *Brun.*
3. » Trifolium *Temp.* et *Brun.*
4. » Papilio *J. Brun.*
5. Chaetoceros Sigmo-Calamus *Temp.* et *Brun.*
6. Coscinodiscus tubiformis *Temp.* et *Br.* (b. connectif).
7. » radiatus *Ehr.* (A. S. 60. 5) (*anomalie*).
8. Amphora Pleurosigina *Temp.* et *Brun.*
9. Grammatophora (*arctica var.?*) monilifera *Temp.* et *Brun.*
10. Navicula Crucifix *Temp.* et *Brun.* (a. connectif).
11. Raphoneis Pinnularia *Temp.* et *Brun.*
12. Synedra (*Raphoneis?*) tibialis *Temp.* et *Brun.*
13. Amphora fallax *Temp.* et *Brun.*
14. » zebrata *Temp.* et *Brun.*
15. Navicula foliola *Temp.* et *Brun.*
16. Melosira (?) cornuta *Temp.* et *Brun.*
17. Triceratium radiato-punctatum *A. S. var. calcarea Temp.* et *Br.*
18. Cymatosira Debyi *Temp.* et *Brun.*
19. Aulacodiscus tubulo-crenatus *Temp.* et *Brun.*

Grossissement linéaire + 450.

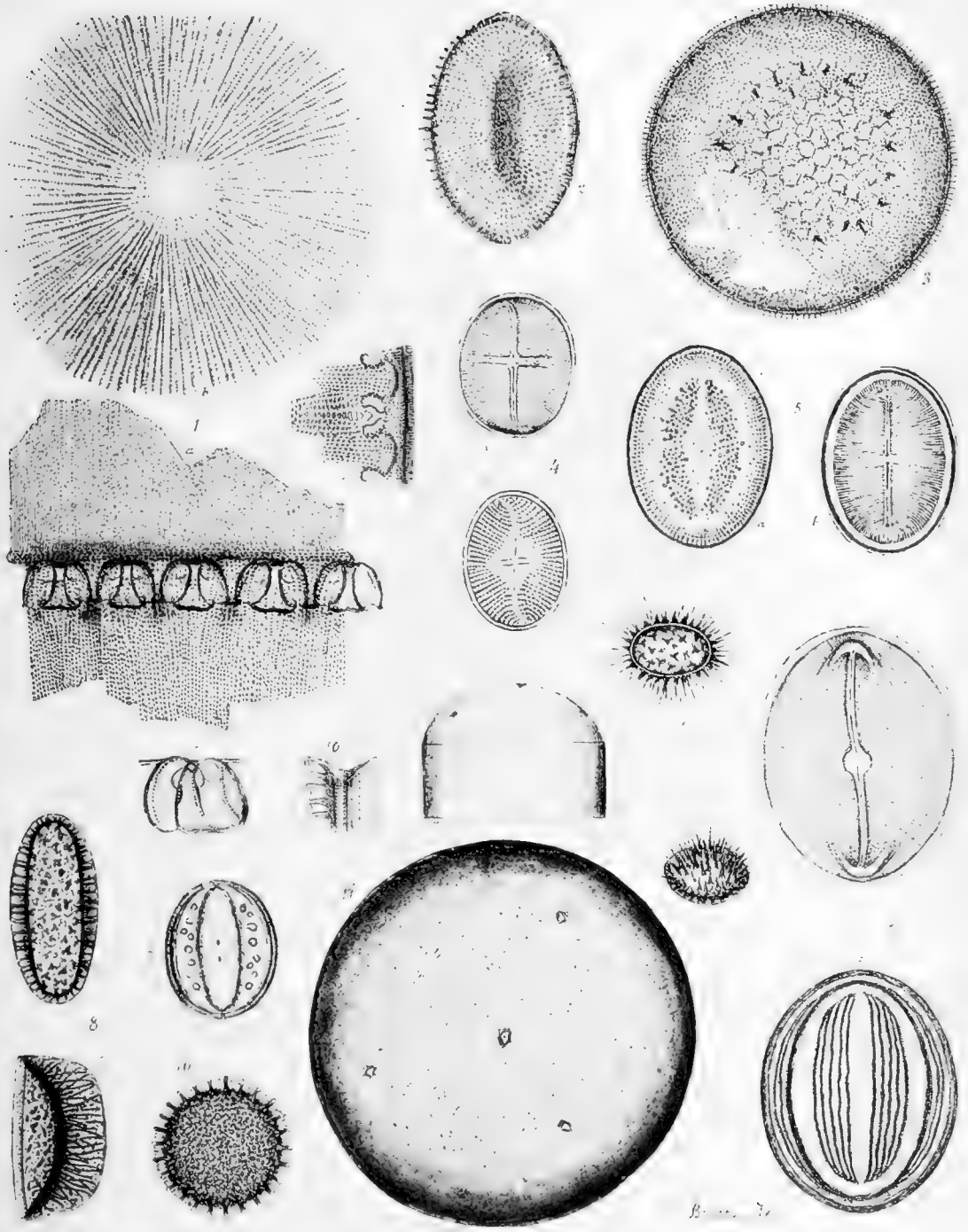


DIATOMÉES FOSSILES DU JAPON.

PLANCHE VIII

1. *Brighwellia* (?) *mirabilis* *J. Brun.*
b. c. d. à + 800.
2. *Coccinodiscus* *Temperei* *J. Brun.*
3. *Stephanopyxis* *Peragalli* *Temp. et Brun.*
4. *Cocconeis* *sigmo-radians* *Temp. et Brun.*
5. » *antiqua* *Temp. et Brun.*
6. » (*pellucida* *var.?*) *curvi-rotunda* *Temp. et Br.*
7. *Stephanopyxis* *aristata* *Temp. et Brun.*
8. » (*limbata* *Ehr. var.*) *Crista Galli* *Temp. et Br.*
9. *Cocconeis* (*valve inférieure*) espèce indéterminée.
10. *Stephanopyxis* *nidulus* *Temp. et Brun.*
10. b. Bordure du connectif (fragment à + 800).
11. *Ethmodiscus* (*Pantosekia?*) *vitrifacies* *Temp. et Br.*
a. connectif à + 160.

Grossissement linéaire + 450.



Phototypie de *Phoenicium* S. Genève

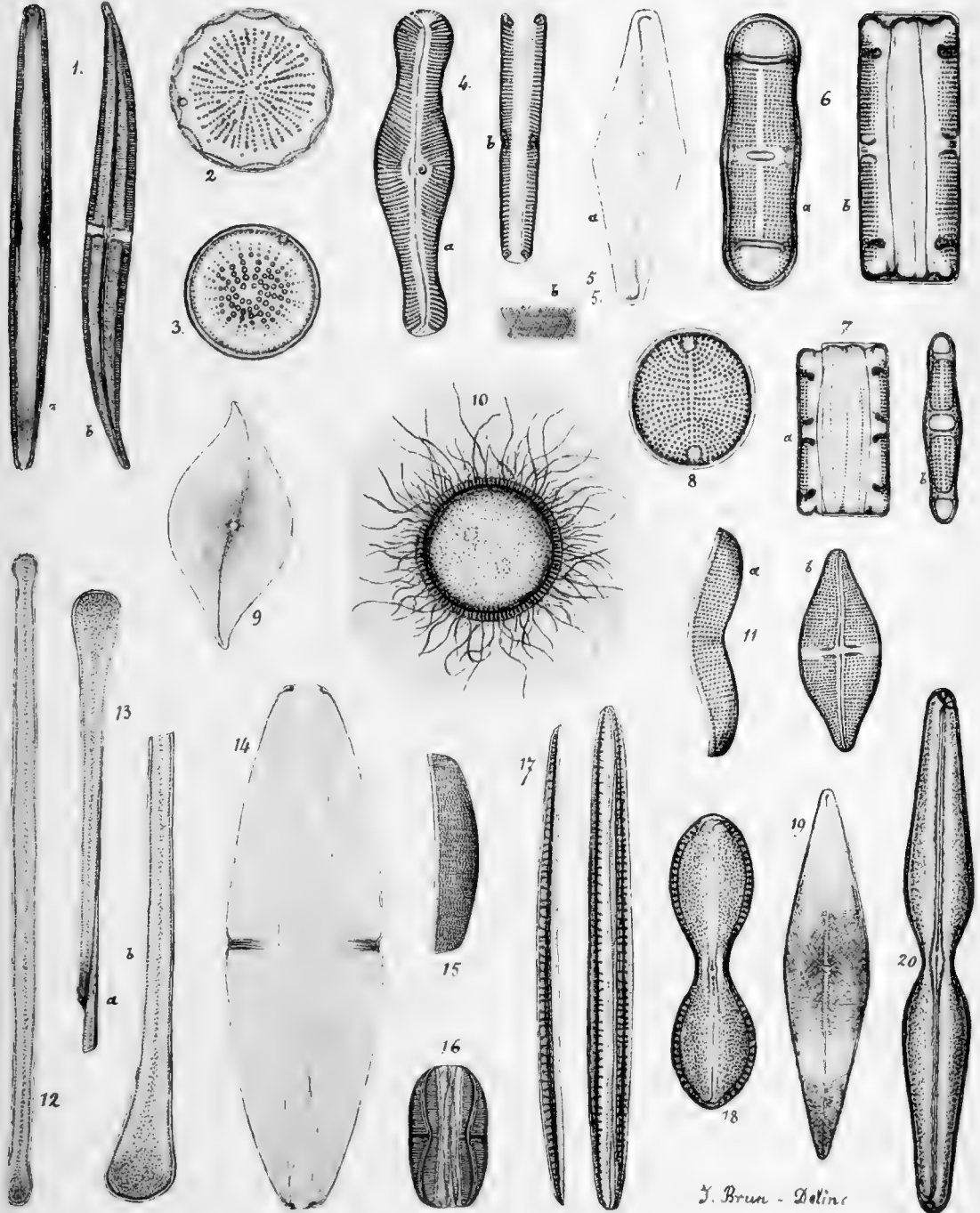
B. 10. 7.

DIATOMÉES FOSSILES DU JAPON.

PLANCHE IX

1. *Staurosigma asiaticum* Temp. et Brun.
2. *Actinocyclus Flos* J. Brun.
3. » *Calix* Temp. et Brun.
4. *Gomphonema curvirostrum* Temp. et Brun.
5. *Pleurosigma hamuliterum* J. Brun.
6. *Plagiogramma (validum var. ?) Fenestra* J. Brun.
7. » *Gregorianum var. robusta* J. Brun.
8. *Raphoneis lumen* J. Brun.
9. *Pleurosigma Hungaricum* Cleve et Brun
10. *Bacteriastrum (?) Halo* J. Brun.
11. *Achnanthes Leudgeri* Temp. et Brun.
12. 13. *Clavicula delicata* Grun. (12. type 13. var. *radiata* Temp. et Br.).
14. *Amphiprora fragilis* Temp. et Brun.
15. *Nitzschia asiatica* Temp. et Br. (*connectif*, voir Pl. I, fig. 14, F. V.).
16. *Amphora Petiti* Temp. et Brun.
17. *Nitzschia pennata* Temp. et Brun.
18. *Mastogloia Clevei* J. Brun.
19. *Pleurosigma Sagitta* Temp. et Brun.
20. *Mastogloia rugosa* Temp. et Brun.

Grossissement linéaire + 450.



J. Brun - Delinc

Phototypie F. Thevoz & C^o, Genève.

TABLE GÉNÉRALE

DES

MATIÈRES CONTENUES DANS LE TRENTIÈME VOLUME

	Pages	Nombre de planches
Rapport du Président pour l'année 1887, par M. V. Fatio	I	—
Bulletin bibliographique. Liste des ouvrages reçus par la Société du 1 ^{er} janvier 1887 au 1 ^{er} juillet 1888	XXXVII	—
Tableau des membres de la Société au 1 ^{er} décembre 1888	XLIX	—
Rapport du Président de la Société pour l'année 1888, par M. H. Gosse.	LV	
Bulletin bibliographique. Liste des ouvrages reçus par la Société du 1 ^{er} juillet 1888 au 31 décembre 1889	LXXXIX	—
Tableau des membres de la Société au 1 ^{er} janvier 1890	CIII	—
	Nombre de pages.	
1. Additamenta ad Prodrum œdipodiorum insectorum ex ordine orthopterum, auctore Henrico de Saussure	182	1
2. Matériaux pour l'étude stratigraphique et paléontologique de la province d'Angola, par MM. Paul Choffat et P. de Loriol.	116	8
3. Pyrenocarpæ Fecanæ in Fœei Essai (1824) et Supplément (1837) editæ e novo studio speciminum originalium expositæ et in novam dispositionem ordinatæ, auctore D ^r J. Muller	45	—
4. Sur la composition des sensations et la formation de la notion d'espace, par M. L. de la Rive	99	—
5. Note sur les mouvements des corps électrisés, par M. Ch. Cellérier	71	—
6. Locustides nouveaux ou peu connus, par M. Alph. Pictet	78	3
7. Contributions à la Flore du Paraguay. Supplément n° II. Légumi- neuses, par M. M. Micheli	24	4
8. Contributions à la Flore du Paraguay. Supplément n° III. Poly- galacées, par M. R. Chodat	14	5
9. Diatomées fossiles du Japon, par MM. J. Brun et Tempère	75	9

TABLE ALPHABÉTIQUE

DES AUTEURS

ET DES MATIÈRES CONTENUES DANS LE TRENTIÈME VOLUME

	Pages.
A	
Additamenta ad Prodrumum œdipodiorum insectorum ex ordine orthopterum, auctore H. de Saussure	N° 1
B	
BRUN, J. et Tempère. Diatomées fossiles du Japon	N° 9
Bulletin bibliographique pour les années 1887-1888	XXXVII
Id. pour les années 1888-1889	LXXXIX
C	
CELLÉRIER, Ch. Sur le mouvement des corps électrisés	N° 5
CHOFFAT, P. et de Loriol. Matériaux pour l'étude stratigraphique et paléon- tologique de la province d'Angola	N° 2
CHODAT, R. Polygalacées du Paraguay	N° 8
Composition des sensations, par M. L. de la Rive	N° 4
Corps électrisés. Note sur leurs mouvements, par M. Ch. Cellérier	N° 5
D	
Diatomées fossiles du Japon, par MM. J. Brun et Tempère	N° 9
E	
Espace. Sur la notion d'espace, par M. L. de la Rive	N° 4
F	
FATIO, Victor. Rapport du Président pour l'année 1887	I
Flore du Paraguay. II ^{me} supplément. Légumineuses, par M. M. Micheli	N° 7
Id. III ^{me} supplément. Polygalacées, par M. R. Chodat	N° 8
G	
GOSSE, H. Rapport du Président pour l'année 1888	LV

	Page.
L	
Légumineuses du Paraguay, par M. M. Micheli.....	N° 4
DE LORIOI et P. Choffat. Matériaux pour l'étude stratigraphique et paléontologique de le province d'Angola.....	N° 2
Locustides nouveaux ou peu connus, par M. Alph. Pictet.....	N° 6
M	
Matériaux pour l'étude stratigraphique et paléontologique de la province d'Angola, par MM. P. Choffat et P. de Loriol.....	N° 2
Membres. Tableau des membres de la Société au 1 ^{er} décembre 1888.....	XLIX
Id. Id. au 1 ^{er} janvier 1890.....	CIII
MICHEL, M. Contribution à la Flore du Paraguay. Supplément n° II. Légumineuses.....	N° 4
MULLER, J. Pyrenocarpæ Feeanæ e novo studio expositæ.....	N° 3
P	
PICET, Alph. Locustides nouveaux ou peu connus.....	N° 6
Polygalacées du Paraguay, par M. R. Chodat.....	N° 8
Pyrenocarpæ Feeanæ ex novo studio expositæ, auctore D ^r J. Muller.....	N° 3
R	
Rapport du Président pour l'année 1887.....	I
Id. pour l'année 1888.....	LV
DE LA RIVE, L. Sur la composition des sensations et la notion d'espace.....	N° 4
S	
DE SAUSSURE, H. Additamenta ad Prodrum œdipodiorum insectorum....	N° 1
Sensations. Sur la composition des sensations, par M. L. de la Rive.....	N° 4
T	
Tableau des membres de la Société au 1 ^{er} décembre 1888.....	XLIX
Id. Id. au 1 ^{er} janvier 1890.....	CIII
TEMPÈRE et J. Brun. Diatomées fossiles du Japon.....	N° 9

3 5185 00288 7584



